







PAA

Annalen  
der Physik und



RAA

Annalen  
der Physik und  
Chemie





# ANNALEN DER PHYSIK.

VIERTE FOLGE.

BAND 12.

# ANNALEN DER PHYSIK.

BEGRÜNDET UND FORTGEFÜHRT DURCH

F. A. C. GREN, L. W. GILBERT, J. C. POGGENDORFF, G. UND E. WIEDEMANN.

VIERTE FOLGE.

BAND 12.

DER GANZEN REIHE 317. BAND.

KURATORIUM:

F. KOHLRAUSCH, M. PLANCK, G. QUINCKE,  
W. C. RÖNTGEN, E. WARBURG.

UNTER MITWIRKUNG

DER DEUTSCHEN PHYSIKALISCHEN GESELLSCHAFT

UND INSBESONDERE VON

M. PLANCK

HERAUSGEGEBEN VON

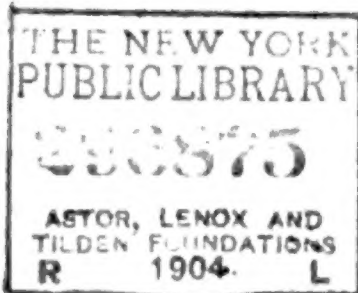
PAUL DRUDE.

MIT DREI FIGURENTAFELN.



LEIPZIG, 1903.

VERLAG VON JOHANN AMBROSIIUS BARTH.





# Inhalt.

## Vierte Folge. Band 12.

### Neuntes Heft.

	Seite
1. J. Stark. Der Kathodenfall des Glimmstromes als Funktion von Temperatur, Stromstärke und Gasdruck . . . . .	1
2. J. Stark. Der Kathodenfall des Glimmstromes im Magnetfeld . . . . .	31
3. Eduard Riecke. Beiträge zu der Lehre von der Luftelektrizität . . . . .	52
4. Ernst Flatow. Über die Dispersion der sichtbaren und ultravioletten Strahlen in Wasser und Schwefelkohlenstoff bei verschiedenen Temperaturen . . . . .	85
5. F. Himstedt. Über die Ionisierung der Luft durch Wasser . . . . .	107
6. A. Becker. Über die Leitfähigkeit fester Isolatoren unter dem Einfluß von Radiumstrahlen . . . . .	124
7. C. Dieterici. Zur Theorie der Zustandsgleichung . . . . .	144
8. C. Dieterici. Die spezifischen Wärmen der Kohlensäure und des Isopentans . . . . .	154
9. August Schmauss. Über die von Hrn. Majorana gefundene Doppelbrechung im magnetischen Felde . . . . .	186
10. K. Olszewski. Ein neuer Apparat zur Verflüssigung des Wasserstoffs . . . . .	196
11. Carl Forch. Die spezifische Wärme der Lösungen von Naphtalin in verschiedenen organischen Lösungsmitteln . . . . .	202
12. Carl Forch. Die bei dem Lösen von Naphtalin in verschiedenen Lösungsmitteln auftretende Wärmetönung . . . . .	211
13. L. Bleekrode. Über einige Versuche mit flüssiger Luft . . . . .	218
14. W. Holtz. Zur elektrischen Entladung in festen Isolatoren. Prioritätsbemerkung . . . . .	224

*Ausgegeben am 21. Juli 1903.*

### Zehntes Heft.

1. E. F. Nichols und G. F. Hull. Über Strahlungsdruck . . . . .	225
2. Walter Ritz. Zur Theorie der Serienspektren . . . . .	264
3. O. Lehmann. Plastische, fließende und flüssige Kristalle; erzwungene und spontane Homöotropie derselben . . . . .	311
4. J. Koenigsberger. Über die Emission von Körpern mit endlichem Absorptionsvermögen . . . . .	342

	Seite
5. Zemplén Győző. Über die Anwendung der mechanischen Prinzipie auf reibende Bewegungen (mit einem Anhang über den „Energieumsatz in der Mechanik“) . . . . .	356
6. Franz Wittmann. Untersuchung und objektive Darstellung von Flaschenbatterie- und Induktionsströmen. . . . .	373
7. E. Voigt. Über Messungen hoher Spannungen . . . . .	385
8. C. Runge und J. Precht. Über das Funkenspektrum des Radiums . . . . .	407
✓ 9. L. Zehnder. Über neue Wirkungen bekannter Strahlenarten . . . . .	413
✓ 10. L. Zehnder. Eine einfache Form des Wehneltunterbrechers . . . . .	417
11. U. Behn und F. Kiebitz. Eine indirekte Methode zur Bestimmung der Temperatur von Bädern flüssiger Luft . . . . .	421
12. A. Pflüger. Über die Farbe der Ionen . . . . .	430
13. P. Lenard und V. Klatt. Über die Vernichtung der Phosphoreszenzfähigkeit durch Druck . . . . .	439
14. K. Hahn. Beeinflussen Röntgenstrahlen die Wärmeleitung der Luft? . . . . .	442
15. Walter Ritz. Über das Spektrum von Kalium . . . . .	444
16. Mitteilung aus der Physikalisch-Technischen Reichsanstalt. Bemerkung zu einer Arbeit des Hrn. A. Kalähne . . . . .	447

Ausgegeben am 17. August 1903.

#### Elftes Heft.

1. P. Lenard. Über die Beobachtung langsamer Kathodenstrahlen mit Hilfe der Phosphoreszenz und über Sekundärentstehung von Kathodenstrahlen . . . . .	449
2. Erich Marx. Über die Kondensatorentladung in verzweigten Systemen bei Periodenzahlen $10^{-7}$ — $10^{-8}$ und das dielektrische Verhalten einiger Flüssigkeiten in diesem Frequenzbereich . . . . .	491
3. G. Aeckerlein. Über die Zerstäubung galvanisch glühender Metalle . . . . .	535
4. E. Ladenburg. Untersuchungen über die entladende Wirkung des ultravioletten Lichtes auf negativ geladene Metallplatten im Vakuum . . . . .	558
5. J. Stschesglayew. Über die Absorption des Lichtes in den mit Metaldampf gefärbten Flammen . . . . .	579
6. Carl Forch. Über gewisse Regelmäßigkeiten der Molekularvolumina von anorganischen Salzen in wässriger Lösung . . . . .	591
7. Adolf Heydweiller. Zur Theorie der magneto-elastischen Wechselbeziehungen . . . . .	602
8. Adolf Heydweiller. Ist die Magnetisierungszahl der Eisen- und Mangansalzlösungen abhängig von der Feldstärke? . . . . .	608
9. G. C. Schmidt. Der dunkle Kathodenraum . . . . .	622
10. E. Ray Wolcott. Über die Anwendung von Gleichstrompolarisation bei Kohlrauschs Methode zur Messung elektrolytischer Leitungswiderstände . . . . .	653



	Seite
11. Robert Defregger. Kathodengefälle in Helium . . . . .	662
12. Alfred Kalähne. Erwiderung auf die Bemerkung der Physi- kalisch-Technischen Reichsanstalt . . . . .	666
13. U. Behn. Berichtigung zu meiner Arbeit „Über die Subli- mationswärme der Kohlensäure und die Verdampfungswärme der Luft“ . . . . .	669
14. B. Walter. Bemerkungen zu der Abhandlung von J. Wallot: „Die Abhängigkeit der Brechungsexponenten der Salzlösungen von der Konzentration“ . . . . .	671

*Ausgegeben am 22.\* September 1903.*

### Zwölftes Heft.

1. J. Stark. Zur Kenntnis des Lichtbogens . . . . .	673
2. P. Lenard. Über die Absorption von Kathodenstrahlen ver- schiedener Geschwindigkeit . . . . .	714
3. F. von Lerch. Über die induzierte Thoraktivität . . . . .	745
4. E. Müller. Über die Lichtabsorption wässriger Lösungen von Kupfer- und Nickelsalzen . . . . .	767
5. M. Toepler. Über Beobachtungen von kurzdauernden Luft- druckschwankungen (Windwogen). (Hierzu Taf. I.) . . . . .	787
6. Franz Wittmann. Untersuchung und objektive Darstellung der Ladungs- und Entladungsströme von Kondensatoren . . . . .	805
7. Eduard Riecke. Über nahezu gesättigten Strom in einem von zwei konzentrischen Kugeln begrenzten Luftraume . . . . .	814
8. Eduard Riecke. Über näherungsweise gesättigte Ströme zwischen planparallelen Platten . . . . .	820
9. Günther Schulze. Über den Spannungsverlust im elektrischen Lichtbogen . . . . .	828
10. Emil Kohl. Über die Gültigkeit des Massensatzes von Gauss für bewegte elektrische Massen . . . . .	842
11. Edgar Meyer. Über die Absorption der ultravioletten Strah- lung in Ozon . . . . .	849
12. W. Seitz. Abhängigkeit der Absorption, welche Kathoden- strahlen in dünnen Aluminiumblättchen erleiden, vom Entladungs- potential . . . . .	860
13. J. Zenneck. Über die magnetische Permeabilität von Eisen- pulver bei schnellen Schwingungen . . . . .	869
14. A. Korn und K. Stoeckl. Studien zur Theorie der Licht- erscheinungen . . . . .	875
15. Max Meyer. Über Kombinations- und Asymmetrietöne . . . . .	889
16. Paul Schulze. Die Skalenwertbestimmung am Unifilarmagneto- meter . . . . .	893
17. L. Bleekrode. Berichtigung . . . . .	896

*Ausgegeben am 27. Oktober 1903.*



## Dreizehntes Heft.

	Seite
1. Guy Barlow. Über die galvanomagnetischen und thermomagnetischen Effekte in Antimon und Wismut . . . . .	897
2. L. Hermann. Über elektrische Wellen in Systemen von hoher Kapazität und Selbstinduktion . . . . .	932
3. Erich Lischner. Über die elliptische Polarisation des Lichtes bei der Reflexion an Lösungen von Körpern mit Oberflächenfarben. (Hierzu Taf. II.) . . . . .	964
4. F. F. Martens und F. Grünbaum. Über eine Neukonstruktion des Königschen Spektralphotometers . . . . .	984
5. F. Grünbaum. Absorptionsmessungen an wässrigen Farbstofflösungen . . . . .	1004
6. R. Lindemann. Über die Wärmewirkungen oszillatorischer Kondensatorentladungen im primären und sekundären Kreise	1012
7. W. Einthoven. Ein neues Galvanometer. (Hierzu Taf. III)	1059
8. C. Christiansen. Kapillarelektische Bewegungen . . . . .	1072
9. Fred. J. Bates. Über Versuchsfehler beim Messen der Rotationspolarisation absorbierender Substanzen . . . . .	1080
10. Fred. J. Bates. Die magnetische Rotationsdispersion von Lösungen von Substanzen mit anomaler Dispersion . . . . .	1091
11. G. Berndt. Photometrische Messungen an Gasspektren . . . . .	1101
12. G. Berndt. Das ultraviolette Funkenspektrum des Selen . . . . .	1115
13. Karl Kaehler. Über die durch Wasserfälle erzeugte Leitfähigkeit der Luft . . . . .	1119
14. F. Dolezalek. Über Präzisionsnormale der Selbstinduktion	1142
15. J. Disch. Über Beziehungen zwischen natürlicher und elektromagnetischer Rotationsdispersion . . . . .	1153
16. K. Düsing. Rotation im Magnetfeld . . . . .	1158
17. D. Konowalow. Über die Trübung kritischer Lösungen . . . . .	1160
18. G. Quincke. Über kolloidale Lösungen . . . . .	1165
19. V. Gabritschewski und A. Batschinski. Zur sprechenden Flamme; Antwort an Hrn. Ruhmer . . . . .	1169
20. W. van Dam. Über eine einfache Form des Wehneltunterbrechers . . . . .	1172
✓ 21. L. Zehnder. Bemerkung zu meiner Mitteilung über eine einfache Form des Wehneltunterbrechers . . . . .	1174
22. Hans Januschke. Über den Energieumsatz in der Mechanik; Berichtigung . . . . .	1175

*Ausgegeben am 24. November 1903.*

## Nachweis zu den Figurentafeln.

- Tafel I. Toepler, Phot. 2, 3, 7a, 7b, 9 und 10.  
 „ II. Lischner, Figg. 1—11.  
 „ III. Einthoven, Figg. 1—5.

## ANNALEN DER PHYSIK.

## VIERTE FOLGE. BAND 12.

1. *Der Kathodenfall des Glimmstromes  
als Funktion von Temperatur, Stromstärke  
und Gasdruck; von J. Stark.*

I. Einleitung und Versuchsanordnung.

§ 1. *Rolle des Kathodenfalles.* — Beim Studium der Entladung der Elektrizität durch verdünnte Gase erkannte man schon früh die Bedeutung der Vorgänge an der Kathode. Hittorf und Goldstein sprachen von einem Übergangswiderstand an der Kathode und sahen in diesem den Grund für die Schwierigkeit der Entladung bei niedrigen Gasdrucken. Man tut vielleicht besser, in diesem Falle das Wort Widerstand zu vermeiden und sich an den Spannungsabfall zu halten. Die Spannungsdifferenz zwischen der Kathode und einem Punkt in der negativen Glimmschicht, der Kathodenfall des Glimmstromes, ist in der Tat ein wichtiger Bestandteil der Elektroden-spannung dieser Stromform. Diese ist in vielen Fällen nahezu gleich jenem.

Der Kathodenfall des Glimmstromes erzeugt sowohl die Kathoden- wie die Kanalstrahlen des Glimmstromes; diese gewinnen ihre kinetische Energie, indem sie jene Spannungsdifferenz frei durchlaufen. Insofern die Röntgenstrahlen von den Kathodenstrahlen erzeugt werden, gewinnt der Kathodenfall für die Konstruktion und den Betrieb von Röntgenröhren Bedeutung. Entsprechend dem in ihnen herrschenden niedrigen Gasdruck wird die auf sie gelegte Elektroden-spannung ausschließlich dazu verwendet, um den Kathodenfall herzustellen.

Erhitzt man die Kathode nicht sekundär bis zur Weißglut, so kann man zwischen zwei feststehenden Elektroden nur über den Glimmstrom hinweg zum Lichtbogen gelangen. Die Existenzbedingung des letzteren, intensive Weißglut und Verdampfung negativer Elektronen an der Kathode, stellt der

Glimmstrom dadurch her, daß er eine Stelle der Kathodenoberfläche in jenen Zustand versetzt durch die elektrische Arbeit in seinem Kathodenfall, nämlich durch das Produkt aus Kathodenfall und der Stromstärke der auf die betreffende Stelle zuschießenden positiven Ionen. Die Zündung des Quecksilberlichtbogens im Vakuum beruht ebenso auf dem Kathodenfall des Glimmstromes, der zwischen Lichtbogenkathode und einer äußeren oder inneren Anode vorübergehend in genügender Stärke hergestellt wird.

§ 2. *Frühere Untersuchungen.* — Hittorf<sup>1)</sup> und Warburg<sup>2)</sup> haben festgestellt, daß zwei Phasen des Kathodenfalles zu unterscheiden sind; solange bei steigender Stromstärke die Grundfläche des negativen Glimmlichtes noch weiter über die Kathodenoberfläche sich ausdehnen kann, ist der Kathodenfall konstant, unabhängig von Stromstärke und Gasdruck; in dieser Phase heißt der Kathodenfall normal. Wenn die Grundfläche nicht mehr sich ausdehnen kann, so wächst der Kathodenfall mit steigender Stromstärke und abnehmendem Gasdruck; er heißt dann abnormal.

G. C. Schmidt<sup>3)</sup> stellte für den abnormalen Kathodenfall die lineare Formel auf  $K = a + bi$ , worin  $a$  und  $b$  Konstanten sind. Skinner<sup>4)</sup> glaubte durch seine Messungen an Scheibenkathoden die Schmidtsche Formel bestätigen zu können. Eigene über ein großes Druck- und Stromgebiet ausgedehnte Messungen<sup>5)</sup> ergaben mir jedoch, daß zwischen Kathodenfall und Stromstärke keine lineare Beziehung besteht. In einer anderen Mitteilung<sup>6)</sup> wies ich nach, daß auch bereits Hittorfs Messungen gekrümmte  $K, i$ -Kurven ergaben und auch die  $K, i$ -Punkte Skinners bei ungezwungener Interpolation nicht linear sich aneinander reihen; ich meinte, daß Schmidt seine Formel wohl selbst nur als Interpolationsformel aufgefaßt wissen wolle für die wenigen von ihm veröffentlichten Messungen; diese ergeben allerdings eine geradlinige Beziehung zwischen  $K$  und  $i$ ; sie sind aber

1) W. Hittorf, Wied. Ann. 20. p. 743. 1883.

2) E. Warburg, Wied. Ann. 31. p. 543. 1887.

3) G. C. Schmidt, Ann. d. Phys. 1. p. 625. 1900.

4) Cl. Skinner, Phil. Mag. 2. p. 616. 1901.

5) J. Stark, Physik. Zeitschr. 3. p. 88. 1901.

6) J. Stark, Physik. Zeitschr. 3. p. 274. 1902.



nur bei einem einzigen vielleicht gerade ungünstigen Druck aufgenommen. Neuerdings hat N. Hehl<sup>1)</sup> in seiner Erlanger Dissertation, die nicht eigentlich den Kathodenfall des Glimmstromes zum Gegenstand hatte, eine Messungsreihe mitgeteilt, welche ebenfalls eine geradlinige Beziehung zwischen  $K$  und  $i$  ergibt. Diese ist wiederum nur bei einem einzigen Druck aufgenommen und zwar bei einem ziemlich hohen, bei welchem die Selbsterwärmung durch den Strom eine geradlinige Beziehung (vgl. unten) vortäuschen kann. Nach meiner Ansicht sind so wenige Messungen nicht ausreichend, um die mathematische Beziehung zwischen zwei physikalischen Größen zu ermitteln, in welcher der als Parameter auftretende Druck ein so großes Variationsgebiet besitzt, in welche außerdem noch die Temperatur als Variable eintritt. Zudem teilt G. C. Schmidt an einer anderen Stelle seiner Abhandlung<sup>2)</sup> selbst eine Messungsreihe über Stromstärke und Kathodenfall mit, welche in der Tat nicht eine Gerade, sondern eine parabolische  $K, i$ -Kurve liefert. Auch hat unterdessen H. A. Wilson<sup>3)</sup> gezeigt, daß die lineare Formel wenigstens insofern keine allgemeine Gültigkeit besitzt, als sie die normale Phase des Kathodenfalles nicht darstellt. Nichtsdestoweniger habe ich die Beziehung zwischen Kathodenfall und Stromstärke einer erneuten Untersuchung unter Beobachtung jeder Vorsichtsmaßregel unterzogen. Hierüber soll weiter unten berichtet werden.

Über die Beziehung zwischen Kathodenfall und Temperatur liegen ebenfalls bereits Untersuchungen vor. Nach G. C. Schmidt<sup>4)</sup> ist der normale Kathodenfall unabhängig von der Temperatur; die Grundfläche des negativen Glimmlichtes dehnt sich aus mit steigender Temperatur. Beide Resultate konnte ich ebenfalls bestätigen. G. C. Schmidt teilt dann weiter vier Messungsreihen von  $K, i$ -Werten mit, in denen die Temperatur in der Umgebung der Stromröhre 12, 93, 223 bez. 310° war; nach ihnen nimmt der Kathodenfall mit steigender Temperatur erst etwas ab, dann wieder langsam zu. Schmidt teilt zwar nicht ausdrücklich mit, ob sich die Zahlen auf kon-

1) N. Hehl, Dissertation, Erlangen 1902.

2) G. C. Schmidt, l. c. p. 634.

3) H. A. Wilson, Phil. Mag. 4. p. 609. 1902.

4) G. C. Schmidt, l. c. p. 638.

stanten Druck oder konstante Dichte des Gases beziehen. Da er indes nur einen einzigen Druck angibt, so beziehen sie sich wohl auf konstanten Druck. Nun aber ist zu bezweifeln, ob während der Zeit beanspruchenden vier Messungsreihen, in denen insgesamt 26 Ablesungen gemacht wurden, und während des noch längere Zeit beanspruchenden Erhitzens von 12 auf  $310^{\circ}$  der Gasdruck wirklich konstant geblieben ist. Jedenfalls fand ich nach einer anderen Methode eine andere Beziehung zwischen Kathodenfall und Temperatur.

Während G. C. Schmidt bei den besprochenen Messungen das ganze Gefäß des Glimmstromes durch einen Ofen von außen erhitze, hat neuerdings Cunningham <sup>1)</sup> die Kathode sekundär allein erhitzt. Diese war ein gitterförmig gebogener dünner Platindraht, gehalten von viermal so starken Zuleitungsdrähten. Indes dürften Cunninghams Messungen kaum eine sichere Grundlage für eine Aussage über die Abhängigkeit des Kathodenfalles von der Temperatur abgeben, da seine Versuchsbedingungen nicht rein waren. Einmal waren die Zuleitungsdrähte nicht in Glas gehüllt; bei kurzem Kathodendunkelraum konnten sie von Glimmlicht bedeckt werden, bei langem nicht. Sodann war die Rückseite des Drahtgitters, das mit seiner Ebene senkrecht zur Rohrachse stand, von der Glaswand nur so weit entfernt, daß sie sich wohl bei kurzem, aber nicht bei langem Dunkelraum mit Glimmlicht bedecken konnte. Endlich war die Sonde, die zur Messung des Kathodenfalles diente, der Kathode so nahe, daß sie bei niedrigen Drucken im Dunkelraum sich befinden mußte, so daß nur ein Teil des Kathodenfalles gemessen wurde.

Schon vor Cunningham wurden von mir Messungen <sup>2)</sup> veröffentlicht, in denen die Kathode sekundär erhitzt wurde; aus ihnen war zu folgern, daß der Kathodenfall mit steigender Temperatur bis zur Hellrotglut zunahm, bei Weißglut aber abnahm.

§. 3. *Versuchsanordnung.* — Da es sich bei der vorliegenden Untersuchung lediglich um den Kathodenfall handelte, so konnte die positive Lichtsäule gemißt werden. Es wurde darum in allen Versuchen die Anode der Kathode so nahe

1) J. A. Cunningham, Phil. Mag. 4. p. 684. 1903.

2) J. Stark, Ann. d. Phys. 3. p. 235. 1900; 8. p. 840. 1902.



gebracht, daß bei den zur Untersuchung gelangenden Drucken die positive Lichtsäule ganz fehlte; die Anode war lediglich mit der Anodenschicht bedeckt und auch diese fehlte bei niedrigen Drucken, bei welchen das Ende der negativen Glimmschicht die Anode umhüllte. Dadurch werden zwei Vorteile erreicht. Einmal nimmt an der Bestimmung der Stromstärke nur der Kathodenfall teil, nicht auch die auf die positive Lichtsäule entfallende Spannungsdifferenz. Zweitens kann eben deswegen die Elektrodenspannung  $V$  hinreichend genau gleich dem Kathodenfall gesetzt werden; bezeichnet  $i$  die Stromstärke,  $E$  die äußere elektromotorische Kraft,  $r$  den außerhalb des Gases liegenden Ohmschen Widerstand, so gilt  $i \cdot r = E - V = E - K$ . Kann darum  $K$  nicht direkt bestimmt werden, sondern nur  $i$ , so läßt es sich graphisch (J. Stark, Elektrizität in Gasen, Leipzig 1902. p. 180) leicht indirekt ermitteln.

Als Stromgefäße dienten große Glaskugeln von 1,5 Liter Inhalt; die drahtförmige Kathode war radial gestellt und drang bis zum Mittelpunkt vor; ihr gegenüber stand im gleichen Durchmesser kurz aus der Wand hervorragend die Anode; senkrecht zur Kathode tauchte in das Gefäß nach dem Mittelpunkt zielend eine Metallsonde, die bis auf 2 mm von einem Glasröhrchen umhüllt war.

Als Stromquelle diente eine Akkumulatorenbatterie. Der Stromkreis war folgender: positiver Pol, Jodkadmiumwiderstand, Unterbrecher, Anode, Kathode, Telephon, Mikroampèremeter, Erde, negativer Pol.

Die Sonde war mit dem Knopf eines Braunschen Elektrometers verbunden und außerdem über einen Unterbrecher hinweg mit einem multizellularen Elektrometer; dieses diente zur Messung des Kathodenfalles bis 400 Volt, jenes zur Messung höherer Spannungen. Die Gehäuse der Elektrometer lagen an der Kathode.

Zur Messung der Stromstärke diente ein Spuleninstrument mit Spiralfedern und Zeigerablesung. Die Skala besitzt 200 Teilstriche, 1 Teilstrich bedeutet 0,000005 Amp.; durch Parallelschaltung eines Rheostaten lassen sich größere Stromstärken messen. Die Dämpfung des Instrumentes ist in vorzüglicher Weise so bemessen, daß sich der Zeiger ohne Schwingen und Kriechen momentan einstellt.

§ 4. *Gasfüllung.* — Es war meine Absicht, die Messungen in möglichst reinem Stickstoff auszuführen. Zu diesem Zweck wurde Stickstoff durch Erhitzen aus Ammoniumnitrit entwickelt, durch eine Lösung von Eisensulfat, durch zwei Flaschen mit alkalischer Pyrogallussäure, durch eine Flasche konzentrierter Schwefelsäure, über Phosphorpentoxyd in die luftleere Pumpe geleitet; hier wurde der Stickstoff nach der Warburgschen Methode von den letzten Spuren von Sauerstoff befreit, bis an Platin der Kathodenfall auf 232 Volt herabsank.

Nun brachte es die Aufgabe der Untersuchung mit sich, daß lange und viele zeitraubende Messungsreihen hergestellt werden mußten. Diese mußten sich, um vergleichbar zu sein, alle auf die gleiche Gasfüllung beziehen. Nun aber stellte sich heraus, daß der auf die oben angegebene Art gereinigte Stickstoff nach einer längeren Messungsreihe wieder unrein geworden war, so daß diese verworfen werden mußte. Es mochte Sauerstoff oder Wasser von den Wänden, dem zur Abhaltung von Quecksilberdampf dienenden Kupfer oder Schwefel von selbst oder durch einen von der Strömung veranlaßten chemischen Prozeß frei geworden sein. Ich verlor viele Mühe und Zeit, meine ursprüngliche Absicht durchzuführen. Es gelang mir aber nicht, für genügend lange Zeit die Reinheit des Stickstoffs aufrecht zu halten.

Aus diesem Grunde entschloß ich mich von vornherein ein Gemisch von Stickstoff und Sauerstoff zu verwenden, so daß während der langen Messungsreihen keine wesentliche Änderung der Art der Gasfüllung eintreten konnte. Die Gesetze, die für das Gasgemisch gelten, behalten ihre Richtigkeit im allgemeinen auch für die einzelnen Komponenten; nur die Konstanten werden andere. Die vorliegende Untersuchung hatte zudem nicht die Aufgabe, die Konstanten eines Gesetzes genau zu messen, sondern eine Erscheinung erst experimentell zu analysieren, die in ihr auftretenden Faktoren aufzusuchen und gesetzmäßige Zusammenhänge zwischen ihnen zu ermitteln.

Es wurde also Luft als Gasfüllung verwendet, in der Nähe des Stromgefäßes wurde sie durch eine mit Phosphorpentoxyd gefüllte Röhre trocken gehalten; außerdem diente ein zweites Phosphorpentoxydgefäß in der Nähe der Pumpe zur Trocknung der Luft.

Quecksilberdampf wurde von dem Stromgefäß durch eine mit Schwefel gefüllte Röhre fern gehalten; sie lag zwischen Gefäß und Pumpe; vor und hinter ihr lag je eine mit oxydfreien Kupferspänen gefüllte Röhre; außerdem sollte noch in der Nähe der Pumpe ein langer Pfropfen von dünnem, blankem Silberblech dem Quecksilberdampf den Weg versperren. Fett-dichtungen wurden durchweg vermieden.

Der Gasdruck wurde nach der bekannten Kompressionsmethode bestimmt (El. i. G. p. 18). Sämtliche Messungen wurden bei konstantem Gasdruck vorgenommen (vgl. § 5 Einfluß der Selbstevakuation). In einer Reihe von Messungen wurde die Kathode und damit das angrenzende Gas erwärmt. Um die dadurch bewirkte Drucksteigerung auf einen vernachlässigbaren Wert herabzudrücken, wurde das Stromgefäß in Kommunikation mit den angrenzenden weiten Pump- und Zusatzgefäßen gehalten; von einer störenden Gasentwicklung aus der glühenden Kathode ist in § 13 die Rede.

§ 5. *Fehlerquellen.* — Bei der Untersuchung des Kathodenfalls des Glimmstromes können eine Reihe von Fehlerquellen die Resultate unrein machen. Sie wurden aufgesucht und bei den hier mitgeteilten Messungen vermieden; es sind folgende.

Bei großem Kathodenfall kommt es leicht vor, daß ein Teil des Stromes durch das die Kathode umhüllende von dieser erwärmte Glas in das Vakuum übertritt, so daß die Oberfläche der Kathode vergrößert erscheint. Berührt ferner die Kathode das Glas da, wo es aus diesem hervortritt, und unterliegt die Kathode der Zerstäubung, so belegt sich das Glas mit Metall, und da die Belegung Kontakt mit der Kathode hat, so kann das negative Glimm-



Fig. 1.

licht auch aus diesem Grunde über das Glas sich ausdehnen. Die störende sekundäre Vergrößerung der Kathodenoberfläche läßt sich auf folgende Weise vermeiden. Man befestigt die drahtförmige Kathode, wie Fig. 1 zeigt, vorne in der Achse eines dickeren Drahtes von Kupfer oder Messing. Über diesen letzteren und den Anfang des ersteren schiebt man ein dickwandiges (1,5—2 mm) Glasrohr, so daß

zwischen diesem und der aus ihr hervorragenden Kathode keine Berührung vorhanden bleibt. Durch entsprechende Wahl der Dicke des Haltedrahtes macht man den Abstand zwischen Kathode und umhüllendem Glasrohr etwa gleich 0,5 mm. Solange dann der Kathodendunkelraum länger als 0,5 mm ist, kann auf der im Innern des Glasrohres liegenden Fläche das negative Glimmlicht sich nicht ausbilden. Die Kathode kann keinen Kontakt mit dem Zerstäubungsbeleg erhalten; das umhüllende Glasrohr wird nur wenig warm.

Die Stromdichte an der Kathode fällt von ihrem größten Wert zu Null am Rande der Kathode nicht unmittelbar ab, sondern auf einer längeren Strecke. Diese ist um so größer, die Grundfläche zieht sich also um so weiter vor dem begrenzenden Glas zurück, je tiefer der Gasdruck sinkt. Damit nun in die Verkettung von Kathodenfall, Stromstärke und Gasdruck jene Erscheinung nicht störend hereinspielt, hat man sie zurückzudrängen. Die durch sie herbeigeführte Verringerung der Grundfläche des Glimmlichtes ist um so größer, je größer das Verhältnis von Grenzlinie zwischen Glas und Metall und freier Oberfläche der Kathode ist. Am größten ist sie bei einer Scheibenkathode, die normal zur Rohrachse gestellt am Rande von der Glaswand begrenzt ist (vgl. nächste Abhandlung, Fig. 2). Am kleinsten ist sie bei einer langen Drahtkathode, die in einem Glasrohr steckt (Fig. 1). Die hier mitgeteilten Messungen beziehen sich alle auf Drahtkathoden.

Tritt ein fester Körper so nahe an die Kathode heran, daß er bei wachsender Länge des Kathodendunkelraumes in diesen hineinragt, so verhindert er an seinem Orte das Entstehen der negativen Glimmschicht und damit auch das Entstehen des parallelen Stückes der ersten Kathodenschicht (El. i. G., p. 69). Es wird also die Grundfläche des Glimmlichtes durch eine sekundäre Wirkung kleiner. Bei den hier mitgeteilten Messungen waren Glaswand und Sonde der Kathode so ferne, daß sie nie vom Dunkelraum erreicht wurden.

Eine wichtige Bedingung für reine Messungen des Kathodenfalles ist Homogenität der Kathodenoberfläche. An verschiedenen Metallen ist nämlich nicht bloß der normale Kathodenfall, sondern auch die normale Stromdichte und darum auch der abnormale Kathodenfall verschieden groß. Besteht



die Kathode aus zwei Metallen, so bildet sich das negative Glimmlicht erst an dem Metall mit dem kleineren normalen Kathodenfall aus; der Kathodenfall ist erst normal, wird mit steigender Stromstärke abnormal, wenn das eine Metall ganz mit Glimmlicht bedeckt ist. Ist er gleich dem normalen Wert an dem zweiten Metall geworden, so bleibt er wieder normal, bis auch dessen Oberfläche ganz mit Glimmlicht bedeckt ist. Bevor darum eine Kathode in dem Stromgefäß befestigt wird, muß sie nach Tunlichkeit mechanisch oder chemisch oberflächlich gereinigt werden. Ist der Kathodendunkelraum an verschiedenen Stellen ihrer Oberfläche verschieden lang, so ist das ein Zeichen dafür, daß diese nicht rein ist. Die Kathode darf dann nicht zu Messungen verwendet werden. Besonders wenig geeignet für exakte Messungen ist käufliches Aluminium als Kathodenmetall; es birgt vor allem Alkalien in sich, welche den Kathodenfall und die Stromdichte besonders stark verändern. Die unregelmäßig aus ihm hervorbrechenden gelben Fünkchen entsprechen sehr hoher Stromdichte an kleinen unreinen Stellen. Beschickt man Aluminium erst mit sehr hoher Stromdichte und mißt man unmittelbar darauf den normalen Kathodenfall bei normaler Stromdichte, so findet man, offenbar infolge einer chemischen Änderung, für diesen einen kleineren Wert als bei anderer Vorgeschichte. Für die hier mitgeteilten Messungen diente ausschließlich Platin als Kathodenmetall.

Eine weitere Bedingung für reine Messungen ist Stetigkeit des Stromes. Kleine Stromschwankungen sind zulässig; ist dagegen das Telephon laut oder gibt es gar einen Ton von bestimmter Höhe von sich, so zeigt das Elektrometer einen unbrauchbaren Mittelwert des Kathodenfalles an.

Endlich muß während einer Messungsreihe, deren Werte äquikonstant im Gasdruck sein sollen, dieser auch wirklich konstant bleiben. Nun erniedrigt der Glimmstrom durch eine noch nicht klar gestellte Wirkung (El. i. G., p. 499) von selbst den Gasdruck, indem er proportional seiner Stärke Gas bindet. Diese Selbstevakuierung kann sich um so bemerkbarer machen, je kleiner die Gasmenge in der Stromröhre und den mit dieser kommunizierenden Gefäßen ist. Ist die Stromröhre klein, so schaltet man an sie noch ein größeres Gefäß an, so daß jene Gasmenge groß wird. Bei den hier mitgeteilten Messungen

war dem verdünnten Gas ein großer Raum gegeben; bei den im Abschnitt III mitgeteilten Messungen war an das 1 Liter haltende Stromgefäß ein zweites gleich großes Gefäß angeschaltet, so daß das verdünnte Gas in diesen und den Gefäßen der Pumpe einen Spielraum von etwa 4 Liter hatte. Selbst während langer Messungsreihen konnte darum die Selbstevakuierung den Gasdruck nicht verändern. Zudem wurde immer durch zyklische Variation der Messungen die Konstanz des Druckes konstatiert.

§ 6. *Messung der Temperatur der Kathode.* — In einem Teil der Messungen sollte die Temperatur der Kathode und

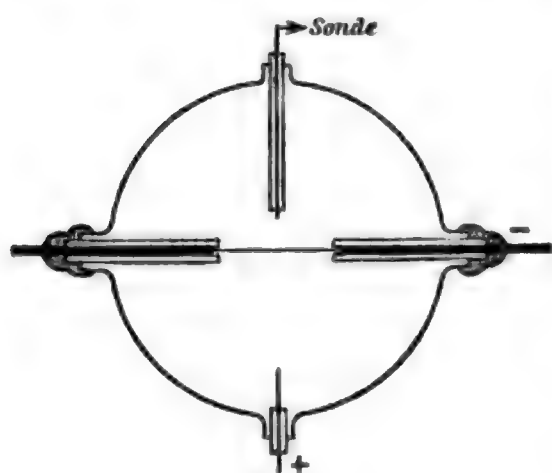


Fig. 2.

der anliegenden Gasschicht bestimmt oder sekundär geändert werden. Dies geschah in folgender Weise. Die Fig. 2 zeigt als Kathode einen Platindraht, der an seinen Enden in dickem Kupferdraht hartgelötet war. Über die kupfernen Haltedrähte waren dicke Glasröhrchen geschoben, diese waren in Ansatzröhrchen fest gekittet. Der Platindraht diente als Kathode

des Glimmstromes, von dem einen Ende lief dieser zu Telephon, Mikroampèremeter, Erde, negativen Pol. Außerdem war der Platindraht noch in folgenden Stromkreis eingeschaltet: Platindraht, Akkumulatorenbatterie von 10 Volt, Starkstromwiderstand, Präzisionsampèremeter, Unterbrecher, Platindraht. An die Enden des letzteren war außerdem parallel zu ihm ein Präzisionsmillivoltmeter gelegt. So konnte sowohl die Stärke  $J$  des aus der Akkumulatorenbatterie unabhängig vom Glimmstrom durch den Draht gesandten Stromes gemessen werden, wie die auf dem Draht liegende Spannungsdifferenz  $V = J \cdot r$ . Aus der Widerstandszunahme konnte die Temperaturzunahme (Zimmertemperatur  $20^\circ$ ) nach der Formel berechnet werden  $t = (r - r_{20}) / \alpha \cdot r_{20}$ ; der Temperaturkoeffizient wurde für das verwendete Platin zu 0,00287 bestimmt.

$r_{20}$  wurde ermittelt, indem bei offenem Glimmstrom der Platindraht sekundär nur mit einem schwachen Strom  $J$  be-

schickt wurde, welcher ihn nicht merklich erwärmte. Wurde dann der Glimmstrom geschlossen, während  $J$  unverändert erhalten wurde, so wurde  $V$  und damit  $r$  infolge der Erwärmung durch den Glimmstrom größer. Aus der Zunahme konnte die von dem Glimmstrom allein hervorgebrachte Temperaturerhöhung bestimmt werden.

Durch Erhöhung der Stromstärke  $J$  konnte außerdem die Temperatur des Drahtes beliebig erhöht und gleichzeitig gemessen werden, sowohl bei offenem wie bei geschlossenem Glimmstrom.

Die Schwächen der angewendeten Methode liegen auf der Hand. Erstens gibt sie nur die Temperatur des Gases in unmittelbarer Nähe des Drahtes an. Zweitens liefert sie lediglich eine mittlere Temperatur des Drahtes; dieser ist in seiner Mitte am wärmsten, von da nimmt nach seinen Enden die Temperatur auf die Zimmertemperatur der Kupferdrähte ab. Diesen Schwächen stehen indes die Vorteile gegenüber, daß die Temperatur der Kathode und des anliegenden Gases auf hohe Werte gebracht und schnell hergestellt und bestimmt werden kann.

## II. Einfluß der Temperatur auf den kathodischen Teil des Glimmstromes.

§ 7. *Theoretisches.* — An der Kathode des Glimmstromes gilt das Ohmsche Gesetz nicht<sup>1)</sup>; die kinetische Energie der Ionen kommt nicht als Wärme des Leiters da zum Vorschein, wo sie vom Spannungsabfall erzeugt wurde. Sowohl die positiven wie die negativen Ionen (Kanal- und Kathodenstrahlen) durchlaufen zum größten Teil den Kathodendunkelraum frei, indem sie aus dem Kathodenfall eine große kinetische Energie gewinnen. Die negativen tragen diese in die negative Glimmschicht und ionisieren und erwärmen hier das Gas; die positiven Ionen tragen sie in die erste Kathodenschicht und erwärmen und ionisieren ihrerseits hier das Gas; zum Teil treffen sie auch die Kathodenoberfläche, ohne zuvor auf ein neutrales Gasmolekül gestoßen zu sein.

---

1) J. Stark, Ann. d. Phys. 7. p. 932. 1902.

Die erste Kathodenschicht und die Kathodenoberfläche werden also durch die positiven Ionen oder Kanalstrahlen erwärmt, welche ausgehend von der negativen Glimmschicht den Kathodenfall  $K$  durchlaufen haben. Ist  $J_p$  ihre Stromstärke, so ist die Erwärmung der Kathode um so größer, je größer die elektrische Arbeit an den positiven Ionen  $K \cdot J_p$  ist. Die negative Glimmschicht nimmt analog eine um so höhere Temperatur an, je größer die an den negativen Ionen (Kathodenstrahlen) geleistete Arbeit  $K_n \cdot J_n$  ist. Durch die feste Begrenzung durch die Kathodenoberfläche werden die positiven Ionen gezwungen, an ihr Halt zu machen und ihre kinetische Energie in dem beschränkten Raume der ersten Kathodenschicht abzugeben. Die negativen Ionen teilen dagegen ihre Energie einem um so größeren Volumen Gases mit, je weiter sie in dieses vorzudringen vermögen, je niedriger also der Gasdruck ist; desto niedriger wird dann auch die Temperatur der negativen Glimmschicht. So versteht man, daß in der ersten Kathodenschicht der Glimmstrom die höchste Temperatur hervorbringt, daß sie von da weg in die negative Glimmschicht hinein nach dem dunklen Zwischenraum zu abnehmen muß, wie es in der Tat R.W.Wood<sup>1)</sup> experimentell gefunden hat.

In einer bereits erwähnten Mitteilung habe ich unter Annahme konstanter Temperatur für den Kathodenfall  $K$  des Glimmstromes folgende Formel angegeben:

$$K = K_n + \frac{k'}{p \cdot f^{1/2}} (i - \alpha' \cdot p \cdot f)^{1/2}$$

( $K_n$  normaler Kathodenfall,  $p$  Gasdruck,  $i$  Stromstärke,  $f$  Grundfläche des negativen Glimmlichtes,  $k'$  und  $\alpha'$  Konstanten). Diese Formel sei vorderhand wenigstens als annähernd richtig und als Ausgangspunkt für weitere Untersuchungen genommen.

$K_n$  ist, wie bereits G. C. Schmidt fand und wie ich neuerdings konstatierte, unabhängig von der Temperatur. Ist die Temperatur von Einfluß auf den abnormalen Kathodenfall, so kann sie bei konstantem Gasdruck an zwei Punkten seines Gesetzes auftreten; sie kann in der Konstante  $k'$  und in der Konstante  $\alpha'$  enthalten sein.

1) R. W. Wood, Wied. Ann. 59. p. 243. 1896.



## § 8. Temperatur der Kathode infolge Selbsterwärmung. —

Die folgenden Messungen zeigen, wie der Glimmstrom von selbst ohne äußeres Zutun seine Kathode erwärmt. Sie besitzen natürlich keine allgemeine Gültigkeit für jede Kathode, da deren Temperatur von ihren Dimensionen, ihrem thermischen Leitvermögen und der Temperatur der Umgebung mitbestimmt wird.

Bei den Messungen der nachstehenden Tabelle ( $p$  Druck in Millimetern,  $i$  Stromstärke in Mikroampère,  $t$  Temperatur,

$p$	$i$	$t$
1,18	410	24
1,85	883	54
2,96	1200	80
4,90	2500	130
10,05	5746	232
13,62	8023	280

bezogen auf 20°) war zwar die ganze Kathode mit Glimmlicht bedeckt, der Kathodenfall war aber normal, die Stromdichte also ebenfalls. In der

Fig. 3 ist links als Ordinate die Stromstärke — ihr proportional ist die Stromdichte — angetragen, rechts die Temperaturzunahme der Kathode über die Temperatur der Umgebung (20°).

Wie man sieht, nimmt mit wachsendem Gasdruck sowohl die normale Stromdichte wie die Temperatur in der Grundfläche des negativen Glimmlichtes zu, diese jedoch langsamer als jene. Daß in den Mes-

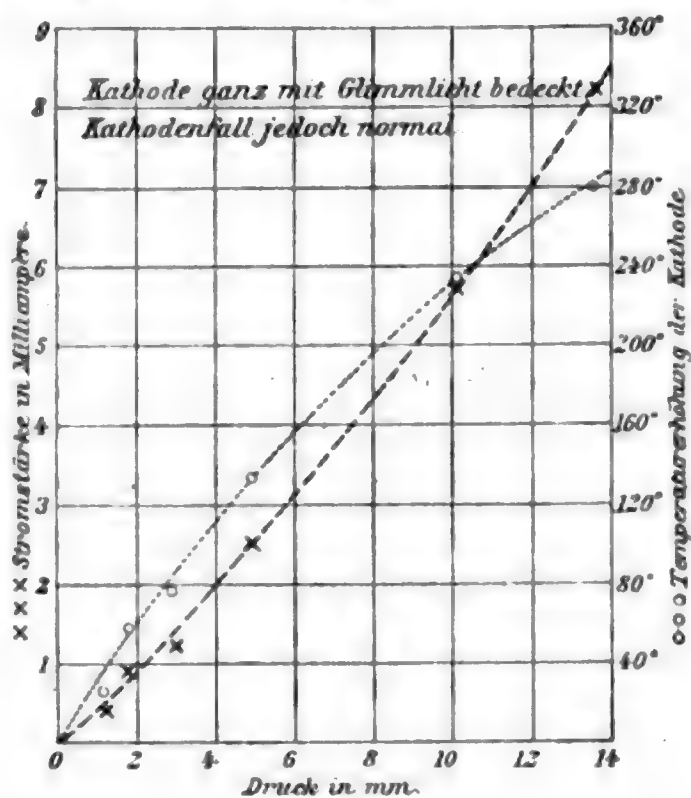


Fig. 3.

sungen die normale Stromdichte nicht genau proportional dem Gasdruck ist, rührt her von der oben besprochenen Ver-

kleinerung der Grundfläche des Glimmlichtes bei niedrigem Gasdruck.

Bei den Messungen, die in der Fig. 4 graphisch mitgeteilt sind, war der Kathodenfall abnormal. Angetragen ist als Abszisse die Stromstärke, als Ordinate der Kathodenfall; zu jedem beobachteten Punkt der  $K, i$ -Kurven ist die zugehörige Temperatur der Kathode beigeschrieben, die sie allein unter der Wirkung des Glimmstromes ohne sekundäre Erwärmung annahm. Die rechteckige Fläche  $K, i$  stellt die im Kathodendunkelraum geleistete elektrische Arbeit dar. Wie man sieht, erwärmt der Glimmstrom seine Kathode von selbst auf eine um so höhere Temperatur, je größer  $K, i$  ist.

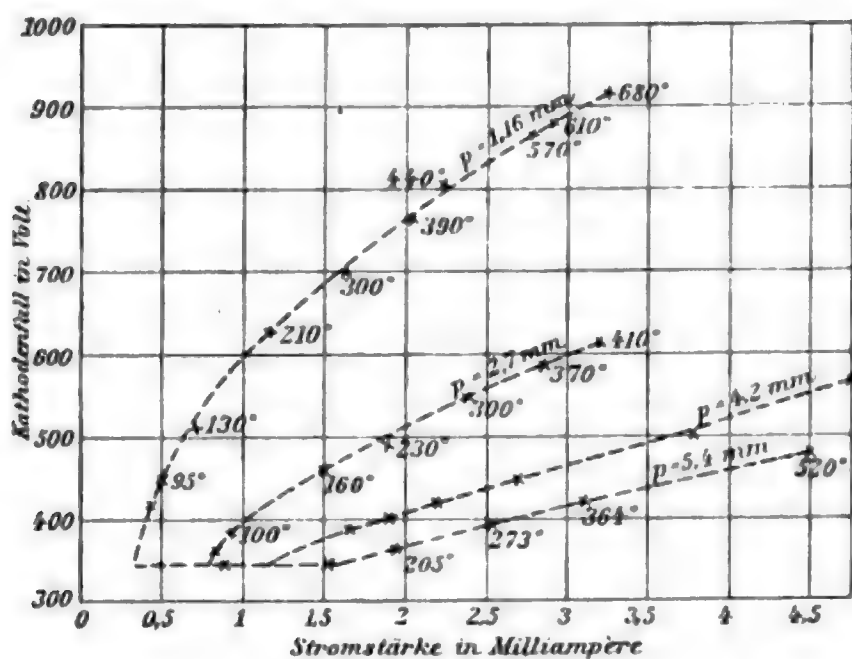


Fig. 4.

§ 9. *Erhöhung des Kathodenfalles durch Selbsterwärmung.* — In den nächsten Paragraphen wird mittels sekundärer Erwärmung der Nachweis geführt werden, daß der Kathodenfall eine Funktion der Temperatur bei konstantem Gasdruck ist. Indes läßt sich schon in folgender Erscheinung der Einfluß der Temperatur erkennen.

Unter der Wirkung des Glimmstromes nimmt die Kathode den stationären Wert ihrer Temperatur nicht unmittelbar nach Stromschluß, sondern allmählich erst eine beobachtbare Zeit danach an. Ist der Kathodenfall eine Funktion der Temperatur, so kann er unmittelbar nach Stromschluß nicht sofort konstant sein, sondern muß sich eine kurze Zeit lang mit

der Temperatur der Kathode verändern. Analoges gilt für die Stromstärke.

Nun ergibt die Beobachtung folgendes. Bei größeren Werten des Produktes aus Kathodenfall und Stromstärke nimmt diese letztere erst einen maximalen Wert an, geht dann erst schnell, dann immer langsamer zurück, um darauf konstant zu werden. Gemäß der oben besprochenen Gleichung  $i \cdot r = E - K$  läßt sich für den Kathodenfall ein analoges Verhalten, eine kurzwährende Zunahme nach Stromschluß folgern. Die nachstehende Tabelle (Stromstärke  $i$  in Mikroampère) gibt ein Beispiel für diese Erscheinung. Sie erklärt sich offenbar aus der allmählichen Temperaturänderung der Kathode. Wir können daraus schließen, daß der Glimmstrom seinen Kathodenfall durch Erwärmung der Kathode von selbst erhöht.

Zeit in Sek.	$p = 0,0709$		$p = 0,1277$	
	$i$	$K$	$i$	$K$
0	825	1695	1085	1470
15	745	1718	1020	1500
30	780	1724	1006	1510
45	724	1727	999	1515
60	723	1729	996	1518
75	722	1730	995	1520

Die stationären Werte des Kathodenfalles und der Stromstärke sind von den Werten unmittelbar nach Stromschluß beträchtlich verschieden, wenn das Produkt  $K \cdot i$  groß ist. Hierfür gibt die nachstehende Tabelle ein Beispiel.

	$p = 0,715$		$p = 0,813$		$p = 0,128$		$p = 0,071$	
	$i$	$K$	$i$	$K$	$i$	$K$	$i$	$K$
Nach Schluß	2598	860	575	790	1085	1470	825	1695
Stationär	2370	945	520	760	995	1520	722	1730

§ 10. Die normale Stromdichte als Funktion der Temperatur. — Für die normale Stromdichte  $j_n$  gilt in Luft  $j_n = x' \cdot p$ . Bei konstantem Gasdruck und vollständiger Bedeckung der Kathode wächst die Grundfläche des negativen Glimmlichtes, wenn die Temperatur der Kathode erhöht wird. Da gleich-

zeitig die Stromstärke konstant bleibt, so folgt, daß die normale Stromdichte abnimmt, wenn die Temperatur steigt.

Läßt man das negative Glimmlicht die ganze Oberfläche bedecken, hält aber gleichzeitig den Kathodenfall auf seinem normalen Wert, so darf man die normale Stromdichte proportional der Stromstärke setzen. Diese Voraussetzung war bei den in den nachstehenden Tabellen mitgeteilten Messungen erfüllt. Die Temperatur der Kathode wurde auf die oben angegebene Weise sekundär geändert und gemessen. Der Druck wurde einmal bei kalter Kathode bestimmt, sodann bei der höchsten Temperatur einer jeden Reihe; im letzten Fall ergab er sich merklich größer, diese Druckerhöhung rührt in zweiter Linie her von der Temperaturerhöhung des Gases im Stromgefäß; in erster Linie von einer Gasentwicklung aus der heißen Kathode (vgl. § 13).

Die Temperatur  $t$  ist vom Eispunkt ab gerechnet,  $i$  ist in Mikroampère gegeben.

$p = 0,411 (0,430)$		$p = 1,43 (1,51)$		$p = 2,35 (2,52)$		$p = 4,17 (4,42)$	
$t$	$i$	$t$	$i$	$t$	$i$	$t$	$i$
32	470	67	1205	126	2535	169	3766
92	410	109	1017	160	2187	194	3402
220	320	203	909	232	1944	287	3102
365	290	335	673	322	1620	338	2754
505	270	462	610	453	1579	445	2713
611	260	573	563	556	1498	556	2592

In der Fig. 5 sind diese Messungen in Kurven angetragen; Fig. 6 gibt die zwei ersten Messungsreihen in günstigerem Maßstabe wieder. An dem Anfang einer jeden Kurve ist der Gasdruck bei kalter Kathode, an dem Ende der Druck eingetragen, welcher während der Bestimmung des letzten Kurvenpunktes herrschte.

Wie man sieht, *nimmt die normale Dichte des Glimmstromes an der Kathode mit steigender Temperatur der letzteren erst schnell, dann langsamer ab.* Wegen der bereits erwähnten Schwächen der Methode die Temperatur herzustellen und zu messen, können die Kurven nicht genau die Beziehung zwischen Strom-

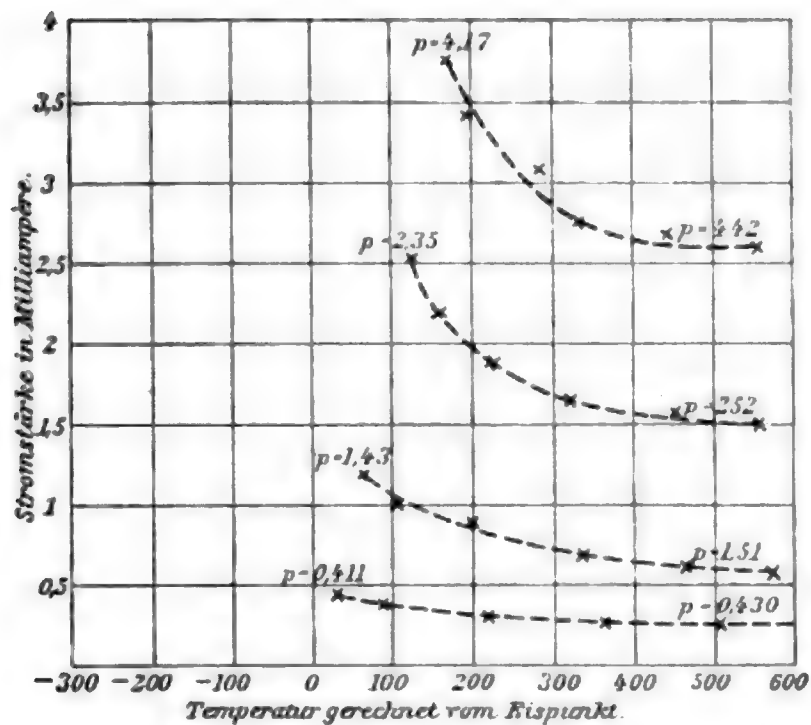


Fig. 5.

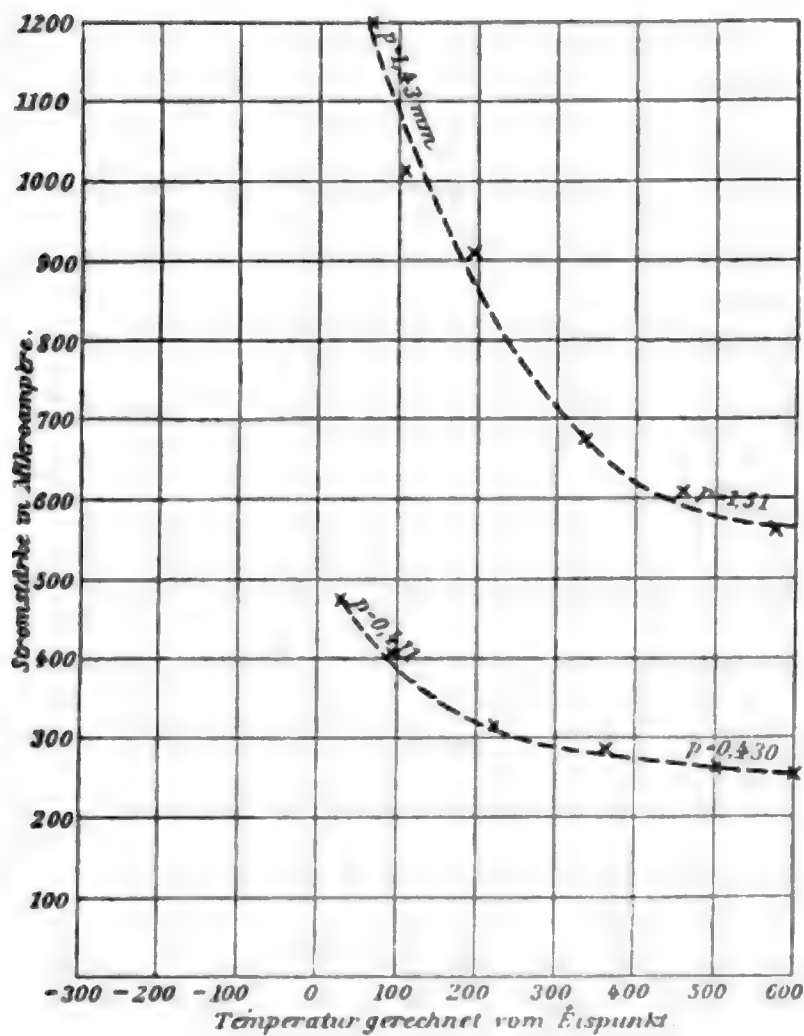


Fig. 6.



stärke und Temperatur wiedergeben. Ihr hyperbolischer Charakter macht es indes wahrscheinlich, daß *die normale Stromdichte umgekehrt proportional der absoluten Temperatur  $T$  ist*. Man kann also setzen:  $j_n = \kappa \cdot p / T$ . Es verdient ausdrücklich darauf aufmerksam gemacht zu werden, daß bei tiefer Temperatur eine kleine Änderung derselben, so allein durch die Selbsterwärmung, eine große Änderung der Stromdichte zur Folge hat.

§ 11. *K, t-Kurven.* — Nach dem vorhergehenden muß das Kathodenfallgesetz wegen der Abhängigkeit der normalen Stromdichte von der Temperatur folgende Form annehmen:

$$K = K_n + \frac{k'}{p \cdot f^{1/2}} \left( i - \frac{\kappa \cdot p \cdot f}{T} \right)^{1/2}.$$

Demnach nimmt der Kathodenfall mit steigender Temperatur allein schon deswegen zu, weil  $\kappa \cdot p \cdot f / T$  kleiner wird. Es kann indes die Temperatur auch noch in der Konstanten  $k'$  enthalten sein. Um dies zu untersuchen, hat man die Stromdichte vielmal über ihren normalen Wert zu erhöhen; dann kann man  $\kappa \cdot p \cdot f / T$  neben  $i$  angenähert vernachlässigen; ändert sich dann  $K$  immer noch mit der Temperatur bei konstantem Gasdruck, so zeigt sich darin die Abhängigkeit der Konstante  $k'$  von der Temperatur an. Die gestellte Forderung war bei den Messungen der nachstehenden Tabelle erfüllt. Den Druck wählte ich hierbei zu dem Zweck relativ hoch ( $p = 1,18$  mm), um einen kurzen Kathodendunkelraum zu erhalten, so daß noch auf seiner ganzen Länge angenähert die Temperatur der Kathode vorhanden war. Auch sollte sich mit der Stromstärke der Kathodenfall wenig ändern, um  $K, t$ -Werte zu erhalten, die angenähert als äquikonstant in Stromstärke genommen werden können; auch diese Bedingung läßt sich nur bei relativ hohem Gasdruck erfüllen.  $t$  ist wieder vom Eispunkt ab gezählt,  $i$  in Mikroampère angegeben.

$t$	$i$	$K$	$t$	$i$	$K$	$t$	$i$	$K$
305	345	383	400	645	440	400	930	485
310	341	385	425	643	443	430	926	492
370	337	390	460	642	450	480	920	500
450	333	400	710	633	485	590	911	520
660	330	415	930	627	497	760	902	545
927	330	430	—	—	—	935	898	560
1070	330	435	1120	625	500	1120	898	560

Diese Messungen sind in der Fig. 7 graphisch angetragen. Wie man sieht, *nimmt der abnormale Kathodenfall mit steigender Temperatur bei sonst konstanten Verhältnissen zu*. Bei Hellrotglut der Kathode, die bei den letzten Punkten der Kurven vorhanden war, macht sich störend eine sekundäre Wirkung geltend; es tritt nämlich einmal Ionisierung des Gases durch die hoch temperierte Kathode auf, was eine Erniedrigung des Kathodenfalles (El. i. G., p. 47) zur Folge hat; sodann wird auch, wie unten gezeigt werden wird, Gas aus der Kathode frei, was durch Druckerhöhung ebenfalls eine Erniedrigung des Kathodenfalles nach sich zieht. Oberhalb von  $750^{\circ}$  ist

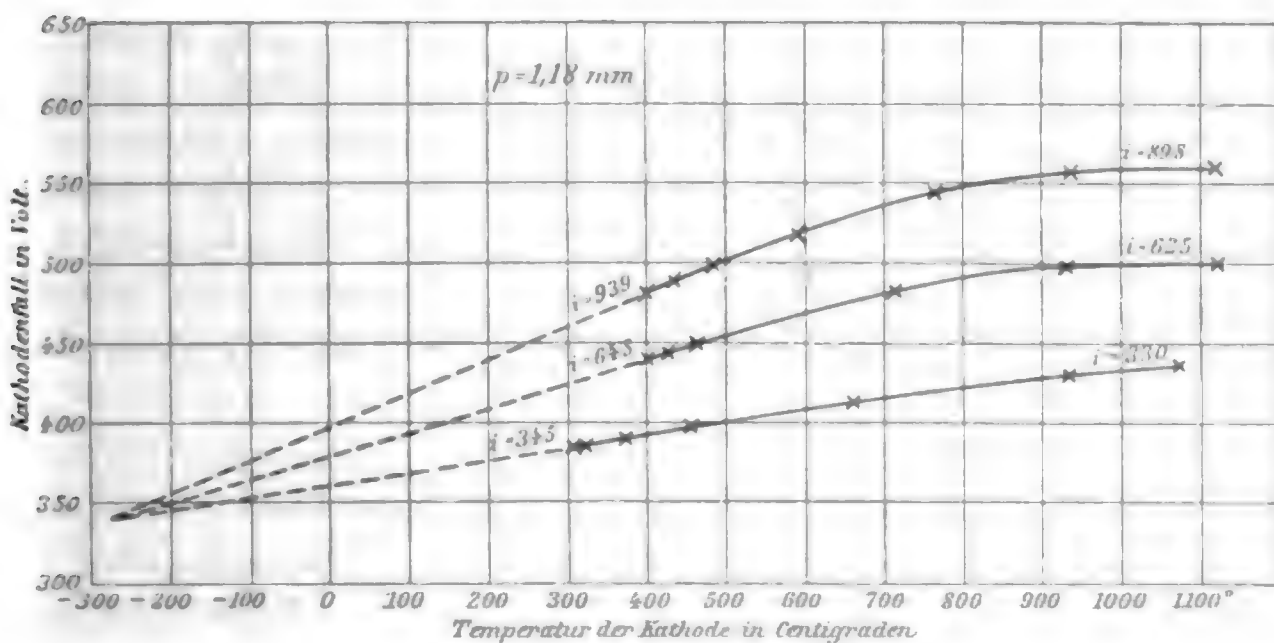


Fig. 7.

also die Voraussetzung konstanter Verhältnisse nicht mehr gewahrt, die über dieser Temperatur liegenden Kurvenstücke sind als unrein von der Diskussion auszuschließen.

Unterhalb von  $750^{\circ}$  ist, wie die Figur zeigt, der Kathodenfall oder, nach der obigen Darlegung, die Konstante  $k'$  eine lineare Funktion der Temperatur. Verlängert man die  $K$ ,  $t$ -Geraden in das Gebiet niedriger Temperaturen, so schneiden sie sich in einem Punkte, dessen Abszisse der absolute Nullpunkt ( $-273$ ) ist. Der von  $t$  unabhängige normale Kathodenfall  $K_n$  war und ist am Platin in Luft in der Regel 340 Volt. Wie man sieht, kann darum die Differenz  $(K - 340) = K - K_n$  und damit auch die Konstante  $k'$  proportional der absoluten Temperatur  $T$  gesetzt werden.

Das Gesetz des Kathodenfalles des Glimmstromes nimmt darum bei Einführung der absoluten Temperatur als einer Variablen nach den Ergebnissen der experimentellen Untersuchung die Form an:

$$K = K_n + \frac{k \cdot T}{p \cdot f^{1/2}} \left( i - \frac{x \cdot p \cdot f}{T} \right)^{1/2}.$$

§ 12. Veränderung der  $K$ ,  $i$ -Kurven durch sekundäre Erwärmung. — Gemäß der Formel

$$K = K_n + \frac{k \cdot T}{p \cdot f^{1/2}} \left( i - \frac{x \cdot p \cdot f}{T} \right)^{1/2}$$

ist die  $K$ ,  $i$ -Kurve in der Phase des normalen Kathodenfalles eine Gerade parallel der  $i$ -Achse, in der abnormalen Phase ist sie parabolisch gekrümmt. Der Druck werde nun konstant gehalten; einmal werde eine  $K$ ,  $i$ -Kurve aufgenommen, wenn die Kathode sekundär nicht erhitzt wird, sodann eine zweite  $K$ ,  $i$ -Kurve, wenn sie sekundär erhitzt, und zwar mit einem konstant gehaltenen Heizstrom beschickt ist. Die nachstehenden Tabellen enthalten derartige Messungsreihen; der Reihe mit sekundärer Erhitzung ist die Temperatur der Kathode beige-  
gesetzt.

$p = 0,112 \text{ mm.}$

Ohne sek. Erwärmung		Mit sekundärer Erwärmung		
$i$	$K$	$i$	$K$	$t$
85	595	83	620	525
113	650	112	670	535
167	715	165	730	546
370	915	365	940	578
497	1040	486	1045	610
607	1135	594	1145	624
687	1190	672	1200	637
1189	1450	1180	1500	722
1408	1630	1421	1500	764

$p = 0,801 \text{ mm.}$

Ohne sek. Erwärmung		Mit sekundärer Erwärmung		
$i$	$K$	$i$	$K$	$t$
95	380	93	430	430
127	410	125	450	436
190	460	185	500	444
450	590	437	620	471
624	670	608	695	493
775	720	737	745	515
888	770	877	795	538
1897	1140	1897	1140	672
2551	1335	2567	1320	767

In der Fig. 8 sind die vorstehenden Messungsreihen und zwei andere graphisch angetragen. Fig. 9 gibt ebenfalls zwei Messungsreihen von der bezeichneten Art wieder. Die Kurven mit Strichelung sind  $K$ ,  $i$ -Kurven ohne sekundäre Erhitzung,



diejenigen mit Punktierung solche mit sekundärer Erhitzung. Den beobachteten Punkten der letzteren sind die zugehörigen Tem-

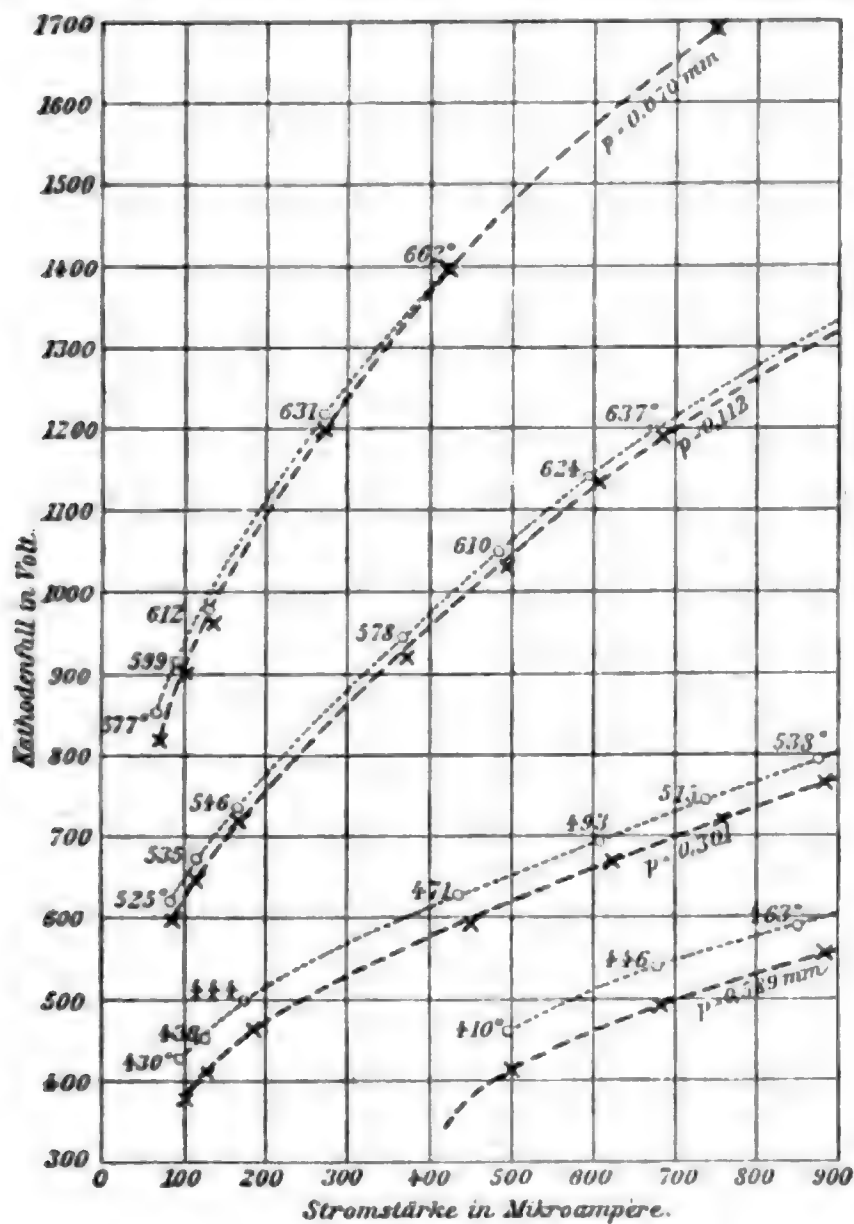


Fig. 8.

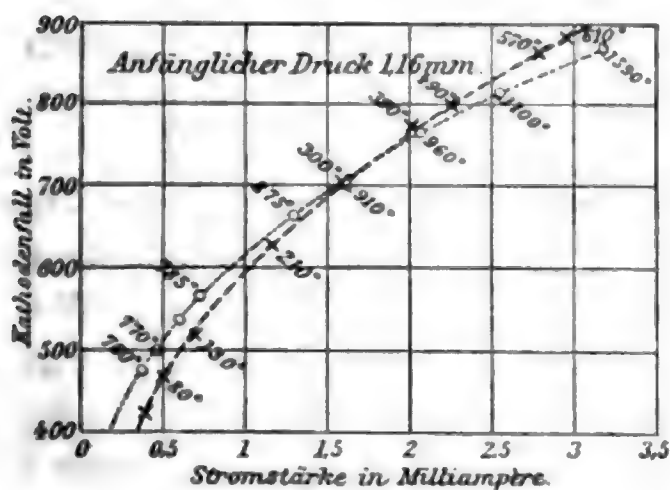


Fig. 9.

peraturen beigezeichnet; in Fig. 9 ist auch die Kurve ohne Erhitzung mit den Angaben der Temperatur der Kathode ausgestattet.

Wie man sieht, und wie man nach der obigen Formel zu erwarten hat, bringt sekundäre Erhitzung des Gases bei konstantem Druck in zweierlei Hinsicht eine Veränderung der  $K$ ,  $i$ -Kurve hervor. Erstens verschiebt sie den Scheitelpunkt des parabolischen Kurvenastes oder die Grenzstromstärke  $i_0 = \alpha \cdot p \cdot f / T$  näher an die  $K$ -Achse; zweitens vergrößert sie den Parameter  $k \cdot T / 2 p \cdot f^{1/2}$  des parabolischen Astes. Bei hohen Temperaturen, oberhalb  $750^\circ$ , nähert sich die punktierte Kurve der gestrichelten und schneidet sie sogar, so daß der Kathodenfall bei sekundärer Erhitzung kleiner wird als ohne dieselbe. Indes ist oberhalb jener Temperatur der von dem gegebenen Kathodenfallgesetz regulierte Verlauf der  $K$ ,  $i$ -Kurve gestört durch zwei sekundäre Wirkungen; nämlich erstens durch die Ionisierung des Gases infolge hoher Temperatur, zweitens infolge Gasentwicklung aus der glühenden Kathode. Beide Wirkungen werden mit wachsender Temperatur stärker und haben eine Erniedrigung des Kathodenfalles zur Folge.

§ 13. *Gasentwicklung aus der glühenden Kathode.* — Eine Gasentwicklung aus der glühenden Kathode offenbart sich bereits in der in § 10 erwähnten manometrisch bestimmten Druckerhöhung. Sie ließ sich auch auf folgende Art nachweisen. Der Widerstand des Heizstromes wurde so klein gewählt, daß er bei geschlossenem Glimmstrom dessen Platindrahtkathode auf Weißglut brachte. Die Stromstärke des Glimmstromes wurde so hoch genommen, daß der Kathodenfall abnormal war. Gemäß der Gleichung  $i \cdot r = E - K$  oder  $r \cdot di = -dK$  entspricht eine Zunahme der Stromstärke einer Abnahme des Kathodenfalles; gemäß der Gleichung

$$K = K_n + \frac{k \cdot T}{p \cdot f^{1/2}} \left( i - \frac{\alpha \cdot p \cdot f}{T} \right)^{1/2}$$

bringt eine Erhöhung der Temperatur eine Vergrößerung des Kathodenfalles, also eine Verkleinerung der Stromstärke hervor; eine Erhöhung des Gasdruckes bewirkt eine Verkleinerung des Kathodenfalles oder Vergrößerung der Stromstärke. Bei hoher Temperatur sind  $dK/dT$  und  $di/dT$  klein, dagegen ändert sich der Druck infolge von Gasentwicklung aus der glühenden Kathode beträchtlich. Schließt man den Heizstrom bei geschlossenem Glimmstrom, so steigt die Temperatur und unterhalb von  $800^\circ$  überwiegt ihr Einfluß auf  $K$  und  $i$ , darüber aber

der Einfluß der Gasentwicklung. Diese Verhältnisse sind aus den Kurven der Fig. 10 zu ersehen. Die links von der  $i$ -Achse stehenden Zahlen gehören zur unteren Kurve, die rechtsstehenden zur oberen. Zu den Beobachtungen der vorstehenden Art war nur die Stromstärke oder das Mikroampèremeter geeignet, da sich dessen Zeiger aperiodisch ohne Kriechen einstellte.

§ 14. *Schlußbetrachtung.* — An einer anderen Stelle<sup>1)</sup> habe ich dargelegt, daß die Ionisation an der Kathode des Glimmstromes in der ersten Kathodenschicht und in der negativen Glimmschicht gegeben wird durch den Stoß positiver und

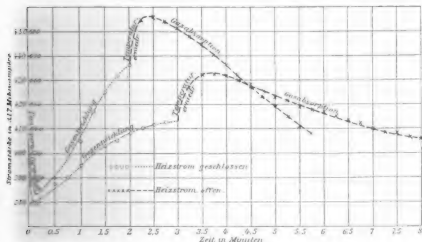


Fig. 10.

negativer Ionen, welche den Kathodenfall ganz oder teilweise durchlaufen haben. Ferner zeigte ich, daß die thermische Geschwindigkeit der neutralen Gasmoleküle klein ist verglichen mit derjenigen der ionisierenden Ionen, so daß man bezüglich der Bewegung der letzteren die neutralen Moleküle bis zur Hellrotglut als ruhend betrachten kann. Für die Bewegung der ionisierenden Ionen ist die Gasdichte oder die spezifische Molekülnzahl  $n_m$  (Anzahl der Moleküle in der Volumeneinheit) ausschlaggebend. Demnach hat man in dem Kathodenfallgesetz nur die drei Variablen  $K$ ,  $i$  und  $n_m$  miteinander zu verknüpfen:

$$K = K_n + \frac{k'}{n_m \cdot f^{1/2}} (i - \alpha \cdot n_m \cdot f)^{1/2}.$$

<sup>1)</sup> J. Stark, Ann. d. Phys. 3. p. 432. 1902.

Für  $n_m$  kann man Druck ( $p$ ) und absolute Temperatur ( $T$ ) einführen gemäß der Gleichung  $p = \alpha'' \cdot n_m \cdot T$ . Man erhält so:

$$K = K_n + \frac{k \cdot T}{p \cdot f^{1/2}} \left( i - \frac{\alpha \cdot p \cdot f}{T} \right)^{1/2},$$

also genau die Beziehung, die auf rein experimentellem Wege gefunden wurde.

*Für den Kathodenfall des Glimmstromes sind nach Theorie und Experiment Temperaturerniedrigung und Druckerniedrigung einander äquivalent, wenn sie an der Kathode die gleiche spezifische Molekühlzahl herstellen. Sie sind unter dieser Bedingung auch in ihrer Wirkung auf die Dimensionen des Kathodendunkelraumes und der negativen Glimmschicht einander äquivalent. Wie bereits erwähnt, wächst die Grundfläche des negativen Glimmlichtes mit steigender Temperatur, ebenso mit sinkendem Gasdruck. Die Länge des Kathodendunkelraumes und diejenige der negativen Glimmschicht nehmen ebenfalls zu mit steigender Temperatur, wie ich gelegentlich der beschriebenen Versuche oft beobachten konnte; daß sie angenähert umgekehrt proportional dem Gasdruck sind, ist bekannt.*

Die beschriebenen Versuche wurden alle bei konstantem Gasdruck angestellt, um den Einfluß der allein variablen Temperatur hervortreten zu lassen. Bei konstanter Gasdichte, also bei konstantem  $n_m$  steigt proportional mit der Temperatur der Gasdruck, das Verhältnis  $p/T$  ist konstant, und darum *ist bei konstanter spezifischer Molekühlzahl der Kathodenfall des Glimmstromes unabhängig von der Temperatur.*

### III. Der Kathodenfall als Funktion der Stromstärke und des Druckes.

§ 15. *Die Äquikonstanz.* — Auf Grund früherer Messungen wurde folgende Formel für den Kathodenfall des Glimmstromes aufgestellt:

$$K = K_n + \frac{k'}{p \cdot f^{1/2}} (i - \alpha' \cdot p \cdot f)^{1/2};$$

hierbei wurde die Temperatur als konstant vorausgesetzt. Ausgehend von dieser Formel wurde im vorhergehenden Abschnitt die Abhängigkeit des Kathodenfalles von der Temperatur ermittelt und dem Kathodenfallgesetz folgende erweiterte Form gegeben:

$$K = K_n + \frac{k \cdot T}{p \cdot f^{1/2}} \left( i - \frac{\alpha \cdot p \cdot f}{T} \right)^{1/2}.$$

Es erübrigt, die in dieser Formel gegebene Beziehung zwischen Kathodenfall, Stromstärke und Gasdruck neu zu prüfen.

Ist eine physikalische Größe  $K$  eine Funktion mehrerer Variablen, so ist die erste Aufgabe der experimentellen Untersuchung, sämtliche  $K$  bestimmende Variablen zu ermitteln; das sind in unserem Falle  $i$ ,  $p$ ,  $f$ ,  $T$ ; wie die nächste Abhandlung zeigen wird, ist hierzu auch noch die magnetische Feldstärke  $H$  zu rechnen.

Man kann nun weiter für spezielle Verhältnisse die physikalische Erscheinung verwirklichen, eine Variable  $i$  ohne Rücksicht auf die übrigen variieren, die zugehörigen Werte der Funktion  $K$  bestimmen und so eine Reihe von  $K$ ,  $i$ -Werten erhalten. Diese kann man in graphischer oder analytischer Interpolation stetig zu einer Kurve oder in einer mathematischen Formel verbinden. Diese hat aber zunächst lediglich die Bedeutung einer Interpolationsformel und nur ein spezielles technisches Interesse. Die wissenschaftliche Analyse hat nach Aufsuchung der Variablen in folgender Weise vorzugehen, um die Funktion  $K$  ( $i$ ,  $f$ ,  $p$ ,  $T$ ) zu ermitteln.

Es sind sämtliche Variablen bis auf eine, beispielsweise  $T$ , konstant zu halten; ändert sich ohne äußeres Zutun zusammen mit  $T$  noch eine zweite Variable, beispielsweise  $i$ , so muß diese Änderung durch eine absichtliche Änderung von  $i$  kompensiert werden oder es müssen die Verhältnisse so gewählt werden, daß die ungewollte Änderung von  $i$  die  $K$ ,  $T$ -Kurve nicht erheblich stören kann. Auf diese Weise gewinnt man dann eine Reihe von  $K$ ,  $T$ -Werten, die äquikonstant in  $i$ ,  $p$  und  $f$  sind. In den  $K$ ,  $T$ -Kurven treten  $i$ ,  $p$  und  $f$  als Parameter auf; es sind für weit auseinanderliegende Werte dieser Parameter die zugehörigen  $K$ ,  $T$ -Kurven zu konstruieren, um eine allgemein gültige Beziehung zwischen  $K$  und  $T$  zu gewinnen.

Um die Beziehung zwischen  $K$  und  $i$  aufzufinden, sind Messungsreihen von  $K$ ,  $i$ -Werten anzustellen, die äquikonstant in  $p$ ,  $f$  und  $T$  sind.

§ 16.  $K$ ,  $i$ -Kurven. — Die Messungsreihen, die man erhält, wenn man  $i$  variiert und die zugehörigen  $K$ -Werte mißt, sind nicht äquikonstant in der Temperatur. Denn wie in § 8 dargelegt wurde, erhöht der Glimmstrom von selbst die Temperatur an der Kathode. Die nachstehenden Messungsreihen

wurden ohne Rücksicht auf die Selbsterwärmung der Kathode an einer 0,67 mm dicken, 26 mm langen Platinkathode aufgenommen. Die Stromstärke ist in Mikroampère angegeben. Der Gasdruck war trotz der Länge der Reihen konstant, ebenso konnte  $f$  als konstant betrachtet werden. Der normale Kathodenfall  $K_n$  war 395 Volt.

$p = 0,794$		$p = 0,313$		$p = 0,141$		$p = 0,089$	
$i$	$K$	$i$	$K$	$i$	$K$	$i$	$K$
20	395	20	395	30	550	15	615
26	395	38	430	40	590	22	650
40	395	56	460	50	610	35	680
87,5	410	81	490	61	630	65	815
120	425	108	520	74	660	85	860
182,5	455	156	570	95	690	120	940
330	495	261	630	135	750	190	1095
407	610	331	665	216	860	242	1180
436,5	520	438	720	267	920	312	1300
530	545	528	765	342	1000	368	1360
630	575	593	800	385	1050	410	1410
755	600	719	860	442	1110	535	1550
910	640	1082	990	520	1180	600	1630
1425	755	1385	1120	691	1320	691	1700
1725	825	1648	1220	808	1420	—	—
2110	905	—	—	950	1550	—	—
2370	945	—	—	—	—	—	—

In der Fig. 11 sind die vorstehenden Messungsreihen graphisch angetragen. Wie bereits bemerkt wurde, sind diese  $K, i$ -Kurven nicht äquikonstant in Temperatur; Kathodenfall und Stromstärke wurden erst längere Zeit nach Stromschluß abgelesen, als sie konstant geworden waren; besonders für diejenigen  $K, i$ -Punkte, welche Eckpunkte einer großen Fläche  $K.i$  sind, ist die Temperaturerhöhung der Kathode infolge der Selbsterwärmung eine beträchtliche. *Indes auch wenn man die Selbsterwärmung der Kathode zuläßt, ordnen sich die  $K, i$ -Punkte nicht zu Geraden, sondern zu gekrümmten Linien; die Annäherung der letzteren an Gerade ist um so größer, je größer die Selbsterwärmung der Kathode oder die elektrische Arbeit  $K.i$  ist; dies ist besonders bei hohen Gasdrucken der Fall, wie Fig. 4*



zeigt; auf diese Weise vermag die Selbsterwärmung eine geradlinige Beziehung zwischen Stromstärke und Kathodenfall vorzutäuschen. Da die Temperaturerhöhung an der Kathode infolge der Selbsterwärmung eine Erhöhung des Kathodenfalles nach sich zieht, so sind die in Temperatur äquikonstanten  $K, i$ -Kurven noch stärker nach unten gekrümmt als die wirklich beobachteten Kurven.

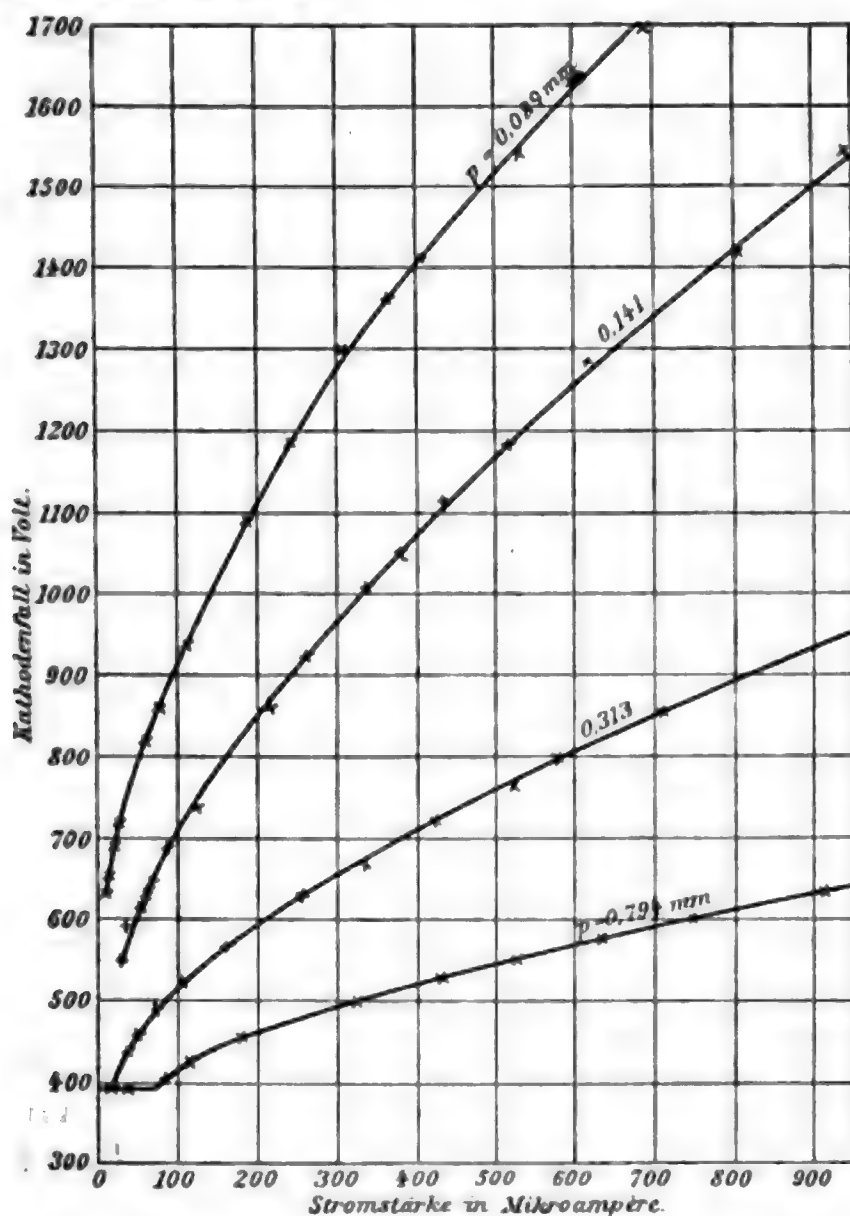


Fig. 11.

Bei kleinen Stromstärken oder genauer bei kleinem Werte der Fläche  $K, i$  ist die Temperaturerhöhung an der Kathode gering; es können darum wenigstens die in der Nähe der  $K$ -Achse liegenden Stücke der  $K, i$ -Kurven als äquikonstant in Temperatur betrachtet werden. Solche angenähert äquikonstante Kurvenstücke gibt für verschiedene Drücke die Fig. 12. Sie wurden für den Zweck des folgenden Paragraphen ermittelt.

§ 17. *K, p-Kurven.* — Um die Beziehung zwischen Kathodenfall und Gasdruck zu finden, hat man *K, p-Kurven* zu konstruieren, die äquikonstant sind in Stromstärke und Temperatur. Sie können aus den Kurven der Fig. 12 erhalten werden, indem man für einzelne Stromstärken die Werte des Kathodenfalles der einzelnen Kurven aus der Fig. 12 entnimmt. Die Kurven der Fig. 13 sind auf diese Weise konstruiert. Sie zeigen nahezu den Ver-

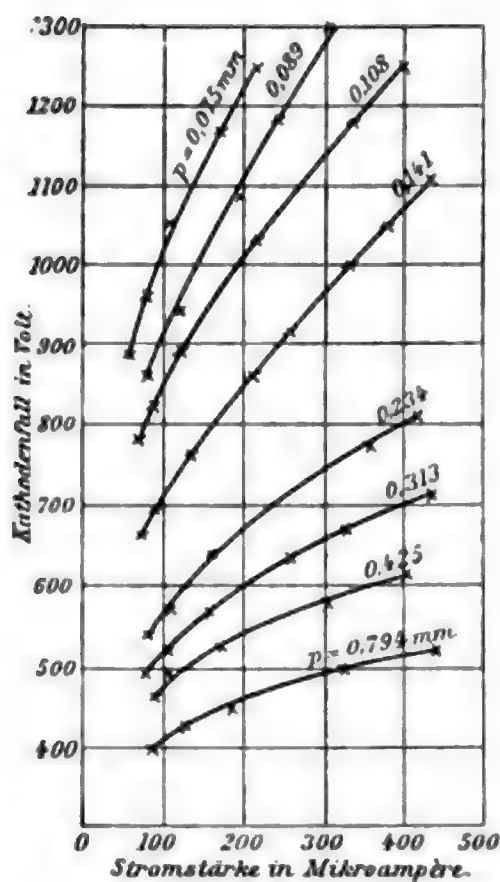


Fig. 12.

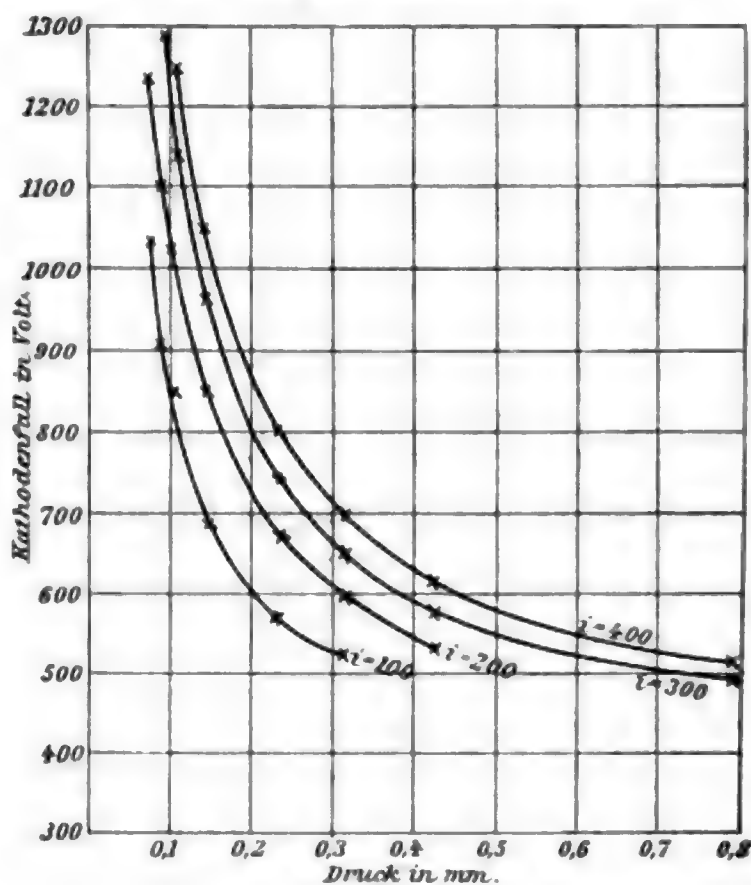


Fig. 13.

lauf von gleichseitigen Hyperbeln, welche die *K*-Achse und die Gerade  $K = 395$  zu Asymptoten haben. Streng hyperbolisch sind sie nur in ihrem oberen Ast, in dem unteren treten sie an die Gerade  $K = 395$  um so näher heran, je mehr sich der Kathodenfall seinem normalen Wert nähert, und fallen schließlich mit ihr zusammen.

Dies Verhalten ist aus der Formel

$$K = K + \frac{k \cdot T}{p \cdot f^{1/2}} \left( i - \frac{x \cdot p \cdot f}{T} \right)^{1/2}$$

zu erwarten, wenn

$$\frac{k \cdot T}{f^{1/2}} = C_1 = \text{konst. und } \frac{x \cdot p \cdot f}{T} = C_2 = \text{konst.}$$



ist. Für Werte von  $i$ , neben denen  $C_2 \cdot p$  zu vernachlässigen ist, also bei beträchtlicher Entfernung des Kathodenfalles von seiner normalen Phase, stellt die Gleichung  $(K - K_n) \cdot p = C_1 \cdot i^{1/2}$  eine gleichseitige Hyperbel dar.

Diese letzte Beziehung

$$\frac{(K - K_n) \cdot p}{i^{1/2}} = \text{konst.}$$

ist in der nachstehenden Tabelle analytisch geprüft. Die verwerteten  $K$ ,  $i$ -Punkte sind einerseits genügend weit von der normalen Phase entfernt, andererseits sind sie angenähert äquikonstant in Temperatur.

Druck in mm	$i = 400$		$i = 300$		$i = 200$		$i = 100$	
	$K$	$(K-395) \cdot p$	$K$	$(K-395) \cdot p$	$K$	$(K-395) \cdot p$	$K$	$(K-395) \cdot p$
0,794	514	85,3	490	75,4	—	—	—	—
0,425	610	91,4	575	76,5	530	57,3	—	—
0,313	695	93,9	650	79,8	595	62,6	515	37,6
0,234	800	94,7	740	80,7	665	63,2	565	37,4
0,141	1050	92,3	965	80,4	850	64,1	690	41,6
0,108	1245	91,8	1135	79,9	1020	70,2	845	48,6
0,089	—	—	1280	78,9	1100	62,7	910	46,8
0,075	—	—	—	—	1230	62,6	1030	47,6
Mittel	—	91,5	—	78,8	—	63,2	—	43,3
$\frac{(K-395) \cdot p}{i^{1/2}}$	—	4,57	—	4,55	—	4,49	—	4,33

§ 18. *Schlußbetrachtung.* — Für trockene, fett- und quecksilberfreie Luft wird nach den vorausgehenden Untersuchungen die Beziehung zwischen Kathodenfall, Stromstärke, Gasdruck und Temperatur genügend genau dargestellt durch die Formel:

$$K = K_n + \frac{k \cdot T}{p \cdot f^{1/2}} \left( i - \frac{x \cdot p \cdot f}{T} \right)^{1/2}.$$

Für andere Gase ist zunächst ein allgemeineres Gesetz aufzustellen:

$$K = K_n + \frac{k \cdot T^m}{p^m f^q} \left( i - \frac{x \cdot p^n \cdot f}{T^n} \right)^q.$$

Aufgabe weiterer Untersuchungen ist es, für die verschiedenen reinen Gase die Konstanten  $K_n$ ,  $k$ ,  $x$ ,  $m$ ,  $n$ ,  $q$  zu bestimmen.

Der Glimmstrom besitzt an seiner Kathode mehrere sehr merkwürdige Eigenschaften, die er mit keiner anderen Form der elektrischen Strömung gemein hat. Die Spannungsdifferenz zwischen seiner Kathode und der negativen Glimmschicht kann nie unter eine bestimmte untere Grenze, den normalen Kathodenfall, sinken, ohne daß der Glimmstrom aufhört zu existieren. Bei einem gewöhnlichen Leiter kann in einem jeden Querschnitt jede beliebig kleine Stromdichte hergestellt werden; für den Glimmstrom dagegen besitzt bei einem bestimmten Gasdruck die Stromdichte an der Kathode eine untere Grenze, unter die sie nicht erniedrigt werden kann, wenn die elektrische Strömung die Form des Glimmstromes beibehalten soll; die Stromdichte  $J$  ist darum durch die Formel darzustellen:

$$J = j_n + j = \kappa \cdot \left(\frac{p}{T}\right)^n + j;$$

für Luft ist  $n = 1$ .

Da im Kathodendunkelraum des Glimmstromes elektrische Strömung vorhanden ist, so sind dort auch positive und negative Ionen vorhanden. In der Zahl der im Dunkelraum vorhandenen Ionen halten sich zwei entgegengesetzte Wirkungen das Gleichgewicht. Die eine Wirkung, die elektrische Strömung, führt beständig negative Ionen von der Kathode weg aus dem Dunkelraum heraus in die negative Glimmschicht hinein; ähnliches hat in entgegengesetzter Richtung mit den positiven Ionen, statt. Die andere Wirkung, der Stoß schnell bewegter Ionen schafft beständig neue Ionen aus neutralen Gasteilchen, und zwar wirken in der ersten Kathodenschicht die positiven, in der negativen Glimmschicht die negativen Ionen als Ionisatoren, nachdem sie zum größten Teil den ganzen Kathodenfall frei durchlaufen und so eine große kinetische Energie angenommen haben. Für die Geschwindigkeit, mit welcher die negativen Ionen die Grenzfläche von Dunkelraum und negativer Glimmschicht durchfliegen, gilt:

$$\frac{1}{2} \mu \cdot v_n^2 = \frac{\varepsilon \cdot K}{300},$$

wo  $\mu$  die Masse,  $\varepsilon$  die Ionenladung bezeichnet.

Göttingen, März 1903.

(Eingegangen 9. April 1903.)

## 2. *Der Kathodenfall des Glimmstromes im Magnetfeld; von J. Stark.*

§ 1. *Einleitung.* — Bringt man einen stromdurchflossenen Wismutdraht in ein Magnetfeld, so steigt die Spannungsdifferenz an seinen Enden unter gleichzeitigem Sinken der Stromstärke. Lagert man über die Linien des Glimmstromes räumlich magnetische Kraftlinien, so verändern diese ebenfalls Stromstärke und Elektrodenspannung. Im Wismutdraht ist unabhängig von der Gegenwart eines elektrischen Stromes in allen Punkten Leitfähigkeit vorhanden, die elektrische Strömung hat in ihm in allen Punkten die gleiche Form. Im Glimmstrom durch ein Gas dagegen wird die Ionisation in einem Punkte erst durch den Stoß seiner bewegten Ionen geschaffen, dazu besteht er aus mehreren voneinander beträchtlichen verschiedenen Teilen.

Über den Einfluß des Magnetfeldes auf Elektrodenspannung und Stärke des Glimmstromes sind schon zahlreiche Untersuchungen angestellt worden, die sehr mannigfaltige, scheinbar regellose und widersprechende Resultate lieferten. Am erfolgreichsten war eine Untersuchung von E. Riecke<sup>1)</sup>, indem sie die Gesichtspunkte zu einer experimentellen Analyse der Erscheinung fand. Nach E. Riecke setzt sich der Einfluß eines Magnetfeldes auf die Elektrodenspannung des Glimmstromes aus zwei Teilen zusammen, einer Erhöhung des Spannungsabfalles in der positiven Lichtsäule und einer Erniedrigung des Spannungsabfalles an der Kathode.

Vor längerer Zeit schon stellte ich Messungen über den Kathodenfall des Glimmstromes an; einen kurzen Bericht gab ich über sie bereits an einer anderen Stelle.<sup>2)</sup> Neuerdings habe ich diese Versuche unter verbesserten Umständen wiederholt und weiter geführt.

1) E. Riecke, Ann. d. Phys. 4. p. 592. 1901.

2) J. Stark, Die Elektrizität in Gasen p. 405. Leipzig 1902.

§ 2. *Versuchsanordnung.* — Der Stromkreis setzte sich bei meinen Versuchen aus folgenden Teilen zusammen: Hochspannungsbatterie, Jodkadmiumwiderstand, Unterbrecher, Anode, Kathode der Stromröhre, Telephon, Mikroampèremeter, Erde, Batterie.

Als Gasfüllung diene trockene, fettfreie Luft. Der Gasdruck in der Stromröhre wurde nach der Kompressionsmethode <sup>1)</sup> bestimmt. Um den störenden Einfluß der Selbstevakuation zu beseitigen, war an die Stromröhre noch ein großes, 1 Liter haltendes Gefäß angeschlossen.

Zur Messung des Kathodenfalles dienten geeignet angebrachte Sonden, diese waren entweder mit einem Braunschen Elektrometer für hohe Spannungen oder mit einem multizellularen Elektrometer für niedrige Spannungen verbunden; die Gehäuse der Elektrometer lagen an der Kathode des Glimmstromes.

Das Magnetfeld wurde mittels zweier gleicher Magnetisierungsspulen mit dicken zylindrischen Eisenkernen erzeugt. Sie waren hintereinander geschaltet und konaxial so aufgestellt, daß zwischen ihnen ein eben hinreichender Zwischenraum blieb zur Aufnahme der Stromröhre. Im Gebiet des Glimmstromes war das Magnetfeld homogen. Die Stärke des Magnetisierungsstromes wurde mit einem Präzisionsampèremeter gemessen. Dieses und das Mikroampèremeter waren so weit vom Magnetfeld aufgestellt, daß sie nicht gestört wurden.

Die Stärke des Magnetisierungsstromes wurde von 0 bis 10 Amp. variiert; innerhalb dieses Bereiches war die magnetische Feldstärke proportional der Stromstärke. Dies zeigt die nachstehende Eichkurve (Fig. 1); sie wurde mit Probespule und ballistischem Galvanometer ermittelt. Die remanente Feldstärke ist in ihr nicht enthalten; diese ist vielmehr als Nullpunkt angenommen.

§ 3. *Verlauf der kathodischen Stromlinien im Magnetfeld.* — In metallischen und elektrolytischen Leitern erfahren die Stromlinien durch ein Magnetfeld nur insofern eine Änderung, als der Halleffekt auftritt. Im Glimmstrom sind sowohl in dem negativen Glimmlicht wie in der positiven Lichtsäule die

1) El. i. G. p. 18.

Träger des negativen Stromes die kleinmassigen negativen Elektronen. Diese erfahren einerseits eine große magnetische Ablenkung; andererseits erzeugen sie durch ihren Stoß die Ionisation; wo sie nicht vorhanden sind, ist auch diese und die elektrische Strömung nicht vorhanden. Aus diesen Gründen werden die Linien des Glimmstromes so stark durch ein Magnetfeld beeinflusst.

Für uns kommt hier in erster Linie die Veränderung der Stromlinien an der Kathode in Betracht. Läuft ein von der Kathode ausgehender Kathodenstrahl, der ja eine Stromlinie darstellt, in der Richtung einer magnetischen Kraftlinie, so

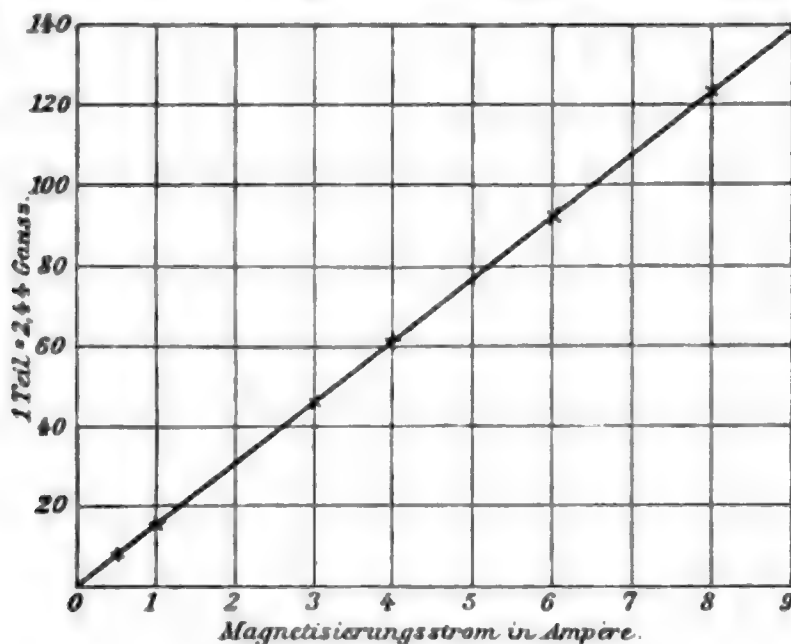


Fig. 1.

erfährt er keine Ablenkung. Dagegen werden die sekundären Strahlen, die durch Zerstreuung der bis dahin unabgelenkten Strahlen im Gase entstehen, am seitlichen Abirren von der primären Strahlenrichtung durch die magnetischen Kraftlinien gehindert, indem sie um diese spiralig gewickelt werden. *Auf diese Weise vermehrt ein Magnetfeld die Zahl der Stromlinien negativer Elektrizität in seiner Richtung; es zwingt sie in seiner Richtung den Querschnitt beizubehalten, den sie in ihrem Ursprung an der Kathode haben.* Infolgedessen vermag das von den Kathodenstrahlen erzeugte negative Glimmlicht weiter in der Richtung des Magnetfeldes vorzudringen und das positive Licht zurückzuschieben.

Besitzen die von der Kathode ausgehenden negativen Strahlen eine Geschwindigkeitskomponente normal zu den



magnetischen Kraftlinien, so werden sie von diesen abgelenkt. Die transversale Bewegung geht in eine kreisförmige um die Kraftlinien über; die Strahlen können sich nicht mittels der transversalen Komponente von der Kathode entfernen, sondern werden in deren Nähe vom Magnetfeld festgehalten und kommen dann hier im Gase zur Absorption. *Indem so ein Magnetfeld transversal laufende Kathodenstrahlenergie in der Nähe der Kathode zur Absorption im Gase bringt, wirkt es wie eine Erhöhung des Gasdruckes*, insofern die Kathodenstrahlen um so näher an der Kathode im Gase absorbiert werden, je größer dessen Druck ist.

Außer der Verstärkung der gleichlaufenden kathodischen Stromlinien und der Zusammendrängung und Krümmung der transversal laufenden, bringt ein Magnetfeld noch eine dritte Wirkung auf die Stromlinien an der Kathode hervor. Wie ich an anderer Stelle <sup>1)</sup> dargelegt habe, bedingen sich erste Kathodenschicht und negative Glimmschicht gegenseitig; da wo ein Teil der einen nicht entstehen kann, vermag in paralleler Lage der entsprechende Teil der anderen auch nicht zu stande zu kommen; wird die eine verschoben, so folgt ihr parallel auch die andere. Nun hindern magnetische Kraftlinien transversale Stromlinien, ihre anfängliche Richtung fortzusetzen, sie zwingen sie ihrer eigenen Richtung zu folgen. Auf diese Weise kann ein Magnetfeld die Stelle verschieben, in welcher die negativen von der Kathode weglauenden Strahlen in der negativen Glimmschicht im Gas zur Absorption kommen; es kann den Querschnitt der negativen Glimmschicht und damit dann auch die erste Kathodenschicht schmälern. *Ein transversales Magnetfeld vermag also die Basis des Glimmstromes an der Kathode oder die mit Glimmlicht bedeckte Oberfläche der Kathode zu verkleinern.* Beispiele dieser Wirkung wurden bereits an anderer Stelle (El. i. G. p. 402) gegeben; Fig. 5 unten stellt die Erscheinung ebenfalls dar; weiter unten wird noch öfter davon die Rede sein.

In der vorstehenden Wirkung beeinflußt das Magnetfeld die negativen von der Kathode weglauenden Stromlinien; es ist hierbei angenommen, daß die Wirkung auf die positiven

---

1) J. Stark, Ann. d. Phys. 7. p. 434. 1902.

Strahlen, welche auf die Kathode zulaufen und in der ersten Kathodenschicht das Gas ionisieren, in gleichem Sinne verläuft oder, wenn entgegengesetzt, doch zurücktritt. Es ist indes auch der Fall möglich, daß die Wirkung auf die Kathodenstrahlen gering ist und *die Wirkung auf die Kanalstrahlen eine Veränderung und zwar eine Verbreiterung der Grundfläche des negativen Glimmlichtes hervorbringt*. Man kann diese unter folgenden Umständen beobachten. Fig. 2 zeigt eine Scheiben-



Fig. 2.



Fig. 3.

kathode, die nahe von der Glaswand umgeben ist. Infolge der positiven Ladung<sup>1)</sup> der Glaswände im Kathodendunkelraum erfahren die auf die Kathode zulaufenden positiven Kanalstrahlen eine Abstoßung nach der Mitte; die Niveauflächen der Spannung sind nicht zur Achse senkrechte Ebenen; die Stromlinien sind etwas gegen die Rohrachse geneigt. Die erste Kathodenschicht ist auf die Mitte der Scheibe beschränkt. Erregt man nun parallel zur Rohrachse, senkrecht zur Scheibenfläche, ein homogenes Magnetfeld, so werden die vom Rande der negativen Glimmschicht nach der Scheibenmitte laufenden Kanalstrahlen vom longitudinalen Magnetfeld an der transversalen Bewegung gehindert und gezwungen, in der Nähe der Rohrwand zu bleiben. Die Folge davon ist eine Verbreiterung der Grundfläche des Glimmlichtes, wie Fig. 3 zeigt.

§ 4. *Anschluß der positiven Lichtsäule an das negative Glimmlicht.* — Da in der positiven Lichtsäule des Glimmstromes die Ionisation durch die negativen von der Kathode herkommenden Elektronionen erzeugt wird, so muß die positive Lichtsäule immer Anschluß suchen an das Ende der negativen Glimmschicht und jeder einzelne Teil der Lichtsäule an den unmittelbar vorausgehenden von der Kathode herkommenden Teil. Diese Regel, welche allgemein und auch für den Fall der Gegenwart eines Magnetfeldes gilt, wurde bereits an anderer

1) A. Wehnelt, Ann. d. Phys. 10. p. 542. 1903.



Stelle (El. i. G. p. 403) mit verschiedenartigen Beispielen belegt. Hier seien noch folgende erwähnt.

Die Anode sei eine Scheibe, ihr stehe normal eine Drahtkathode gegenüber. Bei höherem Gasdruck und nicht zu großer Stromstärke bedeckt das negative Glimmlicht nur einen Teil der Kathode; von der ganzen Vorderseite der Anode geht die positive Lichtsäule aus. Wird parallel zur Drahtkathode ein Magnetfeld erregt, so wird das negative Glimmlicht gewöhnlich vorn an der Spitze der Kathode zu einem dünnen, diese eng umhüllenden Zylinder zusammengedrängt; gleichzeitig wird die positive Lichtsäule zusammengeschnürt. Manchmal kommt es auch vor, daß das negative Glimmlicht vom Magnetfeld an das hintere Ende der Kathode gedrängt wird; es stellt dann einen Hohlzylinder dar, der nach der Anode zu offen ist; analog nimmt dann auch die positive Lichtsäule die Form eines Hohlzylinders an.

Fig. 4 stellt einen Glimmstrom bei ziemlich hoher Gasverdünnung im Magnetfeld Null dar; das positive Licht ist

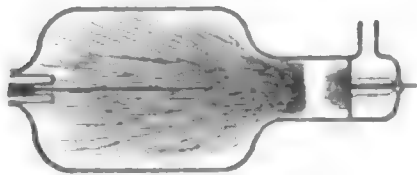


Fig. 4.



Fig. 5.

gänzlich in die Anode verschwunden, da bis zu dieser die negative Glimmschicht vordringt. In Fig. 5 ist zu diesem Glimmstrom ein transversales Magnetfeld erregt. Nunmehr bedeckt das negative Glimmlicht nur mehr einen kleinen Teil der Kathode, es ist stark verkürzt und nach unten an die Glaswand gedrängt. Da, wo hier die negative Glimmschicht (erste Schicht an der Kathode) endigt, setzen sich die Stromlinien in einer langen geschichteten, an der Glaswand zusammengedrängten positiven Lichtsäule fort.

§ 5. *Teilung des negativen Glimmlichtes im Magnetfeld.* — Gelegentlich der hier mitgeteilten Messungen beobachtete ich innerhalb eines gewissen Bereiches von Stromstärke, Gasdruck und magnetischer Feldstärke einen eigenartigen Einfluß des Magnetfeldes auf das negative Glimmlicht.

Die Kathode sei ein 3—4 cm langer Draht. Wie Fig. 6 zeigt<sup>1)</sup>, bedeckt das negative Glimmlicht (erste Kathodenschicht, Dunkelraum, negative Glimmschicht) bei ziemlich niedrigem Gasdruck im Magnetfeld Null gleichmäßig die ganze Oberfläche. Erregt man parallel zur Kathode, also senkrecht zu den von ihr ausgehenden Strahlen ein homogenes Magnetfeld von etwa 190 Gauss, so teilt sich, wie Fig. 7 zeigt, das Glimmlicht in zwei Teile, die durch einen ziemlich lichtlosen Raum voneinander getrennt sind. Über den vorderen auf der Kathodenspitze sitzenden bläulichen (gestrichelt) Teil ist ein rötlicher (punktiert) Ring positiven Lichtes geschoben; dieser stellt die Fortsetzung

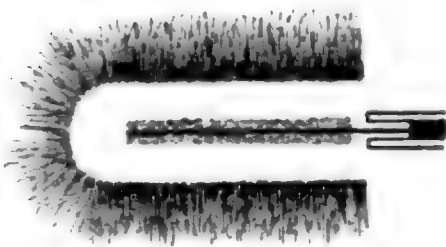


Fig. 6.

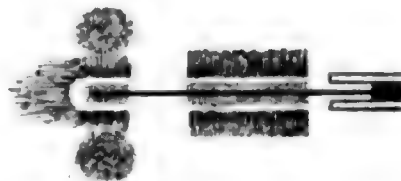


Fig. 7.

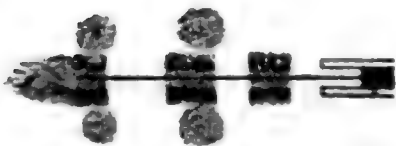


Fig. 8.

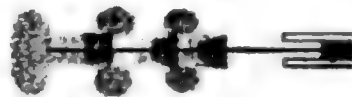


Fig. 9.

der Stromlinien des hinteren Teiles des Glimmlichtes dar; die zu dem vorderen Teile gehörende positive Lichtsäule ist in der Zeichnung nicht zu sehen, sie beginnt erst in größerem Abstände von der Kathodenspitze.

Eine noch größere magnetische Feldstärke teilt das Glimmlicht in drei, an längeren Kathoden in noch mehr Ringe. Über jeden bläulichen (gestrichelt) Ring negativen Glimmlichtes, ausgenommen über den hintersten Ring ist ein Ring rötlichen (punktiert) positiven Lichtes geschoben (Figg. 8 u. 9). Ein jeder rote Ring gehört als Stromfortsatz zu dem vorhergehenden blauen engeren Ring. In Fig. 9 (Feldstärke etwa

1) Fig. 6, 7, 8, 9 stellen Längsschnitte dar, die räumlichen Lichtgebilde werden durch Rotation um die Achse der Kathode erhalten.

270 Gauss) ist auch das zum vordersten blauen Ring gehörende positive Licht zu sehen.

Bei konstanter magnetischer Feldstärke und konstantem Gasdruck wächst die Zahl der negativen blauen Ringe mit der Stromstärke. Ist von ihnen einmal die ganze Länge der Kathode besetzt, so wächst bei weiter zunehmender Stromstärke die Länge des einzelnen Ringes, es wird hierbei dann unter Umständen die Zahl unstetig wieder kleiner.

Bei konstanter magnetischer Feldstärke und konstanter Stromstärke wächst die Länge des einzelnen blauen Ringes mit sinkendem Gasdruck.

Bei konstanter Stromstärke und konstantem Gasdruck nimmt die Ringlänge ab mit wachsender magnetischer Feldstärke; gleichzeitig wird auch der Durchmesser der blauen negativen wie der roten positiven Ringe kleiner und diese schieben sich näher an ihre zugehörigen negativen Ringe heran. Ferner wird mit wachsender Feldstärke der Abstand des ersten blauen Ringes von dem Ende des die Kathode haltenden Glasrohres größer; die Grundfläche des negativen Glimmlichtes wird also kleiner.

§ 6. *K, i-Kurven im Magnetfeld.* — Bezeichnet  $K_i$  den Kathodenfall,  $i$  die Stromstärke,  $p$  den Gasdruck,  $f$  die von Glimmlicht bedeckte Kathodenoberfläche,  $K_n$  den normalen Kathodenfall,  $k$  und  $\alpha$  Konstanten, so gilt bei konstanter Temperatur (vgl. vorausgehende Abhandlung):

$$K = K_n + \frac{k}{p \cdot f^{1/2}} (i - \alpha \cdot p \cdot f)^{1/2}.$$

Bei konstantem Gasdruck wird die Beziehung zwischen  $K$  und  $i$  graphisch durch parabolische Kurven dargestellt. Am geeignetsten für die Prüfung dieser Beziehung sind drahtförmige Kathoden. Unter Beobachtung der in der vorausgehenden Abhandlung angegebenen Vorsichtsmaßregeln habe ich mehrere Messungsreihen über die Beziehung zwischen Kathodenfall und Stromstärke im Magnetfeld angestellt. Das Magnetfeld war hierbei parallel der Drahtkathode aus Platin, stand also senkrecht zu den an dieser entspringenden Strahlen.

Die nachstehenden Tabellen geben mehrere derartige Messungsreihen ( $i$  Stromstärke in Mikroampère,  $K$  Kathodenfall in Volt,  $p$  Druck in Millimetern,  $H$  Feldstärke in Gauss).

$p = 0,166.$ 

$H = 0$		$H = 97$		$H = 190$	
$i$	$K$	$i$	$K$	$i$	$K$
82	550	88	430	90	410
110	585	118	452	122	430
158	630	175	465	180	455
262	720	311	492	322	455
340	780	415	510	435	456
448	850	580	540	616	457
541	895	732	560	786	457
613	920	850	580	920	460

 $p = 0,493$ 

$H = 0$		$H = 190$	
$i$	$K$	$i$	$K$
122	357	123	350
181	390	183	360
420	475	433	390
580	520	616	402
724	560	783	410
831	590	919	415

In Fig. 10 sind die vorstehenden Messungen in Kurven eingetragen. Wie man aus den Tabellen und den Kurven er-

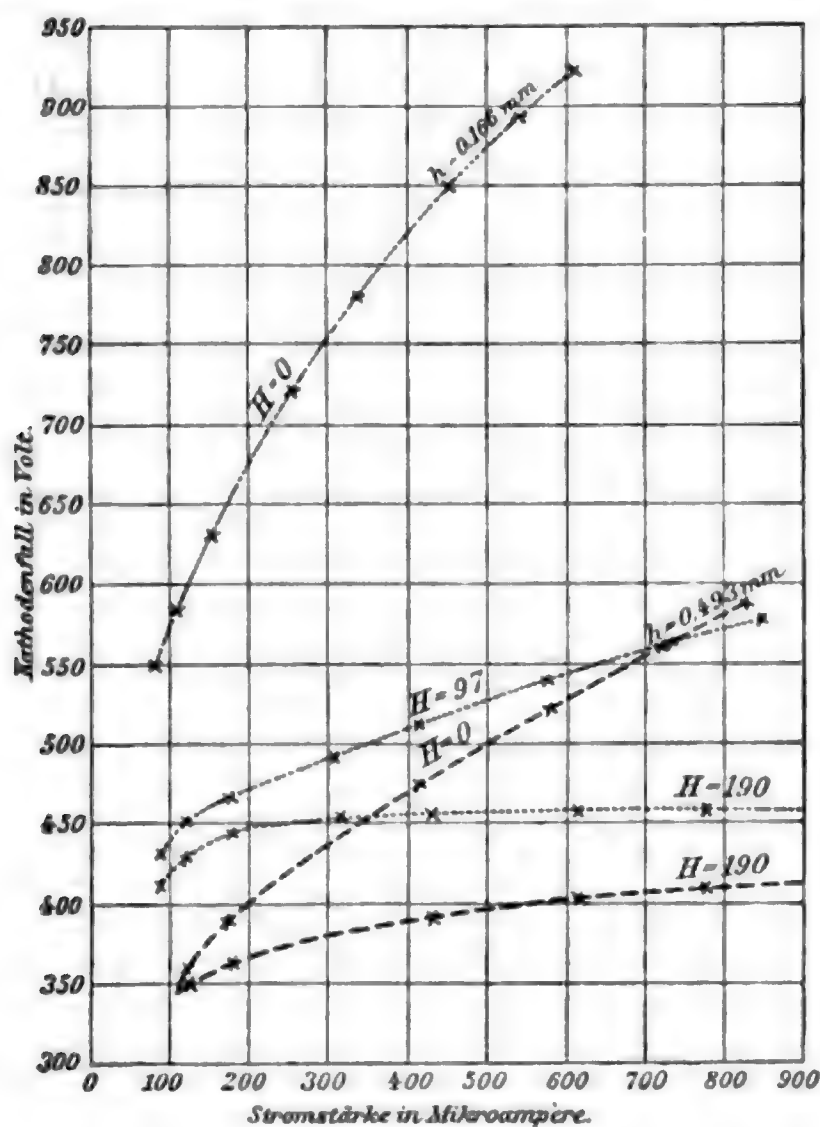


Fig. 10.

sieht, verändert ein transversales Magnetfeld sowohl Kathodenfall wie Stromstärke; die  $K, i$ -Kurven erfahren durch ein

Magnetfeld eine Form- und Lageänderung. Die magnetische Feldstärke tritt als variabler Parameter in das Kathodenfallgesetz; es entsteht die Aufgabe, zu untersuchen, welche einzelne Größen in der oben angegebenen Formel Funktionen der magnetischen Feldstärke sind.

§ 7. *Der normale Kathodenfall im Magnetfeld.* — Die Konstante  $K_n$  in der obigen Formel für den Kathodenfall, *der normale Kathodenfall*, der unabhängig ist von Stromdichte, Gasdruck und Temperatur, ist auch unabhängig von einem Magnetfeld, mag es longitudinal oder transversal zu den kathodischen Stromlinien laufen.

Diesen Satz habe ich sowohl an Draht- wie an Scheibenkathoden bestätigt. Unter Umständen scheint jedoch ein Magnetfeld den normalen Kathodenfall sowohl zu erniedrigen wie zu erhöhen. Ist nämlich der Glimmstrom im Magnetfeld unstetig, singt also das Telephon, so wächst der Kathodenfall, sowie bei Erregung des Magnetfeldes das Telephon verstummt. Ist umgekehrt der Strom im Magnetfeld Null stetig, so sinkt der Kathodenfall, sowie Erregung des Magnetfeldes ein Singen des Telephons bewirkt. Diese Beobachtungen erklären sich daraus, daß bei pulsierendem Strom das Elektrometer nicht den Maximalwert der Spannung der Sonde, also den normalen Kathodenfall, sondern einen kleineren Mittelwert angibt.

§ 8. *Die Stromdichte im Magnetfeld.* — In der Formel für den Kathodenfall

$$K = K_n + \frac{k}{p \cdot f^{1/2}} (i - \kappa \cdot p \cdot f)^{1/2}$$

stellt  $i/f$  die wirklich vorhandene Stromdichte,  $\kappa \cdot p = j_n$  die normale Stromdichte (El. i. G. p. 128) dar. *Die von Glimmlicht bedeckte Oberfläche  $f$  der Kathode ist*, wie oben bereits dargelegt wurde, *eine Funktion der magnetischen Feldstärke  $H$ , und zwar wird  $f$  in einem transversalen Magnetfeld kleiner mit wachsendem  $H$ , in einem longitudinalen Magnetfeld, das senkrecht zu einer eng umwandeten Scheibenkathode steht, wird  $f$  größer mit wachsendem  $H$ . Im ersten Falle wird gleichzeitig die Stromstärke  $i$  größer; darum wird durch ein transversales Magnetfeld die Stromdichte  $j = i/f$  vergrößert. Im zweiten Falle wird gleichzeitig mit  $f$  auch  $i$  größer und zwar etwas schneller als  $f$ ; darum wird auch durch ein longitudinales Magnetfeld die Strom-*



*dichte erhöht, aber beträchtlich weniger als durch ein transversales.*

Genaue Messungen der Grundfläche  $f$  im Magnetfelde lassen sich schwer anstellen; einmal ist nämlich im Magnetfeld die Grenze zwischen bedeckt und unbedeckt unschärfer als ohne Magnetfeld; sodann *wird durch das Magnetfeld die Verteilung der Stromdichte in der Regel ungleichmäßig*, wie es beispielsweise in der oben beschriebenen Erscheinung der Teilung des negativen Glimmlichtes in einzelne Ringe der Fall ist.

Das Vorstehende gilt allgemein und darum auch für die normale Stromdichte  $j_n = \alpha \cdot p$ ; auch *die normale Stromdichte wird durch ein transversales Magnetfeld vergrößert*. Dies kann man am besten an einer drahtförmigen Kathode beobachten, die parallel zum Magnetfeld gestellt ist. Bedeckt im Feld Null das negative Glimmlicht nur einen Teil der Kathodenoberfläche, so zieht sich seine Grundfläche zusammen, sowie das Magnetfeld erregt wird, und zwar um so mehr, je größer die magnetische Feldstärke und je kleiner der Gasdruck ist. Wenn  $j_n = \alpha \cdot p$  von einem Magnetfeld abhängig ist, so kann dies nur daher rühren, *daß die Konstante  $\alpha$  eine Funktion der Feldstärke  $H$  ist*. Dies ist auf Grund folgender Überlegung verständlich. Die normale Stromdichte  $j_n$  ist um so größer, je größer die Zahl der Zusammenstöße der Kathodenstrahlen mit neutralen Gasteilchen in der Nähe der Kathode ist, also in je größerer Nähe der Kathode die Kathodenstrahlenergie vom Gase absorbiert wird. Nun aber bewirkt, wie oben dargelegt wurde, ein transversales Magnetfeld in der Tat, daß die Kathodenstrahlenergie in größerer Nähe der Kathode absorbiert wird. Je niedriger der Gasdruck ist, desto länger wird das Glimmlicht, desto weiter entfernt sich also ohne Magnetfeld die Kathodenstrahlenergie von der Kathode; desto mehr erhöht dann auch ein transversales Magnetfeld die Stromdichte.

In der Formel des Kathodenfalles bezeichnet der größte Wert von  $\alpha \cdot p \cdot f$ , der Wert, für den die Grundfläche mit wachsender Stromstärke nicht mehr zunehmen kann, diejenige Stromstärke, welche die Grenze bildet zwischen normalem und abnormalem Kathodenfall oder zwischen dem geraden und dem

parabolischen Teil der  $K, i$ -Kurven. Nun lassen schon die gestrichelten Kurven der Fig. 10 erkennen, daß dieser Punkt durch ein transversales Magnetfeld nicht verschoben wird. In der Tat konnte ich nie beobachten, daß der abnormale Kathodenfall durch das Magnetfeld auf den Wert des normalen erniedrigt wurde. *Die Grenzstromstärke  $\alpha.p.f$  zwischen normalem und abnormalem Kathodenfall ist also von einem transversalen Magnetfeld unabhängig.* Dies erklärt sich daraus, daß in  $\alpha.p.f$  sowohl  $\alpha$  wie  $f$  eine Funktion der Feldstärke ist, und zwar nimmt  $\alpha$  zu,  $f$  ab mit wachsender Feldstärke.

§ 9. *Kathodenstrahlen normal zum Magnetfeld, Glaswand entfernt.* — Indem die Glaswand die Ausbreitung des negativen Glimmlichtes hindert, stört sie die normale Entwicklung der Erscheinungen an der Kathode. Um die Kathodenstrahlen entfernt von der Glaswand und zugleich normal zu magnetischen Kraftlinien verlaufen zu lassen, wählt man am besten eine von einem Glasröhrchen gehaltene Drahtkathode, bringt sie radial in einem weiten kugelförmigen oder axial in einem weiten zylindrischen Stromgefäß an; das homogene Magnetfeld läßt man parallel zur Drahtachse, also senkrecht zu den von seiner Oberfläche ausgehenden Kathodenstrahlen laufen.

Durch ein Magnetfeld wird sowohl die Stromstärke wie der Kathodenfall geändert; zur Analyse der Beziehung zwischen Kathodenfall und Feldstärke ist es notwendig, äquikonstante Wertereihen beider Größen zu gewinnen. In der Formel

$$K = K_n + \frac{k}{p \cdot f^{1/2}} (i - \alpha \cdot p \cdot f)^{1/2}$$

ist  $K_n$ ,  $p$  und  $\alpha \cdot p \cdot f$  unabhängig von  $H$ ;  $f$  ist eine Funktion von  $H$ , kann aber nicht konstant gehalten werden. Um wenigstens  $i$  und damit  $(i - \alpha \cdot p \cdot f)$  konstant zu halten, wurden für jeden einzelnen in Messung gezogenen Wert von  $H$  zwei oder drei Wertepaare von  $K$  und  $i$  ermittelt. Diese wurden dann wie in Fig. 10 graphisch angetragen und durch graphische Interpolation zu Kurvenstücken verbunden. Aus diesen wurden dann die zu einem und demselben Werte von  $i$  gehörigen Werte von  $K$  für verschiedene Werte von  $H$  entnommen.

In den nachstehenden Tabellen sind mehrere Messungsreihen der bezeichneten Art mitgeteilt. Statt der magnetischen



Feldstärke selbst ist der ihr proportionale Magnetisierungsstrom  $J$  eingetragen.

$J$	$p = 0,163$		$p = 0,056$				$p = 0,031$			
	$i$	$K$	$i$	$K$	$i$	$K$	$i$	$K$	$i$	$K$
0	320	810	243	990	367	1195	133	1380	190	1495
0,5	328	755	273	910	418	1070	194	1185	303	1305
1	333	650	320	795	517	915	255	1005	403	1125
1,5	—	—	—	—	—	—	260	1000	413	1125
3,2	413	490	342	740	565	855	240	1060	375	1210
5	415	480	335	775	560	880	225	1115	350	1260
7	415	480	328	795	558	895	222	1150	345	1280
10	407	520	327	795	558	895	215	1170	338	1295

In der Fig. 11 sind, um ein Beispiel zu geben, die vorstehenden Werte von Magnetisierungsstrom  $J$  und Kathoden-

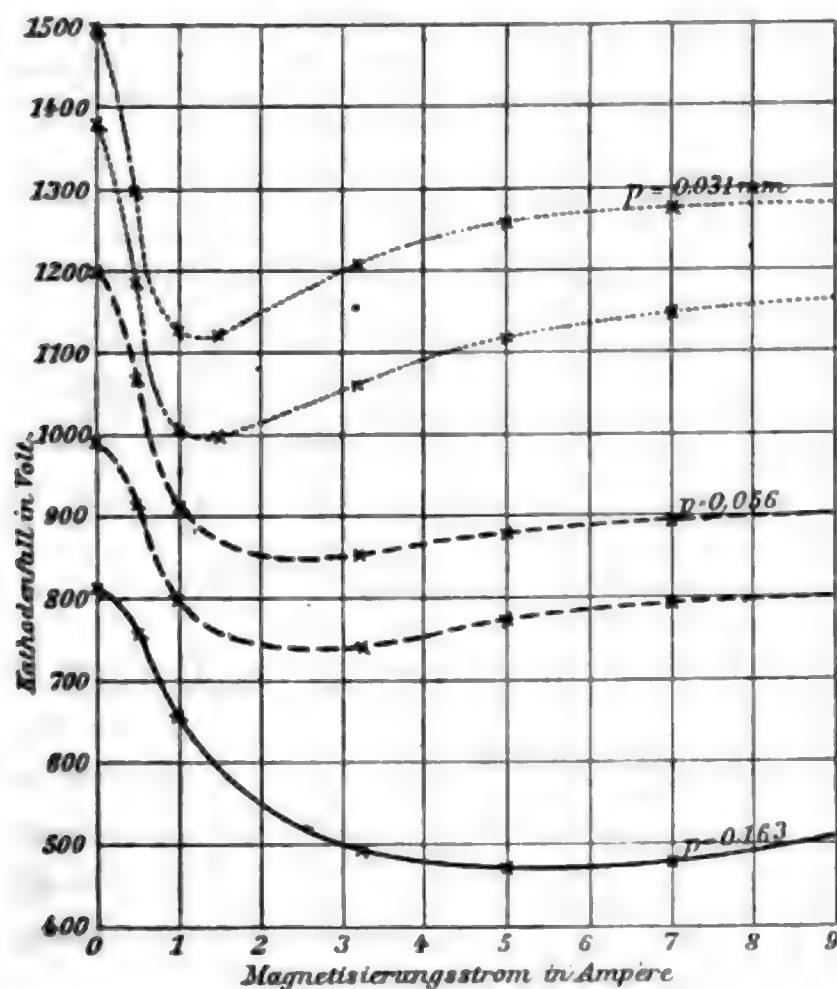


Fig. 11.

fall  $K$  in Kurven eingetragen ohne Berücksichtigung des Wertes der Stromstärke; diese Kurven sind darum nicht äquikonstant in Stromstärke. Dagegen ist dies der Fall bei den Kurven

der Fig. 12, die auf die oben angegebene Weise durch graphische Interpolation aus den  $K, i$ -Kurven für verschiedene  $H$ -Werte gewonnen wurden. Ebenfalls sind die  $K, J$ -Kurven in den Figg. 13 u. 14 äquikonstant in der Stromstärke  $i$ . Es erübrigt sich, die zugehörigen Messungsreihen mitzuteilen. Es sei nur bemerkt, daß bei ihnen nicht zwei  $K, i$ -Punkte für jede Kurve wie in den mitgeteilten Tabellen, sondern drei Punkte ermittelt wurden.

Wie man sieht, besteht eine jede  $K, J$ -Kurve aus einem absteigenden und einem aufsteigenden Ast, auf jenem nimmt

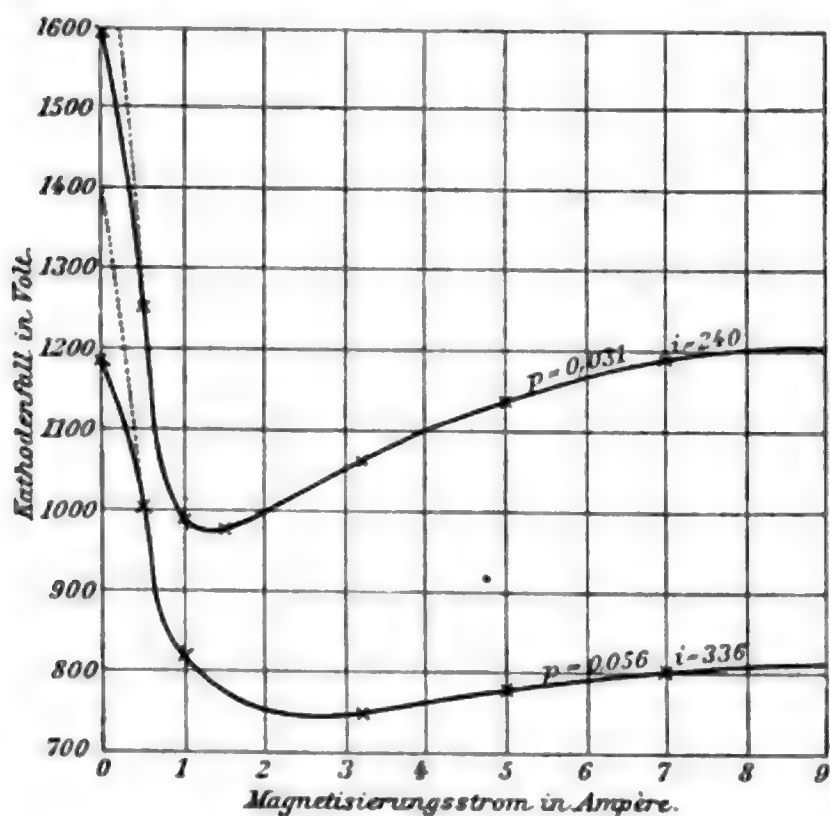


Fig. 12.

der Kathodenfall ab mit steigender Feldstärke, auf diesem nimmt er zu, ohne indes seinen Wert für  $H = 0$  zu erreichen; zwischen ihnen liegt ein Minimum des Kathodenfalles.

Der absteigende Ast besitzt einen Wendepunkt, indem der Kathodenfall mit wachsendem Magnetisierungsstrom erst langsam, dann schnell, dann wieder langsamer abnimmt. Diese Erscheinung dürfte sich in folgender Weise erklären. In den Figg. 11 u. 12 ist nicht die wirkliche magnetische Feldstärke  $H$  selbst, sondern nur die magnetisierende Stromstärke  $J$  angetragen. Nun ist mit Rücksicht auf den remanenten Magnetismus zu setzen  $H = H_0 + C \cdot J$ , wo  $H_0$  die remanente Feldstärke,  $C$  einen

Proportionalitätsfaktor bedeutet. Neben großen Werten von  $J$  kann  $H_0$  vernachlässigt werden, nicht aber mehr in der Nähe von  $J = 0$ . Für  $J = 0$  ist darum  $K$  bereits beträchtlich kleiner als für  $H = 0$ . In den Figg. 12, 13 u. 14 ist darum in Extrapolation durch Punktierung der Verlauf der  $K, J$ -Kurven angedeutet für den Fall, daß  $J$  auch in der Nähe von Null  $H$  genau määße.

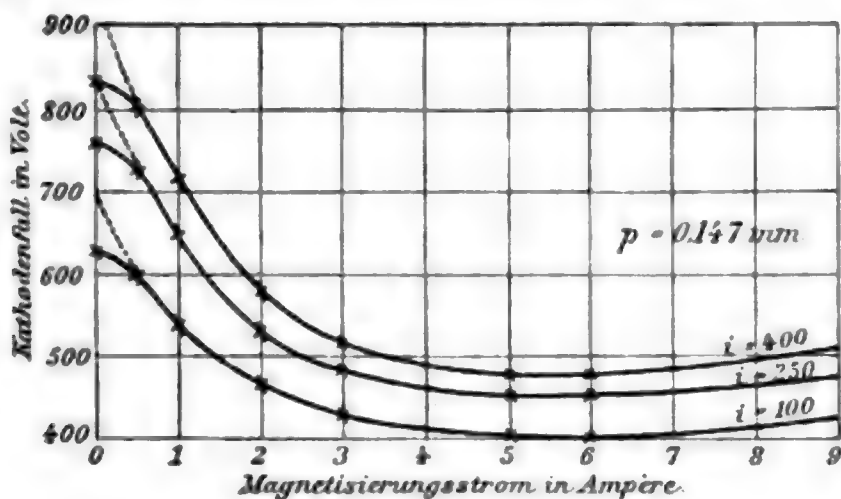


Fig. 13.

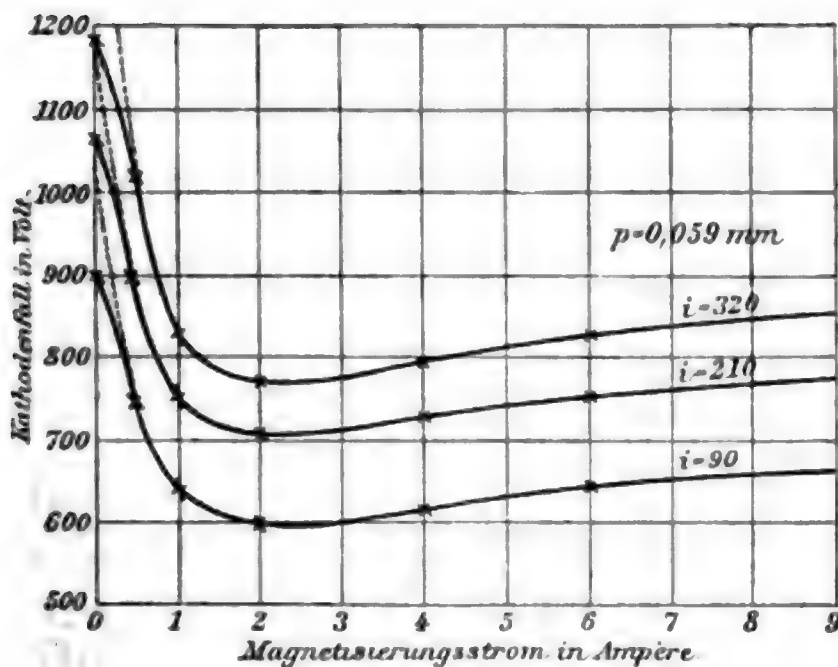


Fig 14.

An den Kurven fällt weiter auf, daß der Wert der Feldstärke  $J$ , für welchen der Kathodenfall ein Minimum hat, unabhängig von der Stromstärke ist. Die Bedingung für dieses Minimum ist:

$$\frac{dK}{dH} = (i - \alpha \cdot p \cdot f)^{1/2} \frac{d}{dH} \left( \frac{k}{p \cdot f^{1/2}} \right) + \frac{k}{p \cdot f^{1/2}} \frac{d}{dH} (i - \alpha \cdot p \cdot f)^{1/2} = 0.$$

Nun war bei meiner Versuchsanordnung die Anode der negativen Glimmschicht so nahe, daß die positive Lichtsäule sowohl im Magnetfeld Null wie in dem erregten Magnetfeld fehlte; dieses lief an der Anode parallel den Stromlinien und brachte darum keine Änderung in dem anodischen Teil der Strömung hervor. Aus diesem Grunde war der Kathodenfall  $K$  praktisch gleich der Elektrodenspannung<sup>1)</sup>; bezeichnet  $E$  die äußere elektromotorische Kraft,  $r$  den äußeren Widerstand, so darf man in diesem Falle setzen  $i = (E - K)/r$ . Bei Einführung dieser Beziehung erhält man:

$$\frac{dK}{dH} = (i - \alpha \cdot p \cdot f)^{1/2} \frac{d}{dH} \left( \frac{k}{p \cdot f^{1/2}} \right) - \frac{k}{2 p \cdot f^{1/2} \cdot r} \left( \frac{E - K}{r} - \alpha \cdot p \cdot f \right)^{-1/2} \frac{dK}{dH} = 0$$

oder

$$\frac{dK}{dH} = \frac{(i - \alpha \cdot p \cdot f)^{1/2} \frac{d}{dH} \left( \frac{k}{p \cdot f^{1/2}} \right)}{1 + \frac{k}{2 p \cdot f^{1/2} \cdot r} \left( \frac{E - K}{r} - \alpha \cdot p \cdot f \right)^{-1/2}} = 0.$$

Diese Gleichung wird nur erfüllt, wenn

$$\frac{d}{dH} \left( \frac{k}{p \cdot f^{1/2}} \right) = 0$$

ist. In dieser Bedingung ist aber die Stromstärke nicht mehr enthalten. Aus diesem Grunde ist diejenige magnetische Feldstärke, welche das Minimum des Kathodenfalles herstellt, unter den gewählten Versuchsbedingungen unabhängig von der Stromstärke.

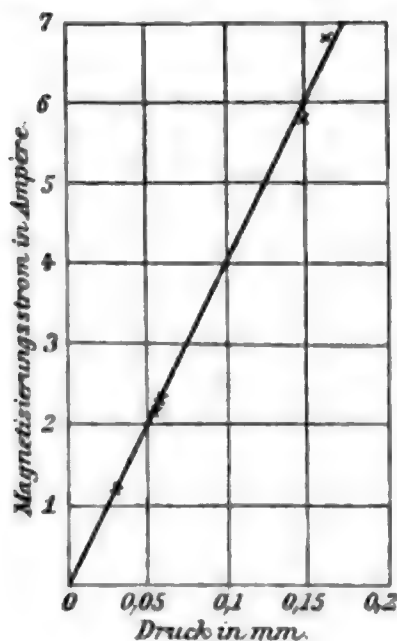


Fig. 15.

In Fig. 15 ist als Abszisse der Druck angetragen, als Ordinate diejenige Feldstärke (gemessen in  $J$ ), welche das Minimum des Kathodenfalles herstellt. Wie man sieht, besteht zwischen beiden Größen Proportionalität.

Es ist zu vermuten, daß die zwei Äste der  $K, J$ -Kurven zwei Wirkungen des Magnetfeldes auf den Kathodenfall entsprechen; die eine Wirkung müßte auf

1) J. Stark, Physik. Zeitschr. 3. p. 88. 1901.

dem absteigenden Ast den Kathodenfall erniedrigen, die andere ihn auf dem aufsteigenden Ast erhöhen; für kleine Feldstärken überwiegt jene, für große diese Wirkung. Nach dem in § 3 u. 8 Gesagten ist es leicht, diese zwei Wirkungen zu erkennen. Erstens werden die Kathodenstrahlen in größerer Nähe der Kathode zur Absorption gebracht, ähnlich wie bei höherem Gasdruck; die Konstante  $k$  nimmt also ab mit steigender Magnetfeldstärke und zwar erst rasch, dann langsam, der Differentialquotient  $dk/dH$  hat also negatives Vorzeichen. Zweitens verkleinert ein transversales Magnetfeld die Grundfläche des negativen Glimmlichtes und zwar um so mehr, je niedriger der Gasdruck ist; der Differentialquotient  $df/dH$  ist also ebenfalls negativ. Da  $k$  im Zähler,  $f$  im Nenner in der Formel des Kathodenfalles steht, so nimmt dieser ab infolge Verkleinerung von  $k$ , er nimmt indes zu infolge Verkleinerung von  $f$ . Die Bedingungsgleichung für das Minimum

$$\frac{d}{dH} \left( \frac{k}{p \cdot f^{1/2}} \right) = 0 = f^{-1/2} \frac{dk}{dH} - \frac{k}{2} f^{-3/2} \frac{df}{dH}$$

kann erfüllt werden, da die in ihr vorkommenden zwei Differentialquotienten gleiches Vorzeichen haben. Da  $df/dH$  für kleine Werte von  $H$  um so größer ist, je kleiner der Gasdruck ist, so wird das Minimum für um so kleinere Feldstärken erreicht, je niedriger der Gasdruck ist.

§ 10. *Kathodenstrahlen normal zum Magnetfeld, Glaswand nahe.* — Eine Röhre von der in Fig. 4 gezeichneten Form wurde in ein transversales Magnetfeld gebracht; als Kathode diente die Scheibenelektrode, welche normal zur Rohrachse stand und mit ihrem Rand die Glaswand berührte.

Wie bereits dargelegt wurde und wie aus Fig. 5 ersichtlich ist, bringt auch hier das transversale Magnetfeld eine Verkleinerung von  $f$  hervor. Die Kathodenstrahlen werden durch die transversale Feldstärke ebenfalls verkürzt und gehindert, von der Kathode sich weit zu entfernen. Während indes ihre Energie bei entfernter Glaswand im Gas absorbiert wird, wodurch  $k$  abnimmt, wird sie bei naher Glaswand zum größeren Teil an dieser, zum kleineren Teil im Gas in der Nähe der Kathode absorbiert. Aus diesem Grunde wird bei naher Glaswand  $k$  durch ein transversales Magnetfeld nur wenig oder gar nicht verkleinert.



Aus dem Vorstehenden erklärt sich folgende Abhängigkeit des Kathodenfalles von einer transversalen Feldstärke bei naher Glaswand. *Wächst die Feldstärke langsam von Null ausgehend, so nimmt der Kathodenfall erst ein wenig bis zu einem Minimum ab und steigt dann rasch mit wachsender Feldstärke zu sehr hohen Werten an.*

§ 11. *Kathodenstrahlen parallel zum Magnetfeld.* — Es ist schwer eine Versuchsanordnung zu finden, in welcher sämtliche von der Kathode ausgehende Strahlen die gleiche Richtung besitzen. Diese Bedingung ist nämlich zu erfüllen, um den Einfluß des Magnetfeldes auf den Kathodenfall bei räumlichem Zusammenfallen von Kraftlinien und Kathodenstrahlen isoliert für sich zu untersuchen.

Wählt man als Kathode eine Kreisscheibe, die wie in Figg. 2 und 4 normal zur Achse des Glasrohres steht und an diesem eng anliegt, so laufen die Kathodenstrahlen wohl bei höherem Gasdruck, also kleiner Länge des Kathodendunkelraumes, alle parallel der Rohrachse; bei niedrigen Gasdrücken gehen sie indes nur von der Mitte der Scheibe aus und sind infolge der Wandladung etwas gegen die Rohrachse geneigt (Fig. 2).

Erregt man im ersten Fall ein Magnetfeld senkrecht zu der Scheibenkathode, also parallel zu den Kathodenstrahlen, so ändert sich der Kathodenfall nicht, auch wenn dieser bereits abnormal ist. *Laufen also die Kathodenstrahlen parallel dem Magnetfeld, so ist der Kathodenfall unabhängig von der magnetischen Feldstärke.*

Im zweiten Falle, bei niedrigem Gasdruck, besitzen die Kathoden- und Kanalstrahlen eine kleine Geschwindigkeitskomponente normal zu dem Magnetfeld. Es tritt nunmehr die oben § 3 besprochene Erscheinung auf, daß die Grundfläche  $f$  des Glimmlichtes durch ein paralleles Magnetfeld vergrößert wird. Von dem Einfluß des Magnetfeldes auf den Kathodenfall

$$K = K_n + \frac{k}{p \cdot f^{1/2}} (i - \kappa \cdot p \cdot f)^{1/2}$$

in diesem Falle geben die nachstehenden Tabellen ein Beispiel.

$p = 0,313$				$p = 0,133$				$p = 0,081$				$p = 0,047$					
$i$	$K$	$i$	$K$	$i$	$K$	$i$	$K$	$i$	$K$	$i$	$K$	$i$	$K$	$i$	$K$	$i$	$K$
199	320	473	340	164	640	347	820	87	870	238	1160	31	1420	70	1700	135	1830
200	315	474	334	166	620	349	800	92	825	247	1130	38	1310	83	1640	167	1790
200	305	475	327	174	580	362	760	103	700	280	1000	58	980	155	1420	290	1730
201	295	476	320	176	550	375	720	109	630	308	920	67	830	203	1270	440	1650
202	292	477	310	—	—	—	—	111	600	324	860	70	780	230	1165	535	1590
—	—	—	—	180	510	386	670	112	590	330	835	—	—	—	—	—	—
202	286	479	290	—	—	—	—	113	590	335	820	73	720	253	1060	650	1530
202	280	479	290	180	500	390	650	113	590	337	810	—	—	—	—	—	—
—	—	—	—	—	—	—	—	—	—	—	—	73	710	265	1020	707	1470
202	280	479	290	180	495	392	625	113	590	338	800	—	—	—	—	—	—
202	280	479	290	—	—	—	—	113	590	338	800	73	710	270	990	745	1420

Die  $K$ ,  $J$ -Kurven der Fig. 16 sind auf Grund der vorstehenden Tabellen nach der oben angegebenen Art konstruiert; sie sind äquikonstant in Stromstärke.

Wie aus den Tabellen und Kurven zu ersehen ist, nimmt der Kathodenfall mit wachsender Feldstärke ab, um schließlich einen konstanten Wert anzunehmen; gleichzeitig wird auch  $f$  größer und schließlich ebenfalls konstant. Der konstante Wert wird, wie die drei obersten im Druck äquikonstanten Kurven ersehen lassen und leicht zu verstehen ist, für um so größere Feldstärken erreicht, je größer die Strahengeschwindigkeit ist. In der Konstanz des Kathodenfalles bei größerer Feldstärke wiederholt sich die bei höheren Drucken auftretende Erscheinung, daß der Kathodenfall unabhängig vom Magnetfeld ist, wenn Kathodenstrahlen und Kraftlinien parallel laufen. Diese letztere Bedingung ist nämlich bei größerer Feldstärke erfüllt.

§ 12. *Kathodenstrahlen geneigt zum Magnetfeld.* — Die in §§ 9, 10 und 11 besprochenen Fälle einer Einwirkung des Magnetfeldes auf den Kathodenfall des Glimmstromes stellen einfache und ausgezeichnete Fälle der Erscheinung dar. Sie schließen alle übrigen Fälle in kontinuierlichem Übergang oder in Übereinanderlagerung der in ihnen isolierten Wirkungen zwischen sich. Es kann kein wissenschaftliches Interesse bieten, die verwickelten Erscheinungen zu beschreiben, die ein Magnet-

feld bei schiefer Richtung der Kathodenstrahlen, bei partiell normalem, partiell parallelem Verlauf derselben, bei größerer oder kleinerer Nähe der Glaswand hervorbringt. Nur soviel sei bemerkt: nach den oben mitgeteilten Untersuchungen liegt es auf der Hand, daß mit der Orientierung der Stromröhre im

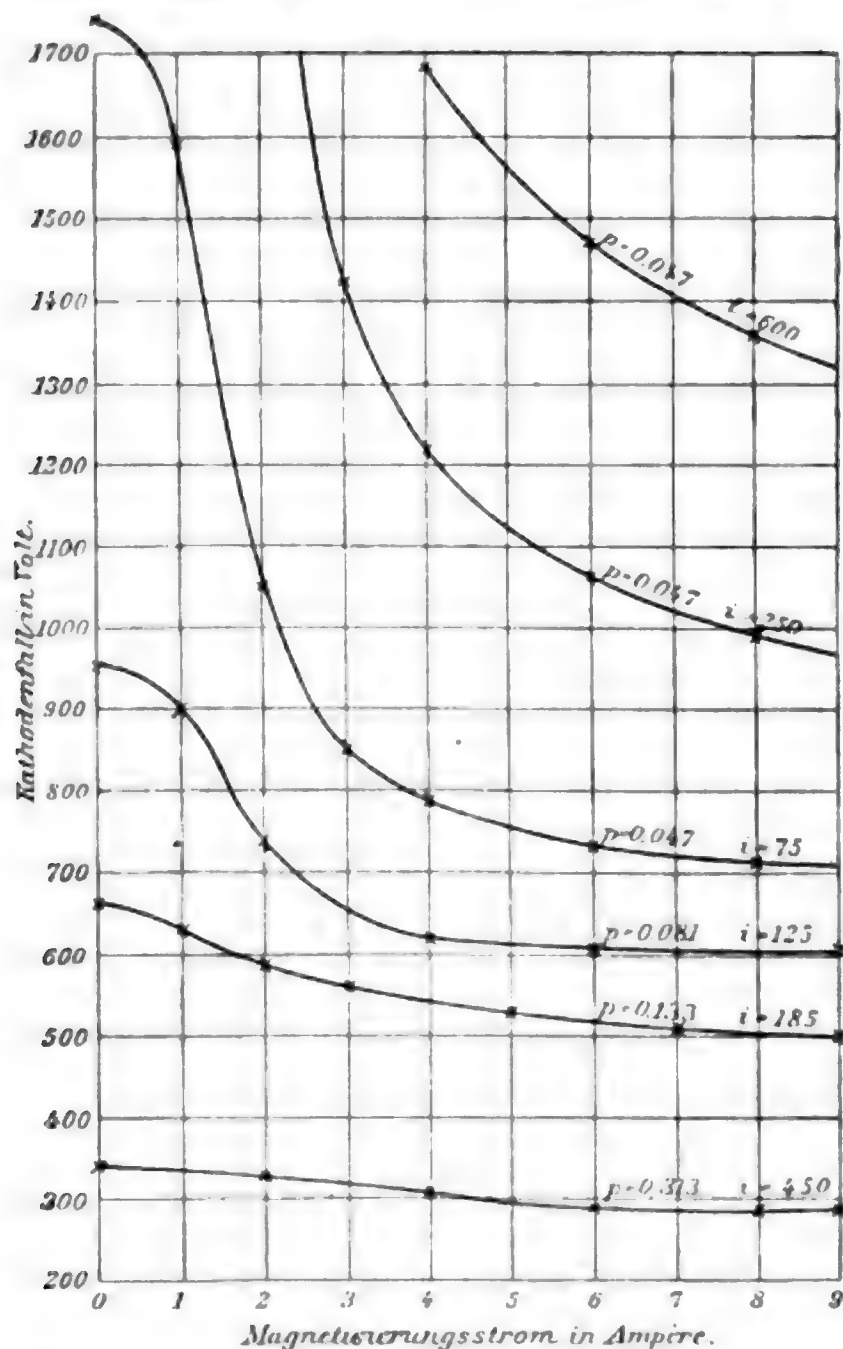


Fig. 16.

*Magnetfeld auch dessen Wirkung auf den Kathodenfall des Glimmstromes variiert.*

§ 13. *Rückblick.* — Ein Magnetfeld verlängert oder verkürzt die positive Lichtsäule, je nachdem es das negative Glimmlicht verkürzt oder verlängert; dementsprechend vergrößert oder verkleinert es die auf die positive Lichtsäule entfallende Spannungsdifferenz.

Ein transversales Magnetfeld verringert den Querschnitt der positiven Lichtsäule; dadurch erhöht es das Spannungsgefälle in dieser.<sup>1)</sup>

Ein longitudinales Magnetfeld verändert das Spannungsgefälle in der positiven Lichtsäule nicht. Dies ist von vornherein zu erwarten; ich habe es indes gelegentlich der hier beschriebenen Versuche auch experimentell festgestellt.

In der Formel des Kathodenfalles, der auf das negative Glimmlicht entfallenden Spannungsdifferenz,

$$K = K_n + \frac{k}{p \cdot f^{1/2}} (i - \alpha \cdot p \cdot f)^{1/2},$$

sind  $k$  und  $f$  Funktionen der magnetischen Feldstärke.

Ein transversales Magnetfeld verkleinert  $k$  und  $f$ ; für kleine Feldstärken überwiegt die erste, für größere die zweite Wirkung.

Ein longitudinales Magnetfeld ändert den Kathodenfall nicht; beraubt indessen die Nähe der Glaswand einen Teil der Kathode des negativen Glimmlichtes, so vergrößert das Magnetfeld  $f$  und verkleinert so  $K$ .

Göttingen, März 1903.

1) E. Wiedemann u. G. C. Schmidt, Wied. Ann. 66. p. 337. 1898; H. Schwienhorst, Diss. Göttingen 1903.

(Eingegangen 9. April 1903.)

### 3. *Beiträge zu der Lehre von der Lufterlektrizität; von Eduard Riecke.*

(Aus den Nachrichten der K. Gesellschaft der Wissenschaften zu Göttingen.  
Mathematisch-physikalische Klasse. Heft 1 u. 2. 1903.)

#### I. Über die Zerstreuung der Elektrizität in abgeschlossenen Räumen.

In der öffentlichen Sitzung der K. Ges. d. Wiss. zu Göttingen am 15. November des vergangenen Jahres habe ich über „neuere Anschauungen der Elektrizitätslehre mit besonderer Beziehung auf Probleme der Lufterlektrizität“ gesprochen. Der allgemeine Teil des Vortrages betraf die Gegenstände, die ich in meinem Lehrbuche der Physik (2. Aufl.) im achten Buche des zweiten Bandes behandelt habe; der spezielle Teil beschäftigte sich mit Anwendungen der allgemeinen Theorie auf einzelne Fragen der lufterlektrischen Forschung; er beruhte auf Rechnungen, zu denen ich eben durch die Ausarbeitung des Vortrages veranlaßt worden war. Ich hatte ursprünglich die Absicht, jene Rechnungen in Anmerkungen zu dem Vortrage zu veröffentlichen. Da aber der wesentliche Inhalt des Vortrages an anderer Stelle erscheinen wird, so ziehe ich vor, jene Rechnungen in selbständiger Weise mitzuteilen.

1. *Grundgleichungen der Theorie der Zerstreuung.* Die Dichte der positiven Ionen in dem den Zerstreuungskörper umgebenden Luftraum sei  $\bar{N}^+$ , die der negativen  $\bar{N}^-$ ; die geordneten Geschwindigkeiten der Ionen, wie sie durch äußere Kräfte oder durch Konzentrationsunterschiede erzeugt werden, seien  $\bar{g}^+$  und  $\bar{g}^-$ , ihre Komponenten nach den Achsen eines rechtwinkligen Koordinatensystems  $\bar{g}_x^+$ ,  $\bar{g}_y^+$ ,  $\bar{g}_z^+$  und  $\bar{g}_x^-$ ,  $\bar{g}_y^-$ ,  $\bar{g}_z^-$ . Die Zahl der Ionen, welche in einem ccm in jeder Sekunde neu entstehen, sei  $q$ , die Zahl der in derselben Zeit durch Wieder-



vereinigung verschwindenden  $\alpha \dot{N} \bar{N}$ . Dann ergeben sich die Gleichungen:

$$\frac{\partial \dot{N}}{\partial t} = - \left\{ \frac{\partial (\dot{N} g_x)}{\partial x} + \frac{\partial (\dot{N}_y g_y)}{\partial y} + \frac{\partial (\dot{N}_z g_z)}{\partial z} \right\} + q - \alpha \dot{N} \bar{N},$$

$$\frac{\partial \bar{N}}{\partial t} = - \left\{ \frac{\partial (\bar{N} g_x)}{\partial x} + \frac{\partial (\bar{N}_y g_y)}{\partial y} + \frac{\partial (\bar{N}_z g_z)}{\partial z} \right\} + q - \alpha \dot{N} \bar{N}.$$

Die in Betracht kommende äußere Kraft sei eine elektrische, welche von der Ladung eines Zerstreuungskörpers und von der verschiedenen räumlichen Dichte der positiven und der negativen Ionen erzeugt wird. Ihre Komponenten seien  $\mathfrak{F}_x, \mathfrak{F}_y, \mathfrak{F}_z$ ; die absoluten Beweglichkeiten der Ionen seien  $U$  und  $V$ , ihre Diffusionskoeffizienten  $\dot{k}$  und  $\bar{k}$ ,  $\nu$  bezeichne die Lichtgeschwindigkeit. Dann ist:

$$\dot{N} g_x = \nu U \dot{N} \mathfrak{F}_x - \dot{k} \frac{\partial \dot{N}}{\partial x}, \quad \bar{N} g_x = - \nu V \bar{N} \mathfrak{F}_x - \bar{k} \frac{\partial \bar{N}}{\partial x}.$$

Substituieren wir diese Ausdrücke in den vorhergehenden Gleichungen, so ergibt sich:

$$\frac{\partial \dot{N}}{\partial t} = - \nu U \operatorname{div} (\dot{N} \mathfrak{F}) + \dot{k} \Delta \dot{N} + q - \alpha \dot{N} \bar{N},$$

$$\frac{\partial \bar{N}}{\partial t} = \nu V \operatorname{div} (\bar{N} \mathfrak{F}) + \bar{k} \Delta \bar{N} + q - \alpha \dot{N} \bar{N},$$

Die *Ladung des Ions*, das elektrische Elementarquantum in elektrostatischem Maße sei  $\varepsilon$ ; die Komponenten der in demselben Maße gemessenen *galvanischen Strömung* seien  $c_x, c_y, c_z$ . Dann gelten noch die Beziehungen:

$$\operatorname{div} \mathfrak{F} = 4\pi \varepsilon (\dot{N} - \bar{N})$$

$$\varepsilon \nu (U \dot{N} + V \bar{N}) \mathfrak{F}_x - \varepsilon \frac{\partial}{\partial x} (\dot{k} \dot{N} - \bar{k} \bar{N}) = c_x,$$

$$\cdot \quad \cdot \quad \cdot \quad \cdot \quad \cdot \quad \cdot \quad \cdot \quad \cdot \quad \cdot \quad \cdot$$

2. *Der Sättigungsstrom*. Wir betrachten einen schalenförmigen Raum, der zwischen einem inneren positiv geladenen Konduktor und einem äußeren zur Erde abgeleiteten eingeschlossen ist. Das Volumen des Hohlraumes sei  $\Omega$ ; dann entstehen in ihm

in einer Sekunde  $q\Omega$  positive und ebensoviel negative Ionen. Wir setzen voraus, daß die Ionen in dem elektrischen Felde so schnell verschoben werden, daß der Ionenverlust durch Wiedervereinigung und durch Diffusion vernachlässigt werden kann. Sobald ein stationärer Zustand sich eingestellt hat, müssen alle in einer Sekunde entstandenen positiven Ionen in derselben Zeit durch den äußeren, alle negativen Ionen durch den inneren Konduktor abgeschieden werden. Die Dichte der negativen Ionen an der Oberfläche des inneren Konduktors sei  $\bar{N}_i$ , ihre Geschwindigkeit in der Richtung der inneren Normale  $\bar{g}_i$ ; ebenso sei die Dichte der positiven Ionen an der äußeren Oberfläche  $\bar{N}_a$ , ihre Geschwindigkeit in der Richtung der äußeren Normale  $\bar{g}_a$ ;  $d\sigma_i$  und  $d\sigma_a$  seien Elemente der Oberflächen. Dann ergeben sich die Gleichungen:

$$\Omega q = \int \bar{N}_i \bar{g}_i d\sigma_i = \int \bar{N}_a \bar{g}_a d\sigma_a.$$

Die Mengen von negativer und von positiver Elektrizität, die in einer Sekunde an den inneren und an den äußeren Konduktor abgegeben werden, sind gleich  $\epsilon \Omega q$ . Bezeichnen wir durch  $\mathfrak{C}$  den in elektrostatischem Maße gemessenen *Sättigungsstrom*, so ist:

$$\mathfrak{C} = \epsilon \Omega q = \epsilon \int \bar{N}_i \bar{g}_i d\sigma_i = \epsilon \int \bar{N}_a \bar{g}_a d\sigma_a.$$

Ist die Dichte der negativen Ionen an der Oberfläche des inneren Konduktors konstant, so ist  $\mathfrak{C} = \epsilon \bar{N}_i \int \bar{g}_i d\sigma_i$ . Die elektrische Kraft an der Oberfläche des Konduktors sei  $\mathfrak{F}_i$ ; dann ist  $\bar{g}_i = \nu V \mathfrak{F}_i$ , und

$$\mathfrak{C} = \nu V \epsilon \bar{N}_i \int \mathfrak{F}_i d\sigma_i$$

$$\mathfrak{C} = 4\pi \nu V \epsilon e \bar{N}_i,$$

wenn  $e$  die Ladung des inneren Konduktors bezeichnet. Umgekehrt ergibt sich:

$$\bar{N}_i = \frac{\mathfrak{C}}{4\pi \nu V \epsilon e};$$

die Dichte der Ionen ist der Ladung des Konduktors umgekehrt proportional.

3. Der Fall kugelförmiger Konduktoren. Die beiden im vorhergehenden betrachteten Konduktoren seien konzentrische Kugeln von den Halbmessern  $r_i$  und  $r_a$ . Alle in den Gleichungen enthaltenen veränderlichen Größen sind dann Funktionen des Abstandes  $r$  von dem gemeinsamen Mittelpunkte der beiden Kugeln. Bei Vernachlässigung der Diffusion ergeben sich die Gleichungen:

$$\operatorname{div} \mathfrak{F} = 4\pi \varepsilon (\dot{N} - \bar{N}),$$

$$\varepsilon \nu (U \dot{N} + V \bar{N}) \mathfrak{F} = c.$$

Daraus folgt

$$\dot{N} \mathfrak{F} = \frac{c}{\varepsilon \nu (U + V)} + \frac{V}{U + V} \cdot \frac{\mathfrak{F} \operatorname{div} \mathfrak{F}}{4\pi \varepsilon},$$

$$\bar{N} \mathfrak{F} = \frac{c}{\varepsilon \nu (U + V)} - \frac{U}{U + V} \cdot \frac{\mathfrak{F} \operatorname{div} \mathfrak{F}}{4\pi \varepsilon}.$$

Substituiert man diese Werte in den Gleichungen:

$$q = \nu U \operatorname{div} (\dot{N} \mathfrak{F}) = -\nu V \operatorname{div} (\bar{N} \mathfrak{F}),$$

so ergibt sich die Differentialgleichung zur Bestimmung von  $\mathfrak{F}$ :

$$\operatorname{div} (\mathfrak{F} \operatorname{div} \mathfrak{F}) = 4\pi \varepsilon q \frac{U + V}{\nu U V}.$$

Nun ist:

$$\operatorname{div} \mathfrak{F} = \frac{2\mathfrak{F}}{r} + \frac{d\mathfrak{F}}{dr},$$

$$\operatorname{div} (\mathfrak{F} \operatorname{div} \mathfrak{F}) = \frac{2\mathfrak{F}^2}{r^2} + \frac{3}{r} \frac{d\mathfrak{F}^2}{dr} + \frac{1}{2} \frac{d^2 \mathfrak{F}^2}{dr^2}.$$

Wir erhalten also für den Fall des Sättigungsstromes die Gleichung:

$$\frac{d^2 \mathfrak{F}^2}{dr^2} + \frac{6}{r} \frac{d\mathfrak{F}^2}{dr} + \frac{4}{r^2} \mathfrak{F}^2 = 8\pi \varepsilon q \frac{U + V}{\nu U V}.$$

Das allgemeine Integral ist:

$$\mathfrak{F}^2 = \frac{4\pi \varepsilon q}{9} \frac{U + V}{\nu U V} r^2 + \frac{b_1}{r} + \frac{b_4}{r^4},$$

wo  $b_1$  und  $b_4$  Integrationskonstanten sind. Zu ihrer Bestimmung verwenden wir in erster Linie die Bedingung, daß die Dichte  $\dot{N}_i$  der positiven Ionen an der Oberfläche der inneren Kugel gleich Null sein muß. Man hat dann:

$$0 = \varepsilon \nu (U + V) \mathfrak{F}_i + \frac{V}{U + V} \frac{(\operatorname{div} \mathfrak{F})_i}{4\pi\varepsilon},$$

$$\bar{N}_i = \frac{c_i}{\varepsilon \nu (U + V) \mathfrak{F}_i} - \frac{U}{U + V} \frac{(\operatorname{div} \mathfrak{F})_i}{4\pi\varepsilon}.$$

Die Verbindung beider Gleichungen gibt:

$$\bar{N}_i = \frac{c_i}{\varepsilon \nu (U + V) \mathfrak{F}_i} \left(1 + \frac{U}{V}\right) = \frac{c_i}{\varepsilon \nu V \mathfrak{F}_i}.$$

Nun ist:

$$\mathfrak{C} = 4\pi r_i^2 c_i, \quad \mathfrak{F}_i = \frac{c}{r_i^2},$$

somit:

$$\bar{N}_i = \frac{\mathfrak{C}}{4\pi\varepsilon\nu V c},$$

in Übereinstimmung mit dem in dem vorhergehenden Abschnitt gefundenen Werte.

Eine *zweite Bedingung*, welcher die Konstanten  $b_1$  und  $b_4$  genügen müssen, ist die, daß an der Oberfläche der inneren Kugel  $\mathfrak{F}_i = c/r_i^2$  sein muß.

Daher ergeben sich zur Berechnung von  $b_1$  und  $b_4$  die beiden Gleichungen:

$$\frac{b_1}{r_i} + \frac{b_4}{r_i^4} = \frac{c^2}{r_i^4} - \frac{4\pi\varepsilon q}{9} \frac{U+V}{\nu U V} r_i^2,$$

$$\frac{2}{3} \frac{b_1}{r_i} = -\frac{\mathfrak{C}}{\nu V r_i} - \frac{4\pi\varepsilon q}{3} \frac{U+V}{\nu U V} r_i^2.$$

Daraus folgt:

$$b_1 = -\frac{2}{3} \frac{\mathfrak{C}}{\nu V} - \frac{8\pi\varepsilon q}{9} \frac{U+V}{\nu U V} r_i^3,$$

$$b_4 = c^2 + \frac{2\mathfrak{C} r_i^3}{3\nu V} + \frac{4\pi\varepsilon q}{9} \frac{U+V}{\nu U V} r_i^6.$$

Ferner wird:

$$\mathfrak{F}^2 = \frac{c^2}{r^4} - \frac{2}{3} \frac{\mathfrak{C}}{\nu V} \frac{1}{r} \left(1 - \frac{r_i^3}{r^3}\right) + \frac{4\pi\varepsilon q}{9} \frac{U+V}{\nu U V} r^2 \left(1 - \frac{r_i^3}{r^3}\right),$$

$$\mathfrak{F} \operatorname{div} \mathfrak{F} = -\frac{\mathfrak{C}}{\nu V r^2} + \frac{4\pi\varepsilon q}{3} \frac{U+V}{\nu U V} r \left(1 - \frac{r_i^3}{r^3}\right),$$

$$N^+ \mathfrak{F} = \frac{1}{3} \frac{q}{\nu U} r \left(1 - \frac{r_i^3}{r^3}\right), \quad \bar{N} \mathfrak{F} = \frac{\mathfrak{C}}{4\pi\varepsilon\nu V r^2} - \frac{1}{3} \frac{q}{\nu V} r \left(1 - \frac{r_i^3}{r^3}\right).$$

Die Bedingung dafür, daß an der Oberfläche der äußeren Kugel  $\bar{N}_a$  gleich Null wird, ist danach:

$$(I) \quad \mathfrak{C} = \frac{4}{3} \pi \varepsilon q (r_a^3 - r_i^3) = \varepsilon q \Omega,$$

in Übereinstimmung mit dem früher Gefundenen. Benutzen wir diese Beziehung, so ergibt sich:

$$(II) \quad \begin{cases} \bar{N}^+ \mathfrak{F} = \frac{1}{4} \frac{\mathfrak{C}}{\varepsilon \nu U \Omega} r \left( 1 - \frac{r_0^3}{r^3} \right), \\ \bar{N}^- \mathfrak{F} = \frac{1}{4} \frac{\mathfrak{C}}{\varepsilon \nu V \Omega} r \left( \frac{r_0^3}{r^3} - 1 \right). \end{cases}$$

4. *Theorie einer nicht ganz gesättigten Strömung.* Die allgemeinen Gleichungen

$$\bar{N}^+ - \bar{N}^- = \frac{\text{div } \mathfrak{F}}{4 \pi \varepsilon},$$

$$\varepsilon \nu (U \bar{N}^+ + V \bar{N}^-) \mathfrak{F}_x = c_x + \varepsilon \frac{\partial}{\partial x} (\bar{k}^+ \bar{N}^+ - \bar{k}^- \bar{N}^-),$$

. . . . .

geben:

$$\bar{\mathfrak{F}}_x \bar{N}^+ = \frac{c_x}{\nu \varepsilon (U + V)} + \frac{V}{U + V} \frac{\mathfrak{F}_x \text{div } \mathfrak{F}}{4 \pi \varepsilon} + \frac{1}{\nu (U + V)} \frac{\partial}{\partial x} (\bar{k}^+ \bar{N}^+ - \bar{k}^- \bar{N}^-),$$

$$\bar{\mathfrak{F}}_x \bar{N}^- = \frac{c_x}{\nu \varepsilon (U + V)} - \frac{V}{U + V} \frac{\mathfrak{F}_x \text{div } \mathfrak{F}}{4 \pi \varepsilon} + \frac{1}{\nu (U + V)} \frac{\partial}{\partial x} (\bar{k}^+ \bar{N}^+ - \bar{k}^- \bar{N}^-).$$

Da im stationären Zustande  $\text{div } c = 0$  ist, so folgt:

$$\text{div} (\bar{N}^+ \mathfrak{F}) = \frac{V}{U + V} \frac{\text{div} (\mathfrak{F} \text{div } \mathfrak{F})}{4 \pi \varepsilon} + \frac{1}{\nu (U + V)} (\bar{k}^+ \Delta \bar{N}^+ - \bar{k}^- \Delta \bar{N}^-),$$

$$\text{div} (\bar{N}^- \mathfrak{F}) = - \frac{V}{U + V} \frac{\text{div} (\mathfrak{F} \text{div } \mathfrak{F})}{4 \pi \varepsilon} + \frac{1}{\nu (U + V)} (\bar{k}^+ \Delta \bar{N}^+ - \bar{k}^- \Delta \bar{N}^-).$$

Substituiert man diese Werte in den Gleichungen:

$$\nu U \text{div} (\bar{N}^+ \mathfrak{F}) = q - \alpha \bar{N}^+ \bar{N}^- + \bar{k}^+ \Delta \bar{N}^+,$$

$$- \nu V \text{div} (\bar{N}^- \mathfrak{F}) = q - \alpha \bar{N}^+ \bar{N}^- + \bar{k}^- \Delta \bar{N}^-,$$

so ergibt sich:

$$\begin{aligned} \text{div} (\mathfrak{F} \text{div } \mathfrak{F}) &= 4 \pi \varepsilon q \frac{U + V}{\nu U V} - 4 \pi \varepsilon \alpha \frac{U + V}{\nu U V} \bar{N}^+ \bar{N}^- \\ &+ \frac{4 \pi \varepsilon}{\nu} \frac{\bar{k}^+ + \bar{k}^-}{U + V} (\Delta \bar{N}^+ + \Delta \bar{N}^-). \end{aligned}$$

Zur Berechnung der Ionendichten erhält man die Formeln:

$$\bar{N}^+ \mathfrak{F} = \frac{c}{\varepsilon \nu (U + V)} + \frac{V}{U + V} \frac{\mathfrak{F} \text{div } \mathfrak{F}}{4 \pi \varepsilon} + \frac{1}{\nu (U + V)} \frac{d}{dr} (\bar{k}^+ \bar{N}^+ - \bar{k}^- \bar{N}^-),$$

$$\bar{N}^- \mathfrak{F} = \frac{c}{\varepsilon \nu (U + V)} - \frac{U}{U + V} \frac{\mathfrak{F} \text{div } \mathfrak{F}}{4 \pi \varepsilon} + \frac{1}{\nu (U + V)} \frac{d}{dr} (\bar{k}^+ \bar{N}^+ - \bar{k}^- \bar{N}^-).$$



In den mit  $\alpha$ , mit  $\overset{+}{k}$  und mit  $\bar{k}$  multiplizierten Gliedern setzen wir an Stelle von  $\overset{+}{N}$  und  $\bar{N}$  die Werte

$$\overset{+}{N}_0 = \frac{q}{3\nu} \frac{r}{U} \frac{r}{\mathfrak{F}_0} \left(1 - \frac{r^3}{r^3}\right) \quad \text{und} \quad \bar{N}_0 = \frac{q}{3\nu} \frac{r}{V} \frac{r}{\mathfrak{F}_0} \left(\frac{r^3}{r^3} - 1\right),$$

welche sich ergeben, wenn der jeweils beobachtete Strom nach der Theorie des Sättigungsstromes berechnet wird. Wir erhalten dann die Gleichungen:

$$\begin{aligned} \frac{d^2 \mathfrak{F}^2}{dr^2} + \frac{6}{r} \frac{d \mathfrak{F}^2}{dr} + \frac{4}{r^2} \mathfrak{F}^2 &= 8 \pi \varepsilon q \frac{U+V}{\nu U V} - 8 \pi \varepsilon \alpha \frac{U+V}{\nu U V} \overset{+}{N}_0 \bar{N}_0 \\ &+ \frac{8 \pi \varepsilon}{\nu} \frac{\overset{+}{k} + \bar{k}}{U+V} \Delta(\overset{+}{N}_0 + \bar{N}_0), \end{aligned}$$

$$\overset{+}{N} \mathfrak{F} = \frac{c}{\varepsilon \nu (U+V)} + \frac{V}{U+V} \frac{\mathfrak{F} \operatorname{div} \mathfrak{F}}{4 \pi \varepsilon} + \frac{1}{\nu (U+V)} \frac{d}{dr} (\overset{+}{k} \overset{+}{N}_0 - \bar{k} \bar{N}_0),$$

$$\bar{N} \mathfrak{F} = \frac{c}{\varepsilon \nu (U+V)} - \frac{U}{U+V} \frac{\mathfrak{F} \operatorname{div} \mathfrak{F}}{4 \pi \varepsilon} + \frac{1}{\nu (U+V)} \frac{d}{dr} (\overset{+}{k} \overset{+}{N}_0 - \bar{k} \bar{N}_0).$$

Zur Integration setzen wir:

$$\mathfrak{F}^2 = \frac{4 \pi \varepsilon q}{9} \frac{U+V}{\nu U V} r^2 + \frac{\Phi_1}{r} + \frac{\Phi_4}{r^4}.$$

Zur Berechnung von  $\Phi_1$  und  $\Phi_4$  benützen wir die Gleichungen:

$$\frac{d \Phi_1}{dr} + \frac{1}{r^2} \frac{d \Phi_4}{dr} = 0.$$

$$\begin{aligned} \frac{d \Phi_1}{dr} + \frac{4}{r^2} \frac{d \Phi_4}{dr} &= 8 \pi \varepsilon \alpha \frac{U+V}{\nu U V} r^2 \overset{+}{N}_0 \bar{N}_0 \\ &- \frac{8 \pi \varepsilon}{\nu} \frac{\overset{+}{k} + \bar{k}}{U+V} r^2 \Delta(\overset{+}{N}_0 + \bar{N}_0). \end{aligned}$$

Daraus folgt:

$$\Phi_1 = -\frac{8}{3} \pi \varepsilon \alpha \frac{U+V}{\nu U V} \int r^2 \overset{+}{N}_0 \bar{N}_0 dr + \frac{8 \pi \varepsilon}{3 \nu} \frac{\overset{+}{k} + \bar{k}}{U+V} \int r^2 \Delta(\overset{+}{N}_0 + \bar{N}_0) dr$$

$$\Phi_4 = \frac{8}{3} \pi \varepsilon \alpha \frac{U+V}{\nu U V} \int r^5 \overset{+}{N}_0 \bar{N}_0 dr - \frac{8 \pi \varepsilon}{3 \nu} \frac{\overset{+}{k} + \bar{k}}{U+V} \int r^5 \Delta(\overset{+}{N}_0 + \bar{N}_0) dr$$

Nun ist:

$$\mathfrak{F} \operatorname{div} \mathfrak{F} = \frac{2 \mathfrak{F}^2}{r} + \frac{1}{2} \frac{d \mathfrak{F}^2}{dr} = \frac{4 \pi \varepsilon q}{3} \frac{U+V}{\nu U V} r + \frac{3 \Phi_1}{2 r^2},$$

somit:

$$\begin{aligned}\bar{N}\mathfrak{F} &= \frac{c}{\epsilon \nu (U+V)} + \frac{q}{3 \nu U} r + \frac{3}{8 \pi \epsilon} \frac{V}{U+V} \frac{\Phi_1}{r^2} \\ &\quad + \frac{1}{\nu (U+V)} \frac{d}{dr} (\bar{k} \bar{N}_0 - \bar{k} \bar{N}_0), \\ \bar{N}\mathfrak{F} &= \frac{c}{\epsilon \nu (U+V)} - \frac{q}{3 \nu V} r - \frac{3}{8 \pi \epsilon} \frac{U}{U+V} \frac{\Phi_1}{r^2} \\ &\quad + \frac{1}{\nu (U+V)} \frac{d}{dr} (\bar{k} \bar{N}_0 - \bar{k} \bar{N}_0).\end{aligned}$$

An der Oberfläche der inneren Kugel setzen wir näherungsweise:

$$0 = (\bar{N}\mathfrak{F})_i = \frac{c_i}{\epsilon \nu (U+V)} + \frac{q}{3 \nu U} r_i + \frac{3}{8 \pi \epsilon} \frac{V}{U+V} \frac{\Phi_1^i}{r_i^2} + \frac{1}{\nu (U+V)} \left\{ \frac{d}{dr} (\bar{k} \bar{N}_0 - \bar{k} \bar{N}_0) \right\}_i$$

und

$$\begin{aligned}(\bar{N}\mathfrak{F})_i &= \frac{c_i}{\epsilon \nu (U+V)} - \frac{q}{3 \nu V} r_i - \frac{3}{8 \pi \epsilon} \frac{U}{U+V} \frac{\Phi_1^i}{r_i^2} \\ &\quad + \frac{1}{\nu (U+V)} \left\{ \frac{d}{dr} (\bar{k} \bar{N}_0 - \bar{k} \bar{N}_0) \right\}_i.\end{aligned}$$

Ihre Verbindung gibt:

$$(\bar{N}\mathfrak{F})_i = \frac{c_i}{\nu \epsilon V} + \frac{1}{\nu V} \left\{ \frac{d}{dr} (\bar{k} \bar{N}_0 - \bar{k} \bar{N}_0) \right\}_i.$$

Außerdem gilt für  $r=r_i$  die Gleichung  $\mathfrak{F}_i^2 = c^2/r_i^4$ ,

$$\frac{c^2}{r_i^4} = \frac{4 \pi \epsilon q}{9} \frac{U+V}{\nu U V} r_i^2 + \frac{\Phi_1^i}{r_i} - \frac{\Phi_1^i}{r_i^4}.$$

Für  $\Phi_1^i$  und  $\Phi_1^i$  ergeben sich daher die Werte:

$$\Phi_1^i = - \frac{8 \pi r_i^2 c_i}{3 \nu V} - \frac{8 \pi \epsilon q}{9} \frac{U+V}{\nu U V} r_i^3 - \frac{8 \pi \epsilon}{3 \nu V} r_i^2 \left\{ \frac{d}{dr} (\bar{k} \bar{N}_0 - \bar{k} \bar{N}_0) \right\}_i.$$

$$\Phi_1^i = c^2 + \frac{8 \pi r_i^2 c_i}{3 \nu V} + \frac{4 \pi \epsilon q}{9} \frac{U+V}{\nu U V} r_i^3 + \frac{8 \pi \epsilon}{3 \nu V} r_i^2 \left\{ \frac{d}{dr} (\bar{k} \bar{N}_0 - \bar{k} \bar{N}_0) \right\}_i.$$

Wir setzen dementsprechend:

$$\Phi_1 = \Phi_1^i - \frac{8}{3} \pi \epsilon \alpha \frac{U+V}{\nu U V} \int_{r_i}^r r^2 \bar{N}_0 \bar{N}_0 dr + \frac{8 \pi \epsilon}{3 \nu} \frac{\bar{k} + \bar{k}}{U+V} \int_{r_i}^r r^2 \Delta(\bar{N}_0 + \bar{N}_0) dr,$$

$$\Phi_1 = \Phi_1^i + \frac{8}{3} \pi \epsilon \alpha \frac{U+V}{\nu U V} \int_{r_i}^r r^2 \bar{N}_0 \bar{N}_0 dr - \frac{8 \pi \epsilon}{3 \nu} \frac{\bar{k} + \bar{k}}{U+V} \int_{r_i}^r r^2 \Delta(\bar{N}_0 + \bar{N}_0) dr.$$

Mit Hilfe dieser Werte ergibt sich zunächst:

$$\begin{aligned}
 \bar{N} \mathfrak{B} &= \frac{1}{\epsilon \nu (U+V)} \frac{r^2 c - r_i^2 c_i}{r^2} + \frac{q}{3 \nu U} r \left(1 - \frac{r_i^2}{r^2}\right) - \frac{\alpha}{\nu U} \frac{1}{r^2} \int_{r_i}^r r^2 \bar{N}_0^+ \bar{N}_0^- dr \\
 &+ \frac{1}{\nu (U+V)} \frac{1}{r^2} \left\{ r^2 \frac{d}{dr} (\bar{k} \bar{N}_0^+ - \bar{k} \bar{N}_0^-) - r_i^2 \left[ \frac{d}{dr} (\bar{k} \bar{N}_0^+ - \bar{k} \bar{N}_0^-) \right]_i \right\} \\
 &+ \frac{V(\bar{k} + \bar{k})}{\nu (U+V)^2} \frac{1}{r^2} \int_{r_i}^r r^2 \Delta(\bar{N}_0^+ + \bar{N}_0^-) dr, \\
 \bar{N} \mathfrak{B} &= \frac{1}{\epsilon \nu (U+V)} \frac{r^2 c - r_i^2 c_i}{r^2} + \frac{1}{\epsilon \nu V} \frac{r_i^2 c_i}{r^2} - \frac{q}{3 \nu V} r \left(1 - \frac{r_i^2}{r^2}\right) \\
 &+ \frac{\alpha}{\nu V} \frac{1}{r^2} \int_{r_i}^r r^2 \bar{N}_0^+ \bar{N}_0^- dr \\
 &+ \frac{1}{\nu (U+V)} \frac{1}{r^2} \left\{ r^2 \frac{d}{dr} (\bar{k} \bar{N}_0^+ - \bar{k} \bar{N}_0^-) - r_i^2 \left[ \frac{d}{dr} (\bar{k} \bar{N}_0^+ - \bar{k} \bar{N}_0^-) \right]_i \right\} \\
 &+ \frac{1}{\nu V} \frac{r_i^2}{r^2} \left[ \frac{d}{dr} (\bar{k} \bar{N}_0^+ - \bar{k} \bar{N}_0^-) \right]_i - \frac{U(\bar{k} + \bar{k})}{\nu (U+V)^2} \frac{1}{r^2} \int_{r_i}^r r^2 \Delta(\bar{N}_0^+ + \bar{N}_0^-) dr
 \end{aligned}$$

Die Ausdrücke vereinfachen sich dadurch, daß im stationären Zustande  $r^2 c = r_i^2 c_i$  sein muß. Soll ferner für  $r = r_a$  die Dichte der negativen Ionen gleich Null sein, so erhält man nach einer kleinen Umformung:

$$\begin{aligned}
 4 \pi r_i^2 c_i &= \frac{4}{3} \pi \epsilon q (r_a^3 - r_i^3) - 4 \pi \epsilon \alpha \int_{r_i}^{r_a} r^2 \bar{N}_0^+ \bar{N}_0^- dr \\
 &- \frac{4 \pi \epsilon}{U+V} \left\{ V r_a^2 \left[ \frac{d}{dr} (\bar{k} \bar{N}_0^+ - \bar{k} \bar{N}_0^-) \right]_a + U r_i^2 \left[ \frac{d}{dr} (\bar{k} \bar{N}_0^+ - \bar{k} \bar{N}_0^-) \right]_i \right\} \\
 &+ 4 \pi \epsilon \frac{U V (\bar{k} + \bar{k})}{(U+V)^2} \int_{r_i}^{r_a} r^2 \Delta(\bar{N}_0^+ + \bar{N}_0^-) dr.
 \end{aligned}$$

Nun ist:

$$r^2 \Delta(\bar{N}_0^+ + \bar{N}_0^-) = \frac{d}{dr} \left( r^2 \frac{d \bar{N}_0^+}{dr} + r^2 \frac{d \bar{N}_0^-}{dr} \right),$$

somit:

$$\int_{r_i}^{r_a} r^2 \Delta(\bar{N}_0^+ + \bar{N}_0^-) dr = r_a^2 \left[ \frac{d\bar{N}_0^+}{dr} + \frac{d\bar{N}_0^-}{dr} \right]_a - r_i^2 \left[ \frac{d\bar{N}_0^+}{dr} + \frac{d\bar{N}_0^-}{dr} \right]_i.$$

Mit Benutzung dieser Werte ergibt sich:

$$4\pi r_i^2 c_i = \frac{4}{3}\pi \varepsilon q (r_a^3 - r_i^3) - 4\pi \varepsilon \alpha \int_{r_i}^{r_a} r^2 \bar{N}_0^+ \bar{N}_0^- dr$$

$$+ 4\pi \varepsilon \left\{ r_a^2 \bar{k} \left( \frac{d\bar{N}_0^-}{dr} \right)_a - r_i^2 \bar{k} \left( \frac{d\bar{N}_0^-}{dr} \right)_i \right\}.$$

Bezeichnet man den Sättigungsstrom mit  $\mathfrak{C}_0$ , den wirklich beobachteten Strom mit  $\mathfrak{C}$ , so wird:

$$(III) \left\{ \begin{aligned} 4\pi \varepsilon \alpha \int_{r_i}^{r_a} r^2 \bar{N}_0^+ \bar{N}_0^- dr &= \mathfrak{C}_0 - \mathfrak{C} \\ &+ 4\pi \varepsilon \left\{ r_a^2 \bar{k} \left( \frac{d\bar{N}_0^-}{dr} \right)_a - r_i^2 \bar{k} \left( \frac{d\bar{N}_0^-}{dr} \right)_i \right\}. \end{aligned} \right.$$

Die Ausdrücke für die Ionendichten können auf die folgende Form gebracht werden:

$$(IV) \left\{ \begin{aligned} \bar{N}^+ \mathfrak{F} &= \frac{q}{3\nu U} r \left( 1 - \frac{r_i^3}{r^3} \right) - \frac{\alpha}{\nu U} \frac{1}{r^2} \int_{r_i}^r r^2 \bar{N}_0^+ \bar{N}_0^- dr \\ &+ \frac{\bar{k}}{\nu U} \frac{1}{r^2} \left\{ r^2 \frac{d\bar{N}_0^+}{dr} - r_i^2 \left( \frac{d\bar{N}_0^+}{dr} \right)_i \right\}, \\ \bar{N}^- \mathfrak{F} &= \frac{q}{3\nu V} r \left( \frac{r_a^3}{r^3} - 1 \right) - \frac{\alpha}{\nu V} \frac{1}{r^2} \int_r^{r_a} r^2 \bar{N}_0^+ \bar{N}_0^- dr \\ &+ \frac{\bar{k}}{\nu V} \frac{1}{r^2} \left\{ r_a^2 \left( \frac{d\bar{N}_0^-}{dr} \right)_a - r^2 \frac{d\bar{N}_0^-}{dr} \right\}. \end{aligned} \right.$$

Die Rechnungen werden dadurch erleichtert, daß man in allen Gliedern, die mit  $\alpha$  oder mit  $k$  multipliziert sind, an

Stelle von  $\mathfrak{F}$  den Wert  $\mathfrak{F}' = e/r^2$  setzen kann. Zur Bestimmung von  $\alpha$  erhält man dann die Gleichung:

$$4 \pi \varepsilon \alpha \int_{r_i}^r r^2 \overset{+}{N}_0 \bar{N}_0 dr = \mathfrak{C}_0 - \mathfrak{C} - \frac{4 \pi \mathfrak{C}_0}{\nu e} \frac{\overset{+}{k} + \bar{k}}{U + V} \frac{r_a^4 + r_i^4}{\Omega}.$$

Für die durch Diffusion bedingten Korrektionsglieder der Werte von  $\varepsilon \overset{+}{N} \mathfrak{F}$  und  $\varepsilon \bar{N} \mathfrak{F}$  ergeben sich die Ausdrücke:

$$\frac{\varepsilon \overset{+}{k}}{\nu U} \frac{1}{r^2} \left\{ r^2 \frac{d \overset{+}{N}_0}{dr} - r_i^2 \left( \frac{d \overset{+}{N}_0}{dr} \right)_i \right\} = \frac{\overset{+}{k} \mathfrak{C}_0}{\nu^2 U^2 \Omega e} \frac{r^4 - r_i^4}{r^2},$$

$$\frac{\varepsilon \bar{k}}{\nu V} \frac{1}{r^2} \left\{ r_a^2 \left( \frac{d \bar{N}_0}{dr} \right)_a - r^2 \frac{d \bar{N}_0}{dr} \right\} = - \frac{\bar{k} \mathfrak{C}_0}{\nu^2 V^2 \Omega e} \frac{r_a^4 - r^4}{r^2}.$$

5. *Die Beobachtungen von Harms.*<sup>1)</sup> Zur Prüfung der im vorhergehenden entwickelten Theorie bietet sich ein gutes Material in den Beobachtungen, welche Harms in der Physikalischen Zeitschrift veröffentlicht hat. Sie beziehen sich auf die Zerstreuung der Elektrizität von einer Kugel mit dem Halbmesser  $r_i = 2,25$  cm, die in einer Glasglocke von 17000 ccm Inhalt aufgehängt war. Die Innenwand der Glocke war mit einem zur Erde abgeleiteten Drahtnetze überkleidet. Ersetzt man die Glocke durch eine Kugel von gleichem Rauminhalte, so ergibt sich für ihren Halbmesser  $r_a = 15,96$  cm. Die Kapazität der inneren Kugel berechnet sich daraus zu 2,6 cm.

Die Zerstreuung wurde so beobachtet, daß die Kugel wiederholt auf ein bestimmtes Potential geladen, und daß nach Verlauf verschieden großer Zeiten die noch vorhandene Spannung mit dem Elektrometer bestimmt wurde. Harms hat seine Beobachtungen graphisch dargestellt, indem er auf einer horizontalen Linie die Zeiten, senkrecht dazu die Elektrometersausschläge auftrug. Das einem bestimmten Ausschlage  $s$  entsprechende Potential ergibt sich nach der Formel  $V = 0,259 \times s$ .

Es wurden nun an die von Harms gezeichnete Kurve an verschiedenen Stellen Tangenten gelegt, und so die verschiedenen Werten von  $s$  entsprechenden Werte von  $ds/dt$  bestimmt. Diese Werte wurden als Funktionen von  $s$  graphisch

F. Harms, Phys. Zeitschr. 4. p. 11. 1902.



dargestellt, und es wurde dann eine Kurve gezogen, welche sich den erhaltenen Punkten in stetiger Weise so gut wie möglich anschloß. Eine Zusammenstellung der direkt berechneten und der durch graphische Ausgleichung erhaltenen Werte von  $ds/dt$  gibt die folgende Tabelle:

$s$	230	190	175	150	125	100	75
$\frac{ds}{dt}$ ber.	8,78	8,50	8,18	7,73	7,43	6,88	6,39
$\frac{ds}{dt}$ ausgegl.	8,83	8,47	8,28	7,90	7,45	6,88	6,34

Aus den Werten von  $s$  und  $ds/dt$  wurde weiter die Ladung  $e$  der inneren Kugel und die Stärke  $\mathfrak{C}$  des Stromes in elektrostatischem Maße berechnet. Es ergab sich hierfür die Tabelle:

$s$	$V$ (Volt)	$e$	$\mathfrak{C}$
230	59,6	0,5205	0,0003330
190	49,2	0,4300	0,0003195
175	45,3	0,3960	0,0003123
150	38,9	0,3395	0,0002980
125	32,4	0,2829	0,0002810
100	25,9	0,2263	0,0002595
75	19,4	0,1697	0,0002391

Der Sättigungsstrom  $\mathfrak{C}_0$  wurde graphisch ermittelt, indem die für  $ds/dt$  gezeichnete Kurve dem Gefühl nach verlängert wurde. Auf diesem Wege, der von einer gewissen Willkür nicht frei zu sprechen ist, wurde für den Sättigungsstrom der Wert

$$\mathfrak{C}_0 = 0,0003413$$

in elektrostatischen Einheiten erhalten. Daraus und aus dem Volumen des Hohlraumes ergibt sich

$$(V) \quad \underline{\epsilon q = 201 \times 10^{-10}.$$

Mit Hülfe der früher angegebenen Formeln wurden nun die Werte von  $\mathfrak{F}_0^+$ ,  $\epsilon \dot{N}_0^+ \mathfrak{F}_0$ ,  $\epsilon \bar{N}_0^- \mathfrak{F}_0$  und von  $\epsilon \dot{N}_0^+$  und  $\epsilon \bar{N}_0^-$  berechnet.

Für den Koeffizienten der Wiedervereinigung ergaben sich dann die im folgenden zusammengestellten Werte:

$s =$	230	190	175	150	125	100	75
$\frac{\alpha}{\epsilon} =$	194 000	406 000	466 000	510 000	495 000	416 000	295 000.

Im Mittel wird:

$$(VI) \quad \frac{\alpha}{\varepsilon} = 397\,000.$$

Dieser Wert ist von einer ganz anderen Größenordnung als der von McClung<sup>1)</sup> gefundene  $\alpha/\varepsilon = 3400$ . Über den Grund der außerordentlichen Verschiedenheit vermag ich keine befriedigende Aufklärung zu geben. Ohne Berücksichtigung der Diffusion würde sich für  $\alpha/\varepsilon$  der Wert 444 000 ergeben.

Wahrscheinlich ist der aus den Beobachtungen extrapolierte Wert des Sättigungsstromes nicht richtig; auch die Lage der an die Harmssche Kurve gezogenen Tangenten dürfte nicht genau genug bestimmt sein. Die numerische Rechnung dient daher mehr als Beispiel für die Anwendung der allgemeinen Formeln. Von den durch sie erhaltenen Werten sind nur die für  $\varepsilon N_0$  ziemlich genau richtig, dem für  $\alpha$  erhaltenen lege ich kein Gewicht bei.

Mit Benutzung des Wertes  $\alpha/\varepsilon = 397\,000$  wurden weiter die Werte von  $\mathfrak{F}^2$ ,  $\varepsilon \bar{N}^+$  und  $\varepsilon \bar{N}^-$  berechnet. Die Ergebnisse der Rechnung sind in den folgenden Tabellen zusammengestellt.

I. Dichte der positiven Ionen. Werte von  $\varepsilon \bar{N}_0^+$  und  $\varepsilon \bar{N}_0^+ - \varepsilon \bar{N}^+$ .

$r =$	2,25	6	10	13	15,96
$s = 230$					
$\varepsilon \bar{N}_0^+ \times 10^{10}$	0	64	310	686	1270
$(\varepsilon \bar{N}_0^+ - \varepsilon \bar{N}^+) 10^{10}$	0	1	6	28	48
$s = 190$					
$\varepsilon \bar{N}_0^+ \times 10^{10}$	0	78	376	831	1540
$(\varepsilon \bar{N}_0^+ - \varepsilon \bar{N}^+) 10^{10}$	0	1	12	47	84
$s = 175$					
$\varepsilon \bar{N}_0^+ \times 10^{10}$	0	84	408	902	1670
$(\varepsilon \bar{N}_0^+ - \varepsilon \bar{N}^+) 10^{10}$	0	1	16	60	108
$s = 150$					
$\varepsilon \bar{N}_0^+ \times 10^{10}$	0	98	476	1050	1960
$(\varepsilon \bar{N}_0^+ - \varepsilon \bar{N}^+) 10^{10}$	0	2	28	100	184

1) McClung, Phil. Mag. (6) 3. p. 283. 1902.

$r =$	2,25	6	10	13	15,96
		$s = 125$			
$\varepsilon \bar{N}^+ \times 10^{10}$	0	118	571	1260	2330
$(\varepsilon \bar{N}_0^+ - \varepsilon \bar{N}^+) \times 10^{10}$	0	4	48	170	306
		$s = 100$			
$\varepsilon \bar{N}_0^+ \times 10^{10}$	0	148	715	1580	2900
$(\varepsilon \bar{N}_0^+ - \varepsilon \bar{N}^+) 10^{10}$	0	8	90	328	615
		$s = 75$			
$\varepsilon \bar{N}_0^+ \times 10^{10}$	0	197	954	2100	3850
$(\varepsilon \bar{N}_0^+ - \varepsilon \bar{N}^+) 10^{10}$	0	18	224	784	1420

II. Dichte der negativen Ionen. Werte von  $\varepsilon \bar{N}_0^-$  und  $\varepsilon \bar{N}_0^- - \varepsilon \bar{N}^-$ .

$r =$	2,25	6	10	13	15,96
		$s = 230$			
$\varepsilon \bar{N}_0^- \times 10^{10}$	903	857	683	416	0
$(\varepsilon \bar{N}_0^- - \varepsilon \bar{N}^-) 10^{10}$	35	34	31	15	0
		$s = 190$			
$\varepsilon \bar{N}_0^- \times 10^{10}$	1090	1040	827	504	0
$(\varepsilon \bar{N}_0^- - \varepsilon \bar{N}^-) 10^{10}$	60	59	51	25	0
		$s = 175$			
$\varepsilon \bar{N}_0^- \times 10^{10}$	1190	1130	898	547	0
$(\varepsilon \bar{N}_0^- - \varepsilon \bar{N}^-) 10^{10}$	78	77	67	35	0
		$s = 150$			
$\varepsilon \bar{N}_0^- \times 10^{10}$	1380	1315	1050	639	0
$(\varepsilon \bar{N}_0^- - \varepsilon \bar{N}^-) 10^{10}$	125	124	107	60	0
		$s = 125$			
$\varepsilon \bar{N}_0^- \times 10^{10}$	1660	1580	1260	766	0
$(\varepsilon \bar{N}_0^- - \varepsilon \bar{N}^-) 10^{10}$	220	218	187	97	0
		$s = 100$			
$\varepsilon \bar{N}_0^- \times 10^{10}$	2080	1970	1570	958	0
$(\varepsilon \bar{N}_0^- - \varepsilon \bar{N}^-) 10^{10}$	455	440	328	210	0
		$s = 75$			
$\varepsilon \bar{N}_0^- \times 10^{10}$	2770	2630	2100	1280	0
$(\varepsilon \bar{N}_0^- - \varepsilon \bar{N}^-) \times 10^{10}$	1020	1010	880	550	0

Ein Teil dieser Resultate ist in der beigegebenen Fig. 1 graphisch dargestellt; die Kurven 1, 2, 3 beziehen sich auf die Dichte der positiven Ionen, die Kurven 4, 5, 6 auf die der negativen. Die ausgezogenen Kurven geben die Werte von  $\varepsilon \bar{N}$  und  $\varepsilon \bar{N}$ , die gestrichelten die von  $\varepsilon \bar{N}_0$  und  $\varepsilon \bar{N}_0$ . Die Kurven 1 und 4 gehören zu  $s=230$ , die Kurven 2 und 5 zu  $s=175$ , die Kurven 3 und 6 zu  $s=125$ .

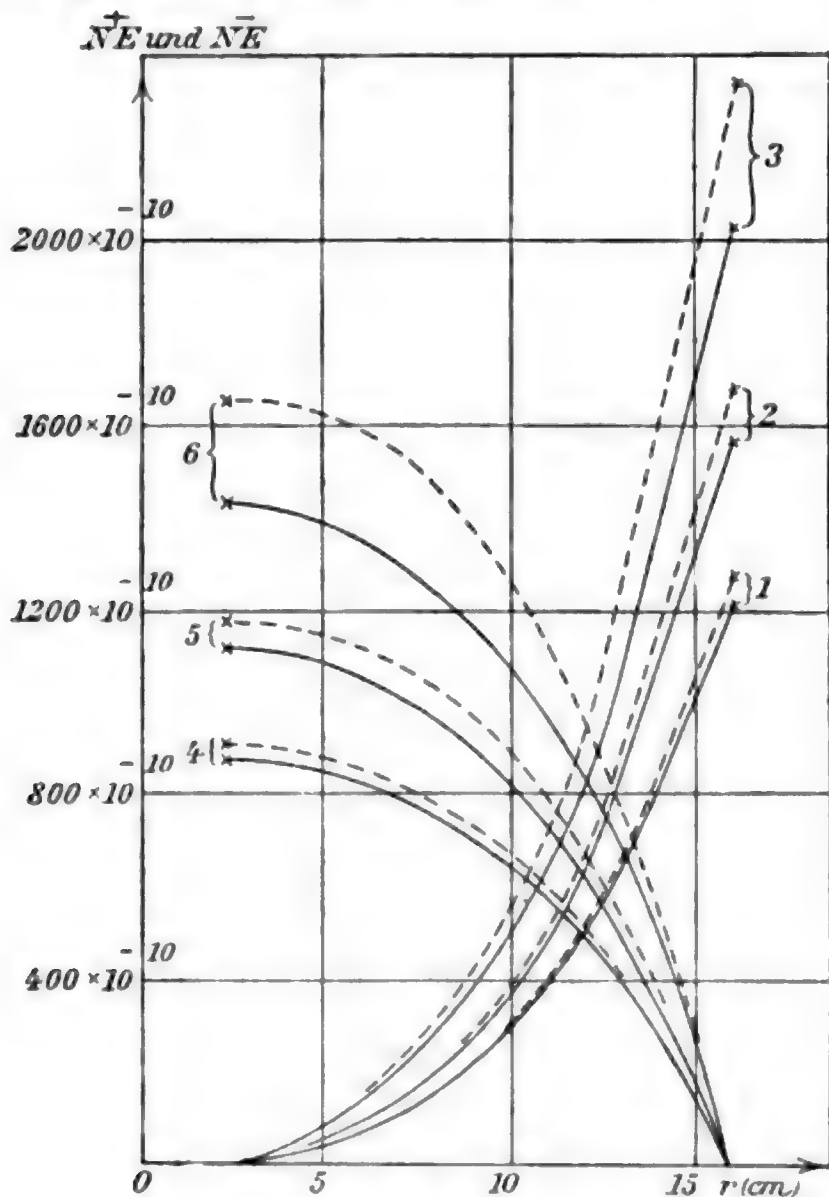


Fig. 1.

Würde man bei der Berechnung an Stelle des Wertes  $\alpha = 397000 \times \varepsilon$  den Wert  $\alpha = 3400 \times \varepsilon$  benutzen, so würde der Unterschied zwischen den ausgezogenen und den gestrichelten Kurven beinahe völlig verschwinden.

6. Zerstreuung in größeren Räumen. Die Gleichung

$$\mathfrak{C} = \mathfrak{C}_0 - 4 \pi \varepsilon \alpha \int_{r_i}^{r_a} r^2 \bar{N}_0^+ \bar{N}_0^- dr - \frac{4 \pi \mathfrak{C}_0}{v e} \frac{k^+ + k^-}{U + V} \cdot \frac{r_a^4 + r_i^4}{\Omega}$$

zeigt, daß Abweichungen von dem Zustande des Sättigungsstromes aus zwei verschiedenen Gründen eintreten können; entweder weil bei gegebenem Raume  $\Omega$  die Ladung  $e$  zu klein wird, oder weil bei gegebener Ladung  $e$  der Raum zu groß wird. Die bei den Versuchen von Harms hervortretenden Abweichungen werden wir dem ersten Falle unterordnen. Man kann aber leicht zeigen, daß der zweite Fall in gewisser Weise auf den ersten reduziert und mit diesem verglichen werden kann. Wir gehen zu diesem Zwecke aus von den Gleichungen:

$$\varepsilon \bar{N}_0^+ = \frac{q e}{3 \nu U} \frac{1}{r^2 \mathfrak{F}_0} (r^3 - r_i^3), \quad \varepsilon \bar{N}_0^- = \frac{q e}{3 \nu V} \frac{1}{r^2 \mathfrak{F}_0} (r_a^3 - r^3).$$

Die Werte von  $\mathfrak{F}_0^2$  unterscheiden sich im allgemeinen nur sehr wenig von  $e^2/r^4$ . Bei den Beobachtungen von Harms<sup>1)</sup> beträgt für  $s = 230$  die Abweichung weniger als  $1/800$ , für  $s = 125$  weniger als  $1/100$ . Wir können daher für die folgende Betrachtung ohne Bedenken

$$\mathfrak{F}_0 = \frac{e}{r^2}$$

setzen und erhalten dann:

$$\varepsilon \bar{N}_0^+ = \frac{q e}{3 \nu U e} (r^3 - r_i^3), \quad \varepsilon \bar{N}_0^- = \frac{q e}{3 \nu V e} (r_a^3 - r^3).$$

Multiplizieren wir Zähler und Nenner dieser Ausdrücke mit dem Faktor  $x^3$ , so ergibt sich:

$$\varepsilon \bar{N}_0^+ = \frac{q e}{3 \nu U x^3 e} (x^3 r^3 - x^3 r_i^3), \quad \varepsilon \bar{N}_0^- = \frac{q e}{3 \nu V x^3 e} (x^3 r_a^3 - x^3 r^3).$$

1) Man kann vermuten, daß die aus Beobachtungen von Harms abgeleiteten Resultate noch durch einen anderen Umstand beeinflusst werden, auf dessen Bedeutung ich erst nachträglich aufmerksam wurde. Die Bedingungen  $\bar{N}_i^+ = 0$  und  $\bar{N}_a^- = 0$  lassen sich bei einem nichtgesättigten Strome nur näherungsweise erfüllen; in Wirklichkeit sind bei einem solchen  $\bar{N}_i^+$  und  $\bar{N}_a^-$  nicht Null, sondern besitzen gewisse, allerdings nur kleine Werte. Die aus den Beobachtungen von Harms abgeleiteten Zahlen werden durch die Berücksichtigung dieses Umstandes nur sehr wenig geändert. Insbesondere wird der Wert von  $\alpha$  in ungünstigem Sinne beeinflusst; er wird größer, nämlich gleich der Zahl 440 000, die sich ergibt, wenn die Diffusionsglieder weggelassen werden.



Setzen wir:

$$\mathfrak{E} = x^3 e, \quad R = x r,$$

so ergeben sich die Formeln:

$$\varepsilon \bar{N}_0^+ = \frac{q e}{3 \nu U \mathfrak{E}} (R^3 - R_i^3), \quad \varepsilon \bar{N}_0^- = \frac{q e}{3 \nu V \mathfrak{E}} (R_a^3 - R^3).$$

*Bei ähnlichen Hohlräumen, die zwischen konzentrischen Kugeln eingeschlossen sind, haben die Ionendichten an entsprechenden Punkten gleiche Werte, wenn die Ladungen der inneren Kugeln sich verhalten wie die Inhalte der Räume.*

Wollte man in einem Hohlraum, der von zwei konzentrischen Kugeln von den Halbmessern  $R_i = 22,5$  cm und  $R_a = 160$  cm begrenzt ist, die Ionendichten erhalten, die wir bei der Berechnung der Versuche von Harms für  $s = 230$  gefunden haben, so müßte die Ladung der inneren Kugel auf 520 elektrostatische Einheiten, ihr Potential auf 5960 Volt gebracht werden.

## II. Über die Zerstreuung in gleichmäßig bewegter Luft.

1. *Bewegung positiver Ionen.* In einem unbegrenzten Raume, in dem die Luft mit konstanter Geschwindigkeit und in unveränderlicher Richtung strömt, werde eine mit der Menge  $e$  von negativer Elektrizität geladene Kugel aufgestellt.

Den Mittelpunkt der Kugel machen wir zum Anfangspunkt eines rechtwinkligen Koordinatensystems, dessen  $x$ -Achse parallel der Richtung der Luftbewegung sei. Wir betrachten ein *positives Ion*, das sich in der Ebene  $xy$  an der durch die Koordinaten  $x$  und  $y$  bestimmten Stelle befinde. Wir setzen voraus, daß dieses Ion an der Bewegung der Luft teilnehme, daß aber zu der hierdurch bestimmten Geschwindigkeit noch die Geschwindigkeiten hinzukommen, die von der Ladung  $e$  erzeugt werden. Die Luft ströme mit der Geschwindigkeit  $u$  in der entgegengesetzten Richtung der  $x$ -Achse. Dann ergeben sich für die Geschwindigkeiten des Ions die Gleichungen:

$$\begin{aligned} \frac{dx}{dt} &= -u - \nu U e \frac{x}{r^3}, \\ \frac{dy}{dt} &= -\nu U e \frac{y}{r^3}. \end{aligned}$$

Daraus folgt:

$$y \frac{dx}{dt} = \frac{\partial}{\partial y} \left\{ \nu U e \frac{x}{r} - \frac{1}{2} u y^2 \right\},$$

$$y \frac{dy}{dt} = - \frac{\partial}{\partial x} \left\{ \nu U e \frac{x}{r} - \frac{1}{2} u y^2 \right\}.$$

Setzen wir

$$\psi = \nu U e \frac{x}{r} - \frac{1}{2} u y^2,$$

so wird:

$$y \left( \frac{\partial \psi}{\partial x} \cdot \frac{dx}{dt} + \frac{\partial \psi}{\partial y} \cdot \frac{dy}{dt} \right) = 0,$$

d. h. die Gleichung

$$\nu U e \frac{x}{r} - \frac{1}{2} u y^2 = \text{Konst.}$$

gibt die Strömungskurve des betrachteten Ions. Setzen wir  $x = r \cos \varphi$ , so kommt die Gleichung auf die Form:

$$\nu U e \cos \varphi - \frac{1}{2} u y^2 = \text{Konst.}$$

Nun habe das Ion in sehr großer Entfernung von der Zerstreuungskugel, d. h. für  $\varphi = 0$  den Abstand  $b$  von der  $x$ -Achse. Führen wir diesen Abstand an Stelle der Konstanten in die vorhergehende Gleichung ein, so ergibt sich:

$$b^2 - y^2 = \frac{2 \nu U e}{u} (1 - \cos \varphi),$$

oder:

$$b^2 - r^2 \sin^2 \varphi = \frac{2 \nu U e}{u} (1 - \cos \varphi).$$

Für  $\varphi = \pi/2$  wird:

$$y^2 = r^2 = b^2 - \frac{2 \nu U e}{u},$$

für  $\varphi = \pi$ :

$$y^2 = b^2 - \frac{4 \nu U e}{u}.$$

Ferner wird  $r = 0$  für

$$\frac{2 \nu U e}{u} \cos \varphi = \frac{2 \nu U e}{u} - b^2.$$

Im besonderen ergeben sich hieraus die folgenden Verhältnisse:

a) Unter den Kurven der ganzen Schar nimmt diejenige eine ausgezeichnete Stellung ein, für welche

$$b^2 = \frac{4 \nu U e}{u}.$$

Ihre Gleichung wird:

$$r^2 \sin^2 \varphi = \frac{2 \nu U e}{u} (1 + \cos \varphi).$$

Für  $\varphi = \pi/2$  ergibt sich:

$$r^2 = \frac{2 \nu U e}{u}.$$

Für  $\varphi = \pi$ :

$$r^2 = \frac{2 \nu U e}{u} \frac{1 + \cos \varphi}{\sin^2 \varphi} = \frac{\nu U e}{u}.$$

b) Ist  $b^2 > 4 \nu U e / u$ , so hat die Gleichung

$$\cos \varphi = 1 - \frac{b^2}{2 \nu U e / u}$$

keine reelle Lösung mehr; die Bahnen der Teilchen, für welche  $b^2 > 4 \nu U e / u$  ist, gehen also nicht mehr durch den Anfangspunkt des Koordinatensystems.

Für  $\varphi = \pi$  wird:

$$y^2 = b^2 - \frac{4 \nu U e}{u}.$$

c) Ist  $b^2 = 2 \nu U e / u$ , so ist  $y = 0$  für  $\varphi = \pi/2$ ; die entsprechende Bahnkurve berührt im Anfangspunkte die  $y$ -Achse.

d) Ist

$$\frac{4 \nu U e}{u} > b^2 > \frac{2 \nu U e}{u},$$

so mündet die Kurve im Anfangspunkte des Koordinatensystems unter einem Winkel, der bestimmt ist durch die Gleichung

$$\cos \varphi = - \frac{b^2}{2 \nu U e / u} + 1;$$

sie schneidet die  $y$ -Achse in einem Punkte für den

$$y^2 = b^2 - \frac{2 \nu U e}{u}.$$

e) Ist

$$\frac{2 \nu U e}{u} > b^2 > 0,$$

so wird  $r = 0$  für

$$\cos \varphi = 1 - \frac{b^2}{2 \nu U e / u}.$$

Ein zweiter Schnittpunkt mit der  $y$ -Achse ist nicht vorhanden.

2. *Bahn eines negativen Ions.* Die Gleichungen für die Geschwindigkeit sind:

$$\frac{dx}{dt} = -u + v V e \frac{r}{r^3},$$

$$\frac{dy}{dt} = v V e \frac{y}{r^3}.$$

$$y \frac{dx}{dt} = - \frac{\partial}{\partial y} \left\{ v V e \frac{x}{r} + \frac{1}{2} u y^2 \right\},$$

$$y \frac{dy}{dt} = \frac{\partial}{\partial x} \left\{ v V e \frac{x}{r} + \frac{1}{2} u y^2 \right\}.$$

Die Gleichung der Bahnkurve ist:

$$v V e \cos \varphi + \frac{1}{2} u y^2 = \text{Konst.}$$

Setzen wir wieder für  $\varphi = 0$  den Abstand  $y = b$ , so ergibt sich:

$$y^2 - b^2 = \frac{2 v V e}{u} (1 - \cos \varphi).$$

Eine ausgezeichnete Rolle spielt die Kurve, für welche  $b = 0$  ist. Ihre Gleichung wird:

$$y^2 = \frac{2 v V e}{u} (1 - \cos \varphi),$$

$$\text{also wird für } \varphi = \pi/2: y^2 = \frac{2 v V e}{u},$$

$$\text{für } \varphi = \pi: y^2 = \frac{4 v V e}{u}.$$

Endlich wird für  $\varphi = 0$ :

$$y = 0 \quad \text{und} \quad r^2 = \frac{v V e}{u}.$$

Für irgend einen anderen Wert von  $b$  wird:

$$y^2 = b^2 + \frac{2 v V e}{u} (1 - \cos \varphi).$$

Von  $\varphi = 0$  bis zu  $\varphi = \pi$  wächst daher  $y^2$  von  $b^2$  bis zu  $b^2 + 4 v V e / u$ .

3. *Zur Erläuterung der Zeichnung.* Von der Gestalt der Bahnkurven gibt die beigegebene Fig. 2 eine Anschauung. Die ausgezogenen Kurven beziehen sich auf positive, die gestrichelten auf negative Ionen.  $O$  bezeichnet den Mittelpunkt der Zerstreuungskugel. Die Kurven  $ABO$  und  $CBO$  entsprechen dem ausgezeichneten Falle, in dem

$$b^2 = \frac{4 v U e}{u}.$$

Es ist also

$$DA = DC = 2 \sqrt{\frac{v U e}{u}}.$$





schlagen. Ist also  $e$  die Größe ihrer negativen Ladung, so ist die Abnahme in 1 sec:

$$\delta e = \pi \times D A^2 \times u \dot{N} \epsilon^+,$$

oder, wenn man für  $DA$  seinen Wert setzt:

$$\delta e = 4 \pi \nu U e \dot{N} \epsilon^+.$$

*Die Zerstreuung ist unabhängig von der Geschwindigkeit, mit der sich die Luft bewegt.*

Derselbe Wert der Zerstreuung ergibt sich in Übereinstimmung hiermit auch für ruhende Luft, wenn man absieht von dem Einflusse der Neubildung und der Diffusion der Ionen. Dieser Einfluß wird im allgemeinen um so mehr hervortreten, je kleiner die Strömungsgeschwindigkeit der Luft ist; er wird am größten bei ruhender Luft.

5. *Numerische Verhältnisse.* Um eine Vorstellung von den Größenverhältnissen zu bekommen, wie sie in der Wirklichkeit möglich sind, setzen wir beispielsweise:

$$e = 1 \text{ und } u = 100 \text{ cm/sec,}$$

also

$$e/u = 0,01.$$

Dann wird

$$DA = DC = 4,05 \text{ cm,}$$

$$OB = 2,02 \text{ cm,}$$

$$\frac{1}{2} GF = 4,25 \text{ cm,}$$

$$O\epsilon = 2,12 \text{ cm.}$$

Machen wir den Halbmesser der Zerstreuungskugel gleich  $OB$ , so muß ihr Potential auf 148 Volt gebracht werden. Für die Zerstreuung in der freien atmosphärischen Luft ergibt sich aus Beobachtungen, welche Hr. Dr. Cuomo auf Capri angestellt hat, bei positiver Ladung des Zerstreuungskörpers ein mittlerer Wert von 2,85 Proz. in der Minute. Benutzen wir diesen in der Formel

$$\frac{\delta e}{e} = 4 \pi \nu U \cdot \dot{N} \epsilon^+,$$

so ergibt sich

$$\dot{N} \epsilon^+ = 977 \times 10^{-10}.$$

Für die Zerstreuung negativer Elektrizität gilt die Formel:

$$\frac{\delta e}{e} = 4 \pi \nu V \bar{N} \epsilon.$$

Nun ist nach den Beobachtungen Cuomos für negative Elektrizität  $\delta e/e$  im Mittel gleich 2,87 Proz. in der Minute; daraus folgt:

$$\bar{N} \epsilon = 840 \times 10^{-10}.$$

Für  $U$  und  $V$  sind hier die Werte  $1,29 \times 10^{-8}$  und  $1,51 \times 10^{-8}$  genommen, die sich aus Laboratoriumsversuchen für feuchte Luft ergeben haben.

### III. Über die Masse der in der Luft enthaltenen Ionen.

#### 1. Der Diffusionskoeffizient und die Beweglichkeit der Ionen.

Ein positives Ion befinde sich in einem elektrostatischen Felde von der Intensität  $\mathfrak{F}$  in elektrostatischem Maße. Die elektrische Ladung des Ions bezeichnen wir mit  $\epsilon$ ; die Geschwindigkeit, die es unter der Wirkung der elektrischen Kraft erhält, sei  $g^+$ . Dann ist

$$g^+ = U \epsilon \mathfrak{F}.$$

Im 66. Bande der Wiedemannschen Annalen habe ich eine Theorie der Elektrizitätsleitung in Metallen veröffentlicht, deren Resultate auch auf die Ionenleitung der Gase übertragen werden können. Danach hängt der Faktor  $U^+$  ab von der mittleren Weglänge, von der Masse und von der molekularen Geschwindigkeit der Ionen. Bezeichnen wir die Masse eines einzelnen positiven Ions mit  $\mu_p$ , seine mittlere Weglänge mit  $l_p$ , seine molekulare Geschwindigkeit mit  $u_p$ , so ist:

$$U^+ = \frac{2}{3} \frac{l_p}{\mu_p u_p} = \frac{2}{3} \frac{l_p u_p}{\mu_p \mu_p}.$$

Die Konstante des Gasgesetzes habe für die positiven Ionen den Wert  $R_p$ , dann ist:

$$u_p^2 = 3 R_p T,$$

und:

$$U^+ = \frac{2 l_p u_p}{9 \mu_p R_p T}.$$

Die Zahl der positiven Ionen in der Volumeneinheit sei  $N^+$ ; aus dem Gasgesetze folgt dann für den Partialdruck der positiven Ionen der Wert:

$$p^+ = N^+ \mu_p R_p T.$$

Daher wird:

$$U^+ = \frac{2}{3} l_p u_p \frac{N^+}{p}.$$

Der Faktor  $U^+$  steht mit der sogenannten absoluten Beweglichkeit  $U$  der positiven Ionen in der Beziehung<sup>1)</sup>:

$$\epsilon U^+ = \nu U,$$

wo  $\nu$  die Lichtgeschwindigkeit bezeichnet. Führen wir in unserer Gleichung an Stelle von  $U^+$  diese absolute Beweglichkeit ein, so ergibt sich:

$$U = \frac{2}{3} l_p u_p \frac{\epsilon N^+}{\nu p}.$$

Auf der anderen Seite besteht zwischen dem Diffusionskoeffizienten  $k^+$  der positiven Ionen und ihrer absoluten Beweglichkeit die Beziehung<sup>2)</sup>:

$$U = k^+ \frac{\epsilon N^+}{\nu p}.$$

Somit erhält man für den Diffusionskoeffizienten den Ausdruck:

$$k^+ = \frac{2}{3} l_p u_p.$$

Ebenso gilt für die negativen Ionen:

$$k^- = \frac{2}{3} l_n u_n.$$

2. *Die molekulare Weglänge der Ionen.* In seiner dynamischen Theorie der Gase hat Maxwell den Fall einer Mischung zweier Gase behandelt und Formeln für die mittleren Weglängen abgeleitet. Bei dem ersten Gase sei die Zahl der Moleküle in der Volumeneinheit  $N_1$ , ihr Durchmesser  $s_1$ , die mittlere molekulare Geschwindigkeit  $\alpha_1$ , die mittlere Weg-

1) E. Riecke, Lehrbuch d. Physik. 2. Aufl., 2. p. 366. 1902.

2) l. c. 2. p. 381.

länge  $l_1$ . Für das zweite Gas gelten dieselben Bezeichnungen mit dem Index 2. Dann ist nach Maxwell:

$$\frac{1}{l_2} = \pi \sqrt{2} N_1 s_1^2 + \frac{\pi}{4} N_2 (s_1 + s_2)^2 \sqrt{\frac{\alpha_1^2 + \alpha_2^2}{\alpha_1^2}},$$

$$\frac{1}{l_2} = \frac{\pi}{4} N_1 (s_1 + s_2)^2 \sqrt{\frac{\alpha_1^2 + \alpha_2^2}{\alpha_2^2}} + \pi \sqrt{2} N_2 s_2^2.$$

Wir werden diese Formeln auf ein ionisiertes Gas anwenden, und zwar zuerst auf das neutrale Gas und auf die in ihm enthaltenen *positiven* Ionen. Für die Moleküle des neutralen Gases brauchen wir die Zeichen  $N, l, s, \alpha$ , für die positiven Ionen die Zeichen  $N^+, l_p, s_p, u_p$ . Nun ist die Dichte der positiven Ionen verschwindend klein gegenüber der Dichte der Gasionen; wir können also die mit  $N^+$  behafteten Glieder in den Werten der Weglängen weglassen. Dann ergibt sich:

$$\frac{1}{l} = \pi \sqrt{2} N s^2, \quad \frac{1}{l_p} = \frac{\pi}{4} N (s + s_p)^2 \sqrt{\frac{\alpha^2 + u_p^2}{u_p^2}}.$$

Die Weglänge der Gasmoleküle wird durch die Gegenwart der positiven Ionen nicht verändert, wir können für sie den aus der Gastheorie bekannten Wert benutzen. Für das Verhältnis der Weglängen ergibt sich:

$$\frac{l_p}{l} = \left(1 + \frac{s_p}{s}\right)^2 \sqrt{\frac{u_p^2}{\alpha^2 + u_p^2}}.$$

Außerdem besteht zwischen  $l_p$  und  $u_p$  noch die Beziehung:

$$l_p u_p = \frac{9}{2} k^+.$$

Ebenso ergeben sich für die negativen Ionen die Gleichungen:

$$\frac{l_n}{l} = \left(1 + \frac{s_n}{s}\right)^2 \sqrt{\frac{u_n^2}{\alpha^2 + u_n^2}}.$$

$$l_n u_n = \frac{9}{2} \bar{k}.$$

Setzen wir zur Abkürzung:

$$a_p = \frac{9}{16} \left(1 + \frac{s_p}{s}\right)^2 \frac{k^+}{l}, \quad a_n = \frac{9}{16} \left(1 + \frac{s_n}{s}\right)^2 \frac{\bar{k}}{l},$$

so wird:

$$u_p^2 = a_p^2 + a_p \sqrt{2} \alpha^2 + a_p^2, \quad u_n^2 = a_n^2 + a_n \sqrt{2} \alpha^2 + a_n^2.$$

Diese allgemeinen Gleichungen werden wir nun auf die Ionen der Luft in Anwendung bringen. Für diese ist:

$$^+h = 0,0274, \quad ^-h = 0,0420.$$

Für die mittlere Weglänge der Luftmoleküle setzen wir:

$$l = L = 9,1 \times 10^{-6} \text{ cm},$$

für ihre mittlere molekulare Geschwindigkeit:

$$\alpha = 48200 \text{ cm/sec.}$$

Um die Gleichungen zu lösen, nehmen wir für die Verhältnisse  $s_p/s$  und  $s_n/s$  eine Reihe verschiedener Werte willkürlich an, und berechnen jedesmal die entsprechenden Werte von  $u_p$ ,  $l_p$  und  $u_n$ ,  $l_n$ . Die folgende Tabelle enthält die Resultate einer in dieser Weise durchgeführten Rechnung. Dabei bezeichnet  $M$  die mittlere Masse,  $\Omega$  das mittlere Volumen eines Luftmoleküls;  $\omega_p$  und  $\omega_n$  die Volumina der positiven und der negativen Ionen; endlich bedeutet  $h$  die Masse des Wasserstoffatomes. Die Massenverhältnisse sind berechnet mit Hülfe der Gleichungen:

$$\mu_p u_p^2 = \mu_n u_n^2 = M \alpha^2;$$

$M/h$  ist gleich 29,3.

$\frac{s_p}{s} = \frac{s_n}{s}$	$\frac{1}{2}$	1	$\frac{3}{2}$	2	4
$u_p^2$	$2744 \times 10^5$	$5099 \times 10^5$	$8423 \times 10^5$	$12973 \times 10^5$	$51902 \times 10^5$
$u_n^2$	$4338 \times 10^5$	$8238 \times 10^5$	$15390 \times 10^5$	$22294 \times 10^5$	$103210 \times 10^5$
$u_p$	16560	22580	29020	36020	72040
$u_n$	20830	28700	39230	47210	101590
$l_p \times 10^6$	7,44	5,46	4,25	3,42	1,71
$l_n \times 10^6$	9,07	6,58	4,82	4,00	1,86
$l_p/L$	0,82	0,60	0,47	0,38	0,19
$l_n/L$	0,99	0,72	0,53	0,43	0,20
$\mu_p/h$	248	133	81	52	13
$\mu_n/h$	157	82	44	30	6,6
$\mu_p/M$	8,5	4,5	2,8	1,8	0,4
$\mu_n/M$	5,4	2,8	1,5	1,0	0,2
$\frac{\omega_p}{\Omega} = \frac{\omega_n}{\Omega}$	0,125	1	3,375	8	64



Graphisch sind die Resultate in der beigegebenen Fig. 3 dargestellt, die ausgezogenen Kurven beziehen sich auf die positiven, die gestrichelten auf die negativen Ionen. Die Werte  $s_p/s$  und  $s_n/s$  sind auf der horizontalen Achse abgetragen. Die Kurven 1 geben die Werte von  $\mu_p/M$  und  $\mu_n/M$ , die Kurve 2 die Volumenverhältnisse  $\omega_p/\Omega$  und  $\omega_n/\Omega$ . Die Kurven 3 entsprechen den Werten von  $u_p \times 10^{-3}$  und  $u_n \times 10^{-3}$ , die Kurven 4 den Werten von  $l_p \times 10^6$  und  $l_n \times 10^6$ .

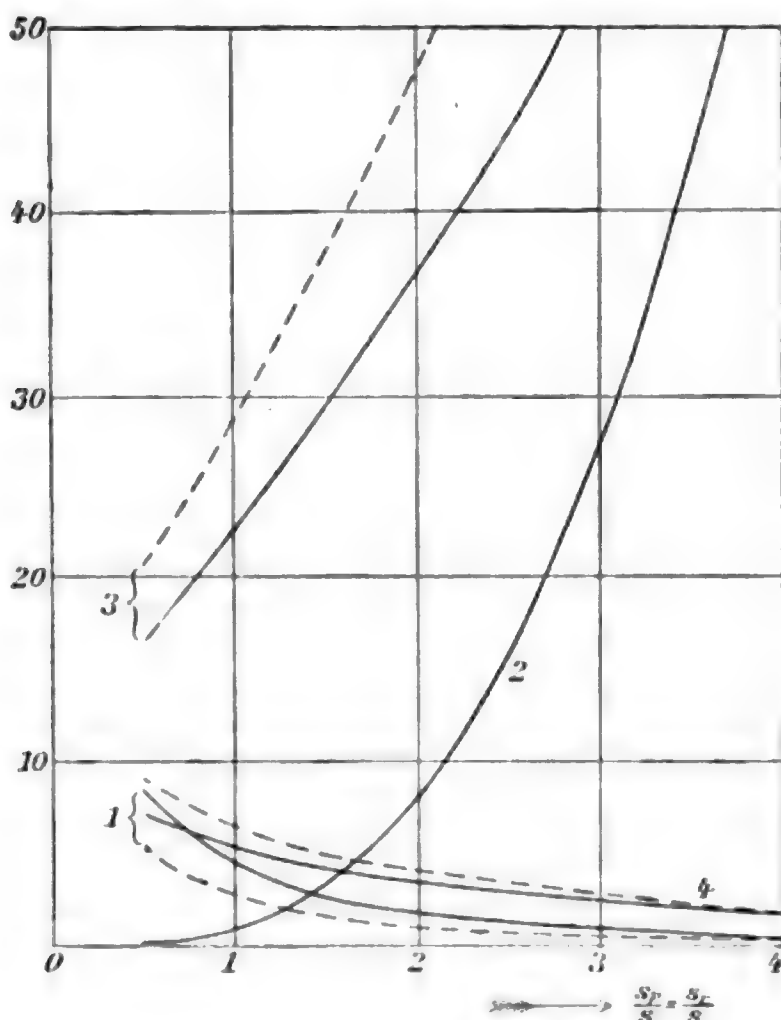


Fig. 3.

3. *Die Masse der Ionen.* Mit Bezug auf die Masse der positiven Ionen ergibt sich aus der Betrachtung der Kurven das Folgende. Bis zu dem Werte  $s_p/s = 3$  ist die Masse der positiven Ionen, wie sie aus unseren Rechnungen sich ergibt, größer als die der Luftmoleküle. Für  $s_p/s = 3$  wird sie gleich der Masse der letzteren; gleichzeitig wird aber das berechnete Volumen der Ionen 27 mal so groß, als das der Luftmoleküle. Ein solches Verhalten hat sehr wenig Wahrscheinlichkeit für sich. Man kann also mit ziemlicher Sicherheit den Schluß

ziehen, daß die Masse der positiven Ionen größer als die der Luftmoleküle ist. Bei den negativen Ionen wird der berechnete Wert von  $\mu_n/M$  gleich 1 für  $s_n/s$  gleich 2, also für  $\omega_n/\Omega = 8$ . Auch ein solches Verhältnis ist nicht sehr wahrscheinlich, man kann daher umgekehrt als wahrscheinlich betrachten, daß auch die Masse der negativen Ionen größer als die der Luftmoleküle ist.

Zu bestimmten Werten für die Massen der Ionen kann man natürlich nur gelangen, wenn man den Gleichungen, die in den beiden ersten Abschnitten aufgestellt worden sind, noch zwei weitere hinzufügt. Die einfachste Annahme, die man zu diesem Zwecke machen kann, ist die, daß die Dichte, das Verhältnis zwischen Masse und Volumen, bei den Ionen dasselbe sei, wie bei der Luft.

Man erhält dann noch die Gleichungen:

$$\frac{\mu_p}{\omega_p} = \frac{M}{\Omega}, \text{ oder } \frac{\mu_p}{M} = \frac{\omega_p}{\Omega},$$

und:

$$\frac{\mu_n}{\omega_n} = \frac{M}{\Omega}, \text{ oder } \frac{\mu_n}{M} = \frac{\omega_n}{\Omega}.$$

Die entsprechenden Werte von  $\mu_p/M$  und von  $\mu_n/M$  werden durch die Schnittpunkte der beiden Kurven 1 mit der Kurve 2 bestimmt. Daraus ergeben sich dann die folgenden Werte der für die positiven und für die negativen Ionen charakteristischen Größen:

$$\begin{aligned} \frac{s_p}{s} &= 1,42, & \frac{s_n}{s} &= 1,27, \\ \mu_p/M &= 2,9, & \mu_n/M &= 2,0, \\ u_p &= 28100 \frac{\text{cm}}{\text{sec}}, & u_n &= 33600 \frac{\text{cm}}{\text{sec}}, \\ l_p &= 4,4 \times 10^{-6}; & l_n &= 5,6 \times 10^{-6}. \end{aligned}$$

Von der gemachten Annahme können die wirklichen Verhältnisse nach der einen oder anderen Seite abweichen; doch ist nicht wahrscheinlich, daß dadurch die Größenordnung der berechneten Werte verändert wird.

4. Über die Masse der durch einen Sättigungsstrom abgeschiedenen Ionen. Wir betrachten einen geschlossenen Raum von der Größe eines Zimmers. Der Halbmesser einer Kugel von gleichem Rauminhalte betrage 250 cm. Um in diesem

Raume einen wenigstens nahezu gesättigten Strom zu erhalten, müssen wir darin eine Kugel von 35 cm Halbmesser aufstellen und zu einem Potentiale von etwa 17 000 Volt laden.<sup>1)</sup> Das Volumen des Hohlraumes ist gleich  $65,3 \times 10^6$  ccm. Setzen wir die Ladung  $e$  des Ions, das elektrische Elementarquantum, nach Planck<sup>2)</sup> gleich  $4,69 \times 10^{-10}$ , so ergibt sich aus den Versuchen von Harms<sup>3)</sup> für die Zahl der in einer Sekunde in der Volumeneinheit gebildeten Ionen der Wert  $q = 43$ . Hat die innere Kugel eine negative Ladung, so beträgt die Zahl der positiven Ionen, welche in 1 sec auf ihr abgeschieden werden,  $43 \times 65,3 \times 10^6 = 28 \times 10^8$ . Die Zahl der Luftmoleküle, die in einem Grammmolekül Luft enthalten sind, beträgt nach Planck  $5,57 \times 10^{23}$ .<sup>4)</sup> Das mittlere Molekulargewicht der Luft ist gleich 29,3. Somit das mittlere Gewicht eines Luftmoleküls  $5,26 \times 10^{-23}$  g, und das Gewicht eines positiven Ions der Luft:  $1,55 \times 10^{-22}$  g. In dem betrachteten Raume werden also durch den Sättigungsstrom in 1 sec  $43,3 \times 10^{-14}$  g positive Ionen an der inneren Kugel abgeschieden. Sollte die abgeschiedene Menge der Ionen den Betrag von 0,01 mg erreichen, so müßte der Sättigungsstrom während einer Zeit von  $2,3 \times 10^7$  sec oder 270 Tagen unterhalten werden. Die Aufgabe, die Masse der Ionen der Luft durch eine direkte Wägung zu bestimmen, dürfte hiernach sehr schwer zu lösen sein.

#### IV. Über Ionenadsorption an der Oberfläche der Erde.

Wie bei dem Erdmagnetismus, so kann man auch bei der Lufterlektrizität zwischen einem beharrlichen Teile der Er-

1) Vgl. die Betrachtungen auf p. 67.

2) M. Planck, Ann. d. Phys. 9. p. 641. 1902.

3) F. Harms, Phys. Zeitschr. 4. p. 11. 1902.

4) Ich benütze die Gelegenheit, um einen Rechenfehler auf p. 648 des zweiten Bandes meines Lehrbuches der Physik (II. Aufl.) zu berichtigen. Das Volumen von 2 g Wasserstoff, das Volumen des Grammmoleküls im gasförmigen Zustande, ist dort gleich  $1,11 \times 10^4$  ccm gesetzt, statt gleich  $2,22 \times 10^4$  ccm. Die Zahl der Gasmoleküle, die bei normalem Drucke und bei einer Temperatur von 0° Cels. in einem ccm enthalten sind, berechnet sich dann zu  $25 \times 10^{18}$ . Die Abweichung von der bei Planck angegebenen Zahl ( $28 \times 10^{18}$ ) erklärt sich aus einer Vernachlässigung, die ich gemacht habe, um die Rechnung zu erleichtern.

scheinung und zwischen einem veränderlichen unterscheiden. Nur überwiegen auf dem Gebiete der Luftelektrizität die wechselnden Vorgänge so, daß der bleibende Kern nur schwer zu erkennen ist. Wir nehmen bei den folgenden Betrachtungen an, daß den luftelektrischen Erscheinungen eine zeitlich konstante negative Ladung der Erdoberfläche zu Grunde liege; ihr entspreche eine bestimmte, ebenso unveränderliche Verteilung von positiven und von negativen Ionen in der Luft. Es liegt dann die wohl zuerst von Elster und Geitel aufgeworfene Frage nahe, ob zwischen der negativen Ladung der Erdoberfläche und der Verteilung der positiven und negativen Ionen in der Atmosphäre nicht ein bestimmter Zusammenhang bestehe. In der Tat wird ein solcher wahrscheinlich gemacht durch die sogenannte Adsorption der Ionen.<sup>1)</sup> Wenn wir irgend einen Körper mit einem ionisierten Gase in Berührung bringen, so werden die Ionen infolge ihrer molekularen Bewegung mit seiner Oberfläche zusammenstoßen. Der Ionengehalt der Luft wird dabei verringert, sei es nun, daß die Ionen selbst an der Oberfläche des Körpers haften bleiben, oder daß sie nur ihre elektrische Ladung an dieselbe abgeben. Das Gesetz dieser *Ionenadsorption* kann hypothetisch in folgender Weise formuliert werden. Die Zahl der Ionen, die sich in einer Sekunde auf einem qcm der Oberfläche niederschlagen, ist proportional ihrer molekularen Geschwindigkeit und proportional ihrer Dichte. Wir können hiernach die Zahlen von positiven und von negativen Ionen, die in 1 sec auf einem qcm niedergeschlagen werden, durch die Ausdrücke darstellen:

$$x u_p \overset{+}{n}, \quad y u_n \overset{-}{n}.$$

Hier sind  $x$  und  $y$  konstante Koeffizienten, die wir als die *Koeffizienten der Adsorption* bezeichnen wollen;  $u_p$  und  $u_n$  sind die molekularen Geschwindigkeiten,  $\overset{+}{n}$  und  $\overset{-}{n}$  die Ionendichten. Man kann die vorstehenden Ansätze auf mancherlei andere Formen bringen, wenn man an Stelle von  $u_p$  und  $u_n$  Größen einführt, die mit ihnen proportional sind, z. B. die absoluten Beweglichkeiten, die Diffusionskoeffizienten. Wir werden diese

1) J. Stark, Die Elektrizität in Gasen p. 373. 1902.

Möglichkeiten nicht verfolgen, sondern bei den ursprünglichen Ansätzen bleiben.

Wenn die negative Ladung der Erdoberfläche auf Ionenadsorption beruhen soll, so muß die Adsorption der negativen Ionen größer sein als die der positiven. Sobald aber eine negative Ladung sich gebildet hat, tritt zu der Wirkung der Adsorption noch die der elektrischen Verschiebung hinzu. Die *gegen* die Erde gerichtete elektrostatische Kraft habe unmittelbar an der Oberfläche den Wert  $\mathfrak{E}$ . Sie erteilt den positiven Ionen die Geschwindigkeit  $c U \mathfrak{E}$ , den negativen die Geschwindigkeit  $c V \mathfrak{E}$ . Hier bedeutet  $c$  die Lichtgeschwindigkeit,  $U$  und  $V$  sind die absoluten Beweglichkeiten der Ionen. Die Produkte  $x u_p$  und  $y u_n$  kann man als Geschwindigkeiten betrachten, die aus der Adsorption resultieren. Bei den positiven Ionen summieren sich aber die Wirkungen von Adsorption und von elektrischer Verschiebung, bei den negativen ist diese letztere Wirkung der ersteren entgegengerichtet. Somit ergeben sich für die Mengen der positiven und der negativen Ionen, die in 1 sec auf einem qcm der Erdoberfläche abgeschieden werden, die Ausdrücke:

$$x u_p \bar{n}^+ + c U \mathfrak{E} \cdot \bar{n}^+ \quad \text{und} \quad y u_n \bar{n}^- - c V \mathfrak{E} \cdot \bar{n}^-.$$

Soll die Ladung der Erde keine Änderung erleiden, so müssen diese Ausdrücke einander gleich sein, und wir erhalten:

$$c (U \bar{n}^+ + V \bar{n}^-) \mathfrak{E} = y u_n \bar{n}^- - x u_p \bar{n}^+.$$

An Stelle der molekularen Geschwindigkeiten  $u_p$  und  $u_n$  können wir mit Hülfe der in dem dritten Abschnitte angegebenen Formeln die absoluten Beweglichkeiten  $U$  und  $V$  einführen. Setzen wir auf Grund des Avogadroschen Gesetzes:

$$\mu_p R_p = \mu_n R_n = 83 \times 10^6 = P,$$

so wird:

$$u_p = \frac{9}{2} \cdot \frac{c}{\epsilon} \cdot P T \cdot \frac{U}{l_p},$$

$$u_n = \frac{9}{2} \cdot \frac{c}{\epsilon} \cdot P T \cdot \frac{V}{l_n}.$$

Hier bezeichnen  $l_p$  und  $l_n$  die molekularen Weglängen der positiven und der negativen Ionen.



Substituieren wir diese Werte in der vorhergehenden Gleichung, so ergibt sich:

$$(I) \quad c(U_n^+ + V_n^-) \mathfrak{E} = \frac{q}{2} \cdot \frac{c}{\varepsilon} \cdot P T \cdot \left( \frac{y V_n^-}{l_n} - \frac{x U_n^+}{l_p} \right).$$

Wir nehmen weiter an, daß zwischen den Produkten  $U_n^+$ ,  $V_n^-$  und den Zerstreuungskoeffizienten  $\bar{a}^+$  und  $\bar{a}^-$  die im zweiten Abschnitte abgeleitete Beziehung bestehe:

$$\bar{a}^+ : \bar{a}^- = V_n^- : U_n^+.$$

Dann kann man die Gleichung I auch auf die folgende Form bringen:

$$(\bar{a}^- + \bar{a}^+) \mathfrak{E} = \frac{q}{2} \cdot \frac{P T}{\varepsilon} \cdot \left( \frac{y}{l_n} \bar{a}^+ - \frac{x}{l_p} \bar{a}^- \right)$$

oder

$$(II) \quad \mathfrak{E} = \frac{q}{2} \cdot \frac{P T}{\varepsilon} \cdot \frac{\frac{y}{l_n} \bar{a}^+ - \frac{x}{l_p} \bar{a}^-}{\bar{a}^- + \bar{a}^+}.$$

Aus der letzten Gleichung lassen sich zwei allgemeine Folgerungen ziehen:

1. Es muß jedenfalls

$$y > x \cdot \frac{l_n}{l_p} \cdot \frac{\bar{a}^-}{\bar{a}^+},$$

der Adsorptionskoeffizient der negativen Ionen größer als der der positiven sein.

2. Die elektrische Kraft und die Dichte der negativen Ladung der Erdoberfläche müssen um so kleiner sein, je mehr die Zerstreuung negativer Ladungen über die positiver überwiegt.

Die Sätze folgen aus der Annahme, daß die negative Ladung der Erdoberfläche eine Folge der Ionenadsorption sei. Man sieht aber leicht, daß noch eine zweite Annahme hinzutreten muß. Die Ionenadsorption bedingt eine fortwährende Abnahme der Ionendichte, soll der betrachtete Zustand ein wirklich stationärer sein, so muß dieser Verlust immer wieder ausgeglichen werden, sei es durch Neubildung von Ionen, sei es durch Diffusion oder durch strömende Bewegungen, welche immer neue Luftmengen von normalem Ionengehalt der Erdoberfläche zuführen.

Es ist von Interesse, die Gleichungen (I) und (II) soweit möglich in numerischer Form zu schreiben.

Bei Gleichung (I) möge für  $\mathfrak{E}$  der aus den Beobachtungen von Elster und Geitel folgende Wert  $300 \mathfrak{E} = 2,21$  benutzt werden. Für  $U$  und  $V$  setzen wir die für feuchte Luft geltenden Werte  $U = 1,37$ ,  $V = 1,51$ . Dann ergibt sich:

$$(I) \quad 2,21 \times (1,37 \overset{+}{n} + 1,51 \overset{-}{n}) = 650 \times 10^{20} \left( 1,51 \frac{y}{l_n} \overset{-}{n} - 1,37 \frac{x}{l_p} \overset{+}{n} \right).$$

Die Zahl der positiven Ionen, die bloß infolge der elektrischen Anziehung in 1 sec auf einem qcm des Erdbodens niedergeschlagen werden, beträgt

$$2,21 \times 1,37 \times \overset{+}{n} = 3,02 \times \overset{+}{n};$$

die Menge von positiver Elektrizität, die dadurch in einer Sekunde einem qcm der Erdoberfläche zugeführt wird,  $14,2 \times \overset{+}{n} \times 10^{-10}$  elektrische Einheiten. Dabei kann man für die Dichte der konstanten negativen Ladung der Erdoberfläche nach den Beobachtungen von Elster und Geitel den Wert von  $59 \times 10^{-5}$  elektrostatischen Einheiten annehmen.

Bei der numerischen Fassung von Gleichung (II) benutzen wir den Wert von  $\frac{\overset{-}{a}}{\overset{+}{a}}$ , der sich aus den Beobachtungen von Dr. Cuomo auf Capri ergeben hat,

$$\frac{\overset{-}{a}}{\overset{+}{a}} = 1,01.$$

Wir erhalten dann:

$$(II) \quad \mathfrak{E} = 1,08 \times 10^{20} \left( \frac{y}{l_n} - 1,01 \frac{x}{l_p} \right).$$

Daraus folgt:

$$y = 1,01 \frac{l_n}{l_p} x + 0,93 \times 10^{-20} \times \mathfrak{E} l_n,$$

also da  $l_n > l_p$ , auch  $y$  jedenfalls größer als  $x$ .

Eine Prüfung der abgeleiteten Formeln ist nicht möglich, da es an zusammenhängenden Reihen von Messungen fehlt.

(Eingegangen 5. Mai 1903.)

4. *Über die Dispersion der sichtbaren und ultravioletten Strahlen in Wasser und Schwefelkohlenstoff bei verschiedenen Temperaturen;*  
*von Ernst Flatow.*

(Auszug aus der Berliner Inaugural-Dissertation.)

**Einleitung.**

§ 1. Die vorliegende Arbeit verfolgt hauptsächlich den Zweck, den Einfluß der Temperatur auf die Dispersion zu untersuchen. Soweit es sich um den sichtbaren Teil des Spektrums handelt, haben sich zahlreiche Beobachter mit dieser Aufgabe beschäftigt; jedoch lassen sich die von ihnen erhaltenen Resultate theoretisch nicht mit Sicherheit verwerten. Dies ist erst dann möglich, wenn man die Beobachtungen über größere Spektralgebiete ausdehnt und auch die ultravioletten Strahlen mit in den Kreis der Betrachtung zieht. Der erste, der dies getan hat, ist Hr. Micheli<sup>1)</sup>, welcher verschiedene feste Körper von diesem Standpunkt aus untersucht und bei allen qualitativ dasselbe Verhalten gefunden hat. Es entsteht nun die Frage, ob auch bei den durchsichtigen Flüssigkeiten die Änderung der Dispersion mit der Temperatur von einem gemeinsamen Gesetz beherrscht wird. Aus den früheren, im sichtbaren Gebiet angestellten Beobachtungen läßt sich vermuten, daß in der Tat ein solches Gesetz existiert, welches aber von dem für die festen Körper geltenden abweicht. Die vorliegende Arbeit, die auf Anregung von Hrn. Dr. Martens entstanden ist, führt diese Untersuchung für zwei ausgewählte Flüssigkeiten, Wasser und Schwefelkohlenstoff, durch und bestätigt die ausgesprochene Vermutung.

**I. Methoden und Apparate.**

§ 2. Um die Brechungsexponenten der untersuchten Flüssigkeiten zu bestimmen, hat der Verfasser die von Hrn. Martens<sup>2)</sup>

1) F. J. Micheli, Ann. d. Phys. 4. p. 772. 1901.

2) F. F. Martens, Verhandl. d. Deutsch. Phys. Gesellsch. 3. p. 150. 1902.

angegebene, auf Anwendung eines Zwillingsprismas beruhende Methode benutzt.<sup>1)</sup>

Ein aus einer völlig planparallelen Quarzplatte geschnittener Ring  $r$  (Fig. 1) wird mit den beiden planparallelen, senkrecht zur Achse geschliffenen Quarzplatten  $p_1$  und  $p_2$  bedeckt. In dem so gebildeten Hohlraum befindet sich die zu untersuchende Flüssigkeit mit dem unbekannten Brechungsindex  $n$ , und außerdem ein Zwillingsprisma  $Z$  aus Quarz (optische Achse ||

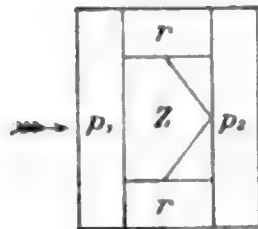


Fig. 1.

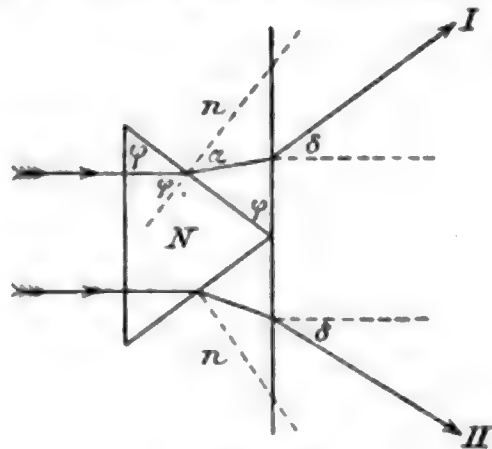


Fig. 2.

der brechenden Kante) mit dem bekannten Index  $N$ , dessen brechender Winkel  $\varphi$  je etwa  $30^\circ$  betragen. Das Prisma wird zwischen den Spektrometerobjektiven so justiert, daß seine brechenden Kanten vertikal stehen.

Das vom Kollimator kommende Strahlenbündel fällt senkrecht auf den Prismenkörper auf und wird beim Durchgang in zwei Bündel I und II (Fig. 2) geteilt, deren Winkelabstand  $2\delta$  photographisch gemessen wird.

Erklärt man einen Hülfswinkel  $\psi$  durch die Gleichung:

$$(1) \quad \sin \varphi = N \sin \psi$$

und berechnet die Größe  $\alpha$  aus der Beziehung

$$(2) \quad \lg \left( \alpha - \frac{\varphi}{2} \right) = \lg \frac{\varphi}{2} \lg \frac{\psi - \delta}{2} \cos \frac{\psi + \delta}{2},$$

so ergibt sich

$$(3) \quad n = \frac{\sin \psi}{\sin \alpha}.$$

Die beschriebene Methode ist auch auf stark absorbierte Strahlen anwendbar und erlaubt die Exponenten mit einer

1) Über Fehlerquellen, Justierung, Berechnung der absoluten Indizes etc. vgl. die Dissertation.

Genauigkeit von einigen Einheiten der fünften Dezimale zu bestimmen.

Für  $N$  wurden die von Hrn. Martens <sup>1)</sup> bestimmten Werte genommen, die bei den verschiedenen Temperaturen mit Hülfe der von Hrn. Micheli <sup>2)</sup> erhaltenen Resultate korrigiert wurden.  $\delta$  wurde durch Drehung der Kamera und Ausmessung der photographischen Platte auf der Teilmaschine bestimmt.

§ 3. Für die Beobachtungen stand das von Hrn. Martens <sup>3)</sup> beschriebene Spektrometer zur Verfügung. Um die Messungen bei verschiedenen Temperaturen vornehmen zu können, benutzte ich ein von Schmidt & Haensch hergestelltes Er-

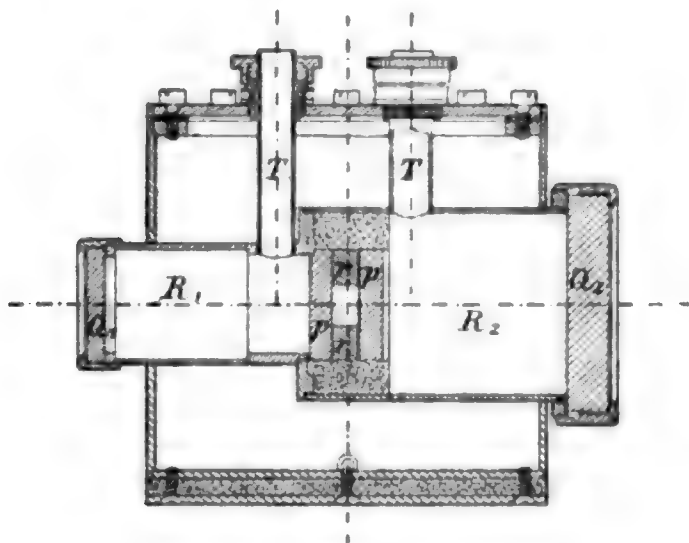


Fig. 3.

hitzungsgefäß, von dem die Fig. 3 einen vertikalen Durchschnitt darstellt. Die vom Kollimator kommenden Strahlen durchlaufen zunächst die Quarzplatte  $Q_1$  und das Durchsichtsröhr  $R_1$ , werden alsdann in der oben beschriebenen Weise durch den Prismenkörper abgelenkt und treten schließlich nach dem Durchgang durch die Quarzplatte  $Q_2$  in das Kameraobjektiv ein. Die beiden Durchsichtsröhre  $R_1$  und  $R_2$  sind allseitig von dem Heizraum umgeben, von dem sie jedoch vollkommen dicht abgeschlossen sind. Die Röhre  $T$  dienen zur Einführung von Thermometern. Das ganze Gefäß ist außen mit Asbest bekleidet.

1) F. F. Martens, Ann. d. Phys. 6. p. 621. 1901.

2) F. J. Micheli, l. c.

3) F. F. Martens, l. c.

Für die Messungen bei  $0^{\circ}$  und  $-10^{\circ}$  wurde der Heizraum mit schmelzendem Eis bez. einer Kältemischung gefüllt. Um höher liegende Temperaturen recht konstant zu erhalten, wurde ein größeres Bassin, das mehrere Liter Wasser enthielt, durch einen Brenner von geeigneter Flammenhöhe auf einer möglichst konstanten Temperatur, z. B. von  $60^{\circ}$ , gehalten. Von diesem Bassin aus wurde das Wasser durch den Heizraum des Erhitzungsgefäßes geleitet, wo es das Durchsichtsröhr beständig umspülte. Das abfließende Wasser, dessen Temperatur sich inzwischen nur wenig erniedrigt hatte, wurde in kurzen Zeiträumen wieder in das Bassin zurückgegossen. Auf diese Weise gelang es, während der meist mehrere Stunden dauernden Exposition die Temperatur des Prismenkörpers auf etwa  $\frac{1}{2}^{\circ}$  konstant zu erhalten.

§ 4. In nachstehender Tab. 1 sind alle Spektrallinien zusammengestellt, für welche ich die Brechungsexponenten bestimmt habe. Die Wellenlängen der meisten Linien sind den Untersuchungen der Herren Exner und Haschek<sup>1)</sup> entnommen. Die Elemente Cd, Al und Au wurden in dem elektrischen Funken eines mit einer Leydener Flasche ausgerüsteten Induktoriums verdampft, Na wurde im Bunsenbrenner zum Leuchten gebracht.

Tabelle 1.

Nr.	Element	$\lambda$ in Luft	$\lambda$ im Vakuum	Nr.	Element	$\lambda$ in Luft	$\lambda$ im Vakuum
1	Cd	214,45	214,52	10	Cd	340,36	340,45
2	Cd	219,47	219,54	11	Cd	361,19	361,29
3	Cd	226,51	226,58	12	Al	394,41	394,52
4	Cd	231,29	231,36	13	Cd	441,59	441,71
5	Au	242,81	242,88	14	Cd	467,83	467,96
6	Cd	257,32	257,39	15	Cd	480,01	480,14
7	Au	267,61	267,69	16	Cd	508,60	508,74
8	Cd	274,87	274,95	17	Cd	533,85	534,00
9	Al	308,23	308,31	18	Na	589,31	589,47

1) F. Exner u. E. Haschek, Sitzungsber. d. k. Akad. d. Wissensch. zu Wien 106. IIa. 1898.



## II. Die Ketteler-Helmholtzsche und die Lorentz-Plancksche Dispersionsformel.

§ 5. Unter den Dispersionsformeln, die von den verschiedenen Theoretikern aufgestellt worden sind, ist die Ketteler-Helmholtzsche bisher wohl am meisten auf ihre Übereinstimmung mit der Erfahrung geprüft worden. Es hat sich dabei gezeigt, daß die experimentell gefundenen Brechungsexponenten der verschiedenen Substanzen sich in der Tat recht gut durch diese Gleichung darstellen lassen.

Die Ketteler-Helmholtzsche Dispersionsformel lautet:

$$(4) \quad n^2 = 1 + \sum \frac{m_{\kappa} \lambda^2}{\lambda^2 - \lambda_{\kappa}^2}.$$

Hierin ist  $n$  der Brechungsexponent der betreffenden Substanz für die Wellenlänge  $\lambda$ . Die Summe ist zu erstrecken über sämtliche resonanzfähigen Eigenschwingungen, deren jede durch die beiden Konstanten  $m_{\kappa}$  und  $\lambda_{\kappa}$  charakterisiert ist, von denen  $\lambda_{\kappa}$  die Wellenlänge der Eigenschwingung angibt.  $1 + \sum m_{\kappa}$  ist nach der Theorie gleich der Dielektrizitätskonstante der Substanz.

§ 6. Die einfachste Form nimmt Gleichung (4) an, wenn nur eine resonanzfähige Eigenschwingung vorhanden ist; dann wird:

$$(5) \quad n^2 = 1 + \frac{m' \lambda^2}{\lambda^2 - \lambda'^2}.$$

In der Natur kommt dieser Fall nur selten vor, obwohl im allgemeinen die Dispersion und die Absorption einer Substanz wesentlich von der dem betreffenden Spektralbereich am nächsten liegenden Eigenschwingung abhängt. Berücksichtigt man noch andere, bei sehr kleiner Wellenlänge liegende Eigenschwingungen, so kann man für Gleichung (4) schreiben:

$$(6) \quad n^2 = m + \frac{m' \lambda^2}{\lambda^2 - \lambda'^2}.$$

Diese Formel ist besonders wichtig, weil sie die Brechungsexponenten der meisten durchsichtigen Substanzen im sichtbaren Gebiet befriedigend darstellt.

Den Einfluß der ultraroten Eigenschwingungen, sofern sich diese überhaupt bemerkbar machen, kann man durch ein Glied  $-k\lambda^2$  mit genügender Annäherung berücksichtigen, wodurch Gleichung (4) die Form annimmt:

$$(7) \quad n^2 = m + \frac{m' \lambda^2}{\lambda^2 - \lambda'^2} - k \lambda^2.$$

Die Konstanten  $m$ ,  $m'$  und  $\lambda'$  dieser Formel hat der Verfasser für Wasser und Schwefelkohlenstoff aus den im Vakuum gemessenen Exponenten und Wellenlängen berechnet; für  $k$  wurden die Martenschen Werte genommen.

§ 7. Eine andere Dispersionsformel ist die Lorentz-Plancksche, welche in ihrer einfachsten Form, falls man nur eine einzige Eigenschwingung annimmt, lautet:

$$(8) \quad \frac{n^2 + 2}{n^2 - 1} = \frac{1}{g} \left( 1 - \frac{\lambda_0^2}{\lambda^2} \right),$$

worin  $\lambda_0$  die Wellenlänge der Eigenschwingung und  $g$  eine der Anzahl der resonierenden Moleküle in der Volumeneinheit proportionale Konstante ist. Diese Gleichung kann man auch in der Form schreiben:

$$(9) \quad n^2 = 1 + \frac{\frac{3g}{1-g} \lambda^2}{\lambda^2 - \left( \frac{\lambda_0}{\sqrt{1-g}} \right)^2}.$$

Vergleicht man diese Formel mit Gleichung (5), so erkennt man, daß beide vollständig identisch sind, wenn man die darin vorkommenden Konstanten nur als solche betrachtet und von ihrer physikalischen Bedeutung absieht. Der wesentlichste Unterschied zwischen den beiden Theorien ist der, daß sie zu zwei verschiedenen Werten für die Eigenschwingung führen, die im Verhältnis  $\sqrt{1-g}$  zueinander stehen. Wir werden darauf anläßlich der für Schwefelkohlenstoff erhaltenen Resultate noch zurückkommen.

## III. Resultate.

## a) Wasser.

§ 8. Das Wasser ist im ultravioletten Spektralbereich bisher nur von Hrn. Simon <sup>1)</sup> untersucht worden und zwar bei Zimmertemperatur. Wendet man auf die Resultate des Hrn. Simon die Ketteler-Helmholtzsche Dispersionsformel an, wie es Hr. Martens getan hat, so zeigen sich zwischen den berechneten und beobachteten Werten mitunter recht erhebliche Unterschiede, die nur durch die Annahme erklärt werden können, daß die Wellenlängen, die zu den gemessenen Exponenten gehören sollen, nicht richtig angegeben sind. Aus diesem Grunde war eine neue Bestimmung der Indizes erwünscht.

Benutzt wurde stets destilliertes Wasser, welches vor jeder Messung durch Filtrieren und Auskochen von Staubteilchen und von Luft befreit worden war. Die folgenden Tab. 2 und 3 geben die erhaltenen Resultate wieder.

Tabelle 2.

Relative Brechungsexponenten des Wassers.

$\lambda$	0°	20°	40°	60°	80°
214	1,40500	1,40397	1,40144	1,39762	1,39308
219	1,39987	1,39883	1,39631	1,39251	1,38798
226	1,39360	1,39257	1,39001	1,38624	1,38169
231	1,38982	1,38878	1,38625	1,38247	1,37795
242	1,38210	1,38103	1,37849	1,37475	1,37024
257	1,37447	1,37344	1,37093	1,36719	1,36269
267	1,37007	1,36904	1,36656	1,36285	1,35837
274	1,36739	1,36637	1,36387	1,36019	1,35573
308	1,35768	1,35671	1,35424	1,35059	1,34618
340	1,35139	1,35044	1,34800	1,34436	1,33999
361	1,34834	1,34738	1,34497	1,34136	1,33702
394	1,34457	1,34366	1,34124	1,33765	1,33334
441	1,34071	1,33981	1,33741	1,33385	1,32956
467	1,33903	1,33815	1,33577	1,33225	1,32797
480	1,33834	1,33750	1,33516	1,33163	1,32734
533	1,33582	1,33499	1,33266	1,32916	1,32493
589	1,33381	1,33300	1,33069	1,32718	1,32300

1) H. Th. Simon, Wied. Ann. 53. p. 553. 1894.

Tabelle 3.

Absolute Brechungsexponenten des Wassers.

$\lambda$	0°			20°			40°			60°			80°		
	beob.	ber.	$\delta$	beob.	ber.	$\delta$	beob.	ber.	$\delta$	beob.	ber.	$\delta$	beob.	ber.	$\delta$
214	1,40546	1,40546	0	1,40440	1,40440	0	1,40184	1,40184	0	1,39800	1,39800	0	1,39343	1,39343	0
219	1,40032	1,40039	+ 7	1,39925	1,39931	+ 6	1,39670	1,39675	+ 5	1,39288	1,39293	+ 5	1,38833	1,38836	+ 3
226	1,39405	1,39416	+ 11	1,39299	1,39307	+ 8	1,39040	1,39051	+ 11	1,38661	1,38670	+ 9	1,38204	1,38213	+ 9
231	1,39027	1,39040	+ 13	1,38920	1,38932	+ 12	1,38664	1,38677	+ 13	1,38284	1,38297	+ 13	1,37830	1,37840	+ 10
242	1,38254	1,38268	+ 14	1,38144	1,38159	+ 15	1,37887	1,37905	+ 18	1,37511	1,37528	+ 17	1,37058	1,37072	+ 14
257	1,37490	1,37497	+ 7	1,37384	1,37390	+ 6	1,37130	1,37137	+ 7	1,36754	1,36763	+ 9	1,36302	1,36310	+ 8
267	1,37050	1,37050	0	1,36944	1,36944	0	1,36693	1,36693	0	1,36320	1,36320	0	1,35870	1,35870	0
274	1,36781	1,36775	- 6	1,36676	1,36671	- 5	1,36424	1,36419	- 5	1,36053	1,36047	- 6	1,35606	1,35600	- 6
308	1,35810	1,35808	- 2	1,35710	1,35708	- 2	1,35461	1,35461	0	1,35093	1,35093	0	1,34650	1,34652	+ 2
340	1,35180	1,35182	+ 2	1,35082	1,35085	+ 3	1,34836	1,34842	+ 6	1,34470	1,34478	+ 8	1,34031	1,34041	+ 10
361	1,34875	1,34875	0	1,34776	1,34780	+ 4	1,34533	1,34539	+ 6	1,34170	1,34176	+ 6	1,33734	1,33743	+ 9
394	1,34498	1,34495	- 3	1,34403	1,34402	- 1	1,34159	1,34163	+ 4	1,33798	1,33803	+ 5	1,33365	1,33372	+ 7
441	1,34111	1,34105	- 6	1,34018	1,34014	- 4	1,33776	1,33777	+ 1	1,33418	1,33420	+ 2	1,32987	1,32992	+ 5
467	1,33943	1,33937	- 6	1,33852	1,33848	- 4	1,33612	1,33612	0	1,33257	1,33256	- 1	1,32828	1,32831	+ 3
480	1,33874	1,33869	- 5	1,33786	1,33781	- 5	1,33550	1,33546	- 4	1,33195	1,33190	- 5	1,32765	1,32765	0
533	1,33621	1,33618	- 3	1,33535	1,33532	- 3	1,33300	1,33298	- 2	1,32948	1,32944	- 4	1,32523	1,32521	- 2
589	1,33420	1,33420	0	1,33336	1,33336	0	1,33103	1,33103	0	1,32750	1,32750	0	1,32330	1,32330	0
$m = 1,36763 \quad k = 0,013414$															
$m' = 0,38602 \quad k' = 0,12613 \mu$															
$\Sigma m = 1,76565$															
$m = 1,37612 \quad k = 0,013414$															
$m' = 0,38850 \quad k' = 0,12604 \mu$															
$\Sigma m = 1,76462$															
$m = 1,37584 \quad k = 0,013414$															
$m' = 0,38174 \quad k' = 0,12744 \mu$															
$\Sigma m = 1,75758$															
$m = 1,37282 \quad k = 0,013414$															
$m' = 0,37668 \quad k' = 0,12780 \mu$															
$\Sigma m = 1,74840$															
$m = 1,37292 \quad k = 0,013414$															
$m' = 0,36463 \quad k' = 0,12864 \mu$															
$\Sigma m = 1,73755$															

§ 9. Tab. 3 zeigt eine recht gute Übereinstimmung zwischen den berechneten und beobachteten Exponenten. Wenn auch bei den kürzeren Wellen Differenzen bis zu 18 Einheiten der fünften Dezimale vorkommen, so beruhen dieselben doch wohl kaum auf fehlerhafter Messung, sondern rühren höchstwahrscheinlich von einer vernachlässigten Eigenschwingung mit sehr kleiner Wellenlänge her. Für diese Annahme spricht namentlich die Tatsache, daß bei den kürzeren Wellen die gemessenen Exponenten schneller anwachsen als die berechneten. Auch der Umstand, daß der Gang der Differenz  $\delta$  bei allen fünf Temperaturen annähernd derselbe ist, deutet darauf hin, daß es sich hier um systematische, aber keine Beobachtungsfehler handelt.

Die berechnete Eigenschwingung bei  $127 \mu\mu$  ist wohl dem Sauerstoff zuzuschreiben. Dies wird dadurch wahrscheinlich gemacht, daß die Dispersion des Sauerstoffs im sichtbaren Gebiet erheblich größer ist, als die des Wasserstoffs und daß ferner der Wasserstoff etwa bis zur Wellenlänge  $128 \mu\mu$ , Sauerstoff dagegen nur bis  $185 \mu\mu$  durchlässig ist. Die Veränderung von  $\lambda'$  mit der Temperatur ist nach Tab. 3 recht gering; sie beträgt für  $1^\circ$  Temperaturzunahme ungefähr  $0,03 \mu\mu$ . Doch scheinen mir die angegebenen Werte von  $\lambda'$  immerhin noch genau genug zu sein, um eine solche Veränderung erkennen zu lassen. Demnach würde aus den Rechnungen folgen, daß  $\lambda'$  mit wachsender Temperatur sich nach der Seite der längeren Wellen verschiebt. Dasselbe Resultat ergibt sich übrigens aus den Michelischen Beobachtungen auch für die Kristalle. Die Konstante  $\lambda_0$  der Lorentz-Planckschen Formel müßte demnach bei Erwärmung erst recht zunehmen, da sie ja mit  $\lambda'$  durch die Gleichung verbunden ist  $\lambda_0 = \lambda' \sqrt{1 - g}$  und beide Faktoren dieses Produktes mit der Temperatur wachsen.

§ 10. Eine Vergleichung der Brechungsexponenten bei den verschiedenen Temperaturen liefert zunächst das wesentliche Resultat, daß die Dispersion des Wassers mit steigender Temperatur abnimmt, im Gegensatz zu allen bisher untersuchten festen Körpern, bei denen stets die Dispersion mit zunehmender Temperatur wächst. Die Exponenten selbst nehmen bei der Erwärmung ab, jedoch nicht geradlinig, sondern so, daß bei



niederen Temperaturen ein und demselben Temperaturunterschied eine viel geringere Verminderung des Exponenten entspricht als bei höheren Temperaturen. Diese Tatsache wird noch durch Tab. 4 demonstriert, die die Differenz je zweier Brechungsexponenten bei 20° Temperaturunterschied in Einheiten der fünften Dezimale angibt.

Tabelle 4.

$\lambda$	$N_0 - N_{20}$	$N_{20} - N_{40}$	$N_{40} - N_{60}$	$N_{60} - N_{80}$
214	106	256	384	457
219	107	255	382	455
226	106	259	379	457
231	107	256	382	454
242	110	257	376	453
257	106	254	376	452
267	106	251	373	450
274	105	252	371	447
308	100	249	368	443
340	98	246	366	439
361	99	243	363	436
394	95	244	361	433
441	93	242	358	431
467	91	240	355	429
480	88	236	355	430
533	86	235	352	425
589	84	233	353	420

In Tab. 5 sind für drei ausgewählte Wellenlängen die Größen

$$\frac{n-1}{d} \quad \text{und} \quad \frac{n^2-1}{n^2+2} \cdot \frac{1}{d},$$

worin  $d$  die Dichte des Wassers bedeutet, berechnet worden. Man sieht daraus, daß der Ausdruck  $\frac{n-1}{d}$  weit davon entfernt ist, von der Temperatur unabhängig zu sein. Eine bessere Konstanz zeigt die Größe

$$\frac{n^2-1}{n^2+2} \cdot \frac{1}{d};$$

jedoch reicht auch diese Annahme nicht aus, um aus dem bekannten Index des Wassers bei einer Temperatur und der



bekannten Dichte die Exponenten für die anderen Temperaturen zu berechnen.

Tabelle 5.

a)  $\frac{n - 1}{d}$ .

	0°	20°	40°	60°	80°
214	0,40551	0,40511	0,40493	0,40477	0,40480
267	0,37054	0,37009	0,36976	0,36937	0,36907
589	0,33424	0,33395	0,33358	0,33307	0,33264

b)  $\frac{n^2 - 1}{n^2 + 2} \frac{1}{d}$ .

214	0,24533	0,24521	0,24528	0,24545	0,24580
267	0,22649	0,22628	0,22623	0,22572	0,22634
589	0,20639	0,20579	0,20617	0,20605	0,20603

Der Einfluß der Temperatur auf die Indizes des Wassers ist übrigens dem Einfluß auf die Dichte ähnlich. Auch diese Größe besitzt einen Temperaturkoeffizienten, der bei niederen Temperaturen gering ist, bei höheren jedoch stark zunimmt.

Berechnet man aus der Gleichung

$$m' = \frac{3 g}{1 - g}$$

die Größe  $g$  für die verschiedenen Temperaturen, so ergeben sich folgende Werte:  $g_0 = 0,11713$ ,  $g_{20} = 0,11465$ ,  $g_{40} = 0,11288$ ,  $g_{60} = 0,11126$ ,  $g_{80} = 0,10837$ . Nach der Lorentz-Planck-schen Theorie wäre zu erwarten, daß  $g$  der Dichte des Wassers proportional wäre. Dies trifft bei den angegebenen Zahlen offenbar nicht zu, da sie sich annähernd linear mit der Temperatur ändern, was bei der Dichte bekanntlich nicht der Fall ist.

Tab. 6 gibt schließlich eine Zusammenstellung der Brechungs-exponenten des Wassers, wie sie von den einzelnen Beobachtern bei verschiedenen Temperaturen für Na-Licht gemessen worden sind.

Tabelle 6.

Absolute Brechungsexponenten des Wassers für Na-Licht nach verschiedenen Beobachtern.

Beob.	0°	20°	40°	60°	80°
Rühlmann	1,33413	1,33330	1,33099	1,32745	1,32317
Ketteler	1,33411	1,33327	1,33093	1,32753	1,32330
Dufet	1,33436	1,33328	1,33083	—	—
Pulfrich	1,33411	1,33336	—	—	—
Flatow	1,33420	1,33336	1,33103	1,32750	1,32330

b) Schwefelkohlenstoff.

§ 11. Der Schwefelkohlenstoff ist im sichtbaren Gebiet von zahlreichen Beobachtern untersucht worden. Unter diesen sind besonders Ketteler, Lorenz, v. d. Willigen und Dufet hervorzuheben. Tab. 7 gibt eine Zusammenstellung der Resultate, die diese Beobachter und ich für Na-Licht erhalten haben.

Tabelle 7.

Relative Brechungsexponenten des CS<sub>2</sub> für Na-Licht nach verschiedenen Beobachtern.

Beob.	-10°	0°	20°	40°
Ketteler	1,65108	1,64327	1,62761	1,61146
Lorenz	—	1,64391	1,62789	—
v. d. Willigen	—	1,64432	1,62787	—
Dufet	—	1,64403	1,62757	—
Flatow	1,65139	1,64362	1,62761	1,61115

Im Ultraviolett ist der Schwefelkohlenstoff bisher nur von Martens untersucht worden, dessen Exponenten bei 18° bis auf einige Einheiten der dritten Dezimale genau gemessen sind.

Der CS<sub>2</sub> besitzt bekanntlich bei  $\lambda = 320 \mu\mu$  einen sehr starken Absorptionsstreifen, der eine Bestimmung der Brechungsexponenten zwischen 280 und 350  $\mu\mu$  leider unmöglich machte.

§ 12. Die nachstehenden Tab. 8 und 9 stellen die erhaltenen Resultate dar. An der Tab. 9 fällt zunächst auf, daß die berechneten Exponenten mit den beobachteten, wenigstens für die kürzeren Wellen, sehr schlecht übereinstimmen, während beim Wasser, obwohl sich dort die Beobachtungen auf ein weit größeres Spektralgebiet erstrecken, recht gute Übereinstimmung herrscht. Der Grund dieser Tatsache ist wohl sicher in dem starken Absorptionsstreifen bei  $320\ \mu\mu$  zu suchen, der, wenn er auch wohl kaum von einer Eigenschwingung herrührt, dennoch, wie jede Absorption, die Dispersion beeinflußt. Verschiedene Versuche, dieses Absorptionsgebiet mit in Rechnung zu setzen, scheiterten. Wenn es auch wirklich bei den jenseits des Streifens liegenden Wellen mitunter gelingt, Rechnung und Beobachtung einigermaßen miteinander in Einklang zu bringen, so pflegen dann wieder die Exponenten für die längeren Wellen erheblich voneinander abzuweichen. Dieser Ungenauigkeit entsprechend werden auch die für  $\lambda'$  gefundenen Werte mit einem größeren Fehler behaftet sein als beim Wasser und wohl nur auf mehrere Prozente genau sein. Daher läßt sich leider nichts mit Sicherheit darüber aussagen, wie sich  $\lambda'$  mit der Temperatur verschiebt; denn die Annahme, daß  $\lambda'$  sich tatsächlich so ändern sollte, wie es aus den Rechnungen folgt, ist wenig wahrscheinlich.

Tabelle 8.

Relative Brechungsexponenten  $n$  des Schwefelkohlenstoffs.

$\lambda$	$-10^\circ$	$0^\circ$	$+20^\circ$	$+40^\circ$
267	—	2,12324	2,08823	—
274	2,04983	2,03484	2,00474	1,97489
361	1,76695	1,75719	1,73806	1,71811
394	1,72888	1,71989	1,70180	1,68278
441	1,69684	1,68850	1,67135	1,65323
467	1,68420	1,67606	1,65923	1,64181
480	1,67931	1,67131	1,65466	1,63733
508	1,66974	1,66187	1,64541	1,62842
533	1,66286	1,65506	1,63877	1,62192
589	1,65139	1,64362	1,62761	1,61115

Tabelle 9.

Absolute Brechungsexponenten des Schwefelkohlenstoffs.

$\lambda$	$-10^{\circ}$			$-0^{\circ}$			$+20^{\circ}$			$+40^{\circ}$		
	beob.	ber.	$\delta$	beob.	ber.	$\delta$	beob.	ber.	$\delta$	beob.	ber.	$\delta$
267	—	2,17914	—	2,12390	2,14785	+ 2395	2,08884	2,11204	+ 2320	—	2,09711	—
274	2,05049	2,09404	+ 4355	2,03547	2,06952	+ 3405	2,00532	2,03737	+ 3205	1,97542	2,01923	+ 4381
331	1,76750	1,76750	0	1,75772	1,75772	0	1,73855	1,73855	0	1,71855	1,71855	0
394	1,72941	1,73017	+ 76	1,72041	1,72121	+ 80	1,70226	1,70313	+ 87	1,68320	1,68403	+ 83
441	1,69735	1,69735	0	1,68899	1,68899	0	1,67180	1,67180	0	1,65365	1,65365	0
467	1,68471	1,68486	+ 15	1,67655	1,67669	+ 14	1,65968	1,65982	+ 14	1,64223	1,64206	—
480	1,67982	1,68000	+ 18	1,67180	1,67189	+ 9	1,65511	1,65515	+ 4	1,63775	1,63760	—
508	1,67025	1,67035	+ 10	1,66236	1,66236	0	1,64586	1,64586	0	1,62884	1,62865	—
533	1,66337	1,66342	+ 5	1,65555	1,65552	—	1,63922	1,63919	—	1,62234	1,62224	—
589	1,65190	1,65190	0	1,64411	1,64411	0	1,62806	1,62806	0	1,61156	1,61156	0
$m=1,77783 \quad k=0,00030$												
$m'=0,80829 \quad \lambda'=0,22839 \mu$												
$\Sigma m=2,58612$				$\Sigma m=2,56203$				$\Sigma m=2,51407$				$\Sigma m=2,46808$
$m=1,74643 \quad k=0,00030$												
$m'=0,81560 \quad \lambda'=0,22643 \mu$												
$m=1,71693 \quad k=0,00030$												
$m'=0,79714 \quad \lambda'=0,22547 \mu$												
$m=1,73212 \quad k=0,00030$												
$m'=0,73596 \quad \lambda'=0,22776 \mu$												

§ 13. Von besonderem Interesse ist es, auf der Tab. 9 die Brechungsexponenten einer und derselben Wellenlänge bei verschiedenen Temperaturen miteinander zu vergleichen. Subtrahiert man zwei zur selben Wellenlänge gehörige Indizes voneinander und dividiert diese Differenz durch den betreffenden Temperaturunterschied, so erhält man für die zugehörige Mitteltemperatur die Größe  $\Delta N$ , das heißt die Änderung des absoluten Brechungsexponenten bei  $1^\circ$  Temperaturzunahme. In der Tab. 10 ist diese Größe für die verschiedenen Mittel-

Tabelle 10.

Änderung  $\Delta N$  des absoluten Exponenten des  $\text{CS}_2$  mit der Temperatur.

$\lambda$	$t_m = -5^\circ$	$t_m = +10^\circ$	$t_m = +30^\circ$
267	—	— 175,3	—
274	— 150,2	— 150,8	— 149,5
361	— 97,8	— 95,8	— 100,0
394	— 90,0	— 90,7	— 95,3
441	— 83,6	— 86,0	— 90,8
467	— 81,6	— 84,4	— 87,3
480	— 80,2	— 83,5	— 86,8
508	— 78,9	— 82,5	— 86,0
533	— 78,2	— 81,6	— 84,4
589	— 77,9	— 80,2	— 82,5

temperaturen berechnet und in Einheiten der fünften Dezimale angegeben. Man sieht aus dieser Tabelle, daß die Größe  $\Delta N$  bei  $\text{CS}_2$  stark von der Wellenlänge, dagegen nur wenig von der Temperatur abhängt, während es beim Wasser gerade umgekehrt ist. Diese Abhängigkeit von der Wellenlänge fällt noch mehr in die Augen, wenn man, wie es in Fig. 4 geschehen ist,  $\Delta N$  als Funktion der Wellenlänge graphisch aufträgt. Diese Kurve zeigt, daß  $\Delta N$  im sichtbaren Gebiet annähernd konstant ist, im Ultraviolett dagegen mit abnehmen der Wellenlänge im algebraischen Sinne sehr stark abnimmt. Zu gleich erkennt man an dieser Kurve, wie wenig man berechtigt ist, aus dem sichtbaren Gebiet auf das ultraviolette zu schließen, und wie wichtig es daher ist, derartige Untersuchungen über möglichst weite Spektralgebiete auszudehnen. Es sei hier noch

erwähnt, daß die von Hrn. Micheli untersuchten Krystalle gerade das entgegengesetzte Verhalten zeigen, indem bei ihnen  $\Delta N$  mit abnehmendem  $\lambda$  im algebraischen Sinne stark wächst. Der Verfasser glaubte anfangs diesen wesentlichen Unterschied nur durch die Annahme erklären zu können, daß  $\lambda'$  mit steigender Temperatur bei den festen Körpern wachse, bei den Flüssigkeiten dagegen abnehme. Diese Vermutung hat sich bei näherer Untersuchung nicht bestätigt. Der Grund dieser auffallenden Verschiedenheit scheint mir vielmehr mit der Tatsache zusammenzuhängen, daß die thermische Ausdehnung der Flüssigkeiten erheblich größer ist als die der festen Körper.

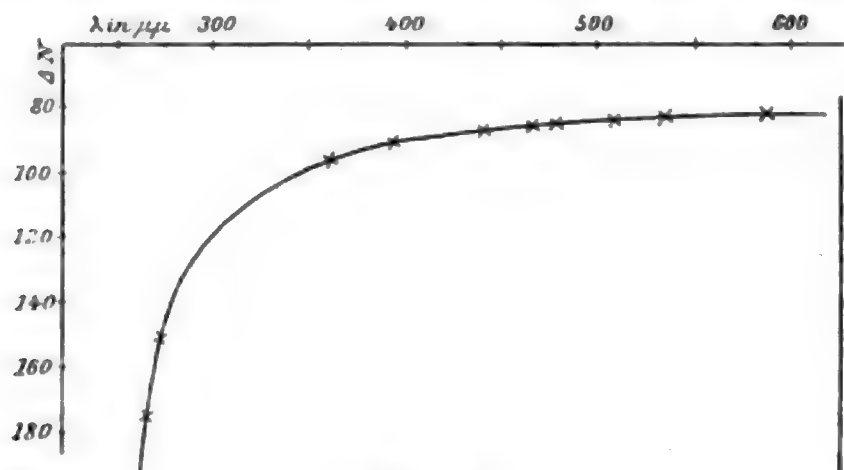


Fig. 4.

Ferner erkennt man an der Tab. 10, daß die Temperaturkoeffizienten mit wachsender Temperatur im allgemeinen ein wenig zunehmen. Diese Tatsache stimmt sehr gut mit den Beobachtungen der Herren Kučera und Forch<sup>1)</sup> überein, die den Schwefelkohlenstoff zwischen Zimmertemperatur und  $-80^\circ$  für Na-Licht untersuchten. Sie geben dabei als mittleren Temperaturkoeffizienten die Größe  $-73,3$  Einheiten der fünften Dezimale an. Der Exponent, den sie bei  $0^\circ$  bestimmt haben, ( $n = 1,64362$ ) stimmt genau mit dem von mir gemessenen Werte überein.

§ 14. Interessant ist ferner ein Vergleich zwischen der Dielektrizitätskonstante  $D$  und der Größe  $\Sigma m$ . Für erstere gilt nach Hrn. Ratz<sup>2)</sup> die Gleichung:

$$D_t = 2,6606 - 0,00249 t.$$

1) G. Kučera u. C. Forch, Phys. Zeitschr. 3. p. 132. 1902.

2) F. Ratz, Zeitschr. f. phys. Chemie 19. p. 94. 1896.



Aus den Beobachtungen des Verfassers folgt für  $\Sigma m$ :

$$\Sigma m = 2,5620 - 0,0024 t.$$

Die Größen  $D$  und  $\Sigma m$  sind hiernach zwar nicht genau gleich, was wohl von einer vernachlässigten Eigenschwingung im Ultrarot herrührt, jedoch herrscht zwischen den Temperaturkoeffizienten dieser beiden Größen eine vorzügliche Übereinstimmung, die übrigens von Hrn. Ratz selbst schon festgestellt worden ist. Setzt man

$$m'' = D - \Sigma m = 0,0986 \quad \text{und} \quad \frac{m''}{\lambda''^2} = k = 0,000300,$$

so berechnet sich  $\lambda'' = 18 \mu$ .

§ 15. Aus den vorliegenden Beobachtungen ergibt sich der Temperaturkoeffizient des Brechungsexponenten  $(\partial n / \partial t)_p$ , der sich auf konstant gehaltenen Druck und veränderliches Volumen bezieht. Es ist interessant, damit den Koeffizienten  $(\partial n / \partial t)_v$  bei konstantem Volumen und variablem Druck zu vergleichen. Zwischen den beiden Größen besteht nämlich die Beziehung <sup>1)</sup>:

$$(10) \quad \left( \frac{\partial n}{\partial t} \right)_v = \left( \frac{\partial n}{\partial t} \right)_p - \frac{\left( \frac{\partial n}{\partial p} \right)_t \left( \frac{\partial v}{\partial t} \right)_p}{\left( \frac{\partial v}{\partial p} \right)_t}.$$

Bezeichnet man nun mit  $\alpha$  den kubischen Ausdehnungskoeffizienten, mit  $\beta$  den Kompressibilitätskoeffizienten der Flüssigkeit bei  $t^0$ , so ist bekanntlich

$$\left( \frac{\partial v}{\partial t} \right)_p = \alpha v \quad \text{und} \quad \left( \frac{\partial v}{\partial p} \right)_t = -\beta v,$$

also wird

$$(11) \quad \left( \frac{\partial n}{\partial t} \right)_v = \left( \frac{\partial n}{\partial t} \right)_p + \frac{\alpha}{\beta} \left( \frac{\partial n}{\partial p} \right)_t.$$

In dieser Gleichung sind  $\alpha$  und  $\beta$  bekannte Konstanten, während  $(\partial n / \partial t)_p$  sich aus meinen Beobachtungen ergibt.  $(\partial n / \partial p)_t$ , das heißt die Zunahme des Brechungsexponenten mit wachsendem Druck, ist von Röntgen und Zehnder <sup>2)</sup> für Na-Licht bestimmt worden. Man kann also mit Hülfe der Gleichung (11)  $(\partial n / \partial t)_v$  berechnen.

1) F. Pockels, Ann. d. Phys. 4. 1901.

2) W. C. Röntgen u. L. Zehnder, Wied. Ann. 44. p. 24. 1891.

Für Wasser von 20° und Na-Licht ergibt sich dabei:

$$\left(\frac{\partial n}{\partial t}\right)_p = -9 \cdot 10^{-5} \quad \text{und} \quad \left(\frac{\partial n}{\partial t}\right)_v = -10^{-5}.$$

Für Schwefelkohlenstoff wird unter denselben Bedingungen

$$\left(\frac{\partial n}{\partial t}\right)_p = -82 \cdot 10^{-5} \quad \text{und} \quad \left(\frac{\partial n}{\partial t}\right)_v = +5 \cdot 10^{-5}.$$

Man sieht hieraus, daß sowohl für Wasser als auch für Schwefelkohlenstoff, obwohl die hier in Betracht kommenden Konstanten für diese beiden Flüssigkeiten von ganz verschiedener Größenordnung sind, dennoch beide Male  $(\partial n / \partial t)_p$  nahezu gleich Null, jedenfalls sehr klein gegen das beobachtete  $(\partial n / \partial t)_p$  ist. Diese Tatsache scheint mir zu beweisen, daß bei den Flüssigkeiten eine Temperaturerhöhung nur insofern den Brechungsexponenten beeinflußt, als mit ihr zugleich eine Dichteänderung verbunden ist, daß jedoch der Index ungeändert bleibt, wenn die durch die Erwärmung bewirkte Ausdehnung durch eine Kompression der Flüssigkeit wieder rückgängig gemacht wird.

§ 16. Die Ketteler-Helmholtzsche Dispersionsformel liefert für die hier allein in Betracht kommende Eigenschwingung des  $\text{CS}_2$  ungefähr den Wert 227  $\mu\mu$ . Diese Eigenschwingung muß, wie Hr. Martens gezeigt hat, dem Schwefel zugeschrieben werden. Legt man dagegen der Rechnung die Lorentz-Plancksche Formel zu Grunde, so ergibt sich für  $\lambda_0$  ungefähr der Wert 185  $\mu\mu$ . Der Verfasser hat nun versucht, auf rein experimentellem Wege eine Entscheidung zwischen diesen beiden einander widersprechenden Resultaten herbeizuführen. Zu diesem Zwecke führte er einerseits Absorptionsversuche aus und wandte andererseits die Methode der Reststrahlen an.

§ 17. Bei den Absorptionsversuchen wurde eine verdünnte Lösung von  $\text{CS}_2$  in Alkohol zwischen zwei Flußspatplatten gepreßt und vor den Spalt des Spektrometers gehalten. Nach der Exposition wurde dann die absorbierende Schicht entfernt, und an einer anderen Stelle der Platte ein direktes Spektrum desselben Funkens aufgenommen. Die Vergleichung der beiden Photogramme läßt die Absorption deutlich erkennen. Dieselbe ist natürlich abhängig von dem Grade der Verdünnung. Bei einer Lösung von einem Teil  $\text{CS}_2$  in zehn Teilen Alkohol er-

gibt sich dabei das Resultat, daß das Spektrum für längere Wellen als  $250\ \mu\mu$  durch die absorbierende Schicht nicht merklich geschwächt wird. Dann aber fängt allmählich eine Auslöschung an, so daß die Linie  $231\ \mu\mu$  nur noch äußert schwach erscheint. Kürzere Wellen, etwa bis zu  $190\ \mu\mu$  werden in der dünnen Schicht vollständig absorbiert. Dagegen erscheint die Al-Linie  $185\ \mu\mu$  fast ebenso kräftig wie bei der direkten Aufnahme. Als Mitte des Absorptionsstreifens kann daher ungefähr die Wellenlänge  $210\ \mu\mu$  angesehen werden. Berücksichtigt man nun, daß nach den Untersuchungen von Hrn. Martens<sup>1)</sup> bei den alkoholischen Lösungen von Brom und Jod der Absorptionsstreifen stets bei etwas kleinerer Wellenlänge liegt, als die Haupteigenschwingung der betreffenden Substanz, und nimmt man ferner an, daß dies auch bei einer alkoholischen  $\text{CS}_2$ -Lösung der Fall ist, so folgt, daß die Haupteigenschwingung des  $\text{CS}_2$  sicher bei etwas größerer Wellenlänge als  $210\ \mu\mu$  liegt. Dieses Resultat würde sich mit dem theoretisch abgeleiteten Werte von  $227\ \mu\mu$  recht gut vertragen.

§ 18. Mit weit größerer Genauigkeit kann man die Lage der Eigenschwingung einer Substanz feststellen mit Hilfe der von den Herren Rubens und Nikols<sup>2)</sup> erdachten Methoden der Reststrahlen, die auch schon Hr. Martens auf ultraviolette Strahlen angewandt hat. Diese Methode beruht bekanntlich auf der Tatsache, daß jede Substanz diejenigen Strahlen, die sie stark absorbiert, auch stark reflektiert. Strahlen, deren Wellenlänge der Eigenschwingung der betreffenden Substanz nahekommt, müssen daher von derselben viel stärker reflektiert werden, als alle anderen Strahlen.

Um auf diesem Wege die Lage der Eigenschwingung festzustellen, verfuhr der Verfasser folgendermaßen. Vor dem Spalte  $S$  des Spektrometers (Fig. 5) wurde auf einem recht stabilen Stativ ein Metallring  $r$  aufgekittet, der eine Quarzplatte  $q$  und eine Glasplatte  $g$  festhielt. Die Ebene des Ringes bildete mit der Achse des Kollimators ungefähr einen Winkel von  $45^\circ$ . Die Vorderfläche der Quarzplatte  $q$  war bis

1) F. F. Martens, Verhandl. der Deutschen Phys. Gesellsch. 3. p. 139. 1902.

2) H. Rubens u. E. F. Nicols, Wied. Ann. 60. p. 418. 1897.

auf zwei kleine Öffnungen  $o$ , deren Lage vorher genau berechnet wurde, mit Stanniol beklebt, welches auf der der Quarzplatte anliegenden Seite zum Zwecke guter Spiegelung amalgamiert worden war, während die andere, der Luft zugekehrte

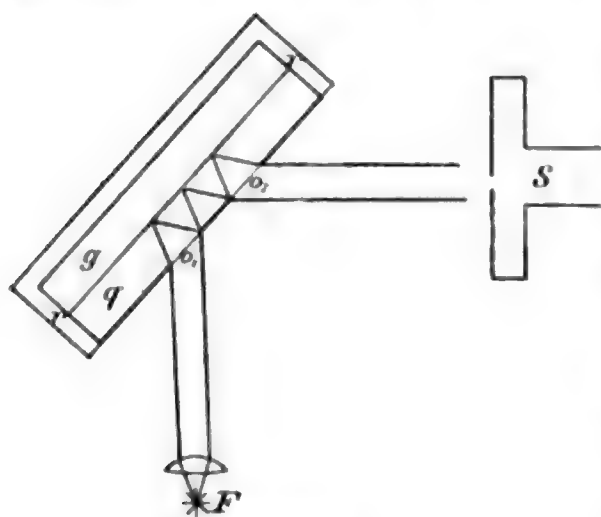


Fig. 5.

Seite zur Vermeidung störender Reflexe mit schwarzem Papier überzogen war. Der Gang des Versuches war nun folgender: Zwischen die Quarzplatte  $q$  und die Glasplatte  $g$ , deren Vorderseite zur Vermeidung von Reflexionen matt geschliffen war, wird ein Tropfen  $\text{CS}_2$  gepreßt. Das vom Funken  $F$  kommende Strahlenbündel fällt durch die Öffnung  $o_1$  auf die Quarzplatte,

wird gebrochen, trifft dann auf die  $\text{CS}_2$ -Schicht, wird dort reflektiert, tritt schließlich nach mehreren Reflexionen, die teils an dem  $\text{CS}_2$ , teils an dem spiegelnden Belag vor sich gehen, durch die zweite Öffnung  $o_2$  wieder aus und fällt auf den Spalt des Spektrometers. Die Hauptschwierigkeit in der Ausführung besteht in der richtigen Justierung des Ringes mit den Platten vor dem Spalt. Die aus  $o_2$  austretenden Strahlen sind nämlich durch die wiederholte Reflexion an dem  $\text{CS}_2$  derartig geschwächt, daß sie auf das Auge überhaupt nicht mehr wirken, und man daher gar nicht sehen kann, ob sie wirklich in geeigneter Richtung auf den Spalt fallen. Um daher die Justierung zu ermöglichen, wurde zunächst statt des  $\text{CS}_2$  ein amalgamiertes Stanniolblättchen zwischen die Platten gebracht, welches viel stärker reflektierte, so daß man mit bloßem Auge den Ring gut justieren konnte. War dies geschehen, so wurde auf der photographischen Platte ein Spektrum des Lichtes aufgenommen, welches nur an Metall reflektiert worden war. Alsdann wurden die Platten äußerst vorsichtig aus dem Ringe herausgenommen und, nachdem das Stanniol entfernt und  $\text{CS}_2$  an seine Stelle gebracht worden war, wieder möglichst genau in ihre alte Lage gebracht. Hierauf wurde wiederum ein Spektrum auf der Platte aufgenommen, wobei aber jetzt das Licht mehrere Reflexionen an  $\text{CS}_2$  erlitten hatte.

Diese Versuche lieferten folgendes Resultat: Bei zweimaliger Reflexion an  $\text{CS}_2$  war auf der Platte von dem ganzen sichtbaren Gebiet nicht die geringste Spur erschienen. Die Einwirkung begann erst ungefähr bei der Wellenlänge  $300 \mu\mu$ . Die Linien  $274 \mu\mu$  und  $257 \mu\mu$  waren deutlich sichtbar, aber lange nicht so kräftig, wie bei dem am Spiegelmetall reflektierten Spektrum. Die Intensität nahm dann mit kürzerer Wellenlänge immer mehr zu, bis sie schließlich bei  $231 \mu\mu$  ein Maximum erreichte, welches fast ebenso stark war, wie bei der Reflexion an Stanniol. Hinter  $231 \mu\mu$  nahm die Intensität wieder ab, so daß die Linien  $219$  und  $214 \mu\mu$  nur noch recht schwach sichtbar waren. Obwohl schon dieser Versuch ein deutliches Reflexionsmaximum bei  $231 \mu\mu$  zeigte, änderte ich ihn doch noch dadurch ab, daß ich die kleine Quarzplatte durch eine große Flußspatplatte ersetzte, welche eine dreimalige Reflexion an  $\text{CS}_2$  ermöglichte. Dadurch gelang es, ein völlig einwandfreies Resultat zu erhalten. Bei dieser dreimaligen Reflexion war nur die Linie  $231 \mu\mu$  zu sehen, während der übrige Teil des Spektrums vollständig ausgelöscht war. Aus diesen Versuchen scheint mir mit Sicherheit hervorzugehen, daß die Eigenschwingung des Schwefelkohlenstoffs in der Nähe von  $230 \mu\mu$  liegt, was mit den aus der Ketteler-Helmholtzschen Dispersionsformel berechneten Werten recht gut übereinstimmt.

### Schluß.

§ 19. In der vorliegenden Arbeit sind die Brechungsexponenten des Wassers und des Schwefelkohlenstoffs für möglichst weite Spektral- und Temperaturbereiche mit einer Genauigkeit von einigen Einheiten der fünften Dezimale bestimmt worden. Die aus diesen Beobachtungen gezogenen theoretischen Schlüsse beruhen im wesentlichen auf der Anwendung der Ketteler-Helmholtzschen Dispersionsformel in der Form

$$n^2 = m + \frac{m' \lambda^2}{\lambda^2 - \lambda'^2} - k \lambda^2$$

und seien hier noch einmal zusammengestellt.



## 1. Weder die Formeln

$$\frac{n-1}{d} = c \quad \text{noch} \quad \frac{n^2-1}{n^2+2} \frac{1}{d} = c'$$

gestatten die Brechungsexponenten aus den bekannten Dichten und einem Index bei mittlerer Temperatur mit genügender Annäherung zu berechnen.

2. Die Konstante  $\lambda'$  der Dispersionsformel scheint — wenigstens bei dem Wasser — mit steigender Temperatur merklich nach der Seite der längeren Wellen zu rücken. Die Konstante  $\lambda_0$  der Lorentz-Planckschen Theorie müßte dies dann a fortiori tun.

3. Die berechneten Werte der Konstante  $g$  der Lorentz-Planckschen Formel sind der Dichte  $d$  nicht streng proportional. Ob dies auf Ungenauigkeit oder auf Änderung der  $g$  und  $d$  verbindenden Konstanten, namentlich der Dämpfung  $\sigma$ , beruht, kann nicht sicher entschieden werden.

4. Die Dispersion der Flüssigkeiten (z. B.  $n_{267} - n_{589}$ ) nimmt mit steigender Temperatur ab, während die der festen Körper wächst.

5. Bei dem Schwefelkohlenstoff stimmt die rein experimentell ermittelte Lage des Absorptions- und Reflexionsmaximums mit dem aus der Ketteler-Helmholtzschen Formel für die Konstante  $\lambda'$  berechneten Werte gut überein.

6. Die Änderung des Brechungsexponenten mit der Temperatur rührt bei den Flüssigkeiten wesentlich von der mit der Erwärmung verbundenen Dichteänderung her; der Temperaturkoeffizient bei konstantem Volumen ist nahezu gleich Null.

Zum Schluß ergreife ich mit Freuden die Gelegenheit, Hrn. Geheimrat Warburg meinen ehrfurchtsvollen Dank für die mir erwiesene Unterstützung auszusprechen. Ganz besonders bin ich Hrn. Dr. Martens für viele sachkundige Ratschläge, sowie für die Überlassung wertvoller Quarzpräparate zu Dank verpflichtet.

Berlin, Phys. Inst., November 1902.

(Eingegangen 8. Mai 1903.)



## 5. *Über die Ionisierung der Luft durch Wasser;* *von F. Himstedt.*

(Aus den Ber. d. Naturf. Ges. zu Freiburg i. B. 13. p. 101. 1903.)

1. Um die überaus interessanten Versuche der Herren Elster und Geitel über die Elektrizitätszerstreuung in abnorm leitender Luft (Kellerluft, Bodenluft etc.) nachmachen zu können, habe ich zuerst ein älteres Elektroskop von Mülle-Uri, später ein nach den Angaben der genannten Autoren von Günther und Tegetmeyer in Braunschweig angefertigtes Elektroskop benutzt und mich auch sonst durchweg der von Elster und Geitel<sup>1)</sup> angegebenen Versuchsanordnung eng angeschlossen. Das Elektroskop mit Zerstreuungskörper und umgebendem Zylinder stand auf dem Boden eines 36 cm weiten, 43 cm hohen Glasgefäßes, das innen vollständig mit zur Erde abgeleitetem Messingdrahtnetz von 1 mm Maschenweite ausgekleidet war. Das Drahtnetz hatte an der Vorderwand des Glasgefäßes eine Öffnung von  $3 \times 2$  cm, durch welche hindurch mit einem in 1,5 m Entfernung aufgestellten kleinen Fernrohre die Stellung des Goldblättchens an der Skala abgelesen wurde. Es wurde stets nur ein Goldblatt beobachtet und jedesmal die Zeit abgelesen, zu welcher dasselbe einen ganzen Teilstrich passierte, und aus diesen Beobachtungen dann der Verlust für 60 Minuten berechnet. Durch diese Anordnung war eine außerordentlich scharfe und sichere Ablesung möglich, und ich möchte gleich hier bemerken, daß sich das Elektroskop mit Na-Trocknung vorzüglich bewährt hat. Daß das Drahtnetz im Innern des Glasgefäßes einen absolut sicher schützenden Faradayschen Käfig bildete, wurde durch besondere Versuche festgestellt. Der Deckel des Glasgefäßes hatte drei Bohrungen, durch die mittlere konnte das Elektroskop geladen werden, in die beiden anderen waren Glasröhren mit Hähnen eingekittet für die Zu- bez. Ableitung der zu untersuchenden Gase. Beide Glasröhren befanden sich außerhalb des Drahtkäfigs, die eine

1) J. Elster u. H. Geitel, Physik. Zeitschr. 2. p. 560. 1901.

reichte bis zum Boden des Gefäßes, die andere endete direkt unter dem Glasdeckel, aber noch oberhalb des Deckels des Drahtkäfigs. Außerdem hing in dem Gefäße noch ein Klinker-fuessches Haarhygrometer.

Wie zu erwarten, war es mir ohne Schwierigkeiten möglich, nach den genauen Angaben der Herren Elster und Geitel deren Versuchsergebnisse zu bestätigen. In einem Keller unter einem vor zwei Jahren errichteten Gebäude wurden drei Wochen Fenster und Türen geschlossen gehalten. Wurde nach dieser Zeit aus dem Raume ca. 20 Minuten lang Luft durch das oben beschriebene Gefäß gesaugt, so zeigte das Elektroskop in 60 Minuten einen Spannungsverlust von 180—220 Volt, während in Zimmerluft unter sonst gleichen Verhältnissen in derselben Zeit der Abfall 28 Volt betragen hatte. Zu gleicher Zeit mit dem Keller war ein Raum im 2. Stocke des Gebäudes, dessen Volumeninhalt etwas größer als der des Kellers war, abgeschlossen worden, und zwar möglichst luft- und lichtdicht. In diesem Raume war nach vier Wochen keine irgendwie nennenswerte Steigerung der Leitfähigkeit der Luft zu konstatieren. In Übereinstimmung hiermit ließen sich Drähte und Drahtnetze nach der von Elster und Geitel angegebenen Methode im Keller stark aktivieren, in dem erwähnten Zimmer nur kaum nachweisbar. Auch die Beobachtung, daß aus dem Erdboden gesaugte Luft eine sehr hohe Leitfähigkeit besitzt, habe ich leicht belästigen können.

2. Bei diesen Versuchen habe ich nun durch Zufall eine Beobachtung gemacht, deren weitere Verfolgung mir interessant erschien, weil ich es nicht für unmöglich halte, daß sie zur Erklärung der Ionenbildung in der Luft beitragen kann. Als die untersuchte Luft aus dem oben erwähnten großen Glasgefäße ausgesaugt werden sollte, war durch ein Versehen der Schlauch nicht an das Saugrohr, sondern an das Blasrohr der mit Gebläsevorrichtung versehenen Wasserstrahlpumpe gesetzt worden. Es wurde also nicht die Luft aus dem Glasgefäße herausgesaugt, sondern es wurde die durch die Wasserstrahlpumpe angesaugte und mit dem Wasser fortgerissene Luft in das Gefäß hineingeblasen, in derselben Weise, wie sonst etwa diese Luft zur Betätigung einer Gebläselampe benutzt wird. Der Irrtum wurde nicht bemerkt, ich glaubte Zimmerluft im

Apparate zu haben, und war nicht wenig erstaunt, die Blätter des Elektroskops nach der Ladung zusammenfallen zu sehen mit einer Geschwindigkeit, wie ich sie noch bei keinem Versuche gesehen hatte. Als jetzt der erwähnte Irrtum erkannt wurde, glaubte ich natürlich den Grund in der eingeblasenen Feuchtigkeit suchen zu müssen, obgleich das Hygrometer nur 56 Proz. gegen sonst 20—30 Proz. zeigte. Ich nahm den Apparat sofort auseinander und fand zu meiner Überraschung, daß das Elektroskop nach wie vor vorzüglich isolierte.

Das schnelle Zusammenfallen der Goldblättchen konnte also nicht durch Oberflächenleitung, etwa eine auf der Bernsteinstütze gebildete Wasserhaut bedingt sein, sondern mußte auf eine enorm gesteigerte Leitfähigkeit der durch die Wasserstrahlpumpe mitgerissenen Luft zurückgeführt werden.

Weitere Versuche bestätigten diese Vermutung vollauf. Um den Einfluß etwa mitgerissener Feuchtigkeit auszuschließen, wurden bei allen weiteren Versuchen die in den Versuchsapparat zu füllenden Gase vorher sorgfältig getrocknet, indem man sie durch drei je 50 cm lange Röhren langsam hindurchströmen ließ, von denen die erste mit  $\text{CaCl}_2$ , die beiden anderen mit  $\text{P}_2\text{O}_5$  gefüllt waren. Auf diese Weise wurde erreicht, daß das Hygrometer bei keiner Füllung mehr als 15 Proz. relative Feuchtigkeit anzeigte und daß diese im Gefäße angenähert (bis auf 2 Proz.) immer die gleiche Höhe hatte, sowohl wenn Zimmerluft oder Luft aus dem Freien als auch wenn die durch das Wasser gepreßte Luft eingefüllt war. Um eine möglichenfalls vorhandene Elektrisierung der Luft (Wasserfallelektrizität) zu beseitigen, wurde dieselbe durch ein 100 cm langes Rohr geleitet, das mit zwölf Schichten abwechselnd aus Watte und aus zur Erde abgeleiteter Kupferwolle<sup>1)</sup> gefüllt war. Bei diesen Trockenvorrichtungen hielt das Na-Stückchen in dem Elektroskop 2—3 Wochen lang, und der Spannungsverlust in dem Elektroskop allein, ohne Zerstreuungskörper, war so gering, daß es kaum je nötig war, ihn in Rechnung zu setzen.

---

1) Einer hiesigen Firma, Bühne & Co., ist es gelungen, alle Metalle in so feine Streifen zu schneiden, daß man Metallwolle erhalten kann, die der Glaswolle an Feinheit nicht nachsteht.

Es möge zunächst ein Beispiel für das Verhalten der durch die Wasserstrahlpumpe gegangenen Luft angeführt werden.

Am 18. X. 02 wird 15 Min. lang bei offenem Fenster Zimmerluft durch den Apparat gesaugt. Hierauf wird das Elektroskop auf 208 Volt geladen.<sup>1)</sup> Für 60 Min. ergibt sich ein Verlust von 8,12 Volt. Hierauf wird 15 Min. lang, von 11<sup>h</sup> 00<sup>m</sup> bis 11<sup>h</sup> 15<sup>m</sup>, mit dem Wasserstrahlgebläse Luft durchgeblasen. Der Verlust, auf 60 Min. umgerechnet, ergibt sich in Volt:

11 <sup>h</sup> 20 <sup>m</sup>	12 <sup>h</sup> 20 <sup>m</sup>	2 <sup>h</sup> 30 <sup>m</sup>	6 <sup>h</sup> 50 <sup>m</sup>
632	733	852	786

Die Luft wurde in dem Gefäße gelassen und ergab an den folgenden Tagen

19. X.	20. X.	21. X.	22. X.	23. X.	24. X.	25. X.
728	630	520	440	370	300	240

Ähnliche Resultate ergaben alle in dieser Weise angestellten Versuche, und man erkennt wohl auf den ersten Blick, daß diese durch das Wasser hindurchgepreßte Luft genau dasselbe Verhalten zeigt, wie die Kellerluft bez. die aus dem Boden angesaugte Luft in den Elster- und Geitel'schen Versuchen. Sofort nach dem Einfüllen außerordentlich hoch gesteigerte Leitfähigkeit der Luft, die im Verlaufe von einigen Stunden bis zu einem Maximum anwächst, um dann sehr langsam abzufallen. Hierdurch wird aber die Frage nahe gelegt, ob nicht auch bei den Versuchen von Elster und Geitel die große Leitfähigkeit der Kellerluft etc. bedingt bzw. zum mindesten mit bedingt sei dadurch, daß im Erdboden und auch in feuchten Kellern die Luft durch die mit feinst verteilten Wassertröpfchen bedeckten Erdmassen hindurchbez. an ihnen vorbeistreicht, daß also auch in diesen Fällen die Luft ihre hohe Leitfähigkeit dadurch erlangt hat, daß sie in innige Berührung mit dem Wasser gebracht ist.

Um dies zu untersuchen, wurde ein Blechgefäß von 75 cm Höhe, 20 cm Durchmesser mit fein zerstückeltem Koks ge-

1) Die Ladung des Elektroskops erfolgte bei allen Messungen mittelst einer Cu-, Zn-, MgSO<sub>4</sub>-Batterie, und zwar wurde stets auf die gleiche Höhe von 208 Volt geladen.



füllt, der mehrere Tage auf über  $100^{\circ}$  C. erhitzt und dadurch vollkommen getrocknet war. In der Mitte des Gefäßes war ein 2 cm weites Glasrohr aufgestellt, das fast bis auf den Boden des Gefäßes reichte. Letzteres hatte am Boden einen Hahn, um dort sich ansammelndes Wasser ablassen zu können. Wurde Zimmerluft durch den *trockenen* Koks in das Untersuchungsgefäß gesaugt, so konnte niemals eine Erhöhung der Luftleitfähigkeit beobachtet werden, eher in einzelnen Versuchen eine ganz geringe Abnahme, die vielleicht darauf zurückzuführen ist, daß trotz des Watterohres von dem äußerst feinen Koks Staub in den Apparat gelangte. Wurde aber nun derselbe Koks reichlich befeuchtet und dann 20—30 Min. Luft durch denselben in den Apparat gesaugt, so zeigte sich die erhöhte Leitfähigkeit genau in derselben Weise wie bei Kellerluft oder aus dem Erdboden angesaugter Luft. Z. B. Zimmerluft, 20 Min. lang durch *trockenen* Koks gesaugt, ergibt in 60 Min. Spannungsverlust von 9,1 Volt. Zimmerluft, 20 Min. lang durch den *nassen* Koks in den Apparat gesaugt, ergibt in der gleichen Zeit 39,2 Volt Abfall.

Dieselben Resultate wurden erhalten, als der Koks durch grobkörnigen Sand ersetzt wurde, ja es war möglich, absolut sichere Wirkungen zu erzielen dadurch, daß man ein ca. 50 cm langes Glasrohr mit Glaswolle dicht anfüllte, zuerst in Wasser tauchte, nach dem Herausziehen kurze Zeit abtropfen ließ und dann 30 Min. lang Luft durch die feuchte Glaswolle hindurch in den Apparat einsaugte. Ebenso unzweideutig konnte endlich die erhöhte Leitfähigkeit der Luft erreicht werden, wenn man dieselbe einfach durch mehrere hintereinander geschaltete Waschflaschen mit Wasser streichen ließ. Um recht feine Bläschen zu erzielen, waren die Glasröhren, aus welchen die Luft in das Wasser eintrat, nur mit ganz feinen Austrittsöffnungen versehen.

3. Mit Hülfe des Durchsaugens durch Waschflaschen war es nun auch möglich zu untersuchen, ob andere Flüssigkeiten dieselbe oder doch ähnliche Wirkungen hervorbrachten wie das Wasser. Es zeigte sich, daß sorgfältig destilliertes Wasser genau dieselben Werte der Luftleitung erzeugte wie Leitungswasser oder Regenwasser. Ein Zusatz von NaCl oder  $\text{CuSO}_4$  oder  $\text{H}_2\text{SO}_4$  gab keine Änderung, welche die Beobachtungs-

fehler überstiegen hätte. Petroleum (sogenanntes Kaiseröl), Vaselineöl, Benzol hingegen gaben gar keine Wirkung.

Wie schon erwähnt, war bei dieser Versuchsordnung die Zunahme der Leitfähigkeit der Luft auch dann nur eine geringe, 5—10 Proz., wenn die Waschflaschen, durch welche die Luft gesaugt wurde, mit Wasser oder Salzlösungen oder verdünnten Säuren gefüllt waren. Es wäre deshalb nicht unmöglich gewesen, daß der Effekt bei den isolierenden Flüssigkeiten nur um deswillen nicht beobachtet werden konnte, weil er, in schwächerem Maße auftretend, durch die Beobachtungsfehler verdeckt wurde. Ich suchte deshalb nach einem Verfahren, bei welchem es möglich war, stärkere Wirkungen zu erzielen und gelangte auf folgende Weise zum Ziele.

Mit dem Lindeschen Kompressor wurde Luft auf ca. 180 Atm. komprimiert. Da hierbei gemäß der Konstruktion des Apparates die Luft schon mit fein verteiltem Wasser in innige Berührung kommt, so kann es nicht wundernehmen, daß sie hierbei schon eine größere Leitfähigkeit erhielt. Man ließ die Luft deshalb meist mehrere Tage stehen, damit die Leitfähigkeit wenigstens zum größten Teile wieder verschwand. Hierauf ließ man die Luft aus einem Glasrohre, das am Ende mit einer Anzahl feiner Öffnungen versehen war, oder meist aus einem Metallrohre, dessen eines Ende mit feinmaschigem Drahtnetz verschlossen war, ausströmen in eine Wulffsche Flasche, durch deren einen Tubulus das eben erwähnte Ausströmungsrohr so geführt war, daß es ca. 1 cm über dem Boden der Flasche endigte. Aus dem anderen Tubulus strömte die eingeblasene Luft dann durch ein weites Glasrohr in eine ca. 50 Liter fassende Glasflasche. Der Hahn des Metallzylinders, in welchem die komprimierte Luft sich befand, wurde hierbei sehr vorsichtig so gestellt, daß ein Manometer, welches zwischen dem Kompressionszylinder und der Wulffschen Flasche eingeschaltet war, stets 30—32 cm Hg-Druck anzeigte, die Luft also immer unter demselben Drucke ausströmte. Man ließ bei jedem Versuche 160 Liter ausströmen, so daß man annehmen darf, daß die 50 Liter fassende Glasflasche gut mit der Luft ausgespült und angefüllt wurde. Nach dem Durchströmen bez. Füllen der Flasche wurde diese mit einem doppelt durchbohrten Gummistopfen verschlossen, und nun die Luft langsam durch



einfließendes Wasser in die Trockenröhren und den Versuchsgesamtheit geleitet. Eine mit  $\text{H}_2\text{SO}_4$  gefüllte Waschflasche am Austrittsrohre des Apparates gestattete die Schnelligkeit des Durchströmens zu beurteilen. Ein Versuch verlief nun in folgender Weise:

a) Man ließ 160 Liter Luft aus dem Kompressor in der beschriebenen Weise ausströmen, während die Wulffsche Flasche leer, sorgfältig getrocknet, war. Die Luft wurde auf ihre Leitfähigkeit untersucht.

b) Man ließ 160 Liter Luft ausströmen, wobei aber jetzt die Wulffsche Flasche etwa bis zu halber Höhe mit 2 Liter der zu untersuchenden Flüssigkeit gefüllt war, so daß die Luft in ganz fein verteilten Bläschen energisch durch die Flüssigkeit geblasen wurde. Die Luft wurde ebenfalls auf ihre Leitfähigkeit untersucht.

c) Der erste Versuch wurde wiederholt.

Vor jedem neuen Versuche wurde durch den Apparat, in dem das Elektroskop sich befand, zwei Stunden lang getrocknete Zimmerluft durchgesaugt und festgestellt, daß die Leitfähigkeit wieder die normale geworden war. Die Sicherheit, mit der sich hierbei immer die gleichen Versuchsbedingungen wieder herstellen ließen und mit der unter gleichen Bedingungen auch gleiche Resultate erhalten wurden, läßt sich am besten daraus erkennen, daß die bei a) und c) beobachteten Leitfähigkeiten nie um mehr als 5 Proz. voneinander verschieden waren. Der Unterschied der bei b) beobachteten Leitfähigkeit gegen das Mittel aus a) und c) darf angesehen werden als hervorgerufen durch das Durchströmen der Luft durch die betreffenden Flüssigkeiten.

Untersucht wurden: Destilliertes Wasser, Leitungswasser, Regenwasser, wässrige Lösungen von  $\text{CuSO}_4$  (10 Proz.),  $\text{H}_2\text{SO}_4$  (30 Proz.),  $\text{NaCl}$  (10 Proz.), Kaiseröl, Paraffinöl, Benzol, Äthylalkohol, Nitrobenzol.

Bei Wasser und wässrigen Lösungen wurde unter gleichen Bedingungen für alle derselbe Betrag der Luftleitfähigkeit beobachtet, von den übrigen Substanzen ließen nur Alkohol und Nitrobenzol bei einigen Versuchen einen die Versuchsfehler übersteigenden Einfluß auf die Leitfähigkeit der Luft erkennen.

Endlich habe ich mit den genannten Flüssigkeiten mich dem Ausgangsversuche mit der Wasserstrahlpumpe soweit als möglich zu nähern gesucht, indem ich eine solche Pumpe dadurch zu betätigen suchte, daß ich die Flüssigkeiten aus einem 3 m über dem Fußboden aufgestellten Gefäße in die Pumpe fließen ließ. Die unten angekommene Flüssigkeit wurde stets wieder oben nachgefüllt. Auch hierbei erhielt ich dieselben Resultate. Ob die geringen Wirkungen, welche bei Alkohol und Nitrobenzol erhalten wurden, auf beigemischte Spuren von Wasser zurückzuführen sind, oder ob wirklich diese beiden Flüssigkeiten mit den hohen Dielektrizitätskonstanten eine dem Wasser ähnliche Wirkung ausüben, vermag ich noch nicht zu entscheiden. Der Alkohol wurde von gebranntem Kalk abdestilliert, das Nitrobenzol war in der Fabrik von Kahlbaum aus kristallisiertem Benzol dargestellt.

Mit den beiden letztgenannten Versuchsanordnungen habe ich auch untersucht, ob das Wasser durch längeren Gebrauch die Fähigkeit verliert, durchstreichende Luft leitend zu machen. So wurde z. B. bei einem Versuche durch  $\frac{1}{3}$  Liter Leitungswasser eine ganze Woche lang Luft durchgeblasen, wobei etwa die Hälfte des Wassers durch Verdampfen verloren ging. Der Rest machte am Schlusse der Versuche die Luft genau so stark leitend, wie das gleiche Quantum frischen Leitungswassers unter gleichen Bedingungen dies tat.

Außer mit Luft habe ich entsprechende Versuche auch mit O und mit CO<sub>2</sub> angestellt und eine ähnliche Vermehrung der Leitfähigkeit bei diesen Gasen erhalten.

4. Es entsteht jetzt die Frage, wie kommt diese Leitfähigkeit der Gase zu stande? Wird das Gas bei dem Durchstreichen durch das Wasser direkt ionisiert, oder nimmt dasselbe dabei Spuren einer radioaktiven Substanz in sich auf, oder endlich führt es eine sogenannte Emanation von einer in dem Wasser enthaltenen radioaktiven Substanz mit sich? Das sind wohl die zunächst sich aufdrängenden Fragen. Daß das Gas beim Durchstreichen des Wassers einfach ionisiert wird, in der Weise etwa, wie dies durch die Einwirkung von ultravioletten oder von X-Strahlen geschieht, muß schon um deswillen als unwahrscheinlich bezeichnet werden, weil es die lange Glasröhre mit dichtgestopfter Watte zu durchsetzen ver-

mag, ohne nachweisbare Einbuße an seiner Leitfähigkeit zu erleiden. Auch spricht entschieden dagegen das sehr langsame Verschwinden der erlangten Leitfähigkeit, das hier ebensoviel Tage erfordert wie dort Minuten.

Die Frage läßt sich, glaube ich, endgültig entscheiden, wenn man das Gas durch ein genügend starkes elektrisches Feld leitet. Das elektrische Feld wurde dadurch hergestellt, daß ein 80 cm langer, 0,7 cm dicker Metallstab mit Siegelack in die Achse eines 3,5 cm weiten Metallrohres eingekittet wurde, so daß er die eine, das Metallrohr die andere Belegung eines Zylinderkondensators bildete, der mit Hülfe einer Elektrisiermaschine bis 8000 Volt geladen werden konnte. Ließ man die Luft durch dieses elektrische Feld, sei es schneller, sei es Blase für Blase, hindurchgehen, so beobachtete man zuweilen unmittelbar nach der Füllung eine ganz minimale Schwächung der Leitfähigkeit, die zwar fast in die Grenzen der Beobachtungsfehler hineinfiel, mich aber doch auf die Vermutung brachte, es könnte in dem starken elektrischen Felde in der Tat ein Verbrauch der vorhandenen Ionen stattfinden, diese Tatsache sich aber um deswillen der Beobachtung entziehen, weil dieselben sehr schnell wieder neugebildet werden. Es wurde deshalb das Elektroskop aus dem Glasgefäße herausgenommen, durch den Deckel dieses ein sorgfältig isolierter Draht geführt, an welchem im Innern des Gefäßes der Zerstreuungskörper in der Mitte des zur Erde abgeleiteten Blechzylinders aufgehängt war. Durch den nach außen führenden Draht konnte nun der Zerstreuungskörper entweder mit dem außen aufgestellten Elektroskope oder mit dem einem Pole einer Elektrisiermaschine verbunden werden. Der Apparat wurde mit der Luft des Wasserstrahlgebläses gefüllt, das Elektroskop angelegt und die Zerstreuung für + und – Elektrizität gemessen. Hierauf wurde das Elektroskop abgeschaltet und der Zerstreuungskörper 15 Min. lang auf –8000 Volt geladen, dann wieder das Elektroskop angelegt und wieder die Zerstreuung gemessen etc.

Eine einzelne Messung der Zerstreuung dauerte 3–4 Min. Ich gebe im folgenden die Spannungsverluste in Volt auf 60 Min. berechnet; die angeführte Zeit bezieht sich jeweils auf das Ende der fraglichen Zerstreuungsmessung. Also  $9^h 10^m + 1114$  soll heißen, daß um  $9^h 10^m$  die Messung zu

Ende war, bei welcher das + geladene Elektroskop einen Spannungsverlust von 1114 Volt (für 60 Min. berechnet) ergeben hat.

	9 <sup>h</sup> 10 <sup>m</sup>	9 <sup>h</sup> 24 <sup>m</sup>	9 <sup>h</sup> 25 <sup>m</sup> bis 9 <sup>h</sup> 40 <sup>m</sup>		
	+ 1114	– 1146	auf – 8000 Volt geladen		
9 <sup>h</sup> 44 <sup>m</sup>	9 <sup>h</sup> 47 <sup>m</sup>	9 <sup>h</sup> 51 <sup>m</sup>	9 <sup>h</sup> 55 <sup>m</sup>	9 <sup>h</sup> 58 <sup>m</sup>	10 <sup>h</sup> 1 <sup>m</sup>
– 662	– 864	– 942	+ 1275	+ 1272	+ 1269
	10 <sup>h</sup> 3 <sup>m</sup> bis 10 <sup>h</sup> 18 <sup>m</sup> auf – 8000 Volt geladen				
10 <sup>h</sup> 20 <sup>m</sup>	10 <sup>h</sup> 23 <sup>m</sup>	10 <sup>h</sup> 26 <sup>m</sup>	10 <sup>h</sup> 29 <sup>m</sup>	10 <sup>h</sup> 33 <sup>m</sup>	10 <sup>h</sup> 37 <sup>m</sup>
+ 2364	+ 1704	+ 1544	+ 942	– 1000	– 1032

Der Apparat blieb eine Stunde lang ohne Ladung stehen, dann wurde genau der gleiche Versuch angestellt, nur wurde jetzt der Zerstreuungskörper auf + 8000 Volt geladen. Ich lasse die Zeitangaben der Einfachheit wegen fort.

+ 1158, – 1114, 15 Min. auf + 8000 Volt geladen  
 + 480, + 770, + 860, – 1266, – 1158 – 1120  
 15 Min. auf + 8000 Volt geladen  
 – 2826, – 1868, – 1576, + 614, + 792, + 872

Die Versuche lassen deutlich erkennen, daß wenn der Zerstreuungskörper eine Zeitlang auf + 8000 Volt gehalten ist, die negativen Ionen in seiner Umgebung stark verbraucht sind, so daß nun bei einer Ladung desselben auf + 200 Volt in den ersten Minuten nur eine verhältnismäßig geringe Zerstreuung, weniger als halb so viel wie vor der Ladung auf 8000 Volt, stattfindet. Bei einer Ladung auf – 200 Volt dagegen zeigt sich umgekehrt eine sehr starke Zerstreuung, die + Ionen sind angehäuft. Die Beobachtung lehrt aber weiter, daß eine recht schnelle Regeneration der Ionen stattfindet. In drei Minuten steigt die Zerstreuung von + 480 auf + 770. Nach einer Stunde ist die Wirkung, welche durch das starke elektrische Feld hervorgebracht wurde, so gut wie vollständig beseitigt und die vorher beobachtete angenähert gleich große Leitfähigkeit für + und – Elektrizität wiederhergestellt.

5. Die Luft, welche durch die Wasserstrahlpumpe gegangen ist, ist also nicht einfach ionisiert wie die den X-Strahlen



oder dem ultravioletten Lichte ausgesetzt gewesene Luft. Sie hat eine Veränderung erlitten oder einen Zusatz erhalten, der auf längere Zeit ihr die Fähigkeit verleiht, die Zahl der freien Ionen und damit ihre Leitfähigkeit auf konstanter bedeutender Höhe zu halten. Der nächstliegende Gedanke dürfte sein, anzunehmen, daß die Luft aus der wirksamen Flüssigkeit eine Emanation oder geringe Mengen einer radioaktiven Substanz mitreißt. Da Wasser die bei weitem stärkste Wirkung ausübt, vielleicht überhaupt die einzige wirksame Substanz ist, so liegt es nahe, zu versuchen, der Luft nach Möglichkeit alle Spuren des mitgeführten Wassers zu entziehen, um zu sehen, ob die fremde Substanz dann auch verschwindet. Auf dem Boden des Glasgefäßes, in welchem sich das Elektroskop befindet, wurden drei Schalen mit  $P_2O_5$  und zwei mit Stücken von metallischem Na gestellt. In das mit trockener Luft gefüllte Gefäß wurde so viel Luft aus dem Wasserstrahlgebläse eingeblasen, daß das Hygrometer 29 Proz. zeigte und der Potentialabfall (für 60 Min. berechnet) 795 Volt betrug. Es wurden nun die folgenden Ablesungen gemacht:

<i>T</i>	0,6	0,3	0,85	2,00	3,00	18,00
<i>H</i>	25	20	15	19,5	8,5	5
<i>P</i>	880	1030	1070	1330	1370	1240

Hierin bedeutet *T* die Zeit in Stunden, welche seit der Füllung des Gefäßes verflossen ist, *H* die Ablesung am Hygrometer in Prozenten, *P* die Zerstreuung für 60 Min. in Volt. Man sieht, daß das Hygrometer stark fällt, die Leitfähigkeit aber unabhängig hiervon wie immer zuerst steigt.

Man kann gegen diesen Versuch einwenden, daß wenn an dem mitgerissenen Wasser die radioaktive Substanz haftet, sie dann immerhin in dem Gefäße bleiben muß, wenn etwa die Feuchtigkeit von dem  $P_2O_5$  oder Na absorbiert wird. Deshalb wurde die Luft zuerst in einem anderen Gefäße getrocknet und dann ganz langsam herübergesaugt, endlich wurde ihr die Feuchtigkeit direkt beim Einleiten in das Gefäß entzogen dadurch, daß man zu den schon erwähnten Trockenröhren noch ein 1 m langes Rohr einschaltete, das mit lose gestopfter Astbestwolle gefüllt war, die in  $P_2O_5$  umgedreht und reichlich damit überschüttet war, und weiter noch ein



30 cm langes Rohr, das dicht mit kleinen Stücken von metallischem Na gefüllt war. Obgleich man mit diesen Mitteln der Luft ihren Feuchtigkeitsgehalt, wie er durch ein Hygrometer angezeigt wird, vollständig entziehen kann, war ein Einfluß auf die Leitfähigkeit nicht zu konstatieren.

Noch gründlicher kann man die Feuchtigkeit der Luft entziehen, indem man sie auf sehr tiefe Temperatur abkühlt. Es wurde deshalb ein Kupferrohr von 1,8 m Länge zu einem Schlangenrohr gebogen und in flüssige Luft getaucht. Die vom Gebläse gelieferte Luft strich Blase für Blase durch zwei Waschflaschen mit  $\text{H}_2\text{SO}_4$ , eine solche mit KOH durch ein 1,5 m langes Rohr mit Natronkalk, durch das lange Rohr mit  $\text{P}_2\text{O}_5$ , dann durch die Kupferspirale und das Watterrohr in den Apparat.

Nachdem man eine Stunde lang die Luft durchgeleitet hatte, war *keine die Versuchsfehler übersteigende Erhöhung der Leitfähigkeit im Apparate zu konstatieren*, während ein Vorversuch gelehrt hatte, daß bei der gleichen Versuchsanordnung, nur mit dem einzigen Unterschiede, daß die Kupferspirale Zimmertemperatur hatte, nach 15 Min. die Leitfähigkeit auf den 30 fachen Betrag gestiegen war.

Es fragte sich nun, war durch die tiefe Temperatur die Veränderung bez. der Zusatz, den die Luft beim Durchstreichen der Wasserstrahlpumpe erhalten hatte, und durch welche die abnorm hohe Leitfähigkeit der Luft hervorgebracht war, vernichtet, oder nur im Kupferrohre zurückgehalten, also sozusagen ausgefroren? Es zeigte sich zu meiner großen Überraschung, daß das letztere der Fall war. Wurde nämlich das Kupferrohr, nachdem ein Versuch mit flüssiger Luft ausgeführt war, am einen Ende verschlossen, am anderen aber in Kommunikation mit dem Versuchsapparate gelassen, und ließ man nun das Rohr sich ganz langsam erwärmen, indem man es Zentimeter für Zentimeter aus der flüssigen Luft herauszog, so taute der eingefrorene Inhalt der Röhre wieder auf und wurde von der durch die Erwärmung sich ausdehnenden Luft mit in das Versuchsgefäß hinübergeführt. Schon nach 15 Min. war die Leitfähigkeit in dem Apparate auf das 10 fache gestiegen und stieg noch weiter. Wurde dagegen das Kupferrohr, ehe es aus der flüssigen Luft genommen wurde, ganz

von dem Versuchsapparate getrennt und auf Zimmertemperatur erwärmt, während gleichzeitig ein lebhafter Luftstrom hindurchgesaugt wurde, so war nach 15 Min. an oder mit dem Kupferrohr auf keine Weise mehr etwas nachweisbar, das Einfluß auf die Leitfähigkeit der Luft gehabt hätte.

Um zu untersuchen, ob in dem Schlangenrohre eine sichtbare Substanzmenge ausfriert, habe ich das Cu-Rohr durch ein Glasrohr ersetzt. In einzelnen Versuchen glaube ich mit der Lupe an den Wandungen äußerst feine Eiskriställchen gesehen zu haben, doch war die Beobachtung sehr schwierig und deshalb nicht sicher. Daß es nicht abgeschiedene feste  $\text{CO}_2$  war, habe ich durch Untersuchung des aufgefangenen Röhreninhaltes mit KOH festgestellt.

6. Die Herren Elster und Geitel haben zur Erklärung der abnorm hohen Leitfähigkeit der Luft in Kellerräumen etc. eine mögliche Radioaktivität der Luft selbst herangezogen. Ich will auf die mannigfachen Versuche hier nicht näher eingehen, die ich angestellt habe, um in dem, was in dem Kupferrohre ausgefroren war, das radioaktive Agens zu finden. Sie haben alle ein negatives Resultat gehabt, sind aber um deswillen nicht beweiskräftig, weil man wird einwenden können, daß für die Hervorbringung der beobachteten Effekte ja nur ganz minimale Mengen erforderlich sind, und diese können sich der Wahrnehmung entzogen haben. Ich möchte aber darauf aufmerksam machen, daß die abnorm hohe Leitfähigkeit der Luft und die im vorstehenden beschriebenen Erscheinungen in anderer und wie mir scheint, besonders einfacher Weise sich erklären lassen, nämlich durch die Annahme, daß das Wasser in ähnlicher Weise wie auf Säuren und Salze, so auch auf Gase eine stark ionisierende Wirkung auszuüben vermag. Man kann sich vorstellen, daß wenn ein Gas durch Wasser in Blasenform hindurchgepreßt wird, einzelne Gasmoleküle in so innige Berührung mit dem Wasser kommen, daß sie gewissermaßen darin gelöst werden, und sich mit einer, natürlich ganz minimalen Spur von Wasser so vereinigen, daß nachher ein in eine Wasserhülle gehülltes oder darin gelöstes Gasmolekül aus dem Wasser in die Luft tritt. Solche Moleküle würden nun, analog wie in Wasser befindliche Salzmoleküle, die Fähigkeit besitzen, außerordentlich leicht zu dissoziieren,

d. h. Ionen zu bilden, und auf diese Weise die Leitfähigkeit der Luft bedingen. Diese allerfeinsten mit den Luftmolekülen verbundenen Wasserteilchen dürfen natürlich nicht mit den weit beträchtlicheren Wassermengen verwechselt werden, die etwa in den Nebelbläschen enthalten sind. Das geht ja schon daraus hervor, daß die letzteren von einigermaßen dicht gestopfter Watte zurückgehalten werden, in ruhender Luft sich verhältnismäßig schnell absetzen, erstere aber nicht.

Daß sich aus der Annahme, das Wasser besitze auch für die Gasmoleküle eine ionisierende Kraft, die vorstehend beschriebenen Versuchsergebnisse leicht erklären lassen, ist wohl einleuchtend. Je stärker der Druck ist, mit dem die Luft durch das Wasser hindurchgepreßt wird, desto inniger, wird man annehmen dürfen, ist die Berührung und Durchmischung von Wasser und Luft, desto größer dementsprechend die Anzahl der erzeugten leicht ionisierbaren Moleküle, desto größer die Leitfähigkeit. In der Nähe eines hoch geladenen positiv elektrischen Körpers tritt ein starker Verbrauch, eine Erschöpfung der negativen Ionen ein, es bleibt der Raum angefüllt mit positiven Ionen, die einen dorthin gebrachten negativ geladenen Körper sehr schnell entladen. Überläßt man den Raum sich selbst, so sind nach kurzer Zeit schon sowohl positive als negative Ionen wieder in großer Zahl vorhanden. Ob diese aus den angrenzenden Gebieten durch Diffusion dorthin gekommen sind — dann müßte durch genügend langes Elektrisieren der Vorrat sich erschöpfen lassen — oder ob eine Regeneration der verbrauchten Ionen durch Ionenstoß etc. eintritt, müssen weitere Versuche erst entscheiden.

Daß die Luft ihre hohe Leitfähigkeit nicht verliert, wenn sie über  $P_2O_5$  etc. geleitet wird, ist leicht verständlich, wenn man bedenkt, wie schwer es ist, der Luft die letzten Spuren gewöhnlicher Feuchtigkeit zu entziehen, daß es sich hier aber nach der oben skizzierten Vorstellung um minimale Mengen in feinster molekularer Verteilung handelt. Daß aber tatsächlich Wasser in der Luft an den Molekülen haftend vorhanden ist, dafür spricht, daß bei genügend tiefer Temperatur ein Erstarren und dann schnelles Zubodensinken stattfindet. Wird die Temperatur wieder erhöht, so fliegen die Luftwasserteilchen wieder davon und die Luft wird wieder leitend.

Nach dieser Vorstellung würde man sich auch die sogenannte natürliche Leitfähigkeit der Luft und besonders ihre Abhängigkeit von den meteorologischen Verhältnissen der Atmosphäre leicht erklären können. In der bewegten Luft bilden sich, wenn sie über feuchte Flächen, durch feuchtes Gebüsch etc. hinstreicht, je nach Umständen eine größere oder geringere Anzahl leicht dissoziierbarer Moleküle. Durch Ionenstoß, durch ultraviolettes Licht, durch Strahlen radioaktiver Substanzen <sup>1)</sup> werden diese in Ionen gespalten, und wird dadurch die Leitfähigkeit der Luft hervorgerufen. Diese zeigt jedenfalls in mehrfacher Beziehung dasselbe Verhalten wie die durch Wasser hindurchgeblasene Luft. Stellt man mit der aus der freien Atmosphäre entnommenen Luft die p. 116 beschriebenen Versuche an, so erhält man Resultate, die den dort mitgeteilten vollkommen entsprechen.

Leitete ich atmosphärische Luft durch das in flüssiger Luft befindliche Kupferrohr, so beobachtete ich eine Abnahme der Leitfähigkeit um ein Drittel, ja um die Hälfte ihres Betrages. Der Luft auf diese Weise die Leitfähigkeit ganz zu entziehen, ist mir allerdings nicht gelungen. Ob dies daran liegt, daß die durch das Schlangenrohr streichende Luft bei dem Eintritt in den Versuchsapparat die dort befindliche Luft selbst bei längerem Durchleiten nicht vollständig verdrängt hat, oder ob die Leitfähigkeit der Luft zum Teil von Ionen herrührt, die nicht ausfrieren, vermag ich noch nicht zu entscheiden. Hat man längere Zeit (1—2 Stunden) atmosphärische

1) Ich glaube, daß außer Radium, Polonium, Thorium etc. noch eine große Anzahl von Körpern radioaktiv sind, daß in dieser Beziehung zwischen Radium und Blei oder Zink z. B. ein ähnlicher, nur quantitativer Unterschied vorhanden ist, wie etwa hinsichtlich der magnetischen Eigenschaften ein solcher zwischen Eisen und Blei besteht. Ich glaube bei meinen Versuchen deutliche Unterschiede in der Radioaktivität verschiedener Metalle beobachtet zu haben. Ich habe, um zunächst wenigstens einen orientierenden Versuch in dieser Richtung zu machen, zwei genau gleiche Gefäße aus Blei und aus Zink anfertigen lassen. Bei den meisten Versuchen ergab sich die Leitfähigkeit der Luft in dem Bleigefäße größer als in dem Zinkgefäße, nie umgekehrt, nur einige Male in beiden Gefäßen gleich. Die Versuchsanordnung mit dem Elektroskop scheint mir für diese Untersuchung nicht empfindlich genug. Ich gedenke die Frage auf anderem Wege zu verfolgen.



Luft durch die Kühlschlange geleitet, und man läßt dann die auftauende Kupferspirale ihren Inhalt in den Versuchsapparat entleeren, so beobachtet man in diesem eine bedeutende Steigerung der Leitfähigkeit, also gerade so wie bei den entsprechenden Versuchen mit der Luft des Wasserstrahlgebläses. Möglichenfalls läßt sich die große Leitfähigkeit der aus der auftauenden Kupferröhre tretenden Luft auch so erklären, daß beim Abkühlen auf tiefe Temperatur die Luft tatsächlich ihre Leitfähigkeit vollständig verliert — diese also nicht nur, wie oben angenommen, durch Ausfrieren sozusagen latent wird — und daß dann beim Auftauen die ausströmende Luft durch Hinstreichen an in der Röhre gebildeten feinsten Eiskriställchen wieder leitend wird. Denn ich habe gefunden, daß Luft auch dann ihre Leitfähigkeit vergrößert, wenn sie durch fein zerteiltes Eis oder Schnee geleitet wird.

7. Durch die vorstehenden Versuche ist gezeigt worden, daß Luft beim Durchblasen durch Wasser, beim Durch- oder Vorbeistreichen an mit Wasser befeuchteten Flächen eine Vermehrung ihrer Leitfähigkeit erlangt, so daß diese unter günstigen Umständen auf das mehr als Hunderfache ihres gewöhnlichen Betrages ansteigen kann.

Diese Leitfähigkeit hängt nicht ab von dem Feuchtigkeitsgehalte der Luft, wie er mit dem Hygrometer gemessen wird.

Die Leitfähigkeit verschwindet beim Abkühlen der Luft auf genügend tiefe Temperatur, erscheint aber wieder, sobald die Luft in dem Abkühlungsbehälter wieder erwärmt wird.

Die abnorm hohe Leitfähigkeit wird nicht zerstört beim Durchleiten durch ein elektrisches Feld.

Sie verschwindet, wenn die Luft in einem geschlossenen Behälter sich selbst überlassen bleibt, sehr langsam, erst nach mehreren Tagen, ja Wochen.

Ich glaube, daß die von Elster und Geitel beobachtete hohe Leitfähigkeit der Keller- und Bodenluft auf diese Weise entsteht. Ebenso glaube ich, daß zum mindesten ein Teil der stets in freier Luft vorhandenen Leitfähigkeit bez. deren Schwankungen auf die obige Erscheinung zurückzuführen sind, und daß die Ionisierung der Luft durch Wasser bei allen elektrischen Erscheinungen unserer Atmosphäre eine wesentliche Rolle spielt.



Die Hypothese, daß das Wasser nicht nur auf Säuren und Salze, sondern auch auf die Gase eine hohe dissoziierende Kraft auszuüben vermag, scheint mir geeignet, die beschriebenen Erscheinungen zu erklären,

Freiburg i. B., März 1903.

*Nachtrag.* Ich bin freundlicherweise darauf aufmerksam gemacht worden, daß Sella und Pocchettino<sup>1)</sup> schon im Sommer vorigen Jahres Versuche über die Ionisierung der Luft beim Durchpressen durch Wasser beschrieben haben, und daß J. J. Thomson<sup>2)</sup> eine Arbeit über denselben Gegenstand veröffentlicht hat. Über die Publikation der erstgenannten Autoren ist mir bisher nur das Referat<sup>3)</sup> zugänglich gewesen. Hiernach stellen die Verfasser nur die Tatsache fest und nehmen zur Erklärung das Vorhandensein eines radioaktiven Bestandteiles im Wasser an.

Hr. J. J. Thomson hat die meisten der Versuche, welche ich im vorhergehenden beschrieben habe, schon ausgeführt, meist allerdings mit wesentlich anderer Versuchsanordnung. Unsere Resultate stimmen durchweg gut überein, während unsere Erklärungsversuche verschieden sind. Ich hoffe hierauf zurückkommen zu können, sobald ich neues Beobachtungsmaterial gesammelt hat.

Freiburg i. B., Mai 1903.

1) A. Sella u. A. Pocchettino, Rendiconti Reale Accademia dei Lincei (5) 11. p. 527—531. 1902.

2) J. J. Thomson, Phil. Mag. 1902.

3) A. Sella u. A. Pocchettino, Naturw. Rundschau 1902.

(Eingegangen 4. Mai 1903.)

6. *Über die Leitfähigkeit fester Isolatoren unter dem Einfluß von Radiumstrahlen;*  
*von A. Becker.*

Gasförmige Körper werden unter der Einwirkung von Kathoden- und Röntgenstrahlen wie auch der Strahlen radioaktiver Stoffe zu Leitern der Elektrizität. Nach Versuchen von J. J. Thomson <sup>1)</sup> sollten auch nichtgasförmige Isolatoren bei Einwirkung von *Röntgenstrahlen* leitend werden. Indes hat Righi <sup>2)</sup> unter Anwendung aller notwendigen Vorsichtsmaßregeln keine solche Wirkung nachweisen können. Demgegenüber mußte eine Untersuchung über das Verhalten flüssiger und fester Isolatoren gegen *Radiumstrahlen* von großem Interesse sein, abgesehen von der rein praktischen Bedeutung, die für das Arbeiten mit solchen Strahlen unter Verwendung fester Isolatoren vorhanden sein mußte. Da mir im Verlaufe meiner Untersuchungen an flüssigen Isolatoren die bezügliche Arbeit von P. Curie <sup>3)</sup> bekannt wurde, die mir früher entgangen war, so sollen im folgenden nur die Resultate über feste Isolatoren mitgeteilt werden. Nach Curies Beobachtungen zeigt sich eine Leitfähigkeit bei flüssigen Isolatoren; dieselbe war auch in meinen Versuchen konstatiert. Es wird nun aus dem Folgenden hervorgehen, daß auch feste Dielektrika Leitfähigkeit erlangen, daß dieselbe aber äußerst gering ist, so daß ihr Einfluß auf die Isolation durch feste Körper bei elektrischen Messungen in den wenigsten Fällen wesentlich sein wird.

---

1) J. J. Thomson, *Nature* 53. p. 378 u. 583. 1895.

2) A. Righi, *Sulla propagazione dell' elettricità nei gas attraversati dai Raggi di Röntgen*, p. 55. 1896.

3) P. Curie, *Compt. rend.* 134. p. 420. 1902.

Es wurde lange vergeblich versucht, in der von Righi angewandten Weise aus dem Elektrizitätsverlust eines geladenen Leiters, der vollkommen in das betreffende Dielektrikum eingeschlossen war, eine eventuelle Leitfähigkeit des letzteren nachzuweisen, weil trotz verschiedener Vorsichtsmaßnahmen die Zerstreuung durch das Leitendwerden der Luft in der Umgebung der Zuleitungen, obwohl dieselben metallisch abgeschirmt waren, so groß war, daß dadurch die gesuchte Wirkung auf das Dielektrikum vollkommen verdeckt werden mußte.

Es ist der Versuchsbeschreibung Righis leider nicht zu entnehmen, welche Empfindlichkeit der Beobachtung seine Instrumente zuließen, so daß es fraglich bleibt, ob er überhaupt so kleine Ströme, wie sie hier auftreten, gemessen hat, oder ob er auch trotz der Anwendung größtmöglicher Empfindlichkeiten keine Leitfähigkeit konstatieren konnte. Es ist dies besonders von Interesse mit Rücksicht auf die eingangs erwähnte Arbeit von P. Curie, in welcher auch für Röntgenstrahlen Leitfähigkeit nachgewiesen ist. — Bei den im folgenden mitzuteilenden Versuchen wurde eine Anordnung getroffen, welche jede Störung durch gleichzeitiges Leitendwerden der umgebenden Luft so gut wie vollständig ausschließt, wie bei der Besprechung möglicher Fehlerquellen noch ersichtlich werden wird.

1. Die untersuchten Isolatoren bildeten die Zwischenschicht eines Kondensators von ziemlich kleiner Kapazität, der zur möglichsten Verhütung von Fehlerquellen die in der nachstehenden Fig. 1 angedeutete Form erhielt. Auf eine 0,9 cm dicke Bleiplatte mit kleinem zentralen Loch wurde mittels Siegelack eine etwas kleinere, 0,3 cm dicke Messingscheibe *m* sorgfältig aufgekittet. Darüber wurde der Isolator in einer solchen Weise gelagert, daß sich zwischen ihm und der Platte keine Luftblase befinden konnte. Auf demselben war ein rundes Aluminiumblech von 0,02 cm Dicke ebenfalls unter Vermeidung von Lufträumen derart aufgekittet, daß zwischen ihm und einer den ganzen Kondensator als Schutzhülle umgebenden Messingröhre nur ein äußerst schmaler isolierender Zwischenraum blieb. Auf das vollständig ebene Aluminiumblech wurde eine abermals 0,9 cm dicke Bleiplatte mit etwa 2 cm großer

zentraler Öffnung gelegt, welche zur Aufnahme des Radiumpräparates diente und durch einen 0,9 cm dicken Bleideckel verschlossen werden konnte. Die unterste Bleiplatte war mit der Messinghülle zur Erde geleitet, die Messingplatte stand

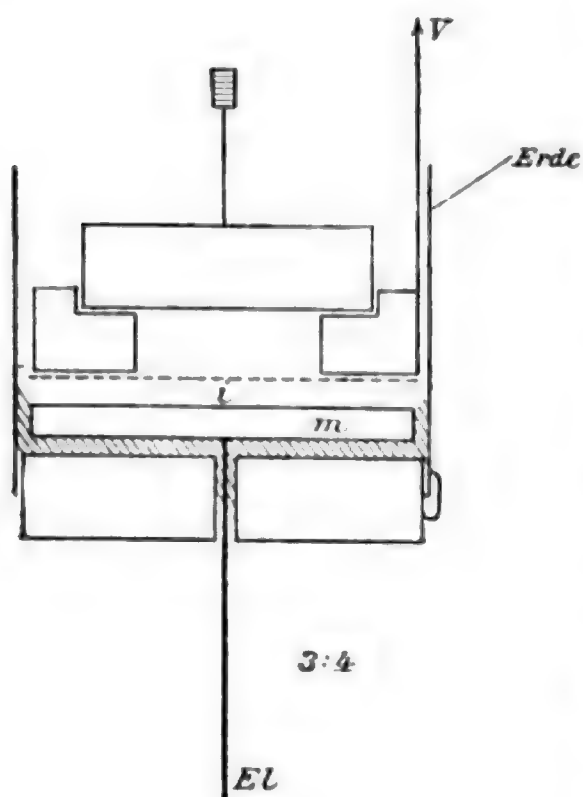


Fig. 1.

durch einen angelöteten Draht mit dem Elektrometer, das Aluminiumblech mit einer Batterie  $V$  in Verbindung. Auf diese Weise konnte der Deckel beliebig weggenommen und das Präparat eingeführt oder entfernt werden, ohne daß dadurch die angelegte Spannung irgendwie beeinflusst wurde.

Als Meßinstrument benutzte ich ein Quadrantelektrometer mit großer Empfindlichkeit. Dasselbe befand sich ebenso wie die Zuleitungen und eine Schaltvorrichtung, welche sowohl die mehrfache Herstellung von Erdschluß als auch die

Messung der Kapazität und Isolation der einzelnen Leiterteile zuließ, in dichten metallischen zur Erde geleiteten Schutzhüllen.

Zur Untersuchung kam ausschließlich ein mit „konzentriert“ bezeichnetes Radiumpräparat von E. de Haën. Etwa 150 mg dieser Substanz schloß ich in ein kleines Büchsen ein, das in die Bohrung der auf dem Aluminiumblech liegenden Bleiplatte gelegt werden konnte. Es bestand aus einem 0,5 cm hohen, etwa 1,4 cm weiten Messingring, dessen Öffnungen einerseits durch eine 0,1 cm dicke Bleischeibe, andererseits durch ein kleines Glasblättchen von 0,014 cm Dicke, wie solche als Beleuchtungsspiegelchen für die Beobachtung Newtonscher Ringe verwandt werden, mit Hülfe von Siegelack und einer dicken Schicht Wachs luftdicht verschlossen waren.

## Der Ladestrom.

2. Wird das vorher geerdete Aluminiumblech mit den darauf liegenden Bleiteilen mit dem einen Pol einer andererseits abgeleiteten Batterie verbunden, so stellt sich ein Ladestrom vom Aluminiumblech zur Messingplatte des Meßkondensators ein, der anfänglich eine beträchtliche Stärke besitzt und allmählich bis zu einem bestimmten minimalen Grenzwert abnimmt. Die Abhängigkeit desselben von der Dauer der Einwirkung der elektrischen Kraft wird sehr wesentlich beeinflusst von vorhergehenden elektrischen Zuständen des Isolators infolge der Rückstandsbildung. Es wurde versucht, ob es nicht möglich sein sollte, an ein und demselben Kondensator Ladungsströme zu erhalten, die unabhängig von vorhergehenden elektrischen Einwirkungen eine fest bestimmbare Funktion der Ladezeit<sup>1)</sup> wären, so daß sie sich in genau derselben Weise in beliebig vielen Versuchen wiederholten. Dieser Fall war erreichbar; und zwar genügte es, beide Platten des von mir untersuchten Kondensators, nachdem derselbe jeweils etwa eine Stunde lang starken elektrischen Kräften ausgesetzt war, während 7—8 weiteren Stunden zur Erde zu leiten. Nachdem auf diese Weise eindeutig der Stromverlauf als Funktion der Zeit gegeben war, wurde das Präparat eingeführt und wieder der Stromverlauf studiert. Und zwar wurde jeweils im Interval einiger Minuten die Messingplatte von Erde isoliert und die sich auf ihr ansammelnde Elektrizitätsmenge ins Elektrometer überführt.

Solche Beobachtungen sind in ausgedehntem Maße mit einer *Schellackschicht* von ca. 0,15 cm Dicke ausgeführt worden. Um die Genauigkeit der Methode klar zum Ausdruck zu bringen, sind in der folgenden Tabelle drei unabhängige Beobachtungsreihen mit einer angelegten Spannung von + 1000 Volt ohne eingeführtes Präparat und zwei Reihen mit derselben

1) Darunter soll die Zeit verstanden sein, innerhalb welcher die elektrischen Kräfte auf den Isolator wirkten.



Spannung und eingeführtem Präparat zusammengestellt. Um gut die einzelnen Werte miteinander vergleichen zu können, wurden sie durch graphische Interpolation alle auf dieselbe Beobachtungszeit reduziert. Die Versuche wurden, wie die beigefügten Zahlen andeuten sollen, in der Weise ausgeführt, daß zuerst eine Reihe beobachtet wurde ohne Präparat, hierauf nach etwa 7 Stunden eine zweite mit Präparat, dann eine weitere ohne Präparat etc.

Tabelle I.

+ 1000 Volt. Schellack, 0,15 cm dick.

Ladezeit	Ohne Präparat			Mit Pāparat			
	Zeit des Überganges von 0,5 Volt			Zeit des Überganges von 0,5 Volt			Mittel
	1.	3.	5.	Mittel	2.	4.	
Min.	Sek.	Sek.	Sek.	Sek.	Sek.	Sek.	Sek.
1	6,6	6,6	6,6	6,60	6,2	6,0	6,1
3	14,3	13,8	13,5	13,86	13,4	12,0	12,7
5	19,7	19,0	19,7	19,46	19,0	17,0	18,0
7	24,1	23,1	24,2	23,80	23,1	21,2	22,15
9	28,4	27,0	28,4	27,9	26,8	25,0	25,9
11	32,1	30,8	32,1	31,6	30,0	28,1	29,05
13	35,9	34,7	35,8	35,5	33,0	31,0	32,0
15	39,6	38,0	39,6	39,0	35,2	34,5	34,85
17	42,4	41,0	42,4	41,9	38,4	37,3	37,85
19	45,0	43,2	45,0	44,4	40,9	39,0	39,95
21	48,0	46,1	47,4	47,16	44,0	41,8	42,9
23	50,2	48,9	49,8	49,6	46,5	44,0	45,2
25	53,0	51,1	52,4	52,16	49,1	45,9	47,5
30	59,2	57,0	58,3	58,16	54,0	50,2	52,1

Aus den in zwei Kolonnen verzeichneten Mittelwerten der Übergangszeiten läßt sich die pro Sekunde übergegangene Spannung berechnen.

Tabelle II.

Ohne Präparat Volt pro Sek.	Mit Präparat Volt pro Sek.	Differenz
Volt	Volt	Volt
0,0757	0,0820	0,0063
0,0361	0,0393	0,0032
0,0257	0,0277	0,0020
0,0210	0,0226	0,0016
0,0179	0,0193	0,0014
0,0158	0,0172	0,0014
0,0141	0,0156	0,0015
0,0128	0,0143	0,0015
0,0119	0,0132	0,0013
0,0112	0,0125	0,0013
0,0106	0,0116	0,0010
0,0100	0,0110	0,0010
0,0096	0,0105	0,0009
0,0085	0,0096	0,0011
Im Mittel: 0,0013		

Man sieht, daß unter dem Einfluß des Radiumpräparates sich eine schwache elektrische Strömung ausbildet, die ziemlich konstant erscheint, wenn man von den ersten beiden verhältnismäßig großen Werten absieht, die in der kurzen Beobachtungszeit von 6—13 Sekunden vielleicht ungenau bestimmt sind.

In derselben Weise wurde eine Reihe von Beobachtungen mit einer angelegten Spannung von + 500 Volt ausgeführt. Es ergab sich, daß im Mittel 0,0006 Volt pro Sekunde unter der Einwirkung der Radiumstrahlen durch die Schellackschicht gingen.

Die Kapazität des Kondensators, Elektrometers und der Zuleitungen betrug in diesem Fall  $1,11 \cdot 10^{-10}$  Farad, so daß die infolge der Strahlung hervorgerufenen Ströme  $144,3 \cdot 10^{-15}$  bez.  $66,6 \cdot 10^{-15}$  Amp. betrug.

Diese Versuche und solche mit Paraffinkondensatoren zeigten, daß zwar eine Leitfähigkeit durch die Bestrahlung eintritt, daß dieselbe indes so gering ist, daß man zweifelhaft sein konnte, mit dieser Methode eindeutige Resultate zu erzielen. Es wurde deshalb nicht mehr der zeitliche Verlauf des Stromes im Dielektrikum berücksichtigt, sondern mit den eigentlichen Messungen erst begonnen, wenn annähernd nach

längerer Elektrisierung sich eine stationäre Strömung eingestellt hatte.

#### Das Sättigungsmaximum.

3. Die Beobachtungen sind in der Weise ausgeführt worden, daß ich nach Anlegen der bestimmten Spannung an die Aluminiumplatte eine längere Zeit verstreichen ließ, bis sich durch vorläufige Versuche ergab, daß die elektrische Strömung im Dielektrikum etwa ihren minimalen Grenzwert erreicht hatte. Dann wurden hintereinander sechs bis zehn Beobachtungen gemacht, indem die Verbindung der Messingplatte des Kondensators mit der Erde aufgehoben und die auftretende Elektrizitätsmenge ins Elektrometer überführt wurde. Wegen der außerordentlich kleinen Ausschläge, die trotz einer Empfindlichkeit von etwa 20 cm pro Volt erhalten wurden, war es notwendig, die Überführungszeit sehr groß zu wählen; sie betrug 3 Min. Dabei konnten die Ausschläge sehr scharf abgelesen und der Einfluß der Strahlen eindeutig festgestellt werden. Der letztere ergab sich aus einer Reihe von weiteren sechs bis zehn Beobachtungen nach Einführung des Präparates in den Kondensator.

4. Die Messingplatte des Kondensators wurde zunächst mit einer 0,13 cm dicken Schicht geschmolzenen Paraffins bedeckt. Darüber wurde nach dem Erstarren der Masse eine warme Aluminiumscheibe gelegt, die so tief eingedrückt wurde, daß sämtliche Lufträume verschwinden mußten. Die von dem in dem darauf liegenden Bleibehälter befindlichen Präparat ausgesandten Strahlen durchdrangen sonach das Aluminiumblech, die Paraffinschicht und gelangten zur Messingscheibe. Die Aluminiumscheibe wurde nacheinander auf + 8, + 32, + 64 und + 128 Volt geladen, und jeweils nach einiger Zeit die Beobachtungen ausgeführt, und zwar in der Weise, daß etwa 6—10 mal die innerhalb 3 Min. übergegangene Elektrizitätsmenge in Skalenteilen bestimmt wurde ohne Präparat, daß dann das Präparat in den Kondensator gelegt wurde und weitere sechs bis zehn Ablesungen folgten, daß hiernach nach Entfernen des Präparates abermals beobachtet wurde etc. Es sollen die Mittelwerte aus den einzelnen Beobachtungsreihen übersichtlich zusammengestellt werden.

Tabelle III.

+ 8 Volt.

Skalenteile pro 3 Min.	Volt pro 3 Min.
cm	Volt
Ohne Präparat	
0,331	0,02383
Mit Präparat	
0,411	0,02984
Ohne Präparat	
0,327	0,02397
Mit Präparat	
0,354	0,02619
Ohne Präparat	
0,251	0,01869
0,0054 Volt.	
$E = 3,76 \cdot 10^{-15}$ Amp.	

+ 32 Volt.

Skalenteile pro 3 Min.	Volt pro 3 Min.
cm	Volt
Ohne Präparat	
0,353	0,02665
Mit Präparat	
0,589	0,04517
Ohne Präparat	
0,366	0,02854
Mit Präparat	
0,559	0,04388
Ohne Präparat	
0,366	0,02891
0,01637 Volt.	
$E = 11,42 \cdot 10^{-15}$ Amp.	

+ 64 Volt.

Skalenteile pro 3 Min.	Volt pro 3 Min.
cm	Volt
Ohne Präparat	
0,420	0,03326
Mit Präparat	
0,770	0,06152
Ohne Präparat	
0,404	0,03260
Mit Präparat	
0,700	0,05698
Ohne Präparat	
0,400	0,03284
0,02642 Volt.	
$E = 18,43 \cdot 10^{-15}$ Amp.	

+ 128 Volt.

Skalenteile pro 3 Min.	Volt pro 3 Min.
cm	Volt
Ohne Präparat	
0,498	0,04133
Mit Präparat	
1,002	0,08366
Ohne Präparat	
0,510	0,04284
0,04158 Volt.	
$E = 29,01 \cdot 10^{-15}$ Amp.	

Die den Isolator durchfließenden Ströme sind unter Zugrundelegung einer Kapazität von  $1,256 \cdot 10^{-10}$  Farad berechnet. Es zeigt sich die Erscheinung, daß der Leitungsstrom mit der Größe der Potentialdifferenz zwischen den Kondensatorplatten zunimmt und zwar annähernd linear, in ähnlicher Weise wie dies bei Luft etwa der Fall ist.

Eine analoge Beobachtungsreihe wurde an einer weiteren *Paraffinschicht* von 0,58 cm Dicke ausgeführt. Es ergeben sich die folgenden Resultate:

Tabelle IV.

Spannung	Volt pro 3 Min.	Stromstärke
Volt	Volt	Amp.
+ 8	0,00367	$2,49 \cdot 10^{-15}$
+ 32	0,01350	$9,16 \cdot 10^{-15}$
+ 64	0,01975	$13,32 \cdot 10^{-15}$
+ 128	0,03312	$22,48 \cdot 10^{-15}$

Es ist danach festgestellt, daß Paraffin durch Radiumstrahlen eine geringe Leitfähigkeit erlangt, wenn man die obere Kondensatorplatte mit dem *positiven* Pol einer Batterie verbindet. Es fließt dann ein schwacher Strom positiver Elektrizität zur unteren Platte und kann mit dem Quadrantelektrometer gemessen werden.

Es mußte nun von großer Wichtigkeit sein, zu erfahren, ob die Erscheinung in derselben Weise sich auch abspielen wird, wenn die Kondensatorplatte *negativ* geladen wird. Denn es war dies, da man die konstatierte Leitfähigkeit nicht ohne weiteres mit derjenigen der Gase vergleichen konnte, nicht von vornherein zu übersehen.

Zu diesem Zweck wurden mehrere Beobachtungen mit einem *Paraffinkondensator* von 0,18 cm Schichtdicke gemacht, von denen eine mitgeteilt sei. Das Aluminiumblech wurde mit dem negativen Pol der Batterie verbunden, und nach Erreichung des Sättigungsmaximums begannen jeweils acht Messungen ohne Präparat, hierauf wieder acht mit Präparat etc. Die angegebenen Zahlenwerte sind jeweils das Mittel aus solchen acht Ablesungen.



Tabelle V.

– 64 Volt.

– 128 Volt.

Skalenteile pro 3 Min.	Volt pro 3 Min.	Skalenteile pro 3 Min.	Volt pro 3 Min.
cm	Volt	cm	Volt
Ohne Präparat		Ohne Präparat	
0,004	0,00038	0,076	0,00745
Mit Präparat		Mit Präparat	
0,244	0,02318	0,460	0,04554
Ohne Präparat		Ohne Präparat	
0,004	0,00038	0,057	0,00570
Mit Präparat		Mit Präparat	
0,276	0,02677	0,388	0,03918
Ohne Präparat		Ohne Präparat	
0,053	0,00519	0,004	0,00040
0,0234 Volt.		0,03755 Volt.	
$E = 16,33 \cdot 10^{-15}$ Amp.		$E = 26,12 \cdot 10^{-15}$ Amp.	

Die Leitfähigkeit bleibt somit auch bestehen, wenn eine negative elektrische Kraft auf den Kondensator wirkt, und zwar, soweit dies bei der etwa 6 Proz. betragenden Genauigkeit aus den Versuchen hervorgeht, mit derselben Größe wie bei positiver Elektrisierung. (Die Resultate sind in der Fig. 3 auf p. 135 graphisch dargestellt.)

Es ist von Interesse, den Beobachtungen zu entnehmen, daß die Leitfähigkeit nach Einbringen des Präparates nicht sofort einen konstanten Wert annimmt, sondern daß sie erst schnell und dann allmählich während einer ziemlich beträchtlichen Zeit ansteigt, um schließlich ein Maximum zu erhalten. Ebenso sinkt auch nach dem Herausnehmen des Präparates aus dem Kondensator die Leitfähigkeit nicht plötzlich, sondern allmählich auf ihren normalen Stand zurück. Es ist also jeweils eine bestimmte Zeit erforderlich, bis die Isolatorschicht in den Zustand gekommen ist, in welchem sie unter den gegebenen äußeren Bedingungen das Maximum ihrer Leitfähigkeit besitzt, während andererseits auch eine ähnlich lange Zeit erforderlich ist, um diesen Zustand wieder vollständig zu

verlieren. Es ist diese Erscheinung besonders bei höheren Spannungen sehr augenfällig, und zwar scheint die charakteristische Zeitdauer bei positiver Elektrisierung größer zu sein als bei negativer, besonders scheint bei letzterer die Leitfähigkeit sehr rasch ihrem Grenzwert nahegekommen zu sein, während im ersten Fall auf die anfänglich ziemlich schnelle Zunahme ein längeres langsames Ansteigen folgt. Es ist dies aus den beistehenden Kurven (Fig. 2) zu entnehmen, die die Abhängigkeit des Leitvermögens von der Zeitdauer der Beobachtung darstellen für den Paraffinkondensator von 0,13 cm

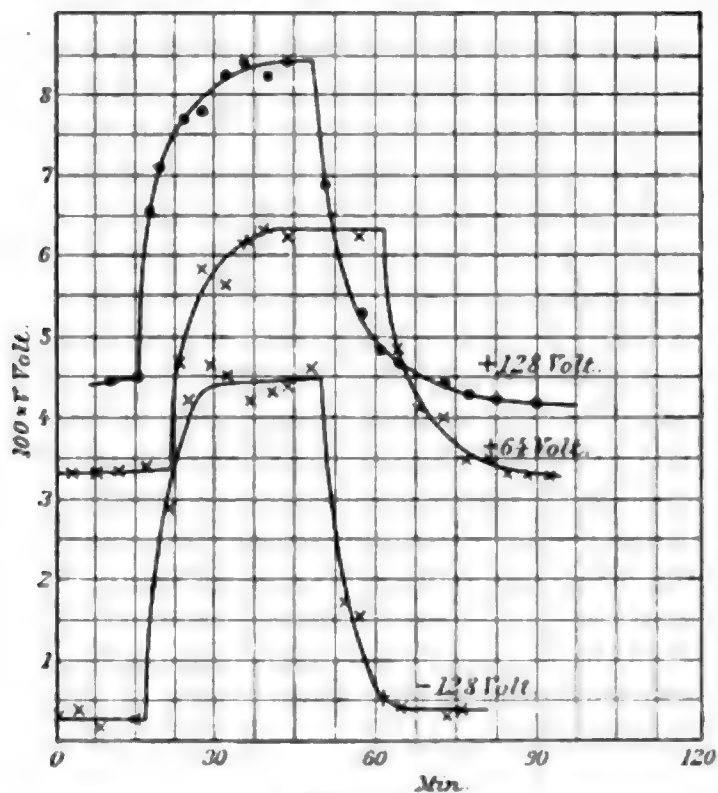


Fig. 2.

Schichtdicke bei einer angelegten Spannung von + 64 und + 128 Volt und für den 0,18 cm dicken Kondensator mit - 128 Volt Spannung. Für den letzteren war in vielen Fällen dieser zeitliche Verlauf noch viel schwächer markiert. Den früheren Angaben der Leitfähigkeiten sind jeweils die Grenzwerte zu Grunde gelegt. Eine Abhängigkeit der Erscheinung von der Dicke der Isolatorschicht läßt sich den ausgeführten Beobachtungen leider nicht entnehmen, weil nur sehr wenige speziell diese Frage behandelnde Experimente gemacht wurden und weil außerdem die Leitfähigkeit bei dickeren Schichten geringer ist und deshalb weniger diesen charakteristischen Fall hervortreten läßt.

5. Wenn aus dem vorhergehenden die Existenz der Leitfähigkeit für Schellack und Paraffin als konstatiert gelten kann, so wurden doch zur weiteren Prüfung der Frage nach dem Gültigkeitsbereich noch *Glimmer* und *Hartgummi* untersucht. Die Messungen mußten in diesen Fällen allerdings unter erschwerenden Umständen ausgeführt werden infolge der größeren Rückstandsbildung dieser Isolatoren. Besonders war eine bedeutend größere Zeit bis zur annähernden Sättigung notwendig. Ein rundes Glimmerblatt von 0,025 cm Dicke und vollständig homogener Struktur wurde mittels einer äußerst dünnen Schicht geschmolzenen Waxes auf die fein polierte Messingplatte des Kondensators geklebt; darauf wurde in gleicher Weise unter jeglicher Verhütung von Luftblasen das 0,02 cm dicke Aluminiumblech gekittet. Die erhaltenen Mittelwerte aus jeweils zwei Beobachtungsreihen mit dem Präparat und drei Reihen ohne Präparat sind die folgenden:

Tabelle VI.

Spannung	Volt pro 3 Min.	Stromstärke
Volt	Volt	Amp.
+ 8	0,00209	$1,80 \cdot 10^{-15}$
+ 32	0,00363	$3,12 \cdot 10^{-15}$
+ 64	0,00483	$4,16 \cdot 10^{-15}$

Die im Glimmer hervorgerufene Leitfähigkeit ist gegenüber derjenigen im Paraffin viel geringer, sie gehorcht aber

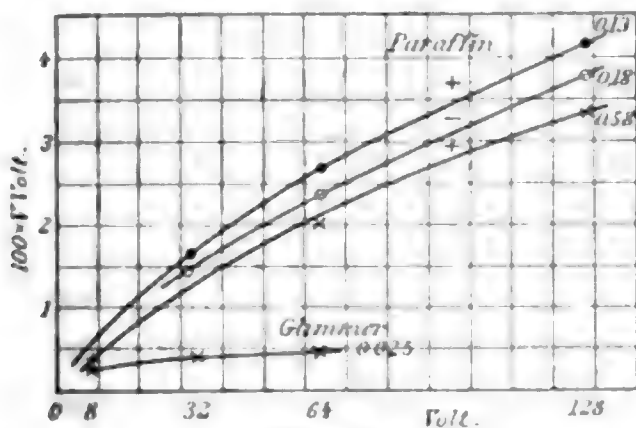


Fig. 3.

demselben Gesetz mit Bezug auf ihre Abhängigkeit von der angelegten Spannung, wie die beigelegten Kurven (Fig. 3) andeuten.

Für eine 0,137 cm dicke Hartgummischeibe, die ebenfalls mit Wachs aufgeklebt war, wurden zwei Beobachtungen mit + 8 Volt ausgeführt.

Tabelle VII.

+ 8 Volt.		+ 8 Volt.	
Skalenteile pro 3 Min.	Volt pro 3 Min.	Skalenteile pro 3 Min.	Volt pro 3 Min.
cm	Volt	cm	Volt
Ohne Präparat		Ohne Präparat	
0,102	0,00867	0,089	0,00765
Mit Präparat		Mit Präparat	
0,184	0,01564	0,182	0,01565
Ohne Präparat		Ohne Präparat	
0,096	0,00816	0,099	0,00851
0,00722 Volt.		0,00757 Volt.	

$$E = 5,35 \cdot 10^{-15} \text{ Amp.}$$

Daß feste Isolatoren durch Einwirkung von Radiumstrahlen leitend werden, kann sonach als allgemein zutreffend gelten. Es dürfte indes kaum möglich sein, mit wenigen Versuchen exakte Resultate über die Abhängigkeit der Leitfähigkeit von der Schichtdicke zu erhalten, solange der Beobachtung nur solch minimale Ausschläge zur Verfügung stehen, wie sie hier auftraten. Fernere Versuche über diesen Gegenstand werden deshalb mit größeren Kondensatoren und einer größeren radioaktiven Substanzmenge oder mit stärkeren Präparaten ausgeführt werden müssen.

Aus den vorliegenden Beobachtungen hat sich gezeigt, daß die Zunahme der Leitfähigkeit annähernd der Spannung proportional ist, wenigstens innerhalb der eingehaltenen Grenzen von 0—128 Volt. Es ist diese Abhängigkeit sonach ähnlich wie für Luft, nur daß bei dieser sehr bald ein Sättigungsmaximum annähernd erreicht wird, während bei festen Isolatoren bei 128 Volt noch keine Anzeichen dafür vorhanden waren. Dasselbe hat Curie für flüssige Isolatoren konstatiert.

Zum Vergleich diene die beigelegte Kurve (Fig. 4) für Luft, deren Abszissen die Potentialdifferenz und deren Ordinaten das Hundertfache der innerhalb 3 Min. übergegangenen Spannung — bei annähernd derselben Kapazität wie früher — für

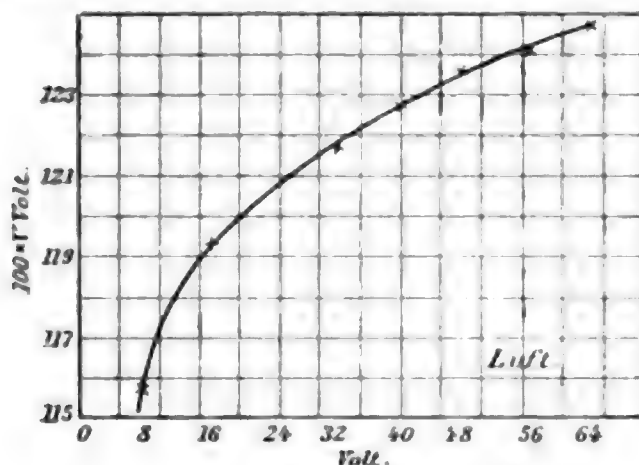


Fig. 4.

eine 0,33 cm dicke Schicht darstellen. Es ist dadurch auch ein Maß für die Stärke des benutzten Präparates gegeben. Die Leitfähigkeit von Paraffin ist also etwa 50 mal, diejenige von Glimmer sogar über 200 mal geringer als von Luft.

#### Fehlerquellen.

6. In Anbetracht der äußerst geringen Ströme, die bei den obigen Messungen zu beobachten waren, mußte der Gedanke nahe liegen, ob deren Existenz nicht eine reine Folge von kleinen Fehlerquellen wäre oder ob nicht wenigstens eine wesentliche Beeinflussung hierdurch in Betracht käme. Es mußte deshalb der Ermittlung solcher möglicher Fehlerquellen weitestgehende Beachtung zugewiesen werden. Zunächst war die Frage aufzuwerfen, ob nicht etwa eine störende Wirkung der in der Umgebung der Apparateile befindlichen leitend gewordenen Luft auf die Zuleitungen zu konstatieren wäre. Dies schien schon von vorneherein verneint werden zu müssen, weil sich erstlich das Präparat in allen Fällen in einer engen Bleikammer von überall 0,9 cm Wandstärke befand und weil außerdem die Apparateile in dichten geerdeten Metallhüllen lagen. Ein Übertragen der Elektrizität von einem außerhalb befindlichen geladenen Körper durch die leitende Luft auf die Zuleitungen war danach ausgeschlossen. Daß äußere elektrische Kräfte vollständig abgeschirmt waren, bewies der mehr-



mals wiederholte Versuch, nach dem die Entladungen einer ganz in der Nähe befindlichen Kathodenröhre ebenso wie die eines Induktoriums keinerlei Einfluß auf das Elektrometer zeigten. Ebenso mußte der eventuell noch die Messingplatte des Kondensators durchdringende Teil der Strahlung unschädlich gemacht sein dadurch, daß er auf eine dicke geerdete Bleiplatte traf, ehe er in den Bereich der Zuleitungsdrähte kam. Wenn sonach diese Fehlerquelle eliminiert zu sein schien, so wurden doch vielfach direkte Versuche hierüber angestellt, von denen einige angegeben seien. Es ist einleuchtend, daß eine störende Wirkung, wenn sie vorhanden war, sich noch intensiver oder zum mindesten in gleicher Weise hätte bemerkbar machen müssen, wenn das Präparat aus seiner Kammer herausgebracht und auf den Bleideckel gelegt wird, also direkt neben den Zuleitungen intensiv auf die umgebende Luft wirken kann.

Einige Zahlenbeispiele sollen die Erscheinung, die in diesem Fall auftritt, beleuchten:

Tabelle VIII.

Paraffin 0,13 cm. + 64 Volt.

Skalenausschlag pro 3 Min.				
Ohne Präparat	Mit Präparat	Ohne Präparat	Präparat auf Bleideckel	Ohne Präparat
cm	cm	cm	cm	cm
0,41	0,78	0,43	0,43	0,44
0,43	0,80	0,43	0,43	0,43
0,42	0,79	0,41	0,39	0,40
0,43	0,79	0,38	0,30	0,41
Mittel 0,422	0,790	0,412	0,413	0,420

Es fehlt also jeder störende Einfluß; die Tatsache wurde wiederholt bei allen benutzten Kondensatoren konstatiert.

Wenn demnach wohl der beobachtete Ausschlag sicher nicht zu groß war, weil keine fremde Ladung zuströmen konnte, so war doch ein Elektrizitätsverlust durch rasche Abgabe an die umgebende leitende Luft nicht ausgeschlossen. Es wurde deshalb die Isolation sämtlicher stromführenden Teile ohne

und mit Präparat wiederholt dadurch gemessen, daß der Kondensator nebst allen Leitungen, die Ladung aufzunehmen hatten, mit Hilfe eines Daniellelementes auf ein kleines Potential geladen und die allmählichen Verluste durch Isolationsmängel und eventuelle Abgabe an leitend gewordene Luft festgestellt wurden. Die Abhängigkeit des Potentialabfalles für die etwa  $1,2 \cdot 10^{-10}$  Farad betragende Kapazität von der Zeit gibt die beistehende Kurve (Fig. 5) an.

Man könnte leicht versucht sein, aus derselben zu entnehmen, daß die Isolation wenigstens bis zu etwa 0,5 Volt auch ohne Präparat keine sehr befriedigende gewesen wäre.

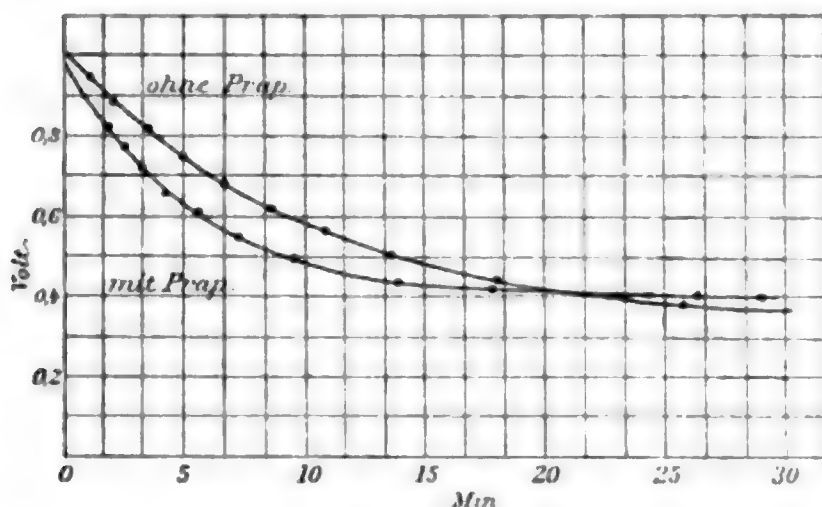


Fig. 5.

Es ist dies indes nur scheinbar der Fall, wenn berücksichtigt wird, daß das Daniellelement nur eine Sekunde lang angeschaltet war, so daß ein Teil der eingeführten Elektrizitätsmenge durch Eindringen in die benutzten Isolatoren verloren ging. Die Isolation mit eingeführtem Präparat ist nur bei Spannungen über 0,5 Volt gegen diejenige ohne Präparat schlechter; unterhalb 0,4 Volt aber ist sie in beiden Fällen vollkommen, indem von da ab kaum ein Abfall mit der Zeit mehr konstatierbar ist. Da es bei meinen Beobachtungen immer nur Spannungen von hundertstel Volt waren, die direkt gemessen wurden, so mußte demnach die Existenz eines Isolationsfehlers verneint werden.

7. Nach den direkten Untersuchungen von P. und S. Curie <sup>1)</sup> führen die Radiumstrahlen negative Ladungen mit sich, und

1) P. u. S. Curie, Compt. rend. 130. p. 647. 1900.

zwar wird der von ihnen erhaltene Strom vom Präparat durch Paraffin hindurch nach einer Metallplatte zu etwa  $10^{-10}$  Amp. angegeben. Vergleicht man damit die von mir erhaltenen Zahlen für die Leitfähigkeit, so fällt deren Kleinheit jenen gegenüber auf; besonders scheint die Vermutung berechtigt, daß die von mir der Leitfähigkeit zugeschriebenen Ströme wohl wesentlich von diesem Strom negativer Quanten beeinflußt sein müßten. Es wurde deshalb die Spannung abgeschaltet, und das Aluminiumblech nebst der Bleikammer mit der Erde verbunden. In diesem Fall konnte nun niemals ein merklicher Elektrizitätsübergang vom Präparat zur Messingplatte konstatiert werden. Wenn hiermit zwar nachgewiesen ist, daß der im früheren beobachtete Strom lediglich auf Leitfähigkeit zurückzuführen ist, so bedurfte doch das negative Ergebnis den bekannten Tatsachen gegenüber der näheren Untersuchung. Ich stellte mir deshalb eine der alten ähnliche Bleikammer her, die aber eine Bodenfläche von etwa 8 qcm freiließe. Darüber wurde wieder eine 0,02 cm dicke Aluminiumscheibe gekittet und etwa 600 mg des Radiumpräparats darauf ausgebreitet. Die strahlende Fläche war sonach etwa um das Siebenfache vermehrt; sie war von der Messingscheibe durch eine 0,1 cm dicke Paraffinschicht getrennt. Wurde jetzt wieder das Aluminiumblech geerdet, so stellte sich ein schwacher Strom negativer Elektrizität durch das Paraffin hindurch nach der Messingscheibe ein. Für 3 Min. jeweiliger Stromdauer betrug derselbe nach Anbringung der Korrektur durch Strahlungsverluste:

Tabelle IX.

Skalenteile	Volt
cm	Volt
0,12	0,00792
0,14	0,00924
0,16	0,01056
0,15	0,00990
0,14	0,00924
0,14	0,00924
0,17	0,01122
0,12	0,00792
0,14	0,00937

Daraus resultiert eine Stromstärke von  $6,24 \cdot 10^{-15}$  Amp., also etwa von der Größe, wie sie bei kleinen Spannungen durch Leitung früher erhalten wurde.

Einen ähnlichen Strom positiver Elektrizität erhielt ich, wenn die Messingscheibe geerdet und das Aluminiumblech mit dem Elektrometer verbunden wurde; eine genaue quantitative Messung war indes hierbei nicht möglich wegen des großen Verlustes durch Abgabe an die leitende Luft.

Es ist hiermit eine Übereinstimmung meiner Messungsergebnisse mit Bezug auf die Existenz einer negativen Strömung mit denen anderer Beobachter nachgewiesen. Bei den früheren Versuchen betrug die benutzte Substanz nur den vierten Teil des obigen, die strahlende Fläche war etwa  $\frac{1}{7}$ , und die Strahlen hatten außer der Aluminiumscheibe noch ein dünnes Glasblättchen zu durchlaufen. Daraus läßt sich wohl schließen, daß der in diesem Fall vorhandene Strom negativer Quanten kleiner sein mußte als  $10^{-16}$  Amp. und sonach der Beobachtung entging.

8. Die Beobachtungen zeigen, daß die Leitfähigkeit den Isolatoren von den schwer absorbierbaren, also den schnellen Kathodenstrahlen erteilt wird, weil die Wirkung deutlich war, obwohl eine dünne Glas- und eine Aluminiumschicht zwischen dem Präparat und dem Isolator lagen. Wird aber noch eine zweite 0,02 cm dicke Aluminiumscheibe eingeschaltet, so geht die Wirkung erheblich zurück. Eine Bleischicht von 0,1 cm Dicke hält fast die gesamte Wirkung zurück. Es war dies in einfacher Weise dadurch zu konstatieren, daß ich das Präparat einmal auf die Glas- und einmal auf die Bleiseite des Büchchens legte. Mit dem 0,58 cm dicken Paraffinkondensator und positiver Spannung wurde z. B. für die Leitung gefunden:

Tabelle X.

Skalenausschlag.

Ohne Präparat	Präparat Glasseite	Präparat Bleiseite	Präparat Glasseite	Ohne Präparat
cm	cm	cm	cm	cm
0,35	0,60	0,39	0,49	0,35
0,31	0,60	0,38	0,52	0,36
0,34	0,59	0,40	0,55	0,34
Mittel 0,33	0,59	0,39	0,52	0,35

Ebenso ist z. B. für den 0,18 cm dicken Paraffinkondensator bei negativer Spannung:

Tabelle XI.  
Skalenausschlag.

Präparat Glasseite	Präparat Bleiseite	Ohne Präparat
cm	cm	cm
0,35	0,15	0,08
0,38	0,14	0,00
0,36	0,10	0,01
0,35	0,15	0,01
Mittel 0,36	0,13	0,01

9. Die Beobachtungen zeigen sonach die Existenz eines unter dem Einfluß der ablenkbaren Radiumstrahlen in festen Isolatoren auftretenden Leitungsstromes, der zwar bedeutend geringer ist als für Gase, aber doch im wesentlichen ähnlichen Gesetzen gehorcht. Seine Größe ist innerhalb des Bereiches der benutzten Spannungen diesen (annähernd) proportional. Die Leitung tritt bei positiver sowohl wie bei negativer Spannung in derselben Größe auf. Zu einer Erklärung der Erscheinung muß wohl angenommen werden, daß die vom Präparat ausgeschleuderten Teilchen negativer Elektrizität oder Quanten auf ihrem Wege durch den Isolator wieder selbst positive und negative Kerne<sup>1)</sup> erzeugen, die selbst stärkere Ladungen mit sich führen als die sie erzeugenden Quanten, weil die Leitungsströme gegenüber dem Strom negativer Elektrizität, wie er bei geerdeter Aluminiumscheibe auftritt, erheblich größer sind. Es ist dieser Vorgang den Erscheinungen, wie sie Kathodenstrahlen in einem Gase bieten, analog, wie aus den Untersuchungen von Lenard<sup>2)</sup> hervorgeht. Während nämlich die von den Kathodenstrahlen mitgeführte Ladung ziemlich beträchtlich ist, so kann sie doch niemals in Luft auf einer Metallplatte angesammelt werden, vielmehr verliert eine solche, wenn sie auf einige hundert Volt positiv oder negativ geladen ist, in der Nähe des Aluminiumfensters fast sofort ihre Ladung an die leitend gewordene Luft. Mit der

1) P. Drude, Ann. d. Phys. 1. p. 572. 1900.

2) P. Lenard, Wied. Ann. 51. p. 240. 1894; 63. p. 253. 1897; 64. p. 279. 1898.



obigen Annahme kann dann der Leitungsvorgang in derselben Weise für Isolatoren gedacht werden, wie ihn Drude in der zitierten Arbeit für Metalle erklärt hat. Es wäre wohl hinzuzufügen, daß die gebildeten Kerne wohl nur sehr langsam den elektrischen Kräften zu folgen vermögen. Daraus würde sich die allmähliche Zunahme der Leitfähigkeit mit der Dauer der Bestrahlung bis zu einem Maximalwert erklären. Die gefundene Nachwirkung ist auch bei Gasen bekannt, bei denen nur die Dauer stark abgekürzt ist.

Kiel, im Mai 1903.

(Eingegangen 16. Mai 1903.)

---

*Nachschrift bei der Korrektur* (16. Juni 1903). — Nachdem das Vorstehende dem Druck übergeben war, hat Becquerel einige Beobachtungen über die Leitfähigkeit des festen Paraffins in *Compt. rend.* **136.** p. 1173. 1903 veröffentlicht. Er beschränkt sich auf die Feststellung der schon von mir mitgeteilten Tatsache der rückständigen Leitfähigkeit nach Entfernen des Präparates.

---

## 7. Zur Theorie der Zustandsgleichung; von C. Dieterici.

Die hier wiedergegebenen Überlegungen zur Theorie der Zustandsgleichung sind für die Fragestellung und Durchführung der sofort nachfolgenden experimentellen Untersuchung bestimmend gewesen.

1. Aus den Beobachtungen über die Isothermen verschiedener Stoffe, wie sie in den letzten Jahren insbesondere von Amagat und S. Young ausgeführt sind, gehen zwei Tatsachen, welche sich auf das Verhalten der Substanzen im kritischen Zustand beziehen, deutlich hervor. Die Tatsache I ist von S. Young stets hervorgehoben und auch schon mehrfach diskutiert; sie ist in der Gleichung

$$(I) \quad \frac{R \vartheta_{\kappa}}{p_{\kappa} v_{\kappa}} = 3,7$$

ausgesprochen und besagt: bei allen „normalen“ Substanzen ist das „ideale“ kritische Volumen  $v_0 = R \vartheta_{\kappa} / p_{\kappa}$  — d. i. dasjenige Volumen, welches nach den idealen Gasgesetzen eintreten müßte — 3,7 mal so groß, als das beobachtete  $v_{\kappa}$ .

Oder wie man diese Beobachtung auch aussprechen kann: der beim kritischen Volumen tatsächlich beobachtete Druck ist 3,7 mal so klein, als derjenige, welcher nach den idealen Gasgesetzen eintreten müßte.

Dieser letzten Aussprache reiht sich sofort die Tatsache II an, welche bisher nicht beachtet ist.<sup>1)</sup> Sie lautet „der Spannungskoeffizient  $(\partial p / \partial \vartheta)_{v=c}$  ist beim kritischen Volumen fast genau doppelt so groß, als er nach den idealen Gesetzen sein müßte“, oder in Zeichen

$$(II) \quad \left( \frac{\partial p}{\partial \vartheta} \right)_{v=v_{\kappa}} = \frac{R}{1/2 v_{\kappa}}.$$

Da diese Tatsache II, wie bemerkt, bisher nicht beachtet ist, muß ich sie zunächst an der Hand der Beobachtungen be-

1) Vgl. C. Dieterici, Ann. d. Phys. 5. p. 61. 1901.

weisen und führe den Beweis so, daß mit den beobachteten Spannungskoeffizienten der Ausdruck  $\frac{R}{\left(\frac{\partial p}{\partial \vartheta}\right)}$  berechnet und

mit dem tatsächlich beobachteten Volumen  $v_{\kappa}$  verglichen wird. Dabei sind alle Angaben auf 1 g Substanz umgerechnet, die Gaskonstante

$$R = \frac{84500 \text{ g cm}}{M \text{ } ^{\circ}\text{C.}}$$

gesetzt, worin  $M$  das Molekulargewicht bezogen auf  $O = 16$  bedeutet. Der Spannungskoeffizient  $(\partial p / \partial \vartheta)_v$  ist für  $v = v_{\kappa}$  und  $\vartheta = \vartheta_{\kappa}$  nur in wenigen Fällen angegeben. Für Normalpentan<sup>1)</sup> und Isopentan<sup>2)</sup> in den Tabellen von S. Young; für Kohlensäure<sup>3)</sup> ist er von Amagat für zwei Volumina angegeben, welche dem kritischen sehr nahe liegen und es umschließen, so daß man mit Sicherheit interpolieren kann. Die Daten sind in der folgenden Tabelle angegeben und damit nach (II)  $\frac{R}{\left(\frac{\partial p}{\partial \vartheta}\right)_{\kappa}}$  berechnet.

Tabelle I.

	$M$	$\vartheta_{\kappa}$	$p_{\kappa}$	$v_{\kappa}$	$\left(\frac{\partial p}{\partial \vartheta}\right)_{\kappa}$	$\frac{R}{\left(\frac{\partial p}{\partial \vartheta}\right)_{\kappa}}$	Beobachter
Normalpentan	72,12	470,2	25100 mm Hg	4,303 cm <sup>3</sup>	407,3 mm Hg	2,12 cm <sup>3</sup>	S. Young
Isopentan	72,12	460,8	25005 „	4,266 „	401 „	2,15 „	„
Kohlensäure	44	304,35	72,9 Atm.	2,155 „	1,73 Atm.	1,072 „	Amagat

Bei diesen drei Stoffen ist also auf etwa 1 Proz. genau

$$\frac{R}{\left(\frac{\partial p}{\partial \vartheta}\right)_{v=v_{\kappa}}} = \frac{1}{2} v_{\kappa}.$$

Bei den meisten Stoffen fehlen direkte Beobachtungen des Spannungskoeffizienten  $(\partial p / \partial \vartheta)_{v=v_{\kappa}}$ ; dagegen liegen die Beobachtungen der Sättigungsspannungen bis zur kritischen Temperatur hin vor. Nach einem Satz, den van der Waals

1) S. Young, Phil. Mag. (5) 47. p. 360. 1898.

2) S. Young, Zeitschr. f. phys. Chem. 29. p. 193—240. 1899.

3) E. H. Amagat, Compt. rend. 114. p. 1093—1322. 1892; Physik. Revue 1. p. 22—28. 1892.

schon vor Jahren ausgesprochen<sup>1)</sup> hat, auf den ich selbst<sup>2)</sup> durch eine andere Betrachtung gekommen bin, muß bei jeder Temperatur der Mittelwert der Spannungskoeffizienten genommen zwischen den beiden Sättigungsvolumen gleich der Zunahme  $\partial p_s / \partial \vartheta$  der Sättigungsspannung sein. Daraus folgt unmittelbar, daß im kritischen Zustand

$$\left( \frac{\partial p_s}{\partial \vartheta} \right)_{\vartheta = \vartheta_k} = \left( \frac{\partial p}{\partial \vartheta} \right)_{v = v_k}$$

sein muß.

Man kann also den Spannungskoeffizienten im kritischen Punkt durch die Zunahme der Sättigungsspannung ersetzen; damit entsteht die folgende Tabelle, in die auch zum Vergleich die schon soeben berechneten Stoffe aufgenommen sind, berechnet mit der Zunahme der Sättigungsspannung.

Tabelle II.

	<i>M</i>	$\vartheta_k$	<i>p<sub>k</sub></i>	<i>v<sub>k</sub></i>	$\left( \frac{\partial p_s}{\partial \vartheta} \right)_{\vartheta = \vartheta_k}$	$\frac{R}{\left( \frac{d p_s}{d \vartheta} \right)_{\vartheta_k}}$	Beobachter
Normalpentan	72,12	470,2	25100 mm Hg	4,303 ccm	370 mm Hg	2,33 ccm	S. Young
Isopentan	72,12	460,8	25005 „	4,266 „	380 „	2,269 „	„
Kohlensäure	44	304,35	72,9 Atm.	2,155 „	1,71 Atm.	1,087 „	Amagat
Schweiflige Säure	64,06	429,0	78,9 „	1,923 „	1,28 „	0,998 „	Cailleteau
Benzol	78,06	561,5	36395 mm Hg	3,291 „	450 mm Hg	1,769 „	S. Young
Normalheptan	100,16	539,9	20415 „	4,266 „	290 „	2,140 „	„
Normaloktan	114,18	569,2	18730 „	4,297 „	260 „	2,094 „	„
Diisopropyl	86,14	500,4	23345 „	4,148 „	340 „	2,122 „	„
Diisobutyl	114,18	549,8	18650 „	4,227 „	265 „	2,054 „	„
Äther	74,1	467,4	27060 „	3,81 „	480 „	1,75 „	„
Hexamethylen	84,06	453	30252 „	3,659 „	390 „	1,898 „	„

Die Sicherheit der in vorstehender Tabelle enthaltenen Rechnung ist keine sehr große aus dem einfachen Grunde, weil man die Zunahme der Sättigungsspannung nur durch Differenzbildung der Drucke selbst gewinnen kann und naturgemäß nur unterhalb der kritischen Temperatur, so daß eine — wenn auch kleine — Extrapolation auf diese selbst vorgenommen werden muß. Da beide Umstände Unsicherheit

1) Vgl. hierzu Kesom, Koninkl. Akad. v. Wet. Amsterdam p. 298. 1902; Communication from the Laboratory, Leyden Nr. 75. 1902.

2) C. Dieterici, Ann. d. Phys. 6. p. 867. 1901.

der Werte für die Zunahme der Sättigungsspannung bedingen, sind diese nur in runden Zahlen angegeben. Der Satz II trifft mit einer Sicherheit von weniger als 5 Proz. zu bei Kohlensäure, schwefliger Säure, Heptan, Oktan, Diisopropyl, Butyl. Abweichungen von mehr als 5 Proz. bis höchstens 10 Proz. zeigen Normalpentan, Isopentan, Benzol, Äther und Hexamethylen. Die ersten beiden dieser Stoffe ergaben nach Tab. I völlige Übereinstimmung, so daß vermutlich bei ihnen entweder die Zunahmen der Sättigungsspannungen zu niedrig oder das kritische Volumen zu klein angegeben ist. Merkwürdige Unregelmäßigkeiten zeigen auch die Sättigungsspannungen von Äther nach den Beobachtungen von Ramsay und Young. Die Abweichungen verraten keine Regelmäßigkeit, so daß man fast vermuten darf, daß sie durch Beobachtungsunsicherheit bedingt sind. Es kommt aber auch zunächst nicht darauf an, die Tatsache II als eine absolut streng zutreffende anzuerkennen, sondern nur als eine solche, die auf wenige Prozente genau ist.

2. Von den bisher vorliegenden Formen der Zustandsgleichung vermag keine die beiden Erfahrungstatsachen I und II zugleich erfüllen.

Alle Formen der Zustandsgleichung kommen auf die ihr von van der Waals gegebene allgemeine Gleichung

$$(1) \quad p + \pi = \frac{R \vartheta}{v - b}$$

zurück, worin  $b$  die van der Waalssche Volumenkorrektur und  $\pi$  der Waalssche Kohäsionsdruck ist.

Will man dann aus den Isothermenbedingungen des kritischen Zustandes

$$\left(\frac{\partial p}{\partial v}\right)_\kappa = 0 \quad \text{und} \quad \left(\frac{\partial^2 p}{\partial v^2}\right)_\kappa = 0$$

die Konstanten der Gleichung 1 bestimmen, so bedarf man einer speziellen Annahme über den Kohäsionsdruck II. Die erste Annahme von van der Waals

$$\pi = \frac{a}{v^2}$$

führt auf die bekannten Beziehungen

$$b = \frac{1}{3} v_\kappa, \quad p_\kappa = \frac{a}{27 b^2}, \quad \vartheta_\kappa = \frac{8 a}{27 R b}$$

und damit auf

$$\frac{R \vartheta_\kappa}{p_\kappa v_\kappa} = 2,67.$$



Demnach ist die Erfahrung I nicht erfüllt, ebensowenig Erfahrung II, denn sofern man nur  $\pi$  in der allgemeinen Gleichung (1) als unabhängig von  $\vartheta$  ansieht, verlangt die Erfahrung II  $b = \frac{1}{3} v_{\kappa}$  und nicht  $b = \frac{1}{3} v_{\kappa}$ , wie es die Isothermenbedingung ergibt.

Wie schon früher nachgewiesen<sup>1)</sup>, nützt es nicht viel, die als Volumenfunktion in der durch die theoretischen Überlegungen von H. A. Lorentz, Jäger, Boltzmann nahegelegten Form anzunehmen; man kann im günstigsten Falle  $R \vartheta_{\kappa} / p_{\kappa} v_{\kappa} = 3$  erreichen, aber nicht 3,7.

Fragt man, ob überhaupt unter einer Annahme für den Kohäsionsdruck  $\pi$  in der Form

$$\pi = \frac{a}{v^n}$$

die Tatsachen I und II erfüllbar sind, so ergeben die Isothermenbedingungen für  $n = \frac{5}{3}$  zwar  $R \vartheta_{\kappa} / p_{\kappa} v_{\kappa} = 3,75$ , also eine befriedigende Übereinstimmung mit Tatsache I, aber auch  $b = \frac{1}{4} v_{\kappa}$  im Widerspruch mit Tatsache II. Umgekehrt führt die Annahme  $n = 3$  zwar auf  $b = \frac{1}{2} v_{\kappa}$ , erfüllt also Tatsache II, verlangt aber auch  $R \vartheta_{\kappa} / p_{\kappa} v_{\kappa} = 1,5$  im Widerspruch mit Erfahrung I.

Demnach kann man mit einer Annahme  $\pi = a/v^n$  nie beide Erfahrungen zugleich erfüllen.

van der Waals hat später dem Kohäsionsdruck  $\pi$  die Form

$$\pi = \frac{a}{v^2} \cdot e^{\frac{\vartheta_{\kappa} - \vartheta}{\vartheta_{\kappa}}}$$

gegeben, ihn also als Temperatur und Volumenfunktion dargestellt. Mit dieser Annahme führen die kritischen Isothermenbedingungen auf

$$b = \frac{1}{3} v_{\kappa}, \quad a = 27 b^2 \cdot p_{\kappa}, \quad \frac{R \vartheta_{\kappa}}{p_{\kappa} v_{\kappa}} = 2,67,$$

also auf denselben der Erfahrung I widersprechenden Wert, wie die ursprüngliche Annahme. Der Spannungskoeffizient

1) C. Dieterici, Wied. Ann. 69. p. 695. 1899.

im kritischen Punkt wird unter Benutzung der angegebenen Werte von  $a$  und  $b$

$$\left(\frac{\partial p}{\partial v}\right)_{v=v_{\kappa}} = \frac{R}{1/2,15 v_{\kappa}},$$

also auch im Widerspruch mit der Erfahrung II.

3. Ich selbst habe bei Berechnung der Isothermen den Ausdruck:

$$p = \frac{R \vartheta}{v - b} e^{-\frac{C_{\vartheta}}{v}}$$

gebildet<sup>1)</sup>, worin  $b$  dieselbe Konstante wie bei van der Waals ist,  $C_{\vartheta}$  eine unbekannte, durch empirische Berechnung zu bestimmende Temperaturfunktion ist. Der Kohäsionsdruck  $\pi$  ist dann durch die allgemeine Gleichung (1) bestimmt. Der gebildete Ausdruck hat dieselben charakteristischen Merkmale, wie der Waalsche, nämlich die der „Kontinuität“. Die kritischen Bedingungen

$$\left(\frac{\partial p}{\partial v}\right)_{\kappa} = 0 \quad \text{und} \quad \left(\frac{\partial^2 p}{\partial v^2}\right)_{\kappa} = 0$$

führen unter der Annahme  $b = \text{konst.}$  auf

$$b = 1/2 v_{\kappa}, \quad C_{\vartheta_{\kappa}} = 2 v_{\kappa}$$

und damit auf

$$\frac{R \vartheta_{\kappa}}{p_{\kappa} v_{\kappa}} = 3,695$$

in Übereinstimmung mit Erfahrung I.

Daß dieser Ausdruck in der Tat zur Berechnung der Isothermen bis zu Dichten, welche noch über die kritische hinausgehen, geeignet, ist früher nachgewiesen. Bei größeren Dichten treten dann Abweichungen auf, welche auf eine Veränderung der Größe  $b$  mit dem Volumen hinweisen. In der Tat muß  $b$ , wie es auch die theoretischen Überlegungen ergeben, bei größeren Dichten kleiner werden, denn sonst würde ein Volumen kleiner als  $1/2 v_{\kappa}$  nicht vorkommen können.

Unüberwindlichen Schwierigkeiten begegnet aber auch dieser Ausdruck ebenso wie der Waalssche, wenn man an ihn dieselbe Forderung stellt, daß er auch den Spannungskoeffizienten im kritischen Zustand im Einklang mit Er-

1) C. Dieterici, Ann. d. Phys. 5. p. 51—88. 1901.

fahrung II geben soll. Oder mit anderen Worten: wie ist die unbekannte Temperaturfunktion  $C_\phi$  zu wählen, damit auch der Erfahrung II genügt wird.

Es ist nicht möglich, diese Frage eindeutig zu lösen, denn aus

$$p = \frac{R \vartheta}{v - b} e^{-\frac{C_\phi}{v}}$$

folgt

$$\left(\frac{\partial p}{\partial \vartheta}\right)_v = \frac{p}{\vartheta} - \frac{p}{v} \cdot \left(\frac{\partial C_\phi}{\partial \vartheta}\right)$$

oder

$$\left[\vartheta \cdot \frac{\partial p}{\partial \vartheta} - p\right] = -\frac{p}{v} \cdot \vartheta \cdot \left(\frac{\partial C_\phi}{\partial \vartheta}\right).$$

Damit die Funktion  $C_\phi$  den Erfahrungen I und II genügt, müßte sie so gebildet sein, daß

$$\left(\frac{\partial C_\phi}{\partial \vartheta}\right)_\kappa = -6,4 \frac{v_\kappa}{\vartheta_\kappa}$$

ist.

Durch diese eine für  $\vartheta = \vartheta_\kappa$ ,  $v = v_\kappa$  geltende Aussage ist aber die unbekannte Funktion nicht in ihrem ganzen Verlaufe bestimmt und weitere Berechnungen an der Hand der vorliegenden Druckbeobachtungen haben mir die Unmöglichkeit gezeigt, sie zu berechnen, weil, wie sich sofort zeigen wird<sup>1)</sup>, hierzu die Druckbeobachtungen nicht ausreichen.

Der von mir gebildete Ausdruck für den durch die Kohäsion verminderten äußeren Druck  $p$  stößt also auf genau dieselbe Schwierigkeit, wie die Waalsschen Hypothesen für den Kohäsionsdruck. Der tiefere Grund für diese liegt darin, daß, da man gezwungen ist, die klare rein mechanische Auffassung von van der Waals über den Kohäsionsdruck zu verlassen, ihn vielmehr als Temperaturfunktion auffassen muß, man jede durch Anschauung vermittelte Führung für die richtige Hypothesenbildung verliert. Auch die theoretischen Überlegungen von Sutherland, Reinganum<sup>2)</sup> u. a., welche diese Lücke auszufüllen streben, können immerhin nur für geringe Dichten eine Anleitung geben.

1) Vgl. Abschnitt 4 dieser Arbeit.

2) M. Reinganum, Inaug.-Diss. Göttingen 1899.

4. Bei dieser Sachlage scheint es mir richtig, die Frage so zu stellen: Welche neuen Beobachtungen können beigebracht werden, die geeignet sind, zur richtigen Erkennung des Kohäsionsdruckes zu führen?

Zu ihnen gelangt man, wenn man die allgemeine Gleichung (1)

$$(1) \quad p + \pi = \frac{R \vartheta}{v - b}$$

nach  $\vartheta$  differentiiert und mit  $\vartheta$  multipliziert, so gewinnt man

$$\left[ \vartheta \cdot \left( \frac{\partial p}{\partial \vartheta} \right)_v - p \right] = \pi - \vartheta \cdot \left( \frac{\partial \pi}{\partial \vartheta} \right)_v.$$

Der links stehende Ausdruck ist aber aus der mechanischen Wärmetheorie bekannt, denn betrachtet man die Energie  $U$  einer Substanz als Funktion von  $\vartheta$  und  $v$ , so ist, wie bekannt, für jede isotherme reversible Änderung:

$$(2) \quad \left( \frac{\partial U}{\partial v} \right)_\vartheta = \vartheta \cdot \left( \frac{\partial p}{\partial \vartheta} \right)_v - p = \pi - \vartheta \cdot \left( \frac{\partial \pi}{\partial \vartheta} \right)_v,$$

und damit ist ausgesprochen, daß die Frage nach der Bildung eines Ausdruckes für den Kohäsionsdruck  $\pi$  mit dem aus der Thermodynamik bekannten Problem der Bildung der Energiefunktion einer Substanz zusammenfällt.

Hr. Reinganum<sup>1)</sup> hat die Vermutung ausgesprochen, daß die Berechnung der Energieänderung mit dem Volumen bei konstanter Temperatur oder der „Ausdehnungswärme“, wie er sie nennt, vielleicht noch im stande ist, das Problem der Zustandsgleichung zu fördern, und in der Tat kann man wohl erwarten, daß diese Energieänderung besonders einfachen Gesetzmäßigkeiten unterliegt. Indessen kann man sich bald überzeugen, daß mit dem bisher vorliegenden Beobachtungsmaterial die Frage nicht gelöst werden kann. Die nötige Berechnung ist schon mit negativem Erfolge von S. Young und R. Innes<sup>2)</sup> getan. Denn Hr. S. Young findet, daß in jeder Isochore oder Isopykne nach der neueren allgemein vorgeschlagenen Bezeichnung der Druck proportional der Temperatur sich ändere; also

$$v = c, \quad p = \beta \vartheta - \alpha$$

sei, wo  $\alpha$  und  $\beta$  nur Volumenfunktionen sind.

1) l. c.

2) S. Young u. R. Innes, Zeitschr. f. phys. Chem. 29. p. 237. 1899.

Daraus würde folgen:

$$\left(\frac{\partial U}{\partial v}\right)_{\vartheta=c} = \vartheta \cdot \left(\frac{\partial p}{\partial \vartheta}\right)_v - p = \pi - \vartheta \cdot \left(\frac{\partial \pi}{\partial \vartheta}\right)_v = \alpha.$$

Wenn die Energieänderung mit dem Volumen bei konstanter Temperatur wirklich die gleiche wäre für jede Temperatur und nur vom Volumen abhinge, so müßten sich die von S. Young gefundenen empirischen Konstanten  $\alpha$  als Volumenfunktionen darstellen lassen. Das gelingt aber nicht, so daß nichts übrig bleibt, als die empirischen Konstanten  $\alpha$  und  $\beta$  für jedes Volumen in tabellarischer Übersicht zusammenzustellen. Zudem hebt sowohl S. Young wie auch Amagat hervor, daß die Darstellung, daß in jeder Isopykne  $p = \beta \vartheta - \alpha$  sei, nur eine empirische Annäherung ist, daß deutliche Anzeichen darauf hindeuten, daß  $\alpha$  und  $\beta$  nicht völlig unabhängig von der Temperatur sind, es aber unmöglich ist, sie genauer aus den Druckbeobachtungen zu erschließen. Deshalb ist es auch unmöglich, die Abhängigkeit des Waalsschen Kohäsionsdruckes  $\pi$  von Temperatur und Volumen zu ermitteln.<sup>1)</sup>

Differentiiert man die Gleichung (2) noch einmal nach  $\vartheta$ , so erhält man unter Hinzuziehung der Definition der spezifischen Wärme  $c_v$  einer Substanz durch

$$c_v = \left(\frac{\partial U}{\partial \vartheta}\right)_v,$$

die teilweise aus der Thermodynamik bekannte Gleichung

$$(3) \quad \frac{\partial}{\partial \vartheta} \left(\frac{\partial U}{\partial v}\right)_{\vartheta} = \frac{\partial c_v}{\partial v} = \vartheta \left(\frac{\partial^2 p}{\partial \vartheta^2}\right)_v = - \vartheta \cdot \left(\frac{\partial^2 \pi}{\partial \vartheta^2}\right)_v.$$

Wenn die empirische Darstellung von S. Young streng wäre, daß für  $v=c$   $p = \beta \vartheta - \alpha$  ist, so würde  $(\partial^2 p / \partial \vartheta^2)_v = 0$  und damit  $c_v = \text{konst.}$  unabhängig vom Volumen und damit eine Forderung der kinetischen Gastheorie erfüllt sein. Indessen muß man begründete Zweifel dagegen hegen, die für „Gase“ gültige Anschauung der kinetischen Gastheorie auch auf die zu Flüssigkeiten verdichteten Gase auszudehnen, also anzunehmen, daß z. B.  $c_v$  für flüssiges Wasser denselben Wert haben soll, wie für gesättigten oder ungesättigten Wasserdampf gleicher Temperatur.

1) Vgl. p. 150 dieser Arbeit.



Amagat bemerkt in einer seiner Arbeiten, daß es wohl kaum je möglich sein wird, die Druckbeobachtungen so genau zu gestalten, daß man auch den zweiten Differentialquotienten mit Sicherheit aus ihnen erschließen und damit die Frage beantworten kann, ob  $c_v$  konstant ist oder nicht. Aus den sehr genauen Beobachtungen von S. Young an Isopentan kann man herauslesen, daß für  $v > v_*$  die Werte für  $(\partial p / \partial \vartheta)_v$  im allgemeinen die Tendenz haben, mit steigender Temperatur abzunehmen, also  $\partial^2 p / \partial \vartheta^2$  ist negativ,  $c_v$  nimmt also mit dem Volumen ab.

Bei  $v$  nahe gleich  $v_*$  ist  $(\partial p / \partial \vartheta)_v$  fast exakt konstant, also  $\partial^2 p / \partial \vartheta^2 = 0$   $c_v$  konstant.

Bei den Flüssigkeitsdichten  $v < v_*$  nimmt  $(\partial p / \partial \vartheta)_v$  mit steigender Temperatur im allgemeinen etwas zu,  $\partial^2 p / \partial \vartheta^2$  also positiv  $c_v$  wächst also mit dem Volumen.

Es sind also Andeutungen dafür da, daß die spezifische Wärme  $c_v$  einer Substanz bei kleinem Flüssigkeitsvolumen einen kleinen Wert hat, daß sie mit wachsendem Volumen zunimmt, beim oder in der Nähe des kritischen Volumens einen maximalen Wert hat, und bei den größeren Dampf-volumen wieder abnimmt.

Da es unmöglich, aus den Druckbeobachtungen mehr als Andeutungen herauszulesen, so tritt die Frage auf, ob es nicht möglich ist, durch direkte kalorimetrische Untersuchung der spezifischen Wärmen ihre Größe und ihre Abhängigkeit vom Volumen zu ermitteln. Gelingt dies, so hat man offenbar den Vorteil, daß man nach Gleichung (3) aus dem ersten Differentialquotienten der spezifischen Wärme eine Aussage über den zweiten Differentialquotienten des äußeren Druckes und ebenso des Waalsschen Kohäsionsdruckes gewinnt, und kann hoffen, auf diesem Wege zur richtigen Fassung für diesen Druck geführt zu werden.

Das ist die Frage, welche zur folgenden Arbeit geführt hat. Es ist zunächst Aufgabe der experimentellen Forschung, ausschlaggebende neue Beobachtungen anzustellen.

Hannover, Kgl. Techn. Hochschule, Mai 1903.

(Eingegangen 11. Mai 1903.)

J

## 8. *Die spezifischen Wärmen der Kohlensäure und des Isopentans; von C. Dieterici.*

1. Wenn es sich darum handelt, die spezifischen Wärmen von Substanzen in allen möglichen Zuständen, dem kritischen und denen der flüssigen und dampfförmigen zu ermitteln, so ist selbstverständlich jede Mischungsmethode ausgeschlossen. Man ist gezwungen, die Substanzen in Gefäße einzuschließen, deren Wandungen kräftig genug sind, die hohen hier in Betracht kommenden Drucke auszuhalten, sie in diesen Gefäßen auf bestimmte Temperaturen zu erhitzen und die Wärme zu beobachten, die hierzu nötig ist. Ein Parallelversuch mit einem gleichartigen leeren Gefäß lehrt die Wärme kennen, welche von den Gefäßwandungen getragen wird, die Differenz ergibt die von der eingeschlossenen Substanz beanspruchte Wärme. Man sieht sofort, daß man es also mit einer Differenzmethode zu tun hat und daß die Unsicherheiten, welche jeder Differenzmethode anhaften, hier besonders groß werden müssen, weil man, um den hohen Drucken zu begegnen, die Gefäßwandungen kräftig genug machen muß, daher die Wärme, welche von den Wandungen beansprucht wird, jedenfalls immer den größeren Teil der gesamten beobachteten Wärme ausmacht, nur ein kleinerer Teil von der eingeschlossenen Substanz getragen wird.

Trotz dieser ungünstigen Verhältnisse gelingt es, völlig zuverlässige Beobachtungen zu erlangen unter Anwendung des Bunsenschen Eiskalorimeters, welches sich wiederum ausgezeichnet bewährt hat. In der Tat steckt der einzige kalorimetrische Fehler in dem „Gang“ des Kalorimeters; dieser kann aber beliebig klein gemacht werden; er ist unabhängig von der Größe der bei einem Versuche zur Beobachtung kommenden Wärmemenge. Ebenso wie man mit einer passend empfindlichen Wage auch kleine Gewichtsmengen durch Diffe-

renzen relativ großer Gewichte genügend sicher bestimmen kann, so kann man auch mit dem Eiskalorimeter, weil seine „Empfindlichkeit“ unabhängig von der gesamten Wärmezufuhr ist, relativ kleine Wärmemengen noch genügend sicher aus der Differenz großer Wärmequanten bestimmen. Als Versuchssubstanzen wählte ich zunächst Kohlensäure und Isopentan; aus verschiedenen Gründen, denn zunächst zeigen die sofort folgenden Überlegungen, daß eine genaue Berechnung der skizzierten Beobachtungen nur möglich ist, wenn zum mindesten die Sättigungsdrucke und -dichten bekannt sind; dann aber ist es zur eingehenden Verfolgung wünschenswert, auch die gesamten Isothermen der untersuchten Substanzen zu kennen. Das ist bei den genannten Stoffen der Fall.

2. *Theorie der Versuche.* Es sei ein Gefäß (Glasrohr) vom Hohlvolumen  $V$  luftfrei mit dem Gewicht  $M$  einer Substanz gefüllt, so wird im allgemeinen die Substanz in zwei Phasen zerfallen,  $v_2$  sei das spezifische Volumen des gesättigten Dampfes,  $v_1$  das der Flüssigkeit,  $m$  die Masse des Dampfes, so ist

$$(1) \quad \begin{cases} V = (M - m)v_1 + m \cdot v_2 = M \cdot v_1 + m(v_2 - v_1), \\ m = \frac{V - M v_1}{v_2 - v_1}. \end{cases}$$

Tritt eine Temperaturerhöhung ein, so geschieht sie bei konstantem Gesamtvolumen, denn von der verschwindend kleinen Volumenvergrößerung des Hohlraums durch die Ausdehnung der Glaswandungen kann wohl abgesehen werden. Die Anwendung der allgemeinen Gleichung der mechanischen Wärmetheorie; welche jede Änderung eines aus Flüssigkeit und Dampf bestehenden Systems beschreibt,

$$(2) \quad dQ = \vartheta \cdot d\left(\frac{m r}{\vartheta}\right) + M c_s d\vartheta^1,$$

worin  $r$  die Verdampfungswärme,  $c_s$  die spezifische Flüssigkeitswärme unter Sättigungsdruck bezeichnet, auf den vorliegenden speziellen Fall liefert dann unter Zuhilfenahme der Clausius-

---

1) Hier wie im folgenden sind stets alle Größen in gleichen Einheiten gemessen angenommen.

Clapeyronschen Gleichung für die Verdampfungswärme den Ausdruck:

$$dQ = \vartheta \cdot d \left[ (V - M v_1) \frac{d p_s}{d \vartheta} \right] + M c_s d \vartheta,$$

worin  $p_s$  den Sättigungsdruck bezeichnet, oder ausgeführt

$$dQ = \vartheta \cdot \left[ - M \frac{d v_1}{d \vartheta} \frac{d p_s}{d \vartheta} \cdot d \vartheta + (V - M v_1) \frac{d^2 p_s}{d \vartheta^2} d \vartheta \right] + M c_s d \vartheta.$$

Integriert man diesen Ausdruck zwischen zwei Grenzen, indem man berücksichtigt, daß

$$\vartheta \cdot \frac{d^2 p_s}{d \vartheta^2} \cdot d \vartheta = d \left[ \vartheta \frac{d p_s}{d \vartheta} - p_s \right]$$

ist, so gewinnt man nach einigen Umformungen

$$(3) \quad [Q]_0^t = \left[ (V - M v_1) \left( \vartheta \cdot \frac{d p_s}{d \vartheta} - p_s \right) \right]_0^t + M \cdot \int_0^t \left( c_s - p_s \frac{d v_1}{d \vartheta} \right) d \vartheta.$$

Die beiden rechts stehenden Ausdrücke haben eine einfache physikalische Bedeutung, denn die innere Verdampfungswärme einer Substanz oder ihre Energieänderung zwischen flüssigem und Dampfvolumen bei konstanter Temperatur ist

$$\varrho = \int_{v_1}^{v_2} \left( \frac{\partial U}{\partial v} \right)_{\vartheta} dv = (v_2 - v_1) \left( \vartheta \cdot \frac{\partial p_s}{\partial \vartheta} - p_s \right)$$

und die Masse des im Rohre vorhandenen Dampfes war nach (1)

$$m = \frac{V - M v_1}{v_2 - v_1}.$$

Folglich stellt

$$(4) \quad \left[ (V - M v_1) \left( \vartheta \cdot \frac{d p_s}{d \vartheta} - p_s \right) \right]_0^t = [m \varrho]_0^t$$

die Differenz der Dampfwärmen bei der hohen bez. niederen Temperatur dar oder die Differenz der Energie, welche bei der Temperatur  $t$  bez.  $0$  in Dampfform im Rohre enthalten ist.

Der zweite Ausdruck ist die „Flüssigkeitswärme“, d. h. die spezifische Wärme unter Sättigungsdruck vermindert um die äußere Arbeit, welche bei der thermischen Ausdehnung der Flüssigkeit gegen den Dampfdruck geleistet wird. Ich möchte sie, um einen kurzen Ausdruck zu haben, als die „innere spezifische Wärme im Sättigungszustand“ bezeichnen, denn in

der Tat entsteht sie ja aus der gewöhnlich als spezifische Wärme im Sättigungszustand bezeichneten Größe  $c_s$ , geradeso durch Abzug der äußeren Arbeit, wie die innere Verdampfungswärme  $\varrho$  aus der totalen  $r$  entsteht. Ich bezeichne diese innere spezifische Wärme mit  $c_i$ ; wie leicht ersichtlich, ist sie auch die Energieänderung der Flüssigkeit im Sättigungszustand; es ist also

$$(5) \quad \left( \frac{\partial U}{\partial \vartheta} \right)_s = c_i = c_s - p_s \frac{d v_1}{d \vartheta}$$

und damit wird

$$(6) \quad [Q]_0^t = [m \varrho]_0^t + M \int_0^t c_i \cdot d \vartheta = [m \varrho]_0^t + M \cdot c_{i_m} (t - 0),$$

worin  $c_{i_m}$  die mittlere innere spezifische Wärme bedeutet. Die beobachtete Wärme  $[Q]_0^t$  enthält demnach keinen Ausdruck, welcher auf äußere Arbeit sich bezieht, denn wenn die Substanz vollkommen abgeschlossen ist, kann nach außen keine Arbeit abgegeben noch von außen aufgenommen werden; die gesamte Wärme wird also allein zur Energieänderung des Zweiphasensystems verwendet.

Der Ausdruck ist völlig streng, gilt aber nur so lange, als zwei Phasen vorhanden sind. Das erste Glied rechts  $[m \varrho]_0^t$  ist nun fast stets klein gegenüber dem zweiten Gliede, der inneren Flüssigkeitswärme, und da es klein ist, kann es stets mit genügender Sicherheit berechnet werden, wenn Gesamtvolumen und Masse, das spezifische Volumen der Flüssigkeit  $v_1$  und der Sättigungsdruck  $p_s$  und seine Zunahme bekannt sind. Daß  $[m \varrho]_0^t$  nur klein ist, kann man sofort an einem Beispiel erkennen. Sei ein Rohr vom Hohlraum 1,5 ccm so mit  $\text{CO}_2$  gefüllt, daß bei  $0^\circ$  1 ccm von Flüssigkeit erfüllt ist, so ist  $(m \varrho)_0$  die Verdampfungswärme bei  $0^\circ$  für die geringe Masse, welche in den Dampfraum von 0,5 ccm hineingeht. Erwärmt man das Rohr, so wächst  $[m \varrho]_t$  zuerst, weil  $m$  schneller wächst als  $\varrho$  abnimmt. Nähert man sich aber derjenigen Grenztemperatur, bei welcher die Substanz als Flüssigkeit das Rohr ganz erfüllt, so wird die Dampfmenge wieder kleiner und schließlich Null; bei der Grenztemperatur — im obigen Beispiel etwa bei  $25^\circ$  —, bis zu welcher Gleichung (6) gültig ist, würde also  $[m \varrho]_t = 0$  werden. Demnach würde  $[m \varrho]_0^t$  positiv



und klein sein, wenn  $t$  noch merklich von der Grenztemperatur entfernt ist, kurz vor der Grenztemperatur Null werden, und bei der Grenztemperatur negativ gleich  $(m \varrho)_0$  sein.

Je nach der eingeschlossenen Masse kann man bei gegebenem Volumen die Grenztemperatur beliebig legen. Ist die Masse relativ groß, so wird sie schon vor der kritischen Temperatur das Rohr in flüssiger Phase ganz erfüllen, wählt man sie kleiner, so kann man leicht erreichen, daß sie noch in flüssiger Phase das Rohr kurz vor der kritischen Temperatur erfüllt; wählt man sie noch kleiner, so sinkt die Grenztemperatur wieder bis zu derjenigen, bei welcher die geringe eingefüllte Masse in Form von gesättigtem Dampf das gebotene Volumen ganz erfüllt. Für diesen Grenzfall geht die Gleichung (6) über in

$$[Q]_0' = M \varrho_t - m_0 \varrho_0 + M \cdot c_{tm} \cdot t.$$

Erhitzt man derartige Rohre über die Grenztemperaturen hinaus, bis zu denen Gleichung (6) gültig ist, so würde man entweder die spezifische Wärme  $c_v$  der Flüssigkeit bei konstantem Volumen beobachten, oder die spezifische Wärme  $h_v$  des überhitzten Dampfes, wenn man nach Clausius' Bezeichnung mit  $h_s$  die spezifische Wärme des gesättigten Dampfes, also  $h_i$  die „innere“ spezifische Wärme des gesättigten Dampfes und mit  $h_v$  die des überhitzten Dampfes bei konstantem Volumen bezeichnet.

3. *Experimentelle Details.* Die Glasrohre, welche die zunächst beobachteten Substanzen Kohlensäure und Isopentan enthielten, waren aus Jenaer Verbundglas, von Schott und Gen. bezogen, hergestellt. Diese Glassorte hat die für diese Versuche sehr willkommenen Eigenschaften großer Druckfestigkeit, so daß relativ geringe Wandstärken genügten, und großer „Temperaturfestigkeit“, d. h. Unempfindlichkeit gegen plötzliche Temperaturänderung. Ich habe bei den Versuchen mit Isopentan Rohre dieser Art bis auf  $240^\circ \text{C}$ . erhitzt, sie plötzlich in die im Eiskalorimeter enthaltene Spülflüssigkeit von  $0^\circ$  hineinfallen lassen, ohne daß sie sprangen, obgleich im Momente des Einfallens ein innerer Druck von mehr als 60 Atm. herrschte.

Für Kohlensäure wurden zwei Serien von Rohren benutzt, die eine von 10 mm äußerem, 6 mm innerem Durchmesser. Diese konnten bis nahezu auf 100 Atm. beansprucht werden;

eine zweite Reihe von Rohren von 4 mm innerem, 9 mm äußerem Durchmesser ertrug Drucke bis nahezu 200 Atm.

Für Isopentan konnten, da hier nur geringere Drucke in Betracht kamen, die Rohre dünner gewählt werden; für Erhitzungen bis zur kritischen Temperatur ( $p_k = 25000$  mm Hg = ca. 33 Atm.) dienten Rohre von 5 mm lichtigem Durchmesser und nur 1 mm Wandstärke; bei 40 Atm. innerem Druck war die Grenze der Haltbarkeit erreicht, für höhere Überhitzungen wurden daher Rohre von 3 mm lichter Weite und 1 mm Wandstärke verwendet. Rohre von etwa 12 cm Länge dieser Art wurden bei etwa 8 cm vom einen rund zugeblasenen Ende verjüngt, ihr Gewicht und ihr Hohlvolumen bis zu einer Marke an der verjüngten Stelle durch Quecksilberwägung ermittelt. Nach der Füllung wurden die Rohre an der Marke zugeschmolzen, das abgezogene Stück und das gefüllte Stück gewogen und dadurch die Konstanten jedes Rohres, Glasgewicht  $G$ , Gewicht der Füllung  $M$  und Volumen  $V$  bestimmt. Die geringe Unsicherheit des Volumens, welche beim Zuschmelzen an der Marke entstand, fällt nicht in Betracht. Für einzelne Rohre wurde das Volumen nach Beendigung der Versuche durch Aufschneiden und nochmaliges Auswägen mit Quecksilber noch einmal exakt bestimmt. Das benutzte Isopentan war ebenso, wie das von S. Young verwendete, von Kahlbaum bezogen und nach Youngs Vorschriften über Phosphorpentoxyd noch einmal destilliert, es zeigte denselben Siedepunkt von fast genau  $28^\circ\text{C}$ . wie das Youngsche Präparat, so daß man wohl der Identität der untersuchten Stoffe sicher sein kann. Die Füllung bot keine Schwierigkeit: die Rohre wurden mit einem Überschuß von Flüssigkeit gefüllt, mit einer Wasserstrahlpumpe ein Teil der Flüssigkeit zum Verdampfen gebracht, und, wenn genug Substanz abgesaugt war, wurde zugeschmolzen. Die Füllung der Kohlensäure-Rohre geschah so, daß aus käuflicher  $\text{CO}_2$  Schnee hergestellt wurde, den man langsam aus einer Dewarschen Flasche verdampfen ließ; ein aus der Flasche herausführendes Entwicklungsrohr führte zu dem zu füllenden Rohre, durch welches die  $\text{CO}_2$  gasförmig hindurchstrich. Nach einiger Zeit konnte man sicher sein, daß alle Luft durch  $\text{CO}_2$  verdrängt war, dann wurde das zu füllende Rohr mit flüssiger Luft gekühlt, und nachdem eine

passende Menge  $\text{CO}_2$  sich kondensiert hatte, zugeschmolzen. Daß die Füllung völlig luftfrei gelungen war, zeigten die Rohre mit großer Füllung dadurch, daß bei Erwärmung auf die Grenztemperatur die Substanz als Flüssigkeit das Rohr ganz erfüllte und bei darauf folgender Abkühlung an den Rohrwandungen haftete.

Der Thermostat bestand aus einem Porzellanzylinder von 35 cm Länge, 0,5 cm Wandstärke, 8 cm lichter Weite, auf den ein Konstantandraht von etwa 2 mm Durchmesser mit 17  $\Omega$  Widerstand aufgewickelt war. Die oberen und unteren 10 cm Höhe des Hohlraumes waren durch Asbestscheiben ausgefüllt, durch die zentrisch ein Glasrohr von 12 mm lichter Weite von oben herein und nach unten heraus führte. Als eigentlicher Heizraum kam nur der mittlere Hohlraum von 15 cm Höhe in Betracht, welcher oben und unten durch Messingscheiben mit entsprechender zentrischer Durchbohrung von 12 mm begrenzt war. An die obere dieser Messingscheiben war ein mehrfach quer durchbohrtes Messingrohr von 12 mm lichter Weite und etwa 10 cm Länge hart angelötet, welches unten durch einen Schuh abgeschlossen war, der an einer durch die oberen Asbestlagen herausführenden Stange gedreht werden konnte. Das zu untersuchende Rohr wurde von oben in den Heizraum eingeführt, während der Schuh das untere Ende des zentralen Messingrohres verschloß, ein von der Reichsanstalt geeichtes Thermometer, welches  $0,05^\circ \text{C}$ . abzulesen gestattete, von oben eingesteckt, so daß sein Gefäß unmittelbar auf dem zu erhitzenden Rohre aufstand.

War die Erhitzung lange genug (mindestens eine Stunde) konstant, so wurde der Schuh weggedreht, das Versuchsrohr fiel heraus und direkt in das darunter stehende Kalorimeter. Der Thermostat war außen durch Asbest, Holz, Luftraum, Metallhüllen und Filzumwickelungen möglichst isoliert; selbstverständlich war das zentrale Fallrohr beim Anheizen oben und unten geschlossen und wurde nur im Moment des Versuches geöffnet. Der ganze Heizofen hing durch Contregewicht äquilibrirt an einem Schnurlauf, er konnte leicht gerade vertikal über das Kalorimeter gebracht werden, so daß das Hineinfallen ohne Wärmeverlust erfolgte.

Das Eiskalorimeter war, weil bei den Versuchen große Wärmemengen zur Beobachtung gelangten, in etwas größeren

Dimensionen als sonst üblich hergestellt. Das innere Rohr von 1,7 cm lichter Weite 22 cm Höhe, das herumgeblasene weitere von 4,5 cm lichter Weite und 26 cm Höhe, so daß in dem Raume zwischen innerem und äußerem Rohr genügend Platz blieb für einen kräftigen Eismantel. Ist das Kalorimeter hergerichtet, so wird es in einen Glastrog (Akkumulatorenkasten) passender Größe eingesetzt, welcher mit destilliertem Wasser gefüllt ist, von dem ein Teil vorher zum Gefrieren gebracht war, so daß die ganzen Wände des Glastroges mit Eis von destilliertem Wasser bekleidet sind, kleingeschlagenes Eis von destilliertem Wasser ist zudem noch oben aufgetan. Der Glastrog steht wieder in einem weiteren Zinkkasten, der mit unreinem Eis gefüllt ist, welches täglich nachgefüllt wird; auch von oben ist ein mit Eis gefüllter Zinkkasten aufgesetzt, der nur die Kapillare herausläßt und nach oben eine passend große mit einem Pfropfen verschließbare Öffnung läßt, um die Versuchsrohre einfallen zu lassen. Die Veränderungen des Eismantels wurden nach der Methode von Schuller und Wartha durch die Gewichtsmengen Quecksilbers bestimmt, welche von der Saugspitze der Kapillare eingesogen bez. ausgestoßen wurden.

Hat man sorgfältig dafür gesorgt, daß das destillierte Wasser, welches das Kalorimeter umgibt, völlig rein ist, so beobachtet man einen negativen „Gang“ des Kalorimeters, d. h. es tritt Schmelzung ein, weil der Gefrierpunkt des äußeren Wassers etwas höher liegt, als der des inneren, allmählich aber verwandelt sich der negative Gang in einen positiven, es tritt Gefrieren im Kalorimeter ein, weil beim täglichen Nachfüllen des unreinen umgebenden Eises kaum minutiöse Verunreinigungen des das Kalorimeter umgebenden destillierten Wassers vermieden werden können. Man kann, wie ich es früher getan, durch Veränderung der Höhenlage der Saugspitze diesen Gang wieder ausgleichen; indessen hat Boys <sup>1)</sup> ein viel besser wirksames Mittel angegeben, welches darin besteht, das eiskalorimetrische Gefäß durch einen Luftmantel zu schützen. Zu dem Zweck wird ein weiteres Glasrohr, welches sich nach oben zur Weite des Kalorimeterhalses ver-

1) C. V. Boys, Phil. Mag. (5) 24. p. 214—217. 1887.



jüngt, mit einem Gummischlauch über den Hals des Eiskalorimeters luftdicht übergeschoben und in den Zwischenraum Luft eingeblasen. Wenn man dieses Rohr auch unten luftdicht verschließen und den Hohlraum evakuieren würde, so hätte man das Kalorimeter nach Art der Dewarschen Flaschen durch ein Vakuum geschützt. Die großen technischen Schwierigkeiten, die Unbequemlichkeiten des Aufkochens, die dann entstehen würden, haben mich abgehalten, dies auch von anderer Seite <sup>1)</sup> geplante Verfahren auszuführen, denn der Kunstgriff von Boys ist wohl schon der wesentlichste Schritt, er setzt in folge der schlechten Wärmeleitfähigkeit der Luft alle äußeren Einflüsse auf weniger als ein Zehntel herab. Mit dem Boysschen Luftmantel gelingt es leicht, den Gang des Kalorimeters beliebig herab zu drücken. Der „Gang“ ist innerhalb eines Tages vollkommen auf zehntel Milligramm konstant. Ich habe fast nie Beobachtungen ausgeführt, wenn der Gang mehr als 10 mg Hg pro Stunde betrug. War er infolge von Verunreinigungen auf + 10 mg gestiegen, so brauchte nur das verunreinigte destillierte Wasser aus dem Glastrog entfernt und durch frisches Wasser ersetzt zu werden, um wieder einen negativen Gang etwa gleicher Größe zu erreichen, der dann wieder im Laufe von Wochen allmählich in einen positiven überging. Man hat nicht zu befürchten, daß bei diesem Ersatz des destillierten Wassers zuviel von der Eisumkleidung des Glastroges abgeschmolzen wird, denn diese verstärkt sich nur im Laufe der Zeit, da sie ja gänzlich von niedriger temperiertem unreinen Eis umgeben ist.

Das innere Rohr des Eiskalorimeters wurde bis zu halber Höhe, d. h. hoch genug, daß die hereinfallenden Versuchsrohre ganz von Flüssigkeit bedeckt waren, mit Paraffinöl gefüllt. Ich wählte diese Flüssigkeit, weil sie bei der Temperatur 0° ziemlich zähe ist und nicht wie Wasser oder Anilin, welches auch eine Zeitlang Verwendung fand, beim Hineinfallen der Rohre infolge ihrer Leichtflüssigkeit herausspritzt, wodurch Störungen entstehen. Ferner liegt der Siedepunkt sehr hoch, so daß, auch wenn die Versuchsrohre mit 240° C. einfallen, nicht lokale Erhitzungen und partielle Verdampfung der Spül-

1) Von Hrn. E. Dorn nach brieflicher Mitteilung geplant.



flüssigkeit eintreten kann. Allerdings hat diese Flüssigkeit wiederum den Nachteil, daß infolge ihrer Zähigkeit die Wärmemitteilung an den Eismantel nicht durch Konvektion, sondern faßt allein durch Leitung vermittelt wird und daher eine längere Zeit (40 Min.) beansprucht, als bei Anwendung leicht flüssiger Substanzen. In das innere Kalorimeterrohr wurde ferner noch eine dünnwandige Metallhülse von etwa 5 cm Höhe und 1,5 cm Weite bis zum Boden eingeschoben, welches den Stoß der hineinfallenden Rohre auffing und ein Zertrümmern des Kalorimeters verhinderte. Die Hülse konnte an zwei Seidenfäden emporgezogen werden und gestattete damit ein leichtes Herausnehmen der Versuchsrohre.

4. Die Ausführung der Versuche ist hiernach klar; nachdem durch die Gewichtszu- bez. -abnahme der an die Saugspitze angesetzten Quecksilbergefaße der Gang des Kalorimeters bestimmt und inzwischen das Versuchsrohr im Thermostaten auf konstante Temperatur erhitzt ist, wird ein vorher gewogenes Quecksilbergefaß an die Saugspitze angesetzt, die durch einen Pfropfen verschlossene Öffnung des oberen Eiskastens und ebenso das sonst durch Pfropfen verschlossene Eiskalorimeter geöffnet, der Thermostat an seinem Schnurlauf heruntergezogen, das Versuchsrohr einfallen gelassen und gleich darauf alles wieder geschlossen. Man überzeugt sich leicht, daß in der kurzen Zeit von etwa 10 Sek., welche die Manipulationen in Anspruch nehmen, eine Störung im Gang des Kalorimeters durch Wärmeleitung von außen nicht eintritt. Nach 40 Min. ist der Wärmeausgleich im Kalorimeter vollendet, das Quecksilbergefaß wird von der Saugspitze abgenommen und durch ein anderes ersetzt. Das Versuchsrohr wird aus dem Kalorimeter herausgenommen und nach einiger Zeit ist letzteres zu einem neuen Versuch mit einem neuen inzwischen erhitzten Rohre bereit. Die von der Saugspitze eingesogene Quecksilbermenge wird auf 0,1 mg genau ermittelt, die ihr entsprechende Wärmemenge erhält man durch die durch Bunsen und Schuller und Wartha ermittelte Angabe, daß durch eine mittlere Kalorie 15,44 mg Hg eingesogen werden.

Die Genauigkeit der Versuche könnte, wenn nur der kalorimetrische Fehler in Betracht käme, beliebig gesteigert

werden; indessen kommt als viel größerer Fehler der thermometrische in Betracht. Die Temperaturen im Heizofen wurden mit feinen in  $\frac{1}{2}^{\circ}$  geteilten und von der Reichsanstalt geeichten Quecksilberthermometern von C. Richter in Berlin ermittelt. Trotz aller isolierenden Umhüllungen konnte es nicht erreicht werden, daß die Temperatur im Heizofen sich nicht im Laufe einer Stunde um einige Zehntelgrade änderte. Man kann daher wohl kaum garantieren, daß die abgelesene Temperatur mit derjenigen des Versuchsrohres auf  $\frac{1}{10}^{\circ}$  C. identisch ist. Bei hohen Temperaturen kommt ferner noch die durch Fadenkorrektion verursachte Unsicherheit hinzu. Bei einer Erhitzung auf  $20^{\circ}$  C. würde dieser Temperaturfehler 0,5 Proz. ausmachen für die gesamte Wärmemenge; für die im Rohre eingeschlossene Substanz aber, die nur etwa den vierten Teil der gesamten Wärme beansprucht, ist der Fehler dann gleich der Vierfachen.

Daher ist es nicht möglich die kalorimetrische Sicherheit ganz auszunutzen, solange man nicht, wie ich es für weitere geplante Untersuchungen in Aussicht genommen habe, die Beobachtung mit Quecksilberthermometern durch elektrische Temperaturbestimmung ersetzt. Daß im Momente des Hereinfallens kein merklicher Wärmeverlust eintrat, zeigten Versuche bei denen die Erhitzung mit Dampf siedender Flüssigkeiten geschah. Die Dampfbäder sind viel konstanter; wurde ein Versuch mit Dampfbädern zum zweiten Male wiederholt, so konnte man schon vorher die beim ersten Versuch beobachtete Gewichtsabnahme des Quecksilbergeäßes in Abzug bringen, das entsprechende Gewicht auf die Wage auflegen und sicher sein, daß auf Bruchteile eines Milligramms das Gewicht stimmte.

Leider können Dampfthermostaten nicht so bequem auf jede beliebige gewünschte Temperatur eingestellt werden, wie elektrische Heizöfen. Da zudem für die zunächst untersuchten Substanzen mehr das Qualitative von Interesse war, als die äußerste quantitative Exaktheit, so glaubte ich mich mit der erreichten Genauigkeit, die für die wichtigsten Beobachtungen sicherlich nicht einen Fehler von mehr als 1 Proz. zuläßt, begnügen zu können.

5. *Spezifische Wärme des Glases.* Von jedem Glasrohr, aus denen mit Substanz gefüllte Versuchsrohre hergestellt wurden,

wurde ein an der Luftpumpe evakuiertes Rohrstück benutzt und damit die spezifische Wärme dieses Glasrohres bestimmt. Es zeigte sich aber, daß die mit Rohren verschiedenen Querschnittes und ganz verschiedenen Gewichten 9 g—1,3 g erlangten Zahlen völlig identisch waren, so daß man zu dem Schlusse berechtigt ist, daß nicht die individuelle spezifische Wärme der benutzten Glasrohre, sondern die der Glassorte beobachtet ist. Da diese Versuche nur sekundäres Interesse beanspruchen, gebe ich nur die Mittelzahlen an aus je zwei bis drei Versuchen für die Quecksilbermenge  $g_m$ , welche pro Gramm Glas und pro ° C. Temperaturerhöhung bis zur angegebenen Erhitzungstemperatur  $t$  eingesogen wird.

Tabelle I.

$t$	$g_m$ in mg Hg	$t$	$g_m$ in mg Hg
7,0	2,743	125,5	3,058
14,72	2,765	151,2	3,0895
21,9	2,783	170,9	3,1365
32,0	2,803	188,2	3,162
39,05	2,8225	205,7	3,204
56,25	2,874	231,1	3,2245
75,1	2,9215		
98,55	2,975		

Die mittlere pro Gramm und ° C. vom Glas eingesogene Quecksilbermenge und also auch die mittlere spezifische Wärme des Glases, die man durch Division der angegebenen Zahlen mit 15,44 erhalten würde, ist also durchaus nicht konstant, sondern nimmt mit steigender Temperatur zu. Trägt man die für  $g_m$  beobachteten Zahlen in ein Koordinatennetz ein, so zeigt sich, daß bis 100° die Zunahme fast völlig geradlinig ist und dargestellt werden kann durch

$$g_m = 2,726 + 0,0026 \cdot t,$$

also die mittlere spezifische Wärme durch

$$s_m = 0,1766 + 0,0001684 \cdot t$$

dargestellt werden kann. Über 100° ist die Zunahme von  $g_m$  geringer, eine Kurvendarstellung gestattet für jede Temperatur

das für die weiteren Versuche in Betracht kommende  $g_m$  jederzeit abzulesen, ohne daß man nötig hat noch eine empirische Formel zu berechnen.

Die Einzelversuche, aus denen die Zahlenwerte der Tab. I sich ergaben, wichen selten um mehr als 0,5 Proz. voneinander ab, so daß man den Mittelwerten eine Sicherheit von 0,2—0,3 Proz. zuschreiben kann.

Daß die spezifische Wärme des Glases zunimmt, mit wachsender Temperatur verlangsamt, ist wohl dem Gehalt an Silicium zuzuschreiben, für welches dieselbe Erscheinung beobachtet ist.<sup>1)</sup>

6. *Die mittlere innere spezifische Wärme der Kohlensäure.* In der folgenden Tab. II sind sämtliche Versuche aufgeführt, welche zur Bestimmung der mittleren inneren spezifischen Wärme der  $\text{CO}_2$  angestellt sind. Am Kopf der Tabelle sind die Konstanten der drei benutzten Rohre,  $G$  = Glasgewicht,  $V$  = Hohlvolumen,  $M$  Gewicht der  $\text{CO}_2$  und  $t$ , die Temperatur, bei welcher die Masse  $M$  Substanz das gebotene Volumen in flüssiger Phase gerade ausfüllt, also die Grenztemperatur, bis zu welcher Gleichung (6) des Abschnittes 2 gültig ist.

Dann folgt die Übersicht der Beobachtungen; enthaltend neben der Nummer des Rohres die Erhitzungstemperatur  $t$ , die beobachtete eingesogene Quecksilbermenge  $\text{Hg}$  in Milligramm nebst der Gangkorrektur, darauf folgt unter  $\text{Hg}_{\text{Glas}}$  die Quecksilbermenge, welche nach den Beobachtungen der spezifischen Wärme des Glases von den Glaswandungen der Versuchsrohre herrührt; zieht man diese von der korrigierten beobachteten Quecksilbermenge ab, so bleibt unter  $\text{Hg}_{\text{CO}_2}$  die Menge übrig, welche der  $\text{CO}_2$  zu danken ist, sie ist in der folgenden Spalte in Kalorien umgerechnet.  $[m\varrho]_0^t$  ist dann die in Gleichung (6) Abschnitt 2 auftretende Differenz der Dampfwärmen berechnet nach Amagats Zahlen<sup>2)</sup>, dann folgt  $c_{i,m}$ , die mittlere innere spezifische Wärme der  $\text{CO}_2$  zwischen der Erhitzungstemperatur und  $0^\circ$ .

1) Vgl. A. Winkelmann, Encyklopädie (II) 2. p. 344. 1896.

2) E. H. Amagat, Journ. phys. chim. (6) 29. p. 68—136. 1893; Physik. Revue 1. p. 22—28. 1892.

Tabelle II.

Nr.	<i>G</i> in g		<i>V</i> in cm <sup>3</sup>	<i>M</i> in g		<i>t</i>		
I	11,6628		1,711	1,3246		19,2°		
II	9,6505		1,395	0,9382		27,0		
III	8,9623		1,224	0,5832		31,33		

Rohr	<i>t</i>	Hg in mg	Korr.	Hg <sub>Glas</sub>	Hg <sub>CO<sub>2</sub></sub>	CO <sub>2</sub> in cal.	[ <i>m</i> <i>q</i> ] <sub>0</sub> in cal.	<i>c</i> <sub>im</sub>
I	7,5°	316,5	+1,8	240,3	78,0	5,052	−0,159	0,5245
I	6,8	289,3	+2,5	217,7	74,1	4,800	−0,182	0,5475
II	7,0	241,8	+1,8	189,7	53,9	3,492	+0,073	0,5206
II	7,3	246,8	+2,5	193,4	55,9	3,619	+0,070	0,5183
Mittel:								0,5277
I	14,25	616,9	+3,0	459,4	160,5	10,39	−0,66	0,5853
I	14,15	614,9	+4,5	456,1	163,3	10,58	−0,65	0,5990
II	14,00	488,0	+3,0	373,2	117,8	7,632	−0,109	0,5894
II	14,6	506,6	+4,5	389,5	121,6	7,876	−0,133	0,5845
Mittel:								0,5895
II	21,75	773,3	+3,7	584,0	193,0	12,50	−0,768	0,6503
II	22,25	787,7	+3,7	597,6	193,8	12,55	−0,838	0,6413
III	21,65	670,5	+4,0	540,4	134,1	8,686	+0,638	0,6374
III	23,00	715,0	+3,6	574,2	144,4	9,354	+0,591	0,6533
Mittel:								0,6456
III	26,6	832,7	+5,7	666,3	172,1	11,15	+0,42	0,6919
III	26,6	834,0	+5,1	666,3	172,8	11,19	+0,42	0,6940
Mittel:								0,6930
III	30,2	959,6	−0,4	759,2	200,0	12,95	−0,6	0,7683
III	30,5	968,7	−0,4	766,8	201,5	13,05	−0,7	0,7758
III	30,9	974,8	−0,4	777,2	197,2	12,78	−1,38	0,7857
III	31,15	986,6	−2,4	783,7	200,5	12,98	−2,06	0,8278
III	31,23	987,3	−2,4	785,7	199,2	12,90	−2,46	0,8440

Die in der Tabelle aufgezeichneten Versuche zeigen folgendes: Bei den Temperaturen, welche der kritischen nicht sehr nahe liegen, sind die Versuche mit zwei verschiedenen Röhren verschiedener Füllung und verschiedenen Volumens ausgeführt.



Da trotzdem bei gleichen Temperaturen sich gleiche Werte für  $c_{i,m}$  ergeben, so folgt, daß weder in der Bestimmung der vom Glaskörper getragenen Wärme, noch in Massen und Volumenbestimmung, noch auch in der Berechnung der Dampfwärme merkliche Fehler vorgekommen sein können.

Das Ergebnis in Bezug auf  $c_{i,m}$  ist ein sehr auffallendes, denn wir begegnen hier einer spezifischen Wärme, welche in kleinem Temperaturintervall enormen Änderungen unterliegt.  $c_{i,m}$  ist gleich 0,528 im Temperaturintervall  $7^{\circ}$ — $0^{\circ}$ ; schon 0,590 zwischen 14 und  $0^{\circ}$ , wächst auf 0,693 zwischen 26 und  $0^{\circ}$  und bei noch größerer Annäherung an die kritische Temperatur  $t_k = 31,35$  nach Amagat erfolgt eine so schnelle Änderung, daß es nicht mehr möglich ist, aus Beobachtungen bei ganz nahe benachbarten Temperaturen das Mittel zu nehmen, sondern jeder einzelne Versuch andere, mit der Temperatur wachsende, Werte ergibt.

Wenn schon die „mittlere“ spezifische Wärme ein so ausgesprochenes Anwachsen mit der Annäherung an die kritische Temperatur zeigt, so muß die spezifische Wärme selbst in noch viel höherem Maße zunehmen.

Daß diese Erscheinung aber auch eintreten muß, lehrt eine kurze theoretische Überlegung. Denn es ist ja

$$c_i = d U_s = c_s - p_s \cdot \frac{d v_1}{d \vartheta}$$

und nach bekannten Gleichungen der mechanischen Wärmetheorie

$$c_s = c_v + \vartheta \cdot \left( \frac{\partial p_s}{\partial \vartheta} \right)_{v_1} \cdot \frac{d v_1}{d \vartheta},$$

also

$$c_i = c_v + \left( \vartheta \cdot \left( \frac{\partial p_s}{\partial \vartheta} \right)_{v_1} - p_s \right) \frac{d v_1}{d \vartheta}.$$

Wenn nun auch, wie es die Anschauungen der kinetischen Gastheorie verlangen,  $c_v$  wirklich konstant sein sollte, so wächst doch mit Annäherung an den kritischen Zustand sowohl  $(\vartheta \cdot \partial p_s / d \vartheta - p_s)$ , wie auch  $d v_1 / d \vartheta$ , die Flüssigkeitsausdehnung; ja bei  $\vartheta_k$  wird letzterer Differentialquotient unendlich. Daher muß die Wärme, welche auf die innere Arbeit bei der Ausdehnung der Flüssigkeit verwendet wird, oder die

Arbeit gegen den van der Waalschen Kohäsionsdruck immer größer werden und darin liegt der Grund, warum  $c_{i,m}$ , wie es die Beobachtungen zeigen, so stark anwächst.

7. *Berechnung der spezifischen Wärmen bei konstantem Volumen.* Ist wie durch die vorstehenden Beobachtungen  $c_i$  bestimmt, so kann sofort auch  $h_i$ , die innere spezifische Wärme des gesättigten Dampfes, mit Hülfe der inneren Verdampfungswärme  $\varrho$  durch die Gleichung:

$$(7) \quad c_i - h_i = - \frac{d\varrho}{d\vartheta}$$

berechnet werden. Diese Gleichung ist, wie man sich leicht überzeugt, dieselbe, wie die bekannte Clausiussche Gleichung, in welcher die totale Verdampfungswärme  $r$  auftritt:

$$(7a) \quad c_s - h_s = \frac{r}{\vartheta} - \frac{dr}{d\vartheta}.$$

Ist  $h_i$  aus den nach Amagats Beobachtungen berechenbaren Werten von  $d\varrho/d\vartheta$  und den Beobachtungen für  $c_i$  berechnet, so folgen unter Addition der äußeren Arbeiten die Werte für  $c_s$  und  $h_s$  durch:

$$c_s = c_i + p_s \cdot \frac{dv_1}{d\vartheta}, \quad h_s = h_i + p_s \cdot \frac{dv_2}{d\vartheta},$$

wozu wiederum aus Amagats Beobachtungen die Sättigungsdrücke  $p_s$  und die Volumenänderungen der Flüssigkeit bez. des Dampfes unter dem Sättigungsdruck zu entnehmen sind. Unter Anwendung von

$$(8) \quad c_s = c_v + \vartheta \left( \frac{\partial p}{\partial \vartheta} \right)_{v_1} \cdot \frac{dv_1}{d\vartheta}, \quad h_s = h_v + \vartheta \cdot \left( \frac{\partial p}{\partial \vartheta} \right)_{v_1} \frac{dv_2}{d\vartheta}$$

ist dann  $c_v$  und  $h_v$  berechenbar. Die Berechnung ist in den folgenden Tab. III a und III b pro Gramm Substanz zusammengestellt. Zur Umrechnung von Arbeitsgrößen in kalorische Maß dient die Festsetzung, daß die benutzte mittlere Kalorie 430,50 Grammmeter Arbeit äquivalent ist. Die Werte von  $c_i$  sind mit Hülfe einer möglichst exakten Kurvenzeichnung den Beobachtungen entsprechend gewonnen. Ebenso sind bei der Bildung von

$$\frac{d\varrho}{d\vartheta}, \quad \frac{\partial v_1}{\partial \vartheta}, \quad \frac{dv_2}{d\vartheta}, \quad \left( \frac{\partial p}{\partial \vartheta} \right)_v$$

graphische Darstellungen benutzt.

Tabelle IIIa.

$t$	$p_s$ in Atm.	$\frac{dp_s}{d\vartheta}$ in Atm.	$v_2$ in cm <sup>3</sup>	$v_1$ in cm <sup>3</sup>	$q$ in cal.	$-\frac{dq}{d\vartheta} \frac{\text{cal.}}{^\circ\text{C}}$	$c_1 \frac{\text{cal.}}{^\circ\text{C}}$	$h_1 \frac{\text{cal.}}{^\circ\text{C}}$
0	34,3	0,9	10,41	1,094	47,27	0,540	0,495	-0,045
5	39,0	1,0	8,772	1,126	43,7	0,660	0,552	-0,108
10	44,2	1,10	7,518	1,168	40,7	0,792	0,613	-0,179
15	50,0	1,20	6,329	1,229	36,32	0,963	0,691	-0,272
20	56,3	1,30	5,262	1,306	31,0	1,233	0,806	-0,427
25	63,3	1,45	4,167	1,422	24,30	1,558	0,948	-0,610
27	66,2	1,55	3,759	1,490	21,20	1,968	1,105	-0,863
28	67,7	1,58	3,547	1,532	19,77	2,353	1,205	-1,15
29	69,2	1,62	3,301	1,587	17,85	3,087	1,48	-1,6
30	70,7	1,65	2,994	1,672	13,76	4,95	1,85	-3,1
31	72,3	1,68	2,551	1,866	7,36	7,69	3,15	-4,5
31,85	72,9	1,71	2,155	2,155	0	$\infty$	?	?

Das Ergebnis der Berechnung befriedigt nur wenig. Das liegt nicht etwa an unsicherer Bestimmung der Werte für  $c_1$ , sondern vielmehr daran, daß aus den Druck- und Volumenbeobachtungen nicht mit genügender Sicherheit die in Betracht kommenden Differentialquotienten gebildet werden können. Vollends wird das zur Unmöglichkeit da, wo starke Änderungen der Drucke und Volumina eintreten, wie in der Nähe des kritischen Zustandes. Während die innere spezifische Wärme  $c_1$  der Flüssigkeit positiv ist und energisch wächst, ist diejenige des Dampfes negativ und nimmt negativ ebenfalls stark zu. Das Hinzufügen der äußeren Arbeiten in III b liefert bei niederen Temperaturen kaum veränderte Werte für  $c_1$ , nur in der Nähe des kritischen Punktes kommt die äußere Arbeit in Betracht. Für den Dampfzustand ist die äußere Arbeit stets negativ und größer als für den flüssigen Zustand bei gleicher Temperatur; daher wird  $h_1$  noch größer negativ als  $h_1$ .

Kohlensäure ist hiernach, wie es es auch schon E. Mathias<sup>1)</sup> berechnet hat, eine Substanz, deren gesättigter Dampf, ebenso wie Wasser, eine negative spezifische Wärme unter Sättigungsdruck hat.

Die Berechnung von  $c_v$  und  $h_v$  liefert dagegen ein ganz anderes Bild; denn beide Größen sind innerhalb der Tempe-

1) E. Mathias, Journ. de phys. et chim. (6) 21. p. 69—144. 1890.

Tabelle IIIb.

$t$	$c_l$ $\frac{\text{cal.}}{^\circ\text{C.}}$	$\frac{1}{J} p_s \frac{d v_1}{d \vartheta}$ $\frac{\text{cal.}}{^\circ\text{C.}}$	$c_s$ $\frac{\text{cal.}}{^\circ\text{C.}}$	$v_s$ in $\text{cm}^3$	$\frac{1}{J} \vartheta \left( \frac{\partial p}{\partial \vartheta} \right)_v \frac{d v_1}{d \vartheta}$	$c_v$ $\frac{\text{cal.}}{^\circ\text{C.}}$
0°	0,495	0,004	0,499	1,094	+0,255 $\frac{\text{cal.}}{^\circ\text{C.}}$	0,246
5	0,552	0,065	0,559	1,126	0,009	0,233
10	0,613	0,326	0,624	1,168	0,385	0,238
15	0,691	0,0162	0,707	1,229	0,466	0,241
20	0,806	0,0243	0,830	1,306	0,519	0,311
25	0,948	0,042	0,992	1,422	0,699	0,291
27	1,105	0,063	1,168	1,490	0,938	0,291
28	1,205	0,079	1,284	1,532	1,104	0,180
29	1,480	0,117	1,597	1,587	1,508	0,089
30	1,85	0,238	2,088	1,672	2,957	-0,869
31	3,15	1,040	4,19	1,866	9,540	-5,95
31,35°	?	?	?	2,155	?	?
	$h_l$	$\frac{1}{J} p_s \frac{d v_2}{d \vartheta}$	$h_s$	$v_s$	$\frac{1}{J} \vartheta \left( \frac{\partial p}{\partial \vartheta} \right)_{v_s} \frac{d v_2}{d \vartheta}$	$h_v$
31,35°	?	?	—	2,155	?	?
31	-4,5	-1,735	-6,285	2,551	-9,92	+2,68
30	-3,10	-0,636	-3,736	2,994	-3,05	-0,68
29	-1,60	-0,458	-2,058	3,301	-2,00	-0,058
28	-1,15	-0,372	-1,522	3,547	-1,505	-0,018
27	-0,863	-0,334	-1,197	3,759	-1,285	+0,088
25	-0,610	-0,319	-0,929	4,167	-1,111	+0,182
20	-0,427	-0,304	-0,731	5,262	-0,934	+0,203
15	-0,272	-0,289	-0,561	6,329	-0,766	+0,205
10	-0,179	-0,266	-0,445	7,518	-0,631	+0,186
5	-0,108	-0,258	-0,366	8,772	-0,552	+0,186
0	-0,045	-0,247	-0,292	10,42	-0,453	+0,161

raturen 0 und 25°, wo noch die Berechnung einige Sicherheit beanspruchen kann, stets positiv. Oberhalb 25° wird die Berechnung gänzlich unzuverlässig wegen der Unmöglichkeit, in der Nähe des kritischen Zustandes die Differentialquotienten sicher zu bilden.

Daher kann man nur soviel schließen: die spezifische Wärme  $c_v$  der flüssigen  $\text{CO}_2$  liegt zwischen 0 und 25°, zwischen 0,23 und 0,3 cal./°C., die die Dampfes  $h_v$  liegt bei gleichen Temperaturen zwischen 0,15 und 0,2 cal./°C. Letztere ist

also, wie es scheint, stets etwas kleiner als die der Flüssigkeit bei gleicher Temperatur.

Von der zur Temperatursteigerung unter Sättigungsdruck nötigen Energie  $c_i$  der flüssigen Kohlensäure wird also nur der kleinste Teil  $c_v$  zur Steigerung der „Warmheit“ der Substanz aufgewendet, der größere Teil  $c_i - c_v$  wird latent aufgewendet zu innerer Arbeit gegen den Waalsschen Cohäsionsdruck. Beim gesättigten Dampf hingegen leisten die Waalsschen Kräfte Arbeit, indem sie ein geringeres Volumen des Dampfes bei höherer Temperatur hervorbringen und diese Kohäsionsarbeit ist mehr als zur Erhöhung der „Warmheit“ des Dampfes benötigt wird.

8. *Experimentelle Bestimmung der spezifischen Wärmen bei konstantem Volumen.* Da die Berechnung von  $c_v$  und  $h_v$  nicht genügend sicher ist, habe ich diese Größen direkt zu bestimmen gesucht. Hierzu wurden acht Rohre mit verschiedenen Füllungen hergestellt, diese zu höheren Temperaturen  $t$  als die Grenztemperaturen  $t_g$ , bei denen sie von Substanz in einer Phase ganz erfüllt wurden, erhitzt und die von der Substanz benötigte Wärme  $Q_i$  feststellt. Zieht man von ihr ab die Wärme  $Q_u$ , welche die Substanz bei Erhitzung zur Grenztemperatur  $t_g$  gebraucht hat, so bleibt als Rest die Wärme, welche zur Erhitzung die Substanz bei konstantem Volumen zwischen  $t$  und  $t_g$  gebraucht. Es ist offenbar, daß dieses Verfahren gefahrvoll ist und nicht sehr genaue Beobachtungen liefern kann. Gefahrvoll ist es, weil, wenn man ein Rohr so mit Substanz gefüllt hat, daß sie z. B. bei  $+10^\circ$  das Volumen als Flüssigkeit ganz erfüllt, bei Überhitzungen die großen Flüssigkeitsdrucke Explosionen herbeiführen. Glücklicherweise liefen die Explosionen, welche mir hierbei begegneten, immerhin noch glücklich ab. Nur einige Thermometer wurden zertrümmert. Ungenau ist das Verfahren, weil ja jedenfalls  $c_v$  bez.  $h_v$  klein ist, dazu auch die eingefüllten Massen nur kleine sein können und daher  $Q_i - Q_u$  nur einen sehr kleinen Bruchteil der gesamten Wärme  $Q_i$  ausmacht, die ja auch wiederum erst durch Abzug des sehr viel größeren Glasballastes gewonnen sind. Es ist offenbar, daß man im Durchschnitt kaum 10 Proz. Genauigkeit erwarten kann.

Ich gebe in der folgenden Tab. IV die Resultate von



mehr als 50 Einzelversuchen in der Weise, daß die erste Spalte die Grenztemperatur enthält, bei welcher die eingefüllte Substanz in einer Phase (*fl* = flüssig, *d* = dampfförmig) das Volumen erfüllte. *v*<sub>1</sub> bez. *v*<sub>2</sub>, das dieser Temperatur entsprechende Sättigungsvolumen der Masseneinheit, *t* – *t*<sub>s</sub> die Überhitzungen, *c*<sub>v</sub> bez. *h*<sub>v</sub> die erhaltenen spezifischen Wärmen der überhitzten Flüssigkeit bez. des überhitzten Dampfes.

Tabelle IV.

<i>t</i> <sub>s</sub>	<i>v</i> <sub>1</sub> in cm <sup>3</sup>	( <i>t</i> – <i>t</i> <sub>s</sub> )	<i>c</i> <sub>v</sub>	Mittel
3,5° ( <i>fl</i> )	1,115	19,3 – 3,2	0,248	0,240
9,2 ( <i>fl</i> )	1,124	28,25 – 9,2	0,243	
		40,2 – 9,2	0,231	
23,0 ( <i>fl</i> )	1,368	40,2 – 23,0	0,260	0,26
30,9 ( <i>fl</i> )	1,892	41,6 – 30,9	0,303	0,28
		50,1 – 30,9	0,259	
31,3 ( <i>fl</i> )	2,099	39,34 – 31,3	0,315	0,31
	<i>v</i> <sub>2</sub>		<i>h</i> <sub>v</sub>	
31,2° ( <i>d</i> )	2,407	40,7 – 31,2	0,371	0,335
		50,3 – 31,2	0,298	
30,0 ( <i>d</i> )	2,977	40,5 – 32	0,281	0,28
		50 – 32	0,276	
21,2 ( <i>d</i> )	4,975	40 – 25	0,256	0,235
		60 – 25	0,216	

Trotz aller Unsicherheiten ist folgendes Resultat aus diesen Beobachtungen zu ziehen: Die spezifische Wärme der CO<sub>2</sub> ist bei kleinem Volumen (*v*<sub>1</sub> = 1,1 – 1,125) *c*<sub>v</sub> = 0.24, in Übereinstimmung mit der Berechnung der Tabelle IIIb, sie wächst dann mit zunehmendem Volumen, erreicht mit etwa *c*<sub>v</sub> = 0,34 einen maximalen Wert in der Nähe des kritischen Volumens und nimmt dann mit weiter wachsendem Volumen ab. Die Beobachtungen sind zwischen verschiedenen Überhitzungstemperaturen ausgeführt und die Überhitzungen zu höheren Temperaturen geben stets etwas kleinere Werte, als die zu niederen. Ich wage aber wegen der Versuchsunsicherheiten nicht eine Temperaturabhängigkeit des *c*<sub>v</sub> zu behaupten.

Zu noch größeren Verdünnungen überzugehen gestattet die hier eingeschlagene Methode nicht. Hier reihen sich die

Versuche von J. Joly<sup>1)</sup> mit dem Dampfkalorimeter an, welcher für die größte von ihm beobachtete Dichte 0,1444, also  $v_2 = 6,93$ .  $h_v = 0,203$  fand, und bei weiter bis  $v_2 = 26,5$  wachsendem Volumen  $h_v$  allmählich bis auf 0,1714 abnehmend fand.

Für die ideale gasförmige  $\text{CO}_2$  würde man nach der kinetischen Gastheorie aus

$$c_v = \frac{3}{2} R (1 + \gamma) k = \frac{c_v}{c_p} = 1 + \frac{2}{3(1 + \gamma)},$$

mit dem Mittelwert  $k = 1,30$  nach den Beobachtungen von Wüllner, Lummer und Pringsheim

$$c_v = 0,149$$

berechnen. Diesem Endwerte müßte sich also  $h_v$  bei sehr geringer Dichte nähern.

9. *Die innere mittlere spezifische Wärme des Isopentans  $\text{C}_5\text{H}_{12}$  und Berechnung der spezifischen Wärmen bei konstantem Volumen.* Das Isopentan  $\text{C}_5\text{H}_{12}$  ist insofern geeigneter für die hier untersuchte Frage, weil die kritische Temperatur  $t_k = 187,8^\circ \text{C}$ . hoch liegt, daher der Verlauf der spezifischen Wärmen durch ein großes Temperaturintervall hindurch verfolgt werden kann und alle zur theoretischen Berechnung nötigen Daten von S. Young<sup>2)</sup> mit seltener Vollständigkeit und bewundernswürdiger Genauigkeit gesammelt sind. Dieser Stoff ist der letzte in der Reihe von Arbeiten von S. Young, die sich über 15 Jahre erstrecken. Alle Verfeinerungen, die das langjährige Studium der Druck- und Volumenbeobachtungen brachten, sind hier angewendet, daher die Daten selten exakt.

Ich gebe in der folgenden Tabelle meine Beobachtungen über die mittlere innere spezifische Wärme  $c_{im}$ ; aber hier nicht mehr alle einzelnen Daten, sondern gleich die erhaltenen Mittelwerte. Die Beobachtungen sind genau wie die entsprechenden der  $\text{CO}_2$  ausgeführt, auch hier sind stets mehrere Rohre mit verschiedenen Füllungen verwendet. Es ergab sich:

1) J. Joly, Proc. Roy. Soc. London 55. p. 390—394. 1894; Phil. Trans. 185. p. 943—981. 1894; Beiblätter 19. p. 156. 1895.

2) S. Young, Zeitschr. f. physik. Chemie 29. p. 193—242. 1899.

Tabelle V.

$t$	$c_{lm}$	$t$	$c_{lm}$
24,2° C.	0,5254 $\frac{\text{cal.}}{^\circ \text{C.}}$	171,4° C.	0,6463 $\frac{\text{cal.}}{^\circ \text{C.}}$
50,9	0,5306	185,75	0,6505
75,1	0,5615	186,3	0,6950
99,65	0,5717	186,75	0,6640
125,4	0,6084	187,1	0,6989
150,5	0,6120	187,65	0,6862

Auch hier zeigt sich, genau wie bei CO<sub>2</sub>, ein entschiedenes Wachstum der mittleren inneren spezifischen Wärme, welches in der Nähe des kritischen Punktes so stark wird, daß hier aus Beobachtungen bei nahe benachbarten Temperaturen nicht mehr das Mittel genommen werden kann, sondern jeder Einzelversuch angegeben ist.

Eine gute Kurvendarstellung und Berechnung liefern die in der folgenden Tabelle VIa angegebenen Einzelwerte für  $c_l$ . Genau wie es in der entsprechenden Tabelle IIIa für CO<sub>2</sub> geschah, sind hier die Daten für Sättigungsdruck und Volumina nach S. Young angegeben, damit  $\rho$  die innere Verdampfungswärme und damit  $h_i$  die innere spezifische Wärme des gesättigten Dampfes berechnet. Ebenfalls wie in der analogen Tabelle IIIb enthält hier die Tabelle VIb die nötigen Daten, welche zur Berechnung von  $c_v$  und  $h_v$  und danach zu  $c_p$  und  $h_p$  führen.

Die für Isopentan ausgeführte Berechnung läßt in den Grundzügen dasselbe Verhalten dieses Stoffes erkennen wie CO<sub>2</sub>, obgleich im einzelnen wesentliche Differenzen auftreten.

Die innere spezifische Wärme der Flüssigkeit  $c_l$  wächst mit steigender Temperatur, und um so stärker, je näher man der kritischen Temperatur kommt, diejenige  $h_i$  des Dampfes ist nur ganz in der Nähe des kritischen Punktes negativ, schon von  $t = 175$  an bis zu 0° hin aber positiv, während für CO<sub>2</sub> im ganzen beobachteten Temperaturintervall  $h_i$  negativ war. Das Hinzufügen der äußeren Arbeit bringt für die spezifische Wärme  $c_p$  bei niederen Temperaturen überhaupt keine in Betracht kommende Änderung hervor; auch in der Nähe des kritischen Punktes ist die äußere Arbeit wegen der geringeren

Tabelle VIa.

$t$	$p$ in mm Hg	$\frac{dp}{dy}$ in mm Hg	$v_2$ in cm <sup>3</sup>	$v_1$ in cm <sup>3</sup>	$\varrho$ in cal.	$-\frac{d\varrho}{dy} \text{ } ^\circ\text{C.}$	$c_v \text{ cal. } ^\circ\text{C.}$	$h_v \text{ cal. } ^\circ\text{C.}$
0	257,7	11,33	900?	1,5644	79,40	0,208	0,506	+0,298
20	572,6	21,25	424	1,614	75,18	0,215	0,528	0,313
40	1 131	35,9	224	1,670	70,78	0,224	0,556	0,332
60	2 036	56,0	128	1,7335	66,23	0,232	0,587	0,355
80	3 401	82,2	78	1,805	61,52	0,245	0,620	0,375
100	5 355	115,0	49,5	1,895	56,44	0,262	0,662	0,400
110	6 586	134,0	39,8	1,945	53,73	0,281	0,685	0,404
120	8 040	155,5	32,3	2,004	50,73	0,317	0,707	0,390
130	9 707	179,0	26,1	2,072	47,38	0,350	0,724	0,374
140	11 620	205,0	21,1	2,154	43,72	0,373	0,753	0,380
150	13 804	233,2	17,15	2,2495	39,93	0,420	0,793	0,373
160	16 285	264,6	13,71	2,378	35,14	0,485	0,856	0,371
170	19 094	299,0	10,73	2,555	29,26	0,660	0,950	0,290
175	20 810	317	9,34	2,682	25,40	0,840	1,010	0,170
180	22 262	335,5	7,95	2,859	20,86	1,10	1,170	+0,07
183	23 288	347,5	7,04	3,020	17,16	1,50	1,255	-0,25
186	24 350	360,4	5,96	3,303	11,87	2,2	1,350	-0,85
187	24 713	365,5	5,45	3,500	8,85	4,0	1,800	-2,20
187,8	25 005	370,0	4,266	4,266	0	$\infty$	?	?

Tabelle VIb.

$t$	$c_1$ cal. ° C.	$\frac{1}{J} p \cdot \frac{d v_1}{d \vartheta}$ cal. ° C.	$c_2$ cal. ° C.	$v_1$ in cm <sup>3</sup>	$\frac{1}{J} \vartheta \left( \frac{\partial p}{\partial \vartheta} \right)_{v_1} \cdot \frac{d v_1}{d \vartheta}$ cal. ° C.	$c_v$ cal. ° C.
0	0,506	0,04195	0,506	1,564	0,124	0,382
20	0,528	0,048	0,528	1,614	0,127	0,401
40	0,556	0,05107	0,556	1,670	0,136	0,420
60	0,587	0,05174	0,587	1,733	0,145	0,442
80	0,620	0,05435	0,620	1,805	0,151	0,469
100	0,662	0,05804	0,663	1,895	0,154	0,509
110	0,685	0,05113	0,686	1,945	0,165	0,520
120	0,707	165	0,709	2,004	0,186	0,523
130	0,724	236	0,726	2,072	0,208	0,518
140	0,753	325	0,756	2,154	0,214	0,543
150	0,793	488	0,798	2,250	0,229	0,569
160	0,856	782	0,864	2,378	0,265	0,599
170	0,950	0,0145	0,964	2,555	0,353	0,612
175	1,010	200	1,030	2,682	0,400	0,630
180	1,170	316	1,202	2,859	0,508	0,693
183	1,255	471	1,302	3,020	0,645	0,657
186	1,35	923	1,442	3,303	1,026	0,418
187	1,8	0,1951	1,995	3,500	1,943	0,052
187,8	?	?	?	4,266	?	—
	$h_1$	$\frac{1}{J} p \cdot \frac{d v_2}{d \vartheta}$	$h_2$	$v_2$	$\frac{1}{J} \vartheta \left( \frac{\partial p}{\partial \vartheta} \right)_{v_2} \cdot \frac{d v_2}{d \vartheta}$	$h_v$
187,8	?	?	—	4,266	?	—
181	−2,2	−0,468	−2,668	5,45	−2,546	−0,122
186	−0,85	−0,307	−1,157	5,96	−1,507	+0,350
183	−0,25	−0,245	−0,490	7,04	−1,008	0,518
180	+0,07	−0,204	−0,134	7,95	−0,747	0,613
175	+0,170	−0,183	−0,013	9,34	−0,570	0,557
170	0,290	−0,174	+0,116	10,73	−0,484	0,600
160	0,371	−0,165	+0,206	13,71	−0,391	0,597
150	0,373	−0,161	+0,212	17,15	−0,334	0,546
140	0,380	−0,165	+0,215	21,10	−0,304	0,519
130	0,374	−0,172	+0,202	26,10	−0,292	0,494
120	0,390	−0,175	+0,215	32,3	−0,283	0,498
110	0,404	−0,179	+0,225	39,8	−0,265	0,490
100	0,400	−0,203	+0,197	49,5	−0,276	0,473
80	0,375	−0,211	+0,165	78	−0,267	0,432
60	0,355	−0,238	+0,117	128	−0,296	0,413
40	0,332	−0,264	+0,068	224	+0,315	0,382
20	0,313	−0,307	+0,005	424	−0,334	0,339
0	0,298	−0,326	−0,027	900	−0,338	0,311



Drucke, welche  $C_6H_{12}$  ausübt, wesentlich kleiner, als bei  $CO_2$ . Die spezifische Wärme  $h_v$  des gesättigten Dampfes ist daher nur ganz in der Nähe des kritischen Punktes negativ, sonst immer positiv, ganz im Gegensatz zu  $CO_2$  und Wasser. Die für  $c_v$  bez.  $h_v$  erhaltenen Zahlen sind bis auf eine Ausnahme, die durch die unsichere Bildung der Differentialquotienten in der unmittelbaren Nähe des kritischen Punktes bedingt ist, durchgängig positiv. Sie zeigen, daß  $c_v$  von niederen Temperaturen und großen Dichten anfangend bis  $t = 180^\circ$ , also bis nahe an den kritischen Zustand heran deutlich wächst, und daß  $h_v$  dann mit sinkender Temperatur und wachsender Dichte wieder abnimmt, so daß hier dasselbe Verhalten wie bei  $CO_2$  wieder hervortritt, daß  $c_v$  bez.  $h_v$  in der Nähe des kritischen Zustandes ein Maximum hat. Auffallend ist, daß bei gleichen Temperaturen entsprechenden Sättigungsdichten nahezu  $c_v = h_v$  ist.

Die Berechnung der Werte von  $c_v$  und  $h_v$  trägt dadurch eine gewisse Unsicherheit, daß bei ihr stets die von S. Young für jede Isopykne angegebenen Mittelwerte der Spannungskoeffizienten  $(\partial p / \partial \vartheta)_v$  verwendet sind.

Die Differenz  $c_i - c_v$  stellt auch hier die Energie dar, welche zur Arbeitsleistung gegen die inneren Kräfte, also gegen den Waalsschen Kohäsionsdruck aufgewendet wird, sie ist hier wesentlich kleiner als bei  $CO_2$ ; ebenso stellt  $h_i - h_v$  die bei der Volumenverminderung des gesättigten Dampfes bei höherer Temperatur von den Waalsschen Kräften getane Arbeit dar; auch sie ist geringer als bei  $CO_2$  und genügt nicht, um den Energiebedarf zur Erhöhung der Warmheit des Dampfes zu decken. Daher ist  $h_v$  im allgemeinen positiv.

10. *Direkte experimentelle Bestimmung der spezifischen Wärmen bei konstantem Volumen.* Die Versuche zur kalorimetrischen Bestimmung der genannten Größe wurden ebenso wie bei  $CO_2$  ausgeführt, sie waren hier deshalb besonders umständlich, weil bei den hohen Überhitzungen sehr große Wärmemengen schon allein durch den Glasballast dem Kalorimeter zugeführt wurden, daher der Eismantel schon nach wenigen Versuchen wieder erneuert werden mußte. Die Unsicherheit der Beobachtung durch die Differenzbildung wird hier noch durch den durch Fadenkorrektur bedingten thermometrischen Fehler verstärkt. Es ergaben sich folgende Mittelwerte:

Tabelle VII.

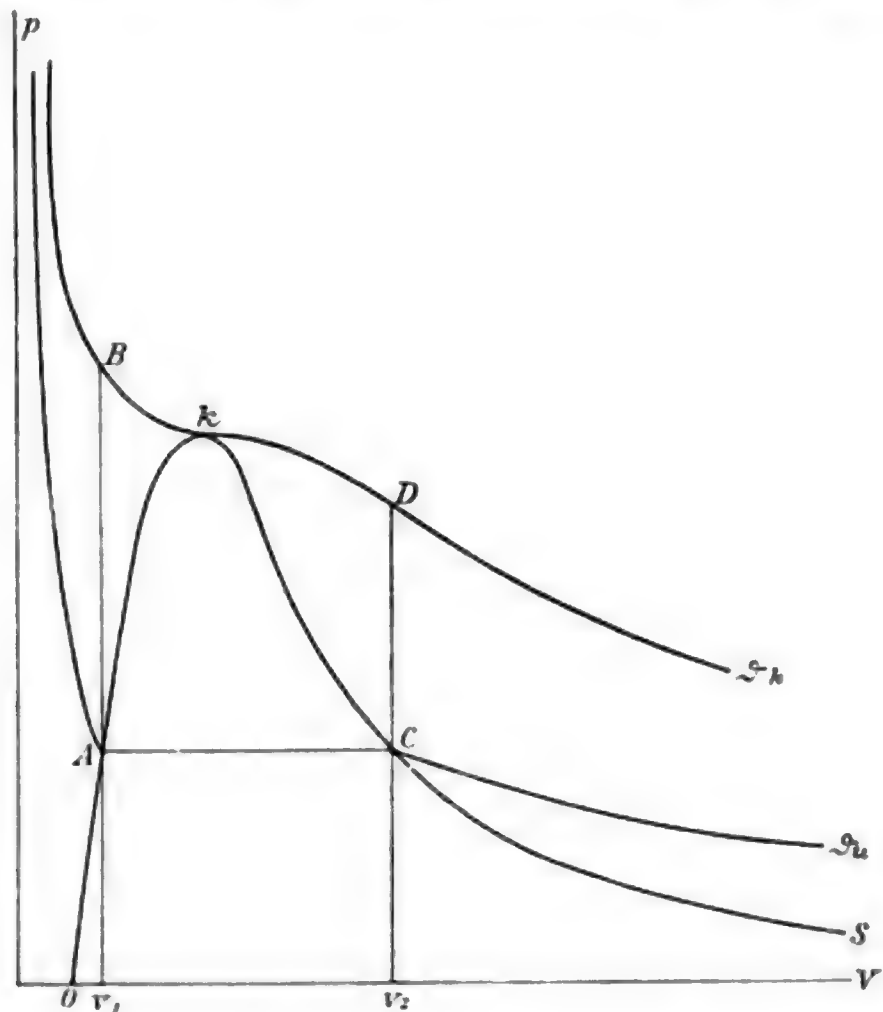
$t_1$	$v_1$ in $\text{cm}^3$	$(t - t_1)$	$c_v$
179,8 ( $f$ )	2,841	199—179,8	0,545
187,05 ( $f$ )	3,525	235,5—187,05	0,725
	$v_2$ in $\text{cm}^3$		$h_v$
187,7 ( $d$ )	4,642	234,5—187,7	0,690
187,3 ( $d$ )	5,207	236,5—187,3	0,75
180,6 ( $d$ )	7,73	224—180,6	0,700

Wenn diese Zahlen aus den angegebenen Gründen auch kaum eine größere Sicherheit als etwa 10 Proz. beanspruchen können, so zeigen sie doch so viel, daß jedenfalls die spezifische Wärme bei konstantem Volumen in der Nähe des kritischen Zustandes positiv und etwa 0,7 sein muß, und daß damit der Zahlenverlauf, den Tabelle VI b für diese Größe ergab, durch ein Maximum in der Nähe des kritischen Zustandes zu ergänzen ist.

11. *Die Abhängigkeit der spezifischen Wärmen bei konstantem Volumen von der Temperatur.* Es drängt sich naturgemäß die Frage auf, wieviel von der berechneten bez. beobachteten totalen Änderung der spezifischen Wärme bei konstantem Volumen auf die partielle Änderung dieser Größe mit dem Volumen entfällt und wieviel auf die mit der Temperatur. Diese Frage läßt sich nicht unmittelbar aus den Versuchen beantworten. Indessen kann man sich durch eine Energieberechnung, deren Sinn und Gang am besten an dem beistehenden Diagramm übersehen wird, davon überzeugen, daß die Temperaturabhängigkeit der spezifischen Wärmen  $c_v$  bez.  $h_v$  nur eine geringe sein kann, so daß sie jedenfalls nicht das beobachtete Maximum dieser Größe bei  $v_k$  verursacht haben kann, dieses vielmehr vornehmlich durch die Abhängigkeit vom Volumen bedingt sein muß.

In der Figur seien schematisch die Isotherme des Isopentans, also die Drucke  $p$  als Ordinaten zur Volumenabszisse, für die kritische Temperatur  $\vartheta_k$  eine beliebige tiefere Temperatur  $\vartheta_u$ , und die Sättigungskurve  $S$  gezeichnet. Durch die kalorimetrischen Beobachtungen ist dann der Energieüber-

schuß  $U_1$ , den die Masseneinheit flüssigen Isopentans für jeden beliebigen Punkt  $A$  des Flüssigkeitsastes der Sättigungskurve



über den als Nullniveau angenommenen Energieinhalt bei  $0^\circ$  im flüssigen Zustand hat, durch

$$U_1 = \int_0^t c_v d\vartheta = c_{im} \cdot t$$

bekannt. Fügt man die Energie hinzu, welche zur Überhitzung der Substanz längs der durch Punkt  $A$  gehenden Isopykne  $v_1$  auf die kritische Temperatur nötig ist, so erhält man unter der Annahme, daß  $c_v$  unabhängig von  $t$  sei,

$$U_{t_\kappa v_1} - U_1 = c_{v_1}(t_\kappa - t),$$

also durch

$$c_{im} \cdot t + c_{v_1}(t_\kappa - t) = U_{t_\kappa v_1}$$

den Energieaufwand, welcher zur Überführung der Substanz bis zum Zustand  $t_\kappa v_1$  aus dem Nullzustand längs des Weges  $O A B$  des Diagramms nötig ist.

Fügt man zu  $U_1$  die innere Verdampfungswärme  $\varrho_t$  hinzu, so erhält man durch

$$U_2 = U_1 + \varrho_t$$

auch den Energieüberschuß, den der zweite Sättigungszustand  $v_2$  bei  $t$  über dem Nullniveau hat, also wie leicht ersichtlich durch

$$c_{im} \cdot t + \varrho_t + h_{v_2}(t_{\kappa} - t) = U_{t_{\kappa} v_2}$$

auch die Energie, die nötig ist, um die Substanz in den durch  $t_{\kappa} v_2$  gegebenen Zustand längs des Weges  $o A C D$  der Figur überzuführen.

Ebenso durch

$$U_{t_{\kappa} v_{\kappa}} = \int_0^{t_{\kappa}} c_i d\vartheta = c_{im} \cdot t_{\kappa}$$

den Energieaufwand, der zur Überführung der Substanz in den kritischen Zustand nötig ist.

Demnach erhält man durch

$$U_{t_{\kappa} v_{\kappa}} - U_{t_{\kappa} v_1} = \int_{v_1}^{v_{\kappa}} \left( \frac{\partial U}{\partial v} \right)_{t_{\kappa}} \cdot dv$$

die Energieänderung mit dem Volumen bei  $t = t_{\kappa}$  zwischen  $v_1$  und  $v_{\kappa}$ , also zwischen den Punkten  $B$  und  $K$  des Diagramms und durch

$$U_{t_{\kappa} v_2} - U_{t_{\kappa} v_{\kappa}} = \int_{v_{\kappa}}^{v_2} \left( \frac{\partial U}{\partial v} \right)_{t_{\kappa}} dv$$

diejenige bei  $t_{\kappa}$  zwischen  $v_{\kappa}$  und  $v_2$  zwischen den Punkten  $K$  und  $D$  der Figur. Dieselben Größen sind aber auch durch S. Youngs Beobachtungen durch

$$\int_{v_1}^{v_{\kappa}} \left[ \vartheta \left( \frac{\partial p}{\partial \vartheta} \right)_v - p \right] dv = \int_{v_1}^{v_{\kappa}} a dv$$

und

$$\int_{v_{\kappa}}^{v_2} \left( \vartheta \left( \frac{\partial p}{\partial \vartheta} \right)_v - p \right) dv = \int_{v_{\kappa}}^{v_2} a dv$$

berechenbar, worin  $a$  diejenigen Drucke sind, welche Hr. S. Young in Tabellen <sup>1)</sup> angibt.

Ist die bei der kalorimetrischen Berechnung gemachte Annahme, daß  $c_v$  und  $h_v$  von der Temperatur unabhängig seien, zutreffend, so müssen die auf beiden Wegen berechneten Energieänderungen gleich sein.

Ich stelle die nach S. Young berechnete Tabelle, welche die Werte von  $\int_{v_1}^{v_2} a dv$  zwischen den aufeinander folgenden Werten von  $v$  darstellt, voran:  $v_{\infty} = 4,3 \text{ cm}^3$ .

Tabelle VIIIa.

$v \text{ in cm}^3$	$\int_{v_1}^{v_2} a dv \text{ in cal.}$	$v \text{ in cm}^3$	$\int_{v_1}^{v_2} a dv \text{ in cal.}$
1,6	0	4,3	0
1,7	4,637	5,0	3,115
1,8	3,986	6,0	3,434
1,9	3,464	8,0	4,655
2,0	2,981	10	3,015
2,2	4,912	15	4,285
2,4	3,769	20	2,277
2,6	2,983	30	2,436
2,8	2,463	40	1,310
3,0	2,056	50	0,786
3,2	1,773	100	1,641
3,4	1,563		
3,6	1,393		
3,8	1,263		
4,0	1,156		
4,3	1,577		

Zur Berechnung auf kalorimetrischem Wege dient die folgende Tab. VIII b, die wohl ohne weiteres verständlich ist; die unter  $c_v$  und  $h_v$  angegebenen Zahlen sind aus einer Kurven-darstellung, welche sich den aus Tab. VI b bez. VII berechneten bez. beobachteten Werten dieser Größe möglichst genau an-schmiegte, abgelesen.

1) S. Young, l. c. p. 238. 1899.



Tabelle VIIIb.

<i>t</i>	<i>v</i> <sub>1</sub>	<i>v</i> <sub>2</sub>	<i>U</i> <sub>1</sub> in cal.	<i>U</i> <sub>2</sub> in cal.	<i>c</i> <sub>v</sub>	<i>h</i> <sub>v</sub>
0	1,564	(900)	0	79,4	0,390	0,310
20	1,614	424	10,33	85,51	0,405	0,340
40	1,670	224	21,16	91,94	0,424	0,380
60	1,734	128	32,58	98,81	0,443	0,414
80	1,805	78	44,64	106,16	0,464	0,438
100	1,895	49,5	57,45	113,89	0,490	0,465
110	1,945	39,8	64,18	117,91	0,505	0,479
120	2,004	32,3	71,10	121,88	0,518	0,490
130	2,072	26,1	78,20	125,58	0,535	0,502
140	2,154	21,1	85,52	129,24	0,553	0,519
150	2,250	17,15	93,16	133,1	0,567	0,546
160	2,378	13,71	101,0	136,14	0,595	0,586
170	2,555	10,73	109,3	138,6	0,620	0,627
175	2,682	9,34	114,4	139,8	0,634	0,640
180	2,859	7,95	119,5	140,36	0,650	0,660
183	3,020	7,04	122,9	140,06	0,664	0,670
186	3,303	5,96	126,4	138,3	0,684	0,683
187	3,500	5,45	129,0	137,85	0,691	0,696
187,8	4,266	4,266	131,5	131,5	0,710	0,710

Nach dieser Tabelle treffen wir bei *t* = 100 auf die Sättigungsvolumen *v*<sub>1</sub> = 1,895 nahezu 1,9 und *c*<sub>v</sub> = 0,490. Demnach wäre

$$U_{t,v=1,9} = U_{1,t=100} + 0,490 \cdot (181,8 - 100) = 57,45 + 43,02 = 100,47 \text{ cal.}$$

$$V_{t,v,v_s} = 131,5.$$

Also

$$U_{t,v,v_s} - U_{t,v=1,9} = 31,0 \text{ cal.}$$

Dieselbe Energiedifferenz würde sich aus Tab. VIIIa aus der Summe der einzelnen Integrale berechnen zu

$$\int_{1,895}^{4,3} a \, dv = 28,1 \text{ cal.}$$

Es besteht eine deutliche Differenz, die darauf hinweist, daß *c*<sub>v</sub> in dem in Betracht kommenden Temperaturintervall etwas zunimmt, ein Mittelwert *c*<sub>v</sub> = 0,523 statt 0,490 würde die bestehende Differenz ausgleichen.

Ebenso findet sich nach Tab. VIII a

$$U_{t_{\infty} v = 49,5} = U_{2, t = 100} + 87,8 \cdot 0,465 = 163,9 \cdot 40,83 = 154,7 \text{ cal.}$$

Also

$$U_{t_{\infty} 49,5} - U_{t_{\infty} v_{\infty}} = (154,7 - 131,5) = 23,2 \text{ cal.}$$

Nach Tab. VIII a ergibt sich

$$\int_{v_{\infty}}^{49,5} a \, dv = 25,2 \text{ cal.}$$

Auch hier besteht eine Differenz zwischen beiden Berechnungen, welche durch den Mittelwert  $h_v = 0,484$  statt des angenommenen 0,465 ausgeglichen würde.

Es hat keinen Zweck, diese Berechnung genauer zu gestalten, denn die einzige Folgerung, welche hier gezogen wird, ist die, daß wenn  $c_v$  und  $h_v$  Temperaturfunktionen sind, sie doch nicht sich so stark mit der Temperatur ändern können, daß das beobachtete Maximum der spezifischen Wärmen bei konstantem Volumen allein von der Temperaturänderung herührt, vielmehr muß man schließen, daß  $c_v$  eine starke Abhängigkeit vom Volumen mit einem Maximum bei  $v_{\infty}$  zeigt, eine wesentlich geringere Abhängigkeit von der Temperatur.

Durch dieses Ergebnis wird aber die Energieberechnung nach S. Young in Tab. VIII a unsicher und ebenso müßten die in Tab. VI b aus den Beobachtungen berechneten Werte  $c_v$  bez.  $h_v$  korrigiert werden. Denn in beiden Fällen sind die von S. Young angegebenen Mittelwerte für

$$\left( \frac{\partial p}{\partial \vartheta} \right)_v \quad \text{und} \quad a = \vartheta \left( \frac{\partial p}{\partial \vartheta} \right)_v - p$$

benutzt, da nun aber nur bei  $v = v_{\infty}$

$$\frac{\partial c_v}{\partial v} = \vartheta \cdot \frac{\partial^2 p}{\partial \vartheta^2} = 0$$

ist, für kleinere Werte von  $v$  positiv, für größere negativ so folgt, daß für die Flüssigkeitsdichten zu große Werte von  $(\partial p / \partial \vartheta)_v$  benutzt sind, für die Dampfdichten zu kleine, und daß dementsprechend sowohl die Werte für  $c_v$  wie auch diejenigen für  $h_v$  größer werden müßten, als in Tab. VI b angegeben und daß ebenso auch die Berechnung der Tab. VIII b korrigiert werden müßte. Es ist aber unmöglich die Größe

der Änderung von  $\partial p / \partial \vartheta$  mit der Temperatur, die, wie hervorgehoben, auch Hr. S. Young selbst bemerkt hat, mit der Sicherheit zu ermitteln, die zu einer genaueren Berechnung nötig ist.

Die beiden in dieser Arbeit untersuchten Stoffe sind sogenannte „normale“ Substanzen; es wird zunächst Aufgabe der experimentellen Forschung sein, festzustellen, ob ein ähnliches Verhalten der spezifischen Wärmen sich bei allen Stoffen zeigt. Insbesondere wird es von Interesse sein, die gleichartige Untersuchung für Wasser durchzuführen, um die alte Frage nach der Abhängigkeit der spezifischen Wärmen des Wassers und des Dampfes von Temperatur und Volumen zu lösen. Die zu erwartenden experimentellen Schwierigkeiten werden beim Wasser wesentlich kleiner sein, denn bei nicht zu großer Annäherung an die kritische Temperatur sind die Drucke wesentlich kleinere als bei  $\text{CO}_2$ , daher können die Versuchsröhren dünnwandiger gemacht, der Glasballast also verkleinert werden, und ferner hat man bei Wasser, ganz im Gegensatz zu Isopentan, eine Flüssigkeit von großem spezifischen Gewicht und großer spezifischer Wärme, so daß man in den zur Verfügung stehenden Raum viel Masse von großer Wärmekapazität einfüllen kann. Alle diese Umstände wirken gemeinsam darauf hin, daß die von den Glaswandungen getragene Wärme klein wird gegen die von der Substanz benötigte, und daher eine wesentlich größere Sicherheit der Beobachtung erreicht werden kann. Die Vorbereitungen sind getroffen, um bei Wiederkehr der kalten Jahreszeit Versuche mit Wasser auszuführen.

Hannover, Kgl. Technische Hochschule, Mai 1903.

(Eingegangen 11. Mai 1903.)

---

9. *Über die von Hrn. Majorana  
gefundene Doppelbrechung im magnetischen Felde;  
von August Schmauss.*

*Einleitung.* Die vorliegende Arbeit bildet die Fortsetzung einer früheren Notiz<sup>1)</sup> über diesen Gegenstand.

Der leitende Gesichtspunkt war die Frage, ob die von Hrn. Majorana<sup>2)</sup> gefundene Doppelbrechung im Magnetfelde wirklich das von ihm gesuchte „Analogon der elektrischen Doppelbrechung für ein magnetisches Feld“<sup>3)</sup> darstellt.

Seit Faraday haben sich eine Reihe von Forschern vergeblich bemüht, in einem der Wirkung eines Magnetfeldes ausgesetzten festen oder flüssigen Medium (leuchtende Gase und Dämpfe machen eine Ausnahme) eine senkrecht zu den Kraftlinien stattfindende Doppelbrechung nachzuweisen.

Hr. Voigt<sup>4)</sup> hatte gezeigt, daß die magnetooptische Theorie eine solche Doppelbrechung verlangt, deren Größe durch dieselbe Konstante bestimmt ist, wie die Drehung der Polarisationssebene in der Richtung der Kraftlinien (der Faradayeffekt). Bei Versuchen an schwerstem Flintglase fand Hr. Voigt bei einer Feldstärke von 13000 C.G.S.-Einh. eine magnetische Doppelbrechung, „die an der Grenze des überhaupt Wahrnehmbaren lag“.<sup>5)</sup>

Danach schien die Untersuchung anderer Substanzen wenig Erfolg zu versprechen, vielleicht ausgenommen stark magnetischer Medien. Diese unterzog Hr. Majorana der Beobachtung. Eisenlamellen, Eisenchloridlösungen und andere *wohl definierte* Eisenverbindungen zeigten *keine* magnetische Doppelbrechung. Dagegen gelang es Hrn. Majorana *kolloidale* Eisenoxydhydratlösungen zu finden, die in einem Felde von

1) A. Schmauss, Ann. d. Phys. 10. p. 658. 1903.

2) Qu. Majorana, Rendic. Acc. dei Lincei 11. 1. sem. p. 374, 463, 531; 2. sem. p. 90, 139. 1902.

3) Vgl. Q. Majorana, l. c. die einleitenden Worte.

4) W. Voigt, Wied. Ann. 67., p. 345. 1899.

5) W. Voigt, l. c. p. 357.

18000 C.G.S.-Einh. bei einer Dichte von 1,001 in einem Trog von 7 cm Länge für grünes Licht einen Gangunterschied der parallel und senkrecht zu den Kraftlinien schwingenden Strahlen von 12 Wellenlängen ergaben.

Frisch bereitetes Eisenoxydhydrat in kolloidaler Lösung ist eine optisch leere Flüssigkeit. Durch jahrelanges Stehen wandelt es sich in ein trübes Medium um, das, senkrecht zum einfallenden Licht, in der Einfallsebene polarisiertes Licht reflektiert. Physikalisch haben wir uns den Vorgang wohl in der Weise zu denken, daß die *Lösung* allmählich den Charakter einer *Suspension* annimmt.

Eigentümlicherweise zeigt *frisches* Eisenoxydhydrat *keine* magnetische Doppelbrechung, wohl aber *altes*. Mit dem Alter *wächst* die Doppelbrechung.

Die bisweilen außerordentliche Größe der Doppelbrechung, die Unsicherheit des Erfolges, mit der die Herstellung der „aktiven Lösungen“ behaftet war, der Umstand, daß gerade solche kolloidale Lösungen, über deren Konstitution wir wenig wissen, „aktiv“ sind, rechtfertigen, wie ich glaube, den bereits erwähnten Gedanken, die beobachtete Doppelbrechung ließe sich vielleicht anders erklären, als dies von Hrn. Majorana geschehen ist.

#### I. Abschnitt.

Es möge im folgenden über die Versuche berichtet werden, die diesem Gedanken eine experimentelle Grundlage geben sollten.

1. Käufliches „Bravaissches Eisen“ von der Dichte 1,012 wurde mit vier Teilen destillierten Wassers verdünnt und etwa eine gleiche Menge flüssiger Gelatinelösung beigegeben. Letztere war durch Aufgießen heißen Wassers auf Gelatine erhalten. Erst nachdem die Lösung Zimmertemperatur angenommen hatte, wurde das Bravaissche Eisen damit vermischt.

Die Doppelbrechung im Magnetfelde wurde in der Weise beobachtet, daß durch die gekreuzten Nicolschen Prismen, deren Polarisations Ebenen Winkel von  $45^\circ$  mit den Kraftlinien einschlossen, nach einer elektrischen Glühlampe gesehen wurde.



Die anfänglich vollständig flüssige Lösung erstarrt allmählich; es wurde an einer Reihe solcher Lösungen, die gleich nach der Herstellung in das Magnetfeld gebracht wurden, aber verschieden lang darin verweilten, beobachtet, wie lange die Doppelbrechung noch nach Verschwinden des magnetisierenden Stromes in der Lösung erhalten blieb.

Die Messungen wurden in der Weise gemacht, daß die Zeit  $t'$  beobachtet wurde, während welcher der Kohlefaden der Glühlampe noch deutlich sichtbar war, wenn nach der Zeit  $t$ , gerechnet vom Einbringen der frisch bereiteten, mit Gelatine versetzten Lösung in das Magnetfeld (Stärke 9000 C.G.S.-Einh.), der magnetisierende Strom für die Dauer dieser Zeit  $t'$  geöffnet wurde. Nachher wurde der Strom wieder geschlossen, bis eine zweite, gleiche Beobachtung angestellt wurde.

Die Tab. 1 gibt ein Bild dieser Messungen.

Tabelle 1.

$t$	0	10'	20'	35'	50'	55'	65'
$t'$	0	1—2''	3—5''	7''	8''	12''	dauernd doppelbrechend

Wie man sieht, bleibt die Doppelbrechung um so länger bestehen, als die Lösung zähflüssiger wird. Nach 65' blieb sie dauernd bestehen. Die Gelatinelösung war dabei noch vollkommen plastisch, sie konnte durch Neigen des Gefäßes ausgegossen werden.

Es war leicht, sich zu überzeugen, daß die Doppelbrechung in *voller Stärke* bestehen blieb, dadurch, daß man die Doppelbrechung der Lösung mit einem senkrecht zu den Kraftlinien gepreßten Glasstreifen kompensierte und sah, ob beim Ausschalten des Magnetfeldes der Glühfaden erschien. Das war *nicht* der Fall.

Je nach der Konzentration der beigegebenen Gelatinelösung hat man länger oder kürzer zu warten, bis die Doppelbrechung in voller Stärke bestehen bleibt.

Durch *Umrühren* ließ sich die remanente Doppelbrechung sofort *aufheben*.

Da die Lösung durch ihre Lage zu den Polen des Magneten symmetrischen Temperatureinflüssen unterworfen ist, die eine etwaige Spannung und damit Doppelbrechung zur Folge haben könnten, war der Kontrollversuch, ob eine mit Gelatine versetzte Lösung zwischen den Polen *ohne* Magnetfeld doppelbrechend wird, geboten. Es trat keine Doppelbrechung auf, bis die Gelatine *fest* und dann selbst doppelbrechend wurde.

Denselben Erfolg wie die Beigabe von Gelatine hatte die Vermischung mit Hausenblase.

*Ohne* die Beigabe von Gelatine oder Hausenblase ließ sich die Doppelbrechung fixieren, wenn man eine Bravaissche Lösung auf einer Glasplatte im Magnetfelde *eintrocknen* ließ.

Da eingetrocknete Lösungen solcher kolloidaler Gebilde überhaupt doppelbrechend werden, allerdings mit keiner ausgezeichneten Richtung *in* der Ebene der Lamelle <sup>1)</sup>, wurde auch ohne Magnetfeld eine Lösung zwischen den Polen eingetrocknet. Diese zeigte die charakteristische Doppelbrechung nicht.

Das Ergebnis dieses ersten Teiles ist: *Es läßt sich durch geeignete Mittel, welche die Flüssigkeit zum Erstarren bringen, die im Magnetfelde in der Flüssigkeit beobachtete Doppelbrechung dauernd erhalten.*

2. Ferner ließ sich zeigen, daß auch das *Anwachsen* der Doppelbrechung in diesen zähflüssigen Lösungen bis zur vollen Stärke Zeit braucht.

Es wurde ein 10 cm hoher Glastrog benützt, der im Magnetfeld (Durchmesser des homogenen Feldes 2,5 cm) rasch auf und ab bewegt werden konnte, so daß stets neue Lösung in das Magnetfeld eintrat. Zuerst wurde die Stärke des magnetisierenden Stromes so gewählt, daß die Doppelbrechung der ruhenden Lösung gleich der des kompensierenden Glasstreifens, der Kohlenfaden der Lichtquelle also nicht sichtbar war. Dann wurde der Trog rasch auf und ab bewegt. Das Erscheinen des Kohlenfadens, der wieder verschwand, nachdem der Trog einige Zeit in Ruhe war, zeigte an, *daß die Doppelbrechung Zeit braucht, um in einer gelatinösen Lösung in voller Stärke zu erscheinen.*

---

1) Vgl. darüber P. Groth, Physikal. Krystallographie 2. Aufl. p. 133. 1885.

3. Es wurde eine frisch mit Gelatine versetzte Lösung in das Magnetfeld gebracht und beobachtet, bei welcher Stärke des magnetisierenden Stromes die Doppelbrechung der Lösung durch eine bestimmte Kompression des Glasstreifens kompensiert wurde. Hierauf wurde der Strom geöffnet, die Lösung zwischen den Polen belassen, bis die remanente Doppelbrechung verschwunden war und nach der Zeit  $t$  beobachtet, bei welcher Stromstärke jetzt die Doppelbrechung der Eisenlösung gleich der des Glasstreifens wurde. In Tab. 2 sind die Beobachtungen eingetragen.

Tabelle 2.

$t$	0	5'	10'	15'	20'	25'
Ampère zahl }	5 Amp.	5 Amp.	6 Amp.	7 Amp.	8,25 Amp.	nicht mehr doppel- brechend

Wie man sieht, läßt es sich durch Beigabe von Gelatine, welche die Lösung allmählich zum Erstarren bringt, erreichen, daß die Lösung unter dem Einflusse des Magneten nicht mehr doppelbrechend wird.

Durch Aufgießen einiger Tropfen warmen Wassers und kräftiges Umrühren konnte der Lösung die ursprüngliche Doppelbrechung wiedergegeben werden. Wenn man nicht zu lange gewartet hat, genügt Umrühren allein. Diese Tatsache zeigt uns, daß es nicht eine dauernde *chemische* Änderung gewesen, welche der Lösung die Eigenschaft, im Magnetfelde doppelbrechend zu werden, benommen hat.

4. Bei dem Bestreben, den Temperaturkoeffizienten der Doppelbrechung zu bestimmen, zeigte sich das Resultat, daß die Bravaissche Lösung (ohne Gelatinezusatz) bei gewöhnlicher Temperatur *stark negativ* doppelbrechend war, mit steigender Temperatur nahm die Doppelbrechung ab, bei einer bestimmten Temperatur war *keine* Doppelbrechung vorhanden, darüber hinaus wurde sie *positiv*.

In folgender Tab. 3 bedeutet  $\vartheta$  die Temperatur der Lösung; bei der zugehörigen Ampèrezahl des magnetisierenden Stromes war die Doppelbrechung der Lösung so stark wie die des kompensierenden Glasstreifens.

Tabelle 3.

## a) Negative Doppelbrechung.

$\vartheta$	22°	26°	32°	37°	42°	45°	47°	52°
Ampère- zahl	4,5 A.	4,75 A.	6 A.	7 A.	9 A.	11,5 A.	15 A.	$\infty$

## b) Positive Doppelbrechung.

$\vartheta$	52°	59°	62°	65°	70°
Ampère- zahl	$\infty$	11 Amp.	10,5 Amp.	10 Amp.	9 Amp.

Der Umkehrpunkt lag also für diese Lösung zwischen 52° und 54°. Bei dieser Temperatur konnte die Lösung nicht doppelbrechend gemacht werden.

Es wurden verschiedene Konzentrationen hergestellt, und auch für diese der Umkehrpunkt bestimmt. Es ergab sich für alle *dieselbe* Temperatur, bei welcher eine Doppelbrechung nicht auftrat.

Auch diese positive Doppelbrechung der über 52° erhitzten Lösung läßt sich fixieren, wenn man auf einer Glasplatte im Magnetfeld die Lösung durch eine darunter gestellte Flamme erhitzt und eintrocknen läßt.

Dieses Resultat des Überganges der Doppelbrechung von negativer zu positiver bei einer Temperatur, die für alle Konzentrationen dieselbe war, erinnert an eine Beobachtung Majoranas<sup>1)</sup>, der bei manchen Lösungen einen durch *Erhöhung der Feldstärke* stattfindenden Übergang von positiver zu negativer Doppelbrechung feststellen konnte. Der Inversionspunkt zeigte sich hier für alle Konzentrationen derselben Lösung *konstant* in Bezug auf die *Feldstärke*.

5. *Abhängigkeit von Beimengungen* Die Doppelbrechung wurde durch Beigabe von Alkohol oder Glyzerin (wenn letzteres kein Ausfällen des Eisenoxys zur Folge hatte) nicht wesentlich verändert. Dagegen verminderte die Beigabe einer konzentrierten Gummilösung (Dichte 1,15) die Doppelbrechung. Gleichzeitig nahm die Lösung ein mehr rötliches Aussehen an, während eine wässrige Lösung gelb ist.

1) Q. Majorana, l. c. 11. 1. sem. p. 533.

Es wurden gleiche Volumenkonzentrationen von wässerigen und Gummilösungen (körniges Gummi arabicum) hergestellt. Um in der letzteren eine Doppelbrechung gleich der des Glasstreifens zu erreichen, war ein Feld von 7000 C.G.S.-Einh. notwendig, während in der wässerigen Lösung 6200 C.G.S.-Einh. genügten. Noch konzentriertere Gummilösungen (Dichte 1,2) eigneten sich besonders gut zu zeigen, daß die Doppelbrechung in solchen dickflüssigen Lösungen längere Zeit braucht, bis sie ganz verschwindet. Der Kohlefaden, der durch die gekreuzten Nicols beobachtet wurde, war noch etwa 20'' nach Ausschalten des Stromes in abnehmender Helligkeit zu sehen. Rührte man die Gummilösung mit einem Glasstab um, dann war er sofort verschwunden.

Eine merkwürdige Einwirkung zeigte Eisenchloridlösung. Dieselbe bringt, wie andere Salzlösungen, das Eisenoxydhydrat zur Fällung. Gibt man jedoch nur einige Tropfen Eisenchlorid der Bravaisschen Lösung bei, dann zeigt sich die Doppelbrechung außerordentlich *verstärkt*. Es gelang z. B. die Doppelbrechung des Glasstreifens, die vorher in einem Felde von 7500 C.G.S.-Einh. kompensiert war, nach Beigabe von etwas Eisenchlorid schon bei 2500 C.G.S.-Einh. zu kompensieren. Nach etwa 5' wurde die Lösung trübe, dann nahm die Doppelbrechung rasch ab.

Es wurden auch für diese Lösungen die Temperatur bestimmt, bei welcher sie *nicht* doppeltbrechend waren. Für alkoholische, mit Glyzerin und Gummi versetzte Lösungen ergaben sich nahe dieselben Temperaturen. Dagegen lag die Temperatur für eine wässrige Lösung, der einige Tropfen Eisenchlorid beigegeben wurden, wesentlich höher, nämlich zwischen 62 und 64°.

6. Mit denselben Mitteln wie die magnetische Doppelbrechung läßt sich auch die von Hrn. Majorana gefundene „bimagnetische“ Drehung der Polarisationsebene fixieren. Es wurden solche Lösungen, die nach Angabe Hrn. Majoranas senkrecht zum Magnetfeld eine Drehung der Polarisationsebene, deren Sinn von der Richtung der Kraftlinien unabhängig ist, ergeben, mit Gelatine versetzt. *Die Drehung blieb bestehen*, wenn die Lösung zähflüssig geworden war



## II. Abschnitt.

Betrachten wir die erhaltenen Resultate, dann geht, wie ich glaube, daraus hervor, daß die von Hrn. Majorana gefundenen Erscheinungen eine andere Erklärung zulassen, als sie ihnen Hr. Majorana gegeben hat.

Die Tatsache, daß sich durch Beigabe zähflüssiger Medien die Doppelbrechung erhalten läßt, daß sich die Lösung ohne eine chemische Änderung in einen Zustand versetzen läßt, in welchem sie nicht doppelbrechend wird, scheint die Annahme zu rechtfertigen, daß suspendierte Teilchen unter dem Einflusse des Magnetfeldes *gerichtet* werden.

Das Gesetz, das Hr. Majorana für die Größe der Doppelbrechung aufgestellt hat

$$\beta = \frac{K \cdot l (\delta - 1) H^2 \lambda_{Na}^2}{\lambda^2},$$

worin  $K$  eine Konstante,  $l$  die Schichtdicke,  $(\delta - 1)$  die Konzentration,  $H$  die Feldstärke bedeutet, widerspricht unserer Annahme nicht.

In der Formel ist charakteristisch, daß die *Feldstärke* im *Quadrat* eingeht. Bekanntlich<sup>1)</sup> ist das Drehungsvermögen, das in einem magnetischen Felde auf aufgehängte Körper ausgeübt wird, proportional mit dem *Quadrat* der Feldstärke.

Sind die im I. Abschnitt in den Absätzen 1 bis 3 und 5 bis 6 mitgeteilten Tatsachen ohne weiteres mit der Vorstellung verträglich, daß es sich um die Richtung suspendierter Teilchen handelt, so bedarf der Absatz 4 näherer Erörterung.

Es wurde dort gezeigt, daß sich für eine bestimmte *Temperatur* der Sinn der Doppelbrechung umkehrt, und diese Erscheinung in Beziehung gesetzt zu dem Resultate Majoranas, daß manche Lösungen für ein bestimmtes *Feld* eine Umkehr ergeben.

Die „trüben Medien“, zu welchen auch das Bravaissche Eisen gehört, sind Suspensionen eines Mediums  $A$  in einem Medium  $B$ . Den beiden Bestandteilen werden wir verschiedene magnetische Permeabilität zuschreiben müssen. Dann er-

1) Vgl. G. Wiedemann, Die Lehre von der Elektrizität. 2. Aufl. 3. p. 1003. 1895.

innert das Verhalten der Lösungen bei Temperaturerhöhung an das bekannte magnetische Verhalten gewisser, aus magnetischen und diamagnetischen Substanzen gemengter Stoffe.<sup>1)</sup> Der eine Bestandteil, der sich bei gewöhnlicher Temperatur dem anderen gegenüber als magnetischer Körper verhält, erlangt bei höherer Temperatur infolge verschieden starker Abnahme des Magnetismus diamagnetische Eigenschaften. Waren die Teilchen *A* z. B. erst axial orientiert, dann werden sie sich jetzt in die äquatoriale Lagen begeben. Von Faraday<sup>2)</sup> wurde die magnetische Einstellung von Kristallen in verschieden stark magnetischen Flüssigkeiten eingehend untersucht.

Von dem gleichen Gesichtspunkt läßt sich das Resultat Majoranas betrachten, die *Änderung des Sinnes der Doppelbrechung* (Inversionspunkt) bei einer *bestimmten Feldstärke*: Auf der verschieden schnellen Annäherung der magnetischen Anziehung und diamagnetischen Abstoßung der Körper durch die Pole an ein Maximum mit wachsender magnetisierender Kraft beruht das eigentümliche Verhalten, welches Gemenge verschieden stark magnetischer Substanzen vor den Magnetpolen zeigen.<sup>3)</sup> An Stelle der vorherigen Anziehung kann Abstoßung eintreten. Die Bedingung für die Existenz eines solchen Inversionspunktes ist das Schneiden der beiden Kurven, welche für die beiden Bestandteile die Abhängigkeit der Magnetisierung von der magnetisierenden Kraft angeben.

Es erübrigte noch zu untersuchen, ob eingetrocknete oder mit Gelatine versetzte dauernd doppelbrechende Lösung magnetische Polarität zeigt. Mit einem Weberschen Magnetometer, dessen Empfindlichkeit ausreichte, um den Eisengehalt gewöhnlichen Kupfers festzustellen, konnte wohl paramagnetisches Verhalten, aber *keine* Polarität beobachtet werden. Die Abhängigkeit der Doppelbrechung von dem *Quadrate* der Feldstärke ließ das wohl voraussehen.

Dieses Resultat setzt sich in Beziehung zu folgendem Experiment: In der konzentrierten Gummilösung blieb die Doppelbrechung etwa 20'' bestehen. Man konnte daher rasch den magnetisierenden Strom umkehren, ehe die Doppelbrechung

1) G. Wiedemann, l. c. p. 1007.

2) M. Faraday, Pogg. Ann. 100. p. 111 u. 439. 1857.

3) G. Wiedemann, l. c. p. 949.

verschwand. Waren die Teilchen polarmagentisch, dann mußte nach Umschalten des Stromes das Bild des Kohlefadens erst verschwinden und dann wieder erscheinen, was nicht der Fall war.

Es erscheint nicht überflüssig, zu bemerken, daß bei Beobachtung der Lösungen parallel zu den Kraftlinien linear-polarisiertes Licht nie eine Veränderung zeigte. Leider wich die Faradaysche Drehung der Polarisationssebene so wenig von der des Wassers ab, daß sie keinen Aufschluß geben konnte über die stete Veränderung der Zusammensetzung, welche das Medium durch das Richten der suspendierten Teilchen erleiden mußte.

### III. Abschnitt.

Da nach den vorliegenden Untersuchungen der *Suspensionscharakter* der Eisenlösungen von Bedeutung zu sein scheint, wurde gesucht, ob nicht andere kolloidale Lösungen die Erscheinung der Doppelbrechung im Magnetfelde zeigen.

Mastixtrübungen, Seifenlösungen, kolloidale Kieselsäure, Schwefellösungen <sup>1)</sup>, kolloidale Silber- und Goldlösungen <sup>2)</sup> zeigten keine Doppelbrechung.

### Resultat.

Die vorliegenden Untersuchungen lassen die Annahme zu, daß die von Hrn. Majorana gefundene Doppelbrechung im Magnetfelde dadurch erklärt werde, daß suspendierte Teilchen, deren Vorhanden in einer kolloidalen Eisenlösung wohl nicht zu bezweifeln ist, durch das Magnetfeld gerichtet werden.

München, Physikal. Institut der Universität, Mai 1903.

1) Hergestellt nach G. Quincke, Ann. d. Phys. 9. p. 991. 1902.

2) Hergestellt nach G. Bredig, Beibl. 25. p. 668. 1901.

(Eingegangen 20. Mai 1903.)

### 10. *Ein neuer Apparat zur Verflüssigung des Wasserstoffs; von K. Olszewski.*

(Aus dem „Bulletin International de l'Académie des Sciences de Cracovie“, Mai 1903.)

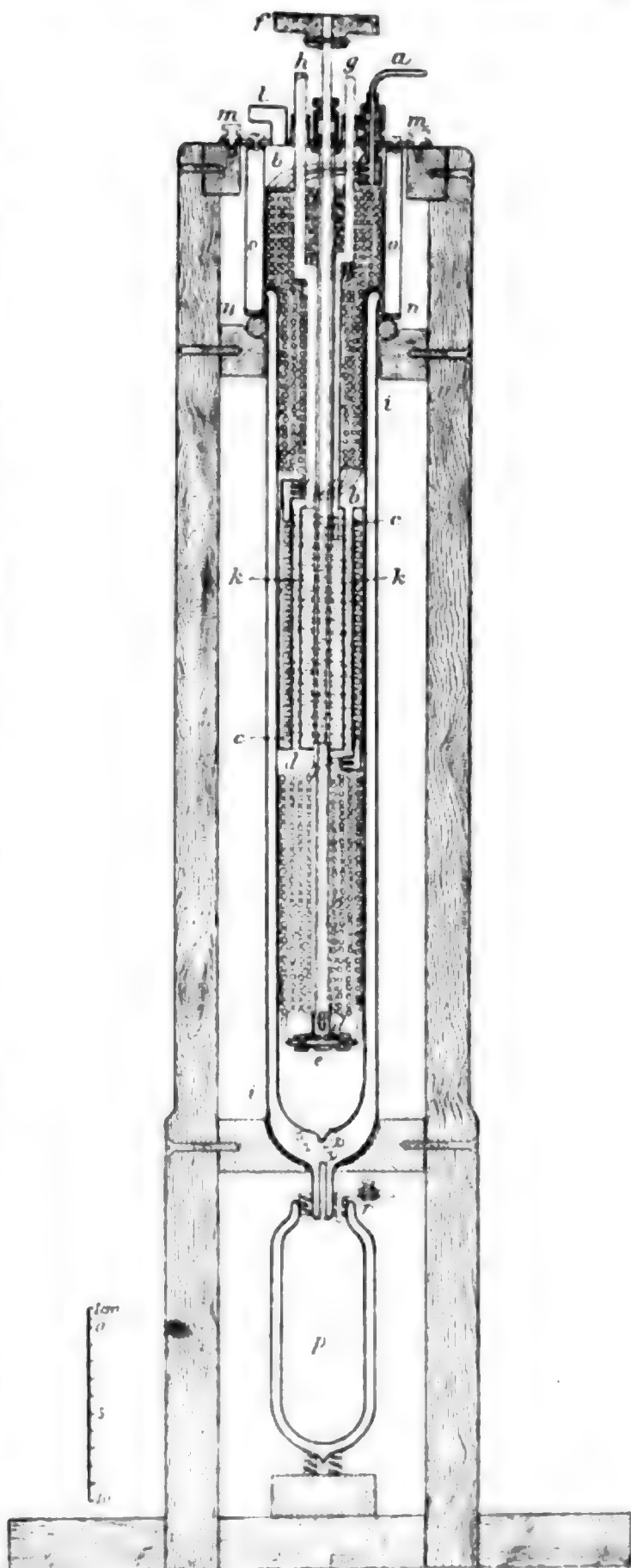
In meiner früheren Abhandlung <sup>1)</sup> habe ich zwei Luftverflüssigungs- sowie einen Wasserstoffverflüssigungsapparat beschrieben. Unlängst habe ich einen neuen Wasserstoffverflüssiger erprobt, mit dessen Herstellung ich während der letzten Monate beschäftigt war. Die Probe ist sehr gut ausgefallen, und hat bewiesen, daß dieser neue Apparat während der Verflüssigung des Wasserstoffs noch besser funktioniert, als der von mir vorher beschriebene, und daß er sowohl zur Verflüssigung größerer Mengen Luft wie auch zur demonstrativen Verflüssigung derselben Anwendung finden kann. Das Prinzip des Apparates ist dasselbe geblieben; der Unterschied besteht hauptsächlich darin, daß die beiden Regeneratoren, sowie der dazwischenliegende Kühler, welcher zur Aufnahme von flüssiger Luft dient, in demselben Vakuumgefäße untergebracht worden sind. Auf diese Weise wurde eine bessere Wärmeisolierung aller Apparatenteile erreicht, wodurch die Menge der flüssigen Luft, die zur Abkühlung des Apparates und des Wasserstoffs erforderlich ist, erheblich reduziert wurde. Es entfiel auch die Notwendigkeit Wolle zur Isolierung des Apparates anzuwenden, wodurch die Ausmaße sowie das Gewicht des Apparates beträchtlich verkleinert wurden, und der Apparat ein stattlicheres und übersichtlicheres Aussehen gewann.

Die beigelegte Figur stellt einen vertikalen Schnitt durch den Apparat vor. Der Verflüssiger *dd*, der Kühler *bd* und

---

1) K. Olszewski, Bulletin de l'Académie des Sciences de Cracovie, Dezember 1902; Ann. d. Phys. 10. p. 768—782. 1903.

der Regenerator *bb* sind an einer Neusilberröhre festgemacht, welche mit ihrem oberen Ende an die Messingplatte *mm*, mit Hülfe einer entsprechenden Mutter, welche gleichzeitig zum Abdichten der Ventilstange *fe* dient, angeschraubt ist. Die Schrauben *mm* dienen zum Befestigen der Messingplatte, und somit des ganzen metallenen Theiles des Apparates an das hölzerne Gestell. Der Verflüssiger *dd*, sowie der untere, engere Teil des Regenerators *bb* sind mit Flanell so umwickelt, daß sie in das Vakuumgefäß *ii* mit leichter Reibung hineinpassen; das Gefäß ist innen versilbert, mit Ausnahme des unteren Theiles, unterhalb des Ventiles *e*. Das Messingrohr *oo*, welches im oberen Teile an den Messingdeckel dicht angeschraubt ist, ruht mit dem unteren Teile auf dem Kautschukringe *nn*, so daß man durch Anziehen der Schrauben *mm* einen gasdichten Abschluß zwischen dem oberen Apparatenteile *mn* und dem Vakuumgefäß *ii* erreichen kann. Der Raum zwischen dem Rohre *oo* und dem





erweiterten Teile des Regenerators *bb* ist behufs Isolation mit Flanell ausgefüllt. Das Röhrchen *g* dient zum Hineingießen von flüssiger Luft in den Kühler *bd*, die verdampfte Luft entweicht durch die Röhre *h* nach außen. Aus dem Kompressor bez. aus dem Hochdruckreiniger, welcher mit Kalistangen beschickt ist, gelangt der Wasserstoff durch die Röhre *a* in den Regenerator *bb*, und darauf, durch die abgekühlte Spirale *cc*, in den Verflüssiger *dd*, welcher in einem Ventil *e* endet; dieses Ventil, welches mittels des Griff-rädchens *f* reguliert werden kann, dient zum Entspannen des Wasserstoffs. Das expandierte Gas strömt auf dem Rückwege zwischen den Windungen des Verflüssigers *dd* und gelangt dann durch die Röhrchen *kk*, welche sich in dem Kühler *bd* befinden, zwischen die Windungen des Regenerators *bb*, und entweicht schließlich durch die Röhre *l* nach außen bez. zurück in das Gasometer und in den Kompressor.

Die Ausmaße der wichtigeren Teile des Apparates sind die folgenden: Der Verflüssiger *dd* und der Regenerator *bb* bestehen aus je drei Kupferröhren, welche einander parallel gewickelt sind, ähnlich wie die Drähte der sekundären Spulen größerer Induktoren. Der äußere Durchmesser der Röhren ist 2 mm, der innere 1,2 mm, die Höhe der Spirale *dd* 140 mm, die Weite derselben 48 mm, die Höhe des engeren Teiles der Spirale *bb* 120 mm, die Weite 48 mm, die Höhe des weiteren Teiles derselben Spirale 50 mm, die Weite 68 mm. Länge des Kühlers *bd* 140 mm, Weite 50 mm, der äußere Durchmesser des Kupferrohres *cc* 3,8 mm, der innere 2,4 mm; lichte Weite der Röhrchen *kk* 6 mm, lichte Weite des Röhrchens *l* 8 mm, Länge der Messingröhre *oo* 100 mm, ihre Weite 90 mm. Innere Tiefe des Vakuumgefäßes *ii* 500 mm, innere Weite 51 mm, äußerer Durchmesser 65 mm, Fassungsraum des Rezipienten *p* 200 cm<sup>3</sup>. Ganze Höhe des Apparates bis zu der Messingplatte *mm* 810 mm. Zum Bau der Regeneratoren wurden Kupferröhren von möglichst kleiner lichten Weite angewandt, um die kühlende Oberfläche zu vergrößern; größere Anzahl der Röhren vermindert die übermäßige Reibung des Gases.

Die angegebenen Dimensionen des Apparates haben sich bei der Verflüssigung des Wasserstoffs, sowie bei der Verflüssigung der Luft während einer Vorlesung sehr gut bewährt.

Sollte der Apparat auch zur Verflüssigung größerer Mengen Luft (3—6 Liter pro Tag) Verwendung finden, dann würde eine geringere Vergrößerung (um  $\frac{1}{5}$ ) der lichten Weite aller Röhren und Gefäße angezeigt sein, wobei die Länge der einzelnen Teile, sowie die Höhe des ganzen Apparates (um  $\frac{1}{10}$ ) kleiner ausfallen könnte.

Um Wasserstoff zu verflüssigen, muß man bekanntlich zuerst den Regenerator *dd* auf die Temperatur der flüssigen Luft abkühlen. Aus den verschiedenen Kühlmethoden, welche angewandt werden können, hat sich die folgende als die beste erwiesen: Man gießt in den Kühler *db* flüssige Luft durch das Röhrchen *g* solange hinein, bis die Flüssigkeit durch das Röhrchen *h* in Gestalt kleiner Tröpfchen herauszuspritzen anfängt; darauf verbindet man die Röhre *a* mit einer Stahlflasche von 13 Liter Fassungsraum, welche trockene und kohlendensäurefreie Luft unter einem Drucke von etwa 100 Atm. enthält, sowie mit einem Metallmanometer, welches an der rechten Seite des hölzernen Gestelles befestigt werden kann. Durch Öffnen des Ventiles *e* mit Hülfe des Griffrades *f* vermittelt man die Entspannung der Luft, welche im Kühler *bd* auf die Temperatur der siedenden Luft abgekühlt wird, und innerhalb 4—5 Min. den Regenerator *dd* auf diese Temperatur abkühlt. Wenn sich im unteren Teile des Gefäßes *ii* etwa 20—30 cm<sup>3</sup> flüssige Luft angesammelt haben, verschließt man die Flasche mit komprimierter Luft, wodurch der Druck im Apparate in kurzer Zeit auf 1 Atm. sinkt. Man verbindet darauf den Apparat mit Hülfe des Rohres *a* mit dem Kompressor, bez. dem Hockdruckreiniger des Hampsonschen Apparates, welcher Wasserstoff unter einem Drucke von 150 bis 200 Atm. enthält, und leitet in den Apparat Wasserstoff unter schwachem Drucke hinein, indem man das Ventil des Reinigers vorsichtig aufmacht, wodurch der Rest der flüssigen Luft, welche sich im Regenerator *dd* befand, entfernt wird. Die flüssige Luft, welche sich im Gefäße *ii* befindet, wird in das Gefäß *p* durch Öffnen des Hahnes *r* abgelassen; das Gefäß *p*, welches mit dem Abflußrohre des Gefäßes *ii* mit Hülfe eines Kautschukstopfens verbunden ist, kann leicht abgenommen, und die Luft daraus herausgegossen werden.

Eine Stahlflasche, welche Luft unter einem Drucke von

100 Atm. enthält, kann einige Male zum Abkühlen des Apparates dienen und diese Kühlungsmethode ist auch aus dem Grunde vorteilhaft, daß die flüssige Luft mit dem Flanell, welches zur Abdichtung des Regenerators *dd* dient, nicht in Berührung kommt, und deshalb leichter aus dem Apparate zu entfernen ist.

Nach wiederholter Abdichtung des Rezipienten *p* läßt man Wasserstoff noch einige Minuten durch den Apparat unter kleinem Drucke strömen, um die Luft gründlich zu entfernen. Nachdem dieses bereits geschehen ist, verschließt man das Expansionsventil *e*, und setzt den Kompressor in Gang; wenn der Druck auf 200 Atm. gestiegen ist, beginnt man die Expansion bez. die Zirkulation des Wasserstoffs, indem man das Ventil *e* vorsichtig aufmacht. Um die Entspannung zu regulieren, bedient man sich der Angaben des oben erwähnten Metallmanometers für hohe Drucke, sowie eines Glyzerinmanometers (welches in der Zeichnung nicht ersichtlich ist); dieses ist an der linken Seite des oberen Teiles des hölzernen Gestelles befestigt und mit dem Röhrchen *l* mittels einer entsprechenden Abzweigung verbunden. Beinahe gleichzeitig mit dem Beginn der Entspannung des Wasserstoffs fängt die dieses Gas verunreinigende Luft an zu erstarren; nach Ablauf von einer Minute ungefähr beginnt auch der Wasserstoff sich zu verflüssigen, und sammelt sich im unteren Teile des Gefäßes *ii* an. Durch Lüften des Hahnes *r* läßt man flüssigen Wasserstoff durch ein Leinwandsieb (welches in der Figur nicht abgebildet ist) in den versilberten Rezipienten *p* hinunterfließen. Nach Ablauf von 8—10 Min., vom Beginn des Expandierens gerechnet, füllt sich der Rezipient von 200 cm<sup>3</sup> Fassungsraum vollständig mit flüssigem Wasserstoff an. Die zum Abkühlen des Apparates sowie zum Verflüssigen von 200 cm<sup>3</sup> Wasserstoff verbrauchte Menge flüssiger Luft betrug bloß 1700 g. Die Verflüssigung weiterer Portionen Wasserstoff erfordert in dem bereits abgekühlten Apparate nur kleine Luftmengen mehr. In einem versilberten Vakuumgefäße hält sich der flüssige Wasserstoff verhältnismäßig lange: die vollständige Verflüchtigung einer 200 cm<sup>3</sup>-Portion dieser Flüssigkeit fand erst nach Verlauf von fünf Stunden statt, obwohl dieselbe Portion zur Messung der elektrischen Leitfähigkeit von sieben Spulen mit aufgewickelten Metalldrähten diente.

Der oben beschriebene Apparat funktioniert im allgemeinen tadellos; ich bemerkte nicht einmal eine zeitweilige Verstopfung des Expansionsventiles, obwohl der Wasserstoff, wahrscheinlich infolge des Undichtwerdens des Kompressors, während des Versuches ziemlich stark mit Luft verunreinigt wurde. Die Analyse des Wasserstoffs nach Beendigung des Experimentes ergab einen Gehalt von 0,9 Proz. Sauerstoff. Das regelmäßige Funktionieren des Expansionsventiles ist dadurch erzielt worden, daß der Regenerator *dd* aus drei parallelen Kupferröhren zusammengewickelt, sowie daß das Gewinde der Ventilstange in den unteren Teil des Kühlers *bd* versetzt worden ist, an welchem Orte die den Wasserstoff verunreinigende Luft nicht erstarren, und die Bewegungen des Ventiles nicht hemmen kann. Um jedoch die Verstopfung der dünnen Kupferröhrchen des Regenerators zu verhüten, soll man sie vor einem jeden Experimente genau trocknen, indem man durch dieselben vermittelst einer Pumpe Luft zieht.

Krakau, I. chemisches Universitätslaboratorium.

(Eingegangen 3. Mai 1903.)

**11. Die spezifische Wärme der Lösungen  
von Naphtalin in verschiedenen organischen  
Lösungsmitteln; von Carl Forch.**

---

1. In den im folgenden beschriebenen Versuchen wurde die spezifische Wärme von Naphtalinlösungen, zu welchen als Lösungsmittel benutzt wurden: Schwefelkohlenstoff, Toluol, Benzol, Chloroform und Äthyläther, nach der Pfaunderschen Methode gemessen, und zwar teilweise relativ unter Verwendung zweier identischer Kalorimeter, teilweise absolut, indem die dem Kalorimeter zugeführte Wärmemenge durch Zeit-, Strom- und Widerstandsmessung bestimmt wurde. Schwefelkohlenstoff und Chloroform wurden aus reinen Produkten nochmals überdestilliert, Benzol (thiophenfrei) und Äthyläther (über Na destilliert) waren als „purissima“, Toluol als „purum“ von E. Merck bezogen. Naphtalin war „puriss. cryst.“.

2. *Das Instrumentarium.* Die Temperaturen wurden an zwei genau gleichen in  $\frac{1}{50}^{\circ}$  geteilten Thermometern, die wie eine vor der Herstellung derselben vorgenommene Kalibration ihrer Röhren ergab, keine irgendwie zu berücksichtigende Kaliberfehler hatten, abgelesen. Die Kalorimeter waren 10,5 cm hohe, 8,5 cm breite zylinderförmige Messinggefäße von etwa 114 bez. 100 g Gewicht. Die Erwärmung erfolgte durch Heizspiralen aus Konstantandraht von 0,2 mm Durchmesser und 8,97  $\Omega$  bez. 8,63  $\Omega$  Widerstand. Der Draht war auf vertikale Glimmerplättchen aufgespannt. An denselben waren dicke Kupferdrähte angelötet, welche in Glasröhrchen eingekittet waren. Durch diese waren die Widerstände in Korken befestigt, und konnten so in passende Stützen eingesetzt werden. Zur Heizung wurden die beiden hintereinander geschalteten — bez. der eine und ein Kupfervoltmeter — mit einem entsprechenden Vorschaltwiderstand an die Lichtleitung angeschlossen. Der Strom betrug 0,8—1,0 Amp. Die Thermometer saßen etwas außerhalb der Achse der Gefäße. Ein



dritter, durch einen Kork verschließbarer Stutzen im Deckel der Kalorimeter, diente zum Einfüllen von Lösungsmittel bez. Naphtalin.

Gerührt wurde durch Drehen<sup>1)</sup> der Kalorimeter um eine vertikale Achse. Um die Mischung in den ja ziemlich großen Gefäßen zu beschleunigen, war längs der Lötnaht das Blech zu einem etwa 2 cm breiten Lappen radial nach innen gebogen. Die Fläche der oben erwähnten Glimmerplättchen, welche die Heizdrähte trugen, standen so, daß letztere bei einer raschen Drehung der Gefäße durch die infolge ihrer Tätigkeit zurückbleibende Flüssigkeit fast völlig frei hindurch gingen. — Die Kalorimeter standen durch Korkschneiden bez. Korkstützen gehalten in Zinkgefäßen von etwa 16 cm Höhe und 15 cm Durchmesser. An den oberen Rand derselben war nach außen ein starker Zinkring gelötet, der auf dem Rand eines großen Metalltopfes ruhte, welcher als Wasserbad diente. An dem Zinkring befand sich ein Handgriff, der die Drehung des inneren Gefäßes und mit ihm die des Kalorimeters in dem Metalltopf ermöglichte. An der Außenseite der Zinkgefäße befindliche, schwach gegen die Vertikale geneigte Lappen rührten hierbei das Wasserbad. Die Versuche ergaben, daß so bei häufigem Rühren ein hinreichend rascher Temperaturausgleich innen und außen erfolgte. Unterhalb des Wasserbades stehende Gasflammen, welche durch Quetschhähne regulierbar waren, ermöglichten eine langsame Erwärmung des Bades; eine Wasserleitung mit Überfallrohren erlaubte die Abkühlung durch Leitungswasser. — Bei den absoluten Messungen erfolgte die Zeitbestimmung durch ein elektrisch an eine gute Pendeluhr angeschlossenes Sekundenschlagwerk. Zur Strommessung diente ein Kupfervoltmeter, dessen Platinplatte  $5 \times 4$  cm hatte.

3. *Die Beobachtungsmethode.* Nachdem die mit den betreffenden Flüssigkeiten gefüllten und gewogenen Kalorimeter zusammengesetzt waren, wurde die Temperatur an den beiden Thermometern unter wiederholtem Rühren abgelesen. Eine besondere Vorrichtung wegen des Parallaxefehlers war, da hier

1) F. Möller, Ann. d. Phys. 7. p. 260. 1902; A. Ponsot, Ann. de chim. et phys. (7) 10. p. 79. 1897.

größere Temperaturintervalle gemessen wurden (6—8°) nicht nötig; es genügte bei großem Abstand des beobachtenden Auges die einfache Ablesung mit einer Lupe von etwa 10 cm Brennweite. Um die aus der Abstrahlung bez. Wärmeleitung auftretenden Fehler möglichst zu eliminieren, wurden die Temperaturen der Bäder unter Verwendung der oben erwähnten regulierbaren Gasflammen stets nahe gleich der Temperatur des betreffenden Kalorimeters gehalten. Der Strom wurde alsdann geschlossen und die Zeit des Stromschlusses notiert. Sowie die Temperatur im Kalorimeter die des Bades — letztere war zu Beginn des Versuches stets ein wenig höher als erstere — erreicht hatte, wurden die Heizflammen zur Erwärmung der Bäder angezündet und reguliert. Die in  $\frac{1}{5}^{\circ}$  geteilten in den Bädern befindlichen Hülfs thermometer wurden jede volle Minute abgelesen und in der Zwischenzeit die beiden Kalorimeter gleichmäßig gerührt. Die Zeit des Auslöschens der Heizflammen, der Unterbrechung des Stromes und des Endes des ganzen Versuches wurden wieder notiert.

Um die im Verlaufe eines Versuches aus anderen Ursachen als der elektrischen Heizung entstandenen Temperaturänderungen berücksichtigen zu können, wurde alsdann, sowohl wenn die Bäder etwa 2° wärmer als wenn sie ebensoviel kälter als die Kalorimeter waren, von Minute zu Minute sechsmal die Innentemperatur sowie die Badtemperatur zu Beginn und Ende dieser Reihen ermittelt und so der Temperaturanstieg bez. -Abfall für die Minute bestimmt. Diese Temperaturänderungen sind von zwei Ursachen bedingt; einmal durch die beim Rühren in Wärme umgesetzte Arbeit sowie die nie ganz zu vermeidende Verdampfung, zum anderen durch Abstrahlung sowie Wärmeleitung. Man konnte sich durch den Geruch überzeugen, daß stets etwas verdampfte. An den Korken war es ja direkt vorauszusehen; außerdem bildeten sich in den Lotnähten trotz aller Sorgfalt bei der Herstellung der Kalorimeter immer wieder feine Kanäle, da die dünnen Bleche sich etwas verbogen. Standen die Kalorimeter längere Zeit mit Lösung gefüllt, so fand sich fast immer eine Stelle, an welcher Naphtalin in geringen Mengen sichtbar wurde, an denen also Lösungsmittel verdampft war. Bezeichnet man die Temperaturänderung in der Minute mit  $dt$  und die Diffe-

renz zwischen Kalorimeter- und Badtemperatur mit  $\delta t$ , so muß die Beziehung bestehen  $a + b \delta t = dt$ , da die aus der zuerst erwähnten Ursache (Rühren + Verdampfen) auftretende Erwärmung ja innerhalb enger Grenzen von der Innentemperatur fast unabhängig ist. Die Konstanten  $a$  und  $b$  ließen sich also durch die beiden Hilfsbeobachtungsreihen ermitteln. Die Gesamtkorrektion wurde aus den oben erwähnten Temperaturbeobachtungen unter Berücksichtigung des zeitlichen Verlaufes des Temperaturanstieges im Bad bez. Kalorimeter in bekannter Weise alsdann an den Beobachtungen angebracht.

Einer weiteren Fehlerquelle, nämlich der Wärmezufuhr längs der Zuleitungsdrähte, wurde wenigstens bei den absoluten Bestimmungen Rechnung getragen. Bei den relativen Messungen, welche zuerst erfolgten, war dies übersehen worden, doch dürften die dadurch auftretenden Fehler sich ja fast in gleicher Weise in beiden Kalorimetern betätigen und so bei dem in die Rechnung eingehenden Verhältnis der beiden Temperaturerhöhungen aufheben. Zur Ermittlung dieser Korrektion war die Bestimmung der Temperaturänderung bei einer dritten Temperatur, sowie die Beobachtung der Lufttemperatur an der Eintrittsstelle der Zuführungsdrähte in das Kalorimeter nötig. Durch eine Überschlagsrechnung konnte man sich davon überzeugen, daß die so ermittelte Korrekektionskonstante  $c$  (gleich Wärmezufuhr längs der Drähte in der Minute für  $1^\circ$  Temperaturdifferenz zwischen Kalorimeterflüssigkeit und Luft) mit der aus Länge, Querschnitt und Wärmeleitvermögen des Kupfers sich ergebenden Wärmezufuhr genügend übereinstimmte.

Das Verhältnis des Widerstandes der beiden Heizspiralen, das mit einer Brückenwalze nach jeder Versuchsreihe bestimmt wurde, war während aller Versuche merklich konstant. Es nahm langsam von 1,0392 bis 1,0402 zu. Bei den absoluten Messungen wurde der Widerstand selbst in gleicher Weise ermittelt. Der Temperaturkoeffizient des benutzten Konstantans betrug etwa 0,00028. Es ergab sich, daß für isolierende Flüssigkeiten die Verwendung von Konstantan bei der galvanischen Methode angängig ist, was gegenüber Platindraht den Vorteil der Unabhängigkeit des Widerstandes von der Temperatur hat.

4. Der Wasserwert der Kalorimeter und Thermometer wurde aus den Gewichten bez. Dimensionen berechnet. Für die relativen Messungen konnte derselbe noch in folgender Weise verbessert werden. Es wurde wiederholt, wenn in beiden Kalorimetern dieselbe Flüssigkeit sich befand, aus den bei einer galvanischen Heizung eintretenden Erwärmungen unter Einführung der bekannten spezifischen Wärme der betreffenden Flüssigkeit das Verhältnis der Widerstände der Heizspiralen rückwärts berechnet und dieser Wert dann zur Berechnung der Resultate an Stelle des an der Walzenbrücke erhaltenen Verhältnisses benutzt. Ein etwaiger Fehler in den Wasserwerten der Gefäße etc. mußte so wegfallen. Der Wasserwert der Kalorimeter samt Thermometer betrug 13,5 bez. 12,2 g-cal. Der Wasserwert der gefüllten Kalorimeter etwa 170—180 g-cal.; es würde also ein Fehler von 2 Proz. bei den Kalorimetern das Resultat bezüglich der spezifischen Wärme der Flüssigkeit erst um etwa 0,15 Proz. beeinflussen.

5. *Die Versuche.* Die spezifischen Wärmen von Äthyläther, Benzol und Schwefelkohlenstoff, sowie der Lösungen in Äther und Benzol wurden absolut, d. h. unter Verwendung des Kupfervoltameters etc. gemessen. Alle anderen Bestimmungen sind relativ zu Schwefelkohlenstoff, d. h. unter Verwendung von zwei Kalorimetern und ohne anderweitige Strommessung geschehen. Zur Kontrolle wurde eine Messreihe mit Benzol in gleicher Weise gewonnen. Hiernach sind im folgenden die Bezeichnungen „absolut“ und „relativ“ zu verstehen. Das elektrochemische Äquivalent des Cu ist gleich 0,3294, das Watt gleich 0,239 g cal/sec. gesetzt.

Tabelle I.

Chloroform.

Proz.	$t_e$	$t_s$	$t_m$	$c_{t_m}$	$c_{18^\circ}$
0	16,60	21,46	19,03	0,2373	0,2372
3,152	16,30	22,46	19,38	0,2409	0,2408
4,496	15,92	21,92	18,92	0,2414	0,2413
6,762	16,20	21,83	19,02	0,2451	0,2450
8,054	15,82	21,07	18,44	0,2466	0,2466
8,180	16,02	22,19	19,10	0,2473	0,2472
9,635	15,70	21,35	18,52	0,2475	0,2474

Tabelle II.  
Schwefelkohlenstoff.

Proz.	$t_a$	$t_e$	$t_m$	$c_{t_m}$	$c_{18^\circ}$
0 (abs.)	17,27	24,77	21,02	0,2426	0,2424
5,336	16,91	22,61	19,76	0,2480	0,2477
12,11	17,95	24,46	21,20	0,2568	0,2563
14,46	15,60	22,77	19,20	0,2596	0,2594

Tabelle III.  
Toluol.

Proz.	$t_a$	$t_e$	$t_m$	$c_{t_m}$	$c_{18^\circ}$
0	15,59	21,17	18,38	0,4038	0,4029
0	16,13	21,71	18,92	0,4035	0,4015
0	16,04	22,24	19,14	0,4055	0,4031
2,546	16,57	23,62	20,10	0,4051	0,4006
2,546	17,25	23,45	20,35	0,4065	0,4014
10,87	17,11	23,18	20,14	0,4024	0,3976
10,87	17,22	22,92	20,07	0,4021	0,3975

Tabelle IV.  
Benzol (relativ).

Proz.	$t_a$	$t_e$	$t_m$	$c_{t_m}$	$c_{18^\circ}$
0	16,83	22,27	19,50	0,4153	0,4123
0	17,66	23,28	20,47	0,4178	0,4128
4,020	16,75	23,08	19,91	0,4134	0,4077
4,020	17,35	22,73	20,04	0,4155	0,4094
7,419	17,64	23,14	20,39	0,4147	0,4073
7,419	17,01	23,41	20,21	0,4117	0,4058

Tabelle V.  
Benzol (absolut)

Proz.	$t_a$	$t_e$	$t_m$	$c_{t_m}$	$\frac{dc}{dt}$	$c_{18^\circ}$
0	13,87	20,27	17,07	0,4123	0,0020	0,4139
0	14,00	19,80	16,90	0,4115		
0	19,81	25,84	22,83	0,4240		
2,953	13,99	19,22	16,60	0,4061	0,0028	0,4100
2,953	18,94	25,68	22,31	0,4219		
9,150	15,12	22,06	18,59	0,4064		0,4050



Tabelle VI.

Äthyläther (absolut).

Proz.	$t_a$	$t_e$	$t_m$	$c_{t_m}$	$t_m$	$c_{t_m}$	$c_{18^\circ}$
0	14,54	20,66	17,60	0,5636	18,10°	0,5639	0,5639
0	16,07	21,10	18,58	0,5642			
4,66	14,23	19,16	16,70	0,5521	16,96	0,5523	0,5529
4,66	14,30	20,14	17,22	0,5525			
9,42	14,20	20,46	17,83	0,5462	17,41	0,5462	0,5466
9,42	14,19	20,77	17,48	0,5463			

Der Gehalt bezieht sich auf 100 Gewichtsteile Lösung.  $t_a$ ,  $t_e$  bez.  $t_m$  bedeutet Anfangs-, End- bez. Mitteltemperatur;  $c_{t_m}$  gibt die spezifische Wärme zwischen  $t_a$  und  $t_e$  an,  $c_{18^\circ}$  die daraus für  $18^\circ$  berechnete spezifische Wärme. Für Benzol (absol.) ergab sich der Temperaturkoeffizient aus den Beobachtungen für 0 und 2,95 Proz.; die anderen wurden den Messungen von Regnault<sup>1)</sup> entnommen.

6. *Die Resultate.* Trägt man die Werte von  $c_{18^\circ}$  als Funktion der Konzentration graphisch auf, so ergibt sich, daß die spezifische Wärme der untersuchten Naphtalinlösungen annähernd geradlinig mit der Konzentration sich ändert.<sup>2)</sup> Da aber letztere nicht hoch genug genommen werden konnten, um zu entscheiden, ob der Übergang zu dem Wert der spezifischen Wärme des Naphtalins auch geradlinig erfolgt, so wurde versucht dies anderweitig aufzuklären. Für eine Lösung vom Gehalt  $p_1$  Proz. wird sich, wenn die spezifische Wärme des Lösungsmittels bez. des gelösten Körpers — beide in dem Zustand betrachtet, in welchem sie sich in der Lösung wirklich befinden —  $c_1$  bez.  $c_2$  ist, die spezifische Wärme  $c$  ergeben zu:

$$c_1(100 - p_1) + c_2 p_1 = 100 c.$$

Die einzige hierbei stillschweigend gemachte Voraussetzung ist, daß die Moleküle beider Körper in der Lösung als selbstständige Individuen bestehen. Die  $c_1$  und  $c_2$  werden als mit der Konzentration veränderlich anzusehen sein; aber für zwei

1) V. Regnault, Mem. d. l'Acad. 26. p. 262. 1862.

2) Vgl. F. L. Perrot, Arch. d. sc. ph. et nat. d. Genève (3) 32. p. 145. 1894.

nicht zu sehr verschiedene Konzentrationen wird man sie, zumal wenn  $c$  als Funktion von  $p$  betrachtet nicht stark von der geraden Linie abweicht, als konstant ansehen dürfen, d. h. man wird sie aus den Beobachtungen der spezifischen Wärmen zweier benachbarter Konzentrationen berechnen können. In dieser Weise vorgehend erhält man nachstehende Werte der spezifischen Wärmen der Lösungsmittel bez. des gelösten Naphtalins innerhalb der beigefügten Grenzen.

Tabelle VII.

Proz.	Spezifische Wärme von		Naphtalin
	Schwefelkohlenstoff		
	beob.	ber.	
5,3—12,1	0,242	0,240 <sub>7</sub>	0,368
5,3—14,5		0,241 <sub>0</sub>	0,369
Toluol			
2,5—10,9	0,402	0,402 <sub>0</sub>	0,362
Benzol (abs.)			
3,0—9,2	0,414	0,412 <sub>1</sub>	0,332
Benzol (rel.)			
4,0—7,4	0,413	0,410 <sub>9</sub>	0,352
Chloroform			
3,2—8,0	0,237	0,237 <sub>1</sub>	0,355
4,5—8,2		0,236 <sub>2</sub>	0,372
6,8—9,6		0,239 <sub>0</sub>	0,326
Äthyläther			
4,7—9,4	0,564	0,559 <sub>1</sub>	0,427

Die so berechneten Werte der spezifischen Wärme der Lösungsmittel weichen von den beobachteten im Mittel um  $\pm \frac{1}{2}$  Proz. ab. Nimmt man unter Ausschluß des aus den Lösungen in Äther gewonnenen Wertes aus den berechneten spezifischen Wärmen des gelösten Naphtalins das Mittel, so erhält man 0,354 und Abweichungen von  $\pm 3,8$  Proz. Diese können nicht überraschen, da ja bei den vorkommenden Konzentrationen ein Fehler in der spezifischen Wärme der Lösung sich etwa mit dem zehnfachen Betrag in dem berechneten Wert der spezifischen Wärme des gelösten Körpers zeigen

muß. Von der spezifischen Wärme des festen Naphtalins liegen folgende Bestimmungen bei 18° vor:

Alluard <sup>1)</sup>	0,322,	nach Beobachtungen im Intervall	0—65°
Pickering <sup>2)</sup>	0,375,	„ „ „ „	?
Battelli <sup>3)</sup>	0,320,	„ „ „ „	10—50°

Ein Versuch in den Grenzen 20—61,5° (bei Atmosphärendruck siedendes Chloroform) ergab mir den Wert 0,321 für etwa 40°. Für flüssiges Naphtalin haben gefunden:

Pickering	0,482,	zwischen	83 und 89°
Alluard	0,419,	„	88 „ 99°
Battelli	0,396,	„	80 „ 85°
Battelli	0,409,	„	90 „ 95°

Sieht man von den extrem hohen Werten ab, so muß man als wahrscheinlich richtige Zahlen 0,32 für festes und 0,41 für flüssiges Naphtalin annehmen.

*Es ergibt sich mithin, daß das in Schwefelkohlenstoff, Toluol, Benzol und Chloroform gelöste Naphtalin eine spezifische Wärme besitzt, die nur wenig größer ist, als die des festen Naphtalins. Nur in Äthyläther findet sich ein Wert, der dem des flüssigen Naphtalins nahekommt.*

Darmstadt, Physikal. Inst. der Technischen Hochschule.

---

1) Alluard, Ann. de chim. et phys. (3) 57. p. 438. 1859.

2) E. C. Pickering, Proc. Roy. Soc. 49. p. 21. 1899.

3) A. Battelli, Atti di Ist. Veneto (6) 3. p. 1781. 1884/85, nach Landolt und Börnsteins Tabellen.

(Eingegangen 16. Mai 1903.)

**12. Die bei dem Lösen von Naphtalin  
in verschiedenen Lösungsmitteln auftretende  
Wärmetönung; von Carl Forch.**

1. Der Zweck der nachstehend beschriebenen Versuche war, der Frage näher zu treten, in welcher Weise die Lösungswärme eines festen Körpers von dem gewählten Lösungsmittel abhängt, ob sich Lösungsmittel finden lassen, für welche die Lösungswärme mit der Schmelzwärme des betreffenden festen Körpers übereinstimmt und ob die Unabhängigkeit der Lösungswärme von der Konzentration, also das Verschwinden der Verdünnungswärme, an diesen Spezialfall geknüpft ist.<sup>1)</sup> Aus äußeren Gründen wurde für die Versuche als fester Körper Naphtalin, als Lösungsmittel Schwefelkohlenstoff, Chloroform, Toluol, Benzol und Äthyläther benutzt. Das Naphtalin war „puriss. cryst.“, Schwefelkohlenstoff, Chloroform, Benzol (thiophenfrei) und Äthyläther (über Na destilliert) waren „purissima“, Toluol „purum“ von E. Merck-Darmstadt.

2. *Das Instrumentarium.* Wegen des hohen Dampfdruckes fast aller der gebrauchten Lösungsmittel war darauf Rücksicht zu nehmen, daß das Kalorimeter allseitig gut verschlossen werden konnte, es waren also in erster Linie vertikal sich bewegendende Rührer zu vermeiden. Deshalb wurde das Rühren durch Drehen des Kalorimeters um seine vertikale Achse bewirkt.<sup>2)</sup> Ferner durfte nach Beginn der Messung zum Einführen des Naphtalins das Kalorimeter nicht mehr geöffnet werden. Die bekannte Vorrichtung zur Zertrümmerung des den zu lösenden Körper enthaltenden Glasgefäßes wurde in folgender Weise abgeändert: An dem Deckel, dessen Rand das Gefäß des Kalorimeters etwa bis zur Hälfte fest anschließend überdeckte, waren (Fig. 1) durch eine L-förmige verstärkte Messingleiste  $L$  zwei Ringe  $R_1$  und  $R_2$  befestigt, in welche von unten ein

1) Vgl. auch C. Forch, Physik. Zeitschr. 3. p. 537. 1902.

2) F. Möller, Ann. d. Phys. 7. p. 260. 1902; A. Ponsot, Ann. de chim. et phys. (7) 10. p. 79. 1897.

kleines dünnwandiges Glasröhrchen *G*, welches das Naphtalin enthielt, eingeschoben werden konnte. Ein Hebel *H*, der um eine horizontale Achse bei *A* drehbar war, konnte durch die Schraube *S* mäßig gegen das Röhrchen gepreßt werden und hielt so dasselbe in seiner Lage fest; bei weiterem Anziehen der Schraube zersprengte er das Glasröhrchen und die Lösung erfolgte. Da aber der Boden des Röhrchens meistens nicht völlig zertrümmert wurde, so blieb, falls die Lösung des Naphtalins in spezifisch leichteren Flüssigkeiten erfolgte, in

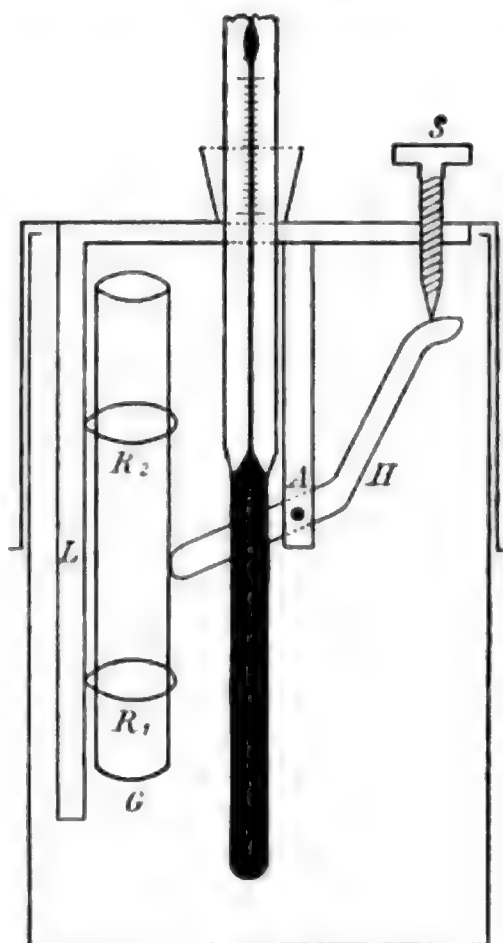


Fig. 1.

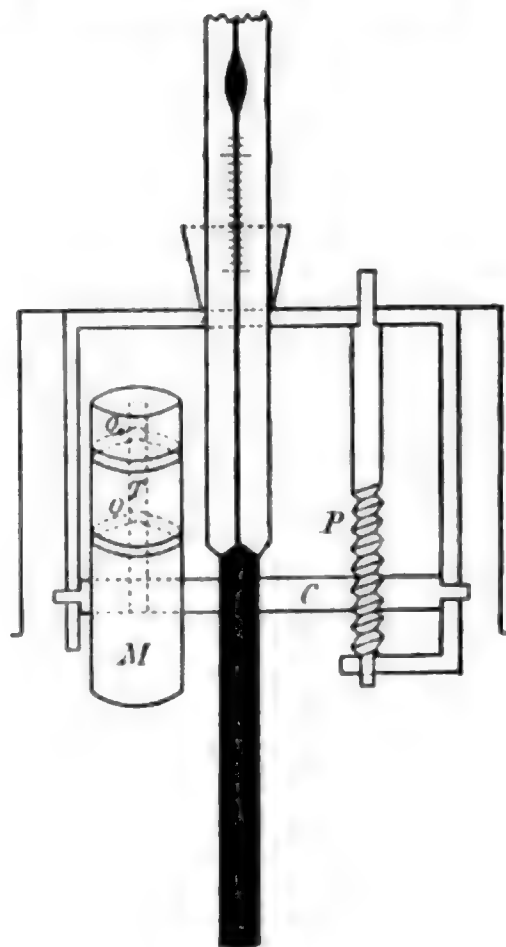


Fig. 2.

dem oft halbkugeligen Bodenstück zuweilen Substanz zurück, die sich dann nur langsam löste und so Anlaß zu Fehlern wurde. Es wurde deshalb für diese Lösungen ein zweiter Deckel gefertigt (Fig. 2), in welchem ein kleines Messinggefäß *M* auf eine horizontale Achse *C* mittels zweier kleiner Ösen *O* an einem Stift *T* befestigt werden konnte. Auf der Achse befand sich ein Zahnrad (hinter *P*, in der Zeichnung nicht sichtbar), in welches die Schraube *P* eingriff. Um das Lösen des im Messinggefäß befindlichen Naphtalins zu bewirken, wurde das Gefäß durch Drehen an *P* gekippt und das spezifisch



schwerere Naphtalin fiel in die Flüssigkeit. Um etwa noch an den Wänden des Gefäßes haftende Substanz sicher zu lösen, wurde dasselbe, das ja jetzt mit Lösung gefüllt war, wieder durch Rückwärtsdrehen der Schraube gehoben und nochmals gesenkt.

Das Thermometer war von Geissler geliefert. Es war in  $1/50^{\circ}$  zwischen  $-1/2$  und  $+1/2$ , sowie von  $12\frac{1}{2}$  bis  $28^{\circ}$  geteilt mit einer Erweiterung zwischen beiden Skalen; ein Grad war etwa 25 mm lang. Seine vor der Fertigstellung des Thermometers kalibrierte Röhre hatte keine Fehler, welche die zur Messung benutzten Skalenbereiche um in Betracht kommende Beträge beeinflußt hätten. Die Teilung war über die ganze Skala gleichmäßig. Um Parallaxefehler zu vermeiden, war auf der Thermometerröhre eine Messinghülse, welche oben zwei scharfkantige horizontale Metallstreifen von etwa 25 mm Länge vor bez. hinter der Thermometerröhre trug, mit leichter Reibung aufgesetzt. Vor der Teilung hatte der vordere Streifen eine zur Ablesung der Skala nötige Aussparung. Beim Ablesen wurde in bekannter Weise über die beiden oberen Ränder der Streifen visiert, so daß das Auge stets unter gleichem und nahezu  $90^{\circ}$  betragenden Winkel auf die Teilung blickte. Vor jeder Ablesung wurde das Thermometer leicht geklopft. — Zwischen dem Thermometer und dem Beobachter war ein Pappschild angebracht, um Temperaturfehler, die aus einer unregelmäßigen Erwärmung des ziemlich langen herausragenden Fadens entstehen konnten, zu vermeiden.

Das 7 cm hohe, 6 cm im Durchmesser fassende Kalorimeter saß auf Korkstützen in einem 10 cm hohen, 12 cm weiten, außen mit Filz umkleidetem Blechgefäß; dieses war oben durch einen Holzdeckel geschlossen und stand auf einem Brett, welches um eine vertikale Achse um  $180^{\circ}$  gedreht werden konnte. Die verschiedenen vom Deckel des Kalorimeters in die Flüssigkeit ragenden Metallteile — bei der zuerst beschriebenen Einrichtung war an *L* unten noch ein Blechstreifen zur Vermehrung der Bewegung in der Flüssigkeit nach der Achse des Kalorimetergefäßes zu angelötet, bei der zweiten erfüllte das Gefäß *M* den gleichen Zweck ausreichend — bewirkten bei diesen Drehungen ein energisches Rühren, so daß das Naphtalin sich in wenigen Minuten löste. Es wurde so

gedreht, daß eine ganze Bewegung — vom Ausgangspunkt um etwa  $120^{\circ}$  und wieder zurück — in 2—3 Sek. ausgeführt wurde.

3. *Das Beobachtungsverfahren.* Nachdem das Kalorimeter gefüllt und das mit einer gewogenen Menge Naphtalin beschickte Röhrchen bez. Messinggefäß eingeführt war, wurde das ganze Kalorimeter gewogen und in das Blechgefäß eingesetzt. Durch Erwärmen war zuvor bewirkt worden, daß die Anfangstemperatur etwa so viel über der Zimmertemperatur lag, daß *nach* der Mischung der Apparat ungefähr diese Temperatur aufwies. Da nämlich, um sicher zu sein, daß auch wirklich alles Naphtalin gelöst war, längere Zeit mit den Ablesungen fortgefahren wurde, als zur Herstellung der Lösung nötig war, wurde hierdurch bewirkt, daß in dieser ziemlich langen Nachperiode die Wärmeabgabe (bez. -aufnahme) nach außen hin möglichst gering war. Es wurde hierauf 2—3 Min. lang gerührt und in Intervallen von je einer halben Minute die Temperatur an dem Thermometer abgelesen, alsdann wurde durch Drehen an der Schraube *S* bez. *P* die Lösung hergestellt, worauf die zweite Reihe der Temperaturbeobachtungen gemacht wurde. Hierauf wurde ein weiteres Quantum Naphtalin der Lösung zugeführt etc. Da, wie man später sehen wird, die Lösungswärme völlig oder doch fast völlig von der Konzentration unabhängig ist, so konnten Konzentrationsänderungen, welche bei dem Öffnen des Kalorimeters und bei der Entfernung des leeren Gefäßes *M* bez. bei dem etwa notwendigen Entfernen großer Glassplitter auftraten, ohne irgend welchen störenden Einfluß auf die Resultate bei der Berechnung vernachlässigt werden.

4. *Korrekturen.* Da ohne eine weitgehende Komplizierung des Apparates die im Laufe der Beobachtung auftretende Abstrahlung etc. sich nicht völlig umgehen ließ, mußte der hierdurch verursachte Fehler rechnerisch beseitigt werden. Am einfachsten führte hier das graphische Verfahren zum Ziel. Es wurden die Zeiten als Abszissen, die erwähnten Temperaturmessungen als Ordinaten aufgetragen und durch die erhaltenen Punkte eine Kurve glatt hindurch gelegt. Man erhält so zwei Kurven, eine für die Zeit vor und eine für jene nach der Mischung. Extrapoliert man beide über das Ende bez. den

Anfang hinaus auf eine passend in der Mitte liegende Zeit, so erhält man die durch die Lösung bewirkte Temperaturerniedrigung von dem aus der Abstrahlung etc. resultierenden Fehler befreit. Auch die durch die unvermeidliche Verdampfung am Kork bez. an der Schraube auftretende Temperaturerniedrigung wird so eliminiert. Es ist nicht zu leugnen, daß dieses graphische Verfahren subjektive Fehler in sich schließt; doch ergibt sich aus den Resultaten als ziemlich wahrscheinlich, daß ein gröberer Irrtum tatsächlich bei keiner Messung gemacht wurde. — Die spezifische Wärme des Messings des Kalorimeters wurde zu 0,093, die des Glases zu 0,2 angenommen. Der Wasserwert des Thermometers, so weit es eingetaucht war, wurde aus den Dimensionen und der spezifischen Wärme des Quecksilbers zu 1,2 g-cal berechnet. Der Gesamtwasserwert des leeren Kalorimeters ist für die Zertrümmerungsvorrichtung 8 bis 9, je nach dem Gewicht an Glasstückchen, für das mit der Kippvorrichtung 8,8 g-cal. Der Wasserwert des gefüllten Kalorimeters war bei den Messungen etwa 50 bis 62 g-cal.

5. *Die Beobachtungen.* Die Prozente ( $p$ ) geben den Gehalt an Naphtalin in 100 Gewichtsteilen Lösung an. Es wurde die Lösungswärme bei Herstellung der Lösung aus dem reinen Lösungsmittel bez. aus der — in den Tabellen angegebenen — nächst niedrigeren Lösung bestimmt. Wo letzteres nicht der Fall ist, gibt die in Klammern neben dem Prozentgehalt sich findende Zahl den Gehalt der Ausgangslösung an. Die gemessenen Temperaturänderungen betrugen meistens etwa  $1^{\circ}$  und liegen zwischen  $0,5^{\circ}$  und  $1,3^{\circ}$ . Die Temperatur der Lösungen betrug etwa  $18^{\circ}$  und sie wurde für ein und dasselbe Lösungsmittel möglichst konstant gehalten, indem durch Erwärmen vor jedem Versuch die Anfangstemperatur des ersten Versuches der betreffenden Reihe annähernd hergestellt wurde. Sie findet sich bei  $c$  angegeben. Die zur Berechnung nötigen spezifischen Wärmen der Lösungen wurden aus an anderer Stelle<sup>1)</sup> beschriebenen Versuchen graphisch entnommen. Mit der Bezeichnung  $B-R$  sind die Abweichungen der Beobachtungen gegen die Mittelwerte (bezüglich Äther siehe unten) beigelegt;

1) C. Forch Ann. d. Phys. 12. p. 207. 1908.

dieselben sind im Mittel  $\pm 0,17$  g-cal., also etwa  $\pm \frac{1}{2}$  Proz. der gemessenen Beträge.

Naphtalin in Schwefelkohlenstoff.			Naphtalin in Toluol.		
<i>p</i>	<i>c</i> <sub>17,5°</sub>	<i>B - R</i>	<i>p</i>	<i>c</i> <sub>17,5°</sub>	<i>B - R</i>
1,024 Proz.	34,78	34,88	1,04 Proz.	33,06	+0,46
1,096	35,02		2,72	32,36	-0,24
2,877	34,86		4,00	32,36	-0,24
12,00 (10,9)	35,42	35,19	6,94 (5,48)	32,39	-0,21
13,02	34,96		8,37	32,82	+0,22
14,06	35,19		Mittel: -32,60 ± 0,27 g-cal.		
Mittel: -35,04 ± 0,18 g-cal.					

Naphtalin in Benzol.			Naphtalin in Chloroform.		
<i>p</i>	$c_{18,5^\circ}$	$B - R$	<i>p</i>	$c_{19,0^\circ}$	$B - R$
1,56 Proz.	32,31	+0,04	0,76 Proz.	27,06	+0,02
4,40 (2,1)	32,33	+0,07	2,43 (1,5)	27,12	+0,08
6,10	32,22	-0,13	3,16	27,34	+0,30
7,13	32,13	-0,03	3,90	26,75	-0,29
8,47	32,31	+0,05	4,79	26,95	-0,09
Mittel: $-32,26 \pm 0,07$ g-cal.			Mittel: $-27,04 \pm 0,16$ g-cal.		

#### Naphtalin in Äthyläther.

<i>p</i>	$c_{18,6^\circ}$	$c_{\text{Ber.}}$	Beob.-Ber.
1,63 Proz.	28,07	27,95	+0,12
3,32	28,04	28,26	-0,22
5,15	28,72	28,57	+0,15
6,64	28,62	28,81	-0,21
8,44	29,26	29,14	+0,12
			$\pm 0,16$

6. *Resultate.* Die Lösungswärme des Naphtalins im Toluol, Benzol und Chloroform erweist sich hiernach innerhalb der gemessenen Konzentrationen bis auf  $\frac{1}{2}$  Proz. als unabhängig von der Verdünnung. Ob die geringe Zunahme, welche bei Schwefelkohlenstoff die Lösungen von etwa 12 Proz. an im Gegensatz zu den verdünnten bis 3 Proz. aufweisen, wirklich besteht, läßt sich nicht entscheiden, da die Fehlergrenze dem Unterschied sehr nahe kommt. Für diese Fälle ist mithin die innere Energie der Naphtalinmoleküle unabhängig vom Volumen, welches sie einnehmen. Bei Äthyläther ist ein deutliches Ansteigen der Lösungswärme mit wachsendem Prozentgehalt

unverkennbar; unter  $c_{\text{Ber.}}$  sind hier die Werte angegeben, welche bei einer linearen graphischen Darstellung sich ergeben.

Die Schmelzwärme des Naphtalins beträgt nach:

Pickering <sup>1)</sup>	. . . . .	35,62 g-cal.
Alluard <sup>2)</sup>	. . . . .	35,68
Battelli <sup>3)</sup>	. . . . .	35,50

Dem hieraus sich ergebenden Mittelwert 35,6 g-cal. kommt die Lösungswärme in Schwefelkohlenstoff so nahe, daß man die Abweichung wohl auf Rechnung von Beobachtungsfehlern setzen darf. Der Vorgang des Lösens von Naphtalin in Schwefelkohlenstoff unterscheidet sich mithin bezüglich der hierzu nötigen Wärmemenge nicht von dem Vorgang des Schmelzens. Bei Toluol und Benzol ist ein geringer, aber immerhin gut meßbarer Unterschied zwischen Schmelzwärme und Lösungswärme vorhanden; bei Chloroform und Äthyläther tritt die Abweichung noch weit deutlicher hervor. Da die in Rechnung gesetzten spezifischen Wärmen von Chloroform und Äther (bez. der Lösungen in diesen) im Vergleich zu den Werten anderer Beobachter eher zu groß als zu klein sind, so erklären sich diese Abweichungen durch die Annahme, die spezifischen Wärmen seien fehlerhaft eingeführt, nicht.

Darmstadt, Physikalisches Institut d. Techn. Hochschule.

---

1) S. U. Pickering, Proc. Roy. Soc. 49. p. 11. 1891.

2) Alluard, Ann. de chim et phys. (3) 57. p. 438. 1849.

3) A. Battelli, Atti di Ist. Veneto (6) 3. p. 10. 1781; 1884/85 nach Landolt und Börnstein, Tabellen.

(Eingegangen 15. Mai 1903.)



### 13. *Über einige Versuche mit flüssiger Luft; von L. Bleekrode.*

Als ich neuerdings behufs einiger Vorlesungen mich mit flüssiger Luft beschäftigte, habe ich dieselbe auch bei einigen Versuchen angewandt, welche bis jetzt noch nicht bei ihrer Temperatur, d. h.  $-191^{\circ}$ , geprüft waren, und deren Ergebnisse deshalb nicht ohne Nutzen sein werden, um hier zu veröffentlichen.

*Radioaktivität des Poloniums.* Bekanntlich haben Curie und Becquerel schon früher mitgeteilt, daß Radium bei  $-200^{\circ}$  seine Eigenschaften beibehält; seitdem hat Dewar gezeigt, daß dieses auch der Fall ist bei der Temperatur des flüssigen Wasserstoffs ( $-262^{\circ}$ ). Ich habe versucht, wie das Polonium sich verhält, welches man jetzt in sehr bequem anzuwendender Form, wie es zuerst von Marckwaldt in Hamburg im vorigen Jahre bereitet worden ist, bekommen kann. Seit fast einem Jahre in meinem Besitz, und vielfach benutzt, hat es augenscheinlich seine elektroskopische Wirkung und Lumineszenzerregung ungeschwächt beibehalten. Der Stab mit Poloniumüberzug wurde in ein Vakuumgefäß mit flüssiger Luft eingetaucht, und nachdem das Aufwallen beendet, also Temperaturgleichgewicht eingetreten war, wurde der Körper herausgenommen und sofort einem empfindlichen geladenen Goldblattelektroskop genähert. Die Entladung fand ebenso schnell statt, wie bei gewöhnlicher Temperatur; auch schadete der Eisüberzug, welcher sich rasch bildet, nicht, trotzdem bekanntlich die Poloniumstrahlen bereits durch sehr dünne Streifen von verschiedenen Substanzen nicht durchgelassen werden (z. B. Aluminiumblatt, Seidenpapier); es kann aber sein, daß das Eis durchdringlich für diese Strahlen ist. In gleicher Weise zeigte sich auch die Lumineszenzerregung, welche das Polonium beim Sidotschen Blendschirm (Zinksulfid) stark hervorruft, fast ungeschwächt.<sup>1)</sup> In der Meinung,

1) Es sei hier bemerkt, daß man mit dem Polonium und genanntem Schirm sehr bequem und schön die Erscheinung beobachten kann, welche neuerdings von W. Crookes in London veröffentlicht ist (Nature, 2. April 1903). Man braucht nur im Dunkelmzimmer (am besten abends) den Stab auf den Schirm aufzulegen, und man bemerkt mit einer Konvexlinse das Flunkern der Lumineszenz sehr deutlich, auch noch später ohne Polonium an einzelnen Stellen.

daß die beim Eintauchen des Poloniums in die flüssige Luft entstehende Aufwallung auch sich radioaktiv zeigen würde, ließ ich dieselbe neben dem geladenen Elektroskop zu stande kommen, beobachtete aber keine Wirkung. Es kann sein, daß die Emanation des Poloniums in flüssiger Luft kondensiert, in ähnlicher Weise, wie Curie dieses neuerdings beim Radium zeigte. Sonst kann man, wenn Luft über den Poloniumstab geblasen wird, schon in einer Entfernung das Elektroskop rasch entladen.

Nebenbei prüfte ich auch den Einfluß der Emanation des Phosphors auf dem geladenen Elektroskop. Nachdem es auf  $-191^{\circ}$  abgekühlt worden war, konnte man bei dieser Temperatur keine entladende Wirkung mehr bemerken; dieses ist auch schon der Fall beim Abkühlen durch feste Kohlensäure auf  $-79^{\circ}$ . Da im Dunkeln weder die Phosphoreszenz noch Nebel sich zeigten, muß das Ausbleiben des entladenden Einflusses dem Aufhören der chemischen Wirkung zugeschrieben werden, in Übereinstimmung mit der neuerdings von G. C. Schmidt<sup>1)</sup> veröffentlichten Erklärung in diesen Annalen; es werden keine Oxydationsprodukte weiter gebildet.

*Lumineszenz bei sehr tiefen Temperaturen.* Im Jahre 1894 hat bereits Pictet<sup>2)</sup> mitgeteilt, daß gewisse Substanzen, welche bei gewöhnlicher Temperatur zur Lumineszenz erregt waren, diese nicht mehr zeigen bei Abkühlung bis  $-100^{\circ}$ , jedoch nach Erwärmung wieder zur Lichtstrahlung kommen. Ich habe diese Tatsache bis auf  $-191^{\circ}$  untersucht, und zwar beim Calciumsulfid (Balmasche Leuchtfarbe), welches sehr intensiv blau luminesziert und beim Zinksulfid (Sidotsche Blende), welches intensiv blaugrünes Licht emittiert.

Werden diese Körper bei gewöhnlicher Temperatur mit Magnesiumlicht bestrahlt, dann erlöscht die Lumineszenz völlig beim Eintauchen ins Vakuumgefäß mit flüssiger Luft; beim Herausnehmen fangen sie dann wieder an zu leuchten, jedoch erst nach einiger Temperaturerhöhung, die Strahlung ist also nur bis zu einem gewissen Kältegrad gehemmt.

Man kann auch noch nicht zur Lumineszenz erregte Körper in die flüssige Luft untertauchen (das Zinksulfid war

1) G. C. Schmidt, Ann. d. Phys. 4. p. 729. 1901.

2) R. Pictet, Compt. rend. 119. p. 526. 1894.

auf einem Papierschirm ausgestrichen) und dann mit der Beleuchtung anfangen; von den aktiven Strahlen werden von der Flüssigkeit vielleicht nur wenig zurückgehalten, jedenfalls nicht alle, da die bestrahlten Körper, wenn sie in die freie Luft kommen, bald anfangen zu lumineszieren; eine Bestrahlung während einiger Sekunden genügt. Dabei hat das Licht des Calciumsulfids eine blässere Färbungsänderung, das Zinksulfid hingegen strahlt viel stärker in prächtiger grüner Farbe. Es scheint also, daß diese Körper die Fähigkeit zur Aufnahme der Strahlungsenergie bei  $-191^{\circ}$  beibehalten, aber nicht unter denselben Temperaturverhältnissen diese zurückzugeben vermögen. Bekanntlich ist dieses wohl der Fall mit vielen organischen Substanzen, wie Eierschale, Elfenbein, Papier, die bei  $-191^{\circ}$  eben die Fähigkeit zur Lumineszenz bekommen und dann sofort nach Bestrahlung anfangen zu leuchten.

*Kryoelektrische Erscheinungen.* Ich wünsche mit diesem Namen die Elektrizitätsentwicklung anzudeuten, welche verschiedene Körper aufweisen, wenn sie in flüssiger Luft abgekühlt werden. Als einfachsten Fall kann man die Ergebnisse betrachten aus den Versuchen der Herren Ebert und Hoffmann, veröffentlicht im Jahre 1900<sup>1)</sup>, welche zeigen, daß isolierte, in flüssige Luft eingetauchte Körper nach dem Herausnehmen sich negativ elektrisch verhalten, als Folge der Reibung an in der Flüssigkeit herumschwebenden Eisteilchen. Ich muß gestehen, daß dieser Versuch mir nur selten gelungen ist<sup>2)</sup>; ich habe sehr oft bei mehr oder weniger reiner Luft, auch in die reichlich mit Wasserdampf in Berührung gebrachte Flüssigkeit eine wohl isolierte Aluminiumscheibe untergetaucht und nach einiger Zeit geprüft, nur selten zeigte das Elektroskop eine elektrische Ladung, die überhaupt noch sehr schwach war. Nur wenn sichtbare Eiskügelchen an der Oberfläche durch den einspritzenden Wasserdampf anwesend sind, ist die Elektrizitätsentwicklung sicher, selbstverständlich

1) H. Ebert u. B. A. Hoffmann, Ann. d. Phys. 2. p. 709. 1900.

2) Die flüssige Luft, welche ich bei diesen Versuchen benutzte, war von den Berliner Kühlhallen bezogen und nach der Lindesche Methode bereitet. Auch hatte ich flüssigen Sauerstoff und Luft zur Verfügung, von Prof. Kamerling-Onnes bereitwilligst in dem Kryogenlaboratorium zu Leiden nach der Cascade-Methode hergestellt.

durch Reibung an diesen festen Teilen; aber dazu braucht man die flüssige Luft nicht unbedingt. Ein Zylinder von stark zusammengepreßter fester Kohlensäure, der sonst so leicht elektrisch wird, zeigte keine Ladung in der gewöhnlichen flüssigen Luft. Ebenso wenig erhielt ich diese in sehr stark abgekühlten isolierenden Flüssigkeiten, wie Schwefelkohlenstoff, Benzol, Petroleum, im festen Kohlensäurebade auf  $-79^{\circ}$  abgekühlt<sup>1)</sup> (in flüssiger Luft erstarren diese alle sehr bald); wenn Wasserdampf durchgeleitet wurde, bildeten sich viele Eisnadeln, doch war die eingetauchte Aluminiumplatte nachher nicht merklich elektrisch. Damit will ich selbstverständlich nicht behaupten, daß gar keine Elektrizitätsentwicklung stattfindet, indem es immerhin möglich ist, daß ein mehr empfindliches Instrument, als ich benutzte, doch diese anzeigen würde, aber es kann diese Ladung nur eine sehr schwache sein. Die starke elektrische Erregung des auf  $-191^{\circ}$  abgekühlten Eises, wobei es sehr trocken ist, läßt sich sehr bequem auch als Vorlesungsversuch demonstrieren, wenn man einen Glasstab oder ein Proberöhrchen in die flüssige Luft eintaucht, und dann nach Herausnehmen einfach mit der Hand abreibt; sofort zeigt das Elektroskop eine starke positive Elektrizitätsentwicklung an. Eine hübsche Erscheinung läßt sich dabei beobachten, indem der Wasserdampf auf dem geriebenen Stabe gerade an den elektrischen Stellen sich stark zu kondensieren scheint, und daselbst schnell feine verästelte Eisnadeln, oft von 1—2 mm Länge, sich ausbilden, die aber bald bei Temperaturzunahme wieder verschwinden; an nicht elektrischen auf  $-191^{\circ}$  abgekühlten Körpern zeigen sich diese Nadeln nicht, oder sonst nur sehr spärlich und klein.

Es könnte auch sein, daß die eine oder andere Substanz sich besonders stark elektrisch zeigen würde bei sehr kräftiger

---

1) Es sei hier hingewiesen auf die Nützlichkeit einer Mischung fester Kohlensäure mit Aceton statt des Schwefeläthers, welcher gewöhnlich angewandt wird, aber wegen der Kostspieligkeit und Entzündlichkeit in größeren Mengen sehr bedenklich ist. Ich erzielte mit 1 kg fester Kohlensäure in Aceton zu Brei zerdrückt  $-81^{\circ}$  C., welche Temperatur in einer versilberten Vakuumschale an der freien Luft nach einer Stunde nur bis  $-77^{\circ}$  gestiegen war, nach weiteren zwei Stunden bis  $-73^{\circ}$ , und noch drei Stunden später bis  $-50^{\circ}$  C., es läßt sich also damit sehr bequem arbeiten.



Abkühlung; ich untersuchte daher eine große Anzahl, wozu Diamant, Schwefel (kristallisiert), Quarz, Chlornatrium, Bergkristall, Kupfersulfat, Phosphor, Kalkspat, Gipskristalle, gelbes Blutlaugensalz, Silbernitrat, Salpeter, Zinksulfat, Fluorcalcium, Scheelit gehörten; nur die drei letztgenannten zeigten nachher eine schwache negative Ladung, jedoch auch nicht immer. Dagegen erhielt ich beim Zucker, schwefelsauren Chinin, salzsauren Chinin, Urannitrat und Turmalin eine sehr starke Ladung, sofort, nachdem beim Eintauchen das Aufwallen der Flüssigkeit beendet war; noch stärker zeigten diese das Seignettesalz und die Weinsteinsäure, welche schon das elektrische Pendel kräftig anzogen; auch beim Herausnehmen aus dem Vakuumgefäß wurden diese Kristalle lebhaft an den Wänden festgehalten. Ich erkannte aber bald, daß diese starke Elektrizitätsentwicklung den pyroelektrischen Erscheinungen angehört, indem sich eine positive und eine negative Ladung an entgegengesetzten Seiten des Körpers aufweisen ließ, und diese Art von Elektrizitätserregung wird dadurch auf Temperaturen von  $-200^{\circ}$  und weiter herunter ausgedehnt, nur daß die Verhältnisse hier umgekehrt vorliegen als beim Erhitzen. Beim Turmalin, von dem ich eine grüne Varietät benutzte in Form eines ziemlich langen Prismas, zeigten sich diese beiden Elektrizitätsladungen auch wieder sehr eigentümlich dadurch, daß die polaren Enden mit Eisnadeln umgeben wurden, in der Mitte dagegen sich keine solchen ausbildeten, das Stäbchen bekam also das Aussehen eines Magneten in kleinem Maßstabe mit Eisenpulver in Berührung gebracht. Noch eine andere interessante Tatsache konnte nachgewiesen werden, nämlich daß die positiven bez. negativen elektrischen Pole sich an *denselben* Enden ausbildeten, wo auch beim Erwärmen diese auftreten, was ja als ein anormales Verhältnis zu betrachten ist, indem doch der Temperaturwechsel in umgekehrter Richtung verläuft. Bei der Weinsteinsäure hingegen ist dieses wohl der Fall, d. h. statt der negativen Pole beim Erwärmen erscheint jetzt nach dem Abkühlen ein positiver Pol. Bei den anderen kristallisierten Körpern konnte diese Tatsache nicht bestimmt festgestellt werden, indem diese leicht beim Erwärmen schmelzen, überhaupt bekommen die Substanzen auch nach der Einwirkung der flüssigen Luft bald sehr viele Risse und



fallen dann auseinander, daher ist es schwierig, den Versuch mit denselben Exemplaren zu erneuern; das Turmalin ist gegen Erwärmung und Erkältung beständig. Vielleicht ist dieser starken Zusammenziehung auch die Lichterscheinung zuzuschreiben, welche man beobachtet, wenn Urannitratkristalle<sup>1)</sup> und Weinsteinsäure mit flüssiger Luft übergossen werden; besonders der erste Körper zeigt diesen sehr stark und ist auch der Tribolumineszenz sehr zugeneigt<sup>2)</sup>; es mag auch sein, daß die Vereinigung der beiden entgegengesetzten Elektrizitäten in der stark isolierenden flüssigen Luft als Ursache wirksam ist. Bei den Chininpräparaten konnte ich diese Lichtentwicklung nicht beobachten, aber bekanntlich sind die Kristalle sehr fein und zu kryoelektrischen Versuchen benutzte ich dieselben als stark komprimierte Tabletten, obgleich auch schon ein zusammenhängendes Bündel kleiner Kristalle durch Eintauchen in die Flüssigkeit Polarität bekam. Aber gerade weil die Tabletten sich doch sehr stark elektrisch zeigen, läßt sich daraus folgern, daß die kristallisierte Form, welche bei der Kompression wohl ziemlich vernichtet worden ist, nicht die Hauptbedingung für die polare Elektrizitätsentwicklung sei. Übrigens tritt dieses Verhalten auch bei weniger intensiveren Kältegraden auf, indem z. B. die Weinsteinsäure, bis  $-65^{\circ}$  abgekühlt, in einer gut isolierenden Kältemischung von fester Kohlensäure und Schwefelkohlenstoff sehr starke Ladung zeigte, dagegen blieben das Turmalin und das Urannitrat inaktiv für das Elektroskop.

Haag, April 1902.

---

1) Über diese Entwicklung von Licht und Elektrizität ist zuerst von Prof. Dewar in London berichtet, und zwar in kurzem Auszuge in Proc. Roy. Soc. 68. p. 366. 1901; von Polarität ist da aber nicht die Rede.

2) Es bleibt fraglich, ob die Lichtentwicklung elektrischer Ladung zuzuschreiben ist, oder der Lumineszenz. Harden hat mitgeteilt (Phys. Zeitschr. 1. März 1903), daß das Schütteln von Urannitratkristallen in einem Proberohr Lichterscheinungen veranlaßt. Ich habe gefunden, daß schon dazu einfach das Fallenlassen von Urannitratkristallen aus einer Höhe von einigen Dezimetern auf harte Unterlage genügt; die Reflexion begünstigt das Beobachten der Lichterscheinung sehr (z. B. in einer versilberten Vakuumschale).

(Eingegangen 12. Mai 1903.)

---

**14. Zur elektrischen Entladung in festen Isolatoren.  
Prioritätsbemerkung;  
von W. Holtz.**

---

Die Herren Kiessling und Walter führen in ihrem Aufsatz <sup>1)</sup> „über die elektrische Durchbohrung eines Dielektrikums“ wohl eine meiner dem gleichen Gegenstande gewidmeten Arbeiten auf, nicht jedoch meine Hauptarbeit, welche in den Berliner Akademieberichten vom 7. August 1876 steht, wo sie freilich — es gab zu jener Zeit wohl noch keine Beiblätter — weniger leicht zu finden war. Ich beschrieb in dieser zunächst die nötigen Apparate mit der Erklärung, weshalb sie so und nicht anders beschaffen sein durften und zeigte dann, daß die Schlagweite in festen Isolatoren unabhängig von der Polarität und der Elektrizitätsmenge sei und größer in besseren als schlechteren, daß es in allen solchen Isolatoren auch Büschelentladungen gäbe, diese aber in weichen und zumal kohlenstoffhaltigen eine besondere Bedeutung hätten, weil sich die Funken hier sukzessive verlängerten, daß die Entladung den Isolator erhitze und eventuell zersetze, und daß die schwächsten Funken, und selbst in Glas, eine Zersetzung und Schmelzung zur Folge haben könnten; auch zeigte ich noch, wie mittels einer besonderen Methode der Weg des Funkens der mikroskopischen Beobachtung zugänglich zu machen sei. Ich glaube also den vorliegenden Gegenstand schon damals recht eingehend behandelt zu haben und möchte nicht, daß dies ganz in Vergessenheit gerät.

---

1) J. Kiessling u. B. Walter, Ann. d. Phys. 11. p. 570. 1903.

(Eingegangen 17. Juni 1903.)

# ANNALEN DER PHYSIK.

VIERTE FOLGE. BAND 12.

## 1. *Über Strahlungsdruck;* *von E. F. Nichols und G. F. Hull.*

(Aus dem englischen Manuskript übersetzt von H. Stein in Gießen.)

Die historische Entwicklung unseres Gegenstandes möge hier übergangen werden, da das Wesentliche schon in der Arbeit von P. Lebedew<sup>1)</sup> enthalten ist. Ergänzend bemerken wir nur, daß außer Lebedew<sup>2)</sup> auch Fitzgerald<sup>3)</sup> und Hull<sup>4)</sup> den Einfluß des Strahlungsdruckes auf Massen, die dem Newtonschen Gravitationsgesetz unterworfen sind, mit besonderer Rücksicht auf die Abstoßung der Kometenschweife diskutiert haben. In erweiterter Weise ist der Einfluß des Strahlungsdruckes auf kosmische Vorgänge neuerdings von Arrhenius<sup>5)</sup> und Schwarzschild<sup>6)</sup> theoretisch behandelt worden.

Vor dem Internationalen Physiker-Kongreß im Jahre 1901 beschrieb Hr. Lebedew<sup>7)</sup> eine Versuchsanordnung, die er zu jener Zeit zur Messung des Lichtdruckes benutzte. Seine bis dahin erhaltenen Ergebnisse faßt er folgendermaßen zusammen: „Die Resultate der bis jetzt angestellten Messungen sind folgende: das Experiment zeigt, daß ein auffallendes Lichtstrahlenbündel auf ebene absorbierende oder reflektierende Oberflächen Drucke ausübt, die, innerhalb der Beobachtungsfehler, gleich den von Maxwell und Bartoli er-

1) P. Lebedew, Ann. d. Phys. 6. p. 433. 1901.

2) P. Lebedew, Wied. Ann. 45. p. 292. 1892; Astrophys. Journ. 14. p. 155. 1902.

3) G. F. Fitzgerald, Proc. Roy. Soc. Dublin 1884.

4) G. F. Hull, Trans. Astron. Soc. Toronto p. 123. 1901.

5) S. Arrhenius, Königl. Vetenskaps. Akademiens Fördhandlingar p. 545. 1900.

6) K. Schwarzschild, Kgl. Bayer. Akad. d. Wissensch. 31. p. 293. 1901.

7) P. Lebedew, Rapports présentés au Congrès International de Physique (2) p. 133. Paris 1900.

rechneten Werten sind.“ In der Abhandlung waren weder eine Schätzung der Beobachtungsfehler noch andere zahlenmäßige Daten gegeben. Leider kamen die Verhandlungen des Pariser Kongresses den Autoren nicht vor der Veröffentlichung ihrer eigenen vorläufigen Versuche in die Hände, ebensowenig war ihnen bis dahin eine Andeutung von der Methode oder den Resultaten von Hrn. Lebedews Arbeit zu Gesicht gekommen.

Die Autoren<sup>1)</sup> veröffentlichten ihre Resultate, die sie bei Messungen des Strahlungsdruckes unter acht verschiedenen Luftdrucken erhalten hatten, in einer vorläufigen Mitteilung an die American Physical Society bei einer Versammlung mit Sektion B der American Association zu Denver am 29. August 1901. Die damals mitgeteilten Resultate ballistischer Beobachtungen des Strahlungsdruckes sind in Tab. I gegeben, wo  $p$  den Druck der umgebenden Luft in Millimetern Quecksilber und  $d$  das statische Äquivalent des ballistischen Ausschlages der Drehwage angibt. Die Resultate wurden erhalten mit wesentlich denselben Apparaten und Methoden, die auf p. 239 ff. beschrieben sind.

Tabelle I.

$p$	$d$	$p$	$d$
96,3	19,7	33,4	21,1
67,7	21,0	1,2	20,9
37,9	21,6	0,13	26,8
36,5	22,1	0,06	23,2

Mittel: 22,5

Bilden wir das Produkt aus dem Durchschnittswert des in Zentimetern gemessenen Ausschlages und der Drehwagenkonstanten, so beträgt der Strahlungsdruck:

$$2,25 \cdot 4,65 \cdot 10^{-5} = 1,05 \cdot 10^{-4} \text{ Dynen.}$$

Die Energie der Strahlung wurde mit einem Bolometer von besonderer Konstruktion<sup>2)</sup> gemessen (vgl. Fig. 1). Hierbei

1) E. F. Nichols u. G. F. Hull, Science 14. p. 588. 1901; Phys. Rev. 13. p. 293. 1901.

2) E. F. Nichols u. G. F. Hull, Phys. Rev. 13. p. 307. 1901.

wurde die empfindliche Oberfläche einmal durch den Lichtstrahl und einmal durch einen elektrischen Strom von bekannter Stärke auf gleiche Temperatur gebracht. Wenn  $i$  die gemessene Stromstärke,  $r$  der Bolometerwiderstand ist, so ist  $i^2 \cdot r \cdot 10^7$  gleich dem Energiegehalt des Strahles in Erg/Sekunden. Bei den Beobachtungen war  $i^2 = 0,75 \text{ Amp.}^2$  und  $r = 0,278 \Omega$ . Nehmen wir den Reflexionskoeffizienten der Silberschicht der Flügel zu 0,92 an, so ergibt sich der aus der Energie berechnete Druck

$$p = 1,34 \cdot 10^{-4} \text{ Dynen.}$$

Nach Veröffentlichung obiger Resultate wurde ein durch einen Konstruktionsfehler verursachter Irrtum in dem Bolometerwiderstand gefunden. Der korrigierte Wert des Widerstandes ergab  $0,221 \Omega$  und somit ist der verbesserte Wert des Druckes

$$p = 1,05 \cdot 10^{-4} \text{ Dynen.}$$

Die Übereinstimmung dieses Resultates mit dem beobachteten Druck ist eine zufällige. Durch Anbringung der später bestimmten notwendigen Korrekturen ergab sich eine Differenz zwischen dem beobachteten und berechneten Druck zu ca. 3 Proz. Ferner belief sich der wahrscheinliche Fehler des Resultates auf etwa den doppelten Betrag.

In diesen Annalen veröffentlichte Hr. Lebedew<sup>1)</sup> die Resultate von einer Serie Messungen des Strahlungsdruckes, die umfassender als die früheren Beobachtungen der Autoren war.

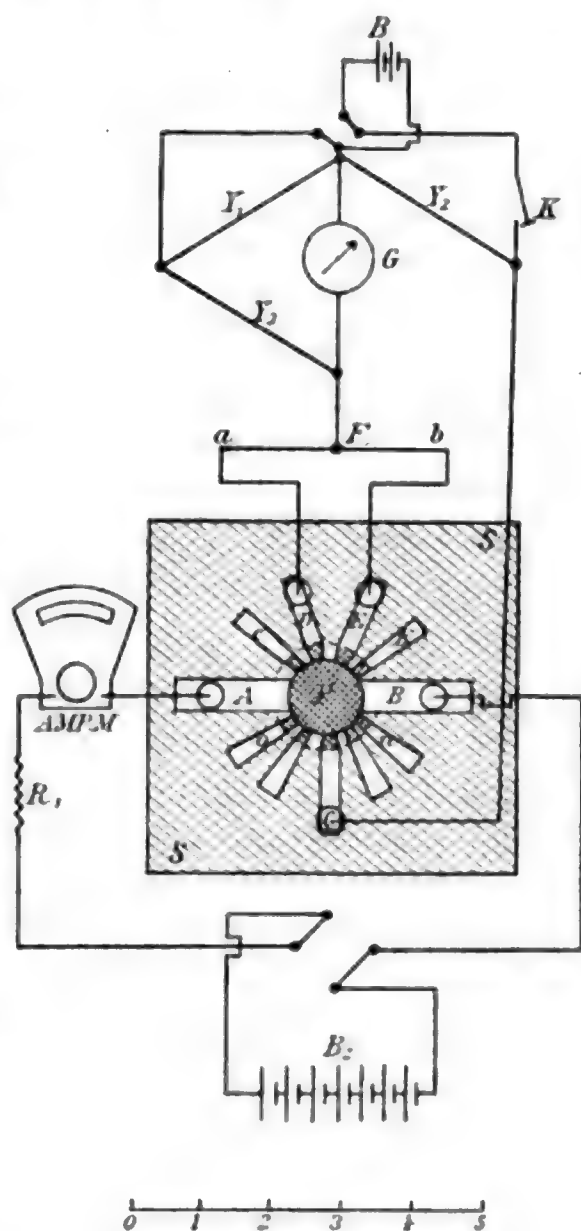


Fig. 1.

1) P. Lebedew, Ann. d. Phys. 6. p. 433. 1901.



Der Hauptunterschied zwischen seiner und unserer Methode liegt darin, daß er sehr dünne Metallflügel in einem hohen Vakuum aufhing, also Maxwells Vorschlag wörtlich befolgte, während wir mit versilberten Glasflügeln bei mäßigen Verdünnungen arbeiteten. Die Einwirkung der Luft bei diesen Drucken wurde sorgfältig und erschöpfend untersucht; wir fanden, daß sie bei kurzen Bestrahlungen vernachlässigt werden könne. Da wir wissen, wie mit dem Grade der Verdünnung die Lufteinwirkung sich ändert, glauben wir bestimmt, daß bei Benutzung der Lebedewschen hohen Vakuen unsere Methode wegen der hier relativ stark auftretenden Luftstörungen nicht erfolgreich gewesen wäre.

Hrn. Lebedews Verfahren mit geschwärzten Flügeln zeigt, daß sein Erfolg in der teilweisen Entfernung der Luftstörungen mehr von der guten Wärmeleitfähigkeit seiner dünnen Flügel als von dem benutzten hohen Vakuum herrührt.

Hr. Lebedew<sup>1)</sup> schätzt den möglichen Fehler seines Schlußresultates auf  $\pm 20$  Proz. Ein Vergleich von Lebedews Arbeit mit unseren vorläufigen Versuchen scheint zu zeigen, daß seine zufälligen Fehler größer sind, als die unserigen, aber wegen des bei der Bestimmung des Bolometerwiderstandes unterlaufenen Irrtums stimmten unsere Resultate nicht so gut mit der Theorie überein wie die seinigen.

Beide obige Arbeiten stellen hinreichend die *Existenz* einer von Strahlung herrührenden Druckkraft fest, aber keine enthält nach unserer Meinung eine genügende *quantitative* Bestätigung der Maxwell-Bartolischen Theorie.

### Neuere Untersuchungen.

#### I. Druck der Strahlung.

Da wir weder die Luft vollständig entfernen noch ihren Einfluß unter verschiedenen Bedingungen berechnen können, so ist nur dann ein Erfolg zu erwarten, wenn man Apparate und Versuchsanordnung so einrichtet, daß die von der Luft ausgehenden Störungen auf ein Minimum herabgesetzt werden. Die folgenden Überlegungen führten zu einer Methode, mit

1) l. c. p. 457.

welcher die Elimination der Luftstörungen bei den vorliegenden Versuchen praktisch erfüllt war.

1. Die Oberfläche des bestrahlten Flügels soll ein möglichst vollkommener Reflektor sein. Einmal wird hierdurch der Lufteffekt verkleinert, da infolge der geringen Absorption die Temperatur des Flügels nur wenig steigt, während andererseits der Strahlungsdruck vergrößert wird, denn nach der Theorie übt ein vollständig reflektierter Strahl den doppelten Druck aus, wie einer, der ganz absorbiert wird.

2. Bei der Untersuchung, wie sich die Einwirkung eines Strahles auf eine Oberfläche gestaltet, wenn diese von Luft von verschiedenen Drucken umgeben ist, wurde gefunden, daß für gewisse Drucke die Luftstörungen ein Minimum werden.

3. Der Apparat, eine Art Drehwage, soll zwei einander möglichst gleiche Flügel tragen. Sie sollen symmetrisch zur Drehachse aufgehängt und so eingerichtet sein, daß die Kräfte, die von Strahlung und Lufteinwirkung (Saug- oder Druckwirkung an der wärmeren Oberfläche) herrühren, einmal gleichgerichtet sind, das andere Mal aber gegeneinander wirken, wenn durch Umdrehung der Suspension der Sinn des Lufteffektes umgekehrt wird.

4. Der Strahlungsdruck muß seiner Natur nach den maximalen Wert momentan erreichen, wohingegen die Einwirkung der Luft, wie die Beobachtung gezeigt hat, mit Null beginnt und mit der Länge der Exposition wächst; sie steigt erst rasch, dann langsamer zu ihrem maximalen Betrage an, der, wie in einigen Fällen beobachtet wurde, noch nicht erreicht war, wenn die Bestrahlung  $2\frac{1}{2}$  bis 3 Min. gedauert hatte. Bei hohen Luftdrucken war sogar eine noch längere Exposition nötig, um stationäre Zustände zu erreichen. Die Luftstörungen können also noch weiter durch eine ballistische oder halbballistische Meßmethode beseitigt werden.

#### 1. Beschreibung der Apparate.

##### Die Drehwage.

Gestalt und Anordnung der Flügel, wie sie zur Druckmessung in vorliegender Arbeit benutzt wurden, zeigt Fig. 2.

Die Rotationsachse  $ab$  bestand aus einem dünnen Glasstäbchen. An ihr war ein gläserner Querarm  $c$ , der an jedem Ende zu einem kleinen Häkchen umgebogen war, befestigt. Die Flügel  $C$  und  $D$ , die den Lichtstrahl auffingen, waren runde Mikroskopdeckgläschen von 12,8 mm Durchmesser und 0,17 mm Dicke; jedes wog ungefähr 51 mg. Um die beiden Flügel von einander unterscheiden zu können, im Falle sich besondere Unterschiede bei den Messungen zeigen sollten, und um auch beide Seiten von jedem Flügel zu kennzeichnen, war mit einem Diamanten auf dem einen ein  $C$  und auf dem anderen ein  $D$  eingeritzt. Durch jedes Gläschen war nahe an dem Rande ein Loch von ca. 0,5 mm Durchmesser eingebohrt, mit welchem die Gläschen an die Haken des Querarmes  $c$  eingehängt werden konnten. An entgegengesetzten Seiten der Drehachse bei  $d$  waren zwei andere gläserne Querarme angebracht, zwischen welche die Deckgläschen leicht hineinglitten und so sicher in einer Ebene festgehalten wurden. Ferner war unten an  $ab$  ein kleiner versilberter Planspiegel  $m$  rechtwinklig zur Ebene von  $CD$  angebracht. Dieser Spiegel war auf der Silberseite hochpoliert, so daß die Skala  $S_s$  (Fig. 3) auf beiden Spiegelseiten abgelesen werden konnte. Ein kleines Messinggewicht  $m_3$  (Fig. 2) von 452 mg Masse und bekannten Dimensionen war an dem unteren Ende von  $ab$  befestigt. Die als Flügel dienenden Deckgläschen waren versilbert, auf den Silberseiten hochpoliert und hingen so an den Häkchen, daß entweder beide Silberseiten oder beide Glasseiten dem Lichte zugekehrt waren. Ein Quarzfaden  $f_2$  von 3 cm Länge war an dem oberen Ende von  $ab$  befestigt und hing an dem unteren Ende eines feinen Glasstäbchens  $d_1$ , das einen horizontalen Magneten  $m_2$  trug. Das Stäbchen  $d_1$  war vermitteltst eines kurzen Fadens an einer Stahlnadel  $e$ , die in dem Träger  $h$  gehoben oder gesenkt werden konnte, drehbar aufgehängt. Das Ganze wurde von einem gebogenen Glasrohr  $t$  getragen, das in einem soliden Messingfuß  $F$  befestigt war. Dieser ruhte auf einer ebenen Glasplatte  $P$ , welche wiederum auf einer Messingplatte aufgekittet war, die drei in der Figur nicht sichtbare Nivellierschrauben besaß. Eine Glasglocke von 25 cm Höhe und 11 cm Durchmesser bedeckte die Drehwage. Der untere Rand der Glocke war auf die Platte  $P$  aufgeschliffen.

Mit Hülfe eines hohlen Glasstopfens, der in den Hals der Glocke eingeschliffen war, konnte sie mit einer Geisslerschen Quecksilberluftpumpe, einem McLeodschen Druckmesser und einer vertikalen Glasröhre in Verbindung gesetzt werden. Dieses Glasrohr tauchte in Quecksilber und diente während der Versuche bei hohen Luftdrucken zur ungefähren Druckangabe. Die

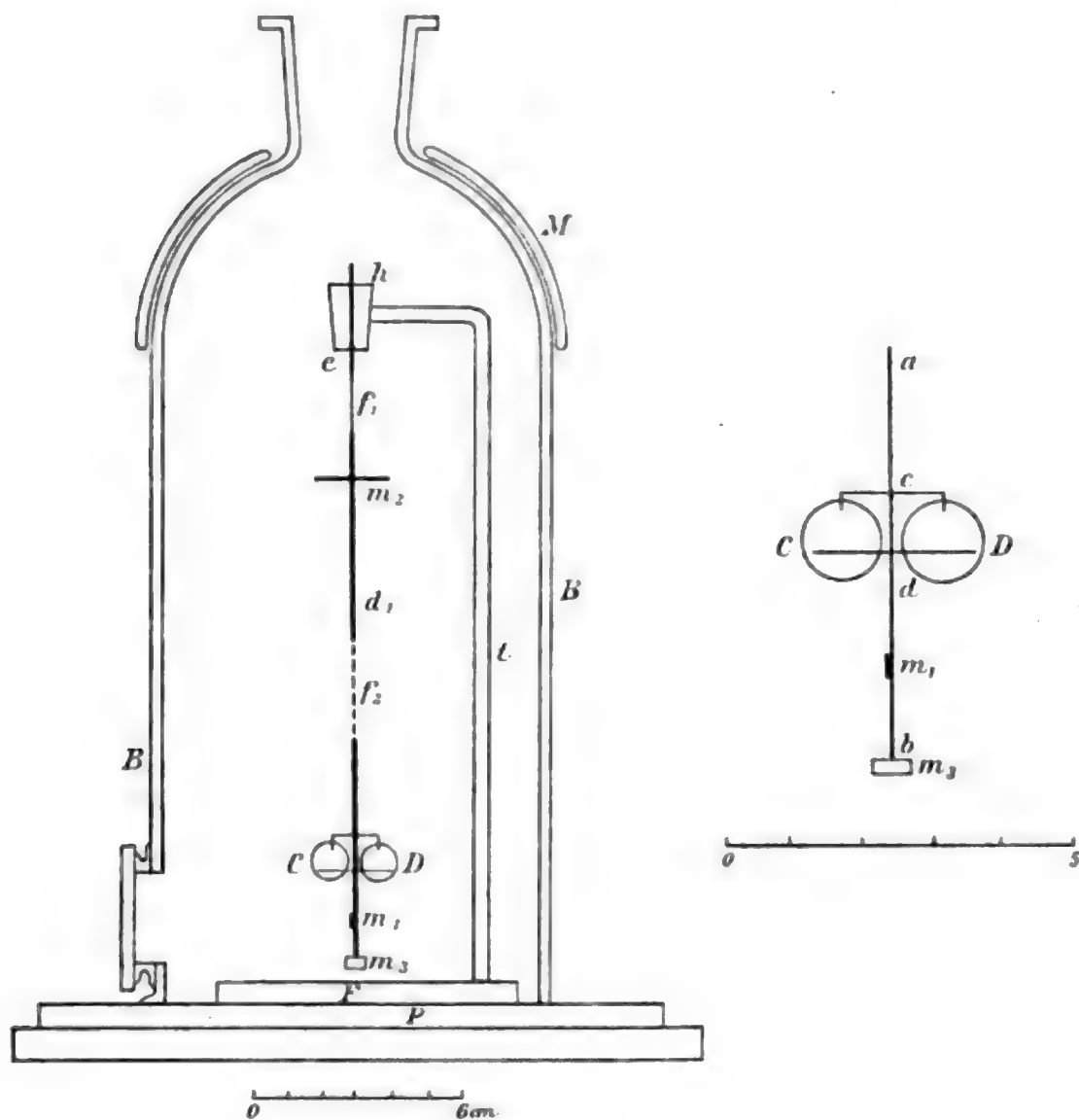


Fig. 2.

niederen Drucke wurden mit dem McLeodschen Manometer nach der gebräuchlichen Art gemessen. Ein halbkreisförmiger Magnet  $M$ , der auf die vertikale Krümmung der Glasglocke paßte, diente dazu, um den aufgehängten Magneten  $m_2$  zu richten und so die Nulllage der Drehwaage festzulegen. Wurde  $M$  um  $180^\circ$  gedreht, so konnten die Rückseiten der Flügel dem Lichte zugekehrt werden.

## Die Versuchsanordnung.

Einen durch die Achse des Lichtstrahles gelegten Horizontalschnitt der Apparate gibt Fig. 3. Als Lichtquelle diente das weißglühende Ende der horizontal gelagerten Kohle  $S_1$  einer Wechselstrom-Bogenlampe nach A. T. Thompson, deren Kohlen rechtwinklig zueinander standen. Als Schirm gegen die Linsen  $L_1$  und  $L_2$  diente das Asbestdiaphragma  $d_2$ . Eine

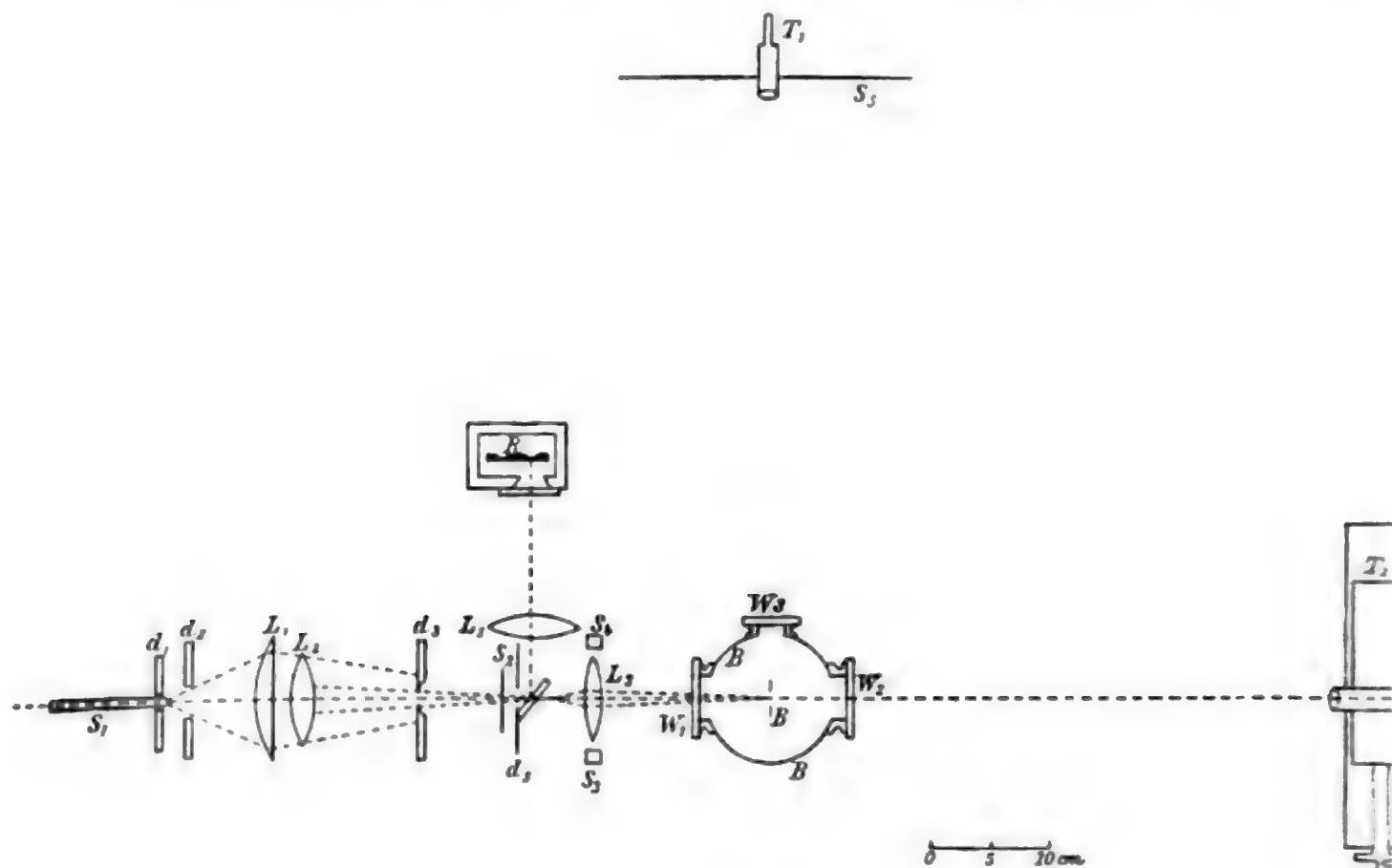


Fig. 3.

nicht gezeichnete Linse entwarf ein vergrößertes Bild von Kohle und Bogen auf einer in der Nähe stehenden Wand, so daß die Lage von Kohlen und Lichtbogen von beiden Beobachtern jederzeit kontrolliert werden konnte. Der Strahlenkegel passierte das enge Diaphragma  $d_2$  und fiel auf die Kondensorlinsen  $L_1$  und  $L_2$ . Bei  $d_3$  war eine Blende von 11,25 mm Durchmesser eingeschaltet, die nur dem zentralen Teil des Strahlenbündels den Durchgang gestattete. Hinter  $d_3$  passierten die Strahlen einen Verschuß  $S_2$ . Dieser Verschuß wurde elektromagnetisch durch den Sekundenkontakt



einer Normaluhr ausgelöst. Der Beobachter bei  $T_1$  konnte sich wohl die Sekunde zum Öffnen oder Schließen des Verschlusses wählen, aber eine Bewegung desselben fand nur im Moment eines Sekundenkontaktes statt, so daß jede Exposition eine Anzahl von ganzen Sekunden dauerte. Der geöffnete Verschuß ließ nur den direkten Lichtstrahl, der  $d_3$  passiert hatte, hindurch, nicht aber zerstreutes Licht. Dicht hinter dem Verschuß war an dem Diaphragma  $d_5$  eine gegen  $45^\circ$  geneigte Glasplatte angebracht, die einen Teil des Strahlenbündels auf Linse  $L_5$  reflektierte. Diese Linse entwarf auf einem Zweig des Bolometers  $R$  ein Bild von der Blende  $d_3$ . Linse  $L_3$  erzeugte innerhalb der Glasglocke in der Ebene der Drehwagenflügel ein scharfes Bild von der Öffnung  $d_3$ . Die Glasglocke war mit drei Spiegelglasfenstern  $W_1$ ,  $W_2$  und  $W_3$  versehen. Die ersten beiden bestanden in einer runden Öffnung von 42 mm Durchmesser, durch das dritte wurden die Ausschläge der Drehwage mit Fernrohr und Skala abgelesen. Die Linse  $L_3$  war derart angebracht, daß sie zwischen den beiden Hemmungen  $S_3$  und  $S_4$  in horizontaler Richtung verschoben werden konnte.  $S_3$  und  $S_4$  waren so justiert, daß, wenn die Linse bei  $S_3$  war, das scharfe Bild der Blende  $d_3$  zentral auf den einen Flügel, und wenn bei  $S_4$ , zentral auf den anderen Flügel fiel. Diese sehr wichtige Justierung war mit Hülfe des Fernrohres  $T_2$ , das auf dem Schlitten einer Teilmaschine befestigt war, ausgeführt worden, indem die Lage der Rotationsachse und der Bilder von  $d_3$  beobachtet und gemessen worden war, wenn die Linse bei  $S_3$  und bei  $S_4$  stand. Hierbei konnten die Flügel aus dem Wege gerückt werden, wenn man vermittelst des Richtmagneten  $M$  (Fig. 2) die Aufhängung um  $90^\circ$  drehte.

Um sich zu versichern, daß die Drehwage vollkommen von jeder magnetischen Beeinflussung frei sei, wurde der kleine Magnet  $m_2$  festgeklemmt, um eine konstante Ruhelage zu erhalten. Sodann wurde die Schwingungsdauer genau bestimmt, einmal, wenn die Achse des großen Magneten in der Vertikalebene der Flügel, das andere Mal, wenn sie rechtwinklig dazu stand. Verschiedene Serien ergaben für beide Magnetlagen einen Unterschied in der Schwingungsdauer von weniger als 0,1 Proz.

Das Bolometer  $R$  (Fig. 3) war aus 0,001 mm dickem, in Silber ausgewalztem Platinblech hergestellt worden. Es wurde ein Streifen, wie ihn Fig. 4 zeigt, ausgeschnitten und auf eine dünne Schieferplatte  $S$  aufgezogen. Die Schieferplatte hatte unter dem Streifen bei  $A, B, C, D$  zwei Fenster, an welchen Stellen sich nach Entfernung des Silbers nur das

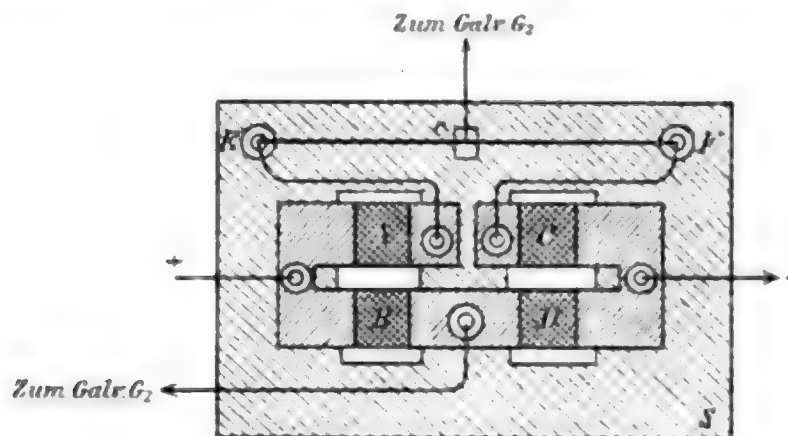


Fig. 4.

dünne Platinblech befand. Seine Oberfläche war nach Kurlbaums<sup>1)</sup> Methode geschwärzt. Das von  $L_5$  (Fig. 3) erzeugte Bild fiel auf die Stelle  $D$ . Ein dicker Draht  $EF$  verband die Enden zwischen  $A$  und  $C$  und ein Gleitkontakt  $c$  erlaubte etwaige Unsymmetrie der vier in der Figur sichtbaren Brückenarme auszugleichen.

## 2. Beobachtungsmethoden.

Die Beobachtungen, die zu den später angeführten Resultaten führten, zerfielen in drei Gruppen: 1. das Eichen der Drehwage, 2. die Messung des Strahlungsdruckes mit Hülfe der Drehwagenkonstante und 3. die Messung der Energie des Lichtstrahles in Erg/Sek. Letzteres wurde durch Beobachtung der Temperaturerhöhung eines geschwärzten Silberkörpers von bekannten Dimensionen und bekannter spezifischer Wärme ausgeführt.

1. Die Bestimmung der Drehwagenkonstante geschah dadurch, daß man nach Entfernung der Flügel  $C$  und  $D$  die Schwingungsdauer ihrer Aufhängevorrichtung genau maß. Das Trägheitsmoment war aus den Massen und dem Abstand der

1) F. Kurlbaum, Wied. Ann. 67. p. 846. 1899.

einzelnen Teile von der Drehachse leicht zu berechnen. Das Drehmoment des Fadens für 1 mm Ausschlag bei 105 cm Skalenabstand ergab sich zu  $0,363 \cdot 10^{-5}$ . Dieser Wert, geteilt durch die halbe Entfernung zwischen den beiden Zentren der Lichtpunkte auf den Flügeln, gibt die Kraft in Dynen pro Skalenteil Ausschlag. Da die Lichtpunkte Kreise von 11,25 mm Durchmesser waren, so betrug die Bildfläche beinahe einen Quadratzentimeter, und obiges Verfahren ergab somit angenähert den Druck in Dynen pro Quadratzentimeter.

2. Bei den Messungen des Lichtdruckes war es bequemer, die Intensität des Lichtstrahles bei jeder Exposition auf eine Einheit zu beziehen, die konstant gehalten werden konnte, als zu versuchen, die Bogenlampe auf konstanter Lichtstärke zu halten, wie es anderenfalls nötig gewesen wäre. Zu diesem Zwecke diente das Bolometer  $R$  (Fig. 3). Es wurde zu gleicher Zeit die relative Intensität des reflektierten Strahles durch den Ausschlag des Galvanometers  $G_2$  und der Druck des durchgegangenen Strahles durch den Ausschlag der Drehwage gemessen. Jeder Ausschlag der Drehwage wurde dann auf einen solchen reduziert, der einem Galvanometerausschlag von 100 Skt. entsprach. Die Galvanometerempfindlichkeit wurde sorgfältig vor und nach jeder abendlichen Untersuchungsreihe festgestellt. Jeder beobachtete Druck wurde also auf einen solchen umgerechnet, der von einem Lichtstrahl von bestimmter Intensität herrührte (im folgenden Normalstrahlung genannt: Ausschlag von  $G_2 = 100$  bei einer Empfindlichkeit = 1000).

Bei jeder Serie von Druckmessungen wurden zwei Sätze von Beobachtungen gemacht. Einmal wurden die statischen Bedingungen untersucht, das andere Mal die von kurzen Expositionen herrührenden Ausschläge der Drehwage beobachtet. Bei den statischen Beobachtungen wurde jeder Spiegel den Lichtstrahlen so lange exponiert, bis aus den Umkehrpunkten der Schwingungen zu erkennen war, daß sich ein stationärer Zustand eingestellt hatte. Hierbei war also das Drehmoment, das von dem Strahlungsdruck und der Lufteinwirkung herrührt, gleich dem Produkte aus Drehwagenkonstante und Ablenkungswinkel. Alsdann wurde die Torsionsvorrichtung mit Hülfe des äußeren Magneten um  $180^\circ$  gedreht und ähnliche Beobachtungen an der Rückseite der Spiegel gemacht. Alle Um-

kehrpunkte der Schwingungen wurden bei diesen Beobachtungen aufnotiert und so konnte die Resultante der kombinierten Kräfte von Strahlung und Lufteinwirkung zur Zeit eines jeden Umkehrpunktes berechnet werden. Da jeder Wert auf den zur selben Zeit abgelesenen und auf Normalempfindlichkeit reduzierten Ausschlag des Galvanometers  $G$ , umgerechnet wurde, so waren alle Werte auf die normale Lichtintensität bezogen. Die Resultate, die auf diesem Wege erhalten wurden, zeigen zusammen mit den ballistischen Messungen Richtung und Größe der Lufteinwirkung, sowie ihre Veränderung mit der Expositionsdauer.

Die Gründe, die Flügel umzudrehen, sind folgende: Der von der Bogenlampe kommende Lichtstrahl passiert, ehe er die Drehwage erreicht, drei dicke Glaslinsen und zwei Glasplatten. Alle Wellenlängen, die von Glas absorbiert werden, werden aus dem Strahl ausgeschieden, ehe er den Flügelapparat erreicht. Von den Silberseiten der Flügel wird also mehr absorbiert als von den Glasseiten. Der Strahlungsdruck war immer von der Lichtquelle weggerichtet, einerlei wie die Spiegel gedreht wurden, während sich die Wirkung der Luft hauptsächlich an der Silberseite der Flügel äußerte.

Als beim Abschluß der Druck- und Energiemessungen das Reflexionsvermögen der Silberseiten der Flügel mit dem der Glasseiten verglichen wurde, fand sich, daß die Reflexion an der Silberseite viel größer war als an der versilberten Glasseite. Dies Resultat erschien um so überraschender, als durch Messung gefunden war, daß die Absorption der unversilberten Flügel einflußlos klein sei.<sup>1)</sup> Dieser unerwartete Unterschied in dem Reflexionsvermögen der beiden Flügelseiten machte die Elimination der Luftstörungen (nach der beschriebenen Methode) weniger vollkommen als wir damals erwartet hatten. Wählt man aber einen Luftdruck, bei dem die Einwirkung der Luft auch bei langer Exposition klein ist, so kann man den gesamten Lufteffekt für die Zeit einer ballistischen Exposition so herabsetzen, daß er in jedem Falle nur geringen Einfluß hat.

1) Lord Rayleigh berichtet über einen ähnlichen Unterschied zwischen der Reflexion Luft-Silber und Glas-Silber. *Scientific Papers*, Cambridge 2. p. 538—539. 1900.



Wenn man die beiden Flügel abwechselnd exponiert, die Aufhängung umdreht und den Mittelwert bildet, so kann man fast alle Fehler eliminieren, die von einer Unsymmetrie der Drehwaage oder von einer zur Rotationsachse unsymmetrischen Lage der Lichtbilder, sowie von ungleichmäßiger Verteilung der Lichtintensität herkommen.

Der mit Expositionsdauer und Luftdruck wechselnde Charakter der Lufteinwirkung ist in acht Serien von statischen Beobachtungen zum Ausdruck gebracht, wobei die Glasseiten beider Flügel exponiert worden waren.<sup>1)</sup> Die von den beiden Flügeln erhaltenen Mittelwerte wurden als Kurven in Fig. 5 aufgetragen, wo der statische Ausschlag, der von der kombinierten Wirkung des Lichtdruckes und der Luftstörungen herrührt, als Ordinate und die Expositionsdauer in Sekunden als Abszisse aufgetragen ist.<sup>2)</sup> Die horizontale Linie in den Kurven gibt den Mittelwert des Strahlungsdruckes an, wie er aus Tab. II berechnet wurde. Abnahme des Ausschlages mit der Zeit zeigt eine abstoßende Wirkung der Luft an der erwärmten Silberfläche und zunehmender Ausschlag eine saugende Wirkung. Aus den Kurven ersieht man, daß bei Luftdrucken von 66 mm bis 19,8 mm die Luft eine abstoßende Wirkung ausübt, die zwischen 19,8 und 11,2 mm in eine saugende übergeht. Bei den beiden letztgenannten Drucken ist die gesamte Lufteinwirkung gering. Für niedere Drucke bis zu 0,05 mm wächst die Saugwirkung, bei einem Druck von 0,02 mm besteht wieder kräftige Abstoßung. Die Kurven zeigen also die Gegenwart von zwei Luftdrucken, bei welchen die Lufteinwirkung in unserer Versuchsanordnung Null sein sollte, der eine Druck liegt zwischen 19,8 und 11,2 mm, der andere zwischen 0,05 und 0,02 mm.<sup>3)</sup> Das erste Gebiet wurde bei

---

1) Es wurden auch Beobachtungen an den Silberseiten gemacht, aber hier war die Lufteinwirkung immer kleiner als an den Glasseiten, so daß wir den ungünstigeren Fall vor uns haben.

2) Die Ordinaten sind keine Drucke, sondern Drehmomente.

3) Bei seiner Untersuchung über Radiometer fand Crookes gewisse Luftdrucke, bei welchen sich die Einwirkung der Luft und die Druckkraft der Strahlung das Gleichgewicht hielten, aber da er keinen Unterschied zwischen Strahlungs- und Luftwirkungen macht, so sind seine Überlegungen etwas unklar. Vgl. Phil. Trans. 165. p. 519. 1875.



den weiteren ballistischen Messungen benutzt und fast alle Beobachtungen bei einem Luftdruck von 16 mm angestellt.

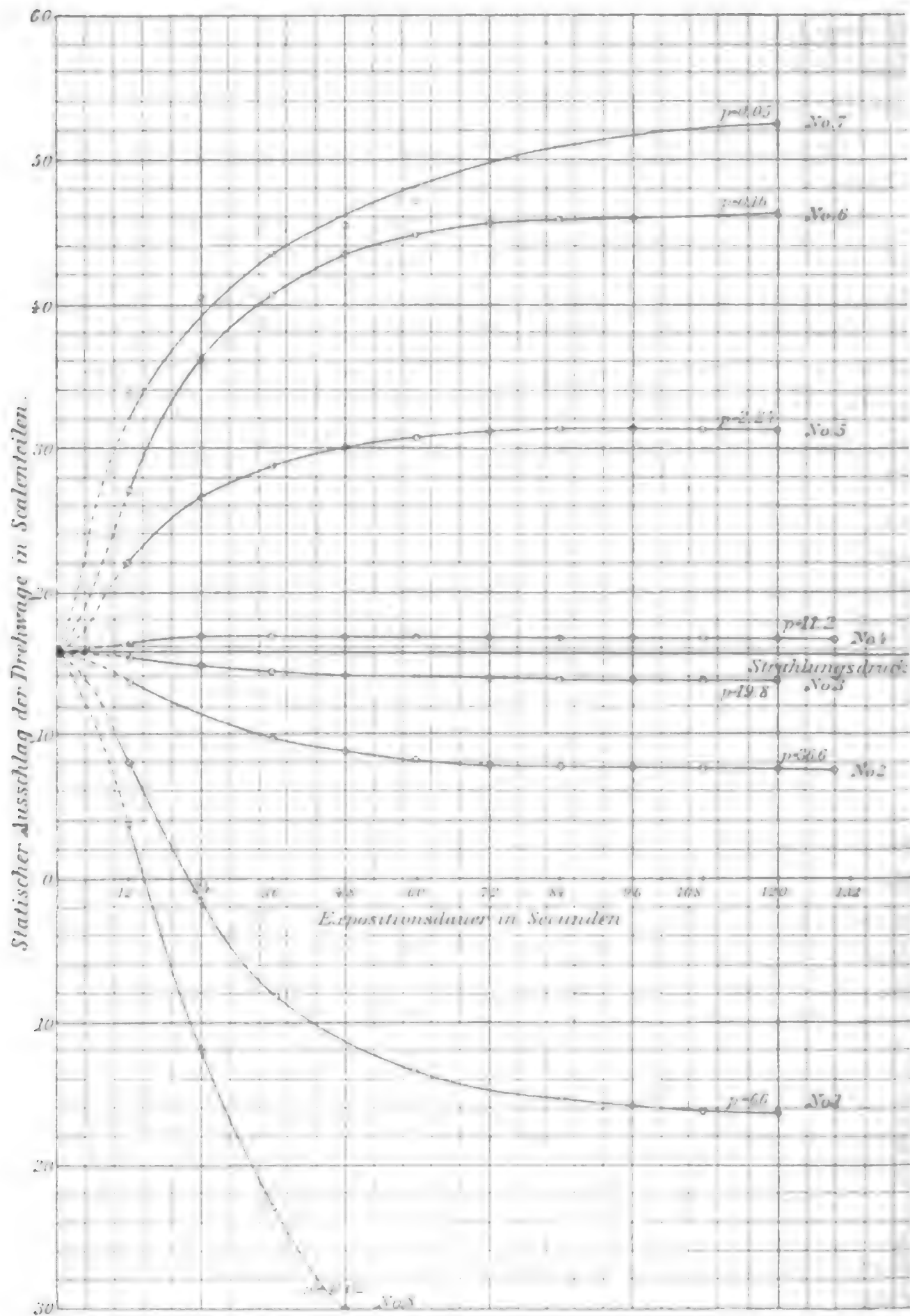


Fig. 5.

Die Lufteinwirkung wird erheblich durch eine geringe Neigung der Flügelebene zu der Vertikalen beeinflusst, ebenso auch durch einen Gegenstand, der unter die Glasglocke in der Nähe der Flügel gebracht wird. Z. B. wurde eine beträchtliche Störung beobachtet, als ein kleines Gefäß mit Phosphorperoxyd unter die Glasglocke gestellt worden war, obgleich sich die nächste Stelle der Gefäßwand mindestens 3 cm vor den Flügeln befand.

Während der Beobachtungen wurden die polierten Silberschichten der Flügel rasch zerstört, frische Schichten hielten selten länger als für zwei abendliche Untersuchungen. Da die Drehwage herausgenommen, die Flügel abgehängt, versilbert, poliert und wieder eingesetzt werden mußten, so war es schwierig, genau dieselben Bedingungen für die Lufteinwirkung wieder herzustellen, obgleich die Flügel sehr sorgfältig vertikal gehängt wurden.

Die fernere Eliminierung der Lufteinwirkung mußte dadurch geschehen, daß man die Exposition so abkürzte, daß die Luftwirkungen nur einen kleinen Bruchteil ihres stationären Wertes erreichen konnten. Das führte zur Methode der *ballistischen* Beobachtungen.

### 3. Ballistische Messungen.

Will man an Stelle der statischen Ausschläge ballistische benutzen, so muß es immer möglich sein, das statische Äquivalent der ballistischen Schwingungen auszurechnen. Ferner müssen die Expositionen so kurz als möglich gemacht werden, ohne jedoch die Amplituden unter einen gut meßbaren Wert zu bringen.

Wenn die Exposition eine halbe Schwingungsperiode dauert, so ist, falls die Lufteinwirkung gering und die Dämpfung Null ist, der Ausschlag gleich  $2\theta$ , wo  $\theta$  der Winkel ist, unter welchem die Fadentorsion dem vom Strahlungsdruck ausgeübten Drehmoment das Gleichgewicht hält. Beträgt die Expositionsdauer  $\frac{1}{4}$  der Schwingungsdauer, so ist der Ablenkungswinkel gleich  $\theta\sqrt{2}$ . Der Ausschlag wird somit um 30 Proz. verkleinert, die Luftstörungen aber um noch mehr. Es wurde deshalb eine Expositionsdauer von 6 Sek. =  $\frac{1}{4}$  der Schwingungs-

dauer gewählt. Vernachlässigen wir die Lufteinwirkungen, so lautet die Bewegungsgleichung<sup>1)</sup> für die Drehwagenschwingung:

$$\kappa \frac{\partial^2 \Theta}{\partial t^2} + 2 \varepsilon \frac{\partial \Theta}{\partial t} = -G \Theta + L,$$

wobei  $\kappa$  das Trägheitsmoment der Drehwage,  $\varepsilon$  die Dämpfungskonstante,  $G$  das Torsionsmoment des Fadens für  $\Theta=1$  (Bogenmaß) und  $L$  das Drehmoment des Strahlungsdruckes ist.

Die Lösung dieser Gleichung ist

$$(1) \quad \left\{ \begin{aligned} \Theta &= \frac{L}{G} \left( 1 - e^{-\frac{\varepsilon}{\kappa} t} \cos \sqrt{\frac{G}{\kappa} - \frac{\varepsilon^2}{\kappa^2}} \cdot t \right) \\ &= \frac{L}{G} \left( 1 - e^{-\frac{\varepsilon}{\kappa} t} \cos 2\pi \frac{t}{T} \right). \end{aligned} \right.$$

Die Integrationskonstanten wurden aus der Beziehung bestimmt, daß  $\Theta = \partial \Theta / \partial t = 0$ , wenn  $t = 0$ .

Für  $t = T/4$  ist

$$(2) \quad \left\{ \begin{aligned} &\Theta = \frac{L}{G} \\ \text{und} \\ \frac{\partial \Theta}{\partial t} &= \frac{L}{G} \left( \frac{\varepsilon}{\kappa} e^{-\frac{\varepsilon}{\kappa} t} \cos 2\pi \frac{t}{T} + e^{-\frac{\varepsilon}{\kappa} t} \frac{2\pi}{T} \sin 2\pi \frac{t}{T} \right). \end{aligned} \right.$$

Hört die Lichteinwirkung auf für  $t = T/4$ , so geht die Bewegungsgleichung über in:

$$(3) \quad \kappa \frac{\partial^2 \Theta}{\partial t^2} + 2 \varepsilon \frac{\partial \Theta}{\partial t} = -G \Theta,$$

deren Lösung ist

$$\Theta = A e^{-\frac{\varepsilon}{\kappa} t} \cos \left( 2\pi \frac{t}{T} + \alpha \right),$$

wo  $A$  und  $\alpha$  nach den bei Gleichung (2) gemachten Voraussetzungen bestimmt werden können. Vernachlässigen wir sehr kleine Größen, so ist der Wert der Amplitude  $A$  ausgedrückt durch die Gleichung

$$(4) \quad A = \frac{L}{G} \left( 1 + r + \frac{2}{\pi} r^{1/2} \log \left( \frac{1}{r} \right) \right)^{1/2},$$

1) Wir sind berechtigt, diese Gleichung anzuwenden, die ein der Geschwindigkeit proportionales Dämpfungsglied enthält, weil experimentell gefunden wurde, daß das Amplitudenverhältnis aufeinanderfolgender Schwingungen konstant war, wenn keine Energie auf die Flügel fiel.

wo  $r$  das Verhältnis der aufeinanderfolgenden Amplituden bei gedämpften Schwingungen ist. Für  $r=1$ , also für ungedämpfte Schwingungen, ist  $A = (L/G)\sqrt{2}$ . Für den bei den Versuchen benutzten Luftdruck (16 mm Quecksilber, welcher Wert aus den Kurven [Fig. 5] gewählt wurde), war gefunden worden:  $r = 0,783$ , folglich

$$(5) \quad A = 1,357 \frac{L}{G}.$$

Hieraus folgt, daß der ganze Ablenkungswinkel der Drehwage bei ballistischen Messungen gleich dem 1,357fachen des Winkels ist, unter welchem die Torsionskraft des Fadens dem Drehmoment des Strahlungsdruckes das Gleichgewicht hält.

Die Expositionsdauer betrug immer 6 Sek. ohne schätzbaren Fehler, aber die Schwingungsdauer der Drehwage (24 Sek.) differierte wegen geringfügiger, zufälliger Veränderungen an dem Gegengewicht  $m_s$  (Fig. 2) manchmal um 1 Proz. Es ist deshalb notwendig, den durch diese Veränderung der Periode verursachten Fehler des Ausschlages zu berechnen. Dies geschieht, wenn man in Gleichung (2)  $t = T/4 + \delta$  setzt und die neuen Bedingungen in Gleichung (3) einführt. Es ist jedoch einfacher und hinreichend genau, die Bewegung als ungedämpft zu betrachten. Unter dieser Voraussetzung ist die Amplitude

$$A = \frac{L}{G} \left( 2 + 2 \sin 2\pi \frac{\delta}{T} \right)^{1/2} = \sqrt{2} \frac{L}{G} \left( 1 + \pi \frac{\delta}{T} \right) \text{ (angenähert).}$$

Für  $T = 23,75$  Sek. ist  $T/4 = 5,94$  und  $\delta = 0,06$ , folglich  $A = \sqrt{2} (L/G) \cdot 1,008$ . Wenn  $\delta = 0$ , ist  $A = \sqrt{2} (L/G)$ , somit verursacht ein Fehler von 1 Proz. bei  $T$  einen solchen von 0,8 Proz. bei  $A$ .

Um sich zu überzeugen, daß der beobachtete Strahlungsdruck nur von der Intensität des Lichtstrahles abhängt und nicht von der Wellenlänge der auftreffenden Energie beeinflußt wird, wurden die ballistischen Beobachtungen des Druckes, die kalorimetrischen Messungen der Lichtenergie und die Bestimmung der Reflexionskoeffizienten bei drei ganz verschiedenen Wellengruppen ausgeführt. Bei den mit „Luft“ bezeichneten Messungen befand sich außer den erwähnten Linsen und den Glasplatten kein absorbierendes Medium in dem Strahlengang zwischen Bogenlampe und Drehwage. Bei den mit „rotes

Glas“ oder „Wasserschicht“ bezeichneten Beobachtungen war zwischen  $L_2$  und  $d_3$  ein Rubinglas oder ein Glastrog mit einer 9 mm dicken Schicht destillierten Wassers in den Strahlengang gestellt.

Die eigentlichen Beobachtungen beginnen mit ballistischen Messungen des Strahlungsdruckes vermittelt der Drehwage. Ihre Behandlung zeigt Tab. II, die eine direkte Abschrift des Laboratoriumsjournals ist und eine durchschnittliche ballistische Serie darstellt. Die Bezeichnungen O.F.  $C_s$ , W.F.  $D_s$ , O.F.  $D_s$  und W.F.  $C_s$  geben an, ob der Flügel  $C$  oder  $D$  sich auf der

Tabelle II.

Lichtdruck. Ballistische Messungen. „Luft“.  
28. August.

Flügel- stellung	Null- punkt	Umkehr- punkt	Aus- schlag	Bogen- lampe	Ausschlag reduziert	
					O.F.	W.F.
O.F. $C_s$	281,4	248,5	32,9 mm	164,3	20,0 mm	19,7 mm
W.F. $D_s$	281,5	313,9	32,4	164,5		
O.F. $C_s$	281,4	249,8	31,6	157,9	20,0	19,8
W.F. $D_s$	281,5	310,5	29,0	147,0		
O.F. $C_s$	281,5	252,6	28,9	144,8	20,0	19,8
W.F. $D_s$	281,5	309,6	28,1	141,8		
O.F. $C_s$	281,5	252,9	28,6	143,5	19,9	19,8
W.F. $D_s$	281,5	309,3	27,8	140,4		
Mittel:					19,97 mm	19,77 mm
Mittel:					$\frac{C_s + D_s}{2} = 19,87 \text{ mm}$	
Magnete umgedreht.						
O.F. $D_\theta$	280,1	246,0	34,1 mm	180,4	18,92 mm	20,20 mm
W.F. $C_\theta$	280,0	317,8	37,8	187,3		
O.F. $D_\theta$	279,8	247,2	32,6	170,8	19,20	20,25
W.F. $C_\theta$	279,4	313,7	34,3	169,4		
O.F. $D_\theta$	279,1	248,9	30,2	161,1	18,80	20,35
W.F. $C_\theta$	279,0	311,9	32,9	161,6		
O.F. $D_\theta$	279,0	249,0	30,0	158,9	18,90	20,20
W.F. $C_\theta$	278,9	311,2	33,2	164,4		
Mittel:					18,97 mm	20,25 mm
Mittel:					$\frac{C_\theta + D_\theta}{2} = 19,61 \text{ mm.}$	



Ost- oder Westseite der Drehachse befand und ob seine Silber- oder Gasfläche dem Lichte zugekehrt war. Die zweite Kolumne der Tabelle gibt die Ruhelage der Drehwage an, ehe der Verschluß geöffnet wurde, die dritte den Umkehrpunkt einer Schwingung, die von einer 6 Sek. langen Belichtung hervorgebracht worden war, die vierte den Ausschlag der Drehwage, die fünfte den ballistischen Ausschlag des Lampengalvanometers  $G_2$ . Kolumne 6 und 7 geben den auf normale Lichtstärke reduzierten Ausschlag.

Die Resultate von allen ballistischen Druckmessungen für „Luft“ sind in Tab. III zusammengestellt. In Kolumne 4 und 5 sind zwei Werte für die Konstante des Lampengalvanometers  $G_2$  gegeben. Wenn man den Magnet auf der Glasglocke drehte, um die Aufhängung im Innern umzudrehen, so wurde dadurch die Galvanometerkonstante etwas beeinflußt, so daß ihr Wert für Silber und Glasseiten der Flügel nicht der gleiche war. Die Indizes zeigen, zu welcher Serie die betreffende Konstante gehört. Die Werte für den Hebelarm  $l$  in der sechsten Kolumne wurden erhalten, indem man die Entfernung zwischen den Bildzentren auf den Flügel (mit der Teilmaschine  $T_2$ , Fig. 3) maß und durch 2 dividierte. Die Kolumnen, mit

$$\frac{C_s + D_s}{2} = P_s \quad \text{und} \quad \frac{C_g + D_g}{2} = P_g$$

bezeichnet, sind die durchschnittlichen Werte der Drehmomente, die der Lichtdruck auf die Silber- und auf die Glasseite der Flügel ausübte. Die nächsten beiden Kolumnen enthalten die für eine Schwingungsdauer der Drehwage von 24 Sek. korrigierten Werte. In den mit

$$\frac{P_s \cdot G_s}{l} \quad \text{und} \quad \frac{P_g \cdot G_g}{l}$$

bezeichneten Kolumnen stehen die auf die Normalempfindlichkeit von  $G_2 = 1000$  reduzierten Kräfte. Die letzte Kolumne enthält den Durchschnittswert der beiden vorhergehenden.

Tab. IV enthält die entsprechenden Daten für „rotes Glas“ und „Wasserschicht“. Luftdruck, Schwingungsdauer, Hebelarm und Galvanometerkonstante sind die gleichen wie in Tab. III.

**Tabelle III.**  
Strahlungsdruck. Ballistische Messungen. „Luft“.

Datum	Luft- druck in mm Hg	Schwin- gungs- dauer <i>T</i>	Galvanometer- empfindlichkeit <i>G</i> , (Silber) <i>G</i> <sub>s</sub> (Glas)	Hebel- arm in cm	$\frac{C_s + D_s}{2} = P_s$	$\frac{C_v + D_v}{2} = P_v$	<i>P</i> , korr. <i>P</i> <sub>s</sub> für <i>T</i> = 24" <i>T</i> = 24"	$P_s \times G, \frac{P_s \times G_s}{l}$	Mittel
19. Juni	32,5	23,75	734	0,814	Mittel = 18,88	18,73	16,89	16,89	16,89
20. "	32,5	23,75	756	0,814	19,67	19,51	16,81	18,12	17,00
23. "	37,0	23,75	700	0,814	—	—	—	—	—
23. Juli	16,0	23,75	682	0,831	21,16	21,00	20,26	17,25	17,25
25. "	16,6	23,75	684	0,815	—	—	—	—	—
26. "	16,6	23,75	720	0,815	19,34	19,18	19,82	16,93	17,10
27. Aug.	16,8	23,82	724	0,823	20,16	20,00	19,25	17,60	17,10
28. "	15,7	23,82	721	0,824	19,87	19,73	19,48	17,26	17,10
29. "	13,7	23,82	712	0,824	19,68	19,53	19,92	16,90	16,94
31. "	14,0	24,00	718	0,810	18,55	18,55	18,94	16,44	16,52
1. Sept.	16,6	24,00	692	0,808	19,14	19,14	20,17	16,40	16,59
20. "	16,4	23,78	670	0,812	20,96	20,81	19,87	17,17	16,86
23. "	16,4	23,78	666	0,816	21,32	21,16	20,12	17,27	17,07
24. "	16,2	23,78	667	0,816	20,76	20,60	19,65	16,84	16,47
						Mittel: 17,11	16,71	16,71	16,91 ± 0,053



Tabelle III.  
Strahlungsdruck. Ballistische Messungen. „Luft“.

Datum	Luft- druck in mm Hg	Schwin- gungs- dauer T	Galvanometer- empfindlichkeit	Hebel- arm in cm	$\frac{C_s + D_s}{2} = P_s$	$\frac{C_v + D_v}{2} = P_v$	$P_s$ korrig. für $T=24''$	$P_v$ korrig. für $T=24''$	$\frac{P_s \times G_s}{l}$	$\frac{P_v \times G_v}{l}$	Mittel
19. Juni	32,5	23,75	734	0,814	Mittel = 18,88		18,73		16,89		16,89
20. "	32,5	23,75	756	0,814	19,67	16,94	19,51	16,81	18,12	15,86	17,00
23. "	37,0	23,75	700	0,814	—	—	—	—	—	—	—
23. Juli	16,0	23,75	682	0,831	21,16	20,42	21,00	20,26	17,25	17,25	17,25
25. "	16,6	23,75	684	0,815	—	—	—	—	—	—	—
26. "	16,6	23,75	720	0,815	19,34	19,98	19,18	19,82	16,93	17,28	17,10
27. Aug.	16,8	23,82	724	0,823	20,16	19,40	20,00	19,25	17,60	16,61	17,10
28. "	15,7	23,82	721	0,824	19,87	19,61	19,73	19,48	17,26	16,97	17,10
29. "	13,7	23,82	712	0,824	19,68	20,07	19,53	19,92	16,90	16,97	16,94
31. "	14,0	24,00	718	0,810	18,55	18,94	18,55	18,94	16,44	16,60	16,52
1. Sept.	16,6	24,00	692	0,808	19,14	20,17	19,14	20,17	16,40	16,78	16,59
20. "	16,4	23,78	670	0,812	20,96	20,02	20,81	19,87	17,17	16,54	16,86
23. "	16,4	23,78	666	0,816	21,32	20,27	21,16	20,12	17,27	16,87	17,07
24. "	16,2	23,78	667	0,816	20,76	19,80	20,60	19,65	16,84	16,11	16,47
							Mittel: 17,11		16,71		16,91 ± 0,058





Bei diesen ballistischen Messungen wurde die Lichtintensität durch den Impuls gemessen, der von einer 6 Sek. langen Belichtung des Bolometers herrührte, bei den Energiemessungen geschah dies durch einen statischen Ausschlag, der von einer längeren Exposition hervorgebracht wurde. Um die Druckwerte mit den Energiewerten vergleichen zu können, war es nötig, das Mittel der Beträge in der letzten Kolumne durch Multiplikation mit  $0,363 \cdot 10^{-5}$ , dem Torsionskoeffizienten des Quarzfadens, zu Drucken in Dynen umzurechnen und es nicht allein auf einen statischen Ausschlag der Drehwage, sondern auch auf einen solchen des Lampengalvanometers  $G_2$  zu reduzieren. Das Verhältnis eines ballistischen Ausschlages des Galvanometers  $G_2$  zu einem statischen wurde durch eine lange Reihe von Belichtungen mit der Bogenlampe ermittelt. Es betrug bei „Luft“ 1,55, bei „rotem Gas“ 1,535, und bei „Wasserschicht“ 1,502. Diese Verschiedenheiten rühren wahrscheinlich nicht allein von der Dämpfungskonstante des Galvanometers her, sondern von der besonderen Art, wie das Bolometer durch den Lichtstrahl zu seinem stationären Zustand erwärmt wurde. Wenden wir diese Reduktionsfaktoren auf die Mittelwerte in Tab. III und IV an, so erhalten wir folgende Resultate:

Der Druck des Normallichtstrahles betrug für

a) „Luft“:

$$16,91 \cdot \frac{1,55}{1,357} \cdot 0,363 \cdot 10^{-5} = (7,01 \pm 0,023) \cdot 10^{-5} \text{ Dynen.}$$

b) „Rotes Glas“:

$$16,91 \cdot \frac{1,535}{1,357} \cdot 0,363 \cdot 10^{-5} = (6,94 \pm 0,024) \cdot 10^{-5} \text{ Dynen.}$$

c) „Wasserschicht“:

$$16,20 \cdot \frac{1,502}{1,357} \cdot 0,363 \cdot 10^{-5} = (6,52 \pm 0,028) \cdot 10^{-5} \text{ Dynen.}$$

## II. Energie der Strahlung.

Die bei den „vorläufigen Versuchen“ zur Energiemessung benutzte Methode (p. 227) wurde verworfen, da die Angaben des Bolometers auch nach einigen angebrachten Konstruktionsverbesserungen für die vorliegende Arbeit nicht genau genug waren. Wir wanden deshalb folgendes Verfahren an:

Wir ließen den Lichtstrahl auf die geschwärzte Oberfläche eines Silberscheibchens fallen und beobachteten dessen Temperaturzunahme pro Sekunde, wenn es dieselbe Temperatur wie seine Umgebung hatte. Dieses Silberscheibchen hatte 13,6 mm Durchmesser, 3,58 mm Höhe und wog 4,80 g; es war von Tiffany & Co. geliefert worden und

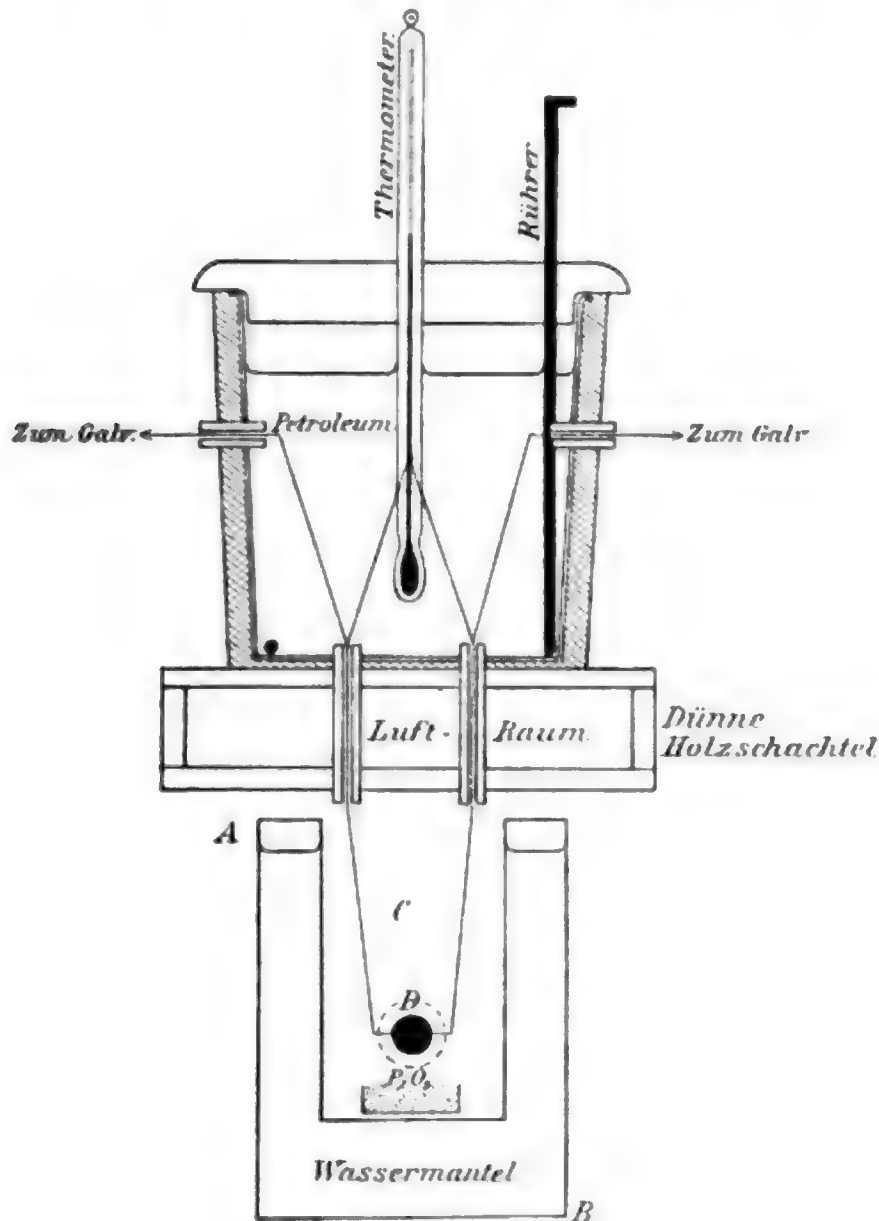


Fig. 6.

bestand nach deren Angabe aus 99,8 Proz. reinem Silber. In parallelen Durchmessern wurden durch das Scheibchen zwei Löcher gebohrt, die um  $\frac{1}{4}$  der Scheibendicke von jeder Kreisfläche entfernt waren. Zwei Eisen-Konstantanthermo-elemente, die durch Verlöten zweier 0,1 mm dicken Drähten hergestellt waren, wurden durch die Löcher des Scheibchens gezogen. Um diese Drähte von dem Scheibchen zu isolieren, waren feine Glasröhrchen über sie gezogen und in die Löcher

eingeführt, so daß sie knapp als 2 mm Draht an jeder Seite der Lötstelle frei ließen. Die Drähte waren in den Glasröhrchen und diese in dem Scheibchen mit Schellack festgekittet; die Röhrchen ragten ca. 15 mm aus dem Scheibchen heraus und waren in einer zu den Kreisflächen parallelen Ebene aufwärts gebogen. Die allgemeine Anordnung zeigt Fig. 6. Das Scheibchen war an den vier Drähten in einiger Entfernung unterhalb einer flachen Holzschachtel aufgehängt. Auf der Schachtel stand ein mit Watte umwickeltes Kalorimetergefäß, das mit Petroleum gefüllt war. Hierein tauchten die Enden der Thermoelemente, die auf konstanter Temperatur gehalten werden sollten. An ihren Enden waren Kupferdrähte angelötet, die mit 500  $\Omega$  Galvanometerwiderstand und 1000  $\Omega$  Ballastwiderstand den Stromkreis bildeten.

Die Thermoelemente in dem Scheibchen waren hintereinander geschaltet und da jede Lötstelle mitten zwischen der Mittelebene und der einen Fläche lag, durfte angenommen werden, daß, wenn sich das Scheibchen infolge der Bestrahlung einer Fläche langsam erwärmte, die elektromotorische Kraft der mittleren Temperatur des Scheibchens entsprach. Eine Kreisfläche des Scheibchens wurde geschwärzt, indem man mittels eines Zerstäubungsapparates eine Mischung von Lampenruß und Alkohol, in dem eine Spur Schellack aufgelöst war, auftrug. Diese Methode ist von G. E. Hale angegeben und gibt eine sehr feine und gleichmäßige tiefschwarze Schicht, die ebensogut ist, wie ein Rußniederschlag aus Rauch.

Bei den Energiemessungen wurde die Glasglocke und die Drehwage von der Platte *P* (Fig. 2) entfernt und ein doppelwandiges Kupfergefäß *AB* (Fig. 6), das als Wassermantel diente und einen kleinen Luftraum *C* umschloß, auf denselben Platz gestellt. Eine Röhre von 2 cm Weite war in die Vorderseite des Gefäßes eingelötet, um den Lichtstrahl in den Raum *C* einzulassen. Ihre Öffnung war mit einer Spiegelglasplatte von derselben Beschaffenheit wie die größeren Fenster an der Glasglocke bedeckt.

Das Nadelsystem im Galvanometer  $G_1$ , ein du Bois-Rubens-Instrument mit einem Magnetgehänge von 0,09 g, war in einem starken Magnetfelde aufgehängt, so daß die Schwingungsdauer gegen 4 Sek. betrug. Das System besaß

eine starke Luftdämpfung in Gestalt eines Glimmerflügels von großer Oberfläche.

Die Thermoelemente und das Galvanometer reagierten rasch auf die Bestrahlung, was daraus zu erkennen war, daß sich die Bewegung des Magnetsystems 1,2 Sek. nach Abschluß des Lichtes umkehrte, wenn sich die Temperatur des Scheibchens etwas über der des Raumes befand.

Das Silberscheibchen wurde auf folgende Art für Temperaturangaben geeicht. Es wurde in ein Petroleumbad eingetaucht und der Galvanometeraus Schlag für zwei verschiedene Temperaturen abgelesen. Die eine Temperatur lag ca.  $18^{\circ}$  über der relativ konstanten Temperatur des Raumes *C* oder des Kalorimeters, und die andere etwa dieselbe Zahl von Graden darunter. Diese beiden Temperaturen wurden durch ein Fuesssches Normalthermometer gemessen, das in  $\frac{1}{10}$  Grade geteilt und in der Reichsanstalt geeicht war. Zwei von obigen Eichungssätzen wurden unabhängig voneinander ausgeführt. Eine dieser Serien ist vollständig in Tab. V enthalten. Die ersten drei Kolonnen geben den Nullpunkt, den direkten und den kommutierten Ausschlag des Galvanometers, die vierte gibt die Temperatur des Bades, in das der Körper eingetaucht wurde, und die fünfte die des Kalorimeters von konstanter Temperatur. Die sechste Kolonne enthält die Ausschläge von  $G_1$ , die siebente die Mittelwerte je zweier Ausschläge nach der gleichen Seite, die achte das Mittel aus beiden vorhergehenden. Die letzte Kolonne gibt die Differenz zwischen den Temperaturen der beiden Kalorimeter in Celsiusgraden an. Für das ganze Temperaturintervall in der Tabelle,  $39,11^{\circ}$ , betrug der Ausschlag von  $G_1$  394 Skt. bei einer Empfindlichkeit von  $G_1 = 996$ . Einem Intervall von  $1^{\circ}$  entsprach also ein Ausschlag von 10,03 Skt. für eine Empfindlichkeit  $G_1 = 1000$ . Das Mittel aus den beiden getrennten Kalibrierungen ergab 9,96 Skt. für  $1^{\circ}$  Temperaturunterschied.

Vor Beginn einer Serie von Energiemessungen wurde das Scheibchen in einem Luftraum, der Phosphorpentoxyd enthielt und durch Eis und Salz abgekühlt wurde, aufgehängt. Wenn hier das Scheibchen eine Temperatur von ungefähr Null Grad erreicht hatte, wurde es rasch in den Raum *C* (Fig. 6) gebracht und der Lichtstrahl darauf gerichtet. Hatte sich dann

Kältebad										Wärmebad							
Ablesung von $G_1$										Ablesung von $G_1$							
Komm.	Nullpunkt	Direkt	Scheibchen $T_1^0$	Kal. $T_2^0$	Ausschlag von $G_1$	Mittel der abwechselnden Ausschläge	$G_1$ Mittel	$T_2^0 - T_1^0$	Komm.	Nullpunkt	Direkt	Scheibchen $T_1^0$	Kal. $T_2^0$	Ausschlag von $G_1$	Mittel der abwechselnden Ausschläge	$G_1$ Mittel	$T_1^0 - T_2^0$
402,0	221,2								2,0	217,3							
	221,0	35,2	1,58°	20,05°	185,5	—	—	—		218,6	434,2	41,45°	20,10°	215,6	—	—	—
	220,9									219,9							
	221,0	—	1,60	20,07	181,0	185,7	183,4	18,47°		220,5	—	41,35	20,42	218,5	213,7	216,1	20,93°
403,1	221,2								10,0	221,1							
	221,2	35,7	1,57	20,10	185,5	181,3	183,4	18,53		222,4	434,2	41,25	20,44	211,8	216,4	214,1	20,81
	221,2									223,7							
	221,5	—	1,56	20,11	181,6	185,8	183,7	18,58		224,4	—	41,08	20,50	214,4	209,1	211,7	20,58
405,0	221,9								16,3	225,1							
	222,0	35,9	1,54	20,16	186,1	182,2	184,1	18,62		225,7	432,1	40,90	20,55	206,4	212,4	209,4	20,35
	222,1									226,3							
	222,2	—	1,52	20,20	182,8	186,3	184,5	18,68		226,7	—	40,80	20,60	210,4	204,8	207,6	20,20
405,8	222,4								21,8	227,2							
	222,7	36,2	1,57	20,22	186,5	182,7	184,6	18,65		227,8	431,0	40,67	20,61	203,2	208,5	205,8	20,07
	223,0									228,4							
	223,1	—	1,60	20,26	182,7	186,7	184,7	18,66		228,5	—	40,55	20,63	206,7	201,8	204,2	19,92
	223,2									228,7							
	223,3	36,3	1,59	20,30	187,0	—	—	—		229,0	429,4	40,43	20,65	200,4	—	—	—
	223,5									229,3							

Korrektion für  $T_1^0 = 0,00^\circ$ . 184,0 18,60°

Korrektion für  $T_1^0 = 0,10^\circ$ . 209,5 20,41°

Korrigiert: 20,51°



seine Temperatur auf 5 oder 6° der Raumtemperatur genähert, so wurde in Zwischenräumen von 5 Sek. das Galvanometer abgelesen, bis das Scheibchen eine Temperatur erreicht hatte, die mehrere Grade über der seiner Umgebung lag. Die Temperatur des Raumes wurde dadurch bestimmt, daß man das Scheibchen entfernte und nahe auf die Temperatur des Raumes abkühlte, dann wurde es wieder zurückgebracht und der Gang der Temperaturänderung während einiger Minuten beobachtet.

Tabelle VI.

Energiemessungen. „Luft“.

16. August 1902.

Zeit	$G_1$	Zeit	$G_1$	$\Delta G_1$	$\Delta t$	$\frac{\Delta G_1}{\Delta t}$ in mm pro Sek.
0 Sek.	174,5	60 Sek.	253,2	78,7	60 Sek.	1,312
5	182,0	55	247,3	65,3	50	1,306
10	189,0	50	241,3	52,3	40	1,308
15	196,2	45	235,2	39,0	30	1,300
20	203,0	40	229,1	26,1	20	1,305
25	209,7	35	222,8	13,1	10	1,310
30	216,4					

Mittel: 1,307

Ablesung des Lampengalvanometers  $G_2 = 924$ . Die Empfindlichkeit von  $G_2$  betrug 667 und von  $G_1$  996;  $\Delta G/\Delta t$  reduziert auf die normalen Verhältnisse wird  $1,307 \cdot 667 \cdot 996 : 924 \cdot 1000 = 0,943$  mm/Sek.

Nulllage des Galvanometers  $G_1$  (kurz geschlossen) bestimmt nach der Abkühlungsmethode gleich 216,8 gleich der Ablesung bei der Raumtemperatur.

Tab. VI gibt eine solche Beobachtungsserie, die die Erwärmung des Scheibchens durch den Lichtstrahl darstellt, vollständig wieder. Man sieht, daß die Temperatur des Scheibchens die des Raumes 30 Sek. nach Beginn der Serie überschreitet. Die letzte Kolumne enthält den Betrag, um welchen der Galvanometerausschlag pro Zeiteinheit zunahm, wenn das Scheibchen und seine Umgebung dieselbe Temperatur hatten. Energiemessungen wurden bei „Luft“, „rotem

Glas“ und „Wasserschicht“ angestellt, analog wie bei den Druckmessungen. Während der Experimente wurde öfters die Rußschicht des Scheibchens abgewischt und eine neue aufgetragen; das endgültige Resultat entspricht deswegen nicht einer einzelnen Schicht, sondern stellt einen Durchschnittswert dar.

Eine Ungleichheit der beiden Thermoelemente des Scheibchens oder eine in Bezug auf die Mittelebene unsymmetrische Lage hätte zur Folge gehabt, daß die Durchschnittstemperatur der Lötstellen nicht der mittleren Temperatur des Scheibchens entsprochen hätte. Um etwaige Fehler dieser Art zu eliminieren, wurden Beobachtungsreihen für jede Seite des Scheibchens angestellt, wobei die Rußschicht jedesmal von der dem Licht abgewandten Seite weggewischt wurde. Alle Serien von Energiemessungen sind in Tab. VII und VIII zusammengestellt. In den Tabellen, die mit „Luft“ bezeichnet sind, enthält die erste Kolumne die beobachtete Zunahme des Galvanometerausschlages  $G_1$ , wenn Scheibchen und Umgebung auf gleicher Temperatur waren. Die zweite gibt das entsprechende Mittel der Ausschläge des Lampengalvanometers  $G_2$ ; die dritte und vierte enthält die Empfindlichkeit von  $G_1$  und  $G_2$  und die letzte Kolumne die Werte, die auf Normallichtstärke und normale Empfindlichkeit der beiden Galvanometer reduziert sind. Von jeder der an beiden Seiten des Scheibchens erhaltenen Serie wurde der Mittelwert gebildet und diese Werte mit ihren wahrscheinlichen Fehlern wurden dann am Schluß der Tab. VIII zu einem Hauptmittel vereinigt.

Tab. VII u. VIII geben folgende Resultate: Die durchschnittliche Zunahme der Ablenkung von  $G_1$  für die normalen Zustände ergab 0,966 mm pro Sekunde. Nach der kalorimetrischen Eichung entspricht ein Ausschlag von 9,96 Skt. einer Temperaturdifferenz von  $1^\circ \text{C}$ . Folglich beträgt bei Belichtung die Temperaturzunahme des Silberkörpers pro Sek.:

- |                     |  |
|---------------------|--|
| a) „Luft“:          | $0,966 : 9,96 = (0,0970^\circ \pm 0,00034^\circ) \text{C.},$ |
| b) „Rotes Glas“:    | $0,942 : 9,96 = (0,0946^\circ \pm 0,00036^\circ) \text{C.},$ |
| c) „Wasserschicht“: | $0,880 : 9,96 = (0,0884^\circ \pm 0,00064^\circ) \text{C.}$  |

Tabelle VII.  
Vorderseite.

Datum	„Luft“					„Rotes Glas“			„Wasserschicht“		
	$\frac{d G_1}{d t}$	$G_2$ Bogen- lampe	$E_1$	$F_2$	$\frac{d G_1}{d t}$ reduziert	$\frac{d G_1}{d t}$	$G_2$	$\frac{d G_1}{d t}$ reduziert	$\frac{d G_1}{d t}$	$G_2$	$\frac{d G_1}{d t}$ reduziert
10. August	1,887	980	990	689	0,965	—	—	—	0,369	279	0,902
10. "	1,263	920	990	689	0,986	—	—	—	0,437	345	0,864
10. "	—	—	—	—	—	—	—	—	0,400	311	0,877
11. "	1,244	866	986	701	0,992	0,750	546	0,950	0,412	315	0,905
11. "	1,455	1010	986	701	0,995	0,750	546	0,950	0,510	382	0,922
11. "	1,505	1047	986	701	0,994	—	—	—	0,516	381	0,935
16. "	1,447	1022	996	669	0,942	0,736	529	0,927	0,416	327	0,873
16. "	1,284	886	996	669	0,966	0,740	527	0,936	0,451	352	0,853
16. "	1,316	925	996	669	0,948	0,797	550	0,965	0,502	382	0,875
16. "	1,307	924	996	669	0,943	—	—	—	—	—	—
18. "	1,598	1110	995	667	0,955	0,738	515	0,952	0,449	333	0,895
18. "	1,550	1047	995	667	0,984	0,732	518	0,940	0,445	342	0,865
18. "	1,548	1031	995	667	0,995	0,730	518	0,938	0,451	346	0,867
18. "	1,410	957	985	667	0,977	—	—	—	—	—	—
18. "	1,330	898	995	667	0,983	—	—	—	—	—	—
19. "	1,241	862	1001	675	0,975	0,760	532	0,965	0,451	343	0,892
19. "	1,360	934	1001	675	0,985	0,728	512	0,960	0,452	338	0,904
19. "	1,324	905	1001	675	0,990	0,738	525	0,950	0,466	351	0,898
19. "	1,364	934	1001	675	0,988	—	—	—	—	—	—
Mittel:					0,973 ± 0,003	0,948 ± 0,002			0,888 ± 0,004		

Tabelle VIII.  
Rückseite.

Datum	„Luft“					„Rotes Glas“			„Wasserschicht“		
	$\frac{d G_1}{d t}$	$G_2$ Bogen- lampe	$E_1$	$F_2$	$\frac{d G_1}{d t}$ reduziert	$\frac{d G_1}{d t}$	$G_2$	$\frac{d G_1}{d t}$ reduziert	$\frac{d G_1}{d t}$	$G_2$	$\frac{d G_1}{d t}$ reduziert
12. August	1,374	960	991	684	0,970	0,808	578	0,949	0,495	370	0,906
12. "	1,331	932	991	684	0,968	0,740	536	0,985	0,434	320	0,919
12. "	1,284	900	991	684	0,967	0,765	542	0,957	0,489	371	0,895
15. "	1,428	992	996	670	0,960	0,703	506	0,926	0,490	368	0,890
15. "	1,428	984	996	670	0,968	0,742	526	0,941	0,466	352	0,885
15. "	1,531	1068	996	670	0,962	0,765	551	0,926	0,440	337	0,873
20. "	1,477	1047	996	685	0,961	0,703	522	0,918	0,458	375	0,833
20. "	1,520	1090	996	685	0,951	0,760	537	0,965	0,497	400	0,848
20. "	1,576	1130	996	685	0,951	0,781	570	0,935	0,507	408	0,848
20. "	1,568	1124	996	685	0,950	—	—	—	—	—	—
21. "	1,783	1224	995	668	0,970	0,846	604	0,932	0,503	393	0,852
21. "	1,773	1232	995	668	0,957	0,790	575	0,915	0,481	377	0,850
21. "	1,705	1190	995	668	0,953	0,803	575	0,930	0,483	373	0,862
21. "	1,452	1019	995	668	0,948	—	—	—	—	—	—
					Mittel: 0,960 ± 0,0014			0,936 ± 0,003			0,872 ± 0,005
					Mittel von Vorder- und Rückseite: 0,966 ± 0,0034			0,942 ± 0,0036			0,880 ± 0,0064

Das Gewicht des Silberscheibchens betrug 4,80 g; seine spezifische Wärme <sup>1)</sup> bei 18° C. = 0,0556; das mechanische Wärmeäquivalent bei 18° C. =  $4,272 \cdot 10^7$  Erg. <sup>2)</sup>

Folglich beträgt die Energie der Normalstrahlung:

- a) „Luft“:  $0,0970 \cdot 4,80 \cdot 0,0556 \cdot 4,272 \cdot 10^7$ ,  
 $E_L = (1,108 \pm 0,004) \cdot 10^6$  Erg pro Sek.  
 b) „Rotes Glas“:  $E_G = (1,078 \pm 0,004) \cdot 10^6$  Erg pro Sek.  
 c) „Wasserschicht“:  $E_W = (1,008 \pm 0,007) \cdot 10^6$  Erg pro Sek.

### Reflexionskraft der benutzten Oberflächen.

#### 1. Regelmäßige Reflexion.

Nach Maxwell ist bei senkrechter Inzidenz der Druck in Dynen pro Quadratcentimeter gleich der Energie in Erg, die in der Volumeneinheit des Mediums enthalten ist. Die in der Volumeneinheit enthaltene Energie besteht aus der Energie des direkten und reflektierten Strahles. Wenn  $E$  die Intensität des einfallenden Strahles ist und  $\rho$  der Reflexionskoeffizient, so ist der Druck  $p = E(1 + \rho)/c$ , wo  $c$  die Lichtgeschwindigkeit ist. Die Methoden zur Messung von  $p$  und  $E$  sind schon beschrieben. Die Bestimmung von  $\rho$  für beide Seiten der Flügel  $C$  und  $D$  geschah folgendermaßen. Die Unterlagen der Drehwage wurden ersetzt durch eine geteilte kreisförmige Platte  $A$  (Fig. 7), die um eine zentrische vertikale Achse gedreht werden konnte. Die Achse ging durch die Platte hindurch und trug an ihrem Ende einen Spiegelhalter  $bb$ . Die Flügel wurden frisch versilbert und auf einer Spiegelglasplatte  $aa$  befestigt, die von einer Klammer gegen die Rückseite von  $bb$  gehalten wurde. Der Lichtstrahl wurde von der Linse  $L_3$  (Figg. 3 u. 7) auf die Flügel gerichtet, gerade so, wie es bei den Druckbeobachtungen geschehen war. Nach der Reflexion durch den Flügel fiel der Strahl auf einen Konkavspiegel  $M$ , der ein Bild von dem Flügel auf einen einfachen Streifenbolometer  $B$  entwarf, das den unbekannten Widerstand in einer Brückenordnung bildete. Der Strom wurde von Akkumulatoren geliefert. Das Galvanometer war dasselbe, das

1) U. Behn, Ann. d. Phys. 4. p. 266. 1900.

2) Mittel von Rowlands und Griffiths Werten (Phil. Trans. 184. p. 496. 1893).





die gesuchten Reflexionskoeffizienten. Im ganzen wurden drei Serien von Messungen an der Silberseite und zwei an der Glasseite eines jeden Flügels gemacht. Um die mittleren Koeffizienten zu erhalten, die dem durchschnittlichen Zustand eines Flügels während der Druckmessungen entsprachen, wurden die Flügel zwischen je zwei Serien gereinigt und neue Silberschichten auf denselben Seiten niedergeschlagen. Die Reflexionskoeffizienten sind in Tab. X zusammengestellt.

Tabelle IX.

Reflexionskoeffizient von  $D_g$ . „Luft.“

31. Oktober 1902.

	Nullpunkt	Umkehrpunkt	Ausschlag $G_1$	Bogenlampe	$G_1$ reduz. auf Normal	Mittel	Abwechselnd. Mittel	Reflexionskoeffizient
$R$ {	350,0	159,5	190,5	182,6	143,8	142,5	—	—
	349,0	152,0	197,0	139,3	141,3			
$D$ {	349,5	100,5	249,0	136,8	182,1	182,5	142,0	0,779
	350,0	111,5	238,5	130,5	183,0			
$R$ {	346,0	177,0	169,0	119,3	141,2	141,5	182,5	0,775
	347,0	171,0	176,0	124,4	141,7			
$D$ {	348,5	123,0	225,5	124,0	181,8	182,4	141,1	0,773
	348,5	120,0	228,5	125,0	183,0			
$R$ {	345,0	172,0	173,0	122,6	141,0	140,6	182,7	0,770
	345,0	171,0	174,0	124,0	140,3			
$D$ {	346,0	132,0	214,0	115,5?	—	183,0	141,2	0,773
	346,0	124,0	221,0	120,7	183,0			
$R$ {	344,0	173,0	171,0	120,7	141,8	141,7	182,1	0,778
	344,5	171,0	173,5	122,6	141,6			
$D$ {	346,0	119,0	227,0	125,3	181,0	181,2	141,6	0,781
	346,0	117,5	228,5	126,0	181,3			
$R$ {	342,0	174,0	168,0	118,0	142,3	141,5	181,8	0,780
	342,0	170,5	171,5	122,0	140,8			
$D$ {	347,0	130,0	217,0	119,0	182,3	182,5	141,4	0,775
	347,0	134,0	213,0	116,7	182,7			
$R$ {	341,5	174,5	167,0	118,0	141,3	141,2	—	—
	341,0	173,0	168,0	119,0	141,1			

Mittel: 0,776

Tabelle X.

Reflexionskoeffizienten in Prozenten.

<i>C<sub>s</sub></i>				<i>C<sub>g</sub></i>			
„Luft“	„Rotes Glas“	„Wasser“	Diffuse Reflex.	„Luft“	„Rotes Glas“	„Wasser“	Diffuse Reflex.
92,8	94,5	88,9	0,98	77,8	75,9	80,8	—
89,8	90,8	86,0	0,92	77,6	76,6	80,0	1,6
90,8	—	—	1,23	—	—	—	—
Mittel: 91,1	92,7	87,5	1,04	77,7	76,3	80,4	1,6

<i>D<sub>s</sub></i>				<i>D<sub>g</sub></i>			
95,0	96,3	91,5	2,2	77,6	76,5	81,0	2,8
92,0	94,0	90,4	—	76,7	75,2	79,7	2,2
94,8	95,0	92,3	0,8	—	—	—	—
Mittel: 93,9	95,1	91,4	1,5	77,2	75,9	80,4	2,5

Mittlere Koeffizienten.

Luft—Silber				Glas—Silber			
92,5	93,9	89,5	1,3	77,5	76,1	80,4	2,0

Korrigierte Koeffizienten.

92,0	93,4	89,0	—	77,6	76,2	80,5	—
------	------	------	---	------	------	------	---

Durchschnittswert der Koeffizienten.

„Luft“	„Glas“	„Wasser“
84,8	84,8	84,8

2. Diffuse Reflexion.

Für jede benutzte Oberfläche wurde die *diffuse* Reflexion eines Strahles, der durch Luft gegangen war, folgendermaßen bestimmt. Die Fläche wurde auf senkrechte Inzidenz gestellt, die Energie, die in einem Winkel von 25° reflektiert wurde und auf die volle Öffnung des Spiegels *M* fiel, wurde gemessen und der Gesamtbetrag für die Halbkugel auf Grund des

Kosinusetzes berechnet. Wenn  $I_\theta dA$  der Betrag der diffusen Strahlung ist, die unter einem Winkel  $\theta$  zur einfallenden Strahlung normal auf das Flächenelement  $dA$  fällt, das sich in einer Entfernung  $r$  von dem Flügel befindet, dann ist

$$I_\theta dA = I_0 \cos \theta dA.$$

Der gesamte Betrag der diffusen Strahlung ist

$$\iint I_0 \cos \theta dA;$$

genommen über die Oberfläche der Halbkugel

$$= \int_0^{\pi/2} 2\pi r^2 I_0 \cos \theta \sin \theta d\theta = \pi I_0 r^2.$$

Dieses Integral stellt den Betrag der diffusen Reflexion in Tab. X dar. Von der diffusen Strahlung  $I_\theta dA$  kommt allein die zum Flügel senkrechte Komponente  $I_\theta \cos \theta dA$  in Betracht. Der Gesamtausdruck lautet

$$\int_0^{\pi/2} 2\pi r^2 I_0 \cos^2 \theta \sin \theta d\theta = \frac{2}{3} \pi I_0 r^2.$$

Man sieht also, daß  $\frac{2}{3}$  des diffus reflektierten Lichtes Druckwirkung ausübt. Dieses vergrößert die Luft-Silber-Reflexionskoeffizienten um 0,9 Proz. und die Glas-Silber-Koeffizienten um 1,3 Proz. Die kleinen Glasstäbchen  $d_1$  (Fig. 2), die bei den Reflexionsmessungen nicht vorhanden waren, verkleinern die reflektierende Fläche der versilberten Flügel bei den Druckmessungen um 1,54 Proz. Die Werte für Luft-Silber sind also zu vermindern um  $0,92 \cdot 1,54 = 1,4$  Proz. und die Werte für Glas-Silber um  $0,78 \cdot 1,54 = 1,2$  Proz. Durch Anwendung dieser beiden Korrekturen erhält man die endgültig korrigierten Koeffizienten in Tab. X.

Die diffuse Reflexion von Rußschichten, die nach der bei der Schwärzung des Silberscheibchens angegebenen Methode hergestellt waren, wurde nach derselben Art gemessen und berechnet wie die diffuse Reflexion der Flügel C und D. Die Übereinstimmung, die Ångström<sup>1)</sup> zwischen der diffusen

1) K. Ångström, Wied. Ann. 26. p. 271. 1885.

Reflexion von matten Oberflächen bei senkrechter Inzidenz und dem Kosinusetz gefunden hat, war für den gegenwärtigen Zweck hinreichend. Es wurden fünf Bestimmungen der diffusen Reflexion unter verschiedenen Bedingungen und mit verschiedenen Rußschichten gemacht. Die Werte betrugen 4,4, 4,5, 4,2, 4,6 und 5,2 Proz., im Mittel 4,6 Proz. der Intensität des einfallenden Strahles. Also nur 95,4 Proz. des auffallenden Lichtes wurden durch die Rußschicht des Silberscheibchens absorbiert. Folglich beträgt die wahre Energie des Lichtstrahles  $1/0,954$  der beobachteten.

Das Silberscheibchen von 13,3 mm Durchmesser empfing lange Wellen und zerstreute Strahlung, die um und durch die Lichtdruckflügel von 12,8 mm Durchmesser gegangen war. Dieser Betrag wurde für dicke und dünne Silberschichten experimentell festgestellt, um angenähert den durchschnittlichen Einfluß der Schichten auf die Lichtdruckmessungen zu finden und man hatte im Mittel erhalten:

- a) „Luft“: 1,40 Proz.,      b) „Rotes Glas“: 1,44 Proz.,  
c) „Wasserschicht“: 0,46 Proz.

Um einen solchen Betrag muß die Energie  $E$  der Normalstrahlung noch verringert werden.<sup>1)</sup> Wenden wir diese Korrekturen an und auch die oben erwähnten, von der diffusen Strahlung des Silberkörpers herrührenden, so beträgt die Energie der Normalstrahlung:

$$a) \text{ „Luft“: } E_L \cdot \frac{0,986}{0,954},$$

$$b) \text{ „Rotes Glas“: } E_G \cdot \frac{0,986}{0,954},$$

$$c) \text{ „Wasserschicht“: } E_W \cdot \frac{0,995}{0,954}.$$

Folglich ist der Druck, der von einer konstanten Strahlung herrührt, nach Maxwells Formel  $p = E(1 + \rho)/3 \cdot 10^{10}$  berechnet, für  $\rho = 0,848$

---

1) Da durchschnittlich die Tangente des Öffnungswinkels des einfallenden Lichtstrahles gegen  $1/40$  betrug, war es nicht nötig, für schiefe Inzidenz eine Korrektur anzubringen. Ferner war die Innenseite der Glasglocke geschwärzt und der Nullpunkt der Drehwage so gewählt, daß keine von den Fenstern reflektierte Energie Druckwirkungen ausüben konnte.



a) „Luft“:

$$p = E_L \cdot \frac{0,986}{0,954} \cdot \frac{1,848}{3 \cdot 10^{10}} = 1,108 \cdot \frac{0,986}{0,954} \cdot \frac{1,848}{3 \cdot 10^{10}} \cdot 10^6 \text{ Dynen}$$

$$p = (7,05 \pm 0,03) \cdot 10^{-5} \text{ Dynen.}$$

b) „Rotes Glas“:

$$p = E_G \cdot \frac{0,986}{0,954} \cdot \frac{1,848}{3 \cdot 10^{10}} = 1,078 \cdot \frac{0,986}{0,954} \cdot \frac{1,848}{3 \cdot 10^{10}} \cdot 10^6 \text{ Dynen}$$

$$p = (6,86 \pm 0,03) \cdot 10^{-5} \text{ Dynen.}$$

c) „Wasserschicht“:

$$p = E_W \cdot \frac{0,995}{0,945} \cdot \frac{1,848}{3 \cdot 10^{10}} = 1,008 \cdot \frac{0,995}{0,954} \cdot \frac{1,848}{3 \cdot 10^{10}} \cdot 10^6 \text{ Dynen}$$

$$p = (6,48 \pm 0,04) \cdot 10^{-5} \text{ Dynen.}$$

Ein Vergleich der beobachteten und berechneten Drucke folgt:

	Beobachtet $p \cdot 10^{-5} \text{ Dynen}$	Berechnet $p \cdot 10^{-5} \text{ Dynen}$	Differenz in Proz.
„Luft“ . . . . .	$p = 7,01 \pm 0,02^1)$	$7,05 \pm 0,03$	-0,6
„Rotes Glas“ . . .	$p = 6,94 \pm 0,02$	$6,86 \pm 0,03$	+1,1
„Wasserschicht“ . .	$p = 6,52 \pm 0,03$	$6,48 \pm 0,04$	-0,6

Die aus Druck- und Energiemessungen erhaltenen Werte zeigen eine befriedigende Übereinstimmung.

Eine Schätzung des ungefähren Betrages der *Luftstörungen*, die bei der ballistischen Beobachtungsmethode nicht eliminiert wurden, kann man aus folgenden Betrachtungen erhalten.

Wenn Strahlung auf einen Flügel der Drehwage fällt, wird ein Teil davon durch die Silberoberfläche absorbiert. Aus den Beträgen der regelmäßigen und diffusen Reflexion (Tab. X), aus dem Betrage, der auf die Durchschnittsoberfläche übertragen ist (experimentell bestimmt, aber nicht in Tab. X angegeben), ferner aus der Wirkung des Glasstäbchens und aus dem Reflexionskoeffizient der Glasoberfläche war gefunden worden, daß, wenn die

1) Um den beobachteten Druck mit dem aus der Energie berechneten vergleichen zu können, wurden für die drei verschiedenen Wellengruppen (Luft, rotes Glas, Wasserschicht) drei voneinander völlig unabhängige Experimente angestellt. Die Druckwerte 7,01, 6,94 und 6,52 kommen einander nur zufällig nahe. Die Differenz entsteht durch die verschiedene Reflexionskraft der unter 45° geneigten Glasplatte für die verschiedenen Strahlen, sowie auch dadurch, daß die Angaben des Lampengalvanometers  $G_2$  zusammen mit dem Bolometer  $R$  nicht streng proportional den Energiemengen sind, deren gegenseitiges Verhältnis etwa 33 : 60 : 100 für „Wasser“, „rotes Glas“ und „Luft“ ist. Das Lampenbolometer und -Galvanometer diente nur dazu, die kleinen Schwankungen der Lichtintensität zu kontrollieren, die selten mehr als 10 Proz. von jeder Seite des Mittelwertes betrugen

Silberseite des Flügels dem Lichte zugekehrt war, der Absorptionskoeffizient bei Strahlung durch „Luft“ 6 Proz., und wenn die Glasseite nach vorn stand, dann 18 Proz. betrug.

Die ganze Kraft, die auf den Flügel einwirkte, zerfiel in zwei Komponenten, eine die von dem Strahlungsdruck, und eine, die von der Lufteinwirkung herrührte.  $F_s$  sei die Kraft, die von der ersten Ursache herrührt, wenn wir annehmen, daß die gesamte Strahlung absorbiert werde, und  $F_L$  sei der von der zweiten Ursache herrührende Effekt unter derselben Voraussetzung. Dann beträgt der gesamte Effekt, wenn die Silberseite dem Lichte zugekehrt ist und die Strahlung durch „Luft“ geht, gleich  $1,92 F_s + 0,06 F_L$ . Steht die Glasseite nach vorn, ist der ganze Effekt  $1,776 F_s - 0,18 F_L$ . Setzen wir diese Ausdrücke gleich den entsprechenden reduzierten Ausschlägen (Tab. III, Kolumne 11 und 12), so haben wir zwei Gleichungen, aus welchen der Wert von  $F_s$  und  $F_L$  erhalten werden kann. Hiernach ist also der Effekt, der von der Einwirkung des Gases auf den Flügel herrührt, annähernd bestimmt und damit auch der Betrag  $0,06 F_L$ , der bei der Bildung von Kolumne 13 (als Mittel aus den beiden vorhergehenden) nicht eliminiert ist.

Wenden wir diese Methode auf sämtliche Resultate der Tab. III an (mit Ausnahme derjenigen Resultate, die mit schlechtem Spiegel, wie unser Notizbuch angibt, erhalten sind), so beträgt die Lufteinwirkung, die bei den ballistischen Ausschlägen für „Luft“ auftritt, 0,8 Proz. Verfahren wir ebenso mit den Werten der Tab. IV, so beträgt die Lufteinwirkung bei „rotem Glas“ 1,1 Proz. und bei Wasserschicht 0,3 Proz. Das Vorzeichen von  $F_L$  erscheint negativ, was bedeutet, daß die Luftwirkung saugend war.

Diese Betrachtung hat zur Voraussetzung, daß die Glasseiten der Flügel während der Expositionsdauer weder durch Absorption noch durch Wärmeleitung von der Silberschicht aus erwärmt wurden. Der Effekt einer solchen Absorption oder Leitung hätte den berechneten Lufteinfluß vermindern müssen. Wie bei den statischen Beobachtungen vermutet wurde, ist die Lufteinwirkung bei den ballistischen Messungen der Größe nach vergleichbar mit den berechneten Werten, wie sie oben erhalten wurden und von demselben Vorzeichen. Beide Überlegungen zeigen, daß die Lufteinwirkung auch im ungünstigsten

Fälle 1 Proz. des Strahlungsdruckes nicht überschreitet. Wegen der Kleinheit und Undefiniertheit wurde an den endgültigen Werten für den Druck keine Korrektion für die Luftstörung angebracht. Bei den Resultaten der Druck- und Energiemessungen sind die wahrscheinlichen Fehler mit angegeben; eine Zusammenstellung der prozentischen Genauigkeit der anderen Werte, die in den Berechnungen vorkommen, sowie die Beeinflussung des endgültigen Resultates wird in folgendem mitgeteilt.

1. Größen, die sich auf einzelne Serien beziehen:

a) Druckwerte:

Schwingungsdauer $T$ . .	genau auf	0,2 Proz.,	bewirkt am Resultat	0,0 Proz.
Hebelarm der Drehwage $l$	„ „	0,1 „	„ „	0,0 „
Konstante des Galv. $G_1$	„ „	0,5 „	„ „	0,0 „
Expositionsdauer . . .	„ „	0,4 „	„ „	0,1 „

b) Energiewerte:

Konstante des Galv. $G_1$	genau auf	0,1 Proz.,	bewirkt am Resultat	0,0 Proz.
„ „ „ $G_2$	„ „	0,5 „	„ „	0,0 „

2. Größen, die sich auf endgültige Durchschnittswerte beziehen:

a) Druckwerte:

Torsionskraft des Fadens	genau auf	0,2 Proz.,	bewirkt am Resultat	0,2 Proz.
Reduktionsfaktor 1,837 .	„ „	0,1 „	„ „	0,1 „
„ 1,550 für $G$	„ „	0,2 „	„ „	0,2 „
Reflexion der Flügeloberflächen . . . . .	„ „	0,4 „	„ „	0,2 „

b) Energiewerte:

Gewicht des Silberscheibchens . . . . .	genau auf	0,1 Proz.,	bewirkt am Resultat	0,1 Proz.
Temperaturkalibrierung des Silberscheibchens .	„ „	0,5 „	„ „	0,5 „
Diffuse Reflexion der Rußschicht . . . . .	„ „	0,5 „	„ „	0,1 „

Die Ubereinstimmung der Werte von „Luft“, „rotes Glas“ und „Wasserschicht“ mit der Theorie innerhalb der Beobachtungsfehler beweist, daß der Strahlungsdruck nur von der Intensität der Strahlung und nicht von der Wellenlänge abhängt.

Die Maxwell-Bartolische Theorie ist somit innerhalb der wahrscheinlichen Beobachtungsfehler quantitativ bestätigt.

Hanover N. H., Wilder Laboratory, Dartmouth College,  
Dezember 1902.

(Eingegangen 2. März 1903.)



## 2. Zur Theorie der Serienspektren; von Walter Ritz.

(Auszug aus der Inaugural-Dissertation des Verfassers.)

Die merkwürdigen Gesetze, die von Balmer<sup>1)</sup>, Kayser und Runge, und Rydberg in vielen Linienspektren entdeckt worden sind, zeigen bekanntlich, daß die Eigenschwingungen des Lichterregers einen durchaus anderen Typus besitzen als die uns aus der Elektrodynamik, Elastizitätstheorie und Hydrodynamik bekannten Fälle von Eigenschwingungen. Während in letzteren die Schwingungszahlen  $\nu$ , als Funktionen willkürlicher ganzer Zahlen dargestellt, für große Werte dieser Zahlen arithmetische Progressionen bilden, welches auch immer die Gestalt der schwingenden Körper sei, und somit niemals zwischen zwei endlichen Werten von  $\nu$  unendlich viele Eigentöne liegen, so findet genau das Gegenteil für die den Serienspektren (und wie es scheint, auch den Bandenspektren) entsprechenden schwingenden Systeme statt.

So ist das Wasserstoffspektrum bekanntlich mit außerordentlicher Genauigkeit darstellbar durch die Balmersche Formel, die man schreiben kann

$$\frac{10^8}{\lambda} = 109\,675,0 \left[ \frac{1}{4} - \frac{1}{m^2} \right],$$

wo  $\lambda$  der Reihe nach die auf Vakuum reduzierten Wellenlängen der Wasserstofflinien in Ångströmeinheiten ( $10^{-8}$  cm) bedeutet, wenn  $m=3, 4, 5 \dots 32$  gesetzt wird.<sup>2)</sup> Mit unendlich wachsendem  $m$  nähern sich die  $1/\lambda$  immer wachsend einer endlichen Grenze, in deren Nähe unendlich viele Spektrallinien sich häufen.

Dabei ist die Genauigkeit, mit welcher sich diese Formel an die Erfahrung anschließt, eine so außerordentliche, und die Feinheit der Messungen so groß, daß nur wenige physikalische Gesetze in dieser Hinsicht mit jener Formel vergleichbar sind. Beim Versuch sie theoretisch zu begründen wird man somit

1) J. J. Balmer, Wied. Ann. 25. p. 80. 1885.

2) Näheres vgl. H. Kayser, Handbuch der Spektroskopie II. Aufl. 2. p. 504. 1902.

zunächst von der Voraussetzung ihrer absoluten Genauigkeit ausgehen dürfen.

Die ganz ähnlichen Gesetze anderer Linienspektren sind weiter unten zusammengestellt. Auch sie zeigen stets eine Häufungsstelle der Schwingungszahlen im Endlichen.

Daß eine solche Häufungsstelle auf Grund der bekannten Differentialgleichung

$$\frac{\partial^2 \varphi}{\partial t^2} = c^2 \left[ \frac{\partial^2 \varphi}{\partial x^2} + \frac{\partial^2 \varphi}{\partial y^2} + \frac{\partial^2 \varphi}{\partial z^2} \right],$$

die für alle Schwingungsprobleme der Elastizitäts- und Elektrizitätstheorie maßgebend ist, nie eintreten kann, ist bekannt. Für festgehaltene Begrenzung ist der strenge Beweis von Hrn. Poincaré <sup>1)</sup> erbracht worden. Zwar können bei geeignet gewählten Bedingungen mehrere Eigenschwingungen sehr nahe zusammenfallen, doch ist ihre Zahl stets endlich, und sie weisen auch nicht annähernd die von der Balmerschen Formel geforderte Gesetzmäßigkeit auf.

Danach scheint die Anlehnung an die geläufigsten Hypothesenbildungen der Physik sehr erschwert. Bedenkt man noch, daß der Schluß aus den Schwingungszahlen eines zur Zeit uns noch ganz unbekannten Systems auf die Gesetze seiner Bewegung kein eindeutiger ist, so wird man die Aufgabe der Theorie so stellen dürfen:

Unter möglicher Anlehnung an Mechanik oder Elektrodynamik sollen physikalisch anschauliche, mathematische Operationen angegeben werden, deren Interpretation durch die Schwingungen eines geeigneten „Modells“ für diese auf die Gesetze der Serienspektren führen; die Theorie soll gestatten, die empirischen Formeln zu verbessern, unter einheitlichen Gesichtspunkt zu ordnen und neue Gesetze aufzudecken.

In diesem Sinn der Fragestellung hoffe ich die Aufgabe im folgenden gelöst zu haben. Nach einer Übersicht des vorliegenden empirischen Materials werden zunächst aus einem geeigneten, möglichst einfachen Ansatz für die potentielle Energie eines zweidimensionalen Kontinuums (es sind Fernwirkungen angenommen) die Bewegungsgleichungen desselben auf Grund des *Prinzips der kleinsten Aktion* abgeleitet. Es ergeben sich eine Hauptgleichung

1) H. Poincaré, Rendic. del circ. mat. di Palermo 8. p. 57. 1894.



und gewisse Randbedingungen; die Lösung dieser Gleichungen zeigt, daß die Gesamtheit der Eigenschwingungen des Systems das Wasserstoffspektrum darstellt.

Auf die Spektren anderer Elemente wird man geführt, wenn man die Hauptgleichung der Bewegung und die Gestalt des Systems ungeändert läßt und nur die Randbedingungen variiert. *Diese Annahme führt nämlich zu Formeln, die bei geringerer Anzahl der verfügbaren Konstanten eine besonders im roten Teil des Spektrums wesentlich höhere Annäherung an die Erfahrung darstellen als bisher erreicht war.* Auch ergeben sich Beziehungen zwischen verschiedenen Serien, die zum Teil von Rydberg wegen der Unvollkommenheit seiner Formel nur vermutet werden konnten. Der sogenannten zweiten Konstante der Formeln von Kayser und Runge, die von Element zu Element auffallend wenig veränderlich sich zeigte, entspricht in den neuen Formeln eine *exakt universelle Größe*, etc. Da somit die gemachten Voraussetzungen mehr als bloß formale Bedeutung zu haben scheinen, wurde schließlich der Versuch gemacht, durch geeignete Hülfsypothesen die *Ausstrahlungsfähigkeit der Obertöne des Systems* zu erzielen.

Auf Bandenspektren findet die Theorie keine Anwendung.

#### Die empirischen Gesetze.

Mit  $\lambda$  wird im folgenden stets die *Wellenlänge in Luft* nach Rowlands Skala und in Ångströmeinheiten bezeichnet; mit  $\nu$  die *Wellenzahl*, d. h. die Anzahl Wellenlängen, die im Vakuum auf 1 cm fallen; abgesehen von der Luftbrechung ist  $\nu = 10^8 \lambda^{-1}$ ;  $\nu$  ist der Anzahl Schwingungen pro Sekunde proportional. Endlich sei  $N$  der Koeffizient der Balmerschen Formel, aus Rowlands Messungen für  $H_\alpha$ ,  $H_\beta$ ,  $H_\gamma$  abgeleitet. Es ist also

$$N = 109\,675,0.$$

Dann schreibt sich die Balmersche Formel

$$\nu = N \left[ \frac{1}{4} - \frac{1}{m^2} \right], \quad m = 3, 4 \dots$$

Von Pickering<sup>1)</sup> ist im Spektrum des Sternes  $\zeta$  Puppis, der die Wasserstofflinien sehr stark zeigt, eine neue Serie von

1) H. W. Pickering, Harvard College Observatory Circular Nr. 12. 1896; Astrophys. Journ. 4. p. 369. 1896.

Linien gefunden worden, deren Wellenzahlen sich sehr genau darstellen lassen durch die Formel

$$\nu = N \left[ \frac{1}{4} - \frac{1}{(m + 0,5)^2} \right], \quad m = 3, 4, 5 \dots$$

( $m = 2$  fällt ins Ultrarot). Pickering hat diese Serie mit der Balmerschen zu einer Formel vereinigt, wobei der Balmerischen die geraden, der neuen die ungeraden Ordnungszahlen zukommen. Doch haben Kayser<sup>1)</sup> und Rydberg<sup>2)</sup> nachgewiesen, daß nach der Analogie aller anderen Spektren diese Darstellung nur zufällig möglich ist, daß wir vielmehr in der Balmerschen Serie die sogenannte erste Nebenserie, in der Pickeringschen die zweite Nebenserie von Wasserstoff haben.

Für  $m = 1$  ergibt sich nun  $\nu = -21\,325,7$ ,  $\lambda = 4687,88$ . Nach Analogie der anderen Spektren sollte eine hervorragend starke Linie, die Grundlinie der Hauptserie diese Wellenlänge aufweisen, was sich glänzend bestätigt hat.<sup>3)</sup> Die weiteren Linien der Hauptserie liegen im Ultraviolett und sind wegen der atmosphärischen Absorption unsichtbar. Die Formel der Hauptserie ist nach Rydberg

$$\nu = N \left[ \frac{1}{(1,5)^2} - \frac{1}{m^2} \right], \quad m = 2, 3 \dots$$

Danach besteht das Wasserstoffspektrum der Nebelsterne aus drei Serien: einer sehr intensiven, weit im Ultraviolett endigenden Serie mit scharfen Linien, der „Hauptserie“; einer weniger intensiven „Nebenserie“ mit verbreiterten Linien, der einzigen, die wir künstlich darstellen können; und einer noch schwächeren, aber schärferen „zweiten Nebenserie“, die an demselben Punkt endigt wie die erste Nebenserie. In jeder dieser Serien nimmt die Intensität ab mit wachsender Ordnungszahl.

Ganz ähnlich gebaut erweist sich das Spektrum von Lithium.<sup>4)</sup> Auch hier ordnen sich die Linien in drei Serien mit genau dem besprochenen Aussehen; wieder zeigt sich ein immer näheres Zusammenrücken der Linien jeder Serie, wenn man von Rot nach Violett geht.

1) H. Kayser, *Astroph. Journ.* 5. p. 243. 1897.

2) J. R. Rydberg, *Astroph. Journ.* 6. p. 233. 1897.

3) J. R. Rydberg, l. c. p. 235.

4) Die Linien sind wahrscheinlich sehr enge Paare, vgl. A. Hagenbach, *Ann. d. Phys.* 9. p. 729. 1902.

Auch Na, K, Rb, Cs zeigen dieselbe Erscheinung, nur sind die Linien doppelt. Von Hartley<sup>1)</sup> und Julius<sup>2)</sup> ist bemerkt worden, daß der Abstand der Komponenten jedes Paares, gemessen in der Skala der Wellenzahlen, also  $\nu_1 - \nu_2$ , konstant ist. Dies „Gesetz der konstanten Differenzen“ hat sich von höchst allgemeiner Gültigkeit erwiesen.

Dies gilt für die Nebenserien. Für die Hauptserie werden die Paare mit zunehmendem  $\nu$  immer enger; das rote Paar zeigt dieselbe Differenz  $\nu_1 - \nu_2$  wie die Nebenserien.

Die Elemente der zweiten Mendelejewischen Gruppe zeigen Triplets an Stelle der Doppellinien; die Hauptserie ist noch nicht gefunden, für die Nebenserien gilt wieder das Gesetz der konstanten Differenzen.

Bei Helium<sup>3)</sup> hat man zwei Nebenserien und eine Hauptserie von Doppellinien, dann noch zwei Nebenserien und eine Hauptserie von einfachen Linien. Das sogenannte Compound-spektrum<sup>4)</sup> von O zeigt dieselbe Anordnung, nur daß an Stelle der Doppellinien Triplets treten; an Stelle der einfachen Linien Doublets.

Wenn die Linien einer Serie wegen ihres gemeinsamen wohl ausgeprägten physikalischen Charakters schon sehr früh in vielen Fällen als zusammengehörig erkannt waren, so haben die Untersuchungen von Runge und Paschen<sup>5)</sup> über das Verhalten der Serienlinien im magnetischen Feld diese Zusammengehörigkeit, *unabhängig* von jeder mathematischen Darstellung, definitiv dargetan. Danach zeigen alle Linien einer und derselben Serie qualitativ und quantitativ dieselbe meist ziemlich komplizierte Zerlegung, wenn man die Skala der Wellenzahlen zu Grunde legt; die verschiedenen Komponenten eines Triplets geben verschiedene Zerlegungen, ebenso die verschiedenen Serien. Die Zerlegung (in der  $\nu$ -Skala) entsprechender

1) W. N. Hartley, Journ. chem. soc. **41**. p. 84. 1882; Phil. Mag. (5) **31**. p. 359. 1891.

2) V. A. Julius, Natuurk. Verh. der Kon. Akad. v. Wetensch. Amsterdam **26**. 1888.

3) C. Runge u. F. Paschen, Astrophys. Journ. **3**. p. 4. 1896.

4) C. Runge u. F. Paschen, Wied. Ann. **61**. p. 641. 1897.

5) C. Runge u. F. Paschen, Sitzungsber. d. k. Akad. d. Wissensch. zu Berlin p. 380 u. p. 720. 1902; Abhandlungen d. k. Akad. d. Wissensch. zu Berlin. 1902.

Linien verschiedener Elemente ist qualitativ und quantitativ dieselbe. Man hat hier ein von aller Willkür freies Mittel, die Linien zu Serien zu ordnen.

Es handelte sich nun darum, für diese Serien Formeln aufzustellen, die der Balmerschen entsprechen. Dies ist gleichzeitig von Kayser und Runge<sup>1)</sup> und Rydberg<sup>2)</sup> versucht worden, und zwar ordnen sie die Spektren im wesentlichen ganz in derselben Weise.

Die Formel von Kayser und Runge lautet bekanntlich:

$$\frac{1}{\lambda} = a + \frac{b'}{m^2} + \frac{c}{m^4}, \quad m = 3, 4 \dots,$$

die von Rydberg

$$\frac{1}{\lambda} = A + \frac{B}{(n + \mu)^2}, \quad n = 1, 2, 3,$$

die von Runge und Paschen

$$\frac{1}{\lambda} = a' + \frac{b'}{n^2} + \frac{c'}{n^3}, \quad n = 2, 3, 4 \dots$$

Die Konstanten  $a, A, a'$  geben die Grenzen der Serien;  $b, B, b'$  variieren nur wenig von Serie zu Serie.

Für die rote Linie der Hauptserie nehmen Kayser und Runge zumeist die Ordnungszahl 3 an, um den bestmöglichen Anschluß an die Beobachtung zu erhalten. Bei Li, He dagegen zeigt sich, daß  $n = 2$  gewählt werden muß. Rydberg hat überall  $n = 2$  (wenn seine Konstante  $\mu$  zwischen  $-0,5$  und  $+0,5$  genommen wird). Da in der Hauptserie von Wasserstoff

$$\frac{1}{\lambda} = N \left[ \frac{1}{(1,5)^2} - \frac{1}{m^2} \right]$$

die Grundlinie der Ordnungszahl  $m = 2$  entspricht, so ist letztere Wahl sicher die zweckmäßigere. Bei allen Formeln werden die Grundlinien ( $n = 2, 3$ ) schlecht dargestellt.

Daß Rydbergs Formel der von Kayser und Runge in gewissem Sinn überlegen ist, zeigt die Pickeringsche  $H$ -Serie, deren Gleichung

$$\frac{1}{\lambda} = N \left[ \frac{1}{4} - \frac{1}{(m + 0,5)^2} \right]$$

genau die Rydbergsche Form hat.

1) H. Kayser u. C. Runge, Abhandlungen d. k. Akad. d. Wissensch. zu Berlin 1889, 1890, 1891, 1892.

2) J. R. Rydberg, K. Svenska Akad. Handl. 23. 1889.

Rydberg hat auf Grund seiner Formel eine Anzahl Gesetze gefunden, die von Kayser und Runge zum Teil bestätigt wurden.

I. *Die beiden Nebenserien endigen an derselben Stelle*; bestehen sie aus Doppellinien, so hat man zwei den beiden Serien gemeinsame Konvergenzpunkte. Die ersten Konstanten  $A$  müssen dann in den Formeln der beiden Serien identisch sein. Die Prüfung dieses Gesetzes erfordert Extrapolation auf  $m = \infty$ , und das Gesetz zeigt sich bei den Formeln von Kayser und Runge weniger genau erfüllt wie bei den Rydbergschen. Eine Zusammenstellung der Werte von  $A$ , die an dem Gesetz kaum einen Zweifel lassen, gibt Rydberg <sup>1)</sup>

II. *Die Doppellinien der Hauptserien haben eine gemeinsame Grenze*, wie auch Kayser und Runge angeben.

III. *Die Linien der ersten Nebenserie haben einen komplizierten Bau*: nicht die intensivsten Linien, sondern die „Sattcliten“ geben untereinander die konstante Differenz der Wellenzahlen, und zwar dieselbe wie die Paare bez. Triplets der zweiten Nebenserie.

IV. *Die Differenzen  $\nu_1, \nu_2$  sind innerhalb einer und derselben Gruppe chemisch verwandter Elemente proportional dem Quadrat des Atomgewichtes*. Diese Beziehung gilt nur angenähert.

V. *Eine letzte wichtige Beziehung verbindet die Hauptserie mit der zweiten Nebenserie*. Schreibt man für erstere

$$(1) \quad \nu = A - \frac{N}{(m + a)^2}, \quad m = 2, 3 \dots,$$

für letztere aber

$$(2) \quad \nu = S - \frac{N}{(m + s)^2}, \quad m = 2, 3 \dots,$$

so findet man, daß

$$A = \frac{N}{(1 + s)^2}, \quad S = \frac{N}{(2 + a)^2}$$

so daß beide Serien sich zusammenfassen lassen in

$$(3) \quad \pm \nu = N \left[ \frac{1}{(m + s)^2} - \frac{1}{(n + a)^2} \right].$$

1) J. R. Rydberg, Rapports présentés au Congrès international de physique 2. p. 212. Paris 1900.



Das Vorzeichen ist so zu wählen, daß  $\nu$  positiv wird. Für die Hauptserie ist  $m=1$ ,  $n=2, 3, 4 \dots$ ; für die zweite Nebenserie  $n=2$ ,  $m=1, 2 \dots$ . Für die rote Linie der Hauptserie ist

$$\nu = N \left[ \frac{1}{(1,5)^2} - \frac{1}{(2 + \mu)^2} \right];$$

ihr  $\nu$  wäre also gleich der Differenz  $A - S$  der Grenzen von Hauptserie und Nebenserien.

Die erste Beziehung läßt sich recht genau prüfen und erweist sich als richtig, soweit die Sicherheit der extrapolierten Grenzen reicht.<sup>1)</sup>

Die zweite Aussage der Gleichung (3) ist:

*Die erste Linie der zweiten Nebenserie ( $n=2$ ,  $m=1$ ) ist identisch mit der ersten Linie der Hauptserie ( $m=1$ ,  $n=2$ ).*

Diese Beziehung scheint zunächst nur eine rohe Annäherung zu sein, und wurde bis jetzt als solche betrachtet.<sup>2)</sup> Man muß jedoch berücksichtigen, daß die Prüfung derselben eine sehr weite Extrapolation der Formel (2) verlangt, nach der Seite der kleineren Ordnungszahlen hin. Schon von  $n=3$  auf  $n=2$  wird die Extrapolation recht ungenau, sie kann für  $n=1$  ganz unsicher werden, aber es ist durch diese mangelhafte Übereinstimmung mit der Beobachtung nichts *gegen* die Zusammengehörigkeit der Serien bewiesen. Sehr *gestützt* wird dieselbe dagegen durch folgende Tatsachen:

Betrachtet man ein Spektrum von Doppellinien, so folgt bekanntlich<sup>3)</sup> aus den Rydbergschen Beziehungen, daß sich die kleineren Wellenlängen der Doublets der Hauptserie und die größeren in der zweiten Nebenserie entsprechen, und vice versa. Nun findet sich:

1. Die Intensitäten der Komponenten der Doublets zeigen in der Hauptserie die umgekehrte Reihenfolge wie in der zweiten Nebenserie.

2. Die Abstände der Komponenten sind durch die Formeln sehr genau beschrieben<sup>4)</sup> (näheres vgl. unten).

1) J. R. Rydberg, 'Rapports etc. 2. p. 214, gibt eine Zusammenstellung.

2) H. Kayser, Handbuch 2. p. 557. 1902.

3) Vgl. J. R. Rydberg, l. c.; C. Runge u. F. Paschen, Wied. Ann. 61. p. 664. 1897.

4) C. Runge u. F. Paschen, Wied. Ann. 61. p. 664. 1897.

3. Die ersten (mehr nach Rot gelegenen) Komponenten der Douplets der Hauptserie zerlegen sich im magnetischen Feld genau wie die zweiten Komponenten der Douplets der zweiten Nebenserie, und vice-versa.<sup>1)</sup>

Besonders letztere Beobachtung spricht sehr für einen wirklichen Zusammenhang. Auch ist bemerkenswert, daß bei Wasserstoff, wo die Formeln sich der Erfahrung am besten anschließen, die Rydbergschen Beziehungen sich als vollkommen exakt erwiesen haben.

Vorgreifend bemerke ich, daß die gerade für die niederen Ordnungszahlen viel genaueren Formeln, die ich auf Grund der Theorie gefunden habe, eine weit bessere Übereinstimmung der Rydbergschen Regeln mit der Erfahrung geben: bei allen Elementen, *wo beide Serien bekannt sind, fällt die extrapolierte Grundlinie der zweiten Nebenserie in die unmittelbare Nähe der Grundlinie der Hauptserie*; in den Tabellen (vgl. unten) *sind direkt beide Serien durch eine einzige Formel dargestellt*.

Weiter zeigte sich, daß die zweite Konstante der neuen Formeln *genau universell ist*, ein Resultat, dessen Deutung sich als sehr einfach erweist.

Schon Balmer betrachtete seine Formel als Spezialfall von

$$\frac{1}{\lambda} = N \cdot \frac{m^2 - n^2}{m^2 n^2} \quad (m, n = 1, 2, 3 \dots).$$

Ebenso wird man vermuten, daß Wasserstoff außer der Serie  $\pm \nu/N = 1/(1,5)^2 - 1/m^2$  auch noch die Serien  $\pm \nu/N = 1/(2,5)^2 - 1/m^2$ ,  $\pm \nu = 1/(3,5)^2 - 1/m^2$  etc. zeigt. Es lauten dann die Formeln des *H*-Spektrums:

$$(A) \quad \pm \frac{\nu}{N} = \frac{1}{n^2} - \frac{1}{m^2}; \quad \pm \frac{\nu}{N} = \frac{1}{(n + \frac{1}{2})^2} - \frac{1}{m^2}, \quad m, n = 1, 2, 3 \dots$$

Berücksichtigt man noch die Darstellbarkeit der Haupt- und Nebenserie durch eine einzige Formel bei allen Elementen, soweit die Erfahrung reicht, so wird man wohl mit Rydberg es als sehr wahrscheinlich betrachten dürfen, daß die *Serienformeln eigentlich mit zwei willkürlichen ganzen Zahlen zu schreiben sind*.

---

1) C. Runge u. F. Paschen, Sitzungsber. d. k. Akad. d. Wissensch. zu Berlin p. 380, 720. 1902; H. Kayser, Handbuch 2. p. 670. 1902.

Dabei hätten dann positive und negative Schwingungszahlen dieselbe Bedeutung. Man erkennt sofort, da  $N = 109\,675,0$ , daß die nicht beobachteten Grundlinien, die den Ordnungszahlen 1, 2 in den Serien entsprechen, ins äußerste Ultrarot bez. Ultraviolett fallen. Denn es entsprechen sich folgende  $\nu$  und  $\lambda$ :

$\nu = 10\,000$	17 000	32 000	50 000	
$\lambda \text{ \AA.-E.} = 10\,000$	5 900 ( <i>D</i> -Linien)	3 100	2 000	} Grenze der bekannten Spektren.

Weitere Serien, die den Formeln  $\pm \nu = N[1/m^2 - 1/n^2]$ ,  $m = 1, 3, 4, \dots$  entsprechen, liegen ganz im Ultrarot bez. Ultraviolett, bis auf die schon von der Balmerschen Serie aufgenommenen Linien; ihre Intensität ist wahrscheinlich geringer als die der letzteren Serie.

Die Formeln (A) verlangen also, daß im äußersten Ultrarot bez. Ultraviolett weitere Serien des Wasserstoffs parallel der bekannten verlaufen, ihre Wellenlängen sind durch obige Formeln (A) sehr genau voraus zu berechnen.

Bei den anderen Elementen gilt ähnliches, es sind in noch unbekannten, oder sehr mangelhaft bekannten Gebieten des Spektrums neue Serien zu erwarten, die sich aus den bekannten durch die unten angegebenen Formeln extrapolieren lassen. Die wenigen Spektren, bei welchen sich im Gelb und Blau Linien ergeben würden, lassen die genaue Berechnung nicht zu, da die Hauptserien noch nicht bekannt sind. (Näheres vgl. unten).

Eine entscheidende Prüfung der zu (A) führenden Annahme muß also der Zukunft überlassen bleiben. Doch scheint es wohl im jetzigen Stand unserer Kenntnisse der Linienspektren *notwendig* sie heranzuziehen, um zu einigem Verständnis der Tatsachen zu gelangen.<sup>1)</sup> Die Möglichkeit einer künftigen Prüfung dieser Hypothese rechtfertigt dieselbe ebenfalls; es liegen daher die Formeln

$$\pm \nu = N \left[ \frac{1}{n^2} - \frac{1}{m^2} \right]; \quad \pm \nu = N \left[ \frac{1}{(n + \frac{1}{2})^2} - \frac{1}{m^2} \right]$$

der hier vorgetragenen Theorie zu Grunde.

1) Bei den Bandenspektren ist von Deslandres (näheres bei H. Kayser, Handbuch 2. p. 470—495. 1902) die Abhängigkeit von drei willkürlichen ganzen Zahlen *nachgewiesen* worden.

## Die Grundlagen der Theorie.

Für die Theorie der Spektrallinien kommen von vornherein zwei verschiedene Annahmen in Betracht. Man kann, ausgehend vom Zeemanphänomen, die Schwingungen einzelner Körper bez. Elektronen untersuchen, die sich in verschiedenen Gleichgewichtslagen oder Konstellationen befinden. Abgesehen von dem schon erwähnten Einwand von Lord Rayleigh, daß sich dann die einfachsten Gesetze auf das Quadrat der Schwingungszahl, nicht auf diese selbst beziehen (wie es die Balmersche Formel, das Gesetz der konstanten Differenz u. a. erfordern), scheint es sehr schwer auf diesem Weg eine zweifach unendliche Anzahl von Linien, wie sie bei den Linienspektren zu erwarten ist, oder gar eine dreifach unendliche, wie sie Deslandres<sup>1)</sup> Gesetze für Bandenspektren erfordern, zu erhalten. Gerade letzterer Umstand zwingt für die Bandenspektren auf Schwingungen eines (nach Runge<sup>2)</sup> positiv elektrischen) dreidimensionalen Körpers zurück zu greifen, und führt dann von selbst zur Annahme, daß die *Linienspektren ihren Ursprung den Eigenschwingungen zweidimensionaler Gebilde verdanken*.

*Dies soll unsere Grundannahme sein.*

Bei dieser Auffassung wird sich insofern eine Analogie unserer schwingenden Fläche zu elastischen Membranen ergeben, als beide eine zweifach unendliche Anzahl von Knotenlinien aufweisen können, und ihre Schwingungszahlen Funktionen zweier willkürlicher ganzer Zahlen sind, wie die Formel

$$\pm \nu = N \left[ \frac{1}{n^2} - \frac{1}{m^2} \right]$$

verlangt. Mathematisch eingekleidet besagt diese Annahme, daß jede stetige, für den Zustand charakteristische Größe  $q$  in ihrer Abhängigkeit vom Ort durch eine *oszillierende Funktion* gegeben ist.

Man vergleiche die Formel

$$\pm \nu = N \left[ \frac{1}{n^2} - \frac{1}{m^2} \right]$$

1) H. Deslandres, Compt. rend. 110. p. 748. 1890.

2) H. Kayser, Handbuch 2. p. 660. 1902.

mit der für eine transversal schwingende, quadratische Membran gültigen Formel:

$$(A) \quad p^2 = b[n^2 + m^2], \quad \begin{aligned} m &= \pm 1, \pm 2, \pm 3 \dots, \\ n &= \pm 1, \pm 2, \pm 3 \dots, \end{aligned}$$

wo  $b$  eine Konstante,  $p$  die Schwingungszahl bedeutet. Sind die Seitenlängen  $2a$ , sind die Koordinatenachsen durch den Mittelpunkt parallel zu den Seiten gelegt und ist der Rand festgehalten, dann ist das Integral der Elastizitätsgleichungen von der Form:

$$A \sin(p t + c) \sin \frac{m \pi x}{a} \sin \frac{n \pi y}{a}$$

( $A, c$ , Konstanten). Daß die Quadrate der ganzen Zahlen  $m, n$  ohne weiteren Faktor verbunden erscheinen, ist Folge der Gleichwertigkeit des Quadrates in der  $x$ - und  $y$ -Richtung. Daß ganze Zahlen und nicht, wie gewöhnlich, Wurzeln transzendenter Funktionen auftreten, folgt aus dem Umstand, daß in dem Integral nur sinus und cosinus vorkommen; die eingeführte Grundannahme führt also in wohl nicht allzu willkürlicher Weise dazu, für das dem Wasserstoffspektrum entsprechende schwingende Gebilde ebenfalls nur mit trigonometrischen Funktionen zu operieren. Damit ist die allgemeine Form der Lösungen der gesuchten Bewegungsgleichungen festgestellt; für die Schwingungszahlen sollen sich außerdem die Formeln

$$(B) \quad \pm \nu = N \left[ \frac{1}{n^2} - \frac{1}{m^2} \right] \quad \text{oder} \quad \pm \nu = N \left[ \frac{1}{n^2} - \frac{1}{(m + \frac{1}{2})^2} \right]$$

ergeben. Die Aufgabe ist nun, einfache Ansätze für die potentielle Energie des Systems zu finden, die zu solchen Bewegungsgleichungen führen.

Drei Unterschiede zwischen den Formeln (A) und (B) charakterisieren nun die Spektralschwingungen gegenüber den Schwingungen elastischer Körper.

1. Bei unendlich wachsenden Ordnungszahlen  $m, n$  wird  $p$  unendlich,  $\nu$  aber nicht.

2. Die Formel (A) enthält die Schwingungszahl  $p$  im Quadrat, in (B) dagegen tritt sie in der ersten Potenz auf.

3. Die Formel (A) ist in  $m$  und  $n$  symmetrisch, (B) aber nicht.



Es sei noch bemerkt, daß bei den Spektralschwingungen ebenso wie in der Elastizitätstheorie, das Superpositionsprinzip gelten muß, die Grundgleichungen also linear sein müssen. Dieselben sollen jetzt aus dem Hamiltonschen Prinzip unter Zugrundelegung einer geeigneten Form für die potentielle Energie abgeleitet werden.

#### Systeme mit endlicher Grenze der Schwingungszahlen.

Aus später zu erörternden Gründen lassen sich  $x$  und  $y$  in den folgenden Gleichungen nicht, wie zuerst nahe liegen möchte, auf einer Kugelfläche interpretieren. Als *weitaus einfachste* Interpretation erweist sich die Annahme eines *ebenen, schwingenden Quadrates*<sup>1)</sup>, die von nun an der Betrachtung zu Grunde liegen möge. Die Koordinatenachsen seien durch den Mittelpunkt der Fläche parallel zu den Seiten gelegt;  $2a$  sei die Seitenlänge,  $\rho$  die Massendichte,  $d\sigma$  das Flächenelement.

Wir betrachten zunächst den einfachsten Fall, wo *eine* Größe  $w$ , die wir zweckmäßig als eine kleine Verschiebung der Punkte der Quadratfläche  $F$  senkrecht zu deren Ebene deuten, zur Beschreibung des Zustandes ausreicht. Dann ist die kinetische Energie des Systems:

$$\iint \frac{1}{2} \rho \left( \frac{\partial w}{\partial t} \right)^2 d\sigma.$$

Die potentielle Energie soll auf einer Fernwirkung beruhen, die jedes aus dem Gleichgewichtszustand verschobene Teilchen  $x'y'$  auf ein in  $xy$  gelegenes ausübt. Diese Wirkung sei proportional der mittleren Krümmung  $1/\rho_1 + 1/\rho_2$  der deformierten Fläche in  $x'y'$ , d. h. bis auf Größen höherer Ordnung proportional

$$\frac{\partial^2 w}{\partial x'^2} + \frac{\partial^2 w}{\partial y'^2} = \Delta w.$$

Ist dann  $f((x-x'), (y-y'))$  eine Funktion der relativen Lage der wirkenden Punkte, d. h. der Abstände gemessen parallel zu den Seiten des Quadrates, so sei die „Wirkung“  $\Phi$  im Punkte  $xy$ :

$$(a) \quad \Phi = \iint \Delta w f d x' d y'.$$

Als Ausdruck der potentiellen Energie nehme man  $\Phi^2$  (analog wie in der Maxwell'schen Theorie); dann besagt das Hamilton'sche Prinzip, daß

$$(1) \quad \int_{t_0}^{t_1} dt \iint d\sigma \left[ \frac{1}{2} \rho \left( \frac{\partial w}{\partial t} \right)^2 - \Phi^2 \right] = \text{Minimum.}$$

Setze man  $f$  als Funktion der Entfernung

$$\sqrt{(x - x')^2 + (y - y')^2}$$

allein an, so erhielte man, selbst wenn nach der Grundannahme  $w$  als oszillierend vorausgesetzt wird, für  $\Phi$ , also für die potentielle Energie keine oszillierende Funktion<sup>1)</sup>, sodaß der Vorgang nicht von der gewünschten Art sein würde. Zu einem befriedigenden Ansatz führt dagegen folgende Überlegung: Wenn sich auf einer Geraden  $OX$  eine Reihe von Punkten nach dem Newton'schen Gesetz anziehen, so ist ihr Potential

$$\sum \frac{m_i m_k}{|x_i - x_k|}.$$

In diese Formel gehen die *absoluten Beträge*  $|x_i - x_k|$  der Entfernungen ein. Dasselbe nehmen wir hier an; man hat dann jedes Integral von der Form

$$\int_a^\beta \varphi(x') \psi(x - x') dx'$$

zu zerlegen in

$$\int_a^x \varphi(x') \psi(x - x') dx' + \int_x^\beta \varphi(x') \psi(x' - x) dx',$$

$x$   $y$  kommen dann auch in den Grenzen des Integrals vor, und  $\Phi$  kann oszillierend werden.

1) Denn wäre  $\Phi$  oszillierend, so würden bei sehr großer Anzahl der Knotenlinien die Perioden von  $\Phi$  mit denen von  $w$  beliebig klein werden. Nun darf  $f$  von der willkürlichen Zahl  $(m, n)$  der Knotenlinien natürlich nicht abhängen. Differenziert man beide Seiten von (a) nach  $x$ , so wird für große  $m, n$ ,  $\partial \Phi / \partial x$  unendlich groß gegen  $\Phi$ ; rechts aber hat man, da die Grenzen bestimmt sind, nur  $\partial f / \partial x$  statt  $f$  zu setzen; die rechte Seite bleibt von derselben Größenordnung, sobald  $f$  und  $\partial f / \partial x$  stetig sind, oder die Funktion der Entfernung  $\varphi(r)$  Singularitäten wie die in der Potentialtheorie auftretenden besitzt, sodaß das Integral (a) einen Sinn hat. Man erkennt dies leicht durch Anwendung des Mittelwertsatzes.

Besonders naheliegend ist nun die Annahme, daß

$$f(|x - x'|, |y - y'|),$$

und somit die Elementarwirkung *einfach proportional* sei den Entfernungen  $|x - x'|, |y - y'|$ . Es sei also, unter  $v$  eine Konstante verstanden,

$$(2) \quad \Phi = \iint v |x - x'| |y - y'| \Delta w d\sigma'.^1)$$

Dann ist mit dieser Bedingung das Integral (1)

$$\int_{t_0}^{t_1} dt \iint d\sigma \left[ \frac{\rho}{2} \left( \frac{\partial w}{\partial t} \right)^2 - \Phi^2 \right]$$

zum Minimum zu machen.

Vorerst aber eine Bemerkung. Soll diese Form des Hamiltonschen Prinzipes anwendbar sein, so muß die *Ausstrahlung vernachlässigt werden dürfen, wenn es sich nur um die Berechnung der Lage der Spektrallinien handelt*. Die geringe Größe der Dämpfung, die durch die hohen Gangunterschiede, bei denen noch Interferenzen erscheinen, einerseits, und durch die unveränderliche Lage der Spektrallinien bei sehr veränderlichen Intensitäten andererseits erwiesen ist, berechtigt wohl zu dieser Annahme. Umgekehrt scheinen erhöhte Dampfdichte und Temperatur, also Vergrößerung der äußeren Einwirkungen nur im Sinne einer Verbreiterung, nicht einer Verschiebung der Spektrallinien zu wirken.<sup>2)</sup>

Das aufgestellte Variationsproblem läßt sich nicht ohne weiteres nach Lagranges Methoden behandeln wegen des dabei auftretenden Integrals  $\Phi$ . Durch ganz ähnliche Rech-

1) Die Elementarwirkung ist also proportional dem Inhalt eines Rechtecks  $|x - x'| |y - y'|$ .

2) Hierüber vgl. H. Kayser, Handbuch 2. p. 297 ff. Jedenfalls ist die Verschiebung sehr klein gegen die Verbreiterung der Linie und kommt hier nicht in Betracht.

nungen, wie in den unten ausführlich behandelten Fällen, findet man die Hauptgleichung

$$\varrho \frac{\partial^4 w}{\partial t^2 \partial x^2 \partial y^2} + 32 v^2 \Delta \Delta w = 0$$

und die Randbedingungen

$$\frac{\partial w}{\partial n} = 0, \quad \frac{\partial \Phi}{\partial n} = 0,$$

unter  $n$  die Normale zur Begrenzungslinie des Quadrates verstanden. Als einzige Lösung ergibt sich

$$w = A \sin(vt + c) \sin\left(m + \frac{1}{2}\right) \frac{\pi x}{a} \sin\left(n + \frac{1}{2}\right) \frac{\pi y}{a}.$$

Hier sind  $A, c$  willkürliche Konstanten,  $m, n$  ganze Zahlen,  $2a$  die Seitenlänge des Quadrates. Die Schwingungszahl  $v$  ist gegeben durch

$$\pm v = N \left[ \frac{1}{\left(m + \frac{1}{2}\right)^2} + \frac{1}{\left(n + \frac{1}{2}\right)^2} \right], \quad \begin{matrix} m = 0, \pm 1, \pm 2, \dots \infty, \\ n = 0, \pm 1, \pm 2, \dots \infty, \end{matrix}$$

worin

$$N = \sqrt{\frac{32}{\varrho} \frac{a^2 v}{\pi^2}}$$

gesetzt ist.

Durch die oben gemachten einfachen Annahmen wird man also zu einer Formel geführt, die schon verschiedene wesentliche Eigenschaften der Wasserstoffformel

$$(a) \quad \pm v = 109675,0 \left[ \frac{1}{n^2} - \frac{1}{m^2} \right]$$

aufweist: die Schwingungszahlen haben eine Grenze; aus der zunächst auftretenden Formel für das Quadrat der Schwingungszahl läßt sich die Wurzel ausziehen etc. Ein bemerkenswerter Unterschied bleibt im Vorzeichen; durch passende Änderungen in den Grundannahmen kann man genau die Formel (a) erhalten; die vorhergehenden Erörterungen sollten die Berechtigung dieser neuen Annahmen, zu denen wir jetzt übergehen, erweisen. Dieselben würden, unvermittelt auftretend, recht willkürlich scheinen.

#### Die Balmersche Wasserstoffformel.

Durch die Symmetrie des Quadrates sind nicht nur die Richtungen der Seiten, sondern auch die der Diagonalen  $\xi, \eta$

ausgezeichnet. Auf letztere als Koordinatenachsen bezogen, sind für die Deformation der Fläche in jedem Punkt charakteristisch die Koeffizienten  $\partial^2 w / \partial \xi^2$ ,  $\partial^2 w / \partial \eta^2$ ,  $\partial^2 w / \partial \xi \partial \eta$  der Dupinschen Indicatrix in diesem Punkt ( $w$  als  $z$ -Koordinate aufgefaßt). Letztere Größe ist das Maß für die Abweichung der Ebene der zwei Hauptkrümmungslinien von den Richtungen der Diagonalen  $\xi, \eta$ . Ist  $x' = \xi' + \eta'$ ,  $y' = \xi' - \eta'$ , so folgt

$$\frac{\partial^2 w}{\partial \xi' \partial \eta'} = \frac{\partial^2 w}{\partial x'^2} - \frac{\partial^2 w}{\partial y'^2} = \nabla' w.$$

Diesen Ausdruck werden wir als Maß der Deformation betrachten.

Ferner seien

$$X = |x - x'| - \frac{|x - x'|^2}{2a},$$

$$Y = |y - y'| - \frac{|y - y'|^2}{2a},$$

im folgenden vielfach auftretende Funktionen der absolut genommenen, parallel den Quadratseiten gemessenen Entfernungen je zweier Punkte  $x, y$  und  $x', y'$ ;  $2a$  sei die Seitenlänge des Quadrates. Die „Wirkung“  $\Phi$  definieren wir durch

$$(3) \quad \Phi = v \iint X Y \nabla' w d o'$$

( $v$  ist eine Konstante). Die potentielle Energie sei wie oben  $\Phi^2$ ; dann fordert das Hamiltonsche Prinzip, daß

$$\int_{t_0}^{t_1} \iint \left[ \frac{v}{2} \left( \frac{\partial w}{\partial t} \right)^2 - \Phi^2 \right] d o d t = \text{Minimum}.$$

Das Integral wird über die ganze Fläche erstreckt,  $d o$  ist das Flächenelement. Um diese Variation ausführen zu können, zeigen wir zunächst, daß man die Größe  $\Phi = \Phi(x, y)$  auch auffassen kann als abhängig vom Zustand im Punkte  $x, y$  allein, d. h. daß man die Integralgleichung (3) durch eine partielle Differentialgleichung ersetzen kann.

Jedes Integral der Form

$$T = \int_{-a}^{+a} q(x') x - x' d x'$$



muß wegen des auftretenden absoluten Betrages  $|x - x'|$  zerlegt werden in

$$T = \int_{-a}^x (x - x') \varphi \, dx' + \int_{+a}^x (x - x') \varphi \, dx'$$

Je nach dem Vorzeichen von  $x - x'$ ,  $y - y'$ , ist also das Integrationsgebiet von  $\Phi$  in vier Teile zu zerlegen.

Man findet durch Ausführung der Variation<sup>1)</sup>, wenn man die Hilfsgröße

$$\psi = \iint \Phi X Y \, d\sigma'$$

einführt, eine Hauptgleichung

$$(I) \quad \varrho \frac{\partial^2 w}{\partial t^2} + 2v \nabla \psi = 0$$

und die Randbedingungen:

$$\frac{\partial w}{\partial n} = 0; \quad \int_{-a}^{+a} w \, dx = 0; \quad \int_{-a}^{+a} w \, dy = 0, \quad \frac{\partial \psi}{\partial n} = 0.$$

Diese Gleichungen bestimmen die Lösung bei gegebenem Anfangszustand vollständig. Aus ihnen folgt, entsprechend den gemachten Voraussetzungen, die Energiegleichung

$$\iint \left[ \frac{\varrho}{2} \left( \frac{\partial w}{\partial t} \right)^2 + \Phi^2 \right] d\sigma = \text{konst.}(t).$$

Führt man

$$\sqrt{\frac{\varrho}{2}} \frac{\partial w}{\partial t} = A, \quad \Phi = B$$

als zwei den Zustand beschreibende Größen ein, so ist die Analogie des hier aufgestellten Energieausdruckes

$$\iint (A^2 + B^2) \, d\sigma$$

mit dem für die elektromagnetische Energie des Äthers gültigen auffallend.

Man kann diese Gleichungen in partielle Differentialgleichungen (Nahewirkung) umwandeln; die Hauptgleichung wird

$$(II) \quad \varrho \frac{\partial^4 w}{\partial t^2 \partial x^4 \partial y^4} + 32 v^2 \nabla^2 w = 0.$$

1) Bezüglich näherer Ausführung vgl. die Göttinger Inauguraldissertation des Verfassers p. 27 ff. Leipzig 1903.

Die einzige, Eigenschwingungen entsprechende Lösung ist

$$(4) \quad w = A \sin(\nu t + c) \cos \frac{m \pi x}{a} \cos \frac{n \pi y}{a},$$

wo  $A$ ,  $c$  willkürliche Konstanten,  $m$ ,  $n$  ganze Zahlen sind. Es ergibt sich für die Schwingungszahl  $\nu$

$$\varrho \nu^2 - 2 \nu^2 \cdot \left[ \frac{1}{m^2} - \frac{1}{n^2} \right]^2 \frac{16 a^4}{\pi^4} = 0,$$

oder wenn

$$N = \sqrt{\frac{32}{\varrho}} \nu \frac{a^2}{\pi^2},$$

eine Konstante bezeichnet:

$$\pm \nu = N \left[ \frac{1}{m^2} - \frac{1}{n^2} \right], \quad \begin{array}{l} m = \pm 1, \pm 2, \pm 3 \dots \infty, \\ n = \pm 1, \pm 2, \pm 3 \dots \infty. \end{array}$$

Die Schwingungszahlen des Systems sind durch die verallgemeinerte Balmersche Formel gegeben. Für  $n = 2, m = 3, 4 \dots 32$  ergibt sich die bekannte Wasserstoffserie. Positive und negative Werte der Schwingungs- und Ordnungszahlen haben dieselbe physikalische Bedeutung.

Nimmt man die Å.-Einheit ( $10^{-8}$  cm) als Längeneinheit, so ist

$$109\,675,0 = \sqrt{\frac{32}{\varrho}} \cdot \frac{\nu a^2}{5,996 \cdot 10^{19}}.$$

Die Knotenlinien der durch (4) dargestellten Bewegung zeigen auffallende Eigentümlichkeiten. Für eine Eigenschwingung, für welche  $m = n$  ist, d. h. wenn auf den vier Seiten gleich viele Knotenpunkte liegen, ist  $\nu = 0$ , somit  $w = \text{konst.}(t)$ , solche Eigenschwingungen sind unmöglich. Sobald  $m \leq n$  ist, haben wir dagegen Doppelschwingungen, da die Vertauschung von  $m$  mit  $n$  die Formeln nicht ändert; es ist dann, wenn  $A$ ,  $B$  Konstanten sind

$$w = \sin(\nu t + c) \left[ A \cos \frac{m \pi x}{a} \cos \frac{n \pi y}{a} + B \cos \frac{n \pi x}{a} \cos \frac{m \pi y}{a} \right]$$

das System dieser Schwingungen; die Knotenlinien zeigen die bekannten Figuren. Um zu entscheiden, ob auch mehrfache Schwingungen höherer Ordnung möglich sind, hat man eine diophantische Gleichung 4<sup>ten</sup> Grades zu behandeln.

## Weitere Auffassungen der Grundgleichung.

Bemerkenswerte Transformationen der Grundgleichung ergeben sich, wenn man die, durch direkte Rechnung zu beweisende, Formel

$$\int_{-a}^{+a} \cos \frac{m \pi x'}{a} \cdot X^2 dx' = \frac{12 a^4}{m^4 \pi^4} \cos \frac{m \pi x}{a}$$

benutzt. Es genügt  $w$  nämlich den Gleichungen

$$\varrho \cdot \frac{\partial^2 w}{\partial t^2} + \frac{2}{9} \cdot v^2 \int_{-a}^{+a} \int_{-a}^{+a} \nabla \nabla w \cdot X^2 Y^2 d\sigma' = 0,$$

$$\varrho \frac{\partial^2 w}{\partial t^2} + 2 v^2 \nabla \int_{-a}^{+a} \int_{-a}^{+a} \nabla w X^2 Y^2 d\sigma' = 0^1),$$

$$\varrho \frac{\partial^2 w}{\partial t^2} + v' \nabla \nabla \int_{-a}^{+a} \int_{-a}^{+a} w X^2 Y^2 d\sigma' = 0.$$

Diese Formen sind alle geeignet, die Hauptgleichung vollständig zu ersetzen. Zusammen mit den für  $w$  geltenden Bedingungen bestimmen sie eine und nur eine Lösung, wie man durch Anwendung trigonometrischer Reihen beweist. Sie können dazu dienen, eine physikalische Deutung der zu Grunde liegenden mathematischen Sätze zu erleichtern.

Auf etwas anderer Grundlage und mit weniger Rechnung erhält man ebenfalls die Balmersche Formel, wenn man die „Wirkung“  $\Phi$  zunächst durch die eine Kontaktwirkung ausdrückende Gleichung

$$\frac{\partial^4 \Phi}{\partial x^2 \partial y^2} = 4 v w$$

1) Der Ansatz für die potentielle Energie

$$v^2 \nabla w \cdot \int \int \nabla w \cdot X^2 Y^2 d\sigma'$$

führt, bei geeigneten Randbedingungen, zu dieser Formel als Hauptgleichung. Dieser Ausdruck hat die Form eines Selbstpotentials.

definiert, die erst nachträglich durch Fernwirkung zu erklären sein wird. Das Hamiltonsche Integral sei, unter

$$\nabla = \frac{\partial^2}{\partial x^2} - \frac{\partial^2}{\partial y^2} = \frac{\partial^2}{\partial \xi \partial \eta}$$

die frühere Operation verstanden

$$\int\limits_{t_0}^{t_1} \iint d\sigma \left[ \frac{\rho}{2} \left( \frac{\partial w}{\partial t} \right)^2 - [\nabla \Phi]^2 \right] dt = \text{Minimum.}$$

Hierin führe man  $w$  aus (14) ein; die Variation ist sofort ausführbar und gibt

$$\rho \frac{\partial^4 \Phi}{\partial t^2 \partial x^4 \partial y^4} + 32 v^2 \nabla \nabla \Phi = 0,$$

also für  $\Phi$  die Grundgleichung (II), die früher für  $w$  erhalten war. Als Randbedingungen kann man wählen:

$$\overline{\Phi} = 0, \quad \frac{\partial^2 \overline{\Phi}}{\partial n^2} = 0, \quad \text{also } \overline{w} = 0,$$

d. h. man hält den Rand fest.

Auch hier ergibt sich:

*Die zeitliche Änderung der Energie eines Flächenstückes, also*

$$\frac{\partial}{\partial t} \iint \left\{ \frac{\rho}{2} \left( \frac{\partial w}{\partial t} \right)^2 + \Phi^2 \right\} d\sigma,$$

*drückt sich aus durch ein Randintegral über dessen Begrenzung. Die Energie des gesamten Systems bleibt erhalten.*

Nicht wesentlich verschieden von den bisher betrachteten Ansätzen verhält sich der Fall, wo man Verschiebungen der Platte in ihrer Ebene voraussetzt, und dementsprechend zwei Komponenten  $u$ ,  $v$  einer in der Plattenebene liegenden gerichteten Größe einführt. Ich halte mich dabei nicht auf und gebe im folgenden eine nicht auf dem Hamiltonschen Prinzip beruhende Auffassung der Vorgänge, die sich aber in ihrer symmetrischen Form den Maxwell'schen Gleichungen sehr nähert.

Seien  $u$ ,  $v$  zwei Größen, die in jedem Punkt den Zustand des schwingenden Quadrates beschreiben, etwa die Verschiebungen zweier sich in diesem Quadrat berührenden Medien, senkrecht zu dessen Ebene. Die Bezeichnungen  $\nabla$ ,  $X$ ,  $Y$  be-

halten ihre frühere Bedeutung. Die Gleichungen der Bewegung seien nun

$$\text{III)} \quad \frac{\partial U}{\partial t} = \varepsilon \iint \nabla^2 V X Y d\sigma', \quad - \frac{\partial V}{\partial t} = \varepsilon \iint \nabla^2 U X Y d\sigma',$$

am Rande sei

$$\text{IIIa)} \quad U = 0, \quad V = 0.$$

Zur Integration dieser, wie sich ergeben wird, den Vorgang bei gegebenem Anfangszustand eindeutig bestimmenden Gleichungen sei

$$U = U_1(x, y) \sin \nu t, \quad V = V_1(x, y) \cos \nu t$$

gesetzt; es wird (III):

$$\nu U_1 = \varepsilon \iint \nabla^2 V_1 X Y d\sigma', \quad \nu V_1 = \varepsilon \iint \nabla^2 U_1 X Y d\sigma'.$$

Addiert und subtrahiert man diese zwei Gleichungen, so findet man, daß  $U_1 + V_1$ ,  $U_1 - V_1$  Lösungen sind von

$$\text{IV)} \quad \begin{cases} \nu w = \varepsilon \iint \nabla^2 w \cdot X Y d\sigma', \\ w = 0 \text{ am Rande.} \end{cases}$$

Der Ansatz trigonometrischer Funktionen führt auf

$$w = A \sin \frac{m \pi x}{a} \sin \frac{n \pi y}{a}, \quad \nu = 4 \varepsilon \frac{a^2}{\pi^2} \left[ \frac{1}{m^2} - \frac{1}{n^2} \right],$$

$$U = B \sin(\nu t + c) \sin \frac{m \pi x}{a} \sin \frac{n \pi y}{a},$$

$$V = B \cos(\nu t + c) \sin \frac{m \pi x}{a} \sin \frac{n \pi y}{a},$$

wo  $A$ ,  $B$ ,  $c$  willkürliche Konstanten bedeuten.

Es ist dies auch die einzige, Eigenschwingungen entsprechende Lösung.<sup>1)</sup> Durch Differentiation von (III) findet man für  $U$ ,  $V$  die Grundgleichung (II), p. 281.

Die allgemeinste Lösung der Gleichungen bei beliebigen Anfangsbedingungen stellt sich vermöge der Natur der partiikulären Integrale in diesem wie in allen behandelten Fällen dar als eine *Superposition von Eigenschwingungen* nach der Fourierschen Formel, also

$$U = \sum A_{mn} \sin(\nu_{mn} t + c_{mn}) \sin \frac{m \pi x}{a} \sin \frac{n \pi y}{a},$$

$$V = \sum A_{mn} \cos(\nu_{mn} t + c_{mn}) \sin \frac{m \pi x}{a} \sin \frac{n \pi y}{a}.$$

1) Vgl. Diss. p. 42.



Damit hängt zusammen, wie man aus obiger Darstellung von  $U$  und  $V$  entnimmt, daß die Energie des Systems

$$\iint (U^2 + V^2) d\sigma$$

erhalten bleibt. Die Ähnlichkeit mit dem elektromagnetischen Energieausdruck ist auffallend.

#### Das Wasserstoffspektrum von $\zeta$ Puppis.

Nach Analogie der bisherigen Entwicklungen findet man sofort eine ganze Reihe von Ansätzen, die auf die bisher nur astronomisch beobachtete Hauptserie und die zweite Nebenserie von Wasserstoff, also auf die Formel führen

$$(7) \quad \pm \nu = N \left[ \frac{1}{(m + \frac{1}{2})^2} - \frac{1}{n^2} \right].$$

Es sei wieder

$$(\alpha) \quad \frac{\partial^4 \Phi}{\partial x^2 \partial y^2} = 4 \nu w$$

und

$$\iint \left[ \frac{\partial^2 \Phi}{\partial \xi \partial \eta} \right]^2 d\sigma$$

die potentielle Energie. Das Hamiltonsche Prinzip schreibt sich wieder

$$\int_{t_0}^{t_1} \iint d\sigma \left\{ \frac{\rho}{2} \left( \frac{\partial w}{\partial t} \right)^2 - \left[ \frac{\partial^2 \Phi}{\partial \xi \partial \eta} \right]^2 \right\} = \text{Minimum.}$$

Die Hauptgleichung (I)

$$\rho \frac{\partial^4 w}{\partial t^2 \partial x^2 \partial y^2} + 32 \nu^2 \nabla^2 w = 0$$

und das Randintegral folgen wie auf p. 284. Wir entnehmen aus letzterem die Bedingungen

$$\frac{\partial \Phi}{\partial n} = 0, \quad \frac{\partial^2 \Phi}{\partial n^2} = 0 \quad \text{also} \quad \frac{\partial w}{\partial n} = 0.$$

Entsprechend der Dissymmetrie der Gleichung (7) sei jetzt der Ansatz ( $\alpha$ ) für  $\Phi$  durch Fernwirkung erklärt nach der Formel

$$\Phi = v \iint w. x - x' \left[ y - y' - \frac{y - y'}{2a} \right] dx' dy'.$$

Das Gesetz der Fernwirkung ist demnach *nicht dasselbe wie früher*; es gelang mir nicht, in einwandsfreier Weise diesen etwas unbefriedigenden Umstand zu vermeiden. Die *Hauptgleichung* dagegen ist *unverändert* geblieben. Dieser Ansatz für  $\Phi$  ist äquivalent ( $\alpha$ ) mit gewissen Randbedingungen.

Das einzige Integral ist

$$\Phi = A \sin(vt + c) \sin \frac{(m + \frac{1}{2})\pi x}{a} \cos \frac{n\pi y}{a}$$

und (III) liefert die Schwingungszahlen

$$\pm v = \sqrt{\frac{32}{9} \frac{v a^2}{\pi^2} \left[ \frac{1}{(m + \frac{1}{2})^2} - \frac{1}{n^2} \right]}, \quad \begin{matrix} m = 0, \pm 1, \pm 2 \dots \\ n = \pm 1, \pm 2 \dots \end{matrix}$$

Nach der Ableitung dieser Formeln *haben negative sowohl wie positive  $m, n, v$  eine physikalische Bedeutung.*

Auch hier sind im Gebiet der Schumannschen Strahlen neue Serien zu erwarten.<sup>1)</sup>

### Die Spektren anderer Elemente.

Der Versuch, die für Wasserstoff gefundenen Ansätze auf die Spektren anderer Elemente zu verallgemeinern, stößt zunächst auf die Schwierigkeit, daß für dieselben so einfache und exakte Gesetze bis jetzt nicht bekannt sind. Nur das Auftreten der konstanten Differenzen in den Nebenserien ist mit voller Schärfe nachgewiesen. Man wird wieder schließen, daß sich aus der Formel für das zunächst auftretende Quadrat der Schwingungszahl die Wurzel ausziehen läßt. Dieses bedeutet im allgemeinen eine recht komplizierte Forderung, die

1) In ganz ähnlicher Weise wie hier für zweidimensionale Gebilde geschehen ist, kann man auch Schwingungen eindimensionaler Gebilde mit endlicher Grenze der Schwingungszahlen behandeln; doch erhält man die Gesetze der Serienspektren nur teilweise. Vgl. Inaug.-Diss. p. 46 ff.

nur bei sehr speziellen Differentialgleichungen und Randbedingungen erfüllt sein wird. Bedenkt man noch, daß die Gestalt der Spektralformel bei allen Elementen dieselbe ist und daß einer der auftretenden Koeffizienten sich als annähernd universell erwiesen hat, so wird man zur Annahme geführt, daß bei allen Elementen die Serien durch das früher betrachtete, schwingende System ausgestrahlt werden und daß die Randbedingungen *allein* von Serie zu Serie variieren. Dann gilt für die *Lichterreger aller Elemente die für alle Serien von Wasserstoff erfüllte Grundgleichung (II)*

$$(II) \quad \varrho \frac{\partial^{10} w}{\partial t^2 \partial x^4 \partial y^4} + 32 v^2 \nabla^2 w = 0, \quad \nabla^2 = \frac{\partial^2}{\partial x^2} + \frac{\partial^2}{\partial y^2}.$$

Wieder hat man Schwingungen eines Quadrates anzunehmen, und die Größen  $v$ ,  $\varrho$ , die Länge  $2a$ , als universell anzusetzen.

Dann behält die Operation  $\nabla^2$  ihren Sinn, den sie bei beliebiger Berandung verliert (da sie von der Wahl des Koordinatensystems abhängig ist); die Herleitung der Grundgleichung wird wieder durch das Hamiltonsche Prinzip unter Zugrundelegung einer der angeführten Ansätze für die potentielle Energie geschehen. Dabei wird man nicht von der Fernwirkung ausgehen, die bei den verschiedenen Serien von Wasserstoff schon verschieden angenommen werden mußte, sondern von einer der beiden partiellen Differentialgleichungen

$$\frac{\partial^4 \Phi}{\partial x^2 \partial y^2} = 4 v \nabla^2 w, \quad \text{oder} \quad \frac{\partial^4 \Phi}{\partial x^2 \partial y^2} = 4 v w,$$

und diese durch Fernwirkung erklären. *Verschieden von Element zu Element sind dann nur die Bedingungen, denen die Schwingung unterworfen ist und die das Integral von (II) vollends bestimmen.*

Man erhält bei sehr allgemeinen Annahmen über die Randbedingungen (Dissert. p. 49) die Formel

$$v^2 = \left[ \frac{1}{k^2} - \frac{1}{l^2} \right]^2 \frac{32}{\varrho} v^2,$$

$$\pm v = \left[ \frac{1}{k^2} - \frac{1}{l^2} \right] \sqrt{\frac{32}{\varrho}} v.$$

in welcher  $k, l$  Wurzeln transzendenter Gleichungen der Form

$$\operatorname{tg} k a = \varphi(k),$$

$$\operatorname{tg} l a = \psi(l)$$

bedeuten;  $\varphi, \psi$  lassen sich in semikonvergente, für positive  $k, l$  gültige Reihen entwickeln.

Man kann wieder die Wurzel aus der Formel für das Quadrat der Schwingungszahl ausziehen, die erste Forderung ist erfüllt.

Bei Wasserstoff waren die Gleichungen  $\sin k a = 0$  oder  $\cos k a = 0$ . Für gewisse Randbedingungen wird  $\varphi$  bei wachsendem  $k$  unendlich groß, für andere Null, noch für weitere endlich. Letzterer Fall tritt schon beim entsprechenden ein-dimensionalen Problem auf; setzen wir geeignete Bedingungen voraus, so wird also für große positive  $k$  oder  $m$

$$\operatorname{tg} k a = \text{konst.}, \quad k = \frac{m \pi}{a} + \text{konst.},$$

Eine bessere Annäherung wird man erzielen durch Benutzung weiterer Glieder der im allgemeinen nur semikonvergenten Entwicklung von  $\varphi(k)$ . (Die  $c$  sind Konstanten.)

$$\operatorname{tg} k a = c_0 + \frac{c_1}{k} + \frac{c_2}{k^2} + \dots$$

also

$$k a = m \pi + c_0' + \frac{c_1'}{k} + \frac{c_2'}{k^2} + \dots,$$

oder angenähert

$$k a = m \pi + c_0' + \frac{c_1' a}{m \pi + c_0'} + \frac{c_2' a^2}{(m \pi + c_0')^2} + \dots$$

ähnliches gilt für  $l$ . Diese Betrachtungen führen also auf die für positive große  $m, n$  gültige Formel

$$\pm v = \sqrt{\frac{32}{\varrho}} v \frac{a^2}{\pi^2} \left[ \frac{1}{(m + \mu)^2} - \frac{1}{(n + \mu')^2} \right] = N \left[ \frac{1}{(m + \mu)^2} - \frac{1}{(n + \mu')^2} \right],$$

in welcher  $N, \mu, \mu'$  Konstanten sind, also auf die Rydbergsche Formel, und da nach den gemachten Annahmen  $\varrho, a, v$  universell sind, wird der Koeffizient  $N$  universell.

Gleichzeitig erkennt man aber, daß die Rydbergsche Formel für niedere  $m, n$  zu korrigieren ist, aber nicht durch Variieren

des Koeffizienten  $N$ , wie bisher getan wurde, sondern indem man  $\mu, \mu'$  je durch Entwicklungen der Form

$$\mu + \frac{b}{(m + \mu)} + \frac{c}{(m + \mu)^2} + \dots, \quad \mu' + \frac{b'}{(m + \mu')} + \frac{c'}{(m + \mu')^2} + \dots$$

oder

$$\mu + \frac{\beta}{(m + \mu)^2} + \frac{\gamma}{(m + \mu)^4} + \dots, \quad \mu' + \frac{\beta'}{(m + \mu')^2} + \frac{\gamma'}{(m + \mu')^4} + \dots$$

ersetzt.

Jede Serie entspricht einem bestimmten  $m$  und variablen  $n$  oder umgekehrt, und wird demnach durch die Formel gegeben

$$\pm v = A - \frac{N}{\left(m + \mu + \frac{b}{(m + \mu)} + \dots\right)^2},$$

in der  $A, \mu, b$  Konstanten sind.

Der zweite Koeffizient  $N$  aller Serienformeln muß universell sein.

Die Linien eines Doublets oder Triplets gehören im Sinne dieser Theorie Quadraten an, die sich unter nur wenig verschiedenen Bedingungen befinden. Dagegen werden die Linien einer Serie, die Hauptserie und ihre entsprechende 2<sup>te</sup> Nebenserie, von Schwingungen eines und desselben Trägers, die genau gleichartig sind, gebildet. Es lassen sich nun die Ergebnisse der Untersuchungen von Runge und Paschen leichter verstehen, nach welchen die *Linien einer und derselben Serie qualitativ und quantitativ denselben Typus besitzen; ebenso die Linien von Haupt- und 2<sup>ter</sup> Nebenserie, während dies für die zwei Linien je eines Doublets nicht der Fall ist.*

Die weitere Bestätigung der neuen Formeln wird in den unten gegebenen Tabellen sich finden; sie zeigen folgendes: *Bei allen Elementen gilt für die Hauptserie die Formel*

$$v = A - \frac{109\,675,0}{(m + a + b/m^2)^2}, \quad m = 2, 3 \dots,$$

*für die erste Nebenserie eine ähnliche Formel, für die 2<sup>te</sup> Nebenserie*

$$v = A - \frac{109\,675,0}{(m + \frac{1}{2} + a' + b'/(m + \frac{1}{2})^2)^2},$$

oder, was bis auf Glieder höherer Ordnung auf dasselbe hinauskommt:

$$v = A - \frac{109\,675,0}{p^2}, \quad \text{wo } p = m + a + \gamma/p^2 = m + a + \beta(A - v).$$



Die Rydbergschen Gesetze sind bei diesen Formeln so genau erfüllt, daß Hauptserie und 2<sup>te</sup> Nebenserie direkt durch eine einzige Formel dargestellt werden. Dieselbe enthält bloß vier Konstanten statt sechs, wie Kayser und Runge benutzen; sie lautet:

$$\pm \nu = 109675,0 \left[ \frac{1}{(m + a + b/m^2)^2} - \frac{1}{[n + 0,5 + a' + b'/(n + 0,5)^2]^2} \right].$$

Trotzdem ist die Annäherung an die Erfahrung besonders für die niederen Ordnungszahlen eine viel bessere wie bisher erreicht war.

Die Grenzen der beiden Nebenserien fallen zusammen bei Gebrauch dieser Formeln, soweit die unsichere Beobachtung der Struktur der ersten Nebenserie es zu beurteilen erlaubt. Jedenfalls ist der Abstand nur durch Bruchteile einer Å.-E. gegeben. Auch die Konstanten  $a, b, a', b'$  zeigen vielfache Beziehungen. Erwähnt sei gleich hier, daß nach dem Gesetz der konstanten Differenzen,  $a', b'$ , für die Linien eines Doublets oder Triplets denselben Wert haben; dasselbe findet sich für  $b$ , nur  $a$  nimmt verschiedene Werte an. Infolgedessen ergibt sich ohne weiteres, daß die Doublets der Hauptserien einen gemeinsamen Konvergenzpunkt besitzen, und ihre Abstände durch die Rydbergsche Formel erheblich genauer dargestellt werden als ihre absolute Lage. Weiter sind  $b/a, b'$ , bei allen Elementen negativ.

Für die Spektren der Alkali ergibt sich also folgendes Schema:

Hauptserie:

$$\pm \frac{\nu}{N} = \begin{cases} \frac{1}{(n + a_1 + b/n^2)^2} - \frac{1}{[1,5 + a' + b'/(1,5)^2]^2} \\ \frac{1}{(n + a_2 + b/n^2)^2} - \frac{1}{[1,5 + a' + b'/(1,5)^2]^2} \end{cases} \quad n = 2, 3, 4 \dots$$

Zweite Nebenserie:

$$\pm \frac{\nu}{N} = \begin{cases} \frac{1}{(2 + a_1 + b/2^2)^2} - \frac{1}{[m + a' + b'/(m)^2]^2} \\ \frac{1}{(2 + a_2 + b/2^2)^2} - \frac{1}{[m + a' + b'/(m)^2]^2} \end{cases} \quad m = 1,5, 2,5 \dots$$

Erste Nebenserie:

$$\pm \frac{\nu}{N} = \begin{cases} \frac{1}{(2 + a_1 + b/2^2)^2} - \frac{1}{[m + c + d/m^2]^2} \\ \frac{1}{(2 + a_2 + b/2^2)^2} - \frac{1}{[m + c + d/m^2]^2} \end{cases} \quad m = 3, 4, 5 \dots$$

$$N = 109675,0.$$

Allen positiven Werten von  $m$ ,  $n$  müssen Spektrallinien entsprechen, ob die Schwingungszahl positiv oder negativ sei. *Die Formeln sagen also die Existenz unendlich vieler Linien voraus*; leider fallen diese Linien in allen Fällen, wo ich sie genau berechnen konnte, ins Rot und Ultrarot oder in das Gebiet der Schumannschen Strahlen. Diese neuen Serien müssen mit den bekannten sehr angenähert konstante Differenzen ergeben, und für die Grundlinien ( $m = 1$  oder  $n = 1$ ) aus weiteren, für die ultraroten Serien aus engeren Doublets oder Triplets bestehen.

*Für negative Ordnungszahlen dagegen gelten die Formeln nicht*, weil die zu Grunde liegenden Reihenentwickelungen nur *semikonvergent* sind.

### Die Spektren der Alkalimetalle.

In den folgenden Tabellen sind die Formeln von p. 290 und p. 291 mit den Beobachtungen verglichen. Die Konstanten  $a' b'$ ,  $a b$  sind stets in dem dort angegebenen Sinne gebraucht. Ich habe nur die Hauptserie und die zweite Nebenserie berücksichtigt, und von letzterer wegen des Gesetzes der konstanten Differenz nur eine Linie jedes Doublets und Triplets. Die erste Nebenserie ist einerseits wegen ihrer komplizierten Struktur und ihrer besonders bei höheren Ordnungszahlen sehr diffusen Linien nicht so sicher beobachtet; andererseits wird sie durch die bisherigen Formeln meist schon sehr gut dargestellt; der Grund hierfür ist wohl, daß die den niedrigsten Ordnungszahlen 1, 2 sogar manchmal 3, 4 entsprechenden Linien weit im Ultrarot bez. Ultraviolett liegen und nicht beobachtet sind. Danach ist die Übereinstimmung mit der Erfahrung hier wenig beweisend. Immerhin zeigen die aus besonderen Gründen bei Ka, Tl mitgeteilten Tafeln der ersten Nebenserie, daß sie ebenfalls sehr gut dargestellt wird.<sup>1)</sup> Die Formeln sind meist aus einzelnen Linien und nicht durch Ausgleichung berechnet. Denn wie aus der Theorie zu erwarten ist und sich bei einzelnen Serien bestätigt, sind die

1) Daß auf Grund der Rydbergschen Formel die Grenzen der Nebenserien zusammenfallen, hat Rydberg gezeigt. *Rapports du Congrès etc.* 2. p. 212. Paris 1900.

Nenner der Formeln in Wirklichkeit doch noch durch höhere Glieder in  $1/m^2$ ,  $1/n^2$  zu ergänzen, wodurch die nach der Methode der kleinsten Quadrate erreichbare höhere Genauigkeit bei der Festlegung der Konstanten doch illusorisch wird. Lehrreicher schien es mir zu zeigen, wie genau die Extrapolation geschieht.

Die erste Kolumne gibt die Wellenlänge  $\lambda$  in Luft. Die zweite die nach Kayser und Runge<sup>1)</sup> Bestimmung der Luftdispersion auf Vakuum reduzierten Wellenzahlen  $\nu$  (gleich  $10^8 \lambda^{-1}$  in Vakuum). Diese Reduktion beträgt für  $\nu = 40000$  ca. 12, für  $\nu = 16000$  ca. 4 Einheiten der letzten Stelle; sie mußte also durchaus berücksichtigt werden. — Die Fehlergrenze ist unter  $F$  angegeben, der Fehler  $\lambda_{\text{beobachtet}} - \lambda_{\text{berechnet}}$  ist für die Formeln von Kayser und Runge mit K. R., für die meinigen mit R. bezeichnet. Die Ordnungszahl ist unter  $m$  und  $n$  eingetragen.

## Lithium.

## Hauptserie.

## Zweite Nebenserie.

$m$	$\lambda$	$\nu$	$F$	K. R.	R.	$\lambda$	$\nu$	$F$	K. R.	R.	$m$
2	6708,2	14903,1	0,2	+108	0,00	6708,2	14903,1	0,2	+615	0,00	1,5
3	3232,77	30924,4	0,03	0,00	0,00	8127,3 <sup>2)</sup>	12300,8	—	—	65	+0,75 2,5
4	2741,39	36467,3	0,03	0,00	+0,07	4972,11	10106,7	0,1	0,00	0,00	3,5
5	2562,60	39011,5	0,03	0,00	0,00	4273,44	23393,8	0,2	0,00	-0,08	4,5
6	2475,13	40390,0	0,1	-0,2	+0,20	3985,94	25081,2	0,2	0,00	-0,04	5,5
7	2425,55	41215,5	0,1	-0,01	+0,01	3838,3	26046	3,0	-0,2	+2,1	6,5
8	2394,54	41749,3	0,2	+0,30	+0,03						
9	2373,9 <sup>3)</sup>	42112,0	—	+0,75	+0,10						
10	2359,4 <sup>3)</sup>	42370,7	—	+1,18	+0,22						

Hauptserie:  $a = -0,04751$ ,  $b = +0,0261$ . Grenze: 43482,8.

Nebenserie:  $a' = +0,09994$ ,  $b' = -0,02646$ . Grenze: 28579,7.

Es sind hier vier verfügbare Konstanten (bei Kayser und Runge sechs). Zur Berechnung sind die Linien  $\{ \begin{smallmatrix} 2 \\ 1,5 \end{smallmatrix} \}$ , 3, 5, 3,5 benutzt. Die Rydbergschen Sätze sind in den Formeln schon berücksichtigt. Die Formeln von Kayser und Runge geben hier bei Extrapolation der Nebenserie (für  $n = 2$  ihrer

1) H. Kayser u. C. Runge, Abhandl. d. k. Akad. d. Wissensch. zu Berlin 1894.

2) Nach H. H. Lehmann, Ann. d. Phys. 5. p. 633. 1901; 8. p. 643. 1902.

3) Nach G. D. Liveing u. J. Dewar.

Ordnungszahlen) einen Fehler von 615 Ångström-Einheiten. Er wird bei den übrigen Alkalien noch größer, es wäre zwecklos, ihn einzutragen.

## Natrium.

Hauptserie.						Zweite Nebenserie.					
$n$	$\lambda$	$\nu$	$F$	K. R.	R.	$m$	$\lambda$	$\nu$	$F$	K. R.	R.
2	5896,16	16955,6	0,00	+78	0,00	1,5	5890,19	16972,8	0,00	+334	0,00
	5890,19	16972,8	0,00	+86	0,00	2,5	11404 <sup>1)</sup>	8766,3	?	+100	+0,9
3	3303,07	30266,3	0,03	0,00	+0,03	3,5	6161,15	16226,3	0,1	0,00	0,00
	3302,47	30271,8	0,03	0,00	0,00	4,5	5153,72	19398,2	0,1	0,00	-0,25
4	2852,91	35040,9	0,05	0,00	-0,10	5,5	4752,19	21037,1	0,15	0,00	-0,23
	2852,91	35040,9	0,05	0,00	+0,07	6,5	4546,03	21991,1	0,2	+1,16	+0,21
5	2680,46	37295,5	0,1	0,00	-0,08	7,5	4423,7	22599,2	?	+1,7	-0,17
	2680,46	37295,5	0,1	0,00	0,00						
6	2593,98	38539,2	0,1	+0,03	-0,13						
	2593,98	38539,2	0,1	+0,09	-0,08						
7	2543,85 <sup>2)</sup>	39298,7	0,1	+0,10	-0,22						
	2543,85	39298,7	0,1	+0,24	-0,19						
8	2512,23 <sup>3)</sup>	39793,4	0,2	+0,50	-0,15						
	2512,23	39793,4	0,2	+0,60	-0,12						

Hauptserie:  $\left\{ \begin{array}{l} a_1 = 0,14595 \\ a_2 = 0,14521 \end{array} \right\} \quad b = -0,1158. \quad \text{Grenze: } 41444,87.$

Nebenserie:  $a' = +0,15157, \quad b' = -0,05586. \quad \text{Grenze: } 24472,1.$

Für die Nebenserie (deren Grenze nach Rydberg aus der Hauptserie entnommen wird) habe ich auch aus 1,5, 3,5 die Formel

$$(A) \quad \nu = A - \frac{N}{(m + \alpha + \beta 10^{-5}(A - \nu))^2}$$

berechnet.<sup>3)</sup> Es fand sich  $\alpha = 0,15205, \beta = -0,06107$ . Die Fehler sind unter  $R'$  eingetragen. Kayser und Runge haben neun Konstanten, hier sind fünf gebraucht. Die Doppellinien sind nur bis  $n = 3$  beobachtet; von da an beziehen sich die beobachteten  $\lambda$  auf das Intensitätsmaximum, also ungefähr die kleinere Wellenlänge. Dasselbe gilt bei Kalium.

1) Nach P. Lewis, l. c.

2) Nach G. D. Liveing u. J. Dewar.

3) Nach p. 290 ist hierin das Vorzeichen von  $\nu$  positiv zu nehmen, wenn  $A > \nu$ ; negativ, wenn  $A < \nu$ .

## Kalium.

## Hauptserie.

## Zweite Nebenserie.

$\lambda$	$\nu$	$F$	K. R.	R.	$m$	$\lambda$	$\nu$	$F$	K. R.	R.	$R'$
7701,92 <sup>1)</sup>	12980,7	?	+161,3	0,00	1,5	7701,92	12980,7	?	—	0,00	0,00
7668,54 <sup>1)</sup>	13036,8	?	+159,6	-0,24	2,5	—	—	—	—	—	—
4047,36	24701,6	0,03	0,00	0,00	3,5	6911,2	14465,3	0,5	-4,2	0,00	0,00
4044,29	24719,4	0,03	0,00	+0,00	4,5	5782,67	17288,3	0,05	0,0	+0,20	+0,09
3447,49	28998,4	0,03	0,00	+0,13	5,5	5323,55	18779,2	0,15	0,0	+0,22	+0,10
3446,49	29006,7	0,03	0,00	+0,12	6,5	5084,49	19662,3	0,20	0,0	+0,22	+0,04
3217,76	31068,7	0,03	0,00	0,00	7,5	4943,1	20224,7	1,0	+1,0	+1,10	+0,94
3217,27	31073,5	0,03	0,00	-0,05							
Erste Nebenserie.											
3102,37	32224,2	0,10	+0,27	+0,10							
3102,15	32226,5	0,10	+0,36	+0,40	5	5812,54	17199,5	0,05	0,00	0,00	
3034,94	32939,4	0,10	+0,23	-0,20	6	5343,35	18709,5	0,15	0,00	0,00	
3034,94	32939,4	0,10	+0,44	-0,05	7	5097,75	19611,2	0,20	0,00	+0,16	
2932,33	33408,7	0,15	+0,68	-0,19	8	4952,2	20188	1,0	+1,2	+0,7	
2992,33	33408,7	0,15	+0,80	-0,08	Die zu wenig genauen Messungen von Liveing u. Dewar sind nicht berücksichtigt.						
2963,36	33736,2	0,20	+1,05	-0,13							
2963,36	33736,2	0,20	+1,11	-0,07							
2942,8	33971,4	1,0	+1,45	-0,27							
2942,8	33971,4	1,0	+1,60	-0,23							

Von  $n = 6$  an beziehen sich die Messungen bei der Hauptserie auf die kleinere Wellenlänge. Die Grundlinien 7701, 7668 sind sehr breit und unsicher bestimmt, die Differenzen  $\nu_1$  der Schwingungszahlen stimmen schlecht mit den übrigen  $\nu_1$ . Daher ist auch die Grenze der Nebenserie ungenau. Nimmt man für die Grundlinien einen (sehr wahrscheinlichen) Fehler von 0,5 Å.-E. an, so erhält man die Abweichungen  $R'$ . Dies zeigt, welche Genauigkeit die Messungen in ihrer Gesamtheit besitzen müssen, um eine entscheidende Prüfung der Formeln zu erlauben. Es ist

$$\text{Hauptserie: } \begin{cases} a_1 = + 0,29034 \\ a_2 = + 0,28750 \end{cases}, \quad b = - 0,2239. \quad \text{Grenze: } 85005,0.$$

$$\text{Nebenserie: R. } a' = + 0,31789, \quad b' = - 0,1076. \quad \text{Grenze: } 22024,3. \\ R' \quad a' = + 0,31315, \quad b' = - 0,1081. \quad \text{,,} \quad 22023,5.$$

1) Nach H. Lehmann. H. Kayser u. C. Runge geben  $7699,3 \pm 5,0$ ,  $7665,6 \pm 5,0$ .



Die beiden Nebenserien von Ka sind in ihrem Charakter kaum zu unterscheiden; man betrachtete bisher die mit 6938 und 6911 beginnende als die *erste* Nebenserie, doch würde dies der einzige Fall sein, wo  $b'$  positiv wäre und wo die Rydberg-schen Regeln sich als unrichtig erweisen. Betrachtet man sie aber, wie hier geschehen ist, als zweite Nebenserie, so ordnet sie sich genau in das Schema der übrigen Serien ein. Diese Entscheidung wäre auf Grund der älteren Formeln nicht möglich gewesen. Für  $n=2,5$  berechnet man  $\lambda=12\,430$ ,  $\lambda=12\,521$ .

Die Gleichung der ersten Nebenserie, deren Grenze aus der zweiten Nebenserie entnommen ist, lautet:

$$\nu = 22024,3 - \frac{109\,675,0}{[m - 0,2828 + 1,26/m^2]^2}.$$

Für  $m = 4$  berechnet man das Linienpaar  $\lambda = 6936,4$ ,  $\lambda = 6964,7$ . Schon Kayser und Runge bemerkten, daß hier ein allerdings bis jetzt nicht beobachtetes<sup>1)</sup> Linienpaar liegen sollte. Sie extrapolieren  $\lambda = 6957,4$ ,  $\lambda = 6985,4$ . Ich habe die Formel der ersten Nebenserie hier angegeben, weil sie gestattet, diese roten Kaliumlinien mit größerer Sicherheit voraus zu berechnen und zu ihrer Auffindung nützlich sein können.

Für  $m = 3$  finden sich  $\lambda = 11\,643$ ,  $\lambda = 11\,721$ ; Kayser und Runge berechnen  $\lambda = 12\,444$ ,  $\lambda = 12\,525$ . Becquerel hat die Kaliumlinien  $\lambda = 10\,980$ ,  $11\,020$ ,  $12\,330$  beobachtet, doch sind die Messungen sehr unsicher, und zwei Linien offenbar nicht getrennt worden. —

Rubidium.

Hauptserie						Zweite Nebenserie.					
$n$	$\lambda$	$\nu$	$F$	K. R.	R.	$m$	$\lambda$	$\nu$	$F$	K. R.	R.
2	7950,46 <sup>2)</sup>	12574,4	?	+183	0,00	1,5	7805,98 <sup>2)</sup>	12807,2	?	—	0,00
	7805,98 <sup>2)</sup>	12807,2	?	+175	+3,5	2,5	—	—	—	—	—
3	4215,72	23714,1	0,03	0,0	0,00	3,5	7406,19	13498,5	0,3	—	0,00
	4201,98	23791,7	0,03	0,0	0,00	4,5	6159,8	16230,0	0,2	—	+1,8
4	3591,74	27833,9	0,05	0,0	0,00	5,5	5654,22	17681,2	0,15	—	+1,6
	3587,23	27868,9	0,05	0,0	+0,02	Das Paar 2,5 ist noch nicht beobachtet; man berechnet $\lambda=13\,657$ , $\lambda = 13\,228$ .					
5	3351,03	29833,2	0,05	0,0	-0,11						
	3348,86	29852,5	0,05	0,0	0,00						

1) Lecoq hat ein Band 6825—7248.  
2) Nach H. Lehmann.

Der erhebliche Fehler von 3,5 Å.-E. bei der Grundlinie ist zum Teil auf die Unsicherheit der Messungen von Lehmann zurückzuführen. Die Differenz der Schwingungszahlen dieses Paares sollte 235,3 sein nach Kayser und Runge's Bestimmungen; sie ist 232,8, der relative Fehler der zwei Linien also 0,8 Å.-E., der absolute wohl noch größer. Immerhin sind die Differenzen auch den fehlenden Gliedern der Formel, die sich bei höherem Atomgewicht immer stärker bemerkbar machen, zum Teil zuzuschreiben.

Hauptserie:  $\left\{ \begin{array}{l} a_1 = 0,35948 \\ a_2 = 0,34652 \end{array} \right\}$ ,  $b = -0,2688$ . Grenze: 33681,5.

Nebenserie:  $a' = +0,36669$ ,  $b' = -0,1401$ . Grenze: 20877,3.

## Cäsium.

Hauptserie.						Zweite Nebenserie.				
$n$	$\lambda$	$\nu$	$F$	K.R.	R.	$m$	$\lambda$	$\nu$	$F$	R.
2	8949,92 <sup>1)</sup>	11170,3	?	+305	0,00	1,5	8527,72 <sup>1)</sup>	11723,6	?	-3,75
	8527,72 <sup>1)</sup>	11723,6	?	+230	-3,75		8949,92	11170,3	?	0,00
3	4593,31	21764,6	0,05	0,00	0,00	Hauptserie: $\left. \begin{array}{l} a_1 = 0,44293 \\ a_2 = 0,41068 \end{array} \right\}, b = -0,3286.$				
	4555,44	21945,8	0,05	0,00	-0,07					
4	3888,83	25707,5	0,1	0,00	0,00	Grenzen: Hauptserie: 31397,8. Nebenserie: 20227,5, 19674,8.				
	3876,73	25787,7	0,1	0,00	-0,04					
5	3617,08	27638,9	0,3	0,00	-0,72					
	3611,84	27679,0	0,2	0,00	-0,14					

Wieder liegt im Ultrarot ein Fehler von 3,7 Å.-E. vor; doch hat er *entgegengesetztes Vorzeichen wie bei Rb*, sodaß, bis genauere Messungen vorliegen, kein Grund ist zu bezweifeln, daß  $b$  für beide Hauptserien denselben Wert hat. Die zweite Nebenserie war bisher unbekannt. Da aber die Grundlinien ( $n = 1,5$ ) nach dem Rydbergschen Gesetz 8949,92, 8527,72 sein müssen, so folgt zwischen  $a'$ ,  $b'$  die Gleichung

$$0,36898 = a' + b'/(1,5)^2.$$

Nimmt man nach Analogie von Ka und Rb<sup>2)</sup>  $b'/a' = -0,38$ , so findet man, daß die Linie (2,5) ins äußerste Ultrarot fällt; für  $n = 3,5$  erhält man  $3,5 + a' + b'/(3,5)^2 = 3,930 \dots$ , während

1) Nach H. Lehmann.

2) Vgl. Tabelle am Schluß der Abhandlung.

Lehmann die Linie 7616,6,  $\nu = 13125,5$  beobachtet hat; sie gibt 3,9297, gehört also zur zweiten Nebenserie. Die zweite Linie des Paares müßte  $\nu = 12576$  ergeben; sie wird von Lehmann nicht angegeben.<sup>1)</sup> Für  $n=4,5$  erhält man 4,936 ... im Nenner; Lecoq hat das Linienpaar 6602, 6361 beobachtet, welches innerhalb der geringen Genauigkeit seiner Messungen die zu fordernde Differenz  $\nu_1 - \nu_2$  ergibt, wie Kayser und Runge schon bemerkt haben. Man erhält aus ihnen 4,933 und 4,920, statt 4,936; doch liegt der Unterschied innerhalb Lecoqs Beobachtungsfehler, sie bilden somit das Paar  $n=4,5$ . Weitere Paare sind nicht beobachtet. Eine derartige Konstruktion der zweiten Nebenserie aus der Hauptserie wäre in diesem Fall mit den Rydbergschen, hier sehr ungenauen Formeln, nicht möglich gewesen.

### Das Spektrum von Helium.

#### Einfache Linien.

Hauptserie I.						Zweite Nebenserie I.				
$n$	$\lambda$	$\nu$	R. P.	R.	Rydberg	$m$	$\lambda$	$\nu$	R. P.	R.
2	—	4857,3	+143	-80	+186	1,5	—	4857,3	-1860	-80
3	5015,732	19931,81	0,00	0,000	0,000	2,5	7281,81	13729,13	+8,4	0,000
4	3964,875	25214,48	0,00	0,000	-0,092	3,5	5047,816	19805,12	0,00	0,000
5	3613,785	27664,09	0,00	0,000	0,000	4,5	4437,718	22527,89	0,00	0,046
6	3447,734	28996,41	-0,02	-0,001	+0,033	5,5	4169,131	23979,18	0,00	0,000
7	3354,667	29800,82	-0,08	-0,038	+0,032	6,5	4024,136	24843,16	-0,06	-0,033
8	3296,900	30322,96	-0,08	-0,032	+0,005	7,5	3936,063	25399,04	-0,17	-0,087
9	3258,336	30681,83	-0,17	-0,116	0,000	8,5	3878,330	25777,12	-0,21	-0,022
10	3231,327	30938,28	-0,19	-0,13	+0,016	9,5	3838,240	26046,36	-0,29	-0,060
11	3211,626	31128,06	-0,21	-0,12	0,00	10,5	—	—	—	—
12	3196,81	31272,32	-0,20	-0,09	0,00	11,5	3887,64	26394,31	-0,33	-0,000
13	—	—	—	—	—	12,5	3770,72	26512,74	-0,63	-0,285
14	3176,6?	31471,3	+0,04	+0,08	+0,23					

I. Hauptserie:  $a = 0,01150$ ,  $b = -0,0072$ .  $A = 32031,50$ .

Nebenserie:  $\alpha = +0,36013$ ,  $\beta = -0,0295$ .  $A = 27173,90$ .<sup>2)</sup>

Nach Rydbergs Formel erhält man:

$$32032,63 - \frac{109875,0}{(m + 0,01055)^2}$$

für die Hauptserie. Die Grenze dürfte hier richtiger sein.

1) Rb hat die Linie  $\nu = 12574,4$ ; Lehmann konnte daher wohl die zwei Linien nicht trennen, doch gibt er an, daß stets diese Rb-Linie auf seinen Platten erschien.

2) Formel (A) p. 294.

## Doppellinien.

## Hauptserie II.

## Zweite Nebenserie II.

$n$	$\lambda$	$\nu$	R. P.	R.	$m$	$\lambda$	$\nu$	R. P.	R	$R'$
2	—	9230,8	-74	0,000	1,5	—	9230,8	-1320	0,00	-42
3	3888,785	25707,82	0,000	0,000	2,5	7065,48	14149,48	+24	0,00	0,000
4	3187,830	31360,41	0,000	-0,056	3,5	4713,252	21210,94	0,00	0,00	0,000
5	2945,220	33943,59	0,000	0,000	4,5	4120,973	24259,39	0,00	+0,27	+0,036
6	2829,173	35335,82	-0,017	-0,007	5,5	3867,613	25848,55	0,00	+0,11	0,000
7	2763,900	36170,28	+0,005	-0,003	6,5	3733,004	26780,61	-0,19	+0,09	-0,016
8	2723,275	36709,83	+0,007	-0,013	7,5	3652,121	27373,71	-0,46	+0,09	-0,035
9	2696,230	37078,04	+0,050	-0,083	8,5	3599,472	27774,80	-0,70	+0,11	+0,035
0	2677,2	37341,58	+0,023	+0,013	9,5	3563,125	28057,39	-0,95	+0,10	+0,003
1	2663,3	37536,45	-0,016	-0,019	10,5	3536,963	28264,92	-1,16	+0,08	-0,037
					11,5	3517,48	28421,47	-1,33	+0,12	0,000
					12,5	3502,47	28543,27	-1,57	+0,03	-0,073
					13,5	3490,77	38638,9	-1,72	+0,07	-0,060
					14,5	3481,6	28714,4	-1,69	+0,20	+0,040

Das Spektrum von He ist eines der am genauesten bekannten Spektren. Die Wellenzahlen sind aus Runge und Paschens Abhandlung entnommen<sup>1)</sup>, mit Ausnahme der im Ultrarot gelegenen, nur bolometrisch nachgewiesenen Linien, die nach dem Vorgang von Rydberg<sup>2)</sup> aus den sehr genau bestimmbaren Grenzen von Haupt- und Nebenserien berechnet sind. Die Fehlergrenze liegt wohl bei keiner Linie oberhalb 0,02 Å.-E.; nach Perot und Fabry soll 0,01 die Grenze der Zuverlässigkeit Rowlandscher Gitter sein bei solchen Bestimmungen. Die Abweichungen deuten wieder auf das Fehlen höherer Glieder. Die Grundlinie der ersten Hauptserie paßt ausnahmsweise schlecht, überhaupt ist der Vorzug der neuen Formeln bei dieser Serie gering. Bei den anderen Serien zeigt er sich aber in sehr auffallender Weise. Extrapoliert man die Nebenserie I auf die Ordnungszahl 1,5, so soll man nach dem Rydbergschen Gesetz die Grenze der Hauptserie finden; man extrapoliert 32013,0, beobachtet ist 32031,5; aus der Nebenserie II findet sich 38420, beobachtet ist 38453,4, die Differenz entspricht 2,4 Å.-E. Dabei ist die Extrapolation eine sehr weite.

1) C. Runge u. F. Paschen, *Astrophys. Journ.* 3. p. 4. 1896.

2) J. R. Rydberg, *Wied. Ann.* 58. p. 674. 1896; *Astrophys. Journ.* 4. p. 91. 1896.

Die Hauptserie I ist auch nach Rydbergs Formel berechnet, die hier, abgesehen von der Grundlinie, ausnahmsweise genau paßt. Die unter  $R'$  eingetragenen Fehler ergeben sich bei Anwendung von Formel (A) p. 294.

## II. Hauptserie:

$$a = - 0,06965, \quad b = + 0,0276.$$

$$\text{Grenze: } 38\,453,38$$

## Nebenserie:

$$a' = + 0,20221, \quad b' = - 0,03017 \quad \text{aus } 1,5, 2,5, 3,5.$$

$$29\,223,46 \text{ (R.)}$$

$$\alpha = + 0,20288, \quad \beta = - 0,0358 \quad \text{aus } 2,5, 3,5, 5,5.$$

$$29\,222,18 \text{ (R')}$$

## Silber.

## Zweite Nebenserie.

$\lambda =$	8274,04 <sup>1)</sup>	4668,70	3981,87	3710,11
$\nu =$	12082,7	21413,3	25106,8	26945,9
$\lambda \text{ beob.} - \lambda \text{ ber.} =$	0,00	0,00	-0,30	0,00
$m =$	2,5	3,5	4,5	5,5

$$\text{Konstanten: } a' = - 0,02890, \quad b' = - 0,2423. \quad \text{Grenze: } A = 30\,620,7.$$

Für 1,5 erhält man  $\lambda = 3050$ ; nach den Beobachtungen im magnetischen Feld sollte 3280,80 herauskommen. Die Formel

$$\nu = A - \frac{N}{[m + a' + b' / m^2]^2}$$

ergibt also für die niederste Ordnungszahl einen bedeutenden Fehler. Es zeigt sich, daß die nur durch Glieder höherer Ordnung verschiedene Formel (A) p. 294:

$$\nu = A - \frac{N}{(m + \alpha + \beta(A - \nu) 10^{-5})^2}$$

hier und in den Spektren der zweiten Mendeleffschen Kolonne etwas besser sich anschließt. Für  $\alpha = - 0,03025$ ,  $\beta = - 0,2023$ ,  $A = 30\,621,7$  erhält man

$\lambda =$	8274,04	4668,70	3981,87	37,10,11
$\lambda \text{ beob.} - \lambda \text{ ber} =$	0,00	0,00	-0,35	0,00

Für 1,5 findet sich durch successive Approximation  $\lambda = 3210$ , während beobachtet 3280,80 ist.

1) Nach Lewis.



## Sauerstoff.

## Triplets; zweite Nebenserie.

$\lambda =$	6456,287	5437,041	5020,31	4803,18	4673,88	4590,07
$\nu =$	15484,57	18387,34	19913,63	20813,84	21389,6	21780,2
$m =$	3,5	4,5	5,5	6,5	7,5	8,5
R. P. =	+0,11	-0,31	+0,02	+0,18	+0,05	-0,19
R. =	0,00	0,00	-0,04	-0,40	+0,06	-0,02

Die Linie 1,5 ist  $\lambda = 7772,26$ ; aus ihr und 3,5, 4,5 ist die Formel berechnet, deren Abweichungen unter R. verzeichnet sind.  $\lambda = 7772$  ist also die Grundlinie der Hauptserie. Runge und Paschen vermuteten dies auch schon, doch sind ihre Formeln zu ungenau für kleine Ordnungszahlen, eine sichere Prüfung war nicht möglich, denn die Intensität der Linien nimmt in der Hauptserie so rasch ab, daß nur das nächste Glied noch beobachtet werden konnte. Die Abstände desselben entsprechen genau der Hypothese, daß  $b$  für alle drei Linien der Triplets denselben Wert habe, was schon bei den Doublets der Alkalimetalle der Fall war. Es ist

Zweite Nebenserie:  $A = 23204,87$ ,  $a' = +0,27479$ ,  $b' = -0,06976$ .

Für die Hauptserie erhält man unter Berücksichtigung des zweiten beobachteten Paares:

$$A = 36067,7 \left\{ \begin{array}{l} a_1 = 0,21230 \\ a_2 = 0,21215 \\ a_3 = 0,21204 \end{array} \right\} b = -0,1530.$$

Man berechnet

$$\lambda_4 = 3348,20, \quad \lambda_5 = 3122,28,$$

die von Runge und Paschen nicht angegeben werden.

Die Grenze der zweiten Nebenserie berechnen Runge und Paschen zu 23193,85, die der ersten zu 23207,93. Für die neuen Formeln reduziert sich die Differenz sehr; die berechnete Grenze ist 23204,87. Ebenso verhält es sich in den anderen Fällen.

Die Doppellinien des Sauerstoffspektrums übergehe ich hier; die Grundlinien ( $n = 1,5, 2,5$ ) sind nicht beobachtet, weil im Ultrarot liegend, die übrigen Linien werden von den alten Formeln beinahe ebensogut dargestellt wie von den neuen.

**Zweite Nebenserie der Elemente der zweiten Kolonne des periodischen Systems.**

**Magnesium.**

$m =$	2,5	3,5	4,5	5,5	6,5	7,5
$\lambda =$	5172,87	3332,28	2938,67	2778,36	2695,53	2646,61
$\nu =$	19326,8	30001,1	34019,4	35982,1	37088,0	37773,0
F. =	0,03	0,03	0,03	0,03	0,15	0,50
K. R. =	+53,07	0,00	-0,01	-0,01	+0,20	+0,47
R. =	0,00	0,00	+0,18	0,00	-0,06	+0,08
R' =	0,00	0,00	+0,08	0,00	+0,02	+0,07

$$(R.) \quad \text{Formeln } \pm \nu = 39789,0 - \frac{N}{[m - 0,11893 - 0,4123/m^2]^2},$$

$$(R') \quad \pm \nu = 39793,0 - \frac{N}{[m - 0,12411 - 0,2981(A - \nu)10^{-5}]^2}.$$

$$N = 109675,0.$$

Die Abweichungen sind unter R., R' gegeben. Die Formel von Kayser und Runge ist nach der Methode der kleinsten Quadrate, ohne Berücksichtigung der Linie 2,5, berechnet; die meine aus 2,5, 3,5, 5,5.

Für die mittlere Linie des Triplets 1,5 extrapoliert man:

aus Formel (R.) . . . . .  $\nu = 36640,$

aus Formel (R') . . . . .  $\nu = 48960.$

Bei Ag war schon eine wenn auch geringere Abweichung der zwei Formeln voneinander für  $m = 1,5$  gefunden; die zweite Formel (in  $\alpha, \beta$ ) war die erheblich genauere, doch lieferte sie einen Wert von  $\lambda$ , welcher um 50 Å.-E. zu groß sich fand. Hier muß, wie schon aus der großen Differenz zwischen beiden Formeln sich ergibt, der Fehler ein viel größerer sein; es hängt dies mit dem (bisher nicht annähernd so großen) Wert von  $b'$ , der bei den Elementen dieser Kolonne des periodischen Systems vorliegt, zusammen. Die Formeln von Kayser und Runge, sowie Rydbergs versagen überhaupt ganz bei dieser Extrapolation. Man kann hier somit nur das Resultat aussprechen:

*Schon die Grundlinie der Hauptserie liegt im äußersten Ultraviolett bei 2000—1800 Å.-E., wo keine Beobachtungen vorliegen; ihre Grenze ist weit im Gebiet der Schumannschen Strahlen*

( $\nu = 76430$  bei R.,  $\nu = 88750$  bei R') zu suchen. Es erklärt sich so das bisher ganz unverständliche Fehlen der Hauptserie bei diesem Elemente.

Um einen Begriff der Schwierigkeit der hier vorgenommenen Extrapolation zu geben, genügt die Bemerkung, daß die in Wellenzahlen gemessene Entfernung zwischen den äußersten beobachteten Linien der Serie ca. 18400 beträgt; von der Linie 2,5 bis zu 1,5 dagegen ist der Abstand mindestens 68300.

Wegen der ungewöhnlich kleinen Wellenlänge der Grundlinie ist es nicht sicher, ob sie, wie bei anderen Spektren, besonders intensiv sein wird.

## Calcium.

$m =$	2,5	3,5	4,5	5,5	6,5	7,5
$\lambda =$	6122,46	3957,23	3474,98	3274,88	3170,23	3107,86
$\nu =$	16328,9	25263,2	28769,0	30526,9	31534,5	32172,2
$F =$	0,05	0,05	0,05	0,10	0,50	1,0
K. R. =	+61	-0,01	+0,02	0,00	+0,23	+0,56
R. =	0,00	0,00	+0,10	0,00	+0,04	-0,38

Man findet nach der Formel

$$\nu = A - \frac{109675,0}{(m + \alpha + \beta 10^{-5}(A - \nu))^2}$$

für die Konstanten die Werte:

$$A = 34088,75, \quad \alpha = +0,06481, \quad \beta = -0,4492.$$

Durch successive Approximation ergibt sich mit einem wohl noch größeren Fehler als bei Mg:

Grenze der Hauptserie  $\nu = 70300$ , Grundlinie  $\lambda = 2760$ .

## Strontium.

$n =$	2,5	3,5	4,5	5,5	6,5
$\lambda =$	7070,7	4438,22	3865,59	3628,62	3504,70
$\nu =$	14139	22525,3	25862,1	27551,0	28525
K. R. =	+75	+0,01	+0,20	0,0	+0,08
R. =	0,00	0,00	+0,28	0,00	-0,09

$A = 31026,07, \quad \alpha = +0,13597, \quad \beta = -0,5183.$  Hauptlinie 1,5:  $\lambda = \text{ca. } 2940$ .

Es ist merkwürdig, daß bei Sr in dieser Gegend des Spektrums ein Paar umgekehrter Linien 3307,64, 3351,35 von bedeutender Intensität liegt, welches die für die intensiveren

Linien des Triplets 1,5 zu fordernde Differenz  $\nu_1$  ergeben; als der dritten Linie entsprechend könnte man das etwas schwächere Paar 3380,89, 3366,43 betrachten, dessen Mitte gegen 3351,35 ungefähr die Differenz  $\nu_2$  ergibt. Auch bei Mg, Ca kann man die entsprechenden Paare angeben. Doch scheint mir die Annahme, daß hier das erste Glied der Hauptserie vorliege, aus verschiedenen Gründen unwahrscheinlich. Untersuchungen im Gebiet 2100—1800 müssen darüber entscheiden.

## Zink.

$m =$	2,5	3,5	4,5	5,5	6,5	7,5
$\lambda =$	4810,71	3072,19	2712,60	2567,99	2493,67	2449,76
$\nu =$	20781,2	32540,9	36854,4	38929,6	40090,0	40808,3
$F =$	0,03	0,05	0,05	0,10	0,15	0,25
K. R. =	+58	0,00	+0,02	-0,01	-0,04	-0,20
R. =	0,00	0,00	0,00	+0,01	-0,09	-0,40

$$A = 42871,44, \quad \alpha = -0,21526, \quad \beta = -0,2559.$$

Grenze der Hauptserie  $\nu = 115000$ , Grundlinie  $\nu = 72000$ , also  $\lambda = 1390$ , jedenfalls mit einem Fehler von mehreren Hundert Å.-E.

## Kadmium.

$m =$	2,5	3,5	4,5	5,5	6,5	7,5?	8,5?
$\lambda =$	5086,06	3252,63	2868,35	2712,65	2632,29	2582,86	2553,61
$\nu =$	19656,2	30735,7	34853,3	36853,7	37978,7	38705,3	39148,6
$F =$	0,05	0,05	0,03	0,05	0,10	0,30	0,20
K. R. =	+68	+0,01	-0,02	+0,03	+0,15	-1,75	-0,34
R. =	0,00	0,00	+0,09	0,00	-0,10	-2,2	-1,2

$$A = 40706,3, \quad \alpha = -0,15287, \quad \beta = -0,3063, \quad \text{Grundlinie 1,5: } \lambda = 1250.$$

Die Linie 7,5 gibt auch nach dem Gesetz der konstanten Differenzen einen Fehler von 1 Å.-E.; ihre Zugehörigkeit zur Serie muß daher unentschieden bleiben.

## Quecksilber.

$m =$	2,5	3,5	4,5	5,5	6,5
$\lambda =$	5460,97	3341,70	2925,51	2759,83	2675,20
$\nu =$	18306,6	29916,5	34172,2	36223,6	37369,6
$F =$	0,05	0,05	0,10	0,05	0,20
K. R. =	+57	-0,01	+0,02	+0,03	+0,24
R. =	0,00	0,00	+0,08	0,00	+0,16

$$A = 40136,80, \quad \alpha = 0,19385, \quad \beta = -0,2966.$$

Grenze der Hauptserie  $\nu = \text{ca. } 126000$ ,  $\lambda = \text{ca. } 1160$  für die Grundlinie.

## Thallium.

## Zweite Nebenserie.

## Erste Nebenserie.

$m$	$\lambda$	$\nu$	$F$	K. R.	R.	$n$	$\lambda$	$\nu$	$F$	K. R.	R.
2,5	5350,65	18684,2	0,03	-168	0,00	3	3519,39	28406,0	0,03	+0,02	0,00
3,5	3229,88	30952,1	0,03	-21,7	-0,12	4	2918,43	34255,2	0,03	-0,07	-0,06
4,5	2826,27	35372,1	0,05	-3,65	+0,14	5	2709,33	36899,7	0,03	+0,13	+0,07
5,5	2665,67	37503,1	0,05	-1,69	-1,14	6	2609,08	38316,5	0,03	-0,02	+0,14
6,5	2585,68	38663,2	0,05	+0,01	-0,02	7	2552,62	39163,9	0,10	-0,12	+0,13
7,5	2538,27	39385,3	0,10	+0,04	-0,03	8	2517,50	39710,3	0,10	-0,34	+0,13
8,5	2508,03	39680,1	0,15	+0,01	0,00	9	2494,00	40084,4	0,10	-0,19	+0,05
9,5	2487,57	40188,0	0,20	+0,08	+0,08	10	2477,58	40350,1	0,10	+0,06	+0,04
10,5	2472,65	40430,4	0,20	-0,21	-0,21	11	2465,54	40547,1	0,20	+0,24	-0,01
11,5	2462,01	40605,2	0,30	-0,03	-0,07	12	2456,53	40696,3	0,20	+0,47	-0,06
12,5	2453,87	40740,0	0,30	+0,07	-0,01	13	2449,57	40811,4	0,30	+0,68	-0,06
13,5	2447,59	40844,4	0,30	+0,22	+0,07	14	2444,00	40904,4	0,30	+0,79	-0,15
14,5	2442,24	40934,0	0,30	-0,01	-0,23	15	2439,58	40978,6	0,30	+0,95	-0,18

Von den Elementen Aluminium, Indium, Thallium, bei denen Serien von Doublets existieren, habe ich nur das letztere berechnet. Die zweite Nebenserie von Tl wird nämlich am schlechtesten von allen bekannten Serien durch die Formeln von Kayser und Runge dargestellt; die Serien der anderen Elemente zeigen normalen Verlauf. Ein Vergleich der Formeln schien daher nur bei Tl interessant. Kayser und Runge berechnen ihre Konstanten nach der Methode der kleinsten Quadrate aus  $n = 6,5$  bis  $14,5$ ; meine Formel ist aus allen Linien berechnet; sie ergibt

$$A = 41469,6, \quad \alpha = -0,24088, \quad \beta = -0,2860.$$

Grundlinie der Hauptserie  $\lambda = 1110$ .

Der Unterschied zu Gunsten der neuen Formel ist ein sehr bedeutender; doch macht sich das Fehlen der höheren Glieder bemerkbar. Merkwürdig ist die große Abweichung bei 5,5; schon Kayser und Runge haben hervorgehoben, daß die Kurve  $\nu = f(m)$ , graphisch aufgetragen, hier einen Knick zeigt. Die Linie fällt ganz aus der Serie bei den neuen Formeln. Das zeigt, daß die fehlenden Glieder der Formel eine recht komplizierte Form und wohl auch Singularitäten aufweisen werden.



Die sehr vollständig beobachtete erste Nebenserie von Thallium habe ich als Beispiel beigelegt. Ihre Grenze ist gleichgesetzt der der zweiten Nebenserie. Da von  $n = 8$  an die Satelliten von den Hauptlinien nicht mehr getrennt werden konnten und sich die Messungen dann auf die intensiveren Hauptlinien beziehen, sind nur letztere der Rechnung unterzogen worden. Die Formel von Kayser und Runge bezieht sich eigentlich auf die Satelliten, sie kann nur von  $n = 8$  an mit meiner Berechnung verglichen werden. Für erste und zweite Nebenserie haben Kayser und Runge sechs Konstanten, hier sind nur fünf gebraucht.

$$\pm \nu = 41\,469,6 - \frac{109\,675,0}{(n - 0,09947 - 0,0276/n^2)^2}.$$

Der ersten Nebenserie sollte nun auch eine Hauptserie entsprechen, die, nach den Formeln, mit der zur zweiten Nebenserie gehörigen konstante Differenzen aufweist. Sie kann leider nur ganz roh nach Rydbergs Formel berechnet werden. Für die Grenze der intensivsten Linien findet man  $\nu = 30\,585$  (genau); Grundlinie ( $n = 2$ ):  $\nu = 10\,855$ ; diese weit im Ultrarot liegende Linie muß große Intensität besitzen; die folgenden Linien sind (nur roh angenähert)  $\nu = 14\,600$ ;  $\nu = 22\,200$ . Erst die letzte Linie könnte von Kayser und Runge beobachtet sein. Wegen des größeren Intensitätsabfalles in den Hauptserien wird sie ziemlich schwach sein. Ob ihr die schwache Linie  $\nu = 18\,083,7$ ,  $\lambda = 5528,3$  entspricht (die einzige des Tl-Spektrums, die nicht zu den Doublets gehört), ist zweifelhaft. Die Linien des Paares müßten hier schon ziemlich nahe bei einander liegen.

Auch bei anderen Elementen sind meist im Ultrarot, Rot und Gelb enge Paare bez. Triplets zu erwarten, die zu dieser zweiten Hauptserie gehören. Man kann auch (wie z. B. bei Ka im Funkenspektrum von Eder und Valenta <sup>1)</sup>) das schwache Paar 4309,3; 4305,1) Linien angeben, deren Lage, Intensität und Abstand die zu erwartenden sind; doch bleibt diese Zuordnung vor der Hand hypothetisch.

---

1) J. M. Eder u. E. Valenta, Denkschr. Wien. Akad. 61. p. 347. 1894.

Hauptserie:  $109675,0 - (m + a_i + b/m^2) - (1,5 + a' + b'/(1,5)^2)^2, \quad m = 2, 3, 4, \dots, \quad i = 1, 2, 3.$

Zweite Nebenserie:  $109675,0 + \nu = (2 + a_i + b/4)^2 - \frac{1}{[m + a' + b/m^2]^2}, \quad m = 1, 5, 2, 5, 3, 5, \dots, \quad i = 1, 2, 3,$

oder, wo die Hauptserie noch nicht beobachtet ist

Zweite Nebenserie:  $\pm \nu = A_i - \frac{109675,0}{[m + a + \beta 10^{-6}(A - \nu)]^2}, \quad m = 1, 5, 2, 5, 3, 5, \dots, \quad i = 1, 2, 3.$

Element	$\alpha$	$(a_2 - a_1)10^6$	$b$	$b/a$	$a'$	$b'$	$b'/a'$	$0,5 + \alpha$	$\beta$
H	0	0	0	—	0	0	—	—	—
He <sub>I</sub>	+0,01150	—	-0,0072	-0,630	—	—	—	+0,86013	-0,0295
He <sub>II</sub>	-0,06965	—	+0,0276	-0,400	+0,20221	-0,03017	-0,150	+0,70288	-0,0358
Li	-0,04751	—	+0,0261	-0,550	+0,09994	-0,02646	-0,265	—	—
Na	{ 0,14595 0,14521 }	74	-0,1158	{ -0,794 -0,798 }	+0,15157	-0,05586	-0,368	+0,65205	-0,06107
Ka	{ 0,29034 0,28750 }	284	-0,2239	{ -0,771 -0,779 }	+0,31789	-0,1076	-0,338	—	—
Rb	{ 0,35948 0,34652 }	1296	-0,2688	{ -0,748 -0,776 }	+0,36669	-0,1401	-0,382	—	—
Cs	{ 0,44293 0,41068 }	3225	-0,3286	{ -0,742 -0,801 }	+0,444..	-0,169..	-0,38..	—	—
Ag	—	—	—	—	—	—	—	0,46975	-0,2023 <sup>1)</sup>
O <sub>I</sub>	{ 0,21230 0,21215 0,21204 }	15 11	-0,1530	-0,772	+0,27479	-0,06976	-0,254	—	—

1)  $\beta/\alpha = -0,4316.$

	$\alpha + 0,5$	$\beta$	$\beta/2$		$\alpha + 0,5$	$\beta$	$\beta/\alpha$
Mg	+0,37589	-0,2981	-0,793	Zn	+0,28474	-0,2559	-0,900
Ca	+0,56481	-0,4492	-0,796	Cd	+0,34713	-0,3063	-0,880
Sr	+0,63597	-0,5183	-0,813	Hg	+0,30615	-0,2966	-0,970
Tl	+0,25912	-0,2860	-1,102				

Innerhalb der Alkalimetalle steigen die Differenzen  $a_1 - a_2$  etwa wie die Quadrate der Atomgewichte; die Quotienten  $a_1 - a_2/\mu^2$  sind ungefähr:

$$\text{Na } 0,142, \quad \text{Ka } 0,189, \quad \text{Rb } 0,180, \quad \text{Cs } 0,186.$$

Bei Li müßte somit  $a_2 - a_1 = 5$  ungefähr sein, der Abstand der Komponenten der roten Li-Linie wäre zu 0,76 Å.-E. zu erwarten, wie schon Kayser und Runge hervorhoben.<sup>1)</sup>

Die Konstanten wachsen im allgemeinen mit dem Atomgewicht innerhalb einer Gruppe chemisch verwandter Elemente; sie sind deutlich periodische Funktionen des Atomgewichtes. Aber auch innerhalb der Alkalimetalle z. B. ergeben sie keine einfachen Kurven, ebensowenig wie die Konstanten von Kayser und Runge. Da die in den Grenzbedingungen auftretenden Größen mit der Konstitution des Atomes vermutlich eng zusammenhängen werden, und die  $a$ ,  $b$  nur durch einen komplizierten Rechnungsprozeß aus ihnen entstehen, ist eine nicht ganz einfache Gestalt dieser Kurven wohl zu erwarten. Doch sind möglicherweise die Atomgewichte hier überhaupt nicht die richtigen Variablen. Die Quotienten  $b/a_1$ ,  $b/a_2$ ,  $b'/a'$  variieren in den Alkalimetallen nur wenig; deshalb konnte die zweite Nebenserie von Cs so sicher bestimmt werden. Ebenso sind die  $\beta/(\alpha + 0,5)$  annähernd konstant bei Mg, Ca, Sr und wieder bei Zn, Cd, Hg; sie sind aber auch periodischen

1) Der von A. Hagenbach (Ann. d. Phys. 9. p. 719. 1902) gefundene Wert für den Abstand der Li-Doppellinie ergibt  $(a_1 - a_2)/\mu^2$  etwa doppelt so groß wie bei den anderen Alkalimetallen; das Gesetz von Kayser und Runge, nach welchem  $(a_1 - a_2)/\mu^2$  annähernd konstant ist in dieser Gruppe, wäre daher unrichtig, doch sind die Beobachtungen an nur einer Linie wohl noch nicht ganz entscheidend.

Schwankungen von einer Gruppe zur anderen unterworfen. Die Serien von Ba sind noch nicht gefunden; nach obiger Beziehung wird die Gleichung der zweiten Nebenserie lauten:

$$\nu = A - \frac{109\,675,0}{[m + \alpha [1 - 0,825 \cdot 10^{-5} (A - \nu)]]^2},$$

wobei der im Nenner vorkommende Wert von  $A$  nur roh angenähert bekannt zu sein braucht, sodaß gleich die zweite Approximation die exakten Werte von  $\alpha$ ,  $A$  liefert

---

Der Versuch, die im ersten Teil dieser Arbeit gegebene Theorie des Wasserstoffspektrums auf andere Elemente auszudehnen, führt also zu einer bemerkenswerten Übereinstimmung mit der Erfahrung. Die aus der Theorie sich ergebende Formel übertrifft wesentlich an Genauigkeit, besonders bei den niedrigen Ordnungszahlen, das bisher Erreichte. Ferner veranschaulicht die Theorie in sehr einfacher Weise die exakte Universalität des sogenannten zweiten Koeffizienten; sie fordert gewisse quantitative Beziehungen zwischen verschiedenen Serien, endlich macht sie die qualitative Identität des Zeemaneffektes der Linien einer Serie und der Linien der Hauptserie und zweiten Nebenserie verständlich. Alle diese Forderungen sind in Übereinstimmung mit der Erfahrung. Darüber hinaus zeigen die Koeffizienten der Formeln noch verschiedene einfache Beziehungen, sodaß z. B. die bisher unbekannte zweite Nebenserie von Cs gefunden werden konnte. Wenn diese Resultate nun auch für die Fruchtbarkeit der Grundannahme der Theorie sprechen, so zeigen doch die gegebenen Entwicklungen selbst, daß die über die allgemeine mathematische Grundlage hinausgehenden speziellen Ansätze und Deutungen noch sehr willkürlich sind, wie ja die Natur des Problems es beim jetzigen Stand unserer Kenntnisse bedingt. Mein Bestreben war, die zunächst allein zugängliche mathematische Seite des Vorganges dem Verständnis näher zu bringen.

Ein Vorzug der Theorie der Lichtemission in ihrer gegenwärtigen Gestalt, gegenüber der hier vorgetragenen, ist ihre Einfachheit. Solange jedoch jenes einfachere Bild den Spektral-

gesetzen gegenüber versagt, muß es unentschieden bleiben, welche der beiden Auffassungen der *Gesamtheit* der Erscheinungen gegenüber sich als einfacher erweisen wird.<sup>1)</sup>

Es sei mir gestattet an dieser Stelle Hrn. Geheimrat Voigt meinen Dank auszusprechen für das lebenswürdige Interesse, mit dem er dem Fortgang dieser Arbeit folgte.

Göttingen, Februar 1903.

---

1) Über die Frage nach der Ausstrahlungsfähigkeit der Obertöne des Systems vgl. Dissertation p. 74.

(Eingegangen 18. April 1903.)





**3. Plastische, fließende und flüssige Kristalle;  
erzwungene und spontane Homöotropie derselben;  
von O. Lehmann.**

Seit alten Zeiten nennt man Körper, welche die Eigenschaften haben zu „fließen“<sup>1)</sup>, Flüssigkeiten<sup>2)</sup> im Gegensatz zu den festen Körpern, welche diese Fähigkeit nicht besitzen. Immerhin sind die Flüssigkeiten durch diese Eigenschaft nicht definiert, die in den meisten Lehrbüchern der Physik gegebenen Definitionen kommen vielmehr darauf hinaus, daß als Flüssigkeit ein Körper zu betrachten ist, dessen Elastizitätsgrenze den Wert Null hat. Demgemäß wäre die Unfähigkeit fester Körper zu fließen der Ausdruck einer Tatsache, welche eventuell bestritten werden kann und auch mit Recht vielfach angezweifelt wurde.

Unmittelbar einleuchtend erschien die Unfähigkeit fester Körper zu fließen speziell bei *Kristallen* zu jener Zeit, als man diese noch als *Individuen* betrachtete wie Organismen. Ein Mensch z. B. kann unmöglich in seinem Innern in wirbelnde Strömung geraten, er kann nicht in zwei Teile geteilt werden, von welchen jeder wieder einen vollkommenen lebensfähigen Menschen darstellt und ebensowenig können zwei Menschen wie zwei Flüssigkeitstropfen zu einem Individuum zusammenfließen.

Bei niederen Organismen lassen sich allerdings, wie man später fand, solche Teilungs- und Kopulationsvorgänge tatsächlich beobachten, man hält solche dementsprechend nicht mehr für Individuen und folgerichtig ist auch die Vorstellung, Kristalle seien Individuen, heute nur noch vereinzelt anzutreffen. Insbesondere hat auch die ausgezeichnete Spalt-

---

1) Damit ist insbesondere gemeint die Fähigkeit in wirbelnde Strömung zu geraten bei gleichbleibender äußerer Gestalt.

2) Da auch Gase fließen können, spricht man von „tropfbaren“ und „gasförmigen“ Flüssigkeiten.

barkeit mancher Kristalle (Kalkspat, Steinsalz etc.) zu der Annahme geführt, die Kristalle hätten nicht wie Organismen im Zentrum und in den peripherischen Schichten verschiedene Struktur, sondern seien *regelmäßige Molekularaggregate*, welche Auffassung als bewiesen gelten kann, wenn man überhaupt die Existenz von Molekülen zugibt. Auch derjenige, welcher die Existenz von Molekülen bezweifelt, kann übrigens ohne Bedenken von jener Annahme Gebrauch machen, da die Behauptung, die Kristalle verhalten sich so „*als ob*“ sie aus Molekülen beständen, lediglich eine Tatsache ausdrückt und nichts Hypothetisches enthält und er *muß* sogar diese Annahme in zahlreichen Fällen seinen Betrachtungen zu Grunde legen, da sich gewisse Erscheinungen, z. B. die Identität der Lösungen von Mischkristallen mit Mischungen der Lösungen ihrer Komponenten, nur auf Grund derselben beschreiben lassen, insofern anderweitige Beschreibung die Aufstellung *unendlich vieler neuer Bezeichnungen* nötig machen würde, was praktisch undurchführbar ist.<sup>1)</sup>

Auch vom Standpunkte der Molekulartheorie ergibt sich nun aber die Unmöglichkeit plastischer Veränderungen bei Kristallen auf Grund zweier Tatsachen, der Erscheinungen der *Polymorphie* (Mitscherlich) und der *Amorphie* (Fuchs).

Die Polymorphie, welche zuerst bei Quecksilberjodid und Schwefel beobachtet wurde, lehrt, daß für denselben Stoff, d. h. für dieselben Moleküle zwei oder mehr verschiedene Kristallformen, d. h. *verschiedene Molekularstrukturen* (Raumgitter, regelmäßige Punktsysteme) möglich sind, daß ein Umklappen aus der einen Gleichgewichtslage der Moleküle in die andere hervorgerufen werden kann (z. B. durch Temperaturänderungen) und daß durch die Art der Aggregation der Moleküle die physikalischen Eigenschaften, z. B. Härte, Elastizität, Farbe, Brechungsexponent, ganz besonders aber auch die Löslichkeit und der Schmelzpunkt in hohem Maße beeinflußt werden. So zeigt sich namentlich, wie ich durch Beobachtung bei zahl-

---

1) Von denjenigen, welche die Molekulartheorie ausschließen wollen unter Bezugnahme darauf, daß die Physik lediglich eine *exakte Beschreibung* zu geben habe, wird dieser Umstand nicht berücksichtigt. Solange dies nicht geschieht, haben Einwendungen gegen die Molekulartheorie keine Bedeutung.

reichen Stoffen gefunden habe, daß stets der stabileren Modifikation *geringere Löslichkeit* und höherer Schmelzpunkt zukommt.

Die Amorphie, welche bei den meisten Stoffen zu beobachten ist, z. B. bei Zucker, welcher als Kandiszucker kristallisiert auftritt, in den aus geschmolzenem Zucker hergestellten Waren der Konditoreien als amorpher Zucker, lehrt, daß dieselben Moleküle, welche im Kristall regelmäßig angeordnet sind, sich unter geeigneten Bedingungen auch völlig *regellos* zusammenlagern können, wie aus der vollkommenen Isotropie der amorphen Körper in Bezug auf alle Eigenschaften zu schließen ist. Daß die Moleküle dieselben sind, schließt man wie bei der Polymorphie aus der Übereinstimmung des chemischen Verhaltens, des Molekulargewichtes und namentlich auch aus der Leichtigkeit der Umwandlung in die kristallisierte Modifikation (Entglasung), welche in manchen Fällen (besonders unter Vermittelung von Feuchtigkeit) sich nach und nach von selbst vollzieht.

Ebenso wie im Falle der Polymorphie erweist sich die Art der Aggregation der Moleküle von außerordentlich großem Einfluß auf die physikalischen Eigenschaften. Die amorphen Modifikationen sind stets weniger dicht und hart, haben geringere Lichtbrechung und zeigen, wie ich durch Beobachtung zahlreicher Präparate gefunden habe, im Gegensatz zu den kristallisierten überhaupt keine reversible Löslichkeit<sup>1)</sup>, d. h. besitzen *keinen Sättigungspunkt* und analog keinen bestimmten Schmelzpunkt.

Daß die Art der Aggregation der Moleküle die Eigenschaften in so hohem Maße beeinflussen kann, erscheint in guter Übereinstimmung mit der aus alten Zeiten stammenden Auffassung, daß die sogenannten *drei Aggregatzustände* eines Körpers, z. B. Eis, Wasser, und Dampf, deren physikalische Eigenschaften sehr erheblich voneinander abweichen, lediglich durch die Art der Aggregation der Moleküle voneinander verschieden sind.

Wäre also wahre plastische Deformation eines Kristalles, d. h. „Fließen“ desselben möglich, so müßte man, da hierbei

---

1) Von verschiedenen Seiten wurde diese Tatsache bestritten, indes ist bis jetzt kein zweifellos amorpher Körper genannt worden, für welche sie nicht zutrifft.

unausbleiblich die Art der Aggregation der Moleküle geändert wird, entsprechende Änderung der physikalischen Eigenschaften erwarten, insbesondere deutliche Änderung von Löslichkeit und Schmelzpunkt wie bei Umwandlung polymorpher Modifikationen oder bei Entglasung amorpher Körper. Bis jetzt ist eine solche Änderung der Eigenschaften in keinem einzigen Falle beobachtet worden, man schließt also mit Recht, daß *wahre* Plastizität bei Kristallen unmöglich ist <sup>1)</sup>, sowie daß in Fällen, wo Kristalle anscheinend plastische Veränderungen zulassen, lediglich *scheinbare* Plastizität vorliege, beruhend auf fortgesetzter Zertrümmerung und Wiederverschweißung der Trümmer, wobei aber jedes Fragment seine Molekularstruktur und demgemäß auch seine Eigenschaften völlig unverändert beibehält.

In diesem Sinne suchte man namentlich früher die Gletscherbewegung zu deuten, welche später insbesondere nach dem Vorgang von Tyndall und Helmholtz als Wirkung der Regelation aufgefaßt wurde. Die Versuche Trescas über das Fließen von Blei unter hohem Druck bei gewöhnlicher Temperatur schienen Aufklärung zu finden durch die Versuche Springs über das Verschweißen feiner Pulver unter starkem Druck, welche außerdem darauf hinzuweisen schienen, daß unter hohem Druck in allen Fällen eine Art Verflüssigung eintrete (Poynting), was aber den neuesten Versuchen Tammanns zufolge nicht zutrifft. <sup>2)</sup>

Verständlicher werden solche Fälle plastischer Deformation von Kristallen, bei welchen Regelation ausgeschlossen ist, durch Reuschs Entdeckung der *Translation längs Gleitflächen* und der *künstlichen Zwillingsbildung durch Druck*. Bei diesen Vorgängen wird, wie insbesondere die Versuche von O. Mügge über die Fähigkeit der deformierten Kristalle in Lösungen zu normalen Kristallen bez. Zwillingen auszuheilen erwiesen haben, die Molekularstruktur durch die Deformation nicht gestört, somit kann auch eine Änderung der physikalischen Eigenschaften nicht erwartet werden.

---

1) Bei amorphen Körpern, d. h. regellosen Molekularaggregaten ist eine Änderung der Eigenschaften durch Deformation (anscheinend) nicht zu erwarten.

2) N. Werigin, L. Lewkojeff, u. G. Tammann, Ann. d. Phys. 10. p. 647. 1903.



Berücksichtigt man noch Hagenbachs Entdeckung der *Transkristallisation*, d. h. der Erscheinung, daß zwei Kristalle, welche in paralleler Stellung miteinander verschweißen, sehr fest aneinander haften und sich wie *ein* Individuum verhalten, während dagegen in anderer Stellung verschweißte Kristalle leicht wieder auseinanderbrechen, so kann man wohl verstehen, daß beim scheinbaren Fließen einer kristallinen Masse, wie bei den Versuchen Trescas und bei der Gletscherbewegung, die Trümmer nicht unendlich klein werden, weil sie durch Anschweißen parallel gestellter Fragmente fortwährend auch wieder wachsen und zwar so, daß Struktur und somit Eigenschaften ungeändert bleiben.

Man könnte also hiernach sagen: „wahre Plastizität der Kristalle ist aus den angegebenen theoretischen Gründen unmöglich und bisher in keinem Falle experimentell nachgewiesen. Selbst die Gletscherbewegung und die Versuche Trescas beweisen nicht, daß eine Änderung der Kristallstruktur möglich ist durch wahres Fließen der Masse, wobei sich die kleinsten Teile dem Verlauf der hydrodynamischen Strömungslinien entsprechend wenden und drehen müßten wie bei Wirbelbewegung in Flüssigkeiten“.

Zu dem Ergebnis, daß dennoch wahre Plastizität der Kristalle existieren müsse, führte mich zuerst eine gelegentliche Beobachtung bei Gips im Jahre 1872, welcher bald ähnliche folgten bei salpetersaurem Ammoniak, Phosphor, Wachs, Paraffin etc., die ich in einzelnen Kristallindividuen aus Lösungen zu züchten versuchte, wobei sich ergab, daß bleibende Biegung eines Kristalles mit entsprechender Änderung seiner optischen Struktur und der Fähigkeit zu wachsen möglich ist, und zwar ohne Auftreten von Rissen oder jener Trübung, welche eine innere Zertrümmerung anzuzeigen pflegt.

Das erste Beispiel einer kristallinen Masse, welche so hohe Plastizität zeigt, daß sie früher allgemein, auch von mir selbst, für wirklich flüssig gehalten worden war, fand ich in der regulären Modifikation des *Jodsilbers*, welche sich aus der gewöhnlichen hexagonalen beim Erhitzen über  $146^{\circ}$  bildet und bei  $450^{\circ}$  in die wirklich flüssige übergeht.<sup>1)</sup> Sie tritt beim

1) O. Lehmann, Zeitschr. f. Krist. 1. p. 120. 492. 1877.



Abkühlen der Schmelze unter  $450^{\circ}$  in Form zierlicher Kristallskelette mit gerundeten Kanten und Ecken auf, deren Gestalt an die der bekannten Salmiakskelette erinnert. Hätte ich mich an die bestehende Auffassung, daß der Aggregatzustand dieser Masse als flüssig zu bezeichnen sei, gehalten, so läge hier das *erste Beispiel flüssiger Kristalle* vor. Ich habe dies indes nicht getan, einesteils weil ich damals noch in dem Vorurteil befangen war, daß ein Kristall unmöglich flüssig sein könne, daß wirkliches Fließen unverträglich sei mit regelmäßiger Molekularstruktur, und zwar deshalb, weil Flüssigkeiten keine Elastizität besitzen, somit keine Kraft vorhanden ist, welche die regelmäßige Anordnung der Moleküle aufrecht erhalten könnte; anderenteils, weil die polyedrischen Umrisse der Kristalle einen direkten Beweis darstellten, daß der Masse tatsächlich Elastizität zukomme, daß sie somit nicht zu den Flüssigkeiten gerechnet werden könne, welche, eben weil sie keine *permanente*<sup>1)</sup> Elastizität besitzen, unter ähnlichen Umständen durch die Oberflächenspannung zu Tropfen abgerundet werden.

Gleiches gilt von einem anderen, sich ähnlich verhaltenden<sup>2)</sup> Präparat, welches mir später von Hrn. Reinitzer<sup>3)</sup> zur Untersuchung zugesandt wurde, dem Cholesterylbenzoat. Ebenso wie das hexagonal kristallisierende Jodsilber beim Erhitzen plötzlich in die weiche regulär kristallinische Modifikation übergeht und diese dann bei noch weiterem Erhitzen in die wirklich flüssige, geht auch das feste Cholesterylbenzoat beim Erhitzen plötzlich in eine weich kristallinische über und bei noch weiterem Erhitzen schmilzt diese. Freilich ist der Ausdruck „schmelzen“ hier nicht besonders gut angebracht, weil die weich kristallinische so weich ist, daß sich ihre Konsistenz nur wenig von der des Olivenöls unterscheidet, so daß man ver-

---

1) Die Flüssigkeiten besitzen wohl *temporäre* Elastizität, die aber bei Bestimmung der Elastizitätsgrenze nicht in Betracht kommt, ebenso wenig wie die Volumenelastizität, die auch den Gasen zukommt.

2) In meiner ersten Abhandlung über fließende Kristalle ist auf diese Ähnlichkeit ausdrücklich hingewiesen (Zeitschr. f. phys. Chem. 4. p. 471. 1889).

3) F. Reinitzer, Sitzungsber. d. k. Akad. d. Wissensch. z. Wien 97. p. 167. 1888.

sucht sein könnte den Aggregatzustand bereits als flüssig zu bezeichnen, eine Flüssigkeit aber nicht schmelzen kann.

Meines Erachtens ist die Annahme des flüssigen Aggregatzustandes indes durchaus unzulässig, da vereinzelte Kristalle, wie sie sich durch Zufügung einer geringen Menge eines Lösungsmittels (z. B. von Kolophonium) erhalten lassen, sich keineswegs wie Flüssigkeitstropfen zu vollkommenen Kugeln abrunden, sondern ellipsoidische Formen annehmen mit deutlichen Spitzen, welche an die polyedrische Gestalt fester Kristalle erinnern.

Der Umstand, daß sich diese überaus weichen Kristalle nur bei Temperaturen bilden und halten, welche zwischen den Temperaturbereichen liegen, in welchen die Substanz unzweifelhaft fest bez. flüssig ist, hat zu der irrigen Auffassung Anlaß gegeben, es handle sich hier um einen *vierten* Aggregatzustand, welcher eine Zwischenstufe zwischen dem festen und flüssigen darstelle. Dieser Irrtum entspringt aus der anderen seit alten Zeiten üblichen, noch immer in allen Lehrbüchern vorgetragenen Anschauung, daß jeder Körper in *drei* Aggregatzuständen auftreten müsse, nach welcher allerdings eine neue Modifikation, die zwischen dem festen und flüssigen Zustand auftritt, als vierter Aggregatzustand zu bezeichnen wäre. Dabei bleibt aber ganz unberücksichtigt, daß ich früher z. B. beim salpetersauren Ammoniak nachgewiesen habe, daß dasselbe in *vier festen* kristallinen Modifikationen auftritt, welche in dem Maße weicher sind als das Temperaturgebiet, innerhalb dessen sie stabil sind, dem Schmelzpunkt näher liegt, daß die Stoffe, welche in flüssigen Kristallen auftreten, sicher in *zwei flüssigen* Modifikationen existieren etc., daß somit die Zahl der Modifikationen, in welcher eine Substanz auftritt, keineswegs identisch ist mit der Zahl der Aggregatzustände, daß eine Substanz mehrere feste, mehrere flüssige und mehrere gasförmige Modifikationen haben kann, von welchen jede mit steigender Temperatur bei bestimmter Umwandlungstemperatur sich in die nächstfolgende, bei höherer Temperatur stabile umwandelt und bei Abkühlung sich aus dieser wieder zurückbildet.

Wenn ich trotz der großen Ähnlichkeit im Verhalten des Jodsilbers und des Cholesterylbenzoats anfänglich Bedenken

getragen habe, die fließend kristallinische Modifikation des letzteren als eine einheitliche enantiotrope Modifikation aufzufassen, wie das weich kristallinische reguläre Jodsilber, wenn ich vielmehr zunächst <sup>1)</sup> an eine breiartige Mischung oder Emulsion zweier verschiedener Substanzen dachte, die sich durch Dissoziation, wie z. B. beim Zerfall wasserhaltiger Kristalle, bilden, so war der Grund einesteils das Auftreten der eigentümlichen *Trübung*, anderenteils das Auftreten jener merkwürdigen optischen Erscheinungen, welche von Reinitzer als „*ölige Streifen*“ bezeichnet wurden und welche beide bei Jodsilber fehlten. Erst die sorgfältige weitere Untersuchung unter Anwendung der stärksten Vergrößerungen (Ölimmersion) ergab, daß diese Bedenken durchaus grundlos waren. *Trübung* zeigt sich ganz allgemein bei plastischer Deformation fester Kristalle und wurde wohl zuerst von Helmholtz <sup>2)</sup> bei Pressung von Eis beobachtet, später von Kick, J. Lehmann, Rinne u. a. in verschiedenen anderen Fällen, in welchen stets die Bildung lufthaltiger Sprünge ausgeschlossen war. Sie beruht auf der Brechung des Lichtes an den Grenzen verschieden orientierter Partien der Substanz und kann selbstverständlich bei reinen isotropen Substanzen wie Jodsilber, bei welchen der Brechungsexponent nicht von der Richtung abhängt, nicht auftreten. <sup>3)</sup>

Die andere erwähnte sonderbare Erscheinung, die Entstehung der „*ölichen Streifen*“ beruht auf einer bisher noch nicht bekannten Wirkung von Zug- und Druckkräften auf die Orientierung anisotroper Moleküle und kann deshalb ebenfalls nicht auftreten bei Substanzen, welche sich optisch isotrop verhalten wie die reguläre Modifikation des Jodsilbers. Ich schlage vor, diesen eigentümlichen Effekt *Homöotropie*, d. h. Gleichrichtung (der Moleküle), zu nennen.

#### 1. Homöotropie.

Die Untersuchungen bei Cholesterylbenzoat vermochten die Entstehung der „*ölichen Streifen*“ nicht völlig aufzuklären,

1) Vgl. O. Lehmann, *Molekularphysik* 2. p. 592. 1889.

2) H. v. Helmholtz, *Vorträge und Reden* 1. p. 223. 1865.

3) Durch Pressung eines klaren Steinsalzkrystalles in einer starken Presse erhielt ich dementsprechend eine in der Mitte, wo Luft nicht Zutreten konnte, völlig klar durchsichtige Platte; vgl. auch G. Tammann, *Ann. d. Phys.* 8. p. 105. 1902; R. Schenck, *Ann. d. Phys.* 9. p. 1053, 1902.

da es zu schwierig ist größere einzelne Kristalle der fließend-kristallinen Modifikation dieser Substanz herzustellen und in ihrem Verhalten bei Einwirkung von Zug- und Druckkräften zu studieren.

Erst die Auffindung äußerst weicher Kristalle bei ölsaurem Ammoniak, welche bei gewöhnlicher Temperatur beständig sind, führte zur Lösung dieser Aufgabe. Schon die gewöhnliche Modifikation des Ammoniumoleats, welche etwa die Konsistenz von weichem Wachs besitzt, und entsteht, wenn man in Salmiakgeist so viel Ölsäure einrührt, bis der Ammoniakgeruch verschwindet, läßt das Auftreten von Homöotropie deutlich erkennen.

Bringt man eine kleine Menge der Substanz unter einem an den Rändern aufgebogenen (flachuhrglasförmigen) Deckglas bei gekreuzten Nicols unter das Mikroskop und schiebt nun das Deckglas hin und her, so erhalten nach und nach immer größere Teile des Präparates einheitliche Auslöschung und man kann leicht bewirken, daß die ganze Masse, abgesehen von einer schwachen Streifung, welche auf faserige Struktur hinweist, in der entsprechenden Stellung dunkel wird. Man erhält den Eindruck, die Moleküle verhielten sich unter der Einwirkung von Zug- und Druckkräften ganz ebenso wie ein Haufen loser oder durch eine zähe Flüssigkeit verklebter Stäbchen (z. B. Drahtstifte), welche bekanntlich aus leicht zu übersehenden Gründen, wenn man sie zwischen zwei Platten hin- und herwälzt, nach und nach sämtlich parallele Stellung annehmen, und zwar so, daß ihre Längsrichtung senkrecht zur Krafrichtung steht. Jedenfalls beweist das Auftreten einheitlicher, zur Krafrichtung in Beziehung stehender dauernder Auslöschung in der deformierten Masse, daß eine Parallelrichtung der Moleküle stattgefunden hat, und man kann sich leicht durch Zugabe eines Lösungsmittels (z. B. Alkohol) schwaches Erwärmen und Wiedererkaltenlassen davon überzeugen, daß ein Stück der auf diesem Wege optisch einheitlich gewordenen Masse sich wie ein normaler Kristall verhält, d. h. einen Sättigungspunkt besitzt wie dieser, und die Fähigkeit, unter Beibehaltung der einheitlichen Struktur weiter zu wachsen.<sup>1)</sup>

---

1) Möglicherweise beruht hierauf auch die Erhöhung der Plastizität durch Kneten und allgemein die Zunahme der Plastizität mit der defor-



Noch weit schöner zeigt sich die Erscheinung bei der fließend-kristallinen Modifikation des ölsauren Ammoniaks, welche man erhält, wenn man mit etwas Alkohol verdünnte Ölsäure vorsichtig in Salmiakgeist einrührt, bis die Masse eine weiche, sirupartige Konsistenz hat.<sup>1)</sup>

Der Zusatz von Alkohol ist nicht unbedingt nötig, erleichtert aber die Bildung der sirupartigen Modifikation. Diese läßt sich ähnlich wie Honig aus einer Flasche ausgießen, doch erscheint die Oberfläche nicht glänzend spiegelnd und das Innere nicht klar wie bei Honig, sondern trüb, wie bei anderen fließenden Kristallen.

Dünne Schichten dieser Substanz kann man leicht durch Hin- und Herschieben des Deckglases so deformieren, daß sie in ihrer ganzen Ausdehnung (abgesehen von den durch die Faserstruktur bedingten geringen Abweichungen) einheitliche Auslöschung annehmen.

Ist die Masse relativ dick und keine Lösung zugegen, so kann sich die künstlich hergestellte einheitliche Struktur lange Zeit erhalten; dünne Schichten aber, welche nicht an den Glasflächen anhaften, sondern durch zwischengelagerte Lösung davon getrennt sind, bekommen bald da, bald dort Löcher, ähnlich etwa wie eine dünne, auf Wasser ausgebreitete Ölschicht, welche infolge der Oberflächenspannung das Bestreben zeigt, sich in vereinzelte Tropfen zusammen zu ziehen.

Auch bei den kristallinen Lamellen ist jedenfalls die Oberflächenspannung die Ursache der Löcherbildung, durch die Kontraktion entstehen aber keine Tropfen, sondern Kristalle von polyedrischer, wenn auch nicht gerade sehr regelmäßiger Form, wohl aber mit einheitlicher Auslöschung. Bei Präparaten von mäßiger Dicke wird die Auflösung in getrennte Kristalle

---

mierenden Kraft (vgl. G. Tammann, Ann. d. Phys. 7. p. 224. 1902), denn parallel gerichtete Moleküle werden leichter übereinander hin gleiten als verschieden orientierte, ebenso wie z. B. ein Möbel mit parallel gestellten Rollen sich leichter verschieben läßt als ein solches mit gegeneinander verdrehten Rollen.

1) Von der chemischen Fabrik E. Merck in Darmstadt erhielt ich unter der Bezeichnung „ölsaures Ammoniak“ bald diese sirupartige Modifikation, bald auch eine solche, welche noch konsistenter ist als die erst erwähnte.



nicht völlig erreicht, diese bleiben vielmehr da und dort im Zusammenhang, es entstehen *netzartige* kristallinische Massen.

Insofern in derartigen Fällen die Parallelrichtung der Moleküle unter Einwirkung eines äußeren Zwanges erfolgt, kann man sie als *erzwungene Homöotropie* bezeichnen.

Es ist leicht einzusehen, daß außer dieser auch eine andere, als *spontane Homöotropie* zu bezeichnende ähnliche Wirkung zu beobachten sein muß, welche nicht durch äußere Kräfte veranlaßt wird, sondern diejenigen, welche der Substanz eigentümlich sind, die Oberflächenspannung und die Stoßwirkungen infolge der Wärmebewegung. Die Vorstellung, welche man sich gewöhnlich von der Heftigkeit dieser Wärmebewegung macht, läßt erwarten, daß ein durch Strömung in Unordnung gebrachtes kristallinisches Molekularaggregat außerordentlich rasch infolge spontaner Homöotropie seine normale Struktur wieder annehmen werde. In Wirklichkeit kann man wohl eine solche Tendenz erkennen, die Umbildung vollzieht sich aber mit großer Langsamkeit und nur wenn etwa durch mechanische Zerrung bereits eine bestimmte Richtung vor anderen bevorzugt ist. Augenscheinlich beruht der Grund darin, daß bei unregelmäßiger Zusammenlagerung von Molekülen jede Richtung mit jeder anderen gleichwertig ist, so daß gar nicht angegeben werden könnte, welcher derselben die Moleküle sich parallel stellen sollen.

Anders verhält sich die Sache, wenn wie bei freischwebenden isolierten Kristallen bereits die Hauptmasse der Moleküle geordnet ist. Deformiert man einen solchen Kristall etwa durch stoßweise Bewegung der Flüssigkeit, Andrücken gegen eine Luftblase und dergleichen und überläßt ihn dann wieder sich selbst, so kommt die spontane Homöotropie in auffälliger Weise zur Geltung, insofern er sehr rasch wieder seine frühere normale Struktur d. h. einheitliche Auslöschung annimmt, sowie auch normale Form, abgesehen davon, daß die Kanten und Ecken, augenscheinlich infolge der Wirkung der Oberflächenspannung, gerundet bleiben. Noch auffälliger zeigt sich die Wirkung beim Zusammenfließen zweier nicht parallel gerichteter Kristalle, da dann die Richtung der Moleküle des größeren hauptsächlich die resultierende Molekülrichtung des durch die Kopulation entstehenden einheitlichen Kristalles bestimmt.

## 2. Das Zusammenfließen.

Oben wurde erwähnt, daß die weich kristallinen Modifikationen von Jodsilber und Cholesterylbenzoat sich durchaus ähnlich verhalten und daß beide, wie die polyedrische Form der Kristalle beweist, eine merkliche Elastizitätsgrenze besitzen, somit nicht als „flüssige“ Kristalle bezeichnet werden können, sondern zu den festen gerechnet werden müssen. In einem Punkte zeigt sich indes eine wesentliche Verschiedenheit. Bringt man nämlich zwei freischwebende Kristalle von Cholesterylbenzoat oder besser von ölsaurem Ammoniak an einem Punkte in Berührung, so geschieht dasselbe, wie wenn zwei freischwebende Öltropfen in Kontakt gebracht werden: *sie fließen zu einem optisch einheitlichen und völlig symmetrisch gestalteten Individuum zusammen*, während weiche Jodsilberkristalle allenfalls aneinander adhärieren, aber nicht zusammenfließen. Solche weiche Kristalle nun, welche von selbst, d. h. lediglich infolge der Wirkung der Oberflächenspannung zusammenfließen, wenn sie in Kontakt kommen, habe ich „*fließende*“ genannt. Das reguläre Jodsilber gehört also trotz seiner an den Flüssigkeitszustand heranreichenden Weichheit nicht zu den fließenden Kristallen; die Oberflächenspannung ist nicht im stande, die Elastizität zu überwinden. Ganz geschieht dies allerdings auch nicht bei den fließenden Kristallen, denn sonst könnten diese keine polyedrische Form zeigen, sondern müßten zu vollkommen kugelförmigen Tropfen zusammengedrückt werden, wie dies bei verschiedenen anderen Substanzen, z. B. Azoxyphenetol, Azoxyanisol, Azophenetol, Methoxyzimtsäure u. a. tatsächlich beobachtet wurde. Die letzteren weichen Kristalle sind deshalb der Definition des Flüssigkeitszustandes gemäß als wirklich „*flüssige*“ Kristalle zu bezeichnen und wohl zu unterscheiden von den fließenden. Ich hebe dies deshalb besonders hervor, weil in manchen Berichten die beiden Worte in gleichem Sinne gebraucht werden, was natürlich zu Mißverständnissen Anlaß geben kann.

Außer dem Benzoat des Cholesterins besitzen, wie schon früher mitgeteilt wurde, auch das Acetat des Cholesterins, sowie des Benzoat des Hydrocarotins und das Oleat des Kaliums fließend kristallinische Modifikationen. Neuerdings habe ich

solche auch aufgefunden bei dem Propionat und dem Oleat des Cholesterins, welche ich Hrn. Prof. Scholl in Karlsruhe verdanke, ferner bei den Oleaten von Natrium, Methyl-, Dimethyl- und Trimethylamin. Die Erscheinungen sind in allen Fällen übereinstimmend, so daß nähere Beschreibung unnötig erscheint.

Das schönste Beispiel fließender Kristalle wurde in neuester Zeit von Hrn. Prof. Vorländer in Halle in dem *p-Azoxylbenzoesäureäthylester* aufgefunden.<sup>1)</sup> Vor den der anderen genannten Präparate haben die zwischen 113,5° und 120,5° beständigen fließenden Krystalle dieser Substanz den großen Vorzug, daß ihr Brechungsexponent von dem der isotrop flüssigen Modifikation oder der Lösungen beträchtlich verschieden ist, so daß sie sehr scharf und klar auf dem hellen Hintergrund des Gesichtsfeldes hervortreten, während in den meisten anderen Fällen Beobachtung zwischen gekreuzten Nicols oder Zusatz löslicher Farbstoffe erforderlich ist, um die Kristalle überhaupt zur Wahrnehmung zu bringen. Hr. Vorländer hatte die Freundlichkeit, mir das Präparat zur Untersuchung zuzusenden und ich gebe im folgenden hauptsächlich eine Zusammenstellung der an diesem Präparate gemachten Beobachtungen.

Die Oberflächenspannung an der Grenze der fließenden Kristalle gegen die isotrope Schmelze ist weitaus größer als bei den anderen genannten Präparaten, das Zusammenfließen der Kristalle vollzieht sich daher mit weit größerer Geschwindigkeit, gewöhnlich so rasch, daß es kaum möglich ist mit dem Auge zu folgen und hier ein Fall vorliegt, der die bis in die neueste Zeit vorhandenen Zweifel, ob auch festen Körpern eine Oberflächenspannung zukomme, endgültig beseitigen dürfte. Bei reinen Präparaten und solchen, denen nur sehr wenig Kolophonium beigemischt ist, scheiden sich die Kristalle natürlich dicht nebeneinander aus, so daß die Gelegenheiten zu gegenseitiger Berührung außerordentlich häufig sind. In solchem Fall scheint sich deshalb die Grenze der fließend kristallinen Modifikation beständig in zuckender Bewegung zu befinden, da bald da, bald dort ein neugebildeter Kristall plötzlich mit der übrigen Masse zusammenfließt. Wer

---

1) Vgl. R. Schenck, Ann. d. Phys. 9. p. 1060. 1902.

in solchen Beobachtungen wenig geübt ist, vermag sich anfangs die merkwürdigen Bewegungsvorgänge kaum zu deuten; bei längerer Beobachtung hat man indes nicht selten Gelegenheit, tadellos ausgebildete vereinzelte Kristalle in Form langer, gerader, dünner Nadeln mit blitzartiger Geschwindigkeit bald da, bald dort in der Flüssigkeit hervorschießen zu sehen, welche ebenso schnell wieder verschwinden, indem sie beim Auftreffen auf eine größere Masse sofort mit dieser zusammenfließen. Diese Nadeln sind optisch einachsigt und sind augenscheinlich Kombinationen eines tetragonalen Prismas mit der

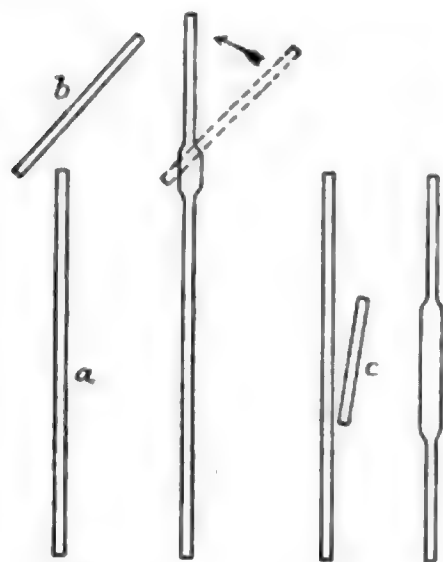


Fig. 1.

Fig. 2.

Basis. Trifft eine wachsende Nadel  $a$  auf eine zweite schräg dazu liegende  $b$ , wie Fig. 1 zeigt, so dreht sich die letztere, welche allein beweglich sein möge, sofort beim Zusammentreffen in der Richtung des Pfeiles, bis sie der anderen parallel geworden und mit ihr zu einem einheitlichen Kristall zusammengeflossen ist. Trotz des Widerstandes, den die Flüssigkeit bietet, erfolgt die Drehung mit solcher Schnelligkeit, daß das Auge dem Vorgang kaum zu folgen vermag

und selbst mit sehr kurzer Expositionszeit hergestellte Momentphotographien nur unscharfe Abbildungen liefern. Natürlich sind im allgemeinen beide Kristalle in gleicher Weise beweglich, da sie frei in der Flüssigkeit schwimmen, sie geraten also beide in Bewegung. Ein seitlich heranschwimmender Kristall  $c$  (Fig. 2) von geringerer Länge wird im Momente der Berührung sofort in parallele Stellung gedreht und vollständig aufgenommen, so daß die Nadel an der betreffenden Stelle eine entsprechende Verdickung erhält. Werden der Reihe nach eine Menge kleinerer Kristalle aufgenommen, so erhält die Nadel ebenso viele Anschwellungen, und da sich diese symmetrisch um die Achse gestalten, gehen hierdurch Bildungen hervor, welche lebhaft an gedrechselte Säulchen, Kegel, Puppen und dergleichen erinnern. Alle diese merkwürdig gestalteten Gebilde sind infolge des Zusammenfließens bei sinkender Temperatur beständig in lebhaftester Bewegung, man könnte von einer Art



Puppentanz sprechen, und der Anblick ist oft derart drollig, daß man unwillkürlich zum Lachen gereizt wird und die Gebilde für belebt ansehen möchte. Schließlich ist das ganze Gesichtsfeld mit eng aneinander gereihten, zu netz- oder mosaikartig gestalteten Mustern vereinigten Kristallen erfüllt, von welchen im polarisierten Licht wegen der dichroitischen Eigenschaften einzelne weiß, andere gelb erscheinen und beim Drehen zwischen gekreuzten Nicols diejenigen, deren optische Achse nicht zufällig in die Sehrichtung fällt, in bekannter Weise viermal hell und dunkel werden. Bei Präparaten, die längere Zeit erhitzt wurden, speziell im Brennpunkt der Strahlen einer elektrischen Lampe, wo nicht nur Wärme, sondern auch Licht einwirken, vollzieht sich das Zusammenfließen mit geringerer Geschwindigkeit, jedenfalls infolge der Anwesenheit einer durch Zersetzung oder Umlagerung entstandenen Verunreinigung. Solche Präparate eignen sich deshalb zur näheren Untersuchung des Verlaufes der Erscheinung erheblich besser als ganz reine und neue.

Wird ein ganz reines Präparat zwischen sorgfältig gereinigten Glasplatten geschmolzen, so daß die bei der Erstarrung sich bildenden Kristalle sich unmittelbar den Glasflächen anlegen, ohne daß eine, wenn auch nur sehr dünne Schicht einer Verunreinigung dazwischen treten kann, so beobachtet man sehr auffällig eine Erscheinung, die ich zuerst bei *p*-Azoxyphenetol wahrgenommen hatte. Beim Übergang in die fließend kristallinische Modifikation infolge von vorsichtigem Erwärmen bleiben nämlich, zwischen gekreuzten Nicols betrachtet, die Umrisse der vorhandenen Kristalle erhalten und die durch sie begrenzten Felder zeigen einheitliche Auslöschung und bei Anwendung nur eines Nicols einheitlichen Dichroismus. Die Erscheinung ist offenbar dadurch bedingt, daß ganz ebenso wie in anderen Fällen enantiotroper Umwandlung, z. B. bei salpetersaurem Ammoniak, die Stellung der Moleküle der neu sich bildenden Modifikation gegenüber den früher vorhandenen eine gesetzmäßig bestimmte ist, und durch Adhäsion an den Glasflächen fixiert wird. Für die Beobachtung und Untersuchung des Verhaltens der flüssigen Kristalle gewährt diese Erscheinung den großen Vorteil, daß man hierdurch große Individuen mit einheitlicher Auslöschung gewinnen kann, was



namentlich zur näheren Untersuchung der später zu besprechenden Strukturstörungen von Wichtigkeit ist.

### 3. Zwillingsbildung.

Die Kraft, mit welcher die Parallelrichtung zweier schief zusammentreffender Individuen der fließend-kristallinen Modifikation des p-Azoxybenzoesäureäthylesters erfolgt, ist natürlich von der Größe des Neigungswinkels abhängig und um so kleiner, je mehr sich dieser einem rechten nähert, immer-

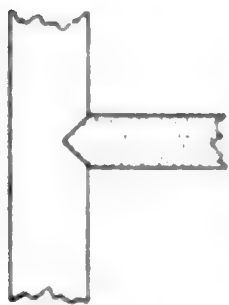


Fig. 3.

hin auch in diesem Falle noch so groß, daß die Parallelrichtung auch dann erfolgt, wenn die Abweichung von  $90^\circ$  kaum merklich ist. Treffen sich aber zwei Kristalle genau unter rechtem Winkel, so fließen sie zusammen ohne gleichzeitige Parallelrichtung, es entsteht also ein Zwilling oder Durchkreuzungszwilling. Erscheint in polarisiertem Lichte die eine Hälfte eines solchen Zwillings gelb, so erscheint die andere weiß, und umgekehrt. Die Vereinigungsstelle ist gewöhnlich, wie Fig. 3 andeutet, winkelförmig gestaltet.<sup>1)</sup>

Eigentümliche Störungen der Struktur, welche aller Wahrscheinlichkeit nach im Prinzip wohl ebenfalls auf der Bildung von Durchkreuzungszwillingen beruhen, treten stets da und dort in der Masse im übrigen homogener Kristalle auf, ohne daß sich ein besonderer Anlaß dazu erkennen ließe.

Bei Beobachtung in gewöhnlichem Licht erscheinen diese gestörten Stellen als graue Flecke in Gestalt eines länglichen Rhombus, dessen längere Diagonale der Längsrichtung der Kristalle parallel ist. Die Diagonalen sind als feine schwarze oder helle Linien deutlich ausgeprägt, liegen indes nicht in gleicher Ebene. Man kann zwei Fälle unterscheiden, je nachdem die kürzere (Querdiagonale) oder die längere (Längsdiagonale) die obere ist, welche als Störungen *A* und *B* bezeichnet werden mögen (Fig. 4 und 5).

Das Verhalten der Störungen *A* im polarisierten Licht wird durch die Figg. 6—11 dargestellt. Ist die Schwingungsrichtung des Lichtes der Längsrichtung des Kristalles parallel,

1) Gelb ist in den Figuren durch Punktierung angedeutet.

wobei dieser gelb erscheint, so tritt die Störung als weißes Quadrat oder mehr oder minder gestreckter weißer Rhombus auf gelbem Grunde auf (Fig. 6). Man könnte hieraus schließen, daß in dem weißen Feld die Moleküle um  $90^\circ$  verdreht sind. Hiermit stimmen aber die Erscheinungen bei Auslöschung des Lichtes durch einen zum Polarisator gekreuzten Analysator nicht überein. In diesem Fall erscheint nämlich wohl die unveränderte Masse des Kristalles wie zu erwarten dunkel, der gestörte Fleck dagegen bleibt nach wie vor weiß (Fig. 7). Dreht man dagegen den Analysator um  $90^\circ$ , wobei die Masse

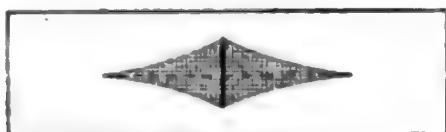


Fig. 4.

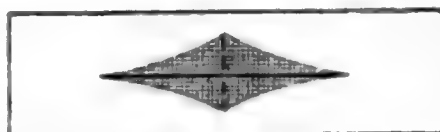


Fig. 5.



Fig. 6.

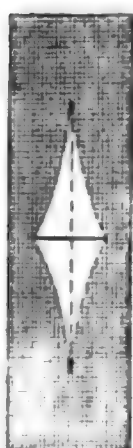


Fig. 7.



Fig. 8.

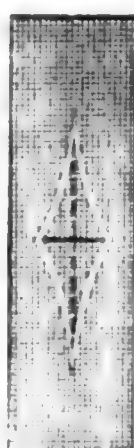


Fig. 9.



Fig. 10.



Fig. 11.

des Kristalles (bei genügender Dicke) gelb erscheint, so wird der Fleck schwarz, wie wenn im Gebiete des Fleckes Drehung der Polarisationssebene um  $90^\circ$  stattfände (Fig. 8). Daß indes auch diese Annahme nicht das Richtige trifft, erhellt daraus, daß wenn man nun den unteren Nicol entfernt, der schwarze Fleck auf gelbem Grunde unverändert bleibt. Die Schwärzung ist augenscheinlich nur die Folge starker Lichtbrechung. Hiermit stimmt überein, daß wenn man nun den Polarisator wieder einsetzt, aber gegen den Analysator um  $90^\circ$  gedreht, nun der ganze Kristall mit Ausnahme der Konturen des Fleckes dunkel erscheint (Fig. 9). Entfernt man nun den Analysator, so bleibt der schwarze Fleck bestehen, die übrige Kristallmasse aber

erscheint weiß, wie wenn das Präparat bei festgehaltenem Polarisator um  $90^\circ$  gedreht worden wäre (Fig. 10). Ebenso erscheint der Kristall, wenn man den Analysator wieder einsetzt, und zwar dem Polarisator parallel. Entfernt man nunmehr letzteren, so bleiben von dem ganzen Fleck nur die Diagonalen übrig (Fig. 11) und nichts verrät mehr, daß in der Nähe derselben eine Strukturstörung vorhanden ist.

Das Verhalten der *Störungen B* (bei welchen die lange Diagonale die obere ist) in polarisiertem Licht ist genau das umgekehrte wie das der Störung *A*, insofern die Erscheinungen, welche sich bei diesen unter Anwendung des Polarisators allein zeigen, hier bei Benutzung des oberen Nicols auftreten, und umgekehrt. Der Kristall erscheint somit wie Figg. 6 bez. 10, wenn nur der Analysator eingesetzt ist, und zwar so, daß die Schwingungsrichtung zur Längsrichtung des Kristalles parallel bez. senkrecht ist. Die Figg. 8 und 11 gelten unter gleichen Umständen für den Gebrauch des unteren Nicols. Ebenso sind die Figg. 7 und 9, welche für die Störungen *A* gelten, falls die Schwingungsrichtung des unteren bez. oberen Nicols der Längsrichtung der Kristalle parallel ist, für die Störungen *B* umzutauschen.

Eine völlige Aufklärung dieses eigentümlichen Verhaltens, welches in manchen Punkten übereinstimmt mit früher beschriebenen Beobachtungen bei fließenden Kristallen von ölsaurem Ammoniak und Cholesterylbenzoat, ist mir noch nicht gelungen, indes kann wohl als sicher angenommen werden, daß die Erscheinungen lediglich durch Zwillingsbildungen bedingt sind.

Strukturstörungen verwandter Art treten hervor, wenn das Präparat von unten erhitzt wird, wodurch wirbelartige Strömungen angeregt werden, einerseits infolge von Dichtedifferenzen, andererseits (und zwar hauptsächlich) infolge von Differenzen der Oberflächenspannung, da diese an den erhitzten Stellen jedenfalls wie bei gewöhnlichen Flüssigkeiten kleineren Wert annimmt.

Man sieht bei Beobachtung in gewöhnlichem Licht, falls die optische Achse des Präparates senkrecht zur Ebene steht, kreisrunde graue Flecke (Fig. 12) auftreten. Bei Betrachtung in polarisiertem Licht zerfallen sie in zwei weiße (farblose) und zwei schwarze (gelbe) Quadranten (Fig. 13), was auf

sphärolithische Struktur hinweist. Die Quadranten haben die in der Figur gezeichnete horizontale Lage, wenn die Schwingungsrichtung des Lichtes horizontal verläuft. Es ist gleichgültig ob lediglich unten oder oben, oder sowohl unten und oben ein Nicol benutzt wird. Bei Drehung des Präparates bleiben natürlich die dunklen Quadranten stehen, während sie bei Drehung des Nicols mitwandern, also senkrechte Lage ein-



Fig. 12. Fig. 13. Fig. 14. Fig. 15. Fig. 16.

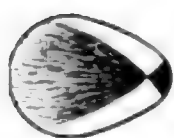


Fig. 17.



Fig. 18.



Fig. 19.

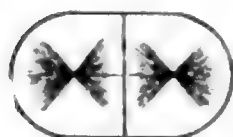


Fig. 20.



Fig. 21.



Fig. 22.



Fig. 23.



Fig. 24.



Fig. 25.



Fig. 26.



Fig. 27.

nehmen, wenn dessen Schwingungsrichtung senkrecht steht. Bei gekreuzten Nicols erscheint ein schwarzes Kreuz, wie bei gewöhnlichen Sphärokristallen (Fig. 14). Erhitzt man Schichten, welche nicht senkrecht zur optischen Achse stehen, namentlich solche, welche im polarisierten Licht stark ausgeprägten Dichroismus zeigen, so erscheinen die Störungsfiguren verzerrt, wie die Figg. 17, 18 und 19 andeuten. Durch Zusammen- treffen solcher verzerrter Figuren (Figg. 20 und 21), werden Störungen wie die zuerst beschriebenen erhalten und zwar

entsprechend der Fig. 10. In demselben Kristall können aber auch nach entgegengesetzter Richtung verzerrte Figuren hervortreten, welche die Eigenschaften der früher in Fig. 11 dargestellten Störungen haben. Sie erscheinen für die eine Schwingungsrichtung des Lichtes als scharfe runde Kreise mit dunklem Punkt in der Mitte (Fig. 15), bei Drehung um  $90^\circ$  als fast ganz dunkle Flecke (Fig. 16). Zwischen den Kreisen und Kreuzen (Fig. 11) zeigen sich alle möglichen Übergangsformen, wie solche in den Figg. 22—27 dargestellt sind. Durch

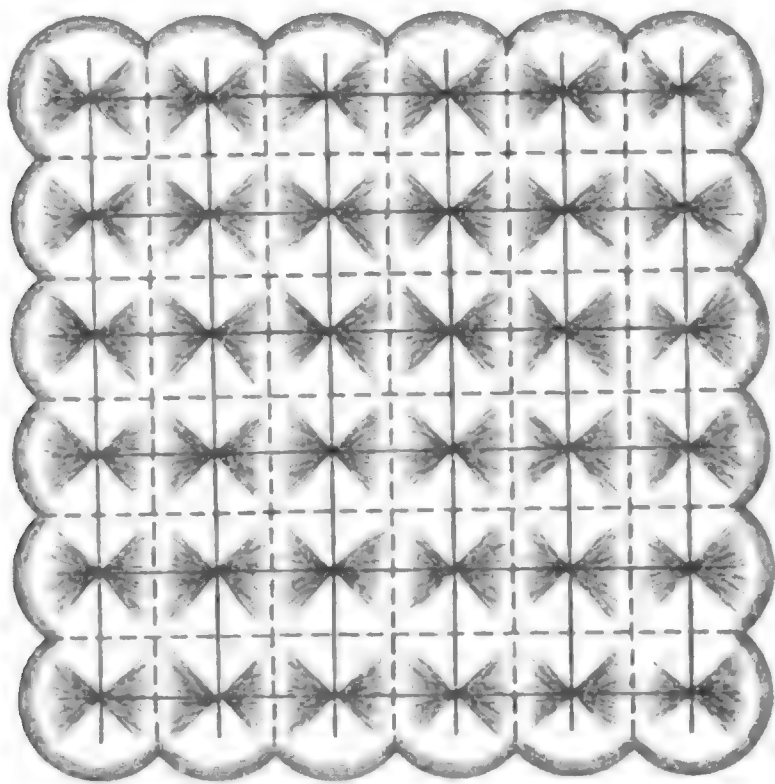


Fig. 28.

Aneinanderreihung von Figuren der ersten Art entstehen schachbrettartige Muster, wie ein solches Fig. 28 zeigt. Man sieht die in Quadrate umgestalteten dunklen gelben Rhombenfiguren mit weißen Quadraten abwechseln, in welchen sich das Kreuz der ungleich hochgelegenen Diagonalen zeigt. Dreht man Präparat oder Nicol um  $90^\circ$ , so verwandeln sich die dunklen gelben Felder in weiße, und umgekehrt.<sup>1)</sup>

Außer diesen mosaikartigen Mustern kommen noch ähnliche andere vor, die durch Aneinanderreihung der einfachen

1) Ich habe eine große Zahl von Photographien dieser Erscheinungen hergestellt, der Kosten halber können sie indes hier nicht beigelegt werden.



Kreuze (Fig. 11) entstehen (Fig. 29) und bei Drehung um  $90^\circ$  in schwarze Felder auf gelbem Grunde übergehen (Fig. 30). Diese erscheinen indes mehr als zufällige Aneinanderreihung

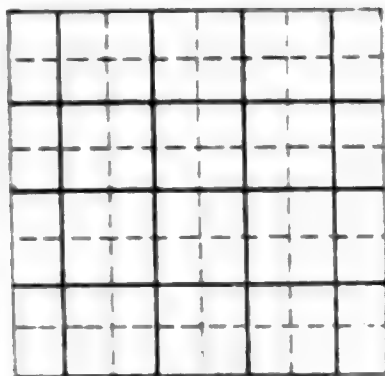


Fig. 29.

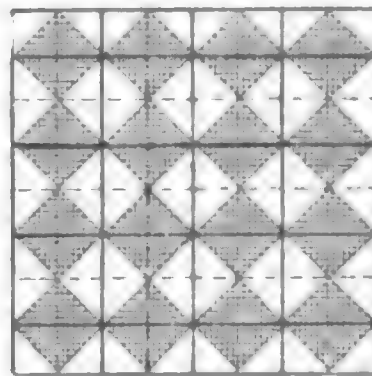


Fig. 30.

von Figuren, während die ersteren als sich gegenseitig bedingende Störungen der Form *A* und *B* betrachtet werden können, und deshalb große Regelmäßigkeit zeigen.

#### 4. Oberflächenspannung.

Oben wurde darauf hingewiesen, daß die Oberflächenspannung frei in der Lösung schwimmender fließender Kristalle nicht ausreicht, sie zu einem Tropfen zusammenzudrücken, wie es der Fall sein müßte, wenn keine widerstrebende Elastizität vorhanden, d. h. der Aggregatzustand nicht der feste, sondern der flüssige wäre.

Anders würden sich die Kristalle verhalten, wenn es möglich wäre, sie freischwebend in der Luft oder im Vakuum zu erhalten. Die Oberflächenspannung an der Grenze gegen Luft oder gegen den leeren Raum ist weitaus größer als diejenige gegen Lösung, so daß Überwindung der elastischen Kräfte recht wohl denkbar wäre.

Einen Fall, welcher zwischen diesen beiden liegt, bildet die Ausscheidung eines Kristalles an der freien Oberfläche der Lösung oder an der Oberfläche einer in der Lösung befindlichen Luftblase.

Die Erscheinungen, welche sich bei der Ausscheidung eines Flüssigkeitstropfens unter gleichen Umständen zeigen, sind durch die feststehenden Gesetze der Oberflächenspannung bedingt und führen bekanntlich zu linsenförmiger Verzerrung des Tropfens mit konstantem Randwinkel oder zur Ausbreitung

bis zu kaum mehr wahrnehmbarer Dicke. Kommt einer der nadelförmigen fließenden Kristalle des *p*-Azoxybenzoesäure-äthylesters, etwa veranlaßt durch die (infolge von Temperaturdifferenz der oberen und unteren Schichten in der Nähe von Luftblasen stets vorhandene) Kontaktbewegung in radialer Richtung mit der Luftblase in Berührung, so beginnt er sich an der Berührungsstelle, wie die Figg. 31—33 zeigen, alsbald zu verbreitern, während die übrige Masse nachrückt, so daß er schließlich eine der Luftblase mit breiter Basis aufgesetzte Pyramide mit gekrümmten Seitenflächen darstellt. Diese Ausbreitung und Verzerrung des Kristalles erfolgt derart, daß die Auslöschungsrichtungen überall senkrecht zur Oberfläche der

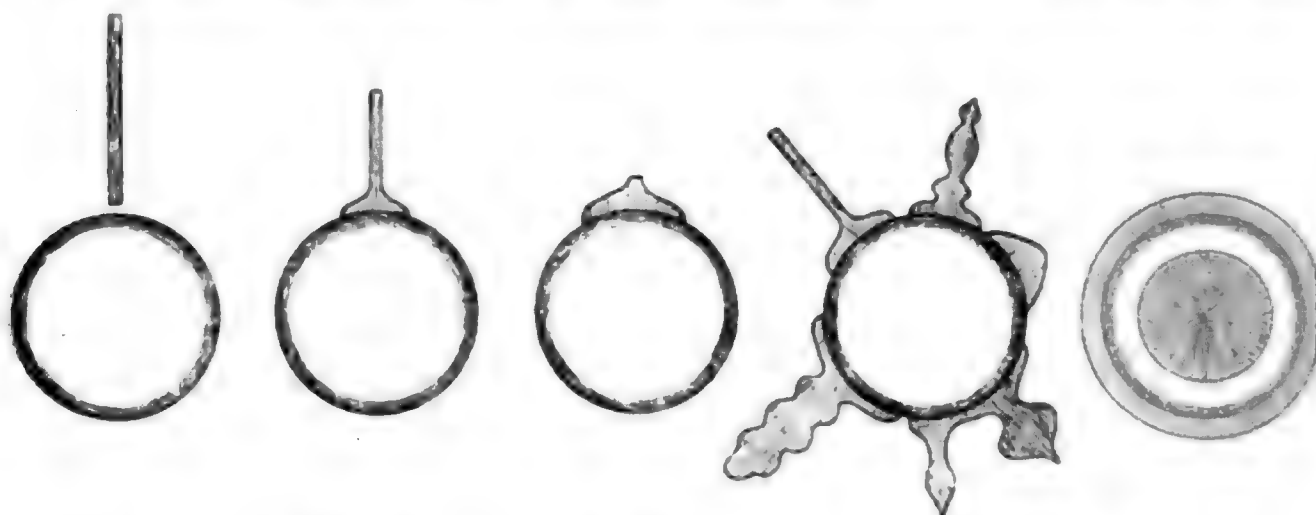


Fig. 31.

Fig. 32.

Fig. 33.

Fig. 34.

Fig. 35.

Blase stehen und ebenso die Streifung, welche stets der Längsrichtung der Kristalle entspricht.

Diese Erscheinung zeigt deutlich, daß die Oberflächenspannung an der Grenze zwischen Kristall und Luft etwas kleiner ist, als die zwischen Lösung und Luft. Bildet sich also ein Kristall an der freien Oberfläche der geschmolzenen Masse, wie es bei Präparaten ohne Deckglas infolge der abkühlenden Wirkung der Luft an der Oberfläche der Fall ist, so muß sich derselbe zu einer Linse von kreisförmigem Umriß ausbreiten und zwischen gekreuzten Nicols dunkel bleiben, weil die optische Achse, welche mit der Längsrichtung der Kristalle zusammenfällt, senkrecht zur Oberfläche steht. Der Versuch bestätigt diese Konsequenz. Man sieht solche Linsen von sehr großer Ausdehnung entstehen, welche wie eine durchsichtige, nur schwer sichtbare und auch bei gekreuzten Nicols

nicht hervortretende Haut die Flüssigkeit bedecken. Infolge der Störungen durch Wirbelbewegungen bei stärkeren Temperaturdifferenzen behalten aber diese Linsen oder Häute ihre anfängliche Durchsichtigkeit nicht, sie erfüllen sich vielmehr alsbald scheinbar mit zahllosen Tropfen, welche zwischen gekreuzten Nicols sich wie Sphärokristalle verhalten oder zwei dunkle Büschel zeigen (Fig. 36) und in Wirklichkeit nichts anderes sind als Stellen mit gestörter Struktur, deren optisches Verhalten ganz dem der oben besprochenen Strömungen mit kreisförmigem Umriß entspricht. In der Mitte der Linsen, d. h. an Stellen größerer Dicke, ist der Durchmesser der scheinbaren Sphärokristalle am größten, gegen den Rand hin wird er allmählich kleiner und der äußerste (hyaline) Saum erscheint.

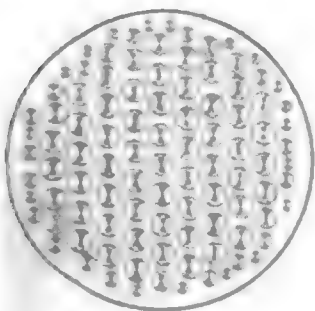


Fig. 36.

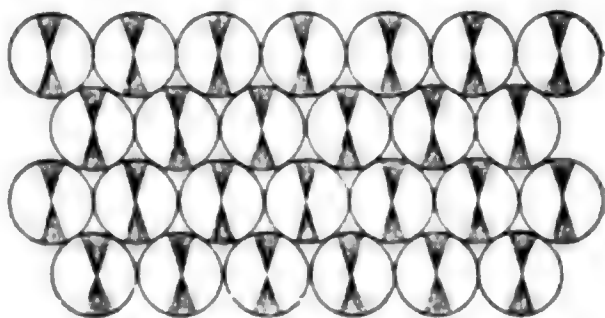


Fig. 37.

ganz frei davon, bleibt also zwischen gekreuzten Nicols dunkel (Fig. 36). Bei weit ausgedehnten Häuten treten solche Größenunterschiede nicht hervor, die Sphärolithen sind von durchaus gleicher Größe und da sie sich dicht aneinander anreihen, entsteht eine regelmäßige Zeichnung, welche etwa an das Aussehen eines Insektenauges erinnert (Fig. 37). Bildung von quadratischen schachbrettartigen Mustern, wie sie oben besprochen wurde, findet in diesem Falle nicht statt.

Könnte man die Bildung der besprochenen Linsen von der Seite betrachten, so würde jede Linse einem der Flüssigkeitsoberfläche angelagerten Kristall entsprechen. Auch bei Luftblasen kann man in der Regel solche gleichzeitige Anlagerung mehrerer Kristalle beobachten, wie Fig. 34 zeigt. Sie stören sich gegenseitig nicht, solange sie durch freie Stellen der Oberfläche getrennt sind. Kommen aber diese Kristalle gegenseitig in Berührung, so fließen sie zusammen und die Blase scheint von einem Ringkristall umgeben (Fig. 35).

Ist die Blase keine Luftblase, sondern eine Dampfblase, welche bei fortschreitender Abkühlung sich verdichtet und verschwindet, so kontrahiert sich der hohlkugelförmige Kristall zu einem massiven Sphärokristall (in Fig. 35 hineingezeichnet).

Kommt ein Kristall nicht mit der Spitze, sondern mit einer Seitenfläche mit der Luftblase in Berührung, so tritt eine Ausbreitung nicht ein, der Kristall bleibt vollkommen unverändert. Vielleicht kann man hieraus schließen, daß die Oberflächenspannung an den Seiten-(Prismen-)flächen größer ist als an der Spitze (Basis) und weiter, da Kristalle vorkommen, an welchen die Basis wirklich ausgebildet ist, daß die Verschiedenheit der Oberflächenspannungen der verschiedenen Flächen eines Kristalles kompensiert wird durch die vorhandenen elastischen Kräfte, da sonst kein Gleichgewicht möglich wäre. Bei einem Sphärokristall wie Fig. 35 ist diese Verschiedenheit nicht vorhanden, er stellt somit selbstverständlich eine Gleichgewichtslage der Moleküle dar. Eine Störung des Gefüges bei dem polyedrischen Kristall wird das Gleichgewicht zwischen den elastischen Kräften und der Oberflächenspannung stören und Umkippen in die sphärolithische Gleichgewichtslage veranlassen. Man kann deshalb wohl die polyedrische Form der sphärolithischen gegenüber als labil bezeichnen. Vermutlich ist hierauf die Leichtigkeit, mit welcher sphärolithische Störungen, wie oben beschrieben, auftreten, auf diese Ursache zurückzuführen. Immerhin ist diese Verschiedenheit der Stabilität nicht etwa vergleichbar derjenigen polymorpher Modifikationen oder des amorphen und kristallisierten Zustandes, da, weil es sich lediglich um Deformation handelt, Löslichkeit und Schmelzpunkt, sowie die andern physikalischen Eigenschaften für die polyedrische und sphärolithische Form identisch sein müssen. Auch die früher beschriebenen Erscheinungen der Bildung sogenannter „öliger Streifen“ bei Deformation größerer Massen der fließend-kristallinen Modifikationen von ölsaurem Ammoniak und Cholesterylbenzoat, welche auf ähnliche Wirkungen wie die Bildung der beschriebenen Ringe um Luftblasen mit radial und tangential gerichteten Auslöschungen zurückzuführen sein dürfte, da sich diese Streifen überall da bilden, wo z. B. durch Vorbeifließen an einer Luftblase oder einem anderen Hindernis eine Art Schnitt,



d. h. die Bildung zweier dicht aneinander liegender Grenzen erfolgt, läßt deutlich eine Tendenz der einheitlich auslöschenden Bänder zum Übergang in dicht aneinander gereihte Sphärokristalle erkennen und häufig sieht man solche Bänder geradezu in Ketten gleichgroßer Sphärokristalle übergehen.

Die richtende Wirkung, welche die Oberfläche von Luftblasen auf die dort sich ausscheidenden Kristalle ausübt<sup>1)</sup>, hängt wahrscheinlich auch zusammen mit ähnlichen Erscheinungen, welche man bei Eis beobachtet hat. So fand Bertin<sup>2)</sup>, daß die optische Achse der Eiskristalle stets senkrecht gerichtet ist zu der Fläche, von welcher die Erkaltung ausgeht, ein Resultat, welches Klocke<sup>3)</sup> bestätigt fand. G. Rose<sup>4)</sup> fand ähnlich, daß bei Ausscheidung von Gold aus Goldlösung mit Oxalsäure die Goldkriställchen sich alle mit einer Oktaederfläche an die Gefäßwände ansetzen.

#### 5. Folgerungen.

Die Entdeckung der plastischen, fließenden und flüssigen Kristalle widerlegt die eingangs erwähnten Molekularhypothesen, welche eine Plastizität der Kristalle ausgeschlossen erscheinen ließen. Insbesondere beweist die hier in ihren verschiedenen Wirkungen näher besprochene Erscheinung der Homöotropie, daß ein Kristall auch bei wahrer plastischer Deformation keine Änderung seiner Eigenschaften und keine Neigung zum Umklappen in eine andere molekulare Gleichgewichtslage erkennen läßt, daß er vielmehr das Bestreben hat, die gestörte Molekularstruktur wieder herzustellen und daß nicht daran zu denken ist, durch fortgesetzte Deformation, mag sie auch eine wirbelartige Strömung sein, ein völlig regelloses stabiles Molekularaggregat zu erhalten. Läge tatsächlich ein solches regelloses Molekularaggregat vor, wie man es für amorphe Körper an-

---

1) Bei Cholesterylpropionat treten merkwürdigerweise die Kristalle immer zuerst an der Oberfläche von Luftblasen auf, so daß sich bei Betrachtung zwischen gekreuzten Nicols zunächst alle Luftblasen mit vier leuchtenden Ringquadranten umgeben.

2) A. Bertin, *Ann. de chim. et phys.* (3) 13. p. 283. 1878.

3) F. Klocke, *Neues Jahrb. f. Min.* 1879. p. 272.

4) G. Rose, *Pogg. Ann.* 73. p. 8. 1848.



nimmt, so könnte es nicht dauernd erhalten bleiben und es müßte ein leichtes sein, durch fortgesetzte Deformation dasselbe in einen Kristall, d. h. einen Körper mit bestimmtem Sättigungspunkt und Schmelzpunkt (im Gegensatz zum amorphen Zustand) umzuwandeln, was der Erfahrung durchaus widerspricht.

Wären, wie es die Theorie der Polymorphie und Amorphie annimmt, die Eigenschaften eines Stoffs von der Art der Aggregation der Moleküle abhängig, so müßte an den Enden der Symmetrieachse eines Kristalltropfens, wo die Moleküle in konzentrischen Kreisen angeordnet sind, z. B. die Löslichkeit eine andere sein als an äquatorialen Punkten, d. h. der Tropfen könnte in gesättigter Lösung durchaus nicht im Gleichgewicht sein, er müßte sich z. B. an jenen beiden Polen beständig lösen, an anderen Stellen dagegen wachsen, und da die Oberflächenspannung die Kugelgestalt aufrecht zu erhalten sucht, sich in beständiger wirbelnder Bewegung befinden, was dem zweiten Hauptsatz der Thermodynamik widerspricht. Ich halte es hierdurch für *erwiesen*, daß es keinen Polymorphismus und keinen Amorphismus im Sinne der von allen Lehrbüchern angenommenen Theorie geben kann, daß nicht die Art der Aggregation der Moleküle die Eigenschaften eines Stoffs bestimmt, sondern deren Konstitution, daß man also genötigt ist zu erklären: „*Kein Stoff kann in mehreren polymorphen Modifikationen auftreten; kein Stoff besitzt eine kristallisierte und eine amorphe Modifikation; kein Stoff besitzt drei Aggregatzustände.*“ Alle diese sogenannten Modifikationen sind vielmehr stofflich, d. h. durch die Beschaffenheit ihrer Moleküle verschieden.

Diese Behauptung steht im Widerspruch mit der chemischen Strukturtheorie, der Avogadroschen Regel und der Gibbsschen Phasenlehre, welche letztere verlangt, daß ein Stoff in drei Phasen auftreten soll. Hieraus folgt indes keineswegs ihre Unrichtigkeit, man wird vielmehr bestrebt sein müssen die genannten Lehrsätze derart zu modifizieren, daß der Widerspruch verschwindet, was wohl möglich und auch aus anderen Gründen nötig erscheint, da für manche sogenannte lockere chemische Verbindungen, wie z. B. Kristallwasserverbindungen, jene Lehrsätze ebenfalls nicht gültig sind.

Man hat nun wohl versucht, die Kristallwasserverbindungen in der Weise zu deuten, daß man letztere als Mischkristalle (richtiger Schichtkristalle) von wasserfreier Substanz und Wasser auffaßte. Bei der Verschiedenheit der Komponenten erscheint es natürlich, daß Gleichgewicht des Molekularaggregates nur in einem oder wenigen bestimmten Mischungsverhältnissen möglich ist, wie tatsächlich beobachtet wird, wenn auch nicht recht einzusehen ist, weshalb diese Mischungsverhältnisse gerade die den stöchiometrischen Proportionen entsprechenden sind; es erscheint auch natürlich, daß die physikalischen Eigenschaften der Kristallwasserverbindungen sehr wesentlich von denjenigen der Komponenten abweichen, da die fremde Einlagerung die Molekularanordnung stört, somit nach der Auffassung, die Art der Aggregation der Moleküle bestimme die Eigenschaften, letztere erheblich geändert werden müssen.

Daß ähnliche Störungen bei isomorphen Mischungen nicht hervortreten, erklärte man dadurch, daß diese nicht als Schichtkristalle aufzufassen seien, sondern als homogen bis in die kleinsten Teile, daß also die Mischung der Komponenten im Molekül statfinde, was allerdings voraussetzt, daß die Kristallmoleküle aus einer ungeheuer großen Zahl chemischer Moleküle bestehen. Solche Mischungen sollten nur möglich sein bei chemisch analog zusammengesetzten Körpern, welche in gleichen Formen kristallisieren.

Meine Untersuchungen haben nun aber ergeben, daß Mischkristalle in unendlich vielen Verhältnissen, bei welchen die Eigenschaften wie bei den isomorphen Mischungen die Mitte zwischen denen der Komponenten halten, auch bei völlig verschiedenartigen, nicht isomorphen Stoffen auftreten und daß kein Grund vorliegt, dieselben nicht als Schichtkristalle zu betrachten, vielmehr die verschiedensten Übergänge zwischen Misch- und Schichtkristallen beobachtet werden können, somit die Auffassung der Kristallwasserverbindungen als Mischkristalle nicht zutreffen kann. Man hat dem entgegengehalten, zwischen Misch- und Schichtkristallen bestehe ein scharfer Unterschied, insofern die ersteren in einer Lösung, welche Kristalle beider Komponenten im Gleichgewicht enthält, unter Aufzehrung der letzteren weiterwachsen, während dies für Schichtkristalle, die nur ein Aggregat der Komponenten darstellen, ebensowenig

zutreffen soll, wie für vereinzelt liegende Kristalle der Komponenten. Diese Behauptung beruht indes auf einem Irrtum. Sobald Kristalle der Komponenten, welche mit der Lösung im Gleichgewicht sind, auch nur an einem Punkte in Berührung gebracht werden, ändert sich an diesem Punkte die Löslichkeit, ebenso wie sich der Schmelzpunkt zweier Stoffe ändert, wenn dieselben auch nur an einem Punkte miteinander in Berührung gebracht werden, wie ich dies früher nachgewiesen habe. Der Annahme, daß Mischkristalle nur Schichtkristalle feinsten (molekularer) Struktur sind, steht also nichts entgegen, während ein Beweis dafür, daß die Kristallmoleküle aus unzählbar vielen chemischen bestehen, sich nicht erbringen lassen dürfte.

Die außerordentliche Ähnlichkeit der Umwandlungserscheinungen bei polymorphen Modifikationen mit den Dissoziationserscheinungen von Kristallwasserverbindungen, sowie mit den sogenannten Aggregatzustandsänderungen, die weitere Analogie zwischen Erstarrung und Sublimation einerseits und Kristallisation aus Lösungen andererseits hat mich, wie in meinem Buche über Molekularphysik ausführlich dargelegt ist, schon früher zu dem gleichen Ergebnis wie die Untersuchung über flüssige Kristalle geführt, daß nämlich die polymorphen Modifikationen eines Stoffes molekular verschieden sein müssen, d. h. daß sie in Wirklichkeit verschiedene Stoffe sind, freilich nicht im Sinne der *chemischen* Isomerie, wobei sich die Verschiedenheit durch Molekulargewichtsbestimmungen und chemisches Verhalten verraten mußte, sondern in anderer, noch nicht aufgeklärter Weise, die zu der Bezeichnung *physikalische* Isomerie Anlaß gegeben hat und möglicherweise in der Art der Verteilung elektrischer Atomladungen und dergleichen ihren Grund hat.

Auch zur Erklärung des amorphen Zustandes bleibt auf Grund des Verhaltens flüssiger Kristalle nur die von mir früher aus anderen Gründen aufgestellte Annahme übrig, derselbe sei aufzufassen als ein Gemisch mehrerer Modifikationen, deren Mengenverhältnis von der Temperatur abhängt, womit sehr gut das eigentümliche Verhalten dieser Körper bei Temperaturänderungen, die anomale Ausdehnung, das Auftreten starker innerer Spannungen bei rascher Kühlung (Glastränen) etc.

übereinstimmt, sowie der Mangel eines Sättigungspunktes in Lösungen, da jede Modifikation im Gemisch der übrigen gelöst und hierdurch so verdünnt ist, daß sie nicht wie eine reine kristallisierte Modifikation gelöste Moleküle zur Anlagerung zwingen kann.

In völligem Widerspruch mit unseren Resultaten steht ferner die van der Waalssche *Zustandsgleichung*, welche übrigens auch durchaus unverträglich ist mit jener, meines Erachtens einzig richtigen Definition des Gaszustandes, welcher zufolge die Gase Körper sind, deren Kohäsion gleich Null ist.<sup>1)</sup> Wie zahlreiche Untersuchungen gelehrt haben, ist die Kohäsion von Flüssigkeiten keineswegs, wie man wohl in früheren Zeiten annahm, gleich Null, sondern hat einen Wert, welcher sich auf Hunderte von kg pro qcm beziffern kann. Sie wird um so kleiner, je mehr man sich der kritischen Temperatur nähert, und verschwindet, wenn diese erreicht ist, wie daraus hervorgeht, daß dann auch die Oberflächenspannung verschwindet, welche ja nur eine spezielle Form ist, in welcher die Kohäsionskraft in Erscheinung tritt. Konstruiert man also das System der Druckkurven für die verschiedenen Temperaturen, so wären die dem Flüssigkeitszustand entsprechenden Druckkurven über die Kurve konstanter Flüssigkeitsmenge hinaus keineswegs so zu verlängern, wie es die van der Waalssche Zustandsgleichung erfordert, d. h. in Form eines S, welches den Übergang bildet zu dem dem Dampfzustand entsprechenden Teil der Kurven und sich wenigstens für Temperaturen in der Nähe der kritischen vollständig über der Abszissenachse hält, sie wären vielmehr, wie die Fig. 38 zeigt, in wenig veränderter Richtung bis in das Gebiet der negativen Drucke zu verlängern, wo sie ein Ende haben an derjenigen Ordinate, welche die Größe der Kohäsion angibt, d. h. des äußersten negativen Druckes, welchen die Flüssigkeit zu ertragen vermag. Alle diese Endpunkte liegen auf einer Kurve — sie sei *Kohäsionskurve* genannt —, welche sich nach der Seite der wachsenden Volumina der Abszissenachse mehr und mehr asymptotisch nähert, in gleicher Weise wie die kritische Isotherme, mit der sie im Unendlichen zusammentreffen muß. Die letztere ist die

---

1) O. Lehmann, Molekularphysik 2. p. 1. 1889.



wahre Grenze zwischen dem Gaszustand einerseits und den Gebieten des Flüssigkeitszustandes und den des gesättigten und ungesättigten Dampfes andererseits, während nach van der Waals' Theorie vollständig willkürlich und unklar bleibt, wo diese Grenze gezogen werden soll.

Mit der Zustandsgleichung fällt auch die Grundannahme, aus welcher sie abgeleitet ist, und es bleibt nur übrig, die kritischen Erscheinungen so zu deuten, wie es schon früher

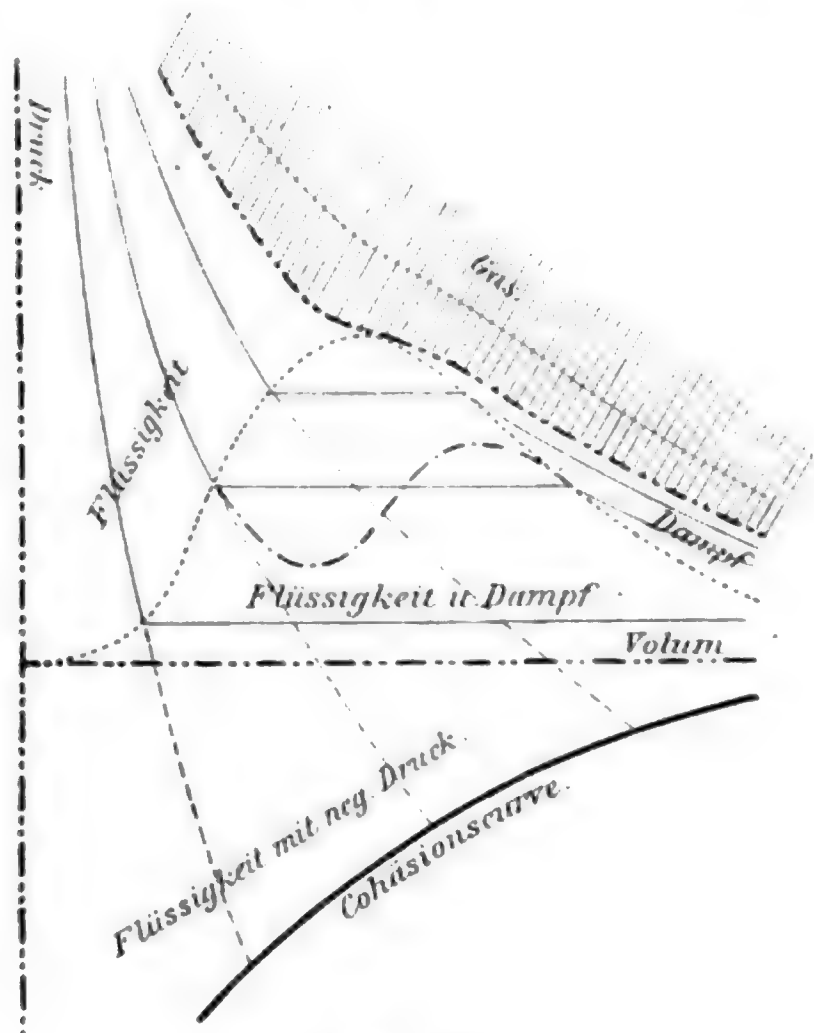


Fig. 38.

von mir wegen der Analogie mit den kritischen Lösungserscheinungen und der amorphen Erstarrung von Schmelzen geschehen ist, nämlich in der Art, daß der Dampf gegen die kritische Temperatur hin in steigendem Maße Moleküle der flüssigen Modifikation in sich bildet und diese in solche der gasförmigen zerfällt, so daß bei der kritischen Temperatur selbst in beiden Fällen das Mengenverhältnis gleich wird.

Eine der wichtigsten Folgerungen aus dem Verhalten der plastischen, fließenden und flüssigen Kristalle, speziell ihrer



Homöotropie, ist ferner die Erkenntnis der Existenz einer nicht mit der Elastizität identischen *molekularen Richtkraft*, welche sich anscheinend nur erklären läßt durch elektrostatische und elektrodynamische Wirkungen der Atomladungen oder Elektronen, so daß also auch diese Untersuchungen zu Ergebnissen führen, zu welchen bereits die Entdeckungen auf dem Gebiet der elektrischen Entladungen etc. hingeleitet haben. Im Prinzip könnten jene richtenden Wirkungen auch in gasförmigen Körpern auftreten, doch fehlt hier die richtende Wirkung der Oberflächenspannung, so daß keine regelmäßige Struktur zu stande kommen kann, die Auffindung gasförmiger Kristalle also nicht zu erwarten ist.

Karlsruhe, 18. Mai 1903.

(Eingegangen 8. Juni 1903.)

*Bemerkung.* Um der Abhandlung keinen zu großen Umfang zu geben, konnten die in der Einleitung und am Schlusse enthaltenen Betrachtungen nur flüchtig und ohne Literaturangaben dargelegt werden. Man findet eine ausführlichere Behandlung nebst vollständigem Literaturverzeichnis in meinem Buche: *Flüssige Kristalle*, Leipzig, W. Engelmann (zur Zeit noch im Druck). Dasselbst sind auch zahlreiche Photographien der Erscheinungen durch Lichtdruck wiedergegeben. Kopien einzelner Negative, sowie Diapositive für Projektion können zu den üblichen Preisen bezogen werden von der Hof-Lichtdruckanstalt J. Schober (Inh. Obrist) in Karlsruhe, Belfortstraße 10.

#### 4. *Über die Emission von Körpern mit endlichem Absorptionsvermögen;* *von J. Koenigsberger.*

Die analytische Theorie des Strahlungsvorganges in einem absorbierenden Körper und die Berechnung der Strahlungsmengen, die von Körpern mit gegebener Gestalt und endlichem Absorptionsvermögen ausgesandt werden, ist streng, d. h. nur unter Verwendung der theoretisch und experimentell als richtig erkannten Sätze noch nicht durchgeführt worden. Hr. R. Sampson<sup>1)</sup> und neuerdings auf anderem Wege Hr. A. Schuster<sup>2)</sup> haben den Energieaustausch durch Strahlung allein und auch in Verbindung mit Wärmeleitung mathematisch behandelt, aber beide Autoren haben von vornherein erhebliche Vereinfachungen eingeführt, die bei beiden, wie ich glaube, eine Nichtberücksichtigung des Kosinussatzes und bei Hrn. Sampson eine vollständige, bei Hrn. Schuster eine teilweise Vernachlässigung des Stefanschen Gesetzes bedingen. Die Berechnung der Strahlung von Körpern mit gegebener Form ist häufiger behandelt. Auf Grund einer von Fourier<sup>3)</sup> eingeführten, aber nicht ganz einwandsfreien Betrachtungsweise haben Lommel<sup>4)</sup>, Smoluchowski de Smolan<sup>5)</sup> und Uljanin<sup>6)</sup> den Ausdruck für die Strahlung einer Ebene unter gewissen Einschränkungen abgeleitet. Die Ausstrahlung und Abkühlung von Oberflächen ist von Hrn. Christiansen<sup>7)</sup> theoretisch und experimentell sehr eingehend untersucht worden. Für Körper, die das Licht

1) R. A. Sampson, Memoirs of Royal Astronomical Society London 51. p. 128—140. 1895.

2) A. Schuster, Phil. Mag. (6) 5. p. 243—257. 1903.

3) Fourier, Ann. chim. et phys. (2) 27. p. 236—281. 1824.

4) E. Lommel, Wied. Ann. 10. p. 449—472. 1880.

5) Smoluchowski de Smolan, Journ. de phys. (3) 5. p. 488. 1896.

6) W. Uljanin, Wied. Ann. 62. p. 528. 1897.

7) C. Christiansen, Wied. Ann. 19. p. 267. 1883; 21. p. 364. 1884.

diffus machen, hat Hr. W. Wien<sup>1)</sup> den Kosinussatz streng ableiten können.

Im folgenden ist versucht worden auf Grund von theoretisch und experimentell als richtig nachgewiesenen Gesetzen, erstens dem Gesetz von Kirchhoff über die Beziehungen zwischen Emission und Absorption, zweitens dem Gesetz von Stefan-Boltzmann über die Abhängigkeit der Gesamtstrahlung eines festen Körpers von der Temperatur, und drittens dem *Absorptionsgesetz*, das ebenfalls eine theoretisch notwendige Folgerung aus bekannten Tatsachen ist, die Strahlung von Körpern gegebener Form und endlichem, für alle Wellenlängen gleichen Absorptionsvermögen bei gleichem Brechungsindex von Körper und umgebendem Medium abzuleiten. Die beiden letzteren Einschränkungen bedürfen einer kurzen Erörterung. Ist die Absorption für verschiedene Wellenlängen verschieden, so bedingt das keine wesentliche Änderung in den abgeleiteten Formeln für die Ausstrahlung von Körpern. Es tritt dann überall an Stelle von  $a \cdot \sigma \cdot T^4$  ein Ausdruck von der Form

$$\int_0^{\infty} a f(\lambda T) d\lambda,$$

worin  $f(\lambda T)$  das Strahlungsgesetz ist. Nur der Strahlungsaustausch in ungleich temperierten Körpern selbst würde sich danach ganz anders berechnen und wohl große mathematische Schwierigkeiten bieten. Die zweite Annahme kommt darauf hinaus, daß die Reflexion vernachlässigt werden soll. Bei vielen interessanten Fällen, z. B. Strahlung von Gasen in erhitzten Röhren, Strahlung der Sonne, Abkühlung der Erde bei verschiedener Zusammensetzung der Atmosphäre etc., darf diese letztere Annahme wohl gemacht werden.

**Absorption der Strahlung einer unendlich großen schwarzen Ebene durch einen von zwei parallelen Ebenen begrenzten Körper von endlichem Absorptionsvermögen und die allgemeinste Form des Kosinussatzes.**

Es sei der begrenzte Körper mit der ebenen Oberfläche  $F_1$  von zwei sehr großen, unendlich wenig gekrümmten Flächen  $F_2$ ,

1) W. Wien, Wied. Ann. 45. p. 712. 1892.

die daher als Ebenen aufgefaßt werden dürfen, umschlossen. Alle auf  $F_1$  auftreffenden Strahlen kommen von  $F_2$ . In dem

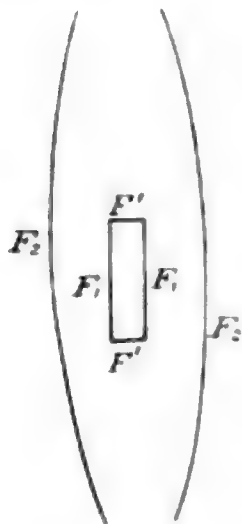


Fig. 1.

so gebildeten Hohlraum ist, wie aus dem Kirchhoffschen Satz folgt, die Dichte der Strahlung für alle Richtungen und an allen Punkten gleich und ihre Intensität also proportional dem Querschnitt und dem körperlichen Winkel der Strahlung. Wenn die Oberfläche von  $F_1$  mit  $f$  bezeichnet wird, und der Winkel, unter dem das Strahlenbündel auffällt, gleich  $\alpha$  ist, so ist der Querschnitt des Bündels  $dq = f \cos \alpha$ , und für den ganzen räumlichen Kegelausschnitt der Breite  $d\alpha$  unter dem Winkel  $\alpha$  ist die Intensität demnach gleich

$$2 \pi \sin \alpha \cdot d\alpha \cdot f \cdot \cos \alpha.^1)$$

Die beiden Seitenflächen  $F'$  des Körpers seien vollkommen reflektierend, so daß durch sie kein Strahlungsaustausch stattfindet.

Durch die Ebene wird dann durchgelassen unter dem Winkel  $\alpha$

$$J \cdot e^{-\frac{a l}{\cos \alpha}},$$

wo  $a$  den Schwächungskoeffizient,  $J$  die Intensität des einfallenden Lichtes bezeichnet, absorbiert also

$$(1) \quad J \left( 1 - e^{-\frac{a l}{\cos \alpha}} \right) = J \cdot 2 \pi \sin \alpha \cos \alpha d\alpha \cdot f \cdot \left( 1 - e^{-\frac{a l}{\cos \alpha}} \right);$$

im ganzen also

$$(1') \quad J \cdot f \cdot \pi \left( 1 - 2 \int_0^{\pi/2} e^{-\frac{a l}{\cos \alpha}} \sin \alpha \cos \alpha d\alpha \right).$$

Andererseits ist dies nach dem Kirchhoffschen Gesetz ohne weiteres auch die Gesamtstrahlung einer endlichen planparallelen Schicht, welche die gleiche Temperatur wie der Hohlkörper hat, also die *Gesamtemission einer endlichen planparallelen*

1) Die gesamte von einer schwarzen Ebene von einer Seite absorbierte Strahlung ist also gleich  $J \cdot \pi$ .

Schicht von beliebigem Absorptionsvermögen. Das oben angegebene Integral kann zunächst gleich

$$(2) \quad 2 \int_0^{\pi/2} e^{-\frac{c}{\cos \alpha}} \sin \alpha \cos \alpha d\alpha$$

und durch die Substitution  $1/\cos \alpha = x$  gleich

$$2 \int_1^{\infty} e^{-cx} \frac{1}{x^3} dx$$

geschrieben werden, und dies gleich

$$2c^2 \int_c^{\infty} e^{-x} \frac{1}{x^3} dx.$$

Wenn  $c = al$  nicht zu klein ist, so ist die bequemste Lösung die von Schlömilch<sup>1)</sup> gegebene. Danach ist das Integral gleich

$$\frac{2}{c} e^{-c} \left\{ 1 - \frac{3}{c+1} + \frac{9}{(c+1)(c+2)} - \frac{30}{(c+1)(c+2)(c+3)} + \frac{114}{(c+1)\dots(c+4)} - \frac{492}{(c+1)\dots(c+5)} \dots \right\}.$$

Falls noch die Reflexion hinzukommt, wird der Ausdruck unter dem Integral noch mit

$$(1 - R_a)^2 \left( 1 + e^{-2\frac{al}{\cos \alpha}} R_a^2 + \left[ e^{-2\frac{al}{\cos \alpha}} R_a^2 \right]^2 + \dots \right)$$

multipliziert, worin  $R_a$  der Reflexionsfaktor für die Richtung  $\alpha$  ist; die Lösung und der numerische Wert sind in diesem Fall nur angenähert angebbar.

Der obige Ausdruck (1') ist demnach, falls an Stelle der Konstanten  $J$  der Strahlungsfaktor  $S = \sigma \cdot T$  gesetzt wird, auch die allgemeine streng richtige Form des Kosinussatzes für die Emission einer nicht diffus strahlenden Ebene von endlichem Absorptionsvermögen; die von Smoluchowski de Smolan<sup>2)</sup> und von Uljanin<sup>3)</sup> angegebenen Ausdrücke sind Spezialfälle.

1) O. Schlömilch, Compendium der höheren Analysis, p. 265. Braunschweig 1865.

2) Smoluchowski de Smolan, Journ. de phys. (3) 5. p. 488. 1896.

3) W. Uljanin, Wied. Ann. 62. p. 528. 1897.



Will man die Absorption einer sehr dünnen Schicht von der Dicke  $dl$  berechnen, so ist zu beachten, daß in Ausdruck (1) der Wert von  $e^{-\frac{a dl}{\cos \alpha}}$  für  $\alpha$  von 0 bis  $\pi/2 - \delta$ , wo  $\delta$  einen sehr kleinen Winkel bezeichnet, in erster Annäherung gleich

$$1 - \frac{a dl}{\cos \alpha}$$

ist, so daß also der ganze Ausdruck gleich

$$J \cdot 2\pi \cdot f \cdot a dl \int_{\alpha=0}^{\alpha=\pi/2-\delta} \frac{\sin \alpha \cos \alpha}{\cos \alpha} \cdot d\alpha = J \cdot 2\pi \cdot f \cdot a dl (1 - \delta)$$

ist.

Für das Intervall  $\pi/2 - \delta$  bis  $\pi/2$  ist der Wert von  $e^{-\frac{a dl}{\cos \alpha}}$  jedenfalls zwischen  $1 - a dl$  und 0 gelegen, der Wert des Integrals also zwischen  $\delta$  und 0. Wenn also der Gesamtwert des Integrals für  $\alpha = 0$  bis  $\alpha = \pi/2$  gleich 1 gesetzt wird, so ist der Fehler von der Größenordnung  $\delta$  oder  $dl$  und daher gegen 1 zu vernachlässigen.

Die Emission einer sehr dünnen ebenen Schicht von endlichem Extinktionskoeffizienten ist also demnach gleich

$$\underline{S \cdot 2\pi \cdot f \cdot a dl},$$

also proportional der *doppelten* Dicke.

Für eine schwarze Ebene ist die Emission nach obigem gleich  $2\pi \cdot S \cdot f \cdot \sin \alpha \cos \alpha d\alpha$  und für senkrechte Emission also gleich

$$S \cdot f \cdot d\omega = \underline{\sigma \cdot T^4 \cdot f \cdot d\omega},$$

wo  $d\omega$  den körperlichen Winkel bedeutet. Hierin hat  $\sigma$  nach den Versuchen von Kurlbaum<sup>1)</sup> den Wert  $1,28 \cdot 10^{-12}$  in absolutem Maß.

**Emission und Absorption der Strahlung einer planparallelen Schicht von der Dicke  $l_1$  durch eine gleich große, parallele andere von der Dicke  $l_2$ .**

Seitlich befinde sich eine vollkommen spiegelnde Begrenzung, die senkrecht zu den beiden Ebenen steht und das Zwischenmedium sei zunächst durchsichtig. Die Spiegelbegrenzung senkrecht zu den Flächen bedingt, daß alle von der einen Ebene unter einem bestimmten Winkel ausgehenden

1) F. Kurlbaum, Wied. Ann. 65. p. 759. 1898.

Strahlen unter demselben auf die andere Ebene fallen. Es wird also jedes Glied der Emission der einen Fläche

$$f \cdot S \cdot 2 \pi \sin \alpha \cos \alpha d \alpha \cdot \left( 1 - e^{-\frac{a l_1}{\cos \alpha}} \right)$$

multipliziert mit

$$\left( 1 - e^{-\frac{a l_2}{\cos \alpha}} \right).$$

Auch hier soll wieder von Reflexionen an den Begrenzungsflächen abgesehen werden. Dies gibt

$$2 \pi \int \left( 1 - e^{-\frac{a l_1}{\cos \alpha}} - e^{-\frac{a l_2}{\cos \alpha}} + e^{-\frac{a (l_1 + l_2)}{\cos \alpha}} \right) \sin \alpha \cos \alpha d \alpha;$$

jedes dieser Integrale hat die Form von (2) auf p. 345 und ist also lösbar.

Sind die beiden Ebenen unendlich dünn, so hat der Ausdruck die Form

$$a^2 dl \cdot dl' \cdot S \cdot f \cdot 2 \pi \int_0^{\pi/2} \frac{\sin \alpha}{\cos \alpha} \cdot d \alpha \cdot e^{-\frac{a (dl + dl')}{\cos \alpha}}.$$

Dies Integral hat für unendlich kleine  $dl$  und  $dl'$  keinen bestimmten Grenzwert, was physikalisch dadurch zu erklären ist, daß die ganz schräg, fast unter  $\pi/2$  emittierten Strahlen die anderen an Intensität weit überwiegen und daß dies bei der Absorption nochmals in demselben Maß der Fall ist.

Ist das Zwischenmedium nicht durchsichtig, sondern ebenfalls und geradeso stark absorbierend wie die strahlenden Elemente, so ist die von dem zweiten Elemente absorbierte Strahlung des ersten gleich

$$S \cdot f \cdot 2 \pi a^2 dl dl' \int_0^{\pi/2} \frac{\sin \alpha}{\cos \alpha} e^{-\frac{l a}{\cos \alpha}} d \alpha.$$

Hierin ist  $l$  der Abstand der beiden Ebenen. Das Integral läßt sich in den bekannten Integrallogarithmus

$$\int_{al}^{\infty} e^{-x} \frac{1}{x} dx$$

transformieren, indem man  $1/\cos \alpha = x$  setzt; hierfür gelten dann die von Soldner gegebenen Tafeln. Will man das

Integral zunächst allgemein auflösen, so eignet sich namentlich, wenn  $al$  klein ist, noch am besten die Entwicklung von Euler gleich

$$\gamma + \log al - al + \frac{(al)^2}{2 \cdot 2!} + \dots$$

Indes wird auch dies Integral für sehr kleine  $al$  unendlich groß, und dies ist die Schwierigkeit bei der Bildung einer Differentialgleichung schon in dem einfachsten Fall der *stationären Strahlung in einem langen Zylinder*, der von spiegelnden Wänden begrenzt ist. Die Integralbedingung

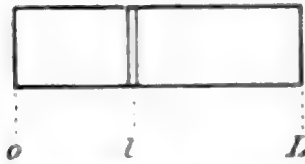


Fig. 2.

läßt sich leicht angeben; es muß in jedem Element, das ist hier in jeder unendlich dünnen planparallelen Schicht, die ausgestrahlte Menge gleich der absorbierten sein.

Also

$$4\pi \cdot \sigma \cdot f \cdot T^4 \cdot a \, dl = \sigma \cdot f \cdot 2\pi \cdot a^2 \, dl \cdot \int_0^l T'^4 \, dl' \int_0^{\pi/2} e^{-\frac{a(l-l')}{\cos \alpha}} \frac{\sin \alpha}{\cos \alpha} \, d\alpha$$

$$+ \sigma \cdot f \cdot 2\pi \cdot a^2 \, dl \int_l^L T'^4 \, dl' \int_0^{\pi/2} e^{-\frac{a(l'-l)}{\cos \alpha}} \frac{\sin \alpha}{\cos \alpha} \, d\alpha.$$

#### Emission eines sehr kleinen rechtwinkligen Parallelepipeds.

Im folgenden soll in ähnlicher durchaus strenger Weise durch das Kirchhoffsche und Stefansche Gesetz die Strahlung eines Volumenelementes, eines unendlich kleinen rechtwinkligen Parallelepipeds, berechnet werden. Erst hiedurch ist es dann möglich, die von Fourier<sup>1)</sup>, Lommel<sup>2)</sup> und neuerdings von Smoluchowski<sup>3)</sup> benutzten Betrachtungen *einwandfrei* anzuwenden, denn wenn man wie diese Autoren es taten, eine Kugel zu Grunde legt, so kann man zwar ohne Beweis die Gleichheit der Strahlung für alle Richtungen annehmen, kann aber keinen Körper aus Elementarkugeln lückenlos zusammensetzen und begeht daher bei Aneinanderreihen derselben stets einen bestimmten Fehler, der von der Größe der Kugeln un-

1) J. Fourier, l. c.

2) E. Lommel, Wied. Ann. 10. p. 449—472. 1880.

3) Smoluchowski de Smolan, l. c.

abhängig ist. Nur deshalb, weil für das Elementarparallelepiped derselbe Satz gilt, der für die Kugel gelten muß, sind die Beweise von Fourier und den späteren Autoren richtig.

Man betrachte ein Parallelepiped mit den Kanten  $b$ ,  $c$ ,  $e$  und lasse zunächst Strahlung auf die Fläche  $ce$  fallen unter allen Winkel bis  $45^\circ$  mit der Normalen. Ich greife die Richtungen heraus, deren Einfallsebene mit  $b$  den Winkel  $\beta$  bilden. Von allen in dieser Ebene gelegenen Richtungen

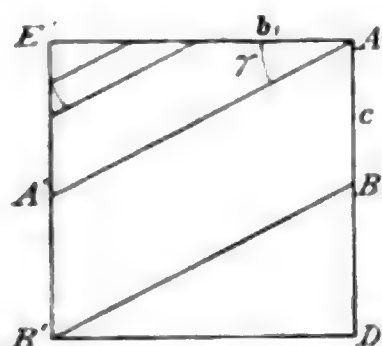


Fig. 3.

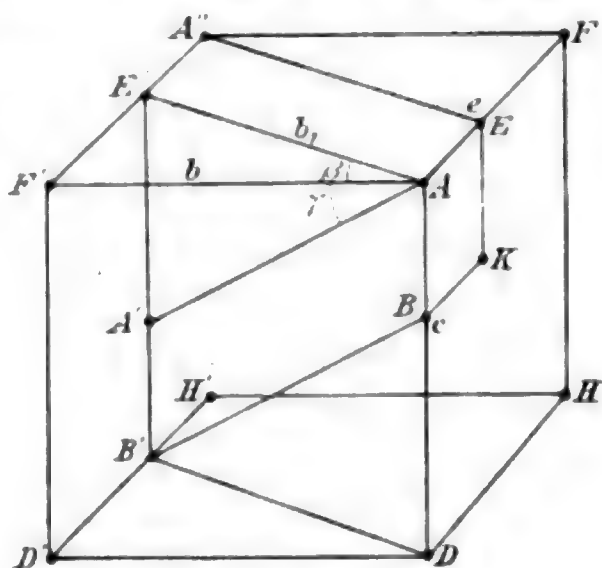


Fig. 4.

werde die betrachtet, welche mit  $b_1$  den Winkel  $\gamma$  bildet. Von den dadurch gegebenen Strahlen haben die zwischen  $AB$  eintretenden einen Linearquerschnitt  $AB \cos \gamma$  und der Flächenquerschnitt des Bündels, das bei  $A E K B$  eintritt, ist also  $AB \cos \gamma A E \cos \beta$ . Die Weglänge und damit die Absorption ist für alle Strahlen dieser Richtung, die innerhalb von  $A E K B$  eintreten, dieselbe und gleich

$$J \cdot \left( 1 - e^{-a \frac{b}{\cos \beta \cos \gamma}} \right),$$

wenn  $J$  die Intensität des einfallenden Lichtes bedeutet. Ist das Parallelepiped unendlich klein, so ist dieser Ausdruck gleich

$$J \cdot \frac{b}{\cos \beta \cos \gamma} a,$$

demnach wird von den unter dem räumlichen Winkel  $d\beta \cdot d\gamma$  auffallenden Strahlen absorbiert  $J \cdot AB \cdot AE \cdot b \cdot d\beta \cdot d\gamma$ . Hierzu kommt noch eine Anzahl rechteckiger Schnitte paralleler Ebenen mit dem Parallelepiped längs  $EF$  und  $E'F'$ ; die Seitenlänge dieser Rechtecke liegt zwischen 0 und  $b_1$ . Der Flächenquerschnitt eines jeden unendlich kleinen Strahlenbündels ist

$AB.de.\cos\beta$ , die entsprechende variable Weglänge  $e.\operatorname{tg}\beta/\cos\gamma$ . Die Intensität des absorbierten Lichtes ist also nach dem obigen

$$J.aAB\int_0^{EF} e de \operatorname{tg}\beta d\beta.d\gamma,$$

gleich

$$a.J.AB.\frac{EF^2}{2}.\operatorname{tg}\beta d\beta d\gamma.$$

Es ist aber  $EF.\operatorname{tg}\beta = b$ ; also der Ausdruck gleich

$$a.J.AB.EF.\frac{b}{2} d\gamma d\beta,$$

derselbe Ausdruck gilt für das symmetrische Stück längs  $E'F$ .

Alles zusammengefaßt ergibt sich:

$$(1) \quad a.J.AB.b.e.d\gamma d\beta.$$

Hierzu kommt ferner die Intensität des absorbierten Lichtes, das in jeder der vorher betrachteten Ebenen längs  $BD$  ein- und längs  $B'D$  austritt, und analog längs  $E'A$  und  $A'E'$ .

Da für das Elementarparallelepiped wieder die Absorption proportional der Länge gesetzt werden kann, so erhält man

$$a.J.b_1.BD.e.d\gamma d\beta.\cos\beta,$$

es ist aber  $b_1 = b/\cos\beta$ ; folglich ist dieser Ausdruck gleich

$$(2) \quad J.a.b.e.BD.d\gamma d\beta.$$

Mit dem vorhergehenden (1) vereint ergibt sich

$$\underline{J.a.b.c.ed\beta d\gamma}$$

für die Absorption der Strahlen der Intensität  $J$ , die unter den Winkel  $(\beta, \gamma)$  auf das Parallelepiped treffen.

*Die Emission eines Elementarparallelepipeds ist daher nach dem Kirchhoffschen und Stefanschen Gesetz ebenfalls unabhängig von der Richtung und*

$$\sigma.T^4.a.dxdydz.d\beta d\gamma = \sigma.T^4.a.dxdydz.dw.$$

Hierin ist für den körperlichen Winkel, der durch das Produkt  $d\beta d\gamma$  gegeben,  $dw$  gesetzt worden. Die Gesamtemission ist folglich

$$\underline{4\pi.\sigma.T^4.a.dxdydz.}$$



Man könnte  $a dx dy dz$  als die strahlende Masse bezeichnen. Jetzt lassen sich auch streng die Betrachtungen von Fourier über die Emission einer Ebene anwenden.

Man betrachtet zunächst alle aus einem unendlich kleinen Flächenstück  $df$  unter dem Winkel  $\alpha$  austretenden in dem körperlichen Winkel  $d\alpha$  enthaltenen Strahlen. In der Tiefe  $r$  von der Oberfläche ist auf der Länge  $dr$  von dem Winkel  $d\alpha$  ein Volumen von der Größe

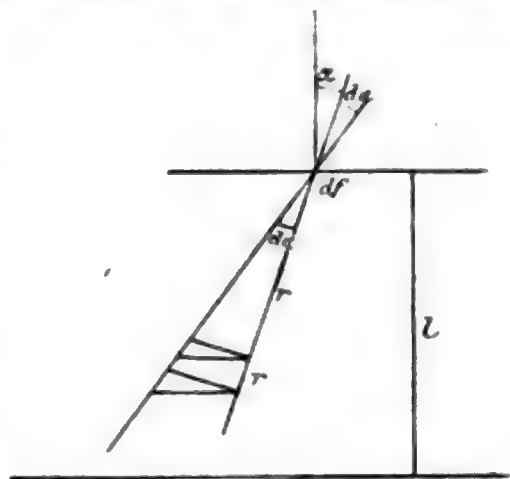


Fig. 5.

$2\pi \sin \alpha d\alpha \cdot r^2 \cdot dr \cdot \cos \alpha \cdot df$  eingeschlossen. Die Intensität der von diesem kleinen Volumen ausgehenden Strahlung ist gleich der Anzahl der Elementarparallelepiped mal deren Emission, also gleich dem Volumen multipliziert mit  $\sigma T^4 a$

$$a \cdot \sigma \cdot T^4 \cdot r^2 \cdot dr \cos \alpha \cdot 2\pi \sin \alpha d\alpha df.$$

Hier von gelangt an die Oberfläche

$$a \cdot \sigma \cdot T^4 \cdot 2\pi \sin \alpha \cos \alpha d\alpha \cdot r^2 \cdot dr \cdot \frac{1}{r^2} e^{-a r}.$$

Über die Gesamtdicke integriert von  $r=0$  bis  $r=b/\cos \alpha$  ergibt dies:

$$\sigma T^4 2\pi \sin \alpha \cos \alpha \cdot df \left(1 - e^{-\frac{a l}{\cos \alpha}}\right) d\alpha,$$

das ist also genau der auf andere Art abgeleitete Ausdruck (p. 344).

Es ist jetzt leicht möglich den Integralausdruck für den Wärmevergang in einem Elementarparallelepiped aufzustellen. Die Gesamtemission des Elementarparallelepipeds ist gleich

$$4\pi \cdot \sigma \cdot T^4 \cdot a \cdot dx dy dz,$$

die Koordinaten desselben seien  $x, y, z$ . Von der aus einem anderen Elementarparallelepiped mit den Koordinaten  $x' y' z'$  ausgehenden Strahlung wird in dem ursprünglichen Volumenelement absorbiert

$$a^2 dx dy dz dx' dy' dz' \cdot \sigma \cdot T^4 \frac{e^{-a \sqrt{(x'-x)^2 + (y'-y)^2 + (z'-z)^2}}}{(x'-x)^2 + (y'-y)^2 + (z'-z)^2}$$

und der allgemeine streng gültige Ausdruck für den Wärmevergang im Punkte  $xyz$  lautet dann:

$$c \cdot \rho \cdot \frac{\partial T}{\partial t} - k \left( \frac{\partial^2 T}{\partial x^2} + \frac{\partial^2 T}{\partial y^2} + \frac{\partial^2 T}{\partial z^2} \right) - a^2 \sigma \int \int \int_{x' y' z' = -\infty}^{x' y' z' = +\infty} T'^4 \cdot \frac{e^{-a \sqrt{(x'-x)^2 + (y'-y)^2 + (z'-z)^2}}}{(x'-x)^2 + (y'-y)^2 + (z'-z)^2} dx' dy' dz' + 4 \pi T^4 \cdot a \cdot \sigma = 0.$$

Hierin bedeutet das erste Glied die Änderung des Wärmehaltes;  $c$  ist die spezifische Wärme,  $\rho$  ist das spezifische Gewicht. Das zweite Glied ist durch die Wärmeleitung bedingt,  $k$  ist der Wärmeleitungskoeffizient, das dritte ist die durch Strahlung zugeführte Wärme, das vierte die ausgestrahlte Wärmemenge.

**Strahlung einer absorbierenden Vollkugel unter dem körperlichen Winkel  $d\omega$ .**

Die Strahlung einer Kugel ist aus Symmetriegründen für alle Richtungen dieselbe und demnach proportional dem körperlichen

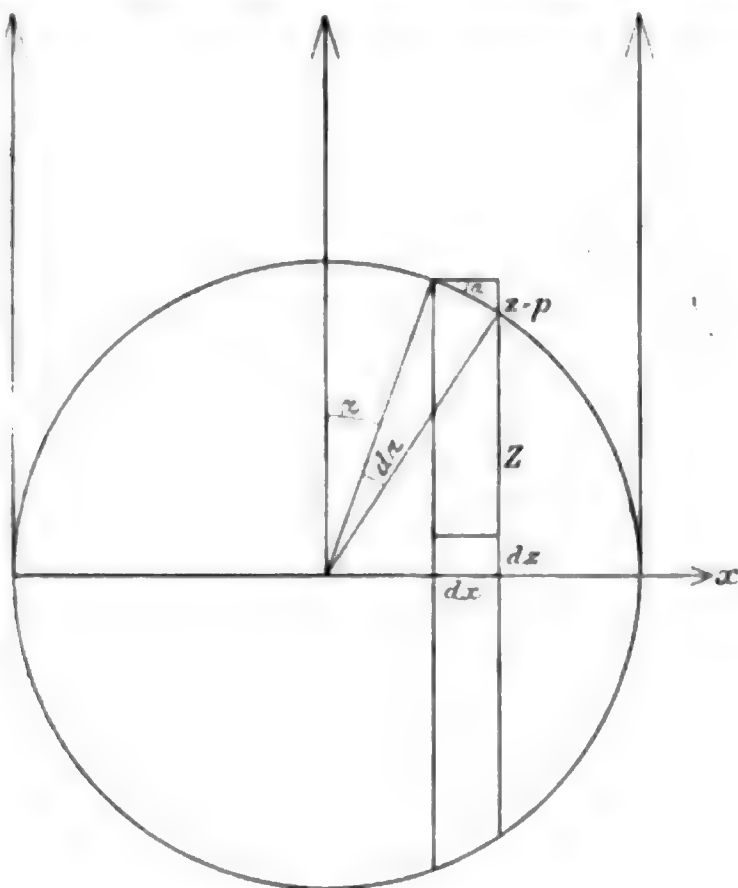


Fig. 6.

Winkel  $d\omega$  des ausgesandten Strahlenkegels. Um ihren absoluten Betrag zu finden, betrachtet man erst die eine obere Hälfte. Für das unendlich kleine Parallelepiped mit den Kanten  $dz, dx$  und der dazu senkrechten  $d\rho$  ist die Strahlung nach p. 350 gleich  $a \cdot \sigma \cdot T^4 \cdot dz \cdot dx \cdot d\rho \cdot d\omega$  und für den ganzen Zylinderring, der durch den Winkel

$\alpha$  und durch  $x$  bestimmt ist,  $a \cdot \sigma \cdot T^4 \cdot dz dx \cdot 2 \pi \sin \alpha d\alpha \cdot x \cdot d\omega$ . Dies muß mit  $z^2$  multipliziert werden, da der räumliche Winkel  $d\omega$  ein um so größeres Volumen umfaßt, je größer  $z$  ist. Hiervon gelangt an die Kugeloberfläche

$$a \cdot \sigma \cdot T^4 \cdot dz \cdot dx \cdot 2 \pi r \sin \alpha d\alpha \cdot d\omega \cdot e^{-az} \cdot \frac{z^3}{2}$$

und dies ist zu integrieren von  $z=0$  bis  $z=\rho$  gleich

$$a \sigma \cdot T^4 \cdot dx \cdot 2 \pi r \sin \alpha d\alpha d\omega \cdot \left[ -\frac{1}{a} e^{-az} \right]_{z=0}^{z=\rho}$$

gleich

$$(1) \quad \sigma \cdot T^4 \cdot dx \cdot 2 \pi r \sin \alpha d\alpha d\omega (1 - e^{-ae}).$$

Die Basis des Ringes  $dx$  läßt sich durch  $r$  und  $\alpha$  ausdrücken; sie ist gleich  $r \cdot d\alpha \cos \alpha$ , ebenso  $\rho = r \cos \alpha$ . Wird der obige Ausdruck von  $\alpha=0$  bis  $\alpha=\pi/2$  integriert, so hat man die ganze Strahlung der oberen Kugelhälfte:

$$\sigma \cdot T^4 \cdot 2 \pi d\omega \left[ \int_{\alpha=0}^{\alpha=\pi/2} r \cos \alpha \cdot e^{-ar \cos \alpha} \cdot r \sin \alpha d\alpha - r^2 \int_{\alpha=0}^{\alpha=\pi/2} \cos \alpha \cdot \sin \alpha d\alpha \right].$$

Setzt man  $-ar \cos \alpha = x$ , so ist dieser Ausdruck gleich

$$\sigma \cdot T^4 \cdot 2 \pi \left[ \frac{1}{a^2} \cdot d\omega \int_{x=-ar}^{x=0} x e^x dx - d\omega \cdot r^2 \int_{x=1}^{x=0} x dx \right],$$

gleich

$$2 \pi \sigma \cdot T^4 d\omega \left[ \frac{1}{a^2} \left( -1 + (1 + ar) e^{-ar} \right) + \frac{r^2}{2} \right].$$

Für die untere Kugelhälfte ist der Ausdruck (1) analog:

$$\sigma T^4 \cdot dx \cdot 2 \pi r \sin \alpha d\alpha d\omega (e^{-ar} - e^{-a(r+e)}),$$

gleich

$$\sigma T^4 \cdot dx \cdot 2 \pi r e^{-ar} \cdot \sin \alpha d\alpha d\omega (1 - e^{-ae})$$

und die gesamte Strahlung

$$2 \pi \sigma \cdot T^4 \cdot d\omega \cdot e^{-ar} \cdot \left[ \frac{1}{a^2} \left( -1 + (1 + ar) e^{-ar} \right) + \frac{r^2}{2} \right].$$

Die Gesamtstrahlung der Kugel nach einer Richtung  $d\omega$

$$2 \pi \sigma T^4 \cdot d\omega \left[ \frac{1}{a^2} (e^{-ar}(1 + ar) - 1) + \frac{r^2}{2} \right] [1 + e^{-ar}] = K \cdot d\omega.$$

Für eine sehr kleine Kugel müßte sich dieser Ausdruck so spezialisieren, daß die Strahlung gleich

$$\sigma \cdot T^4 \cdot a \cdot \frac{4 \pi r^3}{3}$$

ist, proportional der Absorption und dem Volumen, und dies findet auch statt; denn der erste Ausdruck in eckigen Klammern läßt sich dann schreiben

$$\left[ \frac{1}{a^3} \left( \left\{ 1 - ar + \frac{a^2 r^2}{2} + \frac{a^3 r^3}{2 \cdot 3} + \dots \right\} (1 + ar) - 1 \right) + \frac{r^3}{2} \right],$$

dies ist gleich:

$$\frac{1}{a^3} \left( \frac{a^3 r^3}{2} - \frac{a^3 r^3}{6} \right) = \frac{2 a r^3}{3}$$

mit Vernachlässigung der höheren Glieder. Der zweite Ausdruck  $[1 + e^{-ar}] = 2$  mit Vernachlässigung der höheren Glieder, also der ganze gleich

$$\frac{4 \pi}{3} a \cdot r^3 \cdot \sigma \cdot T^4 \cdot 1)$$

Ist  $a$  unendlich groß, die Kugel eine schwarze Fläche, so ist der Ausdruck gleich  $\pi r^2 \cdot \sigma \cdot T^4 \cdot d\omega$  in Übereinstimmung mit dem bekannten Theorem von Lambert.

Wie man sieht, ist der Ausdruck für die Strahlung einer endlichen Vollkugel von endlichem Absorptionsvermögen durchaus kein einfacher, der etwa dem Potential einer Vollkugel zu vergleichen wäre. Man sieht schon hieraus, daß die Differentialgleichung für den Strahlungsvorgang jedenfalls nicht die einfache Form wie etwa die Laplace-Poissonsche Beziehung oder die Fouriersche Gleichung für die Wärmeleitung haben kann.

Da die Strahlung einer Kugel nach allen Richtungen gleich, die Gesamtstrahlung, die auf eine die Kugel umgebende geschlossene Fläche fallen würde, gleich  $4 \pi K$  ist, so ist die von der Kugel auf eine kleine Fläche  $df$  in der Entfernung  $R$

---

1) Dieser Ausdruck  $(4 \pi / 3) r^3 \cdot C$  ist identisch mit einem von Laplace unter vereinfachenden Bedingungen aus analogen Voraussetzungen für ein abgeändertes Attraktionsgesetz abgeleiteten Ausdruck (Mécanique céleste, Tome V. Livre XVI. Chap. IV).

fallende Strahlung gleich  $df/R^2 \cdot K$ , wo  $K$  die Abkürzung für den Ausdruck auf p. 353 ist.

Für die Strahlung einer Kugel, die in einem unendlich kleinen Parallelepipet  $dx dy dz$  mit dem Absorptionsvermögen  $a'$  im Abstand  $R$  absorbiert wird, hat man danach:

$$K \cdot \frac{dx dy dz \cdot a'}{R^2}.$$

**Strahlung einer absorbierenden Hohlkugel auf einen inneren Punkt.**

Befindet sich der Punkt oder das unendlich kleine Parallelepipet  $dx dy dz$  mit dem Absorptionsvermögen  $a'$  im Mittelpunkt, so ist die von ihm absorbierte Strahlung der Hohlkugel von der Dicke  $r_2 - r_1$  gleich

$$\sigma \cdot T^4 \cdot 4\pi \cdot (1 - e^{-a(r_2 - r_1)}) \cdot a' \cdot dx dy dz$$

nach dem Kirchhoffschen Satz; denn denkt man sich die absorbierende Hohlkugel außen von einer schwarzen Kugel-  
fläche begrenzt, so ist die Strahlung dieser, welche auf den kleinen Körper im Mittelpunkt fällt,

$$\sigma \cdot T^4 \cdot \frac{4\pi \cdot r_2^2}{r_2^2} \cdot dx dy dz \cdot a' (1 - e^{-a(r_2 - r_1)}).$$

(Eingegangen 19. Mai 1908.)



## 5. Über die Anwendung der mechanischen Prinzipie auf reibende Bewegungen

(mit einem Anhang über den „Energieumsatz in der Mechanik“);

von Zemplén Győző.<sup>1)</sup>

Die allgemeinen Prinzipie der Mechanik werden meistens unter der beschränkenden Annahme zur Beschreibung mechanischer Erscheinungen angewandt, daß die Bedingungen des Systems nur dessen Koordinaten und die Zeit, nicht aber die nach der Zeit genommenen Differentialquotienten der ersteren enthalten. In dem folgenden versuche ich zu zeigen, wie man durch geeignete Einführung dieser Differentialquotienten in die Bedingungsgleichungen zu einer Theorie der Reibung gelangt, welche als konsequenter Weiterbau der Mechanik der Systeme mit reibungslosen Verbindungen angesehen werden kann.

Zur Beschreibung der mechanischen Erscheinungen bedienen wir uns in erster Reihe der sogenannten *freien* Kräfte, deren Definition durch Newtons Axiomen gegeben wird, zu welchen als eine charakteristische Eigenschaft der freien Kräfte ihre *Unabhängigkeit* voneinander (das Prinzip des Parallelogramms) hinzugefügt werden kann. Reichen die eingeführten freien Kräfte zur Beschreibung der Bewegung eines Systems aus, so nennen wir das System ein *freies* System, und seine Bewegung wird durch folgende Differentialgleichungen dargestellt:

$$(1) \quad m_i \frac{d^2 x_i}{dt^2} - X_i = 0, \quad m_i \frac{d^2 y_i}{dt^2} - Y_i = 0, \quad m_i \frac{d^2 z_i}{dt^2} - Z_i = 0, \\ (i = 1, 2, \dots, n),$$

wo  $m_i$  die Masse des  $i^{\text{ten}}$  Massenpunktes,  $x_i, y_i, z_i$  seine Koordinaten zur Zeit  $t$ ,  $X_i, Y_i, Z_i$  (gegebene Funktionen der Ko-

1) Mitgeteilt der mathematisch-physikalischen Gesellschaft zu Budapest in der Sitzung vom 19. März 1903, in ungarischer Sprache im *Mathematikai és Fizikai Lapok* 12. p. 128—135, 162—187. 1903 erschienen.

ordinaten und der Zeit) die Komponenten der auf den Massenpunkt  $m_i$  einwirkenden freien Kräfte bedeuten;  $n$  ist die Anzahl der Massenpunkte des Systems.

Oft gelingt es aber nicht, die Bewegung durch Einführung freier Kräfte allein zu beschreiben; man sieht nämlich, daß die Bewegung des Systems außer den eingeführten freien Kräften auch durch gewisse sogenannte *Verbindungen* beeinflußt wird, welche sich aus der Beobachtung der Bewegung ergeben. Um die Differentialgleichungen der Bewegung aufzustellen, werden gewöhnlich bezüglich der Abweichung der tatsächlichen Bewegung von derjenigen, welche sich abspielen würde, falls die Verbindungen nicht vorhanden wären, neue Hypothesen, neue *Prinzipie* in die Mechanik eingeführt.

Die bis jetzt in der Mechanik gebräuchlichen Prinzipie lassen sich ihrer analytischen Ausdrucksform entsprechend in zwei Gruppen einteilen:

## I. Gruppe

$$(I) \quad \left\{ \begin{aligned} D = \sum_{i=1}^n \{ (m_i x_i'' - X_i) \delta x_i + (m_i y_i'' - Y_i) \delta y_i \\ + (m_i z_i'' - Z_i) \delta z_i \} = 0 \end{aligned} \right.$$

bei allen Werten der Variationen  $\delta x_i$ ,  $\delta y_i$ ,  $\delta z_i$ , welche den Bedingungen des Systems entsprechen, bei allen sogenannten *virtuellen* Verschiebungen.

## II. Gruppe.

$$(II) \quad \left\{ \begin{aligned} G = \sum_{i=1}^n \{ (m_i x_i'' - X_i) \delta x_i'' + (m_i y_i'' - Y_i) \delta y_i'' \\ + (m_i z_i'' - Z_i) \delta z_i'' \} = 0 \end{aligned} \right.$$

bei allen Werten der Variationen  $\delta x_i''$ ,  $\delta y_i''$ ,  $\delta z_i''$ , welche den Bedingungen des Systems entsprechen.

Zur ersten Gruppe gehört das d'Alembertsche und das Hamiltonsche Prinzip, zur zweiten das Gauss'sche Prinzip.

Gewöhnlich werden diese Prinzipie in einer anderen analytischen Form aufgeschrieben, indem man neben dem Gleichheitszeichen in den Relationen (I) und (II) auch ein Ungleichheitszeichen gestattet. Diese Form der Prinzipie ist aber mit der hier angegebenen wesentlich identisch.

Die Relationen, welche die *Verbindungen* des Systems ausdrücken, können nämlich entweder Gleichungen oder Gleichungen

und Ungleichungen sein. Sind lauter Gleichungen vorhanden, so kann offenbar auch im Ausdrucke der Prinzipie nur das Gleichheitszeichen gelten. Sind aber Relationen etwa der Form

$$\Phi \leq 0$$

vorhanden, so kann bekanntlich<sup>1)</sup> die Bewegung in solche Abschnitte eingeteilt werden, innerhalb welchen entweder nur die Relation

$$\Phi = 0$$

berücksichtigt werden muß, oder die durch

$$\Phi \leq 0$$

ausgedrückte Verbindung überhaupt nicht in Betracht kommt. Es können daher die durch Gleichungen und Ungleichungen ausgedrückten Bedingungen immer auf Gleichungen zurückgeführt werden, dann aber ist die analytische Form der Prinzipie

$$D = 0, \quad G = 0.$$

Wollen wir die Prinzipie zur Beschreibung *reibender* Bewegungen verwenden, so werden zu den vorhandenen Verbindungen des Systems andere Bedingungen über die Abweichung der tatsächlichen Bewegung von der reibungslosen treten, welche aber *nur* durch Gleichungen ausgedrückt werden können, sonst ist die Reibung nur *qualitativ*, nicht aber *quantitativ* bestimmt und man erhält keine eindeutige Beschreibung der Bewegung. Es treten also wiederum einige *Gleichungen* zu den bereits vorhandenen Bedingungsgleichungen, so daß die Prinzipie nur in der Form

$$D = 0, \quad G = 0$$

benutzt werden können.

Es ist klar, daß die Gruppe I zur Beschreibung reibender Bewegungen nicht angewendet werden kann, denn falls lauter *feste* (von der Zeit unabhängige) Verbindungen vorhanden sind, kommen unter den virtuellen Verschiebungen auch die während eines Zeitelementes tatsächlich stattfindenden Verrückungen

1) Vgl. z. B. L. Boltzmann, Vorlesungen über die Prinzipie der Mechanik, I. Teil, § 74. p. 237. 1897.

des Systems vor und die Gleichung (I) geht in die Gleichung der lebendigen Kraft über, welche aber bei reibenden Bewegungen selbstverständlich ihre Gültigkeit verliert.

Deshalb habe ich versucht, auf Grund des Gauss'schen Prinzipes die Bewegung reibender Systeme zu beschreiben, was in dem folgenden gezeigt werden soll.

Falls in den Bedingungsgleichungen auch die nach der Zeit genommenen Differentialquotienten der Koordinaten vorkommen, wird es sehr bequem sein, die im Wesen zuerst von C. Neumann<sup>1)</sup> benutzte Methode, welche sich auch zur allgemeinen Untersuchung des Ostwald'schen Maximumprinzipes nützlich erwies<sup>2)</sup>, auch hier anzuwenden. Die Methode besteht darin, daß man die Bewegung zuerst für einen kleinen, jedoch endlichen Zeitraum  $\tau$  mit gewisser Annäherung beschreibt und im Endresultat zur Grenze  $\lim \tau = 0$  übergeht. Die Methode hat den Vorteil, daß sowohl die Änderung der Koordinaten während der Zeit  $\tau$  als auch die Beschleunigung der Massenpunkte zu Anfang des Zeitraumes  $\tau$  durch die Geschwindigkeiten des Punktes zu Anfang und zu Ende des Zeitraumes  $\tau$  angenähert ausgedrückt werden können und bei der Variation sämtlicher Ausdrücke nur die Geschwindigkeiten zu Ende des Zeitraumes  $\tau$  variiert werden müssen.

Es seien nämlich die Koordinaten eines Punktes zur Zeit  $t$  mit  $x_i, y_i, z_i$ , zur Zeit  $t + \tau$  mit  $\bar{x}_i, \bar{y}_i, \bar{z}_i$ , ebenso die Geschwindigkeitskomponenten mit  $u_i, v_i, w_i$  bez.  $\bar{u}_i, \bar{v}_i, \bar{w}_i$ , dann ist mit gewisser Annäherung:

$$(1) \quad \bar{x}_i - x_i = \frac{\tau}{2} (u_i + \bar{u}_i) \text{ etc.}$$

und

$$(2) \quad x_i'' = \frac{\bar{u}_i - u_i}{\tau} \text{ etc.}$$

Diese Gleichungen werden streng gültig, falls man beiderseits den Grenzübergang  $\lim \tau = 0$  ausführt.

1) C. Neumann, Leipz. Ber. p. 184. 1892.

2) G. Zemplén, Ann. d. Phys. 10. p. 419. 1903.

Den Ausdruck des Zwanges findet man, wie folgt:

Wäre das System frei, dann wären z. B. die Koordinaten des  $i^{\text{ten}}$  Massenpunktes zur Zeit  $t + \tau$   $\xi_i$ ,  $\eta_i$ ,  $\zeta_i$ , und angenähert

$$\begin{aligned}\xi_i - x_i &= u_i \tau + \frac{X_i}{m_i} \frac{\tau^2}{2}, & \eta_i - y_i &= v_i \tau + \frac{Y_i}{m_i} \frac{\tau^2}{2}, \\ \zeta_i - z_i &= w_i \tau + \frac{Z_i}{m_i} \frac{\tau^2}{2},\end{aligned}$$

daher mit Rücksicht auf (1)

$$\begin{aligned}\mathcal{B}_\tau &= \sum_{i=1}^n m_i \{(\bar{x}_i - \xi_i)^2 + (\bar{y}_i - \eta_i)^2 + (\bar{z}_i - \zeta_i)^2\} \\ &= \sum_{i=1}^n m_i \{(\bar{x}_i - x_i - (\xi_i - x_i))^2 + \dots\} \\ &= \frac{\tau^4}{4} \sum_{i=1}^n \left\{ m_i \left[ \frac{\bar{u}_i - u_i}{\tau} - \frac{X_i}{m_i} \right]^2 + \left[ \frac{\bar{v}_i - v_i}{\tau} - \frac{Y_i}{m_i} \right]^2 \right. \\ &\quad \left. + \left[ \frac{\bar{w}_i - w_i}{\tau} - \frac{Z_i}{m_i} \right]^2 \right\}.\end{aligned}$$

$\mathcal{B}_\tau$  ist hier angenähert der während der Zeit  $\tau$  ausgeübte Zwang der Verbindungen. Das Gauss'sche Prinzip sagt nun folgendes:

Es seien in einem Augenblicke  $t$  die Koordinaten und Geschwindigkeiten des Systems gegeben, dann sind die Geschwindigkeitskomponenten am Ende des kleinen Zeitraumes  $\tau$  (zur Zeit  $t + \tau$ ) durch die gegebenen freien Kräfte und Verbindungen so bestimmt, daß der Ausdruck  $\mathcal{B}_\tau$  bei der tatsächlichen Bewegung kleiner ist als bei einer beliebigen anderen während desselben Zeitraumes  $\tau$  mit denselben Anfangsbedingungen sich den Verbindungen entsprechend abspielenden Bewegung.

Der Ausdruck  $\mathcal{B}_\tau$  ist daher bei konstantem  $x_i$ ,  $y_i$ ,  $z_i$ ,  $u_i$ ,  $v_i$ ,  $w_i$ ,  $t$  und  $\tau$  zu variieren und seine Variation muß bei allen Werten von  $\delta \bar{u}_i$ ,  $\delta \bar{v}_i$ ,  $\delta \bar{w}_i$  verschwinden, welche den Variationen der Bedingungsgleichungen genügen, es muß daher bei all diesen Werten der  $\delta \bar{u}_i$  etc. sein

$$(3) \quad \left\{ \begin{aligned} \delta \mathcal{B}_\tau &= \sum_{i=1}^n \left\{ \left( m_i \frac{\bar{u}_i - u_i}{\tau} - X_i \right) \delta \bar{u}_i + \left( m_i \frac{\bar{v}_i - v_i}{\tau} - Y_i \right) \delta \bar{v}_i \right. \\ &\quad \left. + \left( m_i \frac{\bar{w}_i - w_i}{\tau} - Z_i \right) \delta \bar{w}_i \right\} = 0. \end{aligned} \right.$$



Man sieht sofort, daß, wenn man mit  $\tau$  die Gleichung (3) dividiert und den Grenzübergang  $\tau = 0$  ausführt, die Gleichung (3) in die Gleichung (II) übergeht; es ist nämlich

$$\lim_{\tau=0} \frac{\delta \bar{u}_i}{\tau} = \lim_{\tau=0} \delta \frac{\bar{u}_i - u_i}{\tau} = \delta x_i'' \text{ etc.}$$

Wir wollen aber den Grenzübergang nur dann ausführen, als wir schon die Bedingungsgleichungen berücksichtigt und die Differentialgleichungen der Bewegung in erster Annäherung aufgestellt haben.

Wir teilen die Bedingungsgleichungen in zwei Gruppen: zur ersten Gruppe sollen die sogenannten *reibungslosen* Verbindungen gehören, zur zweiten die Reibungsbedingungen.

Die erste Gruppe sei daher:

$$(4) \quad \varphi_k(\dots, x_i, y_i, z_i, \dots, t) = 0 \\ (k = 1, 2, \dots, r; \quad i = 1, 2, \dots, n),$$

wo die Funktionen  $\varphi_k$  die nach der Zeit genommenen Ableitungen der Koordinaten nicht enthalten.

Die Gleichungen (4) müssen auch zur Zeit  $t + \tau$  bestehen, daher angenähert

$$\begin{aligned} \varphi_k(\dots, \bar{x}_i, \bar{y}_i, \bar{z}_i, \dots, t + \tau) &= \varphi_k(\dots, x_i, y_i, z_i, \dots, t) \\ &+ \sum_{i=1}^n \left\{ \left( \frac{\partial \varphi_k}{\partial x_i} \right)_t (\bar{x}_i - x_i) + \left( \frac{\partial \varphi_k}{\partial y_i} \right)_t (\bar{y}_i - y_i) + \left( \frac{\partial \varphi_k}{\partial z_i} \right)_t (\bar{z}_i - z_i) \right\} \\ &+ \left( \frac{\partial \varphi_k}{\partial t} \right)_t \tau = (\varphi_k)_t + \frac{\tau}{2} \sum_{i=1}^n \left\{ \left( \frac{\partial \varphi_k}{\partial x_i} \right)_t (u_i + \bar{u}_i) + \left( \frac{\partial \varphi_k}{\partial y_i} \right)_t (v_i + \bar{v}_i) \right. \\ &\quad \left. + \left( \frac{\partial \varphi_k}{\partial z_i} \right)_t (w_i + \bar{w}_i) \right\} + \left( \frac{\partial \varphi_k}{\partial t} \right)_t \tau = 0. \end{aligned}$$

Die Variationen der  $\bar{u}_i$ ,  $\bar{v}_i$ ,  $\bar{w}_i$  müssen daher folgenden Gleichungen Genüge leisten:

$$(5) \quad \sum_{i=1}^n \left( \frac{\partial \varphi_k}{\partial x_i} \delta \bar{u}_i + \frac{\partial \varphi_k}{\partial y_i} \delta \bar{v}_i + \frac{\partial \varphi_k}{\partial z_i} \delta \bar{w}_i \right) = 0 \\ (k = 1, 2, \dots, r).$$

Wären nur die Bedingungen (4) vorhanden, so wären daher aus (3) und (5) die Differentialgleichungen der Bewegung:

$$m_i \frac{\bar{u}_i - u_i}{\tau} - X_i - \sum_{k=1}^r \bar{\lambda}_k \frac{\partial \varphi_k}{\partial x_i} = 0 \text{ etc.} \\ (i = 1, 2, \dots, n)$$

und nach dem Grenzübergang  $\tau = 0$ :

$$(6) \quad \left\{ \begin{array}{l} m_i x_i'' - X_i - \sum_{k=1}^r \lambda_k \frac{\partial \varphi_k}{\partial x_i} = 0, \\ m_i y_i'' - Y_i - \sum_{k=1}^r \lambda_k \frac{\partial \varphi_k}{\partial y_i} = 0, \\ m_i z_i'' - Z_i - \sum_{k=1}^r \lambda_k \frac{\partial \varphi_k}{\partial z_i} = 0, \\ \varphi_k = 0 \\ (i = 1, 2, \dots, n; \quad k = 1, 2, \dots, r), \end{array} \right.$$

wo  $\lim_{\tau=0} \bar{\lambda}_k = \lambda_k$  gesetzt wurde.

Die tatsächliche Bewegung geschieht aber erfahrungsgemäß nicht diesem Gleichungssystem entsprechend, die Größe der Geschwindigkeit der Massenpunkte ist nämlich am Ende eines jeden kleinen Zeitraumes  $\tau$  *kleiner* als bei einer Bewegung, welche sich mit denselben Anfangsbedingungen dem System (6) entsprechend während des Zeitraumes  $\tau$  abspielen würde.

Um zu den Differentialgleichungen der Bewegung zu gelangen, werden wir voraussetzen, daß *die der Reibung zugeschriebene Abweichung der tatsächlichen Bewegung von der durch das System (6) bestimmten auch dem Gaußschen Prinzip des kleinsten Zwanges entspricht.*

Es seien wiederum gegeben die Koordinaten und Geschwindigkeiten des Systems zur Zeit  $t$ ,  $\bar{u}_i$ ,  $\bar{v}_i$ ,  $\bar{w}_i$  die Werte der Geschwindigkeitskomponenten zur Zeit  $t + \tau$ , falls die Bewegung nach dem System (6) erfolgen würde,  $\bar{U}_i$ ,  $\bar{V}_i$ ,  $\bar{W}_i$  die tatsächlichen Geschwindigkeiten des Systems zur Zeit  $t + \tau$ . Wir fragen nun, welchen Bedingungen müssen die  $\bar{U}_i$ ,  $\bar{V}_i$ ,  $\bar{W}_i$  Genüge leisten, damit der aus der Abweichung von der reibungslosen Bewegung (6) resultierende Zwang bei der tatsächlichen Bewegung kleiner sei als bei irgend einer in derselben Zeit  $\tau$  mit denselben Anfangsbedingungen den Bedingungsgleichungen (4) und den Reibungsbedingungen entsprechend sich abspielenden Bewegung?

Den Ausdruck dieses Zwanges  $Z_i$  berechnen wir auch zuerst angenähert.

Es sollen mit  $\bar{x}_i, \bar{y}_i, \bar{z}_i$  die Koordinaten jener Punkte bezeichnet werden, in welchen das System sich zur Zeit  $t + \tau$  befinden würde, falls die Bewegung dem System (6) entsprechend erfolge, mit  $\bar{\bar{x}}_i, \bar{\bar{y}}_i, \bar{\bar{z}}_i$  die Koordinaten bei der tatsächlichen Bewegung zur Zeit  $t + \tau$ , dann ist der Zwang:

$$Z_\tau = \sum_{i=1}^n m_i \{ (\bar{\bar{x}}_i - \bar{x}_i)^2 + (\bar{\bar{y}}_i - \bar{y}_i)^2 + (\bar{\bar{z}}_i - \bar{z}_i)^2 \},$$

es ist aber angenähert:

$$\bar{\bar{x}}_i - \bar{x}_i = \frac{\tau}{2} (u_i + \bar{U}_i),$$

und aus den Gleichungen (6) ebenfalls angenähert:

$$\bar{x}_i - x_i = u_i \tau + \frac{\tau^2}{2 m_i} \left( X_i + \sum_{k=1}^r \lambda_k \frac{\partial \varphi_k}{\partial x_i} \right).$$

daher

$$Z_\tau = \frac{\tau^4}{4} \sum_{i=1}^n \left\{ \left( m_i \frac{\bar{U}_i - u_i}{\tau} - X_i - L_i \right)^2 + \left( m_i \frac{\bar{V}_i - v_i}{\tau} - Y_i - M_i \right)^2 + \left( m_i \frac{\bar{W}_i - w_i}{\tau} - Z_i - N_i \right)^2 \right\},$$

wo zur Abkürzung:

$$L_i = \sum_{k=1}^r \lambda_k \frac{\partial \varphi_k}{\partial x_i}, \quad M_i = \sum_{k=1}^r \lambda_k \frac{\partial \varphi_k}{\partial y_i}, \quad N_i = \sum_{k=1}^r \lambda_k \frac{\partial \varphi_k}{\partial z_i}.$$

$Z_\tau$  soll bei konstantem  $x_i, y_i, z_i, u_i, v_i, w_i, t, \tau$  ein Minimum werden, es muß daher die Gleichung:

$$(7) \quad \left\{ \begin{aligned} \delta Z'_\tau &= \sum_{i=1}^n \left\{ \left( m_i \frac{\bar{U}_i - u_i}{\tau} - X_i - L_i \right) \delta \bar{U}_i \right. \\ &\quad + \left( m_i \frac{\bar{V}_i - v_i}{\tau} - Y_i - M_i \right) \delta \bar{V}_i \\ &\quad \left. + \left( m_i \frac{\bar{W}_i - w_i}{\tau} - Z_i - N_i \right) \delta \bar{W}_i \right\} = 0 \end{aligned} \right.$$

bei allen Werten der Variationen  $\delta \bar{U}_i, \delta \bar{V}_i, \delta \bar{W}_i$  bestehen, welche den Variationen der Bedingungsgleichungen Genüge leisten.

Die erste Gruppe der Bedingungsgleichungen liefert wieder:

$$(5) \quad \delta F_k = \sum_{i=1}^n \left\{ \frac{\partial \varphi_k}{\partial x_i} \delta \bar{U}_i + \frac{\partial \varphi_k}{\partial y_i} \delta \bar{V}_i + \frac{\partial \varphi_k}{\partial z_i} \delta \bar{W}_i \right\} = 0$$

( $k = 1, 2, \dots, n$ ).

Es sollen nun die *Reibungsbedingungen* aufgestellt und berücksichtigt werden.

Erfahrungsgemäß ist die Größe der Geschwindigkeit zur Zeit  $t + \tau$  immer *kleiner* als bei einer Bewegung, welche, mit denselben Anfangsbedingungen zur Zeit  $t$ , laut System (4) in demselben Zeitraum  $\tau$  erfolgen würde. Der entstehende Verlust an Geschwindigkeit wird einer allgemeinen Ursache, der sogenannten *Reibung und Widerstand des Mediums* zugeschrieben. Bewegt sich ein Punkt auf einer vorgeschriebenen Fläche oder Kurve, so bezieht sich dieser Verlust erfahrungsgemäß nur auf die zur Fläche oder Kurve *relative* Geschwindigkeit des Punktes. Bezeichnen wir also mit  $\bar{\alpha}_i, \bar{\beta}_i, \bar{\gamma}_i$  die Geschwindigkeitskomponenten der Fläche oder Kurve im Augenblick  $t + \tau$  in ihrem Punkte  $\bar{x}_i, \bar{y}_i, \bar{z}_i$  und zu derselben Zeit in ihrem Punkte  $\bar{\Xi}_i, \bar{H}_i, \bar{Z}_i$  mit  $\bar{A}_i, \bar{B}_i, \bar{I}_i$ , dann können wir für jeden Punkt des Systems eine Reibungsbedingung der Form aufstellen:

$$(8) \quad \begin{cases} (\bar{u}_i - \bar{\alpha}_i)^2 + (\bar{v}_i - \bar{\beta}_i)^2 + (\bar{w}_i - \bar{\gamma}_i)^2 \\ - (\bar{U}_i - \bar{A}_i)^2 - (\bar{V}_i - \bar{B}_i)^2 - (\bar{W}_i - \bar{I}_i)^2 = \Psi_i \\ (i = 1, 2, \dots, n), \end{cases}$$

wo  $\Psi_i$  eine immer positive Funktion der Koordinaten  $x_i, y_i, z_i$  der Zeit  $t$ , des Zeitraumes  $\tau$  und der Geschwindigkeitskomponenten  $u_i, v_i, w_i$  und  $\bar{U}_i, \bar{V}_i, \bar{W}_i$ , eventuell irgend anderer Parameter (Koordinaten eines anderen Punktes, Temperatur des Systems etc.) ist.

Die Funktion  $\Psi_i$  muß auf Grund der Erfahrung so bestimmt werden, daß die tatsächlichen Bewegungen durch die mit Rücksicht auf die Bedingungen (8) aufgestellten Differentialgleichungen befriedigend beschrieben werden können, die Zahl der in derselben enthaltenen Variabeln kann aber mit Rücksicht darauf, daß  $\tau$  ein kleiner Zeitraum ist, bedeutend vermindert werden. Es ist nämlich angenähert:

$$\Psi_i(x_i, y_i, z_i, u_i, \bar{U}_i, v_i, \bar{V}_i, w_i, \bar{W}_i, \tau, t) = (\Psi_i)_{\tau=0} + \left[ \frac{d \Psi_i}{d \tau} \right]_{\tau=0} \tau.$$

Es ist aber  $(\Psi_i)_{\tau=0}$  der Verlust an Geschwindigkeit während des Zeitraumes  $\tau = 0$  auch Null, und  $[d\Psi_i/dt]_{\tau=0}$  erhält nunmehr bloß die Variablen  $x_i, y_i, z_i, u_i, v_i, w_i, t$ .

Die Reibungsbedingung für einen Punkt lautet daher:

$$(9) \quad \begin{cases} R_i = (\bar{u}_i - \bar{\alpha}_i)^2 + (\bar{v}_i - \bar{\beta}_i)^2 + (\bar{w}_i - \bar{\gamma}_i)^2 \\ \quad - (\bar{U}_i - \bar{A}_i)^2 - (\bar{V}_i - \bar{B}_i)^2 - (\bar{W}_i - \bar{I}_i)^2 \\ \quad - \Phi_i(x_i, y_i, z_i, u_i, v_i, w_i, t) \tau, \end{cases}$$

wo  $\Phi_i$  abermals eine bei sämtlichen Werten ihrer Variablen positive Funktion bedeutet, und aus (4) angenähert:

$$(10) \quad \begin{cases} \bar{u}_i = u_i + \frac{1}{m_i} (X_i + L_i) \tau, \\ \bar{v}_i = v_i + \frac{1}{m_i} (Y_i + L_i) \tau, \\ \bar{w}_i = w_i + \frac{1}{m_i} (Z_i + L_i) \tau. \end{cases}$$

Man erhält ebenfalls angenähert, wenn die Geschwindigkeitskomponenten der vorgeschriebenen Fläche oder Kurve im Punkte  $x_i, y_i, z_i$  zur Zeit  $t$  mit  $\alpha_i, \beta_i, \gamma_i$  bezeichnet werden:

$$\bar{A}_i = \alpha_i + \frac{\partial \alpha_i}{\partial x_i} (\bar{x}_i - x_i) + \frac{\partial \alpha_i}{\partial y_i} (\bar{y}_i - y_i) + \frac{\partial \alpha_i}{\partial z_i} (\bar{z}_i - z_i) + \frac{\partial \alpha_i}{\partial t} \tau,$$

$$\bar{\alpha}_i = \alpha_i + \frac{\partial \alpha_i}{\partial x_i} (\bar{x}_i - x_i) + \frac{\partial \alpha_i}{\partial y_i} (\bar{y}_i - y_i) + \frac{\partial \alpha_i}{\partial z_i} (\bar{z}_i - z_i) + \frac{\partial \alpha_i}{\partial t} \tau,$$

also:

$$(11) \quad \begin{cases} \bar{A}_i = \alpha_i + \left[ \frac{\partial \alpha_i}{\partial x_i} (u_i + \bar{U}_i) + \frac{\partial \alpha_i}{\partial y_i} (v_i + \bar{V}_i) \right. \\ \quad \left. + \frac{\partial \alpha_i}{\partial z_i} (w_i + \bar{W}_i) + 2 \frac{\partial \alpha_i}{\partial t} \right] \frac{\tau}{2}, \end{cases}$$

$$(12) \quad \begin{cases} \bar{\alpha}_i = \alpha_i + \left[ \frac{\partial \alpha_i}{\partial x_i} (u_i + \bar{u}_i) + \frac{\partial \alpha_i}{\partial y_i} (v_i + \bar{v}_i) \right. \\ \quad \left. + \frac{\partial \alpha_i}{\partial z_i} (w_i + \bar{w}_i) + 2 \frac{\partial \alpha_i}{\partial t} \right] \frac{\tau}{2}, \end{cases}$$

etc.

Bildet man die Variation des Ausdruckes  $R_i$ , so muß man dabei die Gleichungen (10), (11) und (12) berücksichtigen, woraus hervorgeht, daß  $\bar{u}_i, \bar{v}_i, \bar{w}_i, \bar{\alpha}_i, \bar{\beta}_i, \bar{\gamma}_i$  von  $\bar{U}_i, \bar{V}_i, \bar{W}_i$  unabhängig sind, während  $\bar{A}_i, \bar{B}_i, \bar{I}_i$  als durch die Gleichungen (1) definierte Funktionen der  $\bar{U}_i, \bar{V}_i, \bar{W}_i$  betrachtet werden müssen.



Es ergibt sich also:

$$(13) \left\{ \begin{aligned} \delta R_i &= \left\{ (\bar{U}_i - \bar{A}_i) \left( 1 - \frac{\partial \alpha_i}{\partial x_i} \frac{\tau}{2} \right) \right. \\ &\quad \left. - \left[ (\bar{V}_i - \bar{B}_i) \frac{\partial \beta_i}{\partial x_i} + (\bar{W}_i - \bar{F}_i) \frac{\partial \gamma_i}{\partial x_i} \right] \frac{\tau}{2} \right\} \delta \bar{U}_i \\ &\quad + \left\{ (\bar{V}_i - \bar{B}_i) \left( 1 - \frac{\partial \beta_i}{\partial y_i} \frac{\tau}{2} \right) \right. \\ &\quad \left. - \left[ (\bar{U}_i - \bar{A}_i) \frac{\partial \alpha_i}{\partial y_i} + (\bar{W}_i - \bar{F}_i) \frac{\partial \gamma_i}{\partial y_i} \right] \frac{\tau}{2} \right\} \delta \bar{V}_i \\ &\quad + \left\{ (\bar{W}_i - \bar{F}_i) \left( 1 - \frac{\partial \gamma_i}{\partial z_i} \frac{\tau}{2} \right) \right. \\ &\quad \left. - \left[ (\bar{U}_i - \bar{A}_i) \frac{\partial \alpha_i}{\partial z_i} + (\bar{V}_i - \bar{B}_i) \frac{\partial \beta_i}{\partial z_i} \right] \frac{\tau}{2} \right\} \delta \bar{W}_i = 0 \\ &\quad (i = 1, 2, \dots, n). \end{aligned} \right.$$

Die Bewegungsgleichungen des Systems ergeben sich durch die bekannte Methode der Multiplikatoren aus den Gleichungen:

$$(7) \quad \delta Z'_i = 0,$$

$$(5') \quad \delta F_k = 0 \quad (k = 1, 2, \dots, r),$$

$$(13) \quad \delta R_i = 0 \quad (i = 1, 2, \dots, n),$$

falls diese Gleichungen voneinander unabhängig sind. Es kann aber gezeigt werden, daß dies hier nicht der Fall ist, denn die aus (7) und (13) allein abgeleitete Bewegung befriedigt *identisch* die Gleichungen (5'), der Zwang bei der bloß aus (7) und (13) abgeleiteten Bewegung wird daher kleiner sein als bei irgend einer entsprechenden, das System (13) und (5') befriedigenden Bewegung. Das System (5') kann daher aus der Reihe der Bedingungsgleichungen einfach weggelassen werden.

Um dies zu beweisen, werden wir zuerst die Bewegungsgleichungen aus (7) und (13) allein ableiten.

Es folgt nach dem bekannten Verfahren:

$$(14) \left\{ \begin{aligned} m_i \frac{\bar{U}_i - u_i}{\tau} - (X_i + L_i) + \mu_i (\bar{U}_i - \bar{A}_i - P_i \tau) &= 0, \\ m_i \frac{\bar{V}_i - v_i}{\tau} - (Y_i + M_i) + \mu_i (\bar{V}_i - \bar{B}_i - Q_i \tau) &= 0, \\ m_i \frac{\bar{W}_i - w_i}{\tau} - (Z_i + N_i) + \mu_i (\bar{W}_i - \bar{F}_i - R_i \tau) &= 0, \end{aligned} \right.$$

wo  $P_i$ ,  $Q_i$ ,  $R_i$  von  $\tau$  unabhängige Funktionen sind, so daß

$$\lim_{\tau \rightarrow 0} P_i \tau = \lim_{\tau \rightarrow 0} Q_i \tau = \lim_{\tau \rightarrow 0} R_i \tau = 0.$$

Mit Hülfe der Gleichung (9) kann  $\mu_i$  aus diesen Gleichungen berechnet werden; man erhält:

$$\begin{aligned} & - \{(\bar{U}_i - \bar{A}_i - P_i \tau)(\bar{U}_i - \bar{A}_i + u_i - \bar{a}_i) \\ & + (\bar{V}_i - \bar{B}_i - Q_i \tau)(\bar{V}_i - \bar{B}_i + v_i - \bar{\beta}_i) \\ & + (\bar{W}_i - \bar{I}_i - S_i \tau)(\bar{W}_i - \bar{I}_i + w_i - \bar{\gamma}_i)\} \mu_i \\ & = (X_i + L_i)(u_i - \bar{a}_i - \bar{U}_i + \bar{A}_i) \\ & + (Y_i + M_i)(v_i - \bar{\beta}_i - \bar{V}_i + \bar{B}_i) \\ & + (Z_i + N_i)(w_i - \bar{\gamma}_i - \bar{W}_i + \bar{I}_i) \\ & + \frac{m_i}{\tau} \{ \bar{a}_i^2 + \bar{\beta}_i^2 + \bar{\gamma}_i^2 - \bar{A}_i^2 - \bar{B}_i^2 - \bar{I}_i^2 \\ & \quad + u_i(\bar{A}_i - \bar{a}_i) + v_i(\bar{B}_i - \bar{\beta}_i) + w_i(\bar{I}_i - \bar{\gamma}_i) \\ & + \bar{U}_i(\bar{A}_i - \bar{a}_i) + \bar{V}_i(\bar{B}_i - \bar{\beta}_i) + \bar{W}_i(\bar{I}_i - \bar{\gamma}_i) \} \\ & - m_i \Phi_i(x_i, y_i, z_i, u_i, v_i, w_i, t). \end{aligned}$$

Setzt man den daraus sich ergebenden Wert des  $\mu_i$  in (14) und läßt  $\tau$  zu Null konvergieren, dann erhält man, wegen

$$\lim_{\tau=0} \bar{U}_i = \lim_{\tau=0} \bar{a}_i = u_i = x_i,$$

$$\lim_{\tau=0} \bar{A}_i = \lim_{\tau=0} \bar{a}_i = a_i,$$

$$\lim_{\tau=0} \frac{\bar{U}_i - u_i}{\tau} = \frac{d u_i}{d t} = x_i'',$$

endlich wegen [(vgl. Gleichung (11) und (12)]

$$\begin{aligned} \lim_{\tau=0} \frac{\bar{A}_i - a_i}{\tau} &= \frac{1}{2} \lim \left\{ \frac{\partial a_i}{\partial x_i} (\bar{U}_i - u_i) \right. \\ & \quad \left. + \frac{\partial a_i}{\partial y_i} (\bar{V}_i - v_i) + \frac{\partial a_i}{\partial z_i} (\bar{W}_i - w_i) \right\} = 0 \text{ etc.} \end{aligned}$$

folgendes System:

$$\left\{ \begin{aligned} m_i x_i'' - X_i - \sum_{k=1}^r \lambda_k \frac{\partial q_k}{\partial x_i} + \frac{\frac{1}{2} m_i \Phi_i(x_i, y_i, z_i; x_i', y_i', z_i'; t)}{(x_i' - a_i)^2 + (y_i' - \beta_i)^2 + (z_i' - \gamma_i)^2} (x_i' - a_i) &= 0, \\ m_i y_i'' - Y_i - \sum_{k=1}^r \lambda_k \frac{\partial q_k}{\partial y_i} + \frac{\frac{1}{2} m_i \Phi_i(x_i, y_i, z_i; x_i', y_i', z_i'; t)}{(x_i' - a_i)^2 + (y_i' - \beta_i)^2 + (z_i' - \gamma_i)^2} (y_i' - \beta_i) &= 0, \\ m_i z_i'' - Z_i - \sum_{k=1}^r \lambda_k \frac{\partial q_k}{\partial z_i} + \frac{\frac{1}{2} m_i \Phi_i(x_i, y_i, z_i; x_i', y_i', z_i'; t)}{(x_i' - a_i)^2 + (y_i' - \beta_i)^2 + (z_i' - \gamma_i)^2} (z_i' - \gamma_i) &= 0 \\ & (i = 1, 2, \dots, n). \end{aligned} \right.$$

Diese Gleichungen bilden schon das gesuchte System der Bewegungsgleichungen, falls wir beweisen können, daß die durch (A) bestimmte Bewegung den reibungslosen Bedingungen

$$(4) \quad q_k(\dots, x_i, y_i, z_i, \dots; t) = 0 \quad (k = 1, 2, \dots, n)$$

entspricht. Dieser Beweis kann aber sehr einfach geführt werden.

Folgt nämlich aus den Gleichungen (4), daß im Augenblicke  $t$  der Massenpunkt  $m_i$  gezwungen ist auf etwa  $m$  Flächen ( $m \leq 3$ ) zu bleiben, dann muß offenbar die relative Geschwindigkeit des Punktes zur Normale dieser Flächen senkrecht stehen; bezeichnen wir die Richtungskosinus dieser Flächen mit

$$\varrho_m, \sigma_m, \tau_m,$$

dann müssen die Anfangsgeschwindigkeiten  $u_i, v_i, w_i$  zur Zeit  $t$  den Gleichungen

$$(15) \quad \varrho_m(u_i - \alpha_i) + \sigma_m(v_i - \beta_i) + \tau_m(w_i - \gamma_i) = 0 \quad (m = 1, 2, 3)$$

Genüge leisten.

Nehmen wir an, wir haben  $u_i, v_i, w_i$  dieser Forderung entsprechend gewählt und beweisen, daß, falls der weitere Verlauf der Bewegung dem System (A) gemäß erfolgt, die Gleichungen (4) auch in späteren Augenblicken immer befriedigt werden, da die aus dem System (4) entspringenden relativen Beschleunigungen auch senkrecht zu den Flächen stehen, auf welchen der Massenpunkt  $m_i$  seine Bewegung ausführen muß. Es ist nämlich

$$(16) \quad \left\{ \begin{aligned} & \varrho_m(x_i'' - \alpha_i') + \sigma_m(y_i'' - \beta_i') + \tau_m(z_i'' - \gamma_i') \\ &= \left[ \frac{1}{m_i}(X_i + L_i) - \alpha_i' \right] \varrho_m + \left[ \frac{1}{m_i}(Y_i + M_i) - \beta_i' \right] \sigma_m \\ & \quad + \left[ \frac{1}{m_i}(Z_i + N_i) - \gamma_i' \right] \tau_m \\ & - \frac{\frac{1}{2} \Phi}{(x_i' - \alpha_i)^2 + (y_i' - \beta_i)^2 + (z_i' - \gamma_i)^2} (\varrho_m(x_i' - \alpha_i) + \sigma_m(y_i' - \beta_i) \\ & \quad + \tau_m(z_i' - \gamma_i)) = 0. \end{aligned} \right.$$

$\alpha_i', \beta_i', \gamma_i'$  bedeuten hier die Beschleunigungskomponenten der Fläche oder Kurve (eventuell des Punktes), welchen der Massenpunkt  $m_i$  während seiner Bewegung nicht verlassen darf. Obige Gleichung ist aber bei der Voraussetzung (15) immer befriedigt,

denn die relativen Beschleunigungskomponenten der nach dem System (6) vor sich gehenden Bewegung

$$\frac{1}{m_i}(X_i + L_i) - \alpha'_i, \quad \frac{1}{m_i}(Y_i + M_i) - \beta'_i, \quad \frac{1}{m_i}(Z_i + N_i) + \gamma'_i$$

sind eben durch die in denselben vorhandenen  $\lambda_k$  so bestimmt worden, daß die Gleichungen (4) in jedem Augenblicke befriedigt werden sollen, die zwei Teile der linken Seite in Gleichung (1) sind daher jede für sich gleich Null.

Wir haben daher folgendes allgemeine Problem gelöst:

*Es sei irgend ein System von materiellen Punkten gegeben, auf welchen gegebene, von den Koordinaten und der Zeit abhängige äußere Kräfte wirken; zwischen den Punkten des Systems sollen gegebene, durch Gleichungen oder Gleichungen und Ungleichungen ausdrückbare Verbindungen bestehen; die Verbindungen können mit Reibung behaftet sein und die ganze Bewegung kann in einem widerstehenden Medium vor sich gehen. Wir fragen nach den Differentialgleichungen der Bewegung, vorausgesetzt, daß die Abweichung von der freien Bewegung dem Gauss'schen Prinzipie des kleinsten Zwanges entsprechend erfolgt. —*

Das System (A) liefert die allgemeine Lösung dieses Problems, wo die  $\lambda_k$  so bestimmt werden müssen, daß die Bedingungsgleichungen (4) befriedigt sein sollen.

Das System (A) ist ein allgemeines Schema, aus welchem durch geeignete Wahl der Funktion  $\Phi_i$  sämtliche bis jetzt empirisch aufgestellte Gleichungen für mit Reibung und Widerstand verbundenen Bewegungen abgeleitet werden können.

Durch Einführung der Reibungsbedingungen (9) sind nämlich zur linken Seite des Systems (6) folgende neue Glieder getreten:

$$\begin{aligned} -A_i &= \frac{\frac{1}{2} m_i \Phi_i}{V_i^2} (x'_i - \alpha_i), & -B_i &= \frac{\frac{1}{2} m_i \Phi_i}{V_i^2} (y'_i - \beta_i), \\ -C_i &= \frac{\frac{1}{2} m_i \Phi_i}{V_i^2} (z'_i - \gamma_i), \end{aligned}$$

wo zur Abkürzung:

$$V_i^2 = (x'_i - \alpha_i)^2 + (y'_i - \beta_i)^2 + (z'_i - \gamma_i)^2.$$

$A_i$ ,  $B_i$ ,  $C_i$  können als Komponenten einer Kraft angesehen werden, welche der relativen Geschwindigkeit des Punktes

immer entgegengesetzt wirkt, daher mit Recht Reibung und Widerstandskraft genannt werden kann.

Bezüglich dieser Kräfte sind von der Erfahrung ausgehend verschiedene Hypothesen aufgestellt worden; diese Hypothesen werden in der vorhandenen Theorie auf die Funktion  $\Phi_i$  übertragen.

Wird z. B.

$$\Phi_i = k \cdot V_i^2$$

gesetzt, wo  $k$  eine Konstante bedeutet, so erhält man aus (A) ein System, welches zur Beschreibung eines mit reibungslosen Verbindungen behafteten Systems in einem widerstehenden Medium ziemlich geeignet ist. Ein spezieller Fall dieses Systems wird z. B. die Differentialgleichung der gedämpften harmonischen Schwingungen sein.

Sind die Verbindungen mit Reibung behaftet, so kann

$$\Phi_i = k_i (L_i^2 + M_i^2 + N_i^2)^{1/2} V_i^2,$$

gesetzt werden, wo  $k_i$  eine Konstante, oder auch eine experimentell zu bestimmende Funktion von  $x_i$ ,  $y_i$ ,  $z_i$  und  $t$  sein kann,  $\Phi_i$  ist also mit der *Druckkraft* proportional und man erhält hieraus die bekannten Differentialgleichungen für die reibende Bewegung auf einer vorgeschriebenen Fläche oder Kurve in der Form, wie sie von Lagrange und Kirchhoff aufgestellt wurden, welche auch zu einer ziemlich befriedigenden Beschreibung der tatsächlichen Erscheinungen führen.

Es ist daher gelungen, auch die mit Reibung und Widerstand behafteten Bewegungen in den Rahmen der mechanischen Prinzipie aufzunehmen, was aber nur mit Hülfe der zweiten Gruppe derselben (mit dem Gauss'schen Prinzip des kleinsten Zwanges) geschehen konnte, wodurch dasselbe die übrigen in seiner Allgemeinheit übertrifft.

#### Anhang über den Energieumsatz in der Mechanik.

Es sei mir gestattet, ganz kurz einiges über die Untersuchung des *Ostwald'schen Maximumprinzips* des Hrn. Januschke<sup>1)</sup> zu bemerken.

1) H. Januschke, Ann. d. Phys. 11. p. 445. 1903.



Hr. Januschke setzt den *Energieumsatz* während des Zeitelementes  $dt$  gleich:<sup>1)</sup>

$$P dr + \frac{1}{2} m v^2 \cos^2 \beta - \frac{1}{2} m v^2.$$

$P$  ist hier die Größe der Zentralkraft,  $dr$  das Wegelement in ihrer Richtung,  $v$  die Geschwindigkeit des Punktes von der Masse  $m$ ,  $\beta$  der Winkel zweier aufeinander folgender Bahnelemente.

Gewöhnlich versteht man unter Energieumsatz in einer Zeit  $dt$  die Energiemenge, welche während derselben Zeit von einer Energieart in eine andere umgewandelt wurde, also bei rein mechanischen Vorgängen die *Arbeit* der äußeren Kräfte oder die damit gleiche Änderung der lebendigen Kraft des Systems, oder auch etwa den Mittelwert aus beiden. Im vorliegenden Falle ist offenbar  $P dr$  der Energieumsatz, oder auch

$$\frac{1}{2} m (\bar{v}^2 - v^2),$$

wo  $\bar{v}$  die Größe der Geschwindigkeit am Ende des Zeitelementes  $dt$  bedeutet. Im Ausdrucke des Hrn. Januschke (welcher wahrscheinlich den *doppelten* Energieumsatz darstellen will, was aber selbstverständlich kein wesentlicher Fehler wäre) wird aber anstatt

$$\frac{1}{2} m (\bar{v}^2 - v^2)$$

$$\frac{1}{2} m v^2 \cos^2 \beta - \frac{1}{2} m v^2$$

gesetzt, es ist also dieser Ausdruck nach Hrn. Januschke der Änderung der kinetischen Energie im Zeitelemente  $dt$  gleich.

Hieraus ergibt sich:

1. Bei einer gleichförmigen Kreisbewegung ist während der Zeit  $dt$  auch eine Änderung der kinetischen Energie vorhanden.

2. Die Änderung der kinetischen Energie kann bei einer Zentralbewegung *nie positiv sein* (es ist ja  $\cos^2 \beta \leq 1$ ), also im Falle einer *anziehenden* Kraft kann sich der Massenpunkt dem Kraftzentrum *nicht nähern*, im Falle einer *abstoßenden* Kraft kann sich aber derselbe vom Kraftzentrum *nicht entfernen*.

1) l. c. p. 446.

Ich glaube kaum, daß eine solche Definition des Energieumsatzes zu richtigen Resultaten führen kann.

Was nun die Kritik anbelangt, welche Hr. Januschke gegen meine Behandlung desselben Prinzipes ausübt<sup>1)</sup>, so glaube ich dieselbe nicht eingehend besprechen zu müssen, denn der Einwand des Hrn. Januschke bezieht sich eigentlich nicht auf das Ostwaldsche Prinzip, sondern auf die Grundlagen der Variationsrechnung, welche aber heutzutage kaum mehr einer Verteidigung bedürfen.

Budapest, 6. Juni 1903.

---

1) l. c. p. 447.

(Eingegangen 10. Juni 1903.)

✓

**6. Untersuchung und objektive Darstellung  
von Flaschenbatterie- und Induktionsströmen;  
von Franz Wittmann.**

Die sowohl aus theoretischen wie aus praktischen Gesichtspunkten überaus wichtigen Vorgänge bei der Entladung von Leydener Flaschen, ferner der zeitliche Verlauf der sekundären Ströme von Induktorien sind vielfach untersucht worden.

I. Bezüglich der *Flaschenbatterien* haben die oft — insbesondere von Hrn. L. Lorenz<sup>1)</sup> — wiederholten Versuche Feddersens die theoretischen Überlegungen W. Thomsons vollständig bestätigt. Jedoch ist die von Feddersen und die nach denselben Prinzipien mit einfachen Hilfsmitteln zu objektiver Beobachtung eingerichtete Versuchsanordnung von Hrn. L. Zehnder<sup>2)</sup> nicht geeignet die Stromkurve, das ist den zeitlichen Verlauf der Stromintensität, zur Anschauung zu bringen.

Die Herren F. Richarz und W. Ziegler<sup>3)</sup> haben zu diesem Zwecke die Braunsche Kathodenröhre verwendet, wobei sie die Entladungsdauer durch Einschalten einer Spule von großer Selbstinduktion vergrößerten. Unleugbar ist diese Methode zur subjektiven Beobachtung des Intensitätsverlaufs der Entladungserscheinung geeignet, infolgedessen auch recht instruktiv; doch haftet derselben der Mangel an, daß man bei der geringen Lichtintensität des sich schnell bewegenden Kathodenfleckes mit den heutigen Hilfsmitteln auf eine objektive Darstellung der Erscheinung verzichten muß.

Es ist mir gelungen, den erwähnten Mängeln auf eine Weise abzuhelpen, daß sogar ein großes Auditorium die beliebig oft wiederkehrende und auf einen Schirm projizierte Entladungskurve beobachten kann; auch läßt sich dieselbe auf photo-

1) L. Lorenz, Wied. Ann. 7. p. 161. 1879.

2) L. Zehnder, Ann. d. Phys. 9. p. 899. 1902.

3) W. Ziegler, Ann. d. Phys. 1. p. 468. 1900.

graphischem Wege leicht fixieren, wie dies die weiter unten folgenden Figuren bezeugen.

Ich habe zu meinen Versuchen die einfachsten Hilfsmittel, nach dem Blondel-Duddelschen Prinzip hergestellt Oszillographen<sup>1)</sup>, das ist schnell schwingende Galvanometer, verwendet.

Bei diesen Instrumenten befindet sich im fixen magnetischen Felde eines starken Elektromagneten eine aus sehr dünnem Metallband (von G. S. Ohm Lahn genannt) verfertigte Schleife von sehr geringem Trägheitsmomente; durch die Wechselwirkung des die Schleife durchfließenden Entladungstromes und des magnetischen Feldes wird die Schleife tordiert, wodurch das auf die Mitte der Schleife geklebte, versilberte Mikroskopdeckgläschen gedreht wird. Ein mittels elektrischen Bogenlichtes erzeugtes oder von der Sonne herrührendes und auf das Spiegelchen fallendes Strahlenbündel wird auf einen rotierenden Spiegelapparat und von demselben als konvergentes Strahlenbündel auf einen Schirm oder eine lichtempfindliche Platte geworfen.

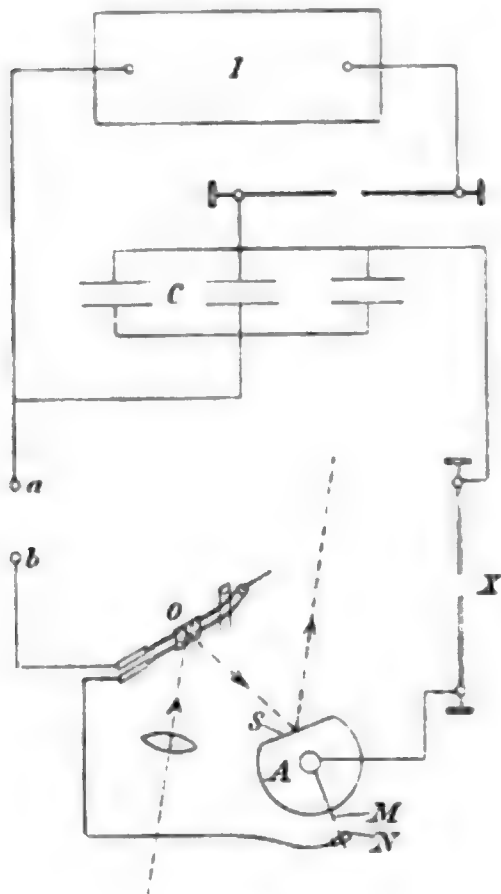


Fig. 1.

Die Schaltungsskizze (Fig. 1) zeigt die Versuchsanordnung. Mit

Hülfe eines Ruhmkorffschen Induktoriums ( $J$ ) oder einer Influenzmaschine wird die aus 18 auf Quantität geschalteten Leydener Flaschen ( $C$ ), von der Kapazität 0,036 Mikrof., bestehende Batterie geladen. Im Schließungskreise der letzteren befindet sich eine kleine Funkenstrecke ( $X$ ), ferner eine variable Selbstinduktion, eventuell großer Ohmscher Widerstand, also derjenige Bestandteil ( $a, b$ ) des Schließungskreises, dessen Ein-

1) The Electrician 39. p. 637. 1897. Demonstriert in einem Vortrage des Verfassers am 16. Oktober 1901; publiziert im Maiheft 1902 des „Természettudományi Közlöny“, dem Fachorgane der „Königlich Ungarischen naturwissenschaftlichen Gesellschaft zu Budapest“.

fluß auf die Entladungserscheinung den Gegenstand der Untersuchung bildet. In den einfachen Schließungskreis schalten wir noch die Schleife des Oscillographen und die Entladungsvorrichtung des rotierenden Spiegelapparates (*A*). Der letztere hat außer dem erwähnten Zwecke der Darstellung des Stromkurvenbildes noch die Aufgabe zu erfüllen, bei jeder Umdrehung zwei von Glasröhrchen umgebene Stifte (*M*, *N*) einander so nahe zu bringen, daß bei genügender Spannung der Flaschenbatterie die Entladung vor sich gehe. Bei guter Isolation der Stifte und entsprechender Rotationsgeschwindigkeit des Spiegelapparates erscheinen die aufeinander folgenden Entladungsstromkurven an derselben Stelle und in so rascher Folge, daß man ein kinematographisches Bild zu sehen glaubt.

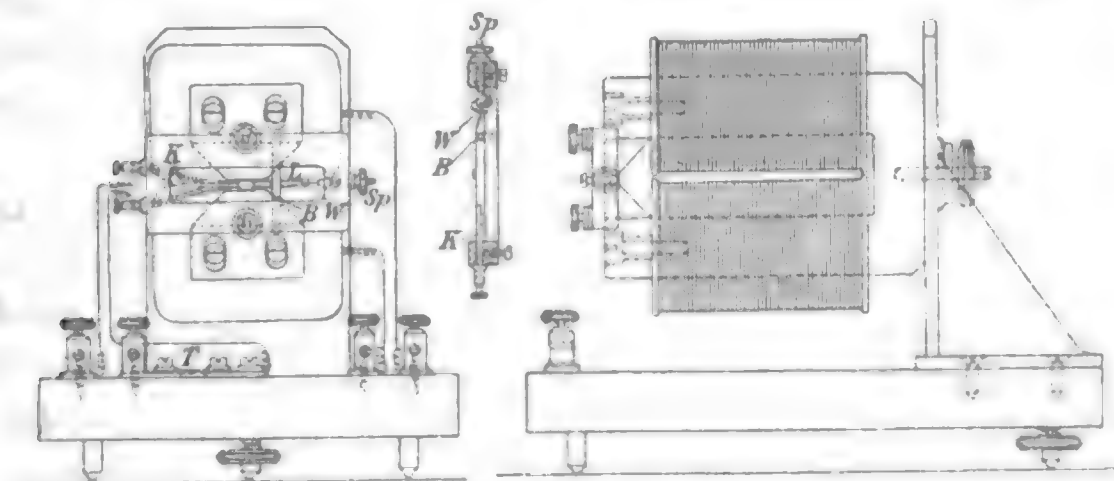


Fig. 2.

Bei meinem Oszillographen (Fig. 2), dessen Elektromagnet um einen horizontalen Zapfen drehbar ist, können die abnehmbaren konvergenten Polschuhe in verschiedene Distanz voneinander gebracht werden. In der ungefähr 4 mm breiten Luftstrecke befindet sich die auf einem Holzrähmchen ausgespannte Schleife (*L*) aus Lahn<sup>1)</sup>; die Stromzuführung zu derselben geschieht mittels zweier festgeklebter Kupferdrähte (*K*), an welche die beiden Schleifenenden angelötet werden; die Schleife ist über einen Quersteg aus Bein (*B*) gespannt und schlingt sich um eine kleine Rolle aus Bein (*W*). Die Rolle wird von einer in der Längsrichtung verschiebbaren,

1) Aus der Werkstätte des Hrn. Prof. M. Th. Edelmann in München als Reservezuführungsband für ein geliefertes Solenoidgalvanometer erhalten.



doch nicht drehbaren Schraubenspindel ( $Sp$ ) gehalten, welche durch die Schraubenmutter bewegt, die Schleifenbänder gleichmäßig zu spannen gestattet. Als Schmelzsicherung ist ein schmaler Stanniolstreifen ( $T$ ) vorgeschaltet. Zur Dämpfung der Eigenschwingungen der Schleife dient ein sehr leichtes Aluminiumrähmchen, welches auf die Schleife isoliert aufgeklebt wird.

Die Eigenschwingungen des Apparates können dadurch bestimmt werden, daß man durch die Schleife mittels elektromagnetischen Unterbrechers intermittierenden Strom leitet und



Fig. 3.



Fig. 4.

dann aus der Zahl der Schwingungen, sowie aus der bekannten Periode der Unterbrechungen die Schwingungsdauer berechnet (Figg. 3, 4).

Apparat Nr. 1 hat eine Schleifenlänge von 4,5 cm und gemäß meinen Messungen die Schwingungsdauer 0,002 Sek.

Apparat Nr. 2 hat eine Schleifenlänge von 2 cm und die gemessene Eigenschwingungsdauer von 0,0006 Sek.

Der mittels eines kleinen Elektromotors in Rotation erhaltene Spiegelapparat ( $A$ , Fig. 5) besteht, dem Zehnderschen ähnlich, aus einem in Paraffin ausgekochten Holzzyylinder mit einer Aussparung, in welcher ein Planspiegel ( $S$ ) befestigt ist. In einer Vertiefung der Mantelfläche des Zylinders, welche nachträglich wieder vollkommen verdeckt wird, ist der Achse parallel und an dieselbe gelötet, ein dicker Messingdraht ( $P$ ) eingebettet. Nahe dem unteren Ende des Drahtes ist ein horizontaler Neusilberstift ( $M$ ) eingeschraubt, welcher aus dem Zylinder herausragt, und wie erwähnt, bis zum Ende mit einem Glasröhrchen umgeben ist. Am Holzgestell des Spiegelapparates

befindet sich ein dicker, bogenförmiger Messingstreifen, an dessen Ende der andere, ebenfalls von einem Glasröhrchen umgebene Stift (*N*) in einregulierbarer Entfernung vom rotierenden Stifte befestigt ist.

Mit dieser Versuchsanordnung wurden folgende Experimente ausgeführt:

a) *Kontinuierliche Entladung.* Im Schließungskreise der Flaschenbatterie von 0,036 Mikrof. Kapazität war mittels Schwefelsäure angesäuertes Wasser eingeschaltet. Die Flüssig-

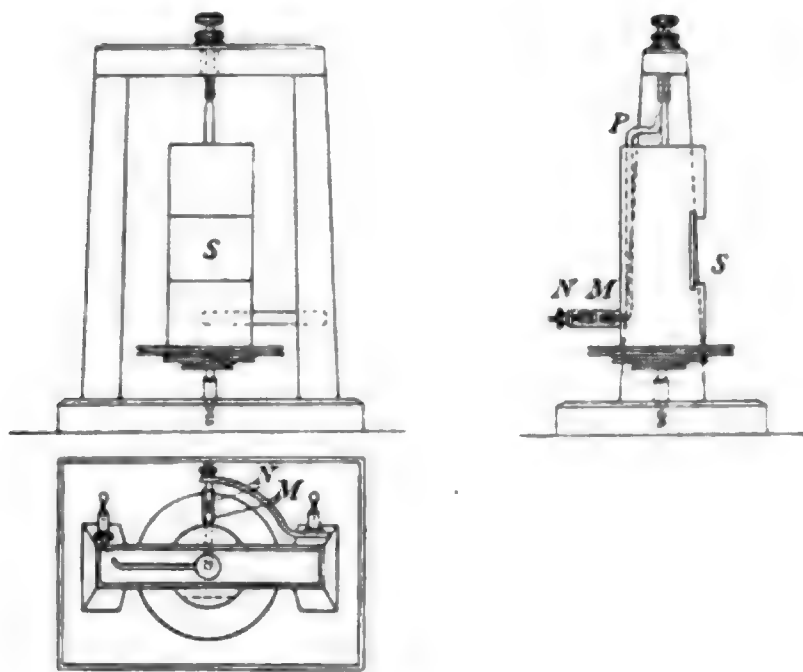


Fig. 5.

keit ist in einer Glasröhre von 3,5 mm lichter Weite; deren beide Enden nach aufwärts gebogen und zur bequemen Stromzuführung mit erweiterten Ansätzen versehen waren, Gesamtlänge des U-Rohres ist 64 cm; Widerstand mittels Kohlrauschbrücke gemessen 8360 Ohm.

Nach den Deduktionen W. Thomsons ist die Stromstärke, bei verschwindend kleiner Selbstinduktion des Stromkreises, zur Zeit  $t$ :

$$J = \frac{Q_0}{C R} e^{-\frac{t}{C R}},$$

wo  $Q_0$  die Ladung der Batterie zur Zeit  $t=0$ ,  $C$  die Kapazität und  $R$  den Ohmschen Widerstand des Stromkreises bedeutet.

Die Kurve (Fig. 6, Aufnahme mittels des Apparates Nr. 1) zeigt mit der Theorie übereinstimmend steilen Anstieg, und der logarithmischen Kurve entsprechenden asymptotischen Abfall gegen die Nulllinie.



Fig. 6.

b) *Oszillatorische Entladung der Flaschenbatterie.* In den Entladungsstromkreis der Flaschenbatterie wird eine Spule von großer Selbstinduktion eingeschaltet.

Ich gebrauchte die Sekundärspule eines kleinen Induktoriums von Siemens & Halske, deren Konstanten in der folgenden Tabelle übersichtlich zusammengestellt sind. Den Koeffizienten der Selbstinduktion ( $L$ ) dieser Sekundärspule habe ich, in Anbetracht der Verwendungsweise der Spule, mittels Wechselstromes und eines idiostatisch geschalteten Quadrantenelektrometers von Carpentier nach der Joubertschen Methode bestimmt. Der von der hiesigen Wechselstromzentrale gelieferte transformierte Strom hat 104 Volt effektive Spannung und 84,4 Wechsel pro Sekunde (mit dem Campbellschen Frequenzmesser bestimmt).

Konstanten des Induktoriums von Siemens &amp; Halske

Spulenlänge cm	Widerstand $\Omega$	Anwendungsart der Sekundärspule	$L$ Henry
15	1637,0	Sekundärspule, den Eisenkern enthaltend; Primärkreis offen.	24,5
		Sekundärspule, den Eisenkern enthaltend; Primärkreis geschlossen.	6,6
		Sekundärspule ohne Eisenkern	4,24

Der Spiegelapparat vollführte bei den photographischen Aufnahmen pro Sekunde 1,75 Umdrehungen.

Bei den Versuchen wurde in den Entladungsstromkreis der Flaschenbatterie von 0,036 Mikrof. Kapazität der Induktor von Siemens & Halske eingeschaltet.

1. Mit Eisenkern bei geöffnetem Primärkreise erhalten wir die photographierten Kurven Figg. 7 und 8, wobei die erste mit dem Oszillographen Nr. 1, die zweite mit dem Nr. 2 aufgenommen wurde. Die gedämpfte Schwingung hat die gemessene Dauer von 0,00272 Sek.



Fig. 7.



Fig. 8.

Die Thomsonsche Formel

$$T = \frac{\pi}{\sqrt{\frac{1}{CL} + \frac{R^2}{4L^3}}}$$

kann, mit Vernachlässigung des zweiten Gliedes im Nenner

$$T = \pi \sqrt{CL},$$

zur Berechnung der Dauer einer einfachen Schwingung dienen.

$$C = 0,036 \cdot 10^{-15} \text{ C.G.S.}$$

$$L = 24,5 \cdot 10^9 \text{ C.G.S.}$$

$$T = 0,00295 \text{ Sek.}$$

2. Mit Eisenkern bei kurzgeschlossenem Primärkreise ergibt sich Fig. 9; der geringeren Selbstinduktion gemäß hat die gedämpfte Schwingung geringere Dauer als im ersten Falle und zwar ist  $T = 0,00141$  Sek.

Nach der Thomsonschen Formel

$$T = 0,00155 \text{ Sek.}$$

3. Ohne Eisenkern zeigt Fig. 10 die geringste Schwingungsdauer der oscillatorischen Entladung. Die Schwingungsdauer ergibt sich aus der photographischen Aufnahme als



Fig. 9.



Fig. 10.

$T = 0,00124$  Sek. Aus der Thomsonschen Formel berechnet ist  $T = 0,00123$  Sek. Die Aufnahmen sind mit dem Oszillographen Nr. 2 ausgeführt.

Ich möchte noch bemerken, daß langsame elektrische Schwingungen im Kreise der Flaschenbatterie in sehr einfacher Weise auch mittels des *optischen Telefons* objektiv dargestellt werden können. Ich bediene mich zu diesem Zwecke eines Verfahrens, welches zuerst von Elihu Thomson beschrieben und in recht lehrreichen Untersuchungen von Hrn. O. Fröhlich<sup>1)</sup> angewendet wurde. Aus leichtem Material stelle ich

1) O. Fröhlich, Elektrotechn. Zeitschr. 8. p. 210. 1887; 10. p. 345 und p. 369. 1889.



einen kurzarmigen Hebel her, auf welchen ich ein leichtes Spiegelchen klebe. Die Achse des leichten Hebels wird von der vibrierenden Membran des Bellschen Telephons gedreht. Die Elongationen der Telephonmembran werden auf diese Weise in große Winkelabweichungen verwandelt.<sup>1)</sup> Dieser recht bequemen Zusammenstellung haften mehrere Mängel an. Die Selbstinduktion der Telephonspule führt ein neues Element in den Stromkreis; ferner sind infolge der magnetischen Polarität der Membran die Elongationen zu beiden Seiten nicht gleich. Endlich läßt sich der Einfluß der Eigenschwingungen der Membran schwer ohne Verminderung der Empfindlichkeit des Instrumentes eliminieren.

II. *Verlauf der induzierten Ströme im Sekundärkreise des Induktoriums.* Dieser Gegenstand wurde experimentell vielfach nach der v. Helmholtzschen Methode behandelt. Besonderer Erwähnung wert ist die Arbeit von Hrn. Colley<sup>2)</sup>, in welcher oszillometrische Versuche angeführt werden, jedoch die Geisslersche Röhre zur Untersuchung des Verlaufes der induzierten Ströme verwendet wird.

Mit Hülfe des schnellschwingenden Oszillographen können wir die Erscheinungen objektiv darstellen und die Stromkurven auch photographieren.

Von den mannigfaltigen Erscheinungen, die sich der Untersuchung darbieten, will ich in dieser Mitteilung nur diejenigen herausgreifen, welche wir in dem Falle beobachten, wenn in den Primärkreis des Induktoriums intermittierende Ströme gesendet und in den Sekundärkreis Kondensatoren eingeschaltet werden, um hier die Oszillationsdauer zu vergrößern.

Gemäß der in Fig. 11 skizzierten Versuchsanordnung ist in den Primärkreis ein Kohlscher Quecksilber-Strahlunterbrecher (*U*) eingeschaltet, welcher pro Sekunde 236 Unterbrechungen und ebenso viele Stromschlüsse gibt. Die Dauer einer Stromunterbrechung ist größer als die eines Stromschlusses, da auf dem Kontaktkranze von 9 cm Durchmesser nur drei Kontaktstücke befestigt sind, gegen welche der Queck-

---

1) F. Wittmann, Mathem. u. naturwiss. Berichte aus Ungarn 9. p. 363. 1891.

2) R. Colley, Wied. Ann. 44. p. 109. 1891.

silberstrahl in einer Höhe strömt, wo der Kontaktstreifen ungefähr 1,5 cm breit ist.

In den Sekundärkreis war die Flaschenbatterie von 0,036 Mikrof. Kapazität und Oszillograph Nr. 2 eingeschaltet.

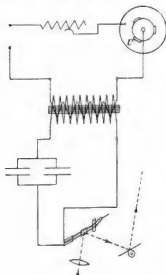


Fig. 11.

Zur Darstellung des Stromkurvenbildes diente als Lichtquelle elektrisches Bogenlicht. Der bei diesen Versuchen verwendete, um die vertikale Achse rotierende Planspiegel wurde von einem kleinen Uhrwerke angetrieben.

*Versuch mit dem Induktor von Siemens & Halske, ohne Kondensator im Primärkreise.* Den Verlauf des induzierten Stromes zeigt das photographische Bild Fig. 12.

Die gedämpften Schwingungen von kurzer Dauer — 0,0016 Sek. — entsprechen dem primären Stromschlusse; die Schwingungen größerer Dauer — 0,0031 Sek. — entsprechen der Periode der primären Stromunterbrechung.

Den großen Unterschied in der Schwingungsdauer können wir uns leicht aus der Tatsache erklären, daß beim Schlusse des Primärkreises der Koeffizient der Selbstinduktion der



Fig. 12.

Sekundärspule geringer ist, als bei geöffnetem Primärkreise, folglich die Schwingungsdauer mit der Theorie übereinstimmend geringer ist.

Recht lehrreich ist der Vergleich der bei der Entladung einer Flaschenbatterie entstehenden elektrischen Schwingungen

mit jenen, welche im Sekundärkreise eines Induktoriums entstehen, wenn durch den primären Stromkreis intermittierender Strom fließt. Bei den erwähnten Versuchen über die Entladung der Leydener Batterie war der sogenannte Thomson'sche Kreis von der Batterie und mit derselben in Reihe geschalteter Sekundärspule des Siemensschen Induktors gebildet. Die Dauer der bei der Entladung entstehenden Oszillationen ist

$$T = \pi \sqrt{CL},$$

wo  $C$  die Kapazität der sich entladenden Batterie und  $L$  die Selbstinduktion der in den Entladungsstromkreis geschalteten Sekundärspule bedeutet.

Betrachten wir erstens den Fall, wenn die Sekundärspule den Eisenkern enthält, und die Primärspule offen ist; zweitens den Fall, wenn die Sekundärspule den Eisenkern enthält, die Primärspule aber geschlossen ist. Die Selbstinduktion ist nach folgender Tabelle  $L_1 = 24,5$  bez.  $L_2 = 6,6$  Henry; die Dauer einer Schwingung, den Versuchen gemäß, für den ersten Fall 0,00272 Sek. und für den zweiten Fall 0,00141 Sek.

Vergleichen wir dies mit den Ergebnissen jener Versuchsanordnung, bei welcher im Primärstromkreise desselben Siemens-Halske-Induktors ein Stromunterbrecher, im Sekundärstromkreise eine Flaschenbatterie eingeschaltet war. In diesem Falle besteht der Schwingungskreis aus denselben Elementen wie oben bei Entladung der Batterie. Es ist also die Schwingungszeit für den Sekundärkreis des Induktoriums

$$T = \pi \sqrt{CL},$$

wo  $C$  die Kapazität der im Sekundärkreise eingeschalteten Batterie und  $L$  die Selbstinduktion der Sekundärspule des Induktors bedeutet. Während des Stromschlusses ist die Selbstinduktion der Sekundärspule  $L_2 = 6,6$  Henry. Während der Stromunterbrechung aber  $L_1 = 24,5$  Henry.

Die Schwingungsdauer ergab sich laut Versuch während der veränderlichen Periode des Stromschlusses gleich 0,0016 Sek., während der Unterbrechung gleich 0,0031 Sek. Die Ergebnisse sind in folgender Tabelle übersichtlich zusammengefaßt.

Verwendeter Induktor		<i>L</i> Henry	<i>C</i> Mikrof.	<i>R</i> Ohm	Zeitdauer einer einfachen Schwingung Sekunden			
					Nach der W. Thom- sonschen Formel berechnet	Im Ent- ladungs- kreise der Batterie gemäß des Versuches	Im Sekundärkreis des Induktorium beim Schließen des Primär- stromes	beim U- brech- des Prin- strom
Induktor von Siemens & Halske	Mit Eisenkern, Primärkreis offen	24,5	0,036	1637	0,00295	0,00272	—	0,003
	Mit Eisenkern, Primärkreis geschlossen	6,6	0,036	1637	0,00155	0,00141	0,0016	—
	Ohne Eisenkern	4,24	0,036	1637	0,00123	0,00124	—	—

Die Resultate neuerer schon im Flusse befindlicher Experimente mit vollkommeneren Hilfsmitteln und veränderten Versuchsbedingungen, lehrreiche Fälle behandelnd, werden fernere Daten als Beweise der recht guten Verwendbarkeit der mitgeteilten Methode liefern.

Budapest, Techn.-Physik. Laborat. des Polytechnikums.

(Eingegangen 6. Juni 1903.)

## 7. *Über Messungen hoher Spannungen;* *von E. Voigt.*

(Auszug aus der Würzburger Inaugural-Dissertation.)

1. Die Arbeit beschäftigt sich mit einer Methode, welche Spannungen bis 100000 Volt mit 1—2 Proz. Genauigkeit zu messen gestattet. Das Verfahren kann ohne Bedenken auf Messungen noch höherer Spannungen ausgedehnt werden, doch standen mir solche über die angegebene Grenze hinaus nicht zur Verfügung, so daß ich in dieser Richtung auch keine Versuche machen konnte. Die großen experimentellen Schwierigkeiten bei Arbeiten mit hohen Spannungen beginnen mit etwa 50000 Volt, denn bei dieser Spannung treten an allen Unebenheiten der Apparate und den immer gefährdeten Stellen der Isolationsmittel bedeutende Verluste durch Ausstrahlung und Oberflächenleitung ein; als notwendige Folge dieses Übelstandes ergibt sich die Forderung, von einem Meßinstrument, das ja der Natur der Sache nach u. a. immer dünne und daher in elektrischer Beziehung gefährdete Metallbestandteile hat, die hohen Spannungen fernzuhalten, ihm also nur einen bestimmten Teil der ganzen Spannung zuzuführen.

Das Prinzip der Spannungsteilung, zu dem diese Überlegung führt, läßt zwei Ausführungen zu, nämlich Teilung durch vorgeschaltete Kondensatoren, und Teilung durch Herstellung eines Spannungsabfalles an einem Widerstand. Das erstere Verfahren ist schon öfters angewendet worden, bislang ohne großen Erfolg, von dem zweiten habe ich Gebrauch gemacht.

2. Bei der praktischen Ausnützung dieses Prinzipes schafft schon die erste Frage nach einem geeigneten Widerstands-



material große Schwierigkeiten; leider sind noch alle Bemühungen nach einem festen Widerstandsmaterial, das konstante Werte von Millionen Ohm liefert, erfolglos geblieben. Ich benützte zu meinen Versuchen ein Material, das in der gegenwärtigen physikalischen Meßtechnik im allgemeinen nicht zu präzisen Messungen benützt zu werden pflegt, nämlich Holz. Das Holz besitzt allerdings einen großen Temperaturkoeffizienten; trägt man jedoch dafür Sorge, daß der Holzstab — in dieser Form kam das Holz zur Verwendung — ein vollständig gleichmäßiges Gefüge, also etwa pro 1 cm Länge den gleichen Widerstandswert und überall gleiche Temperatur hat, so fällt dieser Einfluß vollständig heraus, denn zur Messung wird nicht ein Absolutwert, sondern nur ein Verhältnis zweier Längenteile desselben Holzstabes gefordert. Heißt das am unbekannten Potential  $V$  anliegende Ende des Stabes  $A$ , das andere an Erde liegende Ende  $B$  und ist außerdem ein Zwischenpunkt  $C$  gegeben, an dem die Spannung  $V_1$  elektrometrisch gemessen werden kann, so ist die gesuchte Spannung  $V$

$$V = V_1 \frac{A B}{B C}.$$

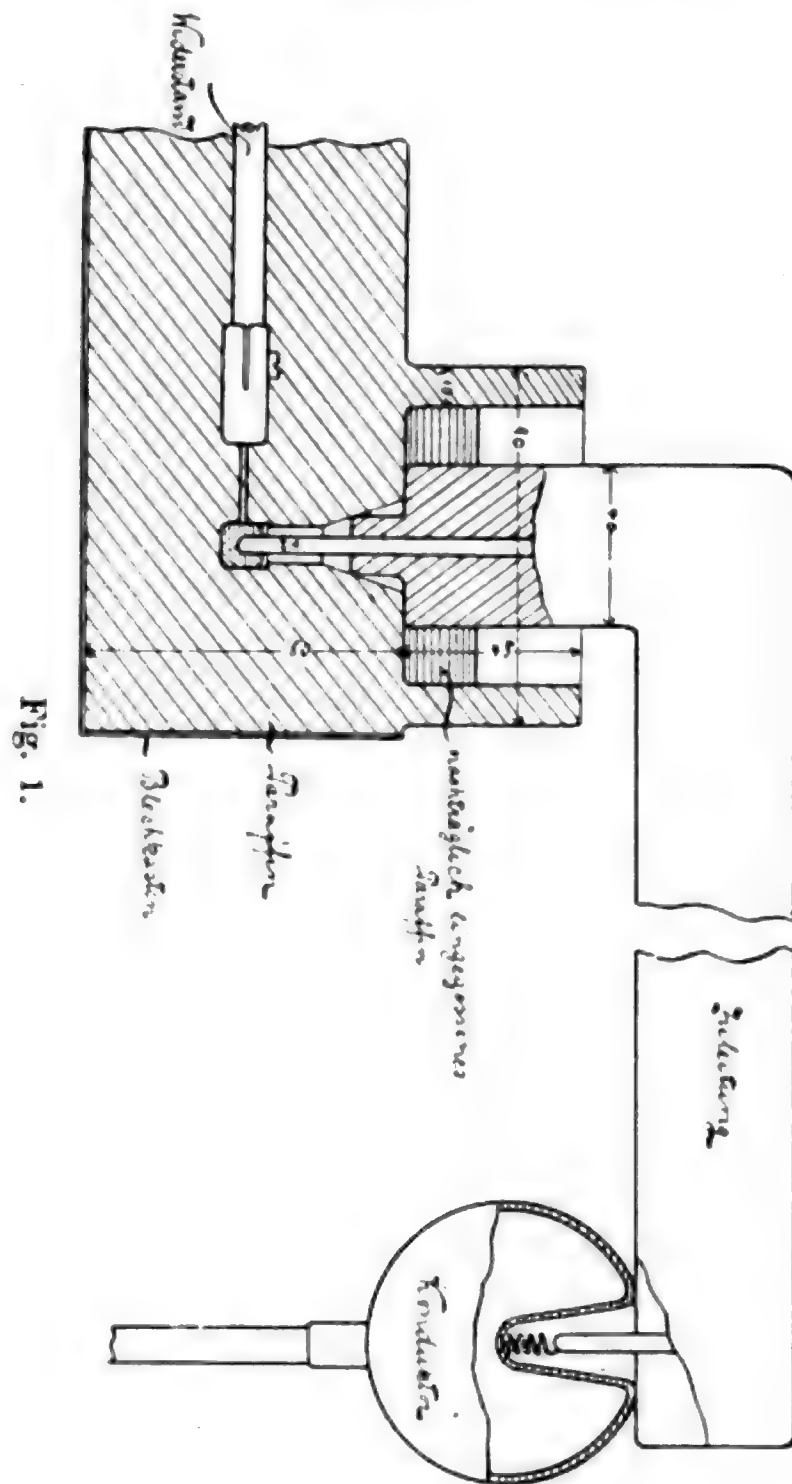
Sehr brauchbar hat sich Ahornholz erwiesen, das mehrere Jahre gelagert hatte; es wurde auf der Hobelmaschine auf den überall gleichen Durchmesser von 7 mm gebracht und zur Vermeidung von Spitzenwirkung sauber poliert. Ausgesuchte Stäbe dieser Art waren so homogen, daß zwischen den durch Längenmessung und dem elektrisch gefundenen Verhältnis  $AB/BC$  nur Unterschiede von 5 Proz. auftraten. Mit solchem Stabe operierte ich zunächst in freier Luft; bald überzeugte ich mich aber, daß an der Seite des hohen Potentials durch Ausstrahlungen an die Luft, die durch influenzierende benachbarte Körper noch verstärkt wurden, beträchtliche Verluste sich einstellten, welche das Meßverhältnis in ganz unkontrollierbarer Weise beeinflußten. Zur Vermeidung dieser Verluste wurde deshalb der ganze Stab (120 cm Länge und 0,7 cm Durchmesser) in ein Dielektrikum eingebaut, aus dem nur die Zuleitungen herausragten. Zugleich wurde dadurch der Stab äußeren Einflüssen vollständig entzogen, und es bestand nur die Gefahr, daß infolge der Stromwärme, die der Holzwider-

stand selbst lieferte, dieser durch höhere Temperaturen sein Widerstandsverhältnis doch noch in unliebsamer Weise ändern könnte; ein ideal gleichmäßiges Holz ist natürlich nicht zu beschaffen. Das Experiment lehrte, daß die Änderungen des Widerstandsverhältnisses in praktisch als bedeutungslos anzusehenden Grenzen blieben; selbst nach Dauerversuchen betrugen die Abweichungen des Verhältnisses von seinem Anfangswert maximal 4 Proz.

3. Die Einbettung des Holzstabes in ein Dielektrikum vollzog sich nicht ohne Schwierigkeiten. Das Paraffin, das hierbei benützt wurde, hat ja die wenig willkommene Eigenschaft, beim Erstarren Blasen zu bilden; namentlich an dem Holzstabe selbst traten ganze Hohlräume auf. Sollte die Einbettung überhaupt Sinn haben, so war natürlich wegen der möglichen Ausstrahlungsverluste auf ein ganz gleichmäßiges Anliegen des Paraffinmantels Gewicht zu legen. Stundenlang dauerndes Nachgießen von heißem Paraffin zu dem eben erstarrenden und ebenso lang dauerndes allmähliches Abkühlen in einem Raume von etwa  $40^{\circ}$  C. brachten durchaus keinen besseren Erfolg. Erst ein Zusatz von reinem Bienenwachs beseitigte die Schwierigkeit in ganz einfacher Weise. Der Einguß der über Wasser geschmolzenen Isoliermasse (2 Teile Paraffin und 1 Teil Wachs) geschah ohne besondere Vorsichtsmaßregeln; der polierte Stab war dabei mit Seidenfäden in der Mitte des seiner Hauptrichtung nach horizontal aufgestellten Blechgefäßes befestigt.

Waren jetzt die Verluste an dem Holzstabe selbst beseitigt, so blieb doch noch als Quelle eines großen Verlustes die Stelle übrig, an der die Zuleitung von der Influenzmaschine erfolgte. Für die Genauigkeit des Widerstandsverhältnisses kam dieser Übelstand nicht in Betracht, dafür war er für Erreichung eines hohen Potentials um so wichtiger. Die Meßanordnung, die ja nicht Selbstzweck sein soll, darf natürlich nicht so viel Verluste herbeiführen, daß das Potential der Maschine schon hierdurch allein um ein Drittel geschwächt wird. Und diese Gefahr liegt bei den Messungen hoher Spannungen für die gewöhnlich gebrauchten Influenzmaschinen in der Tat in bedeutendem Maße vor. Ich konnte anfangs wegen der Ausströmungen an den Zuleitungen ein Potential von 70000 Volt

nur mit Mühe erreichen. Wie sorgfältig die Zuleitung hergestellt wurde, davon gibt Fig. 1 eine Anschauung; diese Figur gibt einen Teil des Längsschnittes durch den Widerstand wieder.



Die oben erwähnte Stelle C, an der die Spannung  $V$ , elektrometrisch gemessen wurde, bekam höchstens 22000 Volt; hier lag die Gefahr vor, daß sich eine Oberflächenentladung nach den abgeleiteten Gefäßwänden ausbildete; solche unerwünschte Entladung aber hätte hier einen Fehler bei unseren

Messungen verursacht und mußte soweit wie möglich durch Verlängerung des Entladungsweges beschränkt werden. Das gelang gut, als die Potentialabnahmestelle *C* in einer Weise hergestellt wurde, wie sie Fig. 2 zeigt (Querschnitt durch den Widerstand). Die mit *W* bezeichneten Paraffinteile sind nachträglich aufgeschmolzene Wände und bilden einen vier-eckigen Kasten, in dessen Bodenmitte das  $1\frac{1}{2}$  cm weite Loch zur Potentialabnahmestelle sich befindet. In den Figuren, in denen übrigens die Dimensionen durch Zahlen in Millimeter gekennzeichnet sind, ist die Zuleitung bez. Ableitung nicht direkt geschehen, sondern durch Vermittelung von Kappen, von denen eine in Fig. 3 noch besonders dargestellt ist. Die Kappe kann durch die Schraube *a* fest an den Holzstab gepreßt werden, der Metallstift *k* hat den Zweck, die kleineren stündlichen Temperaturschwankungen ab-zudämpfen. Ohne den Stift könnten leicht die benachbarten Teile des Holzstabes eine andere Temperatur als die weiter entfernten

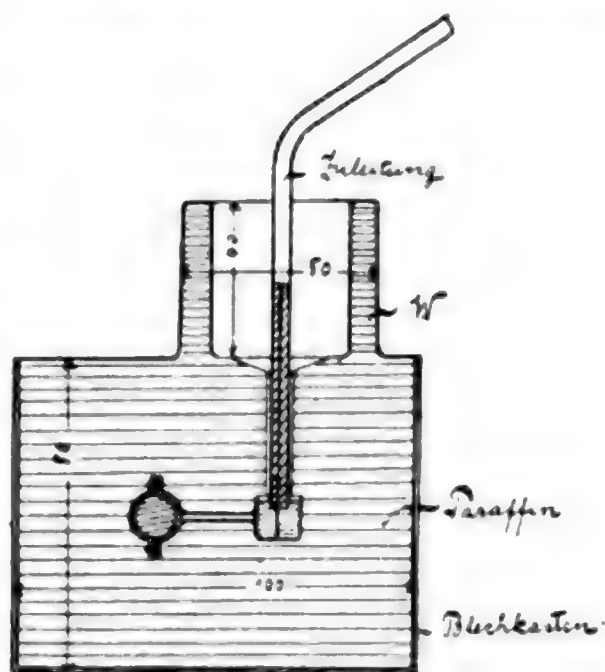


Fig. 2.

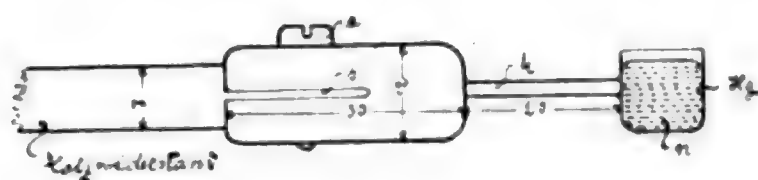


Fig. 3.

annehmen, damit aber wäre das Widerstandsverhältnis geändert. Nachdem Widerstand und Zuleitungen vollständig in ein schützendes Dielektrikum eingeschlossen waren, konnte nunmehr annähernd ein Potential von 100 000 Volt erreicht werden, die Verluste durch die Meßanordnung waren so gering, daß man an die isolierte Zuleitung, die unter 100 000 Volt Spannung stand, ruhig die Hand legen konnte, ohne daß das Elektrometer eine

wesentliche Verringerung seines Ausschlages gezeigt hätte. Ein für die Richtigkeit des Widerstandsverhältnisses in Betracht kommender Verluststrom durch das Paraffin hindurch nach den Gefäßwänden konnte von einer Größenordnung, die durch Benützung eines Siemensschen Spiegelgalvanometers von  $5 \cdot 10^{-10}$  Amp./Skt. Empfindlichkeit gegeben war, nicht festgestellt werden. Da der Strom durch den Meßwiderstand selbst minimal  $10^{-6}$  Amp. betrug, waren Bedenken in der angegebenen Richtung nicht zu erheben.

4. Als Meßinstrument, das die Spannung  $V_1$  elektrometrisch zu messen hatte, diente ein Heydweillersches Spiegelelektrometer, das ich mir nach Heydweillers Angaben<sup>1)</sup> mit geringen Änderungen hatte bauen lassen. Dieses Instrument hat den Vorzug guter Dämpfung und weist, was gerade für meine Meßmethode wichtig war, infolge der verhältnismäßig kleinen Oberfläche und runden Gestaltung aller Einzelteile einen geringen Ausstrahlungsverlust auf. Die Eichung geschah mit Hülfe des absoluten Schutzringelektrometers; hierbei wurde der Zeiger der Wage, an deren einem Ende die bewegliche Platte aufgehängt war, in die untere Hälfte des Gesichtsfeldes des Fernrohres gespiegelt, mit welchem das Spiegelelektrometer beobachtet wurde. Beide Instrumente waren elektrisch verbunden und zunächst auf ein höheres Potential gebracht als den aufliegenden Gewichten des absoluten Elektrometers entsprach. Durch allmähliche Potentialerniedrigung wurde schließlich ein Punkt erreicht, wo an der Wage Gleichgewicht und sofort darauf ein Ausschlag der Zunge stattfand. Der in diesem Momente herrschende Ausschlag des Spiegelelektrometers, die aufliegenden Gewichte der Wage und die geometrischen Abmessungen des absoluten Instrumentes gestatten den Reduktionsfaktor des Spiegelelektrometers zu messen. Der Faktor war nicht für die ganze Skala konstant, sondern mußte für Ausschläge von 100—350 Skt. punktwise bestimmt werden. Außerdem wurde mit mehreren Plattenabständen des absoluten Instrumentes gearbeitet, so daß der Einfluß von Beobachtungsfehlern ermittelt werden konnte. Eine graphische Darstellung (Skalenteile als Ordinaten und Werte

---

1) A. Heydweiller, Wied. Ann. 48. p. 110. 1893.



des Reduktionsfaktors als Abszissen) gab ein Bild über die Genauigkeit der Messungen in sich. Es ergab sich, daß der Reduktionsfaktor als auf 1 Proz. genau anzusehen war. Die maximale direkt zu messende Spannung betrug, wie schon erwähnt, 22000 Volt.

5. In Fig. 4 stellt  $ABCD$  den Holz Widerstand dar,  $B$  und  $C$  sind Potentialabnahmestellen, das Elektrometer, dessen Isolationswiderstand  $d$  ist, liegt augenblicklich an  $C$ , die Teile des Widerstandes sind mit  $a, b, c$  bezeichnet, der Widerstand  $d$  des Elektrometers bildet einen Nebenschluß zu  $(a + b)$ ; da dieser Widerstand selbst  $10^9$  Ohm hatte — der ganze Widerstand  $AD$  hatte  $10^{10}$  Ohm —, so konnte unter Umständen die

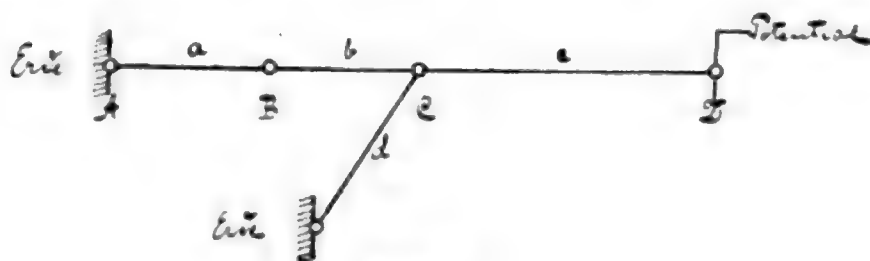


Fig. 4.

Größe von  $d$  zu Korrekturen Veranlassung geben und mußte deshalb bestimmt werden. Die Bestimmung geschah durch Beobachtung des zeitlichen Verlustes einer Ladung, die dem Elektrometer mitgeteilt wurde, eine Methode, die deshalb vorteilhaft erschien, weil sie nachher beim Gebrauch des Meßwiderstandes mit Hülfe einer einzigen Ausschaltung und ohne jeden Nebenapparat beliebig oft benützt werden konnte. Bei der ersten Messung erscheint freilich das Verfahren umständlich, weil zunächst die Kapazität  $c$  des Instrumentes bekannt sein muß; denn ist  $w$  der Isolationswiderstand und sinkt das Potential in der Zeit  $t$  vom Werte  $v_1$  auf den Wert  $v_2$ , so ist

$$wc = \frac{t}{\log_{\text{nat}} \frac{v_1}{v_2}}.$$

Es wurde nun eine kleine Zusatzkapazität  $c_2$ , deren Wert nach der Harmsschen Methode <sup>1)</sup> bestimmt wurde, und deren Widerstand  $w_2$  durch Spannungs- und Strommessung (mit

1) F. Harms, Physik. Zeitschr. 4. p. 11. 1903. Hr. Harms war selbst so freundlich, mir die Messung mit seinen Apparaten auszuführen.

10000 Volt) festgestellt wurde, zum Elektrometer angeschaltet. Aus den Beobachtungen mit angeschalteter Zusatzkapazität (Werte  $w_2$ ,  $c_2$ ,  $t_2$ ,  $v_1''$  und  $v_2''$ ) und nicht angeschalteter Zusatzkapazität (Werte  $t_1$ ,  $v_1'$  und  $v_2'$ ) läßt sich  $w$  nach der leicht zu erhaltenden Formel

$$w = w_2 \frac{t_2 \log \frac{v_1'}{v_2'} - t_1 \log \frac{v_1''}{v_2''}}{\log \frac{v_1'}{v_2'} \left( w_2 c_2 \log \frac{v_1''}{v_2''} - t_2 \right)}$$

berechnen.  $w$  ergab sich also direkt;  $c$  wurde auch bestimmt, weil eben der späteren Kontrolle wegen die Benützung der ersten Formel erwünscht war.

Es wurde gefunden

$$c = 8 \cdot 10^{-11} \text{ Farad,}$$

$$w = 3 \cdot 10^{12} \text{ Ohm.}$$

Der angegebene Wert für  $w$  war der kleinste, der beobachtet wurde, meist hielt sich  $w$  auf einer Höhe von  $2 \cdot 10^{13}$  Ohm.

6. Es war das Nächstliegende, das Widerstandsverhältnis auf galvanometrischem Wege durch Messung der Absolutwerte der einzelnen Teile festzustellen. Spannungs- und Strommessung lieferten den Widerstand als Quotienten; die erstere geschah mit einem Deprezinstrument von Dr. Rudolf Franke & Co. in Hannover, die letztere mit dem schon erwähnten Spiegelgalvanometer von Siemens & Halske. Die Empfindlichkeit des Galvanometers wurde für verschiedene Ausschläge sorgfältig bestimmt, so daß die Instrumente für sich eine Genauigkeit von 1 Proz. erlaubt hätten. Der Versuch brachte jedoch Resultate, die um mehr als 5 Proz. voneinander abwichen.

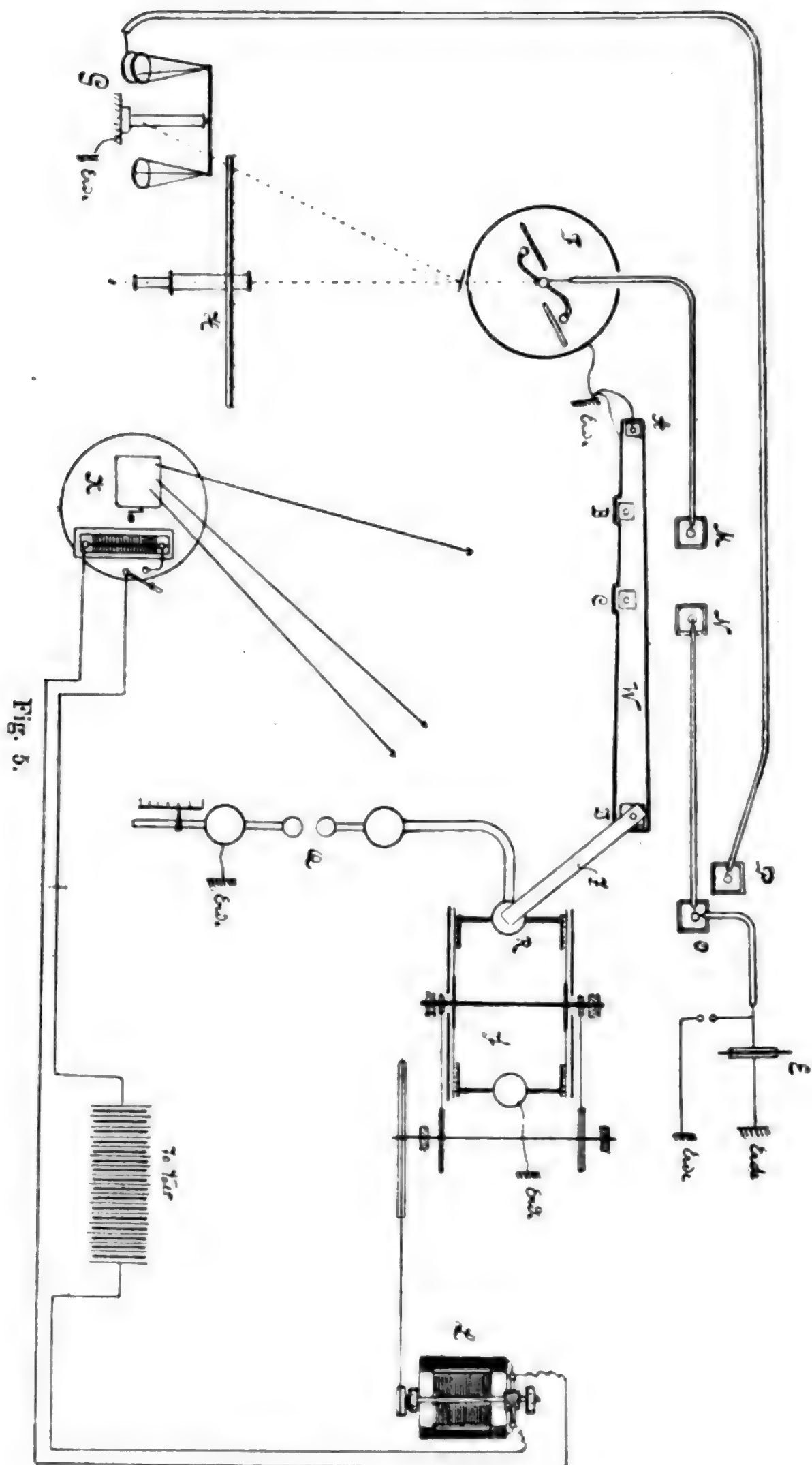
Die drei Widerstände  $DC$ ,  $CB$ ,  $BA$  kann man offenbar in verschiedener Weise messen, je nachdem man sie einzeln oder summiert bestimmt. Man erhält so die Möglichkeit zur Kontrolle der Messung in sich. Alle möglichen Permutationen ließen sich nicht ausführen, da teilweise die Ausschläge zu klein wurden. Es wurde für das Verhältnis  $AD/AB = 4,83$  und  $4,13$  gefunden, für das Verhältnis  $AD/AC = 2,27$  und  $2,10$ , die entsprechenden Mittel wären  $4,48$  und  $2,18$ . Die Abweichungen mögen ihre Ursache in Polarisationen, Kontaktpotentialen etc. haben; die gebrauchte Meßspannung betrug

70 Volt; erweckte elektromotorische Kräfte von 1—2 Volt in summa machen da natürlich schon Beträchtliches aus.

Die Bedenken gegen diese Methode wurden noch durch die Überlegung verstärkt, daß ein 1000 mal  $\left(= \frac{70\,000}{70}\right)$  stärkerer Strom den Widerstand trotz verhältnismäßig gleichmäßigen Holzmateriales doch noch in unliebsamer Weise verändern könnte. Ich suchte deshalb nach einem Verfahren, mit einer noch direkt meßbaren Hochspannung von etwa 20000 Volt das Verhältnis direkt bestimmen zu können. Man könnte daran denken, den Holzwiderstand bei *A* nicht direkt mit der Erde zu verbinden, sondern den Strom erst durch ein Galvanometer zu schicken und zu messen. Ich machte in dieser Richtung auch Versuche, doch waren auch hier durch die Schwierigkeit, das Potential konstant zu halten und durch die Erwärmung der Widerstände die Genauigkeitsgrenzen ziemlich weite. Dagegen konnte ich mit einem anderen Verfahren eine Genauigkeit von 1 Proz. erzielen. Ich benützte hierbei das absolute Elektrometer als Hilfsmittel, um eine willkürlich genommene Spannung von etwa 20000 Volt nach Belieben oft und genau zu erkennen. Das Elektrometer brauchte dazu nicht sorgfältig justiert zu werden, da es für *eine* Meßreihe immer dasselbe Potential anzeigte, dessen absolute Größe gleichgültig war. Es ließe sich deshalb für diesen Zweck das Instrument unter Umständen durch einen ganz einfachen Apparat ersetzen.

In Fig. 5 ist eine Skizze der gesamten Anordnung gegeben.

Der Meßwiderstand *W* ist mit der Influenzmaschine *J* durch die Zuleitung *Z* verbunden. Der Nebenschlußmotor *L* (70 Volt Spannung) treibt die Influenzmaschine an. — *E* ist eine Kapazität von 600 cm, an die noch eine Funkenstrecke angeschaltet werden kann. Das Spiegelelektrometer mit Schutzzylinder wird durch *F* angedeutet, während *G* das absolute Plattenelektrometer bedeutet, welches links neben dem Beobachter erschütterungsfrei aufgestellt ist. Zur Rechten des durch Fernrohr *H* schauenden Beobachters befindet sich ein Tischchen *K*, von dem aus mittels Fäden Ausschaltungen und Regulierungen vorgenommen werden können. Auch be-



findet sich hier ein Ruhstratscher Schleifwiderstand von 60 Ohm, durch den die Geschwindigkeit des Elektromotors geregelt werden kann.

$B$  und  $C$  sind zwei Potentialabnahmestellen vom Meßwiderstande. In ihrer Nähe befinden sich die Kontakte  $M$  und  $N$ . Fig. 6 stellt einen solchen Kontakt dar.  $M$  ist durch Leitung in  $1\frac{1}{2}$  cm weiten Glasröhren mit dem Spiegelelektrometer  $F$  fest verbunden, ebenso  $N$  mit der anderen Kontaktstelle  $O$ . Mittels gebogener Leiter, die in Glasröhren und Paraffin sauber eingelegt sind, können zwischen  $M$ ,  $N$ ,  $B$  und  $C$  beliebige Schaltungen vorgenommen werden.

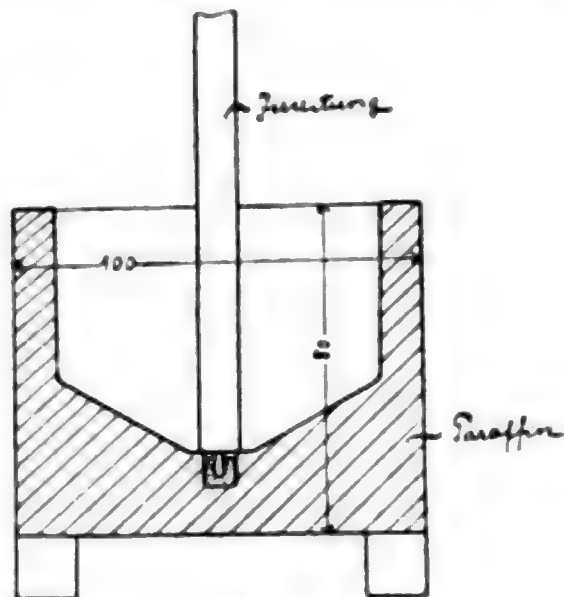


Fig. 6.

Kontaktstelle  $O$  ist fest mit Kapazität  $E$  verbunden und kann ferner mit Kontakt  $P$  und damit mit dem Plattenelektrometer, außerdem aber mit dem Konduktor  $R$  der Influenzmaschine durch lösbare Leiter verbunden werden.  $Q$  ist eine Funkenstrecke, an der später verschiedene Versuche gemacht wurden. Die spannungsliefernde Quelle war eine zweiplattige Holtzsche Maschine. Wie die Schwierigkeiten, die ein häufigeres Versagen der Maschine herbeiführten, behoben wurden, sei hier übergangen; von Interesse dürfte jedoch noch folgendes sein.

Schon bei geringer Geschwindigkeit einer Glasscheibe  
 200 Umdrehungen  
 Min.) wurden 60000 Volt erzeugt; doch erst mit  
 500 Umdrehungen  
 Min.) beider Scheiben, also mit der fünffachen Elektrizitätsmenge ließ sich das Maximum mit 94000 Volt gewinnen; da die Elektrizitätsmenge und also auch das Potential der Umdrehungszahl annähernd proportional ist, so geht aus den mitgeteilten Zahlen hervor, welch gewaltige Verluste mit Erhöhung der Spannung auftreten, und zwar nur an der verhältnismäßig kleinen Oberfläche des Konduktors und Zuleitungen. Nur außergewöhnliche Vorrichtungen, wie etwa die 60 plattige



Töplersche Maschine, dürften beträchtlich über 100 000 Volt liegende Potentiale zu erreichen gestatten.

Zur Bestimmung des Meßverhältnisses war nun  $O$  für die Dauer der ganzen Messung mit  $P$  und  $R$  in Verbindung, so daß das Plattenelektrometer immer direkt an der Influenzmaschine lag.

Die Messung zerfiel in folgende Phasen:

1.  $N$  mit  $M$  verbunden; Ausschlag am Spiegelelektrometer; Potential durch Reguliervorrichtung allmählich erniedrigt, bis Wage ausschlägt. Ausschlag  $\alpha$ .

2. Verbindung  $M-N$  gelöst;  $M$  mit  $C$  verbunden, Potential wieder erniedrigt, bis Ausschlag  $\beta$  bei Umkippen der Wage.

3. Wiederholung von 1. zur Kontrolle, ob nichts verändert.

Wären die Spiegelelektrometerausschläge genau proportional den Quadraten der Spannungen, so wäre das Widerstandsverhältnis  $AD/AC$

$$\frac{AD}{AC} = \sqrt{\frac{\alpha}{\beta}}.$$

Der Abweichungen halber von der Proportionalität empfahl sich die Umrechnung auf Volt.

Nach Messung 2 kann man noch das Verhältniss  $AD/AB$  und durch Kurzschließen des Widerstandes  $CD$  mittels der Verbindung  $N-C$  auch das Verhältniss  $AC/AB$  bestimmen.

Dem Ausschlag  $\alpha$  wurde ein möglichst großer Wert gegeben; er betrug meist zwischen 320 und 350 Skt., entsprechend einer ungefähren Spannung von 20 000 Volt. Infolge der quadratischen Proportionalität werden die Ausschläge  $\beta$  immer verhältnismäßig klein; für Verbindung  $C-M$  wurde er unter den gewählten Verhältnissen ca. 70 und für Verbindung  $M-B$  nur noch 17 Skt. Vergrößerung des Ausschlages wäre nur durch Verkleinerung des Widerstandsverhältnisses  $AD/AX$  zu erreichen; für Erreichung einer Meßgrenze von ca. 100 000 Volt aber mußte bei dem gegebenen Elektrometer das Verhältniss  $AD/AB$  gegen 4,5 betragen. Hauptsächlich zur besseren Messung des Verhältnisses  $AD/AB$ , aber auch zur Messung relativ kleinerer Potentiale wurde deshalb das Verhältniss  $AD/AC$  noch eingeschoben.

Ist

$$\frac{A D}{A C} = \frac{a + b + c}{a + b} = m$$

und

$$\frac{A C}{A B} = \frac{a + b}{a} = n,$$

so folgt durch Multiplizieren

$$\frac{A D}{A B} = \frac{a + b + c}{a} = (m n).$$

$m$  ist ohne weiteres zu bestimmen,  $n$  nach Kurzschließen des Widerstandsteiles  $CD$ ; jetzt erhielt man für  $n$  auch einen Ausschlag von ca. 75 Skt.

7. Der Einfluß der Parallelschaltung von  $d$  zu  $(a + b)$  wurde in folgender Weise klargestellt. Beim Messen des Verhältnisses  $m$  wird in Wahrheit bestimmt

$$m = \frac{\frac{(a + b) d}{(a + b) + d} + c}{(a + b) + d}.$$

Daraus folgt durch Umformen

$$m = \frac{a + b + c}{a + b} + \frac{c}{d}.$$

Analog folgt für  $n$

$$n = \frac{a + b}{a} + \frac{b}{d}.$$

Multiplizieren wir, wie oben, die beiden letzten Gleichungen, so ist also durch den Versuch ermittelt

$$(m n)_1 = \frac{a + b + c}{a} + \frac{a + b}{a} \frac{c}{d} + \frac{a + b + c}{a + b} \frac{b}{d} + \frac{b c}{d^2}.$$

Es war nun

$$a = 2,5 \cdot 10^9 \text{ Ohm,}$$

$$b = 2,6 \cdot 10^9 \text{ „,}$$

$$c = 2 \cdot 10^9 \text{ „,}$$

$$d = 3 \cdot 10^{12} \text{ „.}$$

Unter Vernachlässigung des Gliedes  $b c / d^2$  folgt deshalb

$$(m n)_1 = \frac{a + b + c}{a} + 2 \frac{b + c}{d} \text{ (nahezu).}$$

Würde man jetzt  $(m n)$  *direkt* durch Messung bestimmen — wie man es nachher auch zu Messungen braucht —, so wäre gemäß dem Obigen zu setzen

$$(m n) = \frac{a + b + c}{a} + \frac{b + c}{d}.$$

Die Differenz zwischen  $(mn)_1$  und  $(mn)$  ergibt den Fehler

$$\begin{aligned} (mn)_1 - (mn) &= \frac{b + c}{d} \\ &= 3 \cdot 10^{-3}. \end{aligned}$$

$(mn)$  selbst beträgt ungefähr 4,5; der eingesetzte Wert von  $d$  ist der ungünstigste, der bei feuchtem Wetter beobachtet wurde; selbst ein zehnmal kleinerer Wert von  $d$  würde erst eine Änderung des Resultates von  $(mn)$  um 1 Proz. herbeiführen. Außerdem würde man in solchem Falle noch eine Korrektion einführen können, da es ein leichtes wäre,  $d$  zu bestimmen.

Die Bestimmung von  $d$  in Absatz 5 ist, wie ein Versuch zeigte, auf etwa 30 Proz. genau; diese Genauigkeit würde aber vollständig hinreichend sein, denn selbst in dem angenommenen Falle eines zehnmal kleineren Wertes von  $d$  würde der Einfluß der Bestimmung von  $d$  nur  $0,01 \cdot 0,3 = 0,003$ , d. h.  $\frac{1}{3}$  Proz. ausmachen.

8. Um eine Anschauung davon zu geben, wie genau gearbeitet werden konnte, gebe ich in Tab. 1 eine Messungsreihe, wie sie anfangs oft gemacht wurden, um über das Meßverfahren Erfahrungen zu sammeln.

Unter  $D, C, B_2$  sind die Potentiale bei den bezüglichen Verbindungen mit  $M$  zu verstehen, auch für  $B_1$  gilt das, nur mit dem Unterschiede, daß  $DC$  kurzgeschlossen war.

Tabelle 1.

<i>D</i>		<i>C</i>		<i>B<sub>1</sub></i>	
Skalen- teile	Volt	Skalen- teile	Volt	Skalen- teile	Volt
355	21 100	75,4	9 960	78,5	10 160
356		75,4		78,5	
355,5		75,4		78,5	
356					
<i>C</i>		<i>D</i>		<i>B<sub>2</sub></i>	
74,6	9 920	354,1	21 050	17,8	4 840
74,8		354,2		17,8	
74,8		354,2		17,8	
74,8					
74,8					

Für  $D$  und  $C$  sind je zwei Aufnahmen gemacht, die maximale Abweichung beträgt 0,4 Proz. Es berechnet sich

$$m = \frac{21\,075}{9940} = 2,120.$$

$$n = \frac{21\,075}{10\,160} = 2,075.$$

Daraus

$$\begin{aligned}(m\,n) &= 2,120 \cdot 2,075 \\ &= 4,40.\end{aligned}$$

Die direkte Bestimmung lieferte

$$(m\,n)_1 = \frac{21\,075}{4840} = 4,36.$$

Die direkte Bestimmung von  $(m\,n)_1$ , obgleich zur Berechnung unnötig, wurde öfters gemacht, weil sie ein gutes Mittel war zur Kontrolle über die ganzen Messungen. Größere Abweichungen als  $1-1\frac{1}{2}$  Proz. durften nicht stattfinden.

Anstatt des Plattenelektrometers kann man zur Fixierung einer bestimmten Hochspannung auch Funken benützen an einer solid montierten Funkenstrecke. Auch hiermit kann man eine verhältnismäßig hohe Genauigkeit in der Eichung des Widerstandsverhältnisses erreichen. Während der Vorversuche wurden einmal zwei Widerstandsverhältnisse mit Hülfe des Plattenelektrometers, darauf dann mit Hülfe von Funken bestimmt.

Mit Plattenelektrometer bestimmt 2,184 bez. 2,856

„ Funken „ 2,18 „ 2,83

Differenz 1 % bez. 0,9 %

Ein Arbeiten mit Funken erfordert eine größere Zahl von Einzelmessungen, da diese größere Abweichungen voneinander zeigen können, als die Messungen mit dem absoluten Elektrometer; bei dem letzteren genügten 2 bis 3 Einzelbeobachtungen in den meisten Fällen.

Nach Fertigstellung des definitiven Widerstandes war es zunächst wichtig festzustellen, ob sich das Widerstandsverhältnis

bei Messungen von mehreren Stunden infolge Erwärmung änderte. Zu diesem Zweck wurde mehrere Stunden lang ein Strom unter einer Spannung von 60000 Volt durch den Widerstand geschickt, und in Zwischenräumen wurde schnell das Widerstandsverhältnis bestimmt. Da die Isoliermasse auch ein guter Wärmeisolator, behielt der Holzstab für kurze Zeit die höhere Temperatur, die etwa bei dem vorher durchgeschickten, stärkeren Strom auftrat, bei; eine schnell hinterher erfolgende Messung hätte also auch etwaige Veränderungen durch diese Temperatur nachweisen müssen; die Veränderungen, die auf diese Weise gemessen wurden, waren meist vernachlässigbar, die Erwärmung noch zu gering.

Tabelle 2.

	Werte von $m$ ( $mn$ )	
Zu Beginn der Untersuchung . . . . .	2,12	4,40
Nach 1 Stunde Stromdurchgang . . . . .	2,13	4,41
„ 3 Stunden „ . . . . .	2,12	4,40
Am nächsten Tage nach weiterem 6 stündigen Stromdurchgang	2,13	4,41

Das Mittel aus diesen Beobachtungen war 2,13 und 4,40, gültig für die Anfangsmessungen im Oktober; selbst für mehrere Stunden lang dauernde Messungen war das Widerstandsverhältnis genügend konstant.

Es blieb der Wunsch bestehen, noch direkt festzustellen, ob sich die Eichung der Meßwiderstände bei den hohen Spannungen änderte. Ein kleiner Holzwiderstand von  $\frac{1}{5}$  der Länge des Meßwiderstandes, also von 23 cm ungefähr, der den gleichen Querschnitt und gleiche Beschaffenheit wie der Meßwiderstand besaß, wurde ganz genau wie dieser in Isoliermasse eingebaut und bei einer Spannung zwischen 5000 und 20000 Volt untersucht; der durch den Holzstab fließende Strom wurde mit einem Wiedemannschen Galvanometer gemessen. Die Stromstärke und der Spannungsabfall pro Zentimeter Länge des Holzstabes waren bei diesem kleinen Widerstand dieselben wie beim Meßwiderstand unter fünffach größerer Spannung.



Es ergab sich

Tabelle 3.

Volt	Strom in Skalenteilen $\alpha$	Volt $\alpha$	
5 470	42,5	129	
7 450	58	128	
10 330	80	129	Größte Abweichung:
12 850	101	127	$129 - 123 = 6,$
15 600	121	129	d. h. 4,7 Proz.
17 700	142	125	auf das Mittel 126.
20 220	165	123	
15 600	123	127	
9 870	77	128	

Unter genau denselben Versuchsbedingungen wurde jetzt dieselbe Messung wiederholt für den Meßwiderstand; dabei wurde die Spannung gemessen durch Verbinden der Punkte *M* und *B* mit Hülfe des bekannten Verhältnisses 4,40, dabei erhielt ich Tab. 4.

Die Zahlen dieser Tabelle sind Mittelwerte von je drei bis sechs Beobachtungen; es war schwierig, die hohen Spannungen genügend konstant zu halten. Die Messung war nur durchzuführen mit Assistenz eines zweiten Beobachters zur Beobachtung des einen Instrumentes.

Tabelle 4.

Volt	Strom in Skalenteilen $\alpha$	Volt $\alpha$	
92 800	231	40,2	Größte Abweichung:
73 300	181	40,5	$41,9 - 40,2 = 1,7,$
49 800	121	41,2	d. h. 4,3 Proz.
38 700	93	41,6	auf das Mittel 40,0.
28 100	67	41,9	

In Tab. 3 und 4 ist der Sinn der Abweichung des Quotienten  $\frac{\text{Spannung}}{\text{Strom}}$  von der Proportionalität mit größer werdender

Spannung derselbe, ferner ist die Größe der Abweichung bei beiden Messungen ebenfalls gleich; denn

für  $\frac{20\ 220}{5470} = 3,7$  fache Spannungssteigerung zeigt die 1. Messung 4,7 Proz. Abweichu

für  $\frac{92\ 800}{28\ 100} = 3,3$  „ „ „ 2. „ 4,3 „ „

Weil nun bei erster Messung die Spannungsmessung direkt geschah, also einwandfrei auf etwa 1 Proz. richtig war, war auch die Spannungsmessung im zweiten Falle exakt, da die Abweichungen des Quotienten  $\frac{\text{Spannung}}{\text{Strom}}$  bei beiden Messungen prozentual gleich groß waren. Die Abweichungen rührten also von der Versuchsanordnung her.

Daß der Mißwiderstand auch für stundenlangen Gebrauch konstantes Meßverhältnis zeigte, war vorhin besprochen worden; es erübrigt noch zum Schluß auch auf die Frage der Konstanz für längere Zeit einzugehen. Während der Monate Oktober bis Ende Januar betrug die größte beobachtete Abweichung vom Anfangswerte 3,9 Proz., und zwar trat diese ein nach einem besonders langen Gebrauche des Widerstandes; bei kürzerem und mehr normalem Arbeiten betrugen die Schwankungen nur die Hälfte. Im übrigen würden auch größere zeitliche Veränderungen keine Bedeutung haben, da schon von der anfänglichen Bestimmung des Widerstandsverhältnisses her alle Vorrichtungen vorhanden sind, die auch nachher zu dessen Bestimmung dienen. Eine solche Bestimmung des Widerstandsverhältnisses ließ sich je nach Übung in 10—20 Min. ausführen.

9. Es erschien wünschenswert die Brauchbarkeit der Methode an einer Anwendung zu zeigen; es wurden deshalb noch Funkenpotentiale in Luft und einigen festen Dielektrizis bestimmt.

Die Messungen der Funkenpotentiale in *Luft* gehen aus von Werten, die schon früher festgestellt worden sind. Die gemeinschaftlichen Werte geben ein Urteil über die erreichte Genauigkeit.

Für normale Temperatur und Luftdruck ergibt sich folgende Tabelle für Kugelelektroden mit Radius  $r$ .

Tabelle 5.

Kilovolt.  $r = 2,5$  cm.

Abstand der Kugeln cm	Heyd- weiller- Paschen	Eigene Messungen	Differenz	
0,1	32,7	32,0	2,2 %	Die größere Abweichung bei der ersten Messung er- klärt sich ohne Zwang durch die größere Unge- nauigkeit bei der Einstel- lung kleinerer Abstände.
0,12	33,4	37,8	1,6	
0,14	43,8	43,4	1	
0,16	48,6	48,1	1	

Die zwischen Kugeln verschiedener Radien ermittelten Funkenpotentiale sind in der Tab. 5 zusammengestellt. Die Messungen sind auf 2 Proz. genau, wie an verschiedenen Tagen angestellte Versuche bewiesen. Die mittlere Genauigkeit war sogar größer wie das folgende Beispiel, in dem je eine schlechte und eine gute Messung gegeben ist, erkennen läßt.

Kugelradius 2 cm. Abstand 2 cm.

5. November	57,4	Kilovolt	} Größte Abweichung 1,8 Proz.
6. „	57,3	„	
10. „	58,3	„	

Abstand 5 cm.

5. November	89,8	Kilovolt	} Größte Abweichung 0,5 Proz.
6. „	89,4	„	
7. „	89,6	„	

Tabelle 6.

Kilovolt. Radius  $r$  in cm.

Kugelabstand cm	$r = 1,0$ cm	$r = 2,0$ cm	$r = 2,5$ cm	$r = 3$ cm
1,2	35,4	38,0	38,0	37,8
1,4	38,7	43,4	43,4	43,4
1,6	41,4	47,5	48,1	48,4
1,8	—	51,5	53,5	54,5
2,0	—	54,5	57,7	58,7
2,5	—	61,4	67,0	69,6
3,0	—	66,7	73,0	78,0
3,5	—	70,6	78,2	84,2
4,0	—	73,6	82,4	89,4
4,5	—	75,7	86,0	93,8
5,0	—	77,9	89,6	—

Die Messungen von Funkenpotentialen in *festen Dielektrika* beziehen sich auf Glimmer, Paraffin, Hartgummi und Glas. Die Schwierigkeit bei diesen Messungen lag darin, daß die Funken über die Oberfläche der Dielektrika hinwegschlugen; ich benutzte im übrigen eine Anordnung, wie sie Almy<sup>1)</sup> beschrieben hat und wie sie in Fig. 7 abgebildet ist. Es stellte sich

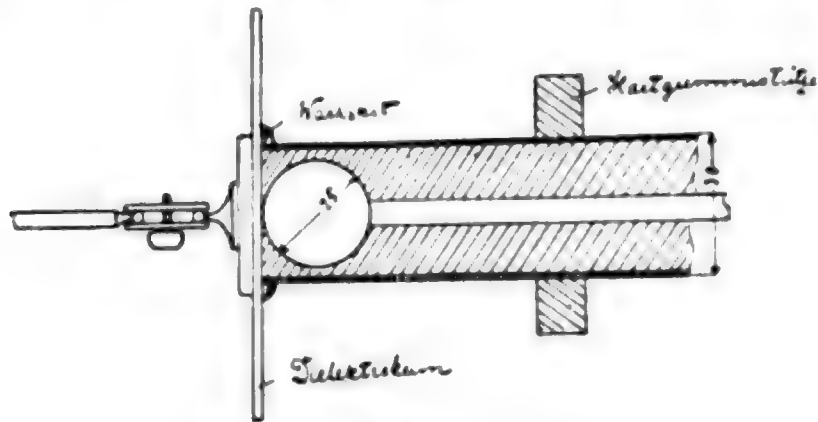


Fig. 7.

heraus, daß selbst verhältnismäßig reine und homogene Materialien große Unterschiede bezüglich der Durchschlagsfestigkeit aufweisen; in Hinsicht auf praktische Bedürfnisse erschien es mir richtiger, wohl gute, aber durchaus keine besonders peinlich präparierte Materialien zu untersuchen.

Ich gebe hier nur ganz kurz die gefundenen Zahlen:

1. Glimmer, Plattendicke 0,2—1 mm, Durchschlagspotentiale 25—54 Kilovolt.
2. Paraffin (Schmelzpunkt 52° C.), für je 0,1 mm (bis 1,2 mm) Dicke Durchschlagspotentiale von 8000 Volt  $\pm$  40 Proz.
3. Hartgummi, Plattendicke 0,25—0,5 mm, Durchschlagspotentiale 22—31 Kilovolt.
4. Glas, a) gewöhnliches Plattendicke 1—5 mm, Durchschlagspotentiale 40—90 Kilovolt; b) Jenenser 386<sup>III</sup>, Röhren von 0,4 mm Wandstärke, Durchschlagspotential 82 Kilovolt.

Zum Schluß sei noch erwähnt, daß zur Regulierung und allmählichen Erhöhung des Potentials eine Vorrichtung nach Fig. 8 angebracht war; diese Vorrichtung war namentlich für größere Elektrizitätsmengen viel brauchbarer als die gewöhnliche Spitzenanordnung. Sie besteht aus einem Holzwiderstand,

1) J. E. Almy, Ann. d. Phys. 1. p. 508. 1900.

der zur Herstellung eines bestimmten Widerstandes mit Graphit eingerieben wurde; ein federnd anliegender Bügel, der zur Erde abgeleitet war, gestattete verschiedene Längen und damit auch verschiedene Widerstandswerte einzuschalten.

10. Außer der in dieser Arbeit beschriebenen Meßmethode wurde noch eine zweite direkte Methode bei einer Reihe von Messungen untersucht, die jedoch kein brauchbares Resultat ergeben hat. Hierbei wurde das Spiegelelektrometer, das nachher mit Abänderung auch bei der definitiven Meßmethode benutzt wurde, vollständig in gut isolierendes Öl untergetaucht. Schon bei verhältnismäßig kleinen Spannungen traten dabei im Öl Konvektionsströme nach den abgeleiteten Gefäßwänden ein, die zuerst immerhin noch eine Einstellung nicht hinderten; der Spiegel des Elektrometers konnte durch eine planparallele Glasscheibe, die in die Gefäßwand eingekittet war, durch das Öl hindurch beobachtet werden.

Mit steigendem Potential jedoch kam das Öl in wirbelnde, kochende Bewegung; eine korrekte Messung war nicht mehr möglich. Außerdem trat durch diese Konvektionsströme ein derartiger Verlust ein, daß das zu erreichende Potential weit unter 90000 Volt blieb. Es wurden Versuche mit Terpentin, Petroleum und Paraffinöl gemacht; bei allen drei Materialien wurde dieselbe Erscheinung beobachtet. Auch die Erwartung, daß ein dickeres Öl sich günstiger verhalten würde, wurde nicht erfüllt; das an und für sich schon ziemlich dickflüssige Paraffinöl wurde bei einem Versuch durch aufgelöstes Paraffin noch zähflüssiger gemacht. Auch hier trat durch unerwünschte Bewegungen in der Flüssigkeit ein Mißerfolg auf, ganz ab-

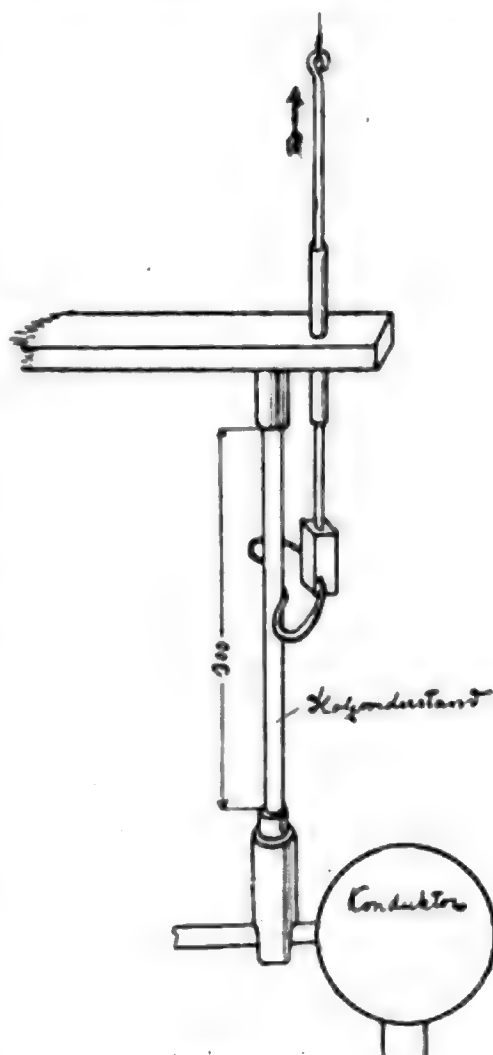


Fig. 8.



gesehen davon, daß es mir nicht geglückt war, ein vollständig klares Material zu erhalten.

Die Vermutung lag nahe, daß in dem Öl suspendierte Fremdteilchen die Ursache der Strömung seien. Eine gewöhnliche Filtration durch Papier half jedoch nichts, wie ein Versuch zeigte; ich griff daher zur Filtration durch eine Tonzelle unter Druck.<sup>1)</sup> Dabei ließ sich Terpentin in praktisch anwendbarer Frist noch durch die Tonzelle pressen, dagegen ging der Prozeß mit Paraffinöl, selbst wenn es auf 50° erwärmt wurde, äußerst langsam vor sich, weshalb ich von Versuchen in dieser Richtung absehen mußte. Auch zeigte sich beim gereinigten Terpentinöl durchaus kein anderes Verhalten als vorher, trotzdem ein kleines Versuchsgefäß ganz sorgfältig mit gereinigtem Öl vorher ausgespült war und u. a. auch die Flüssigkeitsoberfläche durch eine darauf gegossene Schicht von festem Paraffin vollständig gegen Staubteilchen aus der Luft geschützt wurde.

Selbst wenn für die benützte kleine Menge Öls ein Erfolg erzielt worden wäre, würde es doch fraglich geblieben sein, ob auch bei Berührung mit einem großen Instrument, an dessen Oberfläche ja immer mikroskopisch kleine Fremdteilchen haften, die Flüssigkeit rein geblieben wäre. Auf jeden Fall aber würde eine Meßmethode, die solch peinliches und langwieriges Arbeiten erfordert, kaum für die praktischen Bedürfnisse des Laboratoriums empfehlenswert gewesen sein; dagegen haben wir in der oben beschriebenen Methode des Potentialabfalles ein sicheres und in Anbetracht der hohen Spannungen auch einfaches Verfahren zur Meßung solcher Spannungen gefunden.

Auch an dieser Stelle sei es mir gestattet meinem herzlichen Danke gegen Hrn. Prof. Wien für die lebenswürdige Anregung und Unterstützung bei den Arbeiten Ausdruck zu geben.

Würzburg, Physikalisches Institut, Februar 1903.

---

1) Ann. d. Phys. 7. p. 156. 1902.

(Eingegangen 23. Mai 1903.)

## 8. *Über das Funkenspektrum des Radiums;* *von C. Runge und J. Precht.*

Das Funkenspektrum des Radiums ist bisher am besten von E. Demarçay<sup>1)</sup> untersucht worden. Er ist zwar über den blauen und violetten Teil des Spektrums nicht hinaus gegangen, wenn man von der Erwähnung einer grünen Linie absieht, deren Wellenlänge er auf 5665 ungefähr angibt; aber er hat das reinste Material gehabt und in dem von ihm untersuchten Teil des Spektrums alle wesentlichen Linien aufgefunden.

Außer E. Demarçay sind zu nennen: C. Runge<sup>2)</sup>, G. Berndt<sup>3)</sup>, A. Miethe<sup>4)</sup>, F. Exner und E. Haschek.<sup>5)</sup> Runge hat drei Hauptlinien des Funkenspektrums mit größerer Dispersion und dementsprechender Genauigkeit bestimmt. Berndt hat auch den ultravioletten Teil untersucht und gibt eine Linie bei 2706,6 an. Miethe hat eine Aufnahme auf gelb und rot empfindlichen Platten gemacht. Die Angabe Miethes, daß seine Aufnahme des Radiumspektrums eine Reihe von roten Radiumlinien zeigt, hat sich jedoch als ein Irrtum herausgestellt. Hr. Miethe hatte die Freundlichkeit, uns seine Platte zu schicken und wir konnten konstatieren, daß darauf die gelbe Radiumlinie 5814 als schwache feine Linie wahrgenommen werden konnte, daß aber alle auf der Platte sichtbaren roten Linien dem Baryum angehörten. Exner und Haschek führen 17 Linien auf, von denen wir aber nur fünf als Radiumlinien zugeben möchten. Nur diese stimmen mit unseren Messungen überein und haben, obgleich die kräftigsten Radiumlinien dabei sind, bei Exner und Haschek so geringe

1) E. Demarçay, Compt. rend. 127. p. 1218. 1898; 129. p. 716. 1899; 131. p. 258. 1900.

2) C. Runge, Ann. d. Phys. 2. p. 742. 1900.

3) G. Berndt, Physik. Zeitschr. 2. p. 180. 1900.

4) A. Miethe, Physik. Zeitschr. 2. p. 267. 1900.

5) F. Exner u. E. Haschek, Wellenlängen-Tabellen. 2. Teil. p. 150. 1902.

Intensität, daß die übrigen Linien dadurch unwahrscheinlich werden.

Wir haben das Funkenspektrum meistens mit einem Induktor von etwa 15 cm Schlagweite erzeugt. Radiumbromid, von Hrn. Giesel in Braunschweig uns freundlichst zur Verfügung gestellt, wurde in eine Platinschlinge eingeschmolzen, indem wir durch die Schlinge einen elektrischen Strom schickten. Der Funke sprang zwischen der Schlinge und einem Platindraht über, der mit dem anderen Pol des Induktoriums verbunden war. Im sekundären Stromkreis befand sich eine Leydener Flasche, eine Funkenstrecke und eine regulierbare Selbstinduktion. Funkenstrecke und Selbstinduktion wurden so bemessen, daß die Luftlinien verschwanden.

Das Spektrum ist mit zwei verschiedenen Rowlandschen Gittern aufgenommen, einem Konkavgitter von 6,5 m Krümmungsradius und etwa 110 000 Furchen, und einem kleineren Konkavgitter mit 1 m Krümmungsradius und etwa 45 000 Furchen. Die Aufstellung beider Gitter ist fest. Das heißt Spalt, Gitter und Kamera sind fest miteinander verbunden, und Spalt und Kamera liegen auf dem Rowlandschen Kreise (wenn man von der Abweichung vom Rowlandschen Kreise absieht, die durch das Zunehmen des Furchenabstandes von der einen Seite des Gitters zur anderen bewirkt wird).

Zwischen Funken und Spalt waren zwei Quarz-Zylinderlinsen so angeordnet, daß die Abbildung des Funkens im Spektrum möglichst stigmatisch wurde. Man braucht zu dem Ende nur vor dem Spalt ein astigmatisches Bild des Funkens zu erzeugen, dessen eine Brennnlinie in dem Spalt liegt, während die andere Brennnlinie in geeigneter Entfernung vor den Spalt fällt. Allerdings ist es schwer, die stigmatische Abbildung für alle Teile des Spektrums zugleich zu erreichen. Aber es gelingt doch wenigstens in einem Teile stigmatische Abbildung zu erzielen und in den anderen Teilen den Astigmatismus, der ohne die Zylinderlinsen vorhanden sein würde, wesentlich zu verringern. Die stigmatische Abbildung hat den ganz wesentlichen Vorteil, daß die Linien, die den verschiedenen Teilen des Funkens entspringen, sich im Spektrum differenzieren. Man kann z. B. die Platinlinien durch den Anblick ohne weiteres von den Linien unterscheiden, die von der Salzperle

berühren. Oder wenn die Luftlinien nicht völlig zum Verschwinden gebracht sind, so läuft man keine Gefahr, sie mit Salzlinien zu verwechseln.

Wir haben das Spektrum auch dadurch erzeugt, daß wir, wie es von Miethe vorgeschlagen ist, einen Tropfen Salzlösung zwischen die Platinstifte eines Hammerunterbrechers brachten, der einen Gleichstrom mit Kapazität und Selbstinduktion unterbricht. Aber die Resultate waren nicht so brauchbar, als wenn der Funken direkt von der Salzperle übersprang. Es ist freilich wahr, daß die Perle dabei immer auch bis zu einem gewissen Grade verspritzt wird. Man sieht im Dunkeln den Boden unter der Perle mit einem Sternhimmel von leuchtenden Pünktchen übersät. Aber man kann diese Teilchen wieder sammeln und noch einmal verwenden. Wir pflegten zu dem Zweck ein großes Glimmerblatt möglichst nahe unter dem Funken anzubringen.

Die folgende Tabelle enthält unsere Messungen. Die Intensitäten sind in Stufen von 1—10 wachsend angegeben. Nur bei den sehr kräftigen Linien sind größere Zahlen gewählt, um annähernd eine Vorstellung von der viel größeren Lichtstärke zu geben.

Als Normalen wurden die von H. Kayser gemessenen Linien des Spektrums von Eisen <sup>1)</sup>, von Platin <sup>2)</sup> und von Iridium <sup>3)</sup> benutzt.

Der mittlere Fehler derjenigen Linien, die mit dem großen Gitter bestimmt werden konnten, ist natürlich erheblich kleiner, als der mittlere Fehler der übrigen Linien. Bei der Bestimmung des mittleren Fehlers haben wir daher diese beiden Gruppen von Linien getrennt behandelt. Der mittlere Fehler der Gewichtseinheit wurde zugleich für alle Linien derselben Gruppe aus den Abweichungen der einzelnen Messungen von ihren Mitteln berechnet. Das Gewicht jeder einzelnen Linie ergab sich dann daraus, wie oft sie aus verschiedenen Aufnahmen bestimmt worden war. Nur haben wir dabei den Aufnahmen auf Glasplatten das doppelte Gewicht der Aufnahmen auf lichtempfindlichen Häuten gegeben, die bei dem kleinen Gitter auch mit verwendet worden sind.

1) H. Kayser, Ann. d. Phys. 3. p. 195. 1900.

2) H. Kayser, Abhandlungen d. k. Akad. d. Wissensch. zu Berlin II. p. 1—44. 1897.

Wellenlänge	Inten- sität	Mittlerer Fehler	Bemerkungen
5813,85	10	0,10	Demarçay: 5665 (ungefähr).
5660,81	10	0,08	
5616,73	8	0,13	
5601,72	6	0,13	
5556,17	6	0,08	
5553,81	2	0,13	
5502,07	8	0,13	
5488,83	1	0,13	
5482,15	2	0,13	
5406,78	8	0,10	
5400,31	8	0,10	
5319,69	6	0,10	
5283,42	5	0,10	
5264,57	3	0,10	
5205,96	4	0,10	
5097,49	6	0,13	
5081,20	5	0,13	
5041,52	3	0,13	
4982,10	3	0,10	
4971,88	4	0,10	
4918,61	2	0,10	
4862,25	1	0,13	Demarçay: 4826,3 (Int. 10), Runge: 4826,14 (mittl. Fehler 0,06), Runge und Precht (Bunsenflamme): 4826.
4856,25	8	0,13	
4837,59	1	0,13	Demarçay: 4726,9 (Int. 5) ist vermutlich Ba. Wir haben hier 4726,56 (mittl. Fehler 0,16, Int. 2) gemessen, über- einstimmend mit Ba 4726,63 (Kayser und Runge).
4826,118	10	0,014	
—	—	—	Demarçay: 4692,1 (Int. 7) ist vermutlich Ba. Wir finden 4691,73 (Int. 1, mittl. Fehler 0,22), übereinstimmend mit Ba 4691,74 (Kayser und Runge).
4702,05	1	0,13	
4699,43	5	0,13	Demarçay: 4699,8 (Int. 3).
—	—	—	Demarçay: 4683,0 (Int. 14), Runge: 4682,346 (mittl. Fehler 0,009), Exner und Haschek: 4682,41 (Int. 1), Runge und Precht (Bunsenflamme): 4680.
4682,359	50	0,015	



Wellenlänge	Inten- sität	Mittlerer Fehler	Bemerkungen
4641,41	6	0,13	Demarçay: 4641,9 (Int. 4).
—	—	—	Demarçay: Band 4631,0 bis 4621,9, Maximum 4627,5 (Int. 4). Auf unseren Aufnahmen nicht zu sehen.
4533,327	10	0,014	Demarçay: 4533,5 (Int. 9).
—	—	—	Demarçay: Band 4463,7 bis 4390, Maximum 4455,2 bis 4453,4. Auf unseren Aufnahmen nicht zu sehen.
4436,489	20	0,014	Demarçay: 4436,1 (Int. 8).
4340,830	50	0,012	Demarçay: 4340,6 (Int. 12).
4010,53	2	0,11	
4009,31	1	0,11	
—	—	—	Exner und Haschek geben hier 3993,25 (Int. 3) und bemerken ausdrücklich, daß diese Linie nicht mit Ba 3993,69 koinzidiert. Auf unseren Aufnahmen ist neben der Ba-Linie an der betreffenden Stelle keine Linie zu sehen.
3814,578	100	0,015	Demarçay: 3814,7 (Int. 16), Runge: 3814,591 (mittl. Fehler 0,016), Exner und Haschek: 3814,62 (Int. 3).
3649,748	50	0 013	Demarçay: 3649,6 (Int. 12), Exner und Haschek: 3649,33 (Int. 2).
2836,568	5	0,014	
2816,68	2	0,16	Exner und Haschek: 2816,25 (Int. 2).
2813,836	10	0,014	Exner und Haschek: 2813,60 (Int. 1). Die relativen Intensitäten der letzten beiden Linien sind bei Exner und Haschek wesentlich andere.
2709,045	8	0,019	Berndt: 2706,6 (Int. 1). Die Abweichung der Berndtschen Messung von der unsrigen ist eigentlich zu groß, um anzunehmen, daß er dieselbe Linie beobachtet hat. Auch ist nicht einzusehen, warum er nicht die stärkere Linie 2813,8 gesehen hat.

Wir haben schon in unserer Arbeit über die Stellung des Radiums im periodischen System erwähnt<sup>1)</sup>, daß die kräftigsten Linien sich zu drei Paaren zusammenfassen lassen, die gewissen Paaren im Spektrum von Mg, Ca, Sr, Ba entsprechen.

1) C. Runge u. J. Precht, Physik. Zeitschr. 4. p. 285. 1903.

Die Schwingungszahlen dieser Linien sind in der folgenden Tabelle zusammengefaßt.

Wellenlänge	Schwingungszahl pro Zentimeter Weglänge in Luft	Schwingungszahl pro Zentimeter Weglänge im Vakuum	Differenzen der Schwingungs- zahlen	Mittlerer Fehler der Differenz
5813,85	17200,30	17195,62	} 4857,17	0,31
4533,327	22058,86	22052,79		
4682,359	21356,76	21350,90	} 4857,02	0,12
3814,578	26215,22	26207,92		
4436,489	22540,34	22534,15	} 4857,34	0,12
3649,748	27399,15	27391,49		

Man sieht, daß die drei Schwingungsdifferenzen, soweit die Genauigkeit der Messungen reicht, miteinander übereinstimmen.

Für die grünen und gelben Linien haben wir die Platten und lichtempfindlichen Häute mit Äthylrot sensibilisiert.

Der Umstand, daß Demarçay die zwei Bänder bei 4627 und 4454 gesehen hat, die unseren Aufnahmen fehlen, erklärt sich vielleicht dadurch, daß er das Radiumchlorid, wir dagegen das Radiumbromid verwendet haben. Merkwürdig ist die verhältnismäßig große Intensität, die Demarçay für die Baryumlinien 4726,6 und 4691,7 findet, während die kräftige Baryumlinie 4554,2 sehr schwach war. Dies hat ihn wohl veranlaßt, die Linien für Radiumlinien zu halten. Daß sie in Wahrheit Baryumlinien sind, halten wir für sicher, erstens wegen ihrer geringen Intensität auf unseren Aufnahmen, und zweitens wegen der genauen Übereinstimmung ihrer Wellenlängen mit denen der Baryumlinien.

Von allen starken Radiumlinien kann man nach unseren Messungen mit Sicherheit behaupten, daß sie sich nicht unter den von Rowland gemessenen Sonnenlinien finden.

Hannover, Physikalisches Institut, Juni 1903.

(Eingegangen 11. Juni 1903.)

## 9. *Über neue Wirkungen bekannter Strahlenarten*<sup>1)</sup>; von L. Zehnder.

Im Anschluß an seine Untersuchungen über die „Nachfarben“ hat Goldstein in einem Aufsatz: „Über umkehrbare Lichtwirkungen“<sup>2)</sup> gezeigt, daß Bromsilber und Chlorsilber durch Kathodenstrahlen und durch diffuses Tageslicht verschieden beeinflußt werden. Es ließen sich nämlich diese Salze, wenn sie durch Kathodenstrahlen oder durch Tageslicht geschwärzt waren, wieder regenerieren, durch ihr ganzes Innere hindurch, so daß nur die belichtete Oberfläche geschwärzt blieb, vorausgesetzt daß dieselben in einer zugeschmolzenen Glasröhre eingeschlossen dem Licht ausgesetzt wurden.

Die Verschiedenheit der Wirkungen verschiedener Strahlenarten auf die gewöhnlichen photographisch empfindlichen Schichten geht auch aus folgenden Beobachtungen hervor:

1. *Trockenplatten* (Bromsilberschichten). Auf gewöhnlichen Trockenplatten können durch sichtbares (langwelliges) und durch ultraviolettes (kurzwelliges) Licht, durch Kathodenstrahlen, durch Kanalstrahlen, durch Röntgenstrahlen und durch Radiumstrahlen Gegenstände, die zwischen der betreffenden Strahlenquelle und der Trockenplatte sich befinden, in bekannter Weise abgebildet werden. Bei schwachen und bei starken Bestrahlungen zeigen aber die Wirkungen dieser verschiedenen Strahlenarten eigentümliche Verschiedenheiten.

Bei kräftiger Bestrahlung mit sichtbarem (langwelligem) Licht erhält man während des Entwickelns die bekannten Solarisationserscheinungen, nämlich eine Umkehrung des Bildes, und zwar in erster Linie ein anormales Bild auf der Vorderseite, während die nicht unmittelbar belichtete Rückseite, die der Glasfläche anliegt, noch das normale Bild entstehen läßt.

Die durch ultraviolettes (kurzwelliges) Licht kräftig bestrahlte Trockenplatte läßt aber während des Entwickelns auf der Vorderseite das normale, auf der Rückseite das anormale Bild entstehen. Wird also auf einer Trockenplatte

1) Vgl. meine vorläufige Mitteilung in Verhandl. d. Deutschen Physik. Gesellsch. 5. p. 35. 1903.

2) E. Goldstein, Verhandl. d. Deutschen Physik. Gesellsch. 3. p. 182. 1901.

ein ganzes Spektrum entworfen und werden durch die Lichtstrahlen verschiedener Wellenlängen bei genügender Intensität Gegenstände auf der Trockenplatte abgebildet, so erscheinen während des Entwickelns auf der Vorderseite der Trockenplatte bei den sichtbaren Lichtstrahlen anormale, bei den ultravioletten Lichtstrahlen normale Bilder; auf der Rückseite der Trockenplatte kommen dagegen die Bilder bei den langwelligen Lichtstrahlen normal, bei den kurzwelligen anormal zum Vorschein. Je nach der Intensität der Bestrahlung mit ultraviolettem Licht und der Dauer des Entwickelns kann auch hinten und vorn nacheinander das anormale Bild entstehen. Das Fixieren ändert in der Regel das Bild.

Werden Trockenplatten von kräftigen Kathodenstrahlen getroffen, so entstehen Schwärzungen schon vor dem Entwickeln. Beim Entwickeln verhält sich die Vorderseite anormal, die Rückseite normal. Fixieren ändert in der Regel das Bild. In der Durchsicht waren die Kathodenstrahlenflecke dunkler als ihre Umgebung.

Eine mit Kanalstrahlen stark bestrahlte Trockenplatte läßt auf der Vorderseite normale, auf der Rückseite anormale Entwicklung des Bildes zu stande kommen. War die Intensität der Kanalstrahlen eine sehr große, so erkennt man schon vor dem Entwickeln einen deutlichen schwarzen Fleck auf der Bromsilberschicht, da wo die Kanalstrahlen die Trockenplatte trafen. Beim Entwickeln wurde dieser Fleck nicht merklich dunkler, unter Umständen sogar heller. Um ihn herum entstand ein dunkler werdender Ring. Nach einer sehr kräftigen Kanalstrahlenwirkung ist auf der Rück- und auf der Vorderseite der Bromsilberschicht nacheinander anormales Entwickeln des Bildes wahrzunehmen. Zugleich erkennt man eine starke Strukturänderung in der Bromsilberschicht, die an ein Zerfressenwerden der Schicht erinnert. Eine nach dem Fixieren getrocknete Trockenplatte zeigte außerdem da, wo sie von intensiven Kathoden- und Kanalstrahlen getroffen worden war, verschiedene kräftige Oberflächenfarben.

Die von intensiven Röntgenstrahlen getroffenen Trockenplatten lassen da, wo die Intensität dieser Strahlen die größte war, eine Schwärzung der Bromsilberschicht erkennen schon vor dem Entwickeln. Beim Entwickeln erhielt ich auf der Vorderseite ein anormales, auf der Rückseite aber das gewöhnliche normale Bild.

Durch Radiumbestrahlung ergaben sich vorerst keine ähnlichen Solarisationserscheinungen. Vielleicht war diese Bestrahlung noch nicht kräftig genug.

Den beschriebenen Wirkungen zufolge ist also die Reihenfolge der Bilderumkehr auf der Vorder- und auf der Rückseite der Trockenplattenschicht bei den verschiedenen Strahlenarten verschieden. Auf der Vorderseite kehrt sich das Bild zuerst um, wird also anormal, bei dem sichtbaren langwelligen Licht, bei Kathodenstrahlen, bei Röntgenstrahlen; auf der Rückseite erscheint dagegen das Bild zuerst anormal bei ultraviolettem Licht und bei Kanalstrahlen. Es erscheint nicht undenkbar, daß man für alle diese Strahlenarten die Intensitäten bis zu einem Grade bringen kann, bei dem die Bilderumkehr sowohl auf der Vorder- als auch auf der Rückseite der Bromsilberschicht erfolgt.

2. *Positivpapiere* (Chlorsilberschichten). Die Positivpapiere werden im allgemeinen durch die oben genannten Strahlenarten stärker geschwärzt bez. gefärbt als die Trockenplatten, vorausgesetzt, daß letztere nicht entwickelt werden. Dabei ist aber die Färbung durch verschiedene Strahlenarten eine verschiedene. Celloidinpapier wird durch Kathodenstrahlen braun, durch weißes Licht violett gefärbt.

Wenn man Positivpapiere zuerst von kurzwelligem (ultraviolettem) Licht oder von Kathodenstrahlen oder von Kanalstrahlen oder von Röntgenstrahlen oder von Radiumstrahlen bestrahlen läßt und dieselben nachher gewöhnlichem weißem Licht aussetzt, so sind sie durch die genannte Behandlung für daß weiße Licht unempfindlicher geworden. Hat man durch eine jener Strahlenarten auf Positivpapier ein Bild hervorgerufen und legt man nunmehr das Positivpapier an weißes (Tages-)Licht, so färben sich die nicht von jenen Strahlen getroffenen Stellen des Papiers dunkler als die übrigen, und es kehrt sich dadurch im allgemeinen das Bild um. Die von jenen anderen Strahlenarten getroffenen Stellen können sogar unter der Lichtwirkung verblassen, also heller werden als zuvor.

Nach kräftiger Bestrahlung mit jenen oben genannten Strahlenarten erkennt man auf glänzenden Positivpapieren Änderungen der Spiegelungen und sogar neue Oberflächenfarben, letzteres namentlich bei Kathodenstrahlen und ganz besonders bei Kanalstrahlen. Bei weniger kräftigen Bestrahlungen zeigen sich



diese Erscheinungen erst nach der darauffolgenden Belichtung mit weißem Licht. Das Fixieren ändert in der Regel das Bild. Bei Röntgenbestrahlung habe ich eine Änderung der Spiegelung oder eine neue Oberflächenfarbe bis dahin nicht beobachtet.

Verschiedene Kopierpapiere, wie Celloidin-, Aristo-, Solio-, Rembrandtpapier etc. lassen im allgemeinen analoge Wirkungen erkennen; sie unterscheiden sich voneinander nur durch eine größere oder geringere Empfindlichkeit für die verschiedenen Strahlenarten. Für die gewöhnliche Lichtempfindlichkeit gilt ihre oben gewählte Reihenfolge. Das Positivpapier von „Wynnes Expositionsmesser“ ist nicht nur für gewöhnliches Licht, sondern auch für Röntgenstrahlen und für Radiumstrahlen viel empfindlicher, als jene anderen Positivpapiere, während es für Kathodenstrahlen viel unempfindlicher ist als beispielsweise das Celloidin- und das Aristopapier.

Mit Wynnepapier, das zuerst von Röntgenstrahlen, dann von weißem Licht getroffen wurde, fand ich jene oben erwähnte Umkehr des Bildes nicht. Dagegen zeigte hier Aristopapier die Umkehr besser als Celloidinpapier, während bei Kathodenstrahlen das Celloidinpapier die Umkehr deutlicher erkennen ließ als Aristopapier. Die Wirkung der Röntgenstrahlen wurde durch die Positivpapiere ziemlich stark absorbiert, so daß z. B. nach Durchsetzen von fünf solchen Papieren die Wirkung ganz deutlich schwächer wurde.

Wenn das Wynnepapier zuerst mit Radiumstrahlen, dann mit weißem Licht bestrahlt wurde, so ließ sich gleichfalls eine Umkehr des Bildes nicht erkennen.

Bei Kathodenstrahlen und bei Kanalstrahlen fand ich keine Wirkungen durch die Papierschichten der von mir benutzten Positivpapiere hindurch, wenn ich etwa diese Papiere von ihrer Rückseite mit den genannten Strahlenarten bestrahlte. Es spricht wohl dieses Verhalten gegen eine starke Erwärmung der Papierschichten durch jene Strahlenarten. Dagegen erzeugen kräftige Kanalstrahlen — viel mehr als die Kathodenstrahlen — auf einem weißen Papier einen grauschwarzen Fleck, der um so dunkler wird, je größer die Intensität der Kanalstrahlen ist. Nach sehr langer Exposition glänzt dieser Fleck und zeigt eine Spiegelung; am Licht verändert er sich nicht merklich.

München, Physikal. Institut der Universität, Juni 1903.

(Eingegangen 17. Juni 1903.)

# 10. Eine einfache Form des Wehneltunterbrechers; von L. Zehnder.

Bei sehr starker Beanspruchung werden die Wehneltunterbrecher der mir bekannten Konstruktionen in der Regel bald unbrauchbar, indem zum Beispiel der Specksteinzylinder, durch den der Platindraht eingeschoben wird, die „Düse“, ausgefressen, die die positive Zuleitung von der Säure isolierende Hartgummiröhre da und dort durchschlagen wird. Ich habe deshalb den Wehneltunterbrecher in nachstehend beschriebene neue, von jedem Mechaniker leicht herstellbare Form gebracht, die haltbar ist, bei der aber namentlich leicht und mit den geringsten Kosten die verschleißenden Teile ersetzt werden können.

Eine (5 mm dicke) Messingstange  $S$  (Fig. 1) trägt oben die Klemme für die Zuleitung des (positiven) Stromes, unten den beispielsweise etwa 1 mm dicken, mit Hartlot (Silber) eingelöteten Platindraht  $P$ . Die Stange wird geführt in einem Messingrohr  $M$  (von 8 mm lichter Weite), das oben und unten verengt ist, so daß oben die Stange  $S$ , unten der Platindraht  $P$  in genau passenden Löchern geführt werden. Die untere Einschnürung des Messingrohres  $M$  muß aus der Rohrweite sehr allmählich und stetig in die enge Öffnung für den Platindraht  $P$  übergehen (Fig. 2), damit beim Einstecken der Stange  $S$  in das Rohr der Platindraht leicht den Weg in die für ihn bestimmte Öffnung und in die Düse finde. Das Messingrohr hat oben zwei seitliche Löcher  $L L$ , bis zu denen dasselbe von oben her aufgeschnitten ist und federt, so

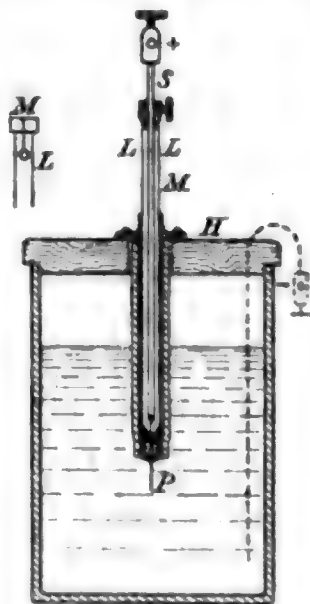


Fig. 1.

daß die Messingstange in ihrer Höhe verschoben, also auf jede gewünschte Stromstärke eingestellt werden kann, zugleich aber in jeder Lage festgeklemmt wird. Ein Ring *R* mit Klemmschraube *K* und Beilager (zur Schonung der Stange *S*) wird in der gewählten Stellung so auf der Stange festgeklemmt, daß letztere unter keinen Umständen infolge der Erschütterungen beim Arbeiten des Unterbrechers tiefer herabsinken kann.

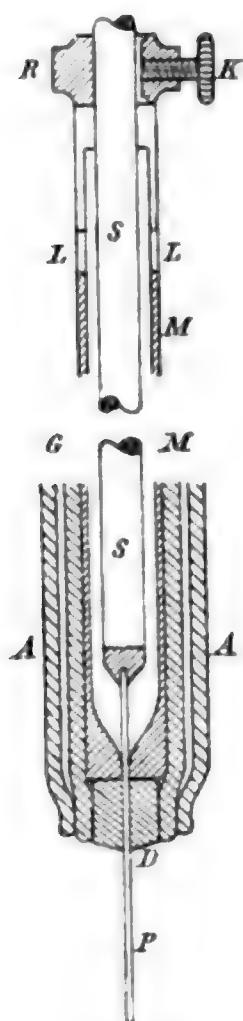


Fig. 2.

Ein auf den Platindraht genau passender Specksteinzylinder, der unten konisch zugespitzt ist, die Düse *D* (Fig. 2), bildet den Abschluß gegen die Schwefelsäure. Das Messingrohr *M* wird mittelst einer Scheibe auf dem paraffinierten und mit isolierendem Asphaltlack überzogenen Holzdeckel *H* (oder auf einem entsprechenden Hartgummi-, Porzellan- oder Glasdeckel) befestigt, wie Fig. 1 zeigt. Über das Messingrohr *M* und die Specksteindüse *D* wird nun ein weicher, nicht zu dünnwandiger Gummischlauch *G* gezogen<sup>1)</sup>, der etwas enger

1) Das Aufstülpen des engeren Gummischlauches *G* auf das weitere Messingrohr *M* geschieht am bequemsten in folgender Weise: Man verbindet das Messingrohr ohne die Stange *S* durch einen bei *L L* fest aufgesetzten über diese Löcher geschobenen Schlauch mit der Wasserleitung oder sonst mit irgend einem Wasserreservoir und läßt durch das Rohr Wasser von einigen Metern Wasserdruck strömen. Wird der aufzustülpende Schlauch am einen Ende mit einer Klemme verschlossen, so läßt er sich nun vom anderen Ende her ganz bequem auf das Rohr schieben, weil das hindurchströmende Wasser sich Weg bahnt, also den Schlauch gerade da ausweitet, wo er über das Rohr geschoben werden soll.

Ein analoges Verfahren, auf das ich befreundete Mediziner schon vor Jahren aufmerksam machte, sollte im Krankenhaus zur schmerzlosen Einführung von Kathetern in die entsprechenden Kanäle angewandt werden. Der Katheter wird durch einen Schlauch mit einem einige Meter höher befindlichen Reservoir verbunden, in dem sich ein passendes Desinficiens (eventuell ein Anästhetikum) befindet. Das letztere strömt also aus dem Katheter aus. Führt man nunmehr den Katheter in den Kanal ein, so entsteht im Innern des Kanals ein annähernd hydrostatischer Druck, der alle Gewebe gleichmäßig und daher um so schmerzloser er-

ist als die Düse. Dieser Schlauch reicht oben bis in den Deckel *H* hinein. Endlich wird der Schlauch eingehüllt von einer ebenso langen Glasröhre *A*, die unten eingezogen ist, so daß sie den Gummischlauch *fest* auf die Düse *D* preßt (Fig. 2). Die Säure kann nunmehr höchstens durch die enge Düsenöffnung am Platindraht *P* vorbei zur Zuleitungsstange *S* und zum Messingrohr *M* vordringen. Damit dies möglichst wenig geschehe, wird dieses Messingrohr vor dem Zusammenstecken des Apparates bis zu den Löchern *L* mit Wasser gefüllt.

Die negative Elektrode wählt man zweckmäßig als Bleiplatte (in der Fig. 1 punktiert) oder, wenn man den Unterbrecher für Dauerbetrieb einrichten will, wie bekannt als Bleischlangenrohr, dessen 6—8 Windungen durch dicken Bleidraht in einigen Millimeter Abstand voneinander gehalten werden, durch welches Schlangenrohr man während des Betriebes kaltes Wasser fließen läßt (auch Lufthindurchsaugen kühlt etwas ab). Als Gefäß des elektrolytischen Unterbrechers kann ein einfaches Elementenglas Verwendung finden, das die übliche oder eine etwas verdünnte Akkumulatorensäure enthält.<sup>1)</sup>

Wird der Unterbrecher nicht gebraucht, so empfiehlt es sich, den Deckel mit der positiven Elektrode aus der Säure herauszuheben, damit nicht im Laufe der Zeit diese Elektrode

---

weitert, je geringer er selber ist. Nach diesem Verfahren können mit großer Leichtigkeit Katheter in den Kanal eingeführt werden, auch weitere Katheter als nach den bisherigen Methoden. Strömt die Flüssigkeit überdies aus der Spitze des Katheters aus, so bahnt sich diese Spitze selber ihren Weg. Denn der durch die ausströmende Flüssigkeit entstehende Druck verhindert die unmittelbare Berührung von Katheterspitze und Gefäßwand. Es sind demnach durch die Kathetereinführung selber bewirkte Verletzungen, besonders wenn jene durch Laien vorgenommen werden soll, fast ausgeschlossen.

1) Nimmt der Arzt die in Fig. 1 gezeichnete positive vom Deckel *H* losgelöste Elektrode und als negative Elektrode einen einfachen mit Klemme versehenen Bleistreifen nebst etwas konzentrierter Schwefelsäure ins Privatkrankenhaus mit, das eine elektrische Lichtleitung zur Verfügung hat, so kann er sich in jedem Einmacheglas oder dergleichen den Wehneltunterbrecher zusammenstellen und damit einen kleinen Induktor für Röntgenaufnahmen betreiben (z. B. Klingelfuss, 10 cm). Für den provisorischen Anschluß seiner Leitung an das stromabgebende (städtische) Netz wird derselbe einen Angestellten des betreffenden Elektrizitätsnetzes herbeiziehen.

von der Säure angegriffen werde. Zweckmäßig erscheint es, um dieses Auseinandernehmen zu vermeiden, die Messingstange *S* und das Messingrohr *M* durch entsprechende Kupferstange und Kupferrohr zu ersetzen, die innen und außen stark verbleit sind. Ist auch die feine Öffnung im Rohr *M* für den Platindraht *P* und die Lötstelle dieses Platindrahtes genügend verbleit, so findet die verwendete Säure keine Teile mehr, an denen sie die positive Elektrode angreifen könnte.

Die Öffnung der Düse *D* wird bei starkem Gebrauch nach und nach erweitert. Es dringt dann die Säure reichlicher zu der Stange *S*, die schließlich auch als Elektrode fungiert — wie der Platindraht — und also stark angegriffen wird. Es ist deshalb zweckmäßig, jene Düse durch eine neue zu ersetzen, bevor sie zu sehr ausgeweitet ist.<sup>1)</sup>

München, Physik. Inst. d. Univ., Juni 1903.

---

1) Die nach meinen Angaben hergestellten Specksteindüsen liefern Böhm & Wiedemann in München für etwa 30 Pfennige das Stück. Auch das untere Ende des Gummischlauches wird mit der Zeit zerfressen. Man ersetzt nur das unterste Stück desselben auf etwa 4–5 cm Länge.

(Eingegangen 17. Juni 1903.)

---



**11. Eine indirekte Methode zur Bestimmung der Temperatur von Bädern flüssiger Luft; von U. Behn und F. Kiebitz.**

§ 1. Zur Messung tiefer Temperaturen dient in erster Linie das Gasthermometer.<sup>1)</sup> Ist eine geringere Genauigkeit ausreichend, so verwendet man elektrische Methoden: Widerstandsthermometer oder Thermoelemente<sup>2)</sup> oder auch Flüssigkeitsthermometer.<sup>3)</sup> Handelt es sich speziell um siedende Luft, so läßt sich die Temperatur durch Gasanalysen bestimmen.<sup>4)</sup>

Anderweitige Untersuchungen führten uns zu der im folgenden vorgeschlagenen Methode, die, wenn man sich mit mäßiger Genauigkeit begnügt, sehr einfach und bequem ist, andererseits mit Sorgfalt gehandhabt, auch recht genaue Resultate zu liefern vermag.

§ 2. Das spezifische Gewicht von Mischungen von flüssigem Stickstoff und Sauerstoff variiert von 0,791 bis 1,131<sup>5)</sup>, während die Temperatur sich nur um 13,3° ändert, nämlich von -195,7° bis -182,4°. Durch Messung des spezifischen Gewichtes flüssiger Luft wird man also ihre Temperatur gut bestimmen können. Eine solche Messung ist nun besonders einfach mit Hülfe von Schwimmern auszuführen. Hat man es mit Flüssigkeiten großer Viskosität zu tun, so ist diese Methode ja nicht zu empfehlen, aber gerade in verflüssigten Gasen, d. h. Flüssigkeiten in der Nähe ihrer kritischen Temperatur, sind Schwimmer leicht beweglich wegen der geringen Reibung dieser Flüssigkeiten.

1) Vgl. besonders H. L. Callendar, Proc. Roy. Soc. 50. p. 247. 1891.

2) Dewar, Dickson, Holborn, Kammerlingh-Onnes, Olzewski.

3) F. Kohlrausch, Wied. Ann. 60. p. 463. 1897; R. Rothe, Zeitschrift f. Instrumentenk. 22. p. 192. 1902.

4) E. C. C. Baly, Phil. Mag. (5) 49. p. 517. 1900.

5) M. W. Travers, Experim. Study of Gases 1901.

6) K. F. Fischer u. H. Alt, Ann. d. Phys. 9. p. 1149. 1902.

§ 3. Die zuerst von uns benutzten Schwimmer bestanden aus Kieselglas<sup>1)</sup>, die von Heraeus geblasen, von uns durch Anschmelzen von Stielen auf das erforderliche spezifische Gewicht<sup>2)</sup> gebracht wurden. Das Material war gewählt wegen der Kleinheit seines thermischen Ausdehnungskoeffizienten, die zwei Vorteile mit sich bringt: die Temperaturkorrektur des Volumens dieser Schwimmer ist gering und sie ertragen schroffe Temperaturwechsel ohne zu zerspringen. Beide Bedingungen werden aber auch hinreichend erfüllt durch das von Schott u. Genossen hergestellte Duraxglas<sup>3)</sup>, aus dem wir uns größere Schwimmer anfertigten, die bei den im folgenden beschriebenen Versuchen verwendet sind, und die sich in jeder Hinsicht als brauchbar erwiesen.

§ 4. Das spezifische Gewicht der Schwimmer wurde dadurch gemessen, daß man sie in Mischungen von Alkohol und Wasser bez. in wässerigen Salzlösungen zum Schweben brachte und dann die Dichte der Flüssigkeit mit der Mohr-Westphalschen Wage bestimmte.

Mit Hilfe dieser Schwimmer sollte nun die Abhängigkeit der Dichte der flüssigen Luft von ihrer Temperatur gemessen werden. Ein ziemlich großes unversilbertes zylindrisches Vakuummantelgefäß wurde etwa zu ein Drittel mit flüssiger Luft gefüllt, die frisch von der Lindeschen Maschine kam. Es wurden dann die leichteren von den Schwimmern hineingeworfen, die aber zunächst alle zu Boden sanken. Erst in größeren Zeitintervallen stieg nun nach Maßgabe der Zunahme des spezifischen Gewichtes der Flüssigkeit ein Schwimmer nach dem anderen herauf und es wurde dann jedesmal die Temperatur der flüssigen Luft dadurch ermittelt, daß eine entweder der Flüssigkeit oder dem frisch entstandenen Dampf entnommene Probe auf ihren Sauerstoffgehalt untersucht wurde. Die Analyse geschah nach der von Hempel<sup>4)</sup> angegebenen

---

1) Die Ausdrücke „Kieselglas“ oder auch „Quarzglas“ scheinen uns sachgemäßer, als die sonst gebrauchten. Ebenso verwendet Shenstone (*Nature* 64. p. 65. 1901) „vitrified silica“ und „vitrified quartz“.

2) Darunter soll der Quotient: Gewicht durch Volumen verstanden sein.

3) Duraxglasröhren sind durch einen hellblauen Streifen kenntlich; sie lassen sich leicht vor der Lampe verarbeiten.

4) W. Hempel, Gasanalytische Methoden p. 143. 1900.

Methode mittels Kupfers, die für unsere Zwecke hinreichend genaue Resultate lieferte.<sup>1)</sup> Auf Grund dieser Analysen wurde nun die Temperatur der flüssigen Luft mit Hilfe der von Baly<sup>2)</sup> angegebenen Werte ermittelt, die sich auf der Fig. 2<sup>3)</sup> vorfinden. Fig. 1 zeigt die übrigens sehr einfache Versuchsanordnung.

Das Vakuummantelgefäß sitzt in einem genau passenden Kartonring, der mit seinen Rändern auf den Rändern eines großen Becherglases aufliegt und mit diesen durch ein übergelegtes Kautschukband fest verbunden ist. Am Boden des Becherglases befindet sich eine Schicht von Phosphorsäureanhydrit. Man erreicht so, daß alle Glaswände selbst bei lang andauernden Versuchen klar bleiben. Auf dem Boden des Vakuummantelgefäßes befinden sich wenige Windungen einer Heizspirale aus Konstantan (in Fig. 1 weggelassen), die an kupferne Zuleitungsdrähte angelötet sind. Auf dem oberen Rande des Gefäßes ist ein Kartonblatt (oder Mull in mehreren

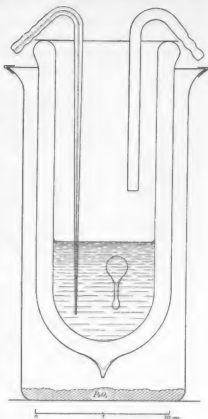


Fig. 1.

1) Zur Kontrolle wurde von Zeit zu Zeit der Sauerstoffgehalt der Zimmerluft gemessen, wobei sich stets Werte zwischen 20,4 und 20,8 Proz. ergaben.

2) E. C. C. Baly, Phil. Mag. (5) 49. p. 517. 1900.

3) Sie sind hier reproduziert, weil man, wie oben bemerkt, auch durch solche Gasanalysen die direkte Temperaturbestimmung ersetzen kann. Die Balysche Kurve ist von uns in Richtung der Ordinaten etwa um  $0,8^\circ$  verschoben, so daß die Endpunkte den Werten  $-195,7$  und  $-182,4$  entsprechen.

Lagen) lose aufgelegt, das zwei Löcher enthält. Durch das eine geht ein  $\cap$  förmig gebogenes Glasrohr mittlerer Weite, dessen einer Schenkel ca. 4 cm über der Flüssigkeitsoberfläche endet<sup>1)</sup>, durch das andere ein starkwandiges enges Rohr von ca. 2 mm lichter Weite, das in seinem längeren in die Flüssigkeit hinabreichenden Schenkel zu einer feinen Kapillare ausgezogen ist. Will man eine Probe der Flüssigkeit entnehmen, so verwendet man das letztere Rohr, indem man es an die Gasbürette anschließt und dieselbe durch starkes Saugen schnell füllt. Die in der unten gekühlten Glaskapillare emporgerissenen Flüssigkeitsteilchen verdampfen vollständig, sobald sie in den wärmeren Teil der Röhre gelangen. Will man andererseits eine Probe des Dampfes entnehmen, so leitet man ein gleichmäßiges Sieden der Flüssigkeit am besten dadurch ein, daß man durch passende Regulierung des Vorschaltwiderstandes die Heizspirale zunächst einige Sekunden stark erwärmt; wenn man nun kontinuierlich mit der Stromstärke zurückgeht, so siedet die Flüssigkeit mit sehr kleinen Gasblasen, also mit minimalem Siedeverzug.<sup>2)</sup>

§ 5. Die Resultate der Beobachtung sind durch die Kurve der Fig. 2 wiedergegeben, die bekannten Endpunkte der Kurve sind durch Kreise, unsere Beobachtungen, die sich teils auf Dampf-, teils auf Flüssigkeitsanalysen beziehen, durch Kreuze markiert. In frischer, also stickstoffreicher Luft ändert sich das spezifische Gewicht, wie man sieht, fast proportional der Temperatur und sehr stark, nämlich für einen einzigen Grad etwa um 0,04. Mit zunehmendem Sauerstoffgehalt wird die Änderung geringer und in einer Flüssigkeit, die aus fast reinem Sauerstoff besteht, scheint sie fast Null geworden zu sein. Die Temperatur des siedenden Sauerstoffs wird also durch geringe Beimischungen sehr stark verändert; dasselbe ergibt sich auch aus der Kurve von Baly; die Änderung des Siedepunktes ist bei prozentual gleichen Beimischungen für Sauerstoff etwa fünfmal so groß als für Stickstoff. Kombiniert man unsere

1) Steht das Ende dieses Rohres der Flüssigkeitsoberfläche zu nahe, so wird es von kleinen beim Sieden emporspritzenden Tröpfchen erreicht, die dann *vollständig* verdampfen und so den Sauerstoffgehalt des Dampfes etwas zu groß erscheinen lassen können.

2) K. T. Fischer u. H. Alt, l. c. p. 1161.

Werte mit denen Balys derart, daß man die Dichte der flüssigen Luft als Funktion ihrer Zusammensetzung erhält, so findet man eine gestreckt S förmige Kurve mit dem Wendepunkt bei ca. 50 Proz. (Fig. 3). Bei geringem Sauerstoffgehalt (0 bis 25 Proz.) verläuft sie so, daß man nach der Mischungsregel die Zusammensetzung aus dem spezifischen Gewicht angenähert berechnen kann. Mit Hülfe eines Satzes unserer Schwimmer

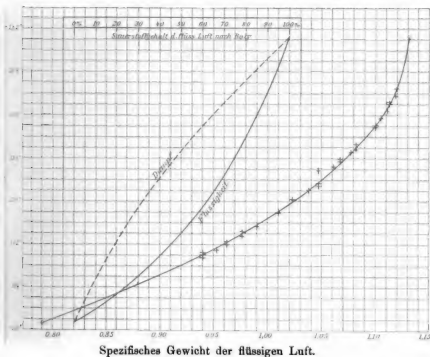


Fig. 2.

ergibt sich also auf Grund *dieser* Kurve ohne weiteres die Zusammensetzung der flüssigen Luft. Auf Gewichtsprocente umgerechnet ergibt sich die in der Fig. 3 gestrichelte Kurve.

§ 6. Das spezifische Gewicht der Schwimmer war mit der Mohr-Westphalschen Wage auf etwa drei Einheiten der vierten Dezimale genau bestimmt. Die so gefundenen Werte bedurften nun zunächst einer Korrektur wegen der Ausdehnung des Materiales. Bei Kieselglas ist dieselbe äußerst gering. Nimmt man einen konstanten linearen Ausdehnungskoeffizienten



von  $0,0000005^1)$  auch unterhalb  $0^\circ$  an, so ergibt sich eine Kontraktion der Schwimmer bei  $200^\circ$  unter Zimmertemperatur um  $0,0003$ . Diese Korrektur ist von uns vernachlässigt, weil sie kleiner als die Versuchsfehler ist. Auch ist zu bemerken, daß man durch Extrapolieren des von Scheel<sup>2)</sup> für das Intervall von  $0$  bis  $+100^\circ$  festgelegten Ganges des Ausdehnungskoeffizienten eine noch erheblich kleinere Kontraktion finden würde.

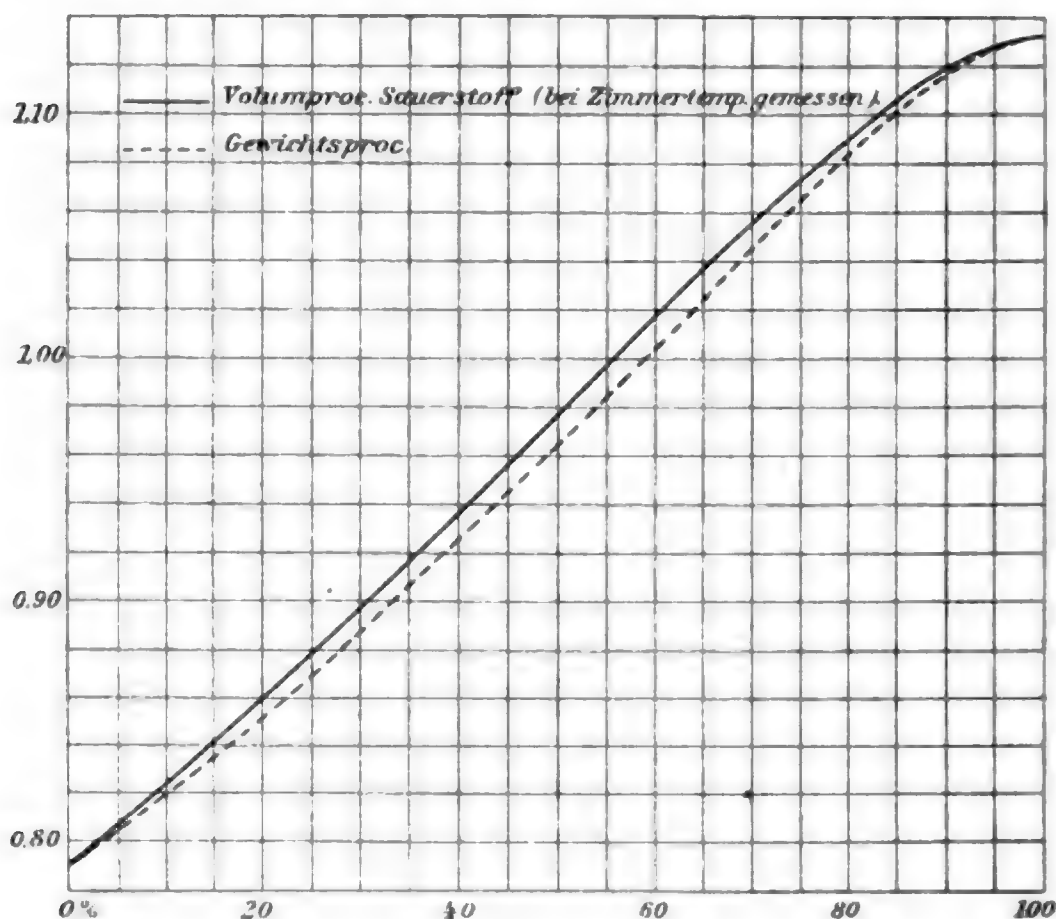


Fig. 3.

Die Volumenveränderung des Duraxglases zwischen  $-187^\circ$  und Zimmertemperatur wurde dadurch bestimmt, daß ein Kieselglasschwimmer mit einer Anzahl von solchen aus Duraxglas hergestellten, die sich in ihrem spezifischen Gewichte um je eine Einheit der dritten Dezimale unterschieden, in flüssiger Luft verglichen wurden. Es ergab sich dabei eine Kontraktion

1) L. Holborn u. F. Henning, Ann. d. Phys. 10. p. 446. 1903.

2) K. Scheel, Verhandl. d. Deutsch. Physik. Gesellsch. 5. p. 119. 1903.

der Duraxglasschwimmer um 0,003<sup>1)</sup>, eine Korrektur, die bei der Auswertung der Versuchsergebnisse berücksichtigt ist.

Ferner ist zu bemerken, daß bei Abkühlung eines solchen Schwimmers der Luftdruck im Innern etwa auf ein Drittel seines Wertes bei Zimmertemperatur sinkt, während der äußere Druck derselbe bleibt. Nach den Erfahrungen des einen von uns<sup>2)</sup> war von vornherein wahrscheinlich, daß die hierdurch entstehende Volumenverminderung der Schwimmer zu vernachlässigen sei. Ein mit dem Oerstedtschen Piezometer angestellter Kontrollversuch bestätigte die Annahme.

Die bei der Bestimmung des spezifischen Gewichtes der Schwimmer gemachten Fehler und die der Analyse sind jedenfalls kleiner als die bei der Beobachtung des Zeitpunktes des Schwebens gemachten. Die flüssige Luft wurde vor dem Gebrauch filtriert und während der Beobachtung durch das erwähnte aufgelegte Kartonblatt bedeckt gehalten, um Eisteilchen in der Flüssigkeit zu vermeiden, welche leicht zu elektrischen Ladungen Anlaß geben können, die so stark werden, daß die Schwimmer an der Glaswand haftend, ihre freie Beweglichkeit einbüßen.<sup>3)</sup> Weiter ist zu bemerken, daß die genaue Beobachtung des Momentes des Schwebens erschwert wird durch die starken Konvektionsströmungen, die durch das Sieden der flüssigen Luft hervorgerufen werden. Es wurde daher jedesmal während der Beobachtung das Sieden in einfacher Weise dadurch beseitigt, daß durch Erhitzen der Spirale während weniger Sekunden ein starkes Sieden hervorgerufen wurde und es folgte dann regelmäßig eine kurze Zeit, in der keine Gasblasen in der Flüssigkeit aufstiegen, in der man also bequem beobachten konnte; andererseits kann man auf die angegebene Weise durch kurz dauerndes kräftiges Sieden die Flüssigkeit gut durchmischen und so die Ausbildung von Schichten verschiedener Dichte in der flüssigen Luft vermeiden. Diese Vor-

---

1) Der mittlere lineare Ausdehnungskoeffizient für Duraxglas zwischen Zimmertemperatur und der Temperatur der flüssigen Luft ist demnach 0,000005. Baly (l. c.) findet für ein nicht näher charakterisiertes Glas und dasselbe Temperaturgebiet 0,0000073. Für Schwimmer, die aus gewöhnlichen Biegeröhren hergestellt waren, fanden wir 0,0000075.

2) U. Behn, Ann. d. Phys. 3. p. 783. 1900.

3) Vgl. H. Ebert u. B. Hoffmann, Ann. d. Phys. 2. p. 706. 1900.

sichtsmaßregeln sind aber eigentlich nur dann notwendig, wenn die Dichte bis auf eine Einheit der dritten Dezimale genau bestimmt werden soll. Was die Benutzung der Balyschen Werte betrifft, die sich auf einen Druck von 760 mm beziehen, so sei noch erwähnt, daß der Luftdruck bei unseren Versuchen zwischen 749 und 766 schwankte. Da aber sowohl für Sauerstoff als auch für Stickstoff der Quotient  $dp/dT$  für einen Druck von etwa 760 mm rund  $100 \text{ mm}/1^\circ$  ist, so wird durch die Abweichungen (ein gleiches Verhalten der Mischungen beider Gase vorausgesetzt) ein Fehler bedingt, der kleiner als  $0,1^\circ$  ist und der vernachlässigt wurde.

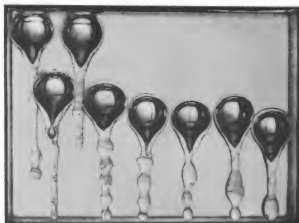


Fig. 4.

§ 7. Will man in der von uns vorgeschlagenen Weise Schwimmer zur Temperaturbestimmung verwenden, so ist zunächst bei Anfertigung derselben zu beachten, daß man die Stiele der Schwimmer vorerst dünn auszieht, so daß man nachher durch Abbrechen kleiner Stückchen das spezifische Gewicht leicht regulieren kann. Ist dies erreicht, so schmilzt man die Stiele zu einem dickeren Stab zusammen, dem man absichtlich eine Anzahl von Verdünnungen und Verstärkungen giebt, so daß man nachher hieran leicht die einzelnen Schwimmer unterscheiden kann. Statt dessen könnte man auch die Schwimmer äußerlich versilbern und diese Schicht

bei den einzelnen Exemplaren in verschiedener Weise zum Teil wieder entfernen. Man würde sich so etwa, wenn die Bestimmung der Temperatur auf  $0,5^\circ$  genügt, acht Schwimmer anfertigen, die bei Zimmertemperatur (Duraxglas als Material vorausgesetzt) folgende spezifische Gewichte haben müßten:

0,937, 0,975, 1,007, 1,035, 1,059, 1,080, 1,097, 1,110,

so daß sie den Temperaturen des Luftbades

$-192,5^\circ$ ,  $-191,5^\circ$ ,  $-190,5^\circ$  . . .  $-185,5^\circ$

entsprechen.<sup>1)</sup> Fig. 4 stellt einen solchen Satz in halber natürlicher Größe dar, den wir uns für unseren Gebrauch angefertigt haben. Die Anzahl der Verdickungen an den Stielen entspricht der letzten Ziffer vor dem Komma der Gradzahlen; eine stärkere Verdickung gilt für 5. Ist eine größere Genauigkeit der Temperaturbestimmung erforderlich, so wird man sich eine größere Anzahl von Schwimmern herstellen, was beiläufig gesagt viel schneller auszuführen ist, als man zunächst glaubt. Mit diesen Hilfsmitteln ausgerüstet wird man in den Untersuchungen bei tiefen Temperaturen seine ganze Aufmerksamkeit den eigentlichen Messungen zuwenden können und die jedesmalige Temperaturmessung mit einem Blicke erledigen.

Besonderen Dank schulden wir der Direktion der Höchster Farbwerke, die uns in lebenswürdigster Weise die für die Versuche erforderliche flüssige Luft zur Verfügung gestellt hat.

Frankfurt a/M., Laboratorium des Physikal. Vereins,  
Juni 1903.

---

1) Die Schwimmer können bezogen werden von Hrn. Glasbläser Burger, Berlin N., Chausseestraße 2 E.

(Eingegangen 20. Juni 1903.)

✓

## 12. *Über die Farbe der Ionen;* *von A. Pflüger.*

Von Hrn. Arrhenius ist der Satz aufgestellt worden, daß alle Zustandseigenschaften der wässerigen Salzlösungen mit wachsender Verdünnung einer Grenze zustreben, bei der sie additiv in Bezug auf ihre Ionen werden. Aus diesem Satze hat Hr. Ostwald<sup>1)</sup> unter vereinfachenden Voraussetzungen folgende leicht experimentell zu prüfende Schlüsse gezogen.

In einer Salzlösung sind vorhanden: 1. die unzersetzten Moleküle, 2. die beiden Ionen. Wenn nun der Einfluß des unzersetzten Moleküls auf die Konstanten der Lichtabsorption verschieden ist von dem der beiden Ionen, so werden diese Konstanten mit dem Gehalt an unzersetzten Molekülen, d. h. mit der Konzentration variieren müssen. Bei vollständiger Dissoziation wird, mit dem vollständigen Verschwinden unzersetzter Moleküle, nur der Einfluß der Ionen bestehen bleiben. Vereinfachen wir nun den Fall, indem wir ein Salz nehmen, dessen eines Ion in dem untersuchten Spektralgebiet überhaupt keine Absorption ausübe, nicht „farbig“ sei, während das andere Ion einen charakteristischen Absorptionsstreifen hervorbringe. Untersuchen wir dann dieses, und eine Reihe verwandter Salze, die alle dasselbe farbige Ion enthalten, während ihr anderes, farbloses Ion von Salz zu Salz verschieden sei, dann müssen offenbar die verdünnten, vollständig dissoziierten Lösungen aller dieser Salze bei gleicher Konzentration die gleiche Lichtabsorption zeigen, da sie ja alle den gleichen

---

1) W. Ostwald, Zeitschr. f. phys. Chem. 9. p. 579. 1892.



Gehalt an farbigen Ionen besitzen, d. h. also: die Spektren der verdünnten Lösungen verschiedener Salze mit dem gleichem farbigen Ion sind identisch.

Hr. Ostwald hat diesen Satz qualitativ geprüft, indem er elf Gruppen solcher Salze untersuchte. Von jeder Gruppe wurden verdünnte Lösungen gleicher Konzentration nacheinander in dasselbe Absorptionsgefäß gebracht, und ihre Absorptionsspektren bei gleicher Belichtungsdauer photographiert. Vergleich man die so erhaltenen Photogramme in Bezug auf ihre Gestalt und ihre Schwärzung, so zeigte sich die Behauptung bei der weitaus größten Mehrzahl der Fälle bestätigt. Die wenigen Ausnahmen wurden durch Hydrolyse und andere plausible Annahmen erklärt.

Die Versuche verdienen jedenfalls eine quantitative Nachprüfung, die ich an zwei von Hrn. Ostwald untersuchten Gruppen, den Permanganaten und den Salzen des p-Rosanilins, vorgenommen habe. Es wurden in jeder Gruppe sehr verdünnte Lösungen gleicher Konzentration hergestellt, und ihr Absorptionsvermögen für eine bestimmte Partie des Spektrums innerhalb des Absorptionsstreifens gemessen. Für alle Messungen wurde dasselbe Absorptionsgefäß benutzt. Die Dicke der durchstrahlten Schicht sowie die Reflexionsverhältnisse sind also in allen Fällen dieselben. Dann muß der Prozentsatz des durchgelassenen Lichtes für alle Lösungen derselben Gruppe derselbe sein.

Um von den Einstellungsfehlern des Spektrometers unabhängig zu sein, wurde die Messung in jeder Gruppe nur für *eine* passend gewählte Wellenlänge ausgeführt. Von einer Stammlösung ausgehend, wurde jede Lösung vor jedem Versuch frisch angesetzt, und die Messung sowohl an einer zweiten Probe derselben Lösung, als auch an anderen, frisch hergestellten wiederholt. Da die Ostwaldschen Behauptungen sich bestätigt fanden, habe ich auf eine Wiederholung der zeitraubenden Prozedur für weitere Wellenlängen verzichtet.

Es soll schon an dieser Stelle darauf hingewiesen werden, daß diese Bestätigung einen Rückschluß auf die zu Grunde liegenden theoretischen Annahmen nur in beschränktem Maße gestattet. Zu einer bündigen Beweisführung würde eine Untersuchung nicht nur im Gebiete der sichtbaren Wellen, sondern

auch möglichst weit ins Ultrarot und Ultraviolett hinein gehören. Leider erlaubt die starke, schon bei  $\lambda = 1400 \mu\mu$  beginnende Absorption des Wassers keine Ausdehnung der Messungen nach längeren Wellenlängen, und der Mangel einer genügend intensiven, konstanten, ein kontinuierliches Spektrum liefernden Lichtquelle gestattet keine andere, als die wenig einwandfreie photographische Methode im Ultraviolett.

Freilich läßt die Theorie eine andere Prüfungsmethode zu. Die Änderung der Absorptionskonstanten muß in einem gesetzmäßigen Zusammenhange mit der Änderung des Dissoziationsgrades stehen. Hr. Vaillant<sup>1)</sup> hat diese Frage zum Gegenstand einer eingehenden Untersuchung an Kupfer- und Kobaltsalzen gemacht, und innerhalb der sehr erheblichen Versuchsfehler genügende Übereinstimmung mit den Forderungen der Theorie gefunden. Für die Permanganate ist ihm dies nicht gelungen. Ich werde weiter unten den Grund dieses negativen Resultates besprechen.

Über die Versuchsanordnung, die ich l. c.<sup>2)</sup> ausführlich besprochen habe, sei hier nur folgendes bemerkt. Als Strahlungsmesser diente eine im Okular des Fernrohres eines Spektrometers angebrachte Rubenssche Thermosäule. Durch Drehen des Fernrohres wurde die Säule mit den verschiedenen Spektrallpartien zur Deckung gebracht. Als Lichtquelle diente ein großer Nernstscher Glühkörper. Die Strahlung wurde durch eine achromatische Linse parallel gemacht, und durch eine zweite ebensolche Linse auf dem Spalt des Kollimators zu einem scharfen Bilde der Lichtquelle vereinigt. In den parallelen Strahlengang zwischen die beiden Linsen wurde das Absorptionsgefäß eingeschoben, und die Schwächung der Lichtintensität durch den Ausschlag des mit der Thermosäule in Verbindung stehenden Panzergalvanometers gemessen. Das Absorptionsgefäß muß genügend planparallel sein, um den Strahlengang nicht merklich zu stören. Unter einer großen Auswahl Leyboldscher Gefäße ließen sich einige für diesen Zweck ausreichende finden. Zur Charakterisierung der Empfind-

---

1) P. Vaillant, *Ann. de chim. et phys.* 28. p. 213. 1903. Vgl. daselbst alle weiteren Literaturangaben.

1) A. Pflüger, *Ann. d. Phys.* 11. p. 561. 1903.

lichkeit diene, daß bei einer Spaltbreite von 0,1 mm die Strahlung des Nernstbrenners für die Wellenlänge  $\lambda = 415 \mu\mu$  einen Ausschlag von 30 Skt. bewirkte.

Bei dieser Empfindlichkeit ließ sich die Breite des Kollimatorspaltes und der Blende vor der Thermosäule ebenso schmal wählen, wie der Kollimator- und Okularspalt eines Photometers; die Reinheit des Spektrums ist also nicht schlechter als bei diesen. Die anderen Vorzüge vor der photometrischen Methode, die größere Bequemlichkeit beim Ablesen, das Fehlen subjektiver Einflüsse lassen sich leicht ermessen.

Übrigens kommt es bei unseren Versuchen nicht auf die Reinheit des Spektrums, sondern nur darauf an, daß die Versuchsbedingungen, nämlich die Weite des Spaltes, und die Einstellung des Spektrometers absolut dieselben bleiben. Wir messen ja nicht Absorptionskoeffizienten für eine bestimmte Wellenlänge, sondern wollen nur feststellen, ob die Absorption innerhalb eines bestimmten Spektralgebietes für alle Lösungen derselben Gruppe dieselbe ist.

#### Permanganate.

Die Lösungen wurden in derselben Weise wie von Hrn. Ostwald hergestellt, indem eine  $\frac{1}{100}$  Normallösung ( $\frac{1}{100}$  Äquivalentgewicht auf den Liter Wasser) mit dem gleichen Volumen einer äquivalenten Lösung des Sulfates eines Metalles vermischt, und dann auf das 50-fache verdünnt wurde. Es entstehen Baryumsulfat und das gewünschte Permanganat. Ersteres wird abfiltriert. Die schließlichen Lösungen enthalten also ein Grammäquivalent des Ions  $\text{MnO}_4$  in 5000 Litern. Die Dissoziation ist bei dieser Verdünnung so gut wie vollständig.

Die Thermosäule wurde mit der Mitte des ersten Absorptionsstreifens, bei  $\lambda = 576 \mu\mu$ , zur Deckung gebracht, und das Fernrohr festgeschraubt. Die folgende Tabelle enthält die Resultate der Messungen. Jede Zahl entspricht einer frisch bereiteten Lösung, und ist das Mittel aus 5—10 Ablesungen. Der Betrag der Reflexion ist nicht in Abzug gebracht, da dies für unsere Zwecke nicht nötig ist.

Tabelle 1.

## Verdünnte Permanganatlösungen.

Konzentration: 1 Grammäquivalent in 5000 Litern. Eine Schicht von 30,5 mm Dicke läßt bei der Wellenlänge  $576\ \mu\mu$  folgende Prozentteile des auffallenden Lichtes durch:

Baryumpermanganat:	26,6	Zinkpermanganat:	25,8
	26,2		26,2
	26,6		26,6
	26,3		26,5
Kadmiumpermanganat:	27,2	Ammoniumpermanganat:	26,3
	27,7		26,4
	27,4		27,0
			26,5
Kupferpermanganat:	26,3	Aluminiumpermanganat:	27,4
	26,8		27,3
	27,2		26,9
	26,0		
Kaliumpermanganat:	25,7	Magnesiumpermanganat:	25,7
	25,7		26,4
	25,5		26,2
			25,7
Lithiumpermanganat:	26,9	Nickelpermanganat:	25,7
	26,7		25,7
	25,8		26,3
	25,7		26,2
Kobaltpermanganat:	24,7		
	25,2		
	26,4		
	27,2		

Mittel: 26,3.

Die Tabelle zeigt eine genügende Bestätigung der Ostwaldschen Regel, wie sie übrigens auch schon Hr. Vaillant für drei von ihm untersuchte Permanganate festgestellt hat. Indessen gibt dies Resultat, wie oben schon erwähnt, keineswegs eine Bestätigung der dieser Regel zu Grunde liegenden Theorie. Zu diesem Zwecke müßte man vielmehr die Absorptionskonstante für eine bestimmte Wellenlänge bei verschiedenen Konzentrationen messen; man müßte weiter den Dissoziationsgrad dieser Lösungen den Kohlrauschschen Tabellen entnehmen, und nun den von der Theorie geforderten gesetz-

mäßigen Zusammenhang zwischen Absorption und Dissoziation nachzuweisen versuchen. Hierfür sind indessen die Permanganate so ungeeignet wie möglich. Denn es ist offenbar nötig, daß die Absorption in dem untersuchten, niemals völlig homogenen Spektralgebiete nicht, oder nur sehr wenig mit der Wellenlänge variiert. Ist dies nicht der Fall, so folgt ohne weiteres aus dem bekannten Absorptionsgesetz, daß man bei verschiedenen Konzentrationen einen mehr oder minder ausgeprägten Farbenwechsel, d. h. eine Änderung der Absorptionskonstante des untersuchten Spektralgebietes finden wird. Diese Eigenschaft haben in hervorragendem Maße die sogenannten zweifarbigten Körper, wie z. B. das Chlorophyll.

Die Permanganate zeigen nun im Rot und Orange eine Reihe sehr schmaler Absorptionsstreifen, d. h. ihre Absorption variiert schnell mit der Wellenlänge. Wollte man innerhalb eines solchen Absorptionsstreifens einen schmalen Bezirk mit genügend konstanter Absorption ausblenden, so müßte man dazu ein sehr reines, weit ausgedehntes Spektrum erzeugen, also den Kollimatorspekt sehr eng, die Dispersion des Prismas groß, und ferner die Breite des Okularspaltes bez. der Blende vor der Thermosäule sehr schmal nehmen. Dies Bemühen scheitert hier an der zu geringen Energie; bei den Photometern aber an den bei zu geringer Breite des Okularspaltes auftretenden Beugungserscheinungen. Dies scheint mir auch der Grund zu sein, warum Hrn. Vaillants Bemühungen, die Theorie an der Absorption der Permanganate zu prüfen, widersprechende Resultate gegeben haben. Aus alledem geht hervor, daß man die Prüfung zweckmäßig an Substanzen mit breitem Absorptionsstreifen vornimmt.

Von Wichtigkeit und leichter zu lösen ist die Frage, ob die verschiedenen Permanganate bei solchen Konzentrationen, bei denen ein erheblicher Teil der Moleküle sich in unzersetztem Zustande befindet, Unterschiede des Absorptionsvermögens zeigen. Zu diesem Zwecke wurden aus drei käuflichen Permanganaten  $\frac{1}{8}$  Normallösungen bereitet. Als Absorptionsgefäß dienten zwei Spiegelglasplatten, die durch ein U-förmiges Glimmerblatt von  $\frac{1}{10}$  mm Dicke getrennt, und durch vier Holzschrauben zusammengepreßt wurden. Jede Lösung wurde mehrmals untersucht, und nach jeder Messung



die Platten zum Zwecke der Reinigung auseinandergenommen. Kontrollversuche hatten ergeben, daß nach dem Wiederausammensetzen des Gefäßes seine Weite immer dieselbe war.

Da die Absorption sehr groß war (98,5 Proz. des auffallenden Lichtes), so mußte die Durchlässigkeit der Lösungen zunächst auf die bekannte Durchlässigkeit eines Rauchglases bezogen werden. Der Dissoziationsgrad wurde aus den Kohlrauschschen Tabellen, die ihn bis zur Konzentration  $\frac{1}{32}$  herab angeben, für die Konzentration  $\frac{1}{5}$  roh extrapoliert.

Zur Bereitung der Lösungen wurde das oben angegebene Verfahren nicht angewandt, da die Umsetzung bei dieser großen Konzentration nur langsam und unvollständig verläuft. Man hätte die Reaktion in verdünnterem Zustande sich vollziehen, und dann die Lösung durch Vakuumdestillation auf höhere Konzentration bringen müssen. Da es sich aber nur um orientierende Versuche handelte, habe ich die Bereitung aus den käuflichen Salzen vorgezogen.

Zur Kontrolle wurden die Lösungen auch auf die Konzentration  $\frac{1}{2000}$ , bei der die Dissoziation nahezu vollständig ist, gebracht, und ihre Absorption bestimmt. Sie muß, den bisherigen Ergebnissen entsprechend, für die drei Salze dieselbe sein. Dies war, wie die Tabelle zeigt, in der Tat der Fall. Da nun die Absorption auch in den konzentrierten Lösungen für die drei Salze die gleiche ist, folgt, daß das Ion  $\text{MnO}_4$  im Molekularverbande dieselbe Absorption bewirkt, wie im freien Zustande, — wenigstens für die drei Salze und für das untersuchte Spektralgebiet.

Tabelle 2.

## Konzentrierte Permanganatlösungen.

Die Zahlen der beiden letzten Kolumnen geben an, welche Prozentteile des auffallenden Lichtes bei der Wellenlänge  $576 \mu\mu$  durchgelassen werden.

	Dissoziationsgrad bei $\frac{1}{5}$ Konzentration	Konzentration $\frac{1}{5}$ , Schichtdicke 0,1 mm	Konzentration $\frac{1}{2000}$ , Schichtdicke ca. 10 mm
Natriumpermanganat	ca. 60 Proz.	1,46	28,1
Kaliumpermanganat	ca. 75	1,40	28,0
Baryumpermanganat	ca. 50	1,44	27,7

## p-Rosanilin.

Diese, auch von Hrn. Ostwald untersuchte Gruppe wurde gewählt, um das Gesetz auch für positive Ionen nachzuweisen. Die Herstellung der Lösungen geschah, indem die käufliche freie Base p-Rosanilin in der berechneten Menge sehr verdünnter Schwefelsäure aufgelöst, und mit den Baryumsalzen verschiedener Säuren zur Wechselwirkung gebracht wurde. Es entstehen Baryumsulfat und das gewünschte Salz des p-Rosanilins. Die Lösungen wurden bei den Konzentrationen  $\frac{1}{6000}$  und  $\frac{1}{100000}$ , und für die Wellenlänge  $546 \mu\mu$  untersucht. Bei der Konzentration  $\frac{1}{6000}$ , bei der die Absorption sehr stark ist, wurde wieder auf das durch ein Rauchglas geschwächte Licht bezogen. Die Zahlen der Tabelle sind aber nicht umgerechnet, da verabsäumt wurde, die Absorption des Rauchglases zu bestimmen.

Tabelle 3.

## p-Rosanilinsalze.

Von einer 1 cm dicken Schicht werden folgende Prozentteile des auffallenden Lichtes bei der Wellenlänge  $546 \mu\mu$  durchgelassen:

Konzentration:	$\frac{1}{6000}$ (bezogen auf Rauchglas)	$\frac{1}{100000}$
Schwefelsaures p-Rosanilin . .	38,5	29,7
Salpetersaures p-Rosanilin . .	38,9	30,4
Essigsaures p-Rosanilin . . .	37,6	29,2
Benzoesaures p-Rosanilin . . .	37,3	29,8
Salizylsaures p-Rosanilin . . .	37,7	28,5
Unterschwefelsaures p-Rosanilin	37,3	28,6
Milchsaures p-Rosanilin . . .	36,7	28,5

Die Tabelle zeigt wiederum genügende Übereinstimmung der Absorptionsverhältnisse. Dies Resultat ist insofern nicht mit dem des Hrn. Ostwald im Einklang, als dieser auf seinen Photographien geringe Unterschiede der Intensität der Absorptionsstreifen bemerkt, und auf Hydrolyse zurückgeführt hat. Ich glaube dies Resultat des Hrn. Ostwald eher auf die große Lichtempfindlichkeit der Lösungen zurückführen zu sollen. In der Tat nimmt die Absorption einer frisch im Dunkeln

bereiteten Lösung sehr schnell ab, sobald man sie in den Gang der Lichtstrahlen bringt, in mehreren Fällen in 10 Min. um ca. 10 Proz. Es genügt die Lösungen einige Zeit im Tageslicht stehen zu lassen, um fehlerhafte Resultate zu erhalten. Die Messungen müssen darum mit den durch dies Verhalten vorgeschriebenen Vorsichtsmaßregeln ausgeführt werden.

#### Ergebnis.

Der Satz: „Die Spektren der verdünnten Lösungen verschiedener Salze mit dem gleichen farbigen Ion sind identisch“ wird durch die Beobachtungen an den Permanganaten und den Salzen des p-Rosanilins für die untersuchten Spektralbezirke bestätigt.

Die Absorption der untersuchten Permanganate ist auch bei nur teilweise dissoziierten Lösungen für die untersuchten Spektralbezirke die gleiche.

Bonn, Physik. Institut der Universität, Mai 1903.

(Eingegangen 28. Juni 1903.)

---

13. *Über die Vernichtung der Phosphoreszenz-  
fähigkeit durch Druck;  
von P. Lenard und V. Klatt.*

Von Hrn. Jul. Tafel ist kürzlich gezeigt worden <sup>1)</sup>, daß Zinkoxyd durch Druck in eine braune Modifikation übergeführt werden kann, welche in Bezug auf Phosphoreszenzfähigkeit den Kanalstrahlen gegenüber sich anders verhält als das weiße Oxyd.

Dies veranlaßt uns, eine Erfahrung mitzuteilen, welche wir schon bei unseren früheren Versuchen über Phosphoreszenz gewannen, daß es nämlich eine allgemeine und auffällige Eigenschaft der bekanntlich hervorragend phosphoreszenzfähigen aus Erdalkalisulfiden herstellbaren Präparate <sup>2)</sup> ist, durch Druckwirkung ihre Phosphoreszenzfähigkeit zu verlieren. Zugleich verlieren sie dabei auch die ihnen eigenen, zarten, hellen Färbungen und nehmen dafür dunklere Farben an. Die Beobachtung bietet sich von selbst, wenn man die aus dem Tiegel genommene Probe eines solchen Phosphors, welche meist eine zusammengebackene, harte Masse darstellt, im Mörser zu zerkleinern sucht. Jeder Stoßpunkt des Pistills <sup>3)</sup> markiert sich auf der Masse in auffallender Farbe, welche wir Druckfarbe nennen wollen; belichtet man dann die Probe und betrachtet danach ihr Leuchten im Dunklen, so findet man dieselben Punkte schwarz, nichtleuchtend geworden. Die Herstellung pulverförmiger Phosphore ist infolge dieser Eigenschaft schwierig. Je weiter man das Zerreiben der Masse treibt, um so farbiger und um so weniger leuchtend wird sie. Harte Massen, z. B. solche mit Flußspatzusatz, sind dieser Zerstörung beim Pulvern mehr unterworfen als solche von zerreiblicher Konsistenz. Die Zerstörung kann zum großen

1) J. Tafel, Ann. d. Phys. 11. p. 613. 1903.

2) Vgl. V. Klatt u. P. Lenard, Wied. Ann. 38. p. 90. 1889.

3) Über Druckwirkungen unter dem Pistill vgl. W. Spring, Zeitschr. f. anorgan. Chemie 7. p. 382. 1894.

Teil rückgängig gemacht werden durch neues Erhitzen der Masse auf etwa dieselbe Temperatur, welche zu ihrer Bereitung erforderlich war.

Die Druckwirkung ist auch mit einem Aufleuchten des Phosphors verbunden, wobei es gleichgültig ist, ob derselbe vorher belichtet war oder nicht, beziehentlich ob er durch vorhergehendes, wiederholtes Erwärmen all sein Leuchten verausgabt hatte oder nicht. Das Aufleuchten ist bei den Erdalkaliphosphoren im allgemeinen wenig intensiv, kaum heller als es viele andere Körper beim Drücken, Reiben, Zerschlagen ebenfalls zeigen; phosphoreszenzfähiges Zinksulfid leuchtet viel stärker beim Stoß

Zu bemerken ist, daß die Druckfarbe außer Zusammenhang steht mit der zarten Färbung, welche den Erdalkaliphosphoren in normalem Zustande eigen ist. Diese Färbung ist je nach dem wirksamen Metalle <sup>1)</sup> verschieden; die Druckfarbe ist fleischrotbräunlich bei allen Schwefelcalciumphosphoren, kirschrot bei allen Schwefelstrontium- und grün bei allen Schwefelbaryumphosphoren. <sup>2)</sup> Es hat danach weder das wirksame Metall noch der schmelzbare Zusatz <sup>3)</sup> einen Einfluß auf diese Farbe, welche daher besonderen, verdichteten <sup>4)</sup> Modifikationen der reinen Erdalkalisulfide selber zuzurechnen sein dürfte. Es wäre danach zu sagen, daß diese Sulfide nur in derjenigen weniger dichten, zugleich farblosen Modifikation, welche in hoher Temperatur sich herstellt, als Substrate der Phosphoreszenzfähigkeit zu dienen vermögen. Der Aufbau phosphoreszenzfähiger Moleküle scheint ein komplizierter, stark raumbeanspruchender und daher durch äußere Kraft leicht zerstörbarer zu sein.

Auch die Platincyanüre sind gegen Druck empfindlich. Baryumplatincyanür wird beim Zerreiben ziegelrot, ganz von

---

1) Vgl. V. Klatt u. P. Lenard, l. c.

2) Wieder andere, und zwar meist dem Grau nahestehende Farben nehmen die Erdalkaliphosphore unter dem Einfluß lange fortgesetzter Kathodenbestrahlung in Entladungsröhren an.

3) Über diesen vgl. l. c.

4) Beispiele für die Bildung verdichteter Modifikationen durch Druck vgl. bei W. Spring, Bull. de l'Acad. de Belg. (2) 49. p. 24 ff. 1880, auch Zeitschr. für anorg. Chemie l. c.



derselben Farbe, wie wenn man es im Exsikkator seines Kristallwassers beraubt <sup>1)</sup>, zugleich verwandelt sich seine helle, grüne Phosphoreszenz in die düster rötliche, die auch dem wasserfreien Salze eigen ist. Lithium-Rubidium-Platincyankür wird beim Zerreiben rötlich, seine helle, grüne Phosphoreszenz wird mattrot.

In Bezug auf die Erdalkaliphosphore haben wir in vorstehendem bereits die erheblich erweiterte Reihe intensiv wirksamer Präparate von bekannter chemischer Zusammensetzung benutzt, welche wir seit unserer früheren Veröffentlichung hergestellt haben, und welche den Gegenstand einer besonderen Mitteilung bilden soll.

Kiel und Pressburg, 16. Juni 1903.

---

1) Über Austreiben von Kristallwasser durch Druck vgl. W. Spring, Acad. de Belg. (3) 30. p. 199. 1895.

(Eingegangen 19. Juni 1903.)

#### 14. *Beeinflussen Röntgenstrahlen die Wärmeleitung der Luft?* von K. Hahn.

Nach den Versuchen Pettinellis <sup>1)</sup>, der die Abkühlung eines Thermometers beobachtet hatte, vergrößert sich die Wärmeleitfähigkeit der Luft bei Bestrahlung mit Röntgenstrahlen um  $\frac{1}{30}$ , während Amerio <sup>2)</sup> auf elektrischem Wege (durch die Abkühlung eines Thermoelementes etc.) das Resultat erhielt, daß die Wärmeleitfähigkeit sich nicht ändere. Um diese Frage zu entscheiden untersuchte ich nach einer Methode, die der Methode Schleiermachers <sup>3)</sup> zur Bestimmung der Wärmeleitfähigkeit der Luft glich, die etwaige Änderung der Wärmeleitung der Luft bei Bestrahlung mit Röntgenstrahlen.

Es wurde ein durch den elektrischen Strom erhitzter Draht benutzt und aus seiner Temperaturänderung (gemessen durch Widerstandsänderung) ein Schluß auf eine etwaige Änderung der Wärmeleitung gezogen. Dabei kam folgendes in Betracht: 1. Der Metalldraht erwärmt sich bei Absorption der Röntgenstrahlen, wie dies von Dorn nachgewiesen worden ist. Jedoch ist diese Erwärmung nur äußerst gering. 2. Die galvanische Leitfähigkeit der Metalle kann eventuell durch die Bestrahlung geändert werden. 3. Die Wärmeleitung der Luft wird eventuell geändert.

Zur Untersuchung des zweiten Punktes wurde ein schwacher Strom (2—3 Milliampère) durch eine Platinspirale von 0,86 Ohm Widerstand, einer Drahtlänge von 85 cm und 0,4 mm Dicke geschickt. Im Nebenschluß dazu lag ein empfindliches d'Arsonvalgalvanometer von 679,2 Ohm innerem Widerstand und einer Empfindlichkeit von  $4 \cdot 10^{-9}$ . Es wurde keine Änderung der Leitfähigkeit gefunden. Ebenso ergaben ein dünner langer Platindraht oder Drähte von anderen Metallen in dieser oder einer Differentialschaltung, bei der die eine Spirale durch eine

1) P. Pettinelli, Nuovo Cim. (4) 8. p. 299; Beibl. 23. p. 698. 1899.

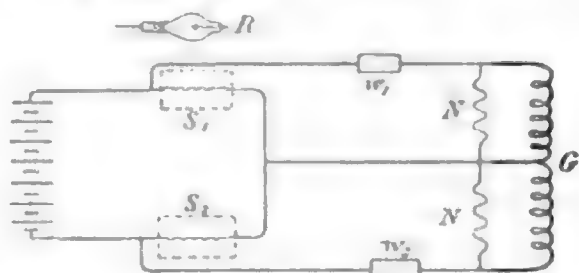
2) A. Amerio, Nuovo Cim. (4) 10. p. 366; Beibl. 24. p. 324. 1900.

3) A. Schleiermacher, Wied. Ann. 34. p. 623. 1888.

zur Erde abgeleitete Bleiplatte abgeschirmt war, ein negatives Resultat. Auch bei einer Stromstärke von 20—30 Milliampère trat keine Änderung ein.

Nun wurde der dritte Punkt untersucht. Es wurden zwei Platindrähte von 85 cm Länge und 0,1 mm Dicke, die spiralförmig (1 cm Durchmesser) aufgewickelt waren, in zwei gleiche Holzkästen gebracht und so angeordnet, daß die eine etwa 15 cm, die andere etwa 140 cm von der Röntgenröhre entfernt war. Durch einen Kupferdraht verbunden, lagen sie in einem Hauptstromkreis. An den Enden der Spiralen führten Drähte zu den entgegengesetzt geschalteten Spulen eines Differential-d'Arsonvalgalvanometers.

Die Ausglei-  
chung ge-  
schah durch Vorschaltwiderstände und Nebenschlüsse. Die Empfindlichkeit war so groß, daß das Galvanometer eine



Widerstandsänderung von  $\frac{1}{10000}$  anzeigen mußte. Der Widerstand der beiden Spiralen betrug bei gewöhnlicher Temperatur 23,4 Ohm. Durch Erhitzen mit einem Strom von 1,06 Amp. stieg derselbe auf 45 Ohm, was einer Temperatur der Drähte von  $450^{\circ}$  entsprach. Die entwickelte Wärmemenge betrug 12,4 g Kalorien. Es zeigte sich jedoch keine Änderung, so daß man annehmen konnte, daß die Wärmeleitfähigkeit der Luft bei Bestrahlung mit Röntgenstrahlen, wenn überhaupt, so doch um weniger als  $\frac{1}{10000}$  sich ändern würde.

Es wurde benutzt: eine gute Röntgenröhre, ein Induktor von 60 cm Funkenlänge (Länge des Funkennebenschlusses 6,2 cm bei Kugeln von 1 cm Radius) und ein Quecksilberstrahlunterbrecher.

Die ganze Anordnung war auf Paraffin aufgebaut, da sich zeigte, daß ein ganz geringer Erdschluß durch eine elektrostatische Wirkung der Röntgenstrahlen einen Galvanometerausschlag zur Folge hatte. Induktor und Röhre waren mit einem abgeleiteten Drahtnetz umgeben.

Giessen, Physikal. Institut, Juni 1903.

(Eingegangen 10. Juni 1903.)

### 15. Über das Spektrum von Kalium; von Walter Ritz.

Das Spektrum von Kalium zeigt eine Anomalie, auf die schon Kayser und Runge<sup>1)</sup> aufmerksam gemacht haben. Während bei allen anderen Elementen die nach ihren Formeln vorausberechneten Linien wirklich aufgefunden werden konnten, schien die mit  $\lambda = 5812,54$ ,  $\lambda = 5832,23$  (Å.-E.) beginnende Nebenserie von K eine Ausnahme zu bilden. Der Ordnungszahl  $m = 4$  sollte ein im Rot gelegenes Paar  $\lambda = 6957,4$ ,  $\lambda = 6985,4$  nach ihren Berechnungen entsprechen; in dieser Gegend konnten aber bisher keine K-Linien wahrgenommen werden.

In meiner Inaugural-Dissertation<sup>2)</sup> habe ich auf Grund exakterer Formeln diese Serie aufs neue berechnet und für die fehlenden Linien die Wellenlängen 6936,4; 6964,7 angegeben. Die betreffende Serie erwies sich als erste Nebenserie; in ihrer unmittelbaren Nähe verläuft die zweite Nebenserie der das Paar 6911,2, 6938,8 angehört.

Die Vermutung lag nahe, daß bei der Unempfindlichkeit des Auges in dieser Spektralgegend die gewöhnlich benutzten Konkavgitter zu lichtschwach sein möchten. Versuche mit verschiedenen Lichtquellen und Apparaten führten in der Tat zur Auffindung einer schwachen Kaliumlinie in der betreffenden Spektralgegend. Als Lichtquelle erwies sich besonders günstig der von einer Akkumulatorenbatterie von 35 Volt gespeiste Bogen. Eine Linse entwarf auf dem Spalt des Spektralapparates ein *kleines* Bild des Bogens; das durch sechs Prismen zerlegte Licht wurde durch ein Fernrohr unter mäßiger Vergrößerung beobachtet. War metallisches Kalium<sup>3)</sup> in den Bogen eingeführt und die Dampfdichte sehr groß, so erschien

1) H. Kayser u. C. Runge, Sitzungsber. d. k. Akad. d. Wissensch. zu Berlin 1890.

2) W. Ritz, Göttinger Inaug. Diss. p. 60. Leipzig 1903.

3) Auch ameisensaures Kalium erwies sich als günstig.

neben dem bekannten Paar 6911, 6938 nach Seite der längeren Wellen eine bisher nicht beobachtete schwache, verbreiterte Linie, deren Zugehörigkeit zu K nach der Art ihres Erscheinens sehr wahrscheinlich war. Von hier bis zur Wellenlänge 7700 war keine weitere Linie sichtbar.

Wegen der Nähe der beiden von Kayser und Runge gemessenen Linien 6911, 6938 konnte die neue Linie auf diese als Normalen bezogen werden. Die Messung geschah durch Okularbeobachtungen mittels eines ebenen, auf ein Spektrometer von Krüss montierten Gitters. Die Trommeln der Mikroskope gestatteten die direkte Ablesung der Sekunden, und die Teilungsfehler des betreffenden kleinen Stücks des Kreises konnten direkt ermittelt und berücksichtigt werden. Das Gitter war ein auf Glas aufgetragener Celluloidabguß eines großen Rowlandschen Gitters, seine Lichtstärke bei 6900 sehr befriedigend.

Aus einer Reihe von Beobachtungen ergab sich der Winkel der roten Linien 6911,2, 6938,8 zu  $5' 56''$ ; von letzterer Linie zur neuen fand sich  $5' 30''$ ; hieraus folgt für die neue Linie

$$\lambda = 6964,4 \pm 0,5.$$

Die Rechnung nach meinen Formeln fordert, wie oben bemerkt,  $\lambda = 6964,7$ ; die Übereinstimmung ist also eine ausgezeichnete und die Zugehörigkeit der neuen Linie zu K ist damit festgestellt.

Die zweite, voraussichtlich noch schwächere Linie des Paares müßte bei 6936,4 liegen, also ganz nahe bei der starken und ziemlich breiten Linie 6938. Es ist nur wenig Hoffnung, die beiden Linien durch Okularbeobachtungen zu trennen. Bei geringer Dispersion konnte schon 6964 wegen der blendenden Nähe von 6938 und 6911 nicht wahrgenommen werden, trotzdem die Verhältnisse immer noch günstiger sind wie bei 6936.

Zunächst befremdet die geringe Intensität der neuen Linie im Vergleich zu den benachbarten Linien der zweiten Nebenserie. Aber einerseits nimmt die Intensität mit abnehmender Ordnungszahl in der zweiten Nebenserie meist rascher zu als in der ersten; andererseits zeigt die Beobachtung, daß die Absorption in den äußeren Schichten des Bogens und die da-



durch bewirkte Selbstumkehr der Linie so groß sind, daß dieselbe manchmal ohne jeden hellen Rand als dunkler Streif auf schwachem kontinuierlichen Hintergrund erscheint und dann natürlich kaum zu sehen ist. Ähnliches war von Kayser und Runge schon bei anderen K-Linien beobachtet worden.

Hr. Lenard <sup>1)</sup> hat kürzlich gefunden, daß die beiden Nebenserien von Li, Na von verschiedenen Schichten des Bogens ausgehen; sie müssen daher, nach Lockyers Methode untersucht, aus Linien von verschiedener Länge bestehen. Dieses Resultat konnte bei Na bestätigt werden, bei K dagegen erschienen die Linien beider Nebenserien von derselben Länge. Die oben hervorgehobene starke Absorption in den äußeren Bogenschichten würde dieses Resultat vielleicht erklären; immerhin wird man schließen, daß eine Einteilung der Linien nach dem Ort ihrer Emission im Bogen, wie sie Hr. Lenard vorschlägt, nicht dieselbe Sicherheit besitzt, wie sie durch Beobachtungen im magnetischen Feld, verbunden mit der Rechnung, erreicht wird.

Bei Anwendung sehr geringer Dispersion konnte unter Umständen bei großer Dampfdichte das Aufleuchten von zwei wahrscheinlich zu K gehörigen Paaren zwischen 7120 und 7240 beobachtet werden, doch war eine Messung nicht möglich. Sie dürften dem nach Violett verbreiterten Na-Paar bei 5670 entsprechen.

Bonn, den 4. Juli 1903.

---

1) P. Lenard, Ann. d. Phys. 11. p. 636. 1903.

(Eingegangen 5. Juli 1903.)

**16. Bemerkung**  
**zu einer Arbeit des Hrn. A. Kalähne.**

(Mitteilung aus der Physikalisch-Technischen Reichsanstalt.)

In der in diesen Annalen Band 11. p. 225. 1903 veröffentlichten Abhandlung „Schallgeschwindigkeit und Verhältnis der spezifischen Wärmen der Luft bei hoher Temperatur“ finden sich p. 230 und 231 die folgenden Sätze, welche sich auf die amtliche Prüfung eines Le Chatelierschen Thermoelementes durch die Physikalisch-Technische Reichsanstalt beziehen.

p. 230: „Aus der elektromotorischen Kraft wurde die Temperatur der heißen Lötstelle berechnet auf Grund einer Aichungstabelle der *Physikalisch-Technischen Reichsanstalt*, welche das Element nach seinem Gebrauch durch Vergleichung mit einem ihrer Normalthermoelemente aichte . . .

Leider aber war, wie ich bald erkannte, die Aichung mit großen Fehlern behaftet.“

p. 231: „Die fehlerhafte Aichung in der Reichsanstalt war dadurch entstanden, daß das zur Vergleichung benutzte Holborn und Wiensche Normalthermoelement sich durch Aufnahme von Silicium etc. im Laufe der Zeit geändert hatte. Der schädliche Einfluß dieses Stoffes sowie auch der Flammengase war erst später erkannt und daher bei der Aichung nicht berücksichtigt worden.“

Diese Annahmen des Verfassers entsprechen nicht den Tatsachen. Das von Hrn. Kalähne benutzte Thermoelement — bezeichnet P.T.R. 505, geprüft von der Physikalisch-Technischen Reichsanstalt, Abteilung II, im Januar 1900 — ist mit *zwei Kopien* des Normalthermoelementes *N* von Holborn und Wien verglichen worden. Die Thermokraft dieser seit 1894 bez. 1898 im Gebrauch gewesenen Kopien ist aber, wie durch vergleichende Versuche zu verschiedenen Zeiten festgestellt wurde, innerhalb der Genauigkeit von etwa 5° unverändert geblieben. Durch die amtliche Prüfung ist also das von Hrn. A. Kalähne benutzte Element seinerzeit tatsächlich

an die seit Beginn (1894) bis zum 1. April 1901<sup>1)</sup> den Prüfungen zu Grunde gelegte Skala angeschlossen worden.

Daß diese ältere Skala<sup>2)</sup> gegenüber der neueren Holborn und Dayschen<sup>3)</sup> zu hohe Werte der Temperatur ergab, war der Reichsanstalt zur Zeit der Prüfung des in Betracht kommenden Elementes wohl bekannt<sup>4)</sup>, und es bedurfte in dieser Beziehung nicht erst eines besonderen Hinweises des Hrn. Kalähne. Deshalb wurde auch seinerzeit bei der Mitteilung der Prüfungsergebnisse die Bemerkung hinzugefügt:

„Nach neueren, noch nicht abgeschlossenen Versuchen sind die angegebenen thermoelektrischen Kräfte wahrscheinlich etwas zu erhöhen.“<sup>5)</sup>

Der Zusatz, daß die thermoelektrischen Kräfte zu erhöhen seien, befindet sich auf allen Prüfungsscheinen aus der Zeit, als die neueren gasthermometrischen Versuche noch im Gange waren. Ferner ist gelegentlich einer Nachprüfung des in Rede stehenden Elementes am 12. Juli 1902, also nach Einführung der Holborn und Dayschen Skala, im Begleitschreiben auf den Unterschied der Skalen durch den Satz hingewiesen worden:

„Die übrigen Abweichungen“ — nämlich abgesehen von einer geringfügigen Änderung in der Thermokraft des Elementes — „gegen die Angaben des früheren Prüfungsscheines sind dadurch zu erklären, daß die auf dem neuen Scheine stehenden Werte der Thermokraft auf die seit dem 1. April 1901 zu Grunde gelegte, von der früheren abweichende Temperaturskala bezogen sind.“

Von diesem Satze hat Hr. Kalähne geraume Zeit vor seiner Veröffentlichung Kenntnis gehabt.

1) Vgl. Tätigkeitsbericht der Physikalisch-Technischen Reichsanstalt 1901; Zeitschr. f. Instrumentenk. 22. p. 149. 1902.

2) Vgl. L. Holborn u. W. Wien, Wied. Ann. 56. p. 395. 1895.

3) Vgl. L. Holborn u. A. Day, Ann. d. Phys. 2. p. 505. 1900.

4) Die Unterschiede beider Skalen sind schon aus der Arbeit von O. Lummer und E. Pringsheim (Ann. d. Phys. 3. p. 159. 1900) gelegentlich der Umrechnung ihrer Strahlungsmessungen auf die Holborn und Daysche Temperaturskala zu entnehmen.

5) Auf diese Bemerkung hätte auch Hr. Stevens in seiner Dissertation (Heidelberg 1900) Rücksicht nehmen müssen. Bei seiner abschließenden Arbeit (Ann. d. Phys. 7. p. 285. 1902) konnte er bereits die neue Temperaturskala zu Grunde legen.

(Eingegangen 20. Juni 1903.)

# ANNALEN DER PHYSIK.

VIERTE FOLGE. BAND 12.

1. *Über die Beobachtung langsamer Kathodenstrahlen mit Hilfe der Phosphoreszenz und über Sekundärentstehung von Kathodenstrahlen;  
von P. Lenard.*

Erzeugt werden die hier untersuchten Kathodenstrahlen mit Hilfe des ultravioletten Lichtes, welches, wie ich früher zeigte, Strahlen von außerordentlich geringer Geschwindigkeit aus festen Körpern hervorbringt. Diese Erzeugungsweise hat den Vorteil, reine Versuche zu gestatten, denn sie findet im Vakuum in gleicher Weise statt wie beim Vorhandensein eines Gases; es können daher im Vakuum zuerst Eigenschaften und Ausbreitungsweise der Strahlen selber, und alsdann im gas-erfüllten Raume die Wechselwirkungen zwischen den Strahlen und der Materie studiert werden. Die geringe Geschwindigkeit ist das besondere Interesse der so erzeugten Strahlen als neues Objekt sowohl, wie als Mittel der Untersuchung. Mit abnehmender Geschwindigkeit wächst der Einfluß äußerer Kräfte auf den Lauf der Strahlen; bei geringen Geschwindigkeiten dürften dieselben geeignet sein, Aufschlüsse zu geben über sonst unzugängliche elektrische Kraftfelder, wie die der Atome oder des Lichtes und ihm verwandter Strahlungen.

48.<sup>1)</sup> Ich habe daher gesucht, diese bisher nur elektrometrisch verfolgten Kathodenstrahlen durch Phosphoreszenz sichtbar zu machen. Daß dies gelinge, wurde schon früher mitgeteilt (10). Dem Elektrometer gegenüber hat der Phosphoreszenzschirm die beiden großen Vorzüge, erstens den Lauf der

1) Zur leichteren Bezugnahme auf die früheren Arbeiten ist deren Absatz- und Tabellennumerierung hier fortgesetzt. Nr. 1—9 vgl. Sitzungsber. d. k. Akad. d. Wissensch. zu Wien 108. IIa. p. 1649. 1899; auch abgedruckt in den Ann. d. Phys. 2. p. 355. 1900; Nr. 10—47, Ann. d. Phys. 8. p. 149. 1902.

Strahlen unmittelbar sehen zu lassen, und zweitens eine Unterscheidung zu gestatten zwischen Elektrizität selbst einerseits und geladenen Atomen oder Molekülen andererseits. Während nämlich der auffangende Teil des Elektrometers die erstere sowohl als die Ladungen der letzteren sammelt und unterschiedslos zur Anzeige bringt, wird der Phosphoreszenzschirm von der ersteren, wenn sie genügend schnell bewegt ist (66), erleuchtet, von den letzteren dagegen nicht, bez. so wenig (74), daß jene Unterscheidung möglich wird.

49. In der Terminologie halte ich dementsprechend hier Trennung fest zwischen den etwa 70 Atomsorten der Chemie und Aggregaten aus solchen einerseits — Materie —, und aus diesen Atomen nicht Zusammengesetztem andererseits — Äther. Die Teile der (negativen) Elektrizität nenne ich Elementarquanten oder abgekürzt Quanten (vgl. 3 und 24); sie sind nach dem Festgesetzten nicht materiell, obgleich sie aus Materie genommen werden können.<sup>1)</sup> Die Bahn von Quanten ist ein Kathodenstrahl. Atome, oder Gruppen von Atomen, welche elektrisch geladen sind, nenne ich materielle Elektrizitätsträger oder abgekürzt Träger.

50. Der folgende I. Teil betrifft die Ausbreitung der Strahlen im Vakuum<sup>2)</sup>; er bestätigt und ergänzt die Resultate der früheren elektrometrischen Untersuchungen hierüber (1—38) und liefert die Grundlage für das Folgende. Der II. Teil macht die Phosphoreszenzbeobachtung quantitativer Verwertung zugänglich. Dabei zeigt sich, daß die Energie langsamer Kathodenstrahlen mit bisher nicht vorausgesetzter Vollkommenheit in die von sichtbarem Licht verwandelt werden kann.<sup>3)</sup> Im III. Teil wird das Verhalten von Gasen den Strahlen gegenüber untersucht. Als hervortretendste Eigenschaft der Gase

1) Es ist anzunehmen, daß auch unelektrische Atome, wie die ungeladener, einatomiger Gase, negative Elektrizität enthalten und auch abgeben können (vgl. 71, 72).

2) Auf äußerstes Vakuum, welches früher zur Anwendung kam (3—8), konnte, wie schon vorher, verzichtet werden; zwar wurde die Quecksilberluftpumpe voll ausgenutzt, die Anwendung gefetteter Schleife und Kittungen jedoch zugelassen.

3) Wenn dennoch, wie der Fall, die Phosphoreszenzbeobachtung weniger empfindlich ist, als die elektrometrische, so muß dies in der Empfindlichkeitsgrenze des Auges seinen Grund haben.



zeigt sich bei diesen langsamen Strahlen, daß ihr Inneres selbst Quelle von Kathodenstrahlung wird, sobald solche von außen her einfällt. Hierzu kommt die Untersuchung des diffusen Verlaufes und der Größe der Absorption langsamer Strahlen in Gasen (78 bez. 82).

# I. Ausbreitung der Strahlen, durch Phosphoreszenz beobachtet.

51. Der Apparat ist in Fig. 1 dargestellt.  $U$  ist die emittierende Elektrode; sie empfängt durch den Quarzverschluß bei  $Q$ , die Blende  $B$  und die Öffnung  $b$  ein schmales Bündel

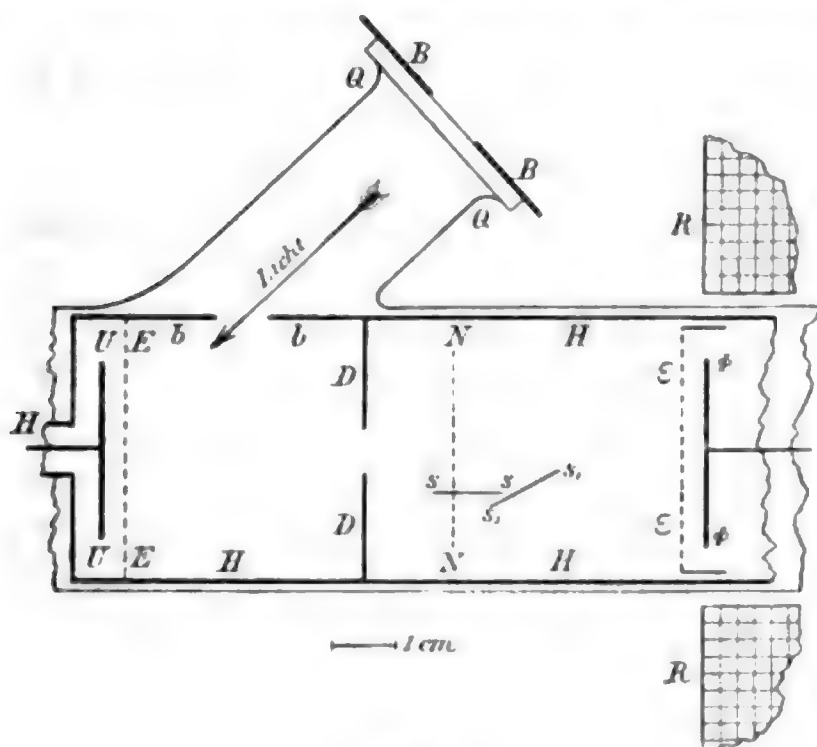


Fig. 1.

ultravioletten Lichtes, das von einer Zink-Kohle-Bogenlampe kommt.  $U$  parallel gegenüber findet sich ein Netz  $E$  aus sehr feinem Drahtgewebe, welches sowohl das erzeugende Licht als die erzeugten Kathodenstrahlen ohne allzu großen Verlust durchläßt; seine Maschengröße ist  $1\text{ mm}^2$ , seine Drahtdicke<sup>1</sup>  $0,24\text{ mm}$ . Das Netz ermöglicht beliebige Abänderung der Anfangsgeschwindigkeit der Strahlen, zu welchem Ende ein beschleunigendes oder verzögerndes elektrisches Feld zwischen  $U$  und  $E$  hergestellt wird, und zwar durch Ladung von  $U$ ,

1) Einschließlich Berührung.

während  $E$  immer Endpotential behält. Gleichfalls mit der Erde verbunden ist die metallische Hülle  $HH$ , welche die ganze Innenwand des umschließenden Glasrohres bekleidet, und welche zum Teil ebenfalls aus feinem Drahtgewebe besteht, um Beobachtung des Phosphoreszenzschirmes  $\Phi$  zu gestatten. Der letztere besteht aus Metallblech, auf welches eine dünne Schicht des phosphoreszenzfähigen Körpers so aufgetragen ist, daß die freie Oberfläche desselben von dem hierzu benutzten Bindemittel frei bleibt. Natronwasserglas erfüllte als solches die Bedingung, auch im Vakuum genügendes Leitvermögen zu behalten, um störende Eigenladungen des Schirmes  $\Phi$  nicht aufkommen zu lassen.  $\Phi$  gegenüber steht das sehr feine Drahtgitter  $\epsilon$ , mit dem Drahtabstand 1 mm und Drahtdurchmesser 0,07 mm, durch welches sowohl die Kathodenstrahlung zu  $\Phi$  als auch das Licht von  $\Phi$  zum Beobachter geht. Auch zwischen  $\epsilon$  und  $\Phi$  kann ein elektrisches Feld hergestellt werden, was ausschließlich durch Ladung von  $\Phi$  geschieht, während  $\epsilon$  Erdpotential behält. Der Abstand  $U\Phi$  ist variabel, wobei  $\epsilon\Phi$  konstant bleibt. Die Teile  $U$ ,  $E$ ,  $H$  sind berußt, ebenso alles, was später noch zwischen  $E$  und  $\epsilon$  anzubringen sein wird; die Platindrähte von  $\epsilon$  wurden blank gelassen.

Nachdem die Strahlen auf dem Wege von  $U$  bis  $E$  die gewünschte Geschwindigkeit erlangt haben, wird ihre Ausbreitung von  $E$  bis  $\epsilon$  nicht weiter von elektrischen Kräften beeinflusst; erst zwischen  $\epsilon$  und  $\Phi$  kann eventuell ihre Geschwindigkeit wieder auf andere Höhe gebracht werden.

Als Maß der Geschwindigkeiten seien hier wieder Potentiale benutzt (vgl. 23). Da die Anfangsgeschwindigkeiten, mit welchen die Quanten  $U$  verlassen, nur zu äußerst geringem Teile 2 Volt erreichen und zum größten Teile der Null sehr nahe liegen (23), kann für gewöhnlich die Anfangsgeschwindigkeit als einheitlich und gleich Null genommen werden. Die Geschwindigkeit der Strahlen im Ausbreitungsraume  $E\epsilon$  wird dann gleich  $U$  sein, wenn  $U$  das negative Potential der Platte  $U$  bedeutet, während sie den Schirm  $\Phi$ , dessen positives Potential  $\Phi$  sei, mit der Geschwindigkeit  $U + \Phi$  treffen.<sup>1)</sup>

---

1) Ist eines der Potentiale  $U$  oder  $\Phi$  verzögernd, so erhält es im folgenden negatives Vorzeichen.

Das metallische Diaphragma  $D$  vom Öffnungsdurchmesser 7 mm, leitend mit  $H$  verbunden, sowie die Teile  $N$ ,  $s$ ,  $s_1$ ,  $s_2$  sind für die zunächst folgenden Versuche noch nicht vorhanden.

52. Da also der Raum von  $E$  bis  $s$  frei ist, hat das an  $U$  zerstreut reflektierte Licht vollen Zutritt zum Phosphoreszenzschirm und derselbe ist davon matt erhellt.<sup>1)</sup> Dies verhindert jedoch nicht die Beobachtung der sehr hellen Phosphoreszenzflecke, welche entstehen, wenn  $U$  auf 1000 oder mehr Volt geladen wird. Die Flecke werden bei Annäherung eines Magneten in dem für Kathodenstrahlen zu erwartenden Sinne bewegt; sie verschwinden, bis auf etwaiges Nachleuchten des Schirmes, beim Verlöschen des erregenden ultravioletten Lichtes sowohl als bei Entladung von  $U$ .

Daß trotz der diffusen Ausstrahlung von  $U$  (8) schon ohne Diaphragma einigermaßen scharf begrenzte Flecke entstehen, entspricht der im Verhältnis zur angewandten Beschleunigung geringen Anfangsgeschwindigkeit der Strahlen. Ist  $T$  die Tangentialkomponente der Anfangsgeschwindigkeit in Volts gemessen und wirkt in normaler Richtung die große äußere beschleunigende Kraft  $U$ , so ist bei einem Durchmesser  $2\rho = 6,0$  mm des Lichtfleckes auf  $U$  und beim Abstände  $UE$  gleich  $s = 4$  mm als Durchmesser des Strahles zu erwarten.

An  $U$  selbst

$$2\rho,$$

bei  $E$

$$2\rho + 4s\sqrt{T/U},$$

und im Abstände  $d$  von  $E$

$$(1) \quad 2r_d = 2\rho + (4s + 2d)\sqrt{T/U}.$$

Setzt man  $T = 0,5$  Volt, was früher Gefundenem entspricht (19), so wird bei  $d = 7, 10, 14$  cm und  $U = 3000$  Volt  $2r_d = 7,6, 8,4, 9,4$  mm, während beobachtet wurden 7, 10, 12 mm. Die verhältnismäßig größere Breite des Strahles in den größeren Abständen dürfte Folge der Tangentialkräfte in den Maschen des Netzes  $E$  sein.

53. Ist  $U < 500$  Volt, so sind die Flecke auf dem erleuchteten Grunde des Schirmes unmittelbar nicht mehr sichtbar. Sie können wieder hervorgebracht werden durch beschleunigende

<sup>1)</sup> Alles andere Licht wird als vom Beobachter ferngehalten vorausgesetzt.

Kräfte an  $\Phi$ . Dieses Mittel bewirkt die Sichtbarmachung auch der langsamsten Strahlen, sobald solche nur vorhanden sind; die elektrische Kraft allein hat keine Wirkung auf den Schirm, wovon man sich durch Löschen des ultravioletten Lichtes sowohl als durch magnetische Weglenkung der Kathodenstrahlen überzeugen kann.

Selbst bei  $U = 4$  Volt und  $d = 14$  cm erscheint noch recht hell der Phosphoreszenzfleck, wenn  $\Phi = 4000$  Volt ist. Allerdings ist er viel weniger hell, als wenn die Geschwindigkeit schon zwischen  $U$  und  $E$  auf 4000 Volt gebracht worden wäre, was Folge der diffusen Ausstrahlung ist, die um so mehr zur Geltung kommen muß, je kleiner  $U$  ist. Bei  $U = 0$ , also reiner Anfangsgeschwindigkeit, ist der Strahl auch mit Hilfe des geladenen Schirmes nicht weiter als bei  $d = 8$  cm zu verfolgen. Dies ist bei der diffusen Ausstrahlung und der starken ablenkenden Wirkung, welche der Erdmagnetismus auf so langsame Strahlen ausüben muß, nicht anders zu erwarten. Horizontal laufende Strahlen von 0,5 Volt Geschwindigkeit müssen unter dem Einfluß der Vertikalkomponente des Erdfeldes Kreise von etwa 7 cm Radius beschreiben.

54. Um zu sehen, ob die magnetische Verschiebung der Phosphoreszenzflecke von der für Kathodenstrahlen zu erwartenden Größe sei, wurde ein größerer, starker Hufeisenmagnet dem Rohre so weit genähert, daß das Zentrum des Fleckes an den Rand des Schirmes zu liegen kam, was einer Ablenkung von 1,4 cm entspricht, oder beim Abstände  $U\varepsilon = 8,7$  cm einem Krümmungsradius des Strahles von 27,7 cm. Dabei war  $U = 1600$  Volt,  $\Phi = 4000$  Volt. Da der Magnet dem Strahl nicht sehr nahe war, variierte sein Feld längs des Strahles wenig; es wurde aus den Schwingungsdauern einer sehr kleinen Magnetnadel im Mittel zu 6,07 C.G.S. bestimmt, woraus das Dichtenverhältnis  $\varepsilon/\mu = 1,14 \cdot 10^7$  C.G.S. folgt (vgl. die frühere elektrometrische Ausführung des Versuches in 6). Dies rechtfertigt es, daß wir die Phosphoreszenzflecke als die Enden von Kathodenstrahlen ansehen (vgl. auch 56, 57).

Wird im eben beobachteten Falle  $\Phi$  abwechselnd entladen und wieder auf 4000 Volt geladen, so bemerkt man dabei jedesmal eine Verrückung des abgelenkten Fleckes um etwa 1 mm im Sinne einer Verminderung der Ablenkung bei

Ladung des Schirmes. Es entspricht dies der Annahme, daß der abgelenkte Strahl im elektrischen Felde  $\epsilon \Phi$  der Normalen von  $\Phi$  sich nähern müsse. Daß keine stärkere Verminderung der magnetischen Ablenkung durch die starke Ladung von  $\Phi$  bewirkt wird, zeigt an, daß für Strahlen von 1600 Volt Geschwindigkeit der Raum  $E\epsilon$  durch das Gitter  $\epsilon$  genügend elektrisch geschützt ist. Dies trifft auch noch für viel langsamere Strahlen zu. Es wurden die 1600-Voltstrahlen in bezug auf ihre magnetische Ablenkung verglichen mit 400-Voltstrahlen und diese wieder mit 100-Voltstrahlen, alles bei  $\Phi = 4000$  Volt. Dabei zeigte sich die Größe der magnetischen Ablenkung jedesmal sehr nahe verdoppelt, so daß bis zur Geschwindigkeit von 100 Volt herab derselbe Wert von  $\epsilon/\mu$  sich ergäbe, wie oben. Unterhalb dieser Geschwindigkeit trat jedoch eine Abweichung ein derart, daß z. B. 20-Voltstrahlen sogar weniger durch den Magneten abgelenkt erschienen als 100-Voltstrahlen. Es kann nicht zweifelhaft erscheinen, daß dies als Folge der nicht vollkommenen Schutzwirkung des Gitters  $\epsilon$  zu betrachten sei; die durch dasselbe dringenden Kräfte müssen die langsamen Strahlen mehr beeinflussen als die schnelleren und sie müssen, ihrer Verteilung nach, die Strahlen gegen die Achse des Rohres hin konzentrieren. Daß bei  $U = 20$  Volt und darunter überhaupt noch Phosphoreszenzflecke im Zentrum des Schirmes, statt allgemeiner Erhellung derselben erscheinen, trotz diffuser Ausstrahlung (vgl. 55), muß ohne weiteres als Folge des konzentrierenden Einflusses der Streukräfte von  $\Phi$  erscheinen, auf welche demnach bei der Beobachtung von Strahlen unter 100 Volt Rücksicht zu nehmen sein wird.

55. Ist das Diaphragma  $D$  im Rohr angebracht, so wird der Phosphoreszenzschirm von einem großen Teil des reflektierten Lichtes befreit und dadurch geeigneter zur Beobachtung; zugleich bleibt dann die Ausbreitung auch der langsamsten Strahlen von  $E$  bis  $D$  hin ungestört von den durch  $\epsilon$  dringenden Resten der bei  $\Phi$  angewandten Kräfte; außerdem wird man dann bei allen Geschwindigkeiten schmale Strahlenbündel ausgeblendet erhalten.

Dementsprechend erscheinen die kreisförmigen Phosphoreszenzflecke jetzt fast scharf begrenzt; ihr Durchmesser beträgt beim Abstände  $U \Phi = 10$  cm etwa 8,5 mm und variiert nicht



merklich mit der an  $U$  angewandten Spannung, solange dieselbe über etwa 1000 Volt bleibt. Bei geringeren Spannungen werden die Flecke ein wenig größer und verwaschen begrenzt. Diese Verhältnisse sind in Übereinstimmung mit geradliniger Ausbreitung beim Vorhandensein einer geringen, aber nicht unmerklichen tangentialen Komponente der Anfangsgeschwindigkeit.

Die Helligkeit der Flecke hängt von den Potentialen  $U$  und  $\Phi$  ab. Wird das letztere Potential so gewählt, daß  $U + \Phi$ , d. i. die Endgeschwindigkeit der Strahlen am Schirm konstant bleibt, während  $U$  variiert, so gibt die Helligkeit der entstehenden, an Größe kaum verschiedenen Flecke ein zutreffendes Maß für die ankommende, also auch für die durch das Diaphragma gestrahlte Menge. Ist  $D \Phi = 4 \text{ cm}$ ,  $U + \Phi = 4000 \text{ Volt}$ , so findet man die Helligkeit des Fleckes von hohen Spannungen  $U$  herab bis zu etwa  $U = 1000 \text{ Volt}$  merklich konstant und sehr groß; bei  $U = 300 \text{ Volt}$  ist der Fleck schon deutlich weniger intensiv geworden; bei  $U = 50 \text{ Volt}$  ist er noch ziemlich hell, bei 6 Volt matt, bei 4 Volt nur spurenweise sichtbar; bei 0 Volt ist er verschwunden. Eine quantitative Durchführung des Versuches unter günstigeren Bedingungen, nämlich bei geringer Helligkeit der Flecke,  $U + \Phi = 483 \text{ Volt}$  entsprechend, findet man unter 66, Tab. XXIII. Es ergibt sich dort merklich konstante Helligkeit von  $U = 3400$  bis  $U = 1500 \text{ Volt}$ ; darunter trat deutliche Verminderung der Helligkeit ein.

Diese Verhältnisse zeigen wieder die tangentialen Anfangsgeschwindigkeit  $T$  von der Größenordnung 0,5 Volt. Berechnet man mit diesem Werte von  $T$  die Strahlquerschnitte  $r_d^2 \pi$  (52) an der Stelle des Diaphragmas,  $d = 3,5 \text{ cm}$ , so findet man, daß die 0,7 cm weite Öffnung des letzteren folgende Prozentsätze der Gesamtausstrahlung, welche bei allen Werten von  $U$  bis zu etwa 3 Volt herab nahe konstant ist (33), nach  $\Phi$  gelangen lassen mußte, soweit nicht bei den geringsten Geschwindigkeiten der Erdmagnetismus dies hinderte (53).

Tabelle XXI.

$U = 4000$	3000	2000	1500	1000	300	50	6	4 Volt
$p = 100$	100	95	92	81	55	24	5	4 Proz.

56. Mit Anwendung der Stromrolle  $RR$  (Fig. 1), welche das Rohr umgibt und an demselben verschiebbar ist, können die Strahlen axial konzentriert und so in größerer Menge durch das Diaphragma gebracht werden. Man findet dementsprechend auf dem etwa zu 4000 Volt geladenen Schirm intensiv bis sehr hell leuchtende kleine Scheibchen und zwar bei allen Strahlgeschwindigkeiten bis zu  $U=2$  Volt herab. Hierdurch ist die früher elektrometrisch konstatierte, starke, von großer äußerer beschleunigender Kraft unabhängige Ausstrahlung unmittelbar sichtbar gemacht. Ohne beschleunigende Kraft, bei  $U=0$ , wird man etwas verminderte Ausstrahlung erwarten müssen (33), wozu noch die sogleich zu erörternde Umkehr eines Teiles der Strahlung im Felde der Stromrolle kommt. Das kleine Scheibchen erscheint dann dementsprechend auch nicht mehr so sehr hell.

Die Strahlen laufen bei Anwendung der Stromrolle als geodätische Linien auf Kegelmänteln, deren Spitze der Konvergenzpunkt der wirkenden Kraftlinien ist.<sup>1)</sup> Zur Berechnung dieses Laufes wurde das Magnetfeld der Stromspule mit Hilfe von Eisenpulver und einer sehr kleinen Deklinationsnadel ausgemessen, mit den in Tab. XXII verzeichneten Resultaten. Es bedeutet  $\delta$  den Abstand eines Achsenpunktes vom Rollenrand, gemessen in Achsenrichtung,  $M$  die Polstärke, welche jedesmal im Abstände  $r$  vom betrachteten Achsenpunkte anzubringen wäre, um an diesem Punkte das gleiche Magnetfeld hervorzubringen, wie 1 Amp. in der Stromrolle.

Tabelle XXII.

$\delta$	$M$	$r$
cm	C.G.S.	cm
0	483	7
2	178,7	6
5	89,9	7
10	56,0	10
20	41,4	18

1) H. Poincaré, Compt. rend. 123. p. 530. 1896.

Die Resultate der Berechnung des Strahllaufes, bei welcher  $\epsilon/\mu = 10^7$  C.G.S. gesetzt, diffuse Ausstrahlung mit 1 Volt Geschwindigkeit angenommen wurde, und welche durch geometrische Konstruktion vorteilhaft unterstützt werden konnte, waren für die gewöhnlich benutzte Stromstärke von 33 Amp. und den Abstand  $U\Phi = UR = 10,0$  cm diese: Ohne beschleunigende Kraft werden die Strahlen nach geringer, anfänglicher Ausbreitung bald zu einem sehr schmalen Bündel in der Rollachse konzentriert; nicht alle Quanten gelangen jedoch nach  $\Phi$ , sondern alles einigermaßen schief Ausgestrahlte kehrt wieder zu  $U$  zurück. Diese Umkehr wird sehr vermindert, sobald einige beschleunigende Kraft vorhanden ist. Bei  $U = 100$  Volt findet keine Umkehr mehr statt; alles Ausgestrahlte gelangt nach  $\Phi$  hin, wobei das Diaphragma  $D$  bei der Schmäle des konzentrierten Bündels kein Hindernis bildet. Zugleich ergeben sich auch schon Knoten und Bäuche am Strahl, und zwar sind es vier Knoten zwischen  $E$  und  $\epsilon$  bei  $U = 100$  Volt, und weniger bei höheren Potentialen von  $U$ .

Der Verlauf der Versuche entsprach dem Resultat der Rechnung. Statt durch Bewegung des Schirmes konnten die Knoten auch durch Bewegung der Stromrolle aufgesucht werden. Ist nämlich das Rollenende  $R$  20 cm von  $U$  entfernt, so ergeben Rechnung wie Beobachtung keine Knoten mehr auf der Strecke  $U\Phi = 10$  cm; schiebt man nun  $R$  näher an  $\Phi$  und  $U$  heran, so müssen sämtliche Knoten erst zur Ausbildung kommen und also sukzessive auf dem Schirm erscheinen. Tatsächlich sieht man bei dieser Bewegung von  $R$  den anfänglich großen Phosphoreszenzfleck zuerst allmählich zu einem intensiv leuchtenden Punkt sich zusammenziehen, alsdann wieder zu einem Scheibchen sich vergrößern, von neuem zusammenschrumpfen, und so fort. Man findet so

bei $U =$	100	200	1000	4000 Volt
	4	3	2	1 Knoten

Das Erscheinen dieser Knoten in der richtigen Zahl, besonders auch bei der relativ geringen Geschwindigkeit von 100 Volt, und, wie hier gleich hervorgehoben sei, auch in Gasen von nicht zu großer Dichte (77), schien mir von Wichtigkeit für die Überzeugung, daß es sich in den Versuchen der

vorliegenden Arbeit um Bewegungen derselben Elektrizitätsquanten handle, die von den schnellen Kathodenstrahlen her bekannt sind, nicht um Bewegungen materieller Träger (vgl. 88).

57. Eine andere hierher gehörige Beobachtung betrifft den Schraubenlauf eines schief zu den Magnetkraftlinien gerichteten Strahlenbündels. Es sei bei  $ss$  eine isolierte Metallplatte im Rohr so angebracht, daß das durch  $D$  kommende Strahlenbündel an ihr vorbeiziehen muß (vgl. Fig. 1); die Platte sei negativ geladen, etwa auf 4000 Volt bei  $U = 4000$  Volt. Es wird dann das Strahlenbündel von der Platte weggelenkt, so daß es ganz an den Rand des Phosphoreszenzschirmes fällt. Läßt man nun gleichzeitig die magnetische Kraft der Stromrolle wirken, etwa mit 33 Amp., so erscheint am Schirme ein heller Kreisbogen. Sein Zentriwinkel beträgt etwa  $120^\circ$ , der Radius des Kreises, von welchem er Teil ist, 0,9 cm. Verschiebt man die Stromrolle, deren Ende bisher mit  $\psi$  zusammenfiel, längs der Rohrachse, so wandert der helle Bogen in jenem Kreise herum, beim Annähern der Stromrolle an  $U$  im Uhrzeigersinn, von  $U$  aus gesehen, beim Entfernen im entgegengesetzten Sinn, wobei zugleich der Bogen kürzer, sein Radius größer wird, bis er zuletzt, bei großen Entfernungen der Stromrolle, in den exzentrisch gelegenen Fleck sich zusammenzieht. Diese Erscheinungen waren zu erwarten, denn der Kathodenstrahl, welchem durch  $s$  eine seitliche Geschwindigkeitskomponente erteilt wird, unter gleichzeitiger Verringerung seiner ursprünglichen Geschwindigkeit, muß im starken Magnetfelde zu Schraubengängen sich winden. Bei Verstärkung des Feldes, entsprechend der Annäherung von  $R$ , müssen die Windungen sich dichter nebeneinander legen, also in größerer Zahl ausbilden, was als Kreisbewegung des Strahlendes beobachtet wird, während bei Schwächung des Feldes Ganghöhe und Durchmesser der Schraubenlinien wachsen müssen, was ebenfalls der Beobachtung entspricht. Da der Schnitt des schraubenförmigen Strahles mit dem Schirm  $\frac{1}{3}$  Kreisumfang umfaßte, mußte die Ganghöhe nur das Dreifache der Strahldicke, d. i. etwa 0,6 cm betragen haben bei einem Windungsdurchmesser von 1,8 cm. Aus der geringen Ganghöhe folgt, daß fast die ganze Geschwindigkeit des Strahles, welche bei  $s$  wie bei  $D$  4000 Volt betragen muß, durch die vereinte Wirkung der elektrischen

und magnetischen Kraft parallel zum Schirm gerichtet worden ist. Dieser Geschwindigkeit  $U$  entspricht im Magnetfelde  $H = 33 M_{\delta=0}/r^2 = 325$  C.G.S. (Tab. XXII) der Krümmungsradius  $R = \sqrt{2 \cdot 10^8 U/H \sqrt{\epsilon/\mu}} = 0,9$  cm, wie beobachtet.

58. Es ist zu erwähnen, daß auch bei positiven Ladungen von  $U$  Phosphoreszenzflecke zu erhalten waren, wenn die konzentrierende Stromrolle und beschleunigende Ladungen am Schirm zu Hilfe genommen wurden. Die verzögernden Kräfte an  $U$  konnten sogar groß sein, ohne daß die Flecke ausblieben. So erschien bei  $U = 10$  Volt verzögernd,  $\Phi = 4000$  Volt, ein ziemlich helles Pünktchen, das bei  $U = 100$  Volt verzögernd matt, bei 1000 Volt noch spurenweise sichtbar war und erst bei  $U = 2000$  Volt verzögernd ganz verschwand. Es wäre dies unverträglich mit der sehr geringen Größe der Anfangsgeschwindigkeiten (23, 26), wenn nicht zu bedenken wäre, daß in den gegenwärtigen Versuchen ein Teil des erregenden Lichtes die Außenfläche des Netzes  $E$  trifft — 49 Proz. nach den Ausmessungen des Netzes gerechnet —, so daß jederzeit das Netz selbst ebenso wie  $U$  Quelle von Kathodenstrahlen sein muß. Bei dieser Entstehungsweise müßte die Geschwindigkeit der mit verzögernden Kräften beobachteten Strahlen nur die ganz geringe Größe der Anfangsgeschwindigkeiten besitzen. Dies trifft auch zu. Lädt man die Hilfsplatte  $ss$  auf 4 Volt negativ, so verschwinden jene Flecke.

Die Strahlung von geringer Geschwindigkeit, welche hier nach vom Netz  $E$  stets ausgehen muß, kann bei beschleunigenden Kräften an  $U$  nicht merklich stören, denn sie wird eliminiert erstens dadurch, daß nur die Strahlen von  $U$  durch die beschleunigenden Kräfte konzentriert werden, die von  $E$  nicht, zweitens wird der durch das Netz dringende Teil des Kraftfeldes von  $U$  die Strahlung des Netzes sogar zur Rückkehr bringen und also ganz entfernen müssen.

59. Alle Strahlgeschwindigkeiten werden durch verzögernde Kräfte von genügender Größe vernichtet, ohne daß Nebenerscheinungen am Schirme bemerkbar würden. — Da der Satz Voraussetzung für späteres ist, seien die betreffenden Versuche, welche auch eine Messungsweise geringer Strahlgeschwindigkeiten bez. geringer Potentialdifferenzen mit Hilfe des Phosphoreszenzschirmes ergeben, hier mitgeteilt. Es befindet sich



das Netz  $NN$  (Fig. 1), von gleicher Beschaffenheit wie  $E$ , mit dem verzögernden Potentiale  $-N$  senkrecht dem Strahle gegenübergestellt, so daß die Quanten der Reihe nach passieren:

die Teile	$U$	$E$	$D$	$N$	$\epsilon$	$\Phi$
deren Potentiale sind	$U$	0	0	$-N$	0	$\Phi$
was die Geschwin- digkeiten gibt	$V$	$U+V$	$U+V$	$U+V-N_1$	$U+V$	$U+V+\Phi$

wenn  $V$  die Anfangsgeschwindigkeit ist. Für das Netzpotential  $N$  ist dabei das kleinere  $N_1$  gesetzt, entsprechend dem Umstande, daß die endliche Maschenweite des Netzes das volle Potential  $N$  für die durchgehenden Strahlen nicht zur Geltung kommen lassen kann. Wird  $N_1 \leq U+V$ , so können keine Strahlen das Netz passieren, der Schirm muß also dunkel bleiben. Dies trat ein

bei $U =$	0	100	200	1000	4000 Volt beschleunigend
mit $N =$	2,0	103	204	1022	4087 Volt verzögernd

wobei die Stromrolle jedesmal die Strahlen konzentriert hielt und  $\Phi = 1500$  bis 3000 Volt beschleunigend war. Aus den letzten, großen Werten von  $N$ , gegen welche  $V$  verschwinden muß, entnimmt man, daß  $N_1$  um 2,2 Proz. kleiner zu setzen ist als  $N$ , was nach den Ausmessungen des Netzes und beim Abstände  $D N = 13$  mm etwa zu erwarten war. Aus den ersten, kleinen Werten von  $N$  folgt dann die größte, in merklicher Menge vertretene Anfangsgeschwindigkeit  $V = 1,76$  Volt, in guter Übereinstimmung mit der früheren elektrometrischen Messung (22, 23).

Unterläßt man die Konzentration durch die Stromrolle, so tritt bei Gleichheit der Potentiale  $U$  und  $N$  Erhellung des ganzen Schirmes ein, offenbar als Folge der tangentialen Komponente der Anfangsgeschwindigkeit, welche in der Nähe von  $N$  wirksam werden müssen, wenn dort die normale Komponente nahe zu Null reduziert ist.

60. Feste Körper sind für die langsamen Strahlen nur in sehr geringem Maße durchlässig, entsprechend dem früher an schnellen Strahlen gewonnenen Ergebnisse, daß die Ab-

sorption mit zunehmender Ablenkbarkeit zunimmt, und zwar nahe im selben Verhältnis für feste wie für gasförmige Körper.<sup>1)</sup> — Befindet sich an dem Diaphragma  $D$  ein gewöhnliches, grüner durchsichtiges, etwa 0,00007 mm dickes, fast löcherfreies Goldblatt ausgespannt, so erhält man bei Spannungen  $U$  unter 3000 Volt keine Phosphoreszenzen am Schirme. Bei  $U=3000$  Volt erscheint zum erstenmal die Spur eines hellen Punktes, wenn die Stromrolle mitwirkt. Bei  $U=4000$  Volt wird der Punkt deutlicher; er kann durch  $\Phi=4000$  Volt zu einem recht hellen Flecke von etwa 6 mm Durchmesser verstärkt werden. Daß der Fleck trotz Konzentration durch die Stromrolle so groß ausfällt, zeigt an, daß die Strahlen das Gold unter bedeutender Zerstreuung durchsetzt haben. Dies wird unmittelbar ersichtlich bei  $U=6000$  Volt, wo die durchgelassene Menge schon sehr beträchtlich ist; es erscheint dann ohne Stromrolle der ganze Schirm matt erhellt.

Mit gewöhnlichem Aluminiumblatt von etwa 0,00036 mm Dicke beobachtet man dieselben Erscheinungen. Dies Blatt ist einigermaßen löcherig; diesem Umstande dürfte der geringe, unterhalb  $U=4000$  Volt zu beobachtende Durchgang zuzuschreiben sein. Erst bei  $U=4000$  Volt beginnen die Phosphoreszenzen merklicher zu werden, um dann mit weiter wachsender Geschwindigkeit etwa in derselben Weise wie beim Golde rasch weiter zuzunehmen.

Obgleich das Goldblatt etwas schwerer war als das Aluminiumblatt, schien es doch ein wenig durchlässiger zu sein als dieses; es wäre danach bei geringen Geschwindigkeiten die Masse nicht mehr so bestimmend für das Absorptionsvermögen, wie bei den großen Geschwindigkeiten (vgl. 78 und 82).

## II. Intensität der Phosphoreszenzwirkung von Kathodenstrahlen.

61. Es wird hier zu nachfolgender quantitativer Benutzung des Phosphoreszenzschirmes ermittelt, welche Funktion der Strahlgeschwindigkeit und der Strahldichte die Intensität des Phosphoreszenzlichtes ist. Auch in Hinsicht einer noch zu

1) P. Lenard, Wied. Ann. 56. p. 261 u. 268. 1898.

gründenden Theorie der Phosphoreszenz dürfte diese Frage von Belang sein.<sup>1)</sup>

Unter Strahldichte sei dabei die Menge von reiner, materiell nicht getragener negativer Elektrizität verstanden, welche der Strahl in der Zeiteinheit durch die Flächeneinheit seines Querschnittes führt.

62. Zur Bemessung der Intensität des am Schirm erregten Phosphoreszenzlichtes diene als photometrisches Vergleichsfeld der vom reflektierten erregenden Lichte getroffene Teil des Phosphoreszenzschirmes selber. Es war dies möglich, weil alle benutzten Schirme mattweiße Flächen von nahe gleicher Albedo besaßen, und es bot den Vorteil, die unvermeidlichen Schwankungen der Intensität des erregenden Zinkbogenlichtes unschädlich zu machen, bis auf Schwankungen, welche das Verhältnis des sichtbaren und ultravioletten Teiles dieses Lichtes betreffen. Um den als Vergleichsfeld dienenden Teil des Schirmes von den Kathodenstrahlen und den andern Teil vom Lichte frei zu halten, war die Platte  $s_1 s_2$  (Fig. 1) so angebracht, daß ihre scharfe Schattengrenze den Schirm ungefähr halbierte, und die durchs Diaphragma  $D$  kommenden Kathodenstrahlen wurden durch einen kleinen Elektromagneten soweit in den Schatten von  $s_1 s_2$  gelenkt, daß ihr Phosphoreszenzfleck eben die Schattengrenze und damit auch das Vergleichsfeld berührte.

Die Versuche bestanden dann jedesmal darin, photometrische Gleichheit zwischen dem Vergleichsfelde und dem Phosphoreszenzfleck herzustellen. Dies konnte durch meßbare Abänderung einer oder mehrerer der drei Größen Helligkeit des Vergleichsfeldes, Strahlgeschwindigkeit und Strahldichte geschehen. Zu bemerken ist, daß das Vergleichsfeld durch das auffallende Licht in keinem Falle zu mehr als spurenweisem Nachleuchten erregt wurde; es wurden für gewöhnlich auch nur kurze Belichtungsdauern benutzt. Die Abstände  $D s_1$  und  $s_1 \phi$  betrugen je 3 cm.

63. Die Phosphoreszenzintensität ist der erregenden Strahldichte proportional. — Ist durch passende Wahl der Ge-

1) Deren Beantwortung, auch Vorbedingung ist für etwaige rationelle Nutzbarmachung des durch Kathodenstrahlen erregten Phosphoreszenzlichtes.

schwindigkeit photometrische Gleichheit hergestellt, so bleibt diese bestehen, wenn die Zinkbogenlampe beliebig von der Platte  $U$  entfernt oder ihr genähert wird. Es wurden die Abstände 36 und 130 cm versucht, was einer Variation der Vergleichshelligkeit im Verhältnis von 1:13 entspricht. Da die von  $U$  ausgestrahlte Menge der wirkenden Lichtintensität proportional ist (14), ist damit der vorangestellte Satz innerhalb der Versuchsgrenzen erwiesen.

64. Die photometrische Gleichheit blieb aber auch dann bestehen, wenn das auf  $U$  fallende Licht durch rotierende Sektoren aus schwarzem Karton, also durch Intermittenz vermindert wurde, was in jedem Falle unter Anwendung so rascher Rotation geschah, daß das Auge kein Flimmern am Schirm bemerken konnte. Die Zinkbogenlampe befand sich dabei 36 cm von  $U$  entfernt und es wurde Abschwächung auf  $\frac{1}{4}$ ,  $\frac{1}{10}$  und  $\frac{1}{30}$  versucht. Das Resultat ungestörter photometrischer Gleichheit am Schirme zeigt an, daß durch Intermittenz erzielte Variation der Strahldichte die erregte Phosphoreszenzhelligkeit nicht anders beeinflusse, als zeitlich kontinuierliche Variation dieser Dichte. Dies wurde in der Folge benutzt; die Lichtquelle blieb stets im Abstände 36 cm von  $U$  und alle Abschwächung geschah durch rotierende Sektoren.

Sollte dabei die Strahldichte allein variiert werden, die Vergleichshelligkeit aber ungeändert bleiben, so wurden Sektoren aus dünnem klaren Glimmer benutzt, welcher für sichtbares Licht durchlässig, für ultraviolettes Licht undurchlässig ist. Vom Lichtverlust durch Reflexion am Glimmer wurde abgesehen, da dessen Einfluß die Fehlergrenze der hier vorliegenden ersten Messungen dieser Art nicht wesentlich überschreitet.

65. In Hinsicht der Phosphoreszenz bedeutet die Einflußlosigkeit der Intermittenz, daß der durch das Anklingen der Phosphoreszenz beim Beginn einer Bestrahlungsperiode bedingte Ausfall an Lichtemission kompensiert wird durch das Nachleuchten nach Aufhören der Bestrahlung. Hierzu ist indessen zu bemerken, daß jenes Anklingen sowohl als das Nachleuchten bei allen untersuchten Körpern (Nr. 1—7, Tab. XXVII) und bei allen Strahlgeschwindigkeiten oberhalb der alsbald anzugebenden Schwellengeschwindigkeit von keiner leicht merkbaren Dauer war. Es genügte die kürzeste Bestrahlungs-

dauer, welche etwa durch Momentanschluß des Stromes der Lichtquelle oder des ablenkenden Elektromagnetstromes, oder durch rasch aufeinanderfolgendes Laden und Entladen von  $U$  hervorgebracht werden konnte, um die vorher eingestellte photometrische Gleichheit zur Geltung gebracht zu sehen. Auch sank nach Unterbrechung einer längeren Bestrahlung die Intensität des Phosphoreszenzlichtes ohne merklichen Übergang auf den verhältnismäßig geringfügigen Betrag zurück, den sie dann längere Zeit hindurch noch beibehielt.

66. Um die Abhängigkeit der Phosphoreszenzhelligkeit von der Strahlgeschwindigkeit festzustellen, wurden die Geschwindigkeiten aufgesucht, welche mit verschiedenen Strahledichten gleiche Helligkeit, nämlich die des Vergleichsfeldes ergaben. Die folgende Tabelle enthält zunächst die Resultate für den weiterhin mit Nr. 1 bezeichneten, am meisten benutzten Phosphor.

Tabelle XXIII.

Nr. 1.  $\text{CaS}$ ,  $\text{Bi}$ ,  $\text{Na}_2\text{S}_2\text{O}_8$ .  $\lambda_{\text{max}} = 455 \cdot 10^{-6} \text{ mm.}^1)$

$H$	$Q$	$U$	$\Phi$	$U + \Phi = v$		$v - 300$	$(v - 300) \frac{Q}{H} = C$
		Volt	Volt	Volt	Mittel	Volt	
1	1	1490	-1000	490	483	183	183
1	1	2510	-2000	510			
1	1	2520	-2000	520			
1	1	3410	-3000	410			
1	$\frac{1}{2}$	2680	-2000	680	680	380	190
$\frac{1}{2}$ 2)	$\frac{1}{4}$ 2)	2730	-2000	730	730	430	215
1	$\frac{1}{4}$	3050	-2000	1050	1050	750	188
1	$\frac{1}{10}$	1900	0	1900	1950	1650	165
1	$\frac{1}{10}$	2900	-1000	1900			
1	$\frac{1}{10}$	4050	-2000	2050			

Mittel:  $C = 188$

Es bedeutet  $H$  die Helligkeit des Vergleichsfeldes, volle, unverminderte Helligkeit desselben zur Einheit genommen,

1) Vgl. V. Klatt u. P. Lenard, Wied. Ann. 38. p. 98. 1889.

2)  $180^\circ$  schwarzer Karton,  $90^\circ$  Glimmer,  $90^\circ$  frei.



$Q$  die Strahlendichte, ebenfalls mit deren vollem, durch Sektoren nicht vermindertem Betrage als Einheit,  $U$  wie stets die Strahlgeschwindigkeit von  $E$  bis zu  $s$  hin; negative Werte von  $\Phi$  bedeuten verzögernde Potentiale des Schirmes,  $U + \Phi = v$  ist die Geschwindigkeit, mit welcher die Strahlen den Schirm treffen.

Die letzte Kolumne der Tabelle zeigt das Resultat, daß bei gleichbleibender Strahldichte die Phosphoreszenzhelligkeit proportional ausfällt der um 300 Volt verminderten Strahlgeschwindigkeit; denn die Größe  $(v - 300)Q/H$  erweist sich als konstant, soweit die Genauigkeit geht. Die Phosphoreszenzhelligkeit ist danach gegeben durch die Gleichung

$$(2) \quad H = \frac{1}{C} \cdot Q(v - v_0).$$

Es werde  $1/C$  die Intensitätskonstante, und  $v_0$  die Schwellengeschwindigkeit des betreffenden Körpers genannt. Die erstere beträgt für den oben benutzten Körper im Mittel  $1/188$ , die letztere 300 Volt.

67. Unterhalb der Schwellengeschwindigkeit verliert die Gleichung (2) ihre Bedeutung; für den Grenzfall  $v = v_0$  sagt sie aus, daß Strahlen von Schwellengeschwindigkeit auch bei beliebig großer Dichte den Körper dunkel lassen. Führt man den entsprechenden Versuch aus, indem man große Strahldichte durch Anwendung der konzentrierenden Stromrolle  $R$  (56) hervorbringt, so findet man, daß unterhalb der Schwellengeschwindigkeit etwas Neues eintritt. Der Schirm bleibt nämlich bei kurzer Dauer der Betrachtung allerdings phosphoreszenzfrei; bald bemerkt man jedoch das allmähliche Hervortreten eines Phosphoreszenzfleckes, dessen Helligkeit so lange noch weiter anwächst, bis sie einen konstant bleibenden Maximalwert erreicht hat. Dieser Endwert der Helligkeit ist gering im Verhältnis zu den Helligkeiten, die über der Schwellengeschwindigkeit auch bei kleinen Strahldichten ohne merkliche Verspätung erscheinen (65). Die Endhelligkeit fällt um so geringer aus, und sie erscheint zugleich mit um so größerer Verspätung, je tiefer  $v$  unter  $v_0$  liegt. Bei  $v = 10$  Volt war der Phosphoreszenzfleck eben noch sichtbar und es vergingen 10 Sek. bis zu seinem vollen Erscheinen; bei  $v = 6$  Volt

war auch nach 30 Sek. nichts zu sehen. Daß im letzteren Falle reichliche Strahldichte wirklich vorhanden war, beweist das sofortige intensive Erscheinen des Fleckes bei Anwendung genügender beschleunigender Kraft an  $\Phi$  (vgl. 56).

Das Nachleuchten ist auch bei Erregung unter der Schwellengeschwindigkeit nur von kurzer Dauer; die Farbe des Phosphoreszenzlichtes war in allen Fällen, wo die geringe Intensität Unterscheidung derselben zuließ, dieselbe, wie bei der intensiveren Erregung über der Schwellengeschwindigkeit. Einer der untersuchten Körper, Uranglas, war unter Schwellengeschwindigkeit überhaupt nur spurenweise erregbar.

Offenbar bestehen die Erregungen durch Strahlen über bez. unter Schwellengeschwindigkeit in zwei voneinander verschiedenen Vorgängen. Charakteristisch ist es für die erste Art der Erregung, daß sie ohne sichtbare Verspätung volle Helligkeit liefert, deren Betrag innerhalb gewisser Grenzen (vgl. 70) der Gleichung (2) folgt. Nur diese Erregungsart kommt für die Zwecke der gegenwärtigen Arbeit in Betracht.

68. An verschiedenen phosphoreszenzfähigen Körpern ergaben sich die folgenden Resultate (Tab. XXIV), wobei stets volle Helligkeit,  $H = 1$ , des Vergleichsfeldes benutzt worden war. Zur Ermittlung der Schwellengeschwindigkeit  $v_0$  dienten beide Wege<sup>1)</sup>, welche nach dem Vorhergehenden offen stehen. Erstens nämlich wurde durch Variation von  $U$  und  $\Phi$  bei großer Strahldichte diejenige kleinste Strahlgeschwindigkeit aufgesucht, welche ohne merkliche Verspätung einen Phosphoreszenzfleck erscheinen ließ; zweitens wurde durch Rechnung aus den in der Tabelle enthaltenen Versuchsdaten  $Q$  und  $v$  derjenige Wert von  $v_0$  ermittelt, welcher das Produkt  $(v - v_0)Q$  der Konstanz am nächsten brachte. Die beiden Wege führten in keinem Falle zu widersprechenden Resultaten, doch mußte der erstgenannte weniger befriedigend sein, da in der Nähe von  $v_0$  die zu beobachtenden Momentanhelligkeiten der Null nahe kommen. Die Konstanz des genannten Produktes, also der Anschluß an Gleichung (2) war überall so weit herstellbar, als die Genauigkeit der photometrischen Resultate geht und die vierten Spalten der Tabellen zeigen.

---

1) Ausgenommen beim Uranglase.

Tabelle XXIV.

$Q$	$U$	$U + \Phi = v$	$(v - v_0) Q = C$	$Q$	$U$	$U + \Phi = v$	$(v - v_0) Q = C$
<b>Nr. 2.</b> <b>CaS, Mn, Na<sub>2</sub>S<sub>2</sub>O<sub>8</sub>.</b> $\lambda_{\text{max.}} = 611 \cdot 10^{-6} \text{ mm.}^{1)}$ $v_0 = 1000 \text{ Volt.}$				<b>Nr. 5.</b> <b>SrS, Bi, Na<sub>2</sub>SO<sub>4</sub>.<sup>4)</sup></b> $v_0 = 2500 \text{ Volt.}$			
	Volt	Volt	Mittel		Volt	Volt	Mittel
1	2000	1570	570	1	3600	3600	1100
$\frac{1}{2}$	2200	2200	600	$\frac{1}{2}$	2600	4600	1050
$\frac{1}{4}$	3180	3180	545	$\frac{1}{4}$	4000	7100	1150
572				1100			
<b>Nr. 3.</b> <b>CaS, Cu, Na<sub>2</sub>SO<sub>4</sub>.</b> $\lambda_{\text{max.}} = 511 \cdot 10^{-6} \text{ mm.}^{2)}$ $v_0 = 1170 \text{ Volt.}$				<b>Nr. 6.</b> <b>ZnS nach Henry.<sup>5)</sup></b> $v_0 = 1700 \text{ Volt.}$			
1	2550	1550	380	1	2050	2050	350
$\frac{1}{2}$	1950	1950	390	$\frac{1}{2}$	2450	2450	374
$\frac{1}{4}$	2750	2750	395	$\frac{1}{4}$	3450	3450	438
$\frac{1}{10}$	3000	5020	385	$\frac{1}{10}$	3000	4700	300
388				366			
<b>Nr. 4.</b> <b>CaS, Cu.<sup>3)</sup></b> $v_0 = 1900 \text{ Volt.}$				<b>Nr. 7.</b> <b>Uranglas.<sup>6)</sup></b> $v_0 = 5800 \text{ Volt.}$			
1	3000	3000	1100	1	10 000	14 000	8200
$\frac{1}{2}$	3000	4100	1100				
$\frac{1}{4}$	4000	6200	1075				
1092							

Die Tab. XXV faßt die beiden Konstanten  $C$  und  $v_0$  für sämtliche untersuchten Körper zusammen; hinzugefügt sind gelegentlich anderer Beobachtungen schätzungsweise gewonnene

1) V. Klatt u. P. Lenard, Wied. Ann. 38. p. 99. 1889.

2) l. c. p. 96.

3) Aus denselben Materialien und in gleicher Weise bereitet wie Nr. 3, jedoch ohne den Zusatz; daher ohne das lange Nachleuchten bei Erregung mit Licht (vgl. V. Klatt u. P. Lenard, l. c.). Phosphoreszenzfarbe grün, wie bei Nr. 3.

4) Dieser Phosphor gehört einer noch unveröffentlichten Fortsetzung der zitierten Arbeit an; ich verdanke ihn Hrn. V. Klatt. Phosphoreszenzfarbe grüngelb; intensiv und lange nachleuchtend, wenn mit Licht erregt.

5) Käufliches Präparat.

6) Grob gepulvert (vgl. 51).

Ermittelungen der Schwellengeschwindigkeit zweier oft benutzten Körper.

Tabelle XXV.

Nr.	Substanz	$C$	$v_0$
1	CaS, Bi, $\text{Na}_2\text{S}_2\text{O}_3$	500 <sup>1)</sup>	300 Volt
2	CaS, Mn, $\text{Na}_2\text{S}_2\text{O}_3$	572	1000 „
3	CaS, Cu, $\text{Na}_2\text{SO}_4$	388	1170 „
4	CaS, Cu	1092	1900 „
5	SrS, Bi, $\text{Na}_2\text{SO}_4$	1100	2500 „
6	ZnS Henry	386	1700 „
7	Uranglas	8200	5800 „
8	Thüringer Glas	—	ca. 6000 „
9	{ Pentadecylparatolyl- keton }	—	ca. 4000 „

Die Tabelle läßt keinen unmittelbaren Zusammenhang der Konstanten  $C$  und  $v_0$  mit der Dauer des durch Belichtung erregbaren Nachleuchtens der betreffenden Körper erkennen. Nr. 5 beispielsweise besitzt die Fähigkeit solchen Nachleuchtens in außerordentlichem Maße; seine Intensitätskonstante ist dabei kaum verschieden von der des nur phosphoroskopisch merklich nachleuchtenden Präparates Nr. 4.

Zum Zweck des Nachweises langsamer Kathodenstrahlen zeigt die Tabelle das Präparat Nr. 1 als das geeignetste; dasselbe verbindet mit kleiner Schwellengeschwindigkeit eine verhältnismäßig hohe Intensitätskonstante  $1/C$  und ist daher im vorliegenden auch vorzugsweise benutzt worden.

69. Zur Beurteilung der Energieverhältnisse bei der Phosphoreszenzerregung durch Kathodenstrahlung sind die in Tab. XXV benutzten willkürlichen Einheiten (66) durch bekannte Einheiten zu ersetzen. Die Einheit der Strahldichte wurde durch elektrometrische Beobachtung der von  $\Phi$  in der Zeiteinheit aufgenommenen Elektrizitätsmenge unter Berücksichtigung des Durchmessers des Phosphoreszenzfleckes (55)

1) Dieser Wert ist hier durch Erhöhung von 188 (Tab. XXIII) auf 500 auf gleiche Einheit mit den übrigen Werten  $C$  gebracht. Es lag zwischen der Beobachtung von Nr. 1 und der von Nr. 2—7 ein Zeitraum von 6 Monaten, während dessen die Wirksamkeit der Rußfläche  $U$  stark abgenommen hatte (vgl. 89).

zu  $0,57 \cdot 10^{-10}$  Coul./sec. cm<sup>2</sup> bestimmt. Die benutzte Einheit der Helligkeit ist gleich  $2,2 \cdot 10^{-6}$  Hefnereinheiten/cm<sup>2</sup> zu setzen, was sich daraus ergibt, daß eine Amylacetatlampe in 6 m Abstand von einem der benutzten Phosphoreszenzschirme aufzustellen war, um seine Beleuchtung gleich der des Vergleichsfeldes bei  $H = 1$  erscheinen zu lassen.<sup>1)</sup>

Hiernach ist die Phosphoreszenzhelligkeit in Hefnereinheiten pro Quadratzentimeter gegeben durch

$$(3) \quad H = 3900 \frac{Q}{C} (v - v_0),$$

wenn  $Q$  in Ampères pro cm<sup>2</sup>,  $v$  und  $v_0$  in Volt gerechnet werden und  $C$  seinen Wert wie in Tab. XXV behält.  $Q \cdot v$  ist die gesamte, in Form von Kathodenstrahlen dem Schirm zugeführte elektrische Energie,  $Q(v - v_0)$  der zur Lichterzeugung verfügbare Teil derselben. Beträgt dieser Teil, welcher bei Körpern mit kleinem  $v_0$  leicht der gesamten Energie nahe gleich werden kann, 1 Watt, so gibt Gleichung (3)  $3900/C$  Hefnereinheiten als Lichteffect. Für die stärker erregbaren Körper der Tab. XXV ist  $C$  nahe gleich 400, der Lichteffect für 1 Watt also rund 10 Hefnereinheiten.

Dieser Effect übertrifft weit den sämtlicher anderen Lichterzeugungsweisen; eine elektrische Glühlampe liefert beispielsweise nur etwa 0,3 Hefnereinheiten für 1 Watt. Die Energie der sichtbaren Lichtstrahlung der Hefnerlampe, bezogen auf 1 cm<sup>2</sup> in 1 cm horizontalem Abstand beträgt nach Tumlriz<sup>2)</sup>

1) Das Vergleichsfeld, Schirm mit Nr. 1, befand sich dabei wie stets im Rohre, der von der Hefnerlampe beleuchtete Schirm, mit Nr. 1 oder 2, außerhalb dicht daneben; Glas und Drahtnetz in gleicher Beschaffenheit wie am Rohre waren zwischen ihn und das Auge gesetzt. Zu bemerken ist, daß der Schirm nur einen Teil des auf ihn fallenden Lichtes der Hefnerlampe zurückstrahlen wird, entsprechend seiner Albedo, ebenso wird er aber auch bei seiner Erleuchtung durch Kathodenstrahlen nur einen Teil des in ihm erregten Phosphoreszenzlichtes nach außen strahlen, und da in beiden Fällen die äußere Oberfläche als Lichtquelle wirkt, wird es in beiden Fällen auch nahe derselbe Teil sein müssen. Dem entsprechend wurde eine Albedo nicht in Rechnung gesetzt und es bedeutet danach  $H$  in Gleichung (3) die gesamte, unter dem Einfluß von Kathodenstrahlen gelieferte Lichtmenge, ohne Rücksicht darauf, wieviel davon nach außen gelangt.

2) O. Tumlriz, Sitzungsber. d. k. Akad. d. Wissensch. zu Wien 98. IIa. p. 848. 1889.



(1,226 Milliamp.)<sup>3</sup> · 1 Ohm, nach K. Ångström  $20,6 \cdot 10^{-9}$  g-Cal./sec<sup>1</sup>); danach wäre 1 Watt = 5,3 bez. 8,6 Hefnereinheiten zu setzen. Die nächstliegende Deutung des hier gefundenen höheren Betrages von 10 Hefnereinheiten ist diese, daß die spektrale Energieverteilung des Phosphoreszenzlichtes eine andere ist als die des Lichtes der Hefnerlampe. Die erstere Strahlung hat ihr Maximum im Innern des sichtbaren Spektralgebietes, die letztere an der äußersten Grenze desselben; es muß daher bei gleichem Energieinhalt beider Strahlungen die erstere dem Auge notwendigerweise heller erscheinen als die letztere. Demnach wäre kein Überschuß, sondern nur eine nahe vollkommene Umwandlung elektrischer Energie in die von sichtbarem Licht zu konstatieren.

70. Wenn die Phosphoreszenzhelligkeit durch intensive Bestrahlung zu sehr hohen Werten gesteigert wird, ist ein Zurückbleiben derselben hinter Gleichung (3) zu erwarten; denn die Erfahrung zeigt, daß in Entladungsröhren zwar große Phosphoreszenzhelligkeiten erzielt werden können, nicht ohne daß aber auch große Erwärmung eintritt. Messungen hierüber liegen von Hrn. E. Wiedemann vor.<sup>2</sup>) Fraglich bleibt in Entladungsröhren, welcher Teil der Erwärmung etwa der Wirkung im Entladungsprozeß bewegter Gasmoleküle zuzuschreiben sei.

Ich habe deshalb einige der vorbenutzten phosphoreszenzfähigen Körper auch am Aluminiumfenster einer Entladungsröhre untersucht. Die mit dem Körper überzogene Fläche stand vertikal und unter  $45^{\circ}$  zur Fensternormalen geneigt; die eine Hälfte derselben sollte von den Kathodenstrahlen erregt, die andere durch eine Hefnerlampe beleuchtet werden, deren Licht streifend zur Fensterwand, also ebenfalls unter  $45^{\circ}$  zum Schirm einfiel. Ein aufgelegtes Glimmerblatt schützte die zu beleuchtende Hälfte vor Kathodenstrahlen, ein schattenwerfender Schirm die andere Hälfte vor dem Licht der Hefnerlampe. Die vertikale Trennungslinie, in welcher beide Hälften sauber aneinander grenzten, schnitt die Fensternormale im Abstände 0,90 cm vom Fenster selbst. Dieser Schnittpunkt wurde beobachtet. Die Abstände der Hefnerlampe von jenem

1) K. Ångström, Soc. Roy. de Sc. d'Upsala 3. p. 1. 1903.

2) E. Wiedemann, Wied. Ann. 66. p. 61. 1898.

Punkte, bei welchen photometrische Gleichheit der beiden Hälften dortselbst eintrat, sind in Tab. XXVI unter  $r$  verzeichnet. Die Sicherheit der photometrischen Einstellungen wurde bei den verhältnismäßig großen Helligkeiten durch die Farbenungleichheit der beiden Felder sehr beeinträchtigt, es sind daher nur abgerundete Zahlen angegeben.

Das Entladungsrohr war mit einer Influenzmaschine verbunden. Um Strahlen von bekannter Geschwindigkeit zu haben, wurde die Luftverdünnung im Rohre so gehalten, daß die magnetische Ablenkbarkeit der Strahlen im Rohre ebenso groß ausfiel wie die, welche bei Wiederherstellung der Bedingungen früherer Versuche<sup>1)</sup> eintrat, in welchen die Strahlgeschwindigkeit zu  $v = 0,70 \cdot 10^{10}$  cm/sec = 25000 Volt gemessen worden war. Zur Ermittlung der Strahldichte wurde in besonderen Versuchen die entladende Wirkung der Strahlen in Luft gemessen. Es ergab sich, daß von einer in 14 mm Abstand vom Fenster aufgestellten, mit einem Elektroskop und einer Leydener Flasche verbundenen Metallplatte bei Anwendung der gleichmäßig rotierenden Influenzmaschine in 10,0 Sek. dieselbe Elektrizitätsmenge entladen wurde, wie durch 43 Schläge des in den erwähnten früheren Versuchen benutzten Induktatoriums, für welches die Strahldichte aus Versuchen im äußersten Vakuum bekannt ist.<sup>2)</sup> Hiernach wird die in den gegenwärtigen Versuchen vorhandene Strahldichte zu  $150 \cdot 10^{-10}$  Coul. pro Sek. berechnet<sup>3)</sup>, treffend auf  $1 \text{ cm}^2$  in  $0,90 \text{ cm}$  Abstand vom Fenster im Vakuum. In Luft von Atmosphärendruck gelangt hiervon nur der Bruchteil  $e^{-0,90a} = 0,076$ <sup>4)</sup> ans Ziel, d. i.  $11 \cdot 10^{-10}$  Coul./sec.  $\text{cm}^2 = Q$ .

Mit diesen Werten von  $v$  und  $Q$  und den Konstanten  $C$  und  $v_0$  der Tab. XXV sind die hierunter in der letzten Ko-

1) P. Lenard, Wied. Ann. 64. p. 287. 1898.

2)  $0,27 \cdot 10^{-10}$  Coul. pro Schlag auf  $0,13 \text{ cm}^2$  in  $8 \text{ cm}$  senkrechtem Abstand vom Fenster. P. Lenard, Wied. Ann. 64. p. 282. 1898.

3) Zu berücksichtigen waren Durchmesser und Dicke des Aluminiumfensters. Dieselben betrugen in den früheren Versuchen (l. c. p. 280)  $1,7$  bez.  $0,003 \text{ mm}$ , in den gegenwärtigen  $1,25$  bez.  $0,0044 \text{ mm}$ , was mit dem Absorptionsvermögen  $7000 \text{ cm}^{-1}$  des Aluminiums  $0,20$  als Faktor zur Strahldichte liefert.

4)  $a = 3 \text{ cm}^{-1}$ , P. Lenard, Wied. Ann. 56. p. 261. 1895.

lumne verzeichneten Helligkeiten  $H$  nach Gleichung (3) berechnet; daneben stehen die aus den beobachteten Abständen  $r$  folgenden Helligkeiten  $1/4 \pi r^2$ .

Tabelle XXVI.

Substanz		$r$	Helligkeit	
			beob. $1/4 \pi r^2$	ber. $H$
Nr.		cm	$10^{-6}$ <div>Hefnereinheiten</div> <div>cm<sup>2</sup></div>	
1	CaS, Bi, Na <sub>2</sub> S <sub>2</sub> O <sub>3</sub>	200	2,0	220
2	CaS, Mn, Na <sub>2</sub> S <sub>2</sub> O <sub>3</sub>	50	32	180
3	CaS, Cu, Na <sub>2</sub> SO <sub>4</sub>	200	2,0	270
4	CaS, Cu	400	0,50	92
6	ZnS nach Henry	100	8,0	280
7	Uranglas	500	0,32	1,0

Man sieht, daß die beobachtete Helligkeit in allen Fällen zurückblieb hinter der berechneten, und also auch für die Körper Nr. 1, 2, 3, 6 hinter der nahe vollständigen Energieumwandlung (69), jedoch bei den verschiedenen Körpern in sehr verschiedenem Maße.<sup>1)</sup> Bemerkenswert ist, daß absolut die größte, relativ sehr große Helligkeit derjenige Körper zeigt, welcher die größte Menge des in ihm wirksamen Metalles<sup>2)</sup> enthält, nämlich Nr. 2 mit 3 Proz. Manganoxydgehalt. Nr. 1 bez. 3 und 4 enthalten nur zehntel bez. hundertstel Prozente des betreffenden wirksamen Metalles. Bei Nr. 3 und 4, welche gleichen Kupfergehalt haben, ist die beobachtete Helligkeit nahe der gleiche Bruchteil der berechneten. Das Uranglas Nr. 7 enthielt etwa 0,5 Proz. Uranoxyd<sup>3)</sup>, es ergab absolut geringe, relativ aber große Lichtstärke.

1) Bei Nr. 1, mit blauem Phosphoreszenzlicht, muß das Purkinje-sche Phänomen dahin mitgewirkt haben, den Körper bei größeren Intensitäten relativ zu dunkel erscheinen zu lassen.

2) Vgl. V. Klatt u. P. Lenard, l. c.

3) Für die Bewerkstelligung der Analyse des Glases im hiesigen chemischen Institut bin ich meinen Kollegen, den Herren Geh.-Rat Claisen und Prof. Biltz, zu Dank verpflichtet.

## III. Sekundäre Entstehung von Kathodenstrahlen in Gasen.

71. Daß Kathodenstrahlen die Luft leitend machen, habe ich durch frühere Versuche unter Bedingungen gezeigt, welche die Mitwirkung fremder elektrischer Kräfte völlig ausschlossen.<sup>1)</sup> Es war für diese Wirkung der Strahlen gleichgültig, ob sie den als Prüfmittel für die Leitfähigkeit der Luft benutzten geladenen Körper oder auch andere feste Körper der Umgebung trafen, oder ob nicht<sup>2)</sup>, so daß die Annahme einer unmittelbaren Wirkung der Strahlen auf die Luft selbst als nächstliegend übrig blieb.

Hiervon ausgehend hat Hr. McLennan die Wirkung in verschiedenen Gasen bei verschiedenen Drucken untersucht<sup>3)</sup>, mit dem Resultate, daß die durch Kathodenstrahlen hervorzurufende maximale Leitfähigkeit, oder, nach der Anschauung über die Elektrizitätsleitung in Gasen, welche inzwischen sich entwickelt hatte, die Zahl der positiven und negativen Elektrizitätsträger, welche im Gase durch die Kathodenstrahlen erzeugt werden, proportional sei der Dicke des Gases, unabhängig von dessen chemischer Natur. Hiernach lag es nahe, die Trägererzeugung mit der Absorption der Strahlen im Gase in Verbindung zu bringen, denn von letzterer war jene Proportionalität mit der Gasdichte bereits bekannt.<sup>4)</sup>

Dennoch erscheint es nicht angängig anzunehmen, daß die Trägererzeugung bei der Absorption der Strahlen stattfinde dergestalt, daß die erzeugten Träger von denjenigen Gas-molekülen stammten, welche Strahlquanten an sich genommen haben. Denn die Zahl der erzeugten Träger übersteigt in genügend dichten Gasen außerordentlich die Zahl der absorbierten Strahlquanten. Letzteres folgt schon aus den ersterwähnten Versuchen am Aluminiumfenster, in welchen trotz des Überschusses an negativen Trägern, der infolge der Absorption der Strahlquanten in der Luft vorhanden sein muß, keinerlei Unipolarität des Leitvermögens der Luft zum Vorschein kam.<sup>5)</sup>

1) P. Lenard, Wied. Ann. 51. p. 240. 1894.

2) P. Lenard, Wied. Ann. 63. p. 254. 1897.

3) McLennan, Phil. Trans. A. 194. p. 1. 1900.

4) P. Lenard, Wied. Ann. 56. p. 255. 1895.

5) P. Lenard, Wied. Ann. 51. p. 240. 1894.

Auch die Resultate der neueren Untersuchungen Hrn. Duracks fielen dementsprechend aus. Derselbe findet<sup>1)</sup>, daß von einem Kathodenstrahlquantum bei der Geschwindigkeit  $0,4 \cdot 10^{10}$  cm/sec auf je 1 cm Strahllänge in Luft von 1 mm Druck etwa 0,4 Trägerpaare erzeugt werden. Es würden danach, der Dichte proportional gerechnet, in Luft von gewöhnlichem Druck 304 Trägerpaare durch je ein Strahlquantum erzeugt werden, welches, wie am Fenster einer Entladungsröhre geschieht, den Weg von 1 cm zurücklegt, ohne absorbiert worden zu sein. Daß Wege von solcher Länge überhaupt möglich sind, führt, wie früher schon auseinandergesetzt (41), notwendigerweise zu der Vorstellung, daß die Strahlquanten das Innere der Gas-moleküle durchqueren können, und zwar findet bei genügender Strahlgeschwindigkeit eine sehr große Zahl solcher Durchquerungen statt<sup>2)</sup>, ehe dabei sehr merkliche Krümmung des Strahles eintritt, und eine noch größere weitere Zahl von Molekülen wird im Mittel durchfahren, ehe Festlegung des Strahlquants an ein Molekül, d. i. Absorption eintritt. Als eine Wirkung dieser Durchquerungen wird man dem vorhergehenden nach die Trägerbildung ansehen können.

Den letzteren Vorgang selbst, nämlich die Entstehung positiver und negativer Träger in gleicher Zahl aus ursprünglich unelektrischen Molekülen, hat man gewöhnlich als Spaltung der Moleküle bezeichnet. Dem entspricht allerdings das Endresultat des Vorganges, denn die Träger sind, ihren Wandergeschwindigkeiten nach, Atome oder Atomgruppen, geladen mit je einem Elementarquantum positiver oder negativer Elektrizität.<sup>3)</sup> Die der Theorie der Elektrolyse entnommene Vorstellung der Molekülspaltung führt jedoch zu besonderen Schwierigkeiten bei einatomigen Gasen, wie Argon, welche erfahrungsmäßig durch die bei anderen Gasen wirksamen Mittel<sup>4)</sup> ebenfalls zu Leitern der Elektrizität werden können. Wohl aus diesem Grunde ist meistens die Möglichkeit offen gelassen, manchmal auch als besondere Hypothese hingestellt worden,

---

1) J. J. E. Durack, *Phil. Mag.* (6) 4. p. 29. 1902.

2) 5000 in dem l. c. berechneten Beispiele.

3) J. J. Thomson, *Phil. Mag.* (5) 46. p. 518. 1898; 48. p. 557. 1899; (6) 5. p. 346. 1903.

4) Auch durch Kathodenstrahlen, wie weiter unten (85) gezeigt wird.



daß die Trägerbildung in der Abtrennung elektrischer Elementarquanten aus den Atomen selber bestehe.

72. Die Anwendung des Phosphoreszenzschirmes ergibt Erscheinungen, welche geeignet sind, der Weiterentwicklung jener Vorstellungen Anhalt zu geben. Die Erscheinungen werden am einfachsten zu beschreiben sein, wenn wir den Vorgang der Trägerbildung in zwei Stadien zerlegen. Das erste Stadium kann als sekundäre Kathodenstrahlung des durchstrahlten Gases bezeichnet und dahin gedeutet werden, daß die einfallenden Strahlen, welche wir primär nennen wollen, aus Molekülen bez. Atomen, welche sie durchqueren, neue, sekundäre Strahlquanten austreiben können. Das zweite Stadium bestünde in der Absorption der sekundären Strahlen, deren Geschwindigkeit sich als verhältnismäßig gering ergibt, im umgebenden Gase.

73. Zur Beobachtung der Ausbreitung langsamer Kathodenstrahlen in Gasen werde das Diaphragma  $D$  (Fig. 1) und dahinter der Metallschirm  $s_1 s_2$  benutzt (wie in 62), dessen Kante  $s_1$  jetzt bis zur Achse des Strahles vorgeschoben sei, so daß er die Hälfte des Phosphoreszenzschirmes vom reflektierten Lichte sowohl wie auch von den Kathodenstrahlen freihält. Diese Hälfte bleibt dementsprechend völlig dunkel; die geradlinige Grenze des Schattens von  $s_1 s_2$  ist bei den Abständen  $D s_1 = 2,3 \text{ cm}$  und  $s_1 \Phi = 2,8 \text{ cm}$  sehr scharf. Es betrage zunächst die Strahlgeschwindigkeit  $U = 2000 \text{ Volt}$  und es befinde sich Luft von  $0,033 \text{ mm}$  Druck im Rohre.

Solange  $\Phi$  ungeladen ist, wird kein Einfluß des Gases merklich; wird jedoch  $\Phi$  positiv geladen, so tritt matte Erhellung der ganzen beschatteten Hälfte des Schirmes ein. Das Fehlen dieser Erhellung bei ungeladenem Schirme beweist, daß sie nicht etwa von stark diffus verlaufenden primären Strahlen stammt, denn solche würden bei ihrer Geschwindigkeit von  $2000 \text{ Volt}$  den Schirm unmittelbar erhellt haben (Nr. 1, Tab. XXV,  $v_0 = 300 \text{ Volt}$ ); vielmehr ist das Vorhandensein fremder, diffuser, sekundärer Strahlung von geringer Geschwindigkeit im Gase angezeigt. Dem entspricht auch der Ausfall der weiteren Versuche (74—76, 79—81).

74. Zunächst wächst die Erhellung des Schattens, wenn die primäre Strahlgeschwindigkeit von  $2000$  auf  $3000$  und

4000 Volt steigt; diffuse Ausbreitung im Gase würde dabei abnehmen.<sup>1)</sup>

Wird zweitens ein kleiner Elektromagnet, dessen Polverbindungslinie mit der Schattengrenze am Schirm zusammenfällt, allmählich erregt, so wandert der Phosphoreszenzfleck des primären Strahles als helles Segment in den Schatten; viel stärker als der Fleck wird aber das diffuse Licht am Schirme fortgeschoben, so daß der Anblick des Schirmes jetzt bei  $U = 4000$ ,  $\phi = 1500$  Volt Fig. 2 entspricht (dunkel für hell) und an dem stärker abgelenkten Schweif unmittelbar die geringere Geschwindigkeit der sekundären Strahlung zeigt. Der Schweif verschwindet und das helle Segment bleibt allein, sobald der Schirm entladen wird.

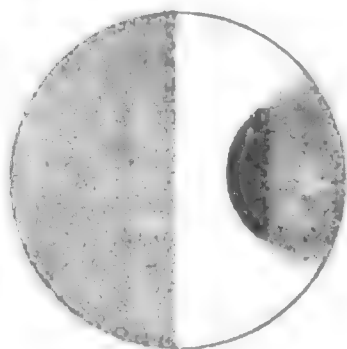


Fig. 2.

Da langsame Strahlen in Gasen stark absorbiert werden, müssen negative Träger vorhanden sein. Nun würden Luftmoleküle als solche Träger einzelner oder auch sehr vieler Elementarquanten unter dem gleichzeitigen Einflusse der in der Nähe des Schirmes wirkenden, aufeinander senkrecht stehenden elektrischen<sup>2)</sup> und magnetischen Kraft sehr viel weniger von der letzteren beeinflußt werden als selbst schnelle Kathodenstrahlen<sup>3)</sup>, so daß die Träger zwischen der Schattengrenze und dem segmentförmigen Fleck auf dem Schirm zu erwarten wären. Gerade dort bleibt derselbe aber am dunkelsten. Dies zeigt, daß er für negative Träger unempfindlich ist.<sup>4)</sup>

Bei den geringeren Geschwindigkeiten  $U = 3000$  und  $2000$  Volt unterscheidet sich der Anblick des Schirmes von Fig. 2 nur erstens durch geringere Helligkeit der Erscheinung,

1) P. Lenard, Wied. Ann. 51. p. 265. 1894.

2) Als solche kommt hier auch der durch  $\epsilon$  dringende Teil des Feldes von  $\Phi$  in Betracht (54).

3) Es folgt die aus den von Hrn. E. Riecke entwickelten Bewegungsgleichungen (Ann. d. Phys. 4. p. 382. 1901).

4) Man wird die Unempfindlichkeit des Phosphoreszenzschirmes für Träger nicht absolut, sondern nur für die hier in Betracht kommenden Verhältnisse und relativ zu seiner Empfindlichkeit für Quanten behaupten dürfen. Daß im besonderen positive Träger einige, wenn auch schwache Phosphoreszenzwirkung auszuüben vermögen, zeigen die Kanalstrahlen.

eine Folge der zunehmenden Absorption der primären Strahlen im Gase (vgl. 82), und zweitens durch verwascheneren Begrenzung des segmentförmigen Fleckes, was zunehmend diffusem Verlauf der Primärstrahlen zuzuschreiben ist (vgl. 78).

Durch stärkere Erregung des Magneten gelingt es in allen Fällen leicht, den Schatten von allem Phosphoreszenzlicht zu befreien; Andeutungen einer Wirkung etwa sehr wenig abgelenkter Träger wurden auch hierbei nicht bemerklich.

Zu bemerken ist noch, daß eine sehr matte Erhellung des Schattens, stärker ablenkbar als der primäre Fleck, unter günstigen Umständen auch im gasfreien Raume zu beobachten war. Es ist kaum zu bezweifeln, daß dieselbe einer Sekundärstrahlung des Dampfresiduums zuzuschreiben sei, denn Trägerbildung in diesem Residuum ist in früheren Versuchen nachweisbar gewesen (45).

75. Durch eine seitlich neben dem primären Strahl angebrachte kleine Platte, welche positiv geladen werden konnte, gelang es auch, die sekundären Strahlen aus dem primären herauszuziehen. Die Platte war phosphoreszenzfähig gemacht; sie leuchtete auf, sobald sie geladen wurde. Die Ladung mußte zwar die Schwellengeschwindigkeit des betreffenden Phosphors überschreiten, bewirkte dabei jedoch nur eine sehr geringe Ablenkung des primären Strahles, was wieder die relative Kleinheit der sekundären Geschwindigkeiten anzeigt.

76. Zu Versuchen, welche zugleich über die Größe der Trübung der Gase für langsame Strahlen Aufschluß geben, wurde an die Stelle des Schirmes  $s_1 s_2$  ein zweites Diaphragma mit nur 2,5 mm Öffnungsdurchmesser gesetzt. Es entsteht dann ein zentraler, kleiner, heller Fleck auf dem Schirm, welcher 3 cm vom zweiten Diaphragma entfernt sich findet. In dem kleinen Fleck treffen reflektiertes Licht und der Kathodenstrahl zusammen. Der Magnet trennt beide voneinander, so daß dann der Fleck des Kathodenstrahles auf dunklen Grund fällt. Es sei Luft von 0,01 mm Druck vorhanden.<sup>1)</sup>

Bei hohen Geschwindigkeiten,  $U = 4000$  oder auch 2000 Volt, tritt nichts Neues auf; der abgelenkte primäre Fleck zeigt bei

1) Die angewandten Gasdrucke blieben in allen Fällen weit unter der Grenze, bei welcher die Kräfte an  $U$  oder  $\Phi$  ohne Licht hätten Entladungserscheinungen hervorrufen können.

fast völlig scharfer Begrenzung einen diffus verbreiterten, weniger hellen Schweif nach der mehr abgelenkten Seite zu, welcher nach dem Vorhergehenden der sekundären Strahlung zuzuschreiben ist.

Bei geringeren Strahlgeschwindigkeiten tritt die sekundäre Strahlung mehr und mehr zurück, dafür die diffuse Ausbreitung der primären Strahlen in den Vordergrund. Bei  $U = 1000$  Volt zeigt der primäre Fleck schon sehr verwaschene Begrenzung auch nach der weniger abgelenkten Seite zu. Bei  $U = 500$ , 200, 100 Volt bildet sich ein mehr und mehr an Umfang gewinnender Hof um den primären Fleck aus, zentrisch ihn umgebend, also Strahlen von nahe oder ganz unverminderter Ablenkbarkeit enthaltend; der einseitige Schweif verschwindet zugleich mehr und mehr. Bei  $U = 100$  Volt hat der Hof den primären Fleck fast aufgezehrt<sup>1)</sup>; hierbei mußte  $\Phi = 4000$  Volt gemacht werden, um Fleck wie Hof genügend sichtbar zu erhalten. Im gasfreien Raum hat unter gleichen Umständen der Fleck seine volle Größe und vom Hof sind nur Spuren zu sehen.

Die Größe der magnetischen Ablenkung des primären Strahles war im gasfreien Raum schätzungsweise bis auf  $\frac{1}{10}$  ihres Wertes die gleiche wie in Luft von 0,01 mm Druck, geprüft bei  $U = 200$  und 2000 Volt.<sup>2)</sup>

77. Der diffuse Verlauf langsamer Strahlen kann auch mit Hilfe der konzentrierenden Stromrolle verfolgt werden,

---

1) Vgl. dieselbe Erscheinung bei schnellen Strahlen (Wied. Ann. 51. p. 260 u. 266. 1894).

2) Dies entspricht dem früher bei schnellen Strahlen Festgestellten (Wied. Ann. 52. p. 23. 1894). Es sei bemerkt, daß die damaligen Messungen, wie aus den l. c. angegebenen Daten und der späteren Geschwindigkeitsbestimmung (Wied. Ann. 64. p. 287. 1898) folgt, den Schluß zulassen, daß die Strahlen von 25000 Volt Geschwindigkeit bei Durchlaufung eines Weges von 10 cm in Luft von 81 mm Druck keine 3000 Volt überschreitende Geschwindigkeitsänderung erlitten. Messungen von weiter gesteigerter Genauigkeit wären erforderlich zur Beantwortung der Frage, ob die sekundäre Strahlung Energie von der primären nehme. Ein Hinweis auf bejahende Beantwortung kann darin gefunden werden, daß die diffuse, sekundäre Helligkeit in den obigen Versuchen (74, 76) schon durch geringe magnetische Kräfte ganz an die mehr abgelenkte Seite des primären Fleckes gedrängt wurde (vgl. Fig. 2), was anzudeuten scheint, daß die sekundäre Ausstrahlung überwiegend in Richtung der primären Strahlen erfolgt.



wenn man auf die Schärfe der Knoten achtet, welche dann erscheinen (56). Das zweite Diaphragma wurde hierfür weggelassen. In Luft von 0,01 mm Druck waren bei Geschwindigkeiten über 1000 Volt die Knoten noch ebenso scharf wie im Vakuum. Sie blieben es auch bei Anwendung beschleunigender Potentiale von  $\Phi$ ; sekundäre Strahlung wird also hier nicht merklich, entsprechend ihrer geringen Geschwindigkeit, und Trübung kann ungestört zur Beobachtung kommen. Bei  $U=500$  Volt erschienen deutliche Höfe um die Knoten, bei 200 Volt sind nur mehr verwaschene Flecke zu sehen, bei 8 und 0 Volt Scheibchen von etwa 5 mm Durchmesser, statt der Punkte im Vakuum.

78. Die Resultate über die Trübung der Luft den langsamen Strahlen gegenüber (63—77) lassen sich dahin zusammenfassen, daß bei den Drucken von 0,04 bis 0,01 mm Quecksilber und einer Weglänge von 3 cm Strahlen über 100 Volt Geschwindigkeit nicht merklich diffus, Strahlen unter dieser Geschwindigkeit um so diffuser verliefen, je langsamer sie waren. Die Abhängigkeit von der Geschwindigkeit ist also dieselbe wie bei den schnellen Strahlen.

Mit Hilfe der Stromrolle (77) habe ich auch Argon<sup>1)</sup> und Wasserstoffgas untersucht. Dabei war auffallend, daß Wasserstoff durchaus nicht deutlich klarer, Argon nicht deutlich trüber war als Luft von gleichem Druck. Es scheinen danach bei den langsamen Strahlen, in Abweichung von den schnellen, nicht mehr die Massen, sondern nur die Molekülzahlen in der Volumeneinheit die Größe der Trübung zu bestimmen.

79. Zur Beurteilung der Menge der sekundären Strahlung und zugleich zur Messung des Absorptionsvermögens der Luft wurde eine photometrische Einrichtung getroffen.

Das Diaphragma  $D$  war entfernt und bei  $bb$  (Fig. 1) eine weite Öffnung für das ultraviolette Licht angebracht, so daß jetzt auf  $U$  ein Lichtfleck von 10 mm Durchmesser entstand, von welchem ein entsprechend breites Kathodenstrahlenbündel ausgehen mußte. Der Schirm  $\Phi$  bestand aus zwei halbkreisförmigen Hälften, welche in scharfer Trennungslinie aneinander

1) Die Darstellung und spektroskopische Prüfung dieses Gases verdanke ich Hrn. Dr. Becker, Assistenten des Physikalischen Instituts; es zeigte schwach die Stickstofflinien.



grenzten. Die eine Hälfte war mit dem Phosphor Nr. 1 (Tab. XXV) bekleidet, dem jetzt ein geringer Kohlezusatz gegeben war, die andere mit einem weißen, nicht phosphoreszenzfähigen Pulver ( $\text{BaCO}_3$ ). Außer dem Gitter  $\epsilon$  wurde noch ein zweites, dichteres Netz in 15 mm Abstand vor  $\epsilon$  angebracht, um die Wirkung des durch  $\epsilon$  dringenden Kraftfeldes von  $\Phi$  einzuschränken.

Wird der Schirm von dem an  $U$  reflektierten Lichte allein getroffen, so muß seine mit Kohle versetzte Hälfte dunkler erscheinen als die andere; treten Kathodenstrahlen hinzu, so wird bei gewisser Größe des Produktes  $q(v - v_0)$  (66) photometrische Gleichheit der beiden Schirmhälften eintreten müssen, was zur Messung der den Schirm treffenden Strahldichte  $q$  verwertbar ist.

80. Zunächst kann unmittelbar erkannt werden, daß beim Vorhandensein eines Gases neue Strahlung zur primären hinzukommt, denn die empfindliche Schirmhälfte kann heller erscheinen im Gase als im Vakuum, obgleich das Gas Strahlung absorbiert.

Um Absorption und sekundäre Strahlung trennen und den Einfluß der Divergenz des Strahlenbündels eliminieren zu können, waren je vier Versuche zu kombinieren, nämlich zwei im Gase und zwei im Vakuum bei zwei verschiedenen Abständen  $U \Phi$ .

Es sei, in einem dieser Versuche,  $Q$  die von  $U$  ausgehende Strahldichte, gemessen durch die Intensität des erregenden Lichtes, volles Licht zur Einheit genommen. Auf dem Wege von  $U$  bis  $E$  wird sekundäre Strahlung beschleunigt und mitgeführt, wodurch aus  $Q$  wird  $Q(1 + \sigma)$ . Durch Ausbreitung und Absorption des Strahles auf dem Wege  $U \Phi = d$  kommt die Strahldichte auf den Wert  $Q(1 + \sigma) A e^{-\alpha d}$ . Endlich tritt zwischen  $\epsilon$  und  $\Phi$  durch neue Mitführung beschleunigter sekundärer Strahlung noch eine Vergrößerung der Strahldichte ein, so daß dieselbe am Schirme selbst wird  $q = Q(1 + k \cdot \sigma) A e^{-\alpha d}$ . Sie bringt daselbst die Helligkeit  $H = q(v - v_0)/C$  hervor, wobei zu bemerken ist, daß nur die primäre Strahlung mit der vollen Geschwindigkeit  $v = U + \Phi$  anlangt, die unterwegs erst entstandene sekundäre mit nur einem Bruchteil derselben. Es ist daher

$$(4) \quad H = \frac{Q}{C} \left( 1 + \frac{k}{l} \sigma \right) (U + \Phi - v_0) A e^{-\alpha d}.$$

Solcher Gleichungen gelten vier, entsprechend den vier photometrischen Einstellungen, welche vorzunehmen sind. Es seien die Werte im gasfreien Raum durch Akzente, die im gashaltigen durch Doppelakzente, die für verschiedene Abstände  $U \Phi$  geltenden durch die Indizes  $d$  und  $D$  gekennzeichnet. Da  $H'_d = H''_d$ ,  $H'_D = H''_D$ ,  $A'_d = A''_d$ ,  $A'_D = A''_D$ ,  $k_d = k_D$ ,  $l_d = l_D$ <sup>1)</sup>, letzteres weil in den Versuchen  $\Phi'_d$  nahe gleich  $\Phi''_d$  gewählt wurde, ferner  $a'' = a' + a$ ,  $\sigma' = \sigma' + \sigma$  zu setzen ist, wo  $a$  und  $\sigma$  für reines, vom Dampfresiduum freies Gas gelten, erhält man aus den vier Gleichungen (4):

$$\log \left( 1 + \frac{k}{l} \sigma \right) = \frac{1}{D-d} \left( d \log \frac{I''_D}{I'_D} - D \log \frac{I''_d}{I'_d} \right)$$

und

$$a = \frac{1}{D-d} \log \frac{I'_d I''_D}{I'_D I''_d},$$

worin alle  $I = Q(U + \Phi - v_0)$  sind.

Es war in den Versuchen  $d = 10,0$  cm,  $D = 16,0$  cm.  $Q$  konnte durch verstellbare Glimmersektoren (64) variiert werden; meist geschah jedoch die photometrische Einstellung durch Abänderung des Potentials  $\Phi$  allein. Zu bemerken ist, daß beim Abstand  $d$  eine Lösung von Kupferoxydammoniak zwischen Auge und Schirm gebracht wurde, ohne welche bei der Farbenungleichheit der beiden Felder die Einstellung zu unsicher geworden wäre; beim Abstand  $D$ , wo das Licht matter war, erwies sich direkte Beobachtung als vorteilhafter.

81. Die folgende Tabelle enthält die Daten und Resultate dreier Versuchsgruppen mit atmosphärischer Luft.

Tabelle XXVII.

Strahl- geschw. $U$	Versuchsdaten									Sekund. Strahlung $\frac{k}{l} \sigma$	Absorpt.- Vermögen $a$	$\frac{a}{p} = a_0$
	im luftfreien Raume				im luftbaltigen Raume				Luftdruck $p$			
	$\Phi'_d$	$Q'_d$	$\Phi'_D$	$Q'_D$	$\Phi''_d$	$Q''_d$	$\Phi''_D$	$Q''_D$				
Volt	Volt		Volt		Volt		Volt		mm Hg		cm -1	
1000	2070	1	1340	1	2290	1	2200	1	0,0165	0,46	0,046	2,8
2000	1330	1	750	1	1440	1	1590	1	0,0184	0,48	0,043	2,4
4000	1060	0,637	1300	0,50	1300	0,373	1300	0,30	0,0184	0,99	0,010	0,52

1)  $\sigma'$  ist klein gegen  $\sigma$  (vgl. 74), so daß es nicht nötig war,  $k'$  und  $k''$ , bez.  $l'$  und  $l''$  als verschiedene Größen einzuführen.

Zu bemerken ist, daß die Werte der  $\Phi'$  und  $Q'$  durch Interpolation aus Versuchen im luftfreien Raume vor, zwischen und nach den Luftfüllungen abgeleitet werden mußten; denn bei den längeren Zeiträumen, welche die erforderliche Vielfältigung der photometrischen Einstellungen in Anspruch nahm, wurde stetige zeitliche Abnahme der lichtelektrischen Wirksamkeit von  $U$  sehr merklich.<sup>1)</sup>

82. Die erhaltenen Absorptionsvermögen  $a$  der Luft vom Drucke  $p$  für Strahlen von den verhältnismäßig geringen Geschwindigkeiten  $U$ , oder die auf 1 mm Luftdruck reduzierten Werte derselben,  $a_0$ , zeigen dieselbe Art der Abhängigkeit von der Strahlgeschwindigkeit, welche ich zuerst bei sehr schnellen Strahlen gefunden hatte<sup>2)</sup>, nämlich Zunahme mit abnehmender Strahlgeschwindigkeit. Dementsprechend sind diese Absorptionsvermögen auch von ganz anderer Größenordnung, mehr als 100 mal größer, als die für Strahlen von etwa 25000 Volt Geschwindigkeit geltenden.<sup>3)</sup>

Das Absorptionsvermögen der Luft von 1 mm Druck für 1000 Voltstrahlen, 2,8, ist etwa gleich dem der freien Atmosphäre für die aus dem Aluminiumverschluß einer Entladungsröhre dringenden Strahlen, 3,4, so daß nach Durchlaufung von 1 cm in beiden Fällen Erschöpfung der Intensität auf rund 3 Proz. ihres Anfangswertes eintreten wird. Dem ersten der verglichenen Fälle entsprechen etwa die Verhältnisse an der Kathode Geisslerscher Röhren; die Größe des da zu beobachtenden Glimmlichtes ist danach in Übereinstimmung mit der früher auseinandergesetzten Vorstellung<sup>4)</sup>, daß dieses Glimmlicht von Kathodenstrahlen erleuchtete Luft sei.

Bei noch weiter sinkender Strahlgeschwindigkeit, unter 1000 Volt, ist kaum mehr als eine Verzehnfachung des Absorptionsvermögens zu erwarten, denn das Zehnfache des Wertes  $a_0 = 2,8$  wäre schon etwa gleich der Querschnittsumme der bei 1 mm Druck vorhandenen Luftmoleküle.

1) (Vgl. 89.) Vollfüllung des Apparates mit Luft mußte zwischen den Versuchen einer Gruppe vermieden werden.

2) P. Lenard, Wied. Ann. 56. p. 261, Tab. III. 1895.

3)  $a/p = 0,0050$ , l. c. Tab. I.

4) P. Lenard, l. c. p. 261 u. f. 1895; H. Hertz, Wied. Ann. 19. p. 782 u. ff. 1883.

Vergleicht man das Verhältniß zwischen Absorption und Diffusion bei den langsamen und schnellen Strahlen, so findet man, daß es etwa das gleiche ist. Die Diffusion von 1000 Voltstrahlen in Luft von etwa 0,02 mm Druck begann bei 3 cm Strahllänge eben gut merklich zu werden (78); das Absorptionsvermögen ist dabei 0,05. Für die schnellen Strahlen vom Aluminiumfenster würde Luft von etwa 12 mm Druck oder Wasserstoffgas von etwa 70 mm Druck das gleiche Absorptionsvermögen haben; sucht man nun den Verlauf dieser Strahlen in diesen Gasen auf<sup>1)</sup>, so findet man, daß er ebenfalls längs etwa 3 cm eben merklich vom geradlinigen abzuweichen beginnt.

Es gilt also auch bis zu den geringen Strahlgeschwindigkeiten herab mindestens in erster Annäherung der Satz, daß zwei Medien, welche gleiche Absorption aufweisen, auch gleich trübe sind, und umgekehrt. Die Anwendung dieses Satzes auf das Resultat, daß bei Geschwindigkeiten unter 1000 Volt nicht mehr so sehr die Masse, als vielmehr die Molekülzahl in der Volumeneinheit die Größe der Trübung bestimmt (78), würde auch für die Absorption unter 1000 Volt das gleiche Verhalten erwarten lassen (vgl. 60 über Metallblätter).

83. In bezug auf die sekundäre Ausstrahlung gibt die Tab. XXVII die Werte der Produkte  $\sigma \cdot k/l$ . Für den Quotienten  $k/l$  ist unter den Umständen der Versuche etwa der Wert 1 zu erwarten, was den beiden Annahmen gleich kommt, daß erstens in den beiden Räumen  $UE$  und  $\epsilon \Phi$  nahe gleich viel sekundäre Strahlung stattfand, und zweitens, daß diese unterwegs zur primären hinzugekommene Strahlung im Mittel von der Hälfte der auf dem ganzen Wege  $U\Phi$  wirksamen elektrischen Kraft beschleunigt worden ist.<sup>2)</sup>

84. Danach geben die Werte  $\sigma \cdot k/l$  in Tab. XXVII die Größenordnung der Quantenzahlen  $\sigma$  selber an, welche durch je ein primäres Quantum bei seiner beschleunigten Bewegung

1) Vgl. die Strahlzeichnungen zu Wied. Ann. 51. p. 225. 1894.

2) Eingehendere Rechnung, in welcher die längs der Wegeinheit sekundär ausgestrahlte Quantenzahl proportional der vorhandenen Strahldichte und von 100—4000 Volt primärer Geschwindigkeit nur wenig variierend (vgl. 86) angenommen wird, gibt mit Berücksichtigung der an den verschiedenen Stellen wirksamen beschleunigenden Kräfte für  $U = 2000$  Volt  $k/l = 1,1$ .

im Raume von  $U$  bis  $E$  zu sekundärer Ausstrahlung gebracht worden sind.

Diese Quantenzahlen sind als überraschend groß zu bezeichnen, denn der Druck der Luft war in den Versuchen nur 0,015 mm Quecksilber. Die mittlere freie Weglänge der Luftmoleküle beträgt bei diesem Drucke 0,51 cm<sup>1)</sup>, die freie Weglänge sehr kleiner, sehr schnell bewegter Körper, als welche die Quanten anzusehen sein dürften, ist  $4\sqrt{2}$  mal so groß<sup>2)</sup>, also gleich 2,9 cm, so daß der gesamte in Betracht kommende Weg der Quanten,  $UE = 0,4$  cm, nur 0,14 ihrer mittleren freien Weglänge war. Die Relativzahl der Quanten, welche auf diesen Bruchteil der freien Weglänge Gasmoleküle überhaupt treffen, ist daher sehr gering; sie wird sein<sup>3)</sup>  $1 - e^{-0,14} = 0,13$ . Dabei betrug die Relativzahl  $\sigma$  der sekundär in Freiheit gesetzten Quanten 0,4 (Tab. XXVII), so daß auf jede einzelne Durchquerung eines Luftmoleküles durch ein primäres Quant  $0,4/0,13 = 3,1$  sekundär ausgestrahlte Quanten kommen.<sup>4)</sup>

Sind die letzteren, was die einfachste Annahme wäre, aus je einem durchquerten Luftmolekül gekommen, so würde dessen Rest ein positiver Träger mit mehr als einem Elementarquantum sein. Solche positive Träger sind indes bisher nie beobachtet worden; vielmehr haben sich schon mehrere Fälle positiver Träger ergeben, welche außerordentlich kleine Ladungen — oder aber außerordentlich große Massen — derselben anzeigen.<sup>5)</sup> In einem dieser Fälle, bei metallhaltigen Flammen, ist besonders wahrscheinlich geworden, daß positive Träger, einmal gebildet, selber Emissionszentren negativer Quanten werden.<sup>6)</sup> Nähme man dies auch für die hier vor-

1) Vgl. O. E. Meyer, Gastheorie, Tabelle, p. 192. 1898.

2) Vgl. J. C. Maxwell, Phil. Mag. (4) 19. p. 29. 1860.

3) Vgl. O. E. Meyer, Gastheorie, p. 159. 1898.

4) Berücksichtigung der Absorption der Strahlen, welche bei dem geringen Drucke auf dem kleinen Wege nach den gefundenen Werten von  $a$  nur sehr gering ist, sowie tertiärer und weiterer Ausstrahlung würde an diesem Resultate nichts Wesentliches ändern.

5) Bei sehr kurzwelligem ultraviolettten Licht in Gasen vgl. P. Lenard, Ann. d. Phys. 3. p. 315. 1900; in Flammen vgl. P. Lenard, Ann. d. Phys. 9. p. 642. 1902; an Kanalstrahlen vgl. W. Wien, Ann. d. Phys. 9. p. 660. 1902; an Salzwasserfällen vgl. Kähler, Inaug.-Dissert., Kiel 1903.

6) P. Lenard, l. c. p. 648. 1902; vgl. auch Kähler, l. c.



handenen positiven Träger an, so wäre jene Schwierigkeit beseitigt. Die Annahme des Hinzutretens weiterer Trägererzeugungsprozesse zur sekundären Strahlung erscheint auch aus anderem Grunde notwendig, und zwar in steigendem Maße dann, wenn das Gas dichter wird. Der Elektrizitätstransport in dichteren Gasen als die hier benutzten kann nämlich in viel höher steigendem Maße anwachsen, als bei alleiniger Wirkung der Sekundärstrahlung zu erwarten wäre, wenn man die stärkere Absorption der Strahlen im dichteren Gase berücksichtigt.

85. Um zu erfahren, ob außer der durch den Phosphoreszenzschirm nachgewiesenen sekundären Strahlung auch noch Trägererzeugung durch Molekülsplaltung, etwa in elektrolytischem Sinne, in merklichem Betrage stattfindet, habe ich am bisher benutzten Apparate auch galvanometrische Messungen ausgeführt. Das mit  $U$  zu verbindende Galvanometer würde materielle Bruchstücke von Molekülen, welche freie Elektrizität tragen, in gleicher Weise registrieren wie Träger, die von sekundärer Ausstrahlung stammen; finden also beide Prozesse statt, so müßte das Galvanometer größere Werte für  $\sigma$  geben als der Phosphoreszenzschirm. Dies ist jedoch, wie man sehen wird, nicht der Fall.

Das Galvanometer wurde zwischen die ladende Akkumulatorenbatterie und  $U$  geschaltet, so daß es das gleiche Potential erhielt wie  $U$ ; es war dazu isoliert aufgestellt und hatte eine metallische Schutzhülle.  $E$  blieb mit der Erde verbunden. Die bei Belichtung von  $U$  eintretende elektrische Strömung wurde nicht direkt am Galvanometer beobachtet, sondern in sechs großen Leydener Flaschen aufgesammelt, deren Kapazität ebenfalls zwischen die Akkumulatorenbatterie und  $U$  geschaltet war. Die Verbindung zwischen  $U$  und dem Galvanometer wurde also während der Belichtung gelöst und erst nach Schluß derselben wieder hergestellt, worauf die gesamte von  $U$  verlorene negative Elektrizitätsmenge durch das Galvanometer strömte und durch dessen Ausschlag, der 10—30 Skt. betrug, meßbar wurde. Die Kapazität der Leydener Flaschen war groß genug, um das Potential von  $U$  durch die Belichtung selber, welche meist 10 Sek. währte, um nicht mehr als 0,5 Volt sinken zu lassen. Kontrollmessungen ergaben ge-

nügende Isolation und Rückstandsfreiheit der Leydener Flaschen und die Abwesenheit merklicher Elektrizitätsleitung im Gase ohne Belichtung von  $U$ .

Es wurden vergleichende Messungen bei gaserfülltem und gasfreiem Apparat angestellt. Mit den in (80) gebrauchten Bezeichnungen ist der Galvanometerausschlag, bezogen auf die Zeiteinheit der Belichtung, im gaserfüllten Raume

$$G'' = Q(1 + \sigma'')(1 + S'')$$

und im gasfreien Raume

$$G' = Q(1 + \sigma')(1 + S'),$$

wobei  $\sigma'' = \sigma' + \sigma$  und  $S'' = S' + S$ , wenn alle  $S$  die Zahl der Molekülsplattungen bedeuten, welche durch ein Strahlquantum zwischen  $U$  und  $E$  bewerkstelligt werden und die nicht akzentuierten Größen sich wieder auf das reine Gas beziehen. Der Quotient der beiden Ausschläge ist, in genügender Annäherung,  $G''/G' = 1 + \sigma + S$ .

Folgendes ist die Zusammenstellung der Resultate, geordnet nach zunehmender Dichte der vier Gase.<sup>1)</sup>

Tabelle XXVIII.

Gas	Druck	Werte von $\sigma + S$ für		
		$U = 4$ Volt	$U = 100$ Volt	$U = 2000$ Volt
	mm Hg			
Wasserstoff	0,025	0,0	0,1	0,1
Luft	0,015	0,0	0,4	0,4
Argon	0,03	0,0	0,2	0,4
Kohlensäure	0,02	0,0	0,3	0,6

Alle Werte  $\sigma + S$  sind Mittel aus 6—30 Einzelresultaten; dennoch entspricht die erreichte Genauigkeit nur den abgerundeten Zahlenangaben der Tabelle. Es liegt dies an der großen Inkonstanz des Zinkbogenlichtes, welches indessen, um

1) Bezüglich des Dampfresiduums im gasfreien Raume sei bemerkt, daß mit Berücksichtigung der im äußersten Vakuum gefundenen Konstanz der Ausstrahlung (4) und im Anschluß an früher mitgeteilte Beobachtungen (45, Tab. XX) aus den Galvanometerausschlägen  $G'$  sich herleiten ließ  $\sigma' + S' = 0,03$  für  $U = 100$  Volt und  $0,13$  für  $U = 2000$  Volt.

Vergleichbarkeit mit den photometrischen Messungen zu erhalten, beibehalten werden mußte.

Vergleicht man nun die photometrisch gewonnenen Werte  $\sigma \cdot k/l$ , Tab. XXVII, mit den galvanometrisch nahe beim selben Luftdruck gemessenen  $\sigma + S$ , so findet man unter Berücksichtigung der Größe von  $k/l$  (83), daß für  $S$  kein merklicher Raum bleibt. Dies bedeutet, daß die von  $U$  ausgehenden Elementarquanten auf ihrem Wege  $UE=0,4$  cm, längs welchem ihre Geschwindigkeit von nahe Null auf 2000 Volt ansteigt, zwar relativ sehr viele Trägerpaare im Gas erzeugen, daß dies jedoch entweder ausschließlich, oder aber doch sehr überwiegend durch den Prozeß sekundärer Strahlung geschieht, nicht durch Zerfall der Gasmoleküle in positiv und negativ geladene materielle Teile.

86. Über die Abhängigkeit der sekundären Strahlung von der Geschwindigkeit der primären kann die gegenwärtige Kenntnis wie folgt zusammengefaßt werden:

Ist die primäre Geschwindigkeit unter 11 Volt, so erfolgt keine merkliche sekundäre Strahlung (42).<sup>1)</sup> Von 11 Volt ab steigt die Zahl der sekundär ausgestrahlten Quanten plötzlich rasch an und zwar zuerst nahe proportional dem Geschwindigkeitsüberschuß über 11 Volt (42); später muß dies Ansteigen langsamer werden, denn Tab. XXVIII zeigt keine bez. keine bedeutende Zunahme von  $\sigma$  zwischen 100 und 2000 Volt. Für noch größere Primärgeschwindigkeiten wird nach Hrn. Duracks Beobachtungen<sup>2)</sup> wieder eine Abnahme der sekundären Strahlung anzunehmen sein. Die von ihm bei etwa 10 000 Volt Geschwindigkeit gefundene Trägerzahl, 0,4 für 1 cm Weg bei 1 mm Druck, kann dahin gedeutet werden, daß nur mehr jede fünfzigste Durchdringung eines Luftmoleküles von sekundärer Strahlung begleitet ist (vgl. 84).

Das Maximum der sekundären Strahlung ist nach Tab. XXVIII in der Nähe von 2000 Volt Geschwindigkeit zu suchen.

1) Aus Tab. XIX der früheren Mitteilung berechnet man, daß die Zahl der sekundären Quanten, welche durch ein primäres von der Geschwindigkeit 10 Volt auf dem Wege von 1 cm in Luft von 0,01 mm Druck in Freiheit gesetzt werden, entweder Null oder doch kleiner sei als 0,0001. Bei Geschwindigkeiten zwischen 100 und 2000 Volt ist diese Zahl nach Tab. XXVIII gleich 0,7.

2) J. J. E. Durack, l. c.

87. Es ist kein Grund anzunehmen, daß die sekundäre Strahlung auf den gasförmigen Aggregatzustand beschränkt sei; man wird sie auch in festen Körpern erwarten dürfen, wenn sie auch bei diesen nicht in gleich unmittelbarer Weise in die Erscheinung treten kann. Es kann bis auf weiteres kaum zweifelhaft scheinen, daß die von den Herren L. Austin und H. Starke entdeckte, von ihnen auch mit dem Namen sekundärer Emission bezeichnete Nebenerscheinung bei der Reflexion von Kathodenstrahlen an polierten Metallflächen<sup>1)</sup> hierher gehört. Die Umstände, daß große Dichte des Metalles und nicht allzu hohe Geschwindigkeit der auffallenden Strahlen dieser Erscheinung günstig sind, ebenso daß sie bei normaler Inzidenz fehlt, sprechen dafür (vgl. 71, Tab. XXVIII und Anmerkung 1 zu 76, p. 479). Ein Unterschied scheint allerdings insofern zu bestehen, als die Herren Austin und Starke die Geschwindigkeit der sekundären Strahlen an festen Körpern von gleicher Größenordnung finden wie die der primären. Bestätigt sich die Gleichartigkeit beider Erscheinungen, nämlich der an festen und der hier an gasförmigen Körpern beobachteten Sekundärstrahlung, so wären auch andere, an festen Körpern beobachtete und als Geschwindigkeitsverlust gedeutete Erscheinungen vielleicht teilweise sekundärer Strahlung zuzuschreiben. Ebenfalls in Zusammenhang mit Sekundärstrahlung in festen Körpern dürfte die kürzlich gefundene Tatsache sein, daß feste Isolatoren unter dem Einfluß von Kathodenstrahlen elektrisches Leitvermögen annehmen.<sup>2)</sup>

88. Eine besondere Frage ist es, ob auch bewegte materielle Elektrizitätsträger die Eigenschaft bewegter Quanten haben, neue Träger zu erzeugen. Auf diese Frage, welche vom vorliegenden nicht unmittelbar berührt wird, scheinen sich Unter-

---

1) L. Austin u. H. Starke, Verhandl. d. Deutsch. Physikal. Gesellschaft. 4. p. 106. 1902. — Dem Namen sekundärer Kathodenstrahlung begegnet man in der Literatur auch sonst noch; es handelt sich aber dabei teils um diffuse Reflexion von Kathodenstrahlen, teils um Erscheinungen in der Strombahn einer Entladung und es fehlt der Nachweis, daß 1. neue Strahlung hinzu gekommen sei und daß 2. dies durch ausschließliche Wirkung der ursprünglichen Strahlung geschehen sei.

2) A. Becker, Ann. d. Phys. 12. p. 124. 1903; H. Becquerel, Compt. rend. 136. p. 1173. 1903.

suchungen von Hrn. Townsend zu beziehen.<sup>1)</sup> Dieselben sind an verhältnismäßig dichten Gasen ausgeführt, und es erscheint schwer, die offenbar größere, daselbst in Betracht kommende Mannigfaltigkeit gleichzeitiger, noch unerforschter Vorgänge zu sondern, ehe wenigstens einige davon einzeln zur Beobachtung gebracht sind. Doch scheint der genannte Autor neuerdings zum Schlusse zu kommen, daß die ursprünglich vom belichteten Metall ausgestrahlte Elektrizität in den dichteren Gasen bald an materielle Gasteile gebunden wird, was aus der Größe der Absorption langsamer Kathodenstrahlen auch vorauszusehen war (9).

89. Über die im vorhergehenden wiederholt bemerkte zeitliche Änderung der lichtelektrischen Wirksamkeit des Rußes sei folgendes angemerkt. Frisch hergestellte Rußflächen waren immer am wirksamsten; im Verlaufe des ersten Tages erfolgte rasche, weiterhin dann langsame Abnahme der Wirksamkeit; Konstanz trat auch nach monatelangem Verweilen in dem hier benutzten Vakuum nicht ein. Es wurde in langen Zeiträumen Abnahme der Wirkung bis auf etwa  $\frac{1}{7}$  beobachtet. Wurde der volle Luftdruck für kurze Zeit zugelassen, und dann wieder evakuiert, so zeigte sich die Wirkung wieder erhöht. Dies deutet auf die Ausbildung von Doppelschichten an der Luft, die sich dann im Vakuum eine Zeitlang halten können.<sup>2)</sup> Die lange fortdauernde Abnahme im Vakuum läßt indessen außerdem Änderungen in der Kohle selbst vermuten, welche durch das Licht bewirkt zu werden scheinen; am Ende einer längeren Versuchsreihe fand sich ein Abbild des Netzes *E* auf der Rußfläche *U*, die Maschen des Netzes heller, die Drähte dunkler schattiert. Dies erinnert an frühere, analoge Beobachtungen über das „Zerstäuben der Körper im ultravioletten Lichte“. <sup>3)</sup>

Kiel, 18. Juni 1903.

1) S. P. Townsend, Phil. Mag. (6) 1. p. 198. 1901; 3. p. 557. 1902; 5. p. 389. 1903.

2) Die Mitwirkung solcher Doppelschichten bei allen lichtelektrischen Versuchen in freier Luft, worauf ich früher hingewiesen habe (47), ist inzwischen durch Versuche von Hrn. Th. Wulf (Ann. d. Phys. 9. p. 946. 1902) noch weiter wahrscheinlich gemacht.

3) P. Lenard u. M. Wolf, Wied. Ann. 37. p. 445. 1889.

(Eingegangen 28. Juni 1903.)



**2. Über die Kondensatorentladung in verzweigten Systemen bei Periodenzahlen  $10^{-7}$ — $10^{-8}$  und das dielektrische Verhalten einiger Flüssigkeiten in diesem Frequenzbereich; von Erich Marx.**

(Leipziger Habilitationsschrift.)

§ 1. Einleitung.

1. Die folgenden Versuche wurden veranlaßt durch die Fragestellung: Ist die Kapazität eines Flüssigkeitskondensators eine Funktion der Frequenz des Entladungsstromes, wenn die Periode desselben im Bereiche  $10^{-8}$  bis  $10^{-7}$  variiert wird? Nachdem Drude gezeigt hat, daß für den Bereich zehnmal kürzerer Wellen die Dielektrizitätskonstante einiger Flüssigkeiten sich mit der Frequenz ändert, erschien die Erscheinung auch für wesentlich längere Wellen möglich; denn „unendlich lang“ im Vergleich zu der wahrscheinlichen Eigenschwingungsdauer der Moleküle sind im Sinne der Dispersionstheorie auch Wellen von 0,5—1 m Länge.

Im folgenden soll eine solche Abhängigkeit des dielektrischen Verhaltens von der Frequenz, analog dem Gebrauche bei der Refraktion, als „Dispersion der Dielektrizitätskonstante“ bezeichnet werden.

2. Der Umstand, welcher mich zur Inaugriffnahme obiger Frage vor allem veranlaßte, ist der gewesen, zu untersuchen, ob gewisse Abweichungen der Messungen verschiedener Forscher, die ich seinerzeit mit eigenen Messungen zusammenstellte, wirklich vorhanden wären, oder aus einem Mangel an Einheitlichkeit der Methoden entsprangen.<sup>1)</sup>

Die Forderung, die deshalb zunächst an einen Apparat zur Beantwortung dieser Frage gestellt werden mußte, ist die einer großen Empfindlichkeit auf die *Änderung* der Periode eines Schwingungskreises; wir brauchten einen *relativ* empfind-

1) E. Marx, Wied. Ann. 66. p. 603. 1898.

lichen Apparat. Wieweit derselbe auch vorteilhaft zu absoluter Messung verwendbar ist, wird weiter unten (§ 5, 3) auseinandergesetzt.

## § 2. Grundlagen der Konstruktion.

### 1. Konstruktionsprinzip.

Das Prinzip, das der Konstruktion des Apparates zu Grunde liegt, beruht auf dem unterschiedlichen Verhalten des Ohmschen Widerstandes der metallischen Leiter und der elektrolitischen gegenüber rasch wechselnden Strömen, und der Möglichkeit, für eine Selbstinduktion einen äquivalenten Widerstand setzen zu können. Während ein Elektrolyt für Hertz'sche Wellen den gleichen Ohmschen Widerstand hat, wie für Gleichstrom, ist der Widerstand eines metallischen Leiters von der Periode des wechselnden Stromes abhängig. Schaltet man einen selbstinduktionslosen Elektrolyt parallel mit einer metallischen Selbstinduktion, so läßt sich zeigen, daß sich die Selbstinduktion wenig, der elektrolitische Widerstand gar nicht mit der Periode des Hochfrequenzstromes ändert; wohl aber ändert sich, wie theoretisch Stephan und Rayleigh zeigten, der Ohmsche Widerstand der Selbstinduktionsrolle, und noch weit mehr, und vor allem in Betracht kommend, die elektromotorische Gegenkraft derselben. Reguliert man nun den Widerstand des Elektrolyts so, daß in beiden Zweigen gleiche Stromstärke bez. gleiche Wärmewirkung herrscht, so ergibt eine sehr einfache Relation zwischen Elektrolyt-Widerstand, und der Selbstinduktion der Spule, den Wert der Periodenzahl des angewandten Hochfrequenzstromes, vorausgesetzt, daß dieser harmonisch verläuft.

Dieses Prinzip <sup>1)</sup> ist wohl zuerst von Rutherford <sup>2)</sup> benutzt worden, und hat auch kürzlich durch Mandelstam <sup>3)</sup> weitgehendere Verwendung gefunden.

1) Vgl. auch E. Marx, Leipz. Ber. d. K. S. Ges. 1901. p. 437. (Die Priorität Rutherfords ist hier leider übersehen, was dadurch verschuldet wurde, daß Rutherford die Methode mehr gelegentlich in seiner sonst so bekannt gewordenen Arbeit erwähnt.) Ferner ist hier die viel ältere Arbeit Feddersens, Pogg. Ann. 130. p. 439. 1867 zu erwähnen.

2) E. Rutherford, Phil. Trans. London A. 189. p. 24. 1897.

3) L. Mandelstam, Ann. d. Phys. 8. p. 123. 1902.

Bezeichnet  $w_2, w_1, L_2, L_1$  Widerstand und Selbstinduktion der Gabelung mit den Zweigen 1 und 2, in denen gleiche Stromstärke herrscht, so wird, wenn man die gegenseitige Induktion klein gegen die Selbstinduktion annimmt

$$(1) \quad \frac{2\pi}{T} = \sqrt{\frac{w_2^2 - w_1^2}{L_1^2 - L_2^2}}.$$

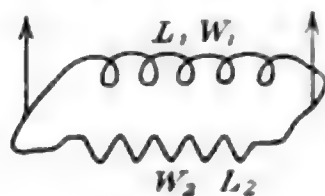


Fig. 1.

## 2. Voraussetzungen für die Verwendung des Prinzips.

Vorausgesetzt ist für die Gültigkeit des Formel (1), daß die Messung der Stromgleichheit so erfolgt, daß sie unabhängig ist vom zeitlichen Werte der Phase, und ferner, daß die Verteilung der Stromintensität quasistationär ist, daß also alle in Betracht kommenden Längen klein sind, gegen die halbe Wellenlänge der Schwingung.

Neben dieser Grundbedingung für die Verwendung der Formel ist die eventuelle Beeinflussung der Messung durch Eigenschwingungen in der Verzweigung zu beachten.

Die exakte Berechnung, wie die Konstanten der Anordnung gewählt werden müssen, damit diesen Voraussetzungen genügt wird, erfolgt in § 6.

## 3. Größte experimentelle Schwierigkeit.

Die größte Schwierigkeit für die Konstruktion des Apparates, die auch der direkten Benutzung des Apparates zur absoluten Messung der Größe der Schwingungszahl in großen Intervallen ein Hindernis ist, beruht in folgendem. Hat man etwa für Perioden der Größenordnung  $10^{-7}$ , die Änderung des äquivalenten Widerstandes, proportional mit der Abnahme der Periode wachsend, gefunden, so erhält man bei weiterer Verkürzung der Wellenlänge nicht nur keine Proportionalität, sondern sogar das umgekehrte Verhalten des Widerstandes. Ein Beispiel wird dies erläutern.

Wurde die Verzweigung von einem Wechselstrom von  $\lambda/2 = 1066$  cm durchflossen, so ergab die Einstellung am Flüssigkeitswiderstand auf weniger als 1 Proz. den richtigen Wert, und hatte ihn auch für längere Wellen ergeben. Wurde aber  $\lambda/2 = 500$  cm, so erhielt ich angenähert den gleichen Wider-

stand, wie bei 1066 cm, während er doppelt so groß zu erwarten war.

Diese Erscheinung trat dann auf, wenn die Zuführungsdrähte vom Primärsystem zum Apparat, Drähte ohne weitere Einschaltung waren. Da bei kurzen elektrischen Wellen die Amplituden im allgemeinen weniger groß als bei langen Wellen sind, so glaubte ich, daß die langsame Induktorschwingung sich um so mehr störend geltend mache, je kürzer die Wellen wurden. War dies richtig, so mußte eine Sperrung des Apparates für lange Wellen wieder ein normales Wachsen des Elektrolytwiderstandes mit abnehmender Schwingungsdauer ergeben. Dies trat auch ein; wurden kleine Kondensatoren in die Zuleitungsdrähte eingeschaltet, so erhielt ich in der Gabelung wieder normales Wachsen des Elektrolytwiderstandes.

Eine mehr quantitative Behandlung der Wirkungsweise dieser Kondensatoren ist im theoretischen Teil § 6 gegeben.

Neben der Induktorschwingung mögen vielleicht andere Ursachen in derselben Richtung wirken; so nach der Ansicht Mandelstams<sup>1)</sup> die Kapazität der Spule, die sich nach ihm wie eine Parallelschaltung eines kleinen Kondensators zur Selbstinduktion verhalten soll, und sonach für kurze Wellen kleinen Widerstand bietet; auch kann starke Dämpfung der Primärwelle in gleicher Richtung sich geltend machen, wie weiter unten (§ 6) gezeigt ist. Diese Einflüsse scheinen mir aber von zweiter Ordnung zu sein.

Die Wirkung des Einschaltens der Kondensatoren in die Zuleitung zur Gabelung bewirkte, daß der äquivalente Widerstand im Bereiche von  $\lambda = 1000$  cm bis  $\lambda = 5000$  cm fortgesetzt stieg. Freilich erhält man in diesem Bereich nahe dem Ende der kurzen Wellen den äquivalenten Widerstand etwas zu groß, nahe dem anderen etwas zu klein (vgl. § 5). Ersteres resultiert vielleicht aus der nicht mehr genügten Bedingung der quasi-stationären Verteilung im Apparat selbst (§ 2, 2); die Störung am anderen Ende wohl daraus, daß für so lange Wellen die Kondensatoren zu klein werden. Durch andere Vorschaltkondensatoren läßt sich das Genauigkeitsgebiet verschieben (vgl. § 5). Daß übrigens bei Veränderung der Wellenlänge

1) L. Mandelstam, l. c.

in weiten Grenzen auf eine zweite Abänderung im Apparat das Augenmerk gerichtet werden muß, wird weiter unten auseinandergesetzt.

Hier sei ausdrücklich bemerkt, daß diese Schwierigkeiten in der Handhabe, sowie die Fehlerquellen sich zum großen Teil bei Verwendung des Apparates in der *Substitutionsmethode* eliminieren, wie sie weiter unten beschrieben ist, und zur Beantwortung der Fragestellung des § 1 allein verwandt wurde.

Hiermit sind die wesentlichsten Gesichtspunkte, welche sich für die Konstruktion des Apparates ergaben, angegeben. Die Anbringung sonstiger Kapazität oder Selbstinduktion im Meßapparat geschah nicht aus prinzipiellen, sondern mehr technisch sich ergebenden Gründen; hierauf soll deshalb im § 3, welcher die technische Ausführung behandelt, eingegangen werden.

### § 3. Ausführung des Apparates, Dimensionen und Konstanten.

1. Nach den Ausführungen des § 2 ergab sich folgendes *Schaltungsschema* des Apparates (Fig. 2).

$W$ ,  $L$  sind die in Parallelschaltung liegende Selbstinduktion und der elektrolytische Widerstand; beide sind getrennt durch einen Stanniol-Paraffinblattkondensator  $c''$  (Grund der Anbringung

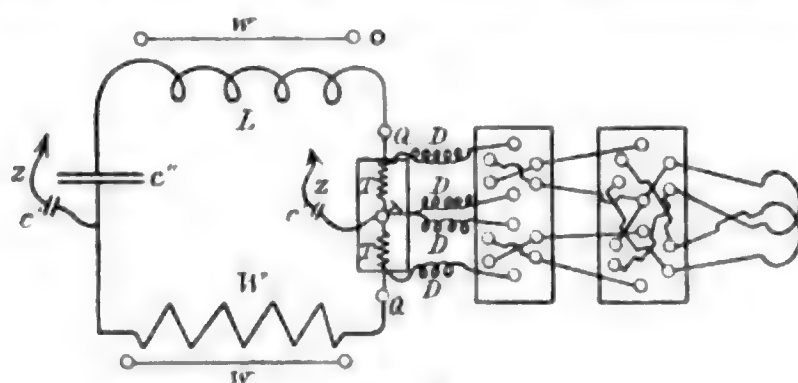


Fig. 2.

§ 3, 2 b)  $Q$  sind zwei Quecksilbernäpfe, in welche die äußeren Enden zweier hintereinander geschalteter Thermoelemente  $T$  hineinragen. Diese Thermoelemente sind in einem Kästchen (Fig. 4) angebracht, das sich bei  $G$  um  $180^\circ$  drehen läßt, wodurch die Pole bei  $Q$  vertauscht werden.  $c'$  sind die oben erwähnten kleinen Kondensatoren, welche in die Zuführungs-



drähte  $z$  eingeschaltet sind. Diese  $z$  enden einmal zwischen  $W$  und  $L$  und zweitens zwischen den Thermoelementen. Der Kondensator  $c''$  ist veränderlich und kann zu  $W$  oder zu  $L$  zugeschaltet werden. Jedes dieser beiden  $T$  besteht aus vier Elementen.

Die vier Pole der zwei Elemente führen durch vier Selbstinduktionsrollen (Drosselspulen)  $D$  und zwei Umschalter zum Galvanometer. Die Umschalter ermöglichen die Vertauschung der Pole der Thermoelemente und der beiden Seiten des Differentialgalvanometers. Dieses ist so geschaltet, daß die zwei Vorderrollen mit dem einen, die beiden Hinterrollen mit dem anderen Element verbunden sind.

2. In folgendem werden Dimensionen und Konstanten der einzelnen Teile angegeben. Bei ihrer Bemessung kam zunächst in Betracht, daß die quasistationäre Bedingung (§ 2, 2) auch bei den kürzesten in Verwendung kommenden Wellen möglichst gewahrt ist.

a) Die *Selbstinduktionsrolle* ist aus blankem Cu-Draht von 3,3 mm Dicke; sie ist 11 cm lang und hat 20 Windungen, von 3 cm mittlerem Durchmesser. Der Selbstinduktionskoeffizient für sehr schnelle Schwingungen für eine solche Spule ist 2836,7 cm.<sup>1)</sup> Diese Spule ist ohne Kern und Isolation auf zwei 7 cm hohen Ebonitsäulen befestigt. An beiden Enden sind Klemmschrauben angebracht.

b) Der *Widerstand* (Fig. 3) besteht aus Silberelektroden in Silbercyankalilösung. Ich hatte zunächst ohne den Kondensator  $c''$  (vgl. Fig. 2) gearbeitet, und war wegen der, in direktem Nebenschlusse liegenden, sehr empfindlichen Galvanometer genötigt, ein Minimum von elektromotorischer Kraft im Apparate zu belassen. Deshalb wurden die Silberelektroden in Silbercyankalilösung genommen, und später, als ich mich durch Einschaltung eines Kondensators von der elektromotorischen Kraft im Apparat unabhängig machte (vgl. § 3, 2 c), beibehalten. Zn-Elektroden in  $\text{ZnSO}_4$  sind auch dann, wenn man reines Zn, das man in  $\text{ZnSO}_4$  abkocht (du Bois-Reymond), verwendet, vollständig unbrauchbar, wenn es sich darum handelt, möglichst geringe elektromotorische Kraft im Stromkreise zu haben. —

1) Vgl. M. Wien, Wied. Ann. 53. p. 943. 1894.

Für die schließlich gewählte Anordnung mit Kondensator  $c''$  (Fig. 2) erscheint übrigens ein Flüssigkeitswiderstand ohne Temperaturkoeffizient empfehlenswerter.

Die Konstruktion des Widerstandes ist aus Fig. 3 ersichtlich. Sie wurde bestimmt durch die Forderung, den Widerstand so einzurichten, daß auch bei geringem Widerstand die Kapazität (Kondensatorwirkung) der beiden Elektroden möglichst klein bleibt. Dies ist notwendig. Würde man nämlich einen Widerstand von 150 Ohm einstellen, und die Möglichkeit behalten wollen, am selben Widerstand auch noch das Zehnfache abzulesen, so müßte man bei verschiebbaren Elektroden den Widerstand sehr lang nehmen, denn andernfalls würde bei Einstellung auf geringen Widerstand sich Kondensatorwirkung geltend machen. Hierdurch würde einmal eine teilweise Elimination der parallelen Selbstinduktionsspule auftreten, andererseits würde die Widerstandsmessung mit langsamen Schwingungen nicht mehr den wirklich bei schnellen Schwingungen in Betracht kommenden Wert ergeben, da alsdann sich der bei Vorhandensein von Kapazität in Betracht kommende Widerstand  $w'$  aus der Formel

$$\frac{1}{w'} = \sqrt{\frac{1}{w^2} + (c'n)^2}$$

ergibt.

Bei der Substitutionsmethode kommen diese Fehlerquellen wenig in Betracht, wohl aber bei Verwendung des Apparates zur direkten Periodenmessung.

Diese Kondensatorwirkung der Elektroden ist bei dem in Verwendung gelangten Widerstand möglichst vermieden. In

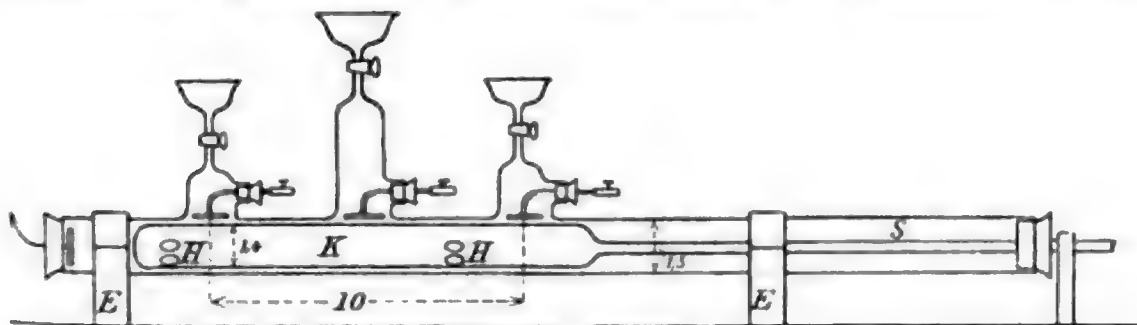


Fig. 3.

Fig. 3 sind die Maße in Centimetern angegeben. Der Kolben  $K$ , aus Glas, reguliert beim Verschieben den Widerstand zwischen der vertikalen Elektrode und einer der drei anderen. Dieser

Kolben ist mit vier Löchern *H* versehen; in diese sind Gummistopfen hineingepreßt und so beschnitten, daß beim Verschieben des Kolbens der Gummi stets am Glase anliegt, so daß der Kolben nicht wackeln kann. Hinter dem Verschlußstopfen des Rohres läßt sich eine Marke anbringen, an welcher der geteilte Stiel *S* vorbeigeht. Das Ganze ruht auf Ebonitlagern *E*.

c) *Der Kondensator c''* (Fig. 2) besteht aus paraffiniertem Schreibpapier und Stanniol. Der Zweck seiner Einschaltung ist der folgende. Die Thermoelemente liegen direkt im Stromkreis, die Pole der Galvanometerseiten also im Nebenschluß des Kreises. Eine elektromotorische Kraft von  $10^{-8}$  Volt, die an den Polen liegt, gibt bereits einen merklichen Ausschlag. Auch bei Silberelektroden in Silbercyankali sind Potentialdifferenzen dieser Größe vorhanden, wohl durch Konzentrationsdifferenzen etc. Deshalb ist der Kondensator eingeschaltet. Bei seiner Einschaltung muß (bei direkter Anwendung des Apparates) seine Größe so variiert werden, daß die Einstellung dieselbe bleibt, ob ich ihn dem Widerstand oder der Selbstinduktion zuschalte. — Man findet übrigens bald die richtige Größe. — Wenn der Kondensator groß genug ist, so wird er ohne merkliche Beeinflussung der Einstellung die Schwingung hindurchlassen. Eine ungefähre Angabe dürfte hier genügen. Etwa 8 Blatt ( $3\text{ cm}^2$ ) Stanniol, je 4 || geschaltet, zwischen paraffiniertem Schreibpapier zusammengeplättet, zeigten sich bei diesen Versuchen als ausreichend. Zum Zwecke der Prüfung, ob der Kondensator die Einstellung beeinflusst, empfiehlt es sich, auf dem Apparatbrett neben Elektrolyt- und Standartselbstinduktion je einen Widerstand aus 0,02 mm Konstantandraht, den man etwa auf einem Ebonitstreifen im Zickzack führt, anzubringen (Fig. 2). Ersetzt man Elektrolyt und Selbstinduktion durch solche Widerstände, so läßt sich die Größe des Kondensators sehr bequem so regulieren, daß er der Forderung entspricht, bei Schaltung auf die eine oder die andere Seite auf die Einstellung bei Messung einer bestimmten Periode ohne Einfluß zu sein. Es sei bemerkt, daß zwei solche Widerstände unter Umständen auch sehr bequem sind, die Gleichheit der Thermoelemente zu prüfen, da es manchmal vorteilhaft ist, sie nicht durch Drehung um  $180^\circ$  (§ 3, 2a) zu vertauschen.

Auf die Seite der Selbstinduktion geschaltet, liefert der Kondensator auch noch eine größere Sicherheit, Eigenschwingungen auf dieser Seite zu vermeiden (vgl. 4 dieses Paragraphen).

d) *Die Thermoelemente* bestehen aus Eisen-Konstantandraht von 0,02 mm Dicke (Draht von Hartmann & Braun). Fig. 4 zeigt ihre Montierung. Die schraffierten Schmalseiten charakterisieren das Material als Ebonit. Es sind je vier Elemente in Serie geschaltet, um eine größere Empfindlichkeit zu erzielen. Die dritte, fünfte, siebente, neunte Lötstelle mußte, um diese Forderung zu erfüllen, der Erwärmung durch den

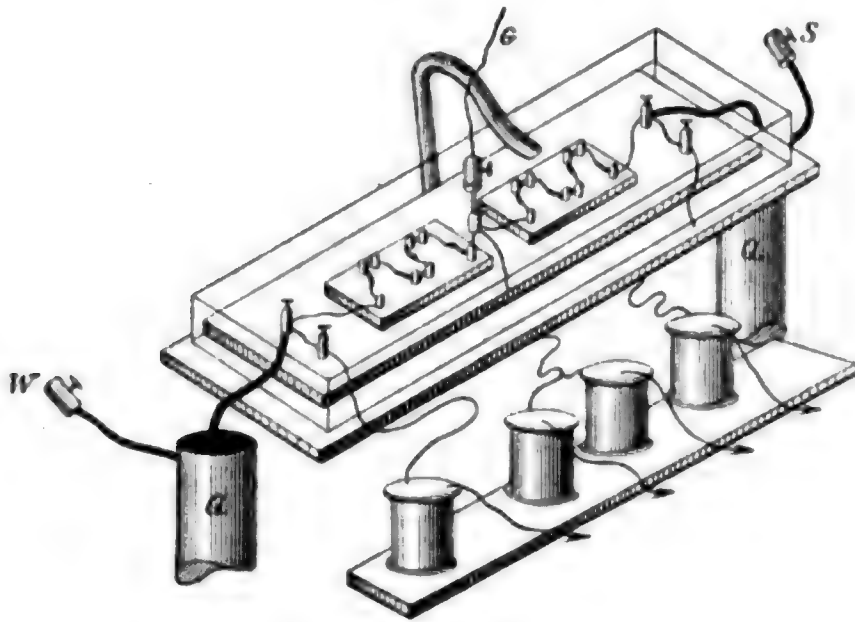


Fig. 4.

Strom möglichst entzogen werden. Dies geschah dadurch, daß diese Lötstellen an Metallstäbchen sich befinden, welche dick mit Lot versehen sind, während die geradzahligen Stellen ein Minimum von Lot erhalten. Die Joulesche Wärme wird demnach wesentlich an diesen letzteren Stellen Temperaturerhöhungen bewirken. Die Elemente sind durch ein Glaskästchen geschützt. Die ganze Montierung läßt sich aus den Hg-Näpfen  $Q$  herausheben, und um  $180^\circ$  drehen, so daß die äußeren Pole vertauscht werden. Bei  $G$  erfolgt die Zuführung  $z$  der Fig. 2. Vier Drosselspulen sind in die Galvanometerleitung, welche durch Pfeile gekennzeichnet ist, eingeschaltet. Natürlich ist der Widerstand dieser Thermoelemente nicht zu vernachlässigen. Auf seine Bestimmung kommen wir unter 3. zu sprechen. — Bei  $S$  ist die Standartselbstinduktion, bei  $W$  der Elektrolyt-

widerstand angeschlossen. Die Länge eines einzelnen Elementes ist etwa 1 cm.

3. *Konstanten der Apparateile.* Nach Formel (1) ist die Periode

$$T = \frac{2\pi L}{\sqrt{w_0^2 - w_1^2}}.$$

Hier ist  $L$  die Größe der Standartselbstinduktion,  $w_0$  der selbstinduktionslose Widerstand, der für die Periode  $T$  eingestellt ist;  $w_1$  ist der Widerstand des Zweiges mit der Standartrolle.

a) Die Länge des Cu-Drahtes, welcher die Rolle bildet, beträgt 260 cm. Die kürzesten verwendeten  $\lambda/2$  sind 550 cm, wie weit bei so kurzen Wellen die oben (§ 2, 3) erwähnte quasistationäre Bedingung im Apparat selbst als annähernd erfüllt betrachtet werden darf, kann nur das Experiment entscheiden.

b) Der Widerstand eines Cu-Drahtes von 260 cm Länge und 3,3 cm Durchmesser für Schwingungen der hier benutzten Größenordnung bleibt unter 0,2 Ohm, berechnet nach Stefans Formel

$$w' = w \left( \pi R \sqrt{\frac{\mu \sigma}{T}} + \frac{1}{4} \right).$$

Während dieser Widerstand stets gegen den des Elektrolyten zu vernachlässigen ist, ist es der der Thermoelemente nicht. Er mußte also gemessen werden, und zwar mit Hochfrequenzströmen der hier in Betracht kommenden Frequenz, da er ja sehr beträchtlich von dieser abhängt.

c) *Der Widerstand der Thermoelemente.* Es wurde auf der einen Seite die Selbstinduktion durch einen ausgespannten Konstantendraht von 0,02 mm Dicke ersetzt. Der äquivalente Widerstand am Elektrolyt ergab 381,9 Ohm. Jetzt wurde auf der Seite des Drahtes das Thermoelement zugeschaltet, und wieder der Elektrolyt eingestellt. Die Einstellung ergab 402 Ohm. Es ist also 20 Ohm der Widerstand des Thermoelementes für die hier in Betracht kommenden Frequenzen.

Es sei erwähnt, daß man hier auch so verfahren kann, daß man

1. auf der einen Seite die Standartspule  $L$  und das Meßthermoelement mit dem Widerstand  $x$  und der Selbstinduktion  $y$



hat, auf der anderen Seite ein gleiches Thermoelement und den Elektrolyt. Alsdann ist

$$(1) \quad \frac{T}{2\pi} = \sqrt{\frac{(L+y)^2 - y^2}{(W_1+x)^2 - (x+y)^2}};$$

2. wird ein, dem zu messenden Thermoelement gleichlanger, *bifilar* gelegter Eisen-Konstantandraht zugeschaltet, und es ergibt sich am Elektrolyt  $W_2$ , dann ist

$$(2) \quad \frac{T}{2\pi} = \sqrt{\frac{(L+y)^2 - y^2}{(W_2+x)^2 - (2x+y)^2}};$$

3. wird das zu untersuchende Thermoelement *nicht bifilar* zugeschaltet, es ergibt sich  $W_3$ , so daß

$$(3) \quad \frac{T}{2\pi} = \sqrt{\frac{(L+2y)^2 - y^2}{(W_3+x)^2 - (2x+y)^2}}.$$

Es läßt sich also  $x$ ,  $y$ ,  $L$  bestimmen. — In praxi war bei den in Verwendung kommenden Thermoelementen  $W_2$  und  $W_3$  so nahe gleich, daß die Abweichungen innerhalb der Fehlergrenze lagen.

4. Die *Zuführungsdrähte* bestehen aus Konstantandraht. Die in diese eingeschalteten Kondensatoren sind aus kleinen Cu-Bleichen von etwa  $\frac{3}{4}$  cm<sup>2</sup> Fläche und paraffiniertem Schreibpapier als Dielektrikum, hergestellt. Die Drähte selbst sind durch Stücke selbstinduktionslosen Widerstandes unterbrochen. Der Widerstand der Konstantandrähte für sich beträgt für Gleichstrom etwa 300 Ohm. Für die Frequenzen des Primärsystems ist der Widerstand natürlich beträchtlich höher.

#### § 4. Das Primärsystem.

1. Fig. 8 stellt das System ohne den angehängten Kondensator dar. Hierbei sind der Deutlichkeit halber einzelne Teile unverhältnismäßig groß gezeichnet, wie dies aus den beigeschriebenen Maßzahlen hervorgeht.<sup>1)</sup> Als Schließungskreise

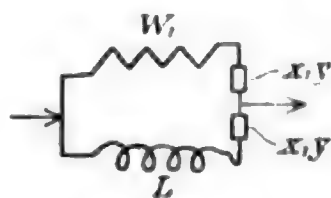


Fig. 5.

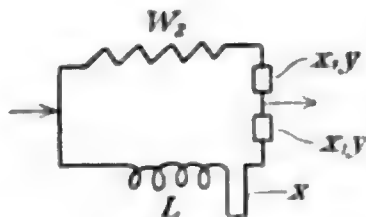


Fig. 6.

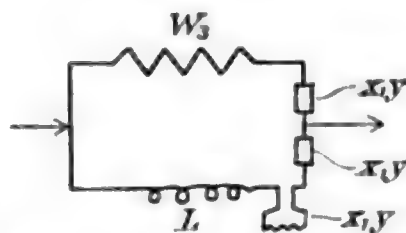


Fig. 7.

1) M. Wien, Wied. Ann. 53. p. 939. 1894.

wurden Rechtecke verwendet, welche an den Ecken hart gelötet sind, um Fehler, welche aus unscharfen Ecken resultieren, zu vermeiden. Die eine Seite der Rechtecke war stets 25 cm. Die Variierung der Periode des Erregers geschieht durch Änderung der Länge des Rechtecks. In die Mitte beider 25 cm-Seiten ist, wie aus der Figur ersichtlich, die Erregerfunkenstrecke und das Ansatzstück für den Kondensator eingeschaltet. *R* sind kleine Rohrstückchen, *S* kleine Stücke Leitungsschnur. An dem vorderen Ansatzstück angebrachte

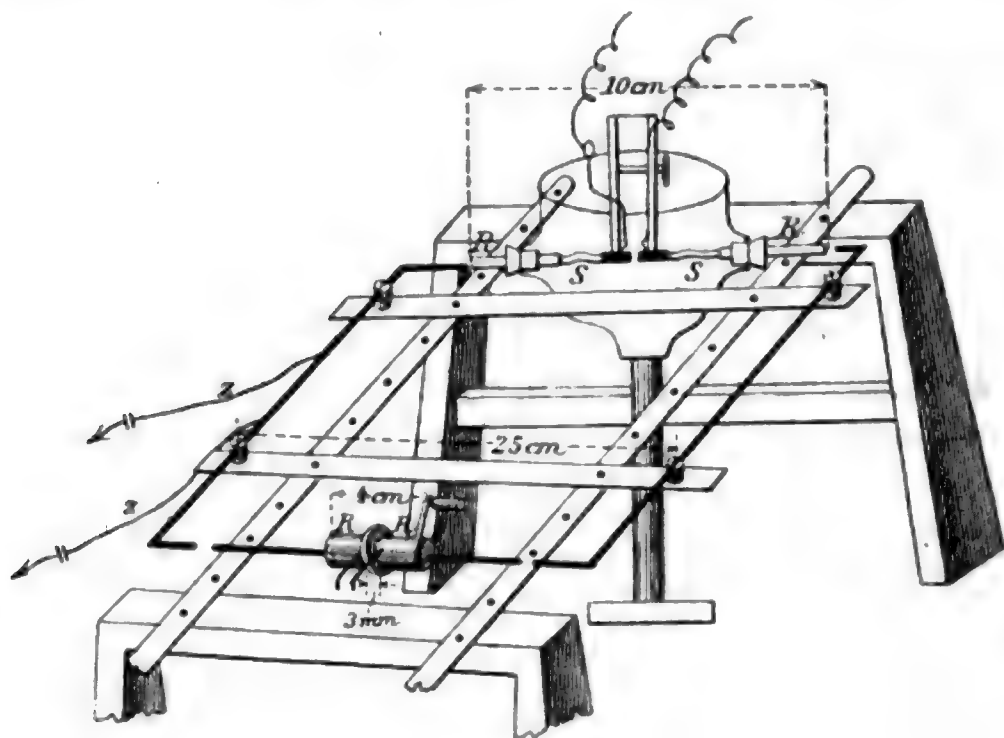


Fig. 8.

Röhrchen tragen zwei Haken aus Cu-Draht; eine kleine Ebonitscheibe verhindert, daß die Entladung hier übergeht. Die Funkenstrecke spielt in Petroleum. Die schraffierten Teile sind Ebonit. In den langen Holzstreben sind Löcher, die kürzeren haben Stifte, welche hineinpassen. Das übrige läßt die Zeichnung erkennen.

2. a) Der *Luftkondensator* besteht aus den zwei Platten eines Kohlrauschschen Kondensators (Fig. 9) von 15,09 cm Durchmesser und 0,4 cm Dicke. Die Montierung geschieht so: In ein Glasgefäß wird ein Dreifuß aus Glasstäben eingekittet. Das Zentrum des Dreifußes hat einen Glasring. In den Ring ist die untere Platte mit Siegellack eingekittet. Um

die konstante Entfernung der oberen Platte zu erreichen, werden drei Glasstückchen, deren Dicke, mit einem Wildschen Sphärometer bis auf die dritte Dezimale des Millimeters ausgemessen, sich gleich ergab, auf die Platte gelegt, und die zweite Platte daraufgelegt. Das in drei Kerben aufliegende Glasgestell wird übergestülpt und wiederum Siegellack in den Ring gegossen. Ist dieser erkaltet, so wird das feste Einliegen der Glasstäbe und das völlige Aufliegen der Platte auf dem Spiegelglas revidiert. Ist nirgends mehr zwischen den Glasstückchen, welche nacheinander entfernt und verschoben werden, Luft (Spiegelbild in der Kondensatorplatte), und die Stäbe liegen stets fest auf, so ist der Abstand der Platten gleich der Dicke des Spiegelglases. Diese Montierung ist sehr einfach und genau, und läßt sich leicht jedesmal revidieren. Die Glasstücke dürfen wegen der auftretenden Gleitfunken nicht zwischen den Platten bleiben; Ebonithalter, welche ich zunächst verwandte, änderten sich fortgesetzt ganz unregelmäßig. Die Zuführung des Stromes geschieht durch die in der Figur gekennzeichneten Drähte mit Hg-Näpfchen.

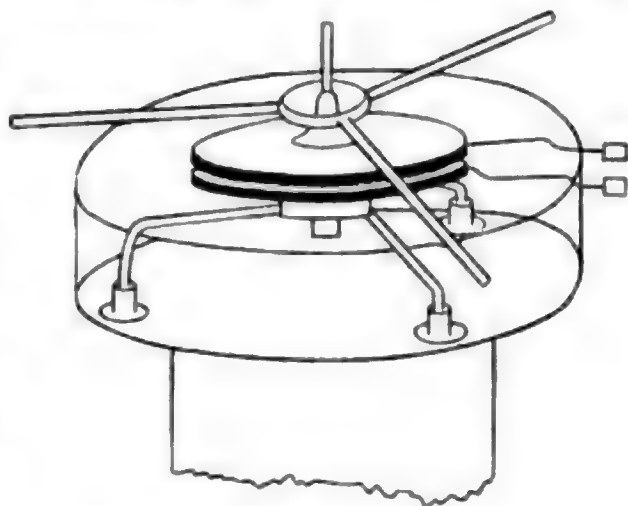


Fig. 9.

b) Als *Flüssigkeitskondensator* für die Messungen wurde bei kleiner Dielektrizitätskonstante ein Glasgefäß benutzt, dessen Schnitt in Fig. 10 dargestellt ist.

Drei Halter *H* aus Messing mit aufgeschnittenem Gewinde halten eine Glasplatte, in deren Mitte die untere Kondensatorplatte geschraubt ist. Die obere ist auf eine Mikrometerschraube aufgeschraubt. Diese ist im Deckel

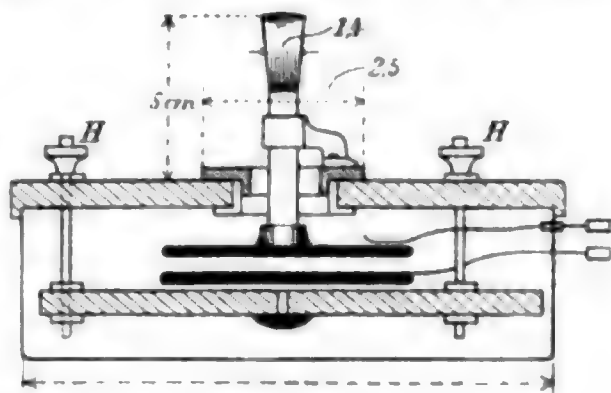


Fig. 10.

gelagert (in der Figur zu groß gezeichnet, der Deutlichkeit wegen). Die Einstellung geschieht zunächst wieder mit ausgemessenen Glasstücken, welche auf die untere Platte gelegt

werden; alsdann werden die drei Schrauben  $H$  so reguliert, daß die obere Platte gerade überall die Glasstückchen berührt. Will man jetzt versuchen die Mikrometerschraube hinaufzudrehen, so geht dies nicht wegen der Reibung. Man hält deshalb die obere Platte fest und dreht die Mikrometerschraube aus der Plattenmutter heraus. Alsdann entfernt man die Glasstückchen und schraubt die Platte wieder auf die Mikrometerschraube. Die Mikrometereinstellung vor dem Abschrauben entspricht alsdann der Dicke des Spiegelglases. Ist die Einstellung geschehen, so wird der Deckel in das Gefäß gesetzt und an dem Kondensator werden die Stromzuführungen angebracht.

c) Für die Messungen mit Wasser wurden Platten und Trog wesentlich kleiner genommen, und die Streben  $H$  aus Glas mit aufgekitteten Messingstücken mit Gewinde an den Enden.

3. *Die Bestimmung der Kapazität der Kondensatoren* geschah nach der Stimmgabelmethode, und zwar nach Cohn-Heerwagen<sup>1)</sup> unter Mitberücksichtigung der Kraftlinien, die in den Raum hinausgehen.

*Die Kirchhoffsche Formel* ist unter anderem unter der Voraussetzung abgeleitet, daß von der inneren Seite der Platte keine Kraftlinien in den Raum hinausgehen. Dies ist nur der Fall, wenn der Abstand klein gegen den Plattendurchmesser ist. Wir haben Platten von 15,09 cm Durchmesser bei einem Abstand von 0,3 cm verwendet. Der Abstand konnte nicht gut kleiner genommen werden, weil sonst leicht Funken im Kondensator überschlügen.

Es war deshalb fraglich, ob hier die Kirchhoffsche Formel noch gilt.

Der Kondensator wird nach Cohn-Heerwagen ad 1) so geschaltet, daß ein Pol einer Hochspannungsbatterie, einer des Galvanometers und eine Platte geerdet sind, die andere Platte in Stimmgabelintervallen durch die Batterie geladen und gleich darauf durch das Galvanometer entladen wird. Aus dieser Bestimmung erhält man einen Wert  $\beta$  aus dem Galvanometerausschlag. ad 2) werden die Kondensatorplatten unter sich

1) E. Cohn u. F. Heerwagen, Wied. Ann. 43. p. 354. 1891.

verbunden, und die Erdleitung der einen Platte wird aufgehoben; dies ergibt einen Wert  $2(\beta - \gamma)$ . ad 3) wird der Kondensator entfernt, und ohne ihn der Ausschlag für die Galvanometerleitung bestimmt. Dies ergibt einen Wert  $z$ , der in Abzug zu bringen ist.

Aus der Schwingungszahl der Gabel und der Galvanometerempfindlichkeit und der Spannung der Batterie ergibt sich alsdann die Kapazität des Systems gleich  $\beta + \gamma/2$ .

Vielleicht ist es manchem erwünscht, wenn ich eine Fehlerquelle, die mich zunächst störte, angebe. Läßt man die Stimmgabel ohne elektromotorische Kraft schwingen, so erhielt ich bei meinem Galvanometer von kleinem Widerstand und bei den verwendeten Hg-Kontakten stets Ausschläge, deren Vorzeichen und Größe mit berücksichtigt werden muß. — Das Ergebnis für den 2 mm- und 3 mm-Kondensator ist folgendes.

Platten- abstand	Empfind- lichkeit des Galvano- meters	Stimm- gabelschw. pro Sec.	E.M.K.	$(\beta - z)''$	$2(\beta - \gamma) - z''$	beob. $\frac{\beta + \gamma}{2}$ cm	ber. nach Kirchhoff
2 mm	$7,2 \cdot 10^{-9}$	96,74	51,4	59,9''	4,85''	76,51	76,22
2 „	$3,58 \cdot 10^{-9}$	96,74	61,1	143,6	9,7	76,92	76,22
	Amp. = 1 Skt. komm.						
3 mm	$1,47 \cdot 10^{-9}$	96,74	60,5	237,9	21,4	52,67	52,07
3 „	$1,30_4 \cdot 10^{-9}$	96,74	61,0	251,2	20,26	52,36	52,07

Die Kirchhoffsche Formel ist also sehr nahe erfüllt, auch noch bei 15 cm Durchmesser und 3 mm Abstand.

Der große Flüssigkeitskondensator hatte etwas größere Kapazität als der Luftkondensator; hierauf ist weiter unten näher eingegangen.

Der kleine Flüssigkeitskondensator besteht aus Platten von 2,9 cm Durchmesser und 0,2 cm Dicke. An der oberen Platte ist das Mikrometer angeschraubt, die untere ist auf einer Ebonitsäule montiert. Bei der Messung der Kapazität dieses Kondensators wurde als Kontrolle vor- und nachher der



Luftkondensator gemessen, und nur dann die Messung berücksichtigt, wenn die Kontrolle zeigte, daß alles in Ordnung war. Freilich mußte bei der Messung des kleinen Kondensators die Empfindlichkeit des Galvanometers zehnmal größer sein, als bei den Kontrollmessungen, wodurch der Genauigkeitsvergleich erschwert ist.

Für die beigefügten Entfernungen erhielt ich folgende Werte, die später von Interesse sind.

Plattenabstand	Kapazität = $\frac{\beta + \gamma}{2} + a'$
7,5 mm	2,08 cm
10,5 „	2,05 „
13,5 „	1,98 „

Die  $\beta$  und  $\gamma$  haben gleiche Bedeutung wie früher; das  $a'$  soll die Kapazität des Mikrometerstückes bezeichnen, das hier bei der Messung nicht entfernt werden konnte. Diese Messungen sind absolut genommen weniger genau als die obigen; relativ zueinander wohl von gleicher Genauigkeit. Als Grundlage einer Schätzung und qualitativ-quantitativ läßt sich auch ihre, hier bestimmte absolute Größe verwenden.

## § 5. Messungen.

### 1. Methode und Fehlerquellen.

Nach den Ausführungen des § 2 ist der angewendete Apparat im wesentlichen dazu bestimmt, *Änderungen* der Periode eines Schwingungskreises anzuzeigen. Lasse ich die Selbstinduktion des Kreises unverändert, und ersetze ich das Dielektrikum des Kondensators (Luft) durch ein anderes, so ändert sich die Periode des Entladungskreises, bis die Änderung kompensiert ist, etwa dadurch, daß man die Plattenentfernung verändert. Durch eine derartige Substitutionsmethode ist man in die Lage versetzt auch dann noch mit einem Apparat zuverlässige Werte zu erhalten, wenn der Apparat, direkt benutzt, fehlerhafte Werte ergibt, *vorausgesetzt*, daß die *Einstellung des Apparates eindeutig und empfindlich ist*,

und daß man sich überzeugen kann, daß durch die Substitutionsmethode die Störung eliminiert ist, die bei direkter Schaltung die Werte beeinflußt.

Bei einer solchen Substitutionsmethode genügt es im allgemeinen nicht, sich etwa dadurch der Realität der beobachteten Verschiedenheit einer Kondensatoreinstellung zu vergewissern, daß man das Dielektrikum, das etwa ein anomales Verhalten bei variiertem Periode zeigt, durch ein anderes ersetzt von gleicher dielektrischer Größe, und nun dieses *ceteris paribus* untersucht.

Selbst dann, wenn das zweite Dielektrikum sich normal verhält, und die Abweichungen des ersten nicht zeigt, können die Abweichungen im ersten Falle durch Störungen verursacht sein.

Wenn nämlich die Strahlung des Erregers im Falle 1 und 2 trotz gleicher dielektrischer Konstante nicht von gleicher Intensität ist, oder wenn etwa bei 1 trotz gleicher Dielektrizitätskonstante das Dämpfungsdekrement wesentlich größer als bei 2 ist, so können hierdurch bei Außerachtlassung gewisser Vorsichtsmaßregeln Einstellungsverschiedenheiten hervorgerufen werden, welche nicht der veränderten Dielektrizitätskonstante, sondern Nebenumständen zuzuschreiben sind.

## 2. Vorsichtsmaßregeln.

Die theoretische Untersuchung dieser Fehlerquellen ist in § 6 enthalten; hier sei nur bemerkt, daß man zur Erzielung sicherer Resultate vor allem darauf achten muß, daß das *Dämpfungsdekrement der Primärschwingung und die Strahlungsintensität des Erregers möglichst klein und konstant gehalten werden*, daß das Auftreten von Eigenschwingungen im Apparat durch die geeignete Wahl der kritischen Konstanten des Nebenkreises vermieden ist, und die Thermoelemente vor einseitiger Bestrahlung geschützt sind.

a) *Der Schutz gegen einseitige Strahlung* erfolgt am besten durch das Zwischenstellen von Schirmen zwischen Primärsystem und Apparat. Ich benutzte mit Vorteil einen Asbestschirm. Ein solcher Halbleiter absorbiert die Strahlung und ist der Verwendung von Metallschirmen vorzuziehen.

b) *Zur Vermeidung der Dämpfung* ist die Funkenstrecke klein zu nehmen. Hierdurch wird der Widerstand des Kreises, und infolgedessen die Dämpfung verkleinert. Um diesen Einfluß der Dämpfung zu untersuchen, wurde an den Schließungskreis ein Benzolkondensator gehängt. Wurde dann die Funkenstrecke allmählich vergrößert, so wuchs die Strahlung und die Einstellung verlor an Schärfe, ohne daß zunächst ein Einfluß der Dämpfung wahrgenommen werden konnte; wurde aber der Funke so weit ausgezogen als es die Anordnung irgend gestattete, so konnte ich eine noch deutliche Änderung in der Einstellung wahrnehmen, und zwar wurde die Widerstandseinstellung kleiner (z. B. statt 146 Ohm, 130 Ohm).

Diese Abweichungen sind in Übereinstimmung mit den zu erwartenden. Dies ist im theoretischen Teile gezeigt. Übrigens hat Herr V. Bjerknes<sup>1)</sup> bereits gezeigt, daß die zeitliche Dämpfung sehr beträchtlich von der Funkenlänge abhängt.

c) *Vermeidung von Eigenschwingungen.* Um Eigenschwingungen zu vermeiden, ist unter Berücksichtigung der hierzu notwendigen Dimensionierung, die sich in § 6 ergibt, zu beachten, daß die Gabelung selbst sehr kleinen Widerstand und sehr kleine Selbstinduktion hat, daß also im wesentlichen die Zuführung *allein* der Aperiodizitätsbedingung genügen muß.

Beachtet man diese Vorsichtsmaßregeln unter Berücksichtigung der sich in § 6 ergebenden Dimensionierung, so liefert die Substitutionsmethode richtige Werte; wie weit dies für direkte Messung der Fall ist, soll durch die folgenden Tabellen gezeigt werden.

### 3. Direkte, absolute Messungen.

Die in den Tabellen erhaltenen Zahlen zeigen alle die Eindeutigkeit der Einstellung, die nur erreichbar ist, wenn in die Zuleitungsdrähte die in § 2, 3 beschriebenen Vorschaltkondensatoren eingeschaltet sind. Sie zeigen, daß mit wachsender Wellenlänge auch die gemessene zunimmt, und lassen er-

1) V. Bjerknes, Wied. Ann. 44. p. 74. 1891.

kennen, wie weit bei unveränderten Vorschaltkondensatoren die Einstellung richtig bleibt.

Die Kapazität des Luftkondensators ist hierbei 52,9 cm. Der Schließungskreis hat variierte Selbstinduktion, welche nach M. Wien berechnet ist. Unter „berechnet“ stehen die aus  $\pi \sqrt{LC}$  sich ergebenden  $\lambda/2$ ; unter „gemessen“ die aus der Einstellung des Apparates sich ergebenden Werte, die aus der Einstellung des Apparates gewonnen sind, und zwar nach der Formel

$$\frac{\lambda}{2} = \frac{L \cdot 80}{\sqrt{(W + w)^2 - w^2}}.$$

Hier ist  $w = 20$  Ohm, gleich dem Widerstande der Thermo-elemente (§ 3, 3. c) genommen, als ein für  $\lambda/2 = 951$  cm bestimmter, mittlerer Wert.

Die Schaltung ist die der Fig. 2.

$\frac{\lambda}{2}$ berechnet	$\frac{\lambda}{2}$ gemessen
554	550
820	819
1066	991
1270	1180
1426	1310

Die Tabelle zeigt, daß mit langen Wellen die Abweichungen wachsen.

Die geringe Abweichung bei den kürzesten Wellen ist möglichenfalls der nicht mehr quasistationären Verteilung zuzuschreiben. Diese würde nach den Ausführungen des folgenden § 6 eine Abweichung in der beobachteten Richtung erklären.

Nimmt man die Vorschaltkondensatoren größer<sup>1)</sup>, so verschiebt sich das Gebiet der richtigen Anzeige des Apparates nach den langen Wellen hin; dies geht aus der weiter unten wiedergegebenen Zahlenreihe hervor, in der gleichzeitig der Zwischenkondensator in der Verzweigung vergrößert ist. Für die kurzen Wellen stimmt alsdann die Einstellung nicht annähernd mehr mit der wirklichen Wellenlänge überein.

1) Vgl. hierzu p. 494, § 2, 3.

$\frac{\lambda}{2}$ berechnet	$\frac{\lambda'}{2}$ gemessen
554	600
820	850
1066	1060
1270	1258
1426	1400

Eindeutig ist jedoch auch hier noch die Einstellung, indem auch hier mit wachsender Wellenlänge die gemessene zunimmt. Für lange Wellen ist übrigens die Einstellung wesentlich unsicherer als für kurze. Der Grund liegt jedenfalls in dem für lange Wellen wesentlich größeren Impediment des Nebenkreises bei konstanten Vorschaltkondensatoren.

Die Eindeutigkeit der Einstellung, die hier gezeigt werden sollte, ist also gewahrt; sie zeigt die Brauchbarkeit der Anordnung für unsern Zweck.

Die im § 6 gegebene Theorie liefert zum Teil die Beweise für bisher unbewiesene Begründungen, und ist die Grundlage zur Vermeidung der in § 5, 2 aufgeführten Fehler.

## § 6. Theorie der Kondensatorentladung in verzweigten Systemen und der Frequenzmessung in der Verzweigung.

### 1. Fragestellung und Disposition.

Fig. 11 stellt ein schwingendes System dar, das aus einem Hauptkreis mit Kondensator, Selbstinduktion, Widerstand und Funkenstrecke besteht, und einem Nebenkreis mit Kondensatoren, großen Widerständen und Selbstinduktionen.

Es wird gefragt: Welchen Zusammenhang haben Stromwerte, Periode und Dämpfung in beiden Systemen?

Eine Annahme in Bezug auf die Größe der in Betracht kommenden Konstanten wird nur insofern vorausgeschickt, als der Widerstand des abgezweigten Kreises sehr viel größer sein soll, als das abgezweigte Stück des Primärkreises.

Zunächst wird für die Rechnung quasistationäre Verteilung im ganzen System vorausgesetzt. Der Widerstand, die Selbstinduktion und Kapazität der Funkenstrecke sei klein gegen die betreffenden Konstanten des Primärkreises. Für diese



Annahmen wird in 2. A, B, C dieses Paragraphen die Theorie entwickelt; unter 3. wird darauf diskutiert, wie weit eine Abweichung von diesen Voraussetzungen in der praktischen Anordnung, die theoretisch erhaltenen Resultate beeinflussen kann.

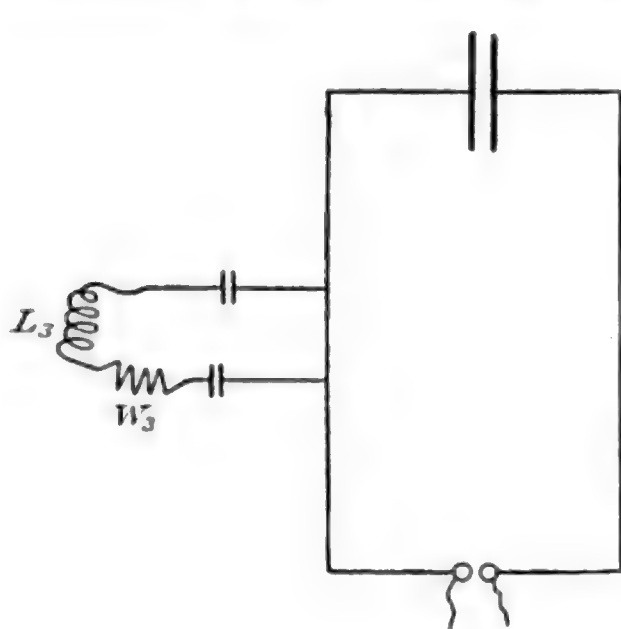


Fig. 11.

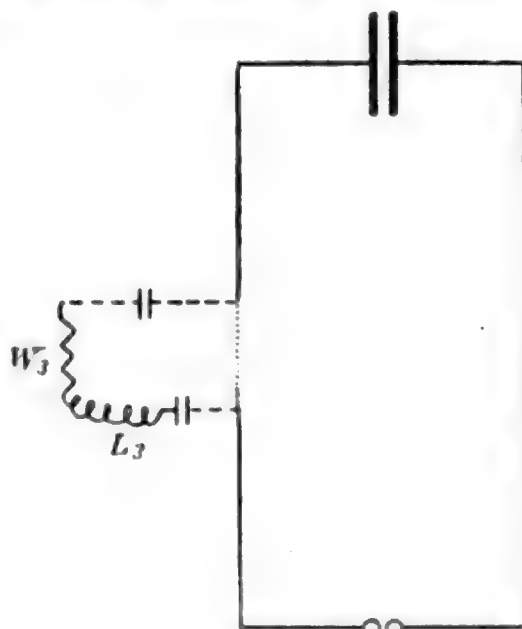


Fig. 12.

## 2. Theorie der Entladung.

### A. Allgemeine Differentialgleichung.

In folgendem bezieht sich der Index 1 auf den ausgezogenen Teil der Fig. 12; der Index 2 auf den punktierten, der Index 3 auf den gestrichelten und die in ihm liegende Selbstinduktion und Kapazität.

Es wird gefordert, daß für jeden Umlauf die Summe der elektromotorischen Kräfte verschwindet.

Es bezeichne  $P_i$  die Ladung der Kondensatoren,  $c_i$  die Kapazität derselben,  $L_i$  die Selbstinduktion des Stückes  $i$ ,  $w_i$  den Ohmschen Widerstand. Dann ist, unter der Annahme, daß  $w_3$  sehr viel größer als  $w_2$  ist, und daß die gegenseitige Induktion der einzelnen Stücke gegen die additiv mit ihnen vorkommenden Größen klein gesetzt wird

$$(I) \quad \begin{cases} 1. \quad \frac{P_1}{c_1} + L_1 \frac{di_1}{dt} + L_2 \frac{di_2}{dt} + w_1 i_1 + w_2 i_2 & = 0, \\ 2. \quad \frac{P_1}{c_1} + \frac{P_2}{c_2} + \frac{P_3}{c_3} + L_1 \frac{di_1}{dt} + L_3 \frac{di_3}{dt} + w_1 i_1 + w_3 i_3 & = 0, \\ 3. \quad \frac{P_2}{c_2} + \frac{P_3}{c_3} + L_3 \frac{di_3}{dt} - L_2 \frac{di_2}{dt} + w_3 i_3 - w_2 i_2 & = 0. \end{cases}$$

Für jeden Verzweigungspunkt gilt ferner:

$$\sum i = 0,$$

also

$$(II) \left\{ \begin{array}{l} 1. i_1 = i_2 + i_3, \\ \text{ferner setzen wir} \\ 2. \frac{dP_1}{dt} = i_1, \quad 3. \frac{dP_2}{dt} = \frac{dP_3}{dt} = i_3, \quad 4. \frac{P_2}{c_2} + \frac{P_3}{c_3} = p. \end{array} \right.$$

Aus (I) und (II) erhalten wir durch Elimination von  $i_2$ , indem wir  $w_2$  klein gegen  $w_3$  setzen, wie vorausgesetzt wurde, und indem wir schreiben:

$$\frac{c_2 + c_3}{c_2 \cdot c_3} = c',$$

$$(III) \left\{ \begin{array}{l} 1. i_3 c' + (L_1 + L_3) \frac{d^2 i_3}{dt^2} - L_2 \frac{d^2 i_3}{dt^2} + w_3 \frac{di_3}{dt} - w_2 \frac{di_1}{dt} = 0, \\ 2. \frac{i_1}{c_1} + (L_1 + L_2) \frac{d^2 i_1}{dt^2} - L_2 \frac{d^2 i_3}{dt^2} + (w_1 + w_2) \frac{di_1}{dt} = 0. \end{array} \right.$$

Hieraus läßt sich die Differentialgleichung für  $i_3$ , welche den Zusammenhang zwischen Stromwerten, Perioden und Dämpfungsgliedern im Haupt- und Nebenkreis implizite in den Koeffizienten enthält, durch wiederholte Differentiation und Substitution herleiten.

Auf eine Zwischenstufe dieser Rechnung wird weiter unten an einer Stelle zurückgegriffen, weshalb diese hier unter (IIIa) aufgeführt wird. Es ergibt sich:

$$(IIIa) \left\{ \begin{array}{l} i_3 \frac{L_1 + L_2}{c'} + w_3 (L_1 + L_2) \frac{di_3}{dt} + [(L_2 + L_3)(L_1 + L_2) - L_2^2] \frac{d^2 i_3}{dt^2} \\ - [(w_2 L_1 - w_1 L_2)] \frac{di_1}{dt} + i_1 \frac{L_2}{c_1} = 0. \end{array} \right.$$

Hieraus erhält man bei Übergang weiterer Zwischenrechnung schließlich für  $i_3$  die Differentialgleichung (IV):

$$(IV) \left\{ \begin{array}{l} \frac{d^4 i_3}{dt^4} L_2 [(L_1 + L_2)(L_2 + L_3) - L_2^2] \\ + \frac{d^3 i_3}{dt^3} [(L_1 + L_2)(L_2 + L_3) - L_2^2] w_2 - (L_2 + L_3) \\ \quad (w_2 L_1 - w_1 L_2) + w_3 L_2 (L_1 + L_2), \\ + \frac{d^2 i_3}{dt^2} \left[ \frac{L_2}{c_1} (L_2 + L_3) + \frac{L_2(L_1 + L_2)}{c'} + L_2 w_3 (w_1 + w_2) \right] \\ + \frac{di_3}{dt} \left[ \frac{w_2}{c'} (L_1 + L_2) + w_3 \frac{L_2}{c_1} - \frac{(w_2 L_1 - w_1 L_2)}{c'} \right] \\ + i_3 \frac{L_2}{c_1 \cdot c'} = 0. \end{array} \right.$$

## B. Lösung für den speziellen Fall.

Gleichung (IV) enthält keine Bestimmung über die Größe der Koeffizienten, außer der Annahme, daß  $w_2$  sehr klein gegen  $w_3$  ist. In folgendem werden in diese Gleichung die speziellen Werte der physikalischen Konstanten des vorbeschriebenen Apparates eingesetzt, und dabei wird die Genauigkeitsgrenze der Wurzeln der Gleichung auf 0,5 Proz. festgesetzt.

In elektromagnetischem, absolutem Maße ist bei der gewählten Anordnung:

$$\begin{aligned} L_1 &= 0,5 \text{ bis } 6 \cdot 10^3 \text{ cm}, & w_1 &\sim 10^5 \text{ cm/sec}, \\ L_2 &\sim 10^3 \text{ cm}, & w_2 &\sim 10^7 \text{ cm/sec}, \\ L_3 &\sim 4 \cdot 10^3 \text{ cm}, & w_3 &\sim 1 \text{ bis } 3 \cdot 10^{12} \text{ cm/sec}, \\ c_1 &= 6 \cdot 10^{-20} \text{ sec}^2/\text{cm}, & c' &\sim 10^{-20} \text{ sec}^2/\text{cm}. \end{aligned}$$

Gleichung (IV) vereinfacht sich infolge der Beschränkung auf die Genauigkeit von 0,5 Proz. bei Berücksichtigung dieser Werte, und wir erhalten:

$$(1) \quad \left\{ \begin{aligned} &\frac{d^4 i_3}{dt^4} + \frac{d^3 i_3}{dt^3} \frac{w_3}{L_2 + L_3} + \frac{d^2 i_3}{dt^2} \frac{c' (L_2 + L_3) + c_1 (L_1 + L_2)}{c_1 \cdot c' (L_1 + L_2) (L_2 + L_3)} \\ &+ \frac{d i_3}{dt} \frac{w_3}{c_1 (L_1 L_2 + L_1 L_3 + L_2 L_3)} \\ &+ i_3 \frac{1}{c_1 \cdot c' (L_1 L_2 + L_2 L_3 + L_1 L_3)} = 0. \end{aligned} \right.$$

Die Integration dieser Gleichung ist prinzipiell möglich durch direkte Auflösung der entsprechenden Gleichung vierten Grades. Die Wurzeln sind jedoch so komplizierte Ausdrücke der Koeffizienten, daß die Rechnung kaum durchzuführen ist. Dieser direkte Weg,  $i_3$  zu bestimmen, läßt sich aber umgehen, und hierdurch wird die Gleichung (1) reduziert.

Es ist nämlich die Differentialgleichung (1) infolge der Einführung der speziellen Konstanten und der Genauigkeitsgrenze nunmehr unabhängig geworden von dem Ausdruck

$$(L_2 w_1 - w_2 L_1) \text{ und von } w_2 \text{ und } w_1.$$

Die Differentialgleichung für  $i_3$  ist demnach verträglich mit dem Ansatz:

$$(1) \quad L_2 w_1 - w_2 L_1 = 0.$$

Physikalisch bedeutet dies, daß wir innerhalb unserer Genauigkeitsgrenze das Verhältnis der Selbstinduktionskoeffizienten

der Rechteckteile gleich dem Verhältnis der Längen dieser Teile setzen können.

In folgendem machen wir von (1') Gebrauch. Wir bezeichnen ferner

$$i_1 = F(t), \quad \frac{d i_1}{d t} = F'(t) \text{ etc.}$$

Wir substituieren (1') in (IIIa) und differenzieren.

Nach Multiplikation mit  $w_3/(L_2 + L_3)$  und Division mit  $[(L_2 + L_3)(L_1 + L_2) - L_2^2]$  ergibt sich alsdann:

$$(2) \quad \left\{ \begin{aligned} \frac{d^3 i_3}{d t^3} \frac{w_3}{L_2 + L_3} &= \frac{L_2 w_3 \cdot F'(t)}{c_1 [(L_2 + L_3)(L_1 + L_2) - L_2^2]} - \frac{w_3^2}{(L_2 + L_3)^2} \frac{d^2 i_3}{d t^2} \\ &\quad - \frac{w_3}{(L_2 + L_3)^2 c'} \frac{d i_3}{d t}, \end{aligned} \right.$$

$$(3) \quad \left\{ \begin{aligned} \frac{d^4 i_3}{d t^4} &= \frac{L_2 \cdot F''(t)}{c_1 [(L_2 + L_3)(L_1 + L_2) - L_2^2]} - \frac{w_3}{L_2 + L_3} \frac{d^3 i_3}{d t^3} \\ &\quad - \frac{1}{(L_2 + L_3) c'} \frac{d^2 i_3}{d t^2}. \end{aligned} \right.$$

Die Addition von (2) und (3) ergibt demnach

$$\frac{d^4 i_3}{d t^4} + \frac{d^3 i_3}{d t^3} \frac{w_3}{L_1 + L_3} = \frac{L_2 \cdot F''(t)}{c_1 [(L_1 + L_2)(L_2 + L_3) - L_2^2]} - \frac{1}{(L_2 + L_3) c'} \frac{d^2 i_3}{d t^2}.$$

Bei Substitution dieser Gleichung in Gleichung (1) erhält man:

$$(4) \quad F''(t) \frac{L_2}{L_2 + L_3} = \frac{d^2 i_3}{d t^2} + \frac{d i_3}{d t} \frac{w_3}{L_2 + L_3} + \frac{i_3}{c' (L_2 + L_3)}.$$

Sobald sich die linke Seite von (4) explizite ausdrücken läßt, ist demnach die Differentialgleichung vierten Grades für  $i_3$  auf eine zweiten Grades reduziert, die alsdann leicht zu lösen ist.

Nun ist die Stromstärke in  $i_2$  außerordentlich viel größer, als die in  $i_3$ ; da nämlich die elektromotorische Kraft für die Strecke 2 und 3 die gleiche ist, so verhalten sich die Ströme in (2) und (3) umgekehrt wie die entsprechenden Widerstandsgrößen, also

$$\frac{i_2}{i_3} = \sqrt{\frac{w_2^2 + \left( \frac{c' \cdot T}{2 \pi} - L_2 \frac{2 \pi}{T} \right)^2}{w_2^2 + L_2^2 \left( \frac{2 \pi}{T} \right)^2}}.$$

Setzen wir die numerische Größe der Konstanten ein, so folgt

$$i_2 > i_3 \cdot 10^3.$$

Folglich ist  $i_2$  gegen  $i_3$  zu vernachlässigen, und aus (I) 1. wird unter Substitution dieser Vernachlässigung in (II) 1.

$$(I_1)' \quad \frac{P_1}{c_1} + (L_1 + L_2) \frac{d i_1}{d t} + (w_1 + w_2) i_1 = 0.$$

Die Integration von  $(I_1)'$  ergibt

$$(5) \quad \left\{ \begin{aligned} i_1 = F(t) &= \frac{2 P_1 \cdot e^{-\frac{(w_1 + w_2) t}{2(L_1 + L_2)}}}{\sqrt{4(L_1 + L_2) c_1 - (w_1 + w_2)^2 c_1^2}} \\ &\sin \left\{ \frac{\sqrt{4(L_1 + L_2) c_1 - (w_1 + w_2)^2 c_1^2}}{2(L_1 + L_2) c_1} t \right\}. \end{aligned} \right.$$

Differenziert man  $i_1$  zweimal, und setzt den erhaltenen Wert in (4) ein, so wird (4) (wiederum unter Vernachlässigung von Gliedern höherer Ordnung)

$$(4) \quad \left\{ \begin{aligned} \frac{d^2 i_3}{d t^2} + \frac{d i_3}{d t} \frac{w^2}{(L_2 + L_3)} + \frac{i_3}{c' (L_2 + L_3)} \\ &= - \frac{L_2 \cdot P_1 \cdot e^{-\frac{(w_1 + w_2) t}{2(L_1 + L_2)}}}{(L_2 + L_3) (\sqrt{(L_1 + L_2) c_1})^3} \cdot \sin \frac{1}{\sqrt{(L_1 + L_2) c_1}} \cdot t \\ &= - \frac{A}{L_2 + L_3} \cdot e^{-\beta t} \sin \gamma t = \frac{f'(t)}{L_2 + L_3}, \end{aligned} \right.$$

wo

$$A = \frac{P L_2}{(\sqrt{(L_1 + L_2) c_1})^3}; \quad \beta = \frac{w_1 + w_2}{2(L_1 + L_2)}; \quad \gamma = \frac{1}{\sqrt{(L_1 + L_2) c_1}};$$

$$f'(t) = A \cdot e^{-\beta t} \sin \gamma t$$

ist. Wir setzen in folgendem Integral für  $i_3$

$$\frac{2(L_2 + L_3) c'}{w_3 c' \pm \sqrt{w_3^2 (c')^2 - 4(L_2 + L_3) c'}} = \pm \Theta.$$

Dann ist das allgemeine Integral von (4)

$$(6) \quad \left\{ \begin{aligned} &\frac{c'}{\sqrt{w_3^2 (c')^2 - 4(L_2 + L_3) c'}} \left\{ e^{-\frac{t}{\Theta}} \int e^{-\frac{t}{\Theta}} f'(t) dt \right. \\ &\quad \left. - e^{+\frac{t}{\Theta}} \int e^{+\frac{t}{\Theta}} f'(t) dt \right\} \\ &\quad + c_1 e^{-\frac{t}{\Theta}} + c_2 e^{+\frac{t}{\Theta}}. \end{aligned} \right.$$



Die Größe der in  $i_3$  eingehenden Konstanten ist so gewählt (vgl. oben), daß

$$\frac{1}{-\theta} - \beta = \chi_1 > 0$$

und ebenso

$$\frac{1}{+\theta - \beta} = \chi_2 > 0$$

ist.

Die ausgeführte Integration ergibt demnach, falls wir die sehr kleinen  $c_1$ - und  $c_2$ -Glieder vernachlässigen

$$(7) \quad \left\{ i_3 = \frac{c' \cdot A \cdot e^{-\beta t}}{(L_2 + L_3) \sqrt{w_3^2 (c')^2 - 4(L_2 + L_3) c'}} \left\{ \frac{\chi_1 \sin \gamma t - \gamma \cos \gamma t}{\chi_1 + \gamma^2} - \frac{\chi_2 \sin \gamma t - \gamma \cos \gamma t}{\chi_2 + \gamma^2} \right\} \right.$$

Also ist im Nebenkreis die Periode  $2\pi/\gamma$  und die Dämpfung  $\beta$  des schwingenden Stromes  $i_3$  dieselbe wie im Hauptkreis.

Lediglich die Amplitude ist verändert. Für das Resultat ist Voraussetzung, daß die Größenordnung der Konstanten, wie sie oben angenommen ist, im Apparat eingehalten wird.

#### C. Gabelung des gedämpften Sinusstromes.

Über die Verteilung der Selbstinduktion, der Kapazität und des Widerstandes im Nebenschluß ist im vorigen keine Annahme gemacht worden, die Gleichung (7) gilt demnach für irgend eine Verteilung, wenn dieselbe nur diskret geschieht, und die Größenordnung der Konstanten innegehalten wird, die oben angenommen ist.

Es soll nun im folgenden der Strom  $i_3$  eine Verzweigung passieren (Fig. 13). Der Kondensator ist auf die Seite der

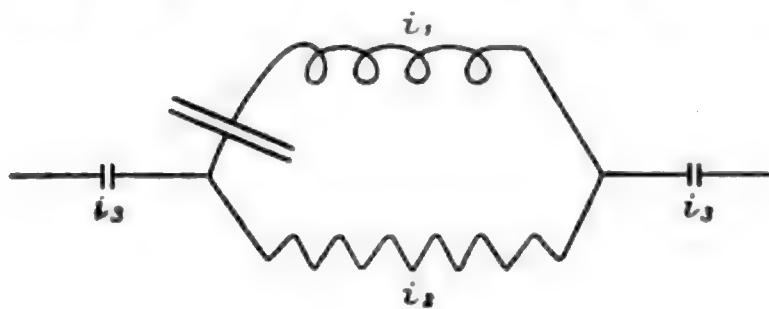


Fig. 13.

Selbstinduktion geschaltet. Er ist also bei Einschaltung eines selbstinduktionsfreien  $w'_2$  von solcher Größe, daß  $w'_1$  sehr klein gegen  $w'_2$  ist,

$$(1) \quad \frac{P}{c} + L' \frac{d i_1}{d t} - i_2 w'_2 = 0.$$

Die Kapazität des Kondensators, der zur Vermeidung innerer elektromotorischer Kräfte dient, wird durch experimentelles Ausprobieren so groß genommen, daß der Kondensator ohne Einfluß auf  $i_1$  und  $i_2$  wird; alsdann ist  $P/c$  gegen  $i_2 w_2$  zu vernachlässigen. In  $i_3$  fließt der oben berechnete Strom, bestehend in einer Schwingung, deren Periode und zeitliche Dämpfung lediglich durch den Primärkreis bestimmt ist. Setzen wir

$$i_3 = B \cdot e^{-\beta t} \sin \gamma t,$$

so wird

$$(2) \quad \frac{d i_1}{d t} + \frac{i_1 w'_2}{L'_1} - \frac{w'_2}{L'_1} B e^{-\beta t} \sin \gamma t = 0.$$

Die Integration ergibt, indem

$$\frac{w'_2}{L'_1} = r$$

gesetzt ist

$$(3) \quad \begin{cases} i_1 = \frac{r \cdot B \gamma}{(\beta - r)^2 + \gamma^2} \cdot e^{-r t} + \frac{(r - \beta) r \cdot B \cdot e^{-\beta t} \cdot \sin \gamma t}{(\beta - r)^2 + \gamma^2} \\ \quad - \frac{r B \gamma}{(\beta - r)^2 + \gamma^2} e^{-\beta t} \cos \gamma t. \end{cases}$$

Wir setzen

$$\frac{r B \cdot \gamma}{(\beta - r)^2 + \gamma^2} = b \quad \text{und} \quad \frac{(r - \beta) r B}{(\beta - r)^2 + \gamma^2} = a.$$

Der Strom  $i_2$  wird durch Subtraktion des  $i_1$  von  $i_3$  erhalten.

Die Beziehung, die zwischen  $w'_2$  und  $L'_1$  besteht, wenn Stromgleichheit in der Verzweigung vorhanden ist, ist verschiedentlich abgeleitet worden, und es ergibt sich für die ungedämpfte Sinusschwingung

$$\gamma = r.$$

Im folgenden soll der Einfluß der Dämpfung der in die Verzweigung eintretenden Welle diskutiert werden.

Die Bedingung der Stromgleichheit ist

$$(4) \quad \int_0^{\infty} (i_1^2 - i_2^2) d t = 0,$$

wo

$$(4a) \quad \begin{cases} i_1 = b(e^{-r t} - e^{-\beta t} \cos \gamma t) + a e^{-\beta t} \sin \gamma t, \\ i_2 = (B - a) e^{-\beta t} \sin \gamma t - b(e^{-r t} - e^{-\beta t} \cos \gamma t) \end{cases}$$

ist.

Wir erhalten demnach für (4)

$$(4b) \left\{ \begin{aligned} & B(2a - B) \int_0^{\infty} e^{-2\beta t} \sin^2 \gamma t dt + 2bB \int_0^{\infty} e^{-(\beta+r)t} \sin \gamma t dt \\ & - 2bB \int_0^{\infty} e^{-2\beta t} \sin \gamma t \cos \gamma t dt = 0. \end{aligned} \right.$$

Die Ausführung der Integration ergibt

$$(4c) \quad 0 = \frac{2(a-B)\gamma^2}{\beta(4\beta^2 + 4\gamma^2)} + \frac{2b\gamma}{(\beta+r)^2 + \gamma^2} + \frac{b\gamma}{2(\beta^2 + \gamma^2)}.$$

Bei Substitution der  $a$ - und  $b$ -Werte wird also

$$(5) \quad \frac{(r-\beta)r}{(\beta-r)^2 + \gamma^2} - \frac{1}{2} + \frac{r\beta}{(\beta-r)^2 + \gamma^2} \left\{ \frac{4(\beta^2 + \gamma^2)}{(\beta-r)^2 + \gamma^2} - 1 \right\} = 0.$$

Bei verschwindender Dämpfung  $\beta$  ergibt sich in der Tat

$$\gamma = r = \frac{w'_2}{L'_1} \quad \text{oder} \quad \tau = 2\pi \frac{L'_1}{w'_2}.$$

*Ist aber die zeitliche Dämpfung beträchtlich, so existiert keine einfache Beziehung zwischen Schwingungsdauer einerseits, und dem Quotienten aus parallel geschaltetem Widerstand und Selbstinduktion andererseits.*

Es läßt sich aber aus Gleichung (5) der Einfluß der Dämpfung auf die Apparateneinstellung erkennen.

Zu diesem Zweck betrachten wir die Einstellung  $r$  als Funktion der Dämpfung und setzen:

$$r = f(\beta) \quad r' = \frac{dr}{d\beta}.$$

Wir untersuchen den ersten Differentialquotienten von (5) an der Stelle

$$\beta = 0, \quad r = \gamma,$$

dies ergibt

$$(6) \quad \frac{2\gamma^2(2rr' - r) - r^2[2(-r)(1-r)]}{4\gamma^2} + \frac{\gamma}{2\gamma^2} = 0$$

oder

$$r' = -1,$$

Für den Einfluß der Dämpfung auf die Apparateneinstellung ergibt sich demnach

$$(7) \quad r' = \gamma - \beta \dots$$

Hieraus ist ersichtlich, daß die Größe  $\gamma$ , die aus der Apparat-einstellung  $r$  ohne Korrektion berechnet wird, bei vorhandener Dämpfung zu klein herauskommt.

Die Wellenlänge würde demnach ohne Korrektion zu groß berechnet.

Dies Resultat ist für den obigen Versuch (§ 5. 2. b) mit gesteigerter Dämpfung von Interesse.

### 3. Die Abweichungen von den Grundlagen der Theorie und der Einfluß auf diese.

#### A.

Die wesentlichsten Voraussetzungen der in 1. und 2. gegebenen Theorie sind kurz dahin zusammenzufassen:

1. Es ist vorausgesetzt, daß die Stromverteilung im *ganzen* Nebenschluß quasistationär ist.

2. Für die Wahl der Konstanten im Nebenschluß: kleine Selbstinduktion, großer Widerstand und nicht zu große Kapazität.

3. Für das Primärsystem geringe Elektromagnetische Dämpfung.

4. Für die Gabelung selbst, sehr große Kapazität.

#### B. Abweichung von A 1.

Was die erste Voraussetzung anbetrifft, so ist sie in unserem Apparat *nicht* erfüllt; jedenfalls nicht für die kürzesten verwendeten Wellen. Die Zuleitungsdrähte mußten zu lang genommen werden, um den Apparat vor der Strahlung des Erregers zu schützen; dagegen sind die Dimensionen der Gabelung stets klein gegen die halbe Wellenlänge.

Die Folge der Abweichung wird sein, daß die Selbstinduktion der Zuleitungsdrähte größer in Rechnung zu setzen wäre, als sie sich bei quasistationärer Verteilung berechnet.

Für den Widerstand und die Kapazität ist diese nicht quasistationäre Verteilung in der Zuleitung ohne Belang, wenn sie sich nicht auf die Gabelung erstreckt. Dies ist dann nicht der Fall, wenn wir die Länge der beiden Zuleitungen annähernd gleich nehmen. Dagegen kann die scheinbare Vergrößerung der Selbstinduktion der Zuleitung eventuell von wesentlichem Einfluß sein.

Aus folgendem wird dies klar. Für die Forderung, daß im Nebenschluß nur die Periode des Primärkreises herrschen soll, war erforderlich, daß die Größe  $\Theta$  in Gleichung (5) reell bleibt, d. h. im Nebenkreis keine Eigenschwingung aufkommt.

Wächst demnach  $L_3$  über die Größenordnung der Annahme, so muß zur Kompensation der Widerstand oder die Kapazität des Nebenschlusses so weit vergrößert werden, daß diese Grundbedingung für die Brauchbarkeit des Apparates erfüllt bleibt.

Die Vergrößerung kann sich im wesentlichen nur auf den Widerstand, und nicht auf die Kapazität erstrecken, da die Kapazität von Zuführung + Gabelung aus Gründen, die weiter unten herangezogen werden, klein bleiben muß. Am besten ist es die Zuleitung durch Strecken selbstinduktionslosen Widerstandes zu unterbrechen. *Es läßt sich dann die aus der nicht quasistationären Verteilung folgende Abweichung von den Voraussetzungen der Theorie so weit kompensieren, daß die Theorie Anwendung auf unseren Apparat finden darf.*

#### C. Unmöglichkeit der Kompensation durch Kapazität und Verwendungsbereich des Apparates.

Eine solche Kompensation ist jedoch nicht möglich durch Vergrößerung der Kapazität, was ja nach der Bedingungs-gleichung von vornherein nicht ausgeschlossen erscheint, und es dürfte auch kaum möglich sein, einen Apparat nach dem verwendeten Prinzip zu konstruieren, welcher erstens völlig unabhängig ist von der Art der Erregung der Primärschwingung, zweitens aber für das Bereich *von mehreren Oktaven* zu direkter Wellenmessung brauchbar ist, *ohne daß die Größe der Kapazität des Apparates geändert wird.*

Der Grund hiervon ist bereits oben kurz angegeben; es soll hier eine mehr quantitative Diskussion gegeben werden.

*α) Notwendigkeit kleiner Vorschaltkondensatoren.* Wenn im Primärkreis die Erzeugung der Entladungsspannung durch eine annähernd harmonische elektromotorische Kraft vom Induktor aus vor sich geht, so bestimmt sich die maximale Stromstärke  $J$  im Schließungskreis, die vor Einsetzen der Entladung im



Primärkreis herrscht, durch die Größe der Amplitude des schwingenden Potentials und die Größe des Impedimentes. Ist

$$e = E \sin \frac{2\pi}{T} t$$

die verwendete elektromotorische Kraft des Induktors, so ist

$$J = \frac{E}{\sqrt{W^2 + \left( -\frac{1}{C \cdot \frac{2\pi}{T}} - L \frac{2\pi}{T} \right)^2}} \sim E \cdot C \cdot \frac{2\pi}{T}$$

die maximale Stromstärke im Primärkreis. Nehmen wir als Stromquelle einen Induktor, welcher an der Funkenstrecke eine Maximalspannung von  $10^5$  Volt besitzt, was etwa unserer Anordnung entspricht, so ist die Stromstärke

$$J \sim 10^{13} \cdot 6 \cdot 10^{-20} \cdot 6 \cdot 10^5,$$

also  $J$  angenähert  $\pm 3 \cdot 10^{-2}$  Amp.

Ist im Nebenschluß lediglich Ohmscher Widerstand vorhanden, der, wie in unserer Rechnung zu Grunde gelegt ist,  $10^5$  mal größer ist, als der des Abzweigungsstückes, so würde die maximale Stromstärke im Nebenschluß immer noch  $\pm 10^{-7}$  Amp. betragen. Das verwendete Galvanometer zeigt aber noch  $10^{-9}$  Amp. an. Wenn demnach die positive und negative Schwingung um den  $1/100$  Teil des Amplitudenwertes differieren, oder wenn unregelmäßige Unterbrechungen des Induktors, Schwankungen von dieser Größe verursachen, oder wenn  $i^2 w$  die Thermoelemente merklich verschieden erwärmt, so würde das Galvanometer Ausschläge geben, welche Störungen verursachen; um dem vorzubeugen, mußten kleine Kondensatoren in die Abzweigungsdrähte eingeschaltet werden, d. h. das Impediment der Abzweigungskräfte mußte vergrößert werden.

$\beta$ ) *Abhängigkeit von der Art der Erregung des Primärstromes.* Wenn die Art der Erregung verändert wird, indem hochgespanntere oder hochfrequenterer Ströme Verwendung finden, so wird sowohl im Primär- wie im Nebenkreis das Impediment abnehmen und die eingeschalteten Kondensatoren, welche vorher die Induktorschwingung nicht hindurchließen, müssen durch kleinere ersetzt werden, um ihren Zweck zu erfüllen. Geschieht dies aber, so ist gleichzeitig aufzupassen, ob die verkleinerte Kapazität die Größe  $\theta$  in Gleichung (5) nicht

imaginär werden läßt, indem eventuell neuer induktionsloser Widerstand in die Zuleitung einzuschalten ist. Eine Erregung mit Teslaschwingungen wird aus diesen Gründen der Verwendung des Apparates zu Meßzwecken außerordentliche Schwierigkeiten entgegenstellen.

*Der Apparat ist also nicht unabhängig von der erregenden Schwingung, wenn die erregende elektromotorische Kraft eine gewisse Frequenz überschreitet.*

*γ) Die Kapazität in der Gabelung.* Die eben besprochene Bemessung der Kapazität in der Zuleitung betrifft den Schutz des Meßapparates vor den Störungen der äußeren elektromotorischen Kraft. Um Störungen von inneren elektromotorischen Kräften zu vermeiden, ist in der Gabelung selbst ein zweiter Kondensator angebracht, und wir haben der Theorie des Apparates die Annahme zu Grunde gelegt, daß in der Gleichung

$$\frac{P}{c} + L' \frac{d i_1}{d t} - i_2 w_2' = 0$$

$c$  als unendlich groß genommen werden kann, d. h. daß der Kondensator so wirkt, als sei er nicht vorhanden. Dieselbe Betrachtung, die wir eben für Induktorschwingungen anstellten, läßt sich mutatis mutandis auf die Primärschwingung für diesen Kondensator anwenden. War nämlich der Kondensator für eine äußere elektromotorische Kraft von der Frequenz  $10^8$  als widerstandslos aufzufassen, so kann bei einer Schwingung von  $10^7$  Wechselzahlen sein Widerstand wesentlich größer geworden sein, und in Betracht kommen. Wenn man also nicht mit sehr großen Kapazitäten arbeiten will, was auf experimentelle Schwierigkeiten stößt und eine Einbuße an Empfindlichkeit des Apparates erzeugt, so muß man für die verschiedene Größenordnung der Primärperiode die Kondensatoren auswechseln. *Für langsame Induktorschwingungen und einen bestimmten Meßbereich lassen sich die Kondensatoren so wählen, daß den Forderungen der Theorie genügend entsprochen wird.*

#### D. Funkenstrecke und Dämpfung.

Die unter § 6, 2. C. gegebene genaue Formel für die Beziehung zwischen der elektromotorischen Kraft der Selbst-

induktion und der des Widerstandes in der Verzweigung zeigt, daß *nur dann die einfache Relation, auf welcher die Anwendung des Apparates beruht, gültig ist, wenn die Dämpfung  $\beta$  klein ist gegen*

$$\gamma = \frac{1}{V(L_1 + L_2) C_1}.$$

Wir haben in der theoretischen Behandlung § 6 den Widerstand, die Selbstinduktion und Kapazität der Funkenstrecke für den Moment der Auslösung der Schwingung klein gegen die übrigen kritischen Konstanten des Kreises gesetzt. Dann ergab sich

$$\beta = \frac{w_1 + w_2}{2(L_1 + L_2)},$$

also von der Größenordnung  $10^6$ , während  $\gamma$  von der Ordnung  $10^8$  und höher ist. Dieser Unterschied liegt durchaus außerhalb der Grenzen der Genauigkeit der Formeln. Wenn man aber der Funkenstrecke einen Widerstand von einigen Ohm zuschreibt, so kann  $\beta$  in die Gegend  $10^7$  rücken, und dann ist die einfache Relation ungültig. *Wir haben nun oben darauf hingewiesen, daß der Apparat bei einer Funkengröße, die sehr stark knatternde Entladung erzeugt, wesentlich an Einstellungssicherheit verliert und bei sehr langer Funkenstrecke eine Verschiebung des Einstellungswertes erkennen ließ (§ 5. 2. b).*

Wenn man Wellenlängen mittels Resonators mißt oder, was auf das gleiche herauskommt, Knotenpunkte auf einer Sekundärleitung aufsucht, so findet man bekanntlich für die Erzeugung der Schwingung einen sehr stark knatternden „aktiven“ Funken vorteilhaft, und man ist versucht davor zurückzuschrecken, die Dämpfung eines Erregers dadurch heruntersetzen zu wollen, daß man die Funkenstrecke verkleinert. Bei der Resonatormessung ist aber die Erzeugung starker Strahlung erforderlich, und wenn auch das Dämpfungsdekrement durch die längeren Funken vergrößert wird<sup>1)</sup>, so wird hierdurch das Entladungspotential des Erregers und gleichzeitig die Intensität der Schwingung vergrößert; wenn dann auch die Dämpfung zunimmt, so ist dafür die erste

1) V. Bjerknes, l. c.

Amplitude so vergrößert, daß mehr Schwingungen wahrnehmbar werden als bei kleiner Dämpfung. Zweitens aber will man in diesem Fall starke Strahlung, die wieder durch große Öffnung begünstigt wird. — *Hier in unserem Fall ist eine geringe Strahlungsintensität sogar erwünscht. Eine möglichst kleine Funkenstrecke ist demnach aus doppeltem Grunde vorteilhaft: erstens wegen der Vermeidung der Strahlung, zweitens wegen der Dämpfung.*

Vorausgesetzt ist natürlich für die Zulässigkeit dieser Betrachtung die Annahme, daß der Widerstand einer Funkenstrecke mit der Länge der Strecke zunimmt. Daß dies allgemein der Fall ist, ist nicht erwiesen, daß es von einer bestimmten unteren Grenze an stattfindet, jedenfalls schon aus den angeführten Beobachtungen von Bjerknes folgend.

#### 4. Zusammenfassung.

Die Ausdehnung der ideal gewählten Prämissen der Theorie auf die realen Verhältnisse der Experimentalanordnung erscheint also in den Grenzen, die sich in 3. ergeben haben, gestattet. Zusammenfassend können wir also in Bezug auf die Anordnung folgendes als bewiesen erachten.

1. *Es ist möglich, bei geeigneter physikalischer Dimensionierung einen Nebenschluß an einem Schwingungskreis derart anzubringen, daß im Nebenschluß die Periode und Dämpfung der Schwingung im Primärkreis erhalten bleibt, ohne daß eine Veränderung der Periode des Primärkreises (innerhalb der Genauigkeitsgrenze von  $\frac{1}{2}$  Proz.) stattfindet.*

2. *Enthält der Nebenschluß, in welchem die Schwingung des Hauptkreises besteht, eine Verzweigung, bestehend aus Selbstinduktion und selbstinduktionsfreiem Widerstand, so findet nur dann bei Stromgleichheit in den Zweigen eine einfache Beziehung zwischen Widerstand und Selbstinduktion statt, wenn die Dämpfung klein gegen die Schwingungszahl des Primärstromes ist.*

3. *Die Resultate der unter gewissen einfachen Prämissen aufgestellten Theorie der Verzweigung hochfrequenter Ströme bleiben auch dann bestehen, wenn von diesen Prämissen an gewissen Stellen in der praktischen Ausführung abgewichen wird; so darf*

die Voraussetzung der quasistationären Stromverteilung für die Zuleitungsdrähte dann fallen gelassen werden, wenn der Widerstand bez. die Kapazität des Nebenkreises gleichzeitig um eine sich qualitativ-quantitativ ergebende GröÙe erhöht wird, und die Zuleitungsdrähte gleiche Länge haben.

4. Ist die Empfindlichkeit der Strommessung in der Verzweigung von einer gewissen GröÙe, so wird die Verwendung des Periodenmessers dann schwer durchführbar, wenn die Erregung der Primärschwingung durch Teslaschwingungen erfolgt.

5. Ein empfindlicher Frequenzmesser nach dem beschriebenen Prinzip erfordert für verschiedene GröÙenordnungen der Primärfrequenz verschiedene GröÙe des Kondensators in der Verzweigung.

6. Der Funke des Primärerregers ist vorteilhaft möglichst klein und nicht „aktiv“ zu nehmen.

7. Der Einfluß der Dämpfung der Primärschwingung hat zur Folge, daß die Wellenlänge der Schwingung durch die Einstellung des Apparates ohne Korrektion größer bestimmt wird als sie ist; das Korrektionsglied ist quantitativ nicht zu ermitteln.

Zum Schlusse dieses Paragraphen möge bemerkt werden, daß die Erschwerung im Gebrauche des Apparates, die aus 1. bis 7. folgt, bei den Messungen nach der Substitutionsmethode, über die im folgenden berichtet wird, zum Teil herausfällt.

## § 7. Die Substitutionsmethode.

Die Messungen, über die im folgenden berichtet wird, sind mit der Substitutionsmethode erhalten.

Der oben beschriebene Luftkondensator wird zunächst durch den Kondensator, der das flüssige Dielektrikum erhalten soll, ersetzt; alsdann wird die Flüssigkeit eingegossen und die Platten werden so weit auseinander geschraubt, bis der Flüssigkeitskondensator die gleiche Einstellung an dem Widerstand der Gabelung ergibt, wie der Luftkondensator. Zum Schluß wird nochmals der Luftkondensator eingeschaltet. — Nur die Messungen werden benutzt, bei denen keine Änderung der ersten Lufteinstellung vorhanden ist. Außer durch Funkenstörungen können z. B. durch zu langes Erwärmen des Wider-



standes solche Störungen eintreten. — Die Empfindlichkeit des Galvanometers ist für je zwei Rollen von der Größenordnung  $10^{-9}$  Amp. komm. = 1 Skt. Das Instrument ist nach Fig. 2 als Nullinstrument geschaltet. Die in folgender Tabelle angegebenen Einstellungen sind größtenteils Mittelwerte aus vielen, zeitlich unabhängigen Wiederholungen von Messungsreihen mit je drei Einstellungen für die jeweilige Periode.

Hierbei sind nicht in stets ansteigender Weise die Selbstinduktionen verändert, sondern völlig unregelmäßig wurden Zwischenwerte aufgenommen.

Die mit einem \* versehenen Messungen in der Tabelle zeigen an, daß die Selbstinduktion des Schließungskreises nur angenähert bekannt ist, da sie durch Zusammensetzung von Rechtecken und Spulen gewonnen ist, indem ein Stück des Rechtecks durch solche Spulen ersetzt wurde.

Die Selbstinduktion von zwei der verwendeten Spulen wurde nach Kirchhoffs Formel<sup>1)</sup> berechnet, indem bei ihrer Herstellung die Bedingungen, für die die Formel aufgestellt ist, möglichst innegehalten wurden. Da die Formel den Wert für einen Volldraht ergibt, so wurde, um den Bedingungen sehr hoher Frequenz zu genügen, die halbe Drahtlänge der Spulen subtrahiert.<sup>2)</sup> Die Spulen sind ohne Kern; um ihnen Halt zu geben, sind sie durch vier Siegellackstangen parallel zur Achse gehalten. Die Spule  $K_1$  hat 6 Windungen von 3 cm Abstand, einen Radius von 5,4 cm und ist aus 3 mm Draht hergestellt; ihre Länge ist 15 cm.

Bei Subtraktion der halben Drahtlänge ergibt sich  $L = 4594$  cm.

Die Spule  $K_2$  hat 2 Windungen weniger wie  $K_1$ ; es ist  $L = 2498$  cm.

Die dritte Spule  $W$  ist gleich der, welche auch als Standardinduktion des Apparates Verwendung gefunden hat, und nach Max Wien für  $L$  den Wert 2836 hat.

In der Tabelle ist in Spalte 1 die Größe des Schließungsrechtecks angegeben. Unter  $L$  der darauf folgenden Tabelle,

1) G. Kirchhoff, Ges. Abh. p. 176.

2) Vgl. M. Wien, l. c.

die nach Max Wiens Formel berechnete Selbstinduktion, unter  $\lambda/2$  steht die berechnete Wellenlänge des Systems. (Die Kapazität des Luftkondensators = 52,9.) In der nächsten Spalte ist die Plattenentfernung des Benzolkondensators eingetragen. In der letzten Spalte sind unter  $\epsilon$  die aus der Einstellung berechneten Zahlen enthalten, die unter der Annahme berechnet sind, daß die Plattenänderungen ihr Vorhandensein der veränderten Dielektrizitätskonstante verdanken. Bei dieser Berechnung wurde Kirchhoffs genaue Formel benutzt, wie auch oben, und ferner berücksichtigt, daß der Flüssigkeitskondensator eine dem Mikrometeransatz entsprechende größere Kapazität hat, als der Luftkondensator, dieser Ansatz aber nicht im veränderten Dielektrikum lagert.

Die Messung des Flüssigkeitskondensators ergab nach der Stimmgabelmethode 53,73 cm, während 52,9 die des verwendeten Luftkondensators war; es wurden deshalb 0,83 cm als dem Mikrometeransatz zukommend, in Rechnung gesetzt. Die Berechnung erfolgte demgemäß nach der Gleichung

$$52,07 = x \cdot C,$$

wo  $x$  die Dielektrizitätskonstante,  $C$  die Kapazität eines Plattenkondensators von obigen Dimensionen, und dem Plattenabstand der Tabelle, nach Kirchhoff berechnet, bedeutet.

Die Werte  $C$  sind durch graphische Interpolation aus Berechnungen von 2 mm bis 10 mm Abstand in 1 mm Intervallen gewonnen.

Die Einstellungsschärfe ist für kurze Wellen größer als für lange, auch sind Unterschiede insofern zu verzeichnen, als etwa eine sehr scharfe Einstellung für eine bestimmte Periode bei Beginn der Messung, bei späterer Einstellung, zwar ebenfalls scharf, aber etwas verschieden ausfiel. Es ist wohl möglich, daß hierbei Temperatureinflüsse mitspielen. — Alle solche Störungen, ob sie nun der Temperatur oder Abstandsänderungen in den Kondensatoren, oder Rückstand oder dergleichen zuzuschreiben sind, sind aber stets so klein, daß sie bei der Einzeleinstellung unter 2 Proz. des  $\epsilon$  bleiben.

Es wurde zunächst *Petroleum* gemessen, als eine Substanz, bei der Dispersion oder Absorption auch für kurze Wellen nicht beobachtet worden ist.

Die Messungen ergaben:

Petroleum

Rechteck	$\frac{\lambda}{2}$	Kondensator- einstellung	$C$	$\epsilon$
20 . 25	659,2	6,90	24,45	2,13
40 . 25	820	6,91	24,40	2,13
60 . 25	951,7	6,93	24,35	2,14
80 . 25	1066	6,91	24,40	2,13
100 . 25	1169	6,85	24,70	2,11
120 . 25	1270	6,84	24,70	2,11
150 . 25	1394	6,90	24,45	2,13
185 . 25	1532	6,91	24,40	2,13

Mittel 2,126

Der Mittelwert 2,126 weicht von dem Drudeschen  $n^2 = 1,41^2 = 1,98$  <sup>1)</sup> ab. Der Grund liegt wohl darin, daß der Wert 2,126 unter der Annahme berechnet ist, daß die Kirchhoffsche Formel auch noch bei 7 mm Entfernung der Kondensatorplatten von 15 mm Durchmesser richtig ist. Dies ist aber nicht zutreffend. Bei dieser Entfernung werden sicher Kraftlinien von der Innenseite der Platten in den Raum hinaus-treten. In diesem Falle liefert die Kirchhoffsche Formel zu kleine Werte. Es ist möglich, daß hierin der Grund der Abweichung liegt, wenn auch andererseits bei einem verhältnismäßig weit offenen Kondensator der eingestellte Plattenabstand kleiner ausfallen muß, als es der Fall wäre, wenn gar keine Leiter sich in endlicher Nähe befänden, was hier nicht streng der Fall ist. — Andere Beobachter <sup>2)</sup> fanden 2,0—2,4 mit Methoden, die an sich zum Teil eine so große Abweichung auszuschließen scheinen. Was hier wesentlich bei diesen Messungen ist, ist daß sie mit *einheitlicher* Methode erzielt und deshalb ohne Bedenken vergleichbar sind; eine Dispersion findet nicht statt.

Benzol (thiophenfrei von Kahlbaum).

Die Messungen, welche nach einheitlicher Methode, und zwar der Drudeschen mit Blondlotschem Erreger und festliegender

1) P. Drude, Ann. d. Phys. 9. p. 300. 1902.

2) Vgl. z. B. F. Kohlrausch, Tab. 24 b oder Winkelmanns Handb. 3. p. 87. 1895.

erster Brücke durch Bestimmung des Verhältnisses der Wellenlängen in Luft und Benzol bisher gemacht wurden, ergaben für kurze elektrische Wellen eine deutlich normale Dispersion.<sup>1)</sup> Die Messungen, über die hier referiert wird, erstrecken sich auf das Gebiet 10 bis 35 mal längerer Wellen, und zwar von 10—35 m Länge.

Rechteck- größe	$L$	$\frac{\lambda}{2}$	Platten- abstand	$C$	$\epsilon$
10 . 25	588,5	554 cm	7,5	22,65	2,30
20 . 25	833,2	659,2	7,34	23,00	2,26
25 . 25	949,2	703,6	7,43	22,75	2,29
30 . 25	1063,5	744,6	7,54	22,45	2,31
40 . 25	1289,4	820,0	7,44	22,74	2,29
50 . 25	1513,7	888,4	7,45	22,74	2,29
60 . 25	1736,4	951,7	7,38	23,0	2,26
70 . 25	1958,1	1010	7,53	22,45	2,31
80 . 25	2180,5	1066	7,50	22,65	2,30
90 . 25	2402	1119	7,49	22,66	2,30
100 . 25	2623	1169	7,45	22,74	2,29
105,5 . 25	2730	1184	7,47	22,70	2,30
10 . 25 + $K_1$	3068	1269*	7,40	22,80	2,28
130 . 25	3286	1309	7,53	22,45	2,31
30 . 25 + $K_2$	3561	1362*	7,49	22,66	2,30
30 . 25 + $W$	3669	1383*	7,50	22,65	2,30
150 . 25 + $W'$	3729,9	1394	7,40	22,85	2,28
30 . 25 + $W''$	3899	1426*	7,40	22,85	2,28
160 . 25	3951	1435	7,1—7,6	~ 23	2,26
170 . 25	4171	1475	7,1—7,8	~ 22,7	2,30
195 . 25	4503,9	1532	7,1—7,7	~ 22,7	2,30
.....	.....	.....	.....	.....	.....
150 . 25 + $K_2$	(6108)	1783*	~ 7,0	~ 24	(~ 2,17)

Mittel 2,28

Die Abweichung der einzelnen Zahlen liegt innerhalb der Beobachtungsfehler, die aus einem Grunde, den ich nicht recht anzugeben weiß, bei Benzol größer sind als bei Petroleum. Es hängt dies vielleicht mit folgendem zusammen. Wenn man einen Kondensator mit Petroleum durch einen von gleicher Kapazität, dessen Dielektrikum Benzol ist, vertauscht, so habe

1) E. Marx, Wied Ann. 66. p. 429. 1898.

ich immer gefunden, daß die Strahlung des Primärsystems *ceteris paribus* größer beim Benzolkondensator als beim Petroleumkondensator ist. So konnte ich mit der letzthin von Drude angegebenen Methode<sup>1)</sup> bei Verwendung von Teslaströmen und einem variablen Luftresonator mit der Drudeschen Leuchtröhre in weit größerer Entfernung eine Einstellung bei Benzol als bei Petroleum erhalten. — Mit Drudes Methode habe ich alsdann auch zu prüfen gesucht, ob sich nach ihr derselbe Wert der Dielektrizitätskonstante ergibt, wie ich ihn hier fand. Der Nernstsche<sup>2)</sup> Wert 2,16 und der Drudes für  $n^2 = 2,15$  ( $\lambda = 75$  cm) weichen beträchtlich von dem hier erhaltenen 2,28 ab. — Die Einstellung, die ich am Kondensator unter Verwendung von Teslaströmen bei möglichst geringer Kopplung mit Drudes Methode erhielt, war 7,9 mm. Dies entspräche einer noch größeren Abweichung von den früheren Werten.

Es ist wohl möglich, daß der erhaltene absolute Wert aus dem gleichen Grunde, wie oben beim Petroleum, vergrößert erscheint; jedenfalls können prinzipielle Fehler die Diskrepanz herbeigeführt haben.

Das prinzipiell wichtige Resultat wird hierdurch nicht berührt, und läßt sich dahin zusammenfassen, *daß in dem Bereiche von 10—34 m Wellenlänge eine Dispersion nicht stattfindet, wenigstens nicht innerhalb 1 Proz. Unsicherheit.*

#### Wasser.

Um die Dielektrizitätskonstante des Wassers nach dieser Methode zu untersuchen, ist es nicht angängig, den Wasserkondensator direkt in den Primärleiter einzuschalten.

Die Induktorschwingung geht durch das Wasser hindurch und es kann infolgedessen keine Schwingung im Kondensatorkreis zu stande kommen. Teslaströme nach Drudes Vorgang zu verwenden, ist aber hier (§ 6, 3. C.  $\beta$ ) nicht angängig.

Es wurde deshalb hier so verfahren, daß dem Luftkondensator zwei Kondensatoren in Hintereinanderschaltung substituiert wurden. In dem einen Kondensator von konstanter Kapazität befand sich Petroleum, in dem zweiten, variablen, Wasser (Fig. 14).

1) P. Drude, Ann. d. Phys. 9. p. 298. 1902.

2) W. Nernst, Wied. Ann. 60. p. 611. 1897.



Der Petroleumkondensator hat eine Kapazität gleich 459 cm. Die Luftkapazität des Wasserkondensators ist für den Einstellungsbereich durch die Stimmgabelmethode geaicht (§ 4. 3). Der Durchmesser des Troges beträgt 15 cm. Die Zuführung des Stromes zu den Kondensatorplatten (29 mm Durchmesser, 2 mm Dicke) erfolgt durch einen Draht, der unter der Befestigungsplatte des Mikrometers endigt; der zweite endet in der unteren Platte. Der Abstand dieser Drähte ist hier also unveränderlich, und zwar wurde die Zuführung, wie sie bei

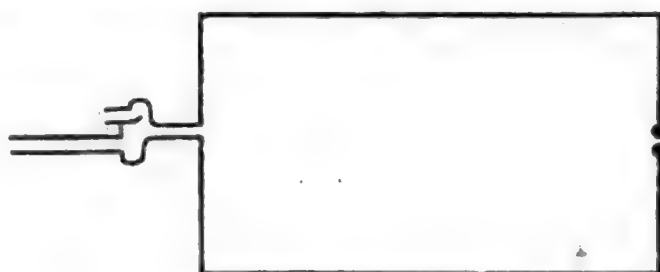


Fig. 14.

Benzol und Petroleum verwandt wurde, hier nicht genommen, um zu vermeiden, das Selbstinduktion und Kapazität der Zuführungsdrähte beim Verschrauben der Platten, die ja verhältnismäßig klein sind, sich mit ändern, und daß diese Änderung infolge der großen Dielektrizitätskonstante des Wassers die Einstellung beträchtlich beeinflußt.

Die Fläche, welche so durch die Zuführungsdrähte eingeschlossen wird, stellt sich etwa als ein Rechteck 4 cm  $\times$  7 cm dar. Das Dielektrikum zwischen den Drähten ist zum Teil Wasser.

Die erhaltenen Einstellungen bei variiertter Wellenlänge sind die folgenden.

$\frac{\lambda}{2}$	Plattenabstand	Entsprechende Luftkapazität (§ 4, 3.)
888,4	7,6 mm	2,08 cm
860,0	7,7	—
820,0	8,1	2,07 cm
782,0	8,0	—
744,6	7,9	—
703,6	7,6	—
659	7,8	—
554	7,8	—

Will man aus diesen Einstellungen, in Verbindung mit den Kapazitätsmessungen in § 4, 3. die ungefähre Größe der Dielektrizitätskonstante ermitteln, so ist hierbei zu berücksichtigen, daß das obere Stück des Mikrometers und die Befestigungsplatte nicht an der Kapazitätsvermehrung im Wasser teilnimmt. Ist  $a'$  die Kapazität dieses Ansatzstückes;  $a = \beta + \gamma/2$  (vgl. § 4, 3.) die Kapazität des in Wasser tauchenden Kondensatorsteiles für Luft, so ist angenähert

$$c_1 = ax + a'$$

die Kapazität, wenn  $x$  die dielektrische Konstante des Wassers ist. Die Kapazität  $a'$  läßt sich nach bekannten elektrostatischen Formeln durch Ausmessen auf einige Prozent bestimmen, und ergibt sich hier zu 1,55 cm.  $a$  ist also gleich 0,53 cm für 7,5 cm Abstand.

Ist  $L$  die Selbstinduktion des Schließungskreises,  $L'$  die der Zuführungsdrähte am Wassertrog,  $C$  die Kapazität des Luftkondensators,  $c_2$  die des Petroleumkondensators, so ergibt sich  $x$ , die Dielektrizitätskonstante, zu:

$$x = \frac{\frac{c \cdot L}{L + L'} (c_2 + a') - a' c_2}{a \left( c_2 - \frac{c L}{L + L'} \right)}.$$

Setzt man  $L = 239$ , was der Selbstinduktion eines Rechtecks 4 cm  $\times$  7 cm entspricht (in Wirklichkeit wird  $L$  größer sein, da teilweise Wasser innerhalb der Fläche ist), so wird z. B. für  $\lambda/2 = 659$  cm

$$x = \frac{\frac{52,9 \cdot 833}{1072} \cdot 460,5 - 688}{0,53 \left( 459 - \frac{52,9 \cdot 833}{1072} \right)} \sim 82,3.$$

Der Wert ist natürlich eine ganz rohe Näherung und an sich wahrscheinlich der Wahrheit näher liegend, als es einer Schätzung dieser Art zukommt, da ja wegen der geringen Größe des  $a$  viel mehr als die Größenordnung nicht erwartet werden kann.

Die Änderung des Luftwertes des Kondensators bei einer Verschiebung von 7,6 bis 8,1 mm Abstand ist nach § 4, 3. so gering, daß diese Einstellungsabweichungen beträchtlich unter 1 Proz. der Kapazität betragen. Es läßt sich demnach sagen:

*Es ist auch bei Wasser innerhalb unseres Wellenbereiches keine Dispersion der Dielektrizitätskonstante, bei etwa  $\frac{1}{2}$  Proz. Meßgenauigkeit, zu erweisen.*

Ich habe dieses Ergebnis mit der oben erwähnten Drudeschen Anordnung mit Teslaschwingungen und einem Kondensator von 19,5 mm Durchmesser der Platten nachgeprüft; die Einstellung der Plattenentfernung war schwankend zwischen 17,5 mm und 16 mm. Mit Rücksicht auf die hier noch viel größere Plattenentfernung bei kleinerem Durchmesser ist auch hier die Einstellungsabweichung wohl nicht viel größer als etwa  $\frac{1}{2}$  Proz.

Jedenfalls geht aus diesen Messungen hervor, daß in diesem Bereiche des elektrischen Spektrums keine Abweichungen bis zu 2 Proz., wie sie von anderer Seite gemessen waren, in Bezug auf die Dielektrizitätskonstante des Wassers existieren. Es folgt somit auch, daß eine seinerzeit von mir für die Darstellung der vorhandenen Messungen mit Vorbehalt aufgestellte empirische Formel

$$\lambda_{\max.} = 2^{2n+1} \cdot \rho$$

(nach der Maxima der Dielektrizitätskonstante für Wellenlängen folgen würden, die sich nach obiger Formel berechnen, wenn  $n$  ganze ungerade Zahlen,  $\rho$  eine Konstante ist) für lange Wellen nicht richtig ist. — Was die bis zu 10 Proz. gehenden Abweichungen der nach verschiedenen Methoden mit kurzen Wellen bei Wasser gemessenen Dielektrizitätskonstanten anbetrifft, so möchte ich hier wie schon in der früheren Arbeit<sup>1)</sup> darauf hinweisen, daß es sehr zweifelhaft ist, und erst durch Messungen nach *einheitlicher* Methode festgestellt werden kann, ob Richtungswechsel im Dispersionsverlauf des Wassers stattfinden.

Von den für *kurze* Wellen vorliegenden Beobachtungen kann man die nach Drudes Methode von Drude und von mir angestellten Beobachtungen allein, als in diesem Sinne „*einheitlich*“ und demnach als vergleichbar betrachten.<sup>2)</sup> Die

1) E. Marx, l. c. p. 606.

2) Der entsprechende Satz in der Habilitationsschrift ist von mir etwas geändert worden, da die dortige Ausdrucksweise, wie Hr. Drude mich freundlichst aufmerksam machte, mißverstanden werden konnte. Außerdem ist dort, wie sofort ersichtlich, statt „anomal“ normal zu setzen. — Hr. Drude hatte auch freundlichst darauf hingewiesen, daß in der Tabelle Wied. Ann. 66. p. 599 statt  $\lambda = 44$  cm . . .  $\lambda = 38$  cm stehen muß und statt 9,07 . . . 9,04. Letzteres Versehen ist in der Kurve nicht gemacht worden.

Zusammenstellung<sup>1)</sup> dieser Werte ergibt alsdann rein *normalen* Dispersionsverlauf, in Übereinstimmung mit einer von Drude<sup>2)</sup> bereits früher vertretenen Ansicht.

### § 8. Schluß.

In unserem Apparat ist für lange Wellen eine einheitliche Methode der Untersuchung auf Dispersion der Dielektrizitätskonstante geschaffen. Ein Apparat, der das gleiche für sehr kurze Wellen leistet, liegt bisher nicht vor; *erst eine Methode, die auch bei kurzen Wellen einheitlich vorgeht, wird die wichtige Frage nach Eigenschwingungen im elektrischen Spektrum völlig entscheiden.* Für lange Wellen sind bisher nirgends Eigenschwingungen erwiesen.

Hrn. Prof. Dr. Wiener danke ich bestens für seine wertvollen Ratschläge und Anregungen und die freundliche Überlassung der Mittel für die vorliegende Arbeit.

Leipzig, Phys. Inst., Februar 1903.

1) E. Marx, Phys. Zeitschr. 4. p. 531. 1903.

2) P. Drude, Wied. Ann. 59. p. 41. 1896.

(Eingegangen 22. Juni 1903.)

### 3. *Über die Zerstäubung galvanisch glühender Metalle; von G. Aeckerlein.*

(Auszug aus der Inaugural-Dissertation.)

Die im folgenden beschriebenen Versuche hatten den zweifachen Zweck: einmal den Zerstäubungsvorgang galvanisch glühender Drähte nach seinem Zusammenhang mit den Elektrisierungs- und Leitfähigkeiterscheinungen im umgebenden Gase, wie sie namentlich von Elster und Geitel<sup>1)</sup>, Fleming<sup>2)</sup>, Stark<sup>3)</sup> und Preece<sup>4)</sup> beobachtet wurden, auf einem weiteren Gebiete zu untersuchen; sodann aber dem Wesen der Zerstäubung selbst nachzuforschen. Eine ausführliche Darstellung des im folgenden kurz Zusammengefaßten findet sich in meiner Inaugural-Dissertation.<sup>5)</sup>

Meine Versuche über den Zusammenhang der Zerstäubung mit den von Fleming, Stark und Preece in eingehender Weise untersuchten „Gasströmen“ gingen von zwei Beobachtungstatsachen aus. Die eine Beobachtung war die von Berliner<sup>6)</sup>, daß Platin- und Palladiumdrähte stärker und schneller zerstäubten, wenn sie Gase okkludiert enthielten, als wenn sie durch längeres Ausglühen nach Möglichkeit von Gasen befreit waren. Es sollte nun untersucht werden, ob mit der Abnahme der Zerstäubung bei längerem Ausglühen auch die Leitfähigkeit

1) J. Elster u. H. Geitel, Wied. Ann. **31**. p. 109. 1887.

2) J. A. Fleming, Electrician **24**. p. 393 u. 417. 1890; Phil. Mag. (5) **42**. p. 52. 1896.

3) J. Stark, Wied. Ann. **68**. p. 919. 931. 942. 1899.

4) H. W. Preece, Proc. of the Roy. Soc. **38**. p. 219. 1885.

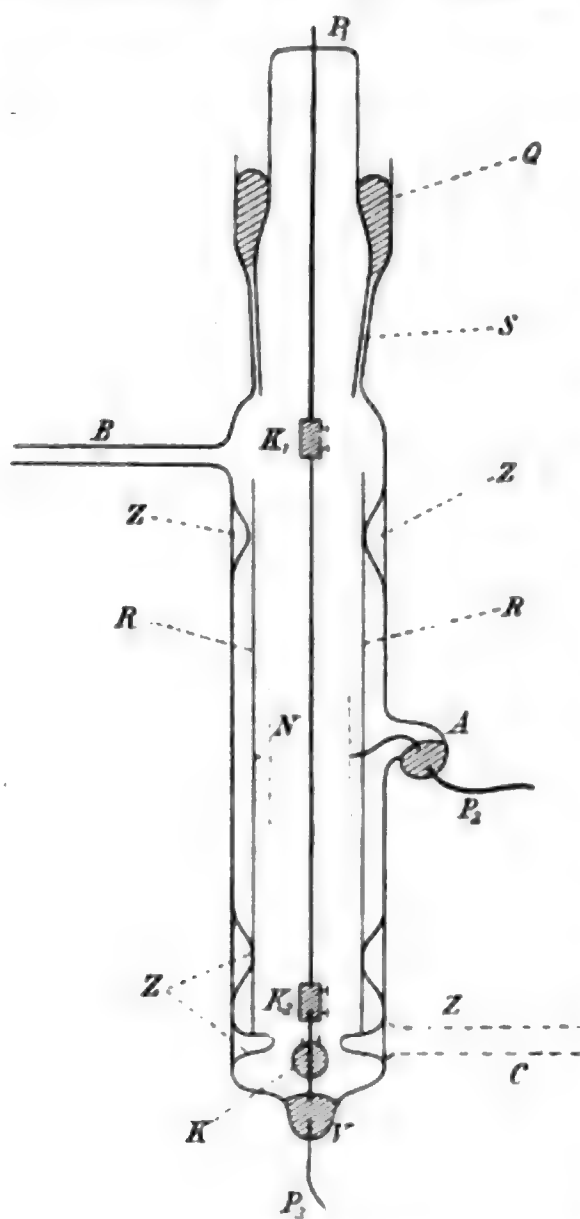
5) G. Aeckerlein, Inaug.-Diss. Straßburg 1902.

6) Berliner, Wied. Ann. **33**. p. 289. 1888.



des umgebenden Gases sich änderte; doch wurde dieser Weg wegen seiner Langwierigkeit bald aufgegeben und der zweite eingeschlagen, der seinen Ausgang von der Beobachtung von Elster und Geitel nahm, daß die Zerstäubung in Wasserstoff ausbleibt. Es fragte sich, ob gleichzeitig auch der Gasstrom verschwindet, was indessen nach den angestellten Versuchen nicht der Fall ist. Der zu diesen Versuchen benutzte Apparat war der folgende.

Ein zylindrisches Glasgefäß von 25 cm Länge und 3 cm Durchmesser ist an seinem oberen Ende offen und durch



$\frac{1}{3}$  nat. Größe.

ein Schliffstück *S*, sowie durch Quecksilber *Q* luftdicht verschließbar. Das Glasgefäß hat zwei Ansätze *A* und *B* und an seinem unteren Ende eine becherartige Vertiefung *F*. *B* führt zur Luftpumpe. Durch das Schliffstück *S*, den Ansatz *A* und die Vertiefung *F* führen dicke Platindrähte *P*<sub>1</sub>, *P*<sub>2</sub> und *P*<sub>3</sub> luftdicht eingeschmolzen in das Innere des Gefäßes. An den Platindraht *P*<sub>1</sub> wurden die zum Zerstäuben bestimmten dünnen Platin- oder Palladiumdrähte mittels eines Klemmschraubchens *K*<sub>1</sub> angehängt und durch ein quecksilbergefülltes Glaskügelchen *K*, das mit Hilfe eines hindurchgeführten Platindrahtes und der Klemmschraube *K*<sub>2</sub> an dem unteren Ende des aufgehängten Drahtes befestigt war, dauernd straff gespannt. Der das Glas-

kügelchen *K* durchbohrende Platindraht taucht mit seinem freien Ende in die Vertiefung *F*, so daß hier durch einen Quecksilbertropfen eine leitende Verbindung mit dem eingeschmolzenen Platindrahte *P*<sub>3</sub> hergestellt werden kann. Durch

Zapfen  $Z$ , die in das Innere des Glasgefäßes hineinragen, kann ein eingeschobenes zylindrisches Glasrohr  $R$  unterstützt und in vertikaler Stellung festgehalten werden. Dieses Glasrohr dient zum Auffangen des Metallstaubes und kann nach Belieben ausgewechselt werden. In der Mitte seiner Länge hat es zwei kleine, einander diametral gegenüberstehende Öffnungen. Diese haben den Zweck, ein zylindrisches Netz  $N$  aus Platindraht von 3 cm Länge, 0,8 cm Durchmesser und 1 mm<sup>2</sup> Maschenweite so zu befestigen, daß seine Achse mit der Achse der Glasröhre  $R$  zusammenfällt, es also den zerstäubenden Draht ringförmig umschließt; und gleichzeitig führt von dem Netz durch eine der Öffnungen in  $R$  ein Platindraht in den Ansatz  $A$  hinein, wo wieder durch einen Quecksilbertropfen leitender Kontakt mit dem eingeschmolzenen Platindrahte  $P_2$  hergestellt werden kann. Das Netz  $N$  dient als Elektrode zur Abnahme des Gasstromes. Der Glühstrom wird durch die Platindrähte  $P_1$  und  $P_3$  zu- bez. abgeleitet. Ein zweites, genau ebenso konstruiertes Glasgefäß trägt an seinem unteren Ende noch ein zweites, dem Rohre  $B$  gleiches Ansatzrohr  $C$ , das in der Figur punktiert gezeichnet ist, und zum Einlassen verschiedener Gase dient. Die Verbindung mit der Quecksilberluftpumpe und den Gasbereitungsapparaten geschah durch dünne Bleirohre, die mit Siegellack in die entsprechenden Glasrohransätze eingekittet wurden.

Mit dem zu den Versuchen erforderlichen Wasserstoff wurde nun ein Palladiumblech elektrolytisch beladen und sodann in ein Glasrohr eingeschlossen, das durch einen Hahn und durch Bleirohr mit dem zweiten der oben beschriebenen Versuchsgefäße verbunden wurde. Nach sorgfältiger Entfernung der Luft aus dem Wasserstoffrohr wurde die erforderliche Menge Wasserstoff durch Erwärmen des Palladiumbleches entwickelt.

In der so hergestellten Wasserstoffatmosphäre zerstäubten nun wider Erwarten die zum Versuch verwendeten Platindrähte, wenn auch bedeutend schwerer als im Vakuum. Es scheint indessen, daß dieses schwerere Zerstäuben nach unten zu beschreibenden Versuchen nicht lediglich der besonderen Natur des Wasserstoffgases zuzuschreiben ist, sondern vielmehr dem höheren Gasdrucke, unter dem die Versuche stattfanden; denn auch in atmosphärischer Luft ist bei den gleichen

Drucken die Zerstäubung entsprechend schwerer zu erhalten. Wenn daher die Versuche auch nicht die beabsichtigte Trennung von Zerstäubung und Gasstrom herbeiführten, so lassen sie doch einige Schlüsse über die Beziehungen zwischen beiden Erscheinungen zu, wie die folgenden Tabellen zeigen. Das Wesentliche ist, daß keine Leitfähigkeiterscheinungen beobachtet wurden, die etwa für den Wasserstoff charakteristisch wären, wie die Tabellen über ganz entsprechende Versuche in Luft erkennen lassen, die ich den Tabellen über die Wasserstoffversuche unmittelbar anfüge. Da aber auch die Zerstäubung in beiden Gasen keinen wesentlichen Unterschied erkennen ließ, so wäre aus den Versuchen kein Resultat über den Zusammenhang von Leitfähigkeit und Zerstäubung zu ziehen, wenn aus ihnen nicht deutlich hervorginge, daß Gasströme und Zerstäubung hinsichtlich ihrer Art und Stärke nicht durchgängig aneinander gebunden sein können.

Für die hier in Betracht kommenden Leitfähigkeitserscheinungen in Gasen ist charakteristisch ihre Polarität, d. h. die Leitfähigkeit ist verschieden für Ströme von entgegengesetzter Richtung. Zur leichteren Übersicht möge der Gasstrom in der Richtung Netz  $\rightarrow$  Draht positiver (+), der in der Richtung Draht  $\rightarrow$  Netz negativer (–) Gasstrom heißen; dementsprechend die Polarität positiv, wenn der + Strom der stärkere ist, negativ im umgekehrten Falle. „Absolut“ soll die Polarität heißen, wenn überhaupt nur in der einen Richtung ein Strom zu beobachten war.

Nun war die Polarität im Vakuum stets absolut positiv, in Gas von höherem Druck (gleichgültig ob in Luft oder Wasserstoff) dagegen teils positiv, teils negativ, teils Null. Die Veränderungen in der Zerstäubung aber liefen diesen Veränderungen der Polarität durchaus nicht immer parallel. Dies ist am besten aus den Tabellen zu ersehen. Die Versuche wurden mit Platindrähten angestellt. Die Versuchsanordnung war derart, daß das Netz  $N$  (vgl. Figur) durch ein Spiegelgalvanometer von der Empfindlichkeit  $2 \cdot 10^7$  mit dem Drahte  $P_1$  verbunden wurde. In diese Verbindung konnte durch geeignet angeordnete Wippen eine Spammersche Chromsäurebatterie von 60 Zellen ganz oder teilweise so eingeschaltet werden, daß das eine Mal der positive, das andere Mal der negative Pol am Netze anlag. Der Glüh-

strom, der den Platindraht zerstäubte, konnte kommutiert werden. Die Richtung des Glühstromes von  $P_1$  nach  $P_3$  (in der Figur von oben nach unten), wobei also das Netz mit der Eintrittsstelle des Glühstromes verbunden war, soll durch einen von oben nach unten gerichteten Pfeil  $\downarrow$  angedeutet werden, die entgegengesetzte Richtung (Netz an der Austrittsstelle des Glühstromes anliegend) durch einen aufrechten Pfeil  $\uparrow$ . Die ersten zwei Kolonnen der Tabellen geben die Stärke des Gasstromes ohne eingeschaltete Chromsäurebatterie (in Skalenteilen Ausschlag gemessen) an, und zwar die erste Kolonne die Stärke des positiven, die zweite die des negativen Gasstromes; die nächsten zwei Kolonnen die Stärke des positiven Stromes (wobei die Chromsäurezellen mit dem positiven Pole am Netze lagen) und zwar für die beiden entgegengesetzten Glühstromrichtungen; ebenso die letzten zwei Kolonnen die Stärke des negativen Stromes (wobei der negative Pol der Zellen am Netze anlag), wiederum für die beiden Glühstromrichtungen. Die Ausschläge in Kolonne 3 und 4 sind also beide von gleicher Richtung, aber entgegengesetzt zu den Ausschlägen in Kolonne 6 und 7, was durch ein angehängtes  $r$  (rechts) und  $l$  (links) angedeutet ist. In der fünften Kolonne ist die Anzahl der eingeschalteten Chromsäurezellen angegeben.

Tabelle I.

Wasserstoff von 5 mm Hg Druck. Platindraht.

Gasstrom:	Ohne Batterie		Netz $\rightarrow$ Draht		Zellen	Draht $\rightarrow$ Netz		Glühgrad
Glühstrom:	$\downarrow$	$\uparrow$	$\downarrow$	$\uparrow$		$\downarrow$	$\uparrow$	
	4 r	1 l	21 r	22 r	60	1,5 l	1,5 l	
	3 r	0,5 l	15 r	18 r	60	1 l	1 l	
	5 r	1 l	24 r	25 r	60	1,5 l	1,5 l	
	4 r	1 l	17 r	19 r	60	1,5 l	1,5 l	
	5 r	1,5 l	26 r	26 r	60	1,5 l	1,5 l	
	16 r	3 l	80 r	80 r	60	4 l	4,5 l	
	14 r	2 l	56 r	55 r	60	2,5 l	2,5 l	
	10 r	1,5 l	70 r	70 r	60	2,5 l	3 l	

Tabelle II.

Wasserstoff von 44 mm Hg Druck. Platindraht.

Gasstrom:	Ohne Batterie		Netz → Draht		Zellen	Draht → Netz		Glühgrad
Glühstrom:	↓	↑	↓	↑		↓	↑	
	1 r	4 l	2,5 r	1 r	19	5 l	5,5 l	hellgelb
	1 r	3 l	1,5 r	2 r	19	4 l	5 l	fast weiß
	1 r	3,5 l	1,5 r	1,5 r	19	4 l	4 l	fast weiß
	5 r	8 l	9 r	7,5 r	19	23 l	22 l	fast weiß
	7 r	7 l	10 r	9 r	19	20 l	19 l	weiß
	7 r	6,5 l	9 r	9 r	19	18 l	17 l	
	7 r	6 l	9 r	9,5 r	19	16,5 l	15 l	
	1 r	2 l	1 r	1 r	19	2 l	2,5 l	vermindert
	5,5 r	4,5 l	8,5 r	8 r	19	12,5 l	11 l	erhöht
	8,5 r	6 l	11 r	11 r	19	15,5 l	14 l	
	6 r	5 l	18 r	17 r	60	15 l	13 l	
	8 r	5 l	19 r	18 r	60	15 l	13 l	
	9 r	5 l	11 r	11 r	19	12 l	10,5 l	
	8 r	4,5 l	10 r	10 r	19	11 l	10 l	
	2 r	1,5 l	2,5 r	2,5 r	19	3,5 l	3,5 l	vermindert
	2 r	1,5 l	4,5 r	5 r	60	3 l	3 l	

Tabelle III.

Wasserstoff von 46 mm Hg Druck. Platindraht.

Gasstrom:	Ohne Batterie		Netz → Draht		Zellen	Draht → Netz		Glühgrad
Glühstrom:	↓	↑	↓	↑		↓	↑	
	1,5 r	1,5 l	6 r	5 r	60	4 l	3 l	weiß
	2 r	2 l	5,5 r	6 r	60	4,5 l	4 l	
	2 r	2 l	3 r	2 r	10	3,5 l	4 l	
	2 r	2 l	3 r	3 r	20	4 l	3,5 l	
	2 r	2 l	3,5 r	3,5 r	10	5 l	4 l	
	2 r	2 l	7 r	7 r	60	5,5 l	5 l	
	2 r	2 l	3,5 r	3 r	10	4 l	3,5 l	
	5,5 r	4 l	9,5 r	7 r	10	8,5 l	8 l	
	6 r	4 l	19 r	17 r	60	11 l	9 l	



Tabelle IV.

Wasserstoff von 4,8 mm Hg Druck. Platindraht.

Gasstrom:	Ohne Batterie		Netz → Draht		Zellen	Draht → Netz		Glühgrad
Glühstrom:	↓	↑	↓	↑		↓	↑	
	1 r	8 l	4 r	4 r	60	12 l	12 l	fast weiß
	1 r	4 l	3 r	3 r	60	5 l	5 l	„ „
	1,5 r	5 l	6 r	6,5 r	60	6 l	6 l	„ „
	1 r	4 l	6 r	5 r	60	5 l	5 l	weiß
	1 r	3,5 l	1,5 r	1,5 r	10	4 l	4 l	„
	1 r	2,5 l	4,5 r	5 r	60	2,5 l	2,5 l	„
	2 r	3 l	10 r	9 r	60	3 l	3,5 l	gesteigert
	2 r	2,5 l	2 r	2 r	10	2,5 l	3 l	
	8 r	3 l	11,5 r	11,0 r	10	2,5 l	3 l	
	8,5 r	2 l	44 r	40,5 r	60	2 l	2 l	{ fängt an, sichtbar zu zerstäuben

Draht hat etwa 2 Stunden geglüht; es hat beträchtliche Zerstäubung stattgefunden.

Tabelle V.

Wasserstoff von 1/2 Atm. Druck. Platindraht.

Gasstrom:	Ohne Batterie		Netz → Draht		Zellen	Draht → Netz		Glühgrad und Zerstäubung
Glühstrom:	↓	↑	↓	↑		↓	↑	
	0	0,5 l	1 r	1 r	60	4 l	4 l	gelb
	2 r	1 l	6 r	7 r	60	10 l	11 l	hellgelb
	2 r	1 l	2,5 r	2,5 r	10	6 l	7 l	{ noch keine Zerstäubung
	4,5 r	1 l	4,5 r	5 r	10	7,5 l	10 l	{ Glühgrad gesteigert
	3 r	1,5 l	7 r	7,5 r	60	7,5 l	8 l	
	7,5 r	2 l	12,5 r	18,5 r	60	12 l	12,5 l	fast weiß
	5	2 l	6,5 r	5,5 r	10	7,5 l	8 l	
	11 r	3,5 l	15,5 r	14,5 r	10	8,5 l	14 l	weiß
	9,5 r	2 l	14 r	14 r	10	5,5 l	6 l	
	8,5 r	2 l	23 r	28,5 r	60	6 l	5,5 l	{ Zerstäubung schwach sichtbar

Draht hat etwa 1 Stunde lang weiß geglüht; es hat Zerstäubung stattgefunden.

Tabelle VI.

Wasserstoff von 1 Atm. Druck. Platindraht.

Gasstrom:	Ohne Batterie		Netz → Draht		Zellen	Draht → Netz		Glühgrad
Glühstrom:	↘	↗	↘	↗		↘	↗	
	0,5 r	0,5 l	0,5 r	1 r	60	2,5 l	3 l	gelb
	0,5 r	0,5 l	1 r	1 r	60	7 l	7 l	hellgelb
	1 r	1 l	3 r	3 r	60	7,5 l	8,5 l	heller
	3,5 r	1,5 l	10 r	12 r	60	9,5 l	10,5 l	fast weiß
	3 r	1 l	4 r	3,5 r	10	4 l	6 l	"
	9 r	1,5 l	34 r	36 r	60	6,5 l	6,5 l	weiß
	13 r	1,5 l	20 r	17 r	10	3,5 l	4,5 l	

Draht hat 1 Stunde lang weiß geglüht; es hat etwa ebenso starke Zerstäubung wie beim vorhergehenden Versuche stattgefunden.

Tabelle VII.

Wasserstoff von ca.  $\frac{3}{4}$  Atm. Druck. Platindraht.Empfindlichkeit des Galvanometers =  $2 \cdot 10^6$ .

Gasstrom:	Ohne Batterie		Netz → Draht		Zellen	Draht → Netz		Glühgrad
Glühstrom:	↘	↗	↘	↗		↘	↗	
	5 r	0 l	30 r	30 r	40	0,5 l	0,5 l	hellgelb
	4 r	0 l	26 r	26 r	20	0,5 l	0,5 l	"
	10 r	0,5 l	57 r	60 r	40	5,5 l	6 l	fast weiß
	5 r	0,5 l	45 r	53 r	60	7 l	6 l	"
	23 r	2 l	123 r	110 r	60	23 l	25 l	weiß
	20 r	1,5 l	70 r	76 r	40	19 l	20 l	"
	20 r	1,5 l	60 r	55 r	21	13 l	17 l	"

Zerstäubung war nicht zu konstatieren.

Tabelle VIII.

Wasserstoff von ca.  $\frac{1}{2}$  Atm. Druck. Platindraht.

Gasstrom:	Ohne Batterie		Netz → Draht		Zellen	Draht → Netz		Glühgrad
Glühstrom:	↘	↗	↘	↗		↘	↗	
	2 r	0,5 l	8 r	9,5 r	60	1 l	1 l	hellgelb
	2 r	0,5 l	8,5 r	8 r	40	1 l	1 l	"
	2 r	0,5 l	6,5 r	6,5 r	21	1 l	1 l	"
	2 r	0,5 l	3,5 r	4 r	9	1 l	1 l	"
	20 r	3 l	70 r	69 r	40	11 l	13 l	weiß
	20 r	2 l	80 r	80 r	60	11 l	11 l	"

Keine Zerstäubung wahrzunehmen.

Tabelle IX.

Wasserstoff von 20 mm Hg Druck. Platindraht.

Gasstrom:	ohne Batterie		Netz → Draht		Zellen	Draht → Netz		Glühgrad
Glühstrom:	↓	↑	↓	↑		↓	↑	
	18 r	0 l	85 r	90 r	60	0 l	0 l	gelb
	94 r	3 l	290 r	208 r	39	6,5 l	4,5 l	weiß
	25 r	0,5 l	62 r	61 r	39	1 l	1 l	hellgelb
	1,5 r	0 l	7 r	7,5 r	39	0 l	0 l	gelb
	43 r	1 l	120 r	124 r	39	2,5 l	1 l	weiß

Nach etwa einstündigem Glühen keine Zerstäubung wahrnehmbar.

Tabelle X.

Luft von 5,2 mm Hg Druck. Platindraht.

1 Skt. =  $2 \cdot 10^{-7}$  Amp.

Gasstrom:	ohne Batterie		Netz → Draht		Zellen	Draht → Netz		Glühgrad
Glühstrom:	↓	↑	↓	↑		↓	↑	
	0 r	0 l	0 r	0 r	60	1 l	1 l	gelb
	0,5 r	0 l	2,5 r	2 r	60	0,5 l	0,5 l	hellgelb
	2,5 r	0,5 l	10 r	10 r	60	1 l	1 l	fast weiß; zerstäubt
	4 r	0,5 l	19 r	19 r	60	1 l	1 l	bereits
	9 r	0,5 l	42 r	40 r	60	1 l	1 l	weiß
	9 r	0 l	12 r	12 r	10	0,5 l	1 l	heller

Draht hat etwa  $\frac{1}{2}$  Stunde lang weiß geglüht; sehr schwache Zerstäubung.

Tabelle XI.

Luft von 42 mm Hg Druck. Platindraht.

Gasstrom:	ohne Batterie		Netz → Draht		Zellen	Draht → Netz		Glühgrad
Glühstrom:	↓	↑	↓	↑		↓	↑	
	0,5 r	0 l	2 r	2 r	60	0,5 l	0,5 l	sehr hellgelb
	1,5 r	0 l	5,5 r	5,5 r	60	0,5 l	0,5 l	fast weiß
	3,5 r	0 l	10,5 r	10,5 r	60	0,5 l	0,5 l	weiß
	6 r	0 l	19 r	19 r	60	0,5 l	0,5 l	heller

Draht hat etwa  $\frac{1}{4}$  Stunde lang weiß geglüht; Zerstäubungsbeslag zeigt die Farben dünner Blättchen.

Tabelle XII.

Luft von  $\frac{1}{2}$  Atm. Druck. Platindraht.

Gasstrom:	ohne Batterie		Netz $\rightarrow$ Draht		Zellen	Draht $\rightarrow$ Netz		Glühgrad
Glühstrom	$\downarrow$	$\uparrow$	$\downarrow$	$\uparrow$		$\downarrow$	$\uparrow$	
	0 r	0 l	0,5 r	0,5 r	60	0,5 l	0,5 l	fast weiß
	0,5 r	0 l	2,5 r	2,5 r	60	0,5 l	0,5 l	weiß
	1,5 r	0 l	9 r	9,5 r	60	0,5 l	0,5 l	heller
	2,5 r	0 l	13,5 r	13 r	60	0,5 l	0,5 l	„
	3,5 r	0 l	20 r	20 r	60	1 l	1 l	„
	2,5 r	0 l	10,5 r	9 r	10	0,5 l	0,5 l	

Draht schmilzt bei weiterer Steigerung des Glühgrades durch er hat etwa  $\frac{1}{2}$  Stunde lang weiß geglüht. Brauner Metallbeschlag

Tabelle XIII.

Luft von 1 Atm. Druck. Platindraht.

Gasstrom:	ohne Batterie		Netz $\rightarrow$ Draht		Zellen	Draht $\rightarrow$ Netz		Glühgrad
Glühstrom:	$\downarrow$	$\uparrow$	$\downarrow$	$\uparrow$		$\downarrow$	$\uparrow$	
	0	0	0 r	0 r	60	1 l	1 l	gelb
	0	0	0 r	0 r	60	1 l	1,5 l	hellgelb
	0	0	0 r	0 r	60	1,5 l	2 l	fast weiß
	0	0	0,5 r	0,3 r	60	1,5 l	1,8 l	weiß
	0	0	0,5 r	0,5 r	60	1,5 l	1,5 l	heller
	0	0	1 r	1 r	60	3 l	3 l	„
	0	0	2 r	2 r	60	3 l	3 l	„
	0	0	3,5 r	3,5 r	60	3,5 l	3,5 l	„
	0	0	3,5 r	3 r	60	3 l	3 l	„
	0	0	3,5 r	3,5 r	60	1,5 l	1,5 l	„

Draht schmilzt bei weiterer Steigerung des Glühgrades durch er hat etwa  $\frac{1}{2}$  Stunde lang weiß geglüht; Metallbeschlag schwach braun, zeigt vertikale Streifung.

Tabelle XIV.

Luft von niederen Drucken. Platindraht.

Gasstrom:	ohne Batterie		Netz → Draht		Draht → Netz			Glühgrad
Glühstrom:	↘	↗	↘	↗	Zellen	↘	↗	
Luftdruck in mm Hg								
3. 10 <sup>-3</sup>	0 r	0	0,5 r	0,5 r	60	0	0	gelb
15. 10 <sup>-3</sup>	0 r	0	0,5 r	0,5 r	60	0	0	heller
13. 10 <sup>-3</sup>	0,5 r	0	2 r	2 r	60	0	0	hellgelb
8. 10 <sup>-3</sup>	2,5 r	0	7 r	8 r	60	0	0	fast weiß
32. 10 <sup>-3</sup>								
6. 10 <sup>-3</sup>	8 r	0	18,5 r	21 r	60	0	0	„
32. 10 <sup>-3</sup>								
8. 10 <sup>-3</sup>	8,5 r	0	20 r	23,5 r	60	0	0	„
28. 10 <sup>-3</sup>								
6. 10 <sup>-3</sup>	11 r	0	26 r	28 r	60	0	0	„
21. 10 <sup>-3</sup>								
3. 10 <sup>-3</sup>	9 r	0	23,5 r	25 r	60	—	0	„
16. 10 <sup>-3</sup>								
6. 10 <sup>-3</sup>	10,5 r	0	25 r	27,5 r	60	0	0	„
16. 10 <sup>-3</sup>								
3. 10 <sup>-3</sup>	11,5 r	—	26 r	31,5 r	60	0	0	{ deutliche Zerstäubung
16. 10 <sup>-3</sup>								

Draht schmilzt bei weiterer Steigerung des Glühgrades durch; es hat starke Zerstäubung stattgefunden.

Fügt man zu diesen Ergebnissen noch die wiederholt von mir beobachtete Erscheinung hinzu, daß ein Palladiumdraht ganz beträchtlich zerstäuben kann, ohne daß gleichzeitig ein Gasstrom zu bemerken ist, während umgekehrt bei Platindraht schwache Zerstäubung und starker Gasstrom nebeneinander hergehen können, so wird man zu dem Resultat geführt, daß die Menge der durch das Gas hindurchgegangenen Elektrizität zu der Menge des hindurchtransportierten Metallstaubes in keinem bestimmten Verhältnisse steht. Wenn danach die Leitfähigkeit nicht ausschließlich durch den Zerstäubungsvorgang bedingt sein kann, so deuten doch die folgenden Beobachtungen auf einen gewissen Zusammenhang zwischen Zerstäubung und Polarität hin. Die Polarität hatte nämlich stets dann hohe



positive Werte, wenn das Netz von viel Metallstaub getroffen wurde. Dazu ist folgendes zu bemerken. Die Zerstäubung geht allgemein in Luft etwas leichter vor sich als in Wasserstoff von entsprechendem Druck; wird der Druck bis zu Atmosphärendruck gesteigert, dann wird in Luft der Metallstaub durch den aufsteigenden heißen Luftstrom fortgeführt und bildet an der Glaswand einen verwaschenen, rußartigen, vertikal streifigen Beschlag hauptsächlich im oberen Teile der Glasröhre; in Wasserstoff von gleichem Drucke ist dies nicht der Fall. Bevor diese Verwehung des Metallstaubes vor sich geht, wird also in Luft das Netz von mehr Metallstaub getroffen werden, als in Wasserstoff (der leichteren Zerstäubung wegen), sobald aber der Druck so weit gestiegen ist, daß der Metallstaub weggeweht wird, wird in Luft weniger Staub zum Netze gelangen als in Wasserstoff, wo die Fortführung nicht stattfindet. Die Tabellen zeigen nun, daß bei Drucken bis zu  $\frac{1}{2}$  Atmosphäre die Polarität in Luft stärker positiv ist, als in Wasserstoff; bei Atmosphärendruck dagegen schwächer positiv.

Fleming beobachtete bei seinen Glühlampenversuchen, daß die Gasentladung hauptsächlich von dem Teile des Kohlefadens ausgeht, wo der Glühstrom die Lampe verläßt; bei meinen Versuchen umschloß das als Elektrode dienende Netz nicht genau die Mitte des glühenden Drahtes, sondern war nach dem einen Ende desselben zu verschoben, so daß es sich beim Kommutieren des Glühstromes das eine Mal näher bei dessen Eintrittsstelle, das andere Mal näher der Austrittsstelle befand. Die Stärke des Gasstromes war indessen nach den Tabellen in beiden Fällen im allgemeinen die gleiche.

Aus den Tabellen ist ferner das Resultat zu entnehmen, daß die positive Polarität um so stärker hervortritt, je größer die Potentialdifferenz zwischen Elektrode und Draht ist. Eine Erklärung hierzu geben die folgenden Beobachtungen. Der Glühgrad des Drahtes wurde so reguliert, daß eine Gasentladung zwischen Netz und Draht stattfand. Sodann wurde dieser Gasstrom durch gegengeschaltete Chromsäurezellen kompensiert, und so ein Maß für die Potentialdifferenz zwischen Netz und Draht, die den Gasstrom in Bewegung setzte, erhalten. Durch weiteres Zuschalten von Zahlen wurde dann

ein dem ursprünglichen Gasstrom entgegengerichteter eingeleitet. Bei weiterer Vermehrung der Zellenzahl ergab sich nun ein wesentlicher Unterschied zwischen positivem und negativem Gasstrom. Während der positive Gasstrom mit der Erhöhung der elektromotorischen Kraft immer weiter wuchs, erreichte der negative sehr bald einen konstanten Wert. Diese Verhältnisse sind am besten aus den folgenden Tabellen zu ersehen, wo die erste Zeile die Anzahl der gegengeschalteten Elemente, die zweite die entsprechenden Ausschläge in Skalenteilen angibt. Das Vorzeichen deutet die Richtung des Gasstromes nach früherer Festsetzung an.

Wasserstoff von 5 mm Hg Druck.

Strom Netz → Draht (+) ist stärker.

Gegengeschaltete Zellen:	0	1	2	3	4	5	19	60
Ausschlag:	+13,0	+11,0	+9,0	+1,5	-2,0	-2,5	-2,5	-2,5

Wasserstoff von 46 mm Druck.

Strom Netz → Draht stärker. Weißglut.

Gegengeschaltete Zellen:	0	1	2	3	4	5	6	7	8	9	10	60
Ausschlag:	+6,0	+4,5	+3,0	0,0	-2,5	-5,0	-7,0	-7,5	-8,0	-8,0	-8,5	-10,0

Wasserstoff von 46 mm Druck.

Strom Netz → Draht stärker. Weißglut.

Gegengeschaltete Zellen:	0	1	2	3	4	5	6	7	8	9	60
Ausschlag:	-4,0	-2,5	+1,0	+4,5	+7,0	+7,0	+8,0	+8,0	+8,5	+9,0	+12,0

Luft von 5,2 mm Druck.

Strom Netz → Draht stärker. Weißglut.

Gegengeschaltete Zellen:	0	1	2	3	9	60
Ausschlag:	+4,0	+8,0	0,0	0,0	-0,5	-1,0

Luft von 42 mm Druck.

Strom Netz → Draht stärker. Weißglut.

Gegengeschaltete Zellen:	}	0	1	2	3	9	60
Ausschlag:		+3,0	+1,5	0,0	0,0	-0,5	-0,5

Luft von 0,008 mm Druck.

Nur Strom Netz → Draht zu beobachten. Weißglut.

Gegen- geschaltete Zellen:	}	0	1	2	3	60	0	1	2	0	1	2	3
Ausschlag:		+12,0	+10,5	+1,0	0,0	0,0	+12,5	+10,0	+0,5	+12,0	+10,5	+1,0	0,0
							(andere Zellen)			(andere Zellen)			

Während also der negative Gasstrom schon durch Zuschaltung von wenig Zellen auf seine Maximalstärke gebracht wird, wächst der positive Strom mit der Zahl der Zellen immer weiter, so daß die Differenz zwischen beiden Stromstärken (die als Maß der Polarität gelten kann) immer größer wird.

Die bisher angewandten Versuchsmethoden hatten zu keiner scharfen Trennung von Gasstrom und Zerstäubung geführt, doch bot sich für die Untersuchung der Frage, ob durch die fortgeschleuderten Metallteilchen ein Elektrizitätstransport stattfindet, noch ein weiterer Weg dar: die Anwendung eines elektrischen Feldes. Wenn die Metallstäubchen eine elektrische Ladung besitzen, so konnte man erwarten, daß der Metallbeschlag an der Glaswand verschiedene Stärke besitzen würde, je nachdem von dem Netz elektrische Kraftlinien nach dem zerstäubenden Drahte hin konvergierten, oder von diesem ausstrahlten. Ebenso konnte ein Feld, das seine Kraftlinien quer durch die Zerstäubungsröhre sandte, einen richtenden Einfluß auf die Zerstäubung ausüben. Beide Einwirkungen, sowohl die eines radialen, wie die eines Querfeldes wurden versucht, indessen ohne Erfolg. Bei Anwendung des radialen Feldes, wobei das Netz durch eine Influenzmaschine geladen wurde, machte sich schon bei verhältnismäßig schwachen Feldern ein störender Einfluß des elektrischen Windes geltend. Die Anordnung war derart, daß ein langer Draht an zwei verschiedenen

Stellen mit zylindrischen Netzen umgeben, und das eine dieser Netze mittels der Influenzmaschine positiv, das andere negativ geladen wurde. Sowie nun die Maschine in Gang gesetzt wurde, hörte der Draht innerhalb des negativen Netzes auf zu glühen, während er innerhalb des positiven fast unverändert weiter glühte. Diese Erscheinung ist auf die Wirkung des elektrischen Windes zurückzuführen und zwar auf einen beträchtlichen Unterschied in der Stärke des positiven und negativen Windes, wie er meines Wissens in gleich auffallender Weise bisher noch nicht beobachtet worden ist. Die Versuche mit Quersfeld wurden in zweifacher Weise angestellt. Das eine Mal wurde ein Palladiumdraht horizontal zwischen zwei vertikalen, rechteckigen Kondensatorplatten, parallel zu diesen, ausgespannt. Diese Platten waren zum Auffangen des Palladiumstaubes mit Glasplatten überdeckt, die aber etwa die dreifache Länge des Kondensators hatten und also in horizontaler Richtung weit über die Metallplatten hinausragten. Wurden nun die Kondensatorplatten mit den beiden Polen einer Influenzmaschine verbunden, so sandte der zum Glühen erhitzte Palladiumdraht seinen Metallstaub nach den Glasplatten teils in einem starken, teils in einem verschwindend schwachen elektrischen Felde, und außerdem nach der einen Seite mit dem Feld, nach der anderen Seite gegen das Feld. Eine Abhängigkeit des Zerstäubungsvorganges von der Richtung des Feldes konnte hier also, ungestört durch eine Veränderung in dem Glühzustande des zerstäubenden Drahtes, beobachtet werden. Die Potentialdifferenz der Kondensatorplatten betrug 6000 Volt bei einem Abstände von 2,5 cm. Ein Unterschied des Metallbeschlages auf den beiden Glasplatten konnte indessen nicht konstatiert werden. Da an den bisherigen negativen Resultaten der Umstand schuld sein konnte, daß die große Leitfähigkeit des erhitzten Gases in der Nähe der glühenden Drähte kein statisches elektrisches Feld zu stande kommen ließ, so ließ ich noch Wechselfelder von verschiedener Wechselzahl, schließlich die Schwingungen eines Kondensatorkreises in der Weise auf einen zerstäubenden Draht einwirken, daß die Kraftlinien senkrecht zu diesem verliefen. Auch dies war ohne Erfolg, vielleicht wegen der nur momentanen Impulse, die das Wechselfeld den Zerstäubungspartikelchen zu erteilen vermochte.



Die zweite der diesen Untersuchungen zu Grunde liegenden Fragen war die nach dem Wesen der Zerstäubung.

Zunächst handelte es sich darum, festzustellen, welche Rolle die Temperatur bei dem Zerstäubungsvorgange spielt. Zu dem Zwecke wurde ein Palladiumdraht in ein Porzellanrohr gebracht, dieses luftleer gepumpt und in einer Fletchermuffel mehrere Stunden lang bis zur Gelbglut erhitzt. Dabei fand keine Zerstäubung statt. Dieses Resultat ist eine Bestätigung des von Hrn. Prof. Braun schon früher erhaltenen, aber nicht publizierten, wobei auch noch ein künstliches Temperaturgefälle durch ein eingeführtes, wasserdurchflossenes Kühlrohr hergestellt worden war. Die hohe Temperatur im Vakuum bewirkt also keine Zerstäubung.

Wenn aber neben dem elektrischen Strom die Temperatur bei der Zerstäubung überhaupt eine Rolle spielt, so mußte bei unverändert gehaltenem Strom eine Veränderung der Temperatur von Einfluß auf den Zerstäubungsvorgang sein. Es wurde deshalb durch zwei hintereinander geschaltete Palladiumdrähte derselbe Strom geschickt, und der eine der Drähte in der oben erwähnten Muffel erhitzt. Der Strom war so schwach, daß der außerhalb der Muffel befindliche Draht dadurch noch nicht zum Glühen kam. Beide Drähte befanden sich während des Versuches unter gleichem, sehr niedrigem Druck. Während nun der Draht außerhalb keine Spur von Zerstäubung zeigte, war der Draht in der Muffel beträchtlich zerstäubt. *Damit ist erwiesen, daß die hohe Temperatur die Zerstäubung begünstigt.* Der Zerstäubungsvorgang stellt sich also dar als eine Funktion von Strom  $i$  und Temperatur  $t$  etwa von der Form  $i \cdot f(i, t)$ . Der Strom ist unbedingtes Erfordernis.

Im Zusammenhange hiermit wurden noch einige Versuche angestellt, die nichts Neues, sondern nur eine Bestätigung des zuletzt gefundenen Resultates ergaben, die ich indessen einer merkwürdigen Beobachtung wegen hier erwähne. Dabei waren zwei Palladiumdrähte parallel geschaltet; der eine befand sich in der bis zur Gelbglut erhitzten Muffel, der andere hatte Zimmertemperatur. Auf beide Drähte wurde nun ein Strom in der Weise verteilt, daß sie gleiche Joulesche Wärme erhielten. Dabei kam der Draht außerhalb der Muffel in helles Glühen, beide Drähte hatten jedoch, dem gemessenen Wider-



standsverhältnis nach, sehr nahe die gleiche Temperatur. Bei der hohen Temperatur der Muffel scheint demnach die zugeführte, sehr beträchtliche Joulesche Wärme keine nennenswerte weitere Temperaturerhöhung zu bewirken; die zugeführte Wärme verschwindet als solche. Ich behalte mir weitere Versuche über diese Frage vor.

Bei einer zweiten Versuchsreihe handelte es sich um die Frage, ob die Zerstäubung mit einer elektrischen Ladung des zerstäubenden Drahtes zusammenhängt. Dieser Gedanke war durch die Beobachtung von Elster und Geitel<sup>1)</sup> nahegelegt, daß in Luft glühende Platindrähte sich negativ laden und zerstäubten, in Wasserstoff dagegen positive Ladung annahmen und nicht zerstäubten. Nach verschiedenen Vorversuchen führte folgende Anordnung zum Ziele. In ein weites Glührohr aus Porzellan wurden zwei Palladiumblechstreifen gebracht. Der eine befand sich in einem Porzellanröhrchen und war mit einem Palladiumdraht versehen, der isoliert aus dem Glührohr herausführte; der andere Palladiumstreifen befand sich in einem gleichen Porzellanröhrchen, das von einer eisernen Kapsel umschlossen war. Während des Glühens wurde das erste Blech mittels des nach außen führenden Drahtes durch eine Influenzmaschine geladen, das zweite war durch seine metallische Hülle von der Einwirkung des Feldes geschützt. Im ganzen wurde 11 Stunden lang geglüht; 4 Stunden lang wurde das eine Blech geladen. Ein Elektrometer, das mit der Einführungsstelle des Zuleitungsdrahtes in das Glührohr verbunden war, zeigte — 2000 Volt an. Nach Beendigung des Versuches war in keinem der beiden Porzellanröhrchen ein Zerstäubungsbeschlag wahrzunehmen.

Eine dritte Richtung der Versuche über das Wesen der Zerstäubung war endlich durch Versuche von Berliner gewiesen. Dieser fand, daß Palladium- und Platindrähte nur dann zerstäubten, wenn sie Gase okkludiert enthielten und er erklärte das Fortschleudern der Metallteilchen durch die Gaseruptionen, die beim Erhitzen des gasbeladenen Drahtes stattfinden. Eine Wiederholung und Ergänzung dieser Versuche erschien indessen wünschenswert. Denn Berliner glühte seine

---

1) J. Elster u. H. Geitel, Wied. Ann. 31. p. 108. 1887.

Drähte mit konstant gehaltenem Strom und beobachtete dabei gleichzeitig mit der Abnahme des Gasgehaltes der Drähte eine Abnahme der Zerstäubung, ohne zu beachten, daß mit dem abnehmenden Gasgehalt der Widerstand der Drähte, und damit auch, bei konstant gehaltener Stromstärke, der Glühgrad abnahm.<sup>1)</sup> Es kam daher auf Versuche an, bei denen der Glühgrad, d. h. der Widerstand des zerstäubenden Drahtes möglichst genau gemessen wurde, was bei den definitiven Versuchen in folgender Weise geschah.

Ein Palladiumdraht von 0,2 mm Durchmesser wurde elektrolytisch mit Wasserstoff beladen, dann geglüht und der zu Anfang des Glühens erhaltene Metallbeschlag mit dem Beschlage verglichen, der nach längerem Ausglühen unter sonst gleichen Umständen und während derselben Glühdauer wie früher entstand. Dies geschah in der Weise, daß, nachdem der erste Zerstäubungsbeschlag auf einer Glasröhre im Zerstäubungsapparate aufgefangen war, diese Röhre rasch herausgenommen und durch eine neue ersetzt wurde. In dieser neuen Röhre war eine zweite von nur halb so großer Länge verschiebbar. Diese zweite Röhre wurde durch einen geeigneten Mechanismus zunächst am oberen Rande der weiteren Röhre festgehalten, so daß sie deren obere Hälfte vor Metallstaub schützte. Durch Drehen des Schliffes *S* (vgl. Figur) konnte dann, ohne daß Luft in den Apparat eindrang, bewirkt werden, daß die Schutzröhre herabglitt und nun die untere Hälfte der weiteren Röhre bedeckte, während die obere dem Metallstaube ausgesetzt war. Die Schutzröhre wurde so lange in ihrer oberen Stellung gelassen, bis die Gasentwicklung beträchtlich abgenommen hatte.

Die Widerstandsmessung des glühenden Drahtes geschah mit Hülfe der Wheatstoneschen Brückenschaltung. In dem einen Zweige befand sich auf der einen Seite der Brücke das Zerstäubungsgefäß, auf der anderen Seite ein Vergleichsdraht, dessen Temperatur durch Eintauchen in ein Petroleumbad konstant gehalten wurde; in dem anderen Zweige lag auf jeder Seite der Brücke ein Widerstandskasten.

Der Verlauf der Versuche ist aus den folgenden Tabellen

---

1) Vgl. Th. Graham, Pogg. Ann. 136. p. 325. 1869.

zu ersehen. Die erste Kolumne enthält die Zeitangaben; a) bedeutet schließen, b) öffnen des Glühstromes. Die zweite Kolumne gibt die Drucke unmittelbar vor Beginn und nach Aufhören des Glühens an (die Differenz beider gibt ein Maß für die Menge des während des Glühens entwickelten Gases). Die dritte Kolumne enthält das Verhältnis der an den beiden Widerstandskästen eingeschalteten Widerstände, also das Widerstandsverhältnis des glühenden Drahtes zum Vergleichsdraht, sowie Bemerkungen über den Glühgrad; die vierte Kolumne Angaben über die Zerstäubung; die fünfte Kolumne den relativen Widerstand des Zerstäubungsdrahtes bezüglich des Vergleichsdrahtes nach dem Abkühlen; die sechste Kolumne endlich die bei dieser Widerstandsmessung herrschende Temperatur des Petroleumbades und des Vergleichsdrahtes.

Tabelle XV.

Palladiumdraht (0,2 mm Durchmesser) elektrolytisch mit Wasserstoff beladen.

Relativer Widerstand bezüglich des Vergleichsdrahtes vor dem Versuche:  
 $w = 0,932$ .

Zeit	Druck in mm Hg	Glühgrad	Zer- stäubung	Relativer Widerstand bezügl. des Vergleichs- drahtes		Temp. des Ver- gleichs- drahtes
				zur Zeit		
IX. 1901						
5 <sup>h</sup> 54'	0,068	Draht hat noch nicht geglüht	keine	7 <sup>h</sup> 00'	$w = 0,693$	19,0°
5 54 10"	3,000					
				28. IX. 1901		
7 <sup>h</sup> 24'	0,003	Draht glüht zuletzt gelbbrot	keine	8 <sup>h</sup> 40'	$w = 0,660$	18,0
7 24 15"	0,500					
IX. 1901						
a) 9 <sup>h</sup> 03'	0,003	{ Glühender Draht : Vergleichsdraht = 60 : 34,9 }	{ stark, schwarz }	9 <sup>h</sup> 55'	$w = 0,661$	18,2
b) 9 06	0,158					

Bestäubtes Rohr herausgenommen; neue Röhre mit innerem Schutzrohr eingesetzt; Schutzrohr bedeckt die obere Hälfte der Röhre. 1 Stunde 27 Min. lang geglüht, alle 5 Min. freigewordenes Gas weggepumpt.

Nach vollständigem Abkühlen ist der relative Widerstand  $w = 0,773$ . Temperatur des Vergleichsdrahtes  $19,0^\circ$ . Schutzrohr freigemacht, so daß es in dem weiteren Rohre hinabfällt und dessen untere Hälfte bedeckt. Dann Beobachtungen der folgenden Tabelle:

Tabelle XVI.

Zeit	Druck in mm Hg	Glühgrad	Zer- stäubung	Relativer Wider- stand		Temp. des Ver- gleichs- drahtes
				zur Zeit		
a) 4 <sup>h</sup> 13'	0,003	63,4:31,5	stark, schwarz	5 <sup>h</sup> 10'	$w = 0,812$	19,0°
b) 4 16	0,008					

Die Zerstäubung war während des 3 Min. langen Glühens von 4<sup>h</sup> 13' bis 4<sup>h</sup> 16' deutlich stärker, als während des Glühens von 9<sup>h</sup> 03' bis 9<sup>h</sup> 06' bei demselben Glühgrade, während die Gasentwicklung bedeutend abgenommen hatte, wie die Tabellen zeigen.

Vor dem Versuche der Tab. XVI war der Draht namentlich in der Mitte so dünn geworden, daß er hier zweifellos stärker glühte, als bei dem Versuche der Tab. XV, wenn auch der relative Gesamtwiderstand derselbe war, wie dort. Daraus erklärt sich die stärkere Zerstäubung.

Um mit besser definierten Glühgraden zu arbeiten, wurden nun noch einige Versuche mit dickeren Palladiumdrähten angestellt, die in den folgenden Tabellen wiedergegeben sind.

Tabelle XVII.

Palladiumdraht (0,3 mm Durchmesser) elektrolytisch mit Wasserstoff beladen. Relativer Widerstand bezüglich des Vergleichsdrahtes vor dem Versuche  $w = 0,530$ . Temperatur des Vergleichsdrahtes  $13,0^\circ$ .

Zeit	Druck in mm Hg	Glühgrad	Zer- stäubung	Relativer Wider- stand		Temp. des Ver- gleichs- drahtes
				zur Zeit		
11 <sup>h</sup> 27'	0,023	60 : 98 hat noch nicht geglüht	keine	2 <sup>h</sup> 45'	$w = 0,404$	14,2°
11 28	12,000					
3 14 (bis 3 <sup>h</sup> 14' 20'' reguliert)	0,000	60 : 65	stark, schwarz	4 17	$w = 0,402$	16,0
3 <sup>h</sup> 17' 20''	1,600					

Bestäubtes Rohr herausgenommen; Röhre mit Schutzrohr eingesetzt; 2 Stunden lang geglüht; Schutzrohr fallen gelassen. Relativer Widerstand:  $w = 0,418$ , Temperatur des Vergleichsdrahtes  $15,0^{\circ}$ .

Tabelle XVIII.

Zeit	Druck in mm Hg	Glühgrad	Zer- stäubung	Relativer Wider- stand zur Zeit		Temp. des Ver- gleichs- drahtes
3 <sup>h</sup> 53'	0,000	60 : 62,7	nicht sehr stark	—	—	—
3 56 20''	0,083			—	—	—

Die Zerstäubung war während des Glühens von 3<sup>h</sup> 53' bis 3<sup>h</sup> 56' bedeutend geringer, als während des Glühens von 3<sup>h</sup> 14' bis 3<sup>h</sup> 17'.

Ein letzter Versuch ist in den folgenden zwei Tabellen enthalten:

Tabelle XIX.

Palladiumdraht (0,3 mm Durchmesser) mit Wasserstoff beladen.

Zeit	Druck in mm Hg	Glühgrad	Zer- stäubung	Relativer Wider- stand zur Zeit		Temp. des Ver- gleichs- drahtes
1 <sup>h</sup> 58'	0,063	60 : 97 hat noch nicht geglüht	keine	6 <sup>h</sup> 15'	$w = 0,391$	$15,0^{\circ}$
1 59	14,000					
7 06 bis 7 <sup>h</sup> 06' 25'' reguliert)	0,003	60 : 67	schwache Zer- stäubung	9 17	$w = 0,397$	15,2
7 <sup>h</sup> 09' 25''	0,570					

Bestäubtes Rohr herausgenommen; Röhre mit Schutzrohr eingesetzt; 2 Stunden lang geglüht; Schutzrohr fallen gelassen. Relativer Widerstand:  $w = 0,432$ , Temperatur des Vergleichsdrahtes  $14,0^{\circ}$ .



Tabelle XX.

Zeit	Druck in mm Hg	Glühgrad	Zer- stäubung	Relativer Wider- stand zur Zeit		Temp. des Ver- gleichs- drahtes
9 <sup>h</sup> 55' (bis 9 <sup>h</sup> 55' 25'' reguliert)	} 0,003	60 : 60,6	sehr schwach	11 <sup>h</sup> 07'	$w = 0,430$	14,0°
9 <sup>h</sup> 59' 25''						

Die Zerstäubung war während des Glühens von 9<sup>h</sup> 55' bis 9<sup>h</sup> 59' bedeutend geringer als von 7<sup>h</sup> 06' bis 7<sup>h</sup> 09'.

Daß der Widerstand der Drähte bei diesen Versuchen erst ab- und dann wieder zunahm, erklärt sich dadurch, daß die Drähte infolge der Zerstäubung dünner wurden.

Die Versuche zeigen folgendes:

Die Entwicklung von Gasen aus den glühenden Drähten ist *keine notwendige Bedingung* für das Zerstäuben; zwar läßt bei konstant gehaltenem Glühgrade die Zerstäubung nach, wenn die Gasentwicklung geringer wird, aber man kann durch Steigerung des Glühgrades wieder starke Zerstäubung erhalten, ohne daß die Gasentwicklung wesentlich zunimmt. Die Versuche zeigen, daß sehr starke Zerstäubung und sehr schwache Gasentwicklung nebeneinander bestehen können, und andererseits starke Gasentwicklung und schwache oder keine Zerstäubung. Die Gasentwicklung ist also auch *keine hinreichende Bedingung* für das Zerstäuben.

Die gewonnenen Resultate lassen sich kurz folgendermaßen zusammenfassen.

Bezüglich des Zusammenhanges zwischen der Zerstäubung galvanisch glühender Metalle und den Erscheinungen der Leitfähigkeit und Polarität im umgebenden Gase ergab sich:

Die *Leitfähigkeit* wird nicht durch die Zerstäubungspartikelchen allein hervorgerufen, da

1. zwischen der durch das Gas hindurchgegangenen Elektrizitäts- und Metallmenge kein bestimmter Zusammenhang besteht,
2. wiederholt ein beträchtlicher Gasstrom beobachtet wurde, ohne daß sichtbare Zerstäubung stattfand,
3. bei höheren Drucken die Leitfähigkeit keinen einheitlichen, sondern einen sehr komplizierten Charakter besitzt.

Die *Polarität* hat stets dann ein und dieselbe bestimmte Richtung, wenn das als Elektrode dienende Netz von zerstäubten Metallteilchen getroffen wird, die als Metallbeschlag sichtbar werden.

Bei der Untersuchung der Zerstäubung in statischen elektrischen Feldern, sowie in Wechselfeldern von verschiedener Wechselzahl, aufwärts bis zu derjenigen der Entladungen eines Flaschenkreises, konnte eine Einwirkung des Feldes auf den Zerstäubungsvorgang nicht konstatiert werden.

Als Nebenbeobachtung ergab sich hierbei ein einfacher Demonstrationsversuch, um den Unterschied in der Stärke des positiven und negativen elektrischen Windes zu zeigen.

Die Untersuchung des Vorganges der Zerstäubung an sich führte zu folgenden Resultaten:

1. Die Zerstäubung geht auch in Wasserstoff vor sich, doch etwas schwerer als in Luft.

2. Die hohe Temperatur allein, d. h. rein thermisches Glühen, bewirkt keine Zerstäubung.

3. Die Temperatur wirkt indessen bei der Zerstäubung mit, da sie den elektrischen Strom in seiner Wirkung teilweise vertreten kann.

4. Die negative Ladung, die glühende Körper im allgemeinen in Luft annehmen, ist mit der Zerstäubung nicht in Zusammenhang zu bringen, da eine negative Ladung des Körpers bis zu 2000 Volt keine Zerstäubung hervorrief.

5. Die Entwicklung okkludierter Gase ist weder eine hinreichende, noch eine notwendige Bedingung für den Zerstäubungsvorgang, doch fördert sie denselben.

6. Hohe Temperatur und gleichzeitiger Stromdurchgang scheinen daher Bedingung für das Zustandekommen der Zerstäubung zu sein. Als notwendige Bedingung läßt sich indessen mit Sicherheit nur der elektrische Strom bezeichnen.

Straßburg i. E., Physikalisches Institut.

(Eingegangen 4. Juni 1903.)

✓ 4. *Untersuchungen über die entladende Wirkung des ultravioletten Lichtes auf negativ geladene Metallplatten im Vakuum;*  
*von E. Ladenburg.*

(Auszug aus der Leipziger Inaugural-Dissertation.)

Die von H. Hertz<sup>1)</sup> und W. Hallwachs<sup>2)</sup> entdeckte, von vielen anderen Forschern, namentlich von Elster und Geitel<sup>3)</sup> untersuchte Wirkung des ultravioletten Lichtes auf negativ geladene Metallplatten ist von Lenard<sup>4)</sup> im Jahre 1900 auf die durch das Licht bewirkte Auslösung von Kathodenstrahlen zurückgeführt worden. Im Gegensatz zu seinen Vorgängern arbeitete Lenard im absoluten Vakuum; er fand außer dem Beweise für das Auftreten von Kathodenstrahlen vor allem das Resultat, daß äußere Kräfte, also positive oder negative Ladungen der bestrahlten Platte, nur insoweit einen Einfluß auf die Größe des ausgelösten Kathodenstromes haben, als sie die Anzahl der vermöge der vorhandenen Anfangsgeschwindigkeit die Platte verlassenden Teilchen verringern oder vergrößern, beides aber innerhalb der Grenze, die durch die Verteilung der Geschwindigkeiten bestimmt ist. Bei positiver Ladung nämlich können nur Elektronen mit sehr großen Anfangsgeschwindigkeiten die Platte verlassen, da zu der hemmenden Kraft der positiven Spiegelbilder noch die des Feldes hinzutritt. Umgekehrt wird hohe negative Ladung diese erstere Kraft kompensieren, so daß auch Elektronen mit kleinerer Anfangsgeschwindigkeit ins Vakuum treten können. An diese Versuche von Lenard anknüpfend lassen sich nun eine Reihe von weiteren Fragen stellen.

So war es zunächst von Wichtigkeit festzustellen, ob die von Elster und Geitel gefundene Reihenfolge der Metalle

1) H. Hertz, Wied. Ann. 31. p. 988. 1887.

2) W. Hallwachs, Wied. Ann. 33. p. 301. 1888.

3) J. Elster u. H. Geitel, Wied. Ann. 43. p. 226. 1891; 52. p. 440. 1894.

4) P. Lenard, Ann. d. Phys. 2. p. 359. 1900; 8. p. 150. 1902.

bezüglich dieses Effektes bestehen bleibt, wenn die Auslösung des lichtelektrischen Stromes im Vakuum erfolgt, und ob diese Reihenfolge mit anderen bekannten physikalischen oder chemischen Eigenschaften der betreffenden Metalle zusammenhängt. Natürlich mußten noch Voruntersuchungen betreffend der Oberflächenbeschaffenheit der bestrahlten Elektrode und deren Einwirkung auf den lichtelektrischen Effekt vorhergehen, Untersuchungen, über die schon von *Kreusler*<sup>1)</sup> und *Lenard*<sup>2)</sup> für Versuche im luftgefüllten Raum Angaben vorliegen.

Eine weitere Frage war die, ob auch hier wie bei *Elster* und *Geitel* die Schwingungsrichtung von Einfluß ist. Zur Beantwortung dieser Frage sollte der Effekt bei verschiedenem Einfallswinkel des wirkenden Lichtes untersucht werden. Inzwischen war die Arbeit von *Lenard*<sup>3)</sup> erschienen, nach der die Polarisationsrichtung keinen Einfluß ausübt. Meine eigenen Versuche stimmen hiermit überein und ergeben, daß nur die auffallende Lichtmenge maßgebend ist. Daraus würde folgen, daß das ultraviolette Licht im Innern der Platten nicht nur an der Oberfläche wirksam ist; es mußte deshalb die Fragestellung dahin erweitert werden, bis zu welchen Tiefen der Metallschicht ein merkliches Absteigen des Effektes zu beobachten ist, und zwar wurde diese Frage dadurch entschieden, daß man Metall in verschiedener Dicke galvanisch niederschlug und feststellte, von welcher Dicke der Oberfläche an die betreffende Elektrode die dem Metall eigentümliche Konstante zeigte.

#### Versuchsanordnung.

Um die Stärke des lichtelektrischen Stromes zu messen, wurden zwei verschiedene Methode benutzt. Die erste rührt von *Lenard*<sup>4)</sup> her und wurde von diesem in seiner ersten Arbeit angewandt. Sie besteht darin, daß man die zu ladende Metallplatte durch einen sehr großen Widerstand mit der Stromquelle — hier der negative Pol einer Hochspannungsakkumulatornbatterie von 500 Zellen, deren positiver Pol ständig

---

1) *H. Kreisler*, *Ann. d. Phys.* 6. p. 398. 1901.

2) *P. Lenard* u. *M. Wolf*, *Wied. Ann.* 37. p. 443. 1889.

3) *P. Lenard*, l. c.

4) *P. Lenard*, l. c.

geerdet ist — verbindet. Die Enden des Widerstandes sind mit einem Quadrantelektrometer verbunden, welches mir die durch das ultraviolette Licht entstehende Potentialdifferenz zu messen und aus der bekannten Größe des Widerstandes die Stärke des lichtelektrischen Stromes zu berechnen gestattet.

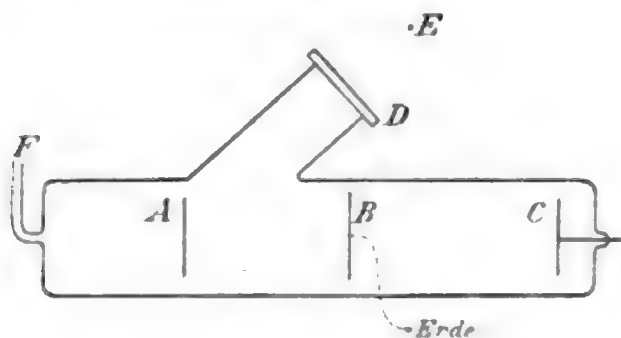


Fig. 1.



Fig. 2.

Die bei dieser Messungsmethode benutzte Röhre zeigt bestehende Fig. 1. Hier bedeutet *A* die bestrahlte Elektrode, deren Form Fig. 2 darstellt, die Elektrode *B* aus Aluminium dient zum Auffangen des lichtelektrischen Stromes; die dritte

Elektrode *C* wurde nur benutzt, um während des Auspumpens einen Strom durch die Röhre zu schicken. *D* ist eine 2 mm dicke senkrecht zur Achse geschnittene Quarzplatte, die dazu dient, das ultraviolette Licht in die Röhre eintreten zu lassen.

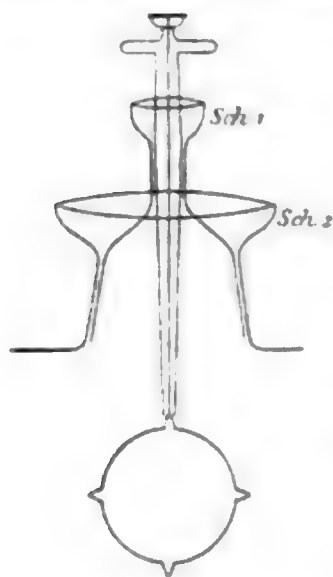


Fig. 3.

Als Lichtquelle *E* dient eine Funkenstrecke aus Aluminiumelektroden, welche fest mit der Röhre durch ein Hartgummigestell verbunden ist. *F* führt zu einer selbsttätigen Kahlbaumschen Quecksilberluftpumpe. Das Auspumpen wurde vor jedem Versuch so weit getrieben, daß die Ent-

ladung eines großen Induktoriums nicht mehr durch die Röhre hindurchging, sondern außen Funken zwischen *B* und *C* übersprangen. Die Entfernung *BC* beträgt etwa 15 cm. Die Elektrode *A*, vgl. Fig. 2, besteht aus einer Aluminiumscheibe von 3 cm Durchmesser, welche drei kleine Fortsätze trägt, mit Hilfe derer die zu untersuchenden Metallplatten auf der Aluminiumscheibe befestigt werden können.

Fig. 3 zeigt die Vorrichtung, mit Hilfe derer es möglich ist sowohl die Elektroden *A* auszuwechseln, als auch dieselben



im Vakuum so zu drehen, daß bald die eine, bald die andere Oberfläche der Funkenstrecke zugekehrt ist.

Als Widerstand wurde eine Lösung von vorher geschmolzenem Jodkadmium in xylohaltigem Amylalkohol benutzt; die Elektroden waren aus Kadmium. Die Größe des Widerstandes wurde dadurch gemessen, daß man die Zeit  $t$  bestimmte, die eine auf das Potential  $V$  geladene Kapazität  $c$  braucht, um sich durch den zu messenden Widerstand hindurch bis auf das Potential  $V_1$  zu entladen. Die hierfür geltende bekannte Formel lautet:

$$W = \frac{1}{c} \frac{t}{\log V - \log V_1}.$$

Diese Formel gilt nur, solange überall vollkommene Isolation herrscht. Ist dies nicht der Fall, so wird die ungeschlossene Kapazität  $c$  sich in der Zeit  $t_1$  ebenfalls von Potential  $V$  auf das Potential  $V_1$  entladen. Ist  $W_2$  der diesen Isolationsfehlern entsprechende Widerstand,  $W_1$  der Widerstand, dessen Größe ich suche, so ist

$$\frac{1}{W} = \frac{1}{W_1} + \frac{1}{W_2},$$

$$\frac{1}{W_1} = \frac{1}{W} - \frac{1}{W_2},$$

$$W_1 = \frac{W \cdot W_2}{W_2 - W},$$

$W_2$  und  $W$  kann ich bestimmen, also  $W_1$  berechnen. —

Das benutzte Quadrantenelektrometer war ein Hallwachssches, das der besseren Isolation wegen auf Schellackstatt auf Glasfüßen stand. Seine Empfindlichkeit betrug  $2,5 \cdot 10^{-3}$ . Die bei dieser ersten Meßmethode benutzte Schaltung zeigt nebenstehende Fig. 4. Bei diesen Messungen machen sich zwei Fehlerquellen sehr störend geltend; einmal ist dies die direkte elektrostatische Einwirkung

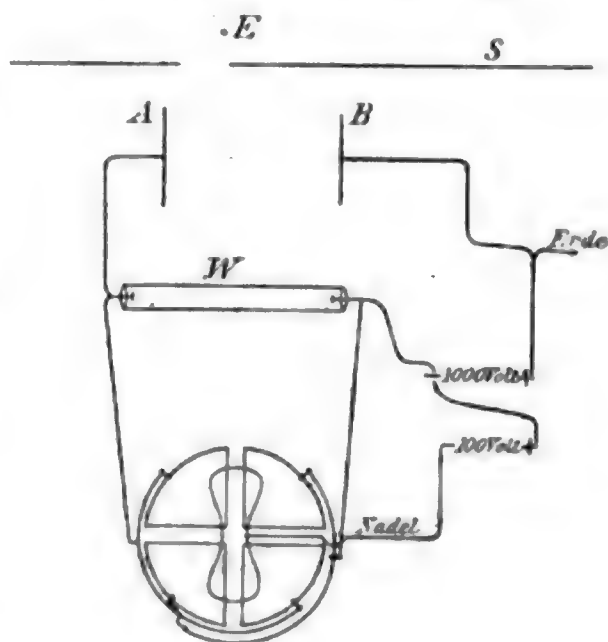


Fig. 4.

der Funkenstrecke auf das Quadrantelektrometer und die induktive auf die verschiedenen Zuleitungen. Diese Fehlerquelle wurde einerseits dadurch beseitigt, daß die Funkenstrecke und die Leydner Flasche hinter einem großen zur Erde abgeleiteten Zinkschirm (*S*) stand, und andererseits dadurch, daß sämtliche Zuleitungen zur Röhre und zum Quadrantelektrometer sich in Glasröhren befanden, deren Stanniolbelegungen ebenso wie die Hülse des Elektrometers auf  $-1000$  Volt geladen wurden.

Eine weitere Unregelmäßigkeit rief die Inkonstanz der Lichtquelle hervor, welche eine wechselnde Intensität des ultravioletten Lichtes und dadurch Schwankungen in der Einstellung des Quadrantelektrometers verursachte, so daß ein längeres Bestrahlen notwendig wurde. Dadurch, daß vor jedem Versuch die Aluminiumfunkenstrecke gründlich geputzt wurde, konnte auch diese Fehlerquelle ziemlich beseitigt werden.

Der Gang der Messung war nun der, daß nach dem Leer-pumpen der Röhre und Laden von *A* (vgl. Fig. 1) zunächst der Ausschlag des Quadrantelektrometers bestimmt wurde, wenn eine Glas- oder Glimmerplatte den Eintritt der ultravioletten Strahlen verhinderte, also der Fehler durch elektrische Einflüsse. Dann wurde die Glasplatte entfernt und der Elektrometerausschlag gemessen, wenn einmal die Aluminiumelektrode, dann die zu untersuchende, dann wieder die Aluminium und schließlich die zu untersuchende Elektrode der Funkenstrecke zugekehrt war. — War die Funkenstrecke sehr unruhig, was ab und zu eintrat, so wurden, um eine Messung doch zu ermöglichen, zwei Minuten hintereinander die betreffenden Oberflächen bestrahlt und alle 15 Sekunden die Stellung des Elektrometers abgelesen. —

Als Beispiel einer solchen Messung nach der ersten Methode möge folgendes dienen:

#### Aluminium gegen Kupfer.

Die Kupferelektrode ist auf Schmirgelpapier leidlich gut poliert, ist aber nicht spiegelnd. Das Elektrometer hat die Empfindlichkeit von ungefähr  $2,5 \cdot 10^{-3}$ .

##### 1. Widerstandsmessung

$$W = \frac{1}{c} \frac{t}{l \frac{v}{v_1}}.$$

Hier ist:

$$V = 4 \text{ Volt, } V_1 = 2 \text{ Volt,}$$

$$l \frac{v}{v_1} = 0,30103 \cdot 2,305,$$

$$c = \frac{1}{10} \text{ Mikrof.} = 10^{-7},$$

$$t = 238,5,$$

$$t_1 = \infty, \text{ d. h. gute Isolation,}$$

$$W = 3,437 \cdot 10^9 \text{ Ohm.}$$

2. Mit vorgeschalteter Glasplatte Ausschlag von Null Skalenteilen.

3. Ohne Glasplatte:

Oberfläche	Ausschläge	Mittelwert	Oberfläche	Ausschläge	Mittelwert
Aluminium:	85,0	82,8	Aluminium:	81,5	81,3
	83,9			80,8	
	81,0			79,4	
	81,5			83,1	
	79,5			81,5	
				81,3	
Kupfer:	202,0	200,7	Kupfer:	200,0	200,6
	202,4			201,5	
	199,5			202,3	
	199,8			199,0	
	199,7			200,4	

Also ergibt Kupfer im Mittel 200,65 und Aluminium 82,0 Skt.

Dem entspricht bei Kupfer ein Strom von  $1,457 \cdot 10^{-10}$  und bei Aluminium ein solcher von  $5,97 \cdot 10^{-11}$ , so daß ich, den Wert von Aluminium = 1 gesetzt, für Kupfer 2,448 erhalte.

Wie schon erwähnt, besteht der Hauptfehler bei dieser Messungsmethode in den Unregelmäßigkeiten der Funkenstrecke. Um von dieser vollständig unabhängig zu sein, so daß also auch die Dauer der Belichtung bedeutend kürzer genommen werden konnte, wurde folgende Nullmethode angewandt:

Die jetzt benutzte Röhre hatte nebenstehende Gestalt (vgl. Fig. 5). Das ultraviolette Licht der Funkenstrecke  $F$  dringt durch die beiden Quarzfenster  $E_1$  und  $E_2$  in die Röhre ein und bestrahlt zwei Elektroden.

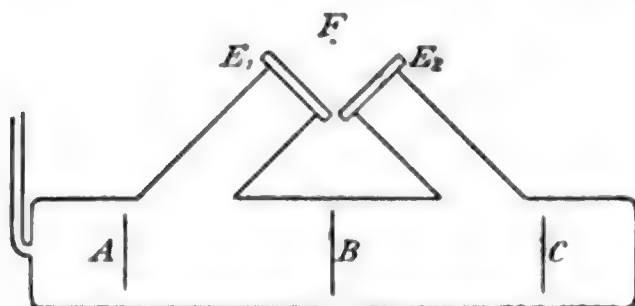


Fig. 5.

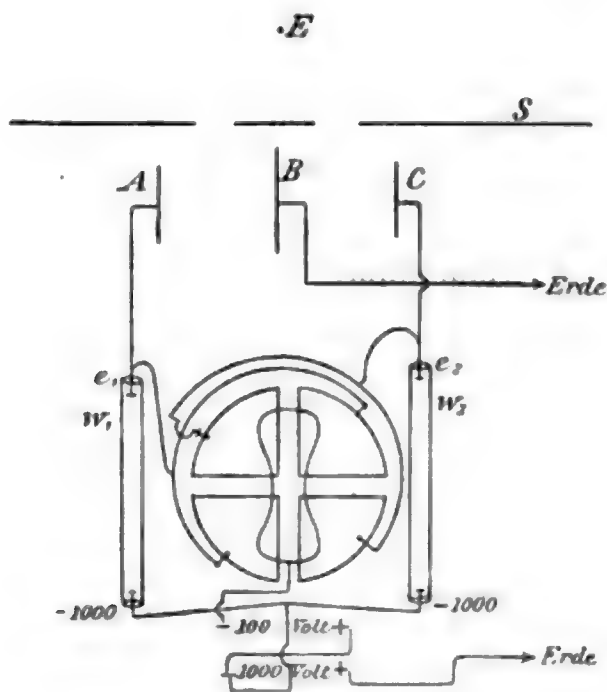


Fig. 6.

Die eine,  $C$ , ist unbeweglich und ist aus Aluminium, die andere  $A$  ist ebenso befestigt, wie die Elektrode  $A$  in der zuerst verwandten Röhre (vgl. Fig. 3). Die dritte Elektrode  $B$ , ebenfalls aus Aluminium, ist ständig mit der Erde verbunden. Es wurden nun beide Elektroden  $A$  und  $C$  auf  $-1000$  Volt geladen, aber vor beide große Widerstände geschaltet. Nebenstehende Fig. 6 gibt ein Bild von der jetzt verwandten Schaltung. Beide Widerstände  $W_1$  und  $W_2$  waren variabel und wurden während der Bestrahlung so lange verändert, bis das Elektrometer in Ruhe blieb.

Dies bedeutet, daß wenn

ich mit  $i_1$  den photoelektrischen Strom bei  $A$ , mit  $i_2$  den bei  $C$ , mit  $e_1$  und  $e_2$  die Potentiale an den Enden der Widerstände bezeichne,

$$i_1 = \frac{E_1}{W_1} = \frac{1000 - e_1}{W_1},$$

$$i_2 = \frac{E_2}{W_2} = \frac{1000 - e_2}{W_2},$$

$$1000 - e_1 = W_1 i_1.$$

$$1000 - e_2 = W_2 i_2.$$

Also, da ich auf  $e_1 = e_2$  einstelle,

$$\frac{i_1}{i_2} = \frac{W_2}{W_1}.$$

Als Widerstände wurden ebenfalls Lösungen von Jodkadmium in xylolhaltigem Amylalkohol mit Kadmiumelektroden benutzt. Durch Verschieben eines Glasstabes konnten der Querschnitt der Röhre und damit die Größe des Widerstandes beliebig variiert werden.

Der Gang einer Messung war nun der, daß nach dem Leerpumpen der Röhre zunächst die Widerstände so lange variiert wurden, bis im Quadrantelektrometer kein Ausschlag mehr erfolgte, wenn auch von der Elektrode  $A$  die Aluminiumoberfläche — wieder als Normalelektrode dienend — der Funkenstrecke zugekehrt war. Die entsprechenden Stellungen der Glasstäbe mögen  $a_1$  und  $a_2$  sein. Bei vollständiger Symmetrie der Röhre und Gleichheit der Dicken von  $E_1$  und  $E_2$  müßte  $a_1 = a_2$  sein. Da das erstere aber unmöglich zu erreichen ist, war diese Messung notwendig. Dann wurde die Elektrode  $A$  um  $180^\circ$  gedreht und die zu untersuchende Oberfläche der Funkenstrecke zugewandt, und wieder bis zur Ruhe im Elektrometer eingestellt. Die jetzigen Stellungen der Glasstäbe seien  $a_1'$  und  $a_2'$ . Entspricht nun der Stellung  $a_1$  der Widerstand  $W_1$ , der Stellung  $a_2$  der Widerstand  $W_2$ ,  $a_1'$   $W_1'$  und  $a_2'$   $W_2'$ , so ist

$$\begin{aligned}\frac{i Al}{i c} &= \frac{W_2}{W_1}, \\ \frac{i m}{i c} &= \frac{W_2'}{W_1'}, \\ \hline \frac{i m}{i Al} &= \frac{W_2' W_1}{W_1' W_2},\end{aligned}$$

wenn ich mit  $i m$  den lichtelektrischen Strom an der zu untersuchenden Oberfläche und mit  $i c$  den an der festen Normalelektrode bezeichne. Da es mir nur auf das Verhältnis von  $i m / i Al$  ankam, so geht diese Gleichung, indem man bei der Widerstandsmessung die Kapazität  $c$  und die Potentiale  $V$  und  $V_1$  konstant läßt, über in die Gleichung

$$\frac{i m}{i Al} = \frac{t_2' t_1}{t_1' t_2},$$

wo die  $t$  die zu den einzelnen Widerständen gehörigen Entladungszeiten sind, die am Schluß der Messung jedesmal auf die oben angegebene Weise bestimmt wurden, nachdem natürlich vorher die Probe auf absolute Isolation gemacht war.



Als Beispiel einer solchen Messung möge folgendes dienen:

Stahl gegen Aluminium.

Die Stahlelektrode ist ein von Hartmann & Braun auf Hochglanz polierter Spiegel.

1. Mit vorgeschalteter Glas- oder Glimmerplatte kein störender elektrischer Einfluß.

2. Von der Elektrode A ist die Aluminiumoberfläche der Funkenstrecke zugekehrt.

Also:

Aluminium gegen Kupfer.

Das Quadrantelektrometer blieb in Ruhe, wenn die Stellung des Glasstabes

	$a_1$	$a_2$
	48,9	0
	53,1	0
	51,8	0
	53,1	0
	53,2	0
	<hr/>	<hr/>
Mittelwert	52,0	0

war.

3. Von der Elektrode A ist die Stahloberfläche der Funkenstrecke zugekehrt, also:

Stahl gegen Kupfer.

Das Elektrometer blieb in Ruhe, wenn die Stellung der Glasstäbe

	$a_1'$	$a_2'$
	0	10,2
	0	8,5
	0	6,5
	0	6,6
	0	7,5
	<hr/>	<hr/>
Mittelwert	0	7,86

war.

4. Es entspricht der Stellung

des Glasstabes	eine Entladezeit $t$			Mittelwert
$a_1' = 0$	63,2	62,4	62,2''	62,6''
$a_1 = 52,0$	47,4	46,6	46,6''	46,9''
$a_2 = 0$	227,8	227,4	227,0''	227,4''
$a_2' = 7,86$	204,2	205,0	204,6''	204,6''

Also erhalte ich

$$\frac{i_{\text{Stahl}}}{i_{\text{Aluminium}}} = \frac{t_2' \cdot t_1}{t_1' \cdot t_2} = 1,48.$$

Diese Methode ist nun allerdings unabhängig von der Intensität des ultravioletten Lichtes, also unabhängig von den Unregelmäßigkeiten der Funkenstrecke, sie hat aber einen anderen Nachteil, der sie nur unter ganz bestimmten Bedingungen anwendbar macht. Ist nämlich nicht für absolute Isolation gesorgt, so wird auch ohne Bestrahlung schon ein Strom fortgehen. Infolgedessen wird die Stellung der Nadel des Quadrantelektrometers vor der Bestrahlung nicht mehr von der Größe der Widerstände unabhängig sein, was doch sonst, da wir einen statischen Zustand haben, der Fall und für Messungszwecke absolut notwendig ist. Es wurde deshalb die größte Sorgfalt auf Isolation gelegt; dennoch war eine Messung nach dieser Methode im Hochsommer unmöglich, da die große Luftfeuchtigkeit auch die Oberfläche des Schellacks leitend machte, und es mußte in diesen Fällen zur alten Methode zurückgegriffen werden.

#### Versuchsfehler.

Um zu untersuchen ob beide angewandten Methoden dasselbe Resultat lieferten, wurden mit der zweiten Röhre Messungen sowohl nach der zweiten als auch nach der ersten Methode gemacht, indem im letzteren Falle vor das Quarzfenster  $E_2$  eine Glas- oder Glimmerplatte gestellt und dadurch die Elektrode  $C$  vor der Einwirkung des ultravioletten Lichtes geschützt wurde. Auf diese Weise erhielt man Werte, die eine Übereinstimmung bis auf 5—7 Proz. ergaben. Dies ist aber zugleich die Größe der Versuchsfehler bei beiden Messungsmethoden. Genauere Messungen sind nämlich einerseits sehr schwer zu erreichen, andererseits haben sie wenig Sinn, da, wie wir gleich sehen werden, die Oberflächenbeschaffenheit eine ganz enorme Bedeutung für den lichtelektrischen Strom hat und sich scharfe Bestimmungen für die Güte der Politur schwer geben lassen.

**Ermüdung und Oberflächenbeschaffenheit der Elektroden.**

Die Ermüdung der Elektroden, das heißt die Verringerung des lichtelektrischen Stromes durch andauernde Bestrahlung, die schon von anderen vielfach erwähnt und von Lenard auf Bildung einer elektrischen Doppelschicht mit der negativen Ladung nach außen zurückgeführt wird, wurde auch hier im luftleeren Raum öfters beobachtet. In dieser Eigenschaft zeigen nun die Metalle ein sehr verschiedenes Verhalten. So wurde an der Aluminiumelektrode die Ermüdung absolut nicht beobachtet, wie z. B. folgende Messung zeigt.

(Erste Methode.)

Rubelage	Dauer der Belichtung	Ausschlag
44,51	Während der 1. Minute	28,15 mm
	nach 5 Min.	28,10
	„ 5 $\frac{1}{4}$ „	27,81
	„ 5 $\frac{1}{2}$ „	28,20
	„ 5 $\frac{3}{4}$ „	28,25
	„ 6 „	28,05
	„ 6 $\frac{1}{4}$ „	28,15
	„ 6 $\frac{1}{2}$ „	28,25
	„ 6 $\frac{3}{4}$ „	28,25

Also im Mittel zwischen 5 und 6 $\frac{3}{4}$  Min. 28,13'.

Besonders deutlich war dagegen die Ermüdungserscheinung an Silberelektroden nachzuweisen, weniger stark bei Platin und Kupfer. Es zeigte sich nun, daß diese Elektroden nach der Bestrahlung ihre Oberfläche geändert hatten; man sah einen eigentümlichen Schleier, woraus man schließen kann, daß die Oberfläche durch das ultraviolette Licht korrodiert wird. Diese Erscheinung trat besonders gut bei den zu späteren Untersuchungen dienenden, auf eingebrannten Platinspiegeln elektrolytisch niedergeschlagenen Gold- und Nickelspiegeln hervor. Zugleich zeigten dieselben auch die Ermüdungserscheinung sehr stark. So erhielt man zum Beispiel durch Bestrahlen eines solchen Goldspiegels folgende Ausschläge des Elektrometers:

185,0	nach	$\frac{1}{4}$	Min.	Bestrahlung
170,1	„	$\frac{1}{2}$	„	„
156,0	„	$\frac{3}{4}$	„	„
153,0	„	1	„	„
85,0	„	5	„	„
84,3	„	$5\frac{1}{4}$	„	„
83,0	„	$5\frac{3}{4}$	„	„
82,4	„	7	„	„

während nach Drehen der Elektrode um  $180^\circ$  der zugehörige Wert bei der Aluminiumelektrode innerhalb der Fehlergrenzen derselbe war, wie vor dem Bestrahlen der Goldelektrode. Es ist deshalb sehr leicht möglich, daß, wie schon Kreusler<sup>1)</sup> bemerkt, die Ermüdungserscheinung im engen Zusammenhang mit der Korrodation der Oberfläche steht, da, wie wir nunmehr sehen werden, die Beschaffenheit der Oberfläche einen sehr bedeutenden Einfluß auf die Größe des lichtelektrischen Stromes hat. Diese von Kreusler für Elektroden in Luft beobachtete Tatsache wurde in weitgehendster Ausdehnung auch für das Vakuum bestätigt gefunden.

Zunächst wurde nämlich an einfach geschmirlgelten Elektroden die Wirkung des ultravioletten Lichtes untersucht.

Nachdem dieselben etwa drei Monate an der Luft gelegen hatten, wurden sie wieder untersucht und zeigten nunmehr in verschiedenem Maße eine bedeutende Abnahme gegenüber dem ersten Wert. Sie wurden deshalb von neuem geschmirlgelt und gaben jetzt einen dem ersten näher stehenden Wert, der durch Polieren auf Leder wieder verringert wurde. Da man also in diesem Zustand der Oberflächen zu keinem konstanten Wert kommen konnte, wurden schließlich sämtliche Elektroden soweit möglich auf die unten beschriebene Art und Weise auf Hochglanz poliert. Die Aluminiumscheibe dagegen wurde stets in demselben Zustande, einer reinen unpolierten Oberfläche, als Normalelektrode benutzt und zeigte auch als solche eine recht gute Konstanz.

Im folgenden sollen zunächst für Zink die in den verschiedenen Politurzuständen erhaltenen Resultate folgen, die sich auf Aluminium = 1 beziehen und in der oben angegebenen Reihenfolge erhalten wurden.

1) H. Kreusler, l. c.

## Zink.

Nach dem ersten Abschmirkeln . . . .	2,25
Nach drei Monaten . . . . .	0,95
Nach wiederholtem Abschmirkeln . . . .	3,33
Nach Polieren auf Leder . . . . .	2,95
Auf Hochglanz poliert . . . . .	6,75.

Ein ähnliches Verhalten wie Zink zeigten fast alle Metalle, mit am wenigsten Platin. Um nun direkt eine polierte mit einer abgeschmirgelten Oberfläche vergleichen zu können, wurde von Hartmann & Braun ein Stahlspiegel bezogen, der auf der einen Seite auf Hochglanz poliert, auf der anderen Seite matt geschliffen war. Indem man die Aluminiumelektrode ganz entfernte und an ihre Stelle diesen Stahlspiegel brachte, konnten die beiden Seiten direkt miteinander verglichen werden. Dasselbe geschah mit einem von Zeiss in Jena bezogenen Magnaliumspiegel.

Es ergab sich hier das Verhältnis:

Stahlspiegel zur Rückseite . . . .	= 1,68 : 1
Magnaliumspiegel zur Rückseite . .	= 4,37 : 1 .

## Verschiedene Metalle als Elektroden bei der Bestrahlung.

Da einerseits die Vermutung nahe lag, daß Metalle im höchsten Politurzustand einen konstanten Wert geben würden, und andererseits dieser Zustand allgemein rekonstruierbar ist und sich fest definieren läßt, wurden sämtliche Elektroden bis auf Aluminium und Blei, bei denen es unmöglich ist, vom Institutsmechaniker auf folgende Weise auf Hochglanz poliert. — Allerdings verursachte dies sehr große Schwierigkeiten, da die Verwendung von Englischrot und ähnlichen Politurmitteln, die nach Drude <sup>1)</sup> die Oberfläche der Metalle angreifen, ausgeschlossen war. —

Die Elektroden wurden zunächst auf Schmirgelpapier 3, 2 1<sup>G</sup>, 1<sup>A</sup>, 0, 00, 000, 0000 mit etwas verriebe nem Maschinenöl abgeschmirgelt, dann wurden sie an der Drehbank auf einem mit Stearinöl getränkten Leinwandlappen poliert, bis alle Kratzer etc. beseitigt waren. Die letzte Politur erhielten sie

1) P. Drude, Wied. Ann. 39. p. 481. 1890.



endlich durch Abreiben mit einem reinen Leinwandlappen unter Zuhilfenahme von etwas Wiener Kalk. In diesem Zustand wurden die Elektroden in die Röhre gebracht und nun nach der einen oder anderen Methode das Verhältniß des lichtelektrischen Stromes an ihnen und an der Aluminiumelektrode bestimmt. Hierauf bezieht sich die folgende Tabelle, in der der Vollständigkeit wegen in der zweiten Kolumne die zuerst erhaltenen Werte, das sind die nach dem ersten Abschmirlgeln, eingeführt sind. Die Bemerkungen in der Kolumne 4 betreffend des Politurzustandes beziehen sich *nur* auf die Werte der Kolumne 3.

Tabelle 1.

Lichtelektrische Konstanten für die Bestrahlung im Vakuum,  
bezogen auf Aluminium = 1.

Metall	$\alpha_1$	$\alpha_2$	Bemerkungen zu 3
1	2	3	4
Blei . . . . .	0,89	—	Nicht möglich, auf Hochglanz zu polieren.
Antimon . . . . .	1,198	—	Ebenfalls kein Hochglanz möglich.
Silber . . . . .	1,31	1,42	Hochglanz.
Stahl . . . . .	0,957	1,48	Hochglanz.
Stahlspiegel . . . . .	—	1,48	Spiegel bezogen von Hartmann & Braun.
Gold . . . . .	—	1,97	Kein vollkommener Hochglanz.
Magnesium . . . . .	—	2,35	Spiegel von Zeiss.
Eisen . . . . .	0,613	2,37	Hochglanz.
Nickel . . . . .	0,516	2,99	Hochglanz.
Platin . . . . .	2,806	3,31	Hochglanz.
Wismut . . . . .	0,785	4,62	Kein vollkommener Hochglanz.
Zink . . . . .	2,218	6,67	Hochglanz.
Messing . . . . .	2,01	10,00	Hochglanz.
Kupfer . . . . .	2,45	15,6	Hochglanz.

Die unter  $\alpha_2$  angegebenen Konstanten der Metalle zeigen nun in ihrer Reihenfolge weder eine Übereinstimmung mit der von Elster und Geitel für den lichtelektrischen Strom im luftgefüllten Raume gefundenen, noch sonst mit irgend einer anderen Reihe, in die sich die Metalle bezüglich anderer Eigen-

schaften ordnen. Dies ist ganz natürlich, da bei den oben mitgeteilten Versuchen die Absorptionsfähigkeit der betreffenden Metalle für die wirkenden Wellenlängen bedeutend mit- spricht, diese aber vor allem deshalb zunächst nicht zu er- mitteln ist, weil wir die eigentlich wirkende Wellenlänge gar nicht kennen. Erst wenn dies geschehen ist, und man den Absorptionskoeffizienten der Metalle für die betreffende Wellen- länge kennt, wird man die reinen Konstanten erhalten. Daß die in Tab. 1 unter  $a_2$  angegebene Reihe der Metalle nicht mit der von Elster und Geitel übereinstimmt, dürfte darin begründet sein, daß wir hier im Vakuum viel einfachere Ver- hältnisse haben, also eher von störenden Einflüssen frei sind, als bei Versuchen im luftgefüllten Raume.

Die bisherigen Untersuchungen bezogen sich alle auf den gesamten lichtelektrischen Strom, indem die Ladung der be- strahlten Elektrode stets — 1000 Volt betrug. Bestrahlt man nun eine ungeladene Metallplatte, so nimmt dieselbe bekannt- lich eine positive Ladung an, und man erklärt sich diesen Vorgang dadurch, daß man annimmt, auch von der ungeladenen Elektrode gingen infolge der Bestrahlung negative Elektronen fort. Die Größe der angenommenen positiven Ladung zeigt sich nun bei den verschiedenen Metallen verschieden groß, und es liegt infolgedessen die Vermutung nahe, daß es möglich ist ein lichtelektrisches Element zu konstruieren, indem man zum Beispiel gleichzeitig eine Aluminium- und eine Kupferelektrode bestrahlt. Der Versuch wurde mit der zweiten Röhre (vgl. Fig. 5) angestellt, indem  $A$  aus Kupfer,  $C$  aus Aluminium bestand und beide ungeladen durch ein Galvanometer von großer Em- pfindlichkeit kurz geschlossen waren. Elektrode  $B$  diente zum Auffangen der Elektroden und war geerdet. Sowohl in dieser Anordnung wie beim Eisen gegen Aluminium und Zink gegen Aluminium wurde dieser Effekt erhalten. Ich kann mir den hier stattfindenden Vorgang analog dem bei den galvanischen Elementen so vorstellen, daß durch die Bestrahlung von der Kupferelektrode die negativen Elektronen in größerer Anzahl in das Vakuum gehen wie von der Aluminiumelektrode. Infolge- dessen wird ein stärkerer positiver Strom von der Kupfer- zur Aluminiumelektrode fließen wie umgekehrt, und daher der Aus- schlag des Galvanometers.

**Die Größe des lichtelektrischen Stromes  
ist unabhängig vom Einfallswinkel des wirkenden Lichtes.**

Mittels des Schliffes *Sch 1* in der benutzten Röhre (vgl. Fig. 3) war es möglich die Elektrode während des Versuches zu drehen, und auf diese Weise konnte ein neuer Beweis für den von Lenard ausgesprochenen Satz gegeben werden, daß nämlich die Stärke des lichtelektrischen Stromes der Intensität des wirkenden ultravioletten Lichtes proportional ist. Gilt dieser Satz, so muß offenbar bei allen Einfallswinkeln des Lichtes die Stärke des ausgelösten lichtelektrischen Stromes die gleiche sein, wenn ich auf gleiche Lichtintensität beziehe, das heißt den bei irgend einem Einfallswinkel  $\gamma$  beobachteten Wert des Stromes durch  $\cos \gamma$  dividiere. Eigentlich müßte man annehmen, daß, da in der Fortpflanzungsrichtung des Lichtes weder die magnetische noch die elektrische Schwingung erfolgt, bei senkrechter Inzidenz sich der kleinste und bei schiefer der größte Wert ergeben müßte. Die definitive an einem Stahlspiegel ausgeführte Messung ergab aber dies nicht, sondern es wurde entsprechend dem Lenardschen Satze ein konstanter Wert für den lichtelektrischen Strom gefunden, wie folgende Tabelle zeigt.

Tabelle 2.

Elektrode: „Stahlspiegel“ (erste Methode).

$\gamma$	$\alpha'$	$\alpha$	$\frac{\alpha}{\cos \gamma}$	$\delta$ Proz.
0°	207,6	207,6	207,6	— 3,5
20	190,8	195,8	208,3	— 3
40	154,7	160,7	212,0	— 1,5
45	133,6	155,6	219,9	+ 2
50	124,1	130,8	203,8	— 5,5
55	116,7	132,8	231,1	+ 7
60	100,6	108,6	217,2	+ 1,3
65	88,3	96,3	227,5	+ 5,4
70	71,4	78,4	229,0	+ 6
75	48,3	53,3	206,8	— 4,1
80	33,5	35,5	204,1	— 5,6

Mittelwert = 215,2.

Hierbei ist  $\gamma$  der Einfallswinkel,  $a'$  der beobachtete Elektrometerrausschlag,  $a$  enthält die Korrektur, die wegen der Ermüdung der Elektrode nötig war. Es ergab sich nämlich, als zum Schluß der Messungsreihe der Wert bei einem Einfallswinkel von  $0^\circ$  noch einmal geprüft wurde, daß derselbe um 10 Proz. gesunken war, was auf Ermüdungserscheinung zurückzuführen ist. Es wurden deshalb nach der zeitlichen Reihenfolge ihrer Messung — dieselbe ist nicht identisch mit der in der Tabelle angegebenen — die  $a'$  um die ihnen zukommenden Werte erhöht.  $a$  ist also dem lichtelektrischen Strom proportional. Die Größe  $a/\cos \gamma$  zeigt bis auf die unter  $\delta$  Proz. angegebenen, innerhalb der Versuchsfehler liegenden prozentualischen Abweichungen die gewünschte Konstanz, so daß der oben angegebene Satz auch auf diese Weise experimentell bewiesen ist.

#### Eindringungstiefe des ultravioletten Lichtes.

Außer einem neuen Beweise für den Lenardschen Satz, daß nämlich die Stärke des lichtelektrischen Stromes der Intensität des wirkenden Lichtes proportional ist, enthalten die oben besprochenen Erscheinungen noch eine Bestätigung der Tatsache, daß die Polarisationssebene des ultravioletten Lichtes belanglos für die Stromstärke ist.

Lenard zeigt nämlich in seiner letzten Arbeit, daß es für die Stärke des Stromes gleichgültig ist, ob der polarisierte Lichtstrahl in der Ebene des Spiegels oder unter einem Winkel von  $45^\circ$  zu derselben schwingt. Für dieselbe Tatsache sprechen die oben erwähnten Versuche; denn sonst müßte bei schräger Inzidenz der ausgelöste Strom bei weitem der größte sein. So widersprechend diese Tatsache gegenüber der von Elster und Geitel gefundenen ist, daß nämlich die Richtung der Polarisationssebene einen bedeutenden Einfluß auf die Stärke des lichtelektrischen Stromes ausübt, so lassen sich doch diese beiden Resultate vereinigen. Man muß nämlich bedenken, daß Elster und Geitel bei ihren Versuchen kein ultraviolettes Licht nahmen — sie brauchten es nicht, da sie ihre empfindliche Natriumkaliumzelle benutzten —, während bei Lenard und in dieser Arbeit ultraviolettes Licht benutzt ist. Glückt es nun zu zeigen, daß das ultraviolette Licht sehr tief in die

Metalle einzudringen vermag, was das sichtbare nicht tut, so läßt sich der Widerspruch erklären, da natürlich die Richtung der Polarisationssebene belanglos ist, wenn die Strahlen sehr tief eindringen. In diesem Falle werden sehr dicke Metallschichten nötig sein, um bei Bestrahlung den ganzen, dem betreffenden Metall zukommenden Wert zu erhalten. Um diese Vermutung experimentell prüfen zu können, wurde folgendermaßen verfahren: Auf eingebrannten Platinspiegeln, die nach der bekannten Kundtschen Methode hergestellt wurden, wurde Nickel galvanisch niedergeschlagen, wobei es vor allem darauf ankam, um überhaupt vergleichbare Resultate zu erhalten, die betreffenden Metalle gleich in tadellos spiegelndem Zustand niederschlagen, ohne es nötig zu haben dieselben noch polieren zu müssen. Um die Dicken zunächst wenigstens relativ bestimmen zu können, wurde in den betreffenden Bädern bei bestimmtem Elektrodenabstand und während einer meßbaren Zeit ein Strom von ebenfalls gemessener Stärke hindurchgeschickt. So konnten verschiedene Schichten von relativ bekannter Dicke hergestellt werden. An ihnen wurde dann der Effekt gemessen, ebenso wie an dem eingebrannten Platinspiegel. Es ergab sich nun von einer bestimmten Dicke an ein mit weiter zunehmender Dicke nicht mehr wachsender Wert, der dieselbe Größe hatte, wie der an der Vollelektrode gefundene. Und man kann nun annehmen, daß diese Dicke des Spiegels, von der an der Wert des lichtelektrischen Stromes sich nicht mehr ändert, derjenigen Tiefe entspricht, bis zu der ultraviolettes Licht von der wirksamen Wellenlänge merklich einzudringen vermag. Nach dieser Messung wurde dann an drei Spiegeln die wahre Dicke dadurch gemessen, daß ein schmaler Streifen mit der Teilmaschine herausgeritzt, dann nach der Sharpschen Methode <sup>1)</sup> ein Abdruck gemacht, und an diesen Abdrücken durch Beobachtungen von Koinzidenzen direkt optisch die Dicke bestimmt wurde. Es ergaben sich, indem verschiedene Stellen des Spiegels gemessen wurden, bis auf 3 Proz. übereinstimmende Resultate, was auf eine genügende Gleichmäßigkeit der Dicke der Schichten schließen läßt. Diese Messungen hat in liebenswürdigster Weise Hr. cand. phil.

---

1) Cl. H. Sharp, *Ann. d. Phys.* 3. p. 210. 1900.



Gräser, der im Institut mit ähnlichen Messungen beschäftigt ist, ausgeführt. Da es natürlich nicht möglich war, den Nickelspiegel durch den Stichel der Teilmaschine zu entfernen, ohne den darunter befindlichen Platinspiegel zu verletzen, mußte jedesmal die Dicke des Nickel + Platinspiegels gemessen werden.

Aus zwei Messungen, bei denen sich die Dicken der beiden Nickelspiegel nach der Zeit der Vernickelung wie 1:4 verhielten, wurde die Dicke des Platinspiegels ausgerechnet und an einem dritten Spiegel kontrolliert.

Es ergab Spiegel 1 die mittlere Dicke  $355 \mu\mu$ . Spiegel 4 die mittlere Dicke  $1007,0 \mu\mu$ .

Daraus folgt:

$$1007 = 4a + b,$$

$$355,4 = a + b;$$

$$a = 217,2,$$

$$b = 138,2,$$

wenn  $b$  die Dicke des eingebrannten Platin-,  $a$  die des Nickelspiegels 1 selber ist.

Die optisch gemessene Dicke eines Spiegels, der sich zum Spiegel 1 nach der Zeit der Vernickelung wie 1:3 verhielt, war  $818,8 \mu\mu$ , während die nach der Gleichung  $3a + b$  ausgerechnete Dicke  $789,8 \mu\mu$  ergab; also betrug der Fehler nur 3 Proz. Die so erhaltene Genauigkeit war also genügend.

Beifolgende Tabelle gibt die Versuche an Nickelspiegeln, die sich sehr gut hierfür eignen, wieder.

Tabelle 3.  
Nickel auf Platin.

Metall	Vernickelung		Dicke	Optische Dicke	$a$
	Stromstärke	Zeit			
	Amp.	Min.		$\mu\mu$	
Platin . . .	—	—	—	138,2	0,39
Nickel . . .	02	$2\frac{1}{3}$	1	217,2	2,50
	02	5	2	434,4	2,61
	03	5	3	651,6	2,68
	04	5	4	868,8	2,98
	02	$12\frac{1}{2}$	5	1086,0	2,99
Nickel . . . (Vollelektrode)	—	—	—	—	2,99

Die gesuchte Dicke also, bis zu der das ultraviolette Licht eindringt, ist hier bei Nickel die Dicke 4, bei der die Dicke der Metallschicht  $868,8 \mu\mu$  ist. Da der Brechungs-exponent von Nickel für die kürzesten Wellen  $= 1,83$  ist und wir annehmen wollen, daß die Wellenlänge des wirksamen Lichtes ungefähr  $\lambda = 220 \mu\mu$  ist, so sehen wir, daß dieses Licht bis in die 8 fache Wellenlänge in Nickel eindringt. Und es hat sich also die Vermutung bestätigt, daß das ultraviolette Licht sehr tief in die betreffenden Körper einzudringen vermag.

Hiermit schließen diese Untersuchungen ab. Die erhaltenen Resultate lassen sich wie folgt zusammenfassen.

### Resultate.

I. Bestätigungen von bekannten Tatsachen für die Bestrahlung im Vakuum.

1. Die sogenannte Ermüdungserscheinung der Elektroden hat vor allem ihren Grund in der durch die Wirkung des Lichtes hervorgerufenen Veränderung der Oberflächenbeschaffenheit.
2. Mit zunehmender Güte der Politur der Oberfläche wächst der ausgelöste lichtelektrische Strom und erreicht bei auf Hochglanz polierten Elektroden sein Maximum.

### II. Neue Tatsachen.

1. Die Reihenfolge der Metalle wurde an auf Hochglanz polierten Platten festgestellt (vgl. Tab. 1).
2. Bezogen auf gleiche auffallende Lichtintensität ist an spiegelnder Elektrode die Stärke des Stromes unabhängig von dem Einfallswinkel des wirkenden Lichtes.
3. Die Eindringungstiefe dieses Lichtes berechnet sich bei Nickel zu etwa 8 Wellenlängen.

Der Nachweis, daß nur das eingedrungene Licht wirksam ist, sowie der Umstand, daß die beobachtete Reihenfolge der Metalle in keinem deutlichen Zusammenhange mit anderen bekannten Eigenschaften steht, verschieben die Fragestellung. Wie schon Hallwachs<sup>1)</sup> gezeigt hat, ist für die Größe des Effektes die Absorption des wirkenden Lichtes maßgebend. Diese letztere hängt nun von der Wellenlänge ab; es tritt

1) W. Hallwachs, Wied. Ann. 37. p. 666. 1889.

daher die Frage auf, wie sich das Verhältnis der Wirkung zur absorbierten Lichtmenge als Funktion der Wellenlänge darstellen läßt, und ob diese Funktion etwa ein Maximum hat.

In dieser Richtung soll die Arbeit fortgesetzt werden.

Vorliegende Arbeit wurde im Jahre 1901 und 1902 im Physikalischen Institut der Universität Leipzig auf Anregung des Hrn. Prof. Dr. O. Wiener, dem ich sowohl hierfür, wie auch für die vielfache überaus lebenswürdige Unterstützung an dieser Stelle meinen verbindlichsten Dank sage, ausgeführt.

(Eingegangen 18. Juni 1903.)

---

✓

**5. Über die Absorption des Lichtes  
in den mit Metaldampf gefärbten Flammen;  
von J. Stscheglayew.**

---

Zweck der Arbeit ist eine Untersuchung der Absorption, welche Strahlen von einer bestimmten Wellenlänge in einer mit Metaldampf gefärbten Gasflamme, wenn die letzte homogenes Licht von derselben Wellenlänge aussendet, erleiden.

In welchem Grade folgt diese Absorption dem Kirchhoffschen Gesetz?

Nach dem Kirchhoffschen Gesetz ist das Verhältnis der Emission eines Körpers zu dessen Absorption für eine bestimmte Wellenlänge die Funktion der Temperatur allein; es ist gleich der Emission des schwarzen Körpers bei derselben Temperatur und für dieselbe Wellenlänge

$$\frac{E}{A} = e.$$

Wenn die Absorption in den Flammen dem Kirchhoffschen Gesetz folgt, so soll dies Verhältnis mit der Temperatur sich ebenso ändern, wie die Strahlung eines schwarzen Körpers, für eine bestimmte Wellenlänge, mit der Temperatur sich ändert.

Die Abhängigkeit der Strahlung des schwarzen Körpers von der Temperatur ist von W. Wien<sup>1)</sup> in der Form

$$(1) \quad J = c_1 \lambda^{-5} e^{-\frac{c_2}{\lambda T}}$$

gegeben, wo  $J$  die Intensität der Strahlung,  $\lambda$  die Wellenlänge,  $T$  die absolute Temperatur und  $c_1$ ,  $c_2$  Konstanten sind.

Wenn man die Formel (1) logarithmiert, so hat man:

$$(2) \quad \log J = \beta - \gamma \frac{1}{T},$$

d. h.  $\log J$  ist eine lineare Funktion von  $1/T$ .

---

1) W. Wien, Wied. Ann. 58. p. 662. 1896.

Wenn man also  $1/T$  als Abszissen und  $\log J$  als Ordinaten aufträgt, so bekommt man eine gerade Linie, aus deren Neigungskoeffizient die Konstante  $c_2$  sich berechnen läßt.

Die experimentelle Prüfung dieser Formel wurde für das sichtbare Spektrum von Wanner<sup>1)</sup> unternommen. Er hat sie vollkommen bestätigt gefunden und die Konstante  $c_2$  aus den Messungen mit verschiedenen Wellenlängen zu 14550 berechnet. In unserem Falle, wenn das Kirchhoffsche Gesetz auf die Flammen anwendbar ist, muß das Verhältnis der Emission zur Absorption nach derselben Formel (2) sich ändern und die aus dem Neigungskoeffizient dieser Geraden berechnete Konstante  $c_2$  soll denselben Wert haben, wie er von Wanner für den schwarzen Körper berechnet wurde.

Ich dachte zuerst eine Bogenlampe als primäre Lichtquelle zu benutzen und die Absorption, welche das in ein kontinuierliches Spektrum zerlegte Licht derselben in einer farbigen Flamme erleidet, messend zu verfolgen. Die, sogar mit Gleichstrom gespeiste, Bogenlampe hat sich aber für längere Versuchsdauer nicht konstant genug erwiesen und außerdem ließ sich die Absorption im kontinuierlichen Spektrum nur bei äußerst kleiner Spaltbreite beobachten; sie trat dann aber in Form einer Inversionlinie auf; die Vergleichung der Intensitäten einer schmalen Linie mit einem ebenso schmalen Spektralstreifen einer Vergleichslampe war sehr erschwert. Ich mußte daher als primäre Lichtquelle auch eine farbige Flamme mit homogenem Licht nehmen und konnte auf diese Weise mit viel größeren Spaltbreiten arbeiten. Zunächst brauchte ich solche farbige Flammen, welche bei gleichmäßiger Färbung längere Zeit ihre Form und Intensität konstant behalten. Die Flamme des Bunsenbrenners, sei sie wie gewöhnlich, mit Salzperle, oder nach Beckmannscher Methode<sup>2)</sup> gefärbt, läßt keine photometrische Beobachtungen zu, da ihre Intensität sich fortwährend ändert. Ich habe eine Methode zur Herstellung der farbigen Flammen angegeben<sup>3)</sup>, welche allen

1) H. Wanner, Ann. d. Phys. 2. p. 141. 1900.

2) E. Beckmann, Zeitschr. f. phys. Chem. 34. p. 595; 35. p. 443 u. 652. 1900.

3) J. Stscheglayew, Zeitschr. f. phys. Chem. 39. p. 111. 1901.



meinen Forderungen genügende Flammen gibt. Sie besteht darin, daß eine Salzlösung durch einen gleichmäßigen Luftstrom unter dem Drucke von 60—80 mm Quecksilber zerstäubt wird und diese, mit Salzstaub gesättigte Luft, mit dem Leuchtgas gemischt, in einem engen Brenner verbrannt wird. Man erhält so eine Flamme, welche gleichmäßig gefärbt ist und deren Form und Intensität längere Zeit unveränderlich bleibt.

Es ergab sich aber im Laufe der Arbeit, daß nur die flüchtigsten Salze verwendet werden konnten; die weniger flüchtigen geben keine genügend große Intensität der Flamme, um die photometrischen Messungen mit Glanschem Spektrophotometer zu ermöglichen.

In folgendem wurden die mit beinahe gesättigten Natriumbromid- und Lithiumchloridlösungen gefärbten Flammen untersucht.

Die Versuchsanordnung war folgende. Vor dem Spalte eines Glanschen Spektrophotometers, 1 cm von demselben entfernt, war ein Schirm mit vertikalem, 7 mm langem und 1 mm breitem Spalte  $S$  befestigt (Fig. 1). Die erste Flamme (I) befand sich im Abstand von 8 cm von dem Spalte  $S$ , die zweite (II), in welcher die Absorption beobachtet wurde, stand unmittelbar vor demselben und konnte in vertikaler Richtung verschoben werden, so daß die Messungen in verschiedenen Teilen der Flamme vorgenommen werden konnten.

Es wurde die Lichtintensität, welche durch den Spalt  $S$  in das Spektrophotometer kam, gemessen und zwar 1. von der Flamme I allein ( $J$ ), 2. von beiden Flammen, wobei die Strahlen von I die Flamme II durchsetzten. ( $J + i - A$ ), wo  $A$  die Intensität ist, welche in der zweiten Flamme absorbiert wird und 3. von der Flamme II allein ( $i$ ).

Ist  $\varphi$  der Winkel, um welchen das Nicolprisma des Apparates gedreht werden muß, um die gleiche Beleuchtung der beiden Hälften des Gesichtsfeldes zu bekommen, von der Stellung aus gerechnet, wo das Licht der Flamme ausgelöscht ist, so ist die Intensität der Flamme dem  $\text{ctg}^2 \varphi$  proportional.

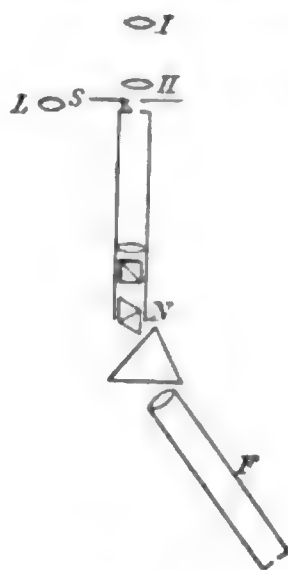


Fig. 1.

Es seien  $q_1, q_2, q_3$  die entsprechenden Winkel für die drei oben genannten Messungen, dann ist:

$$J = c \cdot \operatorname{ctg}^2 q_1, \quad J + i - A = c \cdot \operatorname{ctg}^2 q_2, \quad i = c \operatorname{ctg}^2 q_3;$$

man bekommt hieraus:

$$A = c (\operatorname{ctg}^2 q_1 + \operatorname{ctg}^2 q_3 - \operatorname{ctg}^2 q_2)$$

und die Absorption der Flamme II ist:

$$a = \frac{A}{J} = \frac{\operatorname{ctg}^2 q_1 + \operatorname{ctg}^2 q_3 - \operatorname{ctg}^2 q_2}{\operatorname{ctg}^2 q_1}.$$

Das gesuchte Verhältnis der Emission der zweiten Flamme zur Absorption derselben ist  $i/a$ .

In die Werte von  $J, i, A$  kommt ein Proportionalitätsfaktor  $c$  hinein, welcher von der Absorption im Apparate und von der Intensität der Vergleichsquelle abhängt; dagegen ist die Absorption  $a$  eine reine Zahl.

Das Verhältnis  $i/a$  wird folglich in einem bestimmten Maß ausgedrückt.

Als Vergleichsquelle diente eine (für 30 Volt Spannung) Glühlampe  $L$ , welche hinter einer Mattglasscheibe in 10 cm Entfernung von der Kollimatorachse seitlich stand, und das Licht durch ein kleines reflektierendes Prisma  $P$  in den Apparat schickte. Sie wurde mit Gleichstrom einer Akkumulatorenbatterie (12—14 Akkumulatoren) gespeist; ein regulierbarer Widerstand und ein Westonsches Ampèremeter erlaubten die Stromstärke von 0,8—1,0 Amp. bis 0,001 Amp. genau konstant zu halten; so war es möglich, die Beobachtungsergebnisse von verschiedenen Tagen miteinander zu vergleichen. Aus dem Spektrum dieser Lampe wurde mit der Okularblende ein möglichst enger Teil ausgeschnitten, welcher der stets zu untersuchenden Farbe der Flamme gleich war. Nach Schluß jeder photometrischen Beobachtungsreihe wurde in die absorbierende Flamme genau vor dem Spalte  $S$  ein Thermoelement hineingeschoben, so daß die Lötstelle möglichst auf der Achse der Flamme sich befand und die Temperatur in dem entsprechenden Querschnitte der Flamme gemessen.

Das Thermoelement wurde nach Le Chatelier aus 0,1 mm dünnen Pt- und 90 Proz. Pt- + 10 Proz. Rh-Drähten

gemacht, deren Enden fest miteinander gebunden waren, so daß die Verbindungsstelle einen ganz kleinen Knoten bildete. Die freien Enden wurden an starken Kupferdrähten angelötet und die Lötstellen standen in einem Petroleumbade, dessen Temperatur auch beobachtet wurde.

Die Messung der elektromotorischen Kraft geschah nach einer Kompensationsmethode in folgender Weise.<sup>1)</sup> In den Kreis eines kleinen Akkumulators sind ein Rheostat  $R$ , ein Widerstand  $0,15\text{ Ohm}$ , ein regulierbarer Widerstand  $W$  und ein Milliampèremeter  $M$  von Siemens & Halske eingeschaltet (Fig. 2). Im Nebenschluß zum Widerstand  $0,15\text{ Ohm}$  liegt das Thermoelement  $T$  und das Spiegelgalvanometer  $G$ .

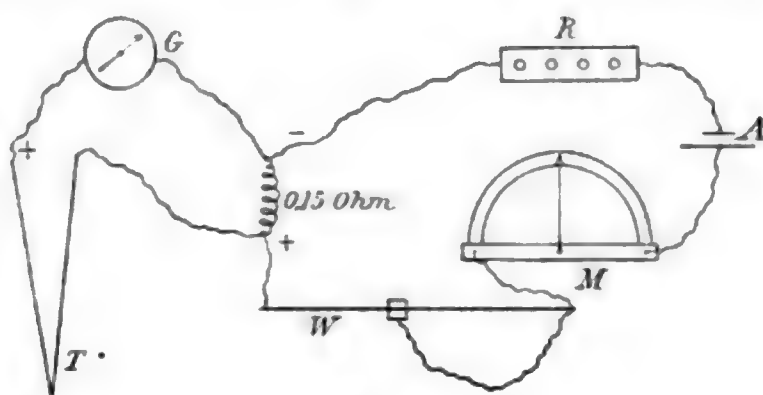


Fig. 2.

Reguliert man die Stromstärke  $i$  im Akkumulatorkreise so lange, bis das Galvanometer keinen Ausschlag zeigt, so ist die elektromotorische Kraft des Thermoelementes

$$E \text{ Volt} = i \text{ Amp.} \times 0,15 \text{ Ohm.}$$

Die Stromstärke  $i$  läßt sich bis  $0,2$  Milliamp. genau bestimmen, was der elektromotorischen Kraft von  $0,0002 \text{ Amp.} \times 0,15 \text{ Ohm} = 30 \text{ Mikrovolt}$  entspricht; das entspricht aber der Temperaturänderung von ca.  $2,5^\circ$ .

Um die Angaben des Thermoelementes auszuwerten, wurde die elektromotorische Kraft bei den Schmelztemperaturen von Zn, Cu und Pt bestimmt und aus den erhaltenen Zahlen die drei Koeffizienten der quadratischen Formel

$$e = a + bt + ct^2 \text{ )}$$

1) Vgl. St. Lindeck u. R. Rothe, Zeitschr. f. Instrumentenk. 20. p. 293. 1900.

2) L. Holborn u. A. Day, Ann. d. Phys. 2. p. 505. 1900.

berechnet, wo  $e$  die elektromotorische Kraft in Mikrovolt,  $t$  die Temperaturdifferenz der Lötstellen bedeutet.

Das in Asbestpappe eingebettete Thermoelement wurde in das im Tiegel geschmolzene Zink eingetaucht und der Ausschlag des Galvanometers mit vorgeschaltetem Widerstand von 100 Ohm jede  $\frac{1}{2}$  Min. beobachtet; die Empfindlichkeit des Galvanometers betrug  $1^{\circ} = 4,1 \cdot 10^{-7}$  Amp. Beim Schmelzen und Erstarren blieb der Ausschlag längere Zeit konstant. Es ergab sich für Temperaturdifferenz der Lötstellen von  $382^{\circ}$  die elektromotorische Kraft 2712 Mikrovolt. Um die elektromotorische Kraft bei Schmelztemperatur des Kupfers zu bestimmen, wurde nach Holborn und Day<sup>1)</sup> ein etwa 2 mm kurzes Stück Kupferdraht, von der Dicke 0,15 mm, zwischen den Drähten des Thermoelementes eingelötet, ein Tonrohr über die Lötstelle herüberschoben und diese mit dem Linnemannschen Sauerstoffbrenner so lange erhitzt, bis der Kupferdraht geschmolzen war; es wurde der Ausschlag des Galvanometers im Moment des Schmelzens beobachtet; so ergab sich für Temperaturdifferenz von  $1048^{\circ}$  die elektromotorische Kraft von 9280 Mikrovolt.

Endlich wurde die Lötstelle des nackten Thermoelementes mit einer Sauerstoffspitzflamme langsam und vorsichtig erhitzt, bis Platin geschmolzen war; für Temperaturdifferenz von  $1760^{\circ}$  ergab sich die elektromotorische Kraft von 17240 Mikrovolt.

Aus diesen drei Daten berechnen sich die oben genannten Koeffizienten zu:

$$a = -673, \quad b = 8,495, \quad c = 0,000956.$$

Aus der nach Formel

$$e = -673 + 8,495 t + 0,000956 t^2$$

konstruierten Kurve wurden dann Temperaturen für die beobachteten elektromotorischen Kräfte entnommen.

Es folgt als Beispiel eine vollständige Beobachtungsreihe für NaBr-Lösung.

---

1) L. Holborn u. A. Day, l. c.

Einstellungen des Nicols auf gleiche Beleuchtung auf beiden Seiten der Lage, wo das Flammenspektrum ausgelöscht ist.

Hintere Flamme I		Beide Flammen zusammen		Vordere Flamme II	
109,1°	39,8°	98,6°	49,5°	101,0°	48,2°
110,5	40,0	100,6	51,5	100,8	49,6
110,6	39,1	99,6	50,2	101,2	50,5
		100,1	49,8		49,5
Mittel 110,1°	39,6°	99,7°	50,2°	101,0°	49,4°
Differenz 70,5°		49,5°		51,6°	

$$\varphi_1 = 35,25^\circ,$$

$$\varphi_2 = 24,75^\circ,$$

$$\varphi_3 = 25,8^\circ,$$

$$\operatorname{ctg}^2 \varphi_1 = 2,002,$$

$$\operatorname{ctg}^2 \varphi_2 = 4,705,$$

$$\operatorname{ctg}^2 \varphi_3 = 4,279,$$

$$J = c \operatorname{ctg}^2 \varphi_1,$$

$$J + i - A = c \operatorname{ctg}^2 \varphi_2,$$

$$i = c \operatorname{ctg}^2 \varphi_3.$$

$$a = \frac{A}{J} = \frac{\operatorname{ctg}^2 \varphi_1 + \operatorname{ctg}^2 \varphi_3 - \operatorname{ctg}^2 \varphi_2}{\operatorname{ctg}^2 \varphi_1} = \frac{2,002 + 4,279 - 4,705}{2,002} = 0,787.$$

$$\frac{i}{a} = c \cdot \frac{4,279}{0,787} = c \cdot 5,436.$$

Stromstärke im Akkumulatorkreise  $i = 112$  Milliamp.

112 Milliamp.  $\times 0,15$  Ohm = 16800 Mikrovolt.

Entsprechende Temperaturdifferenz der Lötstellen =  $1723^\circ$ .

Temperatur der kalten Lötstellen =  $19^\circ$ .

Absolute Temperatur der heißen Lötstelle:  $1723 + 19 + 273 = 2015^\circ$ .

Die Temperaturbestimmungen aus der Messung der elektromotorischen Kräfte können als genügend genau angesehen werden. Da aber in einem Querschnitt der Flamme eine ungleichmäßige Temperaturverteilung herrscht, so kann man die erhaltenen Resultate nicht als vollständig genau annehmen. Die hier angegebene Methode, die Absorption zu bestimmen, ist ihrer Natur nach mit großen Fehlerquellen behaftet, was sich auch in den Beobachtungen ausspricht. Sie wurde erst gewählt, nachdem viele Versuche, eine genauere Bestimmungsart zu gewinnen, sich aus dem einen oder anderen Grunde als nicht durchführbar erwiesen hatten.

Es wurde deshalb das ganze Temperaturintervall von  $236^\circ$ , in das die Beobachtungen für die Na-Flamme fielen, in sechs Temperaturbereiche von  $20\text{--}35^\circ$  geteilt und der Mittelwert der Temperatur und des Verhältnisses  $i/a$  für die in diese Bereiche fallenden Beobachtungen genommen. Die folgenden Tabellen enthalten die Beobachtungsergebnisse für Na-Flammen.



## Na-Flammen.

Abs. Temp. 2027–2000°		Abs. Temp. 1993–1964°		Abs. Temp. 1915–1894°	
Abs. Temp.	$\frac{i}{a}$	Abs. Temp.	$\frac{i}{a}$	Abs. Temp.	$\frac{i}{a}$
2027	6,503	1993	4,161	1915	3,136
2014	5,667	1993	4,645	1912	3,250
2021	4,281	1985	5,174	1910	2,689
2015	5,436	1985	4,180	1907	3,034
2006	4,062	1980	4,437	1898	2,254
2005	4,548	1978	4,263	1894	2,473
2002	4,233	1978	4,107		
2002	4,189	1976	5,048		
2000	4,937	1973	3,550		
2000	3,774	1972	5,221		
		1965	3,859		
		1964	4,694		
Mittel 2009	4,837	1979	4,445	1903	2,806
$\frac{1}{T} \cdot 10^6 = 498$	$\log \frac{i}{a} = 0,685$	$\frac{1}{T} \cdot 10^6 = 505$	$\log \frac{i}{a} = 0,648$	$\frac{1}{T} \cdot 10^6 = 525$	$\log \frac{i}{a} = 0$

Abs. Temp. 1888–1853°		Abs. Temp. 1849–1827°		Abs. Temp. 1807–1778°	
Abs. Temp.	$\frac{i}{a}$	Abs. Temp.	$\frac{i}{a}$	Abs. Temp.	$\frac{i}{a}$
1888	2,664	1849	2,315	1807	1,703
1870	2,455	1845	1,647	1800	1,775
1859	1,893	1837	1,750	1794	1,398
1859	2,273	1827	1,692	1793	1,224
1853	2,057			1787	1,395
				1781	1,539
				1778	1,456
Mittel 1866	2,268	1839	1,851	1791	1,503
$\frac{1}{T} \cdot 10^6 = 536$	$\log \frac{i}{a} = 0,356$	$\frac{1}{T} \cdot 10^6 = 544$	$\log \frac{i}{a} = 0,267$	$\frac{1}{T} \cdot 10^6 = 559$	$\log \frac{i}{a} = 0$

Wenn man  $\log i/a$  als Ordinaten und  $1/T$  als Abszissen aufträgt, so bekommt man eine gerade Linie (Fig. 3). Sie ist aber zur Abszissenachse etwas mehr geneigt, als die derselben Wellenlänge entsprechende Isochromate für den schwarzen

Körper, und die Konstante  $c_2$  der Wienschen Formel berechnet sich daraus zu 11832. Das Verhältniss  $i/a$  wächst also für Na-Flammen mit der Temperatur langsamer, als die Strahlung des schwarzen Körpers.

Die Beobachtungen in Li-Flammen mußten in noch kleinerem Temperaturintervall gemacht werden, da die Emission in kälteren Teilen der Flamme zu schwach war. Nichtsdestoweniger zeigt auch hier das Verhältniss

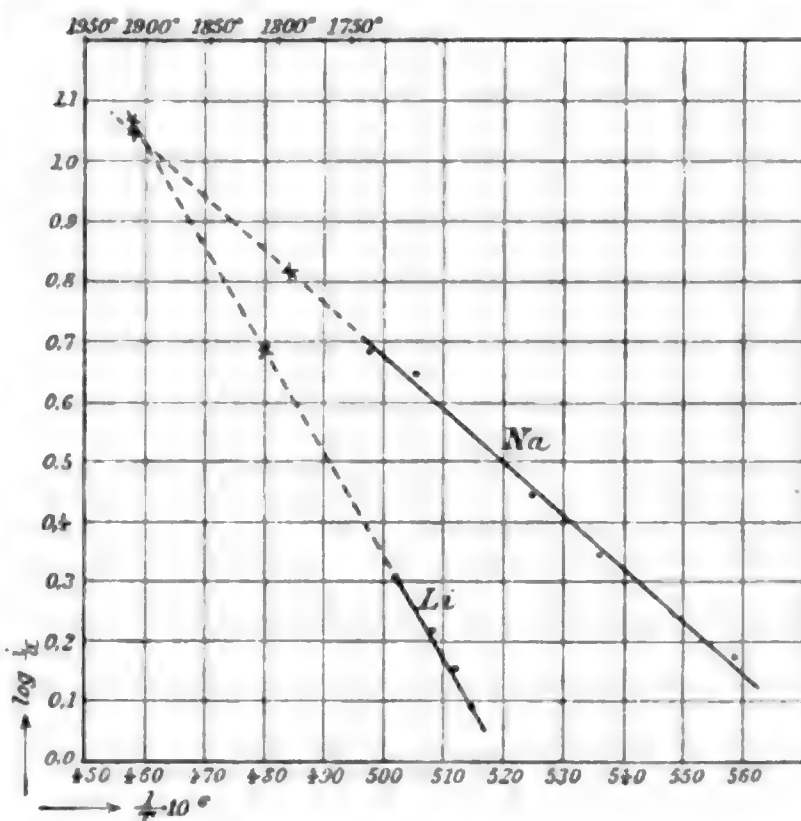


Fig. 3.

$i/a$  eine sehr große Zunahme mit der Temperatur. — Die Beobachtungsergebnisse sind in folgenden Tabellen zusammengestellt:

Li-Flammen.

2. Temperatur 1996 – 1987°		Abs. Temperatur 1972 – 1968°		Abs. Temperatur 1955 – 1941°		Abs. Temperatur 1897 – 1879°	
Abs. temp.	$\frac{i}{a}$	Abs. Temp.	$\frac{i}{a}$	Abs. Temp.	$\frac{i}{a}$	Abs. Temp.	$\frac{i}{a}$
1996	1,966	1972	1,536	1955	1,475	1897	0,849
1992	2,309	1971	1,753	1955	1,420	1883	0,920
1988	1,985	1969	1,769	1955	1,443	1879	0,816
1987	1,779	1969	1,602	$\frac{1}{T} \cdot 10^6$ = 511,5	$\log \frac{i}{a}$ = 0,161		
		1969	1,505				
		1968	1,640				
				1941	1,284		
				1941	1,191		
el 1991	2,010	1970	1,634	1941	1,238	1886	0,860
$\cdot 10^6$	$\log \frac{i}{a}$	$\frac{1}{T} \cdot 10^6$	$\log \frac{i}{a}$	$\frac{1}{T} \cdot 10^6$	$\log \frac{i}{a}$	$\frac{1}{T} \cdot 10^6$	$\log \frac{i}{a}$
= 502	= 0,303	= 508	= 0,213	= 515	= 0,093	= 530	= - 0,065

Von den bei der niedrigsten Temperatur erhaltenen Resultaten abgesehen, wo wegen der schwachen Emission die Messungen sehr ungenau sind, ist auch hier  $\log i/a$  eine lineare Funktion von  $1/T$  (Fig. 3); aber diese Gerade steigt mit wachsender Temperatur viel steiler, als die entsprechende Isochromate für den schwarzen Körper, so daß für die Wiensche Konstante  $c_2$  aus dieser Neigung zu hoher Wert 23000 berechnet werden könnte. Für Li-Flammen wächst also das Verhältnis  $i/a$  viel schneller mit der Temperatur, als die Strahlung des schwarzen Körpers.

Um die Beobachtungen auf noch höhere Temperaturen erweitern zu können, wurden die Flammen des Sauerstoff-

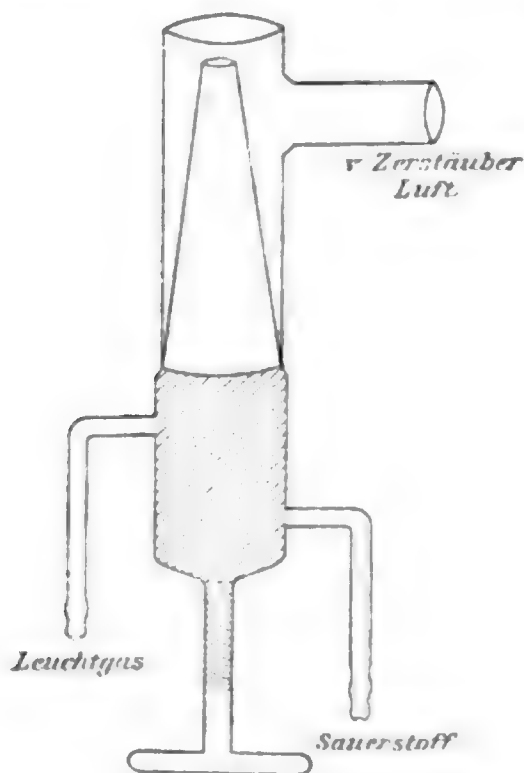


Fig. 4.

gebläses benutzt. Auf den Linne-mannschen Brenner wurde ein T-Rohr aufgesetzt (Fig. 4), in welches ein mit Salzstaub gesättigter Luftstrom aus dem Zerstäuber geblasen wurde. In solchen Flammen konnte man aber nicht die Temperatur direkt messen, da die meisten Teile derselben schon so heiß sind, daß das Platin des Thermoelementes schmilzt. Es wurden die photometrischen Messungen in den zwei Stellen dieser Flammen vorgenommen, wo dünner Platindraht und dünner Draht aus 30 Proz. Platin-Iridium-

Legierung eben zu schmelzen anfang. Diese Drähte, ebenso wie solche für Thermoelemente, wurden von der Firma W. C. Heräus in Hanau geliefert und die Schmelztemperatur für reines Platin zu  $1780^\circ$ , für Pt-Ir-Legierung zu  $1900^\circ$  von derselben angegeben.

Es ergaben sich folgende Zahlen für  $i/a$ :

Natrium		Lithium	
Pt-Schmelz- temperatur	Pt-Ir-Schmelz- temperatur	Pt-Schmelz- temperatur	Pt-Ir-Schmelz- temperatur
7,887	11,384	4,681	10,465
5,785	9,699	4,981	12,584
7,312	12,077	4,568	11,268
5,296	10,950	4,663	11,351
6,231	13,071	4,701	
	11,126		
	10,112		
Mittel 6,512	11,203	4,719	11,418
log = 0,813	log = 1,049	log = 0,674	log = 1,058

Wenn man die Logarithmen dieser Zahlen auf der Verlängerung der gefundenen Geraden aufträgt, so entsprechen die Punkte den Temperaturen in C.<sup>o</sup>

	Na	Li	Mittel
Pt	1797 <sup>o</sup>	1813 <sup>o</sup>	1808 <sup>o</sup>
Pt-Ir	1910 <sup>o</sup>	1910 <sup>o</sup>	1910 <sup>o</sup>

Die Zahlen stimmen mit den Schmelztemperaturen von Pt- und Pt-Ir-Legierung — 1780<sup>o</sup> bez. 1900<sup>o</sup> ziemlich nahe überein.

Die vorliegende Untersuchung zeigt, daß das Kirchhoffsche Gesetz auf die monochromatischen Flammen, welche die leuchtenden Metaldämpfe enthalten, nicht anzuwenden ist.

Dieses Resultat ist zu erwarten, wenn man durch die Pringsheimschen<sup>1)</sup> Versuche als bewiesen annimmt, daß die Metaldämpfe nur zu leuchten im stande sind, falls eine chemische Reaktion vorhanden ist und die Erhöhung der Temperatur allein sie nicht zum Leuchten bringt. Denn das Kirchhoffsche Gesetz stellt die Bedingung, daß die Strahlung reine Temperaturstrahlung ist.

Es zeigt sich, daß die Änderung der Funktion  $\log i/a$  mit der Temperatur in beiden untersuchten Fällen von der vom Kirchhoffschen Gesetz vorgeschriebenen in verschiedenen Richtungen abweicht. Während diese Funktion für Na-Flammen

1) E. Pringsheim, Wied. Ann. 45. p. 428. 1892.

mit der Temperatur langsamer zunimmt, als  $\log$ . der Strahlung des schwarzen Körpers, ist die Zunahme derselben für Li-Flammen eine erheblich schnellere, als für die entsprechende Isochromate des schwarzen Körpers. In beiden Fällen bleibt aber  $\log i/a$  eine lineare Funktion von  $1/T$ .

In welcher Weise diese Tatsachen in Einklang mit der Theorie gebracht werden können, sollen die weiteren Untersuchungen der Strahlung von Metalldämpfen in Flammen aufklären.

St. Petersburg, 15. Februar 1903.

(Eingegangen 23. Mai 1903.)



## 6. *Über gewisse Regelmäßigkeiten der Molekularvolumina von anorganischen Salzen in wässriger Lösung; von Carl Forch.*

Um sich eine Vorstellung von der Veränderung, welche das Volumen eines in Wasser gelösten Stoffes durch den Vorgang der Lösung bez. den der weiteren Verdünnung erfährt, bilden zu können, pflegt man das Molekularvolumen des gelösten Stoffes unter der Voraussetzung zu berechnen, daß das Volumen des Lösungsmittels verändert bleibt. Man könnte natürlich auch mit demselben Recht das Umgekehrte annehmen und die ganze tatsächlich beobachtete Volumenkontraktion als an dem Lösungsmittel geschehen auffassen.<sup>1)</sup> Der Lösungsvorgang wird nun in Wirklichkeit so erfolgen, daß beide Körper — der gelöste Stoff und das Lösungsmittel — ihr Volumen ändern. Es soll im folgenden der Versuch gemacht werden, diese Volumenänderungen aus den in der Literatur vorliegenden spezifischen Gewichten für eine Reihe von Salz- etc. Lösungen *getrennt* zu berechnen und zwar ohne eine der beiden erwähnten beschränkenden Voraussetzungen.

In einem Liter Lösung vom spezifischen Gewicht  $s$  seien  $m_s$  Grammmoleküle eines Salzes gelöst; beträgt  $A_s$  das Molekulargewicht des Salzes, so ist der Gehalt  $m_w$  an Grammmolekülen des Lösungsmittels im Liter Lösung gegeben durch

$$m_w = \frac{s - m_s \cdot A_s}{A_w},$$

worin  $A_w$  das Molekulargewicht des Lösungsmittels bedeutet. Sind  $q_s$  und  $q_w$  die Molekularvolumina des Salzes und des Lösungsmittels, beide im Zustand des „Ineinandergelöstseins“, so muß die Beziehung bestehen:

$$m_s \cdot q_s + m_w \cdot q_w = 1000.$$

Die einzige hierbei stillschweigend gemachte Voraussetzung ist, daß beide Körper in der Lösung so weiter bestehen, daß ihre Moleküle als selbständige Individuen vorhanden sind.

1) F. Kohlrausch u. W. Hallwachs, Nachr. d. k. Ges. d. Wissenschaften zu Göttingen p. 355 u. 356. 1893.

Die Molekularvolumina werden Funktionen der Konzentrationen sein; also:

$$\varphi_s = f_1(m_s, m_w), \quad \varphi_w = f_2(m_s, m_w).$$

Es wäre nun möglich für diese Ausdrücke Reihen einzusetzen und die Konstanten derselben aus den Beobachtungen zu berechnen. Doch wäre die Rechnung wegen der Umständlichkeit kaum durchführbar. Setzt man voraus, daß sich die  $\varphi_s$  und  $\varphi_w$  nirgends sprunghaft und in kleinen Intervallen überhaupt linear ändern, so wird man leicht auf einfachem Wege zu Näherungswerten gelangen. Die Diskussion dieser Werte muß dann für jeden einzelnen Fall nachträglich zeigen, ob dies Verfahren erlaubt ist. Sind die Konzentrationen, für welche zwei benachbarte spezifische Gewichte beobachtet sind, so wenig voneinander verschieden, daß man die Änderung der letzteren proportional derjenigen der Konzentration setzen kann, so wird man auch innerhalb dieses Intervalles die  $\varphi_s$  und  $\varphi_w$  konstant (d. h. gleich dem arithmetischen Mittel aus dem Anfangs- und Endwert für das Intervall) setzen dürfen. Man erhält mithin, wenn  $m_{s_1}$  und  $m_{s_2}$  bez.  $m_{w_1}$  und  $m_{w_2}$  zwei benachbarte, paarweise zusammengehörige Gehalte sind, die Molekularvolumina durch Auflösung der Gleichungen:

$$m_{s_1} \cdot \varphi_s + m_{w_1} \cdot \varphi_w = 1000,$$

$$m_{s_2} \cdot \varphi_s + m_{w_2} \cdot \varphi_w = 1000.$$

Berechnet man auf diese Weise für einen Körper aus einer Reihe von spezifischen Gewichtsbestimmungen die  $\varphi_s$  und  $\varphi_w$  und trägt die Werte graphisch auf, so wird man ein nicht weit von der Wirklichkeit entferntes Bild der Volumenverhältnisse erhalten, das nicht durch beschränkende Voraussetzungen beeinflusst ist. Ergibt die Rechnung hierbei für eines der beiden Volumina unmögliche, d. h. vor allem negative Werte, so wird dies bedeuten, daß die oben erwähnte Voraussetzung des gesonderten Fortbestehens der Moleküle der beiden Körper nicht berechtigt war.

Als Beispiel dieser Berechnungsweise und gleichzeitig zur Charakterisierung der verschiedenen Typen gelöster Stoffe sind in Tab. I die ausführlichen Werte für Zucker,  $H_3PO_4$ , NaCl,  $H_2SO_4$  und  $MgSO_4$  zusammengestellt. Das Molekularvolumen der festen Substanzen ist mit  $\Phi$  bezeichnet beigelegt.

$m_s$	Zucker				$H_3PO_4$				NaCl				$\frac{1}{2} H_2SO_4$				$\frac{1}{2} MgSO_4$			
	$m_w$	$\varphi_s$	$\varphi_w$		$m_w$	$\varphi_s$	$\varphi_w$		$m_w$	$\varphi_s$	$\varphi_w$		$m_w$	$\varphi_s$	$\varphi_w$		$m_w$	$\varphi_s$	$\varphi_w$	
0,00125	55,464	209,1	18,027	—	—	—	—	—	—	—	—	—	—	—	—	—	—	—	—	—
0,0025	55,450	209,8	18,024	55,473 <sub>3</sub>	55,473 <sub>3</sub>	40,38	18,024	—	—	—	—	—	—	—	—	—	55,479 <sub>0</sub>	—	—	—
0,0050	55,420	209,8 <sub>1</sub>	18,025	55,467 <sub>7</sub>	55,467 <sub>7</sub>	42,18	18,024	—	—	—	—	—	—	—	—	—	55,479 <sub>4</sub>	—	—	—
0,010	55,362	209,6 <sub>3</sub>	18,025	55,456 <sub>0</sub>	55,456 <sub>0</sub>	42,36	18,024	16,225	16,225	18,028	—	—	10,454	10,454	18,024	—	55,479 <sub>0</sub>	—	—	—
0,020	55,245	209,8	18,024	55,432 <sub>3</sub>	55,432 <sub>3</sub>	43,62	18,024	16,222	16,222	18,025	—	—	12,216	12,216	18,024	—	55,481 <sub>3</sub>	—	—	—
0,025	55,186	—	—	—	—	43,62	18,024	—	—	—	—	—	13,156	13,156	18,024	—	—	—	—	—
0,030	—	209,9	18,024	55,408 <sub>3</sub>	55,408 <sub>3</sub>	44,52	18,024	16,402	16,402	18,024	—	—	14,416	14,416	18,024	—	—	—	—	—
0,050	54,897	210,0	18,024	55,358 <sub>9</sub>	55,358 <sub>9</sub>	45,42	18,023	—	—	—	—	—	15,139	15,139	18,022	—	55,483 <sub>1</sub>	—	—	—
0,100	54,314	210,3	18,024	55,232 <sub>9</sub>	55,232 <sub>9</sub>	46,19	18,022	16,799	16,799	18,024	—	—	16,219	16,219	18,022	—	55,486 <sub>5</sub>	—	—	—
0,200	53,147	210,7	18,023	54,977	54,977	—	—	17,121	17,121	18,024	—	—	16,760	16,760	18,022	—	55,484 <sub>0</sub>	—	—	—
0,25	52,563	211,1	18,021	—	—	46,66	18,021	17,392	17,392	18,023	—	—	—	—	—	—	55,483	—	—	—
0,30	51,977	211,4	18,020	54,718	54,718	47,03	18,018	—	—	—	—	—	17,115	17,115	18,016	—	55,480	—	—	—
0,50	49,631	212,1	18,012	54,196	54,196	46,95	18,018	17,805	17,805	18,021	—	—	17,652	17,652	18,012	—	55,462	—	—	—
1,0	43,744	215,1	17,942	52,893	52,893	47,73	18,003	18,661	18,661	18,013	—	—	18,066	18,066	18,004	—	55,385	—	—	—
2,0	31,756	217,4	17,801	50,242	50,242	48,49	17,972	19,862	19,862	17,991	—	—	18,681	18,681	17,982	—	55,119	—	—	—
3,0	19,545	—	—	47,544	47,544	49,17	17,931	21,171	21,171	17,942	—	—	19,142	19,142	17,955	—	54,739	—	—	—
4,0	—	—	—	44,802	44,802	49,64	17,891	22,111	22,111	17,889	—	—	19,505	19,505	17,928	—	54,249	—	—	—
5,0	—	—	—	42,027	42,027	50,38	17,801	21,807	21,807	17,832	—	—	20,510	20,510	17,827	—	53,652	—	—	—
7,0	—	—	—	36,367	36,367	51,22	17,639	—	—	—	—	—	20,976	20,976	17,644	—	—	—	—	—
10,0	—	—	—	27,656	27,656	51,97	17,379	—	—	—	—	—	22,278	22,278	17,528	—	—	—	—	—
12,0	—	—	—	21,672	21,672	52,42	17,123	—	—	—	—	—	22,802	22,802	17,379	—	—	—	—	—
15,0	—	—	—	12,488	12,488	—	—	—	—	—	—	—	23,13	23,13	17,248	—	—	—	—	—
20	—	—	—	—	—	—	—	—	—	—	—	—	23,78	23,78	16,831	—	—	—	—	—
25	—	—	—	—	—	—	—	—	—	—	—	—	24,57	24,57	16,009	—	—	—	—	—
30	—	—	—	—	—	—	—	—	—	—	—	—	26,12	26,12	13,182	—	—	—	—	—
35	—	—	—	—	—	—	—	—	—	—	—	—	6,508	6,508	—	—	—	—	—	—
$\Phi$	—	214,8	—	—	—	52,0	—	27,0	27,0	—	—	—	27,0	27,0	—	—	—	—	22,7	—

negativ

Die  $\varphi_s$  und  $\varphi_w$  sind jeweils aus den beiden Gehalten berechnet, zwischen welchen sie stehen. Vergegenwärtigt man sich, daß bei dieser Art der Berechnung die Endwerte  $\varphi$  Zahlen proportional sind, welche häufig als die Differenz zweier fast gleich großer Zahlen in die Rechnung eingehen, so wird man verstehen, weshalb die  $\varphi_s$  und  $\varphi_w$  zuweilen nicht so regelmäßig verlaufen, als man vielleicht erwarten möchte.

Während für den Nichtelektrolyten Zucker die  $\varphi_s$  sich kaum ändern und nur wenig von  $\Phi$  verschieden sind, und für die schlecht leitende Phosphorsäure erst bei ziemlich starker Verdünnung anfangen bedeutend abzunehmen, werden bei den gut leitenden Lösungen von  $\text{NaCl}$ ,  $\text{H}_2\text{SO}_4$  und  $\text{MgSO}_4$  die  $\varphi$  schon bei ziemlich hohen Gehalten klein. Aber die Dissoziation hat trotzdem nicht den ausschlaggebenden Einfluß auf das Verhalten der Molekularvolumina, denn  $\text{H}_2\text{SO}_4$  und  $\text{NaCl}$  stehen in ihrem Verhalten hier der Phosphorsäure viel näher als  $\text{MgSO}_4$ . Während bei jenen  $\varphi_s$  in Verdünnungen bis  $m = 0,005$  immer noch mögliche Werte aufweist, wird für  $\text{MgSO}_4$  bei etwa  $m = 0,1$   $\varphi_s$  gleich Null und dann negativ; dieses Salz scheidet also nach den früheren Überlegungen für unsere Betrachtungen jedenfalls für die starken Verdünnungen aus. Vergleicht man die  $\varphi_s$  und  $\varphi_w$  miteinander, so ergibt sich, daß sich beide wesentlich ähnlich verhalten. Jeder der beiden in der Lösung vorhandenen Körper ändert sein Molekularvolumen dann relativ am raschesten, wenn sein Anteil an der Lösung klein ist; d. h. das Molekularvolumen eines Stoffes wird mehr durch die Anwesenheit eines fremden als durch die eines gleichartigen Moleküls beeinflusst. — Aus den Werten  $m_w$  für  $\text{MgSO}_4$  folgt, daß Lösungen mit negativem  $\varphi_s$  zwar durch den Gehalt an *Salzmolekülen*, nicht aber durch den Gehalt an *Wassermolekülen* für je ein Liter Lösung definiert sind, da im Anfang mit wachsendem Salzgehalt auch der Wassergehalt im Liter steigen muß, um ein höheres spezifisches Gewicht zu bewirken. Vgl. auch in Tab. II  $\text{Na}_2\text{CO}_3$ .

Im weiteren wurde eine größere Anzahl spezifischer Gewichtsbestimmungen in analoger Weise durchgerechnet. Bei der Auswahl waren folgende Gesichtspunkte maßgebend: die Verdünnungen sollten bis mindestens etwa  $m = 1$  herabgehen und die Werte des spezifischen Gewichtes in der *Originalarbeit*

Tabelle II.

## KFl.

$m_S$	$m_W$	$\varphi_S$	$\varphi_W$
0,894	54,919	13,624	17,993
1,862	54,186	15,973	17,905
4,040	52,243	19,460	17,630
6,554	49,468	20,538	17,480
9,468	46,024		

## KCl.

$m_S$	$m_W$	$\varphi_S$	$\varphi_W$
0,691	54,370	29,763	18,015
1,427	53,154	31,146	17,978
2,208	51,801	31,417	17,956
3,039	50,344	32,510	17,901
3,213	50,028		

## KBr.

0,435	54,625	36,837	18,014
0,902	53,670	38,297	17,988
1,945	51,449	39,315	17,960
3,162	48,785	40,828	17,849
3,990	46,891		

## KJ.

0,312	54,660	45,933	18,034
1,407	51,871	48,524	17,962
2,301	49,456	49,655	17,908
3,366	46,503	49,830	17,894
4,654	42,916	51,389	17,731
5,401	40,751		

KNO<sub>3</sub>.

0,509	54,353	40,650	18,014
1,051	53,120	42,260	17,991
1,626	51,771	42,443	17,985
2,240	50,322	42,737	17,965
2,496	49,713		

 $\frac{1}{2}$  K<sub>2</sub>CO<sub>3</sub>.

0,756	54,887	7,222	18,121
1,579	54,559	13,653	17,945
3,448	53,103	20,750	17,482
5,641	50,500	22,323	17,302
8,198	47,202	24,844	16,887
11,157	42,849		

 $\frac{1}{2}$  K<sub>2</sub>SO<sub>4</sub>.

0,596	54,830	22,116	17,826
1,240	54,031		

 $\frac{1}{2}$  Na<sub>2</sub>CO<sub>3</sub>.

0,01	55,486	-1,80	18,022
0,05	55,490	-1,17	18,023
0,25	55,503 <sub>0</sub>	+0,029	18,017
0,5	55,502 <sub>0</sub>	1,800	18,000
1,0	55,453	4,386	17,952
2,0	55,203	6,737	17,871
3,0	54,826		

## KOH.

0,777	55,219	8,980	17,982
1,612	54,802	11,316	17,920
2,508	54,236	13,037	17,835
3,467	53,531	14,928	17,713
4,491	52,668	16,255	17,602
5,583	51,660	17,621	17,456
6,744	50,488	18,749	17,305
7,978	49,151	19,363	17,206
9,292	47,673	20,373	17,004
10,695	45,992		



Tabelle III.

Molekularvolumina  $\varphi_s$  für ganzzahlige Molekularge

$m$	KFl	KCl	KBr	KJ	KNO <sub>3</sub>	KO
1	12,5 10,9	29,6 7,7	37,4 6,9	46,8 7,2	41,4 7,0	8,9
2	15,0 8,4	31,2 7,1	38,8 5,5	48,2 5,8	42,5 5,9	11,3
3	16,9 6,5	32,4 4,9	40,2 4,1	49,6 4,4	43,5 4,9	13,2
4	18,0 5,4	—	41,4 2,9	50,7 3,3	—	14,7
5	19,1 4,3	—	—	51,4 2,6	—	16,1
6	—	—	—	—	—	17,6
7	—	—	—	—	—	18,5
8	—	—	—	—	—	—
$\Phi =$	23,4	37,3	44,3	54,0	48,4	27,0

$m$	NaBrO <sub>3</sub>	NaOH	$\frac{1}{2}$ Na <sub>2</sub> CO <sub>3</sub>	$\frac{1}{2}$ Na <sub>2</sub> SO <sub>4</sub>	LiCl	L
1	38,2 7,0	negativ	2,8 18,7	12,5 14,3	19,1 1,8	39
2	39,6 5,6	1,4 17,4	5,7 15,8	—	20,0 0,9	39
3	—	3,6 15,2	8,0 13,5	—	20,6 0,3	—
4	—	5,5 13,3	—	—	20,9 0,0	—
5	—	6,8 12,0	—	—	21,1 -0,2	—
6	—	8,3 10,5	—	—	—	—
7	—	9,8 9,0	—	—	—	—
8	—	11,0 7,8	—	—	—	—
$\Phi =$	45,2	18,8	21,5	26,8	20,9	?

$m$	$\frac{1}{2}$ CaCl <sub>2</sub>	$\frac{1}{2}$ SrCl <sub>2</sub>	$\frac{1}{2}$ BaCl <sub>2</sub>	$\frac{1}{2}$ MgCl <sub>2</sub>	$\frac{1}{2}$ ZnCl <sub>2</sub>	$\frac{1}{2}$ CdCl <sub>2</sub>	$\frac{1}{2}$ MnCl <sub>2</sub>
1	11,0 14,0	11,4 14,6	14,6 12,4	9,2 12,6	12,5 12,2	12,9 12,1	11,9
2	12,9 12,1	13,0 13,0	16,0 11,0	11,0 10,8	15,6 9,1	15,7 9,3	12,7
3	13,4 11,6	14,6 11,4	17,0 10,0	12,1 9,7	17,4 7,3	16,7 8,3	13,5
4	15,2 9,8	—	—	13,2 8,6	18,3 6,4	17,3 7,7	14,3
5	16,0 9,0	—	—	14,2 7,6	19,1 5,6	17,8 7,2	15,0
$\Phi =$	25,0	26,0	27,0	21,8	24,7	25,0	25,4

$m$	$\frac{1}{2}$ Sr(NO <sub>3</sub> ) <sub>2</sub>	$\frac{1}{2}$ Ba(NO <sub>3</sub> ) <sub>2</sub>	$\frac{1}{2}$ Mg(NO <sub>3</sub> ) <sub>2</sub>	$\frac{1}{2}$ Cd(NO <sub>3</sub> ) <sub>2</sub>	$\frac{1}{2}$ Pb(NO <sub>3</sub> ) <sub>2</sub>	$\frac{1}{2}$ MgSO <sub>4</sub>	$\frac{1}{2}$ ZnSO <sub>4</sub>
1	24,6 11,4	28,0 12,5	21,0	23,4	24,7 12,8	3,5 19,2	3,0
2	27,0 9,0	—	21,9	24,6	30,1 7,4	5,8 16,9	5,7
3	29,3 6,7	—	—	25,8	—	7,8 14,9	8,4
4	31,3 4,7	—	—	26,9	—	9,6 13,1	11,0
5	—	—	—	28,0	—	11,2 10,5	—
$\Phi =$	36,0	40,5	?	?	37,5	22,7	23,1

Tabelle III.

*Kursivschrift* sind die Werte  $\Phi - \varphi_s$  beigesetzt.

$\text{Na}_2\text{CO}_3$	$\frac{1}{2}\text{K}_2\text{SO}_4$	$\text{NaCl}$	$\text{NaJ}$	$\text{NaNO}_3$	$\text{NaClO}_3$	
24,2	22,2 10,7	19,0 8,0	37,0 5,2	30,7 7,2	38,2 8,4	
18,6	—	20,4 6,6	40,1 2,1	32,3 5,6	39,5 7,1	
14,9	—	21,7 5,3	42,7 -0,5	33,3 4,6	40,7 5,9	
12,0	—	22,5 4,5	—	34,0 3,9	41,5 5,1	
9,8	—	—	—	—	—	
—	—	—	—	—	—	
—	—	—	—	—	—	
—	—	—	—	—	—	
	32,9	27,0	42,2	37,9	46,6	
$\text{H}_2\text{Cl}$	$\text{NH}_4\text{J}$	$\text{NH}_4\text{NO}_3$	$\frac{1}{2}\text{NH}_4\text{SO}_4$	$\text{AgNO}_3$		
-2,8	56 3,3	47,3 -1,3	30,5 7,1	30,9 8,3		
-3,8	56 3,3	48,7 -2,7	32,5 5,1	32,7 7,0		
-4,6	56 3,3	49,7 -3,7	34,2 3,4	34,0 5,2		
-4,9	—	50,4 -4,4	35,4 2,2	35,0 4,2		
—	—	50,9 -4,9	—	35,8 3,4		
—	—	—	—	—		
—	—	—	—	—		
—	—	—	—	—		
	59,3	46,0	37,6	39,2		
$\text{SrBr}_2$	$\frac{1}{2}\text{BaBr}_2$	$\frac{1}{2}\text{ZnBr}_2$	$\frac{1}{2}\text{CdBr}_2$	$\frac{1}{2}\text{SrJ}_2$	$\frac{1}{2}\text{CdJ}_2$	$\frac{1}{2}\text{Ca}(\text{NO}_3)_2$
3 11,6	25,9 9,4	20,0 11,0	22,9 5,5	26,9 11,8	33,4 -1,0	21,5 13,3
4 10,8	27,2 8,1	22,0 9,0	24,0 4,4	29,0 9,7	34,8 -2,4	23,1 11,7
3 8,4	28,2 7,1	23,7 7,3	24,7 3,7	31,1 8,6	35,4 -3,0	24,5 10,3
4 7,8	29,0 6,3	25,0 6,0	25,1 3,3	32,2 5,5	36,0 -3,6	25,9 8,9
3 7,2	29,6 5,7	26,0 5,0	—	—	—	27,3 7,5
2	35,3	31,0	28,4	38,7	32,4	34,8
$\text{H}_2\text{SO}_4$	$\frac{1}{2}\text{CuSO}_4$	$\frac{1}{2}\text{MnSO}_4$	$\frac{1}{2}\text{FeSO}_4$	$\frac{1}{2}\text{NiSO}_4$	$\frac{1}{2}\text{Ce}_2(\text{SO}_4)_3$	
3 14,2	2,9 19,3	8,7 16,6	6,5 18,9	2,0 17,5	5,9 18,3	
3 11,7	5,0 17,2	11,0 14,3	9,7 15,7	4,7 14,8	8,0 16,2	
2 9,8	—	12,0 13,3	13,9 11,5	6,5 13,0	—	
3 8,0	—	12,5 12,8	—	—	—	
—	—	—	—	—	—	
0	22,2	25,3	25,4	19,5	24,2	

mit mindestens vier Dezimalen gegeben sein <sup>1)</sup>; die letzte Beschränkung wurde bei einigen trotzdem wohlverbürgten Zahlen außer acht gelassen. Außerdem wurden im allgemeinen nur solche Salze gewählt, für die Angaben der spezifischen Gewichte im festen Zustand vorlagen, da eine Vergleichung mit dem Molekularvolumen der festen Substanz wünschenswert erschien. In Tab. II sind die Ergebnisse für alle Kalisalze und für kohlensaures Natrium zusammengestellt. Von der Wiedergabe der anderen Werte in ausführlicher Weise konnte abgesehen werden, da die Ersetzung des Kaliumatoms durch andere Metallatome keine *wesentliche* Änderung gegenüber dem Verhalten der Kalisalze ergab.

Aus den für die einzelnen Gehalte folgenden Molekularvolumina wurden nun durch graphische Darstellung die  $\varphi_s$  für ganzzahlige Molekulargehalte gewonnen. Dieselben sind für alle benutzten Salze in Tab. III von  $m = 1$  an aufwärts angeführt. Tab. III enthält außerdem die Differenz  $\Phi - \varphi_s$ , welche die molekulare Volumenkontraktion des flüssigen Zustandes gegenüber dem festen darstellt.

Um das Verhalten der einzelnen Salze in vergleichbaren Zuständen beurteilen zu können, gibt Tab. IV eine Zusammenstellung der  $\Phi - \varphi_s$  für  $m = 1$  für alle bisher aufgeführten Salze und für Schwefelsäure. Betrachtet man die Halogenverbindungen, Bromate, Jodate und Nitrate von Na und K, so findet man, daß  $\Phi - \varphi_s$  nur wenig verschiedene Werte ergibt, obwohl die  $\Phi$  selbst zwischen 23 und 54 liegen. Auch das wie jene einwertige  $\text{AgNO}_3$  schließt sich ihnen an. Scharf davon getrennt sind die Hydrate und Karbonate, während für die beiden Sulfate aus später angeführten Gründen hier keine einwandfreien Schlüsse gestattet sind. Bei den Halogenverbindungen und Nitraten der zweiwertigen Elemente von Ca bis Pb unter Ausschluß des Kadmiums fällt wiederum eine bemerkenswerte Konstanz in  $\Phi - \varphi_s$  auf, obwohl auch hier

1) Von den an verschiedenen Stellen angeführten Zahlen, welche Gerlach in Fresenius' Zeitschr. für analyt. Chemie 8. p. 869 nach anderen Beobachtern interpoliert hat, konnten nur wenige gebraucht werden, da eine Vergleichung mit den Beobachtungen ergab, daß die Interpolation bezüglich der Konzentration oft zu weitgehend angestellt war. So mußten denn viele Halogenverbindungen, Chlorate, Bromate und Jodate weggelassen werden.

die  $\Phi$  sich auf das Intervall von 22 bis 40 verteilen. Die Sulfate der zweiwertigen Elemente — abermals unter Ausschluß des Kadmiums — ergeben für sich auch wieder sehr nahe gleiche Werte von  $\Phi - \varphi_s$ . Wir haben mithin als molekulare Volumenkontraktion bezogen auf den Gehalt von einem Gramm- (bez. Äquivalent-)Molekül im Liter der Lösung für drei einwertige mit einwertigem Radikal verbundene Elemente den Wert  $7,6 \pm 0,95$ , ebenso für eine Reihe zweiwertiger Elemente in Verbindung mit einwertigen Radikalen den Wert  $12,4 \pm 0,96$ , und schließlich für zweiwertige Elemente (einschließlich des Ce), die an die zweiwertige Schwefelsäure gebunden sind, den Wert  $18,6 \pm 0,93$  gefunden. — Hätte man bei den mehrwertigen Verbindungen statt der Äquivalentgehalte die Molekulargehalte genommen, so wäre die Differenz  $\Phi - \varphi_s$  für  $m = 1$  etwa auf den doppelten Betrag, also auf etwa 25 bez. 36 gewachsen. Es ergibt sich dies unschwer aus der Tab. III, aus welcher dann die Werte  $2 \cdot [\Phi - \varphi_{s(m=2)}]$  zu entnehmen wären; nur Cersulfat müßte ausfallen.

Tabelle IV.

 $\Phi - \varphi_s$  für  $m = 1$ .

	Fl	Cl	Br	J	NO <sub>3</sub>	ClO <sub>3</sub>	BrO <sub>3</sub>	OH	$\frac{1}{2}$ CO <sub>3</sub>	$\frac{1}{2}$ SO <sub>4</sub>
H	—	—	—	—	—	—	—	—	—	9,3
NH <sub>4</sub>	—	-2,8	—	3,3	-1,3	—	—	—	—	7,1
Li	—	1,8	—	?	—	—	—	—	—	—
Na	—	8,0	—	5,2	7,2	8,4	7,0	> 19	18,7	14,3
K	10,9	7,7	6,9	7,2	7,0	—	—	18,1	24,2	10,7
Ag	—	—	—	—	8,3	—	—	—	—	—
$\frac{1}{2}$ Ca	—	14,0	—	—	13,3	—	—	—	—	—
$\frac{1}{2}$ Sr	—	14,6	11,6	11,8	11,4	—	—	—	—	—
$\frac{1}{2}$ Ba	—	12,4	9,4	—	12,5	—	—	—	—	—
$\frac{1}{2}$ Mg	—	12,6	—	—	?	—	—	—	—	19,2
$\frac{1}{2}$ Zn	—	12,2	11,0	—	—	—	—	—	—	20,1
$\frac{1}{2}$ Cd	—	12,1	5,5	-1,0	?	—	—	—	—	14,2
$\frac{1}{2}$ Cu	—	—	—	—	—	—	—	—	—	19,3
$\frac{1}{2}$ Mn	—	13,5	—	—	—	—	—	—	—	16,6
$\frac{1}{2}$ Fe	—	—	—	—	—	—	—	—	—	18,9
$\frac{1}{2}$ Ni	—	—	—	—	—	—	—	—	—	17,5
$\frac{1}{2}$ Pb	—	—	—	—	12,8	—	—	—	—	—
$\frac{1}{2}$ Ce	—	—	—	—	—	—	—	—	—	18,3

Es ist noch kurz auf die Verbindungen einzugehen, welche sich hier nicht einfügen. Daß die  $\text{NH}_4$ -Salze ein anderes Verhalten als die Salze mit rein elementarem Kation beobachten, kann nicht überraschen, da die *zusammengesetzte* Gruppe  $\text{NH}_4$  bezüglich ihres Volumens sich eben anders verhalten wird, als ein einfaches Molekül. — Da außer  $\text{LiCl}$  kein anderes Li-Salz verglichen werden kann, so läßt sich an die eine Abweichung keine weitere Diskussion knüpfen.<sup>1)</sup> —  $\text{Na}_2\text{SO}_4$  zeigt ein ganz auffallendes Verhalten. Aus den Beobachtungen, welche von zwei verschiedenen Seiten<sup>2)</sup> vorliegen, folgt in dem Intervall von  $m = 0,5$  bis  $m = 2,4$  ein Ansteigen von  $\varphi_s$  mit wachsendem Gehalt. Für  $\text{K}_2\text{SO}_4$  liegen nur Messungen der spezifischen Gewichte für zwei Konzentrationen vor, so daß die Frage, ob sich die Sulfate einwertiger Elemente prinzipiell anders verhalten als die anderen Salze, nicht entschieden werden kann. — Kadmium zeigt auch im Leitvermögen Abweichungen von dem Verhalten anderer ihm chemisch nahe stehender Elemente; so ist bei ihm die Reihenfolge der Zunahme des Leitvermögens innerhalb der Halogensgruppe die umgekehrte wie bei anderen Elementen.<sup>3)</sup> Es mag deshalb auch nicht auffallen, wenn hier Abweichungen zu finden sind.

Mit Bezug auf das den Berechnungen zugrunde liegende Material<sup>4)</sup> sei bemerkt, daß die spezifischen Gewichte vieler Salze — benutzt wurden die in den Tabellen von Landolt und Börnstein gegebenen Mittelwerte — noch mit solch

1) *Anmerkung bei der Korrektur:* Bei den von G. Happart (Mem. de la Soc. roy. des Sciences de Liège (3) 4. p. 37. 1903) angestellten Betrachtungen ergibt sich auch für  $\text{LiJ}$  eine Ausnahmestellung, welche dasselbe dem  $\text{NH}_4\text{Cl}$  nahe bringt.

2) F. Kohlrausch, Wied. Ann. 6. p. 19. 1879; E. Klein, Wied. Ann. 27. p. 158. 1886.

3) O. Grotrian, Wied. Ann. 18. p. 196. 1883.

4) Die der Rechnung zugrunde gelegten spezifischen Gewichtsbestimmungen entstammen zumeist Arbeiten von F. Kohlrausch u. P. Kremers. Erstere sind überwiegend in der Zusammenstellung in: Leitvermögen der Elektrolyte von F. Kohlrausch u. L. Holborn (Leipzig 1898), letztere in der Arbeit von G. Gerlach in Fresenius' Zeitschr. f. anal. Chemie 8. p. 248 bis 264. 1869 zu finden. Wo an beiden Stellen Angaben für ein und dasselbe Salz sich finden, sind die zuerst erwähnten benutzt. Für Tab. I gelten die Angaben von F. Kohlrausch u. W. Hallwachs, Wied. Ann. 53. p. 39. 1894.



großen Unsicherheiten behaftet sind, daß eine *exakte* Neubestimmung ebenso wünschenswert wäre, wie die Ausdehnung dieser Messungen auf die übergroße Zahl überhaupt noch nicht gemessener Salze. Hierbei müßten dann aber auch die Formen mit verschiedenem Kristallwassergehalt systematisch berücksichtigt werden. Auch bei den spezifischen Gewichten der Lösungen ist eine Erweiterung des vorliegenden Materiales erwünscht sowohl bezüglich der Genauigkeit der Messung bei vielen Salzen, als der Ausdehnung des Konzentrationsbereiches nach der Seite der verdünnten, und oft auch nach der Seite der gesättigten Lösungen hin, vor allem aber bezüglich der Ausdehnung der Untersuchung auf Salze, welche zwar noch ziemlich gut löslich sind, von denen aber überhaupt Angaben fehlen. So fehlen für viele Salze, welche Kremers u. a. zwar in hohen Konzentrationen gemessen haben, die Anschlußzahlen nach der Seite der verdünnten Lösungen hin. Erst wenn so das Material bedeutend erweitert ist, wird sich beurteilen lassen, ob die vorstehend angedeuteten Regelmäßigkeiten mehr sind als ein durch die beschränkte Zahl der berücksichtigten Salze bedingter Zufall.

Darmstadt, Physik. Institut der Technischen Hochschule.

(Eingegangen 23. Juni 1903.)

**7. Zur Theorie der magneto-elastischen Wechselbeziehungen; von Adolf Heydweiller.**

Im gleichförmigen Magnetfelde von der Stärke  $\mathfrak{H}$  befinde sich parallel den Kraftlinien ein ferromagnetischer Draht oder gestreckter Stab mit relativ kleinen Quersimensionen von der Länge  $l$  und dem Querschnitte  $q$ , gespannt durch eine Kraft  $p \cdot q$ ; einer Verlängerung  $dl$  entspreche eine Volumenänderung  $dv$  und eine Zunahme der magnetischen Induktion  $\mathfrak{B}$  des Drahtes um  $d\mathfrak{B}$ , es ist dann die entsprechende Arbeit der äußeren Kräfte:

$$dA = p \cdot q \cdot dl + \frac{q \cdot l}{4\pi} \mathfrak{H} d\mathfrak{B} + \frac{\mathfrak{H} \mathfrak{B}}{4\pi} dv,$$

wenn die Arbeit des Atmosphärendruckes auf die Mantelfläche bei der mit der Längsdehnung verbundenen Querkontraktion vernachlässigt wird; das ist bei den der Beobachtung zugänglichen Verhältnissen praktisch zulässig.

Wir betrachten die Temperatur  $T$ , die Zugkraft pro Querschnittseinheit  $p$  und die Feldstärke  $\mathfrak{H}$  als unabhängige Variablen und setzen:

$$dA = A_1 dT + A_2 dp + A_3 d\mathfrak{H},$$

es ist dann

$$\begin{aligned} A_1 &= q \left( p \frac{\partial l}{\partial T} + \frac{l \mathfrak{H}}{4\mu} \frac{\partial \mathfrak{B}}{\partial T} \right) + \frac{\mathfrak{H} \mathfrak{B}}{4\pi} \frac{\partial v}{\partial T} \\ &= v \left( p \frac{\partial \log_{\text{nat}} l}{\partial T} + \frac{\mathfrak{H}}{4\pi} \frac{\partial \mathfrak{B}}{\partial T} + \frac{\mathfrak{H} \mathfrak{B}}{4\mu} \frac{\partial \log_{\text{nat}} v}{\partial T} \right) \\ A_2 &= v \left( p \frac{\partial \log_{\text{nat}} l}{\partial p} + \frac{\mathfrak{H}}{4\pi} \frac{\partial \mathfrak{B}}{\partial p} + \frac{\mathfrak{H} \mathfrak{B}}{4\pi} \frac{\partial \log_{\text{nat}} v}{\partial p} \right) \\ A_3 &= v \left( p \frac{\partial \log_{\text{nat}} l}{\partial \mathfrak{H}} + \frac{\mathfrak{H}}{4\pi} \frac{\partial \mathfrak{B}}{\partial \mathfrak{H}} + \frac{\mathfrak{H} \mathfrak{B}}{4\pi} \frac{\partial \log_{\text{nat}} v}{\partial \mathfrak{H}} \right). \end{aligned}$$

Es seien ferner  $U$  die Energie,  $S$  die Entropie des Drahtes, und die ihm bei der Änderung von  $T$ ,  $p$  und  $\mathfrak{H}$  um  $dT$ ,  $dp$  und  $d\mathfrak{H}$  zugeführte Wärme:

$$dQ = Q_1 dT + Q_2 dp + Q_3 d\mathfrak{H},$$

dann ist

$$Q_1 + A_1 = \frac{\partial U}{\partial T}, \quad Q_2 + A_2 = \frac{\partial U}{\partial p}, \quad Q_3 + A_3 = \frac{\partial U}{\partial \mathfrak{H}},$$

$$\frac{Q_1}{T} = \frac{\partial S}{\partial T}, \quad \frac{Q_2}{T} = \frac{\partial S}{\partial p}, \quad \frac{Q_3}{T} = \frac{\partial S}{\partial \mathfrak{H}},$$

mithin

$$\frac{\partial (Q_2 + A_2)}{\partial \mathfrak{H}} = \frac{\partial (Q_3 + A_3)}{\partial p},$$

$$\frac{\partial Q_2}{\partial \mathfrak{H}} = \frac{\partial Q_3}{\partial p},$$

und es folgt

$$\frac{\partial A_2}{\partial \mathfrak{H}} = \frac{\partial A_3}{\partial p}.$$

Das ergibt weiter:

$$p \frac{\partial \lognat l}{\partial p} \frac{\partial v}{\partial \mathfrak{H}} + v \left( \frac{1}{4\pi} \frac{\partial \mathfrak{B}}{\partial p} + \frac{\mathfrak{B}}{4\pi} \frac{\partial \lognat v}{\partial p} \right) \\ = p \frac{\partial \lognat l}{\partial \mathfrak{H}} \frac{\partial v}{\partial p} + v \frac{\partial \lognat l}{\partial \mathfrak{H}},$$

die übrigen bei der Differentiation auftretenden Glieder heben sich fort. Division der letzten Gleichung durch  $v$  und andere Ordnung der Glieder ergibt:

$$\frac{\partial \lognat l}{\partial \mathfrak{H}} \left( 1 + p \frac{\partial \lognat v}{\partial p} \right) - p \frac{\partial \lognat l}{\partial p} \frac{\partial \lognat v}{\partial \mathfrak{H}} \\ = \frac{1}{4\pi} \frac{\partial \mathfrak{B}}{\partial p} + \frac{\mathfrak{B}}{4\pi} \frac{\partial \lognat v}{\partial p}.$$

Hierin ist

$$\frac{\partial \lognat l}{\partial p} = \frac{1}{E},$$

der reziproke Elastizitätsmodul, ferner, wenn wir das Verhältnis von Querkontraktion zur Längsdilatation gleich  $1/3$  annehmen

$$\frac{\partial \lognat v}{\partial p} = \frac{1}{3E};$$

sodann ist

$$\mathfrak{B} = \mu \mathfrak{H} = (1 + 4\pi \kappa) \mathfrak{H},$$

wo  $\mu$  die magnetische Permeabilität,  $\kappa$  die Magnetisierungszahl (Suszeptibilität), also

$$\frac{\partial \mathfrak{B}}{\partial p} = 4\pi \mathfrak{H} \frac{\partial \kappa}{\partial p}$$

und, wenn wir 1 gegen  $4\pi\kappa$  vernachlässigen, was bei den hier in Betracht kommenden Metallen Eisen, Kobalt und Nickel abgesehen von sehr kleinen und sehr großen Werten von  $\mathfrak{S}$  zulässig ist,

$$\frac{\mathfrak{B}}{4\pi} = \kappa \mathfrak{S},$$

also erhalten wir

$$\frac{\partial \log \text{nat } l}{\partial \mathfrak{S}} \left(1 + \frac{p}{3E}\right) - \frac{p}{E} \frac{\partial \log \text{nat } v}{\partial \mathfrak{S}} = \mathfrak{S} \left( \frac{\partial \kappa}{\partial p} + \frac{\kappa}{3E} \right).$$

Der größtmögliche Wert von  $p$  ist durch die Tragfähigkeit der obigen Metalle gegeben, die etwa 60 kg-Gew./mm<sup>2</sup> oder  $6 \cdot 10^9$  C.G.S.-Einh. beträgt; der Elastizitätsmodul für Eisen, Stahl und Nickel ist ungefähr von der Größe  $E = 2 \cdot 10^{12}$ , also ist  $p/3E < 10^{-3}$  gegen 1 zu vernachlässigen. Da ferner  $\partial \log \text{nat } v / \partial \mathfrak{S}$  immer kleiner ist als  $\partial \log \text{nat } l / \partial \mathfrak{S}$ , so ist wegen des Faktors  $p/E$  auch das dritte Glied der linken Seite gegen das erste zu vernachlässigen, und wir erhalten die einfache Beziehung

$$(1) \quad \frac{1}{l} \frac{\partial l}{\partial \mathfrak{S}} = \mathfrak{S} \kappa \left( \frac{1}{\kappa} \frac{\partial \kappa}{\partial p} + \frac{1}{3E} \right).$$

Differentiation nach  $p$  ergibt unter Berücksichtigung der identischen Gleichung

$$(2) \quad \frac{\partial}{\partial p} \left( \frac{1}{l} \frac{\partial l}{\partial \mathfrak{S}} \right) = - \frac{1}{E^2} \frac{\partial E}{\partial \mathfrak{S}},$$

$$(3) \quad \frac{1}{E} \frac{\partial E}{\partial \mathfrak{S}} = - E \mathfrak{S} \left( \frac{\partial^2 \kappa}{\partial p^2} + \frac{1}{3E} \frac{\partial \kappa}{\partial p} \right).$$

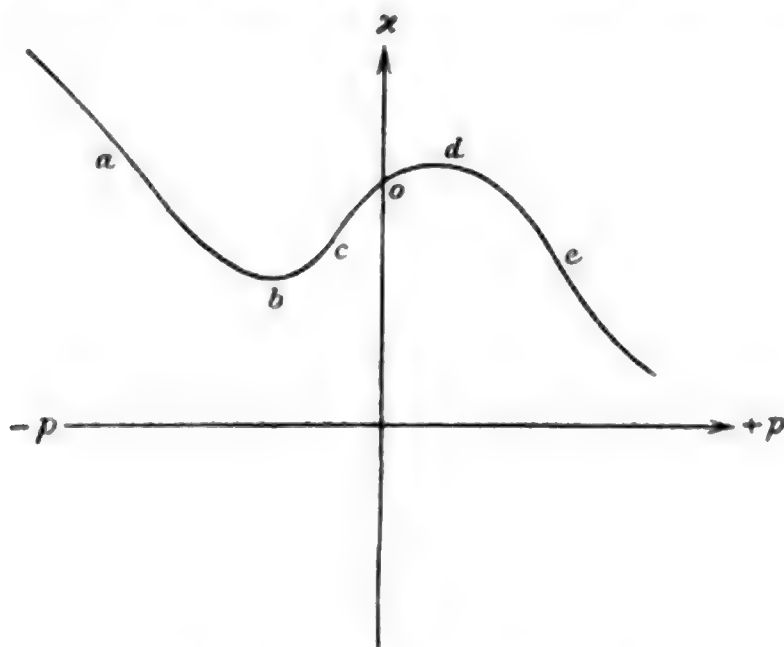
Damit sind die Beziehungen zwischen der magnetischen Änderung der Länge und des Elastizitätsmoduls und der Änderung der Magnetisierung durch Zug- und Druckkräfte vollständig gegeben.

Wegen des großen Wertes von  $E = 2 \cdot 10^{12}$  C.G.S.-Einh. ist in den Gleichungen (1) und (3) im allgemeinen das zweite Glied der rechten Seiten klein gegen das erste, mit Ausnahme der Zustände, wo  $\partial \kappa / \partial p$  bez.  $\partial^2 \kappa / \partial p^2$  selbst verschwindend klein sind. Sehen wir von diesen vorläufig ab, so hat man näherungsweise die einfachen Beziehungen:

$$(1a) \quad \frac{1}{l} \frac{\partial l}{\partial \mathfrak{S}} = \mathfrak{S} \frac{\partial \kappa}{\partial p},$$

$$(3a) \quad \frac{1}{E} \frac{\partial E}{\partial \mathfrak{S}} = - E \mathfrak{S} \frac{\partial^2 \kappa}{\partial p^2}.$$

Die Änderung des Magnetismus durch Zug- und Druckkräfte läßt sich, wie ich früher im Anschluß an Villari zeigte<sup>1)</sup>, im allgemeinen durch eine Kurve nachstehender Form darstellen, die neben einem Minimum bei  $b$ , einem Maximum bei  $d$  und einem dazwischen liegenden Wendepunkt bei  $c$  wahrscheinlich auch noch zwei Wendepunkte bei  $a$  und  $e$  besitzt, und wie man aus vorliegenden Beobachtungen schließen kann bei zunehmenden Zugkräften ( $+p$ ) vielleicht asymptotisch gegen eine Parallele zur horizontalen Druckachse verläuft. Der linke Teil der Kurve ist nur bei Einwirkung von Druckkräften ( $-p$ ) zu erhalten, und die Lage des der Druck- und Zugkraft Null



entsprechenden Punktes  $o$  auf der Kurve hängt sowohl von der Stärke des Magnetfeldes, wie von der Vorgeschichte des Drahtes oder Stabes ab. Er fällt nur ausnahmsweise mit dem Symmetriepunkte  $c$  der Kurve zusammen und rückt um so mehr nach rechts, je größer die Feldstärke ist, und je mehr der Draht gedehnt wurde, während Druckkräfte ihn nach links verschieben.

Nun wechseln  $\partial x / \partial p$  und  $\partial^2 x / \partial p^2$  ihr Vorzeichen für die verschiedenen Teile der Kurve und dementsprechend den Gleichungen (1a) und (3a) zufolge auch  $\partial l / \partial \mathfrak{H}$  und  $\partial E / \partial \mathfrak{H}$ , d. h. es kann je nach Umständen wachsende Feldstärke eine Verlängerung oder Verkürzung des Drahtes, eine Vermehrung oder Verminderung seiner Dehnungselastizität bewirken.

1) A. Heydweiller, Wied. Ann. 52. p. 462. 1894.



Bei Eisen liegt für mäßige Feldstärken der Punkt  $o$  bei geringer Spannung zwischen  $b$  und  $d$ , wo  $\partial x / \partial p$  positiv ist; mithin ist hier nach (1a) auch  $\partial l / \partial \mathfrak{H}$  positiv, es findet eine Verlängerung im Magnetfelde statt; wächst die Feldstärke, so rückt  $o$  nach  $d$  hin und darüber hinaus<sup>1)</sup>,  $\partial x / \partial p$  und damit auch  $\partial l / \partial \mathfrak{H}$  werden kleiner und gehen durch Null in negative Werte über; das zweite Glied in Gleichung (1) bewirkt nur, daß  $\partial x / \partial p$  und  $\partial l / \partial \mathfrak{H}$  nicht gleichzeitig verschwinden, ohne die Art der Erscheinung wesentlich zu ändern. Beim Überschreiten des Wendepunktes  $c$  nimmt  $\partial x / \partial p$  allmählich wieder zu bis Null, so daß wegen des zweiten Gliedes in (1)  $\partial l / \partial \mathfrak{H}$  wieder positiv werden kann. Bei größerer Spannung rückt auch in mäßigen Feldern der Punkt  $o$  über  $d$  hinaus nach rechts hin, wo  $\partial x / \partial p$  negativ ist, so daß stark gespannte Eisendrähte sich auch in schwachen Feldern verkürzen.

Das letztere ist bei Nickel und Kobalt schon bei kleinen Spannungen und in schwachen Feldern zutreffend; sie verhalten sich also entgegengesetzt wie Eisen unter den gleichen Verhältnissen. Der Elastizitätskoeffizient muß nach Gleichung (3a) links von dem Wendepunkte  $c$ , wo  $\partial^2 x / \partial p^2$  positiv ist, bei der Magnetisierung abnehmen, in der Nähe von  $c$  (wegen des zweiten Gliedes in (3) nicht in  $c$  selbst) unabhängig sein vom Magnetfelde, rechts von  $c$  zunehmen bei der Magnetisierung bis in die Nähe von  $e$  und endlich nochmals rechts von  $e$  dasselbe Verhalten, wie im ersten Stadium zeigen. Die Zustände dieses ersten Stadiums sind im allgemeinen nur unter der Wirkung von Druckkräften zu realisieren, bei Zugkräften wird das zweite und das dritte Stadium meist in die Erscheinung treten; ersteres nur bei schwachen Zugkräften und in mäßigen Feldern.

Die vorliegenden Beobachtungen von S. Bidwell<sup>2)</sup>, K. Tangl<sup>3)</sup> u. a., sowie namentlich von H. Nagaoka und K. Honda und deren Mitarbeitern<sup>4)</sup> bestätigen im allgemeinen

1) Vgl. J. A. Ewing, *Magnetische Induktion*, deutsch von Holborn u. Lindeck, Fig. 103, p. 193. Berlin 1892.

2) Vgl. J. A. Ewing, l. c. p. 226—230.

3) K. Tangl, *Ann. d. Phys.* 6. p. 34. 1901.

4) H. Nagaoka, *Wied. Ann.* 53. p. 487. 1894; H. Nagaoka u. K. Honda, *Journ. Sc. Coll. Tokyo* 16. Art. 8. 1902; K. Honda u. S. Shimizu, *Journ. Sc. Coll. Tokyo* 16. Art. 9 u. 12; *Phys. Zeitschr.* 3. p. 378. 1902; *Phil. Mag.* (6) 4. p. 459. 1902.

und großen Zügen diese verschiedenen Schlußfolgerungen. Insbesondere findet man die verschiedenen angeführten Möglichkeiten in den Beobachtungen verwirklicht.

Zu einer genaueren quantitativen Prüfung der Gleichungen (1) und (3) reicht das bisher vorliegende Material noch nicht aus; insbesondere fehlt es noch an korrespondierenden Beobachtungen der magnetischen Längen- und Elastizitätsänderung und der Änderung des Magnetismus durch Zug- und Druckkräfte an demselben Material im genau gleichen Zustande.

Auch liegen bei den umfangreichsten bisherigen Bestimmungen über die Änderung des Elastizitätsmoduls im Magnetfelde, die im physikalischen Institute zu Tokyo ausgeführt wurden, die Verhältnisse nicht ganz einfach. Der Elastizitätsmodul wurde nämlich dabei nach der Bieugungsmethode bestimmt, wobei ein Teil des Metalles komprimiert, ein anderer gedehnt wird, und die verschiedenen Teile sich also nicht im gleichen molekularmagnetischen Zustande befinden; für den gepreßten Teil liegt der Punkt *o* an einer anderen Stelle, als für den gedehnten, und zwar weiter nach links, und es kommt darauf an, welcher Teil überwiegt; nur bei voller Symmetrie aller Verhältnisse, wie sie kaum je vorhanden ist, würde sich das Ergebnis vorhersagen lassen.

Mit den Gleichungen (1) bis (3) ist eine verhältnismäßig einfache Darstellung des anscheinend so verwickelten Zusammenhanges der besprochenen Erscheinungen gegeben, die sich wohl als Richtschnur für weitere Versuche eignen wird.

Münster i. W., Phys. Inst. d. Univ., Juni 1903.

(Eingegangen 30. Juni 1903.)

**8. Ist die Magnetisierungszahl der Eisen- und Mangansalzlösungen abhängig von der Feldstärke? von Adolf Heydweiller.**

1. Einleitung.

Die Frage nach der Konstanz der Magnetisierungszahl oder Suszeptibilität der Salze magnetischer Metalle im festen oder gelösten Zustande kann noch nicht als entschieden gelten. Zwar sind die meisten Forscher, welche sich neuerdings damit beschäftigt haben, zu einer bejahenden Antwort gekommen, so z. B. H. du Bois<sup>1)</sup>, J. S. Townsend<sup>2)</sup>, G. Jäger und St. Meyer.<sup>3)</sup> Indessen ist einmal in diesen Arbeiten die Feldstärke immer nur innerhalb engerer Grenzen (höchstens im Verhältnis 1:20) geändert worden, während doch Änderungen im Verhältnis von 1:400 000 (0,1—40 000 C.G.S.-Einh.) zur Verfügung stehen und in den verschiedenen Arbeiten auch angewandt worden sind, und es ist noch die Frage, ob bei so starker Variation die Konstanz sich noch bewährt; sodann liegen bei kleinsten Feldstärken unter 1 C.G.S.-Einh. bisher nur zwei Untersuchungen mit widersprechenden Ergebnissen vor, nämlich die von Silow einerseits<sup>4)</sup>, Gerosa und Finzi<sup>5)</sup> andererseits, die beide im Bereich von 0,1—1 C.G.S.-Einh. Feldstärke beträchtliche Änderungen der Magnetisierungszahlen finden, aber in verschiedenem Sinne. Während Hr. Silow nach zwei verschiedenen Methoden bei Ferrichloridlösungen ein Maximum der Magnetisierungszahl bei Feldstärken zwischen 0,3 und 0,4 C.G.S.-Einh. und Änderungen der Magnetisierungszahl im Verhältnis 1:5 findet, können die Herren Gerosa

1) H. du Bois, Wied. Ann. 35. p. 153. 1888; H. du Bois u. O. Liebknecht, Ann. d. Phys. 1. p. 189. 1900.

2) J. S. Townsend, Phil. Trans. 178. A. p. 533. 1896.

3) G. Jäger u. St. Meyer, Sitzungsber. d. k. Akad. d. Wissensch. zu Wien 106. (IIa) p. 594, 623. 1897; 107. (IIa) p. 5. 1898; St. Meyer, Wied. Ann. 69. p. 236. 1899.

4) P. Silow, Beibl. 3. p. 810. 1879; Wied. Ann. 11. p. 324. 1880.

5) C. G. Gerosa u. G. Finzi, Atti dei Lincei (4) 6. p. 494. 1890.

und Finzi zwischen 0,15 und 1,1 C.G.S.-Einh. Feldstärke nur Änderungen feststellen, die einer Zunahme der Magnetisierungszahl im Verhältnis von höchstens 4:5 bei einer verdünnten, von 10:11 bei einer konzentrierteren Ferrichloridlösung entsprechen. Bei dieser Sachlage scheint eine erneute Prüfung der Frage nach den eben erwähnten beiden Richtungen hin geboten.

Die vorliegende Arbeit zerfällt demgemäß in zwei Teile, deren erster eine Revision der Ergebnisse von Silow und Gerosa und Finzi bezweckt, während der zweite die Konstanz der Magnetisierungszahlen in dem ganzen der Messung zugänglichen Feldstärkenbereiche prüft. Die Versuche des ersten Teiles sind von Hrn. O. Wylach ausgeführt worden.<sup>1)</sup>

## 2. Wiederholung der Versuche von Silow.

Von den beiden Methoden, die Hr. Silow benutzte, beruht die erste auf der Änderung der magnetischen Kräfte, wenn an Stelle von Luft eine magnetische Lösung als Zwischenmedium eintritt. Diese Methode ist von den Herren Gerosa und Finzi wiederholt worden, die indessen keine befriedigenden Resultate mit ihr zu erzielen vermochten. Es wurde daher auch die zweite Methode von Silow, bei der eine Induktionswaage zur Verwendung kam, einer Nachprüfung unterzogen. Die Versuchsanordnung schloß sich zunächst an die von Silow an, ergab aber so ebenfalls keine brauchbaren Ergebnisse. Die Schuld lag an dem nach Silows Angaben gefertigten rotierenden Unterbrecher oder Disjunkt, der infolge starker Quecksilberspritzung nicht auf die zur Beobachtung erforderliche Zeit zu einem regelmäßigen Funktionieren zu bringen war. Die Sache besserte sich erst, als er durch den von Hrn. Himstedt<sup>2)</sup> angegebenen und bei seiner Ohmbestimmung benutzten Disjunkt ersetzt wurde. Abweichend von Silow wurden sodann zwei gleiche Rollenpaare, bestehend aus einem langen auf einem Glasrohr gewickelten primären Solenoid mit einer Windungslage und einer kurzen weiteren induzierten Rolle mit etwa 4500 Windungen eines feinen Kupferdrahtes und etwa

1) Ausführliches darüber wird später mitgeteilt werden.

2) F. Himstedt, Wied. Ann. 22. p. 276. 1884.



800 Ohm Widerstand benutzt. Diese wurden in hinreichendem Abstand voneinander mit vertikalen Achsen aufgestellt, und die Stromstärke in den Primärrollen nicht zwischen dem jedesmaligen Maximalwerte und Null variiert, sondern zwischen ersterem und einer Stromstärke, die zur Kompensation der erdmagnetischen Vertikalintensität in der Rolle diente. Die Sekundärrollen waren so geschaltet, daß die Induktionsströme entgegengerichtet waren und sich bis auf einen kleinen Bruchteil, der nach jedem Versuche neu bestimmt wurde, kompensierten. Es wurde die Änderung der resultierenden Induktionswirkung beim Einbringen der magnetischen Lösungen in das eine oder das andere der von den Primärspulen umwickelten Glasrohre bestimmt, wobei mit dem Umfüllen in geeigneter Folge gewechselt wurde. Die so erhaltene relative Änderung der Induktionswirkung multipliziert mit dem Verhältnis der Differenz der Induktionswirkungen beider Rollen zur Induktionswirkung einer derselben gibt bis auf ein Korrektionsglied die mit  $4\pi$  multiplizierte Magnetisierungszahl der betreffenden Lösung. Dieses Korrektionsglied rührt daher, daß nicht der ganze Querschnitt der Primärspulen von der Lösung ausgefüllt werden kann, sondern davon ein der Dicke des Glases und der Isolierschicht des Drahtes entsprechender Bruchteil in Abzug kommt, und es ist gleich dem Verhältnis des von dem blanken Drahte umschlossenen Querschnittes zu dem von der Lösung erfüllten inneren Querschnitte des Glasrohres, gleich 1,17.

Zur Messung diente ein du Bois-Rubenssches Kugelpanzergalvanometer mit dem schweren Magnetgehänge und den Rollen von zusammen 4000 Ohm Widerstand. Es hat sich aufs beste bewährt. Vorsicht ist bei diesen Versuchen nur geboten wegen der bei stärkeren Induktionsströmen leicht eintretenden Änderung in dem Magnetismus der Galvanometermagnete, die sich durch Änderung der Nulllage bemerklich macht; Versuche, bei denen das vorkam, wurden verworfen, und es wurden aus diesem Grunde nur Schließungsinduktionsströme durch das Galvanometer geschickt. Es war dadurch den Versuchen eine obere Grenze für die zu verwendenden Feldstärken gesetzt. Es ist zu vermuten, daß diese Fehlerquelle neben dem unregelmäßigen Gang des Unterbrechers und Änderungen der Kompensation Hrn. Silows Versuche



beeinflußt hat, und seine merkwürdigen, durch die vorliegenden Versuche ebensowenig, wie durch die der Herren Gerosa und Finzi bestätigten Ergebnisse dadurch zu erklären sind.

Die verwendeten Feldstärken ergeben sich aus der Windungszahl der Primärrollen und der mit einem Weston-Milliampèremeter von Siemens & Halske gemessenen Stromstärke  $i$  in *Milliampère* gleich  $62,5 \cdot i$  C.G.S.-Einh.

Die folgende Zusammenstellung (Tab. 1) gibt die spezifischen Gewichte  $s$  der verwendeten Lösungen bei den beigesetzten Temperaturen, den Gehalt an g-Mol. in  $\text{cm}^3$   $v$ , entweder aus dem spezifischen Gewicht oder durch Analyse (vgl. p. 617) bestimmt, die Feldstärken in C.G.S.-Einheiten und die nach obigen Angaben ermittelten Werte der Magnetisierungszahlen  $\alpha$ .

In einigen der Reihen scheint die Magnetisierungszahl mit wachsender Feldstärke etwas zu sinken; indessen wird das wohl auf Beobachtungsfehler zurückzuführen sein; die Unsicherheit der Versuche nimmt mit wachsender primärer Stromstärke zu, indem einerseits der Gang des Disjunktors unregelmäßiger wird, und andererseits die Ruhelage des Galvanometers schon kleine Abweichungen nach jedem Versuche zeigt; es war das namentlich bei den ersten Versuchsreihen der Fall; später gelang es, etwas größere Regelmäßigkeit zu erzielen.

Auf alle Fälle zeigen die Versuche, daß die von Silow beobachteten großen Änderungen der Magnetisierungszahl bei diesen schwachen Feldstärken in Wirklichkeit nicht vorhanden sind, und daß im Gegenteil die Magnetisierungszahl in dem Feldstärkeintervall von 0,1—1,2 C.G.S.-Einh. bis auf höchstens 10 Proz. konstant bleibt. Kleinere Änderungen sind hingegen nicht ausgeschlossen, da sie durch die Versuchsfehler verdeckt sein können.

Die Mittelwerte von  $\alpha$ , die sich aus den Versuchen ergeben, dürften auf einige Prozente genau sein; eine Ausnahme macht nur der Wert bei  $\text{FeSO}_4$ , da hier wegen des geringen Betrages dieser Größe sowohl die sehr weit getriebene Kompensation, wie auch die Änderung der Ausschläge bei Einführung der Lösung nur mit sehr mäßiger Genauigkeit bestimmt werden konnten, so daß der Mittelwert von  $\alpha$  wohl um 10 Proz., vielleicht auch noch etwas mehr fehlerhaft sein kann.

Tabelle 1.

FeCl <sub>3</sub> .		FeCl <sub>3</sub> .		MnCl <sub>2</sub> .	
$n = 1,226$ bei $11^\circ$ , $\nu = 1,81 \cdot 10^{-3}$ .		$s = 1,435$ bei $12^\circ$ , $\nu = 3,62 \cdot 10^{-3}$ .		$s = 1,380$ bei $20,5^\circ$ , $\nu = 3,36 \cdot 10^{-3}$ .	
Feldstärke	$\kappa \cdot 10^6$	Feldstärke	$\kappa \cdot 10^6$	Feldstärke	$\kappa \cdot 10^6$
0,175	24,7	0,081	50,1	0,202	40,8
0,344	24,9	0,188	50,6	0,376	39,7
0,481	24,8	0,294	50,3	0,550	40,0
0,631	24,7	0,363	48,2	0,763	40,3
0,919	24,0	0,500	47,0	0,95	40,0
1,15	24,4	0,613	47,5	1,14	40,8
Mittel: 24,6		0,890	49,4	Mittel: 40,3	
		1,09	45,3		
		1,23	45,6		
		Mittel: 48,2			
Fe <sub>2</sub> (SO <sub>4</sub> ) <sub>3</sub> .		FeSO <sub>4</sub> .		MnSO <sub>4</sub> .	
$n = 1,609$ bei $10,8^\circ$ , $\nu = 3,96 \cdot 10^{-3}$ .		Saure Lösung. $\nu = 1,161 \cdot 10^{-3}$ .		$s = 1,428$ bei $18,5^\circ$ , $\nu = 3,31 \cdot 10^{-3}$ .	
Feldstärke	$\kappa \cdot 10^6$	Feldstärke	$\kappa \cdot 10^6$	Feldstärke	$\kappa \cdot 10^6$
0,181	39,9	0,187	9,69	0,187	36,7
0,363	38,0	0,363	10,01	0,369	37,0
0,369	39,3	0,500	10,19	0,561	35,6
0,669	36,8	0,788	9,27	0,681	35,4
0,97	37,2	1,10	9,77	0,943	35,5
1,13	36,3	Mittel: 9,79		Mittel: 36,0	
Mittel: 37,9					
Fe <sub>2</sub> (SO <sub>4</sub> ) <sub>3</sub> .					
Saure Lösung.					
$\nu = 2,64 \cdot 10^{-3}$ .					
Feldstärke	$\kappa \cdot 10^6$				
0,187	30,6				
0,374	29,9				
0,625	30,3				
Mittel: 30,3					

### 3. Die Änderung der Magnetisierungszahlen bei großer Änderung der Feldstärken.

Es dürfte kaum möglich sein, eine einzige Methode für die Bestimmung der Abhängigkeit der Magnetisierungszahlen von Salzlösungen in dem ganzen zugänglichen Feldstärkebereich von 0,1 bis 40000 C.G.S.-Einh. anzuwenden; die in starken Feldern brauchbaren Methoden sind für schwache Feldstärken nicht empfindlich genug, und bei den für letztere benutzten Induktionsmethoden lassen sich keine sehr hohen Feldstärken erreichen.

Nach den verschiedenartigen Methoden liegt aber bereits ein großes Beobachtungsmaterial zahlreicher Forscher vor, das gestattet in die Prüfung der Frage einzutreten. Am besten untersucht sind die Sulfate und Chloride des Eisens, sowie Mangansulfat und -chlorid, und unter diesen wiederum liegen für  $\text{FeCl}_3$  und  $\text{FeSO}_4$  die meisten *absoluten* Bestimmungen der Molekularmagnetismen in Lösung vor. Die folgende Tab. 2 enthält eine Zusammenstellung dieser Bestimmungen, die zum großen Teil auf Neuberechnungen beruht.

Die Bestimmungen der verschiedenen in erster Kolumne stehenden Beobachter sind nach aufsteigenden Feldstärken — in zweiter Kolumne in C.G.S.-Einheiten angegeben — geordnet, die dritte und vierte Kolumne bringt die Molekularmagnetismen, wie sie sich aus den beobachteten Magnetisierungszahlen  $\alpha_1$  der Lösungen vom Prozentgehalt  $p$  und der Dichte  $s$ , dem Molekulargewicht  $M$  des gelösten Körpers, der Magnetisierungszahl des Wassers  $\alpha_2$  nach der Formel ergeben:

$$\alpha = \frac{100 M}{p s} \alpha_1 - \frac{100 - p}{p} M \alpha_2.$$

Darin ist  $\alpha_2 = -0,75 \cdot 10^{-6}$  als Mittelwert der bisherigen Bestimmungen angenommen worden. Der Prozentgehalt  $p$  ist, sofern nicht direkte Bestimmungen vorliegen, wie bei Townsend, Arndtsen, Liebknecht und Wills, aus dem spezifischen Gewicht berechnet worden, und zwar nach den Tabellen von Hager<sup>1)</sup> für  $\text{FeCl}_3$  und von H. Schiff<sup>2)</sup> für  $\text{FeSO}_4$ ; das gilt

1) G. T. Gerlach, Fresenius' Zeitschr. f. analyt. Chem. 27. p. 278. 1888.

2) H. Schiff, Ann. Chem. Pharm. 110. p. 73. 1877. Dessen Werte stimmen besser mit eigenen Bestimmungen als die von Gerlach, die in Landolt u. Börnsteins Tabellen angeführt sind.

auch für die Bestimmungen von G. Jäger und St. Meyer an  $\text{FeCl}_3$ , da deren eigene Gehaltsangaben (ebenso auch für  $\text{FeCl}_2$ ) ohne Zweifel irrtümlich sind; sie sind weder mit den Tabellen von Hager, noch mit Bestimmungen von Arndtsen, Eaton und solchen, die hier vorgenommen wurden, in Übereinstimmung zu bringen. Townsend gibt seine Versuchsergebnisse in der Form

$$10^7 \alpha_1 = K \cdot w - 7,7,$$

worin  $\alpha_1$  die Magnetisierungszahl der Lösung,  $w$  der Eisen-gehalt in g pro  $\text{cm}^3$ ,  $-7,7$  als Magnetisierungszahl des Wassers angenommen und  $K$  eine Konstante ist, aus der sich der Molekularmagnetismus des gelösten Salzes durch Multiplikation mit dem Atomgewicht des Eisens 55,9 und mit  $10^{-7}$  ergibt.

Die Beobachtungen sind, soweit erforderlich und Temperaturangaben vorliegen, auf  $18^\circ$  reduziert mit Hilfe der von G. Jäger und St. Meyer bestimmten Temperaturkoeffizienten.

Tabelle 2.

Beobachter	Feldstärke C.G.S.-Einh.	$10^3 \alpha$		$\frac{\alpha - \text{FeSO}_4}{\alpha - \text{FeCl}_3}$
		$\text{FeSO}_4$	$\text{FeCl}_3$	
Wylach	0,1—1	9,1	13,7	0,664
Townsend <sup>1)</sup>	1—9	11,2	14,7	0,762
Arndtsen <sup>2)</sup>	3,5—70	10,8	13,9	0,777
v. Ettingshausen <sup>3)</sup>	14—77	—	13,9	—
Lombardi <sup>4)</sup>	70—600	11,1	14,3	0,776
Königsberger <sup>5)</sup>	2000	12,1	14,9	0,812
Quincke <sup>6)</sup>	6000—12500	13,5	15,0	0,900
Jäger u. Meyer <sup>7)</sup>	10000—18000	12,4	13,6	0,912
Liebknecht u. Wills <sup>8)</sup>	18000—40000	12,7	13,5	0,942

1) J. S. Townsend, Phil. Trans. 187. A. p. 533. 1896.

2) A. Arndtsen, Pogg. Ann. 104. p. 603. 1858.

3) A. v. Ettingshausen, Wied. Ann. 17. p. 304. 1882.

4) L. Lombardi, Mem. di Torino (2) 47. p. 1. 1897.

5) J. Königsberger, Wied. Ann. 66. p. 698. 1898.

6) G. Quincke, Wied. Ann. 24. p. 347. 1885.

7) G. Jäger u. St. Meyer, Sitzungsber. d. k. Akad. d. Wissensch. zu Wien 106. II. p. 594, 623. 1897.

8) O. Liebknecht u. A. P. Wills, Ann. d. Phys. 1. p. 178. 1900.

Bei der Diskussion dieser Ergebnisse ist zunächst zu berücksichtigen, daß die absoluten Werte mit einer beträchtlichen Unsicherheit behaftet sind. Bei den meisten Bestimmungen spielt die Schwierigkeit der Feldstärkemessung eine Rolle; Hrn. Townsends absolute Werte beruhen auf der Vergleichung der sehr verschiedenen Selbstinduktionen zweier Drahtrollen, deren Verhältnis ( $2 \cdot 10^8 : 70$ ) durch Rechnung bestimmt wird — ein bekanntlich recht unsicheres Verfahren —, die Zahlen der Herren Liebknecht und Wills hängen von dem absoluten Werte der Magnetisierungszahl des Wassers ab, der nach den verschiedenen neueren Bestimmungen noch zwischen  $-0,65$  und  $-0,83 \cdot 10^{-6}$  schwankt, Hrn. Quinckes Werte auch für die anderen Salze sind durchweg um 6—15 Proz. größer als die der anderen Beobachter und zeigen auch in den Einzelbestimmungen sehr starke Abweichungen, die bis zu 20 Proz. gehen. Hr. Lombardi gibt selbst seine absoluten Werte nur als näherungsweise richtig an. Berücksichtigt man dies, so wird man aus der obigen Zusammenstellung den Schluß ziehen dürfen, daß der Molekularmagnetismus des  $\text{FeCl}_3$  in dem ganzen Feldstärkenbereiche von 0,1 bis 40000 C.G.S.-Einh. eine wirkliche Konstante ist. In der Tat, macht man die Probe, indem man die Mittelwerte für Feldstärken unter 1000 und über 1000 C.G.S.-Einh. nimmt, so findet man aus den ersten fünf der obigen Bestimmungen den Wert 14,10 und aus den letzten vier 14,20, der von jenem nur um 0,7 Proz. abweicht.

Anders verhält es sich bei  $\text{FeSO}_4$ ; hier geben die ersten vier Bestimmungen den Mittelwert 10,55, die letzten vier den um 20 Proz. größeren Wert 12,67, und selbst wenn man den ziemlich unsicheren Wylachschen Wert (vgl. p. 611) fortläßt, bleibt der Unterschied der Mittelwerte, 11,03 und 12,67, noch immer 15 Proz., also bedeutend mehr, als beim  $\text{FeCl}_3$ , was bei der Gleichartigkeit der Beobachtungen wohl kaum auf Beobachtungsfehlern beruhen kann. Ohne die Werte von Wylach und Ettingshausen liegt der Mittelwert für  $\text{FeCl}_3$  in schwachen Feldern, 14,30, etwas über dem in starken Feldern.

Deutlicher tritt das Anwachsen des Molekularmagnetismus beim  $\text{FeSO}_4$  mit steigender Feldstärke in den relativen Werten, bezogen auf den Molekularmagnetismus des  $\text{FeCl}_3$  gleich 1



hervor, da bei diesen ein großer Teil der Bestimmungsfehler, die den absoluten Werten anhaften, herausfällt, wie die letzte Zahlenreihe der Tabelle zeigt, die ein fast ganz regelmäßiges und kontinuierliches Ansteigen aufweist.

Bei der Ausdehnung unserer Betrachtungen auf die anderen oben genannten Salze ist daher zweckmäßig, diese letztere Darstellungsweise der relativen Molekularmagnetismen, bezogen auf  $\text{FeCl}_3$  gleich 1, zu wählen. Man hat dabei noch den Vorteil, das hier schon spärlichere Beobachtungsmaterial noch durch die relativen Bestimmungen von G. Wiedemann<sup>1)</sup> vermehren zu können, die in mittleren Feldstärken (nach den Angaben von Wiedemann darf man sie der Größenordnung nach zwischen  $10^2$  und  $10^3$  C.G.S.-Einh. schätzen) ausgeführt sind.

Da indessen die Beobachtungen in schwachen Feldern noch sehr dürftig sind — außer den obigen, nicht sehr sicheren Bestimmungen von Wylach kommen hier nur noch die von Townsend an  $\text{FeCl}_2$  und  $\text{Fe}_2(\text{SO}_4)_3$  in Betracht —, so sind sie noch durch weitere relative Messungen ergänzt worden.

Die hierbei verwendete Methode, die an anderer Stelle genauer beschrieben wird, beruht auf der Bestimmung der Änderung, welche die Selbstinduktion einer Drahtspule durch Einführung der magnetischen Salzlösungen erfährt. Die Messung geschieht nach Maxwells Methode in der Wheatstoneschen Brücke mit dem Telephon als Meßinstrument.

Bei gleichem Volumen und gleichem Querschnitt der eingeführten Substanzen verhalten sich ihre Magnetisierungszahlen wie die Verschiebungen des Schleifkontaktes auf dem Brückendraht. Bringt man bei Lösungen dann noch eine Korrektur für den Wassergehalt, deren Betrag sich aus Beobachtungen an Ferrichloridlösungen von bekanntem Gehalt und aus dem Molekulargewicht und Prozentgehalt der betreffenden Lösung berechnen läßt, und dividiert den korrigierten Wert der Verschiebung durch die Zahl der g-Mol. in  $\text{cm}^3$ -Lösung, so erhält man Zahlen, die den Molekularmagnetismen proportional sind.

Der Gehalt der Lösungen wurde teils durch die Herstellung, teils durch das spez. Gewicht ermittelt, und wo sich

1) G. Wiedemann, Pogg. Ann. 126. p. 8. 1865.

Zweifel ergaben durch Analysen kontrolliert, die Hrn. Prof. G. Kassner zu verdanken sind; diese Analysen wurden ausgeführt bei Lösungen von  $\text{FeCl}_2$ ,  $\text{FeCl}_3$ ,  $\text{FeSO}_4$  (sauer),  $\text{MnSO}_4$ .<sup>1)</sup> Bei  $\text{Fe}_2(\text{SO}_4)_3$  und  $\text{MnCl}_2$  ergaben die Herstellung und das spezifische Gewicht nach Landolt und Börnsteins Tabellen gut übereinstimmende Werte für den Gehalt.

Die nachfolgende Zusammenstellung (Tab. 3) gibt die spezifischen Gewichte  $s$  der Lösungen bei den nebenstehenden Temperaturen bezogen auf Wasser von  $4^\circ$ , den Prozentgehalt  $p$ , die Zahl der g-Mol. im  $\text{cm}^3$   $\nu$ , die Verschiebungen des Schleifkontaktes  $\delta$  in cm, die den Magnetisierungszahlen proportional sind, korrigiert auf  $18^\circ$ , die für den Wassergehalt korrigierten Werte  $\delta'$ , die den Magnetisierungszahlen der gelösten Salze proportional sind, und die den Molekularmagnetismen der letzteren proportionalen Werte  $\delta'/\nu$ ; endlich sind den Mittelwerten der letzteren noch die auf den Molekularmagnetismus von  $\text{FeCl}_3$  gleich 1 bezogenen Werte hinzugefügt.

Tabelle 3.

$s$	$p$	$10^3 \cdot \nu$	$\delta_{18}$	$\delta'$	$\frac{\delta'}{\nu}$
<b><math>\text{FeCl}_3</math></b>					
1,228, $19,5^\circ$	24,6	1,85	7,60	7,82	4,23
1,303, $17,2^\circ$	31,0	2,49	10,03	10,23	4,12
1,303, $17,2^\circ$	31,0	2,49	10,64	10,64	4,28
1,312, $16,5^\circ$	31,7	2,54	10,58	10,58	4,17
Mittel:					4,20
<b><math>\text{FeCl}_2</math></b>					
1,307, $18,0^\circ$	29,1	3,00	9,91	10,01	3,34
—	—	3,00 <sup>2)</sup>	9,83	9,93	3,31
1,317, $16,5^\circ$	29,9	3,10	10,24	10,35	3,34
1,411, $16,0^\circ$	36,2	4,03	13,20	13,38	3,32
Mittel:					3,33
$\frac{\text{FeCl}_2}{\text{FeCl}_3} = 0,793$					

1) Die Analysen ergaben auch die ausreichende Reinheit der von Marquart in Beuel-Bonn bezogenen Salze; die analysierten Lösungen waren die auch von Hrn. Wylach benutzten.

2) Saure Lösung (in 4—15 proz. Säure).

Tabelle 3 (Fortsetzung).

<i>s</i>	<i>p</i>	$10^3 \cdot \nu$	$\delta_{10}$	$\delta'$	$\frac{\delta'}{\nu}$
<b>MnCl<sub>2</sub></b>					
1,338, 15,6°	82,5	3,45	15,14	15,28	4,42
1,338, 15,6°	82,5	3,45	14,68	14,82	4,29
1,342, 17,0°	82,8	3,50	14,55	14,69	4,20
Mittel: 4,30					$\frac{\text{MnCl}_2}{\text{FeCl}_3} = 1,024$
<b><math>\frac{1}{2} \text{Fe}_2(\text{SO}_4)_3</math></b>					
—	25,0	1,69 <sup>1)</sup>	6,42	6,65	3,93
—	25,0	1,69 <sup>1)</sup>	6,72	6,95	4,11
Mittel: 4,02					$\frac{\frac{1}{2} \text{Fe}_2(\text{SO}_4)_3}{\text{FeCl}_3} = 0,957$
1,331, 19,5°	29,5	1,97	6,16	6,37	3,23
1,331, 19,5°	29,5	1,97	6,42	6,63	3,37
Mittel: 3,30					
<b>FeSO<sub>4</sub></b>					
—	—	1,109 <sup>1)</sup>	3,58	3,78	3,41
1,184, 15,5°	—	1,123 <sup>1)</sup>	3,50	3,70	3,29
1,161, 15,0°	16,7	1,129	3,67	3,87	3,42
1,159, 21,7°	—	1,130	3,54	3,74	3,31
1,184, 15,0°	—	1,131 <sup>1)</sup>	3,63	3,83	3,39
1,237, 15,6°	15,8	1,292	4,22	4,45	3,44
Mittel: 3,38					$\frac{\text{FeSO}_4}{\text{FeCl}_3} = 0,805$
<b>MnSO<sub>4</sub></b>					
1,269, 19,0°	23,9	2,01	7,59	7,80	3,89
1,306, 16,5°	26,8	2,31	8,21	8,42	3,64
—	—	2,31 <sup>1)</sup>	8,09	8,30	3,59
—	—	2,31 <sup>1)</sup>	8,53	8,74	3,86
1,351, 17,0°	29,9	2,67	10,67	10,86	4,06
1,405, 16,0°	33,4	3,10	10,98	11,17	3,60
1,458, 14,1°	36,9	3,57	13,02	13,23	3,70
1,458, 14,1°	36,9	3,57	13,35	13,56	3,80
Mittel: 3,77					$\frac{\text{MnSO}_4}{\text{FeCl}_3} = 0,897$

1) Saure Lösung (in 4—15 proz. Säure).

Bei  $\text{FeCl}_2$ ,  $\text{FeSO}_4$ ,  $\text{MnSO}_4$  und  $\text{Fe}_2(\text{SO}_4)_3$  wurden neben den Lösungen in Wasser auch solche in Säure untersucht, die in der Tabelle besonders angemerkt sind; der Gehalt wurde durch Analyse oder Herstellung bestimmt. Bei den ersten drei Salzen war kein merklicher Unterschied zwischen den sauren Lösungen und den *frisch hergestellten* Lösungen in Wasser festzustellen. Beim Ferrisulfat hingegen tritt die schon von G. Wiedemann bemerkte und auf Bildung von kolloidalem Eisenoxyd zurückgeführte Verminderung des Molekularmagnetismus in der wässerigen Lösung auf. Die saure Lösung enthielt etwa 3 Äquivalente  $\text{H}_2\text{SO}_4$  auf 1,7 Äquivalente  $\frac{1}{2}\text{Fe}_2(\text{SO}_4)_3$ ; bei einem solchen Gehalt ist der Prozentsatz des kolloidalen Eisenoxyds zu vernachlässigen. — Bei Ferri-chloridlösungen ändert nach G. Wiedemann<sup>1)</sup> ein Säure-zusatz den Molekularmagnetismus nicht merklich.

Die folgende Tab. 4 gibt nun die auf  $\text{FeCl}_3$  bezogenen Werte des Molekularmagnetismus der erwähnten fünf Salze für verschiedene Feldstärken.

Tabelle 4.

Beobachter	Feldstärke C.G.S.-Einh.	$\alpha \cdot \text{FeCl}_2$	$\alpha \cdot \text{MnCl}_2$	$\alpha \cdot \frac{1}{2}\text{Fe}_2(\text{SO}_4)_3$ <sup>2)</sup>	$\alpha \cdot \text{FeSO}_4$	$\alpha \cdot \text{MnSO}_4$
		$\alpha \cdot \text{FeCl}_3$	$\alpha \cdot \text{FeCl}_3$	$\alpha \cdot \text{FeCl}_3$	$\alpha \cdot \text{FeCl}_3$	$\alpha \cdot \text{FeCl}_3$
Wylach	0,1—1	—	0,90	0,86	0,66	0,81
Townsend	1—9	0,77	—	0,99	0,76	—
Leydweiller	< 15	0,79	1,02	0,96	0,80	0,90
Wiedemann	100—1000 ca.	0,84	0,98	0,96	0,85	0,97
Piaggese <sup>3)</sup>	2000—5000	—	1,11	—	0,92	1,10
Quincke	6000—12500	0,85	1,07	—	0,90	1,18
Jäger u. Meyer	10000—18000	0,85	1,09	—	0,91	1,10
Leibknecht u. Wills						
	18000—40000	—	1,12	1,12	0,94	1,14

1) G. Wiedemann, Wied. Ann. 5. p. 59 u. 61. 1878.

2) In stark saurer Lösung.

3) G. Piaggese, N. Cim. (5) 4. p. 247. 1902. Die Werte erscheinen wegen großer und unregelmäßiger Abweichungen voneinander namentlich bei  $\text{FeCl}_2$  und  $\text{FeSO}_4$  wenig zuverlässig und sind daher auch in die Tab. 2 nicht aufgenommen, auch die Angaben über Prozentgehalt und spezifisches Gewicht stimmen durchweg schlecht überein; die letzteren sind den obigen Berechnungen zugrunde gelegt.

Wenngleich einzelne Werte aus der regelmäßigen Reihe herausfallen, so erkennt man doch in allen diesen Zahlen denselben Gang, wie wir ihn schon beim Ferrosulfat fanden, eine leichte Zunahme mit wachsender Feldstärke, ausgesprochen bei den Sulfaten, geringer und unsicherer bei den Chloriden: in allen Fällen aber nicht so groß, daß sie nicht bei den einzelnen Untersuchungen, die sich auf kleinere Feldstärkebereiche erstrecken, sich hinter Beobachtungsfehlern verkriechen und so der Aufmerksamkeit entgehen konnte.

Geht man auf die Deutung dieses Befundes ein, an der Hand von W. Webers Theorie der Molekularmagnete, in der Ausbildung, die namentlich Ewing ihr gegeben hat, so muß man sich erinnern, daß bei den magnetischen Metallen die Abhängigkeit der Magnetisierungszahl von der Feldstärke ebenso wie die Hysteresiserscheinungen auf die Tatsache zurückgeführt wird, daß in Gruppen von Molekularmagneten verschiedene stabile Gleichgewichtslagen möglich sind, die durch äußere Kräfte ineinander übergeführt werden können, ohne daß dieser Übergang beim Aufhören der äußeren Kräfte rückgängig gemacht wird.<sup>1)</sup> Ist die äußere Kraft die Richtkraft eines Magnetfeldes, so ist der Übergang aus der einen Gleichgewichtslage in die neue jedesmal mit einer verhältnismäßig starken Zunahme des magnetischen Momentes verbunden, wodurch das Anwachsen der Magnetisierungszahl mit steigender Feldstärke bedingt ist.

Das letztere setzt hiernach die Existenz von Molekulargruppen voraus, in Lösungen also, in denen die getrennten Moleküle freie Beweglichkeit besitzen und bei ihren verhältnismäßig großen Abständen kaum noch eine merkliche magnetische Wirkung aufeinander ausüben können, die Bildung von Molekülkomplexen. Diese Komplexbildung braucht nur eine teilweise und nicht sehr starke zu sein, um das beobachtete Anwachsen der Magnetisierungszahlen, das 40 Proz. des Anfangswertes kaum übersteigt, zu erklären, denn die Molekülkomplexe können in schwachen Feldern infolge der gegenseitigen Astasierung der Molekularmagnete einen verschwindenden Molekularmagne-

1) Vgl. J. A. Ewing, *Magnetische Induktion*, deutsch von Holborn und Lindeck, p. 277 ff. Berlin 1892.



tismus besitzen, der auf ein großes Vielfaches des Magnetismus eines einzelnen Molekularmagneten ansteigen kann. —

Beim Ferrichlorid sprechen andere Tatsachen für die Komplexbildung; wenn nun gerade hier die Änderung der Magnetisierungszahl mit der Feldstärke sehr gering ist, so würde das im Sinne der hier vertretenen Anschauung dafür sprechen, daß bei den anderen untersuchten Salzen, insbesondere den Sulfaten, die Komplexbildung erheblicher ist, als bei jenem. Sofern Bildung von kolloidalem Eisenoxyd auftritt, wie bei den wässerigen Lösungen von Ferrisulfat, ist sie ja sicher vorhanden.

Als Schlußergebnis ist also festzustellen, daß in kleinen Feldstärkenbereichen die Änderung der Magnetisierungszahl der untersuchten Eisen- und Mangansalzlösungen unmerklich ist, daß aber in dem großen Bereiche von 0,1 bis 40000 C.G.S.-Einh. Feldstärke solche Änderungen auftreten können; bei Ferrichlorid sind sie jedenfalls gering, bei Ferro- und Manganchlorid etwas größer, und erreichen bei den Sulfaten etwa 30—40 Proz. Im Sinne der Theorie der Molekularmagnete wäre danach auf eine Komplexbildung in diesen Salzlösungen zu schließen.

Münster i. W., Physik. Inst. d. Univ., Juni 1903.

(Eingegangen 30. Juni 1903.)

---

## 9. Der dunkle Kathodenraum; von G. C. Schmidt.

§ 1. *Einleitung.* In den letzten Jahren haben sich unsere Anschauungen über den Elektrizitätsdurchgang durch Gase dadurch, daß man diesen Vorgang in Analogie zur Elektrolyse gebracht hat, in bemerkenswerter Weise geklärt. Nach der wohl allgemein herrschenden Auffassung wird die Elektrizität in Gasen durch positive und negative Ionen bez. Elektronen in ähnlicher Weise transportiert, wie dies bei den flüssigen Leitern der Fall ist.

In der nachfolgenden Arbeit habe ich versucht, den Parallelismus noch etwas weiter zu verfolgen und dadurchnamentlich die Verhältnisse im dunklen Kathodenraum aufzuklären.

Über die Natur desselben und den an der Kathode vorhandenen großen Kathodenfall sind mancherlei Hypothesen aufgestellt worden. Auf Grund der Tatsache, daß eine Entladung erlischt, wenn der dunkle Raum die Anode berührt, hat Hr. E. Wiedemann<sup>1)</sup> die Vermutung ausgesprochen, daß der dunkle Raum dem Durchgang der Elektrizität einen großen Widerstand entgegensetzt, einer Ansicht, welcher sich auch andere Forscher angeschlossen haben.<sup>2)</sup> Stellt man sich auf den Boden der Elektronentheorie, so ist nicht recht einzusehen, weswegen die Ionen, die sich doch in luftgefüllten Räumen leicht bewegen, nach Entfernung der Luftmoleküle gerade im dunklen Raum einem besonderen Hindernis begegnen. Der dunkle Raum zeigt, wie aus den ausgedehnten Versuchen von E. Wiedemann und H. Ebert<sup>3)</sup> hervorgeht, auch in anderer Hinsicht keine Besonderheiten, aus denen man auf einen Widerstand schließen könnte.

1) E. Wiedemann, Wied. Ann. 20. p. 771. 1883.

2) W. Hittorf, Wied. Ann. 20. p. 705. 1883; 21. p. 90. 1883; J. J. Thomson, Roy. Instit. 1894. Sep.; Beibl. 20. p. 303. 1894.

3) E. Wiedemann u. H. Ebert, Wied. Ann. 36. p. 643. 1889.

A. Schuster<sup>1)</sup> nimmt an, daß die Kathode sich polarisiert in ähnlicher Weise, wie dies bei flüssigen Elektrolyten der Fall ist, einer Ansicht, der sich unter anderem Mebius<sup>2)</sup> anschließt. Hiergegen spricht, daß bisher ein Polarisationsstrom in einwandsfreier Weise nicht nachgewiesen worden ist.<sup>3)</sup>

Nach O. Lehmann<sup>4)</sup> sollen sich die negativen Ionen an der Anode leicht entladen können, während die positiven ihre Ladung nur schwierig an die Kathode abgeben, so daß sich um diese eine mehr oder minder ausgedehnte Hülle positiv elektrischen Gases lagert. Hiergegen läßt sich einwenden, daß ein negativ geladener Körper in den Kanal- und Kathodenstrahlen seine Ladung sehr schnell verliert, und zwar, soweit aus den allerdings mehr qualitativen Beobachtungen hervorgeht, annähernd ebenso schnell, als wenn derselbe positiv geladen ist.<sup>5)</sup>

Von Hrn. W. Kaufmann<sup>6)</sup> ist die Theorie aufgestellt worden, daß in der Nähe der Kathode die Konzentration beider Ionenarten wegen des stark wachsenden Potentialgefälles außerordentlich klein wird. Hiergegen sind von Hrn. E. Goldstein<sup>7)</sup> Einwände erhoben worden, der den dunklen Kathodenraum als eine Deflexionserscheinung auffaßt. Auf die Theorie von Kaufmann komme ich später zurück.

1) A. Schuster, Proc. Roy. Soc. 47. p. 526. 1890.

2) C. A. Mebius, Wied. Ann. 59. p. 695. 1896.

3) A. Schuster hat (Lum. électrique 46. p. 371. 1892; Beibl. 27. p. 157. 1893) bei H, N, O, Wasserdampf und verschiedenen anderen zusammengesetzten Gasen keine Polarisation beobachten können, wohl aber bei einigen Kohlenwasserstoffen. Aus der Tatsache, daß nur die letzteren Gase diese Erscheinung zeigen, geht mit Sicherheit hervor, daß wir es hier mit Ausnahmefällen zu tun haben, die wohl in Zusammenhang stehen mit der leichten Zersetzbarkeit der betreffenden Gase und dem Niederschlagen der Zersetzungsprodukte auf die Elektroden. Von anderen Forschern ist niemals eine Polarisation beobachtet worden. J. J. Thomson u. E. Rutherford, Phil. Mag. 42. p. 392. 1897.

4) O. Lehmann, Verhandl. d. Naturw. Vereins Karlsruhe 15. p. 35. 1902. Sep.

5) W. Arnold, Wied. Ann. 61. p. 327. 1897; H. Dufour, Compt. rend. 122. p. 460. 1896, u. a. Die geringen beobachteten Unterschiede erklären sich durch die verschiedenen Geschwindigkeiten der + und - Ionen.

6) W. Kaufmann, Verh. d. Deutsch. Phys. Ges. 2. p. 141. 1900.

7) E. Goldstein, Verh. d. Deutsch. Phys. Ges. 2. p. 143. 1900.

Im folgenden möchte ich zunächst eine andere Vorstellung entwickeln, die der Nernstschen<sup>1)</sup> Theorie der Elektrolyse gewisser wässriger Lösungen nachgebildet ist.

§ 2. *Theorie.* Wie in der Elektrochemie unterscheide ich zwischen *löslichen* und *unlöslichen* Elektroden. Eine lösliche Elektrode ist eine solche, welche Elektronen oder Ionen in das Gas sendet, eine unlösliche, welche keine zu bilden vermag. Weißglühende Elektroden, Elektroden, von denen Kathodenstrahlen ausgehen, sind also als lösliche aufzufassen, ebenso ein lichtelektrisches Metall, das bei Bestrahlung Elektronen abgibt etc.

Ionisieren wir ein Gas, sei es durch Röntgen- oder Becquerelstrahlung oder auf andere Weise, so gilt, wie aus den Versuchen von J. J. Thomson<sup>2)</sup> hervorgeht, das Ohmsche Gesetz — die Stromstärke ist proportional der Anzahl der Ionen, also der Leitfähigkeit und dem Potentialgradienten —; allerdings wird dasselbe in mannigfacher Weise modifiziert, dadurch, daß die Ionen sich sehr schnell miteinander verbinden und zum Teil durch den Strom weggeschafft werden etc. Polarisation tritt hierbei nicht auf. Da die Elektroden, falls sie nicht direkt von den Röntgenstrahlen getroffen werden, keine Ionen liefern, so sind sie als unlöslich zu bezeichnen, und ist der Vorgang also ganz analog der Elektrolyse wässriger Lösungen zwischen unangreifbaren Elektroden z. B. von Kohle, nur werden im letzteren Fall die Verhältnisse noch durch die Polarisation verwickelter.

Betrachten wir jetzt die Vorgänge in einem Elektrolyten bei größerer Stromdichte. Elektrolysiert man z. B. eine Kupfersulfatlösung zwischen Kupferelektroden durch einen kräftigen Strom, so ändert sich die Konzentration in der Lösung dicht um die Elektrode. An der Kathode tritt eine *Verarmung* an Kupferionen ein, da die Wanderung und Diffusion nicht so viel Ionen zuführt, als aus der Lösung gedrängt werden. Bei geringer Stromentnahme hilft die Zuwanderung und Diffusion in der Flüssigkeit über diese Divergenz hinweg. Deren Wir-

1) W. Nernst, Ber. d. deutsch. chem. Ges. p. 1547. 1897.

2) J. J. Thomson u. E. Rutherford, Phil. Mag. 42. p. 392. 1896; vgl. J. Stark, Ann. d. Phys. 5. p. 89 u. p. 798. 1901; 7. p. 932. 1902.

kung reicht aber bei hohen Stromdichten nicht aus und es tritt infolge der Konzentrationsänderungen an den Elektroden eine Gegenkraft auf, welche sich der Strombewegung widersetzt. Diese Art der Polarisierung zeigen unangreifbare Elektroden, an denen Wasserstoff-, Chlor- oder Hydroxylionen entladen werden, gleichfalls; denn die Konzentration dieser Ionen an der Elektrode wird nicht minder verändert, wenn bei rascher Entladung Zuwanderung und Diffusion nicht mehr ausreichen, um den Verlust durch Entladung zu decken. Wie weit die Veränderung der Schichten dicht um die Elektroden geht, hängt ausschließlich von der Stromdichte, der Wanderungs- und Diffusionsgeschwindigkeit ab.

Etwas verwickelter werden die Verhältnisse, wenn die an den Elektroden sich entladenden Ionen nicht ursprünglich in ausreichender Weise vorhanden sind, sondern sich allmählich Neubilden. Da diese Vorgänge in vieler Hinsicht ähnlich sind denen in Entladungsröhren, so mögen auch die hierbei auftretenden Erscheinungen kurz geschildert werden.

Haben wir z. B. eine wässrige Lösung von KOH, so werden nach den Untersuchungen von Nernst<sup>1)</sup> bei 1,08 Volt Kathodenpotential (dem ersten Knick) die H-Ionen, die in der wässrigen Lösung stets vorhanden sind, entladen. Da dieselben sich aber nicht schnell genug nachbilden, so bewirkt jede Entladung eine *Verarmung* der Elektrodenumgebung an Ionen. Soll die Stromstärke trotz dieser Verarmung zunehmen, so muß man eine weitere Steigerung der elektromotorischen

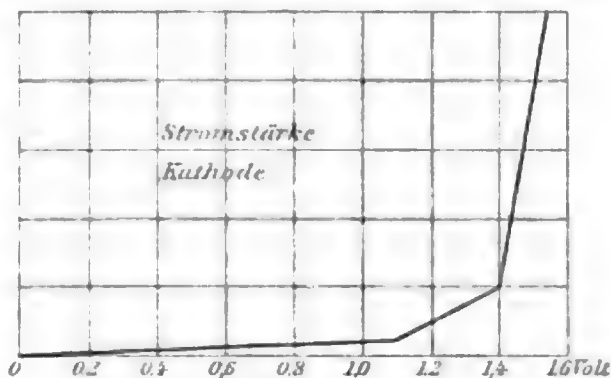


Fig. 1.

Kraft vornehmen; da die verfügbare Zahl der Wasserstoffionen lediglich durch die Geschwindigkeit der Neubildung bedingt ist, so ist der Neigungswinkel der Kurve direkt ein Maß für ihre Bildungsgeschwindigkeit. Erst bei 1,4 Volt, dem zweiten

1) W. Nernst, l. c.



Knick, werden die K-Ionen entladen und jetzt nimmt, da die Zahl der vorhandenen Ionen sehr groß ist, bei Steigerung der elektromotorischen Kraft die Stromstärke rasch zu.

Diese Theorie läßt sich auf Gasentladungen übertragen.

Steigert man nämlich in einem Gase, nachdem dasselbe ionisiert ist, die Stromdichte, so wird an den Elektroden bald eine *Verarmung* an Ionen eintreten, da die Ionen sich nicht unendlich rasch Neubilden und zu den Elektroden diffundieren. Wie weit die Veränderung der Schichten an den Elektroden vor sich geht, hängt ausschließlich von der Stromdichte und der Diffusions- und Wanderungsgeschwindigkeit ab. Trotzdem über die Natur und Wanderungsgeschwindigkeit der Elektronen und Ionen in Entladungsröhren noch keine Messungen vorliegen, so sprechen doch viele Tatsachen dafür, daß das positive Ion langsamer wandert als das negative. Nimmt man diese sehr wahrscheinliche Hypothese an, so erklärt sich leicht, weswegen an der Kathode, wohin die positiven Ionen gelangen, eine viel stärkere Verarmung eintritt, als an der Anode.

Nach dieser Vorstellung ist also *der dunkle Raum der Verarmungsbereich*.

Im folgenden habe ich diese Hypothese geprüft. Zu dem Zweck wird zunächst festgestellt, daß tatsächlich im dunklen Raum im Vergleich zu den übrigen Teilen der Entladung sehr wenig Ionen vorhanden sind. Damit wird die Grundlage der Theorie bestätigt. Darauf habe ich eine Reihe von Folgerungen aus der Theorie gezogen, nämlich, daß der dunkle Raum kleiner werden, ja sogar verschwinden muß, wenn man nur genügend Ionen in denselben hineinbringt. Dies gelingt tatsächlich, wenn man das Gas im dunklen Raum durch Kathoden- oder Kanalstrahlen ionisiert oder als Kathode ein lichtelektrisch empfindliches Metall anwendet, welches ebenfalls unter dem Einfluß des in der Entladung vorhandenen positiven und Glimm-Lichtes Ionen in den dunklen Raum aussendet. Auch alle anderen Erscheinungen an der Kathode finden, soweit ich das übersehen kann, ihre ungezwungene Erklärung durch die Theorie.

§ 3. *Nachweis der Verarmung an Ionen an der Kathode.* Um den Nachweis zu führen, daß an der Kathode im Vergleich zu den übrigen Teilen der Entladung verhältnismäßig

wenig Ionen sind, wurde eine bewegliche Sonde, die mit einer Kapazität verbunden war, in die verschiedenen Teile der Entladung gebracht und nun die zur Ladung erforderliche Zeit beobachtet.

Als Entladungsrohr benutzte ich ein von Hrn. A. Wehnelt<sup>1)</sup> bei seinen Potentialmessungen im dunklen Raum angewandtes; dasselbe war 6 cm weit und 100 cm lang. Die senkrecht zur Rohrachse befindliche scheibenförmige und den ganzen Querschnitt des Entladungsrohres ausfüllende Kathode  $K$  und eine seitlich sitzende Sonde  $S_1$  waren in der aus der Fig. 2 ersichtlichen Weise ( $e$  sind kurze Enden eines 10 mm dicken

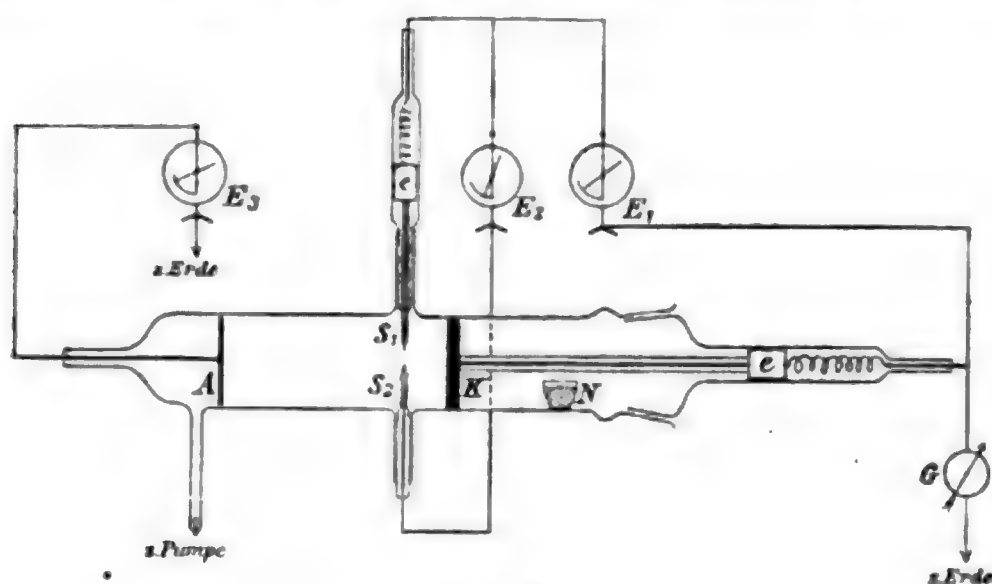


Fig. 2.

Eisendrahtes) mit Hilfe eines Magneten von außen verschiebbar. So konnte man an jeder Stelle des Raumes sowohl senkrecht als auch parallel zur Kathodenfläche die Potentialdifferenzen zwischen Sonde und Kathode messen. Der ersten Sonde  $S_1$  befand sich eine zweite  $S_2$  diametral gegenüber, welche bis in die Mitte der Entladungsröhre reichte. Die Sonden waren beide bis auf eine 1 mm lange Spitze durch ein dünnes Glasrohr isoliert. Die Sonden wurden so kurz gewählt, um möglichst das Potential an der betreffenden Stelle zu erhalten. Zu den Potentialmessungen dienten Braunsche Elektrometer. Das Elektrometer  $E_1$  maß die Potentialdifferenz zwischen der beweglichen Sonde  $S_1$  und der zur Erde abgeleiteten Kathode, und Elektrometer  $E_3$  das gesamte Entladungspotential des

1) A. Wehnelt, Ann. d. Phys. 10. p. 553. 1903.

Rohres.  $N$  stellt ein kleines Näpfchen mit Phosphorsäureanhydrid dar, das zur völligen Austrocknung diente. Als Stromquelle wurde eine 20plattige Influenzmaschine benutzt. Das Entladungspotential wurde durch Regulieren des Druckes möglichst konstant gehalten. Da jede einzelne Messung der Ladungszeit vielfach 10—15 Min. dauerte, so gelang dies nicht vollständig; Schwankungen von 500 Volt bei 4000—5000 Volt waren keine Seltenheit.

Bei den Messungen wurde die Kathode der Reihe nach in die verschiedenen Abstände von den Sonden gebracht. Bei jedem Abstände  $x$  der Sonden von der Kathode wurde die bewegliche Sonde von der Achse des Entladungsrohres nach dem Rande zu bewegt und für bestimmte Abstände  $r$  der Sonde  $S$  von der Mitte ( $r = 0$ ) zunächst die Potentialdifferenz der Sonde und der zur Erde abgeleiteten Kathode gemessen. Darauf wurde die Sonde mit einer Kapazität, einer Leydener Flasche, verbunden und nun die Zeit der Ladung bestimmt. Da sich hierbei ergab, daß, bevor die Flasche das Endpotential erreichte, vielfach eine Entladung in Form eines Funkens nach der Kathode zu vor sich ging, so war zwischen Sonde und dem mit der Kapazität verbundenen Elektrometer ein großer Widerstand, ein feuchter Bindfaden, eingeschaltet. In manchen Teilen des dunklen Raumes hätte es, wie die Messungen ergaben, Stunden gedauert, bis das Elektrometer und die Leydener Flasche ihre Endpotentiale erreicht hätten. In diesen Fällen wurde das Steigen des Elektrometers während mehreren Intervallen von je 5 Min. beobachtet und aus den so gewonnenen Zahlen die Zeit extrapoliert, die nötig gewesen wäre, um die Kapazität und das Elektrometer vollständig zu laden.

Die Methode besitzt gegenüber der ihr sehr ähnlichen Methode der Querströme den Vorteil, daß an Stelle zweier Sonden nur eine benutzt wird und daher die Leitfähigkeit nicht in dem Raum zwischen den beiden Sonden, sondern nur in dem unmittelbar die eine Sonde umgrenzenden Raum gemessen wird. Alle Einwände gegen die Methode der Querströme gelten aber auch für die hier benutzte. Durch Hereinbringen der Sonde mit der Kapazität in die Röhre wird der Kraftlinienverlauf gestört und zwar an den verschiedenen Stellen der Entladung in verschiedener Weise, so daß Schlüsse aus den Messungen nur

mit Vorbehalt gezogen werden können. Für das Nachfolgende kommen die Bedenken gegen die hier benutzte Methode nicht in Frage, da es sich nur um qualitative Ergebnisse handelt.

In den nachfolgenden Tabellen bedeutet  $r$  die Entfernung der Sonde von der Mitte der Kathode ( $r = 0$ ),  $x$  der Abstand der Kathode von der Sonde,  $GP$  das Gesamtpotential,  $P$  das Potential der Sonde,  $Z$  die Zeit, die erforderlich war, damit sich das Elektrometer und die Leydener Flasche auf das Potential  $P$  luden. Das Gesamtpotential wurde am Anfang der Messungsreihe bestimmt, im Verlauf der letzteren änderte es sich vielfach um mehrere 100 Volt, da es nicht möglich war, das Entladungspotential während 15—30 Min. konstant zu halten. Der Kathodenstrahl bestand aus einem dünnen Strahl, der von der Mitte der Kathode ausging.

Tabelle I.

$p = 0,09 \text{ mm}, \quad i = 0,32 \cdot 10^{-8} \text{ Amp.}$

$r$	$x$	$GP$	$P$	$Z$
2,5 cm	1 mm	1800	420	240 Min.
2,0	1	1850	450	190
1,5	1	1850	490	80
0,5	1	1800	710	2
2,5	10	1750	1260	12
2,0	10	1850	1300	9
1,5	10	1850	1300	7
0,5	10	1800	1250	$1\frac{1}{2}$
2,5	20	2100	2000	5
2,0	20	1900	1850	4
1,5	20	1980	1870	3
0,5	20	1980	1900	2
2,5	40	1900	1850	2
2,0	40	2000	1900	$1\frac{1}{2}$
2,5	40	1950	1900	$1\frac{1}{2}$
0,5	40	1950	1870	$1\frac{1}{2}$
Glimmlicht				
2,5	60	2000	1950	$1\frac{1}{2}$
2,0	60	2100	2000	$1\frac{1}{2}$
1,5	60	2000	1950	$1\frac{1}{2}$
0,5	60	2200	1990	$1\frac{1}{2}$

Tabelle II.

$$p = 0,05 \text{ mm. } i = 0,32 \cdot 10^{-3} \text{ Amp.}$$

$r$	$x$	$GP$	$P$	$Z$
2,5 cm	1 mm	4500	810	$\infty$
2,0	1	5000	900	$\infty$
1,5	1	5000	920	800 Min.
0,5	1	6000	970	25
2,5	20	5000	1100	20
2,0	20	4500	1150	14
1,5	20	4800	1150	8
0,5	20	5500	1120	$1\frac{1}{2}$
2,5	40	5000	4100	5
2,0	40	5500	4200	4
1,5	40	5000	4000	3
0,5	40	5300	4000	$1\frac{1}{2}$
Glimmlicht				
2,5	80	4500	4500	2
2,0	80	4500	4500	2
1,5	80	5000	5000	$1\frac{1}{2}$
0,5	80	5000	5000	$1\frac{1}{2}$

Aus den Tabellen ist deutlich zu ersehen, daß je näher man sich dem Glimm- oder Kathodenlicht befindet, desto schneller das Elektrometer seine Ladung annimmt.

Es wurde jetzt die Mitte der Kathode durch ein 2 mm breites Loch durchbohrt, durch welches ein Kanalstrahlenbündel in den Raum hinter der Kathode trat.

Tabelle III.

$$p = 0,04 \text{ mm. } i = 0,33 \cdot 10^{-3} \text{ Amp.}$$

$r$	$x$	$GP$	$P$	$Z$
2,5 cm	3 mm	5500	2000	55 Min.
2,0	3	5000	1650	22
1,5	3	4500	1500	20
0,5	3	4800	1540	4
2,5	10	5500	2800	12
2,0	10	4500	2600	10
1,5	10	4800	2650	7
0,5	10	5000	2700	3



Tabelle III (Fortsetzung).

$r$	$x$	$G P$	$P$	$Z$
2,5 cm	20 mm	4700	3000	5 Min.
2,0	20	4700	3000	4
1,5	20	4800	2950	3
0,5	20	4900	2900	2
2,5	40	4500	3300	3
2,0	40	4400	3500	2
1,5	40	4400	3500	$1\frac{1}{2}$
0,5	40	4500	3300	$1\frac{1}{2}$
Glimmlicht				
2,5	80	3800	3600	$1\frac{1}{2}$
2,0	80	3800	3600	$1\frac{1}{2}$
1,5	80	3800	3600	$1\frac{1}{2}$
0,5	80	3800	3600	$1\frac{1}{2}$

Aus den Tabellen ergibt sich:

1. Im dunklen Kathodenraum dauert es außerordentlich lange, bis ein mit einer Kapazität verbundenes Elektrometer sich lädt. Hieraus schließe ich, daß der dunkle Raum nur wenig Ionen enthält, er ist der Verarmungsbereich. Hiermit ist die Grundlage der oben gegebenen Theorie bestätigt.

2. Je mehr man sich dem Glimmlicht- und Kathodenstrahlenbündel nähert, desto schneller lädt sich ein mit einer Kapazität verbundenes Elektrometer. Hieraus ergibt sich, daß je mehr man sich den Glimmlicht- und Kathodenstrahlen nähert, desto größer die Ionisation ist.

Die Kathodenstrahlen ionisieren also das Gas auf ihrer Bahn im dunklen Raum. Daraus, daß die Ionen nur in beschränktem Maße in den dunklen Raum diffundieren, muß man schließen, daß die positiven Ionen sofort nach der Kathode gerissen, die negativen nach der Anode geschleudert werden. Hiermit steht in Einklang, daß nach A. Wehnelt<sup>1)</sup> je mehr das sichtbare Strahlenbündel an der Kathode sich nach der Mitte zusammenzieht, der „Ringstrom“, d. h. der Strom, der durch die äußeren Teile der plattenförmigen Kathode fließt, schwächer wird, bis schließlich bei sehr tiefen Drucken, wo

1) A. Wehnelt, Ann. d. Phys. 7. p. 242. 1902.

die Kanal- und Kathodenstrahlenbündel nur noch ganz dünn sind, der innere Teil der Kathode allein die Stromführung übernimmt, d. h. es fließt nur durch diejenigen Stellen der Kathode Strom ab, die von der sichtbaren Ansatzstelle der Strahlenbündel bedeckt sind.

§ 4. *Einfluß der Kathoden- und Kanalstrahlen auf die Erscheinungen im dunklen Raum.* Aus den obigen Anschauungen folgt unmittelbar, daß der dunkle Raum verschwinden muß und ebenso der große Potentialsprung, wenn wir in demselben positive Ionen in genügender Menge schaffen. Wir haben hierzu eine Reihe von Mitteln, nämlich dadurch, daß wir Kathoden-, Kanalstrahlen oder Röntgenstrahlen in den dunklen Raum fallen lassen. Daß tatsächlich die Kathoden- und Kanalstrahlen den Potentialsprung an der Kathode erniedrigen, dafür sprechen eine Reihe von Versuchen von E. Wiedemann und mir<sup>1)</sup>, aus denen hervorgeht, daß diese beiden Arten von Strahlen das Entladungspotential in hohem Maße herabdrücken, wenn sie auf die Kathode fallen, während ihre Einwirkung auf die Anode sehr gering ist.

Ich habe diese Beobachtungen etwas weiter verfolgt.

Zur Anwendung kamen drei Entladungsröhren. Rohr I (Fig. 3): *A* und *B* sind zwei Glasröhren von passender Weite (ungefähr 4 cm und 15 cm lang). Zwischen *A* und *B* wird ein Drahtnetz *K* gekittet. Die Elektroden bestanden aus Zink. Macht man dann *a*<sub>1</sub> zur Kathode, so treten bei passendem Druck Kathodenstrahlen in *B* ein; ist *a*<sub>1</sub> Anode, so dringen Kanalstrahlen nach *B*. Je nachdem man *a*<sub>2</sub> zur Anode oder Kathode macht, fallen dann Kanal- bez. Kathodenstrahlen in den dunklen Raum, der sich um das Drahtnetz in *B* ausbildet, oder auf die positive Lichtsäule. Röhre II (Fig. 4) ist ein ähnliches Rohr mit Eiselektroden, Rohr III (Fig. 5) mit Aluminiumelektroden. *S* ist eine in Glas bis auf die Spitze gehüllte Sonde, *K* ist wieder das zur Erde abgeleitete Drahtnetz. Die Versuche wurden in Stickstoff, der durch Erhitzen einer wässerigen Lösung von Kaliumnitrit und Salmiak dargestellt wurde und der durch Überleiten über glühendes Kupfer und Kupferoxyd von allen Spuren von Wasserstoff und Sauerstoff befreit war, ferner in

1) E. Wiedemann u. G. C. Schmidt, Wied. Ann. 62, p. 471. 1896.

Wasserstoff und Sauerstoff, die elektrolytisch gewonnen wurden, angestellt. Ich bemerke noch, daß wegen der stark erwärmenden Wirkung der Kanal- und Kathodenstrahlen der Siegelack sich etwas zersetzte und infolgedessen die Gase bald verunreinigt wurden. Ich habe dies mit in den Kauf genommen, da eine Umwandlung der Rohre unter Vermeidung von Siegelack mit beträchtlichen Kosten verbunden gewesen wäre und kaum zu weiteren Resultaten geführt hätte. Denn ein mathematischer Ausbau der Theorie sowie ihre Prüfung durch quanti-

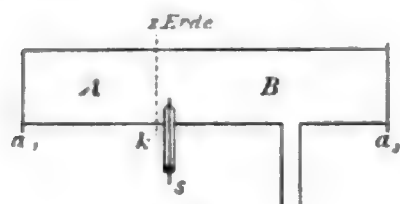


Fig. 3.

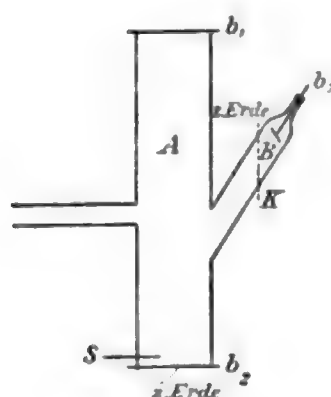


Fig. 4.

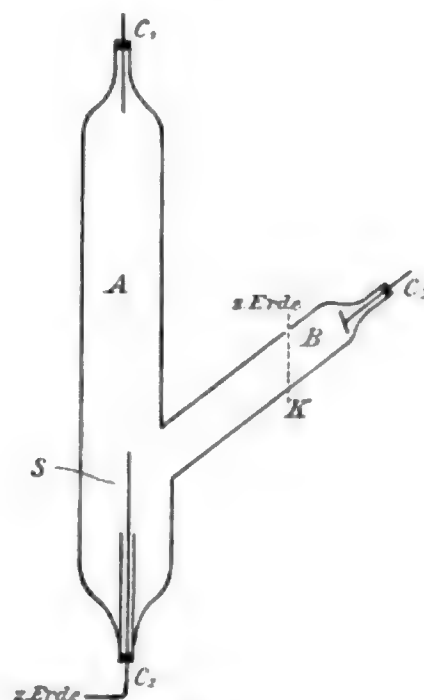


Fig. 5.

tative Messungen erscheint aussichtslos, bevor es gelingt, die Wanderungsgeschwindigkeit der Ionen sowie ihre Zahl in den verschiedenen Teilen einer Entladungsröhre zu bestimmen.

Ich beschreibe jetzt die Erscheinung bei Rohr I.

Ist *A* mit der Batterie verbunden derart, daß *a*<sub>1</sub> die Kathode ist, und *B* mit der Influenzmaschine, derart, daß *a*<sub>2</sub> Anode ist, während die anderen Pole zur Erde abgeleitet sind, so bildet sich in *B* um *K* ein dunkler Raum aus. Bei kleinen Stromstärken in *A* und hohen Drucken werden die von der Kathode *a*<sub>1</sub> kommenden Kathodenstrahlen das Gas im dunklen Raum in *B* nur wenig ionisieren; die Ver-

armung an Ionen wird also zum Teil erhalten bleiben. Steigert man die Stromstärke in  $A$ , so nimmt die Intensität der Kathodenstrahlen immer mehr zu, und damit die Ionisation: der dunkle Raum wird immer verwaschener, bis er schließlich verschwindet und nur positives Licht oder positive Schichten in  $B$  vorhanden sind. Die ganze Entladung geht dann von  $a_1$  nach  $a_2$  und es fließt eventuell nichts durch das Drahtnetz zur Erde. Ganz ähnlich sind die Verhältnisse bei Kehrung des Stromes in  $A$ ; jetzt ionisieren die Kanalstrahlen. Gleichzeitig mit dem Verschwinden des dunklen Raumes nimmt das Potential an der Kathode ab. Bei einem Versuch wurden folgende Zahlen erhalten. Die Stromstärke der Influenzmaschine in  $B$  betrug  $i = 0,25$  M.-A. und das Gesamtpotential in  $B$  610 Volt, Kathodenpotential 490 Volt. Das Gesamtpotential fiel auf 220 Volt, als ein Batteriestrom von 0,22 M.-A. durch  $A$  geschickt wurde, auf 175 Volt bei 0,4 M.-A., auf 140 Volt bei 1,3 M.-A. Als Kanalstrahlen in das Rohr geschickt wurden, fiel das Potential von 610 Volt auf 600 bei 0,2 M.-A., auf 530 Volt bei 0,41 M.-A., 300 Volt bei 1,2 und 180 Volt bei 1,5 M.-A.

Ähnliche Erscheinungen treten auch in Rohr II und III (Figg. 4 und 5) auf. Sind  $b_3$  oder  $c_3$  Kathode, so bleibt die Entladungsform in  $B$  dieselbe, gleichgültig, ob in  $A$  ein Strom hindurchgeht oder nicht. Ist  $b_1$  oder  $c_1$  Anode, so fließt, wenn kein Strom in  $B$  vorhanden ist, der ganze Strom durch  $b_2$  bez.  $c_2$  zur Erde ab; sobald aber Kanalstrahlen oder Kathodenstrahlen durch das Drahtnetz nach  $A$  geworfen werden, wird der dunkle Raum von  $b_2$  bez.  $c_2$  zunächst verwaschener, und schließlich, wenn die Intensität der Kathoden- bez. Kanalstrahlen sehr groß ist, wählt die Entladung den längeren Weg und fließt nicht von  $b_1$  bez.  $c_1$  durch  $b_2$  bez.  $c_2$  zur Erde, sondern durch das Drahtnetz  $A$ .

Von den vielen Messungen, die ich angestellt habe, teile ich zwei ausführlich mit. Bei Rohr II und III wurde durch  $B$  stets der Batteriestrom, durch  $A$  der Influenzmaschinenstrom geschickt. In der nachfolgenden Tabelle bedeutet  $i$  der Strom der Influenzmaschine,  $I$  der der Batterie,  $G$  das Gesamtpotential in  $A$ ,  $G_1$  das in  $B$ ; dieselben wurden mit Braunschen Elektrometern gemessen, die eine Schätzung auf 10 Volt erlaubten. Ich

teile die Zahlen unter  $I$ ,  $G_1$  nur mit, damit man eine ungefähre Vorstellung von der Stärke der Kathoden- bez. Kanalstrahlen hat. Für das folgende kommen hauptsächlich die Zahlen unter  $G$  in Betracht.

Mit den zur Erde verbundenen Elektroden waren stets Galvanometer verbunden, um die Stromstärken zu messen. Ich teile diese Zahlen nicht mit, weil sich aus ihnen nichts entnehmen läßt. Fällt durch  $K$  ein intensives Kathoden- oder Kanalstrahlenbündel, so geht die ganze Entladung von  $b_1$  nach  $K$  und nicht nach  $b_2$ , selbst wenn die Entfernung zwischen  $b_1$   $b_2$  bedeutend kleiner ist, als zwischen  $b_1$   $K$ . Ist dies der Fall, so fließt auch nichts durch  $b_2$  zur Erde. Wie viel also durch  $b_2$  abfließt, hängt von der betreffenden Röhre, von der Entfernung  $b_1$   $K$  von den Stromstärken etc. ab, so daß die Mitteilung dieser Zahlen keinen Wert hat, da sie je nach den Versuchsbedingungen, Dimensionen des Rohres etc. ganz verschieden ausfielen.

Tabelle IV.

Röhre II.  $b_2$  Kathode.  $b_3$  Kathode, es werden also Kathodenstrahlen in den dunklen Raum geworfen. Stickstoff.

$I$	$G_1$	$i$	$G$
—	—	0,253 M.-A.	450 Volt
0,06 M.-V.	370 Volt	0,253	420
0,11	420	0,252	370
0,2	480	0,251	290
0,32	540	0,250	200
0,41	580	0,254	160
0,60	590	0,254	110
0,80	600	0,253	70
1,00	610	0,250	60
1,33	620	0,253	55

$b_2$  Kathode.  $b_3$  Anode. Kanalstrahlen.

—	—	0,257 M.-A.	460 Volt
0,04 M.-A.	440 Volt	0,256	450
0,18	580	0,257	420
0,38	800	0,258	400
0,60	900	0,259	360
0,85	1000	0,259	340
1,20	1300	0,257	300
2,00	1800	0,261	190



Tabelle IV (Fortsetzung).

 $b_1$  Anode. Kathodenstrahlen.

$I$	$G_1$	$i$	$G$
—	—	0,254 M.-A.	540 Volt
0,14 M.-A.	750 Volt	0,253	520
0,25	850	0,253	500
0,32	900	0,253	480
0,60	1000	0,256	470
1,40	1200	0,254	460

 $b_2$  Anode. Kanalstrahlen.

—	—	0,256 M.-A.	540 Volt
0,11 M.-A.	300 Volt	0,258	520
0,28	400	0,259	500
0,40	520	0,260	490
1,40	1300	0,259	470

Röhre II. Stickstoff.  $b_2$  Kathode. Kathodenstrahlen.

—	—	0,265 M.-A.	900 Volt
0,15 M.-A.	1500 Volt	0,264	500
0,2	2000	0,264	310
0,34	2200	0,264	200
1,00	2300	0,264	70

 $b_1$  Kathode. Kanalstrahlen.

—	—	0,259 M.-A.	720 Volt
0,2 M.-A.	1250 Volt	0,257	490
0,4	1800	0,256	400
0,65	2100	0,256	290
1,00	2400	0,250	210

Als  $b_2$  zur Anode gemacht wurde, und Kathoden- bez. Kanalstrahlen darauf fielen, nahm das Potential im Höchstfall um 70 Volt ab.

Tabelle V.

Wasserstoff. Rohr III.  $c_2$  Kathode. Kathodenstrahlen.

$I$	$G_1$	$i$	$G$
—	—	0,243 M.-A.	480 Volt
0,14 M.-A.	620 Volt	0,244	160
0,35	830	0,244	100
0,70	980	0,243	70
0,80	1000	0,244	60
1,00	1150	0,245	50

Tabelle V (Fortsetzung).

 $c_2$  Kathode. Kanalstrahlen.

$I$	$G_1$	$i$	$G$
—	—	0,244 M.-A.	530 Volt
0,1 M.-A.	900 Volt	0,240	470
0,2	1100	0,241	360
0,6	1650	0,241	300
0,9	2000	0,240	220

 $c_2$  Anode. Kathodenstrahlen.

—	—	0,249 M.-A.	490 Volt
0,32 M.-A.	800 Volt	0,243	450
0,60	900	0,245	440
0,95	1100	0,246	430
1,30	1200	0,245	420

 $c_2$  Anode. Kanalstrahlen.

—	—	0,246 M.-A.	480 Volt
0,12 M.-A.	400 Volt	0,240	470
0,42	460	0,245	460
0,85	890	0,245	450
1,20	1250	0,245	420

Aus den Beobachtungen und Tabellen ergibt sich:

1. Kathoden- und Kanalstrahlen vernichten den dunklen Raum und setzen gleichzeitig das Kathodenpotential herab.

2. Ihre Einwirkung auf die Anode ist sehr gering.

3. Die Abnahme des Kathodenpotentials ist um so größer, je intensiver die Kathoden- bez. Kanalstrahlen sind.

4. Ist die Kathode zur Erde abgeleitet und fallen die Kathoden- bez. Kanalstrahlen durch ein zur Erde abgeleitetes Drahtnetz in den dunklen Raum, so geht die Entladung längs der Bahn der Kathoden- bez. Kanalstrahlen durch das Drahtnetz zur Erde, selbst wenn diese Bahn die längere ist (vgl. p. 634).

§ 5. Einfluß des Elektrodenmaterials auf den dunklen Raum. Während dieser Teil der Untersuchung in Gang war, erschien die ausführliche Arbeit von K. Mey<sup>1)</sup>: über das Kathodengefälle der Alkalimetalle. Ich habe hieraufhin meine Versuche abgebrochen. Aus der Abhandlung von Mey geht hervor,

1) K. Mey, Ann. d. Phys. 11. p. 144. 1903.

daß „im allgemeinen die Reihenfolge der Metalle nach abnehmendem Kathodengefälle in jedem Gase dieselbe ist. Platin hat stets das höchste, Aluminium ein niedrigeres, Magnesium ein noch geringeres Gefälle, dann folgt Natrium und mit dem kleinsten Gefälle Kalium. Dieselbe Reihe tritt auch auf, wenn man die Metalle nach ihrem spezifischen Gewicht ordnet oder nach der Verwandtschaft zum Sauerstoff oder nach der Voltaschen Spannungsreihe“. Die Reihenfolge ist dieselbe wie die der lichtelektrischen Empfindlichkeit<sup>1)</sup> und erklärt sich nach dem Vorhergehenden folgendermaßen: Das Licht in der Entladungsröhre fällt auf die Kathode und zerstreut dort negative Elektrizität. Die Kathode ist aus diesem Grunde als eine sehr schwach lösliche zu bezeichnen. Die von der Kathode austretenden negativen Elektronen ionisieren das Gas in der Nähe der Kathode<sup>2)</sup>; die Verarmung wird hierdurch geringer und das Kathodenpotential sinkt und zwar um so mehr, je mehr Elektronen aus der Kathode austreten, d. h. je lichtelektrisch empfindlicher das Metall der Kathode ist.

§ 6. *Vergleich der Wirksamkeit der Kanalstrahlen mit der der Kathodenstrahlen.* Im Vorhergehenden ist die Wirkung der Kanal- und Kathodenstrahlen nur auf die ionisierende Kraft dieser beiden zurückgeführt. Es fragt sich, ob nicht noch eine spezifische Wirkung vorhanden ist, ob Kathodenstrahlen intensiver wirken als Kanalstrahlen bei gleicher Ionisation oder umgekehrt.

Enthielten die Kanalstrahlen nur positive Ionen und die Kathodenstrahlen nur negative, so wäre die Frage leicht zu beantworten; es würden dann nur Kanalstrahlen wirksam sein, genau so wie bei der Elektrolyse von  $\text{CuSO}_4$  zwischen Cu-Elektroden nur Cu-Ionen die Verarmung an der Kathode aufheben. Bedeutend verwickelter liegen die Verhältnisse bei Entladungen, da beide Strahlenarten das Gas ionisieren und man daher stets ein Gemenge von positiven und negativen Ionen mit einem Überschuß der einen Ionenart hat.

Um die Verhältnisse zu überblicken, knüpfen wir an einen Versuch an. *A* und *B* seien zwei Rohre mit Endelektroden,

1) H. Kreuzler, Ann. d. Phys. 6. p. 409. 1901.

2) A. Wehnelt, Ann. d. Phys. 10. p. 576. 1903.

zwischen denen sich ein zur Erde abgeleitetes Drahtnetz befindet. Fließt der Strom in  $B$ , so müssen die positiven Ionen von der Anode  $a$  zur Kathode, dem zur Erde abgeleiteten Drahtnetz, und die negativen in umgekehrter Richtung wandern. Laden wir jetzt  $b$  negativ, werfen wir also Kathodenstrahlen in die Röhre  $B$

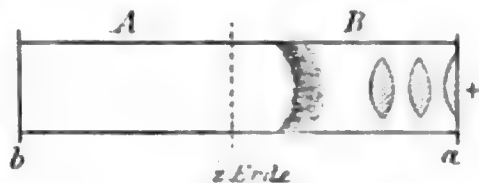


Fig. 6.

— und zwar wollen wir annehmen, daß dieselben bis zur Mitte der Röhre gelangen —, so brauchen die positiven Ionen nur von  $a$  bis zur Mitte der Rohre zu wandern, hier vereinigen sie sich mit den negativen, falls die letzteren in genügender Menge vorhanden sind. Paßt man die Entladung gerade ab, so wird die Elektrizität direkt von  $a$  nach  $b$  fließen, ohne daß etwas durch das Drahtnetz zur Erde abströmt. Werfen wir dagegen Kanalstrahlen, also einen Überschuß von positiven Ionen herein (jetzt ist  $b$  positiv), so vernichten diese zwar auch den dunklen Raum, aber es müssen jetzt sowohl diese positiven Ionen der Kanalstrahlen zum Rückfließen gebracht werden, damit sie an das Drahtnetz ihre Elektrizität abgeben, als auch müssen die positiven Ionen von der Anode  $a$  den Weg bis zur Kathode zurücklegen. Im zweiten Falle sind also, wenn wir nur die Verhältnisse in der Röhre  $B$  berücksichtigen, die Wege, welche die Ionen zurücklegen müssen, größer und es bedarf hierzu bei gleicher Stromstärke einer größeren elektromotorischen Kraft als im vorhergehenden Fall, d. h. Kathodenstrahlen setzen das Entladungspotential mehr herab als Kanalstrahlen.

Da bei den vorhergehenden Versuchen die Kathoden- bez. Kanalstrahlen direkt auf die Kathode fielen und es nicht ausgeschlossen schien, daß hierdurch die Einwirkung auf den dunklen Raum nicht rein zur Geltung käme, so wurde der Versuch folgendermaßen angeordnet.  $A$  ist ein Rohr von 10 cm Durchmesser. Die Elektrode ist aus Zink, die Elektrode  $b$  aus Messingdrahtnetz.  $B$  ist ein weites Rohr von der in der Fig. 7 dargestellten Form.  $C$  ist ein zur Erde

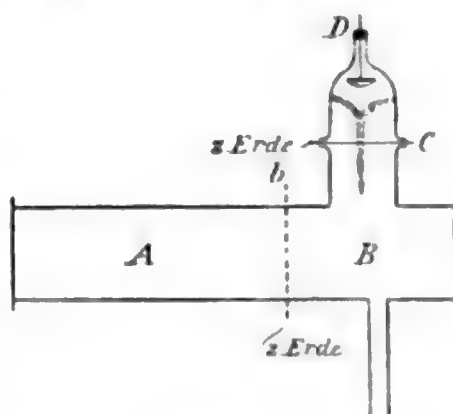


Fig. 7.

der in der Fig. 7 dargestellten Form.  $C$  ist ein zur Erde

abgeleitetes Kupferblech, das in der Mitte ein Loch von ungefähr  $1\frac{1}{2}$  mm Durchmesser enthält. *D* eine Elektrode aus Aluminium. Es werden jetzt die Kanal- bez. Kathodenstrahlen durch das Drahtnetz in *B* geworfen, derart, daß sie an der *hinteren* Seite der in Betracht kommenden Kathode *C* in einiger Entfernung vorbeigehen. Macht man nun *D* zur Kathode, so gehen von demselben bei passendem Druck Kathodenstrahlen aus, die das Loch in *C* durchsetzen. Werden jetzt in *B* Kathoden- oder Kanalstrahlen erregt, so ist nichts besonderes wahrzunehmen. Macht man dagegen *C* zur Kathode, während in *A* kein Strom fließt, so breitet sich um *C* ein dunkler Raum aus, der je nach dem Druck große Dimensionen annehmen kann. Durch das Loch in *C* gehen Kanalstrahlen, wie die Figur andeutet. Wirft man nun in *B* Kathodenstrahlen hinein, so schlägt bei passendem Druck die Entladung um und geht an dem dunklen Raum vorbei; fast die ganze Elektrizität entlädt sich in Form von positivem Licht durch das Loch und entweicht durch *b* zur Erde, oder die positiven Ionen der oberen Röhre vereinigen sich mit den negativen der Kathodenstrahlen. Gleichzeitig sinkt das Potential sehr stark. Wirft man dagegen Kanalstrahlen nach *B*, so sinkt der dunkle Raum bei *C* etwas zusammen und es sinkt eventuell das Potential um einige 100 Volt, da jetzt ein Teil und zwar nur ein kleiner Teil des Stromes durch *b* zur Erde abfließt. Bei meinen Versuchen habe ich das Potential in *C* nie so weit steigern können, daß bei Anwesenheit von Kanalstrahlen in *B* fast die ganze Entladung durch *b* zur Erde floß. Dieser Versuch beweist also, daß *Kathodenstrahlen das Entladungspotential stärker herabsetzen als Kanalstrahlen*. Die Erklärung ist schon vorhin gegeben. Um die Kathode *C* ist eine starke Verarmung an positiven und negativen Ionen eingetreten, doch sind positive immer noch in Überschuß vorhanden. Machen wir das Gas in *B* negativ, so ziehen die negativen Ionen die positiven Ionen in *C* an, so daß die Entladung den Weg durch *b* wählt. Laden wir das Gas in *B* dagegen positiv, so stoßen die positiven Ionen in *B* die positiven in *C* ab und es wird daher die Entladung erst bei viel höheren Potentialen in *C* durch *b* zur Erde entweichen.

Aus der folgenden Tabelle, welche ich meinen Beob-



achtungen entnehme, wird man leicht den starken Potentialabfall beim Vorhandensein von Kathodenstrahlen erkennen.  $P$  bedeutet das Potential von  $D$  gegen Erde,  $i$  die Stromstärke in  $DC$ ,  $I$  die Stromstärke in  $A$  in Milliampère,  $II$  das Potential in  $A$ . Ich teile die letzteren beiden Zahlen mit, damit man einen ungefähren Anhalt über die Stärke der Kathoden- und Kanalstrahlen hat. Für das folgende kommen nur  $i$  und hauptsächlich  $P$  in Betracht.

Tabelle VI.

 $D$  Kathode. Luft.

$II$	$I$	$P$	$i$	
—	—	1650 Volt	0,29 M.-A.	—
900 Volt	0,4	1650	0,30	Kathodenstrahlen
1180	1,0	1650	0,30	„
1300	1,5	1650	0,29	„
1700	3,2	1650	0,29	„
970	0,32	1650	0,29	Kanalstrahlen
1400	1,4	1650	0,29	„
1570	2,2	1650	0,30	„
1750	3,4	1650	0,31	„

Ist  $D$  also Kathode, so haben Kathoden- oder Kanalstrahlen, die hinter der durchlöcherten Anode vorbei geschickt werden, keinen Einfluß.

Tabelle VII.

 $C$  Kathode. Luft.  $i = 0,29$  M.-A.

$II$	$I$	$P$	
—	—	3200 Volt	{ Ohne Kathoden- und Kanalstrahlen
1600 Volt	0,3	2500	Kanalstrahlen
900	0,3	250	Kathodenstrahlen
1680	0,4	2500	Kanalstrahlen
950	0,4	260	Kathodenstrahlen
1800	1,0	2300	Kanalstrahlen
1180	1,0	280	Kathodenstrahlen
1950	1,5	2200	Kanalstrahlen
1300	1,5	270	Kathodenstrahlen
2200	3,2	2100	Kanalstrahlen
1700	3,2	260	Kathodenstrahlen

Tabelle VIII.

Ein anderes, sehr ähnliches Rohr. C Kathode.

<i>H</i>	<i>I</i>	<i>P</i>	
—	—	2800 Volt	{ Ohne Kathoden- und Kanalstrahlen
900 Volt	0,35	320	Kathodenstrahlen
1300	0,35	2450	Kanalstrahlen
1200	1,0	320	Kathodenstrahlen
2000	1,0	2400	Kanalstrahlen
1400	1,5	330	Kathodenstrahlen
2200	1,5	2400	Kanalstrahlen
1600	13,5	330	Kathodenstrahlen

Aus den Tabellen ergibt sich unzweifelhaft, daß *Kathodenstrahlen* das *Entladungspotential* stärker herabsetzen als *Kanalstrahlen*.

Gegen die Deutung dieser Versuche läßt sich der Einwand erheben, daß die Kathodenstrahlen stärker ionisieren als die Kanalstrahlen und daß hierauf die Wirkung zurückgeführt werden müsse. Daß dies nicht der Fall ist, geht aus folgenden Versuchen hervor.

§ 7. *Messung der Leitfähigkeit in mit Kathoden- bez. Kanalstrahlen durchsetzten Räumen.* Zur Messung der Leitfähigkeit wurde die Methode der Querströme genommen. In dem Rohr, in welchem die Leitfähigkeit untersucht werden sollte, standen einander gegenüber zwei bis auf die Spitzen in Glas gehüllte Sonden oder plattenförmige Elektroden, die bei Anlegung einer äußeren elektromotorischen Kraft im Galvanometer einen Strom gaben. Da die Methode sich nur anwenden läßt, wenn von vornherein in dem betreffenden Rohr keine Potentialdifferenz vorhanden ist, da sonst ein Teil des Hauptstromes bei Anlegung einer elektromotorischen Kraft durch die Querelektroden hindurchgeht<sup>1)</sup> und wegen der hierbei auftretenden verwickelten Verhältnisse eine Berechnung der Leitfähigkeit kaum möglich ist<sup>2)</sup>, so habe ich zunächst untersucht, ob in dem Raum hinter dem Drahtnetz, der für die Entscheidung der eben erwähnten Frage allein in Betracht kommt, überall dasselbe Potential herrscht.

1) G. Wiedemann, *Lehre von der Elektrizität* 4. p. 504 ff. Braunschweig 1885; C. A. Mebius, *Wied. Ann.* 59. p. 695. 1896.

2) C. A. Mebius, l. c.

Eine Röhre *A* von 80 cm Länge und 40 cm Breite und eine zweite Röhre *B* von 140 cm Länge und 40 cm Weite wurden aneinander derart gekittet, daß sich zwischen ihnen ein Drahtnetz befand. In dem Rohr *B* befanden sich sechs Sonden aus Platin, die bis auf die Spitze in Glas gehüllt waren. Sie führten zu dem Elektrometer. Die Elektrode *a* bestand aus Zink. Der Druck wurde mit einem McLeod abgelesen. In der folgenden Tabelle bedeutet Nr. die Nummer der Sonde, *P* das Potential der Sonde, *II* das Potential bei *a*, welches eine ungefähre Vorstellung von der Wucht, mit der die Kanal- bez. Kathodenstrahlen in den Raum *B* geworfen wurden, gibt, und schließlich *p* der Druck und *i* die Stromstärke in *A*.

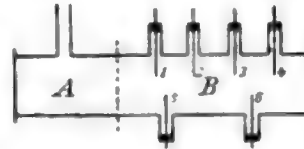


Fig. 8.

Tabelle IX.

Stickstoff. Kanalstrahlen.  $i = 0,3 \text{ M.-A.}$ 

$p = 0,035 \text{ mm}$ $II = 1160 \text{ Volt}$		$p = 0,27 \text{ mm}$ $II = 550 \text{ Volt}$		$p = 0,35 \text{ mm}$ $II = 460 \text{ Volt}$	
Nr.	<i>P</i>	Nr.	<i>P</i>	Nr.	<i>P</i>
1	+ 19,1 Volt	1	+ 17,8 Volt	1	+ 7,4 Volt
2	19,2	2	17,8	2	7,4
3	19,1	3	17,7	3	7,4
4	19,2	4	17,8	4	7,3
5	19,0	5	17,7	5	7,4
6	19,0	6	17,7	6	7,3

Stickstoff. Kathodenstrahlen.  $i = 0,3 \text{ M.-A.}$ 

$p = 0,035 \text{ mm}$ $II = 1050 \text{ Volt}$		$p = 0,27 \text{ mm}$ $II = 530 \text{ Volt}$		$p = 0,35 \text{ mm}$ $II = 420 \text{ Volt}$	
Nr.	<i>p</i>	Nr.	<i>p</i>	Nr.	<i>p</i>
1	− 3,5 Volt	1	− 20,0 Volt	1	− 20,0 Volt
2	3,4	2	19,9	2	20,0
3	3,5	3	19,9	3	22,2
4	3,5	4	20,0	4	22,8
5	3,5	5	19,9	5	21,8
6	3,5	6	19,9	6	21,7

Aus der Tabelle, die ich noch vermehren könnte, ergibt sich, daß innerhalb der Beobachtungsfehler überall im Raum hinter dem Drahtnetz ungefähr dasselbe Potential vorhanden ist. Fallen Kanalstrahlen hinein, so ist der Raum positiv, fallen Kathodenstrahlen hinein, so ist er negativ geladen. Nur bei größeren Drucken, die aber im späteren gar nicht in Betracht kommen, sind nicht genau dieselben Potentiale überall vorhanden. Selbstverständlich gilt der obige Satz nur so lange, als der Raum, in den die Kathoden- bez. Kanalstrahlen fallen, nicht allzugroß ist.

Daß im allgemeinen auch bei Veränderung der Stromstärke in *A* das Potential in Rohr *B* überall gleich ist, geht aus der folgenden Tabelle hervor.

Tabelle X.

Wasserstoff.  $p = 0,59$  mm.

Kathodenstrahlen				Kanalstrahlen			
Nr.	<i>i</i>	<i>P</i>	<i>H</i>	Nr.	<i>i</i>	<i>P</i>	<i>H</i>
1	0,5 M.-A.	-5,6 Volt	860 Volt	1	0,41 M.-A.	9,1 Volt	459 Volt
4	0,5	5,4	860	4	0,41	9,2	459
1	0,69	5,4	880	1	0,62	9,4	480
4	0,69	5,5	880	4	0,62	9,5	480
1	1,0	5,3	400	1	1,1	9,8	540
4	1,0	5,6	400	4	1,1	9,6	540
1	2,3	5,9	500	1	2,3	9,7	640
4	2,3	5,9	500	4	2,3	9,7	640

 $p = 0,83$  mm.

Kathodenstrahlen				Kanalstrahlen			
Nr.	<i>i</i>	<i>p</i>	<i>H</i>	Nr.	<i>i</i>	<i>P</i>	<i>H</i>
1	0,49 M.-A.	-0,7 Volt	500 Volt	1	0,4 M.-A.	10,5 Volt	690 Volt
4	0,49	0,7	500	4	0,4	10,3	690
1	0,8	0,7	550	1	0,59	10,6	770
4	0,8	0,7	550	4	0,59	10,6	770
1	1,0	0,75	640	1	1,0	10,7	880
4	1,0	0,75	640	4	1,0	10,8	880
1	2,5	2,8	1100	1	2,4	11,1	1050
4	2,5	2,5	1100	4	2,4	11,1	1050

Es wurde nun ein neues Rohr angefertigt, welches an mehreren Stellen einander genau gegenüberstehende Sonden enthielt. Die letzteren wurden durch ein Galvanometer mit einer Batterie verbunden. Da sich bei höheren elektromotorischen Kräften leicht ein Flammenbogen ausbildete, so befand sich vor dem Galvanometer ein größerer Jodcadmiumwiderstand, der bewirkte, daß die Elektrizität höchstens in Form einer Entladung, d. h. mit Glimmlicht dunklem Raum und positiven Licht überging. In den nachfolgenden Tabellen bedeuten  $p$  der Druck,  $\Pi$  das Potential in  $A$ ,  $I$  die Stromstärke in  $A$ ,  $P$  die elektromotorische Kraft zwischen den Sonden, die, solange kein Glimmlicht, positives Licht etc. zwischen den Sonden sich ausgebildet hatte, identisch war mit der äußeren angelegten elektromotorischen Kraft und  $i$  die Stromstärke zwischen den Sonden. Die Galvanometeraus schläge sind in willkürlichen Einheiten angegeben (1 Teilstrich gleich  $3,8 \cdot 10^{-6}$  M.-A.).

Tabelle XI.

Wasserstoff.

Kathodenstrahlen. $p = 0,19$ mm, $I = 0,2$ M.-A., $\Pi = 790$ Volt.		Kathodenstrahlen. $p = 0,085$ mm, $I = 0,2$ M.-A., $\Pi = 840$ Volt.	
$p$	$i$	$p$	$i$
10 Volt	37	10 Volt	250
20	63	20	440
30	82	30	610
40	83	40	720
50	93	50	840
60	104	60	980
70	118	70	1100
80	140	80	1260
90	163	90	1400
100	175	100	1480
110	179	110	1560
120	194	120	1650
130	221	130	1760
140	226	140	1880
150	245	150	1960
160	260	160	2060



Tabelle XI (Fortsetzung).

Kanalstrahlen.		Kanalstrahlen.	
$p = 0,63 \text{ mm}, I = 0,2 \text{ M.-A.},$ $H = 400 \text{ Volt.}$		$p = 0,13 \text{ mm}, I = 0,2 \text{ M.-A.},$ $H = 1480 \text{ Volt.}$	
$p$	$i$	$p$	$i$
10 Volt	80	10 Volt	510
20	160	20	880
30	200	30	1150
40	220	40	1300
50	240	50	1400
60	270	60	1600
70	310	70	1900
80	360	80	2300
90	410	90	2500
100	450	100	2700
110	510	110	2900
120	560	120	3100
130	610	130	3300
140	660	140	3500
150	710	150	3700
160	760	160	3900

Tabelle XII.

Sauerstoff.

Kanalstrahlen.		Kathodenstrahlen.	
$p = 0,045 \text{ mm}, I = 0,2 \text{ M.-A.},$ $H = 1910 \text{ Volt.}$		$p = 0,01 \text{ mm}, I = 0,2 \text{ M.-A.},$ $H = 2100 \text{ Volt.}$	
$p$	$i$	$H$	$i$
10 Volt	220	10 Volt	120
20	410	20	250
40	620	40	450
60	820	60	620
80	1100	80	770
100	1300	100	900
120	1450	120	1000
140	1600	140	1140
160	1700	160	1300

Bei 160 Volt war stets im Querstrom Glimmlicht etc. zu sehen; bei großen Stromstärken im Hauptstrom sogar schon bei 120 Volt. Die beistehende Fig. 9 gibt die erste Beobachtungsreihe wieder, die anderen sind analog. Wächst die Elektrodenspannung ausgehend von kleinen Werten, so wächst mit ihr die Stromstärke erst schnell, dann langsamer und nimmt darauf einen nahezu konstanten Wert an. Steigt die Elektrodenspannung noch weiter, so nimmt auch die Stromstärke zu. Die Kurve hat also zwei Wendepunkte. Die Beobachtungen stimmen mit denen früherer Beobachter überein und finden ihre Erklärung dadurch, daß, bevor die Sättigung eingetreten ist, die sich bewegenden Ionen weiter ionisieren.<sup>1)</sup> Mit steigender Stromstärke im Hauptstrom nimmt die Leitfähigkeit im Querstrom stark zu, ebenso bei weiterer Verdünnung. Aus den Beobachtungen ergibt sich, daß eine Leitfähigkeit sich nur messen läßt, wenn man keine höheren Spannungen als 40 Volt anwendet. Das ist im folgenden auch geschehen.

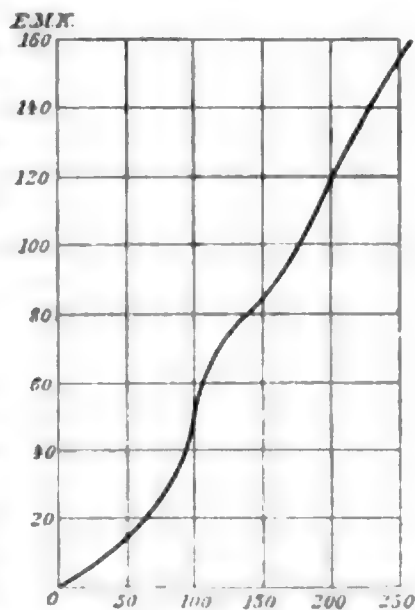


Fig. 9.

§ 8. *Weitere Messungen über die Wirkung der Kanal- und Kathodenstrahlen.* Es wurde ein der Fig. 7 ähnliches Rohr verwandt, nur waren unmittelbar unter dem durchbohrten Kupferblech *C* zwei Sonden *S* angebracht, die dazu dienen sollten, die Leitfähigkeit zu messen. War *D* Kathode, so war, wie bei Tab. VI, kein Einfluß der Kathoden- oder Kanalstrahlen zu beobachten. Es wurde jetzt, nachdem die Kathoden- bez. Kanalstrahlen in *B* hineingeschickt waren, die Leitfähigkeit bei 40 Volt zwischen *SS* gemessen, darauf wurde die Influenz-

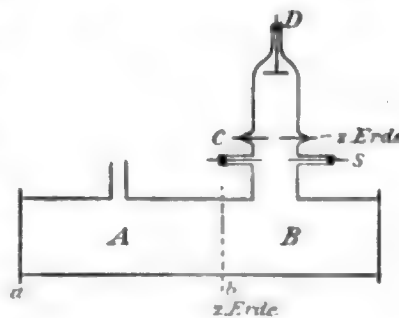


Fig. 10.

1) Vgl. J. Stark, Elektrizität in Gasen p. 184. Leipzig 1902.

maschine zwischen  $CD$  eingeschaltet, derart, daß  $C$  Kathode war. Solange kein großer dunkler Raum sich ausgebildet hatte, war kaum ein Einfluß der Kathoden- oder Kanalstrahlen zu beobachten. Mit den Messungen begann ich bei 0,015 mm. nachher, beim weiteren Auspumpen, ließ sich der Druck nicht mehr messen. In der nachfolgenden Tabelle bedeuten  $I$  die Stromstärke im Hauptkreis,  $P$  das Potential zwischen  $D$  und Erde,  $L$  die Leitfähigkeit zwischen  $SS$ .

Tabelle XIII.

Luft.					
Kathodenstrahlen.			Kanalstrahlen.		
$I$	$P$	$L$	$I$	$P$	$L$
—	1150 Volt	—	—	1150 Volt	—
0,1 M.-A.	220	80	0,1 M.-A.	950	40
0,3	220	120	0,15	750	60
0,6	220	270	0,3	650	140
1,0	220	460	0,5	600	300
			1	520	500
Wasserstoff.					
Kathodenstrahlen.			Kanalstrahlen.		
—	1900 Volt	—	—	1900 Volt	—
0,1 M.-A.	720	50	0,1 M.-A.	1150	55
0,2	220	130	0,2	900	150
0,3	220	200	0,3	760	230
1,0	220	700	0,5	600	370
			1	400	780

Mit Stickstoff und Sauerstoff wurden ähnliche Resultate erhalten.

Aus der Tabelle ergibt sich, daß *Kathodenstrahlen, selbst wenn sie in viel geringerem Maße ionisieren als Kanalstrahlen, trotzdem wirksamer sind als letztere*. Die negativen Ionen der Kathodenstrahlen in  $B$  ziehen die positiven aus dem dunklen Raume in  $C$  heraus, so daß die Entladung eine ganz andere Bahn einschlägt, während die positiven Ionen der Kanalstrahlen diese anziehende Wirkung nicht ausüben können.

§ 9. *Einwirkung der Kathodenstrahlen auf den von ihnen durchdrungenen dunklen Raum*. Aus der Tatsache, daß Kathodenstrahlen ionisieren und dadurch die Verarmung an Ionen an

der Kathode beseitigen, folgt, daß der dunkle Raum und das Kathodenpotential ohne Kathodenstrahlen größer sein würden, als sie tatsächlich sind. Hieraus ergibt sich, daß, wenn man die von einer Kathode ausgehenden Kathodenstrahlen auf die Kathode zurückwirft, der dunkle Raum kleiner werden und der Kathodenfall sinken muß. Daß tatsächlich der dunkle Raum durch Zurückwerfen der Kathodenstrahlen in denselben kleiner wird, ist von den Herren E. Wiedemann u. H. Ebert<sup>1)</sup> beobachtet worden. Ich habe diese Beobachtungen durch Potentialmessungen ergänzt. Zur Verwendung kam das von E. Wiedemann und H. Ebert benutzte Rohr. Ein 5,6 cm weites, 22 cm langes Glasrohr trägt an einem Ende einen

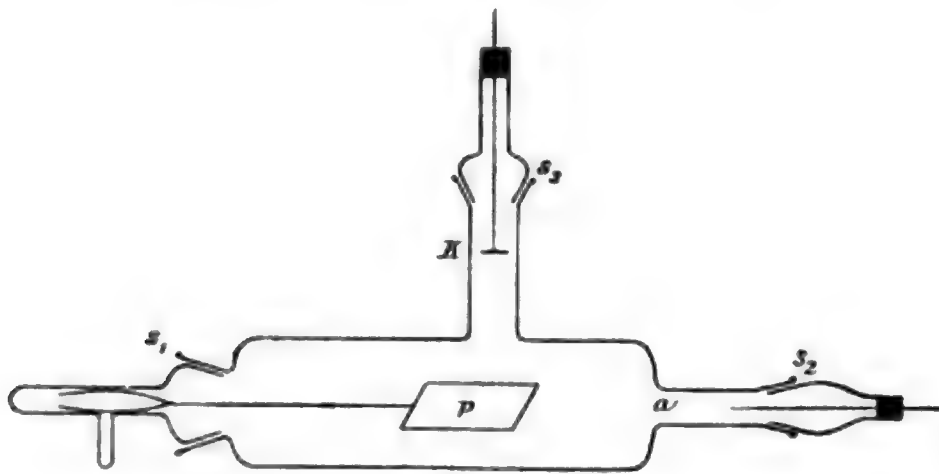


Fig. 11.

weiten Schliff  $s_3$  mit einer Aluminiumplatte  $a$ , welche zur Kathode gemacht wird. Am anderen Ende befindet sich ein weiterer Schliff  $s_1$ , durch den ein Glasstab eingeführt wird, der oben eine flachgedrückte Glashülse trägt. In diese kann von oben her durch den weiten Schliff mittels einer Zange der Stiel einer Platte  $p$  gesetzt werden, welche also um die Rohrachse drehbar ist. In der Höhe der Plattenmitten ist seitlich ein über 2 cm weites Rohr angesetzt, in welches eine als Kathode benutzte Aluminiumplatte durch den Schliff  $s_2$  eingeführt wird. Wird so weit ausgepumpt, daß sich das positive Licht nach oben zurückzieht und um die

1) E. Wiedemann u. H. Ebert, Sitzungsber. d. phys.-med. Soc. Erlangen 1891.

Kathode ein dunkler Raum ausbildet, so kann man durch Drehen von  $p$  leicht bewirken, daß die Kathodenstrahlen mehr oder minder in den dunklen Raum reflektiert werden. Der letztere wird dann kleiner und gleichzeitig dringt das positive Licht vor. In der ersten Reihe der nachfolgenden Tabelle stehen die Entladungspotentiale, während die Kathodenstrahlen seitwärts an  $m$  vorbeigingen, und in der zweiten die Entladungspotentiale, wenn sie in den dunklen Raum geworfen wurden.

Tabelle XIV.

Ohne Reflexion	Mit Reflexion
5300 Volt	3700 Volt
3700	3400
3300	3000
4000	3500
4500	3600
5500	3700

Als Kathode wurde jetzt ein Aluminiumdraht, der bis auf die Spitze in Glas gehüllt war, benutzt.

Tabelle XV.

Ohne Reflexion	Mit Reflexion
2500 Volt	1950 Volt
2000	1700
1700	1600
1500	1400
1380	1300
1300	1240

Auch durch den Magneten kann man die Kathodenstrahlen in ihren dunklen Raum zurückwerfen. Benutzt wurde hierzu ein Rohr von 10 cm Länge und 5 cm Durchmesser. Anode und Kathode bestanden aus Aluminiumdraht. Der Strom in dem unter der Kathode befindlichen Elektromagneten war so stark, daß das Kathodenstrahlenbündel völlig aufgewickelt wurde. Bei Beginn des Versuches war das Rohr mit Kathodenstrahlen erfüllt; als der Magnet angelegt wurde, drang das positive Licht vor.



Tabelle XVI.

Ohne Magnet	Mit Magnet
5000 Volt	2200 Volt
3500	1750
3000	1550
2500	1380
2100	1260
1800	1150
1600	1110
1500	1070

Mit einem halb so starken Magneten wurden folgende Resultate erhalten.

Tabelle XVII.

Ohne Magnet	Mit Magnet
4000 Volt	3500 Volt
3500	3300
3000	2800
2500	2350
2000	1900
1750	1650
1500	1450

Aus den Tabellen ergibt sich:

1. *Kathodenstrahlen und zwar sowohl direkte als auch reflektierte und durch den Magneten in den dunklen Raum geworfene ionisieren das Gas im dunklen Raum und bewirken dadurch, daß derselbe und zugleich das Kathodenpotential kleiner wird.*

2. *Die Wirkung ist um so größer, je größer der dunkle Raum ist, d. h. je weiter die Verarmung an Ionen um die Kathode fortgeschritten ist.*

Die Erklärung hierfür ist oben gegeben worden.

§ 10. *Schluß.* Aus der hier entwickelten Theorie über die Natur des dunklen Raumes lassen sich noch einige Folgerungen ziehen.

Da der dunkle Raum verhältnismäßig wenig Ionen enthält, so muß er sich in jeder Hinsicht wie ein Dielektrikum verhalten. Hieraus erklären sich die Beobachtungen von E. Wiedemann und mir<sup>1)</sup>, daß derselbe nicht gegen elektrische Wellen schirmt, während die übrigen Teile einer Ent-

1) E. Wiedemann u. G. C. Schmidt, Wied. Ann. 62. p. 460. 1897.

ladung dies tun, sowie die Beobachtungen von A. Wehnelt<sup>1)</sup>, daß die Entladung durch den dunklen Raum oszillatorisch ist.

Da die negativen Ionen eine größere Geschwindigkeit besitzen als die positiven, so folgt hieraus, wie schon p. 626 angedeutet, daß nur an der Kathode, wohin die positiven Ionen gelangen, eine Verarmung eintreten kann, während an der Anode stets Ionen in reichlicherer Menge vorhanden sein müssen. Hieraus erklärt sich, weswegen nur an der Kathode der dunkle Raum auftritt.

Über die Größe des dunklen Raumes und die Beziehung desselben zur Stromdichte, Gasdruck etc. werden sich erst genaue Gesetze nach Ermittlung der Wanderungsgeschwindigkeit, Anzahl der Ionen, sowie der Ionisation durch Kathodenstrahlen etc. aufstellen lassen.

Es war meine Absicht, diese Arbeit durch Bestimmung der Wanderungsgeschwindigkeiten aus der Leitfähigkeit zu vervollständigen. Die Methode bestand im wesentlichen darin, das Gas im Entladungsrohr zu ionisieren und darauf in dem isoliert aufgehängten Rohr nach Unterbrechung des Hauptstromes die Leitfähigkeit in den verschiedenen Teilen der Entladung zu messen. Nach Überwindung vieler Schwierigkeiten ergab sich, daß die Ionen so schnell verschwanden, daß eine Messung auf diesem Wege nicht möglich war. Nur die an den Glaswänden haftenden und sich allmählich freimachenden Ionen erteilten der Luft eine geringe Leitfähigkeit.

Erlangen, Physikalisches Institut, 4. Juli.

---

1) A. Wehnelt, Wied. Ann. 65. p. 511. 1898.

(Eingegangen 10. Juli 1903.)

**10. Über die Anwendung von Gleichstrom-  
polarisation bei Kohlrauschs Methode zur Mes-  
sung elektrolytischer Leitungswiderstände;  
von E. Ray Wolcott.**

---

§ 1. Zur Messung elektrolytischer Leitungswiderstände dient heutzutage fast ausschließlich die klassische Methode von F. Kohlrausch mit Wechselstrom und Telephon. Der Erfolg der Methode beruht auf der Herabminderung der Polarisation. In der Tat, setzt man, wie üblich, die durch den Wechselstrom  $J = a \cdot \sin n t$  hervorgerufene Polarisation gleich

$$\frac{a}{C n} \cdot \sin \left( n t - \left( \frac{\pi}{2} - \psi \right) \right),$$

so liefert die Wheatstonesche Proportion beim Tonminimum nach M. Wien<sup>1)</sup> die Größe

$$W + \Delta W + \frac{1}{2 n^2 C^2 (W + \Delta W)},$$

wo  $W$  den gesuchten Ohmschen Widerstand des die Zelle enthaltenden Zweiges bedeutet und

$$\Delta W = \frac{\sin \psi}{C \cdot n}$$

ist. Die beiden zu  $W$  hinzukommenden Glieder verschwinden praktisch bei hinreichend großer Polarisationskapazität  $C$ , auf deren Steigerung mithin alles ankommt. Großes  $C$  erhält man durch Anwendung platinierter Platinplatten von mäßiger Größe, wobei es vorteilhaft ist, die Lummer-Kurlbaumsche Plati-

---

1) M. Wien, Wied. Ann. 58. p. 64. 1896.

nierungsflüssigkeit (Platinchlorid und etwas Bleiacetat) anzuwenden.<sup>1)</sup>

Nun haben Gordon<sup>2)</sup>, Scott<sup>3)</sup> und Schönherr<sup>4)</sup> gezeigt, daß die Polarisationskapazität von Platinplatten auch dadurch erhöht werden kann, daß man sie durch Gleichstrom polarisiert, wobei nach Unterbrechung des Gleichstromes die Kapazität langsam auf ihren Anfangswert zurückgeht. Es ist der Zweck dieser Notiz zu zeigen, daß man durch Anwendung dieser Tatsache auf die Kohlrauschsche Methode Vorteile erlangen kann.

§ 2. Ein Zweig der mit Wechselstrom (Induktorium und Saitenunterbrecher) betriebenen Wheatstoneschen Brücke enthält eine elektrolytische Zelle aus zwei platinirten Platinelektroden von 2 qcm und 1 qmm Flächeninhalt in verdünnter Schwefelsäure. Seitwärts war eine dritte Elektrode angebracht, welche mit der kleinen von 1 qmm Flächeninhalt durch eine Batterie und einen sehr großen Widerstand verbunden werden konnte. Die Polarisation der großen Elektrode kam gegen die der kleinen nicht in Betracht und die Wirkung kathodischer Gleichstrompolarisation auf die kleine Elektrode konnte so untersucht werden. Derselbe Zweig enthielt außerdem eine regulierbare Selbstinduktion; indem man diese sowie die Widerstände der Zweige passend abglich, brachte man die Stromstärke im Brückenweig, beobachtet an einem Vibrationsgalvanometer nach Rubens<sup>5)</sup>, auf Null. Das Vibrationsgalvanometer war auf 55 Schwingungen in der Sekunde eingestellt. Die folgende Tabelle gibt in der ersten Kolumne die Stärke  $J$  des Gleichstromes, in der zweiten die kompensierende Selbstinduktion  $L$ , in der dritten  $1/Ln^2 = (C)$ , in der vierten den nach der Wheatstoneschen Proportion berechneten scheinbaren Widerstand  $W'$  des die Zelle enthaltenden Zweiges;  $W''$  ist die Summe aus dem Ohmschen Widerstand  $W$  des Zweiges und der von der Polarisation herrührenden scheinbaren Widerstandsvermehrung  $\Delta W$ . Die wahre Polarisationskapazität  $C$  ist gleich  $(C) \cdot \cos \psi$ .

1) F. Kohlrausch, Wied. Ann. 60. p. 315. 1897.

2) C. M. Gordon, Wied. Ann. 61. p. 15 ff. 1897.

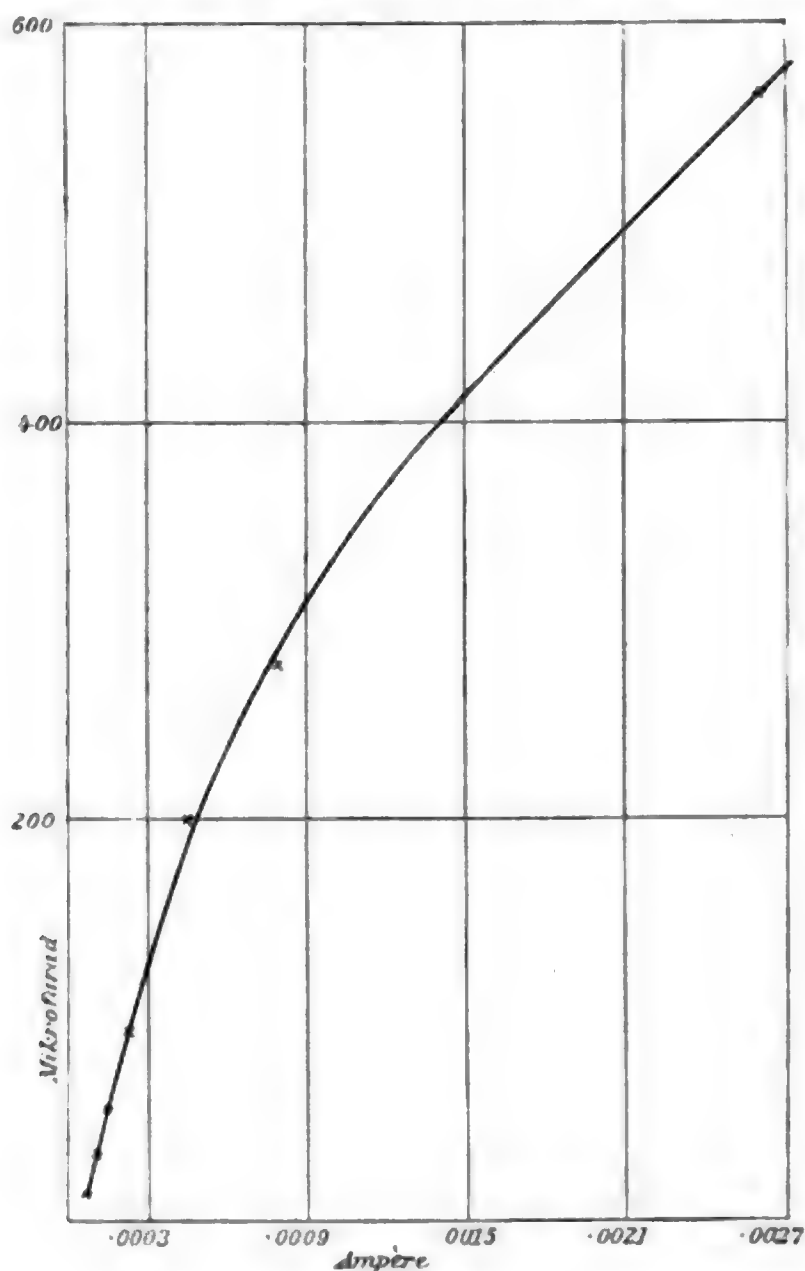
3) A. M. Scott, Wied. Ann. 67. p. 394 ff. 1899.

4) P. Schönherr, Ann. d. Phys. 6. p. 120. 1901.

5) H. Rubens, Wied. Ann. 56. p. 27. 1895.

$J$ Amp.	$L \cdot 10^{-8}$	( $C$ ) Mikrof.	$W'$ Ohm
0,00005	5,8	14,4	148
0,00012	1,92	43,7	92
0,00016	1,40	60	77
0,00024	1,20	70	57
0,00032	0,94	89	44
0,00044	0,42	200	30
0,00077	0,30	280	22,2
0,00260	0,15	560	18,9
0,00430	0	$\infty$	18,5
0,00630	0	$\infty$	18,5
0,020	0	$\infty$	18,5
0,040	0	$\infty$	19,0

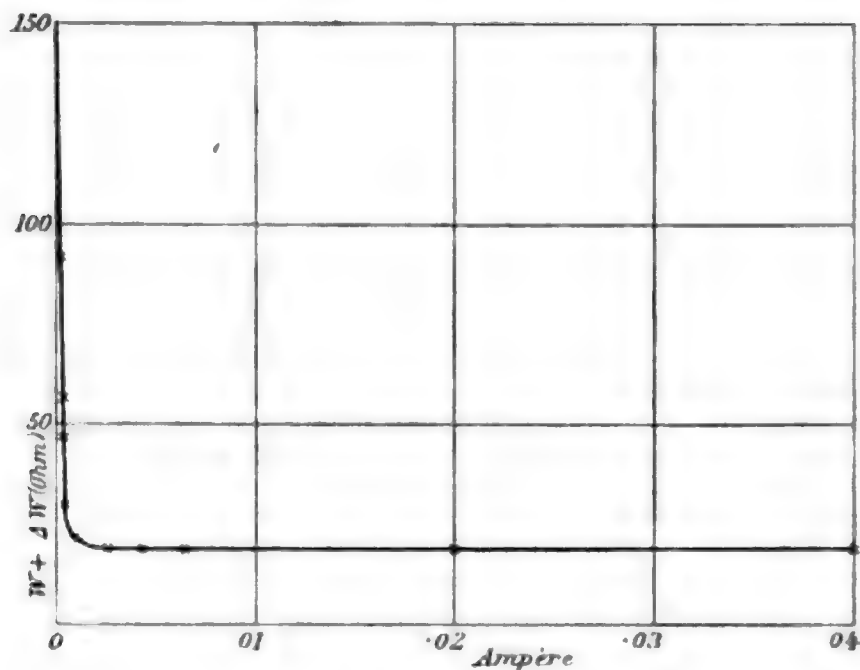
Die Kurven I und II geben ( $C$ ) und  $W'$  als Funktion von  $J$ .



Kurve I.



Von der Stromstärke  $J = 0,0043$  an wird die kompensierende Selbstinduktion gleich Null, d. h. ohne daß eine solche eingeschaltet wurde, konnte der Brückenstrom durch Widerstandsabgleichung zum Verschwinden gebracht werden. Wie man sieht, nähert sich der scheinbare Widerstand  $W'$  mit



Kurve II.

wachsendem  $J$  dem Wert 18,5, welchen er bei weiterer Steigerung der Stromstärke zunächst beibehält; wird die Stromstärke über einen gewissen Wert erhöht, so fängt  $W'$  an langsam zu steigen.

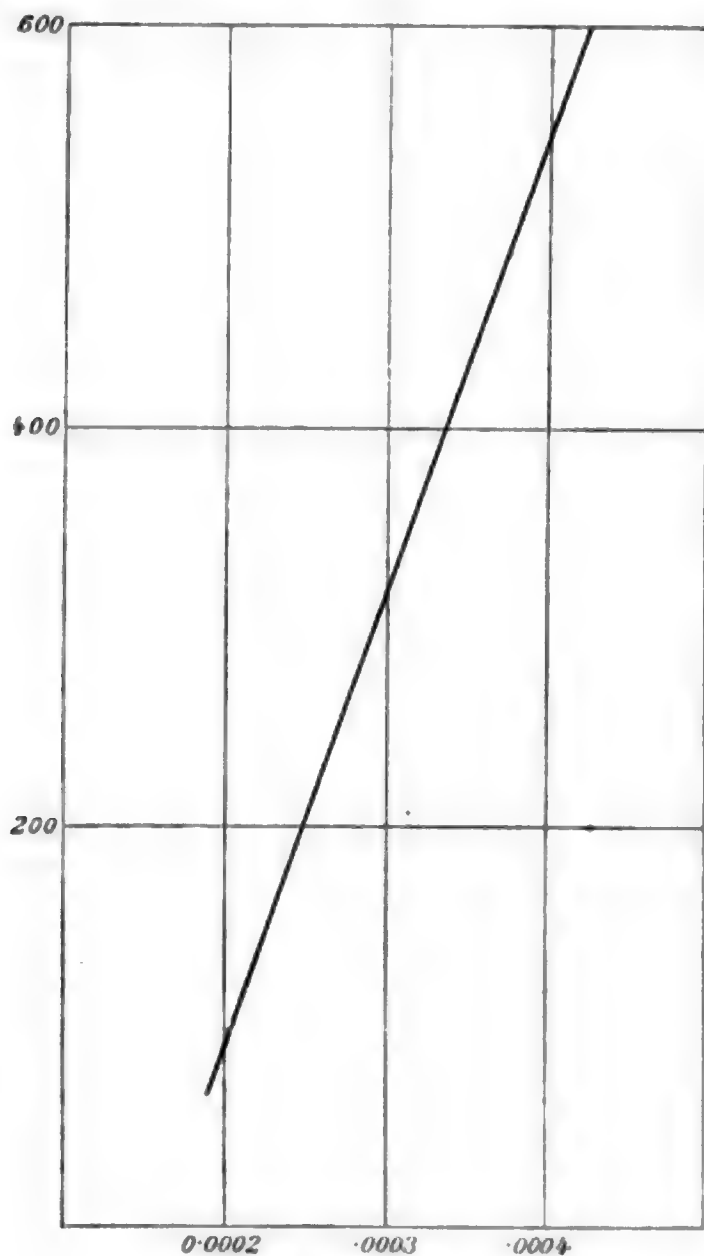
Bei dem folgenden Versuch blieb alles wie bei dem vorigen, nur wurden die Elektroden einander näher gebracht und eine stärkere Säure angewandt.

$J$ Amp.	$L \cdot 10^{-8}$	(C) Mikrof.	$W'$ Ohm
0,00019	8,6	97,7	8,2
0,00027	5,5	153	7,1
0,00044	1,4	600	4,5
0,00180	0	$\infty$	2,20
0,00480	0	$\infty$	2,21
0,02000	0	$\infty$	2,70

Die Kurven III und IV enthalten die graphische Darstellung.

Von  $J = 0,0018$  an wird  $L$  praktisch gleich Null, das Ergebnis ist das gleiche wie im vorigen Fall.

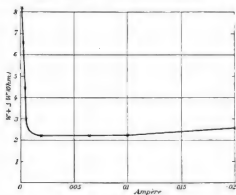
§ 3. Es fragt sich nun, welche Bedeutung die Werte von  $W'$  haben, die man erhält, wenn die kompensierende Selbstinduktion durch Anwendung des Gleichstromes auf Null ge-



Kurve III.

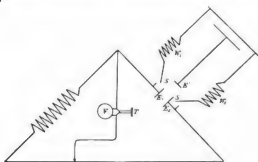
bracht wird. Um dies zu prüfen, wurde in den Brückenweig außer dem Vibrationsgalvanometer ein Hörtelephon aufgenommen. Man fand, daß ohne Anwendung des polarisierenden Gleichstromes beide Instrumente verschiedene Widerstände  $W'$  anzeigten, welche bei der Erhöhung der Kapazität durch den Gleichstrom sich einander näherten und schließlich, wenn die Kapazität praktisch unendlich geworden war, zusammenfielen.

Bei den folgenden Versuchen enthielt die Zelle zwei gleiche kleine Elektroden,  $E_1, E_2$ , welche beide durch den Gleichstrom



Kurve IV.

mittels der Hilfelektrode  $E'$  kathodisch polarisiert wurden (vgl. Figur).



#### 1. Beispiel. NaCl-Lösung.

	Vibrations- galvanometer	Telephon	
$W'$	33,61	31,94	ohne Gleichstrom,
	30,16	30,16	mit Gleichstrom von 0,002 Amp.

2. Beispiel. NaCl-Lösung. Platinierte Platinelektroden, jede von 2 qmm Oberfläche.

	Vibrations- galvanometer	Telephon	
$W'$	72,54	64,94	ohne Gleichstrom,
	60,86	60,80	mit Gleichstrom, beide Elektroden kathodisch polarisiert.

Nun betrug die Schwingungszahl des benutzten Vibrationsgalvanometers 55 in der Sekunde, während man nach Lenard<sup>1)</sup> und M. Wien<sup>2)</sup> beim Hörtelephon auf viel höhere Töne einstellt. Da aber

$$\Delta W = \frac{\sin \psi}{C \cdot n}$$

ist, so zeigt die Gleichheit der durch die beiden Instrumente gelieferten Werte von  $W'$  an, daß dieser Wert der wahre Ohmsche Widerstand des Zweiges ist.

§ 4. Es wurde im § 2 bemerkt, daß, wenn man die Stärke des polarisierenden Gleichstromes zu weit steigert,  $W'$  wieder langsam zunimmt; dabei stimmen fortdauernd die Angaben der beiden Instrumente überein. Es nimmt also wirklich der Ohmsche Widerstand der Zelle zu. Kleine Widerstandsänderungen durch Polarisation sind bereits von E. Cohn<sup>3)</sup> beobachtet worden. Für die praktische Anwendung ergibt sich aus dem Gesagten, daß die Stärke des polarisierenden Gleichstromes nur bis zum Minimum von  $W'$  gesteigert werden darf, wenn man den wahren elektrolytischen Widerstand ohne „Übergangswiderstand“ erhalten will.

§ 5. Bei den bisherigen Versuchen blieb der polarisierende Gleichstrom während der Messung mit dem Wechselstrom geschlossen. Das ist im allgemeinen nicht nötig, da die kapazitäts-erhöhende Wirkung des Gleichstromes einige Zeit nach Unterbrechung desselben andauert, nach meinen Erfahrungen länger bei größeren als bei kleineren Elektroden. Bei den folgenden Versuchen konnten die polarisierenden Gleichströme, wie die Figur zeigt, durch Stromschlüssel  $S$  unterbrochen werden.

1) P. Lenard, Wied. Ann. 39. p. 628. 1890.

2) M. Wien, Wied. Ann. 42. p. 616. 1892; 47. p. 692. 1892.

3) E. Cohn, Wied. Ann. 13. p. 665. 1881.

## 1. Beispiel. Verdünnte Schwefelsäure. Elektrodenoberfläche 1 qmm.

	Vibrations- galvanometer	Telephon	
IV'	—	2,8	ohne Gleichstrom,
	2,2	2,2	mit Gleichstrom von 0,005 Amp.,
	2,3	2,3	" " " 0,01 "
	2,7	2,7	" " " 0,02 "
	—	2,2	gleich nach Unterbrechung des Gleichstromes,
	—	2,6	einige Minuten später.

Wie man sieht, wird das Minimum des Widerstandes auch gleich nach Unterbrechung des Gleichstromes erhalten, während einige Minuten später die Polarisationskapazität wieder kleiner geworden ist. Länger hält die Wirkung im folgenden Beispiel an.

## 2. Beispiel. Elektroden 1 qcm Oberfläche in verdünnter Schwefelsäure.

IV'	
0,770	ohne Gleichstrom,
0,723	mit Gleichstrom von 0,005 Amp.,
0,723	nach Unterbrechung des Gleichstromes,
0,723	30 Minuten später.

§ 6. Anstatt der in den bisherigen Versuchen benutzten kathodischen Polarisation kann auch die anodische verwandt werden; doch erfordert sie im allgemeinen stärkere Ströme: das Minimum von  $W'$ , auf das es ankommt, ergibt sich für anodische und kathodische Polarisation übereinstimmend.

§ 7. Die besten Ergebnisse bei der Messung elektrolytischer Widerstände wurden nach dem Schema der Figur erhalten. Es waren stets sehr große Widerstände  $W_5$ ,  $W_6$  in die Leitung des von der städtischen Zentrale (110 Volt) gelieferten Gleichstromes eingeschaltet. Um den Übergangswiderstand fortzuschaffen, ist es zuweilen gut, nach der kathodischen die anodische Polarisation anzuwenden. Da es genügt, den Gleichstrom nur sehr kurze Zeit zu schließen und da nach Unterbrechung des Gleichstromes eingestellt werden kann, so ist es möglich, Störungen durch die erwärmende Wirkung dieses Stromes zu vermeiden. Auch kann im Fall von Salzen so die Störung durch Zersetzung sehr klein gemacht werden.

Um die Anwendung der Methode direkt zu zeigen, habe ich mit platinirten Elektroden von 2 qmm Oberfläche das Verhältnis der Leitungsvermögen von 5- und 10proz. NaCl-Lösung bei 19,5° untersucht.



	Widerstand	Verhältnis	Verhältnis der Leitvermögen
5 Proz.	21,580	—	—
10 „	38,853	1,8004	1,8021

Der Fehler beträgt etwas über 1 Promille.

§ 8. Alle bisherigen Versuche wurden mit platinieren Platinelektroden gemacht. Die Methode ist indessen auch auf blanke Elektroden anwendbar, deren Benutzung für den Fall von Säuren und Alkalien sowie von höheren Alkoholen erwünscht ist.<sup>1)</sup> Doch sind hier stärkere Ströme erforderlich, und der polarisierende Strom darf nicht geöffnet werden. Es ist nicht schwer, die Methode ohne störende Wärme- und zersetzende Wirkung anzuwenden, wenn man die älteren Kohlrauschschen Widerstandsgefäße benutzt, bei welchen ein engeres Rohr zwei weitere, die Elektroden enthaltenden Gefäße verbindet; in diese Gefäße bringt man je eine Hilfselektrode für den Gleichstrom.

§ 9. Die Vorteile, welche durch die Anwendung von Gleichstrompolarisation behufs Erhöhung der Polarisationskapazität bei der Kohlrauschschen Methode zur Messung elektrolytischer Leitungswiderstände erlangt werden können, sind also folgende:

1. Verkleinerung der erforderlichen Elektrodenoberfläche.
2. Messung sehr kleiner Widerstände bis zu Bruchteilen von 1 Ohm.
3. Möglichkeit der Anwendung von blanken Platinelektroden mäßiger Größe.
4. Möglichkeit der Ersetzung des Hörtelephons durch das Vibrationsgalvanometer, was eine höhere Polarisationskapazität erfordert und unter Umständen, z. B. in geräuschvollem Raum und mit Rücksicht auf die Individualität des Beobachters, erwünscht sein kann.

Sehr gute Dienste dürfte die Methode jedenfalls leisten, wenn es sich, wie bei den Versuchen von M. Wien<sup>2)</sup>, darum handelt, elektrolytische Widerstände zu messen, welche ohne Gleichstrom mit starker Polarisation behaftet sind.

Berlin, Physik. Institut, 6. Juli 1903.

1) F. Kohlrausch u. L. Holborn, Das Leitvermögen der Elektrolyte p. 10—11. Leipzig, bei Teubner 1898.

2) M. Wien, Wied. Ann. 58. p. 40. 1896.

(Eingegangen 18. Juli 1903.)

## 11. *Kathodengefälle in Helium;* *von Robert Defregger.*

Auf Anregung Prof. Warburgs unternahm ich im Anschlusse an die Untersuchungen von K. Mey<sup>1)</sup> die Bestimmung des Kathodengefälles einer Reihe von Metallen im Helium. Da bei diesem Gase chemische Wechselwirkungen mit dem Elektrodenmetall als ausgeschlossen gelten können, so sind unter diesen Umständen die Verhältnisse einfacher als bei anderen Gasen.

Die Anordnung zur Gewinnung und Reinigung des Heliums war die Meysche. Die Methode, das Gas von den letzten Spuren verunreinigender Gase durch die K-Na-Legierung zu befreien, bewährte sich dauernd. Sie hat aber, wenn große Zeitverschwendung vermieden werden soll, zur Voraussetzung, daß das Helium entweder frisch in ein Vakuum entwickelt worden ist oder im Falle einer Verunreinigung durch Undichtigkeit etc. schon durch andere Mittel bis auf Spuren von diesen Beimischungen befreit ist.

Das geschah durch wiederholtes (6—8 maliges) langsames Durchleiten durch ein rotglühendes Verbrennungsrohr, welches Magnesiumspäne und Kupferoxyd enthielt.

Bezüglich der Anordnung zur Messung des Kathodengefälles sowie der Schaltung der Stromwege kann ich auf Meys Arbeit verweisen.

Die Metalle wurden in Form hochpolierter Drähte in die Entladungsröhre eingebracht. Das Rohr lief aus in einen kapillaren Teil, durch welchen mit Hilfe einer dritten Elektrode die Entladung geleitet werden konnte und so eine Kontrolle des Gasspektrums ermöglichte. Diese Anordnung rührt von Strutt<sup>2)</sup> her. Ich lasse gleich die ermittelten Werte für das normale Kathodengefälle folgen, um noch einige Bemerkungen daran zu schließen.

1) K. Mey, Ann. d. Phys. 11. p. 127. 1903.

2) R. J. Strutt, Phil. Mag. März 1900.

Metall	Normales Kathodengefälle in Volt
Kupfer . . . . .	177
Platin, platinirt . . . . .	168
Silber . . . . .	162
Stahl . . . . .	161
Platin, blank . . . . .	160
Zink . . . . .	143
Quecksilber . . . . .	142,5
Aluminium . . . . .	141
Wismut . . . . .	137
Magnesium . . . . .	125

Auffallend ist im allgemeinen, wie niedrig die Gefälle gegenüber den in anderen Gasen gemessenen sind. Hierin kann das Ergebnis für die Alkalimetalle auf alle Metalle überhaupt ausgedehnt werden. Dagegen hat sich die Reihenfolge, welche durch die bisherigen Messungen wahrscheinlich gemacht ist (vgl. die Zusammenstellung bei Mey l. c.) nicht ergeben, sondern eine andere, für welche ein Zusammenhang mit bekannten Eigenschaften der Metalle zurzeit nicht ersichtlich ist. Übrigens zeigt auch ein Blick auf die erwähnte Zusammenstellung, daß für die edleren Metalle (Platin bis Zink) die Werte einander ähnlich bleiben und ziemlich regellos verteilt sind. Erst beim Übergang zu den Erd- und Alkalimetallen erfolgt der ausgesprochene Abfall der Kathodengefälle.

Der Wert für Platin, den ich fand, weicht beträchtlich von dem von Strutt l. c. zu 226 Volt angegebenen ab, und ich habe ihn deshalb mit verschiedenen Röhren und unter variierten Bedingungen nachgemessen. Unter anderem hatte ich auch versucht, die Reinigungsmethode, welche Strutt verwendete, zu kopieren. Sie bestand darin, daß er die Aluminiumdrahtanode zur Kathode machte und sehr kräftige Induktor-entladungen bis zum Zusammenschmelzen dieser Elektrode hindurchschickte. Dadurch verschwand das Stickstoffspektrum aus dem positiven Licht. Denselben Erfolg hatte ich auch, indessen fand sich, nachdem das Gas rein geworden war,

übereinstimmend 159—160 Volt. Bei deutlich unreinem Gase fand ich 200—210 Volt. Den Unterschied vermag ich nicht zu erklären.

Die einzige Verschiedenheit, welche ich indessen nicht für belangreich halten kann, besteht darin, daß mein Helium etwas mehr Argon enthielt als frisch bereitetes, da ich eine größere Verunreinigung mit Luft, welche durch Undichtwerden eines Hahnes entstanden war, durch Magnesium beseitigte, wobei der Argonrest zurückblieb. Ich glaube aber, wie angedeutet, nicht, daß eine Beimengung von Argon und noch weniger, daß ein Unterschied in dem Grade dieser Beimengung einen so großen Einfluß auf den Kathodenfall haben kann.

Nach der Messung aller übrigen Metalle habe ich die Platinelektrode nach einstündigem Glühen im elektrischen Ofen und Platinieren nochmals der Messung unterworfen und kam auf den angegebenen Wert, der nur unwesentlich höher ist als der für blankes Metall.

Die Unsicherheit, die den angegebenen Zahlen anhaftet, beträgt immer noch 1—2 Volt, weniger beim Quecksilber, welches sehr konstante Gefälle zeigte. Im allgemeinen dauerte es geraume Weile und kostete es viele Füllungen, bis das Zulassen frischen Gases oder Ablassen desselben sowie auch Änderungen der Stromstärke keinen merkbaren Einfluß auf das Gefälle hatten. Bei den festen Metallen, besonders Platin, welche viel okkludierte Gase abgeben, ging nur ganz allmählich das Gefälle herab und es wurden die Neufüllungen, zwischen welchen scharf evakuiert wurde, so lange wiederholt, bis gleiche Gefälle wiederkehrten. Ein gewisser Gang mit Stromstärke und Druck blieb bei manchen Metallen bestehen in dem Sinne, daß für wachsende Stromstärken (von  $1-30 \cdot 10^{-4}$ ) das Gefälle um 2—4 Volt zunahm und bei wachsendem Druck zurückging, so daß dieselben Gefälle bei hohem Druck (20—30 mm) bei höheren Stromstärken eintraten. Ich schreibe das sekundären Störungen der Strombahn zu, wie sie Strutt bei Argon in ganz ausgeprägter Weise beobachtet hat, so daß er nur bei plattenförmigen, das Lumen der Röhre ausfüllenden Elektroden messen konnte. Denn bei Quecksilber, welches in einer der Meyschen nachgebildeten Röhre untersucht wurde, blieben diese Störungen aus.

Hier war ohne weiteres aus dem Sitz des negativen Glimmlichtfleckens zu sehen, ob die Sonde sich in der Strombahn befand.

Wenn auch durch andauerndes Behandeln der Röhre erreicht werden konnte, daß beliebiges Einfüllen des frisch gereinigten Heliums und Ausleeren der Gasinhalt und damit das Kathodengefälle ungeändert blieb, so ist man vom Ideal des „reinen Heliums“ weit entfernt. Das Spektroskop zeigte allerdings im Glimmlicht nur die Helium- und Quecksilberlinien. In der Beobachtungskapillare indessen waren He, Ar, Hg zu sehen. Die Trennung von Argon und Helium ist außerordentlich kompliziert und im Interesse einer raschen und reinlichen Zirkulation und Erneuerung der Füllungen wurde von einer Hg abhaltenden Vorlage abgesehen, nachdem konstatiert ist<sup>1)</sup>, daß der Hg-Dampf bei Zimmertemperatur den Wert des Kathodengefalles (bei H<sub>2</sub>) nicht beeinflußt.

Berlin, Physik. Institut der Universität, Juni 1903.

---

1) E. Warburg, Wied. Ann. 40. p. 1. 1890.

(Eingegangen 8. Juli 1903.)



**12. Erwiderung auf die Bemerkung  
der Physikalisch-Technischen Reichsanstalt;  
von Alfred Kalähne.**

---

Der in diesen Annalen Band 12, p. 447, 1903 abgedruckten Bemerkung der Physikalisch-Technischen Reichsanstalt zu meiner Arbeit über „Schallgeschwindigkeit und Verhältnis der spezifischen Wärmen der Luft bei hoher Temperatur“<sup>1)</sup> möchte ich einige Ergänzungen hinzufügen.

Die von der Reichsanstalt angeführten Sätze meiner Arbeit stammen aus der Einleitung derselben, in der ich die Beobachtungen des Hrn. Stevens einer kurzen Kritik unterworfen habe, um die Notwendigkeit einer Wiederholung derselben zu begründen. Diese Kritik betraf hauptsächlich die Temperaturmessung mit dem von der Reichsanstalt im Januar 1900 geeichten und dadurch an das Luftthermometer angeschlossenen Thermoelement P.T.R. 505. Meine eigenen Messungen mit diesem Element beschränken sich lediglich auf die Vergleichung mehrerer anderer Thermoelemente mit dem genannten Element, das nach jener Eichung als Normalelement des hiesigen physikalischen Institutes dienen sollte. Hierbei wurden die Siedepunkte von Schwefel und Diphenylamin (ca. 450° und 300°) als bekannte Fixpunkte zur Kontrolle der Konstanz der Elemente benutzt. Die Beobachtungen ergaben nun bei 450° Differenzen von etwa 12° zwischen der aus der elektromotorischen Kraft nach der Eichungstabelle der Reichsanstalt berechneten und der von Harker und Chappuis, Callendar und Griffiths in naher Übereinstimmung gefundenen Siedetemperatur des Schwefels. Das bedeutet, da die Thermokraft des Elementes in der kurzen Zeit zwischen der Eichung und diesen Mes-

1) A. Kalähne, Ann. d. Phys. 11. p. 225. 1903.

sungen keine wesentliche Veränderung erlitten haben konnte, daß die nach der Aichungstabelle berechneten Temperaturen erheblich von der Skala des Luftthermometers abwichen. Lediglich diese Tatsache sollte durch die Worte meiner Arbeit:

„Leider war aber, wie ich bald erkannte, die Aichung mit großen Fehlern behaftet“

ausgedrückt werden. Das Wort „Aichung“ bezog sich auf den ganzen Vorgang des Anschlusses an das Luftthermometer, wobei ich zugebe, daß vielleicht ein anderer Ausdruck besser gepaßt hätte.

Auffallend war die beträchtliche Größe der Differenzen. Der Hinweis auf dem Prüfungsschein, daß die angegebenen thermoelektrischen Kräfte wahrscheinlich etwas zu erhöhen seien, ist mir nicht entgangen; ich habe jedoch angenommen, daß es sich nur um geringere Beträge handelte, da in der Arbeit von Holborn und Wien<sup>1)</sup> als mittlerer Fehler der Thermoelemente gegen die Skala des Luftthermometers bei  $1000^{\circ} \pm 5^{\circ}$  angegeben ist. Bei tieferen Temperaturen, wo die Schwierigkeiten der luftthermometrischen Messung weit geringer sind, konnte auch ein kleinerer mittlerer Fehler erwartet werden.

Die Abweichung der Holborn-Wiensen von der neuen Holborn-Dayschen Skala beträgt bei  $500^{\circ}$  etwa  $+8^{\circ}$ . Dadurch reduziert sich die für den Schwefelsiedepunkt seinerzeit von mir beobachtete Differenz von  $12^{\circ}$  auf  $4^{\circ}$ , einen Betrag, der möglicherweise durch Inhomogenität der Drähte des Stevensschen Elementes zu erklären ist, infolgederen das Temperaturgefälle in den Drähten großen Einfluß haben kann. Die Holborn-Daysche Skala hat nach den Angaben der Verfasser einen mittleren Fehler von  $\pm 1^{\circ}$  <sup>2)</sup> gegen das Luftthermometer.

Da nach diesen Feststellungen die Abweichungen des Stevensschen Elementes von der Skala des Luftthermometers hauptsächlich auf der Differenz der der Aichung zu Grunde gelegten Holborn-Wiensen Skala gegen das Luftthermometer beruhen, welche Differenz von Anfang an bestanden hat,

---

1) L. Holborn u. W. Wien, Wied. Ann. 56. p. 360. 1895.

2) L. Holborn u. A. Day, Ann. d. Phys. 2. p. 539. 1900.

so ist die Erklärung, die ich p. 231 dafür zu geben versucht habe, hinfällig. Die Worte meiner Arbeit:

„Die fehlerhafte Aichung in der Reichsanstalt“ . . .  
bis . . . „und daher bei der Aichung nicht berücksichtigt worden“

sind deshalb als nicht zutreffend zu streichen. Die ihnen zu Grunde liegende Annahme ist aus der schon zitierten Veröffentlichung von Holborn und Day (Ann. d. Phys. 2. 1900) hergeleitet, wo es auf p. 543 heißt:

„Es ist wahrscheinlich, daß das Normalelement von früher, welches die von Holborn und Wien aufgestellte Skala repräsentiert und welches inzwischen vielfach bis  $1600^{\circ}$  zu Vergleichen benutzt worden ist, ähnliche Veränderungen erlitten hat.<sup>1)</sup> Es zeigt jetzt bei 500 um  $10^{\circ}$  und bei 1000 um  $18^{\circ}$  zu hoch gegen die früheren Angaben.“

Mit diesen Darlegungen glaube ich meine Stellung zu den von der Reichsanstalt beanstandeten Sätzen meiner Arbeit klargelegt zu haben, so daß weitere Mißverständnisse wohl nicht zu befürchten sind.

Heidelberg, Physik. Inst. d. Univ., im Juni 1903.

---

1) Nämlich durch Gase aus nicht gar gebrannten Öfen bei Anwesenheit von Silicium etc.

(Eingegangen 2. Juli 1903.)

**13. Berichtigung zu meiner Arbeit  
„Über die Sublimationswärme der Kohlensäure  
und die Verdampfungswärme der Luft“;  
von U. Behn.**

Vor einiger Zeit hatte Hr. Geheimrat Röntgen die Freundlichkeit, mich auf ein Versehen in der zitierten Arbeit aufmerksam zu machen: die letzte Zahl in derselben (das spezifische Volumen ( $s$ ) der dampfförmigen Luft bei 760 mm Druck und  $-183^{\circ}$ , berechnet unter der Voraussetzung, daß das Gay-Lussacsche Gesetz ( $\alpha_v = 0,00367$ ) bis zu dieser Temperatur gültig wäre) müßte statt  $1/0,00237$   $1/0,00424$  heißen. Ich benutze die Gelegenheit, um noch eine Korrektur, die durch neuere Arbeiten möglich geworden ist, hinzuzufügen. Aus der Verdampfungswärme der Luft bei Atmosphärendruck ergab sich für

$$s = \frac{J \cdot r}{T \cdot \frac{dP}{dT}}$$

der Wert  $1/0,00280$ . Die große Diskrepanz zwischen diesen beiden Werten für  $s$  und auch der Sinn der Abweichungen sind aber aus Beobachtungsfehlern bei der Bestimmung der Verdampfungswärme nicht erklärbar.

In Wirklichkeit ist wohl der Wert für den Temperaturkoeffizienten des Sättigungsdruckes zu klein gewählt, denn Estreicher<sup>1)</sup>, Baly<sup>2)</sup> und Travers, Senter und Jaquero<sup>3)</sup> fanden mit ziemlicher Übereinstimmung den Wert  $dP/dT$  etwa gleich  $80 \text{ mm}/1^{\circ}$ ; K. T. Fischer und H. Alt<sup>4)</sup> für reinen Stickstoff etwa  $90 \text{ mm}/1^{\circ}$ . Die flüssige Luft, die ich verwandte, war ziemlich sauerstoffreich, ihr Temperaturkoeffizient des Sättigungsdruckes wird sich also von dem des reinen Sauer-

1) T. Estreicher, Phil. Mag. (5) 40. p. 454. 1895.

2) E. C. C. Baly, Phil. Mag. (5) 49. p. 527. 1900.

3) W. M. Travers, G. Senter u. A. Jaquero, Chem. News 86. p. 61. 1902.

4) K. T. Fischer u. H. Alt, Ann. d. Phys. 9. p. 1149. 1902.

stoffs nicht viel unterscheiden. Wenn wir letzteren Koeffizienten, wie das Dewar<sup>1)</sup> bei der Diskussion meiner Resultate tut, ohne weiteres in die Formel einsetzen und noch bedenken, daß einem Sauerstoffgehalt der flüssigen Luft von 93 Proz.<sup>2)</sup> nach Baly eine Siedetemperatur von ca.  $-184^{\circ}$  entspricht, so ergibt sich

$$s = \frac{422 \cdot 10^5 \cdot 50 \cdot 8}{89 \cdot 106600} = 222 = \frac{1}{0,0045}$$

und aus dem Gay-Lussacschen Gesetz

$$\frac{1}{0,00431}.$$

Die Übereinstimmung ist jetzt, wie man sieht, eine erheblich bessere. Dewars (l. c.) direkt gefundener Wert liegt mit 0,00442 zwischen ihnen. Und wenn auch die noch vorhandene Abweichung zwischen den beiden erst genannten Werten in diesem Sinne nicht unwahrscheinlich ist, ist doch andererseits auch der nun eingesetzte Wert für  $dP/dT$  noch nicht so einwandfrei, daß man weitere Schlüsse aus dieser Differenz ziehen dürfte.

Frankfurt a. M., Laboratorium des Physikal. Vereins,  
den 7. Juli 1903.

---

1) J. Dewar, Chem. News 85. p. 73. 1902. Auch das  $dP/dT$  für Kohlensäure ist nach Dewar größer als der von mir eingesetzte Wert.

2) Nach J. S. Shearers Bestimmung der Verdampfungswärmen flüssiger Luft verschiedener Zusammensetzung (Phys. Rev. 14. p. 188. 1902) würde man allerdings schließen müssen, daß meine Luft 60 Proz. Sauerstoff enthalten habe, jedoch ist zu bemerken, daß Shearers Werte mit dem von K. T. Fischer und H. Alt (l. c.) für die Verdampfungswärme des reinen Stickstoffs berechneten nicht übereinstimmen.

(Eingegangen 8. Juli 1903.)



**14. Bemerkungen zu der Abhandlung von J. Wallot:  
„Die Abhängigkeit der Brechungsexponenten der  
Salzlösungen von der Konzentration<sup>1)</sup>;  
von B. Walter.**

In der in der Überschrift angeführten Abhandlung hat Hr. J. Wallot in erster Linie auch die von mir entdeckte Proportionalität, welche zwischen der Zunahme des Brechungsexponenten und dem Prozentgehalte vieler Salzlösungen stattfindet<sup>2)</sup>, zum Gegenstande der Kritik gemacht und dazu erstens bemerkt, daß dieselbe nur angenähert gültig sei, und zweitens, daß derselben eine theoretische Bedeutung nur „formell“ zukäme, weil sich aus der prozentualen Zunahme des Brechungsexponenten der *Lösung* für das feste Salz — dieses als 100 proz. Lösung aufgefaßt — eine von dem wirklich dafür beobachteten Wert sehr verschiedene Zahl ergebe.

Was nun zunächst den ersteren Punkt angeht, so stimme ich darin dem genannten Beobachter vollständig bei und habe auch diese Auffassung bereits bald nach jener ersten Arbeit in einer zweiten Abhandlung über denselben Gegenstand mehrfach ausgesprochen.<sup>3)</sup> Hinsichtlich der zweiten Frage dagegen bin ich etwas anderer Ansicht als Hr. Wallot, da ich glaube, daß die von mir gefundene Beziehung selbst dann noch eine gewisse Bedeutung beanspruchen darf, wenn sie auch nicht mit vollkommener Strenge gilt und wenn sich demnach auch — was ja im Grunde genommen dasselbe bedeutet — aus dem Brechungsexponenten der Lösungen derjenige des festen Salzes nicht berechnen läßt, eine Tatsache, die mir übrigens durchaus nicht entgangen war.

Es ist ja allerdings nicht zu verkennen, daß meine Beziehung in einem gewissen Gegensatze zu den bekannten Mischungsregeln steht; denn wenn auch Hr. Wallot gezeigt

1) J. Wallot, Ann. d. Phys. 11. p. 593. 1903.

2) B. Walter, Wied. Ann. 38. p. 107. 1889.

3) B. Walter, Jahrbuch der Hamb. wissensch. Anst. 9. p. 245. 1891 (auch als Jenenser Dissertation erschienen).

hat, daß man durch spezielle Annahmen von der Landoltschen Regel auf die erstere geführt wird, so sind doch diese Annahmen so widersinniger Natur — es müssen nämlich zu diesem Zwecke die Dichten des festen Salzes, des Wassers und der Lösung als gleich angenommen werden —, daß diese Art der Spezialisierung wohl kaum irgend welches theoretische Interesse hat.

Andererseits folgt aber gerade aus den Wallotschen Rechnungen, daß auch die Landoltsche Regel durch die am besten untersuchten Kochsalzlösungen nicht bestätigt wird, so daß also auch dieser Regel, mit Hrn. Wallot zu sprechen, nur eine „formelle“ Bedeutung zukommen würde. Jedenfalls besteht also nach alledem durchaus keine Veranlassung, meine Beziehung mit der Landoltschen Regel in Einklang bringen zu müssen; vielmehr kann die erstere ein völlig selbständiges Interesse beanspruchen, um so mehr als sie mich l. c. noch zu einer zweiten Beziehung geführt hat, die den Mischungsregeln geradezu widerspricht, die mir aber trotzdem eine ganz eminente theoretische Bedeutung zu haben scheint. Es ist dies nämlich die Beziehung, daß gewichtsäquivalente Lösungen verwandter Salze, z. B.  $\text{KCl}$ ,  $\text{NaCl}$ ,  $\text{NH}_4\text{Cl}$ ,  $\text{KNO}_3$  etc., nahezu denselben Brechungsexponenten haben und daß ferner ein Molekül eines Salzes einer zweibasischen Säure, also z. B. von  $\text{Na}_2\text{SO}_4$  etc. dem Wasser nahezu die doppelte Lichtverzögerung erteilt wie ein Molekül  $\text{NaCl}$  etc.

In der zweiten meiner oben angeführten Abhandlungen habe ich über die theoretische Bedeutung dieser Tatsachen einige Betrachtungen angestellt; hier möchte ich nur noch erwähnen, daß das oben gefundene Resultat auch vom Standpunkte der elektromagnetischen Theorie des Lichtes eine gewisse Beachtung verdienen dürfte, da es eine bemerkenswerte Analogie zu dem Faradayschen Gesetze der Elektrolyse darstellt, wonach ja zur elektrolytischen Zerlegung jener einbasischen Salze auch die gleiche und zu der jener zweibasischen die doppelte Elektrizitätsmenge notwendig ist.

Hamburg, Physik. Staatslaboratorium, im Juli 1903.

(Eingegangen 16. Juli 1903.)

---

Druck von Metzger & Wittig in Leipzig.

# ANNALEN DER PHYSIK.

VIERTE FOLGE. BAND 12.

## 1. *Zur Kenntnis des Lichtbogens;* *von J. Stark.* ✓

*Inhalt:* I. Ionentheorie des Lichtbogens. § 1. Einleitung. § 2. Die Bestandteile des Lichtbogens. § 3. Verdampfung der Elektroden. § 4. Ionen und Ionisierung im Lichtbogen. § 5. Über Temperaturerhöhung durch Ionen. § 6. Negative Strahlung glühender Metalle. § 7. Hohe Temperatur der Kathode als Existenzbedingung des Lichtbogens. § 8. Kathodenfall bez. Minimalspannung als erste Existenzbedingung des Lichtbogens. § 9. Stromdichte als zweite Existenzbedingung, Grenzstromstärke. § 10. Innere elektromotorische Kräfte im Lichtbogen. — II. Kritische Stromstärke und Grenzstromstärke. § 11. Definition der kritischen Stromstärke. § 12. Zulässige und unzulässige Störungen, theoretischer und praktischer Wert der kritischen Stromstärke. § 13. Kritische Stromstärke als Funktion des Elektrodenabstandes. § 14. Kritische Stromstärke und Selbstinduktion. § 15. Kritische Stromstärke als Funktion der elektromotorischen Kraft. § 16. Grenzstromstärke als Funktion des Elektrodenabstandes. § 17. Grenzstromstärke und Elektrodenmetall. — III. Zündung des Lichtbogens. § 18. Allgemeines über die Zündung des Lichtbogens. § 19. Erwärmung der Elektroden durch den Glimmstrom. § 20. Verwandlung von Glimmstrom in Lichtbogen bei normalem Kathodenfall. § 21. Einfluß von Druck und Temperatur auf die Verwandlung. § 22. Schnelle und langsame Verwandlung von Glimmstrom in Lichtbogen. § 23. Verwandlung von Glimmstrom in Lichtbogen bei abnormalem Kathodenfall oder niedrigem Gasdruck. § 24. Primäre und sekundäre Zündung durch Glimmstrom. § 25. Zündung durch Reststrom im Wechselstromlichtbogen. § 26. Konstitution des elektrischen Funkens. § 27. Aufgaben für die experimentelle Untersuchung des Lichtbogens.

### I. Ionentheorie des Lichtbogens.

§ 1. *Einleitung.* — Schon vor längerer Zeit ist von verschiedenen Seiten die Ansicht ausgesprochen worden, daß auch im Lichtbogen die Träger des elektrischen Stromes positive und negative Ionen seien. Indes begnügte man sich zumeist mit der Aussprache dieser Ansicht, eine eingehende ionen-

theoretische Analyse der Eigenschaften des Lichtbogens wurde nicht ausgeführt. C. D. Child<sup>1)</sup> versuchte den Unterschied zwischen Anoden- und Kathodenfall des Lichtbogens aus einer Differenz der spezifischen Geschwindigkeiten der positiven und negativen Ionen zu erklären. Ich legte dar<sup>2)</sup>, daß man den Lichtbogen als eine selbständige Strömung aufzufassen habe, daß er darum eine Minimalspannung besitze und daß diese das Minimum von Arbeit, bezogen auf die Ladungseinheit, darstelle, das von der elektrischen Strömung geleistet werden müsse, um zwischen den Elektroden Ionisation herzustellen. Die Frage nach dem Vorgang der Ionisierung oder Elektrisierung im Lichtbogen ließ ich offen.

Die Aufgabe der vorliegenden Abhandlung ist eine zweifache. Sie soll erstens bestimmte Vorstellungen entwickeln über die Eigenschaften und Funktionen der Ionen im Lichtbogen, und im Anschluß daran sollen einige bekannte Eigenschaften des Lichtbogens beleuchtet werden. Zweitens sollen Messungen mitgeteilt werden, die unter ionentheoretischen Gesichtspunkten am Lichtbogen angestellt wurden. Die vorliegende Abhandlung kann nicht den Anspruch erheben, die aufgeworfenen Fragen zufriedenstellend beantwortet zu haben, sie will lediglich ein erster Schritt sein auf dem Wege zu einer exakten experimentellen und theoretischen Analyse des Lichtbogens auf Grund der Ionenhypothese.

§ 2.<sup>3)</sup> *Die Bestandteile des Lichtbogens.* — An dem Lichtbogen in freier Luft fallen dem Auge zwei Teile durch ihre verschiedene Farbe auf, ein bläulich leuchtender von der Anode zur Kathode sich erstreckender Kern und eine diesen umgebende gelbroth leuchtende Hülle oder Aureole. Die eigentliche Strombahn des Lichtbogens oder kurz der Lichtbogen selbst ist der hoch temperierte Kern, durch ihn laufen fast

1) C. D. Child, Phys. Rev. 10. p. 151. 1900.

2) J. Stark, Ann. d. Phys. 4. p. 407. 1901; 7. p. 438. 1902; Die Elektrizität in Gasen, p. 152, 176, 205. Leipzig 1902.

3) Dieser und der folgende Paragraph sind nicht theoretischer Natur; sie teilen vielmehr in großen Zügen die bis jetzt experimentell ermittelten Eigenschaften des Lichtbogens mit. Sie sind ein kurzer Bericht theils über fremde, theils über eigene Beobachtungen. Zum Verständnis der späteren theoretischen Ausführungen ist ihre Kenntnis notwendig. Um den Umfang der vorliegenden Abhandlung nicht zu groß werden zu lassen, ist auf eine ausführliche Begründung der mitgetheilten Resultate verzichtet.

sämtliche Stromlinien, er allein sei verstanden, wenn späterhin vom Lichtbogen die Rede ist. Die rötliche Hülle ist nur eine sekundäre Begleiterscheinung, sie ist so gut wie überhaupt nicht vom Strom durchflossen; sie kann darum fehlen; dies ist beispielsweise beim Quecksilberlichtbogen im Vakuum der Fall.

Wenn man den Kern des Lichtbogens oder kurz den Lichtbogen genauer betrachtet, besonders wenn man seine Elektroden voneinander beträchtlich entfernt oder ihn bei niedrigem Gasdruck herstellt, so kann man an ihm folgende Teile unterscheiden. Fig. 1 gibt das

Bild eines Quecksilberlichtbogens im Vakuum. Auf einer weißglühenden kleinen Stelle der Kathodenoberfläche sitzt ein nach oben sich erweiternder intensiv leuchtender Lichtbüschel; auf diesen folgt eine kurze, weniger stark leuchtende Partie, der dunkle

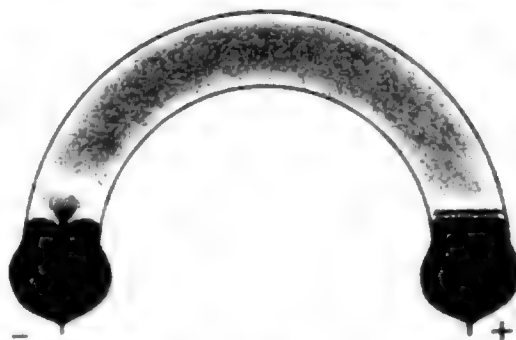


Fig. 1.

Zwischenraum; von diesem erstreckt sich bis unmittelbar vor die Anode die positive Lichtsäule; die Anode ist mit einer dünnen leuchtenden Schicht bedeckt.

Auch die elektrische Untersuchung ergibt die vorstehenden vier Teile des Lichtbogens. Zwischen der Kathode und einem Punkte des kathodischen Lichtbüschels ist ein beträchtlicher Spannungsabfall vorhanden, der Kathodenfall im Betrage von 5—15 Volt. Ähnlich liegt an der Anode zwischen ihr und dem Ende der leuchtenden Anodenschicht ein Spannungsabfall im Betrag von 10—20 Volt. Ist die positive Lichtsäule ungeschichtet, so ist das Spannungsgefälle in ihr räumlich konstant und etwas größer als im dunklen Zwischenraum. Der Anoden- und der Kathodenfall ändern sich nur wenig mit der Stromstärke und dem Gasdruck, das Spannungsgefälle in der positiven Lichtsäule nimmt zu mit steigendem Gasdruck und abnehmender Stromstärke.

Ein Vergleich der Bestandteile des Glimmstromes (El. i. G. p. 123) und des Lichtbogens ergibt, daß beiden die leuchtende Anodenschicht, die positive Lichtsäule und der dunkle Zwischenraum eigen sind; sie unterscheiden sich lediglich durch



ihre kathodischen Bestandteile. Das kathodische Lichtbündel des Lichtbogens ist beim Glimmstrom durch das sogenannte negative Glimmlicht ersetzt, das aus erster Kathodenschicht, dunklem Kathodenraum und negativer Glimmschicht besteht. Der Kathodenfall des Glimmstromes (Spannungsdifferenz zwischen Kathode und negativer Glimmschicht, *El. i. G.* p. 169) kann nie unter seinen normalen Wert im Betrage von mehreren Hundert Volt (an Platin 340 Volt in Luft) sinken, er ist also immer beträchtlich größer als der Kathodenfall des Lichtbogens.

Außer in der Lichterscheinung und im Spannungsabfall unterscheidet sich der kathodische Teil des Lichtbogens auch in der Stromdichte und in der Temperatur von demjenigen des Glimmstromes. Solange der Kathodenfall normal ist, nimmt auch bei letzterem ebenso wie beim Lichtbogen die kathodische Basis der elektrischen Strömung zu mit wachsender Stromstärke. Die normale Stromdichte<sup>1)</sup> des Glimmstromes ist indessen angenähert proportional dem Gasdruck, umgekehrt proportional der absoluten Temperatur; diejenige des Lichtbogens ändert sich dagegen nur wenig mit dem Gasdruck und wächst mit steigender Temperatur. Dazu ist bei gleichem Gasdruck die Stromdichte des Lichtbogens 100—1000 mal größer als diejenige des Lichtbogens. Bei gleicher Stromstärke ist darum die kathodische Basis des Glimmstromes viele Mal größer als diejenige des Lichtbogens. Entsprechend der großen Stromdichte ist auch die Temperatur in der kathodischen Basis des Lichtbogens größer als beim Glimmstrom. Ja, wie unten näher ausgeführt wird, kann die Temperatur in der kathodischen Strombasis nie unter eine bestimmte sehr hohe Temperatur von etwa 3000° sinken, ohne daß der Lichtbogen erlischt. Umgekehrt kann die Temperatur in der kathodischen Basis des Glimmstromes nicht über diesem Wert liegen, wohl aber jeden beliebigen kleinen besitzen.

Die Fig. 2 zeigt typisch den Unterschied zwischen Lichtbogen und Glimmstrom in Stromdichte und Temperatur in einer Geraden, welche durch das Zentrum der kathodischen Strombasis geht; Gasdruck und Stromstärke sind angenähert als gleich angenommen.

1) J. Stark, *Ann. d. Phys.* 12, p. 15. 1903.

§ 3. *Verdampfung der Elektroden.* — Der Glimmstrom begnügt sich mit dem Dampf oder dem Gas, das er bei seiner Entstehung zwischen seinen Elektroden vorfindet; dieses ionisiert er und durchströmt es dann. In einigen Fällen macht er aus seiner Kathode okkludiertes Gas frei oder veranlaßt diese zu einer mäßigen Verdampfung, so bei Quecksilberelektroden; indes ist dies eine sekundäre störende Erscheinung und ist keinesfalls mit der Existenzbedingung des Glimmstromes notwendig verknüpft.

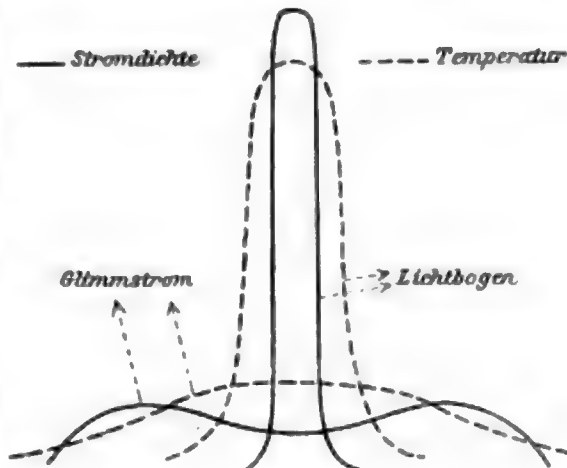


Fig. 2.

Anders ist es beim Lichtbogen. In seiner kathodischen Strombasis ist notwendigerweise immer eine sehr hohe Temperatur vorhanden; infolgedessen *hat an ihr ohne Ausnahme eine Verdampfung des Kathodenmetalles statt*. Der Dampfstrahl, der aus der weißglühenden kathodischen Strombasis des Lichtbogens hervorbricht und nach der Theorie immer vorhanden sein muß, läßt sich in den meisten Fällen direkt beobachten, er fällt nämlich räumlich zusammen mit dem kathodischen Lichtbüschel. Bei einer Quecksilberkathode drückt dieser Dampfstrahl eine Vertiefung<sup>1)</sup> in die flüssige Oberfläche.

*Daß auch die Anode des Lichtbogens Dampf aussende, ist nicht notwendig.* Sie kann künstlich auf niedriger Temperatur gehalten werden, oder infolge ihrer Größe von selbst auf mäßiger Temperatur bleiben. So kann man beim Quecksilberlichtbogen im Vakuum die Anode aus einer dicken Eisenspirale bestehen lassen; deren Temperatur bleibt dann unter Rotglut; die Kathode muß dagegen unter allen Umständen in der Strombasis von der weißglühenden Stelle Dampf aussenden.

Obwohl die Dampfentwicklung aus der Anode nicht notwendig für die Existenz des Lichtbogens ist, so findet sie doch in Wirklichkeit in den meisten Fällen statt. Der Anodenfall

1) J. Stark u. M. Reich, Physik. Zeitschr. 4. p. 821. 1902.

des Lichtbogens ist nämlich in der Regel nicht kleiner, sondern zumeist größer als der Kathodenfall; das gleiche gilt darum auch von der elektrischen Arbeit und der von ihr erzeugten Wärmemenge an den Elektroden.

Von den Elektroden des Lichtbogens, von der Kathode notwendig, von der Anode in der Regel, dringen also nach der Mitte der Strombahn Dampfstrahlen vor. Indem man diese Dampfstrahlen in ihrer Zeit beanspruchenden Ausbreitung beim Einsetzen des Lichtbogens auf einer bewegten photographischen Schicht aufzeichnet, kann man die Geschwindigkeit bestimmen, mit welcher der Dampf von den Elektroden weg nach dem Gasinnern fortschreitet<sup>1)</sup>; diese Geschwindigkeit ist von der Größenordnung derjenigen des Schalles in dem erhitzten Dampf ( $2 \cdot 10^5 - 4 \cdot 10^4 \text{ cm} \cdot \text{sec}^{-1}$ ). Mit einer beträchtlich großen Geschwindigkeit strömt auch während des stationären Zustandes im Gleichstromlichtbogen Dampf beständig von den Elektroden weg nach dem Innern der Strombahn. Hier findet indes keine Anhäufung des Dampfes statt; es strömt nämlich gleichzeitig immer aus ihren heißen Teilen Dampf nach ihrer kälteren Grenzhülle, um hier kondensiert oder durch Sauerstoff oxydiert zu werden.

In der Versorgung der Strombahn mit Dampf konkurrieren also Anode und Kathode miteinander. Sind sie geometrisch und chemisch kongruent, so bleibt in dieser Konkurrenz zumeist die Anode Siegerin. In den meisten Fällen ist nämlich der Anodenfall größer als der Kathodenfall. Gleiches gilt dann auch von der Erwärmung der Elektroden. In diesem Fall *erhält die ganze positive Lichtsäule den Dampf von der Anode her geliefert*; die Kathode verdampft wohl auch, indes kommt der im kathodischen Lichtbüschel hervorströmende Dampf schon in unmittelbarer Nähe der Kathode wieder zur Kondensation. *Ja an der Kathode mag selbst von der Anode herbeiströmender Dampf sich kondensieren*, so daß eine Destillation von der Anode nach der Kathode erfolgt. Dies ist beispielsweise beim Quecksilber<sup>2)</sup> und auch beim Kohlenlichtbogen der Fall.

1) A. Schuster u. F. Hemsalech, Phil. Trans. 193. p. 189. 1899.

2) J. Stark u. M. Reich, l. c.

Der Lichtbogen kann in einem Raum erzeugt werden, der lediglich erfüllt ist von Dampf aus den Elektroden; dies ist beispielsweise beim Quecksilberlichtbogen im Vakuum der Fall. Er kann auch in einem Raum erzeugt werden, in dem ein Dampf oder Gas vorhanden ist, das von dem Elektrodenmetall chemisch verschieden ist, so in Luft, Wasserstoff oder Stickstoff. In diesem zweiten Falle schlägt der Lichtbogen mittels der Dampfentwicklung aus seinen Elektroden von selbst von der Anode nach der Kathode eine Brücke aus Dampf und leitet dann seine Stromlinien durch diesen Dampfkanal. Indes ist die Gegenwart des metalloidalen Gases in diesem Falle nicht gleichgültig für die Verhältnisse im Lichtbogen; es bestimmt nämlich den Dampfdruck und damit das Spannungsgefälle in der Strombahn. *Auch findet bis zu einem gewissen Grade eine Mischung von metallischem Dampf und metalloidalem Gas in der Strombahn statt. Diese Mischung beeinflusst das Spannungsgefälle in der positiven Lichtsäule.* Dieses ist nämlich bei gleichem Druck und gleicher Stromdichte in verschiedenen reinen Gasen und Dämpfen verschieden groß. Sehr klein ist es in Alkalidämpfen, größer in den Dämpfen der Schwermetalle und der Kohle, in metalloidalen Gasen beträchtlich größer als in den metallischen Dämpfen. Mischt man einem Metaldampf etwas metalloidales Gas bei, so steigt das Spannungsgefälle in der positiven Lichtsäule, ähnlich wie es in Wasserstoff und Stickstoff steigt, wenn man etwas Sauerstoff beimengt (El. i. G. p. 166). Je kleiner der Gehalt an Dampf im Vergleich zu dem metalloidalen Gas in der Strombahn ist, desto größer ist das Spannungsgefälle in der Lichtsäule; desto größere von den Ionen frei durchlaufene Spannungsdifferenzen kommen in ihr vor, und da von deren Größe der spektrale Charakter der Lichtstrahlung abhängt (El. i. G. p. 449), so ändert sich mit jenem Verhältnis von Dampf zu Gas auch der spektrale Charakter der Strahlung der Lichtbogensäule.

Nun nimmt der Dampfgehalt der Strombahn des Lichtbogens absolut und relativ ab mit abnehmender Stromstärke, weil proportional mit dieser die elektrische Arbeit und Wärmeentwicklung an den Elektroden abnimmt. Demgemäß ist zu erwarten, daß *bei kleinen Stromstärken des Lichtbogens die Strah-*

*lung der positiven Lichtsäule in der spektralen Intensitätsverteilung etwas von derjenigen bei großer Stromstärke abweicht.*

§ 4. *Ionen und Ionisierung im Lichtbogen.* — Die Ionen sind wie in anderen elektrischen Leitern so auch im Lichtbogen die Träger des Stromes. Es sind in diesem also positive und negative Ionen vorhanden. Über die Art und Masse der Ionen im Lichtbogen liegen noch keine experimentellen Untersuchungen vor. Doch läßt sich über sie mit ziemlicher Sicherheit folgendes vermuten.

Wie an anderer Stelle (El. i. G. p. 272; Naturw. Rundsch. 17. Nr. 42 u. 43. 1903) dargelegt wurde, haben wir bei der Strömung in Gasen und Dämpfen zwischen drei Arten von Ionen zu unterscheiden, zwischen den Elektron-, Atom- und Molionen. Die letzten entstehen aus negativen Elektron- und positiven Atomionen dadurch, daß sich an diese neutrale Gas- oder Dampfmoleküle anlagern. Dies ist indes nur möglich, wenn die relative Geschwindigkeit der Ionen in bezug auf die neutralen Moleküle klein ist. Nun aber ist diese Geschwindigkeit im Lichtbogen infolge der hohen Temperatur groß; darum *ist im Lichtbogen neben den Elektron- und Atomionen die Zahl der Molionen klein*; diese werden in der Hauptsache nur in der kälteren Oberfläche des Lichtbogenkernes vorkommen. Bereits in der nichtleuchtenden mit Salzdämpfen erfüllten Bunsenflamme sind die negativen Ionen überwiegend Elektronionen (Naturw. Rundsch. 17. Nr. 43. 1903); um so mehr wird dies in dem noch heißeren Lichtbogen der Fall sein. Ferner spricht die vollkommene Übereinstimmung der Lichtbogensäule mit der positiven Säule des Glimmstromes für das Vorhandensein negativer Elektronionen, ferner die Empfindlichkeit für magnetische Ablenkung und die große Geschwindigkeit, mit welcher der Zustand des Lichtbogens dank der großen Beweglichkeit seiner negativen Elektronionen einer Schwankung der Stromstärke folgt. Sind die positiven Ionen im Lichtbogen Atomionen, die negativen Elektronionen, so ist die spezifische Geschwindigkeit der negativen größer als diejenige der positiven Ionen. Dies wird sich durch Untersuchung des Halleffektes in der Lichtbogensäule feststellen lassen.

Als selbständige Strömung muß der Lichtbogen die Ionen in seiner Strombahn durch die Energie seines elektrischen



Feldes selbst sich liefern, sei es durch Ionisierung oder durch Elektrisierung oder durch beide Vorgänge zugleich. Wie in der leuchtenden Anodenschicht (El. i. G. p. 70) und in der positiven Lichtsäule des Glimmstromes (El. i. G. p. 63), so hat auch in der Anodenschicht und in der positiven Säule des Lichtbogens Ionisierung durch den Stoß der negativen Elektronen statt. Diese Ionisierung braucht darum hier nicht weiter besprochen zu werden. Es sei lediglich darauf hingewiesen, daß die Ionenenergie der Metalle (Physik. Zeitschr. 3. p. 403. 1902) und darum auch die Ionisierungsspannung der negativen Elektronen in der Lichtbogensäule klein ist; ferner ist der Einfluß der Temperatur auf das Spannungsgefälle zu beachten (Ann. d. Phys. 8. p. 837. 1903).

Der Stoß der negativen Elektronen erzeugt also unmittelbar an der Anode und von da weg in der positiven Lichtsäule bis zum dunklen Zwischenraum positive und negative Ionen aus neutralen Atomen. Die negativen Ionen strömen nach der Anode weiter, die positiven nach der Kathode. Der kathodische Stromteil wird mit positiven Ionen aus der Lichtsäule her durch die ionisierende Wirkung der negativen Ionen versorgt. Dies ist so lange möglich, als der Lichtsäule von der Kathode her negative Elektronen nachgeliefert werden zum Ersatz derjenigen, welche nach der Anode abwandern. Soll darum die Strömung existieren können, so müssen in ihrem kathodischen Stromteil beständig negative Ionen neu erzeugt werden.

Diese Bedingung wird beim Glimmstrom dadurch erfüllt, daß die positiven Ionen an der Kathode den Kathodenfall zwischen negativer Glimmschicht und Kathodenoberfläche frei durchlaufen und in deren Nähe das Gas durch ihren Stoß ionisieren (El. i. G. p. 67). Man könnte nun denken, daß an der Kathode des Lichtbogens der gleiche Vorgang, Ionisierung durch den Stoß positiver Ionen, stattfinde, lediglich mit dem Unterschied, daß beim Glimmstrom die Ionisierung in einem metalloidalen Gas, beim Lichtbogen in dem metallischen Dampf erfolge. Diese Vorstellung ist indes nicht richtig. Sie ist auf die stillschweigende Annahme basiert, daß der normale Kathodenfall des Glimmstromes in metallischem Dampf viel kleiner sei als in metalloidalem Gas und hätte zur Folge, daß

ein prinzipieller Unterschied zwischen Lichtbogen und Glimmstrom in einem Metaldampf nicht vorhanden wäre. Weder jene Annahme noch diese Folgerung ist indes richtig, wie der Fall des Quecksilberlichtbogens lehrt. In reinem Quecksilberdampf beträgt nämlich der normale Kathodenfall des Glimmstromes über 300 Volt, derjenige des Lichtbogens ungefähr 5 Volt; obwohl beide Stromarten in Anodenschicht und positiver Lichtsäule im Quecksilberdampf vollkommen übereinstimmen, so sind sie doch in ihrem kathodischen Teil dem äußeren Aussehen und dem elektrischen Verhalten nach prinzipiell voneinander verschieden.

*Es ist also daran festzuhalten, daß im Lichtbogen die negativen Ionen unmittelbar an der Kathode nicht innerhalb des Dampf-  
raumes durch den ionisierenden Stoß der positiven Ionen gewonnen werden. Dies ist im Glimmstrom der Fall. Beim Lichtbogen werden die negativen Elektronionen aus der Kathode selbst und zwar nicht durch Ionisierung, sondern durch Elektrisierung gewonnen. Dieser Satz wird in den folgenden Abschnitten ausführlich begründet werden.*

Nachdem nun der Unterschied zwischen Glimmstrom und Lichtbogen scharf hervorgehoben ist, sei noch auf eine Übereinstimmung zwischen beiden hinsichtlich der Ionisierung hingewiesen. Indem die negativen Elektronionen im Glimmstrom von der Kathode weg bis zur negativen Glimmschicht den Kathodenfall frei durchlaufen, gewinnen sie eine mehr als genügend große kinetische Energie, um in der negativen Glimmschicht durch ihren Stoß das Gas zu ionisieren. Ihre Ionisierungsspannung im Luftinnern beträgt nämlich noch nicht 50 Volt, der normale Kathodenfall an Platin in Luft 340 Volt. Wenn darum ein positives Ion, nachdem es diesen Kathodenfall durchlaufen hat, in der ersten Kathodenschicht nur ein Ionenpaar durch seinen Stoß zu liefern vermag, kann das negative Ion in der negativen Glimmschicht sechs positive und sechs negative Ionen in Freiheit setzen. Ähnliches muß man beim Lichtbogen erwarten. Bei diesem durchlaufen die negativen Elektronionen von der Kathode weg ebenfalls den Kathodenfall frei und besitzen dann im Anfang des kathodischen Lichtbüschels eine beträchtliche kinetische Energie. Der Kathodenfall beträgt zwar in diesem Falle nur 5—15 Volt; dafür

ist aber in dem Metaldampf die Ionisierungsspannung der negativen Ionen kleiner. Es ist darum anzunehmen, daß im Anfang des kathodischen Lichtbüschels die negativen Elektronen, welche den Kathodenfall frei durchlaufen, den Metaldampf durch ihren Stoß ionisieren.

§ 5. *Über Temperaturerhöhung durch Ionen.* — Bei den Gasen messen wir die mittlere kinetische Energie des einzelnen Teilchens durch die absolute Temperatur. Insofern wir die Ionen in einem Gase in jeder anderen Hinsicht als ein Gas behandeln, dürfen wir auch von einer Temperatur der Ionen sprechen. Diese Bezeichnungsweise wird bedenklich, wenn die Ionen in einem elektrischen Felde sich bewegen. Dann erhalten sie nämlich aus diesem, indem sie eine Spannungsdifferenz frei durchlaufen, beständig kinetische Energie. Dadurch wird ihre mittlere kinetische Energie einerseits größer als diejenige der neutralen Moleküle, andererseits wird ihre Bewegung durch das elektrische Feld gerichtet; die Bewegung der Ionen ist also im elektrischen Feld nicht mehr vollkommen ungeordnet wie diejenige der neutralen Gasmoleküle. Trotzdem ich mir dieses Unterschiedes bewußt war, habe ich in meinem Buche (El. i. G. p. 417) auch von einer Temperatur der elektrisch bewegten Ionen gesprochen; um auf den wichtigen Unterschied zwischen der kinetischen Energie der Ionen und der neutralen Moleküle eindringlich aufmerksam zu machen, wollte ich lieber Gefahr laufen, mißverstanden zu werden.

Indem wir uns des Unterschiedes zwischen der Bewegung der Ionen und der neutralen Moleküle bewußt bleiben, wollen wir auch im folgenden von einer Temperatur der Ionen sprechen.

Die absolute Temperatur mißt die mittlere kinetische Energie eines Gasteilchens. Beim Ion ist kinetische Energie äquivalent einer frei durchlaufenen Spannungsdifferenz. Darum kann beim Ion die absolute Temperatur auch in frei durchlaufener Spannungsdifferenz gemessen werden.

Die kinetische Energie in einem Gase fließt von selbst von Stellen höherer Temperatur zu Stellen niedrigerer Temperatur. Bringt man ein Gas in Kontakt mit einem niedriger temperierten Körper, so sucht sich die Temperatur durch Strömung der Wärme auszugleichen. Die Gesamtheit der positiven und negativen Ionen in der Bahn eines elektrischen

Stromes in einem Gas stellt ein Gas von bestimmter Temperatur dar; diese ist um so größer, je größer die frei durchlaufenen Spannungsdifferenzen sind. Das Ionengas befindet sich in Kontakt mit dem niedriger temperierten neutralen Gas, der Kontakt ist durch die Mischung der beiden Gase ein besonders vielseitiger. *Im elektrischen Felde strömt von dem höher temperierten Ionengas nach dem kälteren neutralen Gas beständig kinetische Energie.* Das positive bez. negative Ionengas berührt außerdem an der Kathode bez. Anode in einer ausgedehnten Grenzfläche einen festen oder flüssigen Fremdkörper. Ist es dank frei durchlaufener Spannungsdifferenz höher temperiert als die Elektrode, so strömt von ihm nach dieser ebenfalls kinetische Energie. Dies trifft in den meisten Fällen zu, da der Anoden- und Kathodenfall beträchtlich sind und von den negativen bez. positiven Ionen frei durchlaufen werden.

Die mittlere Temperatur des Ionengases ist im elektrischen Felde größer als diejenige des neutralen Gases und auch größer als die mittlere Temperatur der Mischung aus Ionengas und neutralem Gas. *Die maximale Temperatur in der Mischung wird gemessen durch die maximale frei durchlaufene Spannungsdifferenz.* Hält man diese konstant und vergrößert das Verhältnis von spezifischer Ionenzahl zu spezifischer Molekülzahl (Zahl in  $1 \text{ cm}^3$ ), vergrößert man also die Stromdichte, so steigt nicht die maximale Temperatur der Ionen, wohl aber nimmt die mittlere Temperatur des neutralen Gases und diejenige der Mischung zu. *Diese mittlere Temperatur strebt mit wachsender Stromdichte dem Wert der maximalen Ionen-temperatur zu,* wenn das Verhältnis von spezifischer Ionenzahl zu spezifischer Molekülzahl dem Werte Eins sich nähert. Ähnliches gilt für die Erwärmung einer Elektrode durch das positive oder negative Ionengas. Die maximale Temperatur wird in dem System Ionengas-Fremdkörper trotz Vermehrung von Stromdichte und Stromstärke so lange nicht größer, als die frei durchlaufene Spannungsdifferenz der Ionen nicht größer wird. Der Grenzwert der mittleren Temperatur, welchen das von dem Ionengas an den Kontaktstellen erwärmte Medium durch Erhöhung der Stromdichte erreichen kann, ist bestimmt durch die Spannungsdifferenz, welche die Ionen bis zu den Kontaktstellen hin frei durchlaufen haben.



§ 6. *Negative Strahlung glühender Metalle.* — Mehr und mehr gewinnt die Ansicht an Boden, daß in den metallischen Leitern negative Elektronionen vorhanden seien. Diese können aus der metallischen Oberfläche in den angrenzenden Gasraum unter den gewöhnlichen Umständen deswegen nicht austreten, weil sie in der Grenzfläche durch eine Kontaktkraft zurückgehalten werden. Werden sie durch irgend eine Wirkung entgegen dieser Kraft durch die Grenzfläche hindurchgeführt aus der Wirkungssphäre der Kontaktkraft heraus, so wird dabei eine Arbeitsmenge (Elektrisierungsarbeit) verzehrt und potentiell, welche mindestens gleich ist der Kontaktenergie (El. i. G. p. 99, 373).

Um die negativen Elektronionen aus Metallflächen mit Hilfe der elektrischen Kraft herauszutreiben, müßte man auf den Wirkungsbereich der Kontaktkraft eine Spannungsdifferenz legen, welche mindestens gleich ist der Kontaktenergie. Da diese nicht unbeträchtlich, jener sehr klein ist, so würde jene Bedingung nur erfüllt sein, wenn das Spannungsgefälle unmittelbar an der Metalloberfläche einen ungeheuer großen Wert besäße. Wahrscheinlich kann man mit Hilfe der elektrischen Kraft die negativen Elektronionen aus Metalloberflächen in den angrenzenden Gasraum nur bei sehr kleinem Elektrodenabstand heraustreiben. Da beim Lichtbogen das Spannungsgefälle unmittelbar an der Kathodenoberfläche nicht einen sehr großen Wert hat, so *kann es nicht die direkte Wirkung der elektrischen Kraft sein, welche die negativen Ionen aus der Kathode heraustreibt.*

Bestrahlung der Metalle mit Licht, besonders mit kurzwelligem, ist ein Mittel, negative Elektronionen aus einer Metallfläche in den angrenzenden Gasraum zu treiben. Im Lichtbogen erhält die Kathode von der Anode und der Dampfsäule Licht zugestrahlt, sie selbst sendet intensives Licht aus; es muß also an ihrer Oberfläche unter der Wirkung des Lichtes eine intensive Ausstrahlung negativer Elektronen stattfinden. *Indes reicht diese lichtelektrische Wirkung nicht aus, um die Stromdichte der negativen Elektronionen an der Lichtbogenkathode zu erklären.* In den Versuchen, in denen eine kalte Metallfläche durch Lichtbogenlicht bestrahlt wurde, war die Stromdichte ( $\text{Amp.} \times \text{cm}^{-2}$ ) der unter der lichtelektrischen



Wirkung austretenden negativen Elektronionen nicht größer als  $10^{-8}$ . Nehmen wir an, die Lichtintensität in der Strombasis der Lichtbogenkathode sei  $10^6$  mal größer als in jenen Versuchen, so wäre die Stromdichte der negativen Elektronionen an der Lichtbogenkathode infolge der lichtelektrischen Wirkung  $10^{-2}$ . Nun aber ist die wirkliche Stromdichte der negativen Elektronionen an der Lichtbogenkathode größer als  $10^2$ .

Ein anderer Weg, negative Elektronionen aus Metallflächen in den angrenzenden Gasraum zu befördern, besteht darin, ihnen eine so große kinetische Energie zu erteilen, daß sie den Bereich der Kontaktkraft zu durchfliegen vermögen, ohne durch sie zur Umkehr gezwungen zu werden, ehe sie in den kräftefreien Gasraum übergetreten sind. Dieser Weg ist in der Tat praktisch gangbar. Drängt man die Wirkung eines erhitzten Metalles auf das umgebende Gas zurück, indem man das Gas möglichst verdünnt, so geht von dem Metall bei höherer Temperatur eine negative Ladung weg, wie von verschiedenen Seiten beobachtet wurde (El. i. G. p. 102). J. J. Thomson<sup>1)</sup> hat durch den Versuch festgestellt, daß es negative Elektronionen sind, welche von weißglühenden Metallen ausgehen. Richardson<sup>2)</sup> hat an Platin und Kohle die Stromdichte der negativen Strahlung in ihrer Abhängigkeit von der Temperatur untersucht. Seine Messungen erstreckten sich bis zu  $1600^\circ$ , sie lassen sich durch die Formel darstellen  $j = A \cdot T^{3/2} \cdot e^{-b/T}$ , wo  $j$  die Stromdichte in statischem Maße auf  $1 \text{ cm}^2$ ,  $T$  die absolute Temperatur,  $A$  und  $b$  eine Konstante,  $e$  die Basis der natürlichen Logarithmen bezeichnet. Für Platin war  $A = 10^{26}$ ,  $b = 4,93 \cdot 10^4$ , für Kohle  $A = 10^{24}$ ,  $b = 7,8 \cdot 10^4 - 11,9 \cdot 10^4$ . Die größte von ihm an Kohle beobachtete Stromdichte betrug  $2 \text{ Amp.} \times \text{cm}^{-2}$ . Bei  $1600^\circ$  ist die lichtelektrische Wirkung noch gering, an der Lichtbogenkathode ist die von ihr bewirkte negative Stromdichte noch nicht  $10^{-2}$ . *Daraus geht hervor, daß hohe Temperatur ein viel wirksameres Mittel ist, Metallflächen zur Ausstrahlung negativer Elektronionen zu veranlassen, als die Bestrahlung mit Licht.*

1) J. J. Thomson, Phil. Mag. 48. p. 547. 1899.

2) O. W. Richardson, Proc. Roy. Soc. 71. p. 415. 1903.

Richardson hat auf Grund seiner Messungen auch die Werte der Kontaktenergie berechnet, welche die negativen Elektronen in bezug auf die von ihm untersuchten glühenden Metalle besitzen. Er gibt für Kohle 6,1, für Platin 4,1 Volt an. Diese Zahlen sind jedenfalls der Größenordnung nach richtig. Nur also, wenn die Temperatur eines negativen Elektrons in einer Kohlenoberfläche größer ist als 6,1 Volt, vermag es aus dieser in den angrenzenden Gasraum zu entweichen. Bei mäßiger Temperatur besitzen nur wenige Elektronen zufällig diese hohe Temperatur, ihre Zahl wächst aber rasch mit steigender Temperatur.

§ 7. *Hohe Temperatur der Kathode als Existenzbedingung des Lichtbogens.* — Die Temperaturen, welche nach verschiedenen Methoden für den Lichtbogen, speziell für seine anodische und kathodische Basis gefunden wurden, liegen zwischen 2500 und 3500°. Nehmen wir als absolute Temperatur der kathodischen Strombasis 2500° und berechnen mit Hilfe der von Richardson gefundenen Formel durch Extrapolation die negative Strahlung der Lichtbogenkathode bei dieser Temperatur. Für Kohle ( $A = 10^{34}$ ,  $b = 10^5$ ) ergibt sich als Stromdichte der negativen Elektronen  $10^9 \text{ Amp.} \times \text{cm}^{-2}$ , für Platin ( $A = 10^{26}$ ,  $b = 5 \cdot 10^4$ )  $10^9 \text{ Amp.} \times \text{cm}^{-2}$ . Mag durch die Extrapolation dieser Wert auch  $10^3$  mal zu groß gefunden sein, so bleibt die Ausstrahlung negativer Elektronen an der Lichtbogenkathode infolge der hohen Temperatur doch immer sehr groß, wie sie auch in Wirklichkeit an der Lichtbogenkathode sich konstatieren läßt.

*Hohe Temperatur in der kathodischen Strombasis des Lichtbogens ist also eine hinreichende und, wie wir annehmen wollen, die notwendige Bedingung dafür, daß aus der Lichtbogenkathode in den angrenzenden Dampfraum negative Elektronen in großer Zahl übertreten.* Und da nach § 4 für das Bestehen des Lichtbogens notwendig ist, daß von der Kathode her negative Elektronen beständig nachgeliefert werden, so kann hohe Temperatur in der Strombasis der Lichtbogenkathode als Existenzbedingung des Lichtbogens bezeichnet werden. In der Tat zeigt die Erfahrung, daß die kathodische Strombasis des Lichtbogens immer und unter allen Umständen bis auf Weißglut erhitzt ist.

Es scheint, daß es für eines und dasselbe Kathodenmetall

nicht mehrere, sondern immer nur eine Temperatur der Kathode gibt, bei welcher der Lichtbogen existiert. Damit intensive Strahlung in der Strombasis statthabe, muß nämlich die mittlere Temperatur der negativen Elektronen und damit der Strombasis mindestens gleich sein der Spannungsdifferenz, welche die Kontaktenergie in der Grenze von Dampfraum und Metall mißt. Demnach muß die Temperatur in der kathodischen Strombasis des Lichtbogens gleich dieser Spannungsdifferenz sein. Insofern die Kontaktenergie von Metall zu Metall verschieden groß ist, wird auch die Temperatur in der kathodischen Strombasis des Lichtbogens für verschiedene Metalle verschieden hoch sein.

Da der Lichtbogen eine selbständige Strömung ist, so muß die Arbeit zur Schaffung der Ionisation in seiner Strombahn, also in erster Linie zur Gewinnung der negativen Elektronen an seiner Kathode der Energie des eigenen elektrischen Feldes entnommen werden; es muß die hohe Temperatur in der kathodischen Strombasis von der elektrischen Strömung selbst hergestellt und aufrecht erhalten werden. Dies geschieht durch Erwärmung der kathodischen Strombasis von seiten des positiven sie berührenden Ionengases. Indem die positiven Ionen den Kathodenfall frei durchlaufen, gewinnen sie eine äquivalent große kinetische Energie oder Temperatur, diese teilen sie dann durch Berührung der kathodischen Strombasis und damit den in dieser liegenden negativen Elektronen mit.

*Insofern die Temperatur in der kathodischen Strombasis sowohl von der maximalen Temperatur als auch von der Stromdichte der positiven Ionen abhängt, läßt sich an Stelle einer bestimmten hohen Temperatur als Existenzbedingung des Lichtbogens auch ein bestimmter Wert des Kathodenfalles (Temperatur) und der Stromdichte der positiven Ionen definieren.* Dies geschieht in den zwei folgenden Paragraphen. Hier sei noch auf einige interessante Analogien und Unterschiede hingewiesen.

Sowohl beim Glimmstrom wie beim Lichtbogen sind es die positiven Ionen, welche an der Kathode die negativen Ionen erzeugen und die Existenz der selbständigen Strömung ermöglichen. Indes entstehen die negativen Ionen beim Glimmstrom *in dem Gase durch den Stoß der positiven Ionen*, beim Lichtbogen kommen sie *aus dem Kathodenmetall durch Elektrisierung* infolge der von den positiven Ionen erzeugten hohen

Temperatur. Die Ionisierungsarbeit (100—400 Volt) im ersten Fall ist größer als die Elektrisierungsarbeit (5—20 Volt) im zweiten Falle. Beim Glimmstrom treten die negativen Elektronen nicht als freie Ionen von dem Metall in das Gas über, sondern die positiven Ionen treten unmittelbar an die Kathode heran, beladen sich mit negativen Elektronen aus dem Metall und können sich dann mit ihnen zusammen als elektrisch neutrale Systeme wieder entfernen. *Beim Lichtbogen treten dagegen die negativen Elektronen durch die Grenzfläche von Metall und Dampfraum in kontinuierlicher Strömung hindurch, ähnlich wie sie an der Grenzfläche zweier verschiedener Metalle von dem einen zu dem anderen hinüberströmen.*

§ 8. *Kathodenfall bez. Minimalspannung als erste Existenzbedingung des Lichtbogens.* — Die mittlere Temperatur in der kathodischen Strombasis muß mindestens gleich sein der Spannungsdifferenz, welche die Kontaktenergie in der Grenze Kathode—Dampfraum mißt. Diese Temperatur ist im Maximum gleich derjenigen der positiven Ionen, welche die kathodische Strombasis treffen. Damit also hier jene Temperatur zustande kommen und der Lichtbogen existieren kann, darf die von den positiven Ionen an der Kathode frei durchlaufene Spannungsdifferenz, der Kathodenfall, nicht unter ein bestimmtes Minimum sinken.

Der Spannungsabfall an der Kathode kann nicht hergestellt werden, ohne daß gleichzeitig auch auf den übrigen Teil der Strombahn Spannung gelegt wird; und ist die Strombahn sehr kurz, so muß neben dem Spannungsabfall an der Kathode mindestens derjenige an der Anode noch hergestellt werden. Die Existenzbedingung für den Lichtbogen, daß der Kathodenfall einen bestimmten Wert nicht unterschreiten darf, hat darum eine analoge Forderung für die Elektrodenspannung zur Folge. *Damit nämlich der Lichtbogen existieren kann, darf seine Elektrodenspannung nicht unter einen bestimmten Minimalwert (Minimalspannung) sinken.* Die Minimalspannung bei sehr kleinem Elektrodenabstand ist gleich der Summe aus Anoden- und Kathodenfall; unterhalb der Minimalspannung ist der Lichtbogen nicht möglich.

§ 9. *Stromdichte als zweite Existenzbedingung, Grenzstromstärke.* — Das Vorhandensein eines genügend großen Spannungs-

abfalles an der Kathode ist wohl eine notwendige, aber allein nicht hinreichende Bedingung für die Existenz des Lichtbogens. Im Glimmstrom ist an der Kathode ein viel größerer Spannungsabfall gegeben als im Lichtbogen und trotzdem ist dieser nicht vorhanden. Es hat in diesem Falle unter dem Stoß auftretender positiver Ionen an einzelnen Stellen der Kathode wohl auch Aussendung negativer Elektronionen statt, aber weitaus nicht in der großen Dichte, wie sie für den Lichtbogen charakteristisch ist. Es ist für diesen notwendig, daß die ganze kathodische Strombasis die hohe Temperatur der auftreffenden positiven Ionen annimmt; dies ist nur möglich, *wenn die Stromdichte der auftreffenden positiven Ionen sehr groß ist* und oberhalb eines bestimmten Minimalwertes liegt, der wahrscheinlich für jedes Kathodenmetall ebenso wie der Kathodenfall eine charakteristische Konstante ist.

Die kathodische Strombasis teilt sich in zwei Bezirke. Ihr Zentrum ist weißglühend, besitzt überall dieselbe Temperatur und sendet negative Elektronionen in sehr großer Dichte aus. Dieses Zentrum ist umgeben von einem ringförmigen Gebiet, in dem die Temperatur niedriger ist als die Existenztemperatur des Lichtbogens; es wird von dem zentralen Gebiet her durch Leitung erwärmt; auch hat an ihm Aussendung von negativen Elektronionen statt, aber nicht in derjenigen Dichte, wie sie für den Lichtbogen charakteristisch ist; die auf ihm sitzende Strömung ist eine unselbständige, ähnlich wie zwischen sekundär erhitzten Elektroden bei kleiner Elektrodenspannung. Bei Steigerung der Stromstärke des Lichtbogens steigt durch Leitung von dem zentralen Gebiet her die Temperatur an der inneren Grenze des Ringgebietes bis zu derjenigen des Zentralgebietes; dieses wächst also mit wachsender Stromstärke nach außen, so daß *die Stromdichte sich nur wenig mit der Stromstärke ändert*.

Mit abnehmender Stromstärke wird nach dem Vorhergehenden sowohl das Zentral- wie das Ringgebiet der kathodischen Strombasis kleiner. Ist diese einmal sehr klein geworden, so wird die geringste sekundäre Störung genügen, um auf dem ganzen Zentralgebiet die Temperatur zu erniedrigen und so den Lichtbogen auszulöschen. Aus diesem Grunde *vermag der Lichtbogen bei sehr kleiner Stromstärke nicht zu existieren*, selbst wenn die elektromotorische Kraft des Stromkreises



groß ist. *Die Grenzstromstärke*, unterhalb welcher der Lichtbogen nicht existieren kann, ist für diesen nicht eine so charakteristische Konstante wie der Kathodenfall und die Stromdichte, sie hängt von den gegebenen Umständen ab, welche die Temperatur an der Kathode bedingen; sie hat mehr einen praktischen als theoretischen Wert.

Die der Kathode zugeführte elektrische Leistung bleibt zum Teil in dem Zentralgebiet der kathodischen Strombasis und wird hier zur Aussendung von negativen Elektronionen und Metaldampf verbraucht, zum Teil strömt sie durch Leitung in das Ringgebiet und in das Innere der Kathode. *Bei gleicher elektrischer Leistung ist das Zentralgebiet um so größer und damit die Grenzstromstärke um so kleiner, je kleiner die Wärmemenge ist, die in der Zeiteinheit von dem Zentralgebiet durch Leitung fortströmt.*

§ 10. *Innere elektromotorische Kräfte im Lichtbogen.* — Stellt man im Vakuum einem weißglühenden Metall eine Elektrode gegenüber und verbindet sie zu einem geschlossenen Kreis, so fließt in diesem ein Strom, dessen negative Komponente im Vakuum von dem heißen zu dem kalten Metall fließt. *Die Ausstrahlung negativer Elektronionen durch das glühende Metall wirkt hierbei als eine innere elektromotorische Kraft.*

*Analog haben wir auch an der Kathode des Lichtbogens infolge der hohen Temperatur eine innere elektromotorische Kraft anzunehmen, welche negative Elektrizität in der Richtung Kathode—Anode, also im gleichen Sinne wie das Spannungsgefälle treibt.* Besitzt auch die Anode eine hohe Temperatur, wie es im gewöhnlichen Kohlenlichtbogen immer der Fall ist, so tritt an ihr ebenfalls eine innere elektromotorische Kraft auf, indes sucht diese hier die negative Elektrizität in der Richtung Anode—Kathode zu treiben, wird also durch einen entgegengesetzt gleich großen Spannungsabfall kompensiert. Duddell<sup>1)</sup> stellte in der Tat fest, daß an der Kathode des Kohlenlichtbogens eine innere elektromotorische Kraft im Betrage von ungefähr 6 Volt, an der Anode im Betrage von 17 Volt wirkt; hier gegensinnig, dort gleichsinnig mit dem Spannungsabfall.

1) W. Duddell, Proc. Roy. Soc. 68. p. 512. 1901.

Es ist viel darüber geschrieben worden, ob die Minimalspannung des Lichtbogens eine elektromotorische Gegenkraft darstelle im Sinne der elektromotorischen Gegenkraft in Elektrolyten. Diese Frage ist nach dem Vorstehenden folgendermaßen zu beantworten. *Es tritt im Lichtbogen bei hoher Temperatur der Anode wohl eine elektromotorische Gegenkraft auf, als Summe der inneren elektromotorischen Kräfte an der Anode und an der Kathode. Aber sie ist beträchtlich kleiner als die Minimalspannung.* Diese ist nicht durch eine Gegenkraft, sondern dadurch bedingt, daß an der Kathode ein Minimum von Arbeit geleistet werden muß, um die Ausstrahlung negativer Elektronen in großer Dichte zu bewirken.

Die Frage nach dem Vorhandensein einer inneren Gegenkraft glaubte man experimentell dadurch in negativem Sinne beantworten zu können, daß man den Lichtbogen unmittelbar nach dem Erlöschen auf eine innere elektromotorische Kraft untersuchte. Derartige Messungen können deswegen nicht zur Entscheidung der Frage mitsprechen, da der Zustand des Lichtbogens nach den Untersuchungen Duddells ungemein rasch den Änderungen der Stromstärke folgt.

## II. Kritische Stromstärke und Grenzstromstärke.

§ 11. *Definition der kritischen Stromstärke.* — Bestimmt man für verschiedene Elektrodenabstände ( $l_1, l_2, \dots$ ) oder ver-

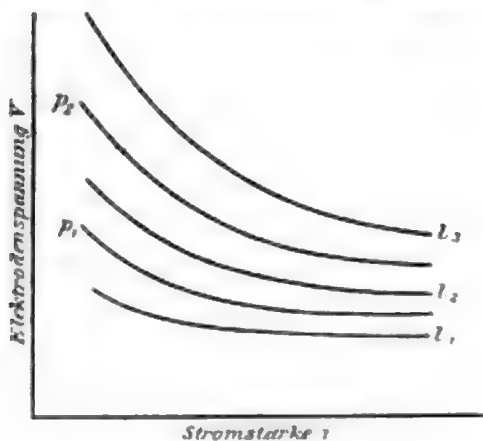


Fig. 3.

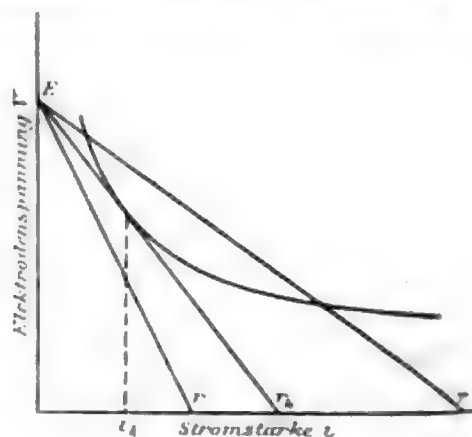


Fig. 4.

schiedene Gasdrücke ( $p_1, p_2, \dots$ ) die zusammengehörigen Werte von Stromstärke  $i$  und Elektrodenspannung  $V$  des Lichtbogens, so erhält man Kurven von der Art wie sie Fig. 3 zeigt. Diese

Kurven gelten unabhängig von elektromotorischer Kraft  $E$  und äußerem Ohmschen Widerstand  $r$  des Stromkreises.  $E$  sei konstant,  $r = (E - V)/i$  wird dann dargestellt durch eine Gerade, welche durch  $E$  geht und mit der  $V$ -Achse den Winkel  $\text{arc cotg } r$  bildet (Fig. 4). Sind  $l$ ,  $p$  und  $E$  konstant, so gilt für  $r$  folgendes. Solange die Widerstandsgerade  $E, r$  die  $V, i$ -Kurve schneidet, ist für den zugehörigen Widerstand der Lichtbogen möglich; er ist unmöglich für alle Werte von  $r$ , deren zugehörige Geraden  $E, r$  die  $V, i$ -Kurve nicht schneiden. Derjenige Widerstand  $r_k$  (kritischer Widerstand), welcher die beiden Variationsgebiete von  $r$  scheidet, ist derjenige, für welchen die zwei Schnittpunkte von  $E, r$  mit der  $V, i$ -Kurve ausammenfallen, für welchen also die Gerade  $E, r$  Tangente ist.  $r_k$  hat demgemäß folgende zwei Bedingungsgleichungen<sup>1)</sup> zu erfüllen:

$$(1) \quad i \cdot r = E - V,$$

$$(2) \quad r = - \frac{\partial V}{\partial i}.$$

Die zu  $r_k$  gehörige Stromstärke  $i_k$  heiße die kritische Stromstärke, sie ist die kleinste Stromstärke, welche bei gegebenen  $l$ ,  $p$  und  $E$  für den Lichtbogen möglich ist; sie berechnet sich aus der Gleichung:

$$- i_k \left( \frac{\partial V}{\partial i} \right)_{i=i_k} = E - V.$$

Zur Bestimmung von  $i_k$  hat man den Lichtbogen für einen Widerstand  $r < r_k$  herzustellen, dann  $r$  langsam zu vergrößern, bis der Lichtbogen erlischt; die Stromstärke im Moment des Erlöschens ist die kritische.

§ 12. *Zulässige und unzulässige Störungen, theoretischer und praktischer Wert der kritischen Stromstärke.* — Bei den Kurven der Fig. 3 ist angenommen, daß  $l$  und  $p$  für alle Punkte einer und derselben Kurve konstant seien. In der Praxis ist es dagegen unmöglich, jegliche kleine Änderung von  $p$  und  $l$  auszuschließen. Insbesondere ist durch sekundäre Störungen, wie durch den Auftrieb des erhitzten Dampfes, der Elektrodenabstand

1) Die gleiche Bedingung ist auf anderem Wege auch von H. Ayrton, Zusammenfassung früherer Abhandlungen in *The electric arc* p. 241. London 1903, ferner von W. Kaufmann, *Ann. d. Phys.* 2. p. 158. 1900 und G. Granquist, *Ges. Wissenschaft. zu Upsala*, 1903 aufgestellt worden.

beständig kleinen Schwankungen zwischen einem bestimmten Minimum (kürzester Abstand  $l_m$  der Elektroden) und den nächstliegenden höheren Werten unterworfen. Hierbei bewegt sich der  $V, i$ -Punkt auf der Widerstandsgeraden von der  $V, i$ -Kurve für den Abstand  $l_m$  nach der  $V, i$ -Kurve für den Abstand  $l_m + \Delta l$  hinüber. Der Lichtbogen kann offenbar für jede Störung existieren, für welche die Widerstandsgerade  $E, r$  die  $(V, i)_{l_m + \Delta l}$ -Kurve schneidet.  $l_m + \Delta l$  berechnet sich aus den Gleichungen (1) und (2). Jede Störung indes, welche eine größere Amplitude von  $l$  hervorbringt, ist unzulässig, wenn der Lichtbogen nicht erlöschen soll.

Die maximal zulässige Amplitude  $\Delta l$  ist um so kleiner, je größer das Verhältnis  $r/r_k$  ist. Ist darum  $r$  nur wenig kleiner als  $r_k$ , so erlischt der Lichtbogen schon bei einer geringen Störung. Es ist aus diesem Grunde nicht möglich, den theoretischen Wert von  $i_k$  direkt experimentell genau zu ermitteln, da sich die sekundären Störungen nie ganz ausschließen lassen. *Der praktische Wert der kritischen Stromstärke ist nur eine obere Grenze des theoretischen Wertes.*

§ 13. *Kritische Stromstärke als Funktion des Elektrodenabstandes.* — Der Anblick der Fig. 4 und die Gleichungen (1) und (2) lehren, daß bei konstanter elektromotorischer Kraft die kritische Stromstärke des Lichtbogens zunimmt mit wachsendem Elektrodenabstand. Die Tab. I gibt die Werte der

Tabelle I.

Elektrodenabstand in mm	Kathode ohne Seele	Kathode mit Seele
0,6	0,64	0,59
1,2	0,71	0,53
1,8	0,78	0,54
2,4	0,86	0,55
3,0	0,95	0,57

kritischen Stromstärke in Ampère, welche für verschiedene Elektrodenabstände in freier Luft bei 130 Volt elektromotorischer Kraft erhalten wurden. Als Elektroden dienten 3 mm dicke Kupferdrähte; in der zweiten Reihe besaßen sie eine mit Silber zentral eingelötete Seele von 0,7 mm dickem Platindraht.

Fig. 5 gibt die Messungen graphisch wieder. Wie man sieht, hat die Gegenwart der Platinseele eine Erniedrigung der praktischen kritischen Stromstärke zur Folge. Dies rührt offenbar daher, daß sie die Amplituden in der Schwankung der Bogenlänge verkleinert; diese Wirkung scheint bei kleinem Elektroden-

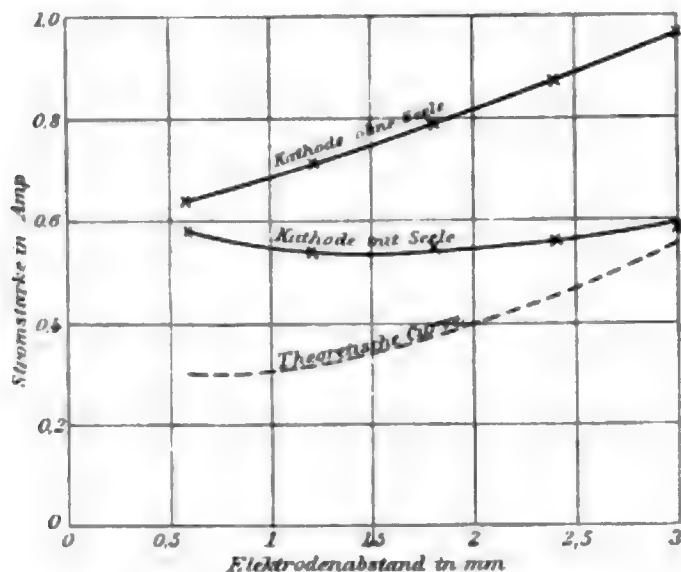


Fig. 5.

abstand kleiner zu sein als bei größerem, so daß die kritische Stromstärke mit wachsendem Elektrodenabstand erst etwas abnimmt und dann erst zunimmt, wie es die Theorie verlangt.

§ 14. *Kritische Stromstärke und Selbstinduktion.* — Im nächsten Paragraphen ist gezeigt, daß die kritische Stromstärke kleiner wird, wenn die elektromotorische Kraft wächst. Bei variablem Strom gilt

$$i \cdot r = E - L \frac{di}{dt} - V,$$

wo  $L$  der Selbstinduktionskoeffizient ist. Bei einer Störung, die in einer Zunahme der Bogenlänge besteht, ist  $di/dt$  negativ,  $-L di/dt$  also positiv. Ist also in dem Stromkreis Selbstinduktion vorhanden, so wird die elektromotorische Kraft bei einer Stromschwankung vergrößert, es sind dann in der Nähe des theoretischen Wertes der kritischen Stromstärke, welcher ja für den stationären Zustand gilt, vorübergehend größere Amplituden der Bogenlänge ohne Erlöschen des Lichtbogens möglich, als wenn keine Selbstinduktion vorhanden ist. In einem Stromkreis mit Selbstinduktion ist also der praktische Wert der



kritischen Stromstärke des Lichtbogens kleiner oder mit anderen Worten, er läßt sich näher an den theoretischen Wert heranzuführen als in einem Stromkreis mit Selbstinduktion. Dieses zeigen die nachstehenden Messungen, welche an 3 mm dicken Kupferelektroden mit Platinseele in freier Luft mit 130 Volt elektromotorischer Kraft aufgenommen wurden. Sie sind in

Tabelle II.  
Kritische Stromstärke in Ampère.

Elektrodenabstand in mm	Ohne Selbst- induktion	Mit Selbst- induktion
0,6	0,70	0,32
1,2	0,60	0,33
1,8	0,46	0,40
2,4	0,53	0,48
3,0	0,62	0,58

Fig. 6 graphisch dargestellt. Als Selbstinduktion dienten zwei hintereinandergeschaltete Drosselspulen. Wie man sieht, erniedrigt die Selbstinduktion den praktischen Wert der kritischen Stromstärke. Ein Lichtbogen, in dessen Stromkreis sich Selbst-

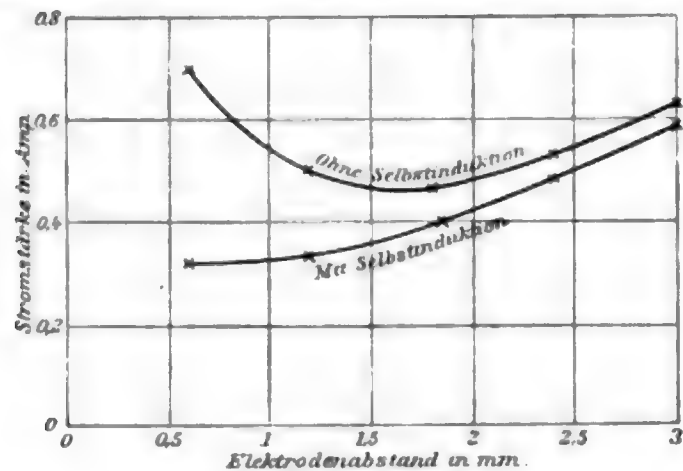


Fig. 6.

induktion befindet, brennt ruhiger und erlischt erst bei einer kleineren Stromstärke als ohne Selbstinduktion. Ist bei einem Lichtbogen mit Selbstinduktion die Stromstärke so gewählt, daß sie zwischen den kritischen Werten ohne und mit Selbstinduktion liegt, so erlischt er, sowie man die Selbstinduktionsspule durch parallelen Kurzschluß ausschaltet.

§ 15. *Kritische Stromstärke als Funktion der elektromotorischen Kraft.* — Der Differentialquotient  $\partial V/\partial i$  ist beim Lichtbogen von Null verschieden, er ist für kleine Werte der Stromstärke größer als für große. Gemäß der Gleichung für die kritische Stromstärke

$$i_k \left( \frac{\partial V}{\partial i} \right)_{i=i_k} = -(E - V)$$

kann darum  $i_k$  abnehmen. Wie Fig. 7 zeigt, wird die kritische Stromstärke um so kleiner, je größer die elektromotorische Kraft wird. Dies bestätigen die Zahlen der Tab. III, die an

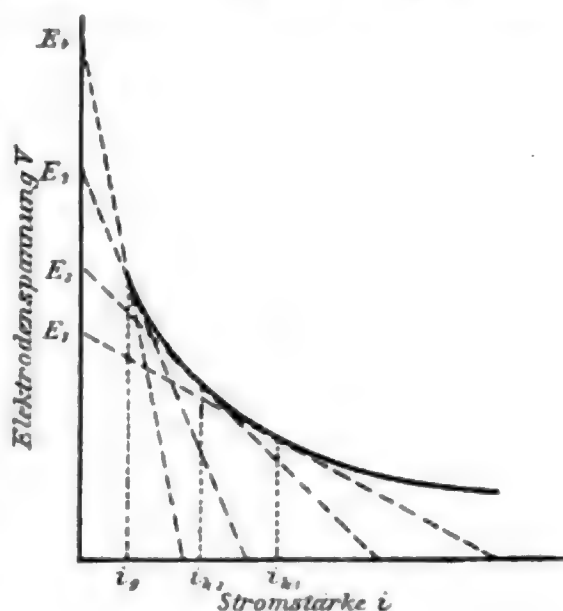


Fig. 7.

3 mm dicken Kupferelektroden mit Platinseele bei 1,8 mm Elektrodenabstand erhalten wurden.

Tabelle III.

Elektromotorische Kraft in Volt	Kritische Stromstärke in Amp.
130	0,54
430	0,20
3000	0,19

Mit steigender elektromotorischer Kraft strebt, wie aus Fig. 7 und Tab. III ersichtlich ist, die kritische Stromstärke einem Grenzwerte zu, den sie selbst bei unendlich großer elektromotorischer Kraft nicht überschreiten kann, ohne daß der Lichtbogen erlischt (vgl. § 9). Für die Grenzstromstärke  $i_g$  gilt darum

$$i_g = \lim_{E=\infty} i_k.$$

Wie die Tab. III zeigt, kann schon bei 430 Volt elektromotorischer Kraft die kritische Stromstärke mit Annäherung gleich der Grenzstromstärke gesetzt werden. Dies ist in den zwei nächsten Paragraphen geschehen.

§ 16. *Grenzstromstärke als Funktion des Elektrodenabstandes.* — Die Messungen der Tab. IV wurden an 3 mm dicken Kupferelektroden mit Platinseele angestellt. In Fig. 8 sind sie graphisch dargestellt.

Tabelle IV.

Elektroden- abstand in mm	Grenz- stromstärke in Amp.	Elektroden- abstand in mm	Grenz- stromstärke in Amp.
0,3	0,90	1,5	0,51
0,6	0,76	1,8	0,49
0,9	0,66	2,1	0,44
1,2	0,55	2,4	0,41

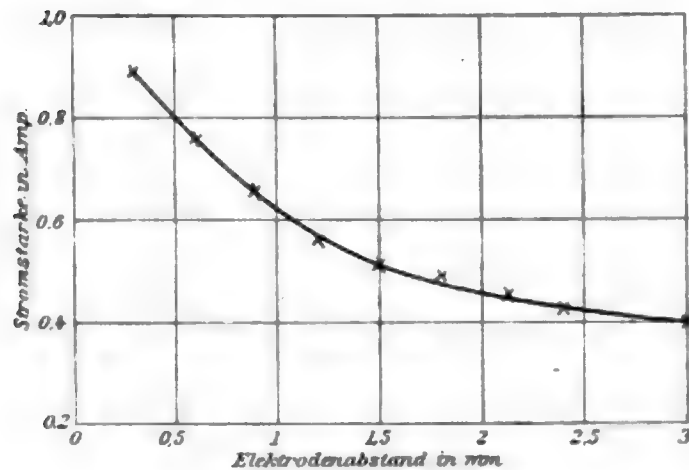


Fig. 8.

Die Abnahme der Grenzstromstärke mit wachsendem Elektrodenabstand dürfte sich aus der in § 19 besprochenen Erscheinung erklären, daß die Erwärmung der Elektroden von ihrem Abstand abhängig ist. An Kupferelektroden ohne Platinseele, zwischen denen der Lichtbogen unruhiger brennt, nimmt übrigens die Grenzstromstärke mit wachsendem Abstand etwas zu.

§ 17. *Grenzstromstärke und Elektrodenmetall.* — Wie bereits oben bemerkt wurde, besitzt die Grenzstromstärke mehr einen praktischen als theoretischen Wert. Sie stellt nicht eine für das Kathodenmetall charakteristische Konstante dar. Gleichwohl hat es Interesse, die Grenzstromstärken für verschiedene Metalle miteinander zu vergleichen. Die in der nachstehenden

Tabelle angeführten Metalle wurden in der Form von 5 mm dicken Stiften als Elektroden benutzt; nur Platin war 3 mm dick; die elektromotorische Kraft war 430 Volt; die Selbstinduktion war klein ( $l$  Elektrodenabstand).

Tabelle V.

Elektrodenmetall	Grenzstromstärke in Amp.	
	$l = 1,8 \text{ mm}$	$l = 3 \text{ mm}$
Kohle	0,013	0,015
Kupfer	0,45	0,42
Aluminium	0,57	0,45
Eisen	0,73	0,65
Platin	1,5	—

An der Tabelle fällt der kleine Wert der Grenzstromstärke für Kohle auf; es dürfte sich in ihm das geringe thermische Leitvermögen der Kohle ausdrücken.

### III. Zündung des Lichtbogens.

§ 18. *Allgemeines über die Zündung des Lichtbogens.* — Den Lichtbogen zünden, heißt seine Existenzbedingung herstellen, nämlich seine Kathode auf eine so hohe Temperatur bringen, daß sie negative Elektronionen in großer Dichte ausstrahlt. Aus diesem Grunde sind die Umstände, von welchen die Zündung abhängt, bedeutsam für das Verständnis der Existenzbedingung des Lichtbogens.

Es gibt verschiedene Wege, die Kathode des Lichtbogens auf seine Existenztemperatur zu erwärmen. Demnach gibt es verschiedene Arten der Zündung des Lichtbogens. Die erste ist *die Zündung durch Glimmstrom*. Der Glimmstrom erwärmt ja seine Kathode; deren Temperatur kann durch Steigerung der Stromstärke so weit erhöht werden, daß der Glimmstrom sich in den Lichtbogen verwandelt.

Die zweite Art der Zündung ist *die Zündung durch Reststrom*. Sie besteht in folgendem. Auf irgend eine Weise kann die Strombahn und vor allem die Kathode hoch temperiert sein, beispielsweise dadurch, daß unmittelbar vor dem betrachteten Moment der Lichtbogen brannte; die Strombahn

besitzt also Leitfähigkeit, und wird die Elektrodenspannung genügend erhöht, so kann durch die unselbständige Strömung (El. i. G. p. 118, 180) die bereits hohe Temperatur der Kathode so weit gesteigert werden, daß der Lichtbogen einzutreten vermag. Insofern die zündende unselbständige Strömung die restierende Strömung ist, welche nach Erlöschen der die Elektroden hoch temperierenden Strömung (Lichtbogen) übrig bleibt, sei sie Reststrom genannt. *Die Zündung durch Reststrom ist also nur möglich, wenn die Temperatur der Kathode bereits hoch, nur wenig kleiner als die Existenztemperatur des Lichtbogens ist.*

Die dritte und gewöhnliche Art der Zündung des Lichtbogens ist die *Kontaktzündung*. Sie besteht darin, daß die beiden Elektroden erst zur Berührung gebracht und dann wieder voneinander entfernt werden. Ist bei der Trennung die Kontaktstelle der Elektroden sehr klein, so wird sie galvanisch hoch erhitzt und zuletzt sogar durchgeschmolzen; zwischen den beiden Elektroden entsteht eine hoch temperierte leitende Dampfschicht; indem durch diese eine elektrische Strömung fließt und die Temperatur der Kathode noch weiter steigert, vermag schließlich aus dieser der Lichtbogen hervorzubrechen. Diese zündende elektrische Strömung durch die Dampfschicht ist eine unselbständige Strömung, wenn die Selbstinduktion des Stromkreises klein ist. Wenn diese jedoch groß ist, wenn also bei Unterbrechung des Elektrodenkontaktes durch Selbstinduktion seine beträchtliche elektromotorische Kraft auftritt, so ist der Strom, welcher die durch die galvanische Erhitzung eingeleitete Zündung vollendet, ein Glimmstrom. Die Kontaktzündung des Lichtbogens ist darum im Grunde eine Zündung durch Rest- oder durch Glimmstrom, bei welcher die Elektroden durch die galvanische Erhitzung beim Kontakt vorgewärmt werden.

Wenn unsere Theorie von der Existenzbedingung des Lichtbogens richtig ist, so muß der Vorgang der Zündung sich an der Kathode abspielen, *es müssen alle Umstände, von denen die Temperatur der Kathode abhängig ist, die Zündung beeinflussen. Die Verhältnisse an der Anode und in der übrigen Strombahn können nur von sekundärer Bedeutung sein.*

§ 19. *Erwärmung der Elektroden durch den Glimmstrom.* — Der Glimmstrom erwärmt sowohl seine Anode wie seine Ka-



thode, indes letztere immer stärker als erstere, da sein Kathodenfall immer beträchtlich größer ist als sein Anodenfall. Dies gilt sowohl bei abnormalem<sup>1)</sup> wie normalem Kathodenfall. Bei höherem Druck, so in freier Luft, ist der Kathodenfall in der Regel normal. Da die Verwandlung von Glimmstrom in Lichtbogen gewöhnlich bei höherem Druck erfolgt, so sei dieser Fall ausführlicher behandelt.

An anderer Stelle<sup>2)</sup> habe ich gezeigt, daß die Temperaturen des Glimmstromes bei normalem Kathodenfall mit steigender Stromstärke zunehmen. Ferner ergab sich, daß bei konstanter Stromstärke die Temperaturen der Elektroden zunehmen, wenn der Abstand von Null an wächst, und bei größeren Werten des letzteren einem konstanten Wert zustreben. Dies zeigen die Zahlen der nachstehenden Tabelle, die in der l. c. beschriebenen Weise für Platindrahtelektroden erhalten wurden (Stromstärke  $i$  in Milliampère.)

Tabelle VI.

Elektroden- abstand in mm	Temperatur, gerechnet vom Eispunkt	
	Anode $i = 15$	Kathode $i = 17$
0,3	99°	241°
0,6	109	267
0,9	120	273
1,2	130	288
1,5	138	294
1,8	151	302
2,1	156	315
2,4	167	320
2,7	167	320

In Fig. 9 sind diese Messungen graphisch dargestellt. Die Abhängigkeit der Elektrodentemperatur von dem Abstand erklärt sich daraus, daß die Elektroden aus dem Innern der Strombahn durch Leitung und Strahlung Wärme zugeführt erhalten. Bei sehr kurzer positiver Lichtsäule, also kleiner elektrischer Leistung in der Strombahn muß darum diese

1) J. Stark, Ann. d. Phys. 12. p. 1. 1903.

2) J. Stark, Physik. Zeitschr. 4. p. 535. 1903.

sekundäre Erwärmung kleiner sein als bei größerer Länge der Lichtsäule.

§ 20. *Verwandlung von Glimmstrom in Lichtbogen bei normalem Kathodenfall.* — Bei normalem Kathodenfall nimmt die Elektrodenspannung des Glimmstromes mit wachsender Stromstärke erst schnell, dann langsamer ab, um einem konstanten Wert zuzustreben (Physik. Zeitschr. 4. p. 535. 1903). Das gleiche gilt für den Lichtbogen (El. i. G. p. 205). Bei angenähert gleicher Stromstärke ist die Elektrodenspannung des

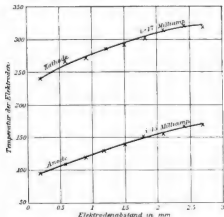


Fig. 9.

Lichtbogens beträchtlich kleiner als diejenige des Glimmstromes, aus zwei Gründen. Erstens beträgt der Kathodenfall für den Glimmstrom einige Hunderte Volt, für den Lichtbogen 5—20 Volt; zweitens ist der Spannungsabfall in der positiven Lichtsäule beim Lichtbogen infolge der Gegenwart von Metaldämpfen kleiner als beim Glimmstrom in metalloidelem Gas.

Stellt man zwischen zwei Elektroden in freier Luft den Glimmstrom her und erhöht dann langsam durch Verkleinerung des äußeren Ohmschen Widerstandes die Stromstärke, so sinkt zunächst, wie Fig. 10 zeigt, die Elektrodenspannung, gleichzeitig steigt die Temperatur im Zentrum der kathodischen

Strombasis. Diese wird weißglühend und beginnt, selbst wenn die Kathode aus Platin besteht, zu schmelzen. Temperatur der Kathode, Ausdehnung der glühenden Fläche und Strombasis wachsen bei zunehmender Stromstärke noch weiter, plötzlich aber verschwindet die breite Fläche des negativen Glimmlichtes, die Glut der Oberfläche und die Strombasis schrumpfen auf einen Punkt zusammen; dieser zeigt intensive Weißglut und sendet einen Strahl von Metaldampf aus, das kathodische Lichtbüschel des Lichtbogens: der Glimmstrom hat sich in den Lichtbogen verwandelt. Hierbei hat die Elektrodenspannung

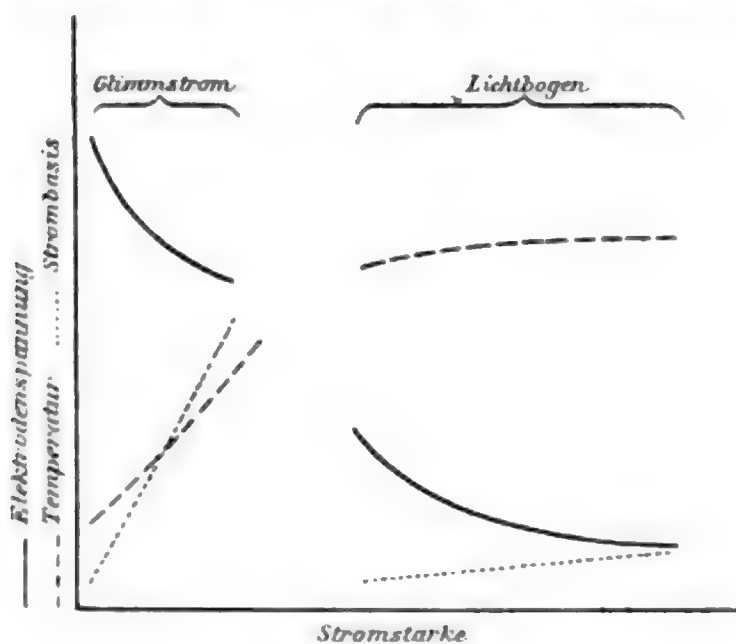


Fig. 10.

einen Sturz von einem hohen Wert zu einem kleineren erfahren. Steigert man dann die Stromstärke noch weiter, so erhält man die bekannte  $V, i$ -Kurve des Lichtbogens.

Es kann also die Stromstärke des Glimmstromes nicht über einen Wert  $i_{gg}$  gesteigert werden, ohne daß Verwandlung in den Lichtbogen erfolgt. Andererseits kann diejenige des Lichtbogens nicht unter einen Wert  $i_{gl}$  erniedrigt werden, ohne daß bei genügend großer elektromotorischer Kraft Rückverwandlung in den Glimmstrom eintritt. Für einen Wert der Stromstärke, welcher zwischen der Grenzstromstärke  $i_{gg}$  des Glimmstromes und der Grenzstromstärke  $i_{gl}$  des Lichtbogens liegt, besitzt die elektrische Strömung bald die Form des Lichtbogens, bald diejenige des Glimmstromes.

Die Tab. VII enthält die Werte der Grenzstromstärke des Glimmstromes und des Lichtbogens, die in freier Luft für

3 mm dicke Kupferelektroden mit Platinseele bei 430 Volt elektromotorischer Kraft erhalten wurden.

Tabelle VII.

Elektroden- abstand in mm	Grenzstromstärke in Ampères	
	Glimmstrom	Lichtbogen
0,3	0,017	0,90
0,6	0,014	0,76
0,9	0,013	0,66
1,2	0,012	0,55
1,5	0,010	0,51
1,8	0,009	0,49
2,1	0,008	0,44
2,4	—	0,41

In Fig. 11 sind die vorstehenden Messungen graphisch dargestellt. Wie man sieht, nimmt sowohl für den Glimmstrom wie für den Lichtbogen die Grenzstromstärke ab mit wachsendem Elektrodenabstand. Dies dürfte daher rühren,

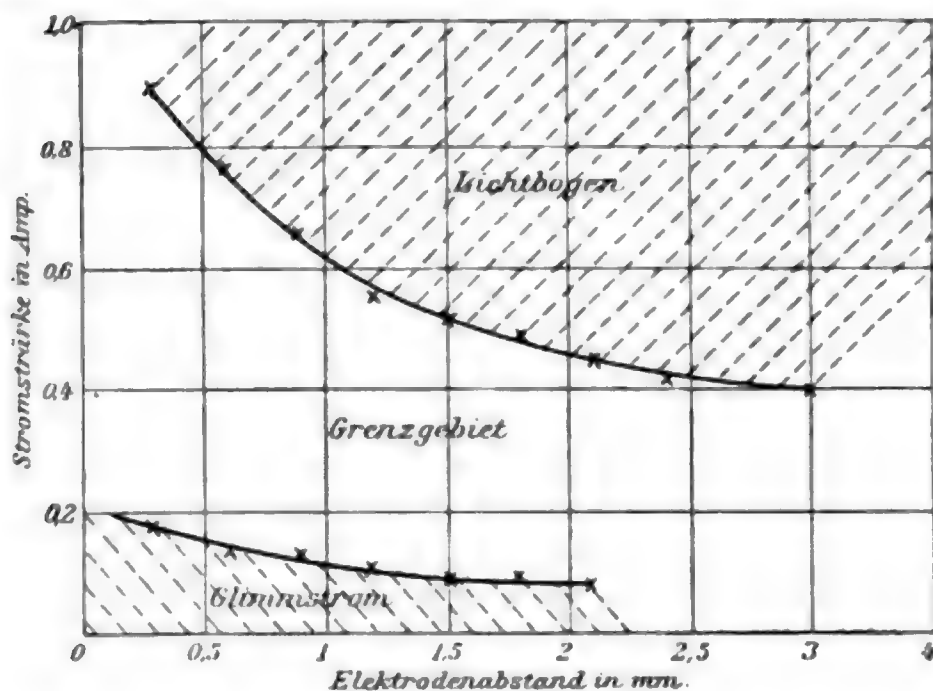


Fig. 11.

daß durch Erwärmung aus der positiven Lichtsäule die Temperatur der Kathode mit wachsendem Abstand steigt (§ 19). Das Grenzgebiet der Stromstärke zwischen dem Gebiet des Lichtbogens und demjenigen des Glimmstromes ist um so kleiner, je größer die Selbstinduktion des Stromkreises und je

kleiner die Kapazität an den Elektroden ist. Die Grenzkurve des Glimmstromgebietes rückt um so näher an diejenige des Lichtbogenegebietes, je größer die elektromotorische Kraft ist.

§ 21. *Einfluß von Druck und Temperatur auf die Verwandlung.* — Die Dichte  $j_n$  des Glimmstromes an der Kathode bei normalem Kathodenfall ist proportional der Gasdichte (Ann. d. Phys. 12. p. 1. 1903). Ist  $\alpha$  eine Konstante,  $p$  der Druck des Gases,  $T$  seine absolute Temperatur, so gilt  $j_n = \alpha (p/T)$ ; mit steigender Temperatur und sinkendem Gasdruck nimmt also die normale kathodische Dichte des Glimmstromes ab. Nun hängt die Erwärmung des Flächenelementes  $dw$  der kathodischen Strombasis in erster Linie ab von der ihm durch die elektrische Stromleistung zugeführten Wärmemenge. Bezeichnet  $j_n$  die normale Stromdichte,  $K_n$  den normalen Kathodenfall, so ist jene elektrische Leistung

$$j_n \cdot K_n \cdot dw = \alpha \frac{p}{T} \cdot K_n \cdot dw.$$

Außerdem hängt die Temperatur des Zentrums der kathodischen Strombasis noch ab von der Fortleitung der Wärme.

Nach dem Vorstehenden hat man folgendes zu erwarten. *Der Glimmstrom verwandelt sich bei einer um so kleineren Stromstärke in den Lichtbogen, je größer der Druck des Gases und je kleiner seine absolute Temperatur ist. Die Art des Gases hat auf die Verwandlung insofern Einfluß, als die Konstante  $\alpha$  und der normale Kathodenfall  $K_n$  für verschiedene Gase verschieden groß sind. Auch das thermische Leitvermögen der Kathode bestimmt die Verwandlungsstromstärke mit; diese ist um so größer, je größer jenes ist.*

Daß bei vermindertem Gasdruck die Zündung des Lichtbogens schwieriger ist, weiß man. Über den Einfluß der Temperatur stellte ich folgende Versuche an. Die Temperatur des Gases in der Nähe einer Elektrode kann man bei konstantem Gasdruck dadurch erhöhen, daß man die Elektrode in einigem Abstand von der Strombasis durch einen untergestellten Bunsenbrenner erhitzt. Nun kann man den Einfluß der Temperatur auf die Grenzstromstärke des Glimmstromes zwar nicht direkt untersuchen, indem man die Stromstärke langsam bis zur Verwandlung in den Lichtbogen erhöht (§ 22), aber indirekt, indem man die Stromstärke gleich



der Grenzstromstärke des Lichtbogens oder etwas kleiner macht, so daß sie sich in dem Grenzgebiet befindet, in welchem ein beständiger unregelmäßiger Wechsel zwischen Glimmstrom und Lichtbogen statt hat. Wenn dann eine sekundäre Temperaturerhöhung an der Kathode erfolgt, so muß nach unserer Theorie die Rückverwandlung von Glimmstrom in den Lichtbogen erschwert, die Glimmstromphase zum Überwiegen gebracht, die mittlere Stromstärke erniedrigt werden.

Der Versuch ergibt folgendes. Wird eine Elektrode, vor allem die Kathode, sekundär durch eine nichtleuchtende Bunsenflamme erhitzt, so erfährt die Säule des Lichtbogens infolge des Aufsteigens der heißen Luft größere Schwankungen; dadurch wird der praktische Wert der Grenzstromstärke des Lichtbogens größer (vgl. § 12). So betrug bei 430 Volt elektromotorischer Kraft und 1,8 mm Elektrodenabstand die Grenzstromstärke des Lichtbogens zwischen 3 mm dicken Kupferelektroden ohne sekundäre Erhitzung der Kathode 0,24 Amp., mit Erhitzung 0,9 Amp. War der Lichtbogen hergestellt, und zwar in einer Stromstärke, die beträchtlich größer war als die Grenzstromstärke (0,25 Amp.) und wurde die Anode sekundär auf Rotglut erhitzt, so wuchs die Stromstärke etwas, der Lichtbogen brannte ruhig. Wurde dagegen die Kathode erhitzt, so wurde der Lichtbogen instabil, die Stromstärke beträchtlich kleiner, indem ein unregelmäßiger Wechsel zwischen Glimmstrom und Lichtbogen bemerkbar wurde. Dies zeigt die nachstehende Tabelle, welche die beobachteten Stromstärken in Ampères gibt.

Tabelle VIII.

Elektroden- abstand in mm	Anode		Kathode	
	kalt	heiß	kalt	heiß
1,8	0,29	0,31	0,29	Schwanken 0,1—0,2
1,8	0,49	0,51	0,49	Schwanken bis zu 0,15
2,4	0,56	0,59	0,56	Kurzes Schwanken bis 0,12, dann Erlöschen

§ 22. *Schnelle und langsame Verwandlung von Glimmstrom in Lichtbogen.* — Arbeitet man mit einer größeren elektro-

motorischen Kraft (3000 Volt), stellt den Glimmstrom erst bei kleiner Stromstärke her und erhöht dann diese langsam, so hat die Kathode und die an ihr liegende Gasschicht Zeit, auf eine größere Ausdehnung eine höhere Temperatur durch Selbsterhitzung anzunehmen. Infolgedessen wird die Gasdichte und damit die Stromdichte kleiner, die kathodische Strombasis größer. Es läßt sich nach § 21 die Stromstärke beträchtlich erhöhen, ohne daß im Zentrum der kathodischen Strombasis die Lichtbogentemperatur erreicht wird; dafür aber nimmt eine ausgedehnte Fläche der Kathode eine hohe Temperatur an. Eine 3 mm dicke Kupferkathode wurde auf 1 cm Länge bei 0,5 Amp. hellrotglühend und begann vorne an der Spitze zu schmelzen, ohne daß der Glimmstrom in den Lichtbogen sich verwandelt hätte. Damit war bereits die Grenzstromstärke des Lichtbogens überschritten; diese betrug nämlich bei 3000 Volt 0,18 Amp.

Infolge der ausgedehnten Erwärmung der Kathode bei langsamer Erhöhung der Glimmstromstärke ist es nicht möglich, die Grenzstromstärke des Glimmstromes genau zu bestimmen. Die in § 20 gegebenen Werte der Grenzstromstärke wurden dadurch mit Annäherung erhalten, daß erst der Lichtbogen durch Kontaktzündung hergestellt und darauf die Stromstärke so weit erniedrigt wurde, daß er sich in den Glimmstrom verwandelte. Dessen Stärke wurde dann angenähert als Grenzstromstärke bei kalter Kathode genommen. Daß in dem obigen Versuch bei Hellrotglut infolge der Selbsterwärmung bei 0,5 Amp. die Grenzstromstärke des Glimmstromes noch nicht erreicht war, steht im Einklang mit der in § 21 beschriebenen Beobachtung, daß bei 1,8 mm Elektrodenabstand und sekundärer Erhitzung der Kathode auf Rotglut die Grenzstromstärke des Lichtbogens 0,9 Amp. bei 430 Volt elektromotorischer Kraft betrug, während sie ohne sekundäre Erhitzung 0,24 Amp. war.

Wurde indes der Vorschaltwiderstand bei Herstellung des Glimmstromes so klein gewählt, daß dieser in sehr kurzer Zeit eine große Stärke annehmen konnte, so verwandelte er sich sofort in einen Lichtbogen von 0,3 Amp., da nunmehr das Gas in der Kathodenoberfläche keine Zeit hatte, eine hohe Temperatur anzunehmen und durch Erniedrigung seiner Dichte

die Dichte des Glimmstromes zu verkleinern. Die Grenzstromstärke des Glimmstromes war also in diesem Falle erheblich kleiner als 0,3 Amp.

§ 23. *Verwandlung von Glimmstrom in Lichtbogen bei abnormalem Kathodenfall oder niedrigem Gasdruck.* — Kann sich das negative Glimmlicht bei wachsender Stromstärke nicht mehr weiter über die Kathode ausdehnen, ist also die kathodische Basis gezwungen, konstant zu bleiben, so wird der Kathodenfall abnormal, er steigt mit wachsender Stromstärke und sinkendem Gasdruck. Die Temperatur der Kathode nimmt auch in diesem Falle, der gewöhnlich in verdünnten Gasen

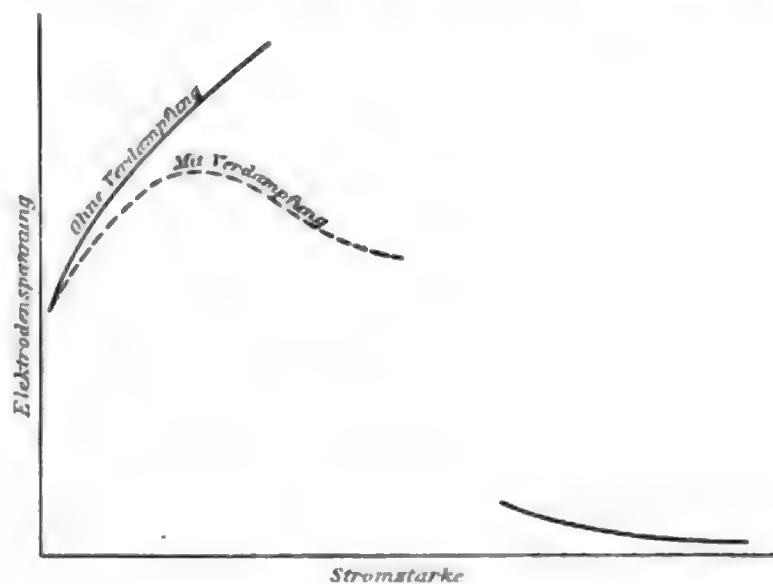


Fig. 12.

vorliegt, mit wachsender Stromstärke zu und kann schließlich so groß werden, daß an einem Punkte die Lichtbogentemperatur erreicht wird und die Verwandlung von Glimmstrom in Lichtbogen erfolgt. Fig. 12 zeigt die  $V, i$ -Kurve des Glimmstromes und Lichtbogens für diesen Fall. Hierbei ist für die ausgezogene Kurve des Glimmstromes angenommen, daß der Gasdruck oder noch besser die Gasdichte konstant sei, daß also aus der Kathode durch die Selbsterhitzung nicht okkloidiertes Gas oder Dampf entwickelt werde. Dies ist aber in der Praxis fast immer der Fall, vor allem hat an einer Quecksilberkathode bei wachsender Stärke des Glimmstromes eine zunehmende Verdampfung statt. Mit wachsender Gasdichte an

der Kathode nimmt aber der abnormale Kathodenfall und darum auch die Elektrodenspannung des Glimmstromes ab. Hieraus ergibt sich die gestrichelte  $V, i$ -Kurve der Fig. 12.

Ein Vergleich der Fig. 12 mit Fig. 10 läßt ohne weiteres erkennen, daß der Spannungssturz bei Verwandlung von Glimmstrom in Lichtbogen größer ist für abnormalen Kathodenfall (niedrigen Gasdruck) als für normalen Kathodenfall (hoher Gasdruck).

§ 24. *Primäre und sekundäre Zündung.* — Primäre Zündung des Lichtbogens durch Glimmstrom hat man, wenn man zur Zündung und Unterhaltung des Lichtbogens eine und dieselbe elektromotorische Kraft verwendet. In den vorstehenden Ausführungen ist die Zündung als primär angenommen.

Da die Elektrodenspannung des Lichtbogens beträchtlich kleiner ist als diejenige des Glimmstromes, so wird wohl zur Zündung, aber nicht mehr zur Unterhaltung des Lichtbogens eine große Elektrodenspannung erfordert. Man kann darum zur Zündung und zur Unterhaltung verschiedene elektromotorische Kräfte verwenden. Zu diesem Zweck legt man die elektromotorische Kraft, welche den Lichtbogen unterhalten soll, an die Anode und die Kathode des zu zündenden Lichtbogens. Eine zweite (sekundäre) elektromotorische Kraft, die zur Einleitung eines Glimmstromes ausreicht, legt man mit ihrem negativen Pol an die Lichtbogenkathode; ihren positiven Pol legt man nicht an die Lichtbogenanode, sondern gibt ihm in der Nähe der Lichtbogenkathode eine sekundäre Anode. Man läßt für kurze Zeit die große sekundäre elektromotorische Kraft (Öffnungsstrom einer Induktionsrolle, Ladung einer Leydener Flasche) wirken, diese stellt einen Glimmstrom her, erhöht dessen Stromstärke so weit, daß an einer Stelle die Kathodenoberfläche weißglühend wird und negative Ionen aussendet; sowie dieser Punkt erreicht ist, erfolgt die Verwandlung des Glimmstromes in den Lichtbogen und zwar vermag diesen dann auch die kleine elektromotorische Kraft zwischen ihren Polen herzustellen und aufrecht zu erhalten, auch wenn die zündende große elektromotorische Kraft unmittelbar nach der Zündung erlischt.

Die vorstehende Art der Zündung des Lichtbogens heißt *sekundär*, sie wird beispielsweise von Hewitt bei der Zündung

der von ihm konstruierten Quecksilberdampflampen<sup>1)</sup> verwendet. Als Anode dient ihm ein Stanniolblatt, das unmittelbar über der Lichtbogenkathode außen um die Glasröhre gelegt ist. Zwischen Kathode und der von Stanniol bedeckten Glaswand wird mit Hilfe der Öffnungsspannung einer Induktionsrolle ein kurz dauernder Glimmstrom hergestellt und in einen Lichtbogen verwandelt.

§ 25. *Zündung durch Reststrom im Wechselstromlichtbogen.* —

In § 18 ist bereits dargelegt, was unter Zündung durch Reststrom verstanden sein soll. Sie setzt voraus, daß die Kathode bereits auf eine hohe Temperatur erwärmt ist, daß diese nur wenig kleiner ist als die Existenztemperatur des Lichtbogens. Die unselbständige Strömung (der Reststrom) durch den heißen Dampf zwischen den erhitzten Elektroden ist um so stärker, je höher die Elektrodentemperatur ist; desto größer ist auch die Erwärmung der Kathode. *Je weniger also die Kathodentemperatur von der Existenztemperatur des Lichtbogens entfernt ist, desto leichter erfolgt die Zündung durch den Reststrom; sie kann nicht um einen bestimmten Betrag unter die Existenztemperatur des Lichtbogens sinken, ohne daß die Zündung durch Reststrom unmöglich wird.*

Unterbricht man die den Lichtbogen speisende Strömung, so verschwindet die hohe Temperatur in der kathodischen Strombasis nicht momentan, sondern allmählich, und zwar um so langsamer, je kleiner das thermische Leitvermögen der Kathode ist. Schließt man kurze Zeit nach der Unterbrechung die Strömung wieder, so vermag der Reststrom den Lichtbogen wieder zu entzünden, wenn die Temperatur der Kathode noch nicht zu tief gesunken ist. Die Zeit, die im Maximum zwischen Unterbrechung und Schließung vergehen darf, ohne daß die Reststromzündung unmöglich wird, ist um so kleiner, je größer das thermische Leitvermögen der Kathode ist. Für eine Kohlekathode ist diese Zeit von meßbarem Betrage, für eine Kathode aus thermisch gut leitendem Metall ist sie dagegen so klein, daß sie bis jetzt noch nicht gemessen werden konnte.<sup>2)</sup>

1) M. v. Recklinghausen, Elektrotechn. Zeitschr. 1902. Heft 28.

2) G. Granquist, Ges. d. Wissensch. zu Upsala 1902.



Im Wechselstromlichtbogen ist während der ersten Halbperiode die Elektrode *A* Anode, die Elektrode *B* Kathode. *A* sowohl wie *B* nehmen eine hohe Temperatur an. Sinkt in der ersten Halbperiode die elektromotorische Kraft und die Stromstärke, so erlischt der Lichtbogen, sowie die Elektrodenspannung die Minimalspannung oder die Stromstärke ihren kritischen Wert unterschreitet (§§ 8 u. 9). In der folgenden Halbperiode wird *A* Kathode, *B* Anode. Es stellt sich zunächst zwischen ihnen der Reststrom her und ist die Temperatur von *A* seit Erlöschen des Lichtbogens nicht zu tief durch Abkühlung gesunken, so kann sie durch den Reststrom so weit gesteigert werden, daß aus *A* als neuer Kathode der Lichtbogen hervorbricht. *Je größer die Frequenz des Wechselstromes und je kleiner das thermische Leitvermögen der jeweiligen Kathode ist, desto leichter erfolgt bei der Umkehr der Spannungsrichtung die Neuzündung durch den Reststrom.*

Bestehen die beiden Elektroden aus Kohle, so ist zwischen ihnen ein Wechselstrom kleiner Frequenz und kleiner elektromotorischer Kraft möglich, da die Abkühlung der jeweiligen Kathode langsam erfolgt, und darum der Lichtbogen durch den Reststrom neu gezündet werden kann.

Ist die eine Elektrode Kohle, die andere thermisch gut leitendes Metall, so kann im Wechselstrom kleiner Frequenz nur dann der Lichtbogen durch den Reststrom neu gezündet werden, wenn die langsamer sich abkühlende Kohle Kathode ist. An dem schnell sich abkühlenden Metall vermag der Reststrom den Lichtbogen nicht neu zu zünden. In diesem Fall existiert also der Lichtbogen nur für diejenige Halbperiode, für welche die Kohle Kathode ist. Man hat nicht einen Wechselstromlichtbogen, sondern einen pulsierenden Gleichstromlichtbogen.

Bestehen beide Elektroden aus Metall, so ist zwischen ihnen nach dem Vorhergehenden ein Wechselstromlichtbogen kleiner Frequenz mit Zündung durch Reststrom, also bei kleiner elektromotorischer Kraft nicht möglich. Bei großer elektromotorischer Kraft ist ein Wechselstromlichtbogen kleiner Frequenz zwischen Metallelektroden möglich. In diesem Falle aber erfolgt die Neuzündung nach jeder Halbperiode nicht durch den Reststrom, sondern primär durch den Glimmstrom.

Die Bedeutung des Wärmeleitvermögens für die Existenz und Zündung des Wechselstromlichtbogens sei hier nicht weiter besprochen, da dies in der bereits zitierten vortrefflichen Arbeit Granquists geschehen ist. Es sei lediglich bemerkt, daß man die Untersuchungen Granquists dann voll verstehen wird, wenn man die Existenzbedingung des Lichtbogens in der hohen Temperatur und der dadurch bedingten negativen Strahlung der Kathode sieht.

§ 26. *Konstitution des elektrischen Funkens.* — Elektrischer Funken wird die Selbstentladung in einem Gase genannt, welche vorübergehend die Elektroden durch die leuchtende positive Lichtsäule verbindet. Es gibt zwei Arten elektrischer Funken. Der Funke erster Art ist ein Glimmstrom; in dem Spektrum seines Lichtes finden sich nur die Linien des Gases zwischen den Elektroden, nicht die Linien des Elektrodenmetalles. Der Glimmstromfunken ist stromschwach; vermag er aber bis zu einer großen Stromstärke vorzudringen, so verwandelt er sich in einen kurz dauernden Lichtbogen. Dieser Funke zweiter Art, Lichtbogenfunken, setzt sich also zeitlich aus einem Glimmstrom und einem Lichtbogen zusammen; während der Glimmstromphase zeigt sein Spektrum die Linien des Gases, während der Lichtbogenphase die Linien des Elektrodenmetalles und zwar am intensivsten in der Nähe der Elektroden.

Beim Studium der Eigenschaften des elektrischen Funkens hat man wohl darauf zu achten, ob man es mit einem Glimmstrom- oder einem Lichtbogenfunken zu tun hat. Die maximale Momentanstromstärke des Lichtbogenfunkens ist immer größer als diejenige des Glimmstromfunkens zwischen den gleichen Elektroden im gleichen Gas. Die Verwandlung des Glimmstromes in den Lichtbogenfunken hängt von den Verhältnissen ab, welche die Stromstärke und die Temperatur an der Kathode bestimmen. Der Lichtbogenfunken ist in der Regel oszillatorisch, stellt also einen Wechselstromlichtbogen großer Frequenz zwischen Metallelektroden dar. Der Glimmstromfunken ist in der Regel nicht oszillatorisch. Dieser erwärmt seine Kathode stärker als seine Anode, jener erwärmt beide Elektroden gleich stark. Die Minimalspannung des Glimmstromfunkens ist beträchtlich größer als diejenige des Lichtbogenfunkens; jener

hinterläßt darum einen größeren Rückstand als dieser. Der Widerstand des Lichtbogenfunken ist dank seiner großen Stromstärke und der Gegenwart von Metaldämpfen in der Strombahn beträchtlich kleiner als derjenige des Glimmstromfunken. Die  $V, i$ -Kurve des Lichtbogenfunken ist anders als die Kurve, welche man bei langsamer Verwandlung von Glimmstrom in Lichtbogen unter gleichen Voraussetzungen erhält (§ 22).

§ 27. *Aufgaben für die experimentelle Untersuchung des Lichtbogens.* — Die vorliegende Abhandlung legt der experimentellen Erforschung des Lichtbogens folgende Aufgaben nahe. 1. Vorzeichen und Größe des Halleffektes in der positiven Säule verschiedener Metalllichtbögen, speziell des Quecksilberlichtbogens (§ 4). 2. Das Spannungsgefälle in der positiven Lichtbogensäule als Funktion der Stromstärke in verschiedenen Gasen und für verschiedene Elektrodenmetalle (§ 3). 3. Die kathodische Stromdichte des Lichtbogens als Funktion des Kathodenmetalles, des Gasdruckes und der Gasart (§§ 2 u. 9). 4. Die Grenzstromstärke (große elektromotorische Kraft, kleiner Elektrodenabstand, große Selbstinduktion) als Funktion des Gasdruckes und der Gasart (§§ 9 u. 15). 5. Anodenfall bez. Minimalspannung des Lichtbogens als Funktion der Anodentemperatur (§ 10).

Göttingen, Juni 1903.

(Eingegangen 15. Juli 1903.)

**2. Über die Absorption von Kathodenstrahlen verschiedener Geschwindigkeit;  
von P. Lenard.**

90.<sup>1)</sup> Die ersten Messungen über die Absorption von Kathodenstrahlen in materiellen Medien bezogen sich auf Strahlen von etwa  $\frac{1}{3}$  Lichtgeschwindigkeit. Es zeigte sich dabei, daß die Größe der Absorption in sehr hohem Maße abhängig sei von der Strahlgeschwindigkeit; eine Abnahme der Geschwindigkeit um 2 Proz. ihres Wertes<sup>2)</sup> erhöhte die Größe der Absorption um etwa 10 Proz.<sup>3)</sup>

Dieses rasche Anwachsen der Absorption mit abnehmender Strahlgeschwindigkeit habe ich kürzlich auch in ganz anderen Geschwindigkeitsbereiche, bei Strahlen von  $\frac{1}{10}$  bis  $\frac{1}{30}$  Lichtgeschwindigkeit, finden und messen können (82).

Die gegenwärtige Mitteilung ergänzt das Bisherige bis zu den allergeringsten verfolgbaren Strahlgeschwindigkeiten hin, und zwar, wie man sehen wird, mit einem Resultate, das für noch weiter herabgesetzte Geschwindigkeit kaum neues mehr erwarten läßt. Nimmt man hinzu Beobachtungen an den äußerst schnellen, fast mit voller Lichtgeschwindigkeit sich bewegendenden Kathodenstrahlen, welche von Radiumverbindungen ausgehen, so hat man danach jetzt eine vollständige Übersicht über den Gang der Absorption mit der Strahlgeschwindigkeit. Diese Übersicht, zusammen mit früheren Resultaten über die Eigenschaften der Kathodenstrahlen, legt einige besondere Vorstellungen über die Konstitution der Materie nahe, welche am Schlusse dieser Mitteilung entwickelt werden sollen.

1) Fortsetzung der Numerierung der letzten Mitteilung, Ann. d. Phys. 12. p. 449. 1903, zur leichteren Bezugnahme auf dieselbe.

2) Entsprechend einer Änderung der Funkenlänge von 2,8 auf 3,0 cm. nach den Geschwindigkeitsmessungen Wied. Ann. 64. p. 287. 1898, aus Zeile 1 u. 2 der Tabelle daselbst interpoliert.

3) P. Lenard, Wied. Ann. 56. p. 261. Tab. III. 1895. Daselbst ist auch gezeigt, p. 268, daß die Absorption in Luft und Aluminium annähernd in derselben Weise mit der Geschwindigkeit sich ändert.

91. *Methode für langsame Strahlen.* — Nachdem die kürzlich mitgeteilten Beobachtungen am Phosphoreszenzschirm außer Zweifel gesetzt hatten, daß Strahlen von fast beliebig geringer Geschwindigkeit auch auf größere Entfernungen hin im Vakuum erhältlich und verfolgbar sind, und daß sie die zu erwartenden Eigenschaften besitzen (51—59), habe ich die dort benutzte Erzeugungsweise unverändert beibehalten; doch wurde zur Intensitätsmessung der Phosphoreszenzschirm jetzt wieder durch das empfindlichere Elektrometer ersetzt.

Der Apparat erhielt dadurch die in Fig. 1 gegebene Gestalt.  $U$  ist die ausstrahlende Elektrode, welche von einer

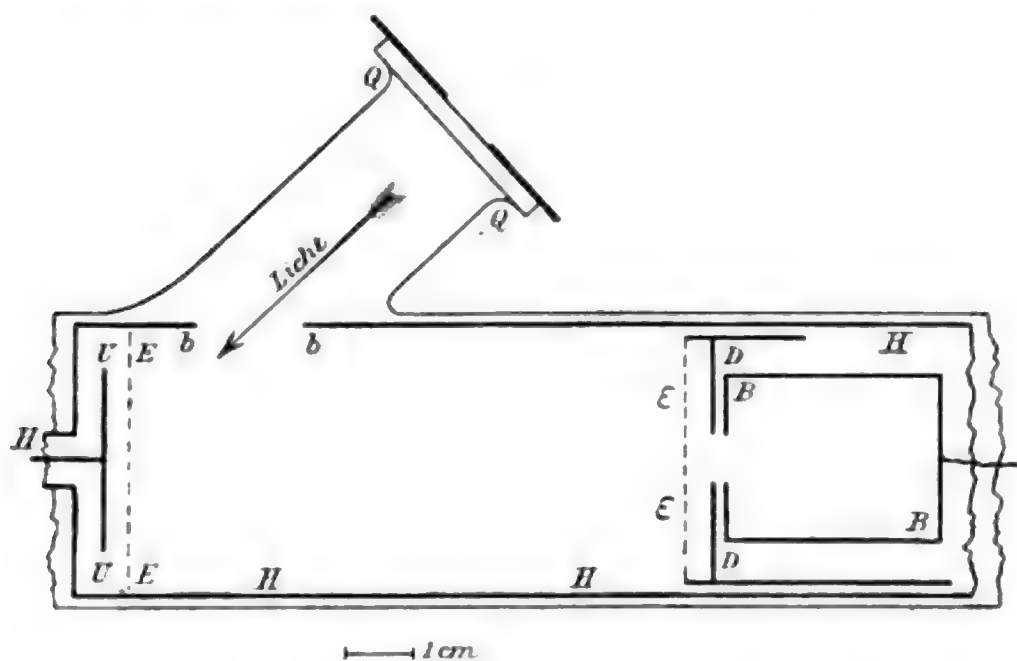


Fig. 1.

Zinkbogenlampe her ultraviolettes Licht empfängt,  $E$  das ihr gegenüberstehende Netz, letzteres metallisch verbunden mit der Hülle  $HH$ , welche das Ganze umschließt. Diese und alle übrigen sonst zur Erzeugung dienenden Teile, einschließlich des Drahtgitters  $\varepsilon$ , haben die früher angegebene Beschaffenheit und Abmessung (51), nur ist der durch die Blende  $bb$  abgegrenzte Lichtfleck auf  $U$  jetzt stets von 1 cm Durchmesser. Es entsteht dadurch ein breites Strahlenbündel, dessen Durchmesser von  $U$  gegen  $B$  hin stets noch zunimmt, und zwar um so mehr, je geringer die Geschwindigkeit ist, auf die es gebracht wird [vgl. 52, Gleichung (1)]. Letztere Geschwindigkeit wird durch das Potential von  $U$  reguliert, dessen negativer Wert stets kurz mit  $U$  bezeichnet sei. Die Hülle  $H$  und



mit ihr auch die Teile  $E$  und  $\varepsilon$  bleiben stets mit der Erde verbunden.

Von  $E$  ab sind daher die Strahlen unbeeinflusst von elektrischen Kräfte sich selbst, bez. dem vorhandenen Gase überlassen, bis sie den auffangenden Teil  $B$  treffen. Dieser ist eine isolierte, mit dem Quadrantelektrometer zu verbindende zylindrische Büchse, welche dem Strahl ihre kreisförmige Öffnung von 1 cm Durchmesser zuwendet. Dicht vor dieser Öffnung, nur durch ein Glimmerblatt von der Büchse getrennt, befindet sich das Diaphragma  $D$  von gleicher Öffnungsweite, welches 4 mm von dem Drahtgitter  $\varepsilon$  absteht und wie dieses stets metallisch mit  $H$  verbunden bleibt.  $\varepsilon$ ,  $D$  und  $B$  können zusammen in  $H$  verschoben werden, so daß verschiedene Strahlängen  $UD = d$  resultieren. Alle Teile  $U$ ,  $E$ ,  $H$ ,  $D$ ,  $B$  sind beruht, um etwaige Kontaktpotentialdifferenzen im Ausbreitungsraume zu vermeiden, nur das Platingitter  $\varepsilon$  war blank gelassen.

92. Bei der Ausführung der Versuche mußte in erster Linie Rücksicht genommen werden auf die Inkonstanz des erregenden Zinkbogenlichtes. Es geschah dies dadurch, daß jedesmal nicht nur die an  $B$  kommende, sondern auch die von  $U$  entweichende Elektrizitätsmenge gemessen und der Quotient beider Mengen in die Rechnung gesetzt wurde (95).

Die Messung der von  $U$  entweichenden Menge geschah durch Aufspeicherung derselben in Leydener Flaschen und nachfolgende Entladung durch ein Galvanometer, ganz in der früher auseinandergesetzten Weise (85). Der erfolgende Galvanometerausschlag, welcher jene Menge mißt, werde mit  $G$  bezeichnet.

Die an  $B$  kommende Menge, bezogen auf die Zeiteinheit, variierte in den Versuchen je nach Gasdichte, Strahlänge und Geschwindigkeit im Verhältnis von 1:5000. Da nun wegen der durch die Strahlen im Gase bez. im Dampfresiduum erregten Leitfähigkeit hohe Potentiale von  $B$  zu vermeiden waren, wurde jedesmal dem mit  $B$  verbundenen Elektrometer eine Kapazität von solcher Größe zugeschaltet und die Belichtungsdauer so gewählt, daß der Elektrometeregang  $Q$  die Grenze nicht überstieg<sup>1)</sup>, innerhalb deren sein Verhältnis zum Galvano-

1) Er war meist viel kleiner als 100 Skt. oder etwa 1 Volt.

meterausschläge  $G$ , beide zur selben Belichtung gehörig, sich als merklich konstant erwies, unabhängig sowohl von der Dauer der Belichtung, als auch von den Intensitätsschwankungen der Lichtquelle (vgl. Tab. XXIX). Daß die Leitfähigkeit des Gases als Fehlerquelle so leicht zu eliminieren war, ist wohl der Kleinheit der benutzten Gasdrucke und der Anwesenheit des Gitters zuzuschreiben.

93. Jede einzelne Bestimmung eines Absorptionsvermögens erforderte die Ermittlung zusammengehöriger Werte von  $Q$  und  $G$  im gasfreien und im gaserfüllten Raume. Folgendes ist die beispielsweise herausgegriffene Zusammenstellung der Daten einer solchen Bestimmung.

Tabelle XXIX.

$U = 99,5$  Volt (50 Akkumulatorenzellen).  $d = 16,10$  cm.

Belichtungsdauer jedesmal 10 Sek.

	Galvano- meter- ausschlag $G$	Elektro- meter- gang $Q$	$Q/G$	Relative Kapazität des Elektrometer- systems	$Q/G$ , reduziert auf gleiche Kapazität
	Skt.	Skt.	Mittel		
Gasfreier Raum	{ 18,5 15,8	{ 25,4 23,2	{ 1,371 1,465	{ 1,418 (Elektrometer mit 1 Leyd. Fl.)	1,418 = $J$
Luft; Druck $p =$ 0,00459 mm	{ 17,3 15,6 29,6	{ 51,7 46,7 91,3	{ 2,97 3,025 3,08	{ 3,025 (Elektrometer allein)	0,332 = $i$

94. Bei der Kleinheit der zu benutzenden Gasdrucke war deren Messung besondere Sorgfalt zu widmen. Sie geschah in der Luftpumpe Toepler-Hagenscher Art selber, und zwar, um des Druckausgleiches zwischen Pumpe und Versuchsrohr sicher zu sein, wiederholt, vor, zwischen und nach den Absorptionsmessungen. Es waren am Pumpengefäß in verschiedenen Höhen Marken angebracht; beim Heben des Quecksilberniveaus bis an eine solche Marke wird der ursprünglich vorhandene, zu messende Druck mit einem gewissen Faktor vervielfacht und dadurch als Höhendifferenz der Quecksilber-

oberflächen in den beiden vertikalen Röhren der Pumpe, bez. in einem dieser Röhre und dem obersten Teile des Pumpengefäßes selber messbar. Diese Messungen wurden mit Hilfe eines Kathetometers vorgenommen. In derselben Weise geschah die Ermittlung der zu den einzelnen Marken gehörigen Faktoren, indem zuerst die unterste Marke an unmittelbar meßbare Drucke angeschlossen wurde, darauf die nächstfolgende Marke an diese erste, unterste, und so fort bis zur vierten Marke, die für die kleinsten Drucke zu benutzen war. Mehrfache Kontrollversuche ließen das benutzte Verfahren der Druckmessung als zuverlässig erscheinen.

95. Aus den Daten  $Q/G = J$  bez.  $i$  (Tab. XXIX) war das Absorptionsvermögen des Gases in folgender Weise zu berechnen. Es werde durch die Belichtung die Elektrizitätsmenge  $P$  von der Platte  $U$  ausgestrahlt. Im elektrischen Felde zwischen  $U$  und  $E$  kommt hinzu durch sekundäre Ausstrahlung im Gase (71 u. f.) die Menge  $\sigma \cdot P$ , wofür eine gleich große positive Elektrizitätsmenge durch Träger an  $U$  geht; Leitung in anderer Weise als durch sekundäre Strahlung findet, wie früher nachgewiesen (85), zwischen  $U$  und  $E$  nicht merklich statt. Der Galvanometeraussschlag wird daher sein  $G = C \cdot P(1 + \sigma)$ , wo  $C$  eine von der Empfindlichkeit des Galvanometers abhängige Konstante ist. Ebenso ist die durch  $E$  entweichende Strahlendichte bis auf einen irrelevanten Faktor gleich  $P(1 + \sigma)$ . Daraus wird auf dem Wege bis  $D$  durch seitliche Ausbreitung und durch Absorption  $P(1 + \sigma) \cdot A \cdot e^{-\alpha d} = Q$ , wenn  $\alpha$  das Absorptionsvermögen des vorhandenen Mediums und  $d = UD$  ist (Fig. 1).

Im gasfreien Raum ist also  $Q/G = J = A \cdot e^{-\alpha' d}/C$  und im gasgefüllten Raum  $i = A \cdot e^{-(\alpha + \alpha') d}/C$ , wenn  $\alpha'$  und  $\alpha$  die Absorptionsvermögen des Dampfresiduums bez. des reinen Gases sind. Daraus folgt das letztere:

$$(1) \quad \alpha = \frac{1}{d} \log \frac{J}{i}.$$

96. Die Tabellen XXX—XXXIII enthalten die so berechneten Resultate für vier Gase. Dabei sind nicht die Werte der Absorptionsvermögen selber, sondern die Quotienten  $\alpha_v = \alpha/p$  aus diesen und dem Gasdruck angegeben und als spezifisches

Tabelle XXX.  
Atmosphärische Luft.

Strahl- geschwindig- keit $U$	Druck $p$	Be- merkungen	Spez Absorptionsvermögen $a_0 = a/p$		
			$d = 7,70 \text{ cm}$	$d = 16,10 \text{ cm}$	Mittelwerte (korr.)
Volt	mm Hg				
4	0,00300	$B = -2 \text{ V.}$	28,2*	—	31,4
	0,00300	— 1	28,8*	—	
	0,00459	0	37,1*	—	
8	0,00300	$B = -6 \text{ V.}$	25,2*	—	28,85
	0,00300	— 4	27,7*	—	
	0,00459	0	33,7*	29,8*	
	0,0221	0	25,25*	—	
60	0,00459	—	24,7*	28,6*	26,7
100	0,00459	—	19,95*	19,70*	19,41
	0,0173	—	18,3*	19,68*	
500	0,0133	$Al, R$	9,45* ( $g = 0,41$ )	—	9,04
1000	0,0140	$Al, R$	4,47*	2,16*	3,0
	0,01445	$Al$	—	2,22*	
	0,0173	—	3,08* ( $g = 0,46$ )	4,56* ( $g = 0,22$ )	
2000	0,01445	$Al$	—	1,64*	1,59
	0,01445	$Al, R$	—	1,81* ( $g = 0,14$ )	
4000	0,01445	$Al$	—	1,28* ( $g = 0,08$ )	1,20

Absorptionsvermögen der Gase für die betreffende Strahlgeschwindigkeit bezeichnet.<sup>1)</sup>

Die Kolonnen 4 und 5 entsprechen überall den zwei verschiedenen benutzten Strahllängen. Die Strahlgeschwindigkeiten in den ersten Spalten sind sämtlich als das Doppelte der an

1) Die Voraussetzung der Proportionalität zwischen Absorptionsvermögen und Druck stützt sich auf meine früheren Beobachtungen an schnellen Strahlen in Luft und Wasserstoffgas, Wied. Ann. 56. p. 258. 1895.

Tabelle XXXI.  
Wasserstoff.<sup>1)</sup>

Strahl- geschwindig- keit <i>U</i>	Druck <i>p</i>	Be- merkungen	Spez. Absorptionsvermögen $a_0 = a / p$		
			<i>d</i> = 7,70 cm	<i>d</i> = 16,1 cm	Mittelwerte (korr.)
Volt	mm Hg				
4	0,00254	<i>B</i> = − 2 V.	46,5*	—	46,5
	0,00254	0	42,0	—	—
	0,00838	<i>B</i> = − 2 V.	34,7	—	—
	0,00838	− 1	33,7	—	—
	0,00838	0	32,7	—	—
8	0,00254	<i>B</i> = − 6 V.	44,2*	46,8*	} 42,6
	0,00254	− 4	38,7*	40,6*	
	0,00254	− 2	38,9	38,1	—
	0,00254	0	30,3	40,3	—
	0,00838	<i>B</i> = − 6 V.	35,3	—	—
	0,00838	− 4	31,5	—	—
	0,00838	− 2	29,7	—	—
	0,00838	0	28,3	—	—
30	0,00604	—	15,50* ( <i>g</i> = 0,71)	13,66* ( <i>g</i> = 0,33)	14,16
60	0,00604	—	10,72* ( <i>g</i> = 0,66)	8,12* ( <i>g</i> = 0,31)	8,9
100	0,00838	—	7,48*	5,38*	} 5,83
	0,0385	—	6,08* ( <i>g</i> = 0,52)	5,88* ( <i>g</i> = 0,24)	
1000	0,00604	—	1,307* ( <i>g</i> = 0,122)	—	1,19

*U* geschalteten Akkumulatorenzahlen angegeben, was dem mittleren Resultat der wiederholt mit geeichten Voltmetern vorgenommenen Spannungsmessungen entspricht. Zu bemerken ist dabei, daß zu dieser Spannung *U* als positive Korrektion die mittlere Anfangsgeschwindigkeit der Ausstrahlung und als negative Korrektion der halbe Spannungsverlust während der

1) Käuflich.



Tabelle XXXII.

 Kohlensäure.<sup>1)</sup>

Strahl- geschwindig- keit $U$	Druck $p$	Be- merkungen	Spez. Absorptionsvermögen $\alpha_0 = a/p$		
			$d = 7,70 \text{ cm}$	$d = 16,1 \text{ cm}$	Mittelwerte (korr.)
Volt	mm Hg				
4	0,00394	$B = -2 \text{ V.}$	38,8*	—	38,8
	0,00394	— 1	36,9	—	—
	0,00700	0	29,3	26,7	—
	0,0290	0	16,9	—	—
8	0,00394	$B = -6 \text{ V.}$	31,6*	—	} 29,8
	0,00394	— 4	27,9*	—	
	0,00710	0	31,8	25,8	—
	0,0290	0	21,1	—	—
60	0,00710	—	36,2*	30,8*	33,5
	0,0290	—	22,7	16,9	—
100	0,00710	—	29,7*	25,2*	27,5
	0,0290	—	19,75	18,58	—
500	0,00710	—	12,36*	11,05*	11,36
	0,0290	—	9,82 ( $g = 0,47$ )	7,72 ( $g = 0,22$ )	—
1000	0,0016	$Al$	—	6,2	—
	0,00710	—	9,85*	6,91	9,53
	0,0290	—	4,86 ( $g = 0,32$ )	4,58	—

Belichtungsdauer (vgl. 85) hinzuzufügen wäre, welche beide einige Zehntel Volt betragen, sich daher so weit aufheben, daß sie bei den größeren Werten  $U$  an sich nicht in Betracht kommen, bei den kleineren aber nach der Art des resultierenden Zusammenhanges zwischen  $\alpha_0$  und  $U$  außer acht gelassen werden konnten.

97. Fehlerquellen. — Die in diesen Tabellen verzeichneten, bei gleicher Strahlgeschwindigkeit, aber verschiedenen Werten

1) Käuflich.

Tabelle XXXIII.

Argon.<sup>1)</sup>

Strahl- geschwindig- keit $U$	Druck $p$	Be- merkungen	Spez. Absorptionsvermögen $a_0 = a/p$		
			$d = 7,70 \text{ cm}$	$d = 16,1 \text{ cm}$	Mittelwerte (korr.)
Volt	mm Hg				
4	0,00278	$B = -2 \text{ V.}$	28,9*	—	26,1
	0,00278	— 1	25,5*	23,8*	
8	0,00278	$B = -6 \text{ V.}$	21,0*	30,5*	25,8
	0,00278	— 4	25,8*	—	
30	0,00278	—	37,4*	32,5*	35
60	0,00278	—	37,5*	24,7*	31
100	0,00278	—	34,2*	18,04*	26
	0,0174	$Al$	17,42	—	—
	0,0174	$Al, R$	19,75	—	—
	0,0294	—	16,52	15,48	—
500	0,00278	—	9,21*	4,59*	6,6
	0,0174	$Al, R$	10,73	—	—
	0,0249	—	6,67 ( $g = 0,37$ )	5,77 ( $g = 0,17$ )	—
1000	0,0249	—	3,49*	2,90*	3,0
	0,0421	$Al$	— ( $g = 0,34$ )	2,99 ( $g = 0,16$ )	—
4000	0,01698	$Al$	—	2,06*	1,92
	0,0174	$Al$	1,96* ( $g = 0,13$ )	— ( $g = 0,06$ )	

von  $p$  bez.  $d$  gefundenen Werte der  $a_0$  weichen zum Teil, namentlich bei Kohlensäure und Argon, sehr viel mehr voneinander ab, als den äußersten möglichen Meßfehlern entspräche. Es liegt dies offenbar daran, daß die Entwicklung der Gleichung (1) nicht entfernt alle zwischen  $U$  und  $B$  stattfindenden Vorgänge berücksichtigt; es werden daher dieselben, soweit sie bekannt sind, nunmehr als Fehlerquellen (a bis g)

1) Dargestellt, spektroskopisch geprüft und nahezu rein gefunden von Hrn. Dr. Becker (vgl. Zeitschr. f. Elektrochem. Nr. 30. p. 600. 1903).

zu diskutieren sein unter Angabe der zu ihrer Elimination benutzten Mittel, bez. der Gesichtspunkte zur Beurteilung ihres Einflusses auf die Einzelwerte der  $a_0$ .

98. (a). Sekundäre Strahlung aus dem Gase (71) mußte zusammen mit dem nicht absorbierten Reste der primären Strahlung den auffangenden Teil treffen, also jenen Rest zu groß, die Absorption zu klein erscheinen lassen. Dieser Fehler fällt fort bei Strahlgeschwindigkeiten unter 11 Volt, wo keine sekundäre Strahlung entsteht; er ist zu erwarten, und zwar in rasch steigendem Maße bei höheren Geschwindigkeiten (86). Um über seine Größe urteilen, bez. bei der höchsten hier benutzten Geschwindigkeit ihn ausschließen zu können, wurde für die letztere, 4000 Volt, das Diaphragma *D* mit einfachem, gewöhnlichem Aluminiumblatt verschlossen, welches bei dieser Geschwindigkeit schon sehr merklich durchlässig ist, langsamere Strahlen, wie die sekundären, jedoch vorwiegend absorbiert (60). Wie die Tabellen, oder besser die Kurven der Fig. 2 zeigen, fallen die so erhaltenen Absorptionsvermögen (4000 Volt bei Luft und Argon) in der Tat höher aus, als nach Lage der Nachbarwerte (1000 und 2000 Volt) zu erwarten wäre; jedoch ist die Abweichung nicht groß, und sie darf auch nur zum Teil als Erniedrigung jener Nachbarwerte durch sekundäre Strahlung gedeutet werden, denn das Aluminiumblatt muß eine andere Fehlerquelle (f) vermehren, welche die Absorptionsvermögen zu groß werden läßt. Danach scheint sekundäre Strahlung als Fehlerquelle in den Versuchen eine geringe Rolle gespielt zu haben. Man kann dies der geringen Geschwindigkeit, also starken Absorption dieser Strahlung zuschreiben, zusammen mit dem Umstande, daß elektrische Kräfte, welche sie hätten beschleunigen können, vom Laufe der Strahlen ferngehalten waren.

99. In einigen Fällen wurde das Aluminiumblatt auch für Strahlen von 100, 500, 1000 und 2000 Volt Geschwindigkeit benutzt, welche in der Hauptsache nur durch seine Löcher dringen (60).<sup>1)</sup> Das Blatt konnte dann nur die Wirkung einer

1) Diesen früheren Beobachtungen am Phosphoreszenzschirm entspricht es, daß das Blatt bei den gegenwärtigen elektrometrischen Messungen an Strahlen aller Geschwindigkeiten von 8 bis einschließlich 2000 Volt sehr nahe gleich durchlässig sich zeigte, nämlich im mittleren

sehr vollkommenen elektrischen Abtrennung des auffangenden Systems vom Ausbreitungsraum der Strahlen haben. Man bemerkt keinen Einfluß dieser vervollkommeneten Abtrennung auf die Resultate.<sup>1)</sup> Ebenso wenig war es von Einfluß, wenn der starke Ausfall an Intensität bei Benutzung des Blattes durch Anbringung der früher (56) gebrauchten konzentrierenden Stromrolle am Versuchsrohre kompensiert wurde.<sup>2)</sup> Diese Beobachtungen sprechen für die Richtigkeit der den Versuchen zugrunde gelegten Auffassung.

100. (b). Infolge der Absorption der primären und auch der sekundären Strahlen muß ein Konzentrationsgefälle negativer Träger längs des Strahlenweges entstehen, dessen Folge eine stete Diffusion solcher Träger zum auffangenden Teile hin sein wird. Hierdurch müssen die Absorptionsvermögen zu klein gefunden werden. Der Fehler muß am größten werden, wenn die Absorption selbst am stärksten ist, also bei dichtem Gase und bei langsamen Strahlen. Es wurden deshalb vorwiegend sehr geringe Gasdrucke benutzt; die Versuche bei höheren Drucken lassen in der Tat annehmen, daß der Fehler bei den spezifisch stärker absorbierenden Gasen, Argon und Kohlensäure, alsdann bedeutend werden kann. Denn die Tabellen, in welchen alle Absorptionsvermögen für gleiche Strahlgeschwindigkeit nach den Gasdrucken geordnet sind, zeigen bei den genannten Gasen abnehmende Werte der spezifischen Absorptionsvermögen  $a_0$  bei zunehmendem Gasdrucke. Wie zu erwarten, tritt diese Abnahme mehr zurück bei den schnelleren, weniger absorbierbaren Strahlen; nur im stärksten absorbierenden Gase, der Kohlensäure, ist sie selbst bei 1000 Volt Geschwindigkeit noch merklich. Das schnell diffundierende Wasserstoffgas läßt bei 100 Volt einen, wenn auch undeutlichen Einfluß des Druckes erkennen; Luft zeigt nichts davon. Es scheint, daß die in entgegengesetztem Sinne wirkende Fehlerquelle (c) hier den Einfluß der Trägerdiffusion kompensiert hat.

Betrage von 1,264 der auffallenden Menge, was der mikroakopisch beobachteten Färbung seiner Löcher schätzungsweise entspricht. Bei 4000 Volt Geschwindigkeit ging etwa 10mal so viel durch, nämlich 1/26.

1) Alle Fälle der Benutzung des Aluminiumblattes sind in den Tab. XXX—XXXIII durch den Vermerk *Al* gekennzeichnet.

2) *R* in den Tabellen; die Stromstärke war 30 Amp.

In eben den genannten Fällen, wo die Werte der  $a_0$  vom Drucke abhängen, findet man gleichzeitig auch eine Abhängigkeit derselben von der Strahllänge  $d$  derart, daß längere Strahlen kleinere Absorption ergeben. Das Zusammentreffen beider Abhängigkeiten läßt schließen, daß sie beide Wirkung der Trägerdiffusion seien. Es ist auch zu erwarten, daß diese Fehlerquelle bei längeren Strahlen mehr Einfluß gewinnen, also die Absorptionsvermögen kleiner ausfallen lassen wird, als bei kürzeren; denn der Betrag  $\delta i$ , um welchen die Diffusion die aufzufangende Elektrizitätsmenge  $i$  vergrößert, muß bei den großen, hier vorkommenden freien molekularen Weglängen mehr der durchschnittlichen Strahlintensität längs eines gewissen letzten Wegstückes proportional sein, als der Endintensität  $i$ ; da aber nach Gleichung (1)  $\delta a = - \delta i / d \cdot i$ , wo  $d \cdot i$  mit zunehmendem  $d$  stark abnimmt, muß der Fehler  $\delta a$  des Absorptionsvermögens mit zunehmender Strahllänge zunehmen.<sup>1)</sup> Es wären danach die bei kleiner Strahllänge erhaltenen Werte  $a_0$  in den erwähnten Fällen zu bevorzugen, wenn nicht die andere Fehlerquelle (c) gerade diese Werte in denselben Fällen als zu groß erwarten lassen würde. Ich habe deshalb bei Bildung der schließlichen Mittelwerte auch die größeren Strahllängen bei kleinen Gasdrucken mit berücksichtigt<sup>2)</sup>, um die beiden entgegengesetzt wirkenden Fehlerquellen (b) und (c) möglichst einander kompensieren zu lassen. Immerhin ergibt sich daraus eine verminderte Sicherheit der Resultate für Kohlensäure bei 60 Volt und für Argon bei 30, 60 und 100 Volt Geschwindigkeit.

101. Besonders stark müßte der Einfluß der Trägerdiffusion bei den stärkst absorbierbaren Strahlen von 4 und 8 Volt Geschwindigkeit sein. Hier jedoch war der Versuch einer Elimination derselben möglich durch den Umstand, daß diese Strahlen nur negative, keine positiven Träger bilden (42). Es wurde die Büchse  $B$ , zusammen mit dem Gehäuse des mit

---

1) Daß derselbe dennoch innerhalb gewisser Grenzen bleibt, zeigte sich dadurch, daß die im größeren Abstände aufzufangende Elektrizitätsmenge jedesmal unmerklich klein wurde, wenn kleine Strahlgeschwindigkeit mit nicht sehr kleinem Gasdruck zusammentraf.

2) Ein anderer Grund hierfür ist die Möglichkeit der Mitwirkung noch unbekannter Vorgänge im Kraftfelde  $UE$ , welche in größeren Entfernungen von diesem wenige. Einfluß haben würden, als in kleineren.



ihr verbundenen Elektrometers negativ geladen, so daß ein elektrisches Feld zwischen  $B$  und dem Gitter  $\epsilon$  entstand, welches herankommende negative Träger zurücktreiben mußte. Um nicht auch Strahlen zurückzuhalten, mußte das Potential von  $B$  stets etwas niedriger bleiben als das von  $U$ . Die gleiche Potentialdifferenz wie im Gase wurde dann auch beim zugehörigen Versuche im gasfreien Raume angewandt; ihre Höhe ist in den Tab. XXX—XXXIII jedesmal vermerkt. Man findet dortselbst den beim Statthaben von Trägerdiffusion zu erwartenden Einfluß dieser Potentialdifferenz sowohl als des Druckes deutlich nur bei Kohlensäure und Wasserstoffgas. Dabei erreichen jedoch die mit zunehmender Potentialdifferenz anwachsenden Werte der  $\sigma_0$  keine feste Grenze, ehe Umkehr von Strahlen selber eintritt (vgl. 102), so daß hier Zweifel bleiben, ob die beabsichtigte Fehlerelimination vollständig erreicht<sup>1)</sup>, bez. ob nicht durch Umkehr von Strahlen verminderter Geschwindigkeit ein entgegengesetzter Fehler entstanden ist. Doch erscheint die hieraus bei Kohlensäure und Wasserstoff resultierende Unsicherheit in bezug auf die Absorption von Strahlen kleinster Geschwindigkeit nicht so groß, daß dadurch die Reihenfolge der vier Gase in bezug auf diese Absorption in Frage gestellt wäre. Zu bemerken ist auch, daß ein Einfluß der Strahllänge auf die Werte der Absorptionsvermögen bei den Geschwindigkeiten 4 und 8 Volt nirgends hervortritt.

102. Was die Umkehr der Strahlen selbst anlangt, so trat diese bei geringeren Potentialen von  $B$  ein, als bei unverminderter Geschwindigkeit zu erwarten gewesen wäre, wie die folgende Zusammenstellung für einen der Versuche zeigt.

Tabelle XXXIV.

Wasserstoff; Druck  $p = 0,00254$  mm.  $d = 7,70$  cm.

	$B = 0$	-1	-2	-3	-4	-6	-8	-10 Volt
$U = 4$ Volt	$i = 8,9$	7,8	6,5	4,9	2,0	0	0	0
$U = 8$ Volt	$i = 24,1$	—	21,4	—	18,3	13,5	5,5	0

1) Traten nicht Polarisationszustände ein (vgl. Anmerkung zu 34 und 89), so würden schon Bruchteile eines Volt haben genügen müssen, um alle Träger zurückzuhalten.

Die an  $B$  aufgefangene Menge  $i^1)$  nimmt mit zunehmendem negativen Potential von  $B$  erst langsam ab bis zu den durch Doppelstriche gekennzeichneten Stellen der Tabelle und sinkt von da ab dann stark beschleunigt zu Null herab. Daß dies nicht erst bei  $B = -4$  bez.  $-8$  Volt eintritt, sondern schon bei etwa  $-2,5$  bez.  $-5$  Volt, deutet auf einen Geschwindigkeitsverlust der Strahlen auf dem Wege  $d$ , dessen maximaler Betrag etwa 1,5 Volt bei den 4 Volt-Strahlen, 3 Volt bei den 8 Volt-Strahlen wäre. Dieser Verlust ist relativ viel größer, als der bei Strahlen von 200, 2000 und 30000 Volt Geschwindigkeit etwa vorhandene, wo meine Versuche keinen solchen von gleicher prozentischer Größe zu erkennen gaben (76).<sup>2)</sup> Da nach Tab. XXXIV bei  $B = -4$  bez.  $-8$  Volt noch Strahlen ankamen, kann nur ein Teil der Gesamtstrahlung vom Verluste betroffen worden sein.

103. (c). Die diffuse Ausbreitung der Strahlen im Gase kann Anlaß zu Fehlern nur dann geben, wenn das Strahlenbündel schmal ist im Vergleich zur auffangenden Öffnung von  $B^3)$ ; die Absorption würde dann zu groß erscheinen müssen.

Zur Beurteilung der Ausbreitungsweise des Strahlenbündels im gasfreien Raume können folgende Mittelwerte der aufgefangenen Mengen  $J$  in willkürlicher Einheit dienen.

Tabelle XXXV.

	$U = 4$	8	80	60	100	500	1000 Volt
$d = 7,7$ cm	$J = 0,137$	0,290	0,66	0,855	1,000	1,447	1,55
$d = 16,1$ cm	$J = 0,0083$	0,021	0,079	0,143	0,220	0,662	0,715

Hiernach, sowie nach direkter Beobachtung auf einem an Stelle von  $D$  zu bringenden Phosphoreszenzschirme (vgl. auch 52), besteht das Strahlenbündel bei den Geschwindigkeiten von 500 und mehr Volt aus einem intensiveren, zentralen Teile mit verwaschenem, weniger intensivem Rande, und

1) Die Werte von  $i$  sind in bezug auf Strahlung des Netzes  $E$  und Wirkung reflektierten Lichtes korrigiert, nach 105.

2) Über die Deutung des Geschwindigkeitsverlustes vgl. 117.

3) Vgl. über die Einflußlosigkeit der Trübung Wied. Ann. 56. p. 255. 1895.

es erfüllt auch bei  $d = 16$  cm nicht völlig den Querschnitt des Rohres. Die Ausfüllung in diesem Abstände wird vollständig und nahezu gleichmäßig bei 100 Volt und darunter; bei 8 und 4 Volt wird das Bündel so divergent, daß es auch schon im kleineren benutzten Abstände,  $d = 7,7$  cm, das Rohr ganz erfüllt.<sup>1)</sup>

Berücksichtigt man dazu, daß Strahlen von 1000 und mehr Volt Geschwindigkeit bei den kleineren benutzten Gasdrucken nur sehr wenig diffus verlaufen (78), so ergibt sich, daß eine Beeinflussung der Absorptionsvermögen durch Trübung nur bei den Geschwindigkeiten von 30—500 Volt und zwar besonders beim kleineren Abstände  $d$  und bei den größeren Gasdichten zu erwarten ist. Zeichen solcher Beeinflussung, nämlich Inkonstanz der Werte  $a_0$ , zeigen sich nur bei Argon und Kohlensäure, wo daher auch aus diesem Grunde (vgl. b) nur die geringsten Gasdrucke zu berücksichtigen sein werden. Frei von dem Fehler dürften alle Geschwindigkeiten unter 30 und über 500 Volt sein, letztere bei geringem Gasdrucke.

104. (d). Reflexion der Strahlen an den Wänden von  $H$ , eintretend in den Fällen vollständiger Ausfüllung des Rohrquerschnittes (vgl. c), dürfte nach dem Ausfall früherer diesbezüglicher Kontrollversuche<sup>2)</sup> schwerlich von Einfluß gewesen sein.

105. (e). Inhomogenität der Strahlen in bezug auf Geschwindigkeit wegen Strahlung des belichteten Netzes  $E$  war nur zu fürchten bei den geringsten Geschwindigkeiten, 4 und 8 Volt (vgl. 58). Es wurde in diesen Fällen die Wirkung der Strahlung dieses Netzes durch besondere Versuche ermittelt und als Korrektur berücksichtigt. Die Ermittlung geschah durch Messung des Elektrometerganges an  $B$  bei  $U = 2$  Volt verzögernd, wobei so gut wie alle von  $U$  ausgehende Strahlung, entsprechend ihrer Anfangsgeschwindigkeit (22), rückgängig werden, und also die des Netzes allein übrig bleiben mußte. Der so erhaltene Elektrometergang wurde subtrahiert von dem

1) Die Zahlen  $J$  der Tab. XXXV für  $d = 16,1$  cm und  $U = 4, 8, 30, 60$  Volt sind kleiner als nach bloßer, geradliniger Ausbreitung zu erwarten wäre; es deutet dies auf ein merkliches Absorptionsvermögen des Dampfresiduums.

2) P. Lenard, Wied. Ann. 51. p. 253 ff. 1894.

des Hauptversuches, bei welchem alle Umstände bis auf die Spannung an  $U$  genau die gleichen waren, und die Differenz zur Bildung der Quotienten  $J$  bez.  $i$  in Rechnung gesetzt.

Hierdurch ist zugleich auch die strahlenerzeugende Wirkung reflektierten Lichtes eliminiert, das die Innenwände von  $H$  und  $B$  trifft. Es war dies nicht unwesentlich bei geringen Geschwindigkeiten, wo die aufgefundenen Mengen nur klein waren. War dabei zugleich  $B$  negativ geladen (101), so überwog die zuletzt erwähnte Wirkung; die Korrektur trat als Summand auf. Sie überstieg übrigens nie die Größe einiger weniger Skalenteile und betrug in den meisten Fällen nur Zehntel von solchen.

106. (f). Ein anderer Grund für Inhomogenität der Strahlgeschwindigkeit liegt in der Mitführung und Beschleunigung sekundärer Strahlung zwischen  $U$  und  $E$ . Die Absorptionsvermögen würden dadurch zu groß werden. Der Fehler kann nur über 11 Volt Geschwindigkeit bestehen; er würde von Belang werden können bei den größeren Dichten der spezifisch schwereren Gase, Argon und Kohlensäure (vgl. Tab. XXVIII). Da aber eben diese Dichten dieser Gase bereits aus anderen Gründen (b, c) auszuschließen waren<sup>1)</sup>, kann er als beseitigt gelten.

107. (g). Absorption der noch nicht auf volle Geschwindigkeit gebrachten Strahlen im Raume  $UE$  muß die Resultate  $a_0$  zu groß werden lassen. Der absolute Betrag  $g$  des Fehlers kann berechnet werden durch Betrachtung der einzelnen Elemente des gleichförmig beschleunigt durchlaufenen Weges  $UE = \delta = 0,4$  cm; man findet

$$g = \frac{\delta}{d - \delta} \left( \frac{1}{U} \int_0^v a_u du - a_v \right).$$

Das Integral wurde graphisch ermittelt aus Kurven, welche zunächst die unkorrigierten Werte der spezifischen Absorptionsvermögen  $a$  als Funktion der Strahlgeschwindigkeit  $u$  darstellten. Der Fehler  $g$  ist relativ klein bei langsamen Strahlen,

1) Haben außer den hier als Fehlerquellen berücksichtigten, bekannten Wirkungen noch andere unbekannter Art im Gase stattgehabt, so dürften auch diese im dünneren Gase weniger einflußreich und also durch jene Ausschließung unschädlich gemacht sein.

sein Einfluß wächst mit der Geschwindigkeit; wo er neben der sonst vorhandenen Unsicherheit in Betracht kommt, findet man seinen Betrag in den Tab. XXX—XXXIII verzeichnet.

108. *Größe der Absorptionsvermögen.* — Dem Vorhergehenden entsprechend (97—107) sind die mit \* bezeichneten Werte der Tab. XXX—XXXIII ausgewählt und in den letzten Kolonnen derselben zu Mittelwerten vereinigt worden, zugleich unter Berücksichtigung der Fehlerkorrektur (g). Diese Mittelwerte finden sich in Fig. 2 graphisch als Funktion der Strahlggeschwindigkeit dargestellt, wobei, um Raum zu sparen, als Abszissen die Geschwindigkeiten in linearem Maße, also die

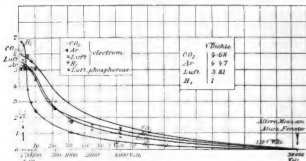


Fig. 2.

Quadratwurzeln aus den Voltzahlen, als Ordinaten die Quadratwurzeln aus den spezifischen Absorptionsvermögen aufgetragen sind. Mit aufgenommen sind die früher für hohe Strahlggeschwindigkeiten gemessenen, im gegenwärtigen Maßstab sehr kleinen Werte der spezifischen Absorptionsvermögen von Luft, Wasserstoff und Kohlensäure<sup>1)</sup> und ein entsprechender Wert für Argon, dieser auf Grund der Proportionalität von Absorptionsvermögen und Dichte aus der letzteren berechnet.<sup>2)</sup>

Die Kurven der Figur sind den einzelnen Punkten mit Berücksichtigung von deren aus (a) bis (g) hervorgehendes wahrscheinlichen Gewichten angeschlossen.

1) Vgl. Tab. XXXVI weiter unten; am Aluminiumfenster gemessen.

2) Der Quotient Absorptionsvermögen/Dichte = 3200 gesetzt; vgl. P. Lenard, Wied. Ann. 56. p. 274. 1895.



109. Ebenfalls in die Fig. 2 aufgenommen, jedoch bei Herstellung der Kurven nicht berücksichtigt, sind die früher phosphoroskopisch bestimmten drei Absorptionsvermögen von Luft für langsame Strahlen (Tab. XXVII). Man sieht, daß dieselben der für Luft geltenden Kurve sich so gut anschließen, als irgend zu erwarten war.

Die phosphoroskopische und die elektrometrische Methode, von welchen die erstere zwar minder genau ist als die letztere, aber viel freier von täuschenden Fehlerquellen, treffen also zusammen.<sup>1)</sup> Dies und die Konsistenz der für Luft unter verschiedenen Umständen gemessenen Werte der Absorptionsvermögen (Tab. XXX) läßt es berechtigt erscheinen, in den Kurven der Fig. 2 ein erstes, wenn auch nur angenähertes, so doch im wesentlichen richtiges Bild des gesamten Verlaufes der Absorptionsvermögen der untersuchten vier Gase von den geringsten bis zu den größten Strahlgeschwindigkeiten zu sehen. Aus dem in großem Maßstab gezeichneten Originale der Fig. 2 sind die Zahlenangaben der folgenden Tab. XXXVI genommen, soweit sie sich auf die Geschwindigkeiten von 6—4000 Volt beziehen.

Hervorgehoben muß werden, daß alle hier und früher von mir gemessenen Absorptionsvermögen der in Gleichung (1) (95) zugrunde gelegten Definition entsprechen, wonach sie das Reziproke derjenigen Strahllänge in dem betreffenden Medium sind, welche die mit ganz oder nahe unverminderter Geschwindigkeit (vgl. 102) sich bewegende Quantenmenge auf den Bruchteil  $1/e$  reduziert.<sup>2)</sup>

1) Die elektrometrische Methode mißt den Abfall der Quantenmenge  $q$ , die phosphoroskopische in der Hauptsache den Abfall von  $q \cdot v^2$  (vgl. 86), wo  $v$  die lineare Geschwindigkeit ist; die Übereinstimmung beider Methoden bedeutet daher, daß ein Abfall der Geschwindigkeit  $v$  nicht wesentlich ins Spiel kam.

2) Eine hiervon abweichende Definition, welche den Absorptionsvermögen gelegentlich beigelegt worden ist (W. Kaufmann, Wied. Ann. 69. p. 95. 1899), muß nach dem oben Vorhergehenden, sowie auch nach früher schon Bekanntem (Wied. Ann. 52. p. 23. 1894) als nicht zutreffend bezeichnet werden; sie dürfte daher auch schwerlich zu zutreffenden Folgerungen geführt haben. Dasselbe gilt von der an gleicher Stelle benutzten Auffassung des Diffusionsvorganges der Kathodenstrahlen, welche nicht vereinbar ist mit der beobachteten, von mir in Zeichnungen wiedergegebenen Ausbreitungsweise der Strahlen in Gasen (Wied. Ann. 51. p. 225. 1894).

Tabelle XXXVI.

Strahlgeschwindigkeit		Spez. Absorptionsvermögen $\text{cm}^{-1}$ bei 1 mm Hg			
in Volt	in Brucht. der Lichtgeschw.	Wasserstoff	Atm. Luft	Argon	Kohlen-säure
6	ca. $\frac{1}{370}$	44	30	28	34
30	„ $\frac{1}{120}$	14,6	27	26	32
100	„ $\frac{1}{70}$	6,01	21	20	28
1000	„ $\frac{1}{10}$	1,2	3,9	4,2	7
4000	„ $\frac{1}{10}$	0,19	0,85	1,3	2
ca. 30000	„ $\frac{1}{3}$	0,000 62 <sup>1)</sup>	0,005 0 <sup>1)</sup>	—	0,006 7 <sup>2)</sup>
3)	„ 1	0,000 000 6	0,000 009	0,000 01	0,000 01

110. *Absorption schnellster Strahlen.* — Die einzigen quantitativen Angaben über die Absorption der schnellsten verfügbaren, von Radiumverbindungen ausgehenden Kathodenstrahlen<sup>4)</sup>, welche mir bekannt wurden, finden sich in einer vorläufigen Mitteilung von Hrn. R. J. Strutt.<sup>5)</sup> Soweit dieselbe sehen läßt, wurde die mindest absorbierbare Strahlung eines Radiumpräparates benutzt, ihre Intensität durch die in Luft erregte Leitfähigkeit gemessen und so die Absorption von 13 festen Körpern und einem Gase untersucht. Dabei fand sich das Verhältnis zwischen Absorptionsvermögen und Dichte konstant in etwa derselben Annäherung, wie bei den durch Entladung erzeugten Strahlen von etwa  $\frac{1}{3}$  Lichtgeschwindigkeit. Der Mittelwert der 14 Verhältnisse ist 5,30. In Ermangelung der erwünschten Bestätigung dieser Angaben, und bei der Wichtigkeit der Kenntnis der Absorption schnellster Strahlen habe ich unterdessen selber eine Messung an Aluminium ausgeführt in der Absicht, die Größenordnung jenes Verhältnisses zu kontrollieren. Das benutzte Verfahren war völlig verschieden von dem des Hrn. Strutt. Das Radiumpräparat<sup>6)</sup> befand sich

1) P. Lenard, Wied. Ann. 56. p. 258. Tab. I bez. II. 1895.

2) Nach Tab. IV l. c. p. 263.

3) Über die Zahlen dieser Zeile vgl. 110.

4) H. Becquerel, Compt. rend. 130. p. 206 u. p. 809. 1900; P. u. S. Curie, Compt. rend. 130. p. 647. 1900; E. Dorn, Naturf.-Ges. zu Halle 22. p. 47. 1900; W. Kaufmann, Gött. Nachr. Heft 2. 1901; Heft 3. 1903.

5) R. J. Strutt, Nature 61. p. 539. 1900.

6) Bezogen von der Soc. de Prod. Chim. in Paris.

eingeschmolzen in einem engen, zylindrischen, ziemlich dickwandigen Glasrohr, welches noch dicht mit doppeltem Stanniol umwickelt wurde. Dies Röhrchen lag auf einer Mulde aus 0,04 cm dickem Aluminiumblech, deren Tiefe so bemessen war, daß ihr oberer Rand und die Achse des Röhrchens in dieselbe horizontale Ebene zu liegen kamen. Die nach unten gehende Hälfte der Ausstrahlung des Röhrchens mußte daher das Aluminium der Mulde durchsetzen, die nach oben gehende Hälfte entwich frei zum metallischen, mit der Erde verbundenen Mantel, in dessen Inneren die Mulde an seitlichem Stiele frei schwebte. Ein Glasrohr umschloß das Ganze, so daß die Luft mit Hilfe der Quecksilberluftpumpe entfernt werden konnte. Der Stiel der Mulde setzte sich wohl isoliert nach außen fort und war mit einem Quadrantelektrometer verbunden. Der aus dem Apparat dringende Rest der Strahlung wurde durch Bleiblech, welches das Glasrohr umhüllte, unschädlich gemacht. Es war dann am Elektrometer ein konstanter Gang von 9,1 Skt./Min. nach der positiven Seite hin zu beobachten, entsprechend der gesamten vom umwickelten Röhrchen ausgestrahlten und von der Mulde nicht absorbierten Elektrizitätsmenge. Wurde nun in einem zweiten Versuche das Röhrchen auf der Mulde mit zusammengebogenem Aluminiumblech von ebenfalls 0,04 cm Dicke bedeckt, so daß jetzt die gesamte Ausstrahlung durch Aluminium gehen mußte, so betrug der Elektrometeregang nur 6,7 Skt./Min. Zu bemerken ist, daß nach Wegnahme des Röhrchens und sofortigem Wiederevakuieren des Apparates keinerlei Nachwirkung am Elektrometer sich zeigte, welche etwa in den Aluminiumblechen erregter, sekundärer Aktivität entsprochen hätte. Aus den beiden Elektrometeregängen und der angegebenen Blechdicke wird das Absorptionsvermögen des Aluminiums berechnet zu

$$a = \log [(2 \cdot 9,1 - 6,7)/6,7]/0,04 = 13,5.$$

Das Verhältnis zwischen Absorptionsvermögen und Dichte,  $13,5/2,7 = 5,0$ , ist in guter Übereinstimmung mit Hrn. Strutts Angaben. Ich habe daher, auf Grund der seinen übrigen Angaben entsprechenden, angenäherten Gültigkeit der Massenproportionalität, mit Hilfe dieses Verhältnisses die in der letzten Zeile der Tab. XXXVI enthaltenen Absorptionsvermögen be-

rechnet, wodurch das Bild des Verlaufes der Absorption bei verschiedenen Strahlgeschwindigkeiten auch nach der anderen Seite hin bis an seine Grenze ergänzt ist.

111. *Gang der Absorption mit der Geschwindigkeit.* — Die in Tab. XXXVI und den Kurven der Fig. 2 enthaltenen Versuchsergebnisse können zunächst folgendermaßen zusammengefaßt werden:

I. Allen vier untersuchten Körpern gemeinsam ist es, daß die Absorption beim Fortschreiten von den größten zu immer kleineren Strahlgeschwindigkeiten wächst und zwar zunächst in immer steigendem Maße. Sinkt die Geschwindigkeit von der des Lichtes auf ein Hundertstel derselben herab, so erhöht dies die Absorptionsvermögen auf mehr als das Millionenfache. Diese Zunahme geht aber doch nicht über alle Grenzen hinaus, wenn die Geschwindigkeit der Null sich nähert, sondern es tritt alsdann zuvor ein Wendepunkt ein, worauf die Absorptionsvermögen gewissen Grenzwerten zustreben.

112. II. Das individuelle Verhalten verschiedener Materie, welches bei großen Geschwindigkeiten meist nur andeutungsweise, stärker ausgeprägt nur beim Wasserstoff zu erkennen war als Abweichung des Absorptionsvermögens von der Massenproportionalität<sup>1)</sup>, tritt mehr und mehr hervor bei geringen Geschwindigkeiten (vgl. die in Fig. 2 verzeichneten Quadratwurzeln der Dichten mit den Ordinatenhöhen). Wasserstoff zeigt hier seine Abweichung in solcher Vergrößerung, daß zuletzt sein Absorptionsvermögen das der anderen Gase sogar übersteigt, obgleich er das dünnste Gas ist. Argon und Luft absorbieren bei 4000 Volt Geschwindigkeit noch nach Reihenfolge ihrer Dichten, wechseln aber ihre Plätze bei geringeren Geschwindigkeiten.

So ist die Masse des Mediums, welche bei großen Geschwindigkeiten in erster Annäherung allein bestimmend ist für das Absorptionsvermögen, bei kleinen Geschwindigkeiten durchaus nicht mehr maßgebend für dasselbe; vielmehr scheint es bei Geschwindigkeiten von etwa 10 Volt die vorhandene Molekülzahl zu sein, denn die verschiedenen Gase von gleichem

1) Vgl. P. Lenard, *Wied. Ann.* 56. p. 263 u. 274. Tab. IV u. VIII. 1:95.

Drucke verhalten sich bei dieser Geschwindigkeit nahe einander gleich. Dasselbe wurde für langsame Strahlen auch in bezug auf deren diffusen Verlauf in denselben Gasen gefunden (78), so daß man sagen kann, die Proportionalität zwischen Trübung und Absorption<sup>1)</sup> bestehe in viel weiter gehendem Maße als die Proportionalität beider mit der Masse.

Eine exakt einheitliche Abhängigkeit der Absorptionsvermögen von der Strahlgeschwindigkeit ist nach dem Vorhergehenden im Bereiche zwischen etwa  $\frac{1}{2}$  Lichtgeschwindigkeit und Null nirgends zu erwarten.<sup>2)</sup>

113. *Theoretisches.* — Das folgende ist ein Versuch, die über die Ausbreitung der Kathodenstrahlen in der Materie gewonnenen Erfahrungen miteinander und mit der übrigen Erfahrung durch Vorstellungen zu verbinden.

Das Massengesetz, nach welchem bei größeren Geschwindigkeiten Absorptionsvermögen und Dichte einander proportional sind ohne Rücksicht auf Aggregatzustand und chemische Beschaffenheit<sup>3)</sup>, und nach welchem zwei Medien von gleicher Masse auch in Hinsicht der Trübung<sup>4)</sup>, sowie auch der sekundären Strahlung (71) einander gleich sind, also überhaupt in keinerlei bekannter Weise den Kathodenstrahlen gegenüber sich voneinander unterscheiden, hat, schon ehe weiteres über die Natur der Kathodenstrahlen gefunden war, als daß sie Vorgänge im Äther seien, die alte Hypothese über die Konstitution der Materie wieder und aufs äußerste nahe gelegt, daß die verschiedenen Atome aller Materie aufgebaut seien aus einerlei Bestandteilen in verschiedener Zahl.<sup>5)</sup> Um diese Bestandteile,

1) Vgl. P. Lenard, l. c. p. 265 ff.

2) Man vgl. auch die Beobachtung (l. c. p. 270), daß zwei gleich durchlässige Schichten verschiedener Stoffe ungleich durchlässig werden konnten, sobald die Geschwindigkeit der benutzten Strahlen geändert wurde.

3) P. Lenard, l. c. p. 266.

4) l. c. p. 266.

5) Dies ist von Hrn. J. J. Thomson bereits benutzt worden (Phil. Mag. (5) 44. p. 293 ff. 1897); er teilt daselbst im Anschluß an seine eigenen bekannten Untersuchungen über Kathodenstrahlen, welche mit meinen gleichzeitigen sich teilweise deckten (vgl. Wied. Ann. 64. p. 279. 1898), Vorstellungen über die Konstitution der Materie mit, welche im Vergleich mit den hier zu entwickelnden gewisse Verschiedenheiten, aber auch so viel gemeinsames aufweisen, als der gemeinsame Ausgangspunkt erwarten lassen muß.



welchen im folgenden gewisse, aus der Erfahrung abstrahierte Eigenschaften zuzuschreiben sein werden, eindeutig bezeichnen zu können, nenne ich sie Dynamiden.<sup>1)</sup> Jedes Atom ist danach aus einer seinem Gewicht proportionalen Zahl von Dynamiden zusammengesetzt, und auch jeder materielle Körper besteht aus einer seinem Gewicht proportionalen Zahl von Dynamiden, so daß zwei gleich schwere Körper sich ausschließlich durch die verschiedene Gruppierung der in gleicher Zahl in ihnen vorhandenen Dynamiden unterscheiden, gleichgültig ob die betreffenden Körper chemisch einfach oder beliebig zusammengesetzt sind. Dabei ist angenommen, daß alle Dynamiden genau gleich schwer und außerdem auch gleich träge seien, und daß sie in Hinsicht ihrer Schwere sowohl als ihrer Trägheit einander in keiner vorkommenden Gruppierung stören. Macht man die Annahme der Gleichheit und der gegenseitigen Nichtstörung der Dynamiden auch in Hinsicht ihrer Wirkungen den Kathodenstrahlen gegenüber, so ist das Massengesetz, von welchem wir ausgingen, selbstverständlich. Es würde dann aber exakt gelten müssen. Daß dies nicht der Fall ist, wird es notwendig machen, auf die nur angenäherte Richtigkeit mindestens einer der gemachten Annahmen zurückzukommen (116, 118).

114. Die Ausbreitungsweise der Kathodenstrahlen in der Materie wirft ein eigentümliches Licht auf die Raumerfüllung der letzteren. Jedes materielle Atom beansprucht erfahrungsmäßig einen gewissen Raum, in welchen ein anderes Atom nicht eindringen kann. Dieser Raum wird daher mit Recht als Volumen des betreffenden Atoms bezeichnet; seine absolute Größe, übereinstimmenderweise gefolgert durch eine Reihe verschiedener Überlegungen, entspricht einem Durchmesser zwischen  $10^{-6}$  und  $10^{-7}$  mm. Daß jedoch die Atome innerhalb dieser ihrer Volumina noch einen Aufbau aus feineren Bestandteilen — welche wir bereits Dynamiden genannt haben — aufweisen müssen, und zwar mit vielen freien Zwischenräumen, war durch die Ausbreitungsweise der Kathodenstrahlen nahe gelegt von der Zeit an, als man in denselben fortbewegte Quanten sehen lernte. Ein genügend schnell bewegtes Strahlquantum kann frei Tausende von Atomen durchqueren, ohne

1) Über die Wahl des Namens vgl. 114.

daß seine Geschwindigkeit nach Größe und Richtung wesentlich sich änderte (41, 76).<sup>1)</sup> Dennoch wird bei diesem Hindurchfahren durch die Materie jedesmal ein bestimmter Bruchteil der Quanten — nach Maßgabe des Absorptionsvermögens — an Atome festgelegt. Es ist daher jeder Dynamide ein gewisser absorbierender Querschnitt zuzuschreiben, derart, daß die auf einen solchen Querschnitt fallenden Quanten zurückgehalten, die neben ihm vorbeigehenden mit nahezu unveränderter Geschwindigkeit durchgelassen werden.<sup>2)</sup>

In diesem Sinne geben die oben gemessenen spezifischen Absorptionsvermögen  $\alpha_0$  die Summen der absorbierenden Querschnitte der in  $1 \text{ cm}^3$  der betreffenden Gase bei 1 mm Druck vorhandenen Dynamiden in Quadratcentimetern an. Es folgt dies nach Überlegungen, welche aus der kinetischen Gastheorie geläufig sind: Der Bruchteil der Zahl sehr kleiner, bewegter Teilchen, welcher durch eine  $x \text{ cm}$  dicke Schicht anderer, unregelmäßig angeordneter Teilchen hindurchdringt ohne angestoßen zu haben, ist  $e^{-\alpha x}$ <sup>3)</sup>, wenn  $\alpha$  die auf die Volumeneinheit bezogene Querschnittsumme der Teilchen jener Schicht darstellt.

Die absorbierende Querschnittsumme der Dynamiden, also auch der absorbierende Querschnitt jeder einzelnen Dynamide ist danach, entsprechend Tab. XXXVI, von der Geschwindigkeit der Quanten abhängig dergestalt, daß größerer Geschwindigkeit ein kleinerer Querschnitt entspricht. Um dies in einer den Eigenschaften der Quanten entsprechenden Weise zu erklären, sind die Dynamiden als elektrische Kraftfelder<sup>4)</sup> zu

1) In letzterem Umstande sehe ich den Anhalt dafür, daß die durch einen beliebigen Körper, z. B. ein Aluminiumblatt unabsorbiert dringenden Quanten identisch dieselben seien, welche an der Vorderfläche eingedrungen waren, nicht, wie angenommen worden ist (G. Stokes Annual Address of the Victoria Institute 1896; A. Schuller, Naturw. Ber. aus Ungarn 17. p. 218. 1899), aus dem Aluminiumblatt selbst, oder aus der Luft an dessen Hinterfläche stammende, neue Quanten.

2) Die hierbei stattfindenden Bahnkrümmungen entsprechen der Trübung der Medien.

3) R. Clausius, Pogg. Ann. 105. p. 240. 1858.

4) Daß elektrische Kraftfelder wesentlich zu jedem Atom gehören, konnte nicht mehr zweifelhaft erscheinen, seit die Spektren der Elemente nach Hertz als Folge elektrischer Eigenschwingungen der Atome aufzufassen waren.

betrachten, und der absorbierende Querschnitt wäre der Querschnitt desjenigen Teiles des Dynamidenfeldes, in welchem die elektrischen Kräfte genügend groß sind, Quanten der betreffenden Geschwindigkeit festzuhalten.

Will man den elektrischen Feldern der Dynamiden besondere, mit undurchdringlichem Eigenvolumen versehene Zentren zuschreiben, so wäre der Querschnitt der letzteren, welcher im Gegensatz zum absorbierenden Querschnitt wahrer Querschnitt der Dynamiden genannt werde, jedenfalls noch kleiner anzunehmen, als der kleinste gefundene absorbierende Querschnitt. Dieser letztere, geltend für Strahlen von nahe Lichtgeschwindigkeit, ist nun, wie die betreffenden Absorptionsvermögen zeigen, von außerordentlicher Kleinheit, so daß der wahre Querschnitt und ebenso das diesem entsprechende wahre Volumen, bez. der wahre Radius<sup>1)</sup> der Dynamiden noch um so mehr außerordentlich klein sein muß. Für Wasserstoffgas muß die wahre Querschnittsumme  $q$  der in  $1 \text{ cm}^3$  bei  $1 \text{ mm}$  Druck enthaltenen Dynamiden nach Tab. XXXVI kleiner sein als  $0,0000006 \text{ cm}^2$ ; die Querschnittsumme  $Q$  der Wasserstoffmoleküle dieses Volumens beträgt dagegen nach der Größe der inneren Reibung des Gases  $13 \text{ cm}^2$ .<sup>2)</sup> Da  $Q = R^2 \pi N$ ,  $q = 2 r^2 \pi N z$ , wenn  $R$  den Molekularradius,  $r$  den wahren Dynamidenradius,  $N$  die Zahl der Wasserstoffmoleküle im betrachteten Volumen,  $z$  die Zahl der Dynamiden in einem Wasserstoffatom bedeutet, ist  $q/Q = 2 r^2 z / R^2$  kleiner als  $6 \cdot 10^{-7} / 13$ , also  $r/R < 1,5 \cdot 10^{-4} / \sqrt{z}$ . Da nun  $z \geq 1$  ist, muß  $r < 1,5 \cdot 10^{-4} R$  sein, oder, weil  $R$  etwa gleich  $0,2 \cdot 10^{-6} \text{ mm}$  ist<sup>3)</sup>, der wahre Dynamidenradius:

$$r < 0,3 \cdot 10^{-10} \text{ mm.}$$

In einem Atom eines beliebigen Elementes vom Atomgewicht  $A$  wird das wahre Dynamidenvolumen gleich  $\frac{1}{2} r^3 \pi A$  sein, während das Volumen des Atomes selber nahe gleich oder größer als  $\frac{1}{2} R^3 \pi$  ist, indem sämtliche Elemente kaum

1) Es werde für die Beziehungen zwischen Radius, Querschnitt, Volumen stets Kugelgestalt des letzteren supponiert.

2) O. E. Meyer, Gastheorie, p. 301, für  $17^\circ \text{ C.}$  und  $1 \text{ mm}$  Druck umgerechnet.

3) Vgl. O. E. Meyer, l. c. p. 327.

kleinere, meist größere Atomvolumina aufweisen als der Wasserstoff. Das Verhältnis der beiden Volumina ist daher kleiner als  $r^3 A z / R^3$  oder, mit dem eben gefundenen Grenzwerte von  $r/R$ , kleiner als  $3,4 \cdot 10^{-12} A / \sqrt{z}$ , oder, da  $A < 240$ ,  $z \geq 1$ , kleiner als  $10^{-9}$ .

Da alle materiellen Körper noch Spielräume zwischen ihren Atomen haben, gilt es um so mehr, daß in einem Volumen  $V$  eines beliebigen solchen Körpers nicht mehr wahres Dynamidenvolumen vorhanden ist, als  $10^{-9} V$ . Beispielsweise ist danach der Raum, in welchem ein Kubikmeter festes Platin sich findet, leer, in dem Sinne wie etwa der von Licht durchzogene Himmelsraum leer ist, bis auf höchstensfalls ein Kubikmillimeter als gesamtes, wahres Dynamidenvolumen.<sup>1)</sup>

115. Daß die Absorption der Kathodenstrahlen<sup>2)</sup> im wesentlichen durch das Vorhandensein von wahrem, undurchdringlichen Dynamidenvolumen bedingt sei, wird man bei der gefundenen außerordentlichen Kleinheit des letzteren nicht annehmen können. Vielmehr muß diese Absorption als reine Wirkung der Kraftfelder der Dynamiden aufgefaßt werden.

Die experimentell gefundenen, und noch weiter zu verfolgenden Gesetze der Absorption der Kathodenstrahlen werden daher eines der Mittel sein, diese Kraftfelder kennen zu lernen. Daß dieselben in ihren stärksten Teilen von gewaltiger Intensität sein müssen, zeigt die Größe der Absorption der 30000 Volt-Strahlen (vgl. Tab. XXXVI).<sup>3)</sup>

116. Der Wegfall der Massenproportionalität beim Übergang zu den geringsten Geschwindigkeiten und das damit zusammentreffende, verringerte Anwachsen der Absorption (111, 112) kann dahin verstanden werden, daß die mit abnehmen-

1) Dadurch, daß die betrachteten Bestandteile der Atome so gut wie gar nicht durch wahre Raumerfüllung wirksam sind, sondern vielmehr fast ausschließlich durch ihre elektromagnetischen Kraftfelder — zusammen mit der ihnen zuzuschreibenden inneren Bewegung (120) —, rechtfertigt sich vielleicht der Name, welchen ich für dieselben gewählt habe, in der Annahme, daß der früher in der Geschichte der Wissenschaft mit demselben Namen verbundene andere Sinn jetzt fremd geworden und daher nicht störend sei.

2) und ebenso der diffuse Verlauf derselben.

3) Ein homogenes Feld von  $10^{13}$  Volt/cm würde Strahlen von dieser Geschwindigkeit längs  $10^{-8}$  cm um etwa  $45^\circ$  ablenken.

der Strahlgeschwindigkeit anwachsenden Dynamidensphären alsdann zu gegenseitigen Deckungen kommen.

In den gemeinsamen Räumen mehrerer, sich deckender Sphären muß teilweise Vernichtung der sich geometrisch addierenden Kräfte eintreten, so daß durch solche Deckung absorbierender Querschnitt verloren geht, was dem Eintreten des Wendepunktes der Absorptionskurven entspricht. Zugleich muß die Abweichung von der Massenproportionalität eintreten, denn die Deckung wird bei verschiedenen Atomsorten in verschiedenem Grade stattfinden, je nach der Größe des Raumes, welcher für je eine Dynamide im Atom zur Verfügung steht. Als Maß dieses Raumes kommt das Verhältnis zwischen Molekularvolumen und Molekulargewicht in Betracht; bei großem Wert dieses Verhältnisses wird man spätes Eintreten, bez. geringes Maß der Deckungen erwarten müssen, also kleineren Abszissenwert des Wendepunktes der Absorptionskurve und verhältnismäßig große Absorption langsamer Strahlen. Es beträgt das genannte Verhältnis<sup>1)</sup> bei Wasserstoff 6,0, Luft 1,0, Argon 0,7, Kohlensäure 1,2; es ist also besonders groß bei Wasserstoff. In der Tat zeigt dessen Absorptionsverlauf die danach zu erwartenden Eigenschaften in ausgeprägtester Weise, und Argon mit dem kleinsten Raumverhältnis verhält sich entgegengesetzt, indem es langsamste Strahlen weniger absorbiert als die anderen Gase.

117. Nähert sich die Geschwindigkeit der Grenze Null, so muß die zunehmende Deckung der absorbierenden Dynamidensphären schließlich den vollen Molekularquerschnitt als absorbierenden Querschnitt jedes Moleküles ergeben. Dem entspricht es, daß die Absorptionsvermögen über gewisse Grenzwerte hinaus nicht wuchsen (111), und daß, wie die folgende Zusammenstellung zeigt, die Grenzwerte selbst in der Nähe der molekularen Querschnittsumme der betreffenden Gase liegen.<sup>2)</sup>

1) Nach Lothar Meyer aus Grahams Beobachtungen der inneren Reibung, vgl. O. E. Meyer, Gastheorie p. 314. 1899; bei Argon habe ich die von Hrn. H. Schultze gemessene Reibungskonstante (Ann. d. Phys. 5. p. 140. 1901) zur Berechnung benutzt.

2) Aus dieser Übereinstimmung scheint unmittelbar zu folgen, daß die Bewegung freier elektrischer Quanten zwischen Atomen, wie etwa im Inneren



Tabelle XXXVII.

Gas	Molekular- gewicht	Molekulare Querschnittsumme	
		I. Stoß bewirkend mit Molekülen gleicher Art <sup>1)</sup>	II. Absorbierend für 6 Volt Kathoden- strahlen <sup>2)</sup>
<hr/>			
$\text{cm}^2/\text{cm}^3 = \text{cm}^{-1}$			
H <sub>2</sub>	2	12,8	44
Luft	29	22,8	30
Ar	40	21,8	28
CO <sub>2</sub>	44	33,5	34

Es fällt übrigens in dieser Zusammenstellung auf, daß die der kinetischen Gastheorie entsprechenden molekularen Querschnittsummen (I) um so kleiner erscheinen gegenüber den aus der Absorption der Kathodenstrahlen sich ergebenden (II), je geringer das Molekulargewicht, also je größer die molekulare Geschwindigkeit ist. Es kann dies an den ersteren Werten (I) liegen; denn man weiß, daß diese Werte bei einem und demselben Gase um so kleiner ausfallen, je höher die Temperatur, also die molekulare Geschwindigkeit ist<sup>3)</sup>, so daß sie auch bei verschiedenen Gasen und gleicher Temperatur bei größerer Molekulargeschwindigkeit, also kleinerem Molekulargewicht, relativ zu klein ausfallen müssen. In jedem Falle ist durch die Absorptionsbeobachtungen angezeigt, daß das

der Metalle, nach gastheoretischen Gesichtspunkten nicht wird zutreffend behandelt werden können, insofern bei jedem Zusammenstoß eines langsam bewegten Quantes mit einem Atom oder Molekül Absorption des Quantes stattfinden muß. Der Absorption kann allerdings Neuausstrahlung nachfolgen, ohne daß jedoch die Geschwindigkeit derselben ohne weiteres voraussagen wäre. So strahlen beispielsweise die Moleküle eines ultraviolett belichteten Metalles Quanten aus mit inneren Geschwindigkeiten (35), die viel größer sind, als nach gastheoretischen Gesichtspunkten zu erwarten wäre.

1) Nach O. E. Meyer, Gastheorie p. 301. 1899; Argon nach der von Hrn. H. Schultze (l. c.) gemessenen Reibungskonstante. Alle Werte für 1 mm Druck.

2) Aus Tab. XXXVI.

3) Vgl. O. E. Meyer, l. c. p. 216ff.

Wasserstoffmolekül ziemlich weit außerhalb des für seinesgleichen undurchdringlichen Raumes noch gewaltige elektrische Kräfte ausübt.<sup>1)</sup>

Bei dem Vorhandensein solcher Kräfte ist es auch nicht verwunderlich, daß Quanten, welche die Umgebung des absorbierenden Querschnittes passieren, durch Arbeitsabgabe an das Innere des Moleküles einen Geschwindigkeitsverlust erleiden, wie er durch die Beobachtung angezeigt war (102).<sup>2)</sup>

Der Lauf der Absorptionskurve des Wasserstoffs bei kleinsten Geschwindigkeiten (Fig. 2) zeigt auch, daß die elektrischen Kräfte in der Umgebung seines Moleküles mit wachsendem Abstand von demselben viel langsamer zu Null herabsinken als bei den Molekülen der anderen drei Gase.

118. Nach dem Vorhergehenden wäre Deckung der absorbierenden Dynamidensphären bei größeren Geschwindigkeiten — wie etwa in der Gegend von  $\frac{1}{3}$  Lichtgeschwindigkeit — nicht anzunehmen, denn die Querschnitte dieser Sphären nehmen rapid ab mit zunehmender Geschwindigkeit.

Es wäre dann das Verhältnis zwischen Absorptionsvermögen und Dichte bei größeren Geschwindigkeiten ein relatives Maß für den absorbierenden Querschnitt je einer einzelnen Dynamide. Nun zeigt die Erfahrung zwar dieses Verhältnis bei großen Geschwindigkeiten für alle Körper gleich und in gleicher Weise abhängig von der Geschwindigkeit, jedoch nur angenähert, nicht exakt gleich und gleich abhängig (111). Dies läßt annehmen, daß die Dynamiden verschiedener Atomgattungen geringe spezifische Verschiedenheiten besitzen.

119. Die Dynamiden als nächste Bestandteile der elektrisch neutralen Atome sind ebenfalls elektrisch neutral. Als Zentren der Kraftfelder der Dynamiden werden jedoch elek-

1) Die mittlere Kraft im Zwischenraum der Querschnitte I und II würde von der Ordnung  $10^9$  Volt/cm sein müssen, um 6 Volt-Strahlen von der Sphäre der größeren in die des kleineren der beiden Querschnitte zu lenken.

2) Auch die von verschiedenen Seiten angekündigten Beobachtungen über Geschwindigkeitsverluste der schnellen Kathodenstrahlen beim Passieren materieller Medien wären in der hier vorgetragenen Auffassung verständlich.

trische Quanten in ihnen anzunehmen sein, so daß die einfachste Vorstellung einer Dynamide die eines elektrischen Doppelpunktes von gewissem Moment wäre.<sup>1) 2)</sup> Durch die Verschiedenheit der Momente können spezifische Verschiedenheiten unter den Dynamiden bestehen.

Es wäre bei großen Dynamidenmomenten zu erwarten: 1. ein ausgedehnteres Kraftfeld, also ein größerer absorbierender Querschnitt der einzelnen Dynamide, d. i. ein größeres Verhältnis zwischen Absorptionsvermögen und Dichte des betreffenden Körpers; 2. größere Raumeinnahme, also größeres Verhältnis zwischen Molekularvolumen und Molekulargewicht; 3. ein größeres Verhältnis der um Eins verminderten Dielektrizitätskonstante des betreffenden Körpers zu seiner Dichte. In der Tat ist beim Wasserstoff, dem einzigen Körper, welcher nach den bisherigen Untersuchungen das unter 1. genannte, sonst nahe konstante Verhältnis auffallend vergrößert zeigt, gleichzeitig auch das unter 2. und das unter 3. genannte Verhältnis besonders groß.

120. Um die hier von besonderen Erfahrungen aus entwickelten Vorstellungen nicht im Widerspruch zu lassen mit der übrigen Erfahrung, ist den Dynamiden Bewegung zuzuschreiben. Schon die Greifbarkeit oder gegenseitige Undurchdringlichkeit der Materie verlangt dies bei der Geringfügigkeit ihrer wahren Raumerfüllung (114), ebenso das dauernde Bestehen der Kraftfelder der Dynamiden selbst.<sup>3)</sup> Ein rotierendes

---

1) Danach ist es bemerkenswert, daß der oben (114) abgeleitete obere Grenzwert für den wahren Dynamidenradius auch einen oberen Grenzwert darstellt für das wahre, undurchdringliche Volumen eines negativen und eines positiven elektrischen Elementarquantums zusammengekommen, also auch einen oberen Grenzwert für das wahre Volumen eines positiven Elementarquantums. Die Kleinheit dieses Grenzwertes neben der nach manchen Anzeichen groß erscheinenden Masse des positiven Elementarquantums mag hervorgehoben werden.

2) Hier trifft das im Vorstehenden entwickelte Bild von der Konstitution der Materie zusammen mit dem von Hrn. W. Wien zur Erörterung der Möglichkeit einer elektromagnetischen Begründung der Mechanik angenommenen (Ann. d. Phys. 5. p. 501. 1901).

3) Heftige Bewegungen im Inneren der Atome sind in besonderer Weise angezeigt bei den radioaktiven Körpern; bei allen Körpern überhaupt aber auch durch die lichtelektrische Wirkung (28).

Quantenpaar als einfachste Dynamide, oder Bestandteil einer solchen<sup>1)</sup>, würde beim Abstände  $10^{-11}$  cm der beiden Zentren, was nach (114) ein möglicher Fall ist,  $10^{30}$  Umläufe in der Sekunde machen müssen. Der Vorrat allein nur an kinetischer Energie solcher innerer Dynamidenbewegung, welcher hieraus für 1 g Substanz resultierte, wäre mehr als  $10^6$  g-Cal. äquivalent.

Kiel, den 27. Juli 1903.

---

1) Hier nähert sich unser Bild Lord Kelvins Wirbelatomen (Phil. Mag. (4) 34. p. 15. 1867).

(Eingegangen 30. Juli 1903.)

### 3. Über die induzierte Thoraktivität; von F. von Lerch.

Das Thorium besitzt, ähnlich wie Radium, zwei Sorten von Energiestahlung. Die geradlinige Strahlung, welche ihrerseits wieder in die  $\alpha$ -,  $\beta$ - und  $\gamma$ -Strahlen geteilt werden kann, und eine radioaktive Ausströmung, die sogenannte „Emanation“. Diese von Rutherford<sup>1)</sup> entdeckte Emanation, welche sich wie ein aus dem Präparat herausdiffundierendes Gas verhält, sich wie eine „riechende Substanz“ verbreitet, ist, wie der ebengenannte Forscher gezeigt hat, die Ursache der induzierten Aktivität. Bringt man nämlich die radioaktive Ausströmung in ein elektrisches Feld, so kondensiert sie sich zum größten Teil auf der negativen Elektrode, die dann temporär aktiv wird. Nach J. J. Thomson und Rutherford können wir uns den Vorgang so denken, daß die Moleküle der radioaktiven Emanation von Zeit zu Zeit ein negatives Elektron fortschleudern, das wie ein Kathodenstrahl die Luft ionisiert, dadurch eine positive Eigenladung erhalten und zur Kathode wandern. Bei dieser Konzentration erleidet die Emanation eine Veränderung, denn während die Aktivität der Ausströmung in ca. 1 Min. nach Rutherford auf die Hälfte sinkt, beträgt dieser Wert für die induzierte Aktivität ca. 11 Stunden. Über ihre Natur bestehen zurzeit zwei Hypothesen. Curie<sup>2)</sup> sieht in der Emanation nur eine besondere Art der Ausstrahlung von Energie, einen Zustand der Materie, bei der vielleicht ein Gas der Träger von Energiezentren ist. Rutherford nimmt ein neues radioaktives Edelgas in der Argongruppe an. Die Radioaktivität ist die Begleiterscheinung einer Reihe von unteratomigen Reaktionen. Aus dem Thor entsteht das ThX, aus dem ThX die Emanation und diese erleidet wieder eine unteratomige chemische Veränderung unter Bildung der induzierten Aktivität. Gegen die Hypothese von einem neuen radioaktiven

1) E. Rutherford, Phil. Mag. Februar 1900.

2) P. Curie, Physik. Zeitschr. 4. p. 305. 1903.



Edelgas wendet Curie ein, daß es bisher nicht gelungen ist, neue Spektrallinien der Emanation nachzuweisen. Dagegen glaubt Rutherford<sup>1)</sup> durch chemische Methoden gezeigt zu haben, daß sich die Emanation wegen ihrer Indifferenz gegen chemische Einflüsse trefflich in die Argongruppe einreihen ließe. Kürzlich ist es Rutherford auch gelungen, die Emanationen des Thors und Radiums zu verflüssigen.

Wir werden im folgenden die Hypothese von der gasförmigen Natur der Ausströmung annehmen und ich darf wohl gleich sagen, daß sie sich als vortreffliche Arbeitshypothese bewährt hat. Über die Herkunft und Energiequelle der Emanation wird in vorliegender Arbeit nicht die Rede sein, die Rutherfordsche Hypothese, wonach durch zwei unteratomige Reaktionen aus dem Element Thor ein neues Element, ein Edelgas entsteht, hat also auf folgendes keinen direkten Bezug.

#### Versuchsanordnung.

Für die quantitative Bestimmung der Aktivität verwandte ich die elektrische Methode. Als Meßinstrument diente ein kleines empfindliches Dolezalelektrometer, das nach Angaben von Hrn. Prof. Nernst für ähnliche Zwecke vereinfacht war. Die kleine Nadel, die frei über plattenförmigen Quadranten schwebte, bestand bloß aus einer Lage Silberpapier und trug einen kleinen leichten Dämpferflügel aus Glimmer. Der Durchmesser des Spiegels betrug 6 mm. Das ganze leichte System gestattete es, viel dünnere Fäden zu verwenden. Die Quadranten des Elektrometers wurden mit Hilfe einer in der Mitte zur Erde abgeleiteten Batterie auf gleiches  $\pm$  Potential geladen. Die Empfindlichkeit betrug, wenn die Nadel auf 1 Volt geladen wurde, 150 Teilstriche, die Kapazität 10 cm. Auf das obere kreisförmige Ende der Nadel konnte eine runde Kapsel von 47 mm Durchmesser und 22 mm Höhe aufgesetzt werden. Diese bestand aus einem metallenen Boden, den zylinderförmigen Hartgummimantel, einem zur Erde abgeleiteten Schutzring, auf dem noch ein dünner Hartgummiring aufgesetzt war. In diese Kapsel wurde die Substanz hineingebracht und eine auf 110 Volt geladene Metallplatte darüber gelegt. Für

1) E. Rutherford u. F. Soddy, Zeitschr. f. phys. Chem. 42. p. 81 u. 174. 1902; Phil. Mag. April, Mai 1903.

die Ladung der oberen Platte verwandte ich die Instituts-batterie und polsterte die Schwankungen an einem Nernststift mit einem Eisenwiderstand ab. Am Stift lag dann konstante Spannung. Fig. 1 gibt nähere Details. Die Nadel war immer durch zur Erde geleitete Schutzringe gegen Leiter höheren Potentials geschützt, so daß schlechte Isolation die Wirkung verkleinerte. Die Geschwindigkeit, mit der die Nadel sich

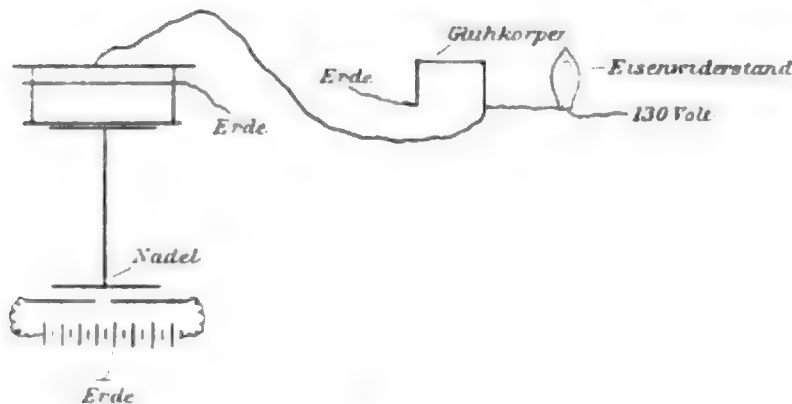


Fig. 1.

aufklud, wurde mit einer Rennuhr bestimmt, die Zeit dann nach der Formel

$$\frac{1}{t'} = \frac{t - t}{t t'}$$

korrigiert.  $\tau$  bedeutet die Zeit, in welcher das Elektrometer eine bestimmte Anzahl von Teilstrichen infolge der natürlichen Leitfähigkeit durchläuft,  $t$  die beobachtete Zeit nach Einbringung der radioaktiven Substanz. Eine Isolationskorrektur anzubringen war nicht nötig. Außen war das ganze Instrument durch einen abgeleiteten Drahtkäfig gegen elektrostatische Einflüsse geschützt.

Einige Zimmer vom Beobachtungsraum getrennt standen die Bechergläser mit den zu induzierenden Blechen. Das aktive Thorpräparat, ich verwendete ca. 40 g Thoroxyd, oder das Hydroxyd, das nach Rutherford starke Emanation zeigt, war mit Filtrierpapier bedeckt und auf + 200 Volt geladen, die frei darüber hängenden Bleche waren mit dem - 220-Pol der städtischen Leitung verbunden.

#### Abfallkurven der induzierten Aktivität.

Setzt man verschiedene Metalle der induzierenden Wirkung des Thorpräparates aus, so zeigen sie in Übereinstimmung

mit den Rutherfordschen Angaben dieselben Abfallkurven der Aktivität. Es ist dies insofern wichtig, als dadurch der Beweis erbracht ist, daß die Abnahme der Aktivität unabhängig von der Natur der Substanz ist, auf der sie kondensiert wurde. Wenn also, wie weiter unten gezeigt wird, Metalle, z. B. Kupfer, unter gewissen Umständen verschiedene Abfallkurven ergeben, so bedeutet dies, daß wir es im betreffenden Fall mit einer anderen Art von Aktivität zu tun haben. In den Tabellen bedeutet  $A$  die Aktivität, gemessen durch die Geschwindigkeit, mit der sich die Nadel auflud.

Aktiviertes Pt.

Stunden	log $A$
0	2,00
1	1,99
5	1,86
23	1,40
30	1,20
54	0,62

1.) Aktiviertes Pd.

Stunden	log $A$
0	2,00
1	2,00
5	1,88
23	1,43
30	1,23
54	0,60

2.) Aktiviertes Cu.

Stunden	log $A$
0	2,62
5	2,44
25 $\frac{1}{4}$	1,82
30 $\frac{1}{4}$	1,66
49	1,08
52 $\frac{1}{2}$	0,98
71	0,56
143	0,50—1

Aktiviertes Sn.

Stunden	log $A$
0	2,65
4 $\frac{1}{2}$	2,50
23	1,99
29	1,78
46	1,30
52	1,11
71	0,85

Aktiviertes Pb.

Stunden	log $A$
0	2,68
5	2,62
24	2,08
29 $\frac{1}{2}$	1,89

1) Dieser Index bezieht sich auf die gezeichneten Kurven.

Die Kurven, Zeit als Abszissen, Aktivität als Ordinaten gezeichnet, werden gut durch eine  $e$ -Funktion dargestellt<sup>1)</sup>:

$$J = J_0 e^{-\lambda t}.$$

Trägt man nach Curie<sup>2)</sup> die Logarithmen der Aktivitäten auf, so erhält man gerade Linien, die für die verschiedenen Fälle parallel sind (Fig. 2). Nur die Anfänge der Abfall-

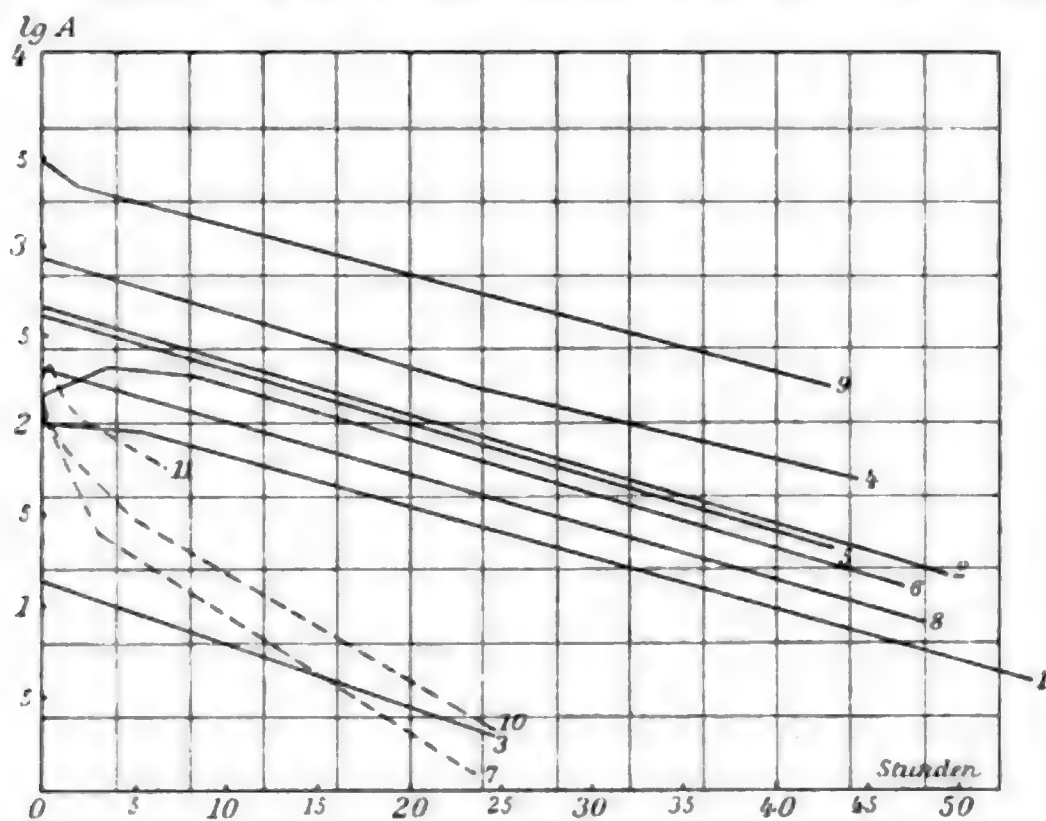


Fig. 2.

kurven zeigen Unregelmäßigkeiten. Setzt man nämlich einen Körper nur kurze Zeit der induzierenden Wirkung aus, so steigt nach Rutherford<sup>3)</sup> die Aktivität einige Stunden nach dem Herausnehmen noch an, bevor sie den normalen Abfall zeigt. Beifolgend eine Tabelle eines Pt-Blechtes, das  $\frac{1}{3}$  Stunde in dem Gefäß mit Thor gelassen war.

Zeit	Aktivität	Zeit	Aktivität
0	35	1 Stunde	117
5 Min.	41	$2\frac{3}{4}$ Stunden	134
$\frac{1}{4}$ Stunde	55	$4\frac{1}{2}$ „	157
$\frac{1}{2}$ „	74	5 „	142
$\frac{3}{4}$ „	100	23 „	45

1) E. Rutherford, l. c.

2) P. Curie, l. c.

3) E. Rutherford, Physik. Zeitschr. 3. p. 254. 1902.

Exponiert man einige Stunden, so bemerkt man das Ansteigen nur schwer, in einigen Fällen gar nicht. In den oben angeführten Fällen waren die Bleche durch mindestens 15 Stunden dem Thor ausgesetzt. Was den Abfall der Aktivität betrifft, so zeigt sich also keine spezifische Wirkung eines Metalles. Ebenso war es ohne wesentlichen Einfluß, ob die Bleche nach Herausnehmen aus dem Induktionsgefäß in Luft auf mehreren + oder - 1000 Volt geladen waren. Anders wenn man die Schnelligkeit betrachtet, mit der sich verschiedene Metalle aufladen. Hier fand ich eine spezifische Wirkung für Palladium. Ein Pt- und ein Pd-Blech gleicher Gestalt wurden zu gleicher Zeit unter gleichen Umständen exponiert und die Aktivität von Zeit zu Zeit gemessen. Das Palladium lud sich schneller auf wie das Platin und zeigte nach ca. 17 Stunden die doppelte Aktivität, während nach langem Aussetzen der Thorinduktion die Aktivitäten sich wieder näherten. Es scheint also, als ob das Pd die Emanation absorbieren würde. Daher ist die Aktivität im Anfang auf dem Pd stärker als beim Pt. Zum Schluß wirken beide nur als strahlende Oberflächen, daher das gegenseitige Annähern nach langer Exposition. Wir müssen also der Emanation die Fähigkeit zuschreiben, sich im Pd zu lösen. Sie verhält sich also in dieser Hinsicht ähnlich wie der Wasserstoff, der ja bekanntlich stark von Pd absorbiert wird.<sup>1)</sup> Es ist dies eine von den vielen Analogien mit dem Wasserstoff, wie weiter unten gezeigt wird. Dünne Bleche luden sich ebenfalls etwas schneller auf wie dicke.

#### Das Verhalten von Niederschlägen.

Löst man die auf die eben beschriebene Weise induzierten aktiven Bleche auf und fällt sie wieder durch ein Reagens, so waren die Niederschläge mehr oder minder aktiv. Die Oberfläche von induziertem Cu in  $\text{HNO}_3$  gelöst und mit KOH gefällt, lieferte einen stark aktiven Niederschlag. Der Rest vom Kupfer war inaktiv. Bei diesem, sowie den meisten angeführten Versuchen empfiehlt es sich, nicht stark zu kochen, da sich dann ein Teil der Aktivität fortzulösen scheint. Das gefällte

<sup>1)</sup> Vielleicht wird man bei den Elster und Geitel'schen Versuchen über induzierte Luftaktivität stärkere Wirkung erhalten durch Verwendung von Palladium.

Kupfer zeigte den normalen Abfall der Aktivität. Wird das Kupfer als Sulfid mit Schwefelwasserstoff gefällt, so ist es besonders aktiv. Elektrolytisch abgeschiedenes Cu zeigt ebenfalls Aktivität.

3.

Stunden		log $A$
$\text{Cu(OH)}_2$	0	1,16
	$17\frac{3}{4}$	0,50
	$24\frac{1}{2}$	0,30
	$41\frac{3}{4}$	0,68 – 1

Sämtliche Niederschläge waren schwächer aktiv als das vorher gelöste Blech. Es leuchtet dies unmittelbar ein, da wir im ersten Fall beim induzierten Blech die Aktivität über eine Fläche in dünner idealer Verteilung haben. Bei sämtlichen Niederschlägen ist die Aktivität im ganzen Präparat verteilt, die Absorption in sich selbst viel stärker. Da dieser Betrag wechselnd ist, so hat eine quantitative Angabe des Wertes der Aktivität des Bleches und des Niederschlages keine weitere Bedeutung.

Aktives Magnesium in HCl gelöst und als Phosphat gefällt gibt starke Aktivität und zeigt normalen Abfall, ebenso das noch aktive Filtrat.

Magnesiumphosphat.		Filtrat.	
Stunden	log $A$	Stunden	log $A$
0	1,14	0	1,75
16	0,65	18	1,20
22	0,42	23	0,99

Wurde die aktive Mg-Lösung in zwei gleiche Teile geteilt und das Mg im einen Teil sofort, im anderen Teil erst nach 5 Stunden gefällt, so zeigten beide Niederschläge gleiche Aktivität, ein Zeichen, daß der Abfall am Mg im Ionenzustand der gleiche ist, wie in freier Luft. Das mit HCl oder  $\text{H}_2\text{S}$  gefällte aktive Silber gibt aktiven Niederschlag. Aktives Pb mit  $\text{H}_2\text{SO}_4$  oder  $\text{H}_2\text{S}$  gefällt gibt starke Aktivität, ähnlich die Niederschläge von Ni mit KOH und Fe mit  $\text{NH}_3$ . Mit  $\text{H}_2\text{S}$  fällt früher aktives Sn und Cd stark aktiv aus saurer Lösung.



Aktive Sn-Lösung vorsichtig mit  $\text{NH}_3$  bis zum Neutralitätspunkt versetzt gibt einen intensiv aktiven Niederschlag.

Löst man einen Teil der Aktivität vom induzierten Zn, so ist, wie beistehende Tabelle und Fig. 2 zeigt, die Abfallkurve des als Karbonat gefüllten Zinks parallel den anderen, ebenso die Kurve für das Abklingen der Restaktivität des Zn.

Aktives PbS.		4. Restaktivität des Zn.	
Stunden	log A	Stunden	log A
0	1,55	0	2,90
2 $\frac{1}{2}$	1,48	17 $\frac{1}{4}$	2,39
4 $\frac{1}{2}$	1,42	24	2,18
24	0,83	44	1,70
		68	1,02

#### 5. Aktives Zinkkarbonat.

Stunden	log A
0	2,59
16 $\frac{1}{2}$	2,12
29	1,91
43	1,36

Aus diesen Versuchen folgt, daß die induzierte Aktivität auch an den Metallen in Ionenzustand haften bleibt, denn sämtliche aktiven Metalle aufgelöst und niedergeschlagen geben aktive Niederschläge. In einigen Fällen, z. B. bei einem PbS-Niederschlag, zeigte die Aktivität ein schnelleres Abklingen, als die eben angeführten Beispiele zeigen. Wir werden darauf noch zu sprechen kommen.

#### Chemische Einflüsse auf die induzierte Aktivität.

Nach den Rutherfordschen Arbeiten ist es bekannt, daß sich die induzierte Aktivität von den Blechen, auf denen sie kondensiert wurde, durch Säuren teilweise entfernen läßt. Salzsäure, Schwefelsäure und Flußsäure sind hierzu am besten geeignet. Bei meinen Versuchen verwandte ich Platinbleche ( $2 \times 2\frac{1}{2}$  cm), welche mehrere Stunden der induzierenden Wirkung des Thoroxydes und Hydroxydes ausgesetzt waren. Is

nachfolgender Tabelle sind die Werte der Aktivität in Prozenten der ursprünglichen mitgeteilt, nachdem sie entsprechend behandelt wurden. Trotz mancher Bemühungen war es mir nicht möglich, genau übereinstimmende Zahlen zu erhalten. Der Betrag der ablösbaren Aktivität wechselte von Fall zu Fall. Doch ließ sich immer ein allgemeiner Gang feststellen, die mitgeteilten Zahlen sind daher mehr als qualitative Resultate zu betrachten.

	Abnahme der Aktivität in Prozenten
In kaltem Wasser ab gespült . . . . .	0
In heißem Wasser ab gespült . . . . .	0
20 Min. in siedendem Wasser . . . . .	30
In kochender verdünnter HCl ab gespült . . . . .	68
20 Min. in kochender verdünnter HCl . . . . .	97,2
In verdünnter HCl ab gespült . . . . .	57
35 Min. in konzentrierter HCl . . . . .	63
In chlorhaltiger HCl ab gespült . . . . .	59
In verdünnter $H_2SO_4$ ab gespült . . . . .	45
In kochender verdünnter $H_2SO_4$ ab gespült . . . . .	65
30 Min. in kochender verdünnter $H_2SO_4$ . . . . .	99
In konzentrierter $H_2SO_4$ ab gespült . . . . .	54
$\frac{1}{2}$ Stunde in konzentrierter $H_2SO_4$ . . . . .	66
45 Min. in verdünnter $NHO_3$ . . . . .	58
45 Min. in konzentrierter $NHO_3$ . . . . .	58
Ab gespült mit kochender verdünnter $NHO_3$ . . . . .	60
30 Min. in kochender verdünnter $NHO_3$ . . . . .	80
In Flußsäure ab gespült . . . . .	70
15 Min. in konzentrierter Essigsäure . . . . .	41
15 Min. in verdünnter Essigsäure . . . . .	50
15 Min. in lauwarmer schwefliger Säure . . . . .	25
Ab gespült mit Essigsäureanhydrit . . . . .	23
Ab gespült mit Pikrinsäure . . . . .	20
Ab gespült mit $NH_3$ . . . . .	23
1 Stunde in $NH_3$ . . . . .	50
Mit verdünntem NaOH ab gespült . . . . .	10
$\frac{3}{4}$ Stunde in verdünntem kochendem NaOH . . . . .	21
15 Min. in KCN . . . . .	22
In lauwarmem Chlorwasser ab gespült . . . . .	14
In Bromwasser ab gespült . . . . .	14

	Abnahme der Aktivität in Prozenten
In lauwarmem Kaliumpermanganat ab gespült . . . . .	2
In KCl-Lösung . . . . .	18
In Baryumkarbonat . . . . .	1
In Baryumnitrat . . . . .	0
In Kaliumjodid ab gespült . . . . .	0
In Ammoniumphosphat . . . . .	0
Mit Alkohol gewaschen . . . . .	0
Mit Äther gewaschen . . . . .	0
In Methylalkohol . . . . .	0
Aceton . . . . .	0
Toluol . . . . .	2
Benzol . . . . .	2
Petroleum . . . . .	10
Rohrzucker . . . . .	0

Rutherford gibt an, daß durch Glühen die Aktivität teilweise entfernt werden kann, hierbei wird sie jedoch nicht zerstört, sondern bloß verdampft. Sie kondensiert sich, wie Fanny Cook Gates<sup>1)</sup> kürzlich gezeigt hat, an den umgebenden Gefäßwänden. Folgende Tabelle gibt die Abnahme mit der Temperatur, die mittels Strahlung bestimmt wurde. Der dünne aktivierte Draht wurde mittels Strom geglüht, photometriert und aus der Helligkeit nach den Lummer und Pringsheim'schen Angaben die Temperatur abgelesen.<sup>2)</sup>

#### Aktivierter Pt-Draht.

	2 Min. geglüht	800°	100 Proz.
dann $\frac{1}{2}$ „ „		1020°	84 „
„ $\frac{1}{2}$ „ „		1260°	48 „
„ $\frac{1}{2}$ „ „		1460°	1 „
	5 Sek. geglüht	1250°	53 Proz.
5 „ „		1420°	20 „
5 „ „		1570°	8 „
5 „ „		1690°	0,5 „

Einige Sekunden auf 1700° inaktiv.

1) Fanny Cook Gates, Phys. Rev. 85. 1903.

2) V. Rothmund, Nachrichten d. K. Gesellsch. d. Wissensch. zu Göttingen, Math.-phys. Kl. Heft 3. 1901.

Ein dünner ( $d = 0,08$  mm) Pt-Draht in die Bunsenflamme gehalten, verlor in wenigen Sekunden seine Aktivität bis auf 0,5 Proz. Da man bekanntlich dünne Drähte in der Flamme auf höhere Temperatur bringen kann wie dicke, so folgt unmittelbar aus obigen Zahlen, daß die Abnahme für dünne Drähte größer sein wird, wie für dicke Drähte. Es dürfte letztere Tatsache nicht auf Wirkung der Flammengase zurückzuführen sein.<sup>1)</sup>

Die induzierte Aktivität scheint also einen mit der Temperatur steigenden Dampfdruck zu besitzen, verhält sich aber sonst ziemlich indifferent gegen chemische Einflüsse. Reduktions- und Oxydationsmittel hatten, wie die angeführten Zahlen zeigen, keine besondere Wirkung. Alkohol und Äther lösten so gut wie nichts von der Aktivität und wurden daher öfters zum Trocknen verwandt. Natürlich muß bei den Versuchen darauf geachtet werden, daß keine organischen Substanzen, Fett etc. auf der Oberfläche sind, Benzol würde sonst scheinbar Aktivität fortlösen.

Wie oben gezeigt, bleibt die Aktivität aufgelöster aktivierter Metalle auch an den Ionen haften, ich stellte daher den Versuch an, ob sich zugefügte inaktive Metalllösungen aktivieren ließen, indem man sie Lösungen zusetzte, die induzierte Aktivität enthielten. Daß es möglich ist, auch in Lösungen Niederschläge zu aktivieren, ist bekannt. Besonders dem Ba wird, wie aus den Arbeiten von F. Giesel, Crookes, Debierne u. a. folgt, die Eigenschaft zugeschrieben, „Aktivität mitzureißen“. K. A. Hofmann und Wölfl<sup>2)</sup> teilen mit, daß es ihnen gelungen sei, Erbium, Didym, Cer, Lanthan, Baryum, Calcium, Strontium mit Uran zu induzieren.

Diese Versuche unterscheiden sich sämtlich von den folgenden meinen in dem Punkte, daß bei ihnen die zu aktivierende Substanz mit wirklich primär radioaktiver Substanz in Berührung gebracht und dann erst wieder getrennt wurde. In meinem Fall wurden die induzierten aktiven Pt-Bleche mit heißer HCl behandelt, die so erhaltene aktive HCl enthält

---

1) E. Rutherford, Phil. Mag. Februar 1900.

2) K. A. Hofmann u. V. Wölfl, Chem. Ber. 35. II. p. 1453. 1902.

somit keine Spur Thor oder einer sonst dauernd aktiven Substanz, sondern bloß den vom induzierten Blech fortgelösten Teil der kondensierten Emanation, nach Curie bloß den Zustand, den man induzierte Aktivität nennt.

Ich darf hier wohl erwähnen, daß der Abfall der Aktivität, ähnlich wie es Rutherford für  $H_2SO_4$  gezeigt hat, auch in der HCl-Lösung das gleiche Exponentialgesetz befolgt, wie das ursprünglich induzierte Blech. Gleiche Proben derselben Lösung zu verschiedenen Zeiten verdampft, ergaben zur selben Zeit untereinander genau gleiche Aktivität. Wurde nun zu dieser temporär aktiven Lösung  $BaCl_2$  zugefügt und nach  $\frac{1}{2}$  Stunde mit  $H_2SO_4$  gefällt, so zeigte der mit  $H_2O$  gewaschene Niederschlag starke Aktivität, die das normale Abklingen befolgte. Im Anfang erfolgte, ähnlich wie bei kurz exponierten Blechen, ein Anstieg der Aktivität.

#### 6. Induziertes $BaSO_4$ .

Stunden	log A
0	2,14
$8\frac{1}{4}$	2,28
8	2,26
$22\frac{1}{2}$	1,86
47	1,10

Ebenso wurde Baryum aktiv, wenn man es einer salpetersauren aktiven Lösung zusetzte, in der die Oberfläche von aktivem Cu oder Ag aufgelöst war. Schon nach 3 Min. zeigte das mit  $H_2SO_4$  gefällte Ba Aktivität. In einer salzsauren Lösung von aktivem Mg oder Al ließ sich Ba auch aktivieren. Ca zugesetzt und nach einiger Zeit gefällt zeigte deutliche Aktivität, die aber schneller abzuklingen schien. Kupfer wurde in salzsaurer aktiver Aluminiumlösung induziert. Es empfiehlt sich, mit  $H_2S$  zu fällen. Leitete man  $H_2S$  in aktive HCl ein und fügte Bleiacetat zu, so war das sofort ausfallende Blei stark aktiv.

Bleiacetat salpetersaurer Lösung, in der aktives Cu oberflächlich gelöst war, zugesetzt, nach einer Stunde mit  $H_2SO_4$  gefällt, zeigte folgenden normalen Abfall.

## Induziertes Pb.

Stunden	log <i>A</i>
0	2,61
20 <sup>3</sup> / <sub>4</sub>	2,10
42 <sup>3</sup> / <sub>4</sub>	1,40

Man könnte meinen, daß die Niederschläge die Aktivität ähnlich wie ein Gas okkludiert hätten. Eine in stark aktive HCl getauchte Kohle, die doch diese Eigenschaft sehr ausgesprochen besitzt, blieb aber gänzlich inaktiv.

Al ließ sich in aktiver HCl aktivieren, Ag, wenn auch viel schwächer, in salpetersaurer aktiver Cu-Lösung. Ebenso glaube ich einen wenn auch schnell abklingenden Niederschlag mit Platinchlorid von K in intensiv aktiver HCl bekommen zu haben.

Sämtliche Niederschläge waren deutlich aktiv, d. h. erhöhten die natürliche Leitfähigkeit im Gefäß auf mindestens das 3fache, so daß Irrtum ausgeschlossen war. Einige von ihnen ließen sich so stark aktivieren, daß sich die Aktivität quantitativ durch Tage verfolgen ließ. Auf gründliches Waschen wurde besonderer Wert gelegt, damit nicht Spuren der Lösung die Wirkung beeinträchtigten.

Photographische Versuche wurden nicht angestellt, um deutliche Wirkung zu erhalten, hätte man über zu lange Zeiträume exponieren müssen. Die angewandte empfindliche elektrische Methode ermöglichte es in Minuten bez. Sekunden, die Aktivität genau zu ermitteln.

## Verhalten bei Elektrolyse.

Einige durch ca. 15 Stunden in dem Versuchsgefäß mit Thor exponierten Bleche wurden durch mehrere Minuten mit heißer verdünnter HCl behandelt und die so erhaltene aktive HCl zwischen inaktiven Pt-Elektroden ( $2 \times 2,5$  cm) elektrolysiert. Die Kathode war intensiv aktiv geworden, die Anode blieb inaktiv. Amalgamiertes Zn als Kathode zeigte gleichfalls intensive Aktivität und den normalen Abfall der induzierten Thoraktivität. Die aktive Pt-Kathode fiel etwas schneller ab.



Elektrolyse von aktiver HCl  $\frac{1}{2}$  Stunde mit 0,12 A.

## 7. Pt-Kathode.

## 8. Amalg. Zn-Kathode.

Stunden	log <i>A</i>	Stunden	log <i>A</i>
0	2,07	0	2,30
8	1,44	1 $\frac{3}{4}$	2,24
23	0,13	18 $\frac{1}{4}$	1,76
		48 $\frac{1}{4}$	0,89

Die mit Kalilauge versetzte alkalische aktive Lösung gab auch starken aktiven Niederschlag an der Kathode. Tauchte man in die aktive HCl-Lösung ein Zn-Blech, so schlug sich aktive Substanz an ihm nieder, ähnlich wie beim Marckwaldschen<sup>1)</sup> Versuch.

Hier sind nun zwei Hypothesen zulässig. Man könnte annehmen, daß die aktive Substanz von den Blechen durch die Salzsäure mechanisch abgelöst wurde und dann in Lösung ähnlich wie in Luft zu einer negativen Elektrode, auch hier zur Kathode wandere — oder wir lassen eine direkt elektrolytische Lösung der induzierten Aktivität zu, daß sie sich wie ein Metall löst und dann an der Kathode abgeschieden wird. Nach dieser zweiten Auffassung wäre es auch denkbar gewesen, daß sich die Aktivität an der Anode gezeigt hätte. Man könnte sich ganz gut radioaktives Chlor vorstellen, das in der Luft in einem elektrischen Felde durch die gleichen Ursachen wie die Emanation zur negativen Elektrode wandert, elektrolytisch gelöst aber an der Anode abgeschieden wird.

Haben wir es bei der induzierten Aktivität mit adsorbierten Gasen zu tun, so wären dies neben dem Wasserstoff neue Gase, die zur Kathode wandern.

Es spricht nun eine Reihe von Tatsachen für die zweite Hypothese von der Annahme einer elektrolytischen Lösung der Aktivität. Da Zn und amalgamiertes Zn gleiches Potential in HCl besitzen, so müßte sich nach der ersten Hypothese an einem amalgamierten Zn-Blech ebensoviel Aktivität niederschlagen, wie an einem gewöhnlichen Zn-Blech unter gleichen Umständen, eher noch mehr, da sich im letzteren Fall immer ein Teil der aktivierten Oberfläche weglöst. Der

1) W. Marckwald, Chem. Ber. 35. p. 2285. 1902.

Versuch entschied für die zweite Hypothese. In zwei genau gleichen Teilen von derselben aktiven HCl-Lösung wurden zwei Zn-Bleche gleicher Gestalt, das eine amalgamiert, das andere nicht, 2 Min. lang ausgesetzt. Das amalgamierte Blech zeigte nur den siebenten Teil der Aktivität des nicht amalgamierten. Bei elektrolytischer Ausfällung kommt es eben mit auf die Stromstärke an und die ist im zweiten Fall größer. Auch das schnelle Aktivieren spricht für einen anderen Mechanismus des Niederschlagens der Aktivität. Es waren Bruchteile einer Minute nötig, um aus der Lösung Aktivität auszufällen, während viel längere Exposition nötig war, um in Luft bei direktem Aussetzen der Emanation eine ähnliche Wirkung zu erzielen.

Wie schon oben angegeben, war die Pt-Anode inaktiv geblieben. Starke aktive  $\text{H}_2\text{SO}_4$ -Lösung zwischen Pt-Elektroden elektrolysiert gab auch starke Aktivität an der Kathode, die Anode wies eine schwache Spur auf. Anders, wenn man das Anion band. Das Chlor als Chlorsilber an einer Silberanode gebunden gab gleichfalls starke Aktivität und der Abfall ist, wie beifolgende Tabelle zeigt, der gleiche wie bei der ursprünglichen induzierten Thoraktivität.

Elektrolyse mit 0,2 A 20 Min.  
9. Ag-Anode.

Stunden	log A
0	3,45
2	3,30
18 $\frac{1}{2}$	2,86
43	2,20

Um bei aktiver  $\text{H}_2\text{SO}_4$  einen ähnlichen Versuch zu machen, neutralisierte ich sie mit KOH und band den Sauerstoff mit einer Kupronelektrode aus fein verteiltem Cu oder Pb-Anode, die dann stark aktiv wurden. Es scheint also, als ob das Anion aktiv wäre, denn nur in den Fällen konnte ich Aktivität an der Anode erhalten, bei denen das Anion gebunden wurde. Das Chlor in aktiver Salzsäure mit Pb oder Ag gefüllt, gab aktive Niederschläge, wie die Niederschläge mit Pb und Ba in aktiver  $\text{H}_2\text{SO}_4$ .

Hier liegt nun die Hypothese nahe, daß das negative Anion in Lösung ähnlich wirkte, wie ein in Luft negativ ge-

ladener Draht, auf dem sich die Aktivität kondensiert. Daß die Ionen starkes elektrisches Feld hervorrufen, ist aus den Erscheinungen der Elektrostriktion<sup>1)</sup> bekannt. War die Annahme richtig, so mußte sich aus dem in HCl gelösten kathodischen Niederschlag nach neuerlicher Elektrolyse an der Ag-Anode wieder Aktivität zeigen. Der Versuch gab positives Resultat. Der aktive Niederschlag wurde von der Pt-Kathode in HCl abgelöst und der Vorgang öfters wiederholt, bis eine genügend aktive Lösung hergestellt war. Die Ag-Anode nach  $\frac{1}{2}$  stündiger Elektrolyse mit 0,2 A zeigte sehr deutliche Aktivität, erhöhte die Luftleitfähigkeit auf das 4 fache.

Wurde umgekehrt die mit aktivem Chlorsilber überzogene Ag-Anode in Salzsäure in Berührung mit einem Zinkblech reduziert, so löste sich Aktivität vom Silber und schlug sich zum Teil am Zn nieder.

Es war also möglich, einen aufgelösten kathodischen Niederschlag durch neuerliche Elektrolyse an der Anode nachzuweisen.

Das aktive Chlorsilber in Ammoniak gelöst, gab nach Eindampfen aktiven Rückstand, auch konnte Aktivität in ammoniakalischer Lösung durch Zn ausgefällt werden.

Wie schon oben erwähnt, wurde sowohl in alkalischer wie saurer aktiver Lösung getauchtes Zn aktiv und zeigte dann den gewöhnlichen Abfall der induzierten Thoraktivität ebenso wie das dann aus der Lösung als Karbonat gefällte aktive Zink.

Zn  $1\frac{1}{2}$  Stunde lang in aktiver HCl.

Stunden	log A
0	2,44
$3\frac{1}{2}$	2,32
23	1,71
28	1,56

Zn 1 Min. in aktiver HCl.

Stunden	log A
0	2,01
1	2,09
$4\frac{1}{4}$	1,93
23	1,48

Das in Lösung gegangene Zn als Karbonat gefällt.

Stunden	log A
0	1,87
$20\frac{1}{4}$	1,26

1) W. Nernst, Theoretische Chemie p. 369.

Aus diesem Versuch erhellt auch, warum es nicht möglich war, die Aktivität von aktiviertem Zn vollständig abzulösen, ein Teil wird eben immer wieder durch das Zn ausgefällt. Wird blankes Platin, Palladium, Silber in die Lösung getaucht, so blieben die genannten Metalle inaktiv. Kupfer, Nickel, Eisen, Aluminium, Zinn, Kadmium, Blei, Magnesium wurden aktiv. Hier zeigt sich jedoch ein beträchtlicher Unterschied. Die auf Zn niedergeschlagene Aktivität befolgte das normale Abklingen, das durch obiges Exponentialgesetz gegeben ist, anders jedoch die anderen Metalle. Ihre Aktivität fiel in den meisten der beobachteten Fälle schneller ab, als ich erwartet hatte. Bei Cu, das diese Unregelmäßigkeiten am stärksten zeigt, fiel der Wert manchmal in ca.  $\frac{3}{4}$  Stunde auf die Hälfte, doch konnte hier bei Wiederholung der Versuche keine genaue quantitative Übereinstimmung erhalten werden. Die erhaltenen Kurven zeigten Unregelmäßigkeiten, immer trat aber ein viel schnelleres Abklingen der Aktivität ein.<sup>1)</sup> Nach 4 Stunden konnte meistens keine Wirkung beim Cu mehr nachgewiesen werden, manchmal blieb sie überhaupt sehr klein. Es empfiehlt sich, sehr konzentriert aktive Lösungen zu nehmen, da die durch Cu niedergeschlagene Aktivität nur Bruchteile der durch Zn ausgefallten beträgt.

Wir haben im Anfang gesehen, daß es für das Abklingen der Aktivität ganz gleichgültig war, auf welches Metall wir die Emanation kondensierten, daß also das aktivierte Metall nur einen Träger bildet und sich nicht an dem Vorgange des Verschwindens der Aktivität beteiligt. Hier nun der auffallende Unterschied. Wir werden zu der Annahme gedrängt, daß die Emanation nicht einheitlich ist, sondern in zwei oder drei Teile zerlegt werden kann. Ein Teil ist edler wie Cu, kann durch Cu ausgefällt werden und sein Abklingen befolgt ein weitaus schnelleres Exponentialgesetz. Da diese Aktivität nur einen kleinen Teil der Gesamtwirkung ausmacht, wird sie auf dem ursprünglich mit Thor aktiviertem Blech nur als unmerkbare Störung auftreten.

---

1) Es sind Versuche im Gange, ob es vielleicht durch ähnliche Methoden gelingt, gemeinsame Teile mit der induzierten Radiumaktivität, die nach Rutherford unregelmäßiges schnelles Abklingen zeigt, nachzuweisen.

Blei zeigte,  $\frac{1}{3}$  Stunde in aktiver Lösung gelassen, manchmal auch den schnellen Abfall, ebenso Ni in einigen Fällen. Der edelste, schnell abfallende wird am leichtesten ausgefällt, macht dann in diesem Fall den größten Prozentsatz aus, daher das raschere Abklingen der Aktivität in den genannten Fällen. Den verschiedenen Teilen wird man auch andere Löslichkeiten zuschreiben können, woraus noch eine weitere Komplikation folgt. Weil wir jedoch für Pb auch den langsamen Abfall der Aktivität erhielten, dürfte der Hauptbestandteil der induzierten Aktivität zwischen Pb und Cu in der Nähe des Wasserstoffs liegen.

So erklärt sich also der schnellere Abfall der in aktiver Lösung aktivierten Bleche. Andererseits stieg manchmal die Aktivität noch eine kurze Zeit nach dem Aktivieren an, wohl durch den gleichen Mechanismus, wie bei direktem kurzen Aussetzen der Thoremation. Daß man sich mit diesen Annahmen auf einer sicheren Grundlage bewegt, mögen auch folgende Versuche bekräftigen.

Da ein Teil der gelösten induzierten Aktivität edler als Wasserstoff zu sein schien, so mußte es möglich sein, schon mit Spannungen, die kleiner als die Zersetzungsspannung der Salzsäure (1,41 Volt) waren, aktive kathodische Niederschläge zu erhalten. Die Versuche sind in folgenden Tabellen wiedergegeben. Ein in die gleiche Menge derselben aktiven Lösung gebrachtes platinirtes Platin schien eine Spur Aktivität zu geben, die aber bald erloschen war. Die durch Elektrolyse mit Spannungen unter 1,4 Volt erhaltenen kathodischen Niederschläge waren sehr deutlich, erhöhten die Luftleitfähigkeit auf das 6 fache und ließen sich Stunden lang verfolgen.

Mit 1 Volt 20 Min. lang aktive HCl elektrolysiert.

10.	Zeit	log $\lambda$
	0	2,12
	10 Min.	2,04
	40 "	1,82
1 Stunde	45 "	1,80
2 Stunden	40 "	1,70
6 "	40 "	1,50
25 "	"	0,80

Angelegte Spannung 0,75 Volt  
durch 30 Min.

Platinierte Pt-Kathode.

Zeit	log A
0	2,97
7 Min.	3,04
32 "	2,95
57 "	2,90
1 Stunde 27 "	2,85
3 Stunden 27 "	2,60
4 " 27 "	2,53

Angelegte Spannung 0,45 Volt  
durch 25 Min.

11. Platinierte Pt-Kathode.

Zeit	log A
0	2,24
15 Min.	2,32
35 "	2,27
55 "	2,14
1 Stunde 30 "	2,07
2 Stunden 55 "	1,98
6 " 30 "	1,75

Die abgeschiedene Substanz ist einige Zehntel Volt edler als Wasserstoff, daher genügte die geringere Spannung zur Elektrolyse. Die Aktivität dieses Teiles der induzierten Aktivität sinkt in ca.  $4\frac{3}{4}$  Stunden auf die Hälfte, gegenüber dem normalen Abfall von 11 Stunden.

Eingetauchtes Ag, Pd und blankes Pt blieben inaktiv, wurden intensiv aktiv, wenn sie in Lösung mit amalgamierten Zn in Berührung waren, so daß sich Wasserstoff an ihnen entwickelte. Die Wirkung erreichte oft die obere Grenze, die ich noch beobachten konnte und entlud sehr deutlich das Elektroskop.

Nun ist es auch nach obigem klar, warum wir in einigen Fällen bei den induzierten Niederschlägen voneinander verschiedene Abfallkurven fanden. Den verschiedenen Teilen der induzierten Aktivität kommt verschiedene Leichtigkeit des Ausfällens und wahrscheinlich auch verschiedene Löslichkeit zu. Daher ist es nicht erstaunlich, wenn wir Abweichungen finden. Die in ihrer Aktivität schnell abfallenden Niederschläge waren stets schwächer aktiv als diejenigen mit normalem Verhalten, ein Zeichen, daß nur ein Teil der Gesamtaktivität ausgefällt war.

Die aufgelöste induzierte Aktivität zeigt aber noch eine merkwürdige Eigenschaft, die bei der elektrolytischen Abscheidung der Gase auftritt: das Phänomen der sogenannten Überspannung. Wasserstoff scheidet sich am leichtesten am platinieren Platin ab; um Wasserstoff an anderen Metallen zu entwickeln, ist eine um mehrere Zehntel Volt höhere Spannung, die sogenannte Überspannung nötig.





Unter der Annahme, daß man mit so hohem Potential arbeitet, daß sich die Ionen im Verhältnis ihrer Ionenkonzentration abscheiden, und jedes Ion eine gleiche Menge Aktivität liefert, und ferner, daß das aktive Chlorion die gleiche Beweglichkeit hat wie das inaktive, läßt sich folgende Formel für die Aktivitätsabnahme aufstellen.

Abnahme an der Kathode:

$$\alpha \left( 1 - \frac{\mu'}{\mu(1-\alpha) + \alpha\mu' + v} \right).$$

Abnahme an der Anode:

$$\alpha' \left( 1 - \frac{v}{\mu(1-\alpha) + \alpha\mu' + v} \right).$$

$\mu$  Beweglichkeit des Wasserstoffions,

$\mu'$  „ der Aktivität,

$v$  „ des Chlors.

$$\alpha = \frac{\text{konz. der Aktivität}}{\text{konz. der Säure}}, \quad \alpha' = \frac{\text{konz. der aktiven Chlorionen}}{\text{konz. der Säure}}.$$

Da man  $\alpha$  und  $\alpha'$ , auch  $\alpha/\alpha'$  nicht bestimmen kann, so läßt sich nichts weiteres über die Beweglichkeit der gelösten Aktivität aussagen. Höchstens nur soviel, daß sie auch in diesem Fall ein ausgeprägtes elektrochemisches Verhalten zeigt.

Es wäre schwer, alle die mitgeteilten Versuche mit der Hypothese zu erklären, daß die induzierte Aktivität nur ein Zustand ist. Zustand ist immer an Materie geknüpft und hier wäre es manchmal schwer, eine Materie zu finden, die entsprechendes Verhalten zeigt, z. B. bei der Elektrolyse der Salzsäure mit 0,45 Volt. Es ist kein bekanntes Ion in der Lösung vorhanden, das sich bei so niedrigem Potential an der Kathode abscheidet. Die materielle Existenz der Emanation und induzierten Aktivität ist sehr wahrscheinlich gemacht. Man kann an Edelgase denken, die ähnliches Verhalten wie der Wasserstoff zeigen.

#### Zusammenfassung der Resultate.

1. Die durch direkte Thoremation induzierten Metalle zeigen alle durch das gleiche Exponentialgesetz bedingten Abfall.

2. Palladium scheint die Emanation zu absorbieren.

3. Die Aktivität bleibt nach Auflösung der Metalle auch an den Ionen haften, das wieder ausgefüllte Metall gab aktiven Niederschlag.

4. Die induzierte Aktivität kann von den induzierten Blechen gelöst und durch Elektrolyse an der Kathode erhalten werden, an der Anode nur dann, wenn das Anion gebunden wird.

5. Aus diesen keine Spur Thor enthaltenden Lösungen konnten aktive Metallniederschläge ausgefällt werden.

6. In aktive Lösung getauchtes Cu, Sn, Pb, Ni, Fe, Cd, Zn, Mg, Al wurden aktiv, Pt, Pd, Ag blieben inaktiv.

7. Aus dem verschiedenen Abfall der durch Metalle ausgefällten Aktivitäten wurden Schlüsse auf die Zusammensetzung der induzierten Aktivität gezogen und Teilen von ihr Plätze in der Spannungsreihe angewiesen. Der Hauptbestandteil, der den natürlichen Abfall der induzierten Aktivität bildet, liegt zwischen Cu und Pb in der Nähe des Wasserstoffs. Edlere, schneller abfallende mehrere  $\frac{1}{10}$  Volt höher.

8. Die induzierte Aktivität scheint eine Art Überspannung am Ag und Cu zu zeigen.

9. Die materielle Natur der induzierten Aktivität ist hierdurch wahrscheinlich gemacht.

Zum Schlusse sei es mir noch gestattet, Hrn. Prof. Nernst für die Anregung zum Arbeiten auf diesem Gebiet, sowie für sein Interesse an dem Fortgange der Arbeit meinen aufrichtigsten und ergebensten Dank auszusprechen.

Göttingen, Phys.-chem. Institut, Juli 1903.

(Eingegangen 26. Juli 1903.)

**4. Über die Lichtabsorption wässriger  
Lösungen von Kupfer- und Nickelsalzen;  
von E. Müller.**

(Auszug aus der Berliner Inaugural-Dissertation.)

I. Einleitung.

§ 1. Trifft Licht von der Intensität  $J$  auf ein absorbierendes Medium von der Schichtdicke  $d$ , so ist die Intensität  $J'$  des austretenden Lichtes gegeben durch die Gleichung

$$(1) \quad J' = J \cdot 10^{-\epsilon d},$$

worin  $\epsilon$ , der sogenannte Extinktionskoeffizient, eine für das absorbierende Medium charakteristische Konstante ist, die von der Wellenlänge abhängt.

Für die Lösung einer absorbierenden Substanz in einem farblosen Lösungsmittel ändert sich der Extinktionskoeffizient mit der Konzentration. Hat die Verdünnung einer solchen Lösung keinen anderen Einfluß, als daß die Zahl der in 1 ccm Lösung enthaltenen absorbierenden Moleküle verkleinert wird, so ist es wahrscheinlich, daß  $\epsilon$  der Konzentration  $c$  proportional ist, daß also der Extinktionskoeffizient für die Konzentration  $c$

$$(2) \quad \epsilon_c = A \cdot c$$

ist. Diese Gleichung ist von Beer<sup>1)</sup> zuerst aufgestellt worden und wird als das Beersche Absorptionsgesetz bezeichnet. Nach demselben ist  $A$ , der sogenannte molekulare Extinktionskoeffizient der gelösten Substanz, eine von der Konzentration unabhängige Konstante.

Das Beersche Absorptionsgesetz gilt nur in wenigen Fällen streng, im allgemeinen ändert sich  $A$  mit der Konzentration, so daß

$$(3) \quad \epsilon_c = A_o \cdot c$$

1) A. Beer, Pogg. Ann. 86, p. 78. 1852.

zu setzen ist. Führen wir diesen Wert in Gleichung (1) ein, so erhalten wir

$$(4) \quad J' = J \cdot 10^{-A_c c d}.$$

Über die beobachteten Abweichungen vom Beerschen Gesetz <sup>1)</sup> konnte man sich keine Rechenschaft geben, so lange man annahm, daß bei der Verdünnung einer Lösung die gelösten Moleküle ungeändert bleiben. Doch trifft diese Annahme jedenfalls nicht zu für elektrolytische Lösungen, in welchen nach Arrhenius ein Teil der gelösten Moleküle in die elektrisch geladenen Ionen zerfallen; der Dissoziationsgrad, d. i. das Verhältnis der Anzahl der dissoziierten zur Gesamtzahl der gelösten Moleküle, nimmt mit der Verdünnung zu und wird für unendliche Verdünnung gleich 1. Dieser Grenzzustand wird im allgemeinen schon bei endlichen Verdünnungen erreicht.

Aus dieser Theorie zieht Knoblauch <sup>2)</sup> folgende Schlüsse über die Abhängigkeit der Lichtabsorption von der Konzentration bei elektrolytischen Lösungen.

1. Das Absorptionsspektrum der konzentrierten, wenig dissoziierten Lösung eines Körpers muß verschieden sein von demjenigen der sehr verdünnten, nahezu vollkommen dissoziierten, weil die Absorption in der ersteren hauptsächlich durch die nichtdissoziierten, in der zweiten durch die dissoziierten Moleküle hervorgerufen wird.

2. Das Absorptionsspektrum verschiedener Salze desselben gefärbten Metalles (bez. derselben gefärbten Säure) muß bei hinreichender Verdünnung, bei welcher der Grenzzustand der Dissoziation erreicht ist, das gleiche werden, vorausgesetzt, daß in den dissoziierten Lösungen der betreffenden Salze die Absorption durch das gleiche Ion ausgeübt wird.

Knoblauch unterzog die von ihm aus der Dissoziationstheorie gezogenen Folgerungen einer eingehenden Prüfung, fand dieselben jedoch nicht in allen Fällen bestätigt.

1) Eine genaue Angabe der einschlägigen Arbeiten findet sich in meiner Berliner Dissertation (1903), sowie eine solche der neueren Arbeiten bei P. Vaillant, *Ann. de chim. et phys.* (7) 28. p. 213. 1903, welcher ähnliche Untersuchungen wie die hier mitgeteilten gemacht hat. Doch gibt mir die Arbeit des Hrn. Vaillant keine Veranlassung, die meinige zurückzuziehen.

2) O. Knoblauch, *Wied. Ann.* 43. p. 776. 1891.

Ostwald<sup>1)</sup> zeigte, daß die Knoblauchschen Beobachtungen nicht frei von Versuchsfehlern sind und prüfte selbst die zweite Knoblauchsche Folgerung an einer großen Reihe von Salzen, indem er die Absorptionsspektren der verdünnten Lösungen unter geeigneten Bedingungen photographierte; dabei zeigte sich die Knoblauchsche Theorie aufs vollkommenste bestätigt. Seitdem hat sich mit den Beziehungen zwischen Lichtabsorption und Dissoziation eine große Reihe von Physikern und Chemikern beschäftigt.

Die zahlreichen, bisher über die Lichtabsorption in Lösungen angestellten Versuche sind jedoch fast ausschließlich qualitativ; insbesondere ist die Knoblauch-Ostwaldsche Theorie über die Lichtabsorption verdünnter Lösungen solcher Salze, die ein gemeinsames farbiges Ion besitzen, deren anderes Ion aber farblos ist, noch nie quantitativ geprüft worden. Zweck der vorliegenden Arbeit ist es, den Einfluß der Konzentration auf den molekularen Extinktionskoeffizienten wässriger Kupfersalzlösungen für ein möglichst großes Wellenlängengebiet und für möglichst viele Konzentrationen messend zu verfolgen. Für die wässrigen Lösungen der Nickelsalze ist dieser Einfluß qualitativ untersucht worden.

## II. Apparate und Methoden.

§ 2. Zu meinen Versuchen diente ein von Franz Schmidt & Hänsch nach den Angaben von Martens hergestelltes Kolorimeter. Fig. 1 stellt einen vertikalen Schnitt durch die Hauptteile des Apparates dar.

Das Licht einer Nernstlampe wird von den beiden Spiegeln *S* reflektiert und trifft durch zwei Öffnungen  $n_1$  und  $n_2$  in dem Metallschirm *ss* auf das Milchglas *mm*. Von den beiden beleuchteten Stellen des Milchglases gehen zwei Strahlenbündel 1 und 2 aus, welche nach dem Durchgang durch die Flüssigkeitsröhren *D* und *C* bez. *B* und *A* zur

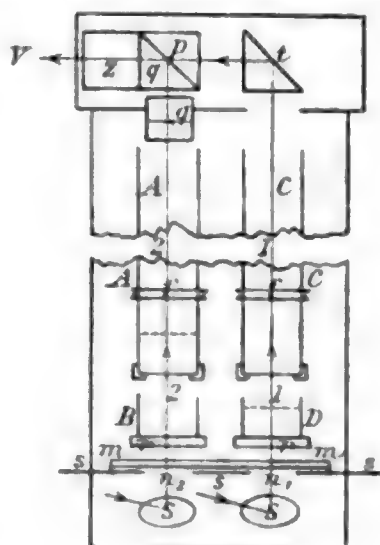


Fig. 1.

1) W. Ostwald, Zeitschr. f. phys. Chem. 9. p. 579. 1892.





in Ringfassungen  $r$  eingesetzt, die großen  $A$  und  $C$  wurden durch aufgekittete Ringe  $ff$  getragen, welche seitlich in passende Fassungen eingeschoben wurden.

Die Röhren wurden mit Quecksilber kalibriert und erwiesen sich als gut zylindrisch. Ferner war in die Röhren  $A$  und  $D$  in genau gleicher Höhe über dem Boden eine Marke eingezätzt (in Fig. 1 gestrichelt gezeichnet). Der Zweck dieser Marken wird aus dem Folgenden klar.

Bei den Versuchen waren die Röhren stets bis zum oberen Rande gefüllt und hier durch eine aufgeschobene Glasplatte verschlossen. Die ursprüngliche Absicht, mit freien Flüssigkeitsoberflächen zu arbeiten und etwaige Abweichungen vom Beerschen Gesetz durch Veränderung der Schichtdicke zu messen, mußte aufgegeben werden, da infolge der Brechung des Lichtes an den Flüssigkeitsmenisken die Beleuchtung der Gesichtsfelder ungleichmäßig wurde.

Für sehr stark absorbierende Substanzen standen anstatt der Röhren  $B$  und  $D$  andere Absorptionsgefäße zur Verfügung, welche derartig eingerichtet waren, daß mittels eines Schraubenverschlusses zwei Glasplatten gegen einen planparallel geschliffenen Glasring gepreßt wurden. Die durchstrahlte Schichtdicke betrug hier nur 0,568 cm.

Mit diesem Apparate wurde das Beersche Gesetz in der Weise geprüft, daß zunächst ohne absorbierende Medien auf Gleichheit der Gesichtsfelder eingestellt wurde. Darauf wurden auf beiden Seiten gleiche Mengen lichtabsorbierender Substanz, jedoch in verschiedenen Konzentrationen, und gleiche Mengen des Lösungsmittels in den Gang der Lichtstrahlen gebracht. Dies wurde dadurch erreicht, daß *die Röhren  $A$  und  $D$  mit der zu untersuchenden Lösung bis zur Marke gefüllt wurden; darauf wurde in beiden Röhren bis obenhin das Lösungsmittel aufgegossen und die Gefäße mit Glasplatten verschlossen.* Hierbei wurde selbstverständlich für gute Vermischung der Lösungen Sorge getragen. Dann werden offenbar auf beiden Seiten die gleichen Mengen absorbierender Substanz durchstrahlt, das Produkt aus molekularer Konzentration und Schichtdicke ist auf beiden Seiten das gleiche; *unter der molekularen Konzentration ist die in 1 Liter der Lösung enthaltene Anzahl Gramm-moleküle des gelösten Salzes zu verstehen.*

Ferner wurden die beiden anderen Gefäße *B* und *C* mit dem Lösungsmittel gefüllt und oben mit Glasplatten verschlossen. Diese Anordnung bewirkt, daß auf beiden Seiten auch gleiche Mengen des Lösungsmittels durchstrahlt werden.

Bei dieser Versuchsanordnung nun müßten, die Richtigkeit des Beerschen Gesetzes vorausgesetzt, die Gesichtsfelder des Apparates gleiche Intensität und Farbe zeigen. Dies war jedoch bei den meisten untersuchten Lösungen nicht der Fall. Um die Abweichungen vom Beerschen Gesetz in den einzelnen Spektralregionen beurteilen zu können, bediente ich mich zunächst sogenannter Strahlenfilter. Solche Farbenfilter werden von den Schottischen Glaswerken in Jena hergestellt. Von diesen benutzte ich die Gläser<sup>1)</sup> 436<sup>III</sup> (grün), 447<sup>III</sup> (blau), 452<sup>III</sup> (violett), welche dem physikalischen Institut von der Firma Schott und Gen. überwiesen wurden. Außerdem stand mir ein gewöhnliches rotes Kupferglas zur Verfügung, sowie zwei farbige Gläser, von denen das eine rot, gelb und grün, das andere grün, blau und violett durchließ.

§ 3. Da, wie sich zeigte, die Abweichungen vom Beerschen Gesetz für Strahlen verschiedener Wellenlänge verschieden

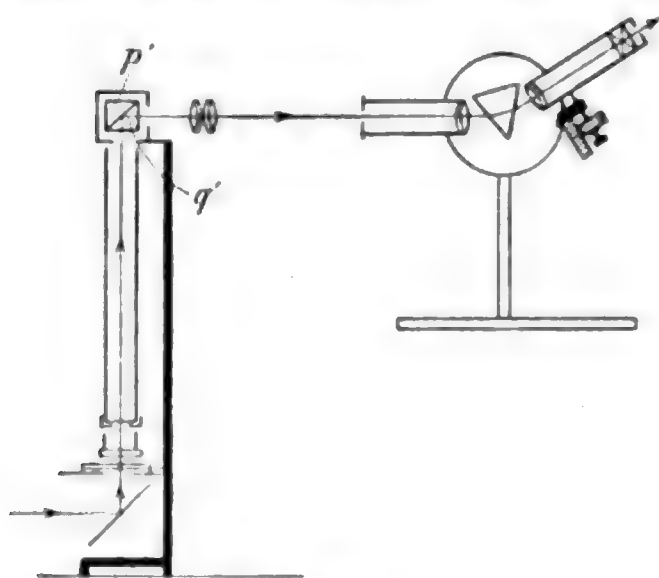


Fig. 4.

groß sind, so mußten spektralphotometrische Messungen angestellt werden. Zu diesem Zweck wurde die Beobachtungslupe aus dem Kolorimeter entfernt. Das Prisma *z* (Fig. 2) entwirft von dem Lummer-Brodhun-Würfel *p q* ein virtuelles Bild *p' q'* (Fig. 4). Dieses virtuelle Bild wurde mittels zweier achromatischer Objektive auf dem

Kollimatorspektalapparates<sup>2)</sup> abgebildet. Das so entstehende reelle Bild besteht aus drei Teilen, von denen

1) R. Zsigmondi, Zeitschr. f. Instrumentenk. 21. p. 97. 1901.

2) Die Firma Franz Schmidt & Hänsch hat mir das Spektroskop längere Zeit geliehen, wofür ich bestens danke.

die beiden äußeren vom Strahlenbündel 1, das mittlere vom Bündel 2 beleuchtet werden.

Da diese drei Teile in vertikalen Trennungslinien zusammenstoßen, so wurde das Spektroskop so orientiert, daß sein Spalt horizontale Lage hatte, also das Beobachtungsfernrohr in einer Vertikalebene drehbar war (Fig. 4). Man erblickt in demselben drei nebeneinander liegende Spektren, von denen die beiden äußeren das Absorptionsspektrum der konzentrierten, das mittlere das der verdünnten Lösung darstellen. In der Okularblende des Fernrohres wurde ein horizontaler Spalt angebracht, durch den aus allen drei Spektren ein schmaler Bezirk ausgeblendet wurde. Die Bewegung des Fernrohres erfolgte mittels einer Mikrometerschraube, deren Meßtrommel mit Hilfe einiger bekannter Spektrallinien auf Wellenlängen geeicht wurde. Vor jeder Messung wurde die richtige photometrische Einstellung des ganzen Apparates kontrolliert.

Ist  $J$  die Intensität der beiden auffallenden Lichtbündel 1 und 2, bezeichnet man ferner Intensität des austretenden Lichtes, molekularen Extinktionskoeffizienten, molekulare Konzentration und Schichtdicke mit  $J_1'$ ,  $A_1$ ,  $c_1$ ,  $d_1$  für die konzentrierte, mit  $J_2'$ ,  $A_2$ ,  $c_2$ ,  $d_2$  für die verdünnte Lösung, so gilt infolge der Gleichung (4):

$$J_1' = J \cdot 10^{-A_1 c_1 d_1},$$

$$J_2' = J \cdot 10^{-A_2 c_2 d_2}.$$

Hieraus folgt, wenn man berücksichtigt, daß infolge der Versuchsanordnung  $c_1 d_1 = c_2 d_2$  ist:

$$(5) \quad A_1 - A_2 = \frac{1}{c_1 d_1} \log \frac{J_1'}{J_2'}.$$

Die Messung des Verhältnisses  $J_2'/J_1'$  geschah durch photographisch geschwärzte Platten. Es wurden einige Platten verschieden lange belichtet, und es ergab sich dann bei der Entwicklung ein verschiedener Grad der Schwärzung.<sup>1)</sup> Diese Platten wurden unmittelbar auf die Milchglasplatte  $m$  gelegt, und zwar auf dasjenige der Felder  $n$ , dessen zugehöriges Gesichtsfeld das hellere war. Darauf wurde das Beobachtungs-

1) Für die Anfertigung der Platten bin ich Hrn. Dr. R. Defregger zu Dank verpflichtet.

fernrohr auf diejenige Wellenlänge  $\lambda$  eingestellt, für die dann Gleichheit der Felder vorhanden war.

Sei  $J_2' > J_1'$  — dies war bei den Substanzen, an welchen Messungen angestellt wurden, der Fall — und schwäche die betreffende Platte das auffallende Licht um  $p$  Proz., so haben wir die Gleichung:

$$J_2' - \frac{J_2' \cdot p}{100} = J_1'.$$

Führt man dies in Gleichung (5) ein, so geht dieselbe über in:

$$(6) \quad A_1 - A_2 = \frac{1}{c_1 d_1} \log \frac{100}{100 - p}.$$

Hat man für eine bestimmte Anfangskonzentration  $c_1$  die Differenz  $A_1 - A_2$  gemessen, so findet man, indem man die Lösung im Gefäß  $D$  durch Wasser ersetzt ( $A_1 = 0$ ), aus dieser Gleichung  $A_2$ , dadurch kennt man dann auch die  $A_1$ .

Die Größe  $p$  ist für photographisch geschwärzte Platten, wie sich durch Messung der Absorption einer Platte für verschiedene Wellenlängen mit dem Königschen Spektralphotometer ergab, von der Farbe des Lichtes so gut wie unabhängig. Daher konnte  $p$  mit dem Martensschen Polarisationsphotometer für weißes Licht<sup>1)</sup> gemessen werden.

Die Größe  $p$  hatte für die benutzten Platten folgende Werte:

Tabelle 1.

	$p$
Platte 1 . . . . .	19,8
Platte 2 . . . . .	39,3
Platte 1 und Platte 2 . .	51,3 <sup>1)</sup>
Platte 3 . . . . .	68,6
Platte 4 . . . . .	79,4
Platte 5 . . . . .	95,0

### III. Beobachtungsergebnisse.

Bevor wir zur Darstellung der Beobachtungsergebnisse übergehen, sei folgendes bemerkt: Wie bereits auf p. 772 erwähnt, ändert sich im allgemeinen der molekulare Extinktionskoeffizient

1) F. F. Martens, Phys. Zeitschr. 1. p. 299. 1900.

mit der Konzentration; es zeigte sich jedoch, daß derselbe bei zunehmender Verdünnung einen Grenzwert erreicht; wir bezeichnen denselben mit  $A_0$ . Wurde nun die Konzentration  $c_1$  in Röhre  $D$  (Fig. 1) so groß wie möglich gewählt, so zeigte sich die Verdünnung in Röhre  $A$  bei allen untersuchten Substanzen mit Ausnahme von Kupferacetat schon so weit vorgeschritten, daß  $A$  bereits seinen Grenzwert erreicht hatte. Man kann daher für diese Substanzen in Gleichung (6)  $A_1$  durch  $A_0$  ersetzen.

Unter Berücksichtigung der Knoblauch-Ostwaldschen Theorie mögen nun im folgenden die Beobachtungsergebnisse zusammengestellt werden.

§ 4. *Kupfersulfat*:  $\text{CuSO}_4 + 5\text{H}_2\text{O}$ . Das Beersche Gesetz zeigte sich für alle durchgelassenen Farben bestätigt. In Tab. 2 sind die vom Verfasser bestimmten molekularen Extinktionskoeffizienten zusammengestellt.

Tabelle 2.

$\text{CuSO}_4$ . Bezeichnungen vgl. p. 773 und 775.

$p$	$c_2 = 0,091$	
	$\lambda$ in $\mu\mu$	$A$
19,8	—	—
39,3	512	0,060
51,3	524	0,088
68,6	538	0,139
79,4	549	0,189
95,0	569	0,358

Von F. Grünbaum<sup>1)</sup> sind neuerdings mit dem König-Martensschen Spektralphotometer Absorptionsmessungen an wässrigen  $\text{CuSO}_4$ -Lösungen angestellt worden, die als die genauesten der über dies Salz veröffentlichten Messungen gelten dürfen. In Tab. 3 ist ein Teil der aus den Grünbaumschen und Ewanschen<sup>2)</sup> Messungen sich ergebenden molekularen Extinktionskoeffizienten  $A$  zusammengestellt.

1) F. Grünbaum, Inaug.-Diss. Berlin 1902.

2) T. Ewan, Phil. Mag. (5) 33. p. 317. 1892.



Tabelle 3.

CuSO<sub>4</sub>.

Ewan		Grünbaum	
$\lambda$ in $\mu\mu$	$A$	$\lambda$ in $\mu\mu$	$A$
495	0,024	480	0,010
510	0,050	492	0,017
526	0,090	500	0,023
543	0,164	508	0,036
563	0,298	521	0,063
		534	0,106
		546	0,167
		560	0,273
		568	0,357

Wie man aus Fig. 5 sieht, stimmen die Werte des Verfassers mit denen von Grünbaum nur für große Wellenlängen gut überein. Dies scheint daher zu rühren, daß Verfasser eine weiße Lichtquelle (Nernstlampe) benutzte, während Hr. Grünbaum sich monochromatischen Lichtes bediente.

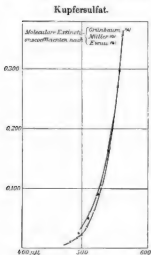


Fig. 5.

Daraus, daß in allen anderen Farben des Spektrums keine Absorption stattfindet, und daß das Beersche Gesetz im sichtbaren Gebiet erfüllt ist, folgt erstens, daß das Ion SO<sub>4</sub>

Vergleicht man nämlich mit den Werten des Verfassers diejenigen von Ewan, der sich ebenfalls einer weißen Lichtquelle bediente, so sieht man, daß diese Werte gut übereinstimmen (vgl. Fig. 5).

Die Absorption des roten Spektralendes ist, wie wir sehen werden, bei allen Kuprisalzen vorhanden; sie wird also durch das allen gemeinsame Kupfer bewirkt sein.

Daraus, daß in allen anderen Farben des Spektrums keine Absorption stattfindet, und daß das Beersche Gesetz im sichtbaren Gebiet erfüllt ist, folgt erstens, daß das Ion SO<sub>4</sub>

farblos ist, zweitens, daß das Cu seine spezifische Absorption im Rot beibehält, wenn es mit  $\text{SO}_4$  zum Molekül  $\text{CuSO}_4$  zusammentritt.

Unaufgeklärt bleibt die Tatsache, daß völlig wasserfreies  $\text{CuSO}_4$  farblos,  $\text{CuSO}_4 + 1\text{H}_2\text{O}$  grünlich ist.

Von der Temperatur zeigt sich die Lichtabsorption in wässriger  $\text{CuSO}_4$ -Lösung unabhängig.

§ 5. Kupferchlorid:  $\text{CuCl}_2 + 2\text{H}_2\text{O}$ . In Tab. 4 sind die gemessenen Werte  $A_1 - A_0$  bez.  $A_0$  zusammengestellt.

Tabelle 4.

$\text{CuCl}_2$ . Bezeichnungen vgl. p. 773 und 775.

$p$	$c_1 = 2,668$		$c_1 = 2,002$		$c_1 = 1,336$		$c_1 = 0,667$		$c_2 = 0,073$	
	$\lambda$ in $\mu\mu$	$A_{2,668} - A_0$	$\lambda$ in $\mu\mu$	$A_{2,002} - A_0$	$\lambda$ in $\mu\mu$	$A_{1,336} - A_0$	$\lambda$ in $\mu\mu$	$A_{0,667} - A_0$	$\lambda$ in $\mu\mu$	$A_0$
19,8	536	0,008	515	0,011	485	0,017	457	0,033	494	0,039
39,8	515	0,019	498	0,025	477	0,037	428	0,075	520	0,075
51,8	508	0,027	495	0,036	468	0,055	—	—	532	0,109
68,6	503	0,043	488	0,058	462	0,087	—	—	545	0,173
79,4	496	0,059	483	0,079	457	0,119	—	—	554	0,237
95,0	—	—	—	—	—	—	—	—	—	—

Der Verlauf der Kurven (Fig. 6) gibt ein Bild von den Abweichungen vom Beerschen Gesetz. Würde dieses erfüllt sein, so müßte für alle Wellenlängen  $A_1 - A_0 = 0$  sein; die Kurven müßten mit der Abszissenachse zusammenfallen. Am einen Spektralende schmiegen sich die Kurven in der Tat an die Abszissenachse an; da ist das Gesetz erfüllt. Am anderen Ende steigen sie steil empor. Der Ort dieses Anstieges rückt mit zunehmender Verdünnung nach kleinen Wellenlängen. Je mehr also die Verdünnung zunimmt, für um so mehr Wellenlängen erreicht  $A$  seinen Grenzwert  $A_0$ . Wird die Anfangsverdünnung ( $c_1$ ) so groß, daß die Kurve  $A_1 - A_0$  im ganzen sichtbaren Gebiet mit der Abszissenachse zusammenfällt, so hat  $A$  innerhalb dieses Gebietes seinen Grenzwert erreicht.

Dieser Grenzwert ist, wie man sich überzeugt (vgl. Fig. 10), in Übereinstimmung mit der Knoblauch-Ostwaldschen Theorie für Kupferchlorid der gleiche wie für Kupfersulfat.

Aus dem Gang der Differenzkurven mit zunehmender Verdünnung kann man mit großer Wahrscheinlichkeit folgern,

#### Kupferchlorid.

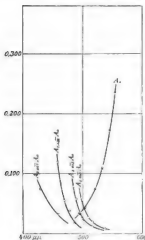


Fig. 6.

daß im Ultraviolett noch merkliche Abweichungen vom Beerschen Gesetz bestehen, wenn dasselbe im sichtbaren Gebiet schon erfüllt ist. Man muß also sehr vorsichtig sein, wenn man nur die Farbe einer Lösung beobachtet hat und hieraus Schlüsse auf den Dissoziationsgrad ziehen will; wenn, wie beim  $\text{CuSO}_4$ , das Beersche Gesetz im ganzen sichtbaren Gebiet erfüllt ist, so können immerhin Abweichungen von demselben noch im Ultraviolett oder Ultrarot vorhanden sein.

Die Lichtabsorption der wässrigen  $\text{CuCl}_2$ -Lösungen hängt nicht nur von der Konzentration, sondern auch von der Temperatur in hohem Grade ab; und

zwar hat Erhöhung der Temperatur auf die Lichtabsorption einer  $\text{CuCl}_2$ -Lösung denselben Einfluß wie Vergrößerung, Erniedrigung der Temperatur denselben Einfluß wie Verringerung der Konzentration. So wird z. B. die verdünnte (blaue) Lösung beim Erwärmen grün, die konzentrierte (grüne) Lösung beim Abkühlen blau; mit der früheren Temperatur kehrt auch die ursprüngliche Farbe zurück.

Wasserfreies  $\text{CuCl}_2$  ist ein braungelbes Pulver.<sup>1)</sup>

§ 6. Kupferbromid;  $\text{CuBr}_2$ . Tab. 5 enthält die gemessenen Werte  $A_1 - A_0$  bez.  $A_0$ .

1) O. Dammer, Handb. d. anorg. Chem. (II) 2, p. 695. 1894.

Tabelle 5.

CuBr<sub>2</sub>. Bezeichnungen vgl. p. 773 und 775.

<i>p</i>	<i>c</i> <sub>1</sub> = 1,390		<i>c</i> <sub>1</sub> = 0,737		<i>c</i> <sub>1</sub> = 0,545		<i>c</i> <sub>1</sub> = 0,369		<i>c</i> <sub>2</sub> = 0,059	
	λ in μμ	<i>A</i> <sub>1,390</sub> - <i>A</i> <sub>0</sub>	λ in μμ	<i>A</i> <sub>0,737</sub> - <i>A</i> <sub>0</sub>	λ in μμ	<i>A</i> <sub>0,545</sub> - <i>A</i> <sub>0</sub>	λ in μμ	<i>A</i> <sub>0,369</sub> - <i>A</i> <sub>0</sub>	λ in μμ	<i>A</i> <sub>0</sub>
19,8	—	—	584	0,030	555	0,040	486	0,060	499	0,040
39,3	629	0,275	572	0,068	520	0,091	457	0,135	523	0,091
51,3	620	0,401	562	0,099	505	0,134	448	0,198	535	0,134
68,6	609	0,636	541	0,157	488	0,212	—	—	549	0,212
79,4	586	0,870	528	0,214	475	0,290	—	—	559	0,290
95,0	542	1,647	493	0,406	—	—	—	—	—	—

Die Kurven (Fig. 7) verlaufen ebenso wie bei CuCl<sub>2</sub>, insbesondere ergibt sich in Übereinstimmung mit der Knob-

Kupferbromid.

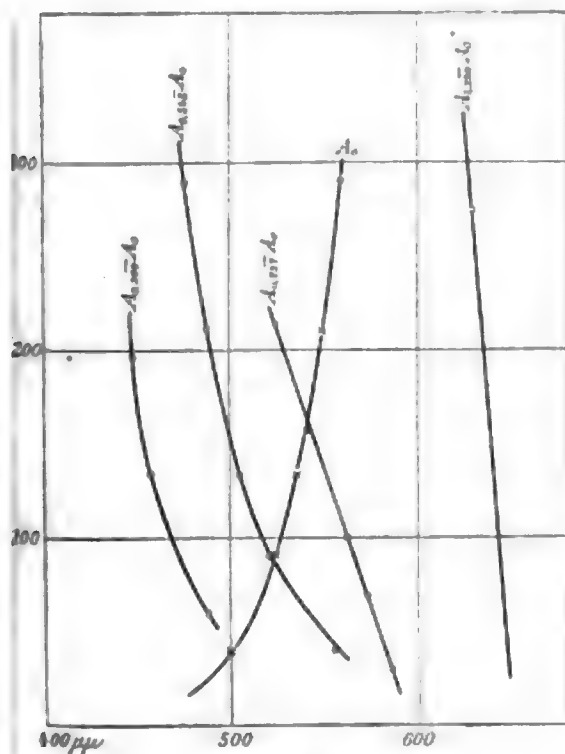


Fig. 7.

Kupfernitrat.

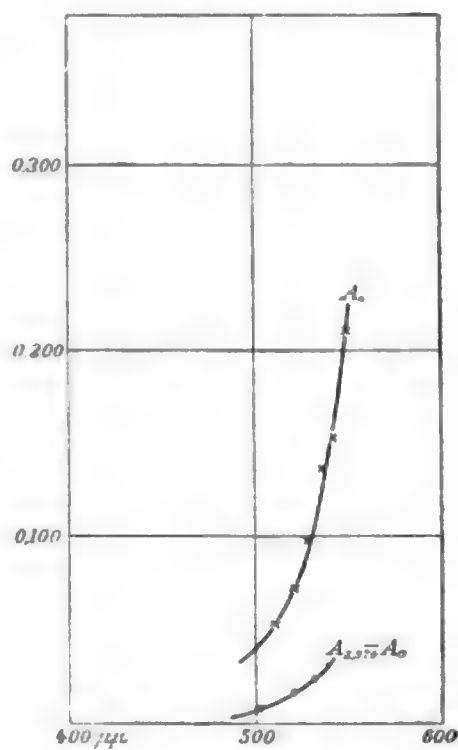


Fig. 8.

lauch-Ostwaldschen Theorie für *A*<sub>0</sub> dieselbe Kurve wie bei CuSO<sub>4</sub> und CuCl<sub>2</sub> (vgl. Fig. 10). Man ersieht jedoch aus den

Kurven, daß die Abweichungen vom Beerschen Gesetz hier größer sind als bei  $\text{CuCl}_2$ . Auch für wässrige Lösungen von  $\text{CuBr}_2$  gilt der Satz: Erhöhung der Temperatur hat auf die Lichtabsorption denselben Einfluß wie Vergrößerung, Erniedrigung der Temperatur denselben Einfluß wie Verringerung der Konzentration. Eine analoge Erscheinung ist vom flüssigen Brom bekannt<sup>1)</sup>; kühlt man dasselbe auf  $-180^\circ$  ab, so geht die dunkle rotbraune Farbe in ein helles Gelbrotes über.

§ 7. *Kupfernitrat:*  $\text{Cu}(\text{NO}_3)_2 + 6\text{H}_2\text{O}$ . Hier ist das Beersche Gesetz am blauen Spektralende erfüllt, im Rot dagegen absorbiert die konzentrierte Lösung stärker als die verdünnte.

In Tab. 6 sind die gemessenen Werte  $A_1 - A_0$  bez.  $A$ , zusammengestellt.

Tabelle 6.

$\text{Cu}(\text{NO}_3)_2$ . Bezeichnungen vgl. p. 773 und 775.

$p$	$c_1 = 2,979$		$c_2 = 0,081$	
	$\lambda$ in $\mu\mu$	$A_{2,979} - A_0$	$\lambda$ in $\mu\mu$	$A_0$
19,8	501	0,007	510	0,053
39,3	521	0,017	521	0,072
51,3	532	0,024	529	0,098
68,6	—	—	537	0,137
79,4	—	—	542	0,155
95,0	—	—	550	0,212

Auch hier besitzt  $A_0$  in Übereinstimmung mit der Knoblauch-Ostwaldschen Theorie dieselben Werte (Fig. 10), wie bei den bisher untersuchten Kupfersalzen.

Erwärmt man das wasserhaltige Salz, so schmilzt dasselbe in seinem Kristallwasser; dampft man diese Lösung ein, so wird sie grün.

§ 8. *Kupferacetat:*  $\text{Cu}(\text{C}_2\text{H}_3\text{O}_2)_2 + \text{H}_2\text{O}$ . Das Beersche Gesetz ist, wie beim Nitrats, am blauen Spektralende erfüllt, am roten absorbiert die konzentrierte Lösung stärker als die verdünnte.

1) F. F. Martens, Verhandl. d. Deutschen physik. Gesellsch. 4. p. 141. 1902.

Tabelle 7.

Cu(C<sub>2</sub>H<sub>3</sub>O<sub>2</sub>)<sub>2</sub>. Bezeichnungen vgl. p. 773.

<i>p</i>	<i>c</i> <sub>1</sub> = 0,111		<i>c</i> <sub>1</sub> = 0,083		<i>c</i> <sub>1</sub> = 0,056		<i>c</i> <sub>2</sub> = 0,012		<i>c</i> <sub>2</sub> = 0,009		<i>c</i> <sub>2</sub> = 0,006	
	λ in μμ	<i>A</i> <sub>0,111</sub>	λ in μμ	<i>A</i> <sub>0,083</sub>	λ in μμ	<i>A</i> <sub>0,056</sub>	λ in μμ	<i>A</i> <sub>0,012</sub>	λ in μμ	<i>A</i> <sub>0,009</sub>	λ in μμ	<i>A</i> <sub>0,006</sub>
19,8	523	0,368	523	0,354	535	0,606	525	0,198	538	0,264	546	0,396
39,3	543	0,908	552	1,138	571	1,837	543	0,448	555	0,598	569	0,897
51,3	555	1,365	566	1,773	583	2,640	552	0,655	566	0,873	582	1,310
68,6	571	2,268	584	2,765	610	4,867	566	1,038	579	1,385	597	2,077
79,4	585	3,27	600	4,353	—	—	576	1,420	592	1,893	612	2,839
95,0	—	—	—	—	—	—	—	—	612	3,585	—	—

Tab. 7 enthält die molekularen Extinktionskoeffizienten<sup>1) 2)</sup> für verschiedene Konzentrationen.

Für Kupferacetat konnte *A*<sub>0</sub> nicht gemessen werden, da bei diesem Salz *A* erst bei einer Verdünnung konstant zu werden scheint, bei der wegen der schwachen Färbung Absorptionsmessungen nicht mehr angestellt werden konnten. Man sieht aber aus Fig. 9, wie auch hier die molekularen Extinktionskurven sich der Kurve *A*<sub>0</sub> der anderen Kupfersalze (dieselbe ist gestrichelt gezeichnet) mit wachsender Verdünnung nähern.

Über die Abhängigkeit der Lichtabsorption von der Temperatur wurden bei diesem Salz keine Versuche angestellt, da sich dasselbe schon bei geringer Erwärmung zersetzt.

§ 9. Kupferchlorat: Cu(ClO<sub>3</sub>)<sub>2</sub> + 6 H<sub>2</sub>O. Dieses Salz wurde nur qualitativ untersucht. Das Beersche Gesetz zeigt sich für fast alle durchgelassenen Farben erfüllt, nur am äußersten roten Ende zeigen sich geringe Spuren von Abweichungen, indem die konzentrierte Lösung etwas stärker absorbiert als die verdünnte.

1) Hier mußten *A*<sub>1</sub> und *A*<sub>2</sub> einzeln bestimmt werden (vgl. p. 774 und 775).

2) Kupferacetat ist in Wasser viel weniger löslich als die anderen untersuchten Salze; da es trotzdem stark färbt, so sind die molekularen Extinktionskoeffizienten hier von etwa 10mal höherer Größenordnung als bei jenen. Der Maßstab der Ordinaten in Fig. 9 ist deswegen 10mal kleiner gewählt als für die anderen Kurven.



Erwärmt man die blauen, wasserhaltigen Kristalle, so schmelzen dieselben im Kristallwasser; bei weiterem Eindampfen wird diese Lösung grün.

§ 10. Es wurde bereits auf p. 778 darauf hingewiesen, daß bei  $\text{CuCl}_2$  (und ebenso bei  $\text{CuBr}_2$ ) Abweichungen vom Beerschen Gesetz wahrscheinlich auch im Ultraviolett vorhanden sind. In der Tat ergaben Versuche, welche Hr.

#### Kupferacetat.

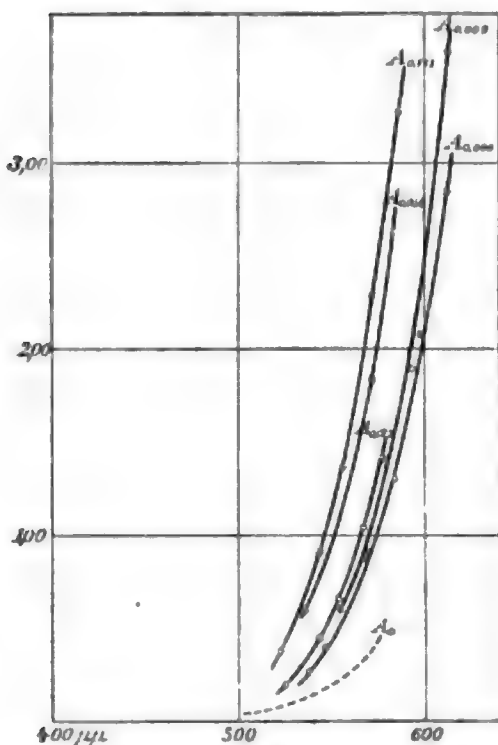


Fig. 9.

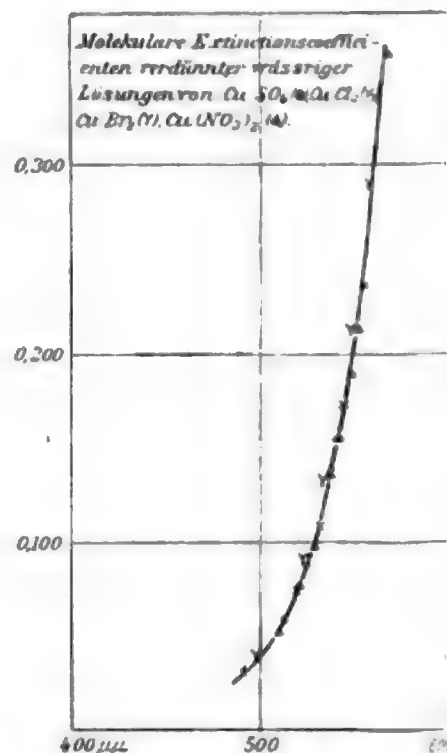


Fig. 10.

Martens über das optische Verhalten von  $\text{CuCl}_2$ -Lösungen im Ultraviolett angestellt hat, folgendes:

Die Brechungsexponenten der konzentrierten Lösungen fangen bei etwa  $310 \mu$  an, nach der Seite der kleinen Wellenlängen hin erheblich anzusteigen, von  $298 \mu$  an ist die Lösung auch bei einer Schichtdicke von nur wenigen hundertstel Millimetern undurchlässig; dies Verhalten erklärt sich, wenn man annimmt, daß reines Chlor seine Eigenschwingung bei  $210 \mu$  mit in das  $\text{CuCl}_2$ -Molekül hineinnimmt. Hierdurch würde sich auch die Absorption blauer Strahlen erklären, die ja auch flüssigem Chlor eigentümlich ist. Bei verdünnten  $\text{CuCl}_2$ -

Lösungen steigen die Brechungsexponenten erst bei kleineren Wellenlängen an.

Bei der konzentrierten wässrigen  $\text{CuBr}_2$ -Lösung fällt die Eigenschwingung im Ultraviolett, wie Hr. Martens fand<sup>1)</sup>, etwa mit der von  $\text{Br}_2$  zusammen; die letztere liegt, entsprechend dem höheren Atomgewicht von  $\text{Br}^2$ ), bei größeren Wellenlängen als die von  $\text{Cl}_2$ , nämlich bei  $310\ \mu\mu$ . Hieraus dürfte es sich erklären, daß die Abweichungen vom Beerschen Gesetz bei  $\text{CuBr}_2$  größer sind als bei  $\text{CuCl}_2$ . Es scheint demnach, daß Brom seine Absorption mit in das  $\text{CuBr}_2$ -Molekül hineinnimmt. In der verdünnten Lösung macht sich der stärkere Anstieg des Brechungsexponenten und der Absorption erst bei viel kleineren Wellenlängen bemerkbar, nämlich zwischen  $220$  und  $270\ \mu\mu$ .

Auch die Farblosigkeit des  $\text{SO}_4$  steht in Übereinstimmung mit Versuchen des Hrn. Martens<sup>3)</sup>, der wahrscheinlich gemacht hat, daß die Eigenschwingung des  $\text{SO}_4$  unterhalb  $100\ \mu\mu$  liegt, also keinen Einfluß im sichtbaren Gebiet ausüben wird.

§ 11. *Nickelsalze.* Von den Salzen des Nickels wurden dieselben untersucht, wie vom Kupfer, die meisten jedoch nur qualitativ. Das Beersche Gesetz zeigte sich für alle durchgelassenen Farben erfüllt beim Sulfat und Nitrat. Bei den anderen Salzen sind die Abweichungen von derselben Art wie bei den entsprechenden Kupfersalzen, doch sind sie ihrer Größe nach bei weitem geringer als bei diesen. Immerhin sind sie noch recht beträchtlich beim Bromür ( $\text{NiBr}_2$ ) und Chlorür ( $\text{NiCl}_2$ ); dagegen sind beim Acetat ( $\text{Ni}(\text{C}_2\text{H}_3\text{O}_2)_2$ ) und Chlorat ( $\text{Ni}(\text{ClO}_3)_2$ ) nur ganz geringe Abweichungen vom Beerschen Gesetz nachweisbar.

Ähnlich wie die Kupfersalze zeigen auch alle Nickelsalze in verdünnter Lösung gleiche Farbe:  $\text{NiBr}_2$  ist braun,  $\text{NiCl}_2$  gelbgrün,  $\text{NiSO}_4$  und  $\text{Ni}(\text{NO}_3)_2$  sind grasgrün in konzentrierter Lösung; in verdünnter Lösung zeigen diese Salze den gleichen grünen Farbenton, und man darf wohl annehmen, daß auch hier sich für alle Salze dieselbe Kurve  $A_0$  ergibt. Die molekularen Extinktionskoeffizienten sind für Nickelnitrat gemessen worden und in Tab. 8 zusammengestellt.

---

1) 2) 3) F. F. Martens, l. c.

Tabelle 8.

 $\text{Ni}(\text{NO}_3)_2$ .

$p$	$c_2 = 0,053$	
	$\lambda$	$A$
19,8	{ 511 } { 489 }	0,045
39,3	{ 534 } { 480 }	0,102
51,3	{ 553 } { 474 }	0,149
68,6	{ 565 } { 467 }	0,236
79,4	{ 577 } { 457 }	0,322

Wie man aus Fig. 11 sieht, absorbiert Ni sowohl das rote, als auch das blaue Ende des sichtbaren Spektrums.

Nickelnitrat.

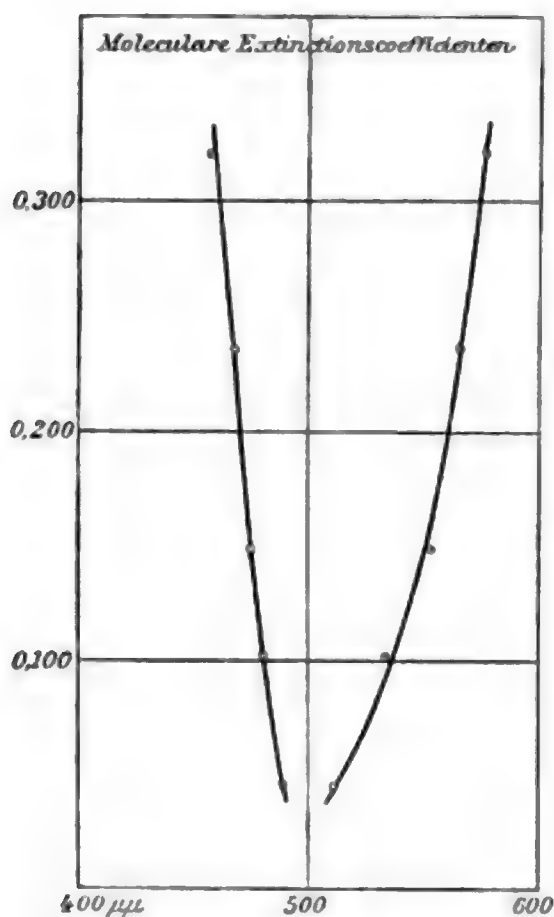


Fig. 11.

Letztere Absorption ist offenbar die Ursache davon, daß die Abweichungen vom Beerschen Gesetz bei  $\text{NiCl}_2$  und  $\text{NiBr}_2$  bedeutend geringer sind, als bei  $\text{CuCl}_2$  und  $\text{CuBr}_2$ .

Die Farbe von  $\text{NiSO}_4$  und  $\text{Ni}(\text{NO}_3)_2$  zeigt sich unabhängig von der Temperatur, dagegen gilt für  $\text{NiCl}_2$  und  $\text{NiBr}_2$  wieder der Satz, daß Erhöhung der Temperatur auf die Lichtabsorption denselben Einfluß hat wie Vergrößerung, Erniedrigung der Temperatur denselben Einfluß hat wie Verringerung der Konzentration.

§ 12. Zusammenstellung der Resultate. 1. Das Cu übt im sichtbaren Gebiet in den verdünnten Lösungen aller unter-

suchten Kupfersalze, sowie in den konzentrierten Lösungen von  $\text{CuSO}_4$ ,  $\text{CuCl}_2$ ,  $\text{CuBr}_2$  die gleiche Absorption aus, und zwar absorbiert das Cu das rote Ende des sichtbaren Spektrums. In den verdünnten Lösungen tritt außer dieser durch Cu bewirkten Absorption keine weitere Absorption auf. Auch in der konzentrierten Lösung von  $\text{CuSO}_4$  tritt zu der durch das Cu bewirkten Absorption keine weitere Absorption hinzu. Dagegen tritt in den konzentrierten Lösungen von  $\text{CuCl}_2$  und  $\text{CuBr}_2$  zu der durch das Cu bewirkten Absorption des Rot noch eine solche des Blau und Violett hinzu, welche wahrscheinlich durch  $\text{Cl}_2$  bez.  $\text{Br}_2$  bewirkt wird. In den konzentrierten Lösungen von Kupfernitrat und Kupferacetat tritt zu der Cu-Absorption der verdünnten Lösung noch eine weitere Absorption des Rot hinzu.

2. Bei zunehmender Verdünnung nimmt der molekulare Extinktionskoeffizient bei den untersuchten Kupfersalzen einen bestimmten Grenzwert  $A_0$  an; ist dieser erreicht, so ist weitere Verdünnung auf die molekulare Lichtabsorption ohne Einfluß. Der Grenzwert  $A_0$  ist in Übereinstimmung mit der Knoblauch-Ostwaldschen Theorie im ganzen sichtbaren Gebiet für alle untersuchten Kupfersalze der gleiche; daher ist die molekulare Extinktionskurve der verdünnten Kupfersalzlösungen für die Absorption des Cu charakteristisch.

3. Auch bei den Nickelsalzen ist das Beersche Gesetz im allgemeinen nicht erfüllt; die Abweichungen sind hier von derselben Art, wie bei den entsprechenden Kupfersalzen; sie sind jedoch mit Ausnahme von  $\text{NiCl}_2$  und  $\text{NiBr}_2$  äußerst gering. Auch die Nickelsalze weisen bei genügender Verdünnung den gleichen grünen Farbenton auf, obwohl die konzentrierten Lösungen zum Teil sehr verschiedene Farbe besitzen; dieser Farbenton ist demnach für Ni charakteristisch, und zwar absorbiert Ni das rote und das blaue Ende des sichtbaren Spektrums.

4. Diejenigen Salzlösungen, bei denen das Beersche Gesetz im ganzen sichtbaren Gebiet erfüllt ist, zeigen keine Abhängigkeit ihrer Farbe von der Temperatur, während auf die Farbe der anderen untersuchten Salzlösungen Temperaturerhöhung denselben Einfluß hat wie Vergrößerung, Abkühlung denselben Einfluß wie Verringerung der Konzentration.

5. Der wahrscheinliche Grund für die Nichterfüllung des Beerschen Gesetzes ist in der Dissoziation zu sehen. Hierfür spricht die Tatsache, daß die molekularen Extinktionskoeffizienten bei zunehmender Verdünnung einen bestimmten Grenzwert erreichen, und daß dieser Grenzwert in Übereinstimmung mit der Knoblauch-Ostwaldschen Theorie für alle untersuchten Kupfersalze der gleiche ist. Auch die schon erwähnte Abhängigkeit der Lichtabsorption von der Temperatur spricht hierfür, insofern die Änderung der Temperatur einer Lösung eine Änderung des Dissoziationsgrades zur Folge hat.

Vorliegende Arbeit wurde im physikalischen Institut der Universität Berlin angefertigt. Es sei mir gestattet, dem Leiter desselben, meinem hochverehrten Lehrer Hrn. Geh.-Rat Prof. Dr. Warburg für die Anregung zu dieser Arbeit, sowie das freundliche Interesse an derselben meinen ehrerbietigsten Dank auszusprechen.

Auch Hrn. Privatdozenten Dr. F. F. Martens bin ich für die wertvollen Ratschläge, mit denen er die Arbeit zu fördern immer bemüht war, zu stetem Dank verpflichtet.

Aachen, 30. Juni 1903.

(Eingegangen 18. Juli 1903.)

## 5. Über Beobachtungen von kurz dauernden Luftdruckschwankungen (*Windwogen*); von M. Toepler.

(Hierzu Taf. I, Photogramme 2, 3, 7 a, 7 b, 9 und 10. Die Photogramme 1, 4, 5, 6, 8 und 11 befinden sich im Text.)

In einer früheren Notiz<sup>1)</sup> habe ich einen Apparat angegeben, mit welchem sich kleinste Luftdruckänderungen beobachten lassen; daselbst sind auch Beobachtungsdiagramme *periodischer* Druckschwankungen (Helmholtzsche Windwogen) mitgeteilt.

Inzwischen ist von anderer Seite<sup>2)</sup> vergeblich nach periodischen Luftdruckschwankungen gesucht worden. Ich habe daher vorigen Herbst meine Beobachtungen wieder aufgenommen. Die früher benutzte Vorrichtung hat hierbei insofern eine wesentliche Vervollkommnung erfahren, als die zeitraubende Beobachtung des Libellenkuppenstandes durch *photographische* Registrierung desselben ersetzt wurde, wodurch der Apparat für meteorologische Zwecke bequem brauchbar geworden ist.

Im folgenden sei eine kurze *Besprechung des Apparates* und — im Anschlusse an eine Reihe von Photogrammen — einiges über den Einfluß *lokaler Störungen*, über das Auftreten und den Charakter von *Luftdruckwogen*, sowie schließlich über die Möglichkeit, aus den Aufnahmen ein neues meteorologisches Element, die „*barometrische Unruhe*“, zu entnehmen, angegeben.

1) M. Toepler, Wied. Ann. 57. p. 472. 1896.

2) Vgl. J. Flögel, Naturw. Rundschau 16. p. 566—567. 1901 und Fortschr. d. Phys. (III) 57. p. 205. 1901. Vermutlich treten Luftdruckwogen in der Tiefebene seltener auf als im Hügellande (Dresden). Gleichfalls mit dem von meinem Apparate sich in wesentlichen Teilen unterscheidenden Variometer von Hefner-Alteneck angestellte Beobachtungen finden sich auch bei J. West, Wied. Ann. 65. p. 943. 1898.



## I.

## Bemerkungen zum Apparate.

Seinen wesentlichen Bestandteilen nach wird der Apparat aus folgendem gebildet (vgl. die schematische Fig. 1). In einem von schlechten Wärmeleitern umgebenen Glasgefäße  $V$  ist Luft vermittelt der in einer Drucklibelle befindlichen Flüssigkeit (Toluol)  $T$  abgeschlossen. Änderungen des äußeren Luftdruckes veranlassen dann entsprechende Verschiebungen der Flüssigkeitssäule. Die Lagenänderungen der Flüssigkeitskuppe  $a$  werden photographisch registriert. Dies wird erreicht, indem eine neben dem Rohre angebrachte Linse ein passend vergrößertes Bild der Kuppe auf einen der Rohrachse parallelen

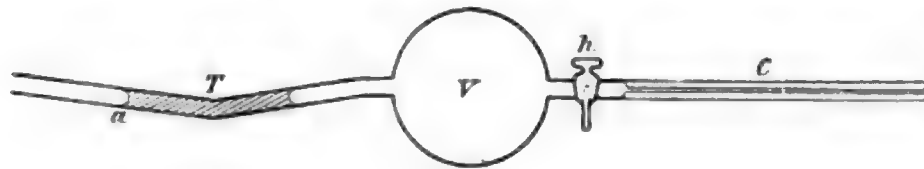


Fig. 1.

Spalt entwirft<sup>1)</sup>; unmittelbar hinter dem Spalte wird durch ein Uhrwerk ein photographischer Papierstreifen senkrecht zur Spaltrichtung langsam vorübergezogen.

Die eventuell auch durch den Dreiweghahn  $h$  abzuschließende Kapillare  $C$  ermöglicht den Ausgleich *langsamer* Barometerstandsänderungen, deren Registrierung bei der wünschenswerten starken Vergrößerung der Luftdruckschwankungen

1) Bei der Abbildung erscheint, obgleich das abgebildete System (die klare *ungefärbte* Libellenflüssigkeit im Glasrohre, beide im Wasserbade mit planparallelen Glaswänden) nur aus *durchsichtigen* Medien besteht, die *Luft* im Libellenrohre, deren Brechungsexponent allein von denen der übrigen Systemteile wesentlich abweicht, *dunkel* auf hellem Grunde; etwa auftretende störende Reflexe sind leicht durch *passend* auszubprobierende Blenden zu beseitigen. Längs eines den vertikalen Teil des so erhaltenen Kuppenbildes schneidenden, horizontalen, schmalen Spaltes herrscht dann auf der einen Seite homogene Helligkeit, auf der anderen fast völlige gleichmäßige Dunkelheit. Letztere Helligkeitsverteilung läßt sich längs eines hinreichend schmalen Spaltes auch dann erreichen, wenn, wie bei Aufnahme der nachfolgend mitgeteilten Photographie, das Libellenrohr sich nicht in einem Wasserbade, sondern in Luft befindet.

unhandlich breite Registrierbänder erfordern würde. Dagegen werden alle *kurzdauernden* Luftdruckänderungen stark vergrößert registriert.

Abgesehen von dem später noch eingehender zu behandelnden Einflusse der Kapillaren gilt (vgl. l. c. p. 476) für den Zusammenhang von Druckänderung  $db$  (in  $\text{g/cm}^2$ ) und wahrer Kuppenverschiebung  $dl$  (in  $\text{cm}$ )

$$(a) \quad db = dl \left( 2 \cdot \sigma \cdot \sin \alpha + k \cdot \frac{q}{V} \cdot b_0 \right).$$

Bei dem von mir bei Aufnahme der mitgeteilten Photogramme benutzten Apparate war speziell:

Das spezifische Gewicht der Libellenflüssigkeit (Toluol)  $\sigma = 0,886$ , der Knickungswinkel  $2\alpha$  der Libelle gleich  $0,145$ , der Querschnitt des Libellenrohres  $q = 0,093 \text{ qcm}$ , das abgesperrte Luftvolumen  $V = 166,2 \text{ ccm}$ ,  $b_0$  der mittlere Barometerstand ( $1033 \text{ g/cm}^2$ );  $k$  bedeutet das Verhältniß der spezifischen Wärmen der Luft gleich  $1,41$ .

Die Formel gilt unter der Voraussetzung, daß die Zustandsänderungen im Ballon als adiabatische aufzufassen sind, wie dies für die hier untersuchten *kurzdauernden* Druckschwankungen jedenfalls zutrifft (für isotherme Zustandsänderungen wäre in der Formel  $k$  durch den Faktor  $1$  zu ersetzen).

Beträgt die optische Vergrößerung durch die vor  $a$  angebrachte Linse  $\omega$ , so ergibt sich als Beziehung zwischen Luftdruckänderung und Verschiebung  $dL$  des Kuppenbildes (in  $\text{cm}$ )

$$(b) \quad db = \frac{dL}{\omega} \left( 2 \sigma \sin \alpha + k \frac{q}{V} b \right).$$

Für den benutzten Apparat,  $\omega = 9,2$ , wird also speziell

$$db = 0,94 dl = 0,102 dL.$$

Eine Verschiebung  $dL$  des Kuppenbildes um  $1 \text{ cm}$  wird also veranlaßt durch eine Druckänderung  $db$  von  $0,102 \text{ g/cm}^2$ , d. h. eine Luftdruckzunahme um  $1 \text{ mm Hg}$  gibt eine Kuppenverschiebung um  $133 \text{ mm}$ , d. h. bei der angenommenen optischen Vergrößerung ( $9,2$ ) beträgt also die Gesamtvergrößerung der auf Hg-Säule bezogenen Druckänderung  $133$ .

Bei scharfer Kuppenabbildung läßt sich deren jeweiliger Stand bis auf  $\frac{1}{5} \text{ mm}$  in den Photogrammen ablesen. Diesem entspricht bei einer Gesamtvergrößerung von  $133$  eine Druckänderung von ca.  $\frac{1}{670} \text{ mm Hg}$ , d. h. von rund  $\frac{1}{500\,000} \text{ Atm.}$

Die Spaltbreite hat offenbar bei dem Abbildungsverfahren einen Einfluß auf die Schärfe des Bildes. Druckschwankungen von kürzerer Dauer als diejenige Zeit, innerhalb deren sich der Spalt um seine Breite verschiebt, können nicht mehr unterschieden werden. Diese Zeit kann also gewissermaßen als Maßstab für das *zeitliche* Auflösungsvermögen der Vorrichtung für kurze Druckschwankungen dienen. Der benutzte Apparat besaß einen Spalt von nur  $\frac{1}{120}$  cm Breite<sup>1)</sup>, die an ihm innerhalb 1 Stunde vorbeigezogene Streifenlänge je nach Wahl des Uhrwerkes 10,5 oder 31,5 cm; das Auflösungsvermögen war also 1 bez. 3 Sek.; Druckschwankungen von längerer Dauer können demnach als solche erkannt werden.

*Beleuchtung:* Für die gewählte Vergrößerung gab bei 1 Sek. Auflösungsvermögen und Anwendung von empfindlichem Bromsilbergelatinepapier die Beleuchtung mittels Auerbrenner noch genügende Schwärzung<sup>2)</sup>, ebenso eine 100-Kerzen elektrische Glühlampe. Bei 3 Sek. Auflösungsvermögen (Belichtungsdauer) genügte soeben schon eine 16-Kerzenlampe oder eine helle Petroleumlampe. Tageslicht schwärzte *im Winter* in der Regel das Papier nur ungenügend.

Willkürliche *Zeitmarken* in den Photogrammen (vgl. solche in Phot. 3, 6, 8 und 9) erhält man einfach durch kurzdauerndes Abstellen der Beleuchtung.

#### Zur Theorie des Apparates.

Der angegebene Apparat beruht auf der Anwendung der Drucklibelle zur Messung kleinster Druckdifferenzen. Das in vorliegender Arbeit voranstehend angegebene Variometer ist nach Bau und Abmessung der Größenverhältnisse der speziellen Aufgabe, kleinste, *kurzdauernde* Schwankungen des atmosphärischen Luftdruckes in *tunlichst großem Maßstabe* photographisch zu registrieren, angepaßt.

1) Ein breiterer Spalt wurde nur selten angewandt.

2) Die mitgeteilten Photogramme sind ausnahmslos mit Auerlicht aufgenommen. Die in den Photogrammen sichtbaren Ungleichmäßigkeiten in der Schwärzung sind zum Teil durch inkonstantes Brennen des Auerlichtes, zum Teil durch nicht ganz gleichmäßigen Gang des einfachen Uhrwerkes veranlaßt; die horizontale Streifung rührt von Staubteilchen im Spalte her.

Es sei zunächst von dem Einflusse der Kapillaren  $C$  abgesehen (der Hahn  $h$  geschlossen gedacht).

Die Anwendbarkeit der Drucklibelle zu *exakten* Messungen ist gebunden an eine regelmäßige, sich gleichbleibende Ausbildung der Flüssigkeitskuppen. Diese ist erfahrungsgemäß<sup>1)</sup> in weitgehendem Maße gewährleistet für die Kuppenbildung von Xylol oder Toluol in ausgesucht zylindrischen Glasrohren von 0,1—0,2 qcm lichtem Querschnitt und für *kleine Kuppenverschiebungen* (unter 1 cm). Unter dieser Voraussetzung kann von einer *strengen* Gültigkeit der oben unter (a) und (b) angegebenen Gleichungen die Rede sein. Es ist also die Größe  $q$  in den Formeln festgelegt, und ferner die Bedingung gegeben, daß  $dL$  möglichst klein, der Faktor

$$2 \sigma \sin \alpha + k \cdot \frac{q}{V} b_0$$

also tunlichst groß, d. h. daß die gewünschte starke Vergrößerung (*kleiner* Faktor von  $dL$  in Gleichung (b)) möglichst auf optischem Wege (großes  $\omega$ ) erreicht werden muß.<sup>2)</sup>

Ferner ist zur Wahl des Knickungswinkels  $2\alpha$  und der Ballongröße  $V$ , welche beide zusammen den Wert des in Rede stehenden Faktors bedingen, folgendes zu bemerken. Wenn auch für *kurzdauernde* Druckschwankungen das Verhalten der Luft im Ballon als adiabatisch anzusehen ist, so wird man doch, wenn leicht zu erreichen, das zweite Glied, welches allein den unsicheren Faktor  $1,41 > k > 1$  enthält, klein gegen das erste Glied machen. Würde man z. B.  $\alpha = 45^\circ$  und  $V = 2000 \text{ ccm}$  wählen, so würde ( $q = 0,093$  und  $\sigma = 0,886$  vorausgesetzt) der Faktor den Wert  $1,25 + 0,05 \cdot k$  annehmen, der Einfluß, ob die Zustandsänderung adiabatisch oder isotherm erfolgt, auf

1) Vgl. die eingehenden Untersuchungen über die Drucklibelle als Meßinstrument von A. Toepler, Wied. Ann. 56. p. 609. 1895.

2) Die Anwendung einer *mehr als* zehnfachen optischen Vergrößerung würde die unbequeme Beleuchtung mit sehr hellen Lichtquellen (Bogenlicht) erfordert haben.

Die größte bei den unruhigen Wetterlagen des letzten Winters beobachtete kurzdauernde Druckschwankung betrug ca. 0,3 mm Hg-Druck; für den benutzten Apparat (Gesamtvergrößerung 133, optische Vergrößerung 9,2) veranlaßt diese extreme Druckänderung doch nur eine wahre Kuppenverschiebung von 4,8 mm.

weniger als 2 Proz. des Ausschlages herabgedrückt sein.<sup>1)</sup> Hinreichende Konstanthaltung der Temperatur im Ballon vorausgesetzt, würde der Apparat dann kurzdauernde und auch langdauernde atmosphärische Druckänderungen sehr genau messen lassen.

Bei der zu scharfer Registrierung der kleinsten Druckschwankungen bei ruhigem Wetter erwünschten starken Vergrößerung (Vergr. mindestens 100, d. h. für 1 mm Hg mindestens 10 cm Kuppenbildverschiebung) wäre die exakte Mitregistrierung der (ja manchmal viele mm Hg an einem Tage betragenden) langsamen Luftdruckänderungen auf dem aus praktischen Gründen doch höchstens 10—15 cm breiten Registrierstreifen nur möglich, wenn in Zeitintervallen von höchstens 1 Stunde — eventuell durch automatische Auslösung vom Uhrwerke aus — der Hahn *h* geöffnet, und dadurch die Flüssigkeitskuppe je wieder in die Nullstellung (Mitte des Streifens) zurückgebracht würde.

Bei Untersuchungen, welche nur möglichst genaue Registrierung speziell und ausschließlich von *kurzdauernden* Druckschwankungen erfordern, wie die Untersuchung lokaler Störungen, von Windwogen relativ kurzer Dauer oder vor allem der *barometrischen Unruhe*, ist die *Anbringung der Kapillaren C* zur Erzielung eines konstanten mittleren Kuppenstandes jedenfalls der eben angedeuteten komplizierten Vorrichtung vorzuziehen.

*Einfluß der Kapillaren C.* Bei dem äußeren Drucke  $b_0$  stehe der Flüssigkeitsfaden in seiner Nulllage (gleich hohe Kuppenlage), d. h. im Ballon herrsche gleichfalls der Druck  $b_0$  (in g/cm<sup>2</sup>).

Es ändere sich nun außen mit der Zeit  $t$  der Druck und zwar sei

$$(1) \quad b = b_0 + f(t).$$

---

1) Für den benutzten Apparat war (vgl. ersten Abschn.) der Faktor  $0,128 + 0,58 \cdot k$ , d. h. das zweite Glied desselben überwiegend. Für die bei meinen Registrierungen allein in Frage kommenden *kurzdauernden* und dabei kleinen Luftdruckschwankungen ist, wie schon eingangs angenommen,  $k$  sicher gleich 1,41 zu setzen; es konnten daher doch  $\alpha$  und  $V$  relativ klein gewählt werden, um die Unbequemlichkeit der mit großem  $\alpha$  verbundenen starken Schiefstellung des Uhrwerkes, sowie vor allem diejenige der Konstanthaltung der Temperatur für großen Ballon  $V$  zu umgehen.



Dann ist, wenn  $b_1$  den gleichfalls sich ändernden Druck im Ballon,  $dl$  wie in Gleichung (a) und (b) die zugehörige Kuppenverschiebung aus der Nulllage bezeichnet, auf der einen Seite des Ballons (links in Fig. 1) die Gleichgewichtsbedingung

$$(2) \quad \left\{ \begin{array}{l} b = b_1 + p_1, \\ \text{erfüllt, wo} \\ p_1 = 2 \sigma \sin \alpha \cdot dl \end{array} \right.$$

ist<sup>1)</sup>, während rechts die Druckdifferenz  $b - b_1$  Luft durch die Kapillare in den Ballon treibt.

Die Luft bewegt sich in der Kapillaren unter starker Reibung, die in der Zeit  $dt$  durchfließende Luftmenge  $dm$  ist also proportional der treibenden Kraft ( $b - b_1 = p_1$ ), und demnach gegeben durch

$$(3) \quad dm = u \cdot p_1 \cdot dt,$$

wo  $u$  eine *Konstante* bedeutet (abhängig von Länge und Querschnitt der Kapillaren).

Die während der Zeit Null bis  $t$  eingedrungene Luftmenge  $m$  zusammen mit der anfänglich im Ballon vorhandenen Menge  $M$  gibt den Innendruck  $b_1$ . Diese Menge  $M + m$  füllt aber bei einem angenommenen Kuppenstande  $dl$  zur Zeit  $t$  nicht  $V$ , sondern  $V - q \cdot dl$ , also ist

$$b_1 = b_0 \frac{M + m}{M} \cdot \left( 1 + k \frac{q}{V} dl \right),$$

worin  $k = 1,41$  für *adiabatische* oder  $k = 1,0$  für *isotherme* Kompression zu setzen ist.

Da  $M$  gleich  $V \cdot b_0 \cdot \lambda / 1033$  ist ( $\lambda$  spezifisches Gewicht der Luft bei 1033 g/cm<sup>2</sup> Druck und Beobachtungstemperatur), so ergibt sich unter Benutzung von (1) und (2) und Vernachlässigung eines Gliedes höherer Ordnung

$$p_1 \left( 1 + k \frac{q \cdot b_0}{V \cdot 2 \sigma \sin \alpha} \right) + \frac{1033}{V \cdot \lambda} \cdot m - f(t) = 0.$$

1) Da  $\alpha$  klein ist, so kann für  $\sin \alpha$  auch  $\alpha$  selbst gesetzt werden; ferner sei bemerkt, daß in den Formeln diejenige Verschiebungsrichtung des Flüssigkeitsfadens *positiv* gerechnet ist, welche durch eine Zunahme des äußeren Druckes veranlaßt wird, in Fig. 1 also eine Verschiebung von links nach rechts.



Differenziert man nach der Zeit und ersetzt  $dm/dt$  durch  $p_1 \cdot u$  nach Gleichung (3), so erhält man

$$(4) \quad \frac{dp_1}{dt} \left( 1 + k \frac{q}{V} \frac{b_0}{2\sigma\alpha} \right) + p_1 \frac{1033 \cdot u}{V \cdot \lambda} - \frac{d}{dt} f(t) = 0.$$

Die allgemeine Lösung dieser Gleichung ist, wenn man zur Abkürzung setzt

$$\gamma = \frac{1033 \cdot u \cdot 2\sigma\alpha}{\lambda (V \cdot 2\sigma\alpha + k \cdot q \cdot b_0)},$$

$$(5) \quad (2\sigma\alpha \cdot dl =) p_1 = e^{-\gamma t} \left( c + \frac{V \cdot 2\sigma\alpha}{V \cdot 2\sigma\alpha + k \cdot q \cdot b_0} \int_0^t \frac{df(t)}{dt} \cdot e^{\gamma t} \cdot dt \right)$$

Hierdurch ist der Zusammenhang zwischen der Kuppenverschiebung  $dl$  und der Barometerstandsänderung  $f(t)$  gegeben. Für geschlossene Kapillare, d. h. für  $\gamma=0$  geht Gleichung (5) in die einfache früher und eingangs angegebene (a) über, nur daß in letzterer die Luftdruckänderung nicht mit  $f(t)$ , sondern mit  $db$  bezeichnet wurde.

Unter den unendlich vielen möglichen Arten des Verlaufes des Luftdruckes, d. h. von  $f(t)$ , interessieren uns hier besonders zwei spezielle Fälle.

1. *Bestimmung von  $\gamma$ .* Angenommen der Luftdruck sei konstant  $\geq b_0$ , dann wird  $p_1 = c \cdot e^{-\gamma t}$ , d. h. ein zur Zeit  $t=0$  vorhandener Ausschlag  $dl=c$  verliert sich allmählich. Es sei zur Zeit  $t_1$  der Ausschlag  $dl_1$  und zur Zeit  $t_2$  der Ausschlag  $dl_2$  beobachtet, dann ist

$$\frac{dl_1}{dl_2} = e^{-\gamma(t_1 - t_2)},$$

also  $\gamma$  bestimmbar.<sup>1)</sup>

Die Registrierung des Abklingens einer *absichtlich* bei möglichst ruhigem Wetter, z. B. durch Einblasen von Luft durch die Kapillare erzeugten Überdruckes läßt also  $\gamma$  leicht feststellen.

1) Bemerkte sei, daß mit der Messung von  $\gamma$  auch ein Mittel gegeben ist, um  $u$  und somit auch Reibungskoeffizienten von Gasen zu bestimmen.

## 2. Periodische Luftdruckänderungen. Es sei speziell

$$f(t) = A \cdot \sin 2\pi \frac{t}{T};$$

dann wird

$$p_1 = c \cdot e^{-\gamma t} + \frac{2\sigma V \sin \alpha}{2\sigma V \sin \alpha + k q b_0} \cdot A \cdot \frac{2\pi}{\sqrt{\gamma^2 T^2 + 4\pi^2}} \cdot \sin \left\{ \frac{2\pi}{T} \cdot t + \arcsin \frac{\gamma T}{\sqrt{\gamma^2 T^2 + 4\pi^2}} \right\}.$$

Auf einem durch den Anfangszustand ( $t = 0$ ) gegebenen Verlauf  $c \cdot e^{-\gamma t}$  superponiert sich eine Sinusschwankung von un-  
geänderter (im Vergleich zum Falle mit geschlossener Kapillaren)  
Dauer, aber mit Phasenverschiebung und reduzierter Amplitude.<sup>1)</sup>

Jede beliebige periodische Druckänderung ist darstellbar durch eine Summe harmonischer Schwankungen mit abnehmen-  
der Periodendauer. Bei Anwendung einer Kapillaren werden  
die Amplituden der Summenglieder mit längerer Periode  
stärker geschwächt, als die der kurzen; in akustischer Aus-  
drucksweise gesprochen ändert die Kapillare also die Klang-

1) Nachstehende Tabelle gibt zu leichter Orientierung die Werte  
des Reduktionsfaktors

$$\frac{2\pi}{\sqrt{\gamma^2 T^2 + 4\pi^2}}, \text{ d. h. von } \cos \arctg \frac{\gamma \cdot T}{2\pi}$$

für verschiedene Werte von  $\gamma$  und  $T$ .

Schwingungs- dauer $T$ in Minuten	Amplitudenreduktion für die Werte der Kapillar- konstanten $\gamma$						
	0,2	0,5	1,0	2,0	5,0	10,0	20,0
0,2	1,000	1,000	0,999	0,998	0,988	0,953	0,844
0,5	1,000	0,999	0,997	0,988	0,929	0,783	0,532
1,0	0,999	0,997	0,988	0,953	0,783	0,532	0,300
2,0	0,998	0,988	0,953	0,844	0,532	0,300	0,155
5,0	0,988	0,929	0,783	0,532	0,244	0,123	0,062
10,0	0,953	0,783	0,532	0,300	0,125	0,063	0,031
30,0	0,723	0,386	0,205	0,104	0,042	0,021	0,011
60,0	0,464	0,205	0,104	0,052	0,021	0,011	0,005

Eine Schwingung des äußeren Luftdruckes, z. B. von 60 Min. Dauer  
und einer Amplitude gleich 1, würde also aufgenommen mit einem Apparate,  
für den  $\gamma = 0,5$  ist, eine Sinuskurve von gleicher Periodendauer und der  
Amplitude 0,205 ergeben.

farbe, hohe Schwingungen erscheinen weniger geschwächt als tiefe.

Man wird natürlich zwecks möglichst unverzerrter Registrierung den Wert von  $\gamma$  tunlichst *klein* wählen. Beobachtungen mit Apparaten von oben angegebenen Größenverhältnissen haben unter Anwendung sehr verschieden weiter Kapillaren gezeigt, daß auch bei den unruhigsten Druckverhältnissen des verflossenen Winters das Kuppenbild nicht über den 10 cm breiten Registrierstreifen hinaus trat, wenn  $\gamma > 0,5$  gewählt wurde.

## II.

### Beobachtungen.

Nachstehende Tabelle gibt zunächst für die im nachfolgenden mitgeteilten Photogramme einige vielleicht erwünschte Daten:

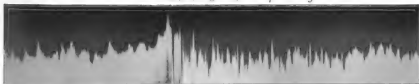
Nummer des Photogrammes	Datum der Registrierung	Laufgeschw. in cm/Stunde	Spaltbreite in mm	Konstante $\gamma$
1	17. IX. 1902	31,5	0,36	1,70
2	13. XI. 1902	10,5	0,08	0,604
3	17. XI. 1902	31,5	0,36	1,70
4	13. XII. 1902	31,5	0,08	0,604
5	27. XII. 1902	31,5	0,08	0,604
6	20. I. 1903	10,5	0,08	ca. 0,5
7 a u. 7 b	28. I. 1903	10,5	0,08	„ 0,5
8	16. II. 1903	10,5	0,08	„ 0,5
9 u. 10	21. II. 1903	10,5	0,08	1,68

In allen Photogrammen ist die Zeitordinate horizontal gelegt; die Photogrammteile links gehen denen rechts zeitlich voraus. Eine Vertikalverschiebung um 1 cm entspricht einer Luftdruckänderung von 1:13,3 mm Hg; *zunehmendem* Drucke entspricht eine Ordinaten*senkung* (die Photogramme stehen also bezüglich des Druckes sozusagen verkehrt).

Phot. 11 a u. 11 b sind auf das *Zweifache* (linear) *vergrößerte* Teile von Phot. 7 a u. 7 b, Phot. 1 ist auf 7:12 verkleinert.

*Lokale Störungen.* Stellt man einen Apparat der beschriebenen Art geschützt gegen direkte Stoß- und Saugwirkung

a b c d e f g



28' p.

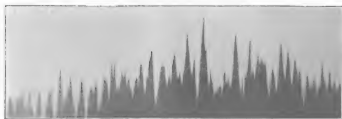
a b c d e f g

Phot. 1. 17. IX. 1902.



12<sup>h</sup> 42' p.

Phot. 4. 13. XII. 1902.



6<sup>h</sup> 2' p.

(a)

Phot. 5. 27. XII. 1902.



12<sup>h</sup> 39' p.

Phot. 6. 20. I. 1903.

des Windes auf<sup>1)</sup>, so gibt das erhaltene Photogramm den Verlauf der Luftdruckschwankungen am Aufstellungsort; Störungen lokalen Ursprunges in weiterem Sinne werden aber natürlich mitregistriert.



Phot. 8. 16. II. 1903.

Jedes Öffnen und Schließen von Türen im ganzen Gebäude ist bei sehr ruhigem Luftdrucke in den Diagrammen markiert. Die so entstehenden Marken sind durch ihre charakteristische Gestalt und kurze Dauer in den Photogrammen leicht zu erkennen und



Phot. 11a.



Phot. 11b.

sind (abgesehen von den durch Türöffnen des *Beobachtungszimmers* selbst veranlaßten) so klein (bis höchstens 2 mm ent-

1) Für das benutzte Beobachtungszimmer (an der Südfront des Hauptgebäudes der Techn. Hochschule) ließ sich ein wesentlicher Unterschied der Aufnahmen bei offenem oder geschlossenem Fenster *nicht* konstatieren; die Ventilations- und Heizschächte, sowie die Undichtigkeiten von zwei Fenstern und drei Türen vermittelten hinreichend rasch und ausgiebig den Druckausgleich nach außen.

Eine Aufstellung des Apparates völlig frei von lokalen Störungen dürfte nicht möglich sein. Der zweckmäßigste Aufstellungsort dürfte der Innenraum hoher, wenn möglich runder Türme sein, wo die lokalen Störungen durch die Turmwände für alle Windrichtungen die gleichen und direkte Stoßwirkungen auf den Apparat leicht auszuschließen sind.

sprechend  $\frac{1}{70}$  mm Hg), daß sie außer bei ganz ruhigem Barometerstande nicht stören.

Schwerer ihrem Wesen nach zu beurteilen sind die lokalen Störungen im weitesten Sinne, herrührend von Stoß- und Saugerscheinungen an den Außenwänden oder dem Dache des Beobachtungsgebäudes etc.; hierüber können nur gleichzeitige Druckaufnahmen an verschiedenen Stellen des Gebäudes Aufschluß geben. Einige Versuche derart haben z. B. gezeigt, daß die in meinen Photogrammen bei windigem Wetter häufig auftretenden, dem allgemeinen Diagrammverlauf superponierten auffallenden Druckschwankungen mit immer nahe der gleichen kurzen Periodendauer von nur 8—10 Sek. und oft großer Intensität aller Wahrscheinlichkeit nach hervorgerufen werden von stehenden Schwankungen der Luft in dem an das Gebäude der Technischen Hochschule nach Süden angrenzenden, zwischen hohen Häusermauern eingeschlossenen großen parallelepipedischen Raume des Hochschulgartens (ähnlich den sogenannten „Seiches“ in Landseen). Phot. 11a und 11b zeigen vergrößerte Stücke der nur 10 Min. nacheinander erhaltenen Photogramme 7a und 7b; erst in letzterem (7b bez. 11b) sind, durch nicht festgestellte Ursache ausgelöst, „Seiches“ eingetreten (sichtbar in den dichtgedrängten schmalen Spitzen). Den Stoß- und Saugwirkungen am Gebäude verdanken offenbar die nur bei Windwetter auftretenden auffallenden nadelförmigen „Spitzen“, wie sie in Phot. 2 in großer Zahl zu sehen sind, ihren Ursprung.

*Luftdruckwogen.* Von besonderem Interesse sind unter der Fülle mannigfachster Formen, welche bei länger fortgesetzter Registrierung in den Diagrammen auftreten, diejenigen von *periodischem* Charakter.

Wind- oder Luftwogen werden wie bekannt *sichtbar*, wenn ihre Lage derart ist, daß in den Wogenbergen Kondensation eintritt. Schöne regelmäßige Systeme nahe äquidistanter Wolkenstreifen in höheren Luftschichten sind ja sehr oft zu sehen, besonders *vor* Wetterumschlag nach längerem schönen Wetter.

Als *Luftdruckschwankungen* können Luftwogen nur wahrnehmbar werden, wenn letztere (relativ zu ihrer Wellenlänge)



nahe dem Erdboden verlaufen<sup>1)</sup>; Variometerbeobachtungen *ergänzen* die Wolkenstudien.

Klare, durch Windstoß, Seiches etc. nicht getrübte Wogenbarogramme erhält man in der Tat, wenn auch selten<sup>2)</sup>, bei Windstille kurz vor Einsetzen windigen Wetters, oder auch kurz nach solchem.

Die registrierten Druckschwankungen geben immer die Superposition der Druckwirkungen von Vorgängen in den verschiedensten Höhen. Auf periodische Druckänderungen erscheinen oft unregelmäßige Störungen aufgelagert; hierbei können dann z. B. einzelne Wogen eines Wellenzuges sogar ganz zerstört erscheinen (vgl. die mit © markierte Stelle in Phot. 5), oder es tauchen nach kürzeren oder längeren Intervallen unregelmäßigster Druckschwankungen manchmal plötzlich wieder einzelne Wellen auf, welche offenbar noch zu dem nur scheinbar erloschenen Wellenzuge gehören (der mit  $\alpha\beta\gamma\dots\lambda$  bezeichnete Wellenzug in Phot. 3 erscheint derart mehrfach gestört).

Bei starkem Winde treten (außer den oben behandelten Seiches) meist, wie schon erwähnt, exzessiv hoch- oder tiefgehende, sehr *kurzdauernde*, daher in den Photogrammen „*nadelförmig*“ erscheinende Druckschwankungen (*Spitzen*) auf (vgl. Phot. 2). Den Grund zu ihrer Bildung habe ich noch nicht mit Sicherheit feststellen können<sup>3)</sup>; vermutlich ist es die lokale Stoß- oder Saugwirkung an der Gebäudefront, in welcher das Beobachtungszimmer liegt. Jedenfalls aber *markieren* diese Druckspitzen das Vorüberziehen *ganz bestimmter* Luftdruckverhältnisse über den Beobachtungsort, und können für sie

1) Vgl. H. v. Helmholtz, Sitzungsber. d. k. Akad. d. Wissensch. zu Berlin p. 772. 25. Juli 1889.

2) Insgesamt habe ich bisher während mehr als 350 Stunden die Luftdruckänderungen photographisch registriert. Druckwogen ähnlich denen in Phot. 8 und 4 treten *recht häufig* auf. Abgesehen hiervon und von den gleichfalls öfters zu beobachtenden Druckschwankungen nach Art von Phot. 6 umfassen die mitgeteilten Photogramme alle überhaupt innerhalb genannter Zeit registrierten Druckänderungen von ausgesprochen periodischem Charakter.

3) Dies wird erst möglich sein nach Fertigstellung einer Anzahl in Arbeit befindlicher, möglichst gleich gebauter Registrierinstrumente.

als *äußerst scharfe* Indikatoren angesehen werden. Treten die Spitzen in regelmäßigen Zeitabständen auf (wie in Phot. 2), so indizieren sie das Vorhandensein von Luftwogen.

Neigt die Wetterlage einmal zu Luftwogenbildung, so zeigen die Registrierungen, daß manchmal stundenlang Druckwogen *gruppenweise* auftreten. Haben die Gruppen nahe gleiche Periodendauer, so findet vermutlich die Wogenbildung immer erneut an der gleichen atmosphärischen Trennungsfläche statt.

Gruppen von Druckwogen sind zu bemerken in:

Phot. 2, Gruppe *a* bis *h*, Periodendauer 2,76 Min.

„	<i>a' b'</i>	„	2,76	„
„	<i>A' B'</i>	„	4,08	„
„	<i>A</i> bis <i>D</i> ,	„	4,08	„
„	$\alpha$ „ $\varepsilon$ ,	„	2,60	„

Phot. 3, „  $\alpha$  „  $\lambda$ , „ 0,95 „

„  $\alpha$  „  $f$ , „ 1,9 „

Phot. 9, „ *A*, „ 1,56 „

Phot. 10 (vom gleichen Tage wie Phot. 9),

Gruppe <i>A</i> ,	Periodendauer	1,58	„
„ <i>a</i> bis <i>d</i> ,	„	4,57	„
„ $\alpha$ „ $\delta$ ,	„	4,4	„
„ 1 „ 11,	„	4,3	„

Über die Möglichkeit, daß *derselbe* Wind doch Wellen nicht ganz gleicher Länge an der gleichen Trennungsfläche erzeugt, vgl. man H. v. Helmholtz, l. c. p. 777.

Es würde der Begriff von Luftwogung zu eng gefaßt sein, wenn man ihn allein auf das Auftreten einer Reihe *äquidistanter* möglichst *gleicher* Zustände beschränken wollte. Wegen ihres häufigeren Auftretens seien hier noch zwei Arten von nicht streng periodischen Druckänderungen wenigstens erwähnt, welche noch Luftwogung im weiteren Sinne repräsentieren. Phot. 6 zeigt die ersten dieser charakteristischen Typen — sozusagen eine *einzig*e Druckwoge. Einen weiteren öfters wiederkehrenden Wogungstypus zeigt Phot. 1: das Auftreten einer Reihe charakteristischer Druckzustände (hier Spitzen) mit regelmäßig *ab-* oder, wie in Phot. 1, *zunehmender* Zeitdifferenz (Periodendauer) und Intensität.

*Barometrische Unruhe.* Außer zur Untersuchung spezieller Drucktypen haben zusammenhängend fortlaufende Registrierungen kleinster Luftdruckschwankungen auch an und für sich Interesse. Die Differenz des größten und kleinsten innerhalb einer bestimmten Zeit (z. B. einer Minute) auftretenden Druckes kann man als „*barometrische Unruhe*“ bezeichnen. Sie bildet ein meines Wissens nach noch nicht untersuchtes meteorologisches Element, dessen Mittelwert, von Ort zu Ort verschieden und mit der Jahreszeit wechselnd, sicher neben dem mittleren Barometerstande der Feststellung und Untersuchung wert erscheint.

Zur Untersuchung der barometrischen Unruhe dürfte das Variometer (bei angenäherter Innehaltung der eingangs angegebenen Dimensionen) besonders geeignet sein. Hierzu trägt wesentlich folgende Tatsache, welche auch von allgemeinem Interesse ist, bei. Die in der Natur auftretenden extremen und mittleren Werte der Amplituden langdauernder Barometerschwankungen nehmen viel langsamer zu als die Schwingungszeiten; während z. B. eine Änderung des (mittleren) Barometerstandes bei allgemeinen Druckstörungen 1 mm in der Stunde, also  $\frac{1}{60}$  mm/Min. selten erreicht, sind solche von  $\frac{1}{5}$  mm/Min. für *kurze* Druckschwankungen nicht selten. Die *langsamen* — bei Anwendung von Kapillaren nicht mit registrierten — *Druckänderungen tragen also erfahrungsgemäß zum wahren Werte der Unruhe nur wenig bei.* Dementsprechend erhält man bei gleichzeitiger Registrierung am gleichen Orte mit Apparaten von recht *verschieden* weiten Kapillaren wesentlich verschiedene Werte für die Unruhe nur dann, wenn die Unruhowerte selbst sehr klein sind.<sup>1)</sup>

Allgemeine Schlüsse von meteorologischem Interesse, welche bei fortgesetzten Registrierungen in verschiedenster Hinsicht zu erwarten sind, lassen sich aus meinen Aufnahmen, welche — in bisher nur *sehr* lückenhafter Weise — erst wenige Monate umfassen (seit September 1902), noch nicht entnehmen.

1) Zum Nachweise diene nachfolgende Tabelle; zwei Apparate standen im gleichen Zimmer etwa 1 m voneinander entfernt, ihre  $\alpha$ ,  $\sigma$  und  $q$  waren bis auf Abweichungen von weniger als 1 Proz. die gleichen,  $v_1 = 166,2$  ccm und  $v_2 = 172$  ccm; dagegen war  $\gamma_1 = 0,60$ , während  $\gamma_2 = 1,70$  betrug. Angegeben sind die größten, kleinsten und mittleren Unruhowerte (in mm/Min. Bildverschiebung, 18,3 mm/Min. entsprechen

Einige Beobachtungsergebnisse spezieller Art seien jedoch immerhin schon nachstehend mitgeteilt.

Die Größe der Unruhe läuft nur in allerrohester Annäherung parallel mit der Windstärke.

Der *mittlere* Wert der Unruhe war im Winter *wesentlich* höher als vorigen Herbst und dieses Frühjahr.<sup>1)</sup> Der seit vorigem Herbst registrierte Extremwert der Unruhe betrug ca. 0,3 mm Hg in der Minute.<sup>2)</sup>

Der Wert der Unruhe ist oft stundenlang nahe der gleiche oder ändert sich nur sehr langsam. Rasche Schwankungen der

0,1 mm Hg-Druckänderung) für diejenige halbe Stunde, in deren Mitte die in Kolumne 2 vermerkte Zeit lag.

Datum	Zeit	Apparat mit $\gamma=0,6$ Unruhwerte			Apparat mit $\gamma=1,7$ Unruhwerte		
		Max.	Min.	Mittlere	Max.	Min.	Mittlere
14. XII. 1902	12 <sup>b</sup> 30 <sup>m</sup> Nachm.	6	2	2,88	6	2	2,96
	1 — „	7	2	3,68	6	1	3,00
15. XII. 1902	4 — „	8	3	5,10	9	3	5,22
	4 30 „	8	3	5,04	7	3	4,80
	5 45 „	9	3	5,64	10	4	5,72
	6 15 „	10	4	6,45	9	4	5,85
17. XII. 1902	12 15 „	31	12	19,20	32	12	18,44
	3 45 „	34	15	22,3	34	12	22,55
	4 15 „	—	—	—	35	6	18,08
	4 45 „	—	—	—	26	11	17,00
18. XII. 1902	11 45 Vorm.	5	1	2,32	4	1	1,88
19. XII. 1902	12 15 Nachm.	21	4	12,00	17	4	11,60
	12 45 „	18	4	7,76	14	4	7,08

Man sieht, die den beiden Apparaten entnommenen Unruhwerte stimmen befriedigend überein. Immerhin wird man aber bei den Aufnahmen möglichst enge Kapillaren vorziehen und mit  $\gamma$  jedenfalls nicht über zwei hinausgehen.

1) Dies dürfte eine allgemein gültige Regel sein; vgl. auch hierzu J. Hann, Meteorologie p. 202.

2) Größere Werte kommen sicher in seltenen Fällen auch im Binnenlande (Dresden) vor; so wurde am 16. X. 1895 bis 0,7 mm/Min. beobachtet; vgl. M. Toepler, l. c. Diagramm Nr. 8.

Unruhe sind für gewisse Wetterlagen, z. B. für Wirbelgewitter, charakteristisch. Interessantes ergibt auch die Verfolgung des Verlaufes der Unruhe beim Vorüberziehen eines Gewitters: meist ist derselbe ein auffallend gesetzmäßiger. In Fig. 2 zeigt die gestrichelte Kurve diesen Verlauf für das Gewitter vom 17. IX. 1902 (aus Phot. 1 entnommen), die strichpunktiierte

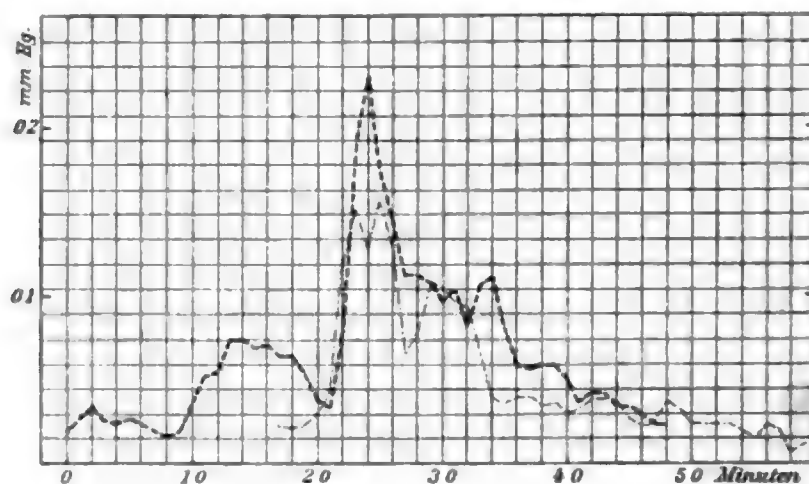


Fig. 2.

Kurve die Unruhawerte für ein Gewitter vom 20. VIII. 1902 4<sup>h</sup> Nachm.; nach plötzlichem Emporschnellen von geringen Werten sinkt die *Unruhe* in beiden Fällen dann allmählich in recht regelmäßiger Weise (nahezu nach dem Formeltypus  $c \cdot e^{-at}$ ) wieder auf den Ursprungswert zurück. Ganz ähnlichen Verlauf zeigen auch Unruhdiagramme für einige Gewitter dieses Frühjahres.

Dresden, Physik. Inst. d. Techn. Hochsch., 17. Juli 1903.

(Eingegangen 18. Juli 1903.)

## 6. *Untersuchung und objektive Darstellung der Ladungs- und Entladungsströme von Kondensatoren; von Franz Wittmann.*

Mit Bezugnahme auf meine frühere Mitteilung<sup>1)</sup> wünsche ich in der gegenwärtigen Arbeit darzustellen, daß die oszillographische Methode auch zur Untersuchung und objektiven Darstellung des zeitlichen Verlaufes der Ladungs- und Entladungsströme von Kondensatoren geeignet ist.

Bei entsprechender Versuchsanordnung können wir die Kurvenbilder beider Ströme gleichzeitig und beliebig lange Zeit unbeweglich vor Augen führen, und verfügen hierdurch über eine Methode, welche sich zum Studium der in Wirklichkeit rasch verlaufenden, im Bilde jedoch beliebig lange aufrecht erhaltbaren Erscheinungen recht brauchbar erweisen wird.

Das Schaltungsschema zeigt Fig. 1. Die Stromquelle  $B$  ladet während der kurzen Zeit, da die federnden Kontakte ( $II$ ) den schmalen Metallstreifen ( $M$ ) des rotierenden Kontaktzylinders ( $K$ ) berühren, den Kondensator ( $c$ ) und der Ladestrom durchfließt die Schleife des Oszillographen  $O$ , ferner eine Spirale von variabler Selbstinduktion ( $L$ ) und den veränderlichen Ohmschen Widerstand ( $R$ ), kurz diejenigen Elemente des Kondensatorkreises, deren Einfluß auf die Ladungs- und Entladungserscheinungen den Gegenstand der Untersuchung bildet. Wenn nachher der Metallstreifen mit den Entladekontakten  $III$  in Berührung kommt, entladet sich der Kondensator durch den Oszillographen und  $L, R$ .

Der um eine horizontale Achse rotierende Kontaktzylinder veranlaßt die Bewegung des Planspiegels ( $S$ ) um eine vertikale

1) F. Wittmann, Ann. d. Phys. 12. p. 373. 1903.



Achse. Wenn wir von einer Lichtquelle ( $Q$ ) — der Sonne oder einer Bogenlampe — ein Strahlenbündel auf das Spiegelchen des Oszillographen, und das reflektierte Licht auf den mittels des Kontaktzylinders bewegten Spiegel endlich als konvergentes Bündel auf einen Schirm werfen, erblicken wir nebeneinander die beiden Kurvenbilder, welche den zeitlichen Verlauf des Lade- und Entladungsstromes darstellen. Die Ordinaten der Kurven können leicht über 0,5 m groß erzeugt werden und sind die Bilder auch für das größte Auditorium gut sicht-

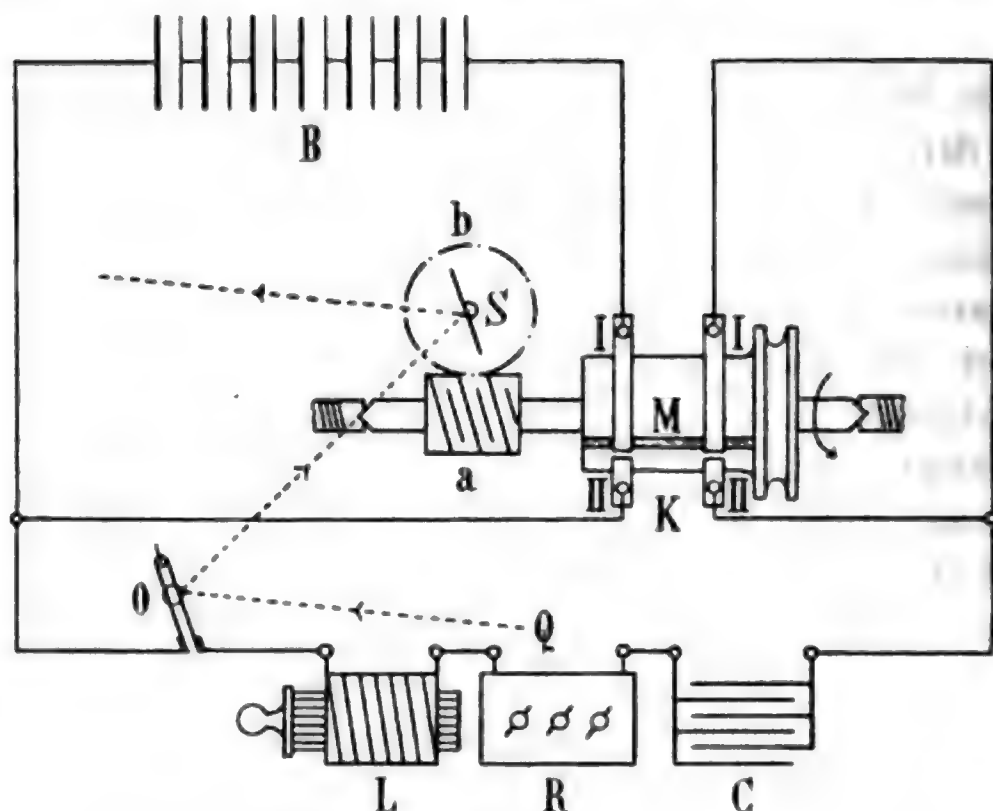


Fig. 1.

bar. Photographische Aufnahmen finden sich weiter unten reproduziert.

Als *Stromquelle* diente eine Akkumulatorenbatterie von 5—15 auf Spannung geschalteter Zellen.

Der im Techn.-physik. Kabinett des Polytechnikums gefertigte *Oszillograph* Nr. 3 hat die Schleifenlänge 20 mm; zur Dämpfung dient ein auf die Schleife isoliert aufgeklebtes Aluminiumrähmchen. Eigenschwingungsdauer des Apparates 0,0009 Sek. Die *variable Selbstinduktion* liefert eine 17 cm lange auf einen hohlen Holzzylinder gewickelte Spule; diese enthält in sechs Lagen 507 Windungen isolierten Kupferdrahtes von 1,5 mm. Die Spule ist mit einem aus weichen Eisendrähten

gebildeten, 30 cm langen Kern versehen, welcher in symmetrischer Lage zur Spule — bei einer bestimmten effektiven Stromstärke — die maximale Selbstinduktion liefert. Wenn wir den Eisenkern aus der Spule herausziehen, nimmt der Koeffizient der Selbstinduktion  $L$  ab. Es genügt, die verschiedenen Lagen des Eisenkernes zu markieren, um bei bestimmter effektiver Stromstärke die verschiedenen Werte von  $L$  reproduzieren zu können.

Die Werte von  $L$  habe ich nach der Joubertschen Methode mittels Wechselstromes von 104 Volt effekt. und 42 Perioden pro Sekunde mit idiostatisch geschaltetem Quadrantenelektrometer gemessen. Bei diesen Messungen von  $L$  diene als Ohmscher Widerstand von  $31,05 \Omega$  ein großer Drahtsiebrheostat von Siemens & Halske. Die Stromstärke zeigte ein Hitzdrahtampèremeter von Hartmann-Braun.

Folgende Tabelle gibt die Werte von  $L$ , wenn der Eisenkern von der Einstellung  $L$  Maximum um je 2 cm aus der Spule hinausgezogen wird. Die Stromstärke stieg den Daten der zweiten Columnne gemäß von 2,7—3,11 Amp., da bei konstant gehaltener Wechselstromspannung  $L$  stetig abnahm.

cm	$i_{\text{eff.}}$ Amp.	$L$ Henry
0	2,7	0,06955
2	2,7	0,06799
4	2,73	0,06608
6	2,78	0,06054
8	2,89	0,05287
10	2,95	0,04326
12	2,99	0,03470
14	3,03	0,02662
16	3,09	0,01902
18	3,11	0,01453

Die verschiedenen Werte von  $L$  sind graphisch in Fig. 2 dargestellt.

Bei den oszillographischen Untersuchungen war der Ohmsche Widerstand  $R$  (Fig. 1) ein kleiner Widerstandskasten von Hartmann-Braun.

Die Elemente des verwendeten *technischen Kondensators*<sup>1)</sup>, deren Kapazität

0,996, 2,010, 2,014, 4,960, 9,980 Mikrof.,

werden mittels Schaltehebel auf Quantität geschaltet, so daß wir insgesamt über die Kapazität 19,96 Mikrof. verfügen.

Der *den Spiegel treibende Kontaktzylinder* besteht aus einem mittels Elektromotors in Umdrehung versetzten Hartgummi-zylinder, in dessen Mantelfläche ein schmaler Messingstreifen eingelassen ist. Für photographische Aufnahmen habe ich die Übertragung vom Kontaktzylinder zum Spiegel mittels

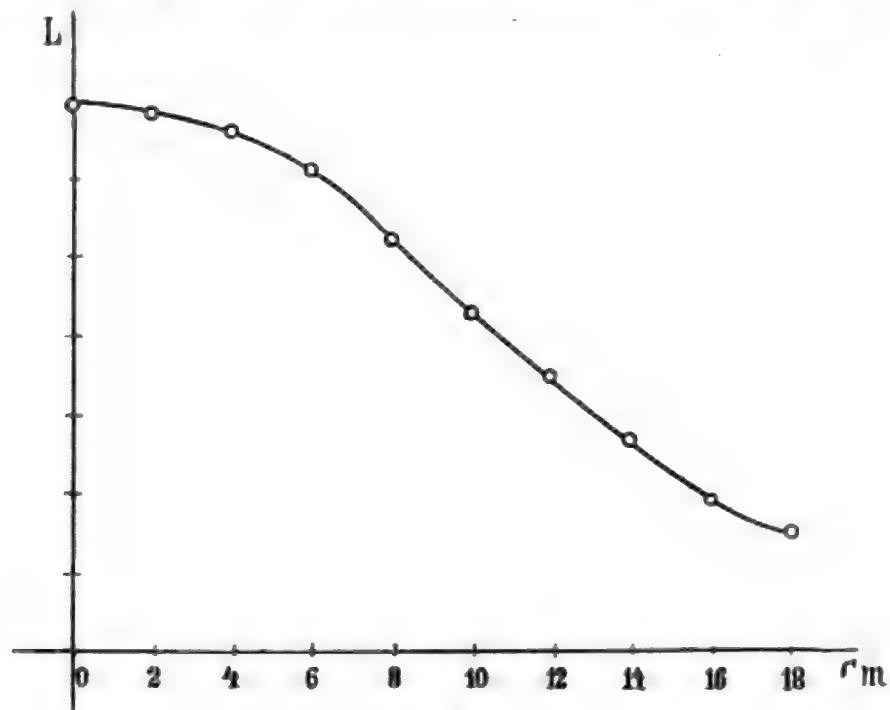


Fig. 2.

Schraube (a) mit Schraubenrad (b, Fig. 1) und dem Umsetzungsverhältnis 1 : 12 für zweckmäßig befunden.

Um bei objektiver Darstellung die Stromkurven nicht nur an derselben Stelle verharrend, sondern auch kontinuierlich vor Augen zu bringen, bediene ich mich der folgenden zwei Einrichtungen.

An erster Stelle führe ich den Polygonalspiegel<sup>2)</sup> mit einstellbaren Flächen vor, dem ähnlich, welchen Hr. O. Fröh-

1) Im elektromechan. Institute des Hrn. Elektroingenieur Emil Szvetics, Budapest, mit großer Sorgfalt und vorzüglicher Isolation für das Techn.-phys. Laborat. d. Polytechnikums gefertigt.

2) Von Hrn. Ferd. Süss, Inhaber einer mechanischen Werkstätte in Budapest, nach Zeichnungen des Techn.-phys. Laborat. des Polytechnikums im Jahre 1899 gefertigt.

lich zur objektiven Darstellung von Stromkurven verwendet hat.<sup>1)</sup> Natürlich können wir auch diese Anordnung zu photographischen Zwecken verwenden, doch ist es ratsam, bei den Aufnahmen, eine Spiegelfläche ausgenommen, die übrigen zu verdecken.

An zweiter Stelle sei eine Einrichtung erwähnt, derjenigen ähnlich, welche Abraham, Blondel und Duddell bei ihren kompletten oszillographischen Apparaten verwenden; es ist dies (Fig. 3) ein Planspiegel (*S*) von quadratischer Form und ca. 5 cm Seitenlänge, welcher um eine vertikale Achse alternierende Bewegungen vollführt. Um dies zu erreichen, ziehen

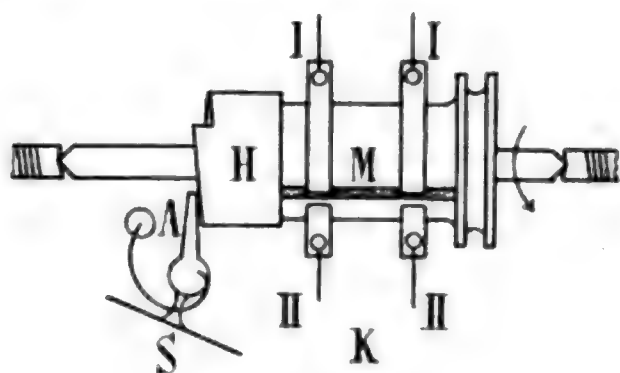


Fig. 3.

wir auf den Kontaktzylinder eine starkwandige Metallhülse (*H*), deren freies Ende einen Schraubengang von 4 mm Höhe bildet. Von der Spiegelachse ragt ein horizontaler Arm (*A*) hervor, welchen die Spannkraft einer Spiralfeder stets an die Stirnfläche des Schraubenganges drückt. Wenn sich nun der Kontaktzylinder dreht, veranlaßt der Schraubengang den Spiegelarm und den auf dieselbe vertikale Achse befestigten Spiegel zu gleichmäßiger Drehung um ungefähr 12 Grade. Sobald der Arm die höchste Stelle des Schraubenganges erreicht hat, schnellt der Spiegel, durch die Spannkraft der Spiralfeder getrieben, in die Anfangslage zurück. Da die rückläufige Spiegelbewegung sehr rasch und in der Zeit vor sich geht, während der Kondensatorkreis stromlos ist, erscheinen ebenso wie bei dem Polygonalspiegel die Stromkurven kontinuierlich an derselben Stelle des Schirmes verharrend.

1) O. Fröhlich, Elektrotechn. Zeitschr. 10. p. 345 u. 369. 1889.

Aus der Reihe der mit den oben erwähnten Versuchsanordnungen ausgeführten Experimente, bei welchen Hr. Polytechn.-Adjunkt J. Fleischer in dankenswerter Weise assistierte, greife ich die folgenden heraus.

#### I. Kontinuierliche Ladung und Entladung des Kondensators.

Gemäß den Thomsonschen Berechnungen tritt dieser Fall ein, wenn im Kondensatorkreis  $R^2 > 4L/C$ .

Das Experiment mit dem Oszillographen liefert die vollkommene Bestätigung der Theorie.

Die Stromquelle besteht aus 15 auf Spannung geschalteten Akkumulatorzellen; wenn der Eisenkern aus der Spule um



Fig. 4.

1 cm hinausgezogen und im Widerstandskasten  $118 \, \Omega$  eingeschaltet war, ergab sich das Bild Fig. 4.

Für diesen Fall haben wir

$R = 118,94 \cdot 10^9$  C.G.S. ( $0,94 \, \Omega$  ist der Widerstand der Spule  $L$ ),

$L = 0,06877 \cdot 10^9$  C.G.S.,

$C = 19,96 \cdot 10^{-15}$  C.G.S.

Ferner

$$R^2 = 1,4196 \cdot 10^{22} \text{ C.G.S.},$$

$$\frac{4L}{C} = 1,378 \cdot 10^{22} \text{ C.G.S.}$$

#### II. Oszillatorische Ladung und Entladung des Kondensators.

Um diese Erscheinung hervorzubringen, müssen wir der Theorie entsprechend der Bedingung Genüge leisten, daß

$R^2 < 4 L/C$ , welchen Zweck wir bei entsprechender Wahl von  $C$ ,  $L$  und  $R$  auf die verschiedenste Weise erreichen können.

Auch ist es von Interesse, zu untersuchen, ob die Resultate des Experimentes in bezug auf die Schwingungsdauer mit der Thomsonformel  $T = \pi \sqrt{CL}$  übereinstimmen.



Fig. 5.



Fig. 6.

Um aus den Kurvenbildern die Schwingungszeit zu bestimmen, verfuhr ich in Vorversuchen folgendermaßen. Auf die Achse des rotierenden Spiegels ( $S$ , Fig. 1) klebte ich ein Planspiegelchen, stellte vor dasselbe in der Entfernung von 1694 mm eine horizontale Millimeterskala und Ablesefernrohr und brachte das Spiegelbild eines Skalenteiles mit dem vertikalen Faden des Okularfadenkreuzes in Koinzidenz.

Gleichzeitig liefert die Lichtquelle  $Q$  infolge von Spiege-



lung an *O* und *S* ein scharfes Bild auf der Mattscheibe des Photographierapparates.

Wenn wir nun die Spiegelachse mit der Hand so weit drehen, bis der Bildpunkt auf der Mattscheibe um je 1 cm weiter rückt, gleichzeitig auch am Fernrohr ablesen, erhalten wir die den Bildverrückungen entsprechenden Winkelverdrehungen des



Fig. 7.



Fig. 8.

rotierenden Spiegels. Es erübrigt dann noch bei jedem Experimente die Dauer einer Umdrehung des Spiegels zu bestimmen.

Als Resultate führe ich die photographischen Aufnahmen Figg. 5, 6, 7, 8 an.

Die bezüglichlichen Daten des Stromkreises, ferner die Schwingungszeiten sind in der folgenden Tabelle übersichtlich zusammengestellt.

Figur	Zahl der Akkum.- Zellen	$C$ Mikrof.	$L$ Henry	$R$ Ohm	$T = \pi \sqrt{CL}$ Sek. berechnet	$T$ Sek. aus den Versuchen
5	10	19,96	0,0696	0,94	0,003701	0,00367
6	10	19,96	0,05237	5,94	0,003205	0,00300
7	10	9,98	0,04326	10,94	0,002060	0,00211
8	5	15,00	0,01458	10,94	0,001465	0,00148

Die Abweichung der Stromkurvenform von der Sinoidalen findet meiner Ansicht nach ihre Erklärung in der Hysteresis des Eisenbündels der Spule  $L$  und ist nicht etwa dem mangelhaften Funktionieren des Oszillographen zuzuschreiben.

Zur Begründung meiner Ansicht führe ich die Beobachtungen an, welche ich in vielen Fällen bei der punkweisen Aufnahme von Wechselstromkurven nach der Joubertschen Methode an Wechselstromgeneratoren gemacht. Wenn nämlich die Maschine auch rein sinoidale elektromotorische Kraft gibt, weist in dem Falle, daß die induktive Belastung verteiltes Eisen enthält, die Stromkurve dieselben charakteristischen Merkmale auf, welche wir in den photographischen Aufnahmen bemerken.

Auch bieten die Kurvenformen den Beweis, daß die Umagnetisierung des Eisens den Schwingungen folgt, welche bei diesen Versuchen in 0,0015—0,0037 Sek. vor sich gehen.

Einen Anblick von kaum beschreiblicher Schönheit bieten die auf den Schirm projizierten, an einer Stelle verharrenden, ununterbrochen sichtbaren Kurvenbilder, wenn durch allmähliches Herausziehen des Eisenkernes aus der Spule die gedämpften Schwingungskurven einander näher rücken, wobei sich die Amplituden vergrößern. Der stetige Übergang aus der kontinuierlichen Ladungs- und Entladungserscheinung in die oszillatorische läßt sich bei geeigneter Wahl von  $C$ ,  $L$  und  $R$  auch leicht recht schön und lehrreich vor Augen führen.

Budapest, Techn.-phys. Laborat. des Polytechnikums.

(Eingegangen 21. Juli 1903.)

**7. Über nahezu gesättigten Strom in einem von zwei konzentrischen Kugeln begrenzten Luftraume;  
von Eduard Riecke.**

(Aus den Nachrichten der K. Gesellschaft der Wissenschaften zu Göttingen. Mathematisch-physikalische Klasse. Heft 4. 1903.)

In einem Aufsatze „Über die Zerstreuung der Elektrizität in abgeschlossenen Räumen“<sup>1)</sup> habe ich den Fall einer nahezu gesättigten Strömung in dem Hohlraume zwischen zwei konzentrischen Kugeln behandelt. Die positive elektrostatische Ladung der inneren Kugel wurde mit  $e$  bezeichnet; die elektrische Feldstärke sei  $\mathfrak{E}$ , die räumliche Dichte der positiven Ionen  $\overset{+}{N}$ , die der negativen  $\bar{N}$ , die Dichte der elektrischen Strömung  $c$ . Unter  $U$  und  $V$  sind die absoluten Beweglichkeiten der Ionen, unter  $\overset{+}{k}$  und  $\bar{k}$  ihre Diffusionskoeffizienten verstanden;  $r$  bezeichnet den Abstand irgend eines Punktes von dem Mittelpunkte der Kugeln,  $r_i$  den Halbmesser der inneren,  $r_a$  den der äußeren Kugel.  $\epsilon$  ist das elektrische Elementarquantum,  $v$  die Lichtgeschwindigkeit,  $q$  die Ionisierungsstärke,  $\alpha$  der Koeffizient der Wiedervereinigung.

Die Gleichungen, auf welche das Problem führt, sind folgende:

$$(I) \quad \left\{ \begin{array}{l} \overset{+}{N} - \bar{N} = \frac{\text{div } \mathfrak{E}}{4 \pi \epsilon}, \\ \epsilon v (U \overset{+}{N} + V \bar{N}) \mathfrak{E} = c + \epsilon \frac{d}{dr} (\overset{+}{k} \overset{+}{N} - \bar{k} \bar{N}), \\ v U \text{div} (\overset{+}{N} \mathfrak{E}) = q - \alpha \overset{+}{N} \bar{N} + \overset{+}{k} \Delta \overset{+}{N}, \\ - v V \text{div} (\bar{N} \mathfrak{E}) = q - \alpha \overset{+}{N} \bar{N} + \bar{k} \Delta \bar{N}. \end{array} \right.$$

1) E. Riecke, Nachr. d. K. Gesellsch. d. Wissensch. zu Göttingen, Math.-phys. Kl. Heft 1. 1903.

Vernachlässigt man den Einfluß der Wiedervereinigung und den Einfluß der Diffusion, so erhält man Sättigungsstrom und es wird:

$$\bar{N}_0^+ = \frac{q}{3\nu U} \cdot \frac{r}{\mathfrak{E}_0} \left(1 - \frac{r_i^3}{r^3}\right), \quad \bar{N}_0^- = \frac{q}{3\nu V} \cdot \frac{r}{\mathfrak{E}_0} \left(\frac{r_a^3}{r^3} - 1\right).$$

Diese Werte werden in den Gleichungen (I) für  $\bar{N}^+$  und  $\bar{N}^-$  in den Gliedern benutzt, die mit  $\alpha$  oder mit den Diffusionskoeffizienten multipliziert sind. Dann ergeben sich die Gleichungen:

$$\mathfrak{E}^2 = \frac{4\pi\epsilon q}{9} \frac{U+V}{\nu UV} r^2 + \frac{\Phi_1}{r} + \frac{\Phi_4}{r^4},$$

$$\rho_1 = -\frac{8}{3}\pi\epsilon\alpha \frac{U+V}{\nu UV} \int r^2 \bar{N}_0^+ \bar{N}_0^- dr + \frac{8\pi\epsilon}{3\nu} \frac{\bar{k}^+ + \bar{k}^-}{U+V} \int r^2 \Delta(\bar{N}_0^+ + \bar{N}_0^-) dr,$$

$$\rho_4 = \frac{8}{3}\pi\epsilon\alpha \frac{U+V}{\nu UV} \int r^5 \bar{N}_0^+ \bar{N}_0^- dr - \frac{8\pi\epsilon}{3\nu} \frac{\bar{k}^+ + \bar{k}^-}{U+V} \int r^5 \Delta(\bar{N}_0^+ + \bar{N}_0^-) dr,$$

$$\begin{aligned} \bar{N}^+ \mathfrak{E} &= \frac{c}{\epsilon\nu(U+V)} + \frac{q}{3\nu U} r + \frac{1}{\nu(U+V)} \frac{d}{dr} (\bar{k}^+ \bar{N}_0^+ - \bar{k}^- \bar{N}_0^-) \\ &\quad + \frac{3}{8\pi\epsilon} \frac{V}{U+V} \frac{\Phi_1}{r^2}, \end{aligned}$$

$$\begin{aligned} \bar{N}^- \mathfrak{E} &= \frac{c}{\epsilon\nu(U+V)} - \frac{q}{3\nu V} r + \frac{1}{\nu(U+V)} \frac{d}{dr} (\bar{k}^+ \bar{N}_0^+ - \bar{k}^- \bar{N}_0^-) \\ &\quad - \frac{3}{8\pi\epsilon} \frac{U}{U+V} \frac{\Phi_1}{r^2}. \end{aligned}$$

Die in  $\Phi_1$  und  $\Phi_4$  auftretenden Integrationskonstanten müssen durch die *Grenzbedingungen* bestimmt werden.

Eine davon besteht jedenfalls darin, daß an der Oberfläche der inneren Kugel

$$\text{II) } \mathfrak{E}_i = \frac{c}{r_i^2}$$

sein muß.

Als *zweite Grenzbedingung* habe ich in dem früheren Aufsatze die Annahme benutzt, daß an der Oberfläche der inneren Kugel die Dichte der positiven Ionen gleich Null sei, ebenso wie im Falle des Sättigungsstromes. Diese Annahme trifft aber nur *näherungsweise* zu, und es erscheint daher richtig, sie *nicht* zu benutzen.

Wenn die Dichte der positiven Ionen an der Oberfläche der inneren Kugel nicht verschwindet, so tritt allerdings die Möglichkeit der Ionenadsorption ein. Von einer Berücksichtigung dieser Wirkung sehen wir aber bei der ganzen Untersuchung ab.

Eine *einwandsfreie zweite Grenzbedingung* ergibt sich, wenn wir berücksichtigen, daß nach den von uns gemachten Annahmen die ganze Elektrizitätsabgabe an die innere Kugel durch die negativen Ionen besorgt wird. Es folgt daraus für die Oberfläche der inneren Kugel die zweite Bedingung:

$$(III) \quad \epsilon \nu V (\bar{N} \mathfrak{E})_i = c_i - \epsilon \bar{k} \left( \frac{d \bar{N}_0}{d r} \right)_i.$$

Aus den Bedingungsgleichungen (II) und (III) folgt:

$$\Phi_1^i = - \frac{8 \pi r_i^2 c_i}{3 \nu V} - \frac{8 \pi \epsilon q (U + V)}{9 \nu U V} r_i^3 + \frac{8 \pi \epsilon}{3 \nu} r_i^2 \frac{\bar{k}^+ + \bar{k}^-}{U + V} \left[ \frac{d}{d r} (\bar{N}_0^+ + \bar{N}_0^-) \right]_i$$

$$\Phi_4^i = e^4 + \frac{8 \pi r_i^5 c_i}{3 \nu V} + \frac{4 \pi \epsilon q (U + V)}{9 \nu U V} r_i^6 - \frac{8 \pi \epsilon}{3 \nu} r_i^5 \frac{\bar{k}^+ + \bar{k}^-}{U + V} \left[ \frac{d}{d r} (\bar{N}_0^+ + \bar{N}_0^-) \right]_i$$

die Werte weichen von den in dem früheren Aufsätze angegebenen in den von  $\bar{N}_0^+$  abhängenden Teilen der Diffusionsglieder ab.

Die Funktionen  $\Phi_1$  und  $\Phi_4$  selber werden, ebenso wie früher:

$$\Phi_1 = \Phi_1^i - \frac{8}{3} \pi \epsilon \alpha \frac{U + V}{\nu U V} \int_{r_i}^r r^2 \bar{N}_0^+ \bar{N}_0^- d r + \frac{8 \pi \epsilon}{3 \nu} \frac{\bar{k}^+ + \bar{k}^-}{U + V} \int_{r_i}^r r^2 \Delta (\bar{N}_0^+ + \bar{N}_0^-) d r$$

$$\Phi_4 = \Phi_4^i + \frac{8}{3} \pi \epsilon \alpha \frac{U + V}{\nu U V} \int_{r_i}^r r^5 \bar{N}_0^+ \bar{N}_0^- d r - \frac{8 \pi \epsilon}{3 \nu} \frac{\bar{k}^+ + \bar{k}^-}{U + V} \int_{r_i}^r r^5 \Delta (\bar{N}_0^+ + \bar{N}_0^-) d r$$

Benutzen wir diese Werte zur Berechnung von  $\bar{N} \mathfrak{E}$  und von  $\bar{N} \mathfrak{E}$ , so ergibt sich:

$$\bar{N} \mathfrak{E}^+ = \frac{q}{3 \nu U} r \left( 1 - \frac{r_i^3}{r^3} \right) - \frac{\alpha}{\nu U} \frac{1}{r^2} \int_{r_i}^r r^2 \bar{N}_0^+ \bar{N}_0^- d r + \frac{\bar{k}^+}{\nu U} \frac{d \bar{N}_0^+}{d r},$$

$$\bar{N} \mathfrak{E}^- = \frac{1}{\epsilon \nu V} \frac{r_i^2 c_i}{r^2} - \frac{q}{3 \nu V} r \left( 1 - \frac{r_i^3}{r^3} \right) + \frac{\alpha}{\nu V r^2} \int_{r_i}^r r^2 \bar{N}_0^+ \bar{N}_0^- d r - \frac{\bar{k}^-}{\nu V} \frac{d \bar{N}_0^-}{d r}.$$

Wir wenden uns nun zu der *Verwertung der Gleichungen*:

$$\nu U \operatorname{div}(\overset{+}{N} \mathfrak{E}) = q - \alpha \overset{+}{N} \bar{N} + \overset{+}{k} \Delta \overset{+}{N}$$

und

$$- \nu V \operatorname{div}(\bar{N} \mathfrak{E}) = q - \alpha \overset{+}{N} \bar{N} + \bar{k} \Delta \bar{N}.$$

Die erste ergibt, über das Volumen  $\Omega$  des Hohlraumes integriert:

$$\nu U \int_i^a \operatorname{div}(\overset{+}{N} \mathfrak{E}) dv = q \Omega - \alpha \int_i^a \overset{+}{N}_0 \bar{N}_0 dv + \overset{+}{k} \int_i^a \Delta \overset{+}{N} dv,$$

oder

$$\begin{aligned} - 4 \pi r_i^2 \nu U \overset{+}{N}_i \mathfrak{E}_i + 4 \pi r_a^2 \nu U \overset{+}{N}_a \mathfrak{E}_a &= q \Omega - \alpha \int_i^a \overset{+}{N}_0 \bar{N}_0 dv \\ &- 4 \pi r_i^2 \overset{+}{k} \left( \frac{d \overset{+}{N}_0}{d r} \right)_i + 4 \pi r_a^2 \overset{+}{k} \left( \frac{d \overset{+}{N}_0}{d r} \right)_a. \end{aligned}$$

Nun ist:

$$\nu U (\overset{+}{N} \mathfrak{E})_i = \overset{+}{k} \left( \frac{d \overset{+}{N}}{d r} \right)_i,$$

somit:

$$4 \pi r_a^2 \left\{ \nu U \overset{+}{N}_a \mathfrak{E}_a - \overset{+}{k} \left( \frac{d \overset{+}{N}_0}{d r} \right)_a \right\} = \varepsilon q \Omega - \varepsilon \alpha \int_i^a \overset{+}{N}_0 \bar{N}_0 dv.$$

Der auf der linken Seite stehende Ausdruck stellt den ganzen Betrag der elektrischen Strömung durch die äußere Kugelfläche dar; bezeichnen wir diese durch  $\mathfrak{E}$ , so ergibt sich:

$$(IV) \quad \mathfrak{E} = \varepsilon q \Omega - \varepsilon \alpha \int_i^a \overset{+}{N}_0 \bar{N}_0 dv.$$

Die Gleichung enthält *keine von der Diffusion abhängende Glieder*.

Die Integration der Gleichung

$$- \nu V \operatorname{div}(\bar{N} \mathfrak{E}) = q - \alpha \overset{+}{N} \bar{N} + \bar{k} \Delta \bar{N}$$

gibt:

$$\begin{aligned} 4 \pi r_a^2 \varepsilon \nu V \bar{N}_a \mathfrak{E}_a &= 4 \pi r_i^2 \varepsilon \bar{N}_i - \varepsilon q \Omega + \varepsilon \alpha \int_i^a \overset{+}{N}_0 \bar{N}_0 dv \\ &- 4 \pi r_a^2 \varepsilon \bar{k} \left( \frac{d \bar{N}}{d r} \right)_a. \end{aligned}$$



Es ist aber:

$$4 \pi r_i^2 c_i = \varepsilon q \Omega - \varepsilon \alpha \int_i^a \dot{N}_0 \bar{N}_0 dv,$$

somit:

$$\nu U \bar{N}_a \mathfrak{E}_a = - \bar{k} \left( \frac{d \bar{N}}{d r} \right)_a.$$

Mit Hilfe von Gleichung (IV) läßt sich auch der für  $\bar{N} \mathfrak{E}$  gefundene Ausdruck auf eine einfachere Form bringen. Wir schreiben:

$$\begin{aligned} \bar{N} \mathfrak{E} = & \frac{1}{\varepsilon \nu V} \frac{r_i^2 c_i}{r^2} - \frac{q}{3 \nu V} r \left( 1 - \frac{r_i^3}{r^3} \right) + \frac{\alpha}{\nu V} \frac{1}{r^2} \int_{r_i}^{r_a} r^2 \dot{N}_0 \bar{N}_0 dr \\ & - \frac{\alpha}{\nu V r^2} \int_r^{r_a} r^2 \dot{N}_0 \bar{N}_0 dr - \frac{\bar{k}}{\nu V} \frac{d \bar{N}_0}{d r}. \end{aligned}$$

Gleichung (IV) gibt:

$$\frac{\alpha}{\nu V} \cdot \frac{1}{r^2} \int_{r_i}^{r_a} r^2 \dot{N}_0 \bar{N}_0 dr = - \frac{1}{\varepsilon \nu V} \frac{r_i^2 c_i}{r^2} + \frac{q}{3 \nu V} r \left( \frac{r_a^3}{r^3} - \frac{r_i^3}{r^3} \right).$$

Aus der Addition beider Gleichungen folgt:

$$(V) \left\{ \begin{array}{l} \bar{N} \mathfrak{E} = \frac{q}{3 \nu V} r \left( \frac{r_a^3}{r^3} - 1 \right) - \frac{\alpha}{\nu V} \frac{1}{r^2} \int_r^{r_a} r^2 \dot{N}_0 \bar{N}_0 dr - \frac{\bar{k}}{\nu V} \frac{d \bar{N}_0}{d r}, \\ \text{ganz analog mit:} \\ \dot{N} \mathfrak{E} = \frac{q}{3 \nu U} r \left( 1 - \frac{r_i^3}{r^3} \right) - \frac{\alpha}{\nu U} \frac{1}{r^2} \int_{r_i}^r r^2 \dot{N}_0 \bar{N}_0 dr + \frac{\dot{k}}{\nu U} \cdot \frac{d \dot{N}_0}{d r}. \end{array} \right.$$

Die Gleichungen sind etwas einfacher, als die mit Hilfe der früheren, nur näherungsweise geltenden Grenzbedingung erhaltenen.

Für  $r = r_i$  wird:

$$(\dot{N} \mathfrak{E})_i = \frac{\dot{k}}{\nu U} \left( \frac{d \dot{N}_0}{d r} \right)_i.$$

Daß dieser Wert klein ist, ergibt sich einmal aus der Kleinheit des Faktors  $\bar{k}/\nu U$ ; überdies zeigt der Verlauf der für  $\bar{N}_0$  in dem früheren Aufsätze mitgeteilten Kurven, daß auch  $(d\bar{N}_0/dr)$  für  $r = r_i$  nur einen kleinen Wert hat. Es ergibt sich also in der Tat, daß man die bei der früheren Rechnung benutzte Grenzbedingung nahezu, aber nicht streng, als erfüllt betrachten kann. Eine etwas größere Abweichung von dem Werte Null tritt an der äußeren Kugelfläche ein:

$$(\bar{N}\mathfrak{E})_a = -\frac{\bar{k}}{\nu V} \left( \frac{d\bar{N}_0}{dr} \right)_a.$$

Was die numerischen Werte anbelangt, die in der früheren Arbeit berechnet worden sind, so werden sie durch die Anwendung der verbesserten Formeln nur unwesentlich verändert. Es erklärt sich dies dadurch, daß die Abweichungen in Gliedern liegen, die von der Diffusion abhängen; in dem früher behandelten Falle tritt aber der Einfluß der Diffusion gegen den der Wiedervereinigung zurück. In der Figur, welche der früheren Mitteilung beigegeben ist, würden die ausgezogenen Kurven den verbesserten Formeln entsprechend parallel mit sich selber ein wenig nach oben zu verschieben sein.

(Eingegangen 20. Juli 1903.)

## 8. *Über näherungsweise gesättigte Ströme zwischen planparallelen Platten; von Eduard Riecke.*

(Aus den Nachrichten der K. Gesellschaft der Wissenschaften zu Göttingen. Mathematisch-physikalische Klasse. Heft 4. 1903.)

In zwei früheren Arbeiten<sup>1)</sup> habe ich die Theorie der Ströme entwickelt, die zwischen zwei konzentrischen Kugelflächen infolge von Ionisierung der in dem Hohlraum enthaltenen Luft auftreten. Es ergab sich, daß die Beobachtung dieser Ströme ein Mittel gibt, um die Konstante  $\alpha$  der Wiedervereinigung zu bestimmen. Mit Rücksicht auf diese Möglichkeit schien es mir von Interesse, auch den Fall eines zwischen zwei planparallelen Platten eingeschlossenen Luftraumes einer etwas genaueren Untersuchung zu unterwerfen.

### I. Die allgemeinen Gleichungen des Problems.

Von zwei unendlichen Platten, die einander in dem Abstände  $l$  parallel gegenübergestellt sind, sei die eine positiv geladen, die andere mit der Erde leitend verbunden. Die Intensität des zwischen den Platten eingeschlossenen elektrischen Feldes sei  $\mathfrak{F}$ . Die Luft in dem Zwischenraume der Platten werde etwa durch Röntgen- oder Radiumstrahlen ionisiert. Die Ionisierungsstärke sei  $q$ , die Dichte des durch die Kraft  $\mathfrak{F}$  erzeugten elektrischen Stromes  $c$ . Die Dichten der positiven und der negativen Ionen seien  $\bar{N}^+$  und  $\bar{N}^-$ , ihre absoluten Beweglichkeiten  $U$  und  $V$ , ihre Diffusionskoeffizienten  $k^+$  und  $k^-$ . Der Koeffizient der Wiedervereinigung sei  $\alpha$ , das elektrische Elementarquantum werde mit  $e$ , die Lichtgeschwindigkeit mit  $\nu$  bezeichnet. In irgend einem Punkte der positiven Platte errichten wir die Normale. Ihren Fußpunkt machen wir zum Nullpunkt, ihren nach der negativen Platte hinübergehenden Zweig zur positiven Richtung einer Achse  $x$ .

1) E. Riecke, Nachr. d. K. Gesellsch. d. Wissensch. zu Göttingen, math.-phys. Kl. Heft 1 u. 2. 1903; Ann. d. Phys. 12. p. 52. 1903.

Dann ergeben sich die folgenden Gleichungen:

$$(I) \quad \left\{ \begin{array}{l} \frac{d\mathfrak{F}}{dx} = 4\pi\epsilon(\bar{N}^+ - \bar{N}), \\ \nu\epsilon(U\bar{N}^+ + V\bar{N})\mathfrak{F} - \epsilon\frac{d}{dx}(k^+\bar{N}^+ - k^-\bar{N}) = c, \\ q = \nu U \frac{d(\bar{N}^+\mathfrak{F})}{dx} - k^+ \frac{d^2\bar{N}^+}{dx^2} + \alpha \bar{N}^+\bar{N}, \\ q = -\nu V \frac{d(\bar{N}^-\mathfrak{F})}{dx} - k^- \frac{d^2\bar{N}^-}{dx^2} + \alpha \bar{N}^+\bar{N}. \end{array} \right.$$

Wir haben vier Gleichungen und wir können als Unbekannte die Größen  $\mathfrak{F}$ ,  $q$ ,  $\bar{N}^+$ ,  $\bar{N}^-$  betrachten; vorausgesetzt wird dann, daß die Stromdichte  $c$  durch Beobachtung bestimmt ist.

## II. Der Sättigungsstrom.

Vernachlässigt man den Einfluß der Wiedervereinigung und der Diffusion, so erhält man:

$$(II) \quad \left\{ \begin{array}{l} \frac{d\mathfrak{F}}{dx} = 4\pi\epsilon(\bar{N}^+ - \bar{N}), \\ \nu\epsilon(U\bar{N}^+ + V\bar{N})\mathfrak{F} = c, \\ q = \nu U \frac{d(\bar{N}^+\mathfrak{F})}{dx} = -\nu V \frac{d(\bar{N}^-\mathfrak{F})}{dx}. \end{array} \right.$$

Die Auflösung der Gleichungen führt zu den folgenden Formeln:

$$(III) \quad \left\{ \begin{array}{l} \mathfrak{F}^2 = \mathfrak{F}_0^2 - \frac{8\pi\epsilon}{\nu V}x + \frac{4\pi\epsilon(U+V)}{\nu UV}qx^2, \\ \bar{N}^+\mathfrak{F} = \frac{q}{\nu U}x, \quad \bar{N}^-\mathfrak{F} = \frac{c}{\nu\epsilon V} - \frac{q}{\nu V}x, \\ c = \epsilon q l. \end{array} \right.$$

Für  $x = 0$  wird:

$$\mathfrak{F} = \mathfrak{F}_0, \quad \bar{N}_0^+ = 0, \quad \bar{N}_0^-\mathfrak{F}_0 = \frac{c}{\nu\epsilon V} = \frac{q}{\nu V}l.$$

Für  $x = l$ :

$$\bar{N}_l^+\mathfrak{F}_l = \frac{q}{\nu U}l, \quad \bar{N}_l^-\mathfrak{F}_l = 0.$$

Es ist also:

$$\epsilon\nu V\bar{N}_0^-\mathfrak{F}_0 = \epsilon\nu U\bar{N}_l^+\mathfrak{F}_l = c.$$

Mit Benutzung dieser Werte kann man die Gleichungen (III) auf die Form bringen:

$$(III') \quad \left\{ \begin{array}{l} \mathfrak{F}^2 = \mathfrak{F}_0^2 - 8 \pi \varepsilon \bar{N}_0 \mathfrak{F}_0 x + 4 \pi \varepsilon (\bar{N}_0 \mathfrak{F}_0 + \bar{N}_l \mathfrak{F}_l) \frac{x^2}{l} \\ \bar{N} \mathfrak{F} = \bar{N}_l \mathfrak{F}_l \frac{x}{l}, \quad \bar{N} \mathfrak{F} = \bar{N}_0 \mathfrak{F}_0 \left(1 - \frac{x}{l}\right), \\ c = \varepsilon q l. \end{array} \right.$$

Um von den Werten der in diesen Gleichungen auftretenden Koeffizienten eine bestimmtere Vorstellung zu bekommen, scheint es nützlich, sie, soweit möglich, in numerischer Form aufzustellen.

Wir benutzen zu diesem Zwecke die Werte:

$$U = 1,26 \times 10^{-8}, \quad V = 1,74 \times 10^{-8}, \quad \frac{V}{U} = 1,38.$$

$$\frac{\bar{k}^+}{U} = \frac{\bar{k}^-}{V} = 2,33 \times 10^6.$$

$$\bar{k}^+ = 0,0293, \quad \bar{k}^- = 0,0405,$$

$$\varepsilon = 4,69 \times 10^{-10}, \quad \alpha = 1,59 \times 10^{-6}.$$

Dann wird:

$$\bar{N}_0 \mathfrak{F}_0 = 0,00192 \times q l, \quad \bar{N}_l \mathfrak{F}_l = 0,00265 \times q l,$$

$$\mathfrak{F}^2 = \mathfrak{F}_0^2 - 0,226 \times 10^{-10} q l x + 0,268 \times 10^{-10} q x^2.$$

Daraus folgt, daß die Veränderlichkeit der Feldstärke im allgemeinen nur eine sehr kleine sein wird.

Die Theorie des Sättigungsstromes ist nur anwendbar, wenn

$$\alpha \bar{N}^+ \bar{N}^-, \quad \bar{k}^+ \frac{d^2 \bar{N}^+}{dx^2} \quad \text{und} \quad \bar{k}^- \frac{d^2 \bar{N}^-}{dx^2}$$

gegen  $q$  sehr klein sind.

Nun ist:

$$\alpha \bar{N}^+ \bar{N}^- \mathfrak{F}^2 = \alpha \bar{N}_l^+ \mathfrak{F}_l \bar{N}_0^- \mathfrak{F}_0 \frac{x(l-x)}{l^2},$$

also mit Benutzung der angegebenen Werte:

$$\alpha \bar{N}^+ \bar{N}^- = 8,10 \times 10^{-12} \frac{q^2 x(l-x)}{\mathfrak{F}^2}.$$

Es muß somit  $q$  klein sein gegen

$$\frac{\mathfrak{F}^2}{8,10 \times x(l-x)} \times 10^{12}.$$

Es ist ferner:

$${}^+h \dot{N} = {}^+h \dot{N}_l \mathfrak{F}_l \frac{x}{\mathfrak{F}_l},$$

$$\frac{1}{\mathfrak{F}} = \frac{1}{\mathfrak{F}_0} + 0,113 \times 10^{-10} \frac{q l x}{\mathfrak{F}_0^3} - 0,134 \times 10^{-10} \frac{q x^2}{\mathfrak{F}_0^3}.$$

Somit:

$${}^+h \frac{d^2 \dot{N}}{dx^2} = \frac{q^2}{\mathfrak{F}_0^3} (1,75 l - 6,21 x) 10^{-15}.$$

Die Theorie des Sättigungsstromes setzt hiernach voraus, daß  $q$  klein sei gegen:

$$\frac{\mathfrak{F}_0^3}{1,75 l - 6,21 x} \times 10^{15}.$$

Aus der Bedingung, daß  $q$  groß sein soll gegen  $\bar{h} \frac{d^2 \bar{N}}{dx^2}$ , folgt ebenso:

$$q \text{ klein gegen } \frac{\mathfrak{F}_0^3}{6,21 x - 3,78 l} \times 10^{15}.$$

### III. Nicht gesättigter Strom, erste Annäherung.

Von den Größen, die wir im vorhergehenden nach der Theorie des Sättigungsstromes berechnet haben, unterscheiden wir die in erster Annäherung für den nicht gesättigten Strom geltenden durch den Index 1. Die allgemeinen Gleichungen des Problems kommen dann auf die folgende Form:

$$(IV) \quad \left\{ \begin{array}{l} \frac{d \mathfrak{F}_1}{dx} = 4 \pi \varepsilon (\dot{N}_1^+ - \bar{N}_1), \\ v \varepsilon (U \dot{N}_1^+ + V \bar{N}_1) \mathfrak{F}_1 = c + \varepsilon \frac{d}{dx} ({}^+h \dot{N} - \bar{h} \bar{N}), \\ q_1 = v U \frac{d(\dot{N}_1^+ \mathfrak{F}_1)}{dx} - {}^+h \frac{d^2 \dot{N}}{dx^2} + \alpha \dot{N} \bar{N}, \\ q_1 = -v V \frac{d(\bar{N}_1 \mathfrak{F}_1)}{dx} - \bar{h} \frac{d^2 \bar{N}}{dx^2} + \alpha \dot{N} \bar{N}. \end{array} \right.$$

Die Auflösung der Gleichungen führt zu den folgenden Ansätzen:



$$\mathfrak{F}_1^2 = \mathfrak{F}_0^2 + c_1 x + \frac{4\pi\varepsilon(U+V)}{\nu UV} q_1 x^2 + 8\pi\varepsilon \frac{\bar{k}^+}{\nu U} (\bar{N}^+ + \bar{N} - \bar{N}_0) - \frac{8\pi\varepsilon(U+V)}{\nu UV} \alpha \int_0^x \int_0^x \bar{N}^+ \bar{N} dx dx.$$

$$\bar{N}_1^+ \mathfrak{F}_1 = \frac{c}{\nu\varepsilon(U+V)} + \frac{q_1}{\nu U} x + \frac{\bar{k}^+}{\nu U} \frac{d\bar{N}^+}{dx} - \frac{\alpha}{\nu U} \int_0^x \bar{N}^+ \bar{N} dx + \frac{V}{8\pi\varepsilon(U+V)} c_1,$$

$$\bar{N}_1 \mathfrak{F}_1 = \frac{c}{\nu\varepsilon(U+V)} - \frac{q_1}{\nu V} x - \frac{\bar{k}}{\nu V} \frac{d\bar{N}}{dx} + \frac{\alpha}{\nu V} \int_0^x \bar{N}^+ \bar{N} dx - \frac{U}{8\pi\varepsilon(U+V)} c_1.$$

Die Integrationskonstante  $c_1$  bestimmt sich durch die Bedingungen, daß an den Elektrodenplatten

$$c = \varepsilon \nu V (\mathfrak{F}_1 \bar{N}_1)_0 + \varepsilon \bar{k} \left( \frac{d\bar{N}}{dx} \right)_0 = \varepsilon \nu U (\mathfrak{F}_1 \bar{N}_1)_l - \varepsilon \bar{k}^+ \left( \frac{d\bar{N}_1^+}{dx} \right)_l$$

sein muß.

Man findet:

$$c_1 = - \frac{8\pi c}{\nu V};$$

die Lösung der Gleichungen (IV) ist dann durch die folgenden Formeln gegeben:

$$(V) \left\{ \begin{aligned} q_1 &= \frac{c}{\varepsilon l} + \frac{\alpha}{l} \int_0^l \bar{N}^+ \bar{N} dx = q + \frac{\alpha}{l} \int_0^l \bar{N}^+ \bar{N} dx. \\ \mathfrak{F}_1^2 &= \mathfrak{F}^2 + \frac{4\pi\varepsilon(U+V)}{\nu UV} \alpha \left\{ \frac{x^2}{l} \int_0^l \bar{N}^+ \bar{N} dx - 2 \int_0^x \int_0^x \bar{N}^+ \bar{N} dx dx \right\} \\ &\quad + 8\pi\varepsilon \frac{\bar{k}^+}{\nu U} (\bar{N}^+ + \bar{N} - \bar{N}_0). \\ \bar{N}_1^+ \mathfrak{F}_1 &= \bar{N}^+ \mathfrak{F} + \frac{\alpha}{\nu U} \left\{ \frac{x}{l} \int_0^l \bar{N}^+ \bar{N} dx - \int_0^x \bar{N}^+ \bar{N} dx \right\} + \frac{\bar{k}^+}{\nu U} \frac{d\bar{N}^+}{dx}, \\ \bar{N}_1 \mathfrak{F}_1 &= \bar{N} \mathfrak{F} + \frac{\alpha}{\nu V} \left\{ \frac{l-x}{l} \int_0^l \bar{N}^+ \bar{N} dx - \int_x^l \bar{N}^+ \bar{N} dx \right\} - \frac{\bar{k}}{\nu V} \frac{d\bar{N}}{dx}. \end{aligned} \right.$$

Mit Benutzung der numerischen Werte ergibt sich:

$$\begin{aligned}\mathfrak{F}_1^2 &= \mathfrak{F}^2 + 36,3 \times 10^{-24} \frac{q^2}{\mathfrak{F}_0^2} (l-x)^2 x^2 + 0,67 \times 10^{-15} \times \frac{q x}{\mathfrak{F}_0}, \\ \overset{+}{N}_1 \mathfrak{F}_1 &= \overset{+}{N} \mathfrak{F} + 3,56 \times 10^{-15} \frac{q^2}{\mathfrak{F}_0^2} (l-2x)(l-x)x + 0,228 \times 10^{-6} \frac{q}{\mathfrak{F}_0}, \\ \bar{N}_1 \mathfrak{F}_1 &= \bar{N} \mathfrak{F} - 2,55 \times 10^{-15} \frac{q^2}{\mathfrak{F}_0^2} (l-2x)(l-x)x + 0,149 \times 10^{-6} \frac{q}{\mathfrak{F}_0}.\end{aligned}$$

#### IV. Nicht gesättigter Strom, zweite Näherung.

In den Formeln (I) setzen wir an Stelle von  $\overset{+}{N}$  und  $\bar{N}$  in den mit  $\alpha$  und  $k$  multiplizierten Gliedern die zuvor berechneten Größen  $\overset{+}{N}_1$  und  $\bar{N}_1$ . Wir erhalten dann zur Berechnung der zweiten Annäherung die Formeln:

$$\begin{aligned}\frac{d \mathfrak{F}_2}{d x} &= 4 \pi \varepsilon (\overset{+}{N}_2 - \bar{N}_2), \\ \nu \varepsilon (U \overset{+}{N}_2 + V \bar{N}_2) \mathfrak{F}_2 &= c + \varepsilon \frac{d}{d x} (k \overset{+}{N}_1 - \bar{k} \bar{N}_1), \\ q_2 &= \nu U \frac{d(\overset{+}{N}_2 \mathfrak{F}_2)}{d x} - k \frac{d^2 \overset{+}{N}_1}{d x^2} + \alpha \overset{+}{N}_1 \bar{N}_1, \\ q_2 &= - \nu V \frac{d(\bar{N}_2 \mathfrak{F}_2)}{d x} - \bar{k} \frac{d^2 \bar{N}_1}{d x^2} + \alpha \overset{+}{N}_1 \bar{N}_1.\end{aligned}$$

Die Auflösung der Gleichungen gibt:

$$\text{(VI) } \left\{ \begin{aligned} q_2 &= q + \frac{\alpha}{l} \int_0^l \overset{+}{N}_1 \bar{N}_1 dx, \\ \mathfrak{F}_2^2 &= \mathfrak{F}_0^2 - \frac{8 \pi c}{\nu V} x + \frac{4 \pi \varepsilon (U + V)}{\nu U V} q_2 x^2 \\ &\quad + 8 \pi \varepsilon \frac{k}{\nu U} (\overset{+}{N}_1 + \bar{N}_1 - \overset{+}{N}_{10} - \bar{N}_{10} \\ &\quad - \frac{8 \pi \varepsilon (U + V)}{\nu U V} \alpha \int_0^x \int_0^x \overset{+}{N}_1 \bar{N}_1 dx dx, \\ \overset{+}{N}_2 \mathfrak{F}_2 &= \frac{q_2}{\nu U} x + \frac{k}{\nu U} \frac{d \overset{+}{N}_1}{d x} - \frac{\alpha}{\nu U} \int_0^x \overset{+}{N}_1 \bar{N}_1 dx, \\ \bar{N}_2 \mathfrak{F}_2 &= \frac{q_2}{\nu V} (l-x) - \frac{\bar{k}}{\nu V} \frac{d \bar{N}_1}{d x} - \frac{\alpha}{\nu V} \int_x^l \overset{+}{N}_1 \bar{N}_1 dx. \end{aligned} \right.$$

Wenn man in diesen Formeln an Stelle von  $q_2$ ,  $\bar{N}_1^+$  und  $\bar{N}_1$  die aus dem früheren folgenden Werte substituiert, so ergeben sich komplizierte Ausdrücke. Wir werden nur die erste der Gleichungen etwas weiter ausführen, da sich an diese die Möglichkeit knüpft, aus Beobachtungen nicht gesättigter Ströme den Wert der *Konstanten  $\alpha$  der Wiedervereinigung* zu bestimmen.

Zu diesem Zwecke bringen wir die Gleichung auf die Form:

$$\varepsilon l q_2 - c = \alpha \varepsilon \int_0^l \bar{N}_1^+ \bar{N}_1 dx.$$

Setzen wir zur Abkürzung:

$$\begin{aligned} \frac{x}{l} \int_0^l \bar{N}^+ \bar{N} dx - \int_0^l \bar{N}^+ \bar{N} dx &= \mathfrak{X}_1, & \frac{l-x}{l} \int_0^l \bar{N}^+ \bar{N} dx - \int_x^l \bar{N}^+ \bar{N} dx &= \mathfrak{X}_1, \\ \frac{x^2}{l} \int_0^l \bar{N}^+ \bar{N} dx - 2 \int_0^x \int_0^x \bar{N}^+ \bar{N} dx dx &= \Xi, \end{aligned}$$

so wird:

$$\bar{N}_1^+ \mathfrak{F}_1 = \bar{N}^+ \mathfrak{F} + \frac{\alpha}{\nu U} \mathfrak{X}_1 + \frac{k^+}{\nu U} \frac{d \bar{N}^+}{dx},$$

$$\bar{N}_1 \mathfrak{F}_1 = \bar{N} \mathfrak{F} + \frac{\alpha}{\nu V} \mathfrak{X}_2 - \frac{k^-}{\nu U} \frac{d \bar{N}}{dx},$$

$$\mathfrak{F}_1^2 = \mathfrak{F}^2 + \frac{4 \pi \varepsilon (U+V)}{\nu U V} \alpha \Xi + 8 \pi \varepsilon \frac{k^+}{\nu U} (\bar{N}^+ + \bar{N} - \bar{N}_0).$$

Benutzt man diese Werte zur Berechnung des Integrales

$\int_0^l \bar{N}_1^+ \bar{N}_2 dx$ , so erhält man für  $\alpha$  die Gleichung:

$$\begin{aligned} \varepsilon l q_2 - c &= \alpha \varepsilon \left[ \int_0^l \bar{N}^+ \bar{N} dx + \frac{k^+}{\nu U} \left\{ \int_0^l \frac{1}{\mathfrak{F}} \left( \bar{N} \frac{d \bar{N}^+}{dx} - \bar{N}^+ \frac{d \bar{N}}{dx} \right) dx \right. \right. \\ &\quad \left. \left. - 8 \pi \varepsilon \int_0^l \frac{\bar{N}^+ \bar{N} (\bar{N}^+ + \bar{N} - \bar{N}_0)}{\mathfrak{F}^2} dx \right\} \right] \\ &+ \alpha^2 \varepsilon \frac{1}{\nu U V} \left[ \int_0^l \frac{\nu \bar{N} \mathfrak{X}_1 + U \bar{N}^+ \mathfrak{X}_2}{\mathfrak{F}} dx - 4 \pi \varepsilon (U+V) \int_0^l \frac{\bar{N}^+ \bar{N} \Xi}{\mathfrak{F}^2} dx \right]. \end{aligned}$$

Die numerische Rechnung gibt:

$$\varepsilon l q_2 - c = \alpha \varepsilon \times 0,85 \times 10^{-6} \frac{q^3 l^3}{\mathfrak{F}_0^3} \left\{ 1 + 4,65 \times 10^{-4} \frac{1}{\mathfrak{F}_0 l} \right. \\ \left. - 3,34 \times 10^{-16} \frac{q l}{\mathfrak{F}_0^3} \right\} \\ + \alpha^2 \varepsilon \times 0,143 \times 10^{-12} \times \frac{q^3 l^3}{\mathfrak{F}_0^4} \left\{ 1 - 0,81 \times 10^{-12} \frac{q l^3}{\mathfrak{F}_0^2} \right\}.$$

Näherungsweise kann man schreiben:

$$\varepsilon l q_2 - c = \alpha \varepsilon \times 0,85 \times 10^{-6} \frac{q^3 l^3}{\mathfrak{F}_0^3} + \alpha^2 \varepsilon \times 0,143 \times 10^{-12} \frac{q^3 l^3}{\mathfrak{F}_0^4}.$$

Hier ist:

$$c = \varepsilon l q.$$

Die Gleichung kommt daher auf die einfachere Form:

$$l(q_2 - q) = \alpha \times 0,85 \times 10^{-6} \times \frac{q^3 l^3}{\mathfrak{F}_0^3} + \alpha^2 \times 0,143 \times 10^{-12} \times \frac{q^3 l^3}{\mathfrak{F}_0^4}.$$

Benutzt man diese Gleichung zur Berechnung von  $\alpha$ , so ergibt sich:

$$\alpha = 1,18 \times 10^6 \times \frac{\mathfrak{F}_0^2 (q_2 - q)}{l^3 q^3} \left\{ 1 - 0,20 \frac{q_2 - q}{q} \right\}.$$

Der Wert von  $\alpha$  wird also kleiner, wenn man das quadratische Glied mit berücksichtigt.

Führt man an Stelle von  $q_2$  und  $q$  die Dichten  $\mathfrak{C}$  des Sättigungsstromes und  $c$  des wirklich beobachteten Stromes ein, so wird:

$$\alpha = 5,52 \times 10^{-4} \times \frac{(\mathfrak{C} - c) \mathfrak{F}_0^2}{l c^2} \left( 1 - 0,20 \frac{\mathfrak{C} - c}{c} \right).$$

(Eingegangen 4. August 1903.)

✓

9. *Über den Spannungsverlust im elektrischen  
Lichtbogen;  
von Günther Schulze.*

(Auszug aus der Inaugural-Dissertation zu Hannover.)

---

Über den Spannungsabfall im elektrischen Lichtbogen sind schon sehr viele Arbeiten veröffentlicht worden. Die weit überwiegende Mehrzahl derselben bezieht sich jedoch nur auf den Kohlebogen, welcher aus verschiedenen Gründen zu Untersuchungen über die Ursachen des Spannungsabfalles wenig geeignet ist. Denn erstens verbrennt die Kohle bei der Temperatur des Lichtbogens sehr lebhaft, wodurch die lediglich elektrischen Erscheinungen verdeckt werden, zweitens bildet sie im Lichtbogen sowohl mit Sauerstoff als auch mit Stickstoff Gase (CO und CN u. a.), und es ist unsicher, ob CO oder CN oder gasförmige Kohle der Träger des Stromes ist. Endlich scheint sie bei einer sehr hohen Temperatur direkt aus dem festen in den gasförmigen Zustand überzugehen. Die wenigen bisher mit Metallen vorgenommenen Versuche beziehen sich nur auf einzelne Punkte, aus denen sich keine zusammenfassenden Schlüsse ziehen lassen. Dazu kommt noch, daß sich zwischen den Resultaten der verschiedenen Beobachter unvereinbare Widersprüche finden.

Alles das war die Veranlassung zu der folgenden Untersuchung, deren Aufgabe es ist, klarzustellen, von welchen Größen der Spannungsabfall an der Grenze zwischen den Elektroden und dem Gas des Bogens (die sogenannte „elektromotorische Gegenkraft des Lichtbogens“) abhängt und daraus womöglich auf die inneren Gründe dieses Spannungsabfalles zu schließen.

Zur Vereinfachung sei bezeichnet mit:

$E$  der gesamte Spannungsabfall des elektrischen Lichtbogens,

$e_a$  der Spannungsabfall beim Übergange des Stromes aus der Anode in das Gas des Bogens,

$e_k$  der Spannungsabfall beim Übergange des Stromes aus dem Gas des Bogens in die Kathode,

$e_a + e_k = e$ ,

$l$  die Länge des Lichtbogens in Millimetern,

$i$  der Strom des Lichtbogens in Ampère.

Alle Spannungen in Volt.

Die Stelle, an welcher der Strom aus der Anode ausbez. in die Kathode eintritt, heiße Anoden- bez. Kathodenpunkt, allgemein Bogenpunkt.

Die bei den eigenen Messungen verwandte Versuchsanordnung war folgende.

Die benutzte Bogenlampe, welche sich zur Abblendung des Lichtes in einem großen Holzgehäuse befand, war so konstruiert, daß nach Ausschaltung des elektrischen Regulierungsmechanismus und der Hemmvorrichtung das Werk die Elektroden einander zu nähern strebte. An dem Halter der unteren Elektrode war eine Schnur befestigt, welche durch Gleitringe zum Platze des Beobachters führte und eine empfindliche Regulierung der Länge des Lichtbogens ermöglichte. Letzterer wurde mit Hilfe eines Steinheilschen Gruppenantiplanets in zehnfacher Vergrößerung auf einen weißen Schirm geworfen. Die Vergrößerung wurde dadurch eingestellt, daß der Durchmesser der unteren Kohle genügend weit vom Bogen entfernt mit einer Mikrometerschraube bestimmt, und dann die Entfernung des Schirmes vom Lichtbogen so lange verändert wurde, bis das Bild der betreffenden Stelle der Kohle die zehnfache Breite aufwies.

Der Strom wurde einer Akkumulatorenbatterie von 110 Volt entnommen, deren Spannung konstant war. Die Spannung  $E$  des Lichtbogens wurde an den Haltern der Lampe gemessen. Wiederholt wurde der Übergangswiderstand Halter-Kohle bestimmt. Er betrug im Mittel  $0,036 \Omega$ . Der spezifische Widerstand der verwandten Kohle ergab sich zu  $84 \text{ Ohm, m, mm}^2$ . Aus beiden Größen konnte der Spannungsverlust zwischen Halter und Bogenpunkt berechnet und in Abzug gebracht werden.



Zur Bestimmung von  $e_a$  und  $e_k$  wurden Kohlenstäbe von 1,5 mm Durchmesser und 100 mm Länge benutzt. Dieselben wurden in Messinghalter gespannt, welche in einem beweglichen Stativ befestigt wurden. Es wurde festgestellt, daß der Widerstand der Kombination gegen den Widerstand des benutzten Präzisionsvoltmeters zu vernachlässigen war. Mit Hilfe eines Umschalters konnten unmittelbar nacheinander  $e_a$  und  $e_k$  gemessen werden.

Sämtliche zum Lichtbogen verwandte Kohlen waren Homogenkohlen. Die Spannungskurve war bei verschiedenen Exemplaren dieselbe. Die Kohlen hatten sämtlich einen Durchmesser von 13,2 mm.

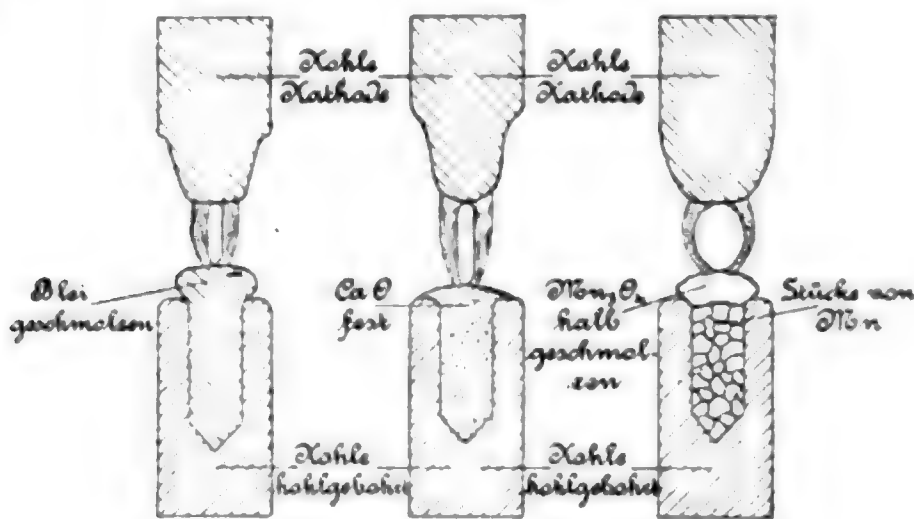


Fig. 1.

Der Durchmesser aller benutzten Metallelektroden betrug 11,0 mm. Als massive Elektroden wurden Fe, Ni, Cu verwandt. Versucht wurden solche aus Pb, Sb, Sn, Zn, Bi. Es zeigte sich aber, daß diese Metalle so stark fortschmolzen, daß eine Messung nicht möglich war. Um nun doch obige Elemente und auch noch andere untersuchen zu können, wurden Homogenkohlen von 13,2 mm Durchmesser mit einer 20—30 mm tiefen Bohrung von 6 mm Durchmesser versehen und die betreffenden Stoffe hineingefüllt. Zur Erläuterung diene Fig. 1.

So wurden Pb, Sb, Sn, Bi, Ag, Mn, Cr, Co, Mg untersucht. Es wurde Sorge getragen, daß die Kuppe des Metalles so hoch über die Kohle hinausragte, daß die letztere den Bogen nicht mehr beeinflussen konnte.

Die Messung der Bogen aus Pb, Sb, Sn, Bi, Ag bot insofern einige Schwierigkeiten, als die Metalle einige Minuten nach dem Einschalten in heftiges Kochen gerieten, so daß

der Strom unterbrochen werden mußte. Die Kuppen dieser Metalle blieben von Oxyd frei. Bei Fe, Cu, Ni, Mn, Cr, Co, Mg bildeten sich bald nach dem Einschalten Oxyde. Bei den Elementen Cd und Zn wurde von vornherein das Oxyd benutzt, bei K, Na, Si, Ba, Sr, Ca die Karbonate. Auch hier wurde vor der Messung so lange Substanz nachgefüllt, bis die Kohle völlig damit gefüllt und durchtränkt war und sich eine Kuppe gebildet hatte. Bei der Temperatur des Bogenpunktes verwandelten sich die Karbonate in die Oxyde, wie die chemische Untersuchung der Stellen, von denen der Bogenpunkt ausgegangen war, ergab.

Bei dieser Versuchsanordnung mußte die die Metalle tragende Kohle die untere sein. Die obere war eine einfache Homogenkohle. Daß sie oben war, hatte den Vorteil, daß ihre aufsteigenden Verbrennungsgase nicht in den Bogen gelangten. Da Kohle weitaus am schwersten von allen untersuchten Stoffen verdampft, so bestand bei allen untersuchten Metallbögen das Gas des Bogens nahezu nur aus dem betreffenden Metalle und nicht aus C, so daß das für die einzelnen Elemente ermittelte  $e_a$  wirklich den Elementen eigen ist und nicht durch die gegenüberstehende Kohle mitbedingt wird, selbst für den Fall, daß  $e_a$  und  $e_k$  davon abhängig sein sollten, welches Gas die Elektrode umgibt. Zum Beweise dienen folgende Messungsergebnisse:

Messung von  $e_a$ .

$i = 6$  Amp.,  $l = 4$  mm, Anode unten.

Substanz	I. Beide Elektroden Metall $e_a$	II. Anode (unten) Metall Kathode (oben) Kohle $e_a$
$\text{Fe}_2\text{O}_3$	19,4 Volt	19,8 Volt
CuO	17,9 „	18,4 „
NiO	18,7 „	18,8 „

Die Abweichungen von  $\pm 0,5$  Volt liegen innerhalb der Fehlergrenze.

Immer war die metalltragende Kohle Anode.

Es wurde versucht Sn, Pb, Bi als Kathode gegen eine Kohlenanode zu verwenden. Dabei ergab sich ein völlig anderer Bogen. Waren die Metalle Anode, so war der Bogen lautlos, ziemlich stabil und scharf begrenzt. Waren sie dagegen Kathode, so erschien ein heftig prasselnder, mit großer Geschwindigkeit umherwirbelnder Bogen, welcher die ganze geschmolzene Kuppe in den wildesten Aufruhr brachte, kurz einer starken Funkenentladung viel ähnlicher war, als einem Lichtbogen. Länger als 4 mm war er meist nicht zu erhalten. Er erlosch dann so unvermittelt, als ob der Strom plötzlich ausgeschaltet wäre. Die Kurven  $E = f(l)$  steigen ganz außergewöhnlich steil an. Wegen der erwähnten Übelstände, vor allem auch, weil das Einführen einer Sonde in die Bögen nicht möglich war, wurde von einer Untersuchung der anderen Metalle in dieser Schaltung Abstand genommen.

Sämtliche Messungen wurden in der Weise vorgenommen, daß der Lichtbogen auf eine bestimmte gewünschte Länge eingereguliert und darauf erhalten wurde. Dann wurde, soweit es möglich war, gewartet, bis die Versuchsbedingungen konstant geworden waren.

Um den Einfluß der Kühlung der Elektroden festzustellen, wurden Kupferstäbe von 11 mm Durchmesser in Röhren aus Messing eingelötet. Durch diese Röhren wurde Wasser so schnell durchgeleitet, daß eine merkliche Erwärmung desselben nicht stattfand. Durch das wasserdichte Einlöten wurde verhindert, daß Spuren von Wasser oder Wasserdampf in den Lichtbogen gelangen und die Spannung verändern konnten.

Zur Ermittlung der Kurven  $e_a = f(l)$  und  $e_k = f(l)$  eignet sich am besten der Bogen zwischen zwei Eisenelektroden. Zwischen denselben gibt es, ebenso wie zwischen den verwandten Metallen Cr, Mn, Co, Ni zwei Bögen. Einen Bogen zwischen den Metallen selbst, einen anderen zwischen den Oxyden der Metalle. Der erstere erscheint nur einige Minuten nach dem Einschalten, solange auf den Elektrodenkuppen, besonders auf der Kathode, oxydfreie Stellen vorhanden sind, von denen er ausgehen kann. Oxyd an der Anode scheint ihn nicht wesentlich zu beeinträchtigen. Der Bogen ist lautlos. Beim Eisen ist die Farbe tiefblau, die Gestalt ellipsoidisch. Die Kurve  $E = f(l)$  liegt um 9 Volt tiefer, als bei dem Oxydbogen.

Die Bogen der anderen oben erwähnten Metalle zeigen *cum grano salis* und abgesehen von der Farbe dieselben Erscheinungen. Im folgenden sei nur der Eisenbogen behandelt.

Durch Auflösen der Oxydkuppen, welche erkaltet auf den Elektroden nur lose aufsitzen, in konzentrierter  $\text{HCl}$  in einer Atmosphäre von  $\text{CO}_2$  und Untersuchung der Lösung mit  $\text{K}_4\text{Fe}(\text{CN})_6$  sowie  $\text{K}_3\text{Fe}(\text{CN})_6$  wurde festgestellt, daß die Kuppen sowohl  $\text{FeO}$  als auch  $\text{Fe}_2\text{O}_3$  enthielten, also wohl aus  $\text{Fe}_3\text{O}_4$  bestanden. Das ist ja auch die bei hohen Temperaturen in Luft beständigste Verbindung.

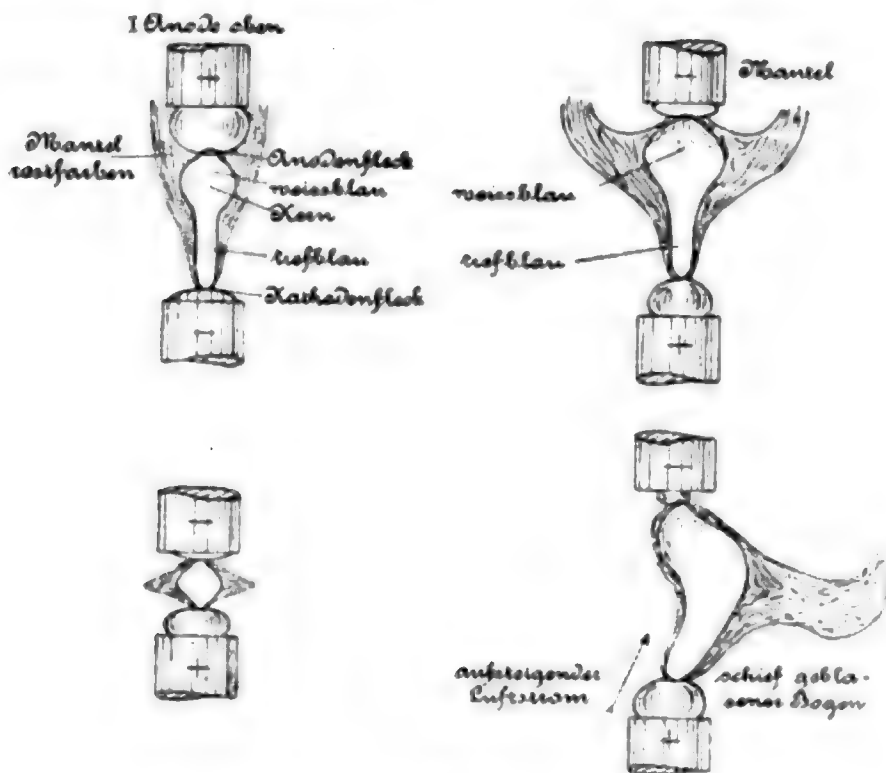


Fig. 2.

Der Oxydbogen zischt heftig. Es fließt also in ihm ein Strom mit Schwankungen hoher Periodenzahl.

Die Form des Bogens zeigt Fig. 2.

Aus der Form des Bogens geht hervor, daß beide Elektroden Dampf ihrer Substanz aussenden und zwar die Kathode mit viel größerer Heftigkeit als die Anode.

Die Kurve  $E = f(l)$  des Eisenoxydbogens ist keine Gerade, sondern  $E$  wächst mit  $l$  verzögert. Also müssen sich  $e_a$  oder  $e_k$  mit der Länge ändern. Um diese Änderungen zu ermitteln, wurde eine Kohlesonde bei verschiedenen Bogenlängen in das Gas des Bogens eingeführt, und  $e_a$  und  $e_k$  aus den gemessenen Spannungswerten berechnet.

Die so erhaltenen Kurven (vgl. Fig. 3) zeigen uns folgendes:

1.  $e_a$  und  $e_k$  wachsen mit  $l$  verzögert und zwar beide ziemlich in gleicher Weise. Also wächst auch  $e$  mit zunehmender Bogenlänge verzögert.

2.  $e_a = f(l)$  und  $e_k = f(l)$  liegen niedriger, wenn sie der oberen Elektrode angehören.

Beide elektrod. Sisen mit geschmolzenen Klappen aus Fe, O.  
 ----- Anode oben, ----- Kathode oben, ----- Mittel aus beiden.  
 Stromstärke 1 Ampere

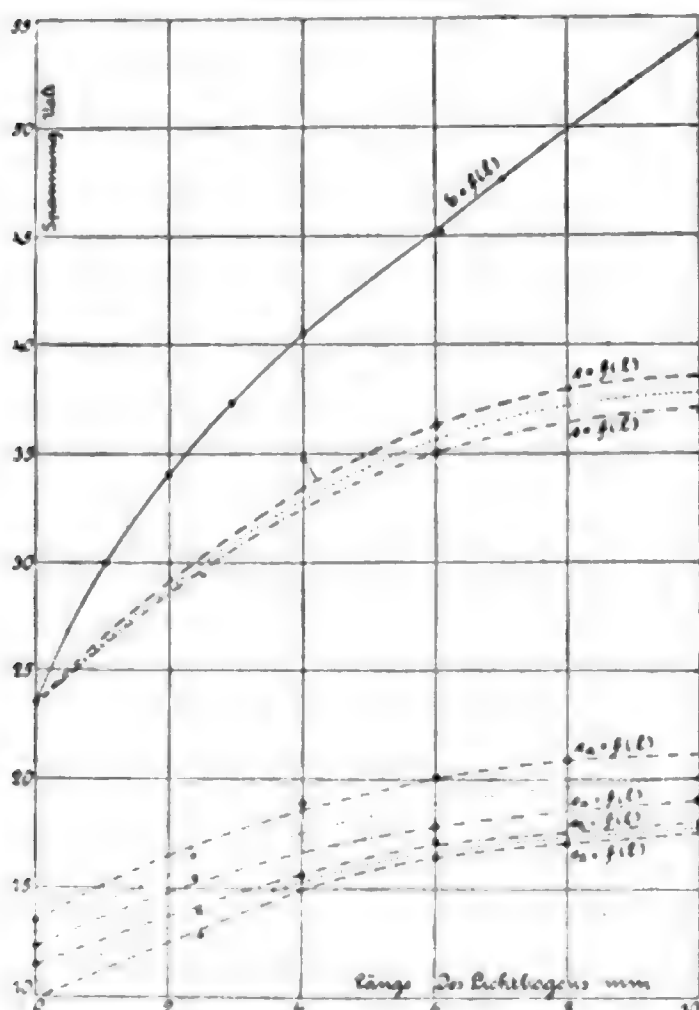


Fig. 3.

Dieses zeigt sich am besten bei den Gruppen der Alkalien und Erdalkalien, aber auch deutlich und unzweifelhaft bei folgenden Gruppen:

- |                   |                |
|-------------------|----------------|
| 1. I, B: Cu, Ag;  | 3. IV: Sn, Pb; |
| 2. II, B: Zn, Cd; | 4. V: Sb, Bi.  |

Die Vergleichung der einzelnen Gruppen ergibt, daß die Gruppe, welche im Durchschnitt höheres Atomgewicht und höheren Schmelzpunkt hat, auch die höheren Kurven  $E = f(l)$  und das höhere  $e_a$  aufweist.

3.  $e_a = f(l)$  liegt höher als  $e_k = f(l)$  und zwar im Mittel um 2,6 Volt.

Die am Eisenoxydbogen erhaltenen Resultate werden bestätigt durch die gleichen Messungen am Kohle- und Kupferoxydbogen.

Wenden wir uns nun dem Einflusse des Materiales auf  $e_a$ ,  $e_k$ ,  $e$  zu, indem wir alles andere als konstant ansehen. Da zeigt uns die Tab. I folgendes:

1.  $e_a$  nimmt innerhalb einer chemischen Gruppe (des Mendelejeffschen Systems) mit zunehmendem Atomgewicht ab.



Tabelle.

Kohle, Kathode oben, gegen nachstehende Metalle als Anode unten.

Längen in mm. Stromstärke 4 Amp. Spannungen in Volt.

Gruppe im System von Mendeleeff	Element bez. Verbindung	I e für die Bogenlänge O	II Bogenlänge	II e für die nebenstehende Bogenlänge	$e_a$	$e_k$ für dieselbe Bogenlänge	Atomgewicht (O = 16)	Schmelzpunkt der betr. Metalle (nicht der Oxyde)	Siedepunkt
I, A Alkalien	Li <sub>2</sub> O	11,1	8	12,9	7,0	5,9	7,03	180°	—
	Na <sub>2</sub> O	9,8	6	11,8	6,8	5,0	23,03	97	900°
	K <sub>2</sub> O	9,8	8	11,7	4,9	6,8	39,15	60	700
II, A Erdalkalien	MgO	15,4	8	22,4	13,0	9,4	24,36	750	1100
	CaO	13,0	8	19,1	11,3	7,8	40,00	Rotglut	—
	SrO	11,9	8	17,7	9,9	7,8	87,6	„	—
	BaO	11,2	8	14,9	7,0	7,9	137,4	1500	—
I, B	CuO	21,0	5	29,4	19,1	10,8	63,6	1100	—
	Ag	17,0	—	—	—	—	107,93	957	—
II, B	ZnO	17,0	8	26,9	17,6	9,3	65,4	412	950
	CdO	14,4	8	22,4	13,3	9,1	112,0	318	800
IV	C	39,7	8	47,0	36,3	10,7	12,00	—	—
	Sn	13,9	8	20,6	10,9	9,7	118,5	233	1580
	Pb	11,0	8	17,2	8,7	8,5	206,9	334	1520
V	Sb	15,0	8	22,0	13,4	8,6	120,0	480	1400
	Bi	11,5	8	15,5	8,3	7,2	208,5	267	1400
VI—VIII	Cr	15,4	8	20,6	10,8	9,8	52,1	über 2000	—
	Mn	11,0	8	20,3	11,1	9,2	55,0	1900	—
	Fe	—	—	—	—	—	56,0	1580	—
	Co	13,9	—	—	—	—	59,0	1500	—
	Ni	—	—	—	—	—	58,7	1450	—
VI—VIII	Cr <sub>2</sub> O <sub>3</sub>	20,1	8	26,8	17,0	9,8	52,1	über 2000	—
	Mn <sub>2</sub> O <sub>4</sub>	15,0	6	26,1	18,0	8,0	55,0	1900	—
	Fe <sub>2</sub> O <sub>4</sub>	20,1	8	32,6	22,5	10,1	56,0	1580	—
	Co <sub>2</sub> O <sub>4</sub>	18,8	8	27,1	16,8	10,8	59,0	1500	—
	NiO	17,5	8	31,9	22,7	9,8	58,7	1450	—



Dabei dürfen aber nur Oxydbögen unter sich und Metallbögen unter sich verglichen werden. Wie erwähnt, zeigen die Metalle der Eisengruppe beide Bögen, wenn auch nur der Oxydbogen beständig ist, und lassen dadurch erkennen, wie sehr  $e_a$  und  $E = f(l)$  für Oxyd- und Metallbogen verschieden sind.

Abgesehen von der Eisengruppe geht bei jedem Metall der Bogen entweder nur von einer Oxydkuppe oder nur von einer Metallkuppe aus. Oxydkuppe haben: K, Na, Li, Ba, Sr, Ca, Mg, Cr, Mn, Fe, Co, Ni, Cu, Zn, Cd. Metallkuppe haben: Bi, Pb, Sn, Sb, Ag. Versucht man zum Beispiel einen Sn-Bogen mit  $\text{SnO}_2$  herzustellen, so wird die  $\text{SnO}_2$ -Kuppe sogleich zu Sn reduziert, während bei Zn die Kuppe sogleich zu ZnO oxydiert wird.

Es läßt sich zeigen, daß alle oben für das Anodengefälle  $e_a$  der verschiedenen Metalle ermittelten Werte nur unter der Voraussetzung gelten, daß die Anode selbst das Lichtbogengas bildet. Nur in diesem Falle ist  $e_a$  allein von der Substanz der Elektrode abhängig. Weiter oben ist nachgewiesen, daß diese Bedingung bei den untersuchten Metallbögen für die Anode erfüllt ist. Dagegen ist sie nicht erfüllt für die Kathode. Die Farben der Bögen lassen ohne weiteres erkennen, daß sich die Kathode, die Kohle, fast gar nicht an der Bildung des Bogengases beteiligt. Die Tabelle liefert den Beweis, daß obige nur für die Anode aufgestellte Behauptung für die Kathode richtig ist. Die Kohlenkathode, welche kein Gas aussendet, hat auch nicht das der Kohle zukommende  $e_k = 10,7$  Volt, sondern das  $e_k$  steigt von 5,0 Volt bis auf 10,8 Volt in derselben Weise, wie das  $e_a$  der gegenüberstehenden und das Gas des Bogens liefernden Anode steigt.

Daß die obige Behauptung aber auch für die Anode gilt, zeigt sich am Bogen zwischen  $\text{Fe}_3\text{O}_4$  und C, wenn nicht wie oben die Kohle zur Kathode und oberen Elektrode, sondern zur Anode und unteren Elektrode gemacht wird. Dann tritt nämlich die sonderbare Erscheinung ein, daß bei Bogenlängen unter 4 mm ( $i = 6$  Amp.) der Bogen fast nur von Eisengas gebildet wird. Die Messung mit der Sonde ergibt:

$$e_a = 16,6 \text{ Volt}$$

$$(e_a \text{ Kohle} = 33,7 \text{ Volt, } e_a \text{ Eisen} = 16,9 \text{ Volt bei } l = 2,5).$$

Wird der Bogen über 4 mm hinaus verlängert, so wird er von zwei Gasen gebildet: Von der Eisenkathode aus bis zur Länge 4 mm von Eisengas, die ganze übrige Länge von Kohlengas. Die Grenze zwischen beiden Gasen ist scharf und die Farben sind rein. Die Gase scheinen sich also fast gar nicht zu mischen.

Jetzt ergibt die Messung:

$$e_a = 33,0 \text{ Volt.}$$

Solange also die Kohleanode von Eisengas umgeben ist, hat sie das  $e_a$  des Eisens, sobald sie dagegen selbst Gas aussendet, hat sie auch ihr eigenes  $e_a$ .

Hat man zwei einander parallele Kurven  $E = f(l)$ , so kann man wohl als sicher annehmen, daß der höher liegenden Kurve auch das größere

$$e_a + e_k = e \text{ angehört.}$$

Diese Annahme ist überall da von großem Werte, wo eine Sondenmessung wegen der Empfindlichkeit des Bogens nicht möglich ist. Das ist bei dem gekühlten Kupferbogen der Fall. Da müssen also die Kurven  $E = f(l)$  (vgl. Fig. 4) aushelfen. Dieselben lassen erkennen, daß bei Konstanthaltung alles übrigen  $e$  davon abhängig ist, wieviel Wärme den Bogenpunkten entzogen wird. Wird die Wärmeentziehung durch Ableitung in die Elektroden dadurch geringer gemacht, daß das Kupfer

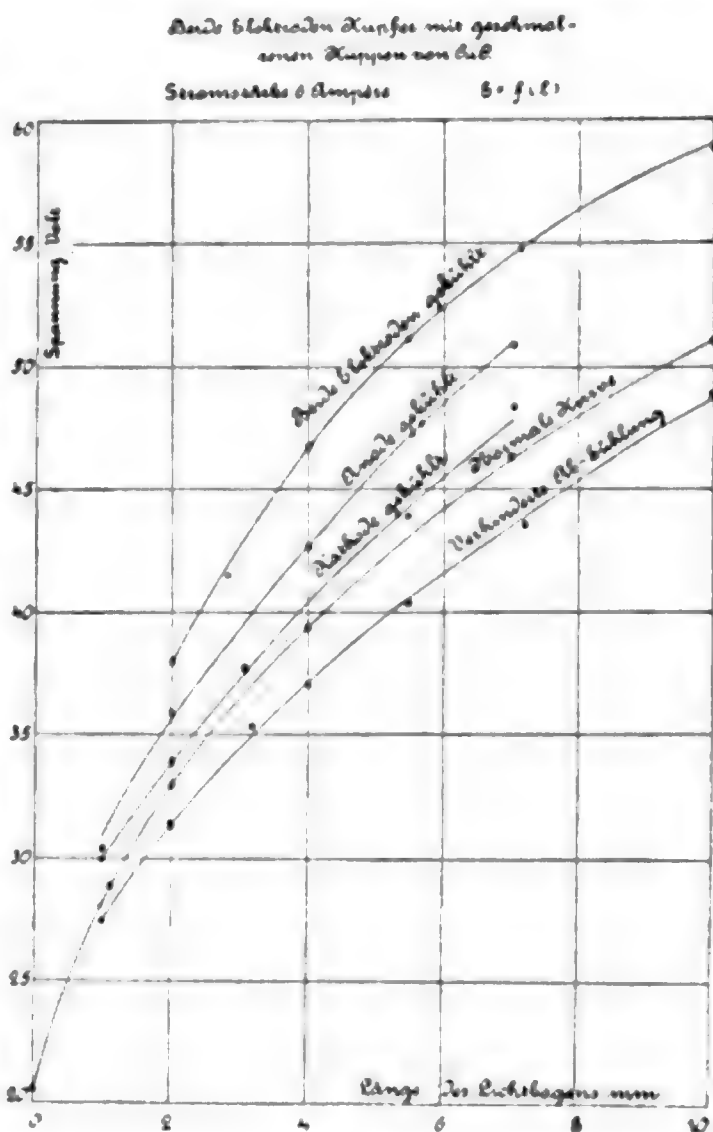


Fig. 4.

wie bei den oben beschriebenen Versuchen in eine ausgebohrte Kohle eingefüllt wird, so sinkt  $e$ . Verstärkt man die Wärmeentziehung dadurch,

daß man die Elektroden in der eingangs geschilderten Weise mit Wasser kühlt, so steigen  $e_a$  und  $e_k$  und zwar scheint  $e_a$  erheblich stärker zu steigen als  $e_k$ .

Diese Erscheinungen lassen sich aber nur am Kupferbogen gut verfolgen, da die vorzügliche Wärmeleitfähigkeit des Kupfers und die geringe Oxydbildung auf den Elektrodenkuppen es möglich machen, dem Bogenpunkte erhebliche Wärmemengen zu entziehen. Schon bei Eisen ist die Wirkung der scharfen Wasserkühlung so gering, daß sie in die Versuchsfehler eingeht, einmal, weil Eisen die Wärme viel schlechter leitet als Kupfer, zweitens, weil sich auf dem Eisen sehr schnell Oxydkuppen bilden, welche mit dem Eisen nur lose zusammenhängen und die Wärme schlecht zu leiten scheinen. Dasselbe gilt für die meisten anderen Stoffe.

Bezüglich der Abhängigkeit der Größen  $e_a$  und  $e_k$  vom Strome wurde folgendes ermittelt:

1. Für sehr geringe Bogenlängen (für  $l = 0$ ) ist  $e$  von der Stromstärke unabhängig.

2. Für größere Bogenlängen nimmt  $e_a$  mit zunehmender Stromstärke verzögert ab und zwar viel stärker als  $e_k$ , welches bei  $\text{Fe}_3\text{O}_4$  gar nicht, bei  $\text{CuO}$  wenig abnimmt.

3. Die Abnahme von  $e_a$  und  $e_k$  ist ebenfalls für  $\text{CuO}$  stärker als für  $\text{Fe}_3\text{O}_4$  und die  $\text{CuO}$ -Kurve läßt besser als die  $\text{Fe}_3\text{O}_4$ -Kurve die Verzögerung der Spannungsabnahme mit zunehmender Stromstärke erkennen.

Zur Erklärung dieser Messungsergebnisse machen wir folgende Annahme:

„Elektrizitätsmengen, wie *Starkströme* sie führen, können nur dann von einem festen Körper oder einer Flüssigkeit in ein Gas übergehen, wenn sie auf den Molekülen des Körpers oder der Flüssigkeit befindlich mit denselben in das Gas austreten, also wenn der Körper verdampft. An der anderen Elektrode muß dann entsprechend ein Niederschlag des Dampfes stattfinden. Wir nehmen also an, daß der Durchgang der Elektrizität durch Gase sich dem Durchgange durch Elektrolyte analog verhält.“

Diese Hypothese wird wahrscheinlich durch die eigentümliche Gestalt des Kernes, welcher als der allein in Betracht

kommende Stromleiter anzusehen ist. Der Durchmesser des Bogenpunktes beträgt zum Beispiel bei Eisen ( $i = 6$  Amp.) 1 mm, während der größte Durchmesser des Kernes 5 mm beträgt ( $l = 7$  mm). Ferner grenzt sich der Bogenpunkt durch seine große Helligkeit so scharf von der Umgebung ab und sendet solche Dampfmenen in den Bogen, daß an ihm die Siedetemperatur der betreffenden Elektrodensubstanz herrschen muß. Würde die Elektrizität nicht von dem Gas der Elektroden, sondern von der hochebizzten Luft übergeföhrt, so müßte der Übergang in gleichmäßig breitem Strome von der ganzen Elektrodenfläche aus stattfinden. Es dürfte sich kein scharf abgegrenzter kleiner Bogenpunkt finden und die eigentümliche Eiform des Bogens wäre unerklärlich.

Sehen wir nun zu, wie weit wir mit dieser Annahme unsere Meßresultate erklären können.

Wenn an dem Bogenpunkte der Elektroden der Siedepunkt der betreffenden Substanz konstant erhalten werden soll, so muß dem Bogenpunkte in jedem Augenblicke so viel Wärme zugeföhrt werden, wie ihm entzogen wird.

Wärme entzogen wird ihm 1. durch Strahlung, 2. durch Ableitung in die Elektroden, 3. durch Bildung der erforderlichen Dampfmenge.

Setzen wir den Strom konstant und vernachlässigen die Wärme, welche allenfalls durch Verbrennung der Elektroden entsteht (sie könnte höchstens bei C in Frage kommen), so ist der durch den Wärmeverlust an den Bogenpunkten hervorgerufene Spannungsverlust dem ersteren proportional. Dabei läßt sich annehmen, daß dieser Spannungsverlust und Wärmersatz hauptsächlich durch Widerstandserhitzung stattfindet, indem der Strom so lange einen hohen Übergangswiderstand findet, bis die Siedetemperatur erreicht ist und ihm die genügende Anzahl verdampfende Moleküle zum Austritt bietet.

Bei geringen Bogenlängen muß der Wärmeverlust durch Strahlung geringer sein als bei größeren, da bei ersteren ein großer Teil der von der einen Elektrode ausgestrahlten Wärme die andere trifft und erwärmt. Diese gegenseitige Bestrahlung nimmt mit zunehmender Bogenlänge verzögert ab, also muß der Wärmeverlust und damit  $e_a$  und  $e_k$  mit der Bogenlänge verzögert zunehmen.



Die obere Elektrode wird durch die aufsteigenden heißen Bogengase erwärmt, braucht also selbst weniger Wärme zu erzeugen. Also  $e_a = f(l)$  und  $e_k = f(l)$  müssen niedriger liegen, wenn sie der oberen Elektrode angehören.

Der Wärmeverlust, welchen der Bogenpunkt erleidet, ist um so größer, je höher der Siedepunkt liegt. Die Siedepunkte der meisten Metalloxyde sind unbekannt. Doch ist bekannt, daß die Schmelzpunkte der Metalle innerhalb einer chemischen Gruppe mit zunehmendem Atomgewicht abnehmen, und es ist anzunehmen, daß sich die Siedepunkte ebenso verhalten. Dann müssen  $e_a$  und  $e_k$  innerhalb einer chemischen Gruppe mit zunehmendem Atomgewichte abnehmen.

Diese Übereinstimmung kann aber keine vollständige sein, weil der Wärmeverlust des Bogenpunktes auch noch von dessen Größe, dem Emissionsvermögen, dem Leitungsvermögen und der latenten Dampfwärme der betreffenden Substanz abhängt, wodurch die Abhängigkeit vom Siedepunkte vielfach verwischt werden muß. Wir haben zwar gesehen, daß die Wärmeableitung in die Elektroden bei allen Substanzen außer Cu und Ag keine Rolle spielt. Dagegen wird die Wärmemenge, welche aus dem Bogenpunkte in die nächste Umgebung der Oxydkuppen abgegeben und von diesen ausgestrahlt wird, durchaus nicht gering sein. Sie ist nur der Messung nicht zugänglich, weil es unmöglich ist, nahe genug an den Bogenpunkt mit Kühlmaterial heranzukommen.

Jedes Material kann nur dann sein eigenes  $e_a$ ,  $e_k$  haben, wenn es die ihm zugehörige Siedetemperatur besitzt, also wenn sich auf ihm entweder Gas seiner eigenen Substanz bildet oder niederschlägt. Wird ihm dagegen die Elektrizität auf Molekülen eines anderen Gases zugeführt, so wird sein Bogenpunkt die Siedetemperatur dieses Gases annehmen müssen, da dann und nur dann die Bedingung für den der Stromstärke entsprechenden Niederschlag der Moleküle gegeben ist. Denn wäre die Temperatur wesentlich niedriger, so würde kein Bogengas in der Nähe bestehen können, wäre sie höher, so würden sich die Moleküle nicht niederschlagen können. Das erklärt die Erscheinungen am  $\text{Fe}_3\text{O}_4$ —C-Bogen, wenn C Anode und unten ist.

Durch verstärkte Wärmeentziehung muß der Wärmeverlust, also  $e_a$ ,  $e_k$ , steigen, durch verringerte Wärmeentziehung sinken.

Wird der Strom auf das Doppelte gesteigert, so steigt, wie die Messungen verschiedener Forscher ergeben, die Fläche des Bogenpunktes nicht auf das Doppelte, sondern wächst mit dem Strome verzögert, wohl weil je größer der Bogenpunkt, um so geringer der Einfluß der Wärme entziehenden Randzone desselben ist. Ferner, da die Temperatur des Bogenpunktes konstant, gleich der Siedetemperatur, bleibt, so muß auch die Wärmeableitung in die Elektroden nahezu konstant bleiben (nur nahezu, weil sich der Bogenpunkt vergrößert).  $e_a$  und  $e_k$  müssen also mit zunehmendem Strome abnehmen. Diese Abnahme muß bei Kupfer stärker sein als bei Eisen, weil bei Kupfer der Wärmeverlust durch Ableitung in die Elektroden, welcher ja nahezu konstant ist, einen größeren Teil des gesamten Spannungsverlustes ausmacht, als bei Eisen.

So hat sich also gezeigt, daß sich mit der obigen Annahme: „Elektrizitätsmengen, wie Starkströme sie führen, können nur dann von einem festen Körper oder einer Flüssigkeit in ein Gas übergehen, wenn sie auf den Molekülen des Körpers oder der Flüssigkeit befindlich mit denselben in das Gas austreten, also wenn der Körper verdampft“, alle Resultate obiger Messungen, mit Ausnahme des verschiedenartigen Verhaltens von  $e_a$  und  $e_k$ , erklären lassen.

Man wird also dieser Annahme eine gewisse Wahrscheinlichkeit nicht absprechen können.

(Eingegangen 25. Juli 1903.)



**10. Über die Gültigkeit des Massensatzes  
von Gauss für bewegte elektrische Massen;  
von Emil Kohl.**

---

Wenn ein Kraftfeld gegeben ist, welches der Anwesenheit gewisser, nach dem Coulombschen Gesetze fernwirkender Massen zugeschrieben werden kann, so ist nach Gauss

$$\int_0 S_n dO = 4\pi e \text{ bez. } = 0,$$

wenn mit  $dO$  das unendlich kleine Stück der geschlossenen Fläche  $O$ , mit  $S_n$  die in der Richtung der Normale wirkende Kraftkomponente und mit  $e$  die fernwirkende Masse bezeichnet wird, je nachdem diese Masse innerhalb oder außerhalb der geschlossenen Fläche  $O$  liegt.

Es kann gezeigt werden, daß dieser Satz auch für bewegte elektrische Massen gilt, bei denen also die ausgeübten Kräfte nicht mehr dem Coulombschen Gesetze gehorchen. Was die später verwendeten Formeln und Bezeichnungen betrifft, so muß, um Weitschweifigkeiten zu vermeiden, auf eine vorhergehende Arbeit des Verfassers<sup>1)</sup> verwiesen werden, von der dieser Aufsatz eine Fortsetzung bildet.

Es mögen drei Funktionen  $P$ ,  $Q$ ,  $R$  betrachtet werden, welche im ganzen Raume mit Ausschluß eines bestimmten, innerhalb der beliebig gewählten geschlossenen Fläche  $O$  liegenden Gebietes der Gleichung

$$(1) \quad \frac{\partial P}{\partial x} + \frac{\partial Q}{\partial y} + \frac{\partial R}{\partial z} = 0$$

genügen; über die Beschaffenheit der Funktionen in jenen Gebieten des Raumes  $O$ , wo die Gleichung (1) nicht mehr gilt, soll keine weitere Voraussetzung gemacht werden. Man integriere nun das Integral

$$\iiint \left( \frac{\partial P}{\partial x} + \frac{\partial Q}{\partial y} + \frac{\partial R}{\partial z} \right) dx dy dz$$

---

1) E. Kohl, Ann. d. Phys. 11. p. 515—528. 1903.

von der Fläche  $O$  an bis zur unendlich weiten, den Raum als einschließend zu betrachtenden Fläche  $\Omega$ . Man erhält so wegen (1)

$$(2) \quad \begin{cases} \lim \left[ \iint P dy dz + Q dx dz + R dx dy \right]_{\Omega} \\ = \left[ \iint P dy dz + Q dx dz + R dx dy \right]_O. \end{cases}$$

Es mögen nun die Vektoren  $P, Q, R$  als gewisse Kraftkomponenten nach den Achsen aufgefaßt werden, und die Normalkomponenten auf  $\Omega$  bez.  $O$  seien mit  $S_{n(\Omega)}$  bez.  $S_n$  bezeichnet; dann geht (2) in

$$(2') \quad \lim \int S_{n(\Omega)} d\Omega = \int S_n dO$$

über. Die Kraft  $S_n$  ist im allgemeinen bei den Erscheinungen der Fernwirkung so beschaffen, daß sie im Unendlichen unendlich klein zweiter Ordnung wird; daher nähert sich der Grenzwert links in diesem Falle einer ganz bestimmten Größe. Hieraus folgt, daß in solchen Fällen das Integral rechts unabhängig von der Wahl der geschlossenen Fläche  $O$  einen bestimmten Wert annimmt, sofern dieselbe nur die Stellen, für welche (1) nicht mehr gilt, ganz in sich enthält.

Es werde nunmehr ein elektrisches, in beliebiger Bewegung begriffenes Teilchen betrachtet, welches im freien Äther ein elektromagnetisches Feld mit den Komponenten der elektrischen Verschiebungskraft

$$(3) \quad \begin{cases} P = -e \left[ \frac{\partial U}{\partial x} + \frac{1}{\mathfrak{B}^2} \frac{d}{dt} (c_{\xi}(\omega) U) \right], \\ Q = -e \left[ \frac{\partial U}{\partial y} + \frac{1}{\mathfrak{B}^2} \frac{d}{dt} (c_{\eta}(\omega) U) \right], \\ R = -e \left[ \frac{\partial U}{\partial z} + \frac{1}{\mathfrak{B}^2} \frac{d}{dt} (c_{\zeta}(\omega) U) \right]; \\ U = \frac{1}{r(1 - k_{\sigma}(\omega) \cos \vartheta)} \end{cases}$$

erzeugt. [Vgl. (28), l. c. p. 527.] Was die Größe  $e$  betrifft, so ist sie der Erfahrungstatsache entnommen, daß die von einem elektrischen Teilchen ausgeübte elektrische Verschiebungskraft außer von der Entfernung noch von einem zweiten, dem Teilchen selbst zugehörigen Faktor abhängt, den man proportional der ausgeübten Kraft setzt; die Proportionalitäts-

konstante wird, auf den freien Äther bezogen, in der Elektrizitätstheorie bekanntlich gleich 1 gewählt. Das Auftreten dieses Faktors wird in Analogie mit mechanischen Vorstellungen dem Vorhandensein einer elektrischen Masse zugeschrieben, ohne daß diesem Ausdrucke ein anderer als ein symbolischer Charakter zuzukommen braucht.

Man kann die Form von  $U$  physikalisch so deuten, daß der Anstoß zur Erregung der elektromagnetischen Kraft eine gewisse Zeit braucht, um sich von einer bestimmten Lage des Teilchens zu den übrigen Punkten des Raumes auszubreiten, und daß der geometrische Ort aller von der Bewegung gleichzeitig ergriffenen Punkte in einer Kugelfläche mit dem Halbmesser  $r$  liegt, deren Mittelpunkt diese Lage des Teilchens bildet. Denn als Gleichung dieses geometrischen Ortes folgt aus  $\omega = \text{konst.}$  für eine gegebene Zeit  $r = \text{Konst.}$

Wie Gleichung (29) der erwähnten Arbeit zeigt, erfüllen die Ausdrücke  $P, Q, R$  tatsächlich die Bedingung (1); sie werden ferner, wie ihre Gestalt zeigt, im Unendlichen unendlich klein von zweiter Ordnung, weshalb die vorhin angestellten Betrachtungen hier anwendbar werden.

Wenn man nun die Größen  $P, Q, R$  wirklich berechnet, so ergibt sich unter Berücksichtigung der Formeln (7 b), (9), (11') und (17) l. c. für  $P$  der Ausdruck

$$(4) \quad \left\{ \begin{aligned} P = & - \frac{e(1 - k_\sigma^2(\omega))(k_\xi(\omega) - \cos \lambda)}{r^3(1 - k_\sigma(\omega) \cos \vartheta)^3} - \frac{e(k_\xi(\omega) - \cos \lambda)}{\mathfrak{B} r(1 - k_\sigma(\omega) \cos \vartheta)^3} \\ & \left[ \cos \lambda \frac{d k_\xi(\omega)}{d \omega} + \cos \mu \frac{d k_\eta(\omega)}{d \omega} + \cos \nu \frac{d k_\zeta(\omega)}{d \omega} \right] \\ & - \frac{e \frac{d k_\xi(\omega)}{d \omega}}{\mathfrak{B} r(1 - k_\sigma(\omega) \cos \vartheta)^3}; \end{aligned} \right.$$

die entsprechenden Werte für  $Q$  und  $R$  folgen aus dieser Formel durch zyklische Permutation. Es wurde nun schon darauf hingewiesen, daß sich der geometrische Ort aller Punkte, welche von einer bestimmten Lage des Teilchens aus in elektromagnetische Bewegung versetzt werden, auf einer Kugelfläche befindet, deren Mittelpunkt das Teilchen bildet und deren Halbmesser gleich  $r$  ist. Man wird demnach als die unendlich weite Fläche  $\Omega$  jene Kugel auffassen können, in deren Mittelpunkt sich das Teilchen vor einer unendlich langen Zeit

befunden hat. Dies gilt, wenn das Teilchen unendlich lang in Bewegung begriffen gedacht werden kann; es wird sich aber zeigen, daß die Betrachtungen auch dann nicht ihre Geltung verlieren, wenn die Bewegung zu einer bestimmten Zeit begonnen hat. Die Werte von  $S_n$  auf dieser unendlich weiten Kugelfläche findet man, wenn man bildet

$$(5) \quad P \cos \lambda + Q \cos \mu + R \cos \nu = e \frac{1 - k_o^2(\omega)}{r^2 (1 - k_o(\omega) \cos \vartheta)^2}$$

und zum Grenzwerte für jene Kugelfläche übergeht, welche vor einer unendlich langen Zeit von der elektromagnetischen Bewegung beeinflusst wurde.

Es werde nun das Koordinatensystem so geändert, daß die Tangentenrichtung an die Bewegungskurve des Teilchens zur Zeit  $t_0 = -r/\mathfrak{B}$  als  $Z$ -Achse, die damalige Lage desselben als Koordinatenanfangspunkt gewählt wird; dann erhält man

$$(6) \quad S_{n(\Omega)} = e \frac{1 - k_o^2(\omega)}{r^2 (1 - k_o(\omega) \cos \vartheta)^2}, \quad d\Omega = 2\pi r^2 \sin \vartheta d\vartheta;$$

hierbei ist  $k_o(\omega)$  auf der betrachteten Kugel  $\Omega$  als konstant zu betrachten. Hieraus ergibt sich nach einigen einfachen Rechnungen

$$(7) \quad \left\{ \begin{array}{l} \lim \int S_{n(\Omega)} d\Omega = \int S_n dO = 2\pi (1 - k_o^2(\omega)) e \\ \int_0^{2\pi} \frac{\sin \vartheta d\vartheta}{(1 - k_o(\omega) \cos \vartheta)^2} = 4\pi e. \end{array} \right.$$

Wie man sieht, ist der Wert dieses Integrales übrigens ganz unabhängig davon, ob man zu jener Lage übergeht, welche das Teilchen vor unendlich langer Zeit eingenommen hat, oder ob man eine beliebige andere Kugel mit dem Teilchen als betreffenden Mittelpunkt wählt. Diese Bemerkung ist wesentlich für den Fall, daß das Teilchen seine Bewegung zu einer gewissen Zeit begonnen hat. Man kann sich dann zu einer gewissen Zeit  $t$  den Raum in zwei Teile zerlegt denken, welche durch jene Kugelfläche getrennt sind, bis zu der die elektromagnetische Bewegung inzwischen fortgeschritten ist und in deren Mittelpunkt sich das Teilchen zu Beginn der Bewegung befunden hat. In dem außerhalb dieser Kugel befindlichen Raum besteht nun eine elektrostatische, dem Coulombschen

Gesetze entsprechende Kraftverteilung, so daß (7) von vornherein gilt. Da das Oberflächenintegral an dieser Grenzfläche demnach in beiden Räumen denselben Wert besitzt, so folgt hieraus ohne weiteres die Gültigkeit der Gleichung (7) auch für diesen Fall.

Wenn die Fläche  $O$  keine fernwirkende elektrische Masse einschließt, so denke man sich eine zweite geschlossene Fläche  $O'$  gelegt, welche  $O$  nirgends schneidet und die fernwirkende Masse enthält. Es ist dann unter Berücksichtigung von (1)

$$\lim \int S_{n(\Omega)} d\Omega = \int S_n dO + \int S_n dO'$$

und zugleich

$$\lim \int S_{n(\Omega)} d\Omega = \int S_n dO',$$

woraus folgt

$$(8) \quad \int S_n dO = 0.$$

Bei der gegebenen Beweisführung ist angenommen, daß in den Gleichungen (3) die fernwirkende Masse  $e$  während der Bewegung des Teilchens ihrem Betrage nach ungeändert bleibt, also in den Feldgleichungen [l. c. p. 525, Gleichungen (27) und 28)] eine von der Zeit und den Koordinaten unabhängige Konstante darstellt, ein Satz, den Lorentz als eine Voraussetzung seiner Elektronentheorie einführt<sup>1)</sup> und den Hasenöhrl aus der von ihm aufgestellten Theorie bewiesen hat.<sup>2)</sup> Wie man sieht, steht Gleichung (7) in vollem Einklange mit dieser Annahme, da die Größe  $k_o(\omega)$  aus dem Resultate der Integration gänzlich hinausfällt.

Es erübrigt noch auf den allgemeinen Fall hinzuweisen, daß das betrachtete Mittel nicht mehr der freie Äther ist, sondern die Dielektrizitätskonstante  $D$  und die Magnetisierungszahl  $M$  besitzt. Setzt man nunmehr [vgl. l. c. p. 527, Gleichung (28')]

$$\begin{aligned} \frac{e_\xi(\bar{\omega})}{\mathfrak{B}_m} &= \bar{k}_\xi(\bar{\omega}) = \frac{\mathfrak{B}}{\mathfrak{B}_m} k_\xi(\bar{\omega}), & \frac{e_\eta(\bar{\omega})}{\mathfrak{B}_m} &= \bar{k}_\eta(\bar{\omega}) = \frac{\mathfrak{B}}{\mathfrak{B}_m} k_\eta(\bar{\omega}), \\ \frac{e_\zeta(\bar{\omega})}{\mathfrak{B}_m} &= \bar{k}_\zeta(\bar{\omega}) = \frac{\mathfrak{B}}{\mathfrak{B}_m} k_\zeta(\bar{\omega}), & \frac{e_o(\bar{\omega})}{\mathfrak{B}_m} &= \bar{k}_o(\bar{\omega}) = \frac{\mathfrak{B}}{\mathfrak{B}_m} k_o(\bar{\omega}), \end{aligned}$$

1) H. A. Lorentz, Versuch einer Theorie der elektrischen und optischen Erscheinungen in bewegten Körpern; p. 16. Leiden 1895.

2) F. Hasenöhrl, Sitzungsber. d. k. Akad. d. Wissensch. zu Wien 111. Abt. IIa. 1902; p. 1525—1548, Gleichungen (13) und (32).



so nehmen die Gleichungen (3) gemäß der in (28') l. c. p. 527 gegebenen allgemeinen Form folgende Gestalt an:

$$(3) \quad \begin{cases} P = -\frac{e}{D} \left[ \frac{\partial \bar{U}}{\partial x} + \frac{1}{\mathfrak{B}_m} \frac{d}{dt} (\bar{k}_x(\bar{\omega}) \bar{U}) \right], \\ \bar{Q} = -\frac{e}{D} \left[ \frac{\partial \bar{U}}{\partial y} + \frac{1}{\mathfrak{B}_m} \frac{d}{dt} (\bar{k}_y(\bar{\omega}) \bar{U}) \right], \\ \bar{R} = -\frac{e}{D} \left[ \frac{\partial \bar{U}}{\partial z} + \frac{1}{\mathfrak{B}_m} \frac{d}{dt} (\bar{k}_z(\bar{\omega}) \bar{U}) \right]; \\ \bar{U} = \frac{1}{\bar{r} (1 - \bar{k}_\sigma(\bar{\omega}) \cos \vartheta)}, \end{cases}$$

wobei

$$\bar{r}^2 = \left( x - \int_0^{\bar{\omega}} c_x(t) dt \right)^2 + \left( y - \int_0^{\bar{\omega}} c_y(t) dt \right)^2 + \left( z - \int_0^{\bar{\omega}} c_z(t) dt \right)^2,$$

$$\bar{k}_\sigma(\bar{\omega}) \cos \vartheta = \bar{k}_x(\bar{\omega}) \cos \lambda + \bar{k}_y(\bar{\omega}) \cos \mu + \bar{k}_z(\bar{\omega}) \cos \nu = \frac{v(\hat{\bar{r}} \hat{c})}{\mathfrak{B}_m}$$

gesetzt ist. Berücksichtigt man, daß sich die den Gleichungen (7b), (11') und (17) der bezogenen Arbeit entsprechenden Ausdrücke von  $d\bar{\omega}/dt$ ,  $d\bar{r}/dt$ ,  $\partial \bar{r}/\partial x$ ,  $\partial \bar{r}/\partial y$ ,  $\partial \bar{r}/\partial z$ ,  $\partial \bar{\omega}/\partial x$ ,  $\partial \bar{\omega}/\partial y$ ,  $\partial \bar{\omega}/\partial z$  einfach aus diesen gewinnen lassen, indem man statt  $r$ ,  $k_\sigma(\omega)$ ,  $\mathfrak{B}$  die Größen  $\bar{r}$ ,  $\bar{k}_\sigma(\bar{\omega})$ ,  $\mathfrak{B}_m$  einführt<sup>1)</sup>, so überzeugt man sich leicht durch eine einfache Ausrechnung, daß

$$(6') \quad \bar{S}_{n(\Omega)} = \frac{e}{D} \frac{1 - \bar{k}_\sigma^2(\bar{\omega})}{\bar{r}^2 (1 - \bar{k}_\sigma(\bar{\omega}) \cos \vartheta)^2}$$

und

$$(7') \quad \lim \int \bar{S}_{n(\Omega)} d\Omega = \int \bar{S}_n dO = 4\pi \frac{e}{D}$$

wird. Faßt man also  $e$  als die Masse der wahren Elektrizität des Teilchens auf, so liefert  $e/D$  die freie Elektrizität, und das Integral (7') gibt auch im allgemeinen Falle die innerhalb der Fläche  $O$  vorhandene fernwirkende Masse an.

1) In den Entwicklungen der eingangs erwähnten Arbeit, welche zur Gewinnung der dortigen Formel (29) führen, ist (l. c. p. 526, Zeile 8—16 v. o.) durch ein Übersehen kein Unterschied zwischen den Ausdrücken  $r$  und  $\bar{r}$ , sowie  $k(\omega)$  und  $\bar{k}(\bar{\omega})$  gemacht worden. Obwohl der Unterschied ein rein formeller ist, ohne die Richtigkeit der Resultate zu beeinflussen, so möge dieser Mangel der Beweisführung durch die oben gemachten Bemerkungen hier richtiggestellt werden.



Die Gleichungen (7) und (7') bleiben offenbar auch dann bestehen, wenn man statt eines einzelnen elektrischen Teilchens eine räumlich ausgedehnte elektrische Masse betrachtet. Der Nachweis hierfür ergibt sich in dem Falle, daß die Bewegung als unendlich lange dauernd vorausgesetzt werden kann, leicht durch die Bemerkung, daß die unendlich weite Kugel- $\Omega$  für alle im Endlichen liegenden Teilchen als gemeinsam angenommen werden kann. Was andererseits den Fall betrifft, daß die Bewegung zu einer bestimmten Zeit begonnen hat, so kann er auf den vorhergehenden durch die Annahme zurückgeführt werden, daß der Übergang aus der Ruhe in die Bewegung und umgekehrt in stetiger, wenngleich sehr rascher Weise stattgefunden hat, so daß die Geschwindigkeiten zwischen den Zeitgrenzen  $-\infty$  bis  $+\infty$  als endliche und stetige Funktionen vorausgesetzt werden können.

Wien, im Juli 1903.

(Eingegangen 30. Juli 1903.)

# 11. Über die Absorption der ultravioletten Strahlung in Ozon; von Edgar Meyer.

(Auszug aus der Berliner Inaugural-Dissertation 1903.)

## I.

Kürzlich hat Hr. H. Kreusler<sup>1)</sup> eine Methode angegeben, welche erlaubt, vergleichende Intensitätsmessungen im ultravioletten Gebiete mit spektraler Zerlegung auszuführen. Diese Methode, die auf der hohen photoelektrischen Empfindlichkeit der Metalle beruht, wenn sie bis nahe an das Funkenpotential aufgeladen sind, hat ihren Anwendungsbereich zwischen  $\lambda = 185 \mu\mu$  und  $\lambda = 300 \mu\mu$ .

Auf den Vorschlag von Hrn. Geheimrat Warburg benutzte ich in dieser Untersuchung das Kreuslersche Photometer, um

das Absorptionsvermögen des Ozons für ultraviolette Strahlung in dem genannten Wellenbereiche zu untersuchen.

Die Versuchsanordnung, von der Fig. 1 einen horizontalen Durchschnitt zeigt, war kurz folgende. Als Strahlungsquelle

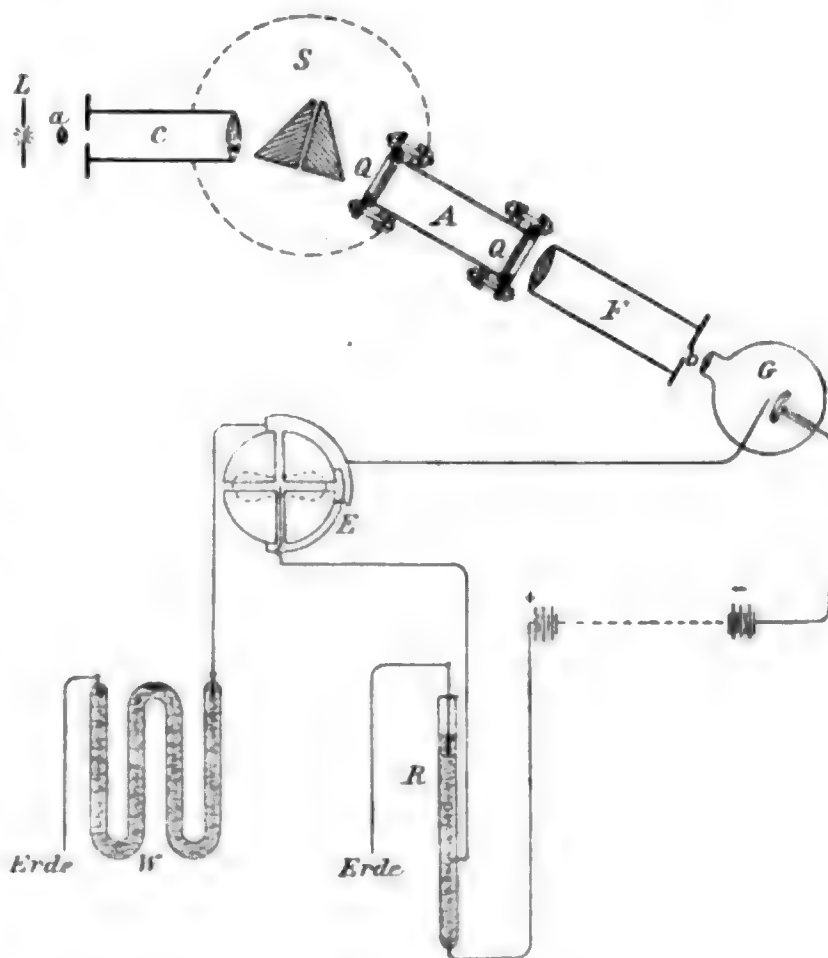


Fig. 1.

1) H. Kreusler, Verhandl. d. phys. Gesellsch. 17. p. 86. 1898; Berliner Inaug.-Diss. 1901; Ann. d. Phys. 6. p. 398 u. 412. 1901.

diente die Funkenstrecke eines großen Induktoriums (44 cm Spulenlänge) mit parallel geschalteter Kapazität. Die Elektroden bestanden aus Aluminium, Kadmium oder Gold. Vermittelt einer Quarzlinse wurde ein Bild des Funkens auf den Spalt des Spektrometers geworfen. Kollimator- und Fernrohr-linsen waren einfache Quarzlinsen, doch konnte durch Skalen, die an den Auszügen der Spektrometerröhren angebracht waren, für die verschiedenen Wellenlängen fokussiert werden. Das Prisma war ein Cornusches Quarzprisma. An Stelle des Fern-

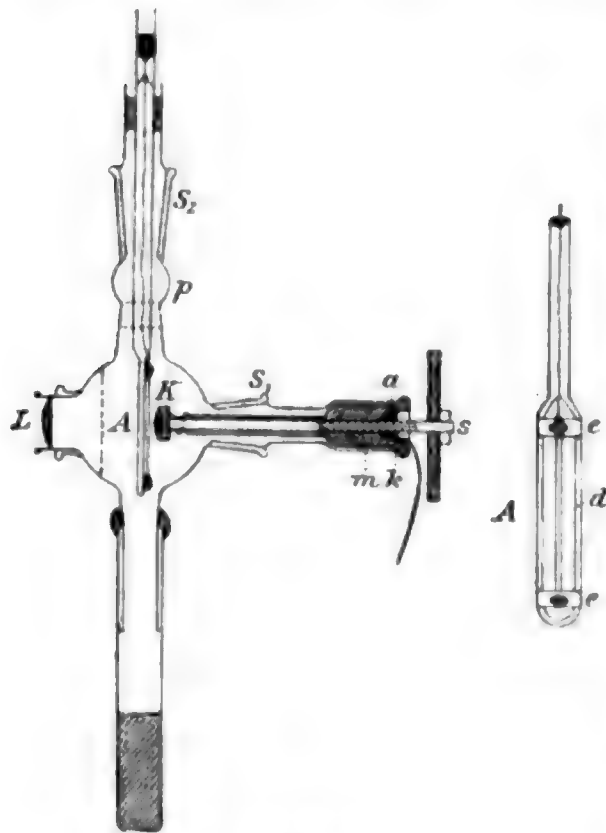


Fig. 2.

rohrokulars war ein Bilateral-spalt angebracht, hinter dem dann die Kreuslersche Zelle *G* (Fig. 2) Platz fand. Diese letztere besteht im wesentlichen aus einer Platinkalotte *K* auf beweglicher Mikrometerschraube *s*, der gegenüber zwei dünne Platindrähte in 1 mm gegenseitigem Abstände auf einem Glasrahmen aufgespannt sind. Das Ganze befindet sich in einer Wasserstoffatmosphäre von etwa 200 mm Druck. Fällt nun durch die Quarzlinse *L* ultraviolette Strahlung auf die Kalotte, so ist der entstehende photoelektrische Strom propor-

tional der Strahlungsintensität, so daß man im stande ist, photometrische Messungen auszuführen. Das Absorptionsrohr, dessen Länge 19,35 cm betrug und das mit 4 mm dicken Quarzplatten verschlossen war, befand sich zwischen Prisma und Fernrohr und konnte vermittelt eines Schlittens abwechselnd in den Strahlengang gebracht und daraus entfernt werden. Die Anode der Zelle war durch einen sehr großen Widerstand ( $10^8$  Ohm) mit der Erde verbunden, und mit einem Thomsonschen Quadrantelektrometer wurde die Potentialdifferenz an seinen Enden gemessen. Die Ausschläge des Elektrometers (ballistisch gebraucht) sind dann proportional der auffallenden Lichtintensität.

Da das Ozon sämtliche organische Substanzen zerstört und sich dabei selbst zersetzt, mußte von den gewöhnlichen Kitten abgesehen werden, um die Quarzplatten auf den Enden des Absorptionsrohres  $A$  zu befestigen. Die Dichtungen wurden in der Weise bewerkstelligt, daß die Platten mit Flanschen (vgl. Fig. 1) auf die Röhre festgedrückt wurden, nachdem der Rand der Röhre mit konzentrierter Schwefelsäure benetzt worden war. Da immer nur bei Atmosphärendruck im Rohre gearbeitet wurde, bekam man so einen guten Verschuß.

Gemessen wurde nun in der Weise, daß einmal der Ausschlag des Elektrometers notiert wurde ohne Absorptionsrohr, dann mit demselben. Diese Operation wurde je 6 mal bei vier verschiedenen Empfindlichkeiten der Zelle wiederholt und aus diesen 48 Zahlen die prozentische Extinktion berechnet. Hatte man dieses mit der reinen Sauerstoff enthaltenden Röhre gemacht, so wurde ozonisierter Sauerstoff eingelassen und eine ebensolche Versuchsreihe angestellt. Darauf wurde wieder reiner Sauerstoff eingelassen und zur Kontrolle die erste Messung wiederholt, wobei man mit nur geringen Abweichungen, die vollkommen innerhalb der Beobachtungsfehler fielen, die erste Zahl erhielt.

Ist  $J_0$  die einfallende Intensität des Lichtes und ist  $s_1$  der Schwächungsfaktor für die beiden Quarzplatten plus dem Sauerstoff,  $s_2$  der Schwächungsfaktor für das Ozon (der Sauerstoff absorbiert nach Kreusler nur merklich abwärts von  $\lambda = 193 \mu\mu$  an, doch ist diese geringe Absorption gegenüber der des Ozons zu vernachlässigen), so kennt man aus den Messungen  $J_0 s_1$  und  $J_0 s_1 s_2$ . Man kennt also auch  $s_2$  und findet daher den Absorptionskoeffizienten  $\alpha$  des Ozons aus der Gleichung:

$$s_2 = e^{-\alpha d},$$

worin  $d$  die Schichtdicke in Zentimeter des reinen Ozons bei  $0^\circ \text{C.}$  und 760 mm Druck bedeutet.

## II.

Das Ozon wurde in einer Kolbeschen Ozonisierungsröhre durch stille Entladungen eines Induktoriums von 1,5 cm Schlagweite erzeugt. Wegen der starken Absorption der ultravioletten Strahlung in Ozon mußten so geringe Ozonkonzen-

trationen angewandt werden, daß der Ozongehalt aus der im Absorptionsgefäß *A* (Inhalt 270 ccm) enthaltenen kleinen Menge nicht mit der hinreichenden Genauigkeit zu ermitteln war.

Die folgende Methode ermöglicht es, die Bestimmung des Ozongehaltes in einem größeren Gasvolumen auszuführen, von dem man sicher ist, daß es dieselbe Konzentration aufweist wie das Gas in dem Absorptionsgefäß.

Hinter der Ozonröhre (Fig. 3) war durch ein T-Stück mit drei Glashähnen eine Ableitung zu einem zweiten Gasometer

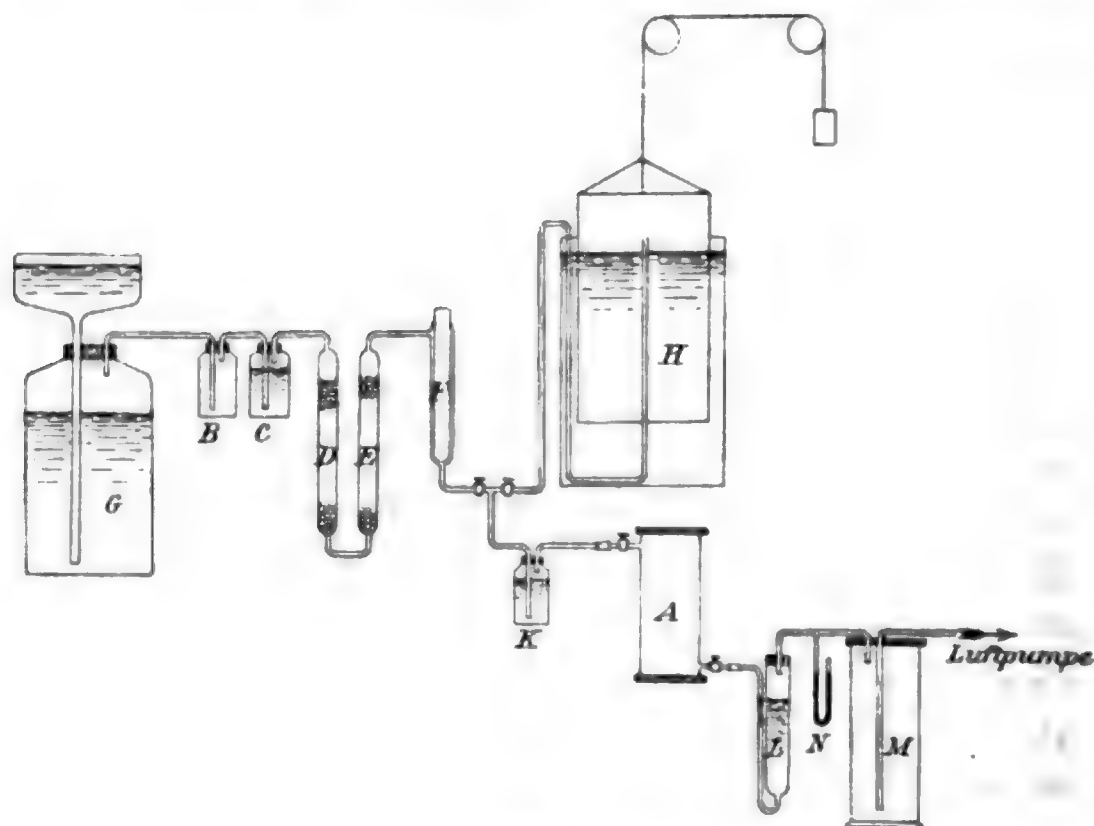


Fig. 3.

*G* Sauerstoffgasometer. *B C* Waschflaschen. *D E* Trockenröhren.  
*F* Ozonisierungsrohr.

aus Glas, einem Glockengasometer *H*, das einen Inhalt von ungefähr 5000 ccm hatte, hergestellt. Es folgte dann die Waschflasche *K*, die mit konzentrierter Schwefelsäure gefüllt war, darauf das Lichtabsorptionsrohr *A*, das vermittelst Glasschliffe in die ganze Röhrenleitung eingeschaltet werden konnte. Hinter *A* folgte ein Rohr *L* von der Form, wie sie die Figur zeigt; seine Höhe betrug 29 cm, sein Durchmesser etwa 15 mm. Bis zu einer Höhe von 19 cm war es mit Glasperlen und einer gemessenen Menge von  $\frac{1}{10}$ -Normal-Natriumarsenitlösung gefüllt. Das Natriumarsenit wird durch das Ozon zu Natriumarsenat



oxydiert, das man dann mit Jodlösung titrieren kann. In dem weiteren oberen Ende von *L* saß ein gut schließender Stopfen mit einfacher Durchbohrung, durch die eine Glasröhre ging, die die Röhre *L* mit der Flasche *M* verband. Diese hatte etwas über 2000 ccm Inhalt. Ihr Rand war oben abgeschliffen und konnte mit einer dicken Glasplatte luftdicht abgeschlossen werden. Durch die Platte führten gut dicht gekittet zwei Glasröhren, die eine endigte kurz unter der Platte, während die andere bis auf den Boden führte. *M* wurde ganz mit Wasser gefüllt und an der bis auf den Boden führenden Röhre eine Wasserstrahlpumpe angeschaltet. Es entstand so oben in der Flasche ein luftverdünnter Raum, in den dann der im Glockengasometer befindliche ozonisierte Sauerstoff einströmte.

Nachdem in dem Glockengasometer eine genügende Menge des ozonisierten Sauerstoffs von passender Konzentration aufgefangen war, wurde mit diesem Gasgemisch zuerst der ganze Apparat bis zu dem Lichtabsorptionsrohre *A* einschließlich gefüllt. War das geschehen, so wurden vermittelt der Glaschliffe die Apparate *L* und *M* angeschlossen und nun 2000 ccm aus dem Glockengasometer langsam mit der Wasserstrahlpumpe durchgesogen. In dem Rohre *L* wurde alles Ozon durch das Natriumarsenit absorbiert, so daß in *M* nur noch reiner Sauerstoff vorhanden war, dessen Volumen man an einer Marke direkt ablesen konnte. Zur Berechnung des Ozongehaltes in dem Lichtabsorptionsrohre wurde dann noch mit einem Quecksilbermanometer *N* der Druck in *M* bestimmt und ferner die Höhe der Natriumarsenitlösung in *L* gemessen.

Aus der in Gramm gefundenen Menge Ozon berechnet sich dann leicht unter Berücksichtigung der notwendigen Korrekturen wegen Druck und Temperatur der Ozongehalt in Volumenprozenten in dem Lichtabsorptionsrohre *A*.

Um nun zu sehen, ob die Absorption des Lichtes lediglich durch das Ozon bedingt sei, und ob keine anderen störenden Einflüsse vorhanden seien, wurde folgender Kontrollversuch ausgeführt.

Es wurde das Absorptionsvermögen einer bestimmten Konzentration gemessen. Dann wurde vorsichtig ein Desozonisationsmittel (Natriumarsenit) in die Absorptionsröhre *A*



gebracht, ohne daß etwas von dem Gase austreten konnte. Die Messung wurde bei  $\lambda = 210 \mu\mu$  ausgeführt und ergab folgendes Resultat.

Die Schwächung des Lichtes, hervorgerufen durch die Absorptionsröhre gefüllt mit Sauerstoff ( $O_2$  absorbiert nach Kreusler bei  $\lambda = 210 \mu\mu$  nichts), betrug 46,0 Proz. Als der ozonisierte Sauerstoff eingeleitet war, wurde 85,7 Proz. gefunden. Nachdem nun die Röhre über Nacht mit dem Natriumarsenit (einige Kubikzentimeter) gestanden hatte, wurde die prozentige Extinktion zu 47,1 Proz. gefunden.

Das Verschwinden der Absorption mit der Desozonisation ist ein Beweis dafür, daß die Absorptionswirkung allein dem Ozon zuzuschreiben ist.

Es wurde auch ein Versuch ausgeführt, um sich zu vergewissern, daß während der Messung kein merklicher Betrag an Ozon sich wieder zu Sauerstoff zersetzte. So wurde die prozentige Extinktion eines Ozongemisches gemessen und, ohne daß man etwas an dem Apparate geändert hatte, die Messung nach drei Stunden wiederholt. Man erhielt dieselbe Zahl mit einer Abweichung von höchstens 0,5—1,0 Proz. Da aber bei den Versuchen mit ein und demselben Ozongemische nie länger als  $1\frac{1}{2}$  Stunde gemessen wurde, so kommt ein Fehler durch Desozonisation nicht in Betracht.

Ferner wurde untersucht, ob sich wohl eine Abhängigkeit der Absorptionskoeffizienten von der Konzentration ergebe. Diese Versuche wurden alle bei derselben Wellenlänge  $\lambda = 220 \mu\mu$  ausgeführt. Es ergab sich folgendes Resultat:

$$\lambda = 220 \mu\mu. \text{ Schichtdicke } 19,35 \text{ cm.}$$

#### Versuch Nr. 51.

Absorption der Quarzplatten plus Sauerstoff . . .	38,4 Proz.
Absorption bei Ozonfüllung . . . . .	70,8 „
Volumenprozent an Ozon in A: 0,0859 Proz.	

#### Versuch Nr. 105.

Absorption der Quarzplatten plus Sauerstoff . . .	37,4 Proz.
Absorption bei Ozonfüllung . . . . .	89,3 „
Volumenprozent an Ozon in M: 0,222 Proz.	
Druck in A: 738 mm; Temperatur $19^\circ$ ; Volumen von A: 270 ccm.	

Versuch Nr. 108.

Absorption der Quarzplatten plus Sauerstoff . . . 31,2 Proz.<sup>1)</sup>

Absorption bei Ozonfüllung . . . . . 93,9 „

Volumenprozent an Ozon in *M*: 0,305 Proz.

Druck in *A*: 740 mm; Temperatur 18°; Volumen von *A*: 270 ccm.

Aus diesen Zahlen berechnen sich dann aus der Formel  $J = J_0 e^{-\alpha d}$  die Extinktionskoeffizienten für reines Ozon von 0° C. und 760 mm Druck, die Schichtdicke bezogen auf Zentimeter, zu:

Volumenprozent an Ozon	Extinktionskoeffizient des Ozons für $\lambda = 220 \mu\mu$
0,09 %	44,91
0,22	45,24
0,31	43,95

Die Übereinstimmung ist befriedigend.

In der folgenden Tabelle sind dann die Absorptionskoeffizienten  $\alpha$  für reines Ozon von 0° C. und 760 mm Druck, die Schichtdicke bezogen auf Zentimeter, wie sie die Messungen für das Spektralgebiet von  $\lambda = 185$  bis  $\lambda = 300 \mu\mu$  ergaben, zusammengestellt. Die dritte Kolumne enthält die Absorptionskoeffizienten, wie sie sich aus der neuerdings mehr gebräuchlichen Formel  $J = J_0 \cdot 10^{-\alpha' d}$  ergeben.

$\lambda$	$\alpha$	$\alpha'$	$\lambda$	$\alpha$	$\alpha'$
185 $\mu\mu$	—	—	250 $\mu\mu$	284,0	123,0
193	26,9	11,7	260	291,0	126,0
200	17,9	7,8	270	267,0	116,0
210	26,4	11,5	280	169,0	73,4
220	44,3	19,2	290	88,9	38,6
230	112,0	48,6	300	69,8	30,3
240	241,0	105,0			

Stellt man die Absorption der ultravioletten Strahlung graphisch dar, indem man die Wellenlängen in  $\mu\mu$  als Abszissen, die Werte der Absorptionskoeffizienten aber als Ord-

1) Diese Abweichung gegen die Zahlen der beiden ersten Versuche ist hervorgerufen durch eine etwas andere Justierung der Quarzplatten zum Strahlengange, welche eine verminderte Reflexion an diesen ergibt.

naten aufträgt, so erhält man eine Kurve, wie sie in Fig. 4 dargestellt ist. Man sieht sofort das ausgesprochene Absorptionsminimum bei  $\lambda = 205 \mu\mu$  und das starke Absorptionsband, dessen Maximum etwa bei  $\lambda = 258 \mu\mu$  liegt.

Nachdem ich diese Kurve für das Absorptionsvermögen des Ozons gezeichnet hatte, erhielt ich Kenntnis von einer Arbeit von W. N. Hartley<sup>1)</sup> aus dem Jahre 1880 über denselben Gegenstand. Er hatte durch ozonisierten Sauerstoff (1 Volumen Ozon auf 2000 Volumina Sauerstoff) hindurchphotographiert und so schon das Absorptionsband des Ozons



Fig. 4.

gesehen, dessen mittlere Wellenlänge er zu  $\lambda = 256 \mu\mu$  (nach meinen Messungen etwa  $\lambda = 258 \mu\mu$ ) angibt.

Absorptionskoeffizienten lassen sich natürlich aus der Hartleyschen Arbeit nicht entnehmen.

Zuletzt sei noch etwas über die Fehlergrenze gesagt. Es ist von vornherein klar, daß die Genauigkeiten der Absorptionskoeffizienten in den verschiedenen Spektralgebieten verschieden groß sind. Bei den Stellen geringerer Absorption kann man ein konzentrierteres Ozongemisch anwenden und wird dadurch die Genauigkeit des Resultates natürlich größer. An den Stellen schwächerer Absorption sind die Koeffizienten wohl auf etwa 2–3 Proz. verlässig, an dem Absorptionsmaximum dagegen nur auf etwa 10 Proz.

1) W. N. Hartley, Chem. News. **42**, p. 268. 1880.

Es ist nochmals zu betonen, daß nur die Schwierigkeit der quantitativen Ozonbestimmung zu diesen Fehlern Anlaß gibt, nicht aber die Messung der Strahlungsintensität.

### III.

Auf die Tatsache, daß das Sonnenspektrum etwa bei  $\lambda = 293 \mu\mu$  mehr oder weniger plötzlich aufhört, und nicht nach allmählicher Schwächung unsichtbar wird, hat zuerst Cornu<sup>1)</sup> aufmerksam gemacht und gezeigt, daß die Strahlung der Sonne in der irdischen Atmosphäre stark absorbiert wird. Hartley<sup>2)</sup> hat dann zuerst ausgesprochen, daß die absorbierende Substanz wahrscheinlich das Ozon sei. Auf Grund der vorliegenden Angaben über den normalen Ozongehalt der Atmosphäre und den von mir gemessenen Absorptionskoeffizienten des Ozons läßt sich ein Urteil über die Wahrscheinlichkeit der Hartleyschen Hypothese abgeben.

A. Levy<sup>3)</sup>, der seine ozonometrischen Messungen über ein Intervall von 20 Jahren ausdehnte, gibt den Ozongehalt in 100 cbm Luft im Mittel zu 1,65 mg Ozon an; in Volumenprozenten würde sich der mittlere Ozongehalt zu  $0,7696 \cdot 10^{-6}$  Proz. ergeben. Vermittelt dieser Zahl (die von der Strahlung zu durchdringende Schicht ist beim höchsten Stande der Sonne 7,989 km Luft von der Dichte 0,001293) kann man die Schwächungskoeffizienten der Atmosphäre für die einzelnen Wellenlängen berechnen, unter der Annahme, daß nur das Ozon absorbiere. Berechnet man ferner aus der Planckschen Formel<sup>4)</sup> für die Energieverteilung im Spektrum eines schwarzen Körpers

$$E = \frac{8 \pi c h}{\lambda^5} \cdot \frac{1}{e^{\frac{c h}{k \lambda \vartheta}} - 1}$$

die an der Grenze der Atmosphäre auffallende Strahlungsenergie, indem man die Sonnenstrahlung als schwarze Strahlung ansieht (die bei  $\lambda = 300 \mu\mu$  auffallende Energie gleich

1) A. Cornu, Compt. rend. 88. p. 1101 u. 1285. 1879; 89. p. 808. 1879; 90. p. 940. 1880.

2) W. N. Hartley, Chem. News 42. p. 268. 1880.

3) A. Levy, Ciel et Terre 19. p. 291—296. 1898.

4) M. Planck, Ann. d. Phys. 4. p. 561. 1901.

100 gesetzt), so erhält man die Zahlen, die in der zweiten Kolumne der folgenden Tabelle angegeben sind. Aus diesen Zahlen in Verbindung mit den Schwächungsfaktoren der Atmosphäre ergibt sich dann auch leicht die Energieverteilung im Sonnenspektrum auf der Erde, nachdem also die Strahlung die Atmosphäre durchlaufen hat (dritte Kolumne der Tabelle).

$\lambda$	$J_0$	$J'$	$\lambda$	$J_0$	$J$
185 $\mu\mu$	12,77	—	250 $\mu\mu$	58,94	10,28
193	16,76	14,21	260	67,54	11,28
200	20,75	18,59	270	76,07	14,73
210	27,19	23,11	280	84,40	29,86
220	34,39	26,19	290	92,41	53,50
230	42,20	21,19	300	100,00	65,10
240	50,43	11,46			

Graphisch dargestellt sind diese beiden Intensitätsverteilungen in Fig. 5. Es ist ersichtlich, daß bei  $\lambda = 300 \mu\mu$  bis  $\lambda = 290 \mu\mu$ , wo etwa das Ende des beobachteten Sonnen-

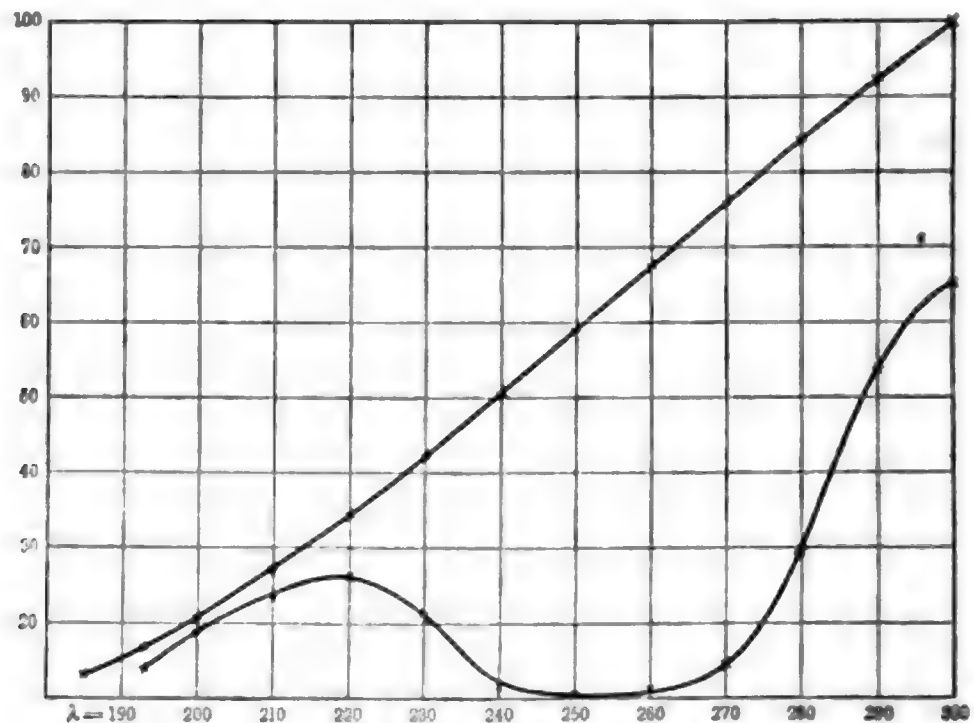


Fig. 5.

spektrums liegt, die Intensität der durch die Atmosphäre tatsächlich hindurch gelangenden Strahlung nach den kleineren Wellenlängen hin stark abnimmt, wodurch also die Hartley'sche Hypothese an Wahrscheinlichkeit gewinnt. Ferner ist

zu erkennen, daß bei etwa  $\lambda = 220 \mu\mu$  wieder mehr als das Doppelte an Intensität als bei  $\lambda = 250 \mu\mu$  sich findet. Ob sich diese Energiemenge aber noch experimentell nachweisen läßt, ist eine andere Frage. Mit der Photographie wird das wohl nicht gelingen, vielleicht aber doch mit der Kreuzlerschen Zelle. Denn bei dieser ist die photoelektrische Empfindlichkeit bei den Wellenlängen  $200\text{--}220 \mu\mu$  ganz bedeutend viel größer als etwa bei  $\lambda = 300 \mu\mu$ , was man daraus ersieht, daß man bei den kleineren Wellenlängen lange nicht so nahe an das Funkenpotential zu gehen braucht, als bei den größeren, um denselben photoelektrischen Effekt zu erhalten.

Zur experimentellen Prüfung der Frage stellte ich im August 1902 auf dem Gornergrat (3136 m) in der Schweiz mit der Kreuzlerschen Methode Versuche an, doch ergaben diese noch keine sicheren Resultate.

Zum Schlusse ergreife ich auch an dieser Stelle mit Freude die Gelegenheit, meinem hochverehrten Lehrer, Hrn. Geheimrat Prof. Dr. Warburg für die vielfache Anregung und stete Teilnahme an der vorliegenden Arbeit meinen herzlichsten Dank auszusprechen.

Berlin, Physikal. Institut der Universität.

(Eingegangen 1. August 1903.)



**12. Abhängigkeit der Absorption,  
welche Kathodenstrahlen in dünnen Aluminium-  
blättchen erleiden, vom Entladungspotential;  
von W. Seitz.**

Unter ähnlichem Titel habe ich vor ungefähr einem Jahr eine vorläufige Mitteilung<sup>1)</sup> veröffentlicht. Während ich damals meine Messungen auf verhältnismäßig niedere Potentiale beschränken mußte, stand mir jetzt ein Elektrometer zur Verfügung, welches geeignet ist, beliebig hohe Spannungen zu bestimmen. Es schien mir daher angezeigt, die Versuche nochmals aufzunehmen und den Meßbereich auf so hohe Entladungspotentiale auszudehnen, als möglich.

Wie bei den ersten Versuchen wurde einesteils die Kathodenstrahlenmenge, welche auf ein Aluminiumfenster traf und von ihm absorbiert wurde, andernteils diejenige, welche hindurchdrang und von einer besonderen Elektrode aufgefangen wurde, gemessen. Da die Intensität der hindurchgelangenden Strahlen sehr stark mit der Entladungsspannung wächst, so konnte ich jetzt an Stelle eines Elektrometers ein Galvanometer (nach d'Arsonval von Siemens & Halske von der Empfindlichkeit  $3,1 \cdot 10^{-10}$  Amp. pro mm Ausschlag bei 2 m Skalenabstand und 480 Ohm Widerstand) verwenden. Mit Hilfe eines geeigneten Nebenschlusses von 15 000 Ohm, welcher die Empfindlichkeit nicht störend herabsetzte, konnte erreicht werden, daß die Galvanometerspule sich fast aperiodisch einstellte, was bei Messungen von Kathodenstrahlen von großem Vorteil ist. Zur Bestimmung der vom Fenster absorbierten Elektrizitätsmenge mußte die Empfindlichkeit durch einen weiteren Nebenschluß auf das 0,451 fache vermindert werden. Die Widerstände waren so abgepaßt, daß auch dann noch die Bewegung der Spule aperiodisch war (vgl. Fig. 2).

---

1) W. Seitz, Physik. Zeitschr. 3. p. 552. 1902.

Die verwandte Röhre entsprach, abgesehen von einigen Verbesserungen, der in jener vorläufigen Mitteilung beschriebenen (vgl. Fig. 1). Die von der Kathode *K* ausgehenden Strahlen passierten zuerst ein 2,5 mm weites Diaphragma *D*, dann das 1,5 mm weite und 23 mm lange Kupferröhrchen *R*, und trafen hierauf zentrisch auf das Aluminiumfenster, welches nach der von W. Wien<sup>1)</sup> angegebenen Methode mit Hilfe von dünnen Kadmiumringen auf das eingeschmolzene Platinröhrchen *P* luftdicht aufgeschraubt war. *R* und *D* sind zur Erde abgeleitet und bilden die Anode. Auf diese Weise wurde erreicht, daß an das Fenster nur Strahlen, welche von der Kathode selbst kommen, gelangen können. Wenn man nämlich zu hohen Potentialen und dementsprechend zu großer Verdünnung übergeht, so laden sich die der Kathode benachbarten Teile der Glaswand sehr beträchtlich und senden selbst Kathodenstrahlen aus, welche aber eine geringere Geschwindigkeit und daher größere Absorbierbarkeit besitzen, als die von der Kathode ausgehenden. Das in die Platinröhre eingeschobene und durch dünnsten Hartgummi von dieser isolierte Kupferröhrchen (*R*) bot einen absolut sicheren Schutz dagegen, daß auf die mit dem Fenster leitend verbundenen Metallteile (Platinröhre mit Verschraubung) irgend

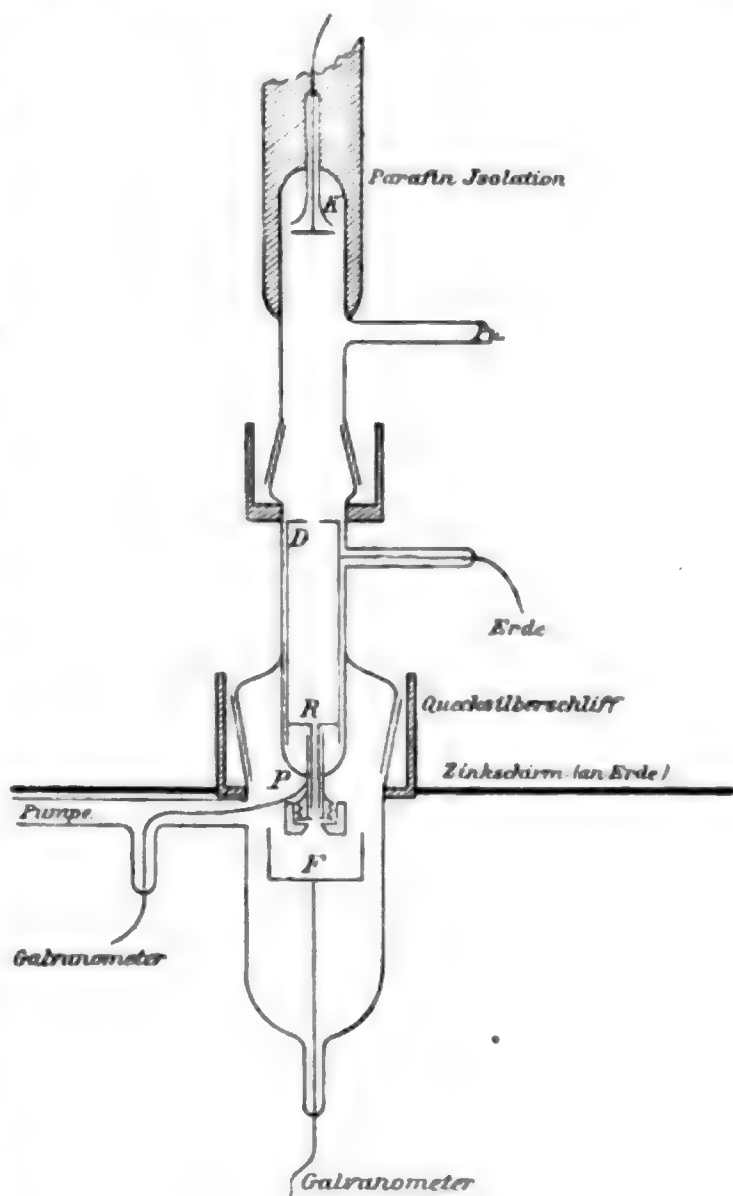


Fig. 1.

1) W. Wien, Wied. Ann. 65. p. 440. 1898.

welche andere Elektrizitätsmengen gelangen konnten, welche sich zu den vom Fenster selbst absorbierten addieren würden. Die becherförmige Elektrode  $F$  diente dazu, die Strahlen, welche das Fenster passiert haben, aufzufangen.

Durch einen Paraffinkommutator konnte das Galvanometer nacheinander in die zu  $P$  oder zu  $F$  führende Erdleitung eingeschaltet werden (vgl. Fig. 2). Vermittelt zweier Quecksilber-Barometerverschlüsse wurde der Entladungsraum, sowie der hinter dem Fenster gelegene Beobachtungsraum der Röhre

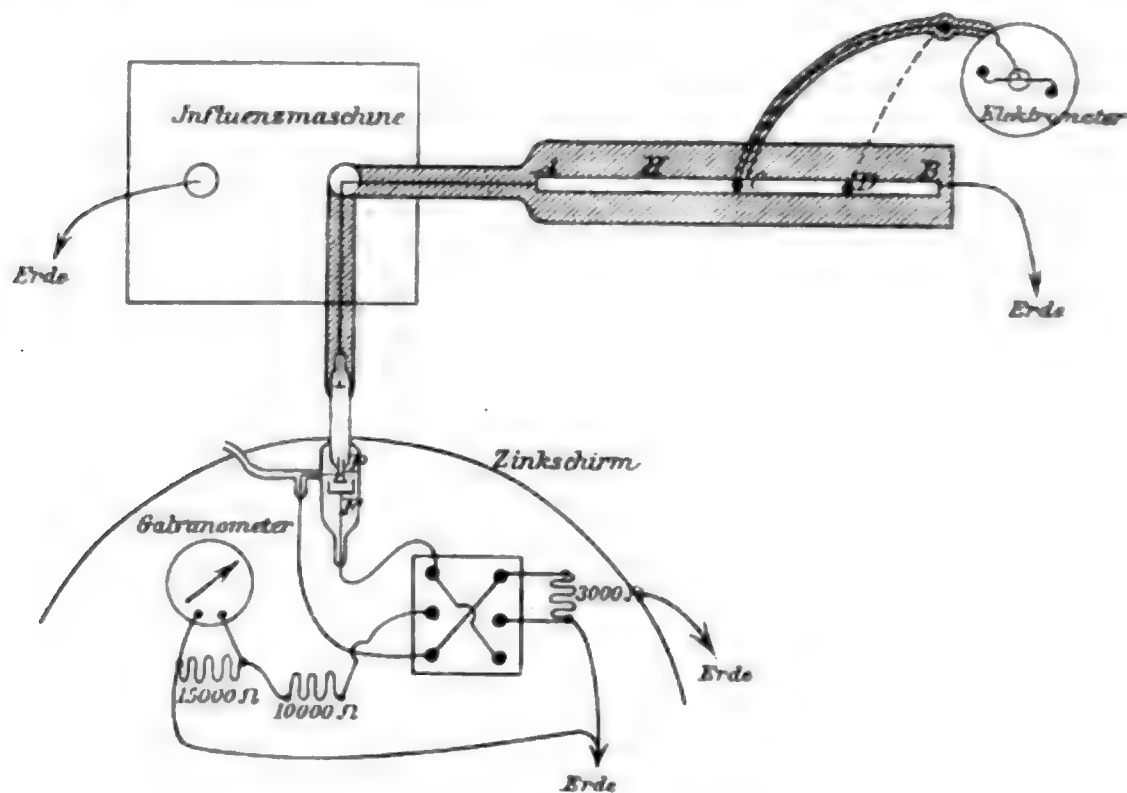


Fig. 2.

gesondert ausgepumpt. Und es wurde stets dafür gesorgt, daß in letzterem ein sehr hohes Vakuum herrschte. Als Stromquelle diente eine Influenzmaschine von zwei beweglichen Platten, welche durch einen Elektromotor getrieben wurde.

Bei Versuchen mit Spannungen über 20 000 Volt traten eine ganze Reihe von Schwierigkeiten auf. Wie diese wenigstens teilweise überwunden werden können, ist zu ersehen aus der Arbeit von E. Voigt: „Über Messungen hoher Spannungen“.<sup>1)</sup> So wird die störende Spitzenentladung an den Zuleitungen durch Eingießen derselben in eine Paraffinwachsmischung selbst bei

1) E. Voigt, Würzburger Dissertation (E. Köhring in Lüchow 1903).

Spannungen oberhalb von 50 000 Volt vollständig beseitigt. Auch die Röhre in der Umgebung der Kathode war mit dieser Masse umhüllt, damit die Entladung nicht zum Teil außen an der Glaswand verläuft.

Sehr erschwert werden die Messungen durch den Umstand, daß bei hohen Potentialen die Entladungen häufig ungleichmäßig oszillatorisch verlaufen, wobei das Potential sehr inkonstant ist und sich außerdem in allen Erdleitungen sehr kräftige elektrische Schwingungen ausbilden. Manchmal gelang es, vollständig ruhige Entladungen selbst bis 50 000 Volt zu erzielen, während an anderen Tagen die Messungen schon bei 30 000 Volt kaum mehr ausführbar waren. Worin eigentlich der Grund dieser störenden Erscheinungen, welche auch durch sorgfältiges Polieren der Kathode nicht beseitigt werden, gelegen ist, konnte nicht ermittelt werden. Vermutlich kommt hier auch das bessere oder schlechtere Funktionieren der Influenzmaschine, welches wiederum in hohem Maße vom Feuchtigkeitsgehalt der Luft abhängt, in Betracht.

Was nun die exakte Messung der hohen Spannung anbetrifft, so stand mir der kurz vorher von Hrn. Voigt konstruierte und ausgeführte Apparat zur Verfügung.<sup>1)</sup> Ich kann mich hier auf eine kurze Beschreibung desselben beschränken und im übrigen auf die genannte Dissertation verweisen. Zur Spannungsmessung diente ein Elektrometer nach Heydweiller<sup>2)</sup>, dessen Meßbereich zwischen 10 000 und 20 000 Volt gelegen ist und das selbst wiederum durch ein absolutes Schutzringelektrometer nach Thomson geeicht wurde. Ein etwa 1 m langer ausgewählt homogener Holzstab *H* (vgl. Fig. 2) ist in die Paraffinwachsmischung eingegossen und ist am einen Ende *A* mit dem Pole der Influenzmaschine, am anderen Ende *B* mit der Erde verbunden. An zwei Punkten des Stabes (*C* und *D*) sind ebenfalls durch Paraffin wohlgeschützte Quecksilbernäpfe angebracht, um hier das Elektrometer anzuschalten.

Die Spannung nimmt ziemlich linear längs des Stabes ab. Ist das Widerstandsverhältnis  $W_1/W_2$  der Stablängen *AC* zu *CB* bez. *AD* zu *DB* bekannt, so kann aus der Angabe *E* des

---

1) l. c.

2) A. Heydweiller, Wied. Ann. 48. p. 110. 1893.

Elektrometers direkt die Spannung  $Sp$  an der Influenzmaschine und Kathode der Röhre berechnet werden zu

$$Sp = E \frac{W_1 + W_2}{W_2}.$$

Das Widerstandsverhältnis wurde durch gleichzeitige Anwendung des absoluten Thomsonschen und des Heydweillerschen Elektrometers nach der Methode von E. Voigt bestimmt und diese Messungen von Zeit zu Zeit wiederholt; doch änderte sich das Widerstandsverhältnis selbst im Verlauf mehrerer Wochen sehr wenig.

Die folgenden Kurven (vgl. Fig. 3) und Tabellen (p. 866 u. 867) stellen das Verhältnis der hinter dem Fenster bei  $F$  absorbierten Elektrizitätsmenge  $i_2$  zu der Summe der am Fenster und der bei  $F$  gemessenen, d. i.  $i_1 + i_2$ , dar in seiner Abhängigkeit von der Entladungsspannung. Sie sind erhalten aus einer sehr großen Anzahl von Einzelbeobachtungen (z. B. Kurve III aus ca. 200 einzelnen Zahlen), welche auf ein Koordinatenpapier eingetragen wurden, worauf nach dem Augenmaß die wahrscheinlichste Kurvenform hindurchgelegt wurde. Soweit die ausgezogene Kurve verläuft, sind im allgemeinen die Abweichungen der einzelnen Messungen von derselben unbedeutend; sie überschreiten, abgesehen von einigen wenigen Fällen, nie 4 Proz.

Wenn aber der Prozentsatz der durch das Fenster gehenden Kathodenstrahlen wächst, so werden — vor allem bei den beiden dünneren Blättchen war dies der Fall — die Resultate unsicherer, was durch Punktieren der Kurve angedeutet ist, bez. durch Einklammern der Zahlen.

Selbstverständlich ist die bei  $F$  gemessene Größe  $i_2$  nicht identisch mit der Gesamtmenge, welche durch das Fenster gedrungen ist, da 1. ein großer Teil infolge der diffusen Ausbreitung auf der Rückseite des Fensters an die vorstehende Verschraubung gelangt und hier absorbiert wird, und 2. ein Teil an  $F$  reflektiert wird. Dagegen ist die Summe der am Fenster und der bei  $F$  gemessenen Elektrizitätsmenge, d. i.  $i_1 + i_2 = i_0$ , gleich der Gesamtstrahlung zu setzen, welche auf das Fenster fiel, vermindert um die am Fenster reflektierten Strahlen; denn der Bruchteil, welcher nach der Reflexion an  $F$ , zwischen dem Rande an  $F$  und der Verschraubung von  $P$  heraus-



gelangt und so der Messung sich entzieht, ist sicher. zu vernachlässigen.

Kurve I bezieht sich auf ein Blättchen von der Dicke 0,000211 cm, Kurve II auf ein solches von der Dicke 0,000326 cm und Kurve III auf ein solches von der Dicke 0,000460 cm.

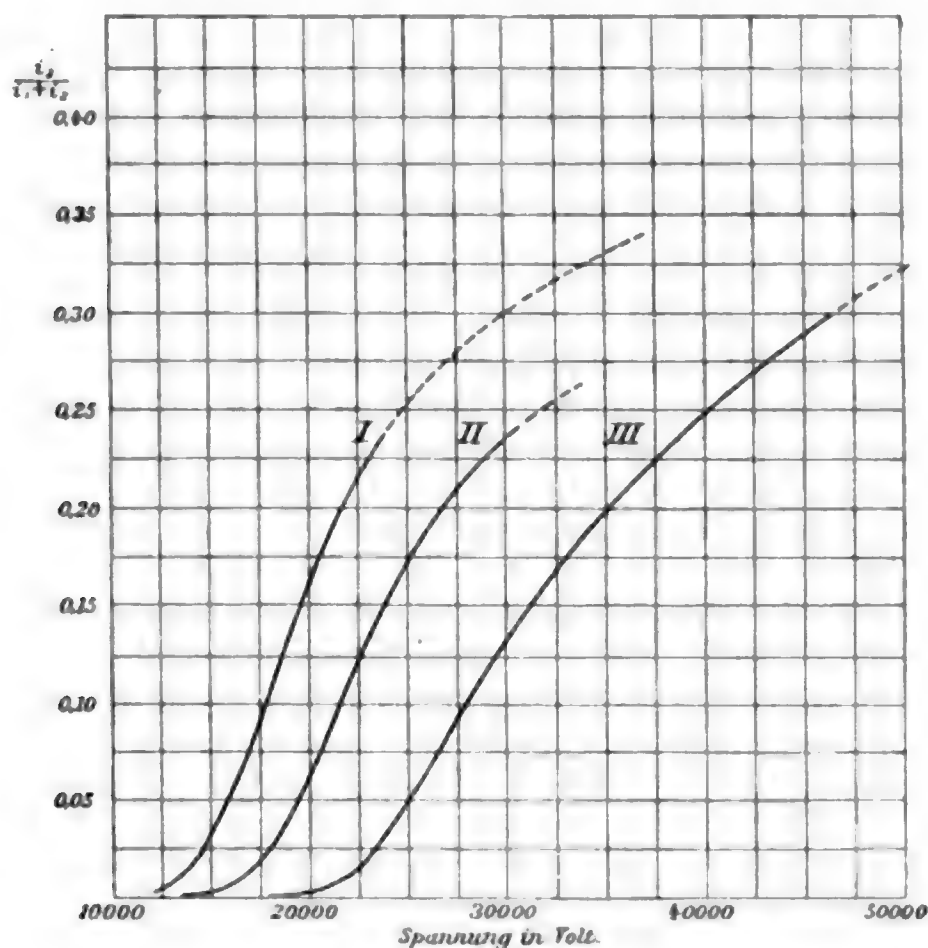


Fig. 3.

Wie ich in der vorläufigen Mitteilung gezeigt hatte, ließen sich die bei einem Blättchen von ungefähr 0,00032 cm Dicke gefundenen Werte von  $i_2/i_1 + i_2$  in dem kleinen Meßbereich von 13 000—15 800 Volt sehr gut durch eine Formel  $e^{-\frac{a}{V^{3/2}}}$  darstellen, wobei die Konstante  $a$  den Wert  $17,1 \cdot 10^{10}$  hatte. Während sich dies auch bei den neuen Messungen für kleine Spannungen bestätigte, versagt doch die Formel vollständig, sowie man zu höheren Potentialen übergeht. Nach längerem Suchen ergab sich als geeignete empirische Formel zur Darstellung der Kurven der Ausdruck

$$\frac{i_1}{i_1 + i_2} = A \frac{i}{i_0} = A e^{-\frac{a}{V^2 - fV^3}}.$$



Spannung in Volt	Blättchen I, Dicke = 0,000 211 cm		Blättchen II, Dicke = 0,000 326 cm		Blättchen III, Dicke = 0,000 460 cm	
	$\frac{i_2}{i_1 + i_2}$ beob.	$A \frac{i}{i_0}$ $\frac{i}{i_0} = e^{-\frac{a}{V^2 - fV^2}}$ ber.	$\frac{i_2}{i_1 + i_2}$ beob.	$A \frac{i}{i_0}$ $\frac{i}{i_0} = e^{-\frac{a}{V^2 - fV^2}}$ ber.	$\frac{i_2}{i_1 + i_2}$ beob.	$A \frac{i}{i_0}$ $\frac{i}{i_0} = e^{-\frac{a}{V^2 - fV^2}}$ ber.
12 000	0,0017	0,00163	—	—	—	—
13 000	0,0057	—	—	—	—	—
14 000	0,0156	—	0,0012	—	—	—
15 000	0,032	—	0,0025	—	—	—
16 000	0,054	0,0548	0,0052	0,00516	—	—
17 000	0,078	—	0,0135	—	—	—
18 000	0,106	—	0,0250	—	—	—
19 000	0,135	—	0,0410	—	—	—
20 000	0,160	0,159	0,0615	0,0584	0,0028	0,00291
21 000	0,185	—	0,087	—	0,0055	—
22 000	0,208	—	0,112	—	0,0113	—
23 000	0,226	—	0,135	—	0,0210	—
24 000	(0,241)	0,246	0,154	0,144	0,0380	0,0337
25 000	(0,254)	—	0,173	—	0,0495	—
26 000	(0,268)	—	0,192	—	0,0605	—
27 000	(0,281)	—	0,210	—	0,0710	—
28 000	(0,294)	—	0,228	—	0,0815	—
29 000	(0,307)	—	0,245	—	0,0920	—
30 000	(0,320)	—	0,262	—	0,1025	—
31 000	(0,333)	—	0,279	—	0,1130	—
32 000	(0,346)	—	0,296	—	0,1235	—
33 000	(0,359)	—	0,313	—	0,1340	—
34 000	(0,372)	—	0,330	—	0,1445	—
35 000	(0,385)	—	0,347	—	0,1550	—
36 000	(0,398)	—	0,364	—	0,1655	—
37 000	(0,411)	—	0,381	—	0,1760	—
38 000	(0,424)	—	0,398	—	0,1865	—
39 000	(0,437)	—	0,415	—	0,1970	—
40 000	(0,450)	—	0,432	—	0,2075	—
41 000	(0,463)	—	0,449	—	0,2180	—
42 000	(0,476)	—	0,466	—	0,2285	—
43 000	(0,489)	—	0,483	—	0,2390	—
44 000	(0,502)	—	0,500	—	0,2495	—
45 000	(0,515)	—	0,517	—	0,2600	—
46 000	(0,528)	—	0,534	—	0,2705	—
47 000	(0,541)	—	0,551	—	0,2810	—
48 000	(0,554)	—	0,568	—	0,2915	—
49 000	(0,567)	—	0,585	—	0,3020	—
50 000	(0,580)	—	0,602	—	0,3125	—
51 000	(0,593)	—	0,619	—	0,3230	—
52 000	(0,606)	—	0,636	—	0,3335	—
53 000	(0,619)	—	0,653	—	0,3440	—
54 000	(0,632)	—	0,670	—	0,3545	—
55 000	(0,645)	—	0,687	—	0,3650	—
56 000	(0,658)	—	0,704	—	0,3755	—
57 000	(0,671)	—	0,721	—	0,3860	—
58 000	(0,684)	—	0,738	—	0,3965	—
59 000	(0,697)	—	0,755	—	0,4070	—
60 000	(0,710)	—	0,772	—	0,4175	—
61 000	(0,723)	—	0,789	—	0,4280	—
62 000	(0,736)	—	0,806	—	0,4385	—
63 000	(0,749)	—	0,823	—	0,4490	—
64 000	(0,762)	—	0,840	—	0,4595	—
65 000	(0,775)	—	0,857	—	0,4700	—
66 000	(0,788)	—	0,874	—	0,4805	—
67 000	(0,801)	—	0,891	—	0,4910	—
68 000	(0,814)	—	0,908	—	0,5015	—
69 000	(0,827)	—	0,925	—	0,5120	—
70 000	(0,840)	—	0,942	—	0,5225	—
71 000	(0,853)	—	0,959	—	0,5330	—
72 000	(0,866)	—	0,976	—	0,5435	—
73 000	(0,879)	—	0,993	—	0,5540	—
74 000	(0,892)	—	1,010	—	0,5645	—
75 000	(0,905)	—	1,027	—	0,5750	—
76 000	(0,918)	—	1,044	—	0,5855	—
77 000	(0,931)	—	1,061	—	0,5960	—
78 000	(0,944)	—	1,078	—	0,6065	—
79 000	(0,957)	—	1,095	—	0,6170	—
80 000	(0,970)	—	1,112	—	0,6275	—
81 000	(0,983)	—	1,129	—	0,6380	—
82 000	(0,996)	—	1,146	—	0,6485	—
83 000	(1,009)	—	1,163	—	0,6590	—
84 000	(1,022)	—	1,180	—	0,6695	—
85 000	(1,035)	—	1,197	—	0,6800	—
86 000	(1,048)	—	1,214	—	0,6905	—
87 000	(1,061)	—	1,231	—	0,7010	—
88 000	(1,074)	—	1,248	—	0,7115	—
89 000	(1,087)	—	1,265	—	0,7220	—
90 000	(1,100)	—	1,282	—	0,7325	—
91 000	(1,113)	—	1,299	—	0,7430	—
92 000	(1,126)	—	1,316	—	0,7535	—
93 000	(1,139)	—	1,333	—	0,7640	—
94 000	(1,152)	—	1,350	—	0,7745	—
95 000	(1,165)	—	1,367	—	0,7850	—
96 000	(1,178)	—	1,384	—	0,7955	—
97 000	(1,191)	—	1,401	—	0,8060	—
98 000	(1,204)	—	1,418	—	0,8165	—
99 000	(1,217)	—	1,435	—	0,8270	—
100 000	(1,230)	—	1,452	—	0,8375	—

28 000	(0,286)	0,303	0,722	0,218	0,2166	0,5415	0,100	0,0959	0,246
29 000	(0,294)	—	—	0,229	—	—	0,116	—	—
30 000	(0,30)	—	—	0,239	—	—	0,133	—	—
31 000	—	—	—	—	—	—	0,148	—	—
32 000	(0,315)	0,339	0,803	(0,254)	0,2715	0,678	0,162	0,162	0,416
33 000	—	—	—	—	—	—	0,176	—	—
34 000	—	—	—	(0,266)	—	—	0,189	—	—
35 000	—	—	—	—	—	—	0,201	—	—
36 000	(0,342)	(0,362)	0,863	—	—	—	0,212	0,216	0,554
37 000	—	—	—	—	—	—	0,222	—	—
38 000	—	—	—	—	—	—	0,232	—	—
39 000	—	—	—	—	—	—	0,242	—	—
40 000	(0,375)	0,378	0,900	—	—	—	0,251	0,258	0,661
41 000	—	—	—	—	—	—	0,260	—	—
42 000	—	—	—	—	—	—	0,268	—	—
43 000	—	—	—	—	—	—	0,276	—	—
44 000	—	—	—	—	—	—	0,284	0,288	0,739
45 000	—	—	—	—	—	—	0,291	—	—
46 000	—	—	—	—	—	—	0,298	—	—
47 000	—	—	—	—	—	—	0,305	—	—
48 000	—	—	—	—	—	—	(0,311)	0,3105	0,796
49 000	—	—	—	—	—	—	(0,317)	—	—
50 000	—	—	—	—	—	—	(0,323)	—	—

In der Tabelle sind die so berechneten Werte von  $A \frac{i}{i_0}$  sowie von  $\frac{i}{i_0}$  und die entsprechenden Konstanten von  $A$ ,  $a$  und  $f$  angegeben.  $a$  und  $f$  wachsen mit der Dicke der Blättchen. Der absolute Wert von  $A$ , welcher angibt, welchen Bruchteil der durch das Fenster hindurchgegangenen Strahlen  $F$  absorbiert, erscheint plausibel, soweit man aus den Dimensionen des Apparates auf diese Größe schließen kann. Freilich liegen bis jetzt quantitative Messungen über die Verteilung der Strahlen an der Rückseite eines Fensters nicht vor. Daß aber  $A$  etwas wächst mit Abnahme der Dicke des Blättchens, das steht im Einklang mit den Beobachtungen von Des Coudres.<sup>1)</sup> Danach wiegt bei dünnen Blättchen ein zentrales Bündel vor und ist die Ausbreitung desto gleichmäßiger nach allen Seiten, je dicker das Fenster ist. Und dementsprechend würden auch desto mehr Strahlen durch Auftreffen auf die Verschraubung für  $F$  verloren gehen.

Die Formel wird natürlich ebenfalls nur eine beschränkte Gültigkeit besitzen; doch dürfte der Versuch, theoretisch eine Absorptionsformel aufzustellen, vorläufig noch verfrüht sein und zu sehr in das Gebiet der Hypothese führen.

Würzburg, Physik. Institut der Universität, Juli 1903.

1) Ph. Des Coudres, Physik. Zeitschr. 4. p. 140. 1902.

(Eingegangen 5. August 1903.)

**13. Über die magnetische Permeabilität  
von Eisenpulver bei schnellen Schwingungen<sup>1)</sup>;  
von J. Zenneck.**

---

Die magnetische Permeabilität von weichen Eisendrähten in magnetischen Wechselfeldern hängt bekanntlich sehr stark ab von der Wechselzahl des Feldes. Bei Wechselzahlen von der Größenordnung  $10^6/\text{sec}$  ist sie nach den Angaben in der Literatur<sup>2)</sup> jedenfalls nicht wesentlich größer als 100, muß also auf  $1/10$  bis  $1/30$  ihres mittleren Wertes bei stationärem Feld herabgesunken sein. Gewisse Anschauungen über die Konstitution ferromagnetischer Körper legen es nahe, diese Erscheinung als ziemlich selbstverständlich zu betrachten, sie so aufzufassen, daß die Magnetisierung diesen raschen Wechseln nicht mehr vollkommen zu folgen vermöge. Demgegenüber möchte ich darauf hinweisen, daß Eisen in sehr feiner Verteilung — Eisenpulver<sup>3)</sup> — diese Erscheinung nicht oder nur in sehr geringem Maße zeigt, daß *die magnetische Permeabilität von Eisenpulver in magnetischen Wechselfeldern von ca.  $10^6$  Wechseln in der Sekunde annähernd dieselbe ist, wie im stationären magnetischen Feld.*

---

1) Versuche über die magnetische Wirkung von Eisenpulver bei Schwingungen liegen vor von M. Birkeland, Compt. rend. 118. p. 1324. 1894; F. Braun, Ann. d. Phys. 10. p. 326. 1903; J. Zenneck, Ann. d. Phys. 11. p. 1132. 1903. F. Braun hat den Nachweis erbracht, daß noch bei relativ raschen Schwingungen kompakte Massen von Eisenpulver sich vorteilhaft verwenden lassen.

2) Vgl. I. Klemenčič, Sitzungsber. d. k. Akad. d. Wissensch. zu Wien 102. p. 298. 1893; 103. p. 205. 1894; S. John, Phil. Mag. (5) 38. p. 425. 1894; 39. p. 297. 1895; R. Cardani, Nuovo Cimento (4) 7. p. 229. 1898; W. M. Varley, Inaug.-Diss. Strassburg 1901; Phil. Mag. (6) 3. p. 500. 1902. Manche der Zahlen, die in diesen Arbeiten für die Permeabilität bei schnellen Schwingungen angegeben sind, sind nicht ganz einwurfsfrei, die meisten aber sicher eher zu hoch als zu niedrig.

3) Vgl. Nr. 3.

Festgestellt wurde dies in der folgenden Weise.

1. Zur Untersuchung bei *Wechselfeldern hoher Wechselzahl* diente die schon früher beschriebene Anordnung<sup>1)</sup> (Fig. 1). Zwei möglichst gleiche Spulen  $S_1$  und  $S_2$ <sup>2)</sup> bilden mit zwei

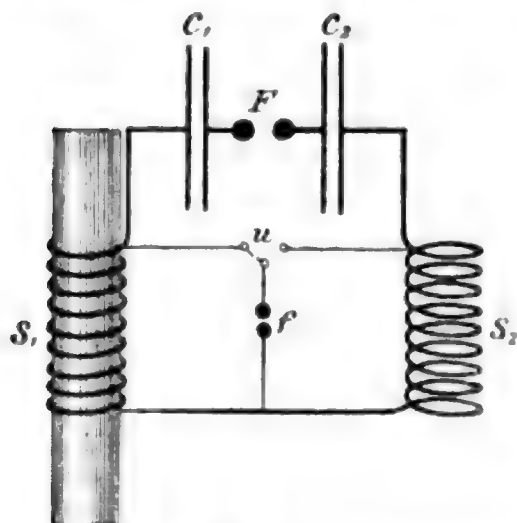


Fig. 1.

Leydener Flaschen  $C_1$  und  $C_2$  und einer Funkenstrecke  $F$  einen Kondensatorkreis, dessen Entladungen die Schwingungen liefern. Da die beiden Spulen von demselben Strom durchflossen sind, so ist die Amplitude der Spannung zwischen den Enden einer Spule annähernd proportional dem Selbstinduktionskoeffizienten der Spule und damit der Amplitude des magnetischen Induktionsflusses durch dieselbe.

Wird also die Spannungsamplitude an den Enden der beiden Spulen durch eine Funkenstrecke  $f$  gemessen<sup>3)</sup>, während in einer der beiden Spulen sich ein Kern aus dem zu untersuchenden Eisenpulver befindet, so erhält man die Erhöhung  $k$  des magnetischen Induktionsflusses durch den Eisenkern. Eine kleine Ungleichheit der Spulen kann dadurch, daß man den Eisenkern in die andere Spule bringt und die Messung wiederholt, eliminiert werden.

2. Für die Untersuchung bei *stationärem Feld* wurde um die eine der beiden Spulen ( $S$  Fig. 2)<sup>4)</sup> eine Wicklung von

1) Vgl. J. Zenneck, Ann. d. Phys. 11. p. 1132. 1903.

2) Anzahl der Windungen einer Spule = 10, Länge der Spulen 5 cm. Durchmesser (von Drahtachse zu Drahtachse) 6,5 cm. Drahtdurchmesser 2,5 mm. Gewickelt waren die Spulen auf Glasröhren von 5,4 cm äußerem Durchmesser und 1,1 mm Wandstärke.

3) Für die Beziehung zwischen Spannung und Schlagweite dürfen die für statische Ladung ermittelten Zahlen (vgl. A. Heydweiller, Wied. Ann. 48. p. 273. 1893 bez. F. Kohlrausch, Praktische Physik 9. Aufl. p. 597) benutzt werden, da Vorversuche lehrten, daß das *Verhältnis* von zwei Spannungen  $V_1$  und  $V_2$ , welche zu zwei Schlagweiten  $f_1$  und  $f_2$  gehören, merklich dasselbe ist bei Schwingungen wie bei statischer Ladung, wenigstens innerhalb der Grenzen, in denen sich die folgenden Versuche bewegen.

4)  $u_1$  und  $u_2$  sind Umschalter, um Nullpunktverschiebungen und die direkte Beeinflussung des Galvanometers durch den Strom  $i$  zu eliminieren.

ca. 120 Windungen dünnen Kupferdrahtes gelegt und diese an ein ballistisches Galvanometer ( $G$ ) angeschlossen. Der Ausschlag des Galvanometers gibt dann ein Maß für die Änderung des magnetischen Induktionsflusses in der Spule  $S$ ; er war innerhalb der Ablesefehler dieser Änderung proportional.

Beim Versuch wurde zuerst, wenn die Spule keinen Eisenkern enthielt, Akkumulatorenstrom ( $i$ ) durch  $S$  geschickt und der Ausschlag  $a_0$  bei Stromschluß oder Stromunterbrechung abgelesen. Dann wurde der zu untersuchende Eisenkern in die Spule gebracht und zuerst einmal derselbe Strom  $i$  in einer bestimmten Richtung durch  $S$  geschickt und dann wieder unterbrochen. Danach wurde derselbe Strom aber in entgegengesetzter Richtung durch die Spule  $S$  geschlossen, der Ausschlag des Galvanometers  $a_1$  bei Stromschluß abgelesen.

Zuletzt wurde der Strom unterbrochen und der dabei erfolgte Galvanometerausschlag  $a_2$  wieder beobachtet. Es ist dann

$\frac{a_1 + a_2}{2} : a_0$  die Erhöhung  $k$  des magnetischen Induktionsflusses durch den betreffenden Eisenkern. Die Differenz  $a_1 - a_2$  gestattet einen Schluß auf die Remanenz des Eisenkernes.

3. Das *Eisenpulver* wurde in zwei Formen verwendet, lose und in Paraffin eingeschmolzen. Im letzteren Fall waren ca. 180 g geschmolzenes Paraffin mit ca. 2200 g Eisenpulver durch langes Rühren zu einem dem Aussehen nach sehr gleichmäßigen Brei verarbeitet worden, der zu einer ziemlich harten zementartigen Masse erstarrte. In beiden Fällen war das Pulver in Glasröhren von 35 cm Länge, 5 cm äußerem Durchmesser und 1,4 mm Wandstärke gefüllt worden.

Das Pulver selbst war das käufliche sogenannte Ferrum limat. pulv. subt. Die mikroskopische Untersuchung ergab als Durchmesser der kleinsten Körner ca.  $1,5 \cdot 10^{-3}$  mm. Größere Körner (bis etwa  $10 \cdot 10^{-3}$  mm Durchmesser) finden sich in großer Zahl; es läßt sich aber nicht mit Sicherheit entscheiden, ob sie nicht ein Konglomerat von kleinen Körnern sind. Nach der chemischen Analyse, die ich Hrn. Dr. Kohl-

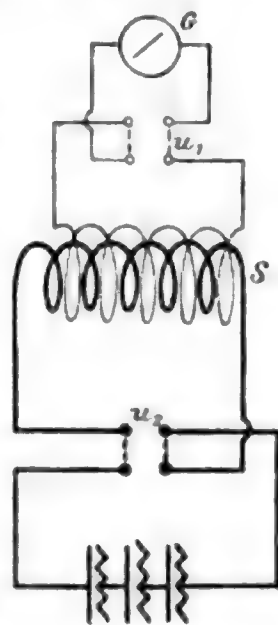


Fig. 2.



schütter verdanke, enthielt das Pulver 92 Proz. metallisches Eisen.

4. *Das Ergebnis*, welches die in 1. und 2. beschriebenen Verfahren für die Erhöhung  $k$  des magnetischen Induktionsflusses durch die Eisenkerne lieferten, ist:

a) Wechselfeld (Wechselzahl ca.  $2 \cdot 10^6/\text{sec}$ ).

$F$	6 mm	9 mm	12 mm
Loses Pulver . .	2,4 <sub>1</sub>	2,6 <sub>3</sub>	2,5 <sub>0</sub>
Pulver in Paraffin	2,2 <sub>2</sub>	2,3 <sub>2</sub>	2,2 <sub>0</sub>

Die Wechselzahl wurde noch bis auf etwa das  $2\frac{1}{2}$  fache gesteigert, ohne daß sich ein merklich verschiedener Wert von  $k$  ergeben hätte.

b) Stationäres Feld.

	$i$ in Amp.	$a_0$ <sup>1)</sup>	$a_1$	$a_2$	$k$
Loses Pulver . .	1,5	10,3	24,7	24,9	2,4 <sub>3</sub>
	6	21	51,1	50,3	2,4 <sub>2</sub>
	18	24,1	60	57	2,4 <sub>3</sub>
Pulver in Paraffin	1,5	10,2	28,3	28,3	2,7 <sub>7</sub>
	6	21	58,4	58,2	2,7 <sub>7</sub>
	18	24,1	69,7	68,1	2,8 <sub>7</sub>

Ein Vergleich der beiden Tabellen zeigt unmittelbar, daß *loses* Eisenpulver die magnetische Induktion in einem Wechselfeld von  $2 \cdot 10^6$  Wechseln fast genau ebensoviel verstärkt wie im stationären Feld. Die magnetische Wirkung des *in Paraffin eingeschmolzenen* Eisenpulvers ist im Wechselfeld nicht genau dieselbe wie im stationären, aber ebenfalls nicht viel verschieden (vgl. unten).

5. Von besonderem Interesse ist die Frage: Um welchen Betrag kann sich die magnetische Permeabilität des im Eisenpulver enthaltenen *metallischen* Eisens bei den schnellen Schwin-

1)  $a_0$   $a_1$   $a_2$  sind in Skalenteilen angegeben. Vergleichbar sind nur die Werte bei demselben Strom  $i$ , da für verschiedene Stromstärken  $i$  verschiedener Widerstand dem Galvanometer vorgeschaltet war.

gungen im Verhältnis zum stationären Feld höchstens geändert haben? Da loses Eisenpulver einen mangelhaft definierten Körper darstellt, in dem sekundäre Erscheinungen unter dem Einfluß der magnetischen Wirkung der Schwingungen nicht ausgeschlossen sind, so sind für die Frage vor allem maßgebend die Resultate an dem in Paraffin eingeschmolzenen Eisen.

Was zuerst die Beziehung der experimentell ermittelten Zahl  $k$  zur Permeabilität des Eisenpulvers betrifft, so ist  $k$  jedenfalls kleiner als das Verhältnis der *scheinbaren*<sup>1)</sup> Permeabilität des Eisenpulvers zu derjenigen der Luft. Tatsächlich muß aber  $k$  annähernd identisch mit diesem Verhältnis sein; denn man erhielt keinen anderen Wert für  $k$ , als die Spule in etwa die 4fache Menge Eisenpulver, welche der Kern enthalten hatte, eingebettet wurde. Da außerdem eine etwaige Wirkung der Foucaultströme in einer scheinbaren Verminderung der Permeabilität sich äußern muß, so kann die *wahre*<sup>1)</sup> Permeabilität des Eisenpulvers bei Schwingungen jedenfalls nicht kleiner sein als die angegebene Zahl  $k$ .

Diese wahre Permeabilität  $\mu$  des Eisenpulvers ist aber nicht annähernd identisch mit der Permeabilität  $\mu_1$  des in demselben enthaltenen *metallischen Eisens*. Wenn man auch von den 8 Proz. Eisenoxyden absieht, so zeigt doch das geringe spezifische Gewicht des Eisenpulvers (3,9), daß der vom Pulver eingenommene Raum nur sehr unvollständig von metallischem Eisen ausgefüllt war. Wird also auf die magnetische Wirkung der geringen Menge von Eisenoxyden keine Rücksicht genommen, so wird man die Beziehung der Permeabilität  $\mu$  des Eisenpulvers zu derjenigen des metallischen Eisens ( $\mu_1$ ) und derjenigen der Luft ( $\mu_0$ ) ausdrücken können durch eine Gleichung der Form

$$\mu = \frac{m_0 \cdot \mu_0 + m_1 \mu_1}{m_0 + m_1} = \frac{m_0}{m_0 + m_1} \cdot \mu_0 + \frac{m_1}{m_0 + m_1} \mu_1,$$

1) Gemeint ist damit das folgende: Eine Spule befinde sich in einem unendlich großen Raum, der ganz von dem Eisenpulver ausgefüllt ist. Es sei der magnetische Induktionsfluß durch dieselbe  $\mu'/\mu_0$  mal größer als wenn die Spule sich in Luft befindet ( $\mu_0$  Permeabilität der Luft).  $\mu'$  heiße dann die *scheinbare* Permeabilität des Eisenpulvers, für deren Wert die Foucaultströme eine Rolle spielen. Der Wert, den  $\mu'$  annehmen würde, wenn man die Foucaultströme ganz unterdrücken könnte, sei  $\mu$ , die *wahre* Permeabilität.

worin  $m_0$  und  $m_1$  positive Konstante bedeuten, deren Wert von der Menge und Gestalt der Eisenkörner abhängt. Der Wert von  $m_0/(m_0 + m_1)$  liegt jedenfalls zwischen Null und 1. Setzt man ihn einmal gleich 1 und dann gleich Null, so erhält man Grenzen für den Anteil des metallischen Eisens an dem Werte von  $\mu_1$  und damit für die prozentische Änderung der Permeabilität des metallischen Eisens. Im vorliegenden Fall war  $\mu/\mu_0$  bei stationärem Feld im Mittel 2,8, bei Wechsel-feld 2,25, die Differenz  $0,55 = 20$  Proz. So groß ist also mindestens die Änderung der Permeabilität des metallischen Eisens. Zu der Permeabilität 2,8 beträgt der Beitrag des Eisens mindestens 1,8. Die Änderung der Permeabilität des metallischen Eisens bei Wechselfeld gegenüber derjenigen bei konstantem Feld ist also höchstens  $\frac{0,55}{1,8} = 30$  Proz. Die Permeabilität des Eisens muß demnach bei  $2 \cdot 10^6$  Wechseln in der Sekunde auf einen Betrag gekommen sein, der zwischen  $\frac{2}{3}$  und  $\frac{4}{5}$  des Wertes bei konstantem Feld liegt. Die Änderung der Permeabilität ist gegenüber derjenigen bei Eisendrähten jedenfalls außerordentlich gering.

Strassburg i. Els., Physikalisches Institut.

(Eingegangen 10. August 1903.)

14. *Studien zur Theorie der Lichterscheinungen;*  
*von A. Korn und K. Stoeckl.*

III. Das Kerrsche Phänomen.

Der Name „Kerrsches Phänomen“ wird für zwei ganz verschiedene von Kerr entdeckte Erscheinungen gebraucht, einmal die Veränderung der Fortpflanzung von Lichtschwingungen durch kräftige elektrostatische Felder, und zweitens die Reflexion des Lichtes von Magnetpolen. Wir werden uns mit der Theorie der *letzteren* Erscheinung<sup>1)</sup> beschäftigen, und zwar, genau wie in unseren früheren Abhandlungen<sup>2)</sup>, auf der folgenden mechanischen Grundlage:

1. Magnetische Teilchen rotieren um ihre magnetische Achse mit einer sehr großen, ihrem magnetischen Moment proportionalen Rotationsgeschwindigkeit.

2. An jeder Stelle eines elektromagnetischen Feldes sind (mechanische) Geschwindigkeiten von der folgenden analytischen Form vorhanden:

$$(A) \quad \begin{cases} u = u_0 + u_1 \cos \frac{t}{T} 2\pi + u_2 \sin \frac{t}{T} 2\pi, \\ v = v_0 + v_1 \cos \frac{t}{T} 2\pi + v_2 \sin \frac{t}{T} 2\pi, \\ w = w_0 + w_1 \cos \frac{t}{T} 2\pi + w_2 \sin \frac{t}{T} 2\pi, \end{cases}$$

wo  $T$  eine gegen die Schwingungsdauer der Lichtschwingungen des sichtbaren Spektrums außerordentlich kleine Zeitdauer vorstellt,  $u_1 v_1 w_1$  den Hertzschen elektrischen Kräften  $XYZ$ ,  $u_2 v_2 w_2$  den magnetischen Kräften  $LMN$  proportional und gegen die „sichtbaren“ Geschwindigkeiten  $u_0 v_0 w_0$  im all-

1) J. Kerr, Phil. Mag. (5) 3. p. 321. 1877; 5. p. 161. 1878.

2) A. Korn u. K. Stoeckl, Ann. d. Phys. 8. p. 317. 1902; 9. p. 1138. 1902.

gemeinen sehr groß sind; Lichtschwingungen treten auf, wenn  $u_1 v_1 w_1$  von der Form sind:

$$(B) \quad \begin{cases} u_1 = a \cos \frac{t}{\tau} 2\pi + a' \sin \frac{t}{\tau} 2\pi, \\ v_1 = b \cos \frac{t}{\tau} 2\pi + b' \sin \frac{t}{\tau} 2\pi, \\ w_1 = c \cos \frac{t}{\tau} 2\pi + c' \sin \frac{t}{\tau} 2\pi, \end{cases}$$

und wenn die Schwingungsdauer  $\tau$  im Bereiche des sichtbaren Spektrums liegt.

Wir haben gesehen<sup>1)</sup>, daß sich auf diesen Grundlagen für ein Medium, das aus Äther und darin eingebetteten leitenden Teilchen zusammengesetzt ist — für den Fall, daß ein konstantes magnetisches Feld  $(\alpha, \beta, \gamma)$  vorhanden ist, dementsprechend die leitenden Teilchen mit  $(\alpha, \beta, \gamma)$  proportionale Rotationsgeschwindigkeiten besitzen —, die folgenden Gleichungen ergeben:

$$(1) \quad \begin{cases} a_i u_{1i} + b_i \frac{d u_{1i}}{dt} + c_i \frac{d^2 u_{1i}}{dt^2} = \kappa_i c_i \left\{ \gamma \frac{d r_{1i}}{dt} - \beta \frac{d w_{1i}}{dt} \right\} + k_i \frac{d u_{1a}}{dt}, \\ a_i v_{1i} + b_i \frac{d r_{1i}}{dt} + c_i \frac{d^2 r_{1i}}{dt^2} = \kappa_i c_i \left\{ \alpha \frac{d w_{1i}}{dt} - \gamma \frac{d u_{1i}}{dt} \right\} + k_i \frac{d r_{1a}}{dt}, \\ a_i w_{1i} + b_i \frac{d w_{1i}}{dt} + c_i \frac{d^2 w_{1i}}{dt^2} = \kappa_i c_i \left\{ \beta \frac{d u_{1i}}{dt} - \alpha \frac{d r_{1i}}{dt} \right\} + k_i \frac{d w_{1a}}{dt}; \end{cases}$$

$$(2)^2) \quad \begin{cases} u_{1a} = -A \frac{d u_{2a}}{dt}, \\ v_{1a} = -A \frac{d r_{2a}}{dt}, \\ w_{1a} = -A \frac{d w_{2a}}{dt}; \end{cases}$$

$$(3) \quad \begin{cases} u_{2a} = A \left\{ c_a \frac{d u_{1a}}{dt} + \sum c_i u_{1i} \right\}, \\ v_{2a} = A \left\{ c_a \frac{d r_{1a}}{dt} + \sum c_i v_{1i} \right\}, \\ w_{2a} = A \left\{ c_a \frac{d w_{1a}}{dt} + \sum c_i w_{1i} \right\}. \end{cases}$$

1) Vgl. A. Korn u. K. Stoeckl, Ann. d. Phys. 9. p. 1143. 1902.

2) Legt man (vgl. A. Korn u. K. Stoeckl, Ann. d. Phys. 9. p. 1143. 1902) an Stelle von (2) die Gleichungen:

$$(2') \quad u_{1a} = -A \frac{d u_{2a}}{dt} + \frac{\partial p_2}{\partial x}, \dots$$

zugrunde, so tritt, wie leicht zu übersehen ist, kein prinzipieller Unterschied in der folgenden Untersuchung ein.

Dabei bedeuten an jeder Stelle  $(x y z)$

$$u_{1a} \ v_{1a} \ w_{1a} \quad (\text{Lichtvektor})$$

die Mittelwerte von  $u_1 \ v_1 \ w_1$  in einem sehr kleinen Raume, der Äther und eine große Zahl eingebetteter leitender Teilchen enthält,

$$u_{2a} \ v_{2a} \ w_{2a}$$

die entsprechenden Mittelwerte von  $u_2 \ v_2 \ w_2$ ,

$$u_{1i} \ v_{1i} \ w_{1i}$$

sind die Werte von  $u_1 \ v_1 \ w_1$  in jedem einzelnen leitenden Teilchen,  $c_a c_i$  der Zusammensetzung des Mediums aus Äther und leitenden Teilchen entsprechende Proportionalitätsfaktoren,  $a_i b_i c_i \kappa_i h_i$  bez. ihre Verhältnisse Konstanten, die dem betreffenden leitenden Teilchen eigentümlich sind, und es wird stets:

$$(4) \quad \left\{ \begin{array}{l} u_{1a} = \frac{\partial w_{1a}}{\partial y} - \frac{\partial v_{1a}}{\partial z}, \\ v_{1a} = \frac{\partial u_{1a}}{\partial z} - \frac{\partial w_{1a}}{\partial x}, \\ w_{1a} = \frac{\partial v_{1a}}{\partial x} - \frac{\partial u_{1a}}{\partial y}, \end{array} \right.$$

$$(5) \quad \left\{ \begin{array}{l} u_{2a} = \frac{\partial w_{2a}}{\partial y} - \frac{\partial v_{2a}}{\partial z}, \\ v_{2a} = \frac{\partial u_{2a}}{\partial z} - \frac{\partial w_{2a}}{\partial x}, \\ w_{2a} = \frac{\partial v_{2a}}{\partial x} - \frac{\partial u_{2a}}{\partial y} \end{array} \right.$$

gesetzt;  $1/A$  ist die Fortpflanzungsgeschwindigkeit des Lichtes im Äther.

Im Äther ist  $c_a = 1$ , alle  $c_i = 0$ , da keine leitenden Teilchen vorhanden sind; je mehr leitende Teilchen sich vorfinden, um so größeren Einfluß gewinnen die  $\sum c_i u_{1i}, \dots$  in den Gleichungen (3), so daß in einem Medium, das sich wie ein Dielektrikum (durchsichtiges Medium) verhält, die Form der Gleichungen (2) und (3) nur wenig verändert wird; für die Metalle werden dagegen jene Glieder schon von erheblichem Einfluß sein; mit Summen werden wir übrigens nur zu tun haben, wenn verschiedene Molekulgattungen vorhanden sind (z. B. bei Legierungen), sonst sind die Glieder von der einfacheren Form:

$$c_i u_{1i}, \quad c_i v_{1i}, \quad c_i w_{1i}.$$



Was die *Grenzbedingungen* an der Grenze zweier Medien anbetrifft, so wird Stetigkeit<sup>1)</sup> von  $u_1 v_1 w_1, u_2 v_2 w_2$  bei dem Durchgang durch die Grenzfläche zwischen Äther und leitender Substanz gefordert; wenn wir nun zwei Medien haben, die aus Äther und leitenden Teilchen zusammengesetzt sind, und unter  $u_{1a} v_{1a} w_{1a}, u_{2a} v_{2a} w_{2a}$  die Mittelwerte der  $u_1 v_1 w_1, u_2 v_2 w_2$  in sehr kleinen Raumteilen verstehen, so wird die Bedingung der Stetigkeit der normalen Ableitungen

$$u_{1a} \cos(nx) + v_{1a} \cos(ny) + w_{1a} \cos(nz),$$

$$u_{2a} \cos(nx) + v_{2a} \cos(ny) + w_{2a} \cos(nz)$$

bei dem Durchgang durch die Grenze zweier solcher Medien nicht mehr erfüllt zu sein brauchen, da ja vielleicht leitende Teilchen des einen Mediums in das andere einströmen werden, wir werden aber an der Stetigkeit der tangentialen Komponenten der Vektoren  $(u_{1a} v_{1a} w_{1a})$  und  $(u_{2a} v_{2a} w_{2a})$  festhalten müssen. *Diese Grenzbedingungen — Stetigkeit der tangentialen Komponenten von  $(u_{1a} v_{1a} w_{1a})$  und  $(u_{2a} v_{2a} w_{2a})$  bei dem Durchgange durch die Grenzfläche — zusammen mit den Gleichungen (1) bis (5) werden alle magneto-optischen Erscheinungen erklären, im besonderen wird dies für das Kerr'sche Phänomen durch die folgende Untersuchung gezeigt werden.<sup>2)</sup>*

---

1) Bei Vernachlässigung von Größen, die gegen  $u_1 r_1 w_1, u_2 r_2 w_2$  von der Ordnung  $\frac{T}{\text{Zeiteinheit}}$  klein sind.

2) Was die Literatur über das Kerrsche Phänomen anbetrifft, so wollen wir vor allem auf die Arbeiten von P. Drude hinweisen, im besonderen auf die Abhandlung „Über magneto-optische Erscheinungen“ (Wied. Ann. 46. p. 353. 1892), in der die hervorragendsten Arbeiten über den Gegenstand zitiert sind, und durch welche — wenn auch unsere Grundlagen ganz verschiedene sind — unsere Aufgabe erheblich erleichtert worden ist. In der Tat führt unsere Theorie auf Endgleichungen, welche mit den Gleichungen (66) und (67) auf p. 387 der genannten Abhandlung äquivalent sind, wenn wir Metalle mit einer Molekulgattung betrachten und die Konstante  $b_i$  für diese Molekulgattung als außerordentlich klein ansehen. Jene Gleichungen erklären aber, wie Drude gezeigt hat, das Kerrsche Phänomen für Eisen bez. Stahl vollständig. Die Abweichungen bei anderen Metallen (D. A. Goldhammer, Wied. Ann. 46. p. 71. 1892) lassen sich — was wir hier nur andeuten — durch den Einfluß der Konstanten  $b_i$  erklären.

## § 1.

Wir denken uns ein Dielektrikum (d. h. ein aus Äther und leitenden Teilchen zusammengesetztes Medium, für das die  $\epsilon_i$  in (3) zu vernachlässigen sind), welches in einer Ebene an ein metallisches Medium grenzt. Wir nehmen die Grenzebene zur  $xy$ -Ebene, die  $z$ -Achse in das Metall hineingerichtet.

Wenn wir uns — wie allgemein üblich — zur Vereinfachung der Rechnungen der Exponentialgrößen an Stelle der  $\cos$  und  $\sin$  bedienen, stellen die drei Gleichungen:

$$(6) \quad \begin{cases} u_{1a} = E_s \cos \varphi \cdot e^{\frac{2\pi i}{V_0} \left( t - \frac{x \sin \varphi + z \cos \varphi}{V_0} \right)}, \\ v_{1a} = E_p \cdot e^{\frac{2\pi i}{V_0} \left( t - \frac{x \sin \varphi + z \cos \varphi}{V_0} \right)}, \\ w_{1a} = -E_s \sin \varphi \cdot e^{\frac{2\pi i}{V_0} \left( t - \frac{x \sin \varphi + z \cos \varphi}{V_0} \right)} \end{cases}$$

eine ebene Lichtwelle dar, deren Fortpflanzungsrichtung der  $xz$ -Ebene (Einfallsebene) parallel ist und mit der  $z$ -Achse den Winkel  $\varphi$  (Einfallswinkel) bildet.

$$(7) \quad V_0 = \frac{1}{A \sqrt{\epsilon_a^{\text{diel.}}}}$$

bezeichnet dabei die Fortpflanzungsgeschwindigkeit im Dielektrikum,  $E_p, E_s$  sind gegebene Größen, die (der Fresnelschen Auffassung entsprechend) als die Maßzahlen für das parallel bez. senkrecht zur Einfallsebene polarisierte einfallende Licht<sup>1)</sup> bezeichnet werden mögen.

Wenn nun eine Reflexion an der Grenze des Metalles stattfindet, so wird die Schwingung im Dielektrikum sich aus einer einfallenden und einer reflektierten Bewegung zusammensetzen:

$$(8) \quad \begin{cases} u_{1a}^{\text{diel.}} = u_{1a}^e + u_{1a}^r, \\ v_{1a}^{\text{diel.}} = v_{1a}^e + v_{1a}^r, \\ w_{1a}^{\text{diel.}} = w_{1a}^e + w_{1a}^r, \end{cases}$$

1) Zahlen, die mit den Amplituden der betreffenden Schwingungskomponenten proportional sind.

wo

$$(9a) \quad \begin{cases} u_{1a}^e = E_s \cos \varphi \cdot e^{\frac{2\pi i}{\tau} \left( t - \frac{x \sin \varphi + z \cos \varphi}{V_0} \right)}, \\ v_{1a}^e = E_p \cdot e^{\frac{2\pi i}{\tau} \left( t - \frac{x \sin \varphi + z \cos \varphi}{V_0} \right)}, \\ w_{1a}^e = -E_s \sin \varphi \cdot e^{\frac{2\pi i}{\tau} \left( t - \frac{x \sin \varphi + z \cos \varphi}{V_0} \right)} \end{cases}$$

und  $u_{1a}^r, v_{1a}^r, w_{1a}^r$  jedenfalls von der Form sein müssen:

$$(9b) \quad \begin{cases} u_{1a}^r = -R_s \cos \varphi \cdot e^{\frac{2\pi i}{\tau} \left( t - \frac{x \sin \varphi - z \cos \varphi}{V_0} \right)}, \\ v_{1a}^r = R_p \cdot e^{\frac{2\pi i}{\tau} \left( t - \frac{x \sin \varphi - z \cos \varphi}{V_0} \right)}, \\ w_{1a}^r = -R_s \sin \varphi \cdot e^{\frac{2\pi i}{\tau} \left( t - \frac{x \sin \varphi - z \cos \varphi}{V_0} \right)}. \end{cases}$$

Die Bestimmung der Unbekannten  $R_p, R_s$ , die als die Maßzahlen für das parallel bez. senkrecht zur Einfallsebene polarisierte, reflektierte Licht zu bezeichnen sein werden, hängt nun von den Eigenschaften des angrenzenden Mediums ab.

## § 2.

Wenn wir für die Bewegung im Metall den allgemeinen Ansatz:

$$(10a) \quad \begin{cases} u_{1a} = A_1 \cdot e^{\frac{2\pi i}{\tau} (t - \mu x - \nu y - \tilde{\omega} z)}, \\ v_{1a} = B_1 \cdot e^{\frac{2\pi i}{\tau} (t - \mu x - \nu y - \tilde{\omega} z)}, \\ w_{1a} = C_1 \cdot e^{\frac{2\pi i}{\tau} (t - \mu x - \nu y - \tilde{\omega} z)}, \end{cases}$$

$$(10b) \quad \begin{cases} u_{2a} = A_2 \cdot e^{\frac{2\pi i}{\tau} (t - \mu x - \nu y - \tilde{\omega} z)}, \\ v_{2a} = B_2 \cdot e^{\frac{2\pi i}{\tau} (t - \mu x - \nu y - \tilde{\omega} z)}, \\ w_{2a} = C_2 \cdot e^{\frac{2\pi i}{\tau} (t - \mu x - \nu y - \tilde{\omega} z)}, \end{cases}$$

$$(10c)^1) \quad \begin{cases} u_{1i} = \alpha_1 \cdot e^{\frac{2\pi i}{\tau} (t - \mu x - \nu y - \tilde{\omega} z)}, \\ v_{1i} = \beta_1 \cdot e^{\frac{2\pi i}{\tau} (t - \mu x - \nu y - \tilde{\omega} z)}, \\ w_{1i} = \gamma_1 \cdot e^{\frac{2\pi i}{\tau} (t - \mu x - \nu y - \tilde{\omega} z)} \end{cases}$$

1) Wir nehmen nur eine Molekulgattung im Metall an.

machen, können wir infolge der Grenzbedingungen für  $z = 0$  sofort aussagen, daß

$$(11) \quad \begin{cases} \mu = \frac{\sin \varphi}{V_0}, \\ \nu = 0 \end{cases}$$

sein muß; wir müssen ferner die Möglichkeit in Betracht ziehen, daß an Stelle eines Wellenzuges (10), deren mehrere auftreten können, in der Tat wird sich ja ergeben<sup>1)</sup>, daß zwei Wellen im Metall auftreten.

Die Unbekannten des Problems sind außer  $R_p R_s$  (vgl. den vorigen Paragraphen)

$$\begin{aligned} \bar{\omega}, \quad A_1 \quad B_1 \quad C_1, \\ A_2 \quad B_2 \quad C_2, \\ \alpha_1 \quad \beta_1 \quad \gamma_1, \end{aligned}$$

wir haben zur Bestimmung derselben die Gleichungen (1) bis (5) und die vier Grenzbedingungen:

$$(12) \quad \begin{cases} u_{1a}^{\text{diel.}} = u_{1a}, \\ v_{1a}^{\text{diel.}} = v_{1a}; \\ u_{2a}^{\text{diel.}} = u_{2a}, \\ v_{2a}^{\text{diel.}} = v_{2a}, \end{cases} \quad \text{für } z = 0,$$

wobei wir unter  $u_{1a} v_{1a} u_{2a} v_{2a}$  die Werte dieser Größen im Metall verstehen.

Wir bringen zunächst die Gleichungen (1) bis (5) unter Einsetzung der Werte (10) zur Anwendung. Es ist nach (4) (5) und (10):

$$(13a) \quad \begin{cases} u_{1a} = + \frac{2\pi i}{r} B_1 \bar{\omega} \cdot e^{\frac{2\pi i}{r}(t - \mu x - \bar{\omega} z)}, \\ v_{1a} = - \frac{2\pi i}{r} (A_1 \bar{\omega} - C_1 \mu) \cdot e^{\frac{2\pi i}{r}(t - \mu x - \bar{\omega} z)}, \\ w_{1a} = - \frac{2\pi i}{r} B_1 \mu \cdot e^{\frac{2\pi i}{r}(t - \mu x - \bar{\omega} z)}; \end{cases}$$

1) Man vgl. auch P. Drude, Wied. Ann. 46. p. 364. 1892.

$$(13b) \quad \begin{cases} u_{2a} = + \frac{2\pi i}{r} B_2 \bar{\omega} \cdot e^{\frac{2\pi i}{r}(t - \mu x - \bar{\omega} z)}, \\ v_{2a} = - \frac{2\pi i}{r} (A_2 \bar{\omega} - C_2 \mu) \cdot e^{\frac{2\pi i}{r}(t - \mu x - \bar{\omega} z)}, \\ w_{2a} = - \frac{2\pi i}{r} B_2 \mu \cdot e^{\frac{2\pi i}{r}(t - \mu x - \bar{\omega} z)}. \end{cases}$$

Die Gleichungen (2) liefern nunmehr einzeln die Relationen:

$$(14) \quad \begin{cases} -B_1 \bar{\omega} = A \cdot A_2, \\ A_1 \bar{\omega} - C_1 \mu = A \cdot B_2, \\ B_1 \mu = A \cdot C_2. \end{cases}$$

Wir haben jetzt die Gleichungen (1) und (3) zur Anwendung zu bringen. Es folgt aus (3)<sup>1)</sup> zunächst in *erster* Annäherung, da in Metallen die ersten Glieder rechts gegen die zweiten klein sind:

$$u_{1i} = \frac{1}{A c_i} u_{2a},$$

$$v_{1i} = \frac{1}{A c_i} v_{2a},$$

$$w_{1i} = \frac{1}{A c_i} w_{2a},$$

und wenn wir dies in (1) einsetzen, bei Vernachlässigung von  $b_i$  (vgl. Anmerkung p. 878):

$$u_{1i} \left( a_i - \frac{4\pi^2}{r^2} \cdot c_i \right) = \frac{x_i c_i}{A c_i} \left\{ \gamma \frac{d v_{2a}}{d t} - \beta \frac{d w_{2a}}{d t} \right\} + k_i \frac{d u_{1a}}{d t},$$

$$v_{1i} \left( a_i - \frac{4\pi^2}{r^2} \cdot c_i \right) = \frac{x_i c_i}{A c_i} \left\{ \alpha \frac{d w_{2a}}{d t} - \gamma \frac{d u_{2a}}{d t} \right\} + k_i \frac{d v_{1a}}{d t},$$

$$w_{1i} \left( a_i - \frac{4\pi^2}{r^2} \cdot c_i \right) = \frac{x_i c_i}{A c_i} \left\{ \beta \frac{d u_{2a}}{d t} - \alpha \frac{d v_{2a}}{d t} \right\} + k_i \frac{d w_{1a}}{d t};$$

hierauf können wir die Gleichungen (3) in *zweiter* Annäherung folgendermaßen schreiben:

1) Die Summenzeichen in (3) sind fortzulassen, da wir nur eine Molekulgattung annehmen.

$$(15) \quad \left\{ \begin{aligned} u_{2a} &= A \left\{ c_a - \frac{c_i k_i}{\frac{4\pi^2}{r^2} c_i - a_i} \right\} \frac{d u_{1a}}{d t} \\ &\quad - \frac{x_i c_i}{\frac{4\pi^2}{r^2} c_i - a_i} \left\{ \gamma \frac{d v_{2a}}{d t} - \beta \frac{d w_{2a}}{d t} \right\}, \\ v_{2a} &= A \left\{ c_a - \frac{c_i k_i}{\frac{4\pi^2}{r^2} c_i - a_i} \right\} \frac{d v_{1a}}{d t} \\ &\quad - \frac{x_i c_i}{\frac{4\pi^2}{r^2} c_i - a_i} \left\{ \alpha \frac{d w_{2a}}{d t} - \gamma \frac{d u_{2a}}{d t} \right\}, \\ w_{2a} &= A \left\{ c_a - \frac{c_i k_i}{\frac{4\pi^2}{r^2} c_i - a_i} \right\} \frac{d w_{1a}}{d t} \\ &\quad - \frac{x_i c_i}{\frac{4\pi^2}{r^2} c_i - a_i} \left\{ \beta \frac{d u_{2a}}{d t} - \alpha \frac{d v_{2a}}{d t} \right\}. \end{aligned} \right.$$

Setzen wir

$$(16) \quad V = \frac{1}{A \sqrt{c_a - \frac{c_i k_i}{\frac{4\pi^2}{r^2} c_i - a_i}}},$$

$$(17) \quad \left\{ \begin{aligned} b_1 &= \alpha \cdot \frac{x_i c_i V^2}{\frac{4\pi^2}{r^2} c_i - a_i}, \\ b_2 &= \beta \cdot \frac{x_i c_i V^2}{\frac{4\pi^2}{r^2} c_i - a_i}, \\ b_3 &= \gamma \cdot \frac{x_i c_i V^2}{\frac{4\pi^2}{r^2} c_i - a_i}, \end{aligned} \right.$$

so daß  $b_1, b_2, b_3$  mit den Komponenten  $\alpha, \beta, \gamma$  des einwirkenden konstanten Magnetfeldes proportional sind, so können wir die Gleichungen (15) auch so schreiben:

$$(18) \quad \left\{ \begin{aligned} \frac{d u_{1a}}{d t} &= A \left\{ V^2 \cdot u_{2a} + b_3 \frac{d v_{2a}}{d t} - b_2 \frac{d w_{2a}}{d t} \right\}, \\ \frac{d v_{1a}}{d t} &= A \left\{ V^2 \cdot v_{2a} + b_1 \frac{d w_{2a}}{d t} - b_3 \frac{d u_{2a}}{d t} \right\}, \\ \frac{d w_{1a}}{d t} &= A \left\{ V^2 \cdot w_{2a} + b_2 \frac{d u_{2a}}{d t} - b_1 \frac{d v_{2a}}{d t} \right\}, \end{aligned} \right.$$



oder unter Einsetzung der Werte (10) und (13):

$$(19) \quad \begin{cases} A_1 = A \cdot V^2 \cdot B_2 \bar{\omega} - \frac{2\pi i}{\tau} A [b_3 (A_2 \bar{\omega} - C_2 \mu) - b_2 B_2 \mu], \\ B_1 = -A \cdot V^2 (A_2 \bar{\omega} - C_2 \mu) - \frac{2\pi i}{\tau} A [b_1 \mu + b_3 \bar{\omega}] B_2, \\ C_1 = -A \cdot V^2 \cdot B_2 \mu - \frac{2\pi i}{\tau} A [-b_2 B_2 \bar{\omega} - b_1 (A_2 \bar{\omega} - C_2 \mu)]. \end{cases}$$

Die Gleichungen (14) und (19) sind sechs Relationen für die unbekannten Verhältnisse

$$A_1 : B_1 : C_1 : A_2 : B_2 : C_2$$

und für die Unbekannte  $\bar{\omega}$ .

Der folgende Paragraph wird die Auflösung dieser Gleichungen enthalten.

### § 3.

Es folgt aus (14) und (19) durch Elimination von  $A_1$   $B_1$   $C_1$ :

$$A_2 = -\frac{B_1 \bar{\omega}}{A} = V^2 \cdot A_2 (\mu^2 + \bar{\omega}^2) + \frac{2\pi i}{\tau} B_2 (b_1 \mu + b_3 \bar{\omega}) \bar{\omega},$$

$$B_2 = \frac{1}{A} (A_1 \bar{\omega} - C_1 \mu) = V^2 \cdot B_2 (\mu^2 + \bar{\omega}^2) - \frac{2\pi i}{\tau} (A_2 \bar{\omega} - C_2 \mu) (b_1 \mu + b_3 \bar{\omega}),$$

$$C_2 = \frac{B_1 \mu}{A} = V^2 \cdot C_2 (\mu^2 + \bar{\omega}^2) - \frac{2\pi i}{\tau} B_2 (b_1 \mu + b_3 \bar{\omega}) \mu,$$

oder:

$$(20) \quad \begin{cases} A_2 [1 - V^2 (\mu^2 + \bar{\omega}^2)] = \frac{2\pi i}{\tau} \bar{\omega} (b_1 \mu + b_3 \bar{\omega}) B_2, \\ B_2 [1 - V^2 (\mu^2 + \bar{\omega}^2)] = -\frac{2\pi i}{\tau} (A_2 \bar{\omega} - C_2 \mu) (b_1 \mu + b_3 \bar{\omega}), \\ C_2 [1 - V^2 (\mu^2 + \bar{\omega}^2)] = -\frac{2\pi i}{\tau} \mu (b_1 \mu + b_3 \bar{\omega}) B_2. \end{cases}$$

$\frac{b_1 \mu^2}{\tau}$ ,  $\frac{b_1 \bar{\omega} \mu \bar{\omega}}{\tau}$ ,  $\frac{b_3 \bar{\omega}^2}{\tau}$  sind als sehr kleine Größen zu betrachten; in *erster* Annäherung ist daher alles so, als ob

die rechten Seiten in (20) nicht vorhanden wären, und es ist der erste Näherungswert von  $\tilde{\omega}$ :

$$(21) \quad \Pi = \sqrt{\frac{1}{V^2} - \mu^2} = \sqrt{\frac{1}{V^2} - \frac{\sin^2 \varphi}{V_0^2}},$$

und wir dürfen die Gleichungen (20), wenn wir

$$(22) \quad b' = \frac{2\pi}{r} (b_1 \mu + b_3 \Pi)$$

setzen, in *zweiter* Annäherung folgendermaßen schreiben:

$$(23) \quad \begin{cases} A_2 \{1 - V^2(\mu^2 + \tilde{\omega}^2)\} = i b' \Pi B_2, \\ B_2 \{1 - V^2(\mu^2 + \tilde{\omega}^2)\} = -i b' \{A_2 \Pi - C_2 \mu\}, \\ C_2 \{1 - V^2(\mu^2 + \tilde{\omega}^2)\} = -i b' \mu B_2. \end{cases}$$

Aus der ersten und dritten dieser Gleichungen folgt:

$$(A_2 \pi - C_2 \mu) \{1 - V^2(\mu^2 + \tilde{\omega}^2)\} = i b' B_2 (\mu^2 + \Pi^2)$$

und hieraus mit Rücksicht auf die zweite Gleichung (23):<sup>1)</sup>

$$\begin{aligned} \{1 - V^2(\mu^2 + \tilde{\omega}^2)\}^2 &= b'^2 (\mu^2 + \Pi^2) \\ &= \frac{b'^2}{V^2}. \end{aligned}$$

Die Unbekannte  $\tilde{\omega}$  genügt somit in zweiter Annäherung einer Gleichung zweiten Grades mit den Wurzeln:

$$(24) \quad \begin{cases} \tilde{\omega}_1 = \frac{1}{V} \sqrt{1 + \frac{b'}{V} - \sin^2 \varphi \frac{V^2}{V_0^2}}, \\ \tilde{\omega}_2 = \frac{1}{V} \sqrt{1 - \frac{b'}{V} - \sin^2 \varphi \frac{V^2}{V_0^2}}; \end{cases}$$

hierauf ergeben sich nach (23) die beiden Lösungssysteme für die Verhältnisse  $A_2 : B_2 : C_2$ :

$$(25a) \quad \begin{cases} A_2^1 = -\tilde{\omega}_1 D_1, \\ B_2^1 = -i \sqrt{\mu^2 + \tilde{\omega}_1^2} \cdot D_1, \\ C_2^1 = \mu D_1; \end{cases}$$

$$(25b) \quad \begin{cases} A_2^2 = -\tilde{\omega}_2 D_2, \\ B_2^2 = +i \sqrt{\mu^2 + \tilde{\omega}_2^2} \cdot D_2, \\ C_2^2 = \mu D_2, \end{cases}$$

wobei  $D_1 D_2$  vorläufig ganz willkürlich sind.<sup>2)</sup>

1)  $A_2 \pi - C_2 \mu = 0$  würde  $A_2 = B_2 = C_2 = 0$  zur Folge haben.

2) Man vgl. P. Drude, Wied. Ann. 46. p. 365. 1892.

Die entsprechenden Lösungssysteme für die Verhältnisse  $A_1 : B_1 : C_1$  sind nach (19):

$$(26a) \quad \begin{cases} A_1^1 = \left[ -i \bar{\omega}_1 \sqrt{\mu^2 + \bar{\omega}_1^2} V^2 - \frac{2\pi i}{\tau} \frac{A}{V} \left( -\frac{b_2}{V} + i\mu b_2 \right) \right] D_1, \\ B_1^1 = A \cdot D_1, \\ C_1^1 = \left[ i\mu \sqrt{\mu^2 + \bar{\omega}_1^2} V^2 - \frac{2\pi i}{\tau} \frac{A}{V} \left( i\bar{\omega}_1 b_2 + \frac{b_1}{V} \right) \right] D_1; \end{cases}$$

$$(26b) \quad \begin{cases} A_1^2 = \left[ i \bar{\omega}_2 \sqrt{\mu^2 + \bar{\omega}_2^2} V^2 - \frac{2\pi i}{\tau} \frac{A}{V} \left( -\frac{b_2}{V} - i\mu b_2 \right) \right] D_2, \\ B_1^2 = A \cdot D_2, \\ C_1^2 = \left[ -i\mu \sqrt{\mu^2 + \bar{\omega}_2^2} V^2 - \frac{2\pi i}{\tau} \frac{A}{V} \left( -i\bar{\omega}_2 b_2 + \frac{b_1}{V} \right) \right] D_2. \end{cases}$$

#### § 4.

Wir wissen jetzt, daß  $u_{1a} v_{1a} w_{1a}$ ,  $u_{2a} v_{2a} w_{2a}$  im Metall von der folgenden Form sein müssen:

$$(27a) \quad \begin{cases} u_{1a} = A_1^1 e^{\frac{2\pi i}{\tau}(t - \mu x - \bar{\omega}_1 z)} + A_1^2 e^{\frac{2\pi i}{\tau}(t - \mu x - \bar{\omega}_2 z)}, \\ v_{1a} = B_1^1 e^{\frac{2\pi i}{\tau}(t - \mu x - \bar{\omega}_1 z)} + B_1^2 e^{\frac{2\pi i}{\tau}(t - \mu x - \bar{\omega}_2 z)}, \\ w_{1a} = C_1^1 e^{\frac{2\pi i}{\tau}(t - \mu x - \bar{\omega}_1 z)} + C_1^2 e^{\frac{2\pi i}{\tau}(t - \mu x - \bar{\omega}_2 z)}; \end{cases}$$

$$(27b) \quad \begin{cases} u_{2a} = A_2^1 e^{\frac{2\pi i}{\tau}(t - \mu x - \bar{\omega}_1 z)} + A_2^2 e^{\frac{2\pi i}{\tau}(t - \mu x - \bar{\omega}_2 z)}, \\ v_{2a} = B_2^1 e^{\frac{2\pi i}{\tau}(t - \mu x - \bar{\omega}_1 z)} + B_2^2 e^{\frac{2\pi i}{\tau}(t - \mu x - \bar{\omega}_2 z)}, \\ w_{2a} = C_2^1 e^{\frac{2\pi i}{\tau}(t - \mu x - \bar{\omega}_1 z)} + C_2^2 e^{\frac{2\pi i}{\tau}(t - \mu x - \bar{\omega}_2 z)}, \end{cases}$$

wo:

$$\mu = \frac{\sin \varphi}{V_0},$$

$\bar{\omega}_1 \bar{\omega}_2 A_1^1 A_1^2 B_1^1 B_1^2 C_1^1 C_1^2 A_2^1 A_2^2 B_2^1 B_2^2 C_2^1 C_2^2$  durch die Gleichungen (24) bis (26) gegeben sind.

Dagegen ist im Dielektrikum:

$$(28a) \quad \left\{ \begin{aligned} u_{1a}^{\text{diel.}} &= + E_s \cos \varphi e^{\frac{2\pi i}{\tau} \left( t - \frac{x \sin \varphi + z \cos \varphi}{V_0} \right)} \\ &\quad - R_s \cos \varphi e^{\frac{2\pi i}{\tau} \left( t - \frac{x \sin \varphi - z \cos \varphi}{V_0} \right)}, \\ v_{1a}^{\text{diel.}} &= E_p e^{\frac{2\pi i}{\tau} \left( t - \frac{x \sin \varphi + z \cos \varphi}{V_0} \right)} \\ &\quad + R_p e^{\frac{2\pi i}{\tau} \left( t - \frac{x \sin \varphi - z \cos \varphi}{V_0} \right)}, \\ w_{1a}^{\text{diel.}} &= - E_s \sin \varphi e^{\frac{2\pi i}{\tau} \left( t - \frac{x \sin \varphi + z \cos \varphi}{V_0} \right)} \\ &\quad - R_s \sin \varphi e^{\frac{2\pi i}{\tau} \left( t - \frac{x \sin \varphi - z \cos \varphi}{V_0} \right)}; \end{aligned} \right.$$

$$(28b)^1) \quad \left\{ \begin{aligned} u_{2a}^{\text{diel.}} &= - \frac{E_p}{A V_0} \cos \varphi e^{\frac{2\pi i}{\tau} \left( t - \frac{x \sin \varphi + z \cos \varphi}{V_0} \right)} \\ &\quad + \frac{R_p}{A V_0} \cos \varphi e^{\frac{2\pi i}{\tau} \left( t - \frac{x \sin \varphi - z \cos \varphi}{V_0} \right)}, \\ v_{2a}^{\text{diel.}} &= + \frac{E_s}{A V_0} e^{\frac{2\pi i}{\tau} \left( t - \frac{x \sin \varphi + z \cos \varphi}{V_0} \right)} \\ &\quad + \frac{R_s}{A V_0} e^{\frac{2\pi i}{\tau} \left( t - \frac{x \sin \varphi - z \cos \varphi}{V_0} \right)}, \\ w_{2a}^{\text{diel.}} &= + \frac{E_p}{A V_0} \sin \varphi e^{\frac{2\pi i}{\tau} \left( t - \frac{x \sin \varphi + z \cos \varphi}{V_0} \right)} \\ &\quad + \frac{R_p}{A V_0} \sin \varphi e^{\frac{2\pi i}{\tau} \left( t - \frac{x \sin \varphi - z \cos \varphi}{V_0} \right)}. \end{aligned} \right.$$

Zur Bestimmung der vier Unbekannten:

$$R_p, R_s, D_1, D_2$$

haben wir die vier Grenzbedingungen (12); dieselben liefern uns nach (27) und (28) die folgenden vier Relationen:

$$(29) \quad \left\{ \begin{aligned} (E_s - R_s) \cos \varphi &= A_1^1 + A_1^2, \\ E_p + R_p &= B_1^1 + B_1^2, \\ \frac{R_p - E_p}{A V_0} \cos \varphi &= A_2^1 + A_2^2, \\ \frac{E_s + R_s}{A V_0} &= B_2^1 + B_2^2, \end{aligned} \right.$$

1) Diese Gleichungen folgen aus (28a) nach den Relationen:

$$\frac{\partial w_{1a}^{\text{diel.}}}{\partial y} - \frac{\partial v_{1a}^{\text{diel.}}}{\partial x} = -A \frac{du_{2a}^{\text{diel.}}}{dt}, \dots$$

oder, indem wir für die  $A$  und  $B$  ihre Werte (25) und (26) einsetzen:

$$(30) \left\{ \begin{aligned} (E_s - R_s) \cos \varphi &= i A V^2 [\tilde{\omega}_2 \sqrt{\mu^2 + \tilde{\omega}_2^2} D_2 - \tilde{\omega}_1 \sqrt{\mu^2 + \tilde{\omega}_1^2} D_1] \\ &\quad - \frac{2\pi i}{\tau} \cdot \frac{A}{V} \left[ D_1 \left( -\frac{b_3}{V} + i \mu b_2 \right) - D_2 \left( \frac{b_3}{V} + i \mu b_1 \right) \right] \\ E_p + R_p &= A(D_1 + D_2), \\ \frac{E_p - R_p}{A V_0} \cos \varphi &= \tilde{\omega}_1 D_1 + \tilde{\omega}_2 D_2, \\ \frac{E_s + R_s}{A V_0} &= i [D_2 \sqrt{\mu^2 + \tilde{\omega}_2^2} - D_1 \sqrt{\mu^2 + \tilde{\omega}_1^2}]. \end{aligned} \right.$$

Diese Gleichungen werden mit den Gleichungen Drudes<sup>1)</sup> identisch, wenn man in (30)  $D_1$  und  $D_2$  für  $A D_1$  bez.  $A D_2$  schreibt. Sie erklären das Kerrsche Phänomen für Eisen bez. Stahl in allen Einzelheiten.

### § 5.

Da die hier aufgestellten Gleichungen, welche alle magneto-optischen Erscheinungen zusammenfassen, auch ganz abgesehen von ihrer mechanischen Herleitung von Interesse sein dürften, lassen wir dieselben am Schluß noch einmal in der Form folgen, in der sie sich bei der Maxwell-Hertzschen Schreibweise darstellen werden:

$$(31) \left\{ \begin{aligned} a_i \mathfrak{X}_i + b_i \frac{d \mathfrak{X}_i}{d t} + c_i \frac{d^2 \mathfrak{X}_i}{d t^2} &= \kappa_i c_i \left\{ \gamma \frac{d \mathfrak{Y}_i}{d t} - \beta \frac{d \mathfrak{Z}_i}{d t} \right\} + k_i \frac{d X}{d t}, \dots \\ \frac{\partial Z}{\partial y} - \frac{\partial Y}{\partial x} &= -A \frac{d L}{d t}, \dots \\ \frac{\partial N}{\partial y} - \frac{\partial M}{\partial x} &= A \left\{ c_a \frac{d X}{d t} + \sum c_i \mathfrak{X}_i \right\}, \dots \end{aligned} \right.$$

Als Grenzbedingung ist die Stetigkeit der tangentialen Komponenten der Vektoren  $(XYZ)$  und  $(LMN)$  bei dem Durchgang durch die Grenzfläche zweier Medien hinzuzunehmen.

1) Vgl. P. Drude, Wied. Ann. 46. p. 387, Gleichungen (66). 1892.

(Eingegangen 26. August 1903.)

## 15. *Über Kombinations- und Asymmetrietöne;* *von Max Meyer.*

Die Abhandlung des Hrn. Lindig<sup>1)</sup> über Asymmetrietöne ist für jeden Akustiker von großem Interesse wegen des Nachweises der Entstehungsart geradzahliger Obertöne bei schwingenden Stäben. Doch scheint mir Hr. Lindig mit seiner Vergleichung von Kombinations- und Asymmetrietönen nur teilweise im Recht zu sein. Und da er auf diese Gegenüberstellung besonderes Gewicht zu legen scheint, so möchte ich versuchen, seine Darstellung zu berichtigen.

Es sei mir zunächst gestattet, ein paar Worte über Kombinationstöne im allgemeinen zu sagen. Man muß, wenn man Unklarheiten vermeiden will, durchaus *drei verschiedene Arten von Kombinationstönen* unterscheiden: 1. subjektive, 2. objektive, die dann entstehen, wenn Luft unter einem höheren Druck durch eine feste Wand von Luft unter einem niedrigeren Druck getrennt ist, und wenn der Druckausgleich durch mehr als eine (periodisch wirkende) Öffnung in dieser Wand bewirkt wird; 3. objektive, die dadurch entstehen, daß ein unsymmetrischer Körper gezwungen wird, mehrere Schwingungen gleichzeitig auszuführen.

Diese Unterscheidung der drei Arten wird unglücklicherweise nicht immer gemacht. Es ist zu bedauern, daß wir für diese drei Phänomene nicht drei verschiedene Bezeichnungen besitzen; daß wir ohne Unterschied von „Kombinationstönen“ sprechen. Wir beobachten in den drei Fällen sehr verschiedene Gesetzmäßigkeiten, und nur darin stimmen die drei Fälle überein, daß in jedem Falle *Differenztöne hörbar* werden können.

1. Die subjektiven Kombinationstöne (nur Differenztöne, keine Summationstöne) entstehen im inneren Ohr. Sie sind vom Standpunkte des Psychologen bei weitem die interessanteste der drei Arten. Die Physiker haben ihnen bisher kein nennenswertes Interesse entgegengebracht, obwohl es sich hier auch

1) F. Lindig, Ann. d. Phys. 11. p. 31 ff. 1903.



um ein interessantes mathematisch - physikalisches Problem handelt. Ich glaube einiges in den unten erwähnten<sup>1)</sup> und anderen Abhandlungen zur Lösung dieses Problems beigetragen zu haben. Aber von der vollständigen Lösung sind wir noch weit entfernt. Um Töne im physikalischen Sinne des Wortes, d. h. Sinusschwingungen, handelt es sich hier wahrscheinlich überhaupt nicht, sondern einfach um rhythmische Reizungen der Endigungen des Gehörnerven. Eine vollständige analytische Behandlung dieses Problems setzt die Lösung sehr komplizierter rein mathematischer Probleme voraus. Ich selber habe die Mechanik des inneren Ohres nur mittelst Annäherung durch konstruktive Zeichnung darstellen können.

2. Die Bedingung für die Entstehung der Kombinations-töne der zweiten Art (objektiver Töne) ist erfüllt bei einem Harmonium oder einer Sirene, wenn die aus einem gemeinsamen Windkasten ausströmende Luft an zwei (oder mehr) Punkten gleichzeitig verschiedene Sinusschwingungen erzeugt. Bei nur einer Öffnung kann man den Druck im Innern des Windkastens als konstant annehmen. Bei zwei Öffnungen ist dies anders. Der Ausfluß der Luft durch jede Öffnung ist nun nicht bloß von dem Druckunterschied der inneren und äußeren Luft abhängig, sondern auch von den Druckschwankungen, die im Innern des Windkastens durch die periodische Tätigkeit der anderen Öffnung hervorgebracht werden. Die Masse der in der Zeiteinheit durch die eine Öffnung ausströmenden Luft ist daher nicht mehr bestimmt durch einen Ausdruck von der Form  $P(1 - \cos 2\pi m t)$ , sondern durch einen Ausdruck von der Form  $P'(1 - \cos 2\pi n t)(1 - \cos 2\pi m t)$ , dessen Entwicklung in eine Summe trigonometrischer Funktionen außer den Tönen  $m$  und  $n$  noch die Töne  $m + n$  und  $m - n$  ergibt.

Wie groß die Konfusion auf dem Gebiete der Kombinations-töne ist, kann man daraus ersehen, daß in einer neueren Abhandlung<sup>2)</sup> dieser zweite Fall auf Töne angewandt wird, die

1) M. Meyer, Zeitschr. f. Psychol. u. Physiol. d. Sinn. 16. p. 22 ff. 1898; Verhandl. d. Physik. Gesellsch. zu Berlin (5) 17. p. 49 ff. 1898; Zeitschr. f. Psychol. u. Physiol. d. Sinn. 17. p. 1 ff. 1898; Pflügers Arch. f. d. ges. Physiol. 78. p. 346 ff. 1899.

2) K. L. Schaefer, Pflügers Arch. f. d. ges. Physiol. 78. p. 522 ff. 1900.

im inneren Ohr entstehen, obwohl die physikalischen Verhältnisse dort gänzlich verschieden sind von der hier in Betracht kommenden Bedingung. Das innere Ohr ist durchaus nicht mit Druckluft gefüllt, die durch zwei oder mehr in verschiedener Periodizität wirkende Öffnungen ausfließt, sondern mit Lymphe, die als inkompressibel betrachtet werden muß und überhaupt nicht ausfließt.

3. Kombinationstöne der dritten Art entstehen, wenn zwei Sinuswellen verschiedener Periode gleichzeitig auf einen und denselben *unsymmetrischen* Körper übertragen werden. Außerdem entstehen in diesem Falle Obertöne. Je unsymmetrischer der Körper und je größer die Amplitude der Primärtöne, um so größer die Amplitude der sekundären Töne. Von psychologischem Interesse sind die Kombinationstöne der dritten Art nur deshalb, weil ein wichtiger Bestandteil unseres Gehörapparates, das Trommelfell, stark unsymmetrisch ist. Doch sind diese Kombinationstöne außerordentlich schwach im Vergleich mit den (subjektiven) Kombinationstönen der ersten Art.

Die Kombinationstöne der dritten Art sind natürlich die einzigen, die Hr. Lindig im Sinne hat. Er weist darauf hin, daß, wenn eine einzelne Sinuswelle auf einen unsymmetrischen Körper übertragen wird, zwar keine Differenz- und Summations-töne, wohl aber Obertöne entstehen können. Der unsymmetrische Körper nun, auf den die Schwingung übertragen wird, ist im Falle eines schwingenden Stabes (Stimmgabel) die Luftschicht, die dicht an der Oberfläche des Stabes sich befindet. In diesem Hinweise, daß diese Luftschicht als *unsymmetrisch* betrachtet werden muß, sehe ich das einzige wirklich neue, aber in der Tat äußerst wertvolle Ergebnis der Arbeit des Hrn. Lindig.

Ich bin nun im stande, die beiden Fehler zu besprechen, die mir Hr. Lindig gemacht zu haben scheint. Er schreibt auf p. 51:

Ist  $x$  groß, so entsteht ein *Kombinationston* mitten in der Luft, wo zwei sehr *intensive* Töne zusammentreffen.

Ist  $b$  groß, so entsteht ein *Asymmetrieton* nur an *Übergangsstellen* (Grenzflächen) der Tonquellen selber.

a) Diese Gegenüberstellung scheint mir unberechtigt. Ob wir es mit Kombinationstönen oder mit Asymmetrietönen zu

tun haben, hängt nicht davon ab, ob  $x$  oder  $b$  groß ist, sondern vielmehr davon, *ob gleichzeitig zwei verschiedene oder nur eine einzige Sinusschwingung auf den unsymmetrischen Körper übertragen werden.* In beiden Fällen ohne Unterschied, bei Asymmetrietönen sowohl wie bei den in Betracht kommenden Kombinationstönen der dritten Art, hängt die Amplitude der sekundären Töne von *beiden* Bedingungen ab, von der Größe von  $x$  sowohl wie von der Größe von  $b$ .

b) Kombinationstöne der dritten Art können niemals „mitten in der Luft“ entstehen, wie Hr. Lindig sagt. Daß mitten in der Luft keine entstehen, ist experimentell nachgewiesen worden. Es ist aber auch theoretisch ganz unmöglich, *da mitten in der Luft keinerlei Asymmetrie besteht.* Die Vermutung des Hrn. Lindig, daß die bloße Intensität zweier mitten in der Luft zusammentreffenden Töne die Luftteilchen unsymmetrisch macht, ist eine Vermutung, die weder auf irgend eine Beobachtung noch auf irgend eine Theorie gegründet werden kann. Die experimentellen Tatsachen widersprechen dieser Vermutung. Man vergleiche in dieser Hinsicht das negative Ergebnis der Experimente von Rücker und Edser<sup>1)</sup> mit Stimmgabeltönen. Wenn die Primärtöne von Stimmgabeln hervorgebracht wurden, so waren trotz der Intensität der Töne mitten in der Luft keine Kombinationstöne objektiv nachweisbar.

Staatsuniversität von Missouri, Juni 1903.

---

1) A. W. Rücker u. E. Edser, Phil. Mag. 39. p. 341 ff. 1895.

(Eingegangen 24. Juni 1903.)

**16. Die Skalenwertbestimmung am Unifilar-  
magnetometer;  
von Paul Schulze.**

An einer früheren Stelle<sup>1)</sup> ist gezeigt worden, daß die Ablenkungen und Schwingungen an einem Unifilarmagnetometer, wie es zur Messung der Variationen der Horizontalintensität benutzt wird, unsymmetrisch sind, sei es daß dieselben künstlich hervorgebracht, sei es daß sie durch Variationen der Horizontalintensität veranlaßt werden. Die Skalenwertsbestimmungen, wie sie unter der Annahme symmetrischer Ablenkungen und Schwingungen vorgenommen werden, sind daher nicht zulässig. Im folgenden soll eine Methode für asymmetrische Schwingungen angegeben werden. Die Bezeichnungen sind hier dieselben wie früher. Die Ausgangsgleichung bilde wieder die frühere:

$$\beta^2 \cdot \frac{H \sin \gamma}{2} - \beta \left\{ H \cos \gamma - \delta H \cos \gamma + \frac{H}{\omega - \gamma} \cdot \sin \gamma \right\} + \delta H \cdot \sin \gamma = 0.$$

Hierin ist  $\beta$  die durch Änderung der Horizontalintensität  $H$  um den Betrag  $\delta H$  hervorgebrachte Ablenkung,  $\omega$  der Torsionswinkel,  $\gamma$  der augenblickliche Ablenkungswinkel. Unter Vernachlässigung des Gliedes  $\delta H \cos \gamma$  in dem Koeffizienten von  $\beta$  ergibt sich:

$$(1) \quad \delta H = H \left\{ \cotg \gamma + \frac{1}{\omega - \gamma} \right\} \beta - \frac{H \beta^2}{2}.$$

Hierin ist nun

$$\cotg \gamma + \frac{1}{\omega - \gamma}$$

zu bestimmen. Dies kann durch Beobachtung der Schwingungsdauer geschehen.

F. A. Schulze<sup>2)</sup> hat für die Schwingungsdauern asymmetrischer Schwingungen die folgenden Werte gefunden.

1) F. Richarz u. P. Schulze, Ann. d. Phys. 8. p. 348. 1902;  
P. Schulze, Ann. d. Phys. 8. p. 714. 1902.

2) F. A. Schulze, Ann. d. Phys. 9. p. 1111. 1902.

Die Schwingungsdauer  $T$  der ganzen Schwingung:

$$T = \frac{\pi}{\sqrt{c_1}} \left\{ 1 + \frac{5}{12} \left( \frac{c_2}{c_1} \right)^2 \vartheta^2 \right\}.$$

Die halben Schwingungsdauern  $T_l$  und  $T_r$  links und rechts von der Ruhelage:

$$T_l = \frac{1}{\sqrt{c_1}} \left\{ 1 + \frac{5}{12} \left( \frac{c_2}{c_1} \right)^2 \vartheta^2 \right\} \cdot \left\{ \frac{\pi}{2} - \frac{2}{3} \frac{c_2}{c_1} \vartheta \right\},$$

$$T_r = \frac{1}{\sqrt{c_1}} \left\{ 1 + \frac{5}{12} \left( \frac{c_2}{c_1} \right)^2 \vartheta^2 \right\} \cdot \left\{ \frac{\pi}{2} + \frac{2}{3} \frac{c_2}{c_1} \vartheta \right\}.$$

Hierin bedeuten für unseren Fall<sup>1)</sup>:

$$c_1 = \frac{MH}{K} \left\{ \cos \gamma + \frac{\sin \gamma}{\omega - \gamma} \right\},$$

$$c_2 = - \frac{MH}{2K} \sin \gamma.$$

$M$  und  $K$  sind das magnetische Moment und das Trägheitsmoment des Stabes.  $\vartheta$  ist die Schwingungsweite nach derjenigen Seite hin, nach welcher tordiert worden ist.

Aus den obigen Gleichungen ergibt sich:

$$\begin{aligned} \frac{T_l - T_r}{T} &= - \frac{4}{3\pi} \frac{c_2}{c_1} \vartheta, \\ \frac{c_2}{c_1} &= - \frac{\frac{1}{2} \sin \gamma}{\cos \gamma + \frac{\sin \gamma}{\omega - \gamma}}, \\ &= - \frac{1}{2} \frac{1}{\cotg \gamma + \frac{1}{\omega - \gamma}}. \end{aligned}$$

Mithin:

$$\frac{T_l - T_r}{T} = \frac{2}{3\pi} \cdot \frac{1}{\cotg \gamma + \frac{1}{\omega - \gamma}} \cdot \vartheta,$$

oder:

$$(2) \quad \cotg \gamma + \frac{1}{\omega - \gamma} = \frac{2\vartheta}{3\pi} \cdot \frac{T}{T_l - T_r}.$$

Setzt man diesen Wert in Gleichung (1) ein, so kann man hieraus nun unmittelbar für  $\beta = 1, 2, 3 \dots$  die zugehörigen Werte  $\delta H$  ausrechnen.  $\beta$  und  $\vartheta$  sind hier noch in Graden ausgedrückt. Die weitere Umrechnung auf Skalenteile hat keine Schwierigkeit.

1) Vgl. P. Schulze, Dissert. p. 29. Greifswald 1900.

Übrigens läßt sich auch der Ausdruck für (2) noch auf eine andere Weise berechnen. Bedeutet nämlich  $\vartheta$  die Schwingungsweite, von der Ruhelage aus, nach derjenigen Seite, nach welcher tordiert worden ist, so ist diejenige nach der anderen Seite gegeben durch:

$$\alpha = -\vartheta + \frac{1}{\cotg \gamma - \frac{1}{\omega - \gamma}} \vartheta^2.$$

Die Differenz der absoluten Werte ergibt sodann:

$$\frac{3(|\vartheta| - |\alpha|)}{\vartheta^2} = \frac{1}{\cotg \gamma + \frac{1}{\omega - \gamma}},$$

woraus folgt:

$$\cotg \gamma + \frac{1}{\omega - \gamma} = \frac{\vartheta^2}{3(|\vartheta| - |\alpha|)}.$$

Freilich kann diese Bestimmung nicht denselben Grad der Genauigkeit haben, wie die vorige, da bekanntlich die Beobachtung von Umkehrpunkten größeren Fehlern unterliegt, als die Beobachtung von Durchgängen durch die Ruhelage.

Bei der hier angegebenen Methode der Skalenwertsbestimmung ist jedoch noch folgendes zu beobachten.

Die für  $\beta = 1, 2, 3 \dots, -1, -2, -3 \dots$  gefundenen Werte  $\delta H$  sind noch nicht die gesuchten Skalenwerte, sondern ergeben sich erst aus den Differenzen von  $\delta H_n - \delta H_{n-1}$ .

Die Skalenwertsbestimmung kann bei beliebiger Stellung der Nadel ausgeführt werden. Nur ist dann darauf zu achten, daß die sich bei der zweiten Bestimmung ergebenden Werte  $\delta H_n$  nicht den früheren entsprechen. Aus den Differenzen müssen sich für den Fall, daß der Skalenwert ungeändert geblieben ist, wieder dieselben Werte ergeben.

Meißen, den 6. Juli 1903.

(Eingegangen 7. Juli 1903).



### 17. *Berichtigung; von L. Bleekrode.*

---

Durch Übersehen einer Mitteilung von Dr. Marckwaldt in den Berliner Chemischen Berichten p. 4239, 1902 habe ich das von ihm aufgefundene radioaktive Präparat, auf Wismut abgelagert, irrtümlich bei meinen Versuchen, beschrieben in diesen Annalen, Band 12, p. 218, 1903, mit Polonium bezeichnet. Es soll nach seiner Auffassung nicht Polonium heißen, sondern wird von ihm vorläufig Radiotellur genannt, welches dort anstatt Polonium zu lesen ist.

(Eingegangen 7. August 1903.)

---

Annale



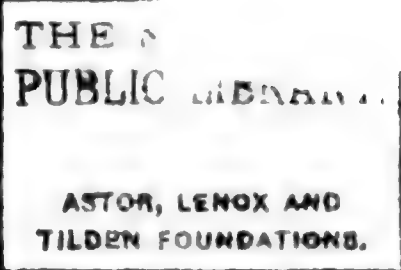
Phot. 7 a.



Phot. 7



Phot.



# ANNALEN DER PHYSIK.

## VIERTE FOLGE. BAND 12.

### 1. *Über die galvanomagnetischen und thermomagnetischen Effekte in Antimon und Wismut; von Guy Barlow.*

Inhaltsübersicht. I. Einleitung. II. Einfluß von Verunreinigungen. III. Die gesonderte Messung der einzelnen Effekte: a) Allgemeine Anordnung; b) Temperaturvariation der Effekte in Antimon; c) Weitere Messungen über die Effekte in Antimon; d) Messungen über die Effekte in Wismut. IV. Die Kompensationsmethode. — Theorie und Resultate.

#### I.

§ 1. *Einleitung.* Nach der von Riecke<sup>1)</sup> und Drude<sup>2)</sup> entwickelten Elektronentheorie der Metalle besteht ein Zusammenhang zwischen den verschiedenen Erscheinungen, welche sich zeigen, wenn eine von elektrischen oder Wärmeströmen durchsetzte Metallplatte der Wirkung eines Magnetfeldes ausgesetzt wird. Da nämlich nach dieser Theorie beide Arten von Strömen auf der Bewegung der Elektronen beruhen, so haben alle jene Erscheinungen ihren Grund in dem Einfluß, welchen das Magnetfeld auf ein bewegtes Elektron ausübt. Da aber die Wirkung des Magnetfeldes sehr von der Reinheit des Metalles abhängt, wobei kleine Verunreinigungen einen großen Einfluß ausüben, so ist es, wenn man den Zusammenhang der Wirkungen experimentell begründen will, unerläßlich, die verschiedenen Wirkungen an einem und demselben Präparate zu messen.

Es sind daher in der nachfolgenden Untersuchung an einer Wismut- und einer Antimonplatte folgende Größen gemessen worden: Der Halleffekt, der thermomagnetische Transversaleffekt, der galvanomagnetische Transversaltemperatur-

1) E. Riecke, Wied. Ann. 66. p. 353 u. 545. 1898.

2) P. Drude, Ann. d. Phys. 1. p. 566. 1900; 3. p. 369. 1900.

effekt, die Drehung der Isothermallinien, die magnetische Änderung des elektrischen Widerstandes und der thermomagnetische Longitudinaleffekt.

Eine noch direktere Vergleichung einiger Effekte ergibt sich durch eine Methode, welche hier zum ersten Male angewandt ist. Es ist nämlich möglich, indem man gleichzeitig einen elektrischen und einen Wärmestrom durch die Platte schickt, die Richtung und Stärke dieser Ströme so zu regulieren, daß 1. der Halleffekt und der thermomagnetische Transversaleffekt sich kompensieren; ebenso 2. der galvanomagnetische Transversaltemperatureffekt und die Drehung der Isothermallinien; endlich 3. die magnetische Widerstandsänderung und der thermomagnetische Longitudinaleffekt. Diese Kompensationsmethode ist besonders geeignet, um zu prüfen, ob die verschiedenen Effekte dieselben oder verschiedene Funktionen der Feldstärke sind, und mehrere solche Anwendungen sind bei den Antimon- und Wismutplatten gemacht worden.

Um Unsicherheiten in der Bezeichnungsart zu vermeiden, durch welche das Vorzeichen eines jeden Effektes bestimmt wird, ist im folgenden eine Zusammenstellung der in Betracht kommenden Größen mit *der* Bezeichnung gegeben, wie sie hier in Anwendung gekommen ist. Die Resultate sind immer im absoluten elektromagnetischen Maßsystem ausgedrückt worden.

## § 2. *Bezeichnung und Definition der Koeffizienten.*

$\lambda$  = Länge der Platte,

$\beta$  = Breite der Platte,

$\delta$  = Dicke der Platte, wobei  $\lambda > \beta > \delta$ ,

$H$  = magnetische Feldstärke,

$\varrho$  = spezifischer elektrischer Widerstand des Metalles,

$k = \frac{1}{\varrho}$  = spezifisches elektrisches Leitvermögen des Metalles,

$K$  = spezifisches Wärmeleitvermögen des Metalles,

$\vartheta$  = Temperatur eines Punktes der Platte,

$v$  = elektrisches Potential eines Punktes der Platte,

$I$  = ganzer elektrischer Strom in der  $\lambda$ -Richtung durch die Platte,

$J$  = ganzer Wärmestrom in der  $\lambda$ -Richtung durch die Platte,

$i$  = Dichte des elektrischen Stromes  $I$ , also  $I = i \beta \delta$ ,

$j$  = Dichte des Wärmestromes  $J$ , also  $J = j \beta \delta$ ,

$g = - \frac{\partial \vartheta}{\partial \lambda}$  = Temperaturgradient.

Fall A. Der Primärstrom  $I$  oder  $J$  verläuft senkrecht zu  $H$ .

In Fig. 1 seien die primären Elektroden mit I und II bezeichnet, und ein positiver Primärstrom  $+I$  oder  $+J$  fließe von I nach II in der Platte. Wenn ferner die Richtung des Magnetfeldes durch den langen Pfeil  $H$  angedeutet wird, dann sind die Transversaleffekte in dem Falle als positiv anzusehen, wenn sich unter der Wirkung des Feldes das elektrische Potential oder die Temperatur an der sekundären Elektrode  $B$  relativ zu  $A$  vergrößert hat. Dies ist in Übereinstimmung mit der „Schwimmregel“. Des weiteren sind die Longitudinaleffekte dann positiv zu nehmen, wenn unter der Wirkung des Magnetfeldes das Potential bei I relativ zu dem bei II größer geworden ist. Daher ist die magnetische Änderung des Widerstandes beim Wachsen desselben positiv zu nehmen; ebenso entspricht ein positiver thermomagnetischer Longitudinaleffekt einer elektromotorischen Kraft, die entgegengesetzt der Richtung des Primärstromes ist.

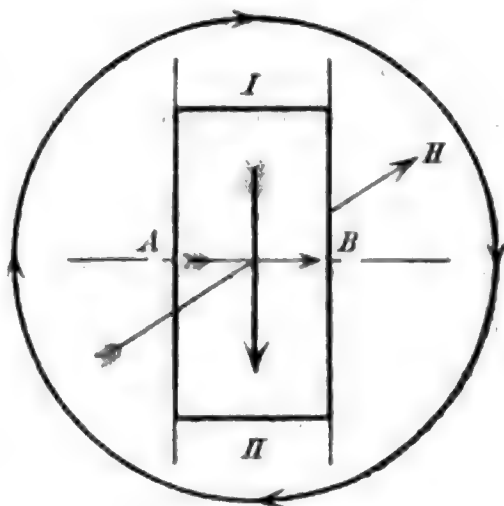


Fig. 1.

a) Primärer Elektrizitätsstrom. Galvanomagnetische Effekte.

1. Transversale Potentialdifferenz (Halleffekt).

Der Hallkoeffizient  $R$  ist bestimmt durch

$$(1) \quad e = R \cdot H \cdot \frac{I}{\delta},$$

wo  $e$  die Potentialdifferenz bedeutet und  $I$  im Felde gemessen wird. Da  $R$  im allgemeinen eine Funktion von  $H$  ebensogut wie von  $\delta$  ist, schreibt man passend  $RH = r$ , wo der neue Koeffizient  $r$  eine Funktion von  $H$  und  $\delta$  ist. Wir haben jetzt:

$$e = r \frac{I}{\delta},$$

$$(2) \quad e = r \beta i.$$



Der Effekt kann auch ausgedrückt werden mit Hilfe des Potentialgradienten. Da

$$\varrho i = - \frac{\partial v}{\partial \lambda},$$

ist

$$(3) \quad e = - \frac{r}{\varrho} \cdot \beta \cdot \frac{\partial v}{\partial \lambda}.$$

Der Gradient  $\partial v / \partial \lambda$  wird in dem Felde gemessen. Daher ist  $\varrho$  hier der spezifische Widerstand im Felde und deswegen auch eine Funktion von  $H$  und  $\vartheta$ .

Da  $e/\beta$  der transversale Potentialgradient ist, der durch das Feld hervorgerufen wird, so ist klar, daß der Quotient  $r/\varrho$ , welcher eine Funktion von  $H$  und  $\vartheta$  ist, die Tangente des Winkels  $\varphi$  darstellt, um welchen die Äquipotentiallinien in dem Felde  $H$  gedreht werden. Die Drehung geht im positiven Sinne von  $A$  nach  $I \ B \ II$  (Fig. 1), wenn der Halleffekt positiv ist.

$$(4) \quad \operatorname{tg} \varphi = \frac{r}{\varrho}.$$

## 2. Transversale Temperaturdifferenz.

Analog wie oben schreiben wir:

$$(5) \quad \Delta \vartheta = p \frac{I}{\delta} = p \beta i,$$

wo  $p = PH$  ist.

## 3. Änderung des Widerstandes.

$$(6) \quad f = \frac{\varrho - \varrho_0}{\varrho_0},$$

wo sich  $\varrho_0$  auf das Nullfeld bezieht. Die Größe  $f$  (gewöhnlich bezeichnet mit  $\Delta W/W$ ) ist eine Funktion von  $H$  und  $\vartheta$ . Dieser Effekt kann auch als eine longitudinale elektromotorische Kraft  $e$  angesehen werden, wo

$$(7) \quad e = f \cdot \varrho_0 \cdot \lambda \cdot i.$$

## b) Primärer Wärmestrom. Thermomagnetische Effekte.

### 1. Transversale Potentialdifferenz.

Der gewöhnliche Koeffizient  $Q$  ist definiert durch

$$(8) \quad e = Q H \beta g.$$

Da aber  $Q$  im allgemeinen von  $H$  abhängt, können wir setzen  $Q H = m$ , so daß

$$(9) \quad e = m \cdot \beta \cdot g.$$

Dieser Ausdruck ist analog mit dem für den Halleffekt (3). Führen wir die Wärmestromdichte  $j$  in die Formel ein, so erhalten wir

$$(10) \quad e = \frac{m}{K} \cdot \beta \cdot j,$$

was mit Formel (2) oben verglichen werden kann.

## 2. Drehung der Isothermallinien.

Die Temperaturdifferenz zwischen  $A$  und  $B$  ist

$$(11) \quad \Delta \vartheta = s \cdot \beta \cdot g,$$

wenn  $s$  anstatt  $SH$  geschrieben wird. Betrachten wir diesen Effekt als eine Drehung der Isothermallinien um den Winkel  $\psi$ , so haben wir

$$(12) \quad \operatorname{tg} \psi = s.$$

Eine positive Temperaturdifferenz entspricht einer positiven Drehung der Isothermallinien im Sinne von  $A$  nach I, B, II (Fig. 1).

## 3. Longitudinaleffekt.

Dieser Effekt wird am besten aufgefaßt als eine dem Primärstrom entgegengesetzt gerichtete elektromotorische Kraft,

$$e = n(\vartheta_1 - \vartheta_2)$$

bestimmt dann den mittleren Koeffizienten  $n$ , wenn  $\vartheta_1$  und  $\vartheta_2$  die Temperaturen auf zwei Punkten der Platte sind und  $e$  die durch die Wirkung des Feldes zwischen ihnen hervorgerufene elektromotorische Kraft ist. Genauer ist für eine bestimmte Temperatur

$$(13) \quad n = - \frac{\partial e}{\partial \vartheta}.$$

**Fall B.** Der Primärstrom  $I$  oder  $J$  ist parallel zu  $H$ .

Aus Gründen der Symmetrie ist es einleuchtend, daß nur longitudinale Effekte auftreten können. Diese sind definiert ähnlich wie a) 3. und b) 3. oben.

Die transversalen Effekte werden mit der Umkehrung der Feldrichtung umgekehrt, die longitudinalen Effekte bleiben hierdurch unbeeinflußt.

Die Änderung der thermischen Leitfähigkeit ist in die vorliegende Untersuchung nicht hineingezogen und daher auch oben ausgelassen worden.

## II.

§ 3. *Die Reinheit der Platten.* Die angewandten Platten von Wismut und Antimon waren aus dem reinsten Metall, das von C. A. F. Kahlbaum in Berlin erhältlich war. Es ist wichtig, vor der Angabe der mit diesen Platten erhaltenen Resultate auf den großen Einfluß hinzuweisen, den die kleinsten Spuren von Unreinigkeiten ausüben, indem sie die Wirkung des magnetischen Feldes modifizieren. Die Differenzen in den Resultaten, die von den verschiedenen Beobachtern für Sorten von „sehr reinem“ Wismut gegeben sind, zeigen, daß es für weitere Arbeiten über diesen Gegenstand sehr wünschenswert ist, jedesmal die Reinheit der betreffenden Sorte des Metalles zu untersuchen. Die chemische Analyse reicht nicht immer aus, um die geringen Spuren von Verunreinigungen zu entdecken, welche genügen, die Erscheinungen zu beeinflussen. Lenard<sup>1)</sup> und andere haben gezeigt, daß die Messung des spezifischen elektrischen Widerstandes bei Wismut und anderen Metallen eine sehr genaue und zuverlässige Probe in bezug auf Reinheit des Metalles gibt. Demgemäß wurde der spezifische Widerstand der Kahlbaumschen Platten sorgfältig gemessen. Die Resultate sind mit einigen von anderen Autoren gefundenen Werten zum Vergleiche in der folgenden Tabelle angegeben.

---

1) P. Lenard, Wied. Ann. 39. p. 619. 1890.

Tabelle 1.

Metallsorte	Beobachter	Spezifischer Widerstand absolut $\frac{\text{cm}^2}{\text{sec}}$	Temp. ° C.	Temp.-Koeffiz.	Temp.-Intervall
Wismut.					
der elektrolytischen Reinigung . . . . .	Lenard	$153,4 \cdot 10^8$	21,7	—	—
obige Wismut, elektrolytisch gereinigt (gepreßt bei 230° C.) . . . . .	„	$115,7 \cdot 10^8$	22	+0,00458	0—100° C.
analytisch“ reines Bi (gepreßt bei 260° C.) . . .	„	$145,2 \cdot 10^8$	19,7	+0,0052	0— 36
Spuren Zn und Fe . . .	„	—	—	+0,0021	0— 20
„ „ „ „ . . .	„	—	—	+0,0028	20— 34
rein . . . . .	{ Jäger und Diesselhorst <sup>1)</sup>	$119 \cdot 10^8$	18	+0,00454	0—100
elektrolytisch . . . . .	{ v. Everdingen	$121 \cdot 10^8$	—	—	—
elektrolytische Yamaguchi-Platte III . . . . .	Barlow	?	—	+0,0027	0— 40
Wismut von Kahlbaum . .	„	$114 \cdot 10^8$	15	+0,0042	16— 75
Antimon.					
von Kahlbaum . . . . .	„	$44,9 \cdot 10^8$	20	—	—

Die Tabelle zeigt, daß ein Vergleich der Kahlbaum-schen Wismutplatte mit den reinsten von anderen Beobachtern benutzten Sorten sehr günstig für die erstere ausfällt.

In Verbindung mit dem eben behandelten Gegenstande steht die folgende Voruntersuchung über die Umkehrung der Effekte.

§ 4. Die Umkehrung des thermomagnetischen Transversaleffektes in Wismut. Everdingen<sup>2)</sup>, Yamaguchi<sup>3)</sup> und Lownds<sup>4)</sup> haben beobachtet, daß sich in gewissen Fällen das Vorzeichen des thermomagnetischen Transversaleffektes in Wismut umkehrt. Diese Umkehrung tritt bei Temperaturen von +30° bis +70° C. auf, aber nur in Feldern unterhalb

1) W. Jäger u. H. Diesselhorst, Abh. Phys.-Techn. Reichanst. 3. p. 269. 1900.  
2) E. van Everdingen, Comm. Phys. Lab. Leiden Nr. 42. 1898.  
3) E. Yamaguchi, Ann. d. Phys. 1. p. 214. 1900.  
4) L. Lownds, Ann. d. Phys. 6. p. 146. 1901.

einer gewissen Stärke  $H_c$ . Bei der Feldstärke  $H_c$  wird der Transversaleffekt gleich Null und bei höherer Feldstärke nimmt er wieder das normale positive Vorzeichen an. Diese Erscheinung scheint eine besondere Untersuchung zu verdienen, insbesondere hinsichtlich der Änderung des Halleffektes in diesem Falle. Glücklicherweise war Yamaguchis „Platte III“ (die einzige, an der er die Umkehrung beobachtete) noch zu erhalten, und es wurden mit ihr die folgenden Beobachtungen ausgeführt. Die Elektroden waren dabei an der Platte angelötet.

1. Bei einer mittleren Temperatur von  $65^\circ \text{C}$ . wurde das abnorme Vorzeichen des transversalen thermomagnetischen Effektes für Felder unterhalb  $H_c = 3700$  gefunden. Dies bestätigt vollkommen die Beobachtung Yamaguchis. Für stärkere Felder bis  $H = 11000$  (Yamaguchis Beobachtungen reichen nur bis  $H = 6000$ ) hatte der Effekt das positive Vorzeichen und nahm stetig mit der Feldstärke zu; der Wert bei  $H = 11000$  war ungefähr 12mal so groß, als das negative Maximum in schwachen Feldern.  $H_c$  nimmt mit steigender Temperatur zu.

2. Die thermoelektrische, von der Drehung der Isothermalinien herrührende Kraft zeigte an, daß diese Drehung in allen Feldern negativ gerichtet war. Die Drehung wurde auch für das Feld  $H_c$  beobachtet.

3. Der Halleffekt hatte bei Zimmertemperatur in allen Feldern bis  $H = 11000$  das normale negative Vorzeichen.

Unter Anwendung eines Wasserbades wurde der Halleffekt bis zu  $+80^\circ$  beobachtet. Folgende Werte wurden für  $R$  gefunden:

$H$	$R$ bei $20^\circ$	$R$ bei $80^\circ$
700	— 8,7	— 5,5
2000	— 8,5	— 5,6

Die Werte für  $R$  sind nur angenähert genau, da die unregelmäßige Dicke der Platte genauere Messungen unmöglich machte; indessen zeigen die Resultate, daß der Halleffekt, obwohl er mit steigender Temperatur abnimmt, sein negatives Vorzeichen in jenen schwachen Feldern behält, in denen der thermomagnetische Effekt umgekehrt wird.

Der thermomagnetische Longitudinaleffekt ist in derselben Platte von Lownds<sup>1)</sup> gemessen worden.

Es entsteht jetzt die Frage, ob diese Umkehrung des Vorzeichens für das *reine* Wismut charakteristisch ist, oder ob sie durch Verunreinigungen in den Platten verursacht sein kann. Die unregelmäßige Form der Platte Yamaguchis machte eine Messung des spezifischen Widerstandes unmöglich; deswegen wurde der Temperaturkoeffizient des elektrischen Widerstandes gemessen, da man aus diesem nach Lenard ebenfalls auf die Reinheit des Metalles schließen kann. Zum Vergleiche wurde auch der Temperaturkoeffizient der Wismutplatte von Kahlbaum gemessen; die Resultate sind in Tab. 1 enthalten. Der kleine Wert dieses Koeffizienten für die Platte Yamaguchis weist auf Verunreinigungen hin, und zwar ist er dem numerischen Werte nach von der Ordnung, wie er von Lenard für Sorten von Wismut angegeben ist, die durch Zn und Fe verunreinigt sind. Andererseits gab die Platte von Kahlbaum einen viel größeren Wert für den Koeffizienten, was als Zeichen für ihre Reinheit angesehen werden kann. Everdingen gibt auch den spezifischen Widerstand seiner Platte an (vgl. Tab. 1), der Wert dafür scheint aber nicht niedrig genug zu sein, um höchste Reinheit der Platte zu garantieren. Sowohl Everdingens wie Yamaguchis Platten waren durch elektrolytische Fällung gewonnen worden. Bei dem natürlichen Kristall, den Lownds untersuchte, kann man keine große Reinheit erwarten. Nun war, wie weiter unten angegeben ist, in der Kahlbaumschen Platte keine Umkehrung gefunden worden. Angesichts dieser Tatsachen schließe ich, daß die Umkehrung des thermomagnetischen Effektes durch Verunreinigungen verursacht ist. Yamaguchi beobachtete ein ungewöhnlich starkes magnetisches Wachsen des Widerstandes. Es scheint daher, daß diese Eigentümlichkeit nicht als ein Zeichen für die Reinheit angesehen werden darf (vgl. Lenard).

### III.

§ 5. *Apparate.* Ein starker Elektromagnet vom Halbringtypus (du Bois)<sup>2)</sup> wurde bei allen Versuchen angewandt. Die

1) L. Lownds, Ann. d. Phys. 4. p. 776. 1901.

2) H. du Bois, Zeitschr. f. Instrumentenk. 19. p. 357. 1899.



flachen Polschuhe, die im allgemeinen gebraucht wurden, hatten 8 cm im Durchmesser und gaben bis zu einem Polabstand von ungefähr 2 cm ein sehr gleichförmiges Feld. Bei einem Abstände von 1 cm gab das Maximum des erregenden Stromes von 20 Amp. ein Feld von 12500 C.G.S. - Einheiten. Für stärkere Felder, die in einigen wenigen Fällen zur Anwendung kamen, wurde eine konische Form der Polschuhe mit flachen Enden von 4 cm Durchmesser benutzt.

Die Bestimmung der Feldstärke geschah nach der ballistischen Methode. Das Galvanometer wurde mit einem langen Solenoid und einer Sekundärspule geeicht; alles unter Berücksichtigung der gebräuchlichen Korrekturen, deren Details ich hier übergehe.

Die Versuche selbst wurden immer bei gewissen bestimmten Feldstärken ausgeführt, die durch den endgültigen Wert der Stromstärke im Magneten, der an einem Siemens & Halskeschen Ampèremeter abgelesen wurde, gegeben war. Es reichte also hin, die ballistischen Messungen von Zeit zu Zeit während des Verlaufes der Arbeit zu wiederholen.

Vorversuche hatten die Notwendigkeit gezeigt, Elektroden für den Elektrizitäts- und Wärmestrom anzuwenden, die direkt an die Platte angelötet waren, da angepreßte Kontakte sich als unzuverlässig erwiesen, besonders als thermoelektrische Verbindungsstellen, wo eine gewöhnliche mechanische Verbindung nicht die tatsächliche Temperatur der Platte annahm.

Die Enden der Platte waren also in allen Fällen an Kupferplatten von ungefähr gleicher Stärke angelötet, um die besten Bedingungen für die Konstanz der Temperatur und des Potentials zu erlangen.

Große Sorgfalt wurde auf eine möglichst gute Verpackung der Platten verwendet, da Vorversuche ergeben hatten, daß dies von besonderer Wichtigkeit ist. Wenn die Verpackung nicht hinreichend ist, um Luftströmungen an der Platte auszuschließen, so treten im Felde die Temperaturänderungen auf, welche von Nernst<sup>1)</sup> beobachtet und von Aschkinass<sup>2)</sup>

1) W. Nernst, Wied. Ann. 31. p. 760. 1887.

2) E. Aschkinass, Physik. Zeitschr. 4. Nr. 7. p. 206.

genauer untersucht worden sind und welche die Temperatur eines Punktes der Platte erniedrigen, wenn das Magnetfeld erregt wird. Dieser Effekt kann daher fälschlich für eine Verringerung der Leitfähigkeit in dem Metall gehalten werden, da die Erscheinung unter denselben Bedingungen sich merklich gleich bleibt.

Die zu den Versuchen benutzte Platte wurde mit Lagen von Watte und dünnen Scheiben von Asbest bedeckt und schließlich in dünne hölzerne Brettchen eingeschraubt, so daß die Watte dicht gegen alle Teile der Platte gepreßt wurde. Mit dieser Anordnung war bei Anwendung von Dampf und Wasser der Temperaturgradient sehr konstant. Der Dampf und das Wasser wurden durch die Messingröhren ungefähr eine Stunde lang vor Beginn der Beobachtungen geleitet. In einigen Fällen wurde der Wärmestrom durch die Platte 6 bis 8 Stunden hindurch erhalten. Die Änderungen des Temperaturgradienten waren dabei kleiner als 1 Proz. für die Stunde.

§ 6. *Die Temperaturvariation der Effekte in Antimon.* Das Antimon, bei welchem der Halleffekt und die anderen Effekte kleiner als beim Wismut sind, ist bis jetzt noch nicht bei tiefen Temperaturen untersucht worden. Deswegen wurden die folgenden Versuche unternommen.

#### Der Halleffekt.

Die Antimonplatte von Kahlbaum hatte die Dimensionen

$$\lambda = 3,52, \quad \beta = 1,71, \quad \delta = 0,32 \text{ cm.}$$

An den kürzeren Seiten waren dicke Kupferplatten angelötet, welche die primären Elektroden bildeten. Die sekundären transversalen Elektroden waren aus dünnem Kupferdraht, die an den Mittelpunkten der Längsseiten der Platte angelötet waren.

Für die Bestimmungen bei Zimmertemperatur wurde die Platte nur gegen Luftströmungen geschützt, da in diesem Falle die Abwesenheit eines Temperaturbades es möglich machte, die Beobachtungen unter Anwendung der konischen Polschuhe bis zu  $H = 25000$  auszudehnen. Die Resultate sind in der folgenden Tab. 2 gegeben.

Tabelle 2.

Der Halleffekt in Antimon bei 21,5° C.

$H$	$r$	$R$
140	36	+ 0,28?
720	151	0,21
1 750	369	0,21
4 310	895	0,208
8 190	1650	0,201
10 200	2040	0,199
12 500	2470	0,197
19 200	3620	0,189
21 900	4110	0,188
24 700	4590	0,186

Die Tabelle zeigt, daß  $R$  ein wenig mit wachsendem  $H$  abnimmt. Dieses Verhalten des Antimons ist ähnlich, aber weniger ausgeprägt wie das im allgemeinen beim Wismut beobachtete. Die Resultate sind in guter Übereinstimmung mit den von v. Ettinghausen und Nernst<sup>1)</sup> für ihre reinste Platte angegebenen. Sie fanden

$$R = + 0,192 \text{ bei } 20^{\circ} \text{ C.}$$

Bei den Bestimmungen bei tiefen Temperaturen war dieselbe Platte eingetaucht 1. in flüssige Luft, 2. in eine Mischung von Kohlensäureschnee und Äther, die in einem kleinen Dewargefäß enthalten war. Infolge der vergrößerten Distanz von 3,3 cm zwischen den Polen des Elektromagneten mußte die Stärke des magnetischen Feldes sehr verringert werden. Die für diese Bedingungen bei Zimmertemperatur gemachten Bestimmungen (vgl. unten Tab. 3) wichen ein wenig von den früher gefundenen Resultaten (Tab. 2) ab. Diese Abweichungen sind wahrscheinlich durch das bei der größeren Poldistanz nicht mehr ganz gleichförmige Feld verursacht. Indessen können dadurch die Temperaturvariationen des Effektes nicht beeinflußt werden, um deren Untersuchung es sich hier handelte. Eine ergänzende Beobachtung wurde bei 58° C. gemacht, indem man das Dewargefäß mit warmem Wasser füllte. Es zeigte sich, daß die Abkühlung auf die Temperatur der flüssigen

1) A. v. Ettinghausen u. W. Nernst, Sitzungsber. d. k. Akad. d. Wissensch. zu Wien (2) 94. p. 560. 1886.

Luft keine Änderung in der Größe des Halleffektes bei Zimmertemperatur hervorgerufen hatte. Die folgende Tabelle gibt eine Zusammenstellung der Resultate.

Tabelle 3.

Der Halleffekt in Antimon bei verschiedenen Temperaturen.

$H$	$r$			
	$-189^{\circ}$	$-79^{\circ}$	$+21,5^{\circ}$	$+58^{\circ}$
1750	460	435	380	—
3960	996	962	852	—
6180	1510	1450	1290	1250

In Fig. 2 sind die Resultate graphisch dargestellt. Die Kurven zeigen, daß der Halleffekt mit sinkender Temperatur sehr wenig wächst. Ferner weisen die Kurven darauf hin, daß der Halleffekt einen maximalen Wert bei einer Temperatur

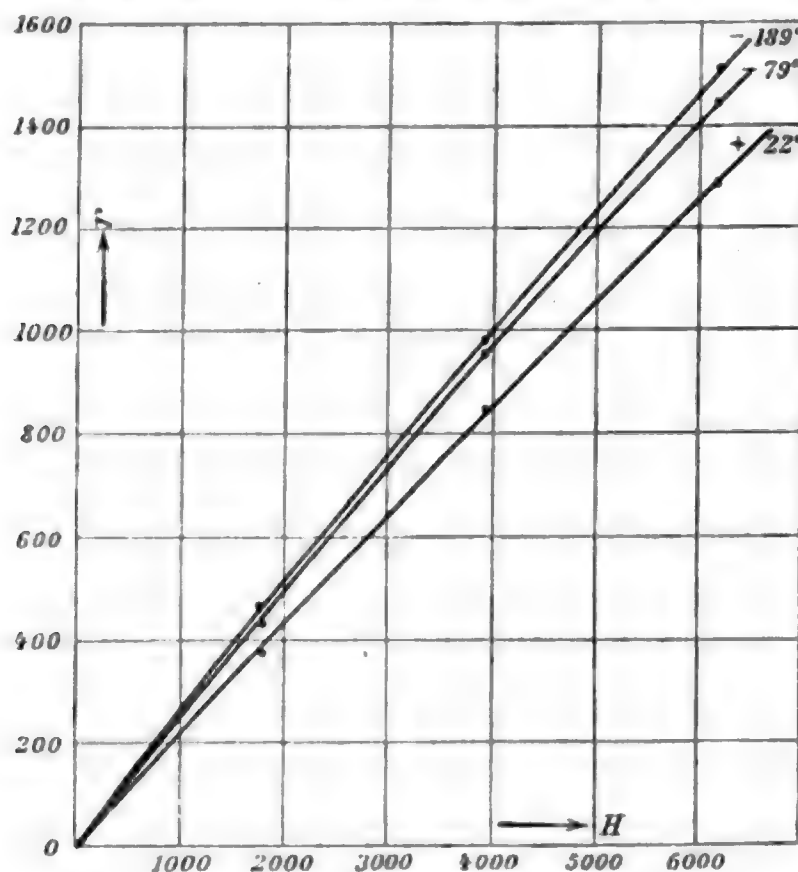


Fig. 2.

unterhalb der der flüssigen Luft erreichen wird, da der Temperaturkoeffizient mit fallender Temperatur deutlich abnimmt. Die Größe  $r$  ist nahezu proportional  $H$ .

Bei diesen Messungen wurden direkt die Galvanometerausschläge beobachtet, da der kleine zu messende Wert der

elektromotorischen Kraft beim Halleffekte die gewöhnlich gebrauchte Kompensationsmethode sehr unvorteilhaft machte. Um die Anwendung der Ablenkungsmethode in diesem Falle zu rechtfertigen, wurden bei den stärksten benutzten Feldern Messungen nach beiden Methoden ausgeführt, welche innerhalb 2 Proz. übereinstimmten. Bei den späteren Versuchen mit der verbesserten Anordnung wurde die Ablenkungsmethode verlassen.

#### Der thermomagnetische Transversaleffekt.

Es wurde eine viel größere Platte wie bei den früheren Versuchen angewandt. Ihre Dimensionen waren:

$$\lambda = 5,97, \quad \beta = 4,05, \quad \delta = 0,315 \text{ cm.}$$

Die Enden der Platte waren an dicke Kupferplatten gelötet, von denen die eine wie bei den Versuchen Yama-guchis an den Boden eines zylindrischen Messinggefäßes gelötet, die andere mit einer Messingröhre verschraubt war. Der Wärmestrom durch die Platte wurde hervorgerufen 1. durch einen Strom von kaltem Wasser in dem Gefäß und von Dampf in der Röhre, 2. durch eine Mischung von Kohlensäureschnee und Äther in dem Gefäß und einem Strom von kaltem Wasser in der Röhre, 3. durch flüssige Luft in dem Gefäß und kaltem Wasser in der Röhre. In allen drei Fällen ging also der Wärmestrom aufwärts durch die Platte. Ein Vorversuch mit dem durch den Dampf und Wasserstrom erzeugten Temperaturgradienten zeigte, daß, wofern nur die Platte sowie bereits beschrieben verpackt war, die Richtung des Wärmestromes keinen Einfluß auf das Resultat hatte.

Um den Temperaturgradienten in der Platte zu messen, waren zwei Eisenkonstantanthermoelemente in einer Entfernung von 2,7 cm voneinander auf der Mittellinie der Platte aufgelötet; die anderen Lötstellen der Thermoelemente wurden in Eis gehalten.

Die Temperaturdifferenz zwischen den beiden Punkten auf der Platte, geteilt durch ihre gegenseitige Entfernung, wurde als der mittlere Gradient in dem Mittelpunkt der Platte genommen, eine Annahme, welche wenigstens bei dem Dampf-Wassergradienten vollkommen durch spätere Versuche gerechtfertigt wurde, bei denen mehr Thermoelemente angewandt wurden. Bei tiefen Temperaturen konnte infolge von Ver-



änderungen in dem Abkühlungsmittel die Temperatur nicht sehr konstant erhalten werden; deswegen war es notwendig, nach jeder Ablesung den Gradienten neu zu bestimmen. In Anbetracht dessen erschien es auch nutzlos, mehr Thermoelemente anzuwenden, die durch die Ablesung nur Zeitverluste verursacht hätten.

Die dünnen als transversale Elektroden gebrauchten Kupferdrähte waren an zwei Punkten, *A* und *B*, in einer Entfernung von 3 cm auseinander auf der mittleren Querlinie der Platte angelötet, d. i. in einer Entfernung von 0,5 cm von den Rändern der Platte. Dadurch ist der Einfluß einer Änderung des Gradienten nahe den Kanten, der bei tiefen Temperaturen in Betracht gezogen werden muß, nahezu eliminiert.

Die transversale elektromotorische Kraft wurde durch die Kompensationsmethode von Poggendorff gemessen, wobei zwei Kompensationskreise, wie weiter unten beschrieben ist, benutzt wurden.

Bei der Ausführung dieser Messungen machte sich eine große Schwierigkeit bemerkbar. Außer der thermomagnetischen transversalen elektromotorischen Kraft, welche in dem Augenblicke auftritt, in dem das Feld erregt wird, werden noch die Isothermallinien unter der Wirkung des Feldes gedreht. Diese thermische Änderung, welche eine endliche Zeit erfordert, bis sie vollendet ist, verursacht eine Temperaturdifferenz zwischen den Punkten *A* und *B* und somit eine thermoelektrische Kraft in dem Galvanometerkreise. (Eine kleine thermoelektrische Kraft ist in dem Kreise immer vorhanden, bevor auch das Feld erregt wird, da *A* und *B* niemals genau auf dieselbe Isothermallinie gelegt werden können; aber dieselbe kann kompensiert werden und verursacht keine Schwierigkeiten.) Da beide Effekte mit dem Felde umgekehrt werden, gibt es zur Eliminierung der thermoelektrischen Wirkung kein anderes Mittel, als daß man die Messung ausführt, bevor noch genügend Zeit zu einer Drehung der Isothermallinien verflossen ist. Dieses erscheint einfach, in Wirklichkeit beginnt jedoch die Drehung in dem Augenblicke, wo das Feld erregt wird und sie wächst zudem am Anfang am schnellsten; obwohl also die ganze Drehung der Isothermallinien sich in 1—2 Min. vollzieht, so findet doch der größte Teil der Drehung in den ersten Sekunden statt. Auch wenn man die Kompensations-



methode zur Messung des Effektes anwendet, muß man doch genügend Zeit verfließen lassen, damit das Feld seine volle Stärke erreicht und Induktionsströme im Galvanometerkreise vermieden werden; bei dem verwendeten Elektromagneten mußten unter den günstigsten Umständen mindestens 3 Sek. zwischen dem Schließen des Magnetisierungsstromes und der Beobachtung des Galvanometers verflossen sein, und dieser Zeitraum war groß genug, um einen beträchtlichen und unbekannten Fehler in den Bestimmungen zu verursachen. Durch Extrapolation mittels einer Beobachtungsreihe des zeitlichen Verlaufes der Erscheinung kann der Fehler nicht bestimmt werden, da die erste Änderung sehr schnell vor sich geht.

Bei der benutzten Platte war die elektromotorische Kraft, die durch die Drehung der Isothermallinien hervorgerufen wurde, bei allen Feldern und allen Temperaturen ungefähr  $\frac{1}{4}$  des transversalen Effektes. Yamaguchi, welcher die nämliche Schwierigkeit bei seiner Wismutplatte fand, versuchte die thermoelektrische Kraft zu eliminieren, indem er Wismutelektroden gebrauchte, aber ohne großen Erfolg. Er vernachlässigte schließlich diesen Effekt gänzlich, da der verursachte Fehler nicht sehr groß war. In dem Falle des Antimons jedoch kommt der Fehler besonders deswegen so sehr in Betracht, weil der thermomagnetische Transversaleffekt so bedeutend viel kleiner ist als im Wismut (ungefähr  $\frac{1}{14}$  bei  $40^{\circ}\text{C.}$ ), während die Drehung der Isothermallinien in beiden Metallen von derselben Ordnung ist.

Die Resultate sind in der folgenden Tabelle und in Fig. 3 enthalten.

Tabelle 4.

Thermomagnetischer Transversaleffekt in Antimon bei verschiedenen Temperaturen.

<i>H</i>	<i>m</i>		
	$-75^{\circ}$	$-19^{\circ}$	$+39^{\circ}$
4 310	—	72	—
8 190	174	159	113
10 200	222	202	147
11 500	281	243	185
Temp.-Gradient. $\frac{\text{Grad}}{\text{cm}}$	25	10	11,5

Wegen des oben erwähnten Versuchsfehlers sind die Resultate sicher zu klein, vielleicht um 6 Proz.

Als Mittel der Werte für drei Platten fand Nernst

$$H = 2000, \quad \vartheta = 57^\circ, \quad Q = + 0,00887, \quad \alpha = - 0,00163.$$

Die vorliegenden Versuche ergeben:

$$H = 10000, \quad \vartheta = 39^\circ, \quad Q = + 0,014, \quad \alpha = - 0,004.$$

Man sieht, daß der hier gefundene Wert von  $Q$  viel größer als der von Nernst gegebene ist. Da aber Nernst den Einfluß der Isothermallinien nicht berücksichtigte (dieser

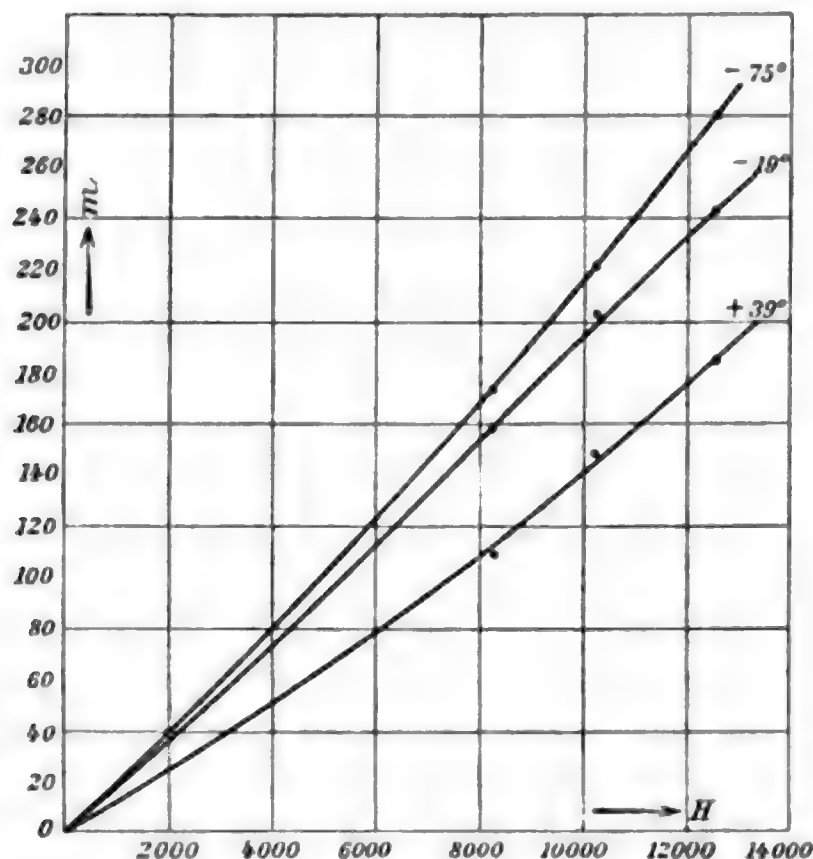


Fig. 3.

Effekt wurde erst später entdeckt), so ist diese Differenz ersichtlich, mindestens teilweise, dem Einflusse dieses Effektes zuzuschreiben.

Die vorliegenden Versuche zeigen auch, daß mit abnehmender Temperatur  $m$  beständig wächst, wobei der mittlere Temperaturkoeffizient  $\alpha = - 0,004$  ist. Der von Nernst gegebene Wert für  $\alpha$  bezieht sich auf höhere Temperaturen. Die Größe  $m$  erscheint unter allen Bedingungen nahezu proportional  $H$ .

#### § 7. Weitere Versuche über die einzelnen Effekte in Antimon.

Die jetzt zu beschreibenden Versuche entsprangen der Absicht,

mehrere Effekte an ein und derselben Platte bei gewöhnlicher Temperatur zu messen. Die früher beschriebenen Versuche sind mit zwei Platten angestellt worden, die zwar von derselben Sorte Antimon, aber von verschiedenen Dimensionen waren. Eine genauere Vergleichung der einzelnen Effekte

an einer Platte war deshalb wünschenswert. Zu diesem Zwecke wurde die größere Kahlbaumsche Platte zu den Dimensionen:

$$\lambda = 5,85, \quad \beta = 2,79, \\ \delta = 0,314 \text{ cm}$$

zugeschnitten, hauptsächlich weil für genauere Messungen ein größeres Verhältnis  $\lambda/\beta$  notwendig war.

Die apparative Anordnung, die sehr verbessert war, ist in Fig. 4 dargestellt. Die dicken Kupferplatten I und II sind die primären Elektroden der Platte. An dieselben sind die Messingröhren  $D_1, D_2$  angeschraubt, durch welche kaltes Wasser bez. Dampf

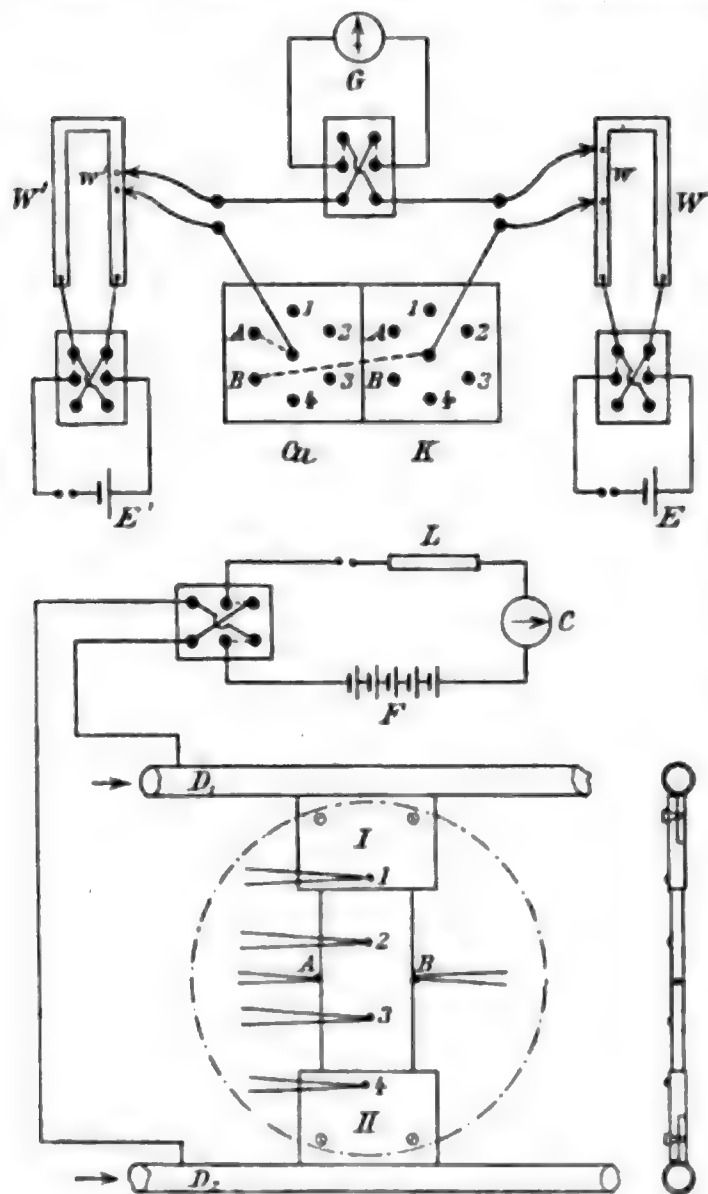


Fig. 4.

geschickt wird. An den Punkten 1, 2, 3, 4, A und B sind die Thermoelemente von Kupfer und Konstantan auf die Platte aufgelötet. Die Kupferdrähte derselben gehen zu den Quecksilbernäpfen Cu; die Konstantandrähte sind durch Kupferdrähte mit den Quecksilbernäpfen K verbunden, wobei die dazwischen liegenden Kupfer-Konstantan-Verbindungen (in der Figur nicht gezeichnet) in schmelzendem Eis gehalten werden.

Der primäre elektrische Strom wird erhalten von einer Akkumulatorenbatterie F, und mit einem Siemens & Halske-

Ampèremeter  $C$  gemessen. Die Stromstärke wurde durch den variablen Widerstand  $L$  reguliert.

Das Galvanometer  $G$  war ein Instrument vom Panzer-typus, das eine vorteilhafte kurze Schwingungsdauer hatte. Es wurde so justiert, daß es sich beinahe aperiodisch einstellte. Die Zeichnung zeigt das Galvanometer verbunden mit den transversalen Kupferelektroden  $A$  und  $B$ . Mit Hilfe der Quecksilberschlüssel  $Cu$  und  $K$  kann jedoch immer ein Paar von den 12 Drähten von der Platte her mit dem Galvanometerkreise verbunden werden.

Die elektromotorischen Kräfte in der Platte wurden nach der Poggendorffschen Kompensationsmethode bestimmt. Zu diesem Zwecke wurden zwei Kompensationskreise  $EWw$  und  $E'W'w'$  benutzt; der erste bestand aus einer Akkumulatorzelle  $E$ , deren elektromotorische Kraft von Zeit zu Zeit sorgfältig mit einem Normalkadmiumelement verglichen wurde, und einem großen Manganinwiderstandskasten  $Ww$ . Dieser Kreis wurde benutzt, um durch Kompensation die elektromotorischen Kräfte zu messen, die durch das Magnetfeld in der Platte hervorgerufen wurden. Der zweite Kreis  $E'W'w'$  diente zur Kompensation der elektromotorischen Kräfte, die in dem Galvanometerkreise schon vor der Erregung des Magnetfeldes vorhanden waren. Der absolute Wert von  $E'W'w'$  wurde nicht bestimmt, da dieser Kreis niemals zur Messung von elektromotorischen Kräften, sondern nur zu ihrer Kompensation diente. Mit Hilfe der in der Figur gezeichneten Kommutatoren konnte die Umkehrung der einen oder beider sich kompensierenden Kräfte bewirkt werden.

Diese Anordnung der Platte gestattete es, alle galvanomagnetischen und thermomagnetischen Effekte einzeln zu messen, ohne daß an der Platte Veränderungen vorgenommen zu werden brauchten. Hierunter folgen die Resultate.

#### Halleffekt.

$$H = 9130, \quad \vartheta = 20^{\circ}, \quad i = 0,799, \quad R = 0,194.$$

Dieser Wert für den Hallkoeffizienten  $R$  ist kleiner als der Wert 0,20, der bei den früheren Versuchen mit der kleineren Platte gefunden wurde (Tab. 2). Der vorliegende Wert kann als zuverlässiger angesehen werden, da eine em-

pfündlichere Anordnung gebraucht wurde. Der kleine, durch transversale Temperaturdifferenzen verursachte Fehler war bei der früheren Bestimmung übersehen worden.

#### Galvanomagnetischer Transversal-Temperatureffekt.

Dieser Effekt war sehr klein. Der Koeffizient war angenähert:

$$H = 9130, \quad \vartheta = 20^\circ, \quad P = + 2 \cdot 10^{-6}.$$

#### Thermomagnetischer Transversaleffekt.

$$H = 9130, \quad \vartheta = 44^\circ, \quad Q = 0,0147, \quad g = 10,2 \frac{\text{Grad}}{\text{cm}}.$$

Zieht man die große Unsicherheit bei der Bestimmung dieses Effektes in Betracht, so stimmt das Resultat ziemlich gut mit dem früher gefundenen Werte  $Q = 0,0139$  (Tab. 3) für dasselbe Feld überein. Der wahre Wert des Koeffizienten ist sicher noch größer als der jetzt gefundene, aus Gründen, die bereits besprochen sind.

#### Drehung der Isothermallinien.

Durch direkte Beobachtung der Temperaturänderung mittels der Thermoelemente  $A$  und  $B$  wie bei den Messungen der elektromotorischen Kraft wurde für diesen Effekt das Resultat gefunden:

$$H = 9130, \quad S = + 2 \cdot 10^{-6}.$$

Der Effekt war angenähert proportional der Feldstärke.

#### Widerstandsänderung.

Der Effekt wurde nach der gebräuchlichen Methode durch Beobachtung

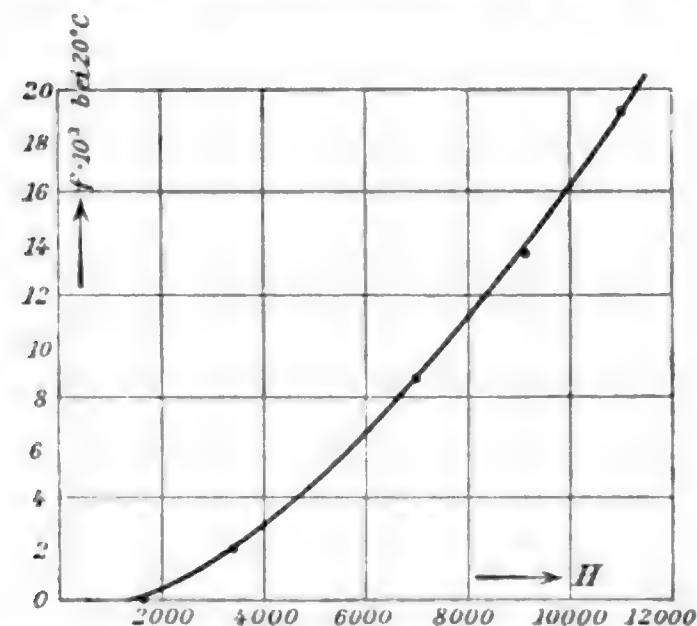


Fig. 5.

des Potentialgradienten gemessen. Die Resultate sind in Fig. 5 graphisch dargestellt.



## Thermomagnetischer Longitudinaleffekt.

Ein solcher Effekt wurde nicht beobachtet. Wenn er wirklich existiert, muß sein  $n < 4$  für  $H = 11000$  bei gewöhnlicher Temperatur. Auch bei tiefen Temperaturen konnte dieser Effekt nicht nachgewiesen werden.

§ 8. *Effekte in Wismut bei gewöhnlichen Temperaturen.* Eine Reihe von Messungen, die den zuletzt gegebenen entsprechen, wurden an einer Wismutplatte von Kahlbaum ausgeführt, die folgende Dimensionen hatte:

$$\lambda = 4,03, \quad \beta = 1,80, \quad \delta = 0,336 \text{ cm.}$$

Die Anordnung der Platte war die gleiche wie die beim Antimon beschriebene. Zum Anlöten der Thermoelemente an die Platte wurde eine leichtflüssige Legierung von Wismut und Blei an Stelle des gewöhnlichen Lotes benutzt. Wenn man die Thermoelemente dabei zuerst mit Silber zusammen und dann mit der Wismutlegierung auf die Platte lötete, so war eine sehr kleine Quantität des Metalles zur Herstellung der Verbindung erforderlich. Infolgedessen konnten die Störungen des Wärme- und Elektrizitätsflusses in der Platte, die durch die Kontakte verursacht wurden, vernachlässigt werden; zugleich konnte die Distanz zwischen den Thermoelementen genauer gemessen werden.

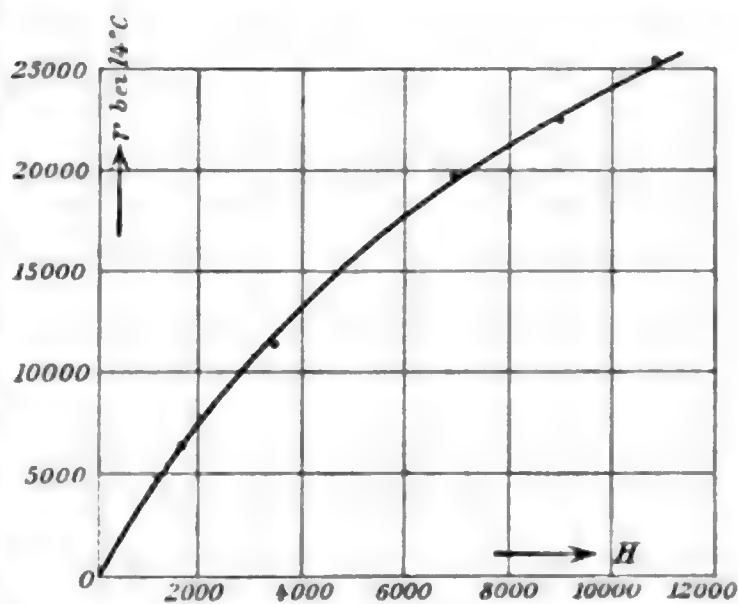


Fig. 6.

## Halleffekt (Fig. 6).

Für die Temperatur  $14^{\circ}$ , bei der dieser Effekt gemessen wurde, war die charakteristische Abnahme von  $R$  mit wachsendem  $H$  deutlich ausgeprägt. So ist für  $H = 10000$ ,  $R = 2,4$ , d. i. ungefähr die Hälfte des Wertes von  $R$  bei schwachen Feldern. Eine Dissymmetrie bei der Umkehrung der Feldrichtung war nicht vorhanden.



## Galvanomagnetischer Transversal-Temperatureffekt.

Durch direkte Messung mit den Thermoelementen *A* und *B* (Fig. 4) wurde gefunden:

$$H = 10000, \quad P = + 10^{-4}.$$

## Thermomagnetischer Transversaleffekt (Fig. 7).

Die Resultate sind hier für die beiden Temperaturen  $42^{\circ}$  und  $51^{\circ}$  C. gegeben, wobei das Resultat für die höhere Temperatur ohne Anwendung von kaltem Wasser in der unteren

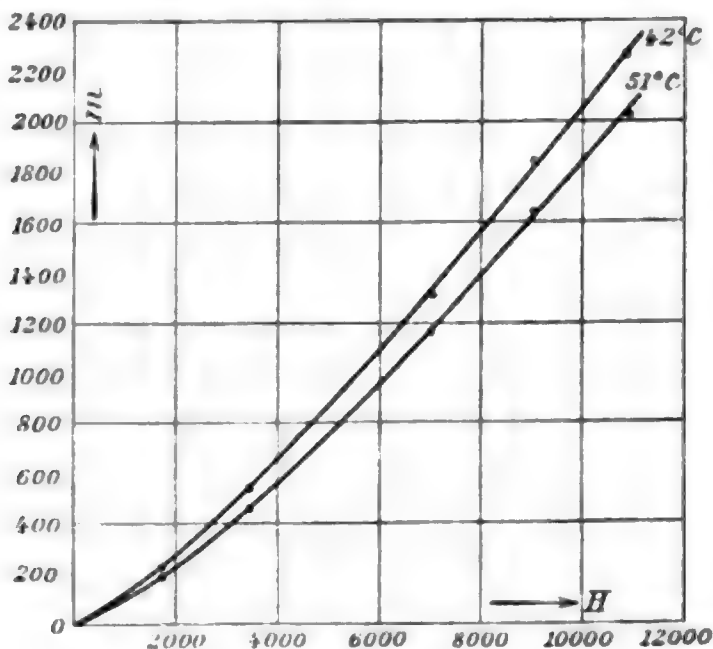


Fig. 7.

Röhre  $D_2$  erhalten wurde. Hierfür wurde der Temperaturkoeffizient von  $Q$  gefunden zu

$$\alpha = - 0,013,$$

was in genauer Übereinstimmung mit dem Werte von Nernst  $\alpha = - 0,0133$  ist. Die Kurven in Fig. 7 zeigen, daß  $Q$  mit wachsendem  $H$  zunimmt und das positive Vorzeichen auch in dem schwächsten Felde  $H = 80$ , das mit dem remanenten Magnetismus des Elektromagneten erhalten wurde, behält; es war also keine Spur von der in § 4 diskutierten Umkehrung zu finden.

## Drehung der Isothermallinien.

Dieser Effekt wurde sowohl direkt mittels der Thermoelemente *A* und *B* beobachtet, als auch durch die durch die Drehung verursachte thermoelektrische Kraft gemessen. Beide

Methoden gaben dasselbe Vorzeichen für den Effekt und auch gute zahlenmäßige Übereinstimmung.

$$H = 10000, \quad \vartheta = 42^\circ, \quad S = + 1,1 \cdot 10^{-6}.$$

Die Richtung der hier beobachteten Drehung war also entgegengesetzt der von anderen Beobachtern und vom Autor an Yamaguchis Platte III gefundenen (vgl. § 4). Dieses bemerkenswerte Resultat ist vielleicht als ein weiteres auffallendes Beispiel für den großen Einfluß von Verunreinigungen anzusehen. Der hier gegebene Wert von  $S$  ist von demselben Vorzeichen und derselben Größenordnung wie beim Antimon.

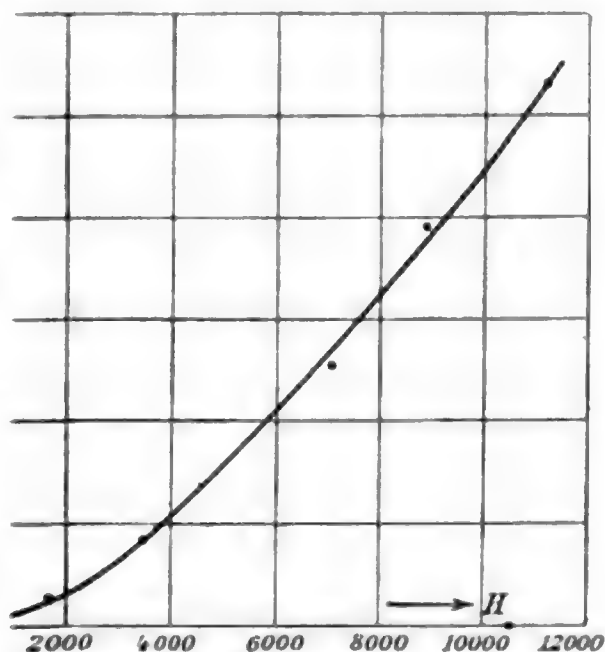


Fig. 8.

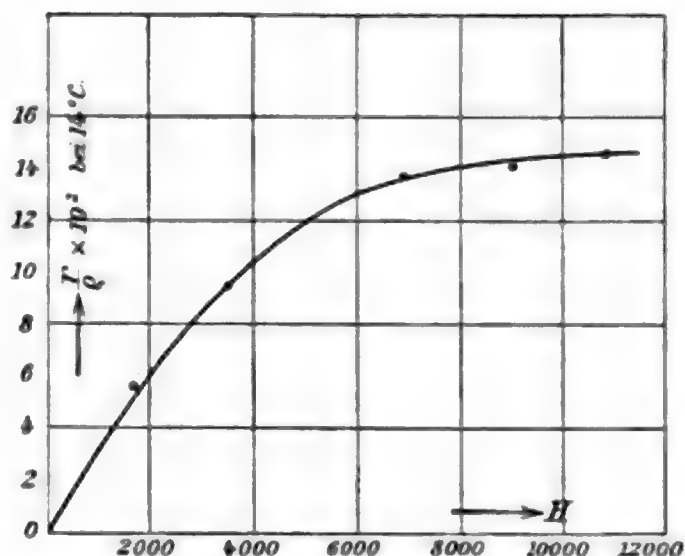


Fig. 9.

Magnetische Widerstandsänderung (Fig. 8).

Der Effekt hat denselben Charakter wie bei anderen Autoren.

Drehung der Äquipotentiallinien.

Nach den bereits gegebenen Resultaten (Figg. 6 und 8) ist der Wert von  $\tan \varphi$  nach Formel (4) berechnet worden. Die Änderung von  $\tan \varphi$  mit  $H$  ist in Fig. 9 dargestellt. Danach scheint es, als ob  $\tan \varphi$  nicht fortwährend wächst, sondern einen Grenzwert erreicht, der einer Drehung von  $\varphi = 9^\circ$  entspricht. Unglücklicherweise sind aber keine Beobachtungen bei größeren Feldstärken als  $H = 11000$  gemacht worden.

### Thermomagnetischer Longitudinaleffekt (Fig. 10).

Die Werte von  $n$  sind Mittelwerte für das Intervall von  $42-64^{\circ}\text{C.}$ ; da dieses Intervall jedoch klein ist, können wir  $n$

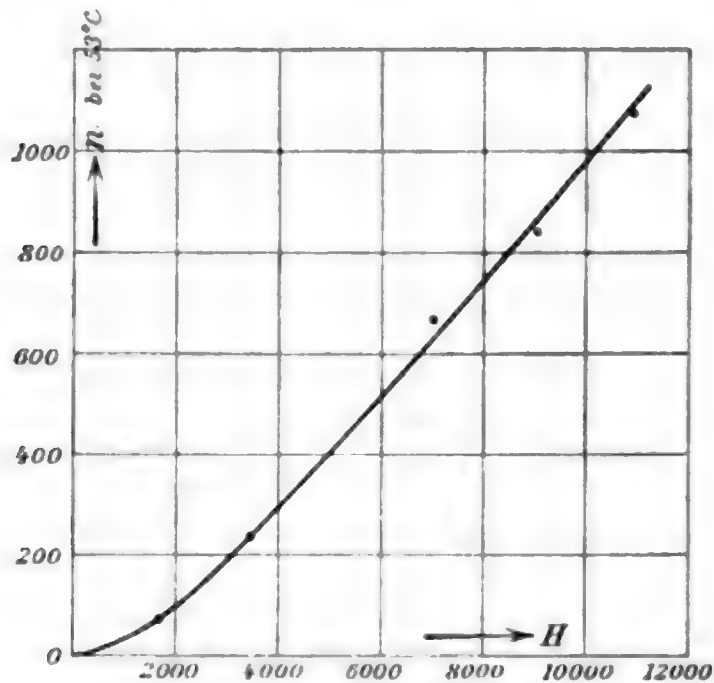


Fig. 10.

als den der mittleren Temperatur  $53^{\circ}$  entsprechenden Wert ansehen. Die Resultate stimmen hinsichtlich Vorzeichen und Größenordnung mit den von Lownds erhaltenen überein.

### Widerstandsänderung und thermomagnetischer Longitudinaleffekt in Richtung des Feldes.

Diese Effekte sind in der am Anfang gegebenen Zusammenstellung unter Fall  $B$  erwähnt.

Die Wismutplatte wurde horizontal zwischen die Polschuhe mit den langen Kanten in die Richtung der Kraftlinien gestellt. Die große Entfernung (11 cm) der Polschuhe erniedrigte die größte erreichbare Feldstärke auf 2000 C.G.S. Alle anderen Anordnungen waren genau wie bei den Versuchen mit einem transversalen Feld. Die für die Widerstandsänderung und den thermomagnetischen Longitudinaleffekt gefundenen Werte sind durch Kreuze  $\times$  in Figg. 11 und 12 dargestellt. Die Resultate für diese beiden Effekte in einem transversalen Felde von größerer Stärke sind bereits in den schon beschriebenen Figg. 8 und 10 gegeben worden, zu einem Kontrollversuche wurden jedoch diese Effekte noch für schwache Felder gemessen, so daß ein Vergleich zwischen den Erscheinungen des

transversalen und longitudinalen Effektes für dieselben Bedingungen möglich ist. Die entsprechenden Werte für das transversale Feld sind in Figg. 11 und 12 durch Punkte dargestellt.

Aus den Kurven ist zu ersehen, daß die magnetische Widerstandsänderung praktisch unabhängig von der Feldrichtung ist. Lenard und andere haben die Widerstandsvergrößerung für ein longitudinales Feld kleiner als für ein transversales Feld gefunden. Da sich die vorliegenden Versuche nur bis  $H = 2000$  erstrecken, so ist es möglich, daß eine solche Differenz bei stärkeren Feldern auftritt.

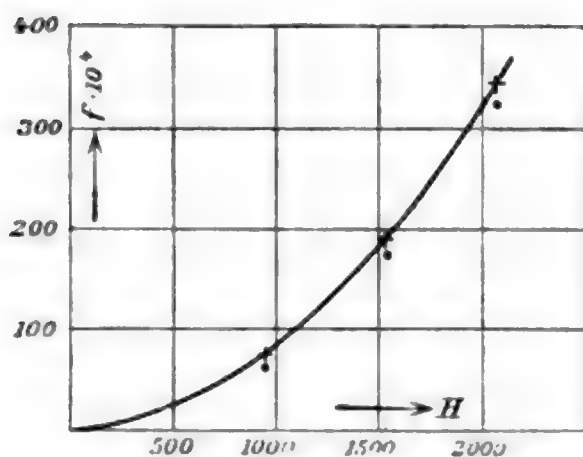


Fig. 11.

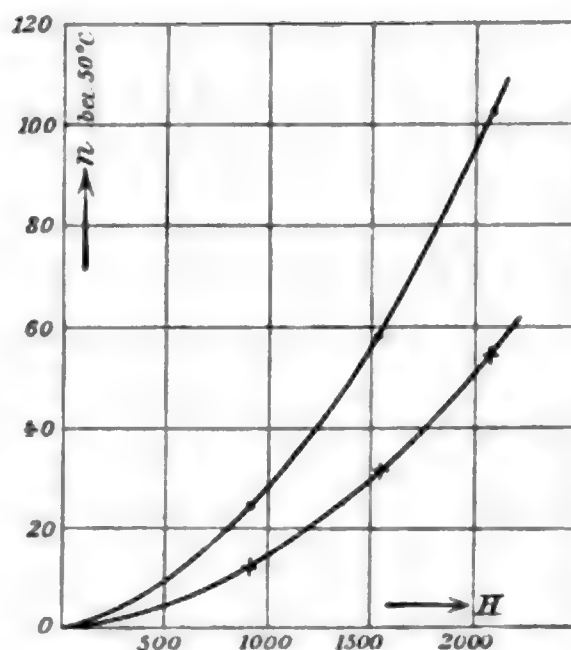


Fig. 12.

Der thermomagnetische Longitudinaleffekt zeigte einen sehr ausgeprägten Einfluß der Feldrichtung, indem er in einem longitudinalen Felde halb so groß ist, als in einem transversalen. Dies ist in Übereinstimmung mit Beobachtungen von Grimaldi.<sup>1)</sup>

Daß das Magnetfeld bei der großen Poldistanz sehr der Gleichförmigkeit entbehrt, liegt auf der Hand; doch kann dies die Resultate nicht sehr beeinflussen.

#### IV. Die Kompensationsmethode.

§ 9. *Theorie der Methode.* Man betrachte eine rechteckige Platte (Fig. 1), die zugleich von einem Wärme- und einem

1) G. P. Grimaldi, Journ. de Phys. (2) 6. p. 369. 1887.

Elektrizitätsstrom durchflossen werde. Der Joule-, Peltier- und Thomsons Effekt werden die Temperatur an allen Punkten der Platte verändern, nach einer gewissen Zeit jedoch wird ein Gleichgewichtszustand erreicht sein. Für diesen Zustand möge  $i$  die elektrische Stromdichte sein, welche dieselbe an allen Punkten der Platte ist, und  $\vartheta$  und  $g$  mögen sich auf einen Querschnitt  $AB$  der Platte beziehen; es werde ferner angenommen, daß  $\vartheta$  und  $g$  auf diesem Querschnitte konstant seien.

Wenn das Feld  $H$  erregt wird, wird durch die vereinigte Wirkung des Hall- und des thermomagnetischen Transversaleffektes eine elektromotorische Kraft zwischen den Elektroden  $A$  und  $B$  hervorgerufen werden. Nehmen wir an, daß sich die beiden Effekte einfach addieren, so haben wir nach den Gleichungen (2) und (9)

$$(14) \quad e = m \beta g + r \beta i,$$

wo sich  $m$  und  $r$  auf die Temperatur  $\vartheta$  und das Magnetfeld  $H$  beziehen.

Durch Veränderung der Stärke des elektrischen Stromes können die Verhältnisse so gestaltet werden, daß das Magnetfeld wieder beim stationären Zustand keine transversale elektromotorische Kraft hervorruft. In diesem Falle ist  $e = 0$ , also

$$(15) \quad \frac{m}{r} = - \frac{i}{g}.$$

Da die Größen  $i$  und  $g$  direkt gemessen werden können, ist  $m/r$  für die Temperatur  $\vartheta$  und das Feld  $H$  bestimmt. Hat man einmal ein solches Gleichgewicht hergestellt, so kann man durch Variierung der Feldstärke auf einfache Weise untersuchen, ob  $m/r$  unabhängig von  $H$  ist. Wir können auf diese Weise also direkt finden, ob diese beiden transversalen Effekte dieselben Funktionen der Feldstärke sind.

Auf gleiche Weise können die beiden transversalen Temperatureffekte zur Kompensation gebracht werden. Gleichungen (5) und (11) geben für  $\Delta \vartheta = 0$

$$(16) \quad \frac{s}{p} = - \frac{i}{g}.$$

Schließlich können wir die magnetische Änderung des Widerstandes und den thermomagnetischen Longitudinaleffekt kompensieren. Man betrachte zwei Punkte, die auf der Mittellinie der Platte in der Entfernung  $d\lambda$  auseinander liegen und die Temperaturdifferenz  $d\vartheta$  haben. Dann ist die longitudinale elektromotorische Kraft  $e$  zwischen den beiden Punkten unter der Wirkung von  $H$  durch die Gleichungen (7) und (13) gegeben:

$$e = -n d\vartheta + f \varrho_0 i d\lambda,$$

$$e = n g d\lambda + f \varrho_0 i d\lambda.$$

Bei der Kompensation haben wir  $e = 0$ , also

$$(17) \quad \frac{n}{f \varrho_0} = - \frac{i}{g},$$

wo  $\varrho_0$  der spezifische Widerstand des Metalles bei der betrachteten Temperatur im Nullfelde ist. Da  $n$ ,  $f$  und  $\varrho_0$  Funktionen der Temperatur sind, und bei den Bestimmungen ein endliches Temperaturintervall angewandt werden muß, so ist es klar, daß der hier erhaltene Wert für  $n/f$  eine bessere Annäherung an den durch ein unendlich kleines Temperaturintervall gegebenen Wert geben muß als die Werte, die durch eine gesonderte Bestimmung der beiden Effekte erhalten werden. Man muß beachten, daß die Verhältnisse  $i/g$  in den Gleichungen (15), (16) und (17) im allgemeinen voneinander verschieden sind.

Es kann der Einwurf gemacht werden, daß infolge des Thomsons effektes eine solche einfache Addierung der Effekte nicht stattfindet, daß vielmehr in Wirklichkeit die Verhältnisse verwickelter sind. Diese theoretische Überlegung soll hier nicht diskutiert werden. In der vorliegenden Untersuchung ist die oben gegebene einfache Theorie angenommen worden und für den Fall der Gleichung (14) ist die experimentelle Bestätigung in § 12 enthalten.

§ 10. *Experimentelle Einzelheiten.* Die Versuche wurden mit denselben Antimon- und Wismutplatten gemacht, die für die gesonderte Bestimmung der einzelnen Effekte gebraucht wurden. Die Versuchsanordnung war gleichfalls dieselbe (Fig. 4).



Bei der Bestimmung des Verhältnisses  $m/r$  entstanden Schwierigkeiten infolge des transversalen Temperatureffektes. Für beide Metalle wurde gefunden, daß, wenn der Hall- und der thermomagnetische Transversaleffekt so eingestellt waren, daß sie sich gegenseitig kompensierten, trotzdem unter der Wirkung des Feldes ein transversaler Temperatureffekt auftrat. In § 6 sind bereits die Schwierigkeiten erwähnt worden, die durch einen solchen Effekt verursacht werden. Die Beobachtungen wurden nun folgendermaßen ausgeführt. Wenn ein abwärts gerichteter Wärmestrom die Platte durchfloß, wurde ein elektrischer Strom in der Richtung hindurchgeschickt, die nötig war, um die Kompensation hervorzubringen. Diese Richtung war aufwärts im Antimon, abwärts im Wismut. Das mit den Elektroden  $A$  und  $B$  verbundene Galvanometer gab dann einen Ausschlag, da  $A$  und  $B$  nicht genau auf derselben Isothermal- und Isopotentiallinie lagen. Die entsprechende elektromotorische Kraft wurde durch den Kreis  $E' W' w'$  kompensiert, so daß das Galvanometer keinen Ausschlag gab. Das Feld wurde sodann erregt und das Galvanometer so bald als möglich abgelesen. Der beobachtete Ausschlag zeigte dann an, welcher von beiden Effekten, der Hall- oder thermomagnetische im Überschuß war, und die Stärke des elektrischen Stromes wurde demgemäß geändert. Diese Manipulation wurde, immer bei derselben Feldstärke, so oft wiederholt, bis eine angenäherte Kompensation erreicht war. Wenn dies der Fall war, war so viel Zeit verflossen, daß sich ein thermisches Gleichgewicht in der Platte gebildet hatte, bevor die letzte Einstellung gemacht wurde. Die letzten kleinen Änderungen in der Stärke des elektrischen Stromes erschienen allemal ohne Einfluß auf den Temperaturgradienten; deshalb war die Methode, obwohl langwierig, nicht schwierig. Der transversale Temperatureffekt machte jedoch exakte Messungen unmöglich, da immer einige wenige Sekunden zwischen dem Schließen des Magnetisierungsstromes und der Beobachtung des Galvanometers verfließen mußten. Um dem Einflusse der Induktionsströme zu entgehen, wurde Bidwells Methode<sup>1)</sup> mit geteilten Leitungen versucht, aber ohne befriedigenden Erfolg. Schließ-

1) S. Bidwell, Phil. Mag. (5) 17. p. 250. 1884.

lich wurde der Kupferdraht der Elektrode *B* an einen Kupferstreifen gelötet, der durch das Feld zurückführte. Mittels einer feinen Schraube wurde dieser Streifen gehoben oder gesenkt, bis der durch das stärkste Feld verursachte Induktionsstoß nur einen Ausschlag von 5 mm auf der Skala gab. Dabei war der Galvanometerkreis geschlossen, bevor der Magnetisierungsstrom geschlossen wurde. Eine stationäre Ablenkung von 5 mm entspricht ungefähr 1 Millivolt in dem Galvanometerkreise. Wenn die Platte sich auf gleichförmiger Temperatur befindet, ist diese Justierung leicht bewerkstelligt; ist aber ein Temperaturgradient in der Platte vorhanden, dann ist eine weitere kleine, etwas schwierigere Einstellung notwendig.

Mit dieser Anordnung war es möglich, das Galvanometer 1—2 Sek. nach dem Schließen des magnetisierenden Stromes zu beobachten; und weil man den Galvanometerkreis erst im Augenblicke der Beobachtung schloß, wurde die Wirkung des Induktionsstoßes noch weiter verkleinert, so daß er im Vergleich mit den anderen Versuchsfehlern ganz vernachlässigt werden konnte. Das Intervall von 1—2 Sek. genügte in den meisten Fällen, um dem Felde angenähert seine volle Stärke erreichen zu lassen. Es ist zu erwähnen, daß der Bruck  $m/r$  angenähert konstant für eine kleine Änderung von  $H$  ist, und deswegen ist es bei dieser Methode nicht notwendig zu warten, bis das Magnetfeld absolut konstant geworden ist. Die Zeitersparnis ist aber ein großer Fortschritt hinsichtlich des transversalen Temperatureffektes.

§ 11. *Resultate.* Die nach dieser Methode für  $m/r$  erhaltenen Werte zeigen in einigen Fällen Differenzen von 3 Proz. Die Mittelwerte sind in folgender Tabelle enthalten.

Tabelle 5.

	$H$	$g$	$i$	$\vartheta$	$\frac{m}{r}$
Antimon	9130	10	0,82	44°	0,0817
Wismut	9030	12,3	0,99	50	−0,081
	9030	18,5	1,57	42	−0,085

Wie man sieht, hat  $m/r$  nahezu denselben numerischen Wert in beiden Metallen, aber das entgegengesetzte Vorzeichen. Dies scheint jedoch eine zufällige Übereinstimmung zu sein, da Lloyd<sup>1)</sup> im Tellur  $Q = +0,36$  und  $R = +0,002$  fand, die ein Verhältnis  $m/r = +180$  ergeben.

Aus den Werten von  $Q$  und  $R$ , die bereits für dieselbe Antimonplatte (§ 7) bestimmt sind, können wir  $m/r$  berechnen und mit dem durch die neue Methode gefundenen Werte vergleichen. Um  $Q$  und  $R$  auf dieselbe Temperatur zu reduzieren, nehmen wir (aus Tab. 3 abgeleitet) als Temperaturkoeffizienten  $\alpha$  für  $R = 0,0009$ , und wir erhalten:

$$H = 9130, \quad \vartheta = 44^\circ, \quad \frac{m}{r} = \frac{Q}{R} = 0,077.$$

Dieser Wert ist 6 Proz. kleiner als der nach der neuen Methode (Tab. 5) für dasselbe Feld und dieselbe Temperatur gefundene. Beim Wismut konnte eine solche Vergleichung nicht angestellt werden, da der Temperaturkoeffizient von  $R$  nicht bestimmt worden war.

Die neue Methode wurde angewandt um zu untersuchen, ob  $m/r$  von  $H$  abhängig ist. Beim Antimon erschien die Kompensation in allen Feldern gleich gut bis zu  $H = 11\,000$ , wonach der Hall- und der thermomagnetische Transversaleffekt unter den Bedingungen des Versuches als dieselbe Funktion der Feldstärke erscheinen. Dies Resultat ist aber nur als eine Annäherung zu betrachten, da die Versuchsfehler immer groß sind. In dem Falle des Wismuts rief die Umkehrung von  $H$  dissymmetrische Erscheinungen hervor, welche die Beobachtung erschwerten. Es scheint jedoch, daß diese beiden Effekte verschiedene Funktionen von  $H$  sind, in dem Sinne, daß mit steigendem  $H$  der thermomagnetische Effekt schneller als der Halleffekt wächst.

Bei der Kompensation der longitudinalen Effekte im Wismut wurden die Kupferdrähte der Thermoelemente 2 und 3 (Fig. 4 als Elektroden gebraucht; das Temperaturintervall betrug  $33^\circ\text{C}$ . Für die Kompensation wurde gefunden:

---

1) M. G. Lloyd, Sill. Journ. (4) 12. p. 57—63. 1901.

$$H = 9030, \quad g = 18,01, \quad i = -0,582, \quad \vartheta = 44^\circ \text{ C.},$$

also

$$\frac{n}{f e_0} = + 0,0323.$$

Es ist beachtenswert, daß für denselben Temperaturgradienten der im vorliegenden Falle zur Kompensation erforderter elektrischer Strom von entgegengesetztem Vorzeichen und nur  $\frac{1}{3}$  mal so stark war wie derjenige Strom, der für die Kompensation des Hall- und des thermomagnetischen Transversaleffektes erforderlich war. Veränderung der Feldstärke hob die Kompensation auf. Nach Everdingen ist  $n/f$  unabhängig von  $H$ , der vorliegende Versuch zeigt, daß  $n/f$  mit wachsendem  $H$  abnimmt.

Dieselbe Vergleichung der Effekte wurde mit einem longitudinalen Magnetfeld (d. i. Fall  $B$ ) ausgeführt. Es ergab sich

$$H = 2000, \quad \vartheta = 53^\circ, \quad \frac{n}{f e_0} = + 0,0218.$$

Für die kleinen bis zu  $H = 2000$  hier angewandten Felder blieb die Kompensation erhalten. Die Beziehung von Everdingen ist also für diesen besonderen Fall bestätigt.

In Wismut wurde die Kompensation der transversalen Temperatureffekte unter denselben Bedingungen erhalten wie die Kompensation der longitudinalen Effekte. Dies ist wahrscheinlich eine rein zufällige Beziehung, da sie im Antimon sicher nicht vorhanden ist. Für die Kahlbaumsche Platte ist also

$$H = 9030, \quad \vartheta = 44^\circ, \quad \frac{S}{P} = + 0,032.$$

Dies gibt eine unabhängige Bestätigung für die positive Drehung der Isothermallinien in dieser Platte. Die Abwesenheit jeglichen transversalen Temperatureffektes macht es in diesem Falle möglich, die ganze transversale elektromotorische Kraft mit sehr großer Genauigkeit zu messen. Unglücklicherweise gibt uns diese Messung nur eine Gleichung zwischen den beiden unbekannten Größen  $m$  und  $r$ .

§ 12. *Prüfung der Theorie.* Die zuletzt gegebenen Resultate wurden benutzt, um die Theorie der Superposition (§ 9) zu prüfen, die bis jetzt als richtig angenommen worden ist.

Für die Wismutplatte sind bei der Kompensation der transversalen Temperatureffekte die Bedingungen für die Platte gegeben durch

$$H = 9030, \quad g = 18,01, \quad i = -0,582, \quad \vartheta = 44^\circ \text{ C.}$$

Nach der Theorie ist die transversale elektromotorische Kraft ausgedrückt durch die Gleichung

$$e = m \beta g + r \beta i,$$

$$e = m \beta \left\{ g + \frac{i}{\frac{m}{r}} \right\}.$$

Das Verhältnis  $m/r$  ist in Tab. 5 gegeben und erfordert keine Korrektur, da  $H$  und  $\vartheta$  dieselben wie oben sind. Also

$$\frac{m}{r} = -0,085.$$

Endlich ist  $m$  schon nach der gewöhnlichen Methode bestimmt worden (Fig. 7), und da hier die Resultate für die Temperaturen  $42^\circ$  und  $51^\circ$  gegeben sind, haben wir durch Interpolation:

$$\vartheta = 44^\circ, \quad m = 1790,$$

also

$$\text{Berechneter Wert } e = 80100,$$

$$\text{Beobachteter Wert } e = 80800.$$

Die Differenz zwischen beiden Werten beträgt nur 1 Proz., eine bemerkenswerte Übereinstimmung, da der Temperaturkoeffizient von  $m$  mehr als 1 Proz. für den Grad beträgt.

In dem Falle des Antimon kann eine ähnliche, noch einfachere Probe gemacht werden. Es mögen sich  $\vartheta$ ,  $g$ ,  $i$  auf den Zustand beziehen, wo der Halleffekt und der thermomagnetische Transversaleffekt sich einander aufheben; dann ist

$$0 = m \beta g + r \beta i.$$

Wenn  $i$  umgekehrt, aber konstant im Werte erhalten wird, wird die transversale elektromotorische Kraft sein:

$$e = m \beta g' - r \beta i,$$

$$e = m \beta (g' + g),$$



wo  $g'$  der neue Temperaturgradient ist. Die Temperatur des Querschnittes wird in beiden Fällen als dieselbe angenommen, da bei dem Versuche die Temperaturdifferenz kleiner als  $1^\circ \text{C}$ . war, so daß keine Korrektur nötig war. Der Versuch gab:

$$H = 9130, \quad \vartheta = 44^\circ \text{C.}, \quad g' = 10,3, \quad g = 10,4.$$

Nach der direkten Bestimmung durch die gewöhnliche Methode (§ 7) haben wir für dieselbe Platte, Temperatur und das gleiche Feld

$$m = 134,6,$$

also:

$$\text{Berechneter Wert } e = 7770.$$

$$\text{Beobachteter Wert } e = 7800.$$

Wie bereits auseinandergesetzt, ist der hier angenommene Wert von  $m$  zu klein, aber bei der Messung von  $e$  geht ein gleicher Fehler in das Resultat hinein. Beide Werte von  $e$ , sowohl der berechnete wie der beobachtete, sind deshalb in gleicher Richtung mit einem Fehler behaftet. Daraus erklärt sich die fast vollständige Übereinstimmung der obigen Werte.

Der aus diesen Resultaten gezogene Schluß ist also der, daß unter den vorliegenden Versuchsbedingungen die transversale elektromotorische Kraft beim Antimon und Wismut ganz allgemein durch die Beziehung ausgedrückt ist:

$$e = \beta(mg + r\vartheta),$$

wo  $m$  und  $r$  nur von  $H$  und  $\vartheta$  und der Natur des Metalles abhängen.

Wenn gleichwohl fernere Versuche zeigen sollten, daß diese Beziehung nicht richtig ist, sondern nur eine bloße Annäherung in gewissen Fällen darstellt, so kann doch die beschriebene Methode noch dazu dienen, einiges Licht in die Beziehungen zwischen den Strömen von Wärme und Elektrizität zu werfen.

Die folgende Tab. 6 enthält noch eine Zusammenstellung der Vorzeichen, wie sie für die einzelnen Effekte in Antimon und Wismut vom Autor beobachtet worden sind.



Tabelle 6.

Vorzeichen der Effekte in Antimon und Wismut nach den Beobachtungen des Autors.

	Antimon (Kahl- baum)	Wismut (Kahl- baum)	Wismut Yamaguchi Pl. III	
			$H < H_c$	$H > H_c$
Halleffekt . . . . .	+	—	—	—
Thermomagnetischer Trans- versaleffekt . . . . .	+	+	—	+
Galvanomagnetischer Trans- versal-Temperatur-Effekt .	+	+	?	?
Drehung der Isothermallinien	+	+	—	—
Vergrößerung des elektrischen Widerstandes . . . . .	+	+	+	+
Thermomagnetischer Longi- tudinaleffekt . . . . .	0	+	+	+ <sup>1)</sup>

§ 13. Anhang. Effekte in anderen Metallen. Eisen. Es wurde eine Platte von Transformatoreisen von 0,5 mm Dicke

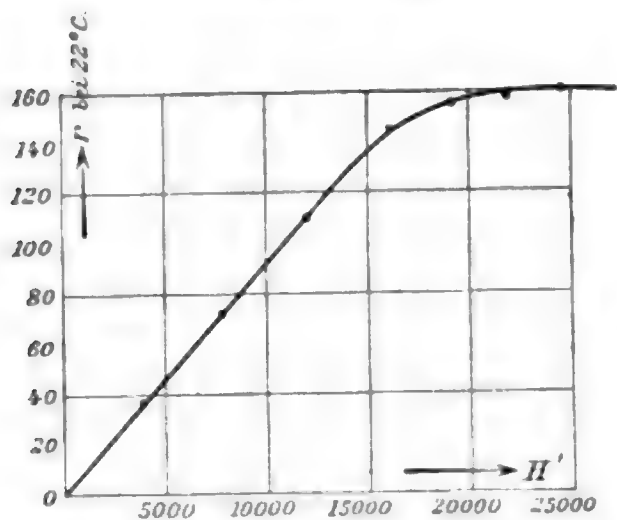


Fig. 13.

untersucht. Der Halleffekt in dieser Platte bis zu Feldern von 25000 C.G.S. ist in Fig. 13 dargestellt. Die Kurve zeigt, daß ein Sättigungszustand erreicht wird und stimmt mit der von Kundt für Eisenfilms gegebenen überein. Die Werte für die Feldstärken sind gemessen worden, nachdem die Platte aus dem Felde entfernt worden war; da die

Platte sehr dünn im Vergleich zu ihren anderen Dimensionen war, müssen diese Werte angenähert gleich der magnetischen Induktion in der Platte sein.

1) L. Lownds fand für diese Platte eine Umkehrung bei tiefen Temperaturen und hohen Feldstärken.

Zink. Die untersuchte Platte war ein sehr reines Präparat von Kahlbaum. Für den Halleffekt wurde gefunden:

$$H = 25000, \quad R = + 0,00033.$$

Die thermomagnetischen Effekte waren zu klein für die Beobachtung.

Kupfer. Eine Platte von reinem Kupfer von Kahlbaum wurde mit einer Platte aus gewöhnlichem Kupfer verglichen. In beiden Fällen hatte der Effekt denselben Charakter, wie er von Nernst und v. Ettinghausen beobachtet wurde.

Manganin und Konstantan. Der Hall- und die thermomagnetischen Effekte waren in beiden Metallen nicht beobachtbar.

Zum Schlusse möchte ich Hrn. Prof. Warburg für das wertvolle, meiner Arbeit erwiesene Interesse meinen besten Dank auszusprechen.

Berlin, August 1903.

(Eingegangen 8. September 1903.)

**2. Über elektrische Wellen in Systemen  
von hoher Kapazität und Selbstinduktion;  
von L. Hermann.**

**I. Vorbemerkungen. Anlaß zur Untersuchung.**

Zu den nachfolgend mitgeteilten Versuchen bin ich durch eine seit 1872 von mir verfolgte und 1899 zum Abschluß gebrachte Theorie der Nervenleitung gelangt, auf welche ich an dieser Stelle nicht näher eingehen werde, da ich die physiologische Seite der Untersuchung an anderem Orte darzustellen beabsichtige. Es genügt, auf einige Literaturstellen zu verweisen<sup>1)</sup>, und anzuführen, daß die Nervenfaser einerseits sich wie ein aus zwei coaxialen Schichten zusammengesetzter Strang verhält, deren zylindrische Grenzfläche polarisierbar ist, und daß andererseits aus dem Gesetze der elektrischen Nerven-erregung und dem Gesetze der elektromotorischen Wirkung der Erregung (der sogenannten Aktionsströme) sich ein der Selbst-induktion genau entsprechendes Verhalten gegen zugeleitete Ströme herleiten läßt. Aus diesen Grundlagen habe ich in der zuletzt angeführten Arbeit eine für die Nervenfaser geltende partielle Differentialgleichung von folgender Form abgeleitet<sup>2)</sup>:

$$(1) \quad \frac{\partial^2 \varepsilon}{\partial t^2} + \frac{w}{p} \frac{\partial \varepsilon}{\partial t} = \frac{1}{c p} \frac{\partial^2 \varepsilon}{\partial x^2}.$$

Hierin bezeichnet  $\varepsilon$  das Erregungspotential an der Faserstelle  $x$  (die Faserachse als Abszissenachse gedacht) zur Zeit  $t$ ;  $w$ ,  $p$  und  $c$  sind Konstanten, sämtlich für die Längeneinheit der Faser geltend, und zwar  $w$  der Widerstand,  $p$  der Koeffizient der Selbstinduktion, endlich  $c$  die Kapazität. Im Original

1) L. Hermann, Handbuch der Physiologie 1. 1. p. 256 f.; 2. 1. p. 193 ff. Leipzig 1879; Archiv f. d. ges. Physiologie 75. p. 574 ff. 1899.

2) Die Buchstaben der ursprünglich aufgestellten Gleichung sind hier in zweckentsprechender Weise verändert.

war  $h$  statt  $1/c$  gesetzt, und  $h$  als die Polarisationskonstante der Längeneinheit bezeichnet, in dem Sinne, daß die Polarisation  $q$  durch die Stromstärke  $i$ , solange das Polarisationsmaximum nicht erreicht ist, nach dem Gesetze wächst:  $\partial q / \partial t = hi$ ; setzt man hierfür  $c \partial q / \partial t = i$ , so ist an Stelle des Polarisationsvorganges die Ladung eines Kondensators von der Kapazität  $c$  auf die Potentialdifferenz  $q$  gesetzt.

Die Gleichung (1) hat die bekannte Form der sogenannten Telegraphengleichung<sup>1)</sup>, und läßt sich in verschiedener Weise, unter anderem nach Riemanns Methode, integrieren. Sie ergibt, daß der zur Zeit  $t=0$  vorhandene Zustand wellenartig nach beiden Richtungen mit der Geschwindigkeit  $v = 1/\sqrt{cp}$  über die Achse abläuft, seine Größe aber dabei beständig abnimmt („Dekrement“) und an jeder Stelle ein streng genommen erst nach unendlicher Zeit verschwindender Rest zurückbleibt („Residuum“). Von der ursprünglichen Größe des ablaufenden Vorganges ist die Fortpflanzungsgeschwindigkeit unabhängig. Ähnliche Gleichungen gelten auch für andere in dämpfenden Medien ablaufende Wellen, z. B. für Schall in Röhren bei Berücksichtigung der Reibung.

Für das Folgende ist es nützlich, das Integral für bestimmte Anfangsbedingungen anzuführen.<sup>2)</sup> Es sei für  $t=0$

1) Für einen linearen homogenen Leiter erhält man Gleichung (1) sehr einfach, wenn  $\varepsilon$  das Potential und  $i$  die longitudinale Stromstärke positiver Richtung an der Stelle  $x$  zur Zeit  $t$  ist, und die übrigen Buchstaben die im Texte angegebene Bedeutung haben. Die Potentialdifferenz zwischen zwei unendlich benachbarten Punkten ist dann  $\partial \varepsilon / \partial x$ , so daß mit Berücksichtigung der Selbstinduktion  $w i + p \partial i / \partial t = - \partial \varepsilon / \partial x$ . Die Stelle  $x$  ladet sich ferner durch die Differenz von  $i$  in zwei benachbarten Elementen nach dem Gesetze  $c \partial \varepsilon / \partial t = - \partial i / \partial x$ . Durch Elimination von  $i$  aus diesen beiden Gleichungen erhält man Gleichung (1). Indes ist diese Betrachtung nicht absolut streng; man sehe hierüber H. Weber, Die partiellen Differentialgleichungen der mathematischen Physik 2. p. 320, Anm. Braunschweig 1901. — Bezüglich der Integrationsmethoden für die Telegraphengleichung vgl. H. Weber, l. c. p. 306 ff., 319 ff., 322 ff.

2) Ich verdanke dasselbe meinem Freunde H. Weber; in dem Abdruck Arch. f. d. ges. Physiol. 75. p. 588. 1899 ist das Vorzeichen des dritten Gliedes in der Klammer infolge eines von mir herrührenden Schreibfehlers  $+$  statt  $-$  gesetzt. In der hier folgenden Wiedergabe habe ich einige im Texte angegebene Vereinfachungen eingeführt.

$\varepsilon = f(x)$  und  $\partial \varepsilon / \partial t = q(x)$ , wobei es zweckmäßig ist, statt  $q(x)$  eine neue Funktion  $\psi(x)$  einzuführen, dergestalt, daß  $q(x) = 1/v \cdot \partial \psi(x) / \partial x$ , so daß also für  $t=0$   $\partial \varepsilon / \partial t = \sqrt{cp} \cdot \partial \psi(x) / \partial x$ . Ferner wird das Integral besonders übersichtlich, wenn man die Größe  $\varepsilon$  nicht durch die seit dem Anfange verflossene Zeit  $t$ , sondern durch die von der Welle seit dem Anfange zurückgelegte *Strecke*  $y = vt$  ausdrückt. Endlich kann man an Stelle der drei Konstanten  $w, p, c$  eine einzige einführen, indem man setzt:

$$(2) \quad \frac{w}{2} \sqrt{\frac{c}{p}} = \lambda.$$

Dann gelangt man zu dem Ausdruck:

$$(3) \quad \left\{ \begin{aligned} \varepsilon = \frac{1}{2} e^{-\lambda y} \left\{ f(x-y) + f(x+y) - \psi(x-y) + \psi(x+y) \right. \\ \left. + \lambda^2 \int_{x-y}^{x+y} K(z) [(\alpha-x)\psi(\alpha) + yf(\alpha)] d\alpha \right\}. \end{aligned} \right.$$

Hierin ist die Funktion  $K(z)$  aus einer Besselschen Funktion mit imaginärem Argument abgeleitet, nämlich

$$K(z) = \frac{1}{z} \frac{\partial J(iz)}{\partial z} = \frac{1}{2} + \frac{z^2}{2 \cdot 2 \cdot 4} + \frac{z^4}{2 \cdot 2 \cdot 4 \cdot 4 \cdot 6} + \dots,$$

worin

$$z = \lambda \sqrt{y^2 - (\alpha - x)^2}.$$

Die Fortpflanzungsgeschwindigkeit der Erregungswelle im Nerven, welche Helmholtz in einer klassischen Arbeit 1850 zuerst gemessen hat, beträgt für den Frosch etwa 26, für den Menschen etwa 43 m pro Sekunde, d. h. sie ist so gering, daß ein riesenhaftes Geschöpf, welches Hunderte von Kilometern lang wäre, eine Berührung am Fuße nicht wesentlich früher empfinden würde, als eine von dort abfahrende Schnellzugmaschine am Gehirn angelangt wäre. Da nach der ange deuteten Theorie die Erregung als elektrische Welle sich fort pflanzt, und die bisher untersuchten wellenartig fortschreiten den elektrischen Vorgänge Geschwindigkeiten haben, welche der Größenordnung nach an die Lichtgeschwindigkeit heran reichen, schien das erste Erfordernis, zu ermitteln, ob sich

elektrische Wellen von so geringen Geschwindigkeiten erzeugen und nachweisen lassen.

Ersteres erschien freilich von vornherein so gut wie sicher; da die Geschwindigkeit  $v$  der Quadratwurzel aus Kapazität und Induktionskoeffizient umgekehrt proportional ist, und kein Grund vorliegt zu zweifeln, daß man diese beiden Größen durch besondere Vorrichtungen beliebig erhöhen kann, ohne daß die Telegraphengleichung, welche freilich zunächst für gewöhnliche Drähte und Kabel mit ihrer beschränkten Kapazität und Selbstinduktion aufgestellt ist, ihre wenigstens approximative Anwendbarkeit verliert.<sup>1)</sup> Allein Versuche dieser Art sind mir aus der Literatur nicht bekannt geworden, und ein hervorragender Physiker, den ich brieflich befragte, wußte ebenfalls nichts von solchen.<sup>2)</sup> Es schien mir daher nicht überflüssig, meine Versuche kurz mitzuteilen.

## II. Frühere Versuche an sogenannten Kernleitern.

Eine von E. du Bois-Reymond entdeckte Erscheinung am Nerven, der *Elektrotonus*, besteht darin, daß ein durch

1) Bekanntlich führt auch die Maxwell'sche Theorie des Elektromagnetismus für die Fortpflanzung elektromagnetischer Vorgänge in allen Medien, außer dem freien Äther, auf eine der Telegraphengleichung völlig entsprechende Gleichung, sobald nur eine Dimension in Betracht kommt, und auf eine Wellengeschwindigkeit von der Größe  $a/\sqrt{\eta\mu}$ , worin  $a$  die Lichtgeschwindigkeit,  $\eta$  die Dielektrizitätskonstante und  $\mu$  die magnetische Permeabilität des Mediums; wie in diese Gleichung die Größen Selbstinduktion und Kapazität behufs Anwendung auf Drähte eingeführt werden könnten, vergleiche man bei H. Weber, l. c. 2. p. 320, Anm. 1901. Für den freien Äther, wo  $\eta$  und  $\mu = 1$  zu setzen sind, ergibt sich als Geschwindigkeit die des Lichtes und zugleich fällt das Dämpfungsglied fort.

2) Ich erwähne hier, daß ich in einem Edelmannschen Apparateverzeichnis ein von H. F. Weber in Zürich angegebenes, aus Kondensatoren bestehendes künstliches Kabel erwähnt gefunden habe, über welches meines Wissens sonst nichts veröffentlicht ist. Es scheint sich aber hier nicht um einen Apparat für elektrische Wellen, sondern nur um einen solchen für induktionslose Ladung zu handeln, welche nach dem Gesetze der Wärmeausbreitung erfolgt, also vielleicht um Versuche zu dem Problem, welches man unter anderem in Winkelmanns Handbuch der Physik von Auerbach in übersichtlicher Zusammenstellung behandelt findet (2. Auflage, 4. 1. p. 227—231. Leipzig 1903).



eine beschränkte Strecke  $AR$  eines Nerven  $NN$  (Fig. 1) geleiteter konstanter Strom sich auffallend weit längs des Nerven ausbreitet, dergestalt, daß zwei auf einer Seite der durchflossenen Strecke gelegene Nervenstellen, z. B.  $ab$  oder  $cd$ ,

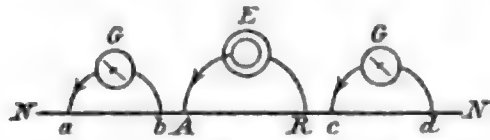


Fig. 1.

eine dem einwirkenden Strome gleichsinnige Potentialdifferenz zeigen, welche mit zunehmendem Abstände rasch kleiner wird.

Diese Ausbreitung beruht nicht auf gewöhnlichen Stromschleifen, denn sie erstreckt sich nicht über eine durch Zerquetschung abgetötete Nervenstelle hinaus und fehlt an abgestorbenen Nerven ganz.

Die vom Entdecker versuchte Erklärung kann hier unbesprochen bleiben, da sie wohl allgemein verlassen ist. Ein Verständnis wurde durch Matteucci angebahnt, welcher ein ganz ähnliches Verhalten an besponnenen Metalldrähten fand, deren Bespinnung mit einer leitenden Flüssigkeit getränkt ist. Derselbe fand weiter, daß die Erscheinung ausbleibt, wenn der Draht aus amalgamiertem Zink besteht und die Flüssigkeit eine Zinksulfatlösung ist.

Im Jahre 1872 vervollkommnete ich diese Versuche, indem ich den Metalldraht in Glasröhren axial ausspannte, welche mit Ansätzen zur Zu- und Ableitung versehen waren (vgl. das Schema Fig. 2). Die Erscheinungen konnten leicht aus dem

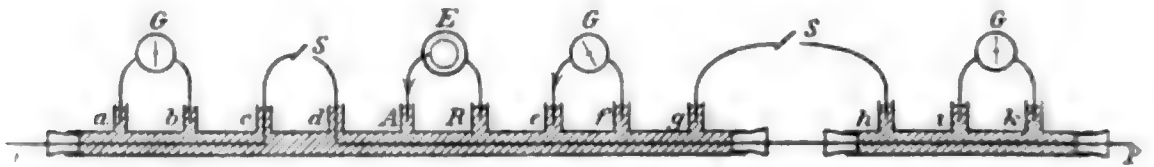


Fig. 2.

polarisatorischen Übergangswiderstand zwischen Hüllenflüssigkeit und Kerndraht  $OP$  erklärt werden, gegenüber welchem die Längen der den Kern aufsuchenden Stromfäden ihren Einfluß auf deren relativen Widerstand fast verlieren müssen. Schon vorher hatte ich gefunden, daß in der Tat die Nervenfasern, solange sie ihre Lebenseigenschaften bewahrt, eine sehr bedeutende Polarisierbarkeit zwischen ihrem Inhalt und ihrer Hülle besitzt, und eine theoretische Untersuchung von H. Weber ergab, daß auch dann, wenn der Kern kein dasjenige der Hülle

sehr übertreffendes Leitungsvermögen besitzt, die Stromausbreitung prinzipiell dieselbe bleibt. Auch der oben erwähnte Umstand, daß der Strom sich nicht über eine abgetötete Stelle hinaus ausbreitet, erklärte sich leicht, weil an dieser Stelle die Grenzpolarisation ausbleibt, welche Bedingung der Ausbreitung ist. In der Tat geht an der in Fig. 2 schematisierten Vorrichtung die Ausbreitung des bei  $AR$  zugeleiteten Stromes nicht über Stellen hinweg, an welchen entweder die Kontinuität der Flüssigkeit oder diejenige des Drahtes unterbrochen ist, d. h. es erscheint keine Potentialdifferenz zwischen  $i$  und  $k$ , und ebenso wenig, wenn der Schlüssel  $S$  geöffnet ist, zwischen  $a$  und  $b$ . Dagegen zeigte sich (was für das Folgende wichtig ist), daß eine Kontinuität der *Berührung* zwischen Draht und Flüssigkeit *nicht* erforderlich ist; d. h. es tritt in  $ik$  Wirkung ein, wenn der Schlüssel  $S'$  geschlossen ist, und in  $ab$  bei Schließung von  $S$ . Leiter der bezeichneten Art habe ich *Kernleiter* zu nennen vorgeschlagen.

Bemerkt sei noch, daß es in mancher Beziehung einfacher ist, den Strom, wie in Fig. 3 dargestellt, dem Kerndraht und einem Punkt  $R$  der Hüllflüssigkeit zuzuleiten, statt wie in Fig. 2 zwei Punkten der letzteren; natürlich muß dann der zuleitende Draht in Ansatz  $R$  aus demselben Metall wie der

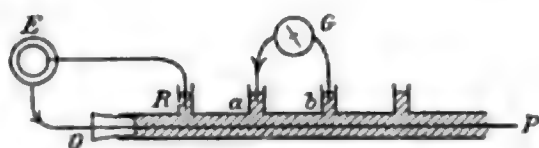


Fig. 3.

Kerndraht sein. Diese Zuleitungsart kann man kurz als unipolare bezeichnen. Der Kerndraht wird in diesem Falle in seiner ganzen Ausdehnung nur einsinnig polarisiert.

Die Polarisation kann sich an einer solchen Vorrichtung, wie eine einfache theoretische Betrachtung ergab, immer nur nach einer der Wärme Gleichung entsprechenden Differentialgleichung ausbreiten<sup>1)</sup>, da kein Grund ersichtlich ist, der Vorrichtung einen irgend erheblichen Grad von Selbstinduktion zuzuschreiben. Trotzdem fand ich im Jahre 1884 gemeinsam mit D. W. Samways an einer solchen Vorrichtung von beträchtlicher Länge Andeutungen eines wellenartigen Vorganges. Als

1) Man erhält dieselbe, wenn man in der Ableitung oben p. 933, Anm. 1 das Induktionsglied  $p \partial i / \partial t$  wegläßt.

nämlich dem Anfangsteil ein nur momentaner Strom zugeleitet wurde, zeigte sich am Ende (mittels eines Rheotomverfahrens) die entsprechende elektrische Veränderung erst zu einer Zeit beginnend, wo am Anfang das Maximum bereits vorüber war. Ein ähnliches Ergebnis erhielt später mit noch größerer Bestimmtheit H. Boruttau. Obwohl ich weder in meinen eigenen noch in Boruttaus Versuchen eine Fehlerquelle auffinden konnte, lagen doch wenigstens meine Ergebnisse so nahe an der Grenze des Nachweisbaren, daß ich das erwähnte theoretische Bedenken nicht fallen lassen konnte. Ein später von mir angefertigter Apparat, in welchem statt des einfachen Kerndrahtes ein mit besponnenem Kupferdraht dicht bewickelter Glasstab als Kern verwendet war, führte nicht wesentlich weiter.

Erst als ich (in der angeführten Arbeit von 1899) zu der eingangs erwähnten Erkenntnis gelangt war, daß im Nerven wirklich außer der Polarisierbarkeit eine der Selbstinduktion gleichwertige Eigenschaft mitwirkt, ging ich von neuem mit besseren Mitteln an den Versuch, den Kernleiter mit erheblicher Selbstinduktion zu begaben, und zugleich seine Polarisation prompter zu gestalten. In ersterer Hinsicht verwendete ich jetzt windungsreiche *Induktionsspulen mit Eisenkern*, welche in den Kerndraht eingeschaltet wurden, verlegte dieselben aber, indem ich mir die Entbehrlichkeit der kontinuierlichen Benetzung zu Nutze machte (vgl. oben), *außerhalb* der Flüssigkeit. Ferner verwendete ich behufs prompter Polarisation, und um eventuell den Vorgang direkt zu beobachten, das Prinzip des *Kapillarelektrometers*.

Die drei Schemata Figg. 4. 5, 6 zeigen am besten den Übergang von dem ursprünglichen Kernleiter zu der nunmehr angewandten Vorrichtung.

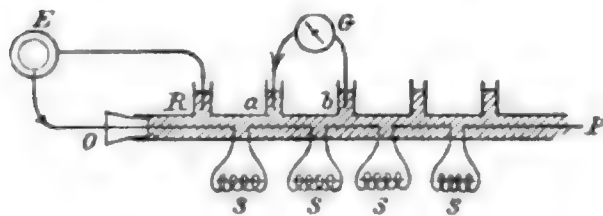


Fig. 4.

In Fig. 4 ist nichts weiter gegen Fig. 3 verändert, als daß die außerhalb angebrachten Induktionsspulen *SS* in den Kerndraht *OP* eingeschaltet sind. In Fig. 5

(in welcher die Induktionsspulen *SS* in Aufsicht dargestellt sind) ist die Kontinuität der Flüssigkeit aufgegeben, und die nun getrennten Rohrabschnitte *KK*, wie *g* und *h* in Fig. 2, sind nur

durch den Draht  $MN$  miteinander verbunden. Endlich in Fig. 6 sind statt der in Fig. 5 noch vorhandenen polarisierbaren Leiterstellen die Kapillarelektrometer  $KK$  angebracht, welche auf der linken Seite mehr schematisch, auf der rechten, ebenso

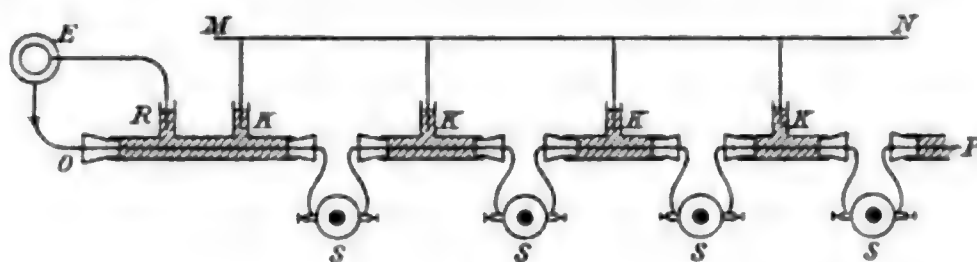


Fig. 5.

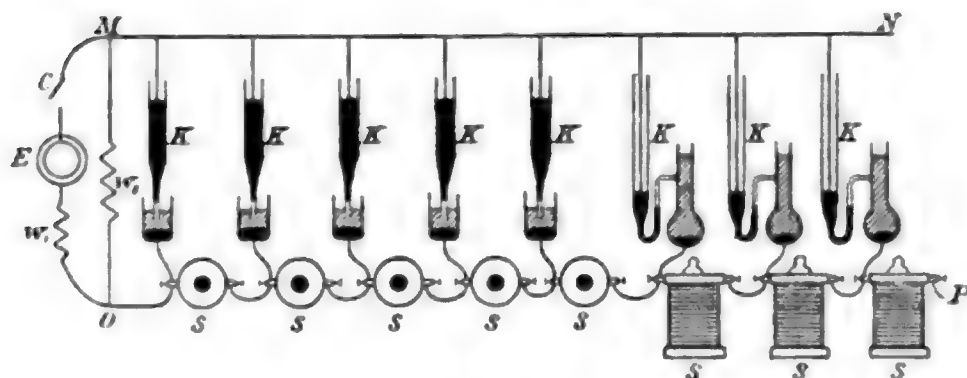


Fig. 6.

wie die Induktionsspulen, mehr ihrer wirklichen Beschaffenheit entsprechend (vgl. unten) dargestellt sind. Es ist übrigens völlig gleichgültig, ob man  $MN$  als Repräsentanten der bisherigen Kernleitung und  $OP$  als den der Hüllenleitung ansehen will, oder umgekehrt.

### III. Die Apparate und einige Vorversuche.

Der Apparat besteht aus 15 Gliedern der soeben angegebenen Art.

1. Die *Induktionsspulen*, von der Firma H. Boas in Berlin geliefert, haben jede etwa 5900 Windungen und etwa  $250 \Omega$ , und sind mit einem herausnehmbaren Drahtbündelkern versehen. An einigen untersuchten Stichproben fand ich die Größenordnung des Selbstinduktionskoeffizienten *mit* Kern zu etwa  $2 \cdot 10^9$  cm, *ohne* Kern etwa  $2 \cdot 10^8$  cm. (Brückenmethode ohne Repetition.)

2. Die *Kapillarelektrometer*. Bei der zarten und veränderlichen Natur und schwierigen Handhabung dieses Instrumentes

in seiner gewöhnlichen Form konnte ich an eine Untersuchung, bei welcher 15 Exemplare erforderlich waren, erst dann ernstlich denken, als mir die Ostwaldsche, aus einem Stück bestehende Form bekannt wurde (skizziert in Fig. 6 rechts), welche von Fritz Köhler in Leipzig sowohl mit rundem wie mit elliptischem Querschnitt des kapillaren Teiles hergestellt wird; ich verwendete die letztere Art. An einem zufällig zerbrochenen Exemplar wurde die elliptische Lichtung zu  $0,083 \text{ mm}^2$  bestimmt. Diese Elektrometer, mit reinem Quecksilber und reiner 30proz. Schwefelsäure beschickt, sind recht empfindlich und schnell reagierend. Die einfachen Stative, welche je fünf derselben nebeneinander trugen, können unbeschrieben bleiben. Die Elektrometer wurden in der Regel nur mit Spannungen unter 1 Volt beansprucht. Wenn einmal durch höhere Beanspruchung sich Gas entwickelt, kann man ungemein leicht dasselbe herausdrängen und den Meniskus erneuern, was auch ohne diesen Anlaß möglichst oft geschah. — Über die „Kapazität“ dieser Elektrometer vgl. weiter unten.

Erteilt man den Punkten  $M$  und  $O$  (Fig. 6) durch Schließung des Schlüssels  $C$  eine Potentialdifferenz von 0,4 bis 0,9 Volt<sup>1)</sup>, so sieht man sämtliche Kapillarelektrometer einen Ausschlag machen, welchen man mit Hilfe eines oder mehrerer, an verschiebbaren Stativen befestigter Mikroskoptuben mit Okularmikrometer genauer beobachten und messen kann. Man erkennt sofort, daß die Ausschläge um so kleiner werden, je weiter das betreffende Elektrometer von den Zuleitungspunkten entfernt ist; indes sind die Unterschiede nicht sehr beträchtlich. Unterbricht man die Leitung  $MN$  oder  $OP$  an irgend einer Stelle, so bleibt die Ablenkung in allen jenseits dieser Stelle befindlichen Elektrometern aus. Führt man zwischen je zwei Spulen  $SS$ , oder zwischen je zwei Abzweigungsstellen von  $MN$  einen großen Widerstand ein (Bleistiftwiderstände von 0,1 bis 0,2 Megohm, vgl. unten), so ist die Differenz der Ablenkungen sehr groß, und an den entfernteren Elektrometern kann bei

---

1) Die Nebenschließung  $MO$  ist hierbei unentbehrlich, weil ohne dieselbe bei offenem Schlüssel  $C$  die Elektrometer sich nicht auf einen Nullpunkt einstellen würden;  $w_1$  und  $w_2$  sind Widerstände zur Variierung der Potentialdifferenz in  $MO$ .



mäßiger Spannung die Ablenkung ganz ausbleiben. Diese Erscheinungen entsprechen vollkommen den früher erwähnten am einfachen Kernleiter.

Schon ohne Zuschaltung von Widerständen erkennt man ferner, daß die Ablenkungen um so langsamer sich vollziehen, je entfernter das Elektrometer ist; mit den Widerständen ist dieser Unterschied natürlich sehr viel beträchtlicher. Ganz ebenso verhält sich das Zurückgehen der Ablenkungen bei Öffnung von *C*. Auch beobachtet man analoge Erscheinungen, wenn man statt eines konstanten Stromes einen Schließungs- oder Öffnungsinduktionsstrom bei *M* und *O* zuführt.

Die Erscheinungen sind ferner prinzipiell dieselben, wenn man einen Strom, anstatt den Enden beider Drähte, zwei Stellen desselben Drahtes zuleitet, womit man sich mehr den in Figg. 1 und 2 dargestellten Versuchen anschließt. Diese beiden Stellen wählt man zweckmäßiger in *OP*, z. B. zu beiden Seiten einer Spule, welche dann eine Nebenschließung von etwa  $250\ \Omega$  darstellt, während man bei Zuleitung zu zwei Punkten von *MN* höhere Spannungen verwenden muß, um überhaupt Ablenkungen zu erhalten. Die Ablenkungen der Kapillarelektrometer nehmen dann auf beiden Seiten der Zuleitungsstellen an Größe und Geschwindigkeit ab. Ebenso verhalten sich natürlich *Galvanometer*ablenkungen, wenn man die Enden des Galvanometerbogens zu beiden Seiten einer Spule anlegt, und nun von Spule zu Spule fortschreitet. Auch diese Ablenkungen fehlen jenseits einer Unterbrechung der oberen oder unteren Leitung, wenn eine solche zwischen Zuleitungs- und Ableitungsstrecke vorgenommen wird.

Dagegen kann man über den Moment des *Beginnes* der Elektrometerrausschläge durch bloße Beobachtung mit dem Mikroskop nichts feststellen. Hierzu ist *graphische* Darstellung unentbehrlich. Für eine solche ist aber, da es sich um sehr kleine Zeitdifferenzen handelt, die Bewegung der verwendeten Elektrometer wegen ihrer relativ großen Meniskenfläche viel zu langsam. Es mußte also hierzu ein besonderes *graphisches Kapillarelektrometer* von schnellster Reaktion verwendet werden, welches ich kurz als *Elektrograph* bezeichnen werde.

3. *Der Elektrograph.* Das hierzu verwendete lange gerade Rohr aus Jenaer Glas hat 5—6 mm lichten Durchmesser und



ist unten in eine dickwandige, aber äußerst feine und stark konische<sup>1)</sup> Kapillare ausgezogen.<sup>2)</sup> Dies Ende ragt in einen ganz aus Glasplatten zusammengesetzten Schwefelsäuretrög hinein, dessen Vorderwand die Dünne eines Deckglases hat, welchem die Kapillare möglichst nahe anliegt (der Rohrteil über der Kapillare ist hierzu entsprechend dünn). Das den Apparat tragende Stativ hat Triebvorrichtungen für feine Einstellung und eine verstellbare Hülse für einen Mikroskoptubus mit bloßem Objektiv. Letzteres wirft in etwa 1 m Abstand ein stark vergrößertes verkehrtes Bild der stark beleuchteten<sup>3)</sup> Kapillare auf den vertikalen Spalt der Registriervorrichtung. Die letztere besteht aus einem solide aufgestellten Schlitten, auf welchem sich ein Rahmen horizontal bewegt, durch ein fallendes Gewicht getrieben und durch ein Gegengewicht verlangsamt. In den Rahmen wird eine sehr empfindliche Trockenplatte (5,8:9 cm) eingeschoben und gut befestigt. Durch ein Gehäuse mit Überhängtuch ist die Platte vor jedem fremden Lichte geschützt.<sup>4)</sup> Ist der Rahmen in seine Ausgangsstellung geschoben, und löst man seine Arretierung, so bewegt er sich mit zunehmender Geschwindigkeit durch seine Bahn, und gelangt, nachdem er eine Geschwindigkeit von etwa 0,3 m erreicht hat, in den Bereich des Spaltes, bez. des in diesen fallenden Teiles des Kapillarbildes. Kurz nach dem Eintritt in diesen Bereich öffnet der Rahmen einen *Kontakt C* (Figg. 6, 7, 9, 11), wodurch der eigentliche Versuch eingeleitet wird.

4. *Der Zeitschreiber.* Bei jedem Einzelversuch wird die Zeit mit verzeichnet, mittels einer elektromagnetischen Stimmgabel von 100 Schwingungen pro Sekunde, an deren einer Zinke eine horizontale Nadel befestigt ist. Der Schatten der letzteren fällt in denjenigen Teil des Spaltes, auf welchem

1) Man vergleiche L. Hermann u. M. Gildemeister, Arch. f. d. ges. Physiol. 81. p. 491. 1900.

2) Sämtliche von mir benutzten Kapillarröhren sind von Hrn. Dr. Gildemeister hergestellt, welcher mir auch sonst bei der Untersuchung wesentliche Hilfe geleistet hat.

3) Zur Beleuchtung dient eine 16 ampèrige Schuckertlampe mit Zeisscher optischer Bank.

4) Selbstverständlich werden die Versuche im Dunkelzimmer ausgeführt; der Lichtschutz ist aber nötig, weil die Beleuchtungsvorrichtung etwas diffuses Licht verbreitet.

der durchsichtige (Schwefelsäure enthaltende) Teil der Kapillare sich abbildet.

5. *Die Schaltvorrichtung für den Elektrographen.* Eigentlich müßten, da der zeitliche Durchgang eines elektrischen Vorganges durch das System verfolgt werden soll, *zwei*, etwa am vorderen und hinteren Ende angebrachte Elektrographen *gleichzeitig* schreiben. Da aber dieselben niemals absolut gleiche Eigenschaften haben würden, so ist es sehr viel besser, und selbstverständlich auch aus anderen Gründen äußerst vorteilhaft, *denselben* Elektrographen alternierend vorn und hinten

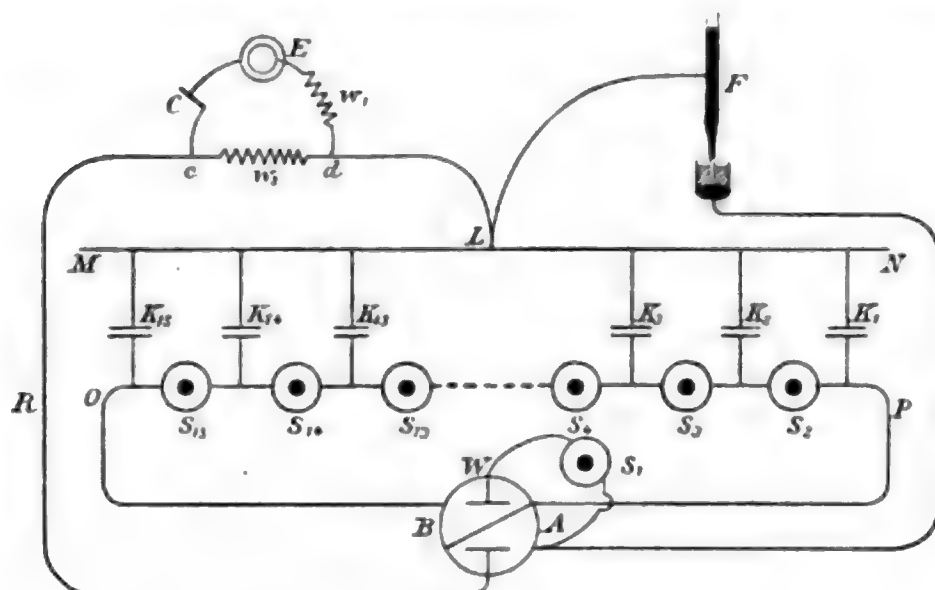


Fig. 7.

anzuschalten, was sehr bequem durch die in Fig. 7 schematisch dargestellte Anordnung geschieht. Der Elektrograph  $F$  kommt als sechzehntes Kapillarelektrometer zu den 15 anderen ( $K_1$  bis  $K_{15}$ ) hinzu<sup>1)</sup>, und zwar wird es erstdurchströmtes, wenn die Wippe  $W$  nach der Seite  $A$  liegt, und letztdurchströmtes, wenn sie nach  $B$  liegt. Die Spule  $S_1$  wird mit umgeschaltet, dergestalt, daß unter allen Umständen zwischen den unteren Enden zweier aufeinander folgenden Elektrometer je eine Spule angebracht ist.

Jeder Versuch besteht also aus zwei zusammengehörigen

1) In diesem und den folgenden Schematen sind die kleinen Elektrometer  $K_1$  bis  $K_{15}$ , an deren Stelle später (vgl. unten, IV. F.) Kondensatoren treten, durch je zwei parallele Linien dargestellt. — An welcher Stelle des Drahtes  $MN$  die Zuleitung  $L$  liegt, ist bei dem geringen Widerstande dieses Drahtes gleichgültig.

photographischen Aufnahmen bei Wippenlage *A* und *B*. Meist werden beide auf derselben Platte vereinigt (natürlich jede mit eigener Stimmgabelkurve); entweder sich im wesentlichen deckend, oder einander gegenüber, indem die Platte zwischen beiden Versuchen umgekehrt wird.

#### IV. Die Versuche.

##### A. Das Verhalten bei einfacher Öffnung.

Der Schlittenkontakt *C* ist so eingeschaltet, daß der vorbeifahrende Rahmen die Kettenleitung *c Ed* (Fig. 7) öffnet, und somit die Potentialdifferenz zwischen *c* und *d* unter Belassung der unerläßlichen Nebenschließung *c w, d* (vgl. oben) beseitigt. Bis zur Öffnung von *C* unterhält jene Potentialdifferenz eine konstante Ablenkung der Elektrometer und des Elektrographen, welche letztere den Spaltbereich nicht überschreiten darf.

Fig. 8 zeigt ein Beispiel eines solchen Versuches (Spannung 0,4 Volt).<sup>1)</sup> Man erkennt sofort, daß am *Anfang* des Systems

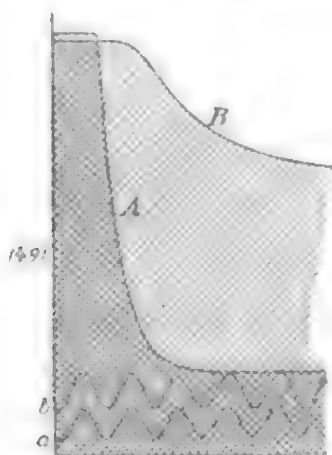


Fig. 8.

(Wippenlage *A*, Kurve *A*) die vom Meniskus beschriebene Kurve mit *scharfem Knick* beginnt, und steil zur Nulllage abfällt, während am *Ende* des Systems (Wippenlage *B*, Kurve *B*) die Bewegung *erheblich später* und in *S förmigem* Anfangsverlauf beginnt und weit langsamer sich vollzieht. Bei *A* ist sie schon nach  $\frac{1}{100}$  Sek. im wesentlichen beendet, bei *B* ist selbst am Ende der ganzen, etwa  $\frac{1}{8}$  Sek. dauernden Expositionszeit wenig über die Hälfte des Rückganges vollzogen.

Das Intervall der beiden Bewegungsanfänge wird stets so gemessen, daß der Abstand jedes Kurvenbeginnes von der

1) Wegen der Kostspieligkeit phototypischer Vervielfältigungen beschränke ich mich auf Durchpausungen der Originalkurven; aus der großen Fülle gebe ich nur wenige Beispiele, und von jeder Kurve nur das wesentlichere Anfangsstück. Durchweg ist der unter der Kurve liegende Teil (in Fig. 8 schraffiert) der der Säure entsprechende, also auf den dargestellten Negativen dunkle; von den Stimmgabelkurven (auf den Platten hell auf dunklem Grunde) gehört die mit *a* bezeichnete zu der Kurve *A*, *b* zu *B*. Die vertikale Grenzlinie links bezeichnet den Moment, in welchem der exponierte Teil der Platte das Spaltbild erreicht.

linken vertikalen Grenzlinie mittels der zugehörigen Zeitkurve in Sekunden umgerechnet und die Differenz beider Zeiten genommen wird. Leider läßt sich — und dies gilt auch für alle folgenden Versuchsarten — im Falle *B* der Beginn der Kurve wegen der *S*-Form nur unsicher, d. h. mit einer Fehlerbreite, welche zuweilen bis fast  $\frac{1}{1000}$  Sek. geht, bestimmen. Die Größe des Intervalles der Kurvenanfänge schwankte in zahlreichen derartigen Versuchen zwischen 0,0045 und 0,0059 Sek.

#### B. Das Verhalten bei einfacher Schließung.

Bekanntlich hat es große technische Schwierigkeiten, einen Strom zuverlässig in einer stets gleichen Durchgangslage einer Schlitten- oder Pendelbewegung zu *schließen*.<sup>1)</sup> Es wurde deshalb die *Öffnung* des Schlittenkontaktes *C* zur Herstellung eines Stromeintrittes in das System benutzt. Den Schlittenkontakt als *Nebenschließung* wirken zu lassen, war zu unsicher; der Widerstand eines Punktkontaktes ist hierfür zu groß, namentlich für die später anzuführenden Versuche mit sehr hohen Spannungen. Es wurde daher eine *Wheatstonesche Anordnung* verwendet, deren eine Diagonalleitung *ab* (Fig. 9) die Kette *E*, einen Widerstand *w* und einen Sicherungsschlüssel *T* enthält (zugleich einen Stromwender, der hier wie in allen Schematen weggelassen ist), während die andere Diagonalleitung zwischen *c* und *d* das (hier nur angedeutete) bisherige System enthält. Das letztere wird nicht durchströmt, d. h. die Potentialdifferenz zwischen *c* und *d* ist Null, wenn die Rheostatwiderstände in den vier Leitungen *ac*, *cb*, *ad*, *db* das bekannte Verhältnis haben. In

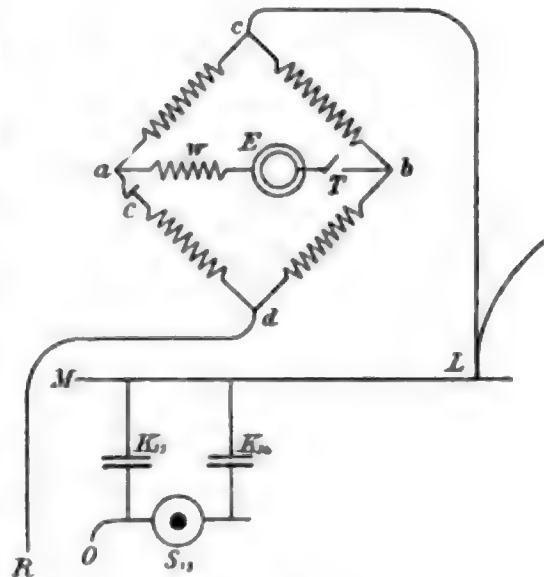


Fig. 9.

1) Ein von Edelmann dem Helmholtzschen Pendelunterbrecher beigegebener Schließkontakt, von welchem das Institut mehrere Ausführungen besitzt, und mit dessen Experimentalkritik die Herren Dr. Weiss und Dr. Gildemeister beschäftigt sind, konnte nicht gut verwendet werden, ohne das ganze Schlittenstativ zu verändern.

eine derselben ( $ad$ ) ist der Schlittenkontakt  $C$  eingeschaltet, dessen Öffnung durch den Schlitten augenblicklich eine Potentialdifferenz, über deren Größe man durch Kette und Widerstandsgrößen verfügt, auf das System wirken läßt.

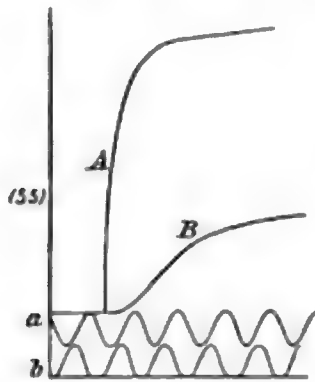


Fig. 10.

Die Ergebnisse (Beispiel in Fig. 10, Spannung 0,5 Volt) entsprechen genau denjenigen der Öffnungsversuche. Wieder beginnt vorn (Kurve  $A$ ) die Bewegung plötzlich und vollendet sich schnell, hinten (Kurve  $B$ ) beginnt sie erheblich später, S-förmig, und vollzieht sich ungleich langsamer. Die Zeit-

differenz des Beginnes liegt nach zahlreichen Versuchen zwischen 0,0040 und 0,0061 Sek.

### C. Das Verhalten bei kurz dauernden elektrischen Einwirkungen. Wellenförmiger Ablauf.

Die bisherigen Versuche zeigen zwar, daß die Fortpflanzung einer elektrischen Veränderung durch das System erhebliche Zeit braucht, aber nicht, ob diese Fortpflanzung *wellenartig*

erfolgt, d. h. so, daß der Vorgang temporär an einer entfernteren Stelle stärker sein kann als an einer bereits durchlaufenen. Um dies zu entscheiden, mußten rasch vorübergehende Vorgänge verwendet werden, und zwar wurden wegen der leicht zu übersehenden Verhältnisse *Kondensator-entladungen* gewählt<sup>1)</sup>, nach dem Schema der Fig. 11.  $Q$  ist ein

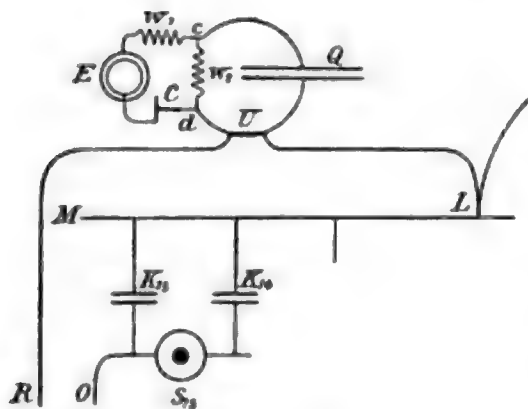


Fig. 11.

Edelmannscher Glimmerkondensator, in der Regel auf 1 Mikrof. gestöpselt. Bei geschlossener Nebenschließung  $U$  ladet Schließung des Schlittenkontaktes  $C$  den Kondensator auf die Potential-

1) Eine Anzahl Versuche wurden statt dessen mit *Induktionsströmen* angestellt, und zwar mit genau gleichem Erfolge. Dies Verfahren hat jedoch den Nachteil, daß man die Spannungshöhe nicht leicht übersehen kann, und daher leicht das für die Kapillarelektrometer zulässige Maximum überschreitet.



differenz der Punkte *c* und *d* (in der Regel  $\frac{9}{10}$  Volt); die Ladung bleibt bestehen, wenn jetzt *U* geöffnet wird. Öffnet dann der Schlitten den Kontakt *C*, so entladet der Kondensator seine Elektrizitätsmenge durch das System, von dem wieder nur ein Teil angedeutet ist.

Von den sehr zahlreichen Versuchen dieser Art geben Figg. 12 und 13 Beispiele (beide mit  $\frac{9}{10}$  Volt, 1 Mikrof.). Am vorderen Ende des Systems (*A*) entsteht ein plötzlich beginnender sehr steiler, ebenso steil verschwindender Ausschlag, dem ein kurzer entgegengesetzter Ausschlag folgt; nach diesem wird die Abszissenachse abermals ein wenig überschritten. Am hinteren Ende (*B*) erfolgt dagegen der Ausschlag weit später,

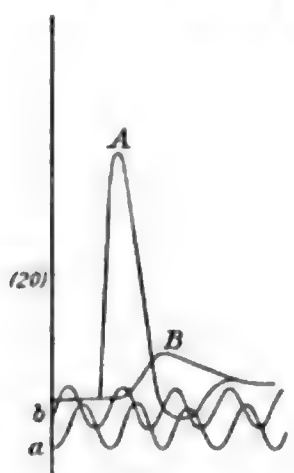


Fig. 12.

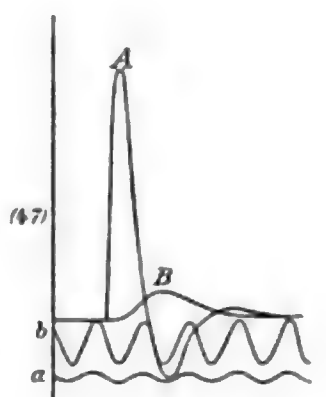


Fig. 13.

ist weit niedriger, beginnt und endet S-förmig und ist niemals von einer Unterschreitung der Abszissenachse gefolgt. Diese Ergebnisse zeigten sich an allen verwendeten Elektrographen; nur fehlte an einem derselben, dessen Bewegung etwas langsamer war, die Unterschreitung der Achse bei der Kurve *A*, und beide Schenkel waren etwas weniger steil, die ganze Exkursion also etwas breiter (d. h. länger anhaltend).

Vor allem sieht man hier das *Wellenartige* des Ablaufes auf das deutlichste. Die Bewegung beginnt am Ende des Systems erst, nachdem sie am Anfang ihr Maximum schon erreicht oder überschritten hat, und erreicht am Ende ihren Gipfel zu einer Zeit, wo sie vorn längst vorüber ist; die Veränderung ist also temporär hinten stärker als vorn, der sichere Nachweis wellenförmigen Ablaufes.

Das Zeitintervall der *Beginne* vorn und hinten liegt zwischen 0,0037 und 0,0063 Sek. (die Oszillationsbreite ist nur



wegen der größeren Anzahl der Versuche größer), d. h. es ist von demselben Betrage wie in den Öffnungs- und Schließungsversuchen. Weit größer ist das Intervall der Gipfelzeiten, weil in *B* der Anstieg langsamer erfolgt als in *A*. Ein Einfluß der Spannungsgröße und (bei den Entladungsversuchen) der Kapazitätsgröße auf den Zeitverbrauch zeigte sich bei den bisher mitgeteilten Versuchen nirgends und ist auch vermutlich, der Theorie entsprechend, nicht vorhanden.

Die *Höhendifferenz* beider Gipfel entspricht dem von der Theorie verlangten *Dekrement* der Welle bei ihrem Ablauf. Unter gewöhnlichen Umständen verhielten sich beide Maximalordinaten meist wie 5—7 : 1. Auch die größere zeitliche Hinausziehung des ganzen Vorganges am Ende des Systems (*B*) entspricht der Theorie vollkommen.

Die *oszillatorische Erscheinung* beim Abfall der *A*-Kurven (vgl. oben) beruht keineswegs auf Trägheitsschwingungen des Quecksilbers im Elektrographen, obwohl dasselbe auf Erschütterungen stark reagiert. Schon das Ausbleiben bei dem ebenso steilen Öffnungsabfall (Fig. 8) beweist dies. Ich vermutete daher, daß es sich um eine elektrische Oszillation handelt, welche durch die verwendete Kapazität und durch die Selbstinduktion der Spulen bewirkt wird. Zu beachten ist übrigens, daß die vom Kapillarelektrometer beschriebene Kurve nicht direkt diejenige des einwirkenden Potentials ist, sondern letztere erst durch ein Reduktionsverfahren abgeleitet werden muß.<sup>1)</sup> So kann, selbst bei einem ziemlich schnell reagierenden Elektrometer, eine doppelsinnige elektrische Veränderung durch einen einsinnigen Meniskusausschlag sich kundgeben, wie dies zweifellos auch bei dem p. 947 erwähnten etwas trägeren Elektrographen der Fall war. Man kann aber leicht durch Kondensatorentladungen am Elektrographen allein ganze Reihen von elektrischen Oszillationen erhalten, wenn man nur die Bedingung derselben verwirklicht, nämlich  $\omega^2 < 4p/c$  macht. Da der Elektrograph niemals ohne Nebenschließung mit dem Kondensator verbunden werden darf (vgl. oben), so

1) Über diese Reduktion vgl. die Arbeiten von Burch, Eindhoven, Hermann, Hermann u. Gildemeister; die einschlägige Literatur findet man in der letztgenannten Arbeit zusammengestellt, Arch. f. d. ges. Physiol. 81. p. 491. 1900.

kommt man am leichtesten zum Ziele, wenn man eine Induktionsspirale als Nebenschließung verwendet. Figg. 14—16 sind einige Beispiele solcher Versuche. In Fig. 14 ist die sekundäre Spirale eines Schlitteninduktors (ca.  $600\ \Omega$ ) mit Eisenkern, in Fig. 15 dieselbe ohne Eisenkern als Neben-

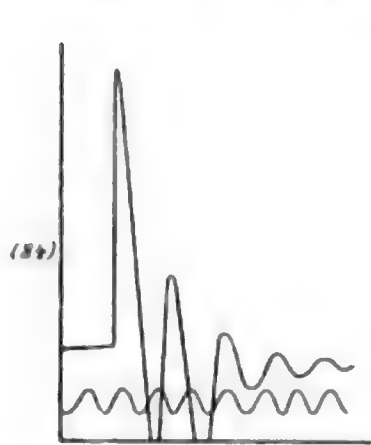


Fig. 14.

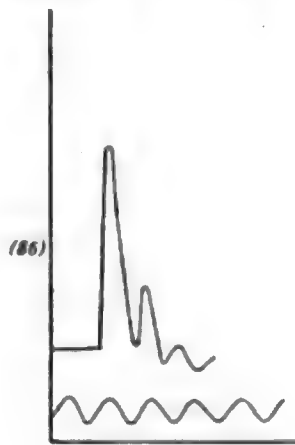


Fig. 15.

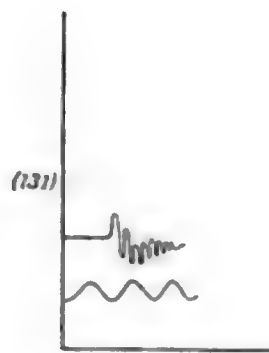


Fig. 16.

schließung zwischen dem auf  $\frac{8}{9}$  Volt bei 1 Mikrof. geladenen Kondensator und dem Elektrographen eingeschaltet.<sup>1)</sup> Fig. 16 ist einer Versuchsreihe entnommen, welche Hr. Dr. Gilde-meister und ich zur Bestimmung von Induktionskoeffizienten mittels der Oszillationen am Kapillarelektrometer unternommen haben.<sup>2)</sup>

#### D. Der Einfluß der Selbstinduktion, der Polarisation (Kapazität) und des Widerstandes auf die Welle.

1. *Herabsetzung bez. Beseitigung der Selbstinduktion.* Werden aus allen 15 Induktionsspulen die Eisenkerne herausgenommen, so ist bei allen bisher angeführten Versuchsweisen das Intervall zwischen dem Beginn am vorderen und am hinteren Ende des Systems so beträchtlich verkürzt, daß es nicht mehr deutlich nachweisbar ist. Fig. 17 ist ein Beispiel für Öffnung (0,4 Volt), Fig. 18 für Schließung (0,5 Volt), Fig. 19 für Kondensatorentladung ( $\frac{8}{9}$  Volt, 1 Mikrof.). Auch ist zuweilen der S-förmige Beginn der B-Kurven nicht mehr deutlich ausgeprägt, und die Unterschreitung der Nulllinie bei A fehlt stets.

1) Der Koeffizient der Selbstinduktion dieser Spirale ist mit Kern  $8,4 \cdot 10^9$  cm, ohne Kern  $1,70 \cdot 10^9$  cm.

2) Die Anordnung war hier eine andere als die eben beschriebene; der Versuch soll nur zeigen, daß der Elektrograph auch sehr frequente Oszillationen noch gut verzeichnet.

Die Versuche, in welchen nur aus der *Hälfte* der Spulen die Kerne entfernt werden, sei es alternierend, sei es aus der vorderen oder aus der hinteren Hälfte, zeigen ebenfalls eine entschiedene Verminderung des Intervalls, welches jedoch hier noch meßbar ist; es liegt zwischen 0,0016 und 0,0022 Sek.

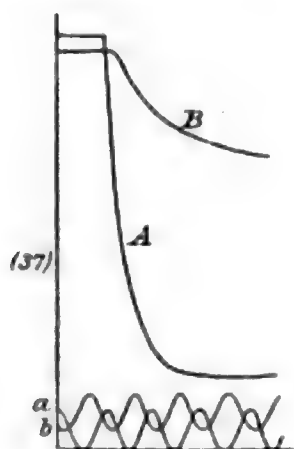


Fig. 17.

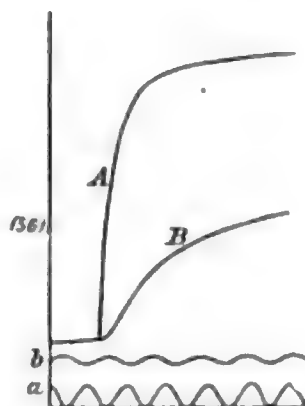


Fig. 18.

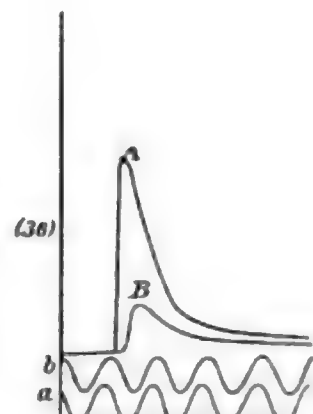


Fig. 19.

Fig. 20 gibt ein Beispiel für Kondensatorentladung ( $\frac{8}{9}$  Volt, 1 Mikrof.). Die Unterschreitung der Abszissenachse bei *A* ist hier noch vorhanden, wenn nur die sieben hinteren Kerne beseitigt sind; in den beiden anderen angeführten Fällen fehlt sie.

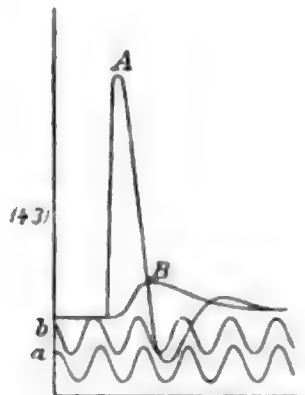


Fig. 20.

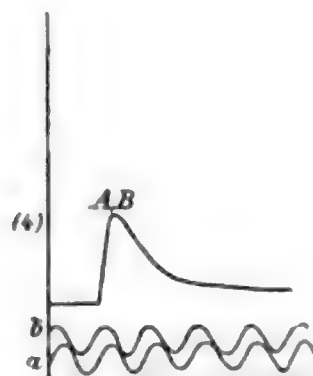


Fig. 21.

Werden endlich die Induktionsspulen *ganz entfernt*, d. h. durch kurze Drähte ersetzt, so ist der Vorgang vorn und hinten absolut *identisch*; die Kurven *A* und *B* decken sich, übereinander registriert (Beispiel für Entladung Fig. 21,  $\frac{8}{9}$  Volt, 1 Mikrof.), so vollkommen, daß man annehmen könnte, es sei nur eine vorhanden, wenn nicht viele Versuche mit getrennter Registrierung vorlägen. Der Vorgang ist relativ niedrig und

te bereit, also vorn erniedrigt, hinten erhöht im Vergleich zu dem Verhalten mit Spulen.

Aus allen diesen Versuchen ergibt sich, wie es auch der Theorie entspricht, daß die Welle sich um so schneller fortpflanzt, je kleiner der Induktionskoeffizient. Schon die Herabsetzung desselben auf etwa  $\frac{1}{10}$  seiner Größe (vgl. oben p. 939) reicht hin, um bei der Beschränkung um 15 Glieder die Fortpflanzungszeit so kurz zu machen, daß sie undeutlich wird. Ganz ohne Induktion würde die Geschwindigkeit, wenn hier von einer solchen die Rede sein könnte, wie bei der Wärmeleitung theoretisch als unendlich zu bezeichnen sein.

## 2. Partielle oder gänzliche Beseitigung der Polarisierungen.

Die vollständige Beseitigung der Kapillarelektrometer  $K_1$  bis  $K_{16}$  (Fig. 6ff.) kann einfach dadurch geschehen, daß man die mit dem Drahte  $MN$  verbundenen in den langen Schenkeln steckenden Platindrähte herauszieht. Die Versuche  $A$  und  $B$  unterscheiden sich dann nur dadurch, daß bei  $B$  die 15 Spulen mit im Kreise sind, bei  $A$  nicht. Trotzdem sind die beiden Kurven dergestalt identisch, daß sie sich genau decken; dies gilt sowohl für Schließungs- und Öffnungs-, wie für Entladungsversuche; von letzteren stellt Fig. 22 ein Beispiel dar ( $\frac{8}{9}$  Volt, 0,05 Mikrof.). Zu bemerken ist noch, daß bei gleich starken Einwirkungen wie früher, die Kurven so hoch sind, daß sie die Plattenhöhe weit überschreiten, offenbar weil der Elektrograph keine Nebenschließungen durch die Kapillarelektrometer hat.<sup>1)</sup> In Fig. 22 ist die Kapazität des Kondensators nur 0,05 Mikrof., die sich entladende Elektrizitätsmenge also nur  $\frac{1}{30}$  der in Fig. 12 einwirkenden (das Potential war in beiden Fällen dasselbe,  $\frac{8}{9}$  Volt). Ferner fällt in die Augen, daß der Abfall weit weniger steil ist, als in den früheren Versuchen, und ohne Unterschreitung der Nulllinie.

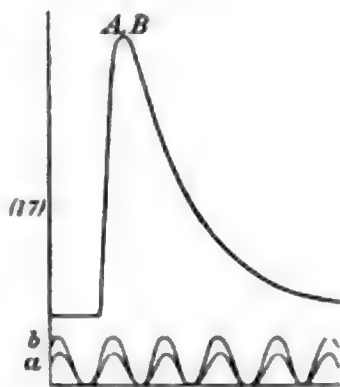


Fig. 22.

Wird nur die Hälfte der Kapillarelektrometer durch Ausziehen ihrer Drähte beseitigt, was wieder alternierend, oder

1) In den Entladungsversuchen muß man daher dem Elektrographen stets eine Nebenschließung geben (vgl. oben p. 940, Anm.); meist war dieselbe 100000  $\Omega$ .

in der vorderen oder hinteren Hälfte geschehen kann, so sind die Wellenerscheinungen wie früher, aber das Intervall der Beginne von  $A$  und  $B$  vermindert, z. B. auf 0,0025 Sek., d. h. die Geschwindigkeit erhöht. Ferner ist bei Entladungsversuchen (Beispiel mit alternierend beseitigten Elektrometern Fig. 23,  $\frac{8}{9}$  Volt, 1 Mikrof.) das Dekrement der Welle sehr

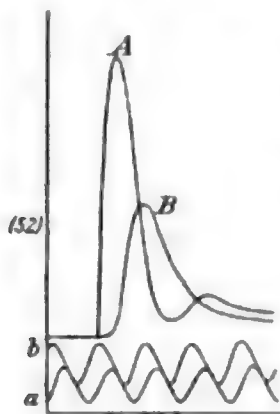


Fig. 23.

vermindert (etwa auf 2—3:1). Dies letztere entspricht vollkommen der Theorie; bezieht man nämlich, wie ich es in Gleichung (3) getan habe, die Größe des Vorganges auf die zurückgelegte *Strecke*  $y$ , welche in allen verglichenen Fällen dieselbe bleibt, so drückt der Faktor  $e^{-\lambda y}$  das Dekrement aus, und dasselbe ist um so größer, je größer  $\lambda$ , welches aber nach Gleichung (2) der Wurzel aus der Kapazität proportional ist. In dem zuletzt besprochenen

Versuchsfall ist aber die Kapazität der Längeneinheit vermindert, weil jetzt zwei Glieder zusammen nur die Kapazität eines einzigen Kapillarelektrometers haben. Allerdings erscheint die Herabsetzung des Dekrementes von im Mittel 6:1 auf im Mittel 2,5:1 etwas zu beträchtlich, da  $\lambda$  in beiden verglichenen Fällen sich nur im Verhältnis von  $\sqrt{2}$ :1 ändert; aber es ist zu beachten, daß  $\lambda$  auch in dem Integralglied der Gleichung (3) als Faktor von  $z$  eine Rolle spielt, deren Größeneinfluß indes nicht leicht zu übersehen ist.

Auch folgender Umstand darf nicht unterdrückt werden. Wie man aus Gleichung (2) ersieht, hat  $p$  den umgekehrten Einfluß auf  $\lambda$ , also auf das Dekrement, wie  $c$ . Man könnte also erwarten, daß Herabsetzung der Induktionskoeffizienten, z. B. durch Herausnahme der Spulenkerne, das Dekrement vermehrt. Hiervon konnte ich jedoch in den Versuchen nichts feststellen. Übrigens muß bei all diesen Fragen im Auge behalten werden, daß die Deformation der Potentialkurve durch das schreibende Kapillarelektrometer (vgl. oben p. 948) auch auf die Höhe der Kurve Einfluß hat, und daß dieser Einfluß vom zeitlichen Verlauf der Potentialänderung abhängt.

3. *Einführung großer Widerstände.* Hierzu dienten 15 Bleistiftwiderstände (Bleistiftlinien auf Mattglas, durch Schellacküberzug geschützt), deren jeder zwischen 0,1 und 0,2 Megohm betrug, und welche öfters revidiert wurden.



Zunächst mögen Versuche erwähnt werden, in welchen die 15 Elektrometer  $K_1$  bis  $K_{15}$  durch je einen solchen Widerstand ersetzt wurden. Hier ergaben Kondensatorentladungen am vorderen Ende des Systems (Wippenlage  $A$ ) einen relativ zur Elektrizitätsmenge sehr hohen und langsam abfallenden Ausschlag, am hinteren Ende ( $B$ ) dagegen überhaupt *keine* Wirkung. Die nebenschließende Wirkung auf den Elektrographen, welche die die Leitungen  $MN$  und  $OP$  verbindenden 15 Widerstände ausüben, ist in den Fällen  $A$  und  $B$  vollkommen gleich, dagegen befinden sich die 15 Spulen für den Elektrographen bei  $A$  in der Nebenleitung, bei  $B$  in der Hauptleitung. In diesem Umstande allein kann aber das (durch zahlreiche Versuche festgestellte) Ausbleiben des Ausschlages bei  $B$  nicht begründet sein, da, wenn die Elektrometer  $K_1$  bis  $K_{15}$  *ohne* Ersatz entfernt sind (vgl. oben p. 951), im Falle  $B$  derselbe Effekt wie in  $A$  auftritt, obgleich hier ebenfalls bei  $B$  die Spulen in der Zuleitung zum Elektrographen sind. Es kann sich also nur um eine vereinte Wirkung der Nebenschließungen und der Induktionen handeln, welche ich vorderhand nicht aufzuklären vermag.

Schaltet man *parallel* zu jedem der Elektrometer  $K_1$  bis  $K_{15}$  je einen Bleistiftwiderstand, so erscheint die Welle am hinteren Ende wie gewöhnlich, und in gleichem Zeitintervall wie sonst; nur ist der Abfall in  $A$  ohne Unterschreitung der Nulllinie.

Wird *neben* jedem Elektrometer  $K_1$  bis  $K_{15}$ , oder *neben* jeder Spule  $S_1$  bis  $S_{15}$ , je ein Bleistiftwiderstand eingeschaltet, so erreicht die Welle das hintere Ende des Systems *nicht* mehr, d. h. in Lage  $B$  bleibt jeder Effekt aus. Vorn ( $A$ ) ist der Ausschlag relativ zur Elektrizitätsmenge sehr hoch und langsam abfallend. Daß das Dekrement der Welle hier sehr groß sein muß, entspricht der Theorie, da  $\lambda$  in linearem Verhältnis mit  $\omega$  wächst.

#### E. Die Fortpflanzungsgeschwindigkeit der Welle.

Oben sind die Zeiten angegeben worden, welche die Welle braucht, um das System vom Anfang bis zum Ende zu durchlaufen. Eine nach *Weglängen* zu bemessende Fortpflanzungsgeschwindigkeit läßt sich natürlich hieraus nicht ableiten, da wir keinen homogenen Leiter vor uns haben; wohl aber läßt



sich die für jedes der 15 Glieder des Systems verbrauchte Fortpflanzungszeit angeben und mit dem Ergebnis der Theorie vergleichen, indem wir in der letzteren die Größen  $c$  und  $p$  nicht für die Längeneinheit, sondern für je ein Glied in Rechnung stellen. Da die Fortpflanzungsgeschwindigkeit  $v = 1/\sqrt{cp}$  ist, so ist die für die Längeneinheit verbrauchte Zeit gleich  $\sqrt{cp}$ , wenn  $c$  und  $p$  für die Längeneinheit angegeben ist, sie ist also ebenfalls für jedes Glied gleich  $\sqrt{cp}$ , wenn  $c$  die Kapazität und  $p$  den Induktionskoeffizienten je eines Gliedes bedeutet.  $p$  ist in diesem Sinne bereits oben (p. 939) für jede Spule mit Kern zu ungefähr  $2 \cdot 10^9$  cm, ohne Kern zu  $2 \cdot 10^8$  cm angegeben. Es bleibt also nur noch die Kapazität der Kapillarelektrometer zu bestimmen.

Diese Aufgabe läßt sich aber leider bei Kapillarelektrometern von so großer Meniskusfläche wie die verwendeten, nur sehr unvollkommen erfüllen. Denn die erste Voraussetzung ist, daß das Elektrometer sich genau wie ein Kondensator verhält, d. h. den durchgeleiteten Strom vollständig kompensiert, wie es in der Tat so feine Kapillarelektrometer wie die als Elektrographen verwendeten tun. An einem der letzteren mit sehr feiner Kapillare betrug z. B. die Kapazität 0,025 Mikrof.; an einem anderen mit erheblich weiterer Kapillare fast genau 0,1 Mikrof. Die Bestimmung geschah so, daß das Elektrometer mit einer gegebenen Potentialdifferenz geladen wurde; nach vollständiger Rückkehr des im Kreise befindlichen ballistischen Galvanometers auf seinen Nullpunkt wurde der bei Öffnung jenseits der Nebenschließung entstehende Ausschlag beobachtet, und mit dem in einem ähnlichen Versuch, in welchem ein Kondensator die Stelle des Elektrometers einnahm, entstehenden Ausschlage verglichen. Die gefundenen Kapazitäten der beiden angeführten Elektrometer (mit welchen die meisten der oben beschriebenen graphischen Versuche angestellt sind) stimmten gut zu dem Umstande, daß das erste eine etwa zweimal so hohe Quecksilbersäule trug als das zweite, also annähernd den halben Durchmesser oder  $1/4$  der Meniskusfläche des zweiten hatte; in erster Annäherung müssen aber die Kapazitäten den polarisierbaren Quecksilberflächen proportional sein.

Die kleinen Elektrometer kompensieren dagegen die zugeleiteten Ströme erstens nicht ganz vollständig, zweitens

waren die in der angeführten Weise gemessenen Kapazitäten ziemlich inkonstant; vor allem waren sie bei beiden Stromrichtungen verschieden, nämlich bei den Meniskus zurücktreibenden Strömen kleiner als bei vortreibenden; ferner waren sie bei höheren Spannungen kleiner als bei niedrigeren.<sup>1)</sup> Die Beobachtungen (nur an einzelnen Exemplaren durchgeführt) führten zu Werten zwischen 9 und 13 Mikrof. Eine ungefähre Bestimmung aus der Höhe der getragenen Quecksilbersäule (32—38 mm) führt, da das oben erwähnte Elektrometer von 0,1 Mikrof. eine Säule von 298 mm trug, zu Werten von 6—9 Mikrof. Immerhin kann man die *Größenordnung* der Kapazität der kleinen Elektrometer zu etwa 10 Mikrof. annehmen.<sup>2)</sup>

Bei dieser Annahme wäre also für jedes Elektrometer  $c = 10 \cdot 10^{-15} \text{ sek}^2/\text{cm}$ , und da  $p$  (mit Kern) gleich  $2 \cdot 10^9 \text{ cm}$  ist, so ergibt sich  $c \cdot p$  zu  $2 \cdot 10^{-5} \text{ sek}^2$ , also müßte die für jedes Glied verbrauchte Zeit gleich  $\sqrt{0,00002 \text{ Sek.}} = 0,00447 \text{ Sek.}$  sein, also für alle 15 Glieder 0,066 Sek. Die wirklich für das System verbrauchte Zeit erreichte aber im Maximum nur  $\frac{1}{10}$  dieser Größe. — Ohne Kerne ist  $p$  nur  $2 \cdot 10^8 \text{ cm}$ , woraus sich die Zeit für das System zu 0,021 Sek. ergeben würde; in den Versuchen war in diesem Falle das Intervall nicht sicher zu bestimmen, jedenfalls aber weniger als  $\frac{1}{10}$  dieser Größe.

Da dieses Ergebnis wenig befriedigend ist, entschloß ich mich, die ganze Versuchsreihe mit besser übersehbaren Kapazitäten zu wiederholen, indem ich statt der Kapillarelektrometer *Kondensatoren* verwandte.<sup>3)</sup> Freilich mußte ich mich, da 15 Glimmerkondensatoren von auch nur je 1 Mikrof. ungemein kostspielig gewesen wären, mit den weit mangelhafteren *Papierkondensatoren* begnügen.

---

1) Andere bei diesen Versuchen gemachte Erfahrungen können hier übergangen werden, da sie sich zu weit von der vorliegenden Aufgabe entfernen.

2) Eine konstante Kapazität kann bei einem Kapillarelektrometer schon deswegen nicht existieren, weil bei jeder Einstellung die Meniskensfläche wegen der Konizität der Kapillare eine andere Größe hat.

3) Statt der Kapillarelektrometer könnte man auch Wollastonsche Spitzen verwenden, welche im Prinzip ähnliche Eigenschaften besitzen; sie kompensieren, wenn sie mit ausgekochter Schwefelsäure luftdicht eingeschmolzen sind, zugeführte Spannungen recht gut; ihre Kapazität ist jedoch sehr gering (z. B.  $\frac{1}{40}$  Mikrof.).

## F. Versuche mit Kondensatoren.

Die 15 verwendeten Papierkondensatoren von je 1 Mikrof. sind in einem Kasten vereinigt und zu beliebiger Schaltung eingerichtet.<sup>1)</sup> Je eine Endklemme derselben wurde mit einem der Leitung  $MN$  in Fig. 7 ff. entsprechenden Drahte verbunden, die andere zwischen je zwei Spulen geschaltet, so daß die Kondensatoren die Stellen  $K_1$  bis  $K_{15}$  des Schemas einnahmen.

Mit dieser Anordnung wurden nun alle bisher angeführten Versuchsarten ausgeführt; jedoch ist hier für die Entladungsversuche durchgängig eine Nebenschließung zum Elektrographen erforderlich, weil derselbe sich sonst in offenem Kreise befinden würde. Legt man keinen Wert auf möglichst schnellen

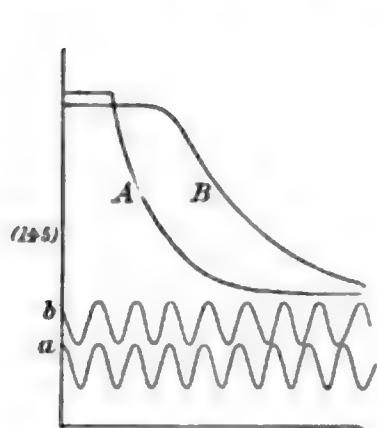


Fig. 24.

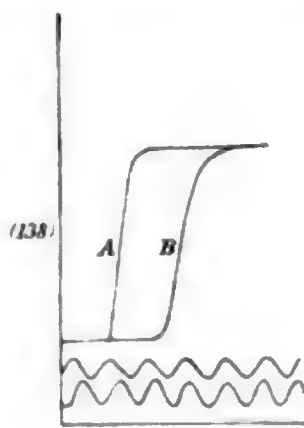


Fig. 25.

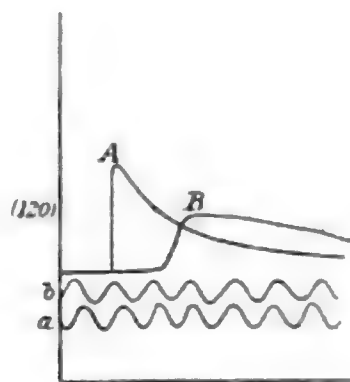


Fig. 26.

Rückgang der Ausschläge, so wird man der Nebenschließung einen möglichst großen Widerstand geben (z. B. 100 000  $\Omega$ ); mit nur 1000  $\Omega$  ist der Rückgang schnell, aber die Ausschläge merklich verkleinert.

Die Ergebnisse entsprechen nun in jeder Hinsicht genau den mit den Kapillarelektrometern erhaltenen, nur sind die Zeitintervalle zwischen dem Beginn vorn und hinten bei den jetzigen Versuchen *erheblich größer*. Es genügt, einige Beispiele vorzuführen, zunächst solche mit vollem Apparat (d. h. die Spulen sämtlich *mit* Eisenkern). Fig. 24 ist ein Öffnungsversuch (1 Volt, Nebenschließung zum Elektrographen wie in allen folgenden Beispielen 1000  $\Omega$ ), Fig. 25 ein Schließungsversuch (ebenfalls 1 Volt), Fig. 26 ein Entladungsversuch

1) Der Apparat ist von H. Boas in Berlin geliefert; wie alle Papierkondensatoren haben die Kondensatoren keinen sehr großen Isolationswiderstand; derselbe beträgt pro Mikrofarad etwa 45–50 Megohm.

( $\frac{8}{9}$  Volt, 1 Mikrof.). Das Intervall zwischen *A* und *B* ergab sich hier zu 0,011 bis 0,014 Sek., das Dekrement in den Entladungsversuchen höchstens wie 2:1.

Beispiele von Versuchen mit *Beseitigung der Eisenkerne* geben Figg. 27—29, und zwar Fig. 27 für Öffnung, Fig. 28 für Schließung (beide bei 1 Volt), Fig. 29 für Entladung ( $\frac{8}{9}$  Volt, 1 Mikrof.). Wiederum zeigt sich das Intervall zwischen *A* und *B* durch die Verminderung der Selbstinduktion erheblich verkleinert, hier aber, im Gegensatz zu den entsprechenden Versuchen mit den Elektrometern, noch gut meßbar. Es liegt zwischen 0,003 und 0,006 Sek.; die kleineren Werte wurden bei Entladungsversuchen gefunden.

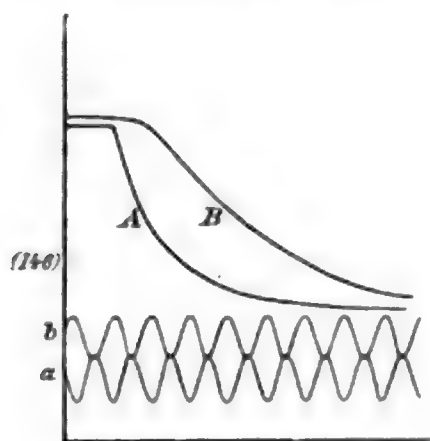


Fig. 27.

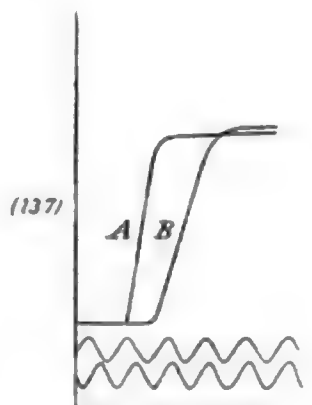


Fig. 28.

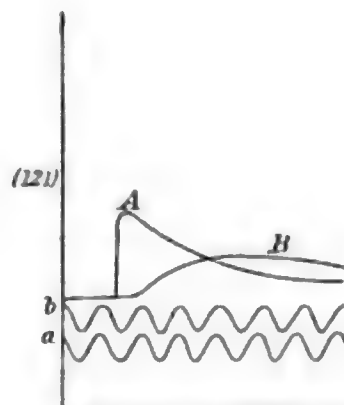


Fig. 29.

Die theoretische Berechnung ergibt hier folgendes: 1. Mit Kernen:  $c = 10^{-15}$  sek<sup>2</sup>/cm,  $p = 2 \cdot 10^9$  cm, also Zeitverbrauch pro Glied  $\sqrt{2} \cdot 10^{-6}$  Sek., für 15 Glieder 0,0212 Sek.; beobachteter Verbrauch 0,011—0,014 Sek. 2. Ohne Kerne:  $p = 2 \cdot 10^8$ , also Zeitverbrauch pro Glied  $\sqrt{2} \cdot 10^{-7}$ , für 15 Glieder 0,0067 Sek., beobachteter Verbrauch 0,003—0,006 Sek.

Wie man sieht, ist die Übereinstimmung der Ergebnisse mit der Theorie bei den Versuchen mit Kondensatoren unvergleichlich befriedigender als bei den früheren mit Kapillarelektrometern, und in den Versuchen ohne Spulenkerne sogar fast vollständig. Daß mit den Kapillarelektrometern die Übereinstimmung mangelhaft war, dürfte damit zusammenhängen, daß dieselben, wie oben erwähnt, die Eigenschaften eines Kondensators nur in unvollkommenem Grade besitzen, und die Kapazität, mit welcher sie zur Geltung kommen, nur annähernd bekannt ist. Auch bei den Kondensatoren dürfte ein



Teil der Abweichung mit dem Umstande zusammenhängen, daß ihr Isolationswiderstand nicht unendlich ist. Ferner muß für die Beurteilung der Bedeutung der Abweichungen erwogen werden, daß die verbrauchten Zeiten wegen des S-förmigen Beginnes der *B*-Kurven wenig genau gemessen werden konnten. Aber in den Versuchen mit Eisenkernen ist die Divergenz (fast 1:2) zu groß, um in diesen Umständen allein begründet sein zu können. Da aber bekanntlich der Induktionskoeffizient bei Anwesenheit eines Kernes keine konstante Größe, sondern von der Stromstärke abhängig ist, da ferner wegen der Zeit, welche die Magnetisierung braucht, möglicherweise nicht der volle Induktionskoeffizient zur Wirkung kommt<sup>1)</sup>, ist auch hier die Abweichung kein Grund, eine Nichtbestätigung der Theorie anzunehmen. Vielmehr sind nicht allein die elektrischen Wellen der in Rede stehenden Art zweifellos festgestellt, sondern auch die Größenordnung ihrer Fortpflanzungsgeschwindigkeit im wesentlichen der Theorie entsprechend.

#### G. Versuche mit sehr hohen Spannungen.

Oben p. 948 ist erwähnt, daß innerhalb der für die Kapillarelektrometer zulässigen Spannungswerte (p. 940) die Größe der Spannung keinen Einfluß auf die Fortpflanzungszeiten der Welle hat, wie es auch der Theorie entspricht. Letztere gilt aber nur für den Fall, daß das Polarisationsmaximum niemals von der einwirkenden Spannung überschritten wird, denn nur dann gilt die Grundgleichung  $c \cdot \partial q / \partial t = i$ . Es war anzunehmen, daß wesentlich höhere Spannungen als 1 Volt entweder keine Welle geben oder die Fortpflanzungszeiten sehr vermindern würden; letzteres erschien leicht möglich, weil die volle Spannung in der Regel nur auf die ersten Elektrometer wirken, von einer gewissen Stelle ab also möglicherweise das normale Verhalten Platz greifen wird. Eine experimentelle Prüfung erschien namentlich in Hinsicht auf gewisse den Nerven betreffende Fragen von Interesse.

---

1) Diese letztere Frage wird sich entscheiden lassen, wenn ein Physiker die Mittel hat, ähnliche Versuche mit einer genügenden Anzahl von *Glimmerkondensatoren* hoher Kapazität auszuführen.

Versuche dieser Art konnten nur mit Schließungen oder Entladungen angestellt werden, weil die Gasentwicklung den Strom unterbricht, also ein brauchbarer Dauerzustand, dessen Öffnung zum Versuche dienen konnte, nicht herstellbar ist. Nach jedem Einzelversuch müssen selbstverständlich die Menisken sämtlicher Kapillarelektrometer und des Elektrographen erneuert werden, was diese Versuche etwas mühsam und zeitraubend macht. Bei weitem die meisten habe ich mit Schließungen (Wheatstone-Anordnung) ausgeführt; die verwendeten Spannungen gingen von 1 bis 45 Volt, in den Entladungsversuchen bis 94 Volt.

Die Vermutung, daß die Gasentwicklung nur bis zu einer gewissen Stelle des Systems reichen würde, wenn die Spannung nicht gar zu groß ist, bestätigte sich sofort. Schon an den kleinen Elektrometern selbst beobachtet man, daß die letzten der Reihe oft keine Spur eines Gasbläschens zeigen. Vor allem aber zeigt der Elektrograph selbst bei den höchsten verwendeten Spannungen im Falle B, d. h. wenn er letztes Elektrometer ist, niemals Gasentwicklung. Im Falle A beginnt dagegen die Gasentwicklung momentan und gibt zu einer eigentümlichen Erscheinung auf den Photogrammen Anlaß, welche in Fig. 30 schematisch dargestellt ist. Das Gas ist nämlich in der Kapillare weniger lichtdurchlässig als die Säure; das Gas treibt jedesmal das Quecksilber sofort zurück (Anstieg  $ab$ ), gleichzeitig aber für einen ganz kurzen Moment ( $\frac{1}{1000}$ — $\frac{1}{200}$  Sek.) die Säure etwas vor (Einschnitt  $acd$ ), welche dann ebenfalls zurückgeht, indem sie dem Quecksilber in einem durch weitere Gasentwicklung<sup>1)</sup> zunehmenden Abstand nachfolgt; schließlich erfolgt ein ganz unregelmäßiges Hin- und Herwogen. Fig. 31 ist die Wiedergabe eines wirklichen Versuches (Schließung bei 18 Volt Spannung); die Buchstaben  $abce$ ,

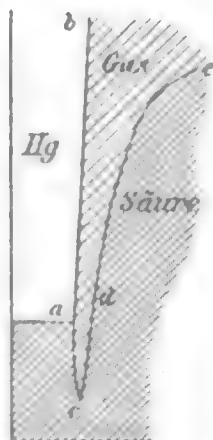


Fig. 30.

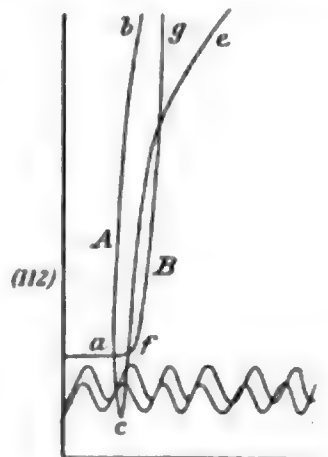


Fig. 31.

1) Die Gasentwicklung unterbricht also die Leitung nicht vollständig.





graphen wirkende Potentialdifferenz wird also ihr Vorzeichen wechseln, d. h. aus zwei teilweise superponierten entgegengesetzten Phasen von ungleicher Größe bestehen. Dies bestätigt sich nun vollkommen. Es ist bekannt und schon oben p. 948 erwähnt, daß doppelsinnige Potentialschwankungen sich am Kapillarelektrometer sehr gewöhnlich nur durch einen einsinnigen Ausschlag zu erkennen geben, der erst durch analytische Reduktion die Doppelsinnigkeit der Schwankung ergibt; noch einfacher zeigt sich aber die Superposition zweier entgegengesetzter Phasen, wenn man die zweite zum Wegfall bringt, was leicht geschehen kann, indem man die Leitung irgendwo zwischen  $R$  und  $P$ , z. B. in  $S_0$ , unterbricht. Der Ausschlag hat dann etwas größere Höhe und einen viel weniger steilen Abfall. Man sieht dies in dem Versuchsbeispiel Fig. 33<sup>1)</sup>, in welchem  $C$  die zweiphasische Schwankung,  $D$  die durch die oben erwähnte Unterbrechung einsinnig gewordene Schwankung darstellt. Die Einwirkung bestand hier in einem Öffnungsinduktionsstrom, geliefert von einem gewöhnlichen Schlitteninduktorium ohne Eisenkern bei einem Rollenabstand von 100 mm und einer Nebenschließung von  $100\ \Omega$  zur sekundären Spirale (primäre Kette 2 Volt mit  $10\ \Omega$  Zusatzwiderstand).

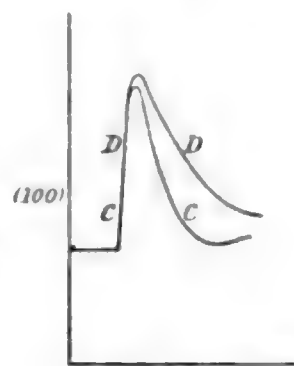


Fig. 33.

Noch vollkommener als mit dem Elektrographen würden sich übrigens die beiden Phasen in diesem Falle mit dem Galvanometer nachweisen lassen, wenn man eine stroboskopische Vorrichtung (Bernsteins Differentialrheotom, meinen Rheotachygraphen) zu Hilfe nähme.

Das Ergebnis der durch die Versuche bestätigten Theorie läßt sich dahin zusammenfassen, daß an einem System der hier

1) Die beiden Stimmgabelkurven zu  $C$  und  $D$  sind durch ein Versehen nicht mit abgepaust worden. Wie im Texte gesagt, handelt es sich hier ausnahmsweise um eine induktive Entladung, d. h. man hat sich für diesen Versuch im Schema Fig. 32 statt des Kondensators  $Q$  eine sekundäre Spirale zu denken. Der Versuch gehört zu den mit Kapillarelektrometern ( $K_1$  bis  $K_{15}$ ) angestellten.

behandelten Art jede vorübergehend oder dauernd gesetzte Potentialverteilung sich in Gestalt einer gedämpften Welle über das System fortpflanzt und daß im letzteren Falle schließlich eine stationäre Potentialverteilung entsteht. Wie schon eingangs angedeutet, kann man eine solche Vorrichtung in beschränktem Sinne als ein Modell einer Nervenfasern betrachten; sie zeigt den Elektrotonus und die wellenförmige Fortpflanzung einer lokalen elektrischen Veränderung, wie sie z. B. mit der Erregung verbunden ist, und eine Fortpflanzungsgeschwindigkeit von niederer Größenordnung. Man kann auch mit der Vorrichtung den Grundversuch nachahmen, durch welchen Helmholtz die Leitungsgeschwindigkeit des Nerven bestimmte: er reizte einen mit einem Muskel verbundenen Nerven einmal an einer dem Muskel nahen, einmal an einer entfernten Stelle, und verzeichnete beide Male die Zuckung graphisch; die Zuckung begann im letzteren Falle später als im ersteren; die Verspätung ist die Leitungszeit, welche der Differenz der zurückgelegten Nervenstrecken entspricht. Denselben Versuch habe ich mit dem künstlichen Leiter angestellt, indem ich ganz einfach an Stelle des Elektrographen in Fig. 7 das unterste Nervenende eines Froschmuskels<sup>1)</sup> brachte, welcher seine Verkürzung auf dem du Bois'schen Federmiographion<sup>2)</sup> aufzeichnete. Als elektrische Einwirkung wurde eine Kondensatorentladung (2 Volt, 1 Mikrof.) nach dem in Fig. 11 dargestellten Schema benutzt; sie mußte so stark sein, damit auch bei Wippenlage *B* trotz des Dekrementes noch maximale Zuckung stattfindet, weil sonst der Zeitabstand der beiden Zuckungskurven nicht exakt meßbar ist. Auf das schönste zeigte sich, daß bei Lage *B* die Zuckung etwa  $\frac{1}{200}$  Sek. später beginnt als bei Lage *A*, also ganz entsprechend dem Resultat p. 947.

1) Man hätte natürlich ebensogut den Muskel direkt reizen können, es wäre aber dann, einem bekannten physiologischen Satze entsprechend, ein erheblich stärkerer Reiz, d. h. höhere Spannung oder höhere Kapazität, erforderlich gewesen.

2) Es ist dies eine Schlittenvorrichtung, welche eine berußte Glasplatte mittels gespannter Feder durch eine horizontale Bahn schleudert; eine Stimmgabel verzeichnet die Zeit; an einer bestimmten Stelle der Bahn wird ein Kontakt geöffnet, der dieselbe Rolle spielt wie *C* in den Schematen Figg. 7, 9, 11. Ein am Muskel hängender Schreibhebel streift mit seiner Spitze auf der Glasplatte.

Ich muß aber, um Mißverständnisse zu verhüten, ausdrücklich hervorheben, daß unsere Vorrichtung, obwohl sie Elektrotonus und Erregungsleitung nachahmt, durchaus nicht als ein *vollkommenes* Modell der Nervenfasern gelten darf; denn es fehlt ihr die fundamentale Eigenschaft der *Erregbarkeit*. Die erregte Nervenstelle hat stets ein negatives Potential gegen den Rest der Faser; dies Potential entsteht durch mechanische, chemische, elektrische Reize. Das Modell zeigt nur, wie es — einmal entstanden — fortgeleitet wird, bietet aber kein Analogon zu seiner Entstehung, d. h. zur Erregung, nicht einmal zur elektrischen. Diese Bemerkung muß an dieser Stelle genügen.

Königsberg i. Pr., Physiol. Institut, 29. Juli 1903.

(Eingegangen 31. August 1903.)

**3. Über die elliptische Polarisation des Lichtes  
bei der Reflexion an Lösungen von Körpern mit  
Oberflächenfarben;  
von Erich Lischner.**

(Hierzu Taf. II, Flgg. 1—11.)

(Auszug aus der Greifswalder Inaugural-Dissertation.)

Die Konstanten der elliptischen Polarisation des Lichtes bei der Reflexion an Spiegeln von Körpern mit Oberflächenfarben sind bereits von einer großen Anzahl von Forschern bestimmt, dagegen sind bis jetzt für Lösungen dieser Körper quantitative Untersuchungen noch nicht angestellt worden. Die vorliegende Arbeit stellt sich die Aufgabe, die Beobachtungen auch auf Lösungen der Körper mit Oberflächenfarben auszudehnen und aus den Konstanten der elliptischen Polarisation die Brechungsexponenten und Absorptionskoeffizienten für verschiedene Fraunhofersche Linien, besonders auch im Absorptionsstreifen, in dem wegen der großen Undurchsichtigkeit dieser Medien direkte Messungen nicht möglich sind, zu berechnen.

Veranlassung dazu gab die Wahrnehmung, daß konzentrierte Lösungen der Körper mit Oberflächenfarben einen deutlichen Metallglanz haben. Daraus läßt sich schließen, daß auch sie das Licht stark elliptisch reflektieren, und es fragt sich, wie sich diese Polarisation zu der des gelösten Stoffs verhält. Es ist ja von vornherein anzunehmen, daß diese Substanzen ebenso wie ihre Dispersions- und Absorptions- so auch ihre Reflexionseigenschaften mit in die Lösung nehmen werden. Diese werden sich dann mit denen des Lösungsmittels kombinieren. Die Verhältnisse liegen bei den Lösungen indessen viel ungünstiger als bei den Spiegeln, denn hier werden die Oberflächenschichten sicher einen bedeutenderen Einfluß auf die Resultate haben. Bekanntlich ist die von Jamin<sup>1)</sup>

1) J. Jamin, Ann. de chim. et phys. (3) **29.** p. 263. 1850; **31.** p. 175. 1851.



zuerst beobachtete elliptische Polarisation bei der Reflexion an durchsichtigen Körpern nach der Ansicht von Zech<sup>1)</sup>, Lorenz<sup>2)</sup>, Lord Rayleigh<sup>3)</sup>, Voigt<sup>4)</sup> und Drude<sup>5)</sup> nur sekundärer Natur, da sie lediglich durch die Oberflächenschichten hervorgerufen würde. Andererseits glauben Schmidt<sup>6)</sup> und besonders Wernicke<sup>7)</sup> aus ihren Arbeiten schließen zu müssen, daß die elliptische Polarisation bei der Reflexion eine allgemeine Eigenschaft der Körper ist. Diese Frage ist heute wohl noch nicht definitiv entschieden, jedenfalls ist durch eine Reihe theoretischer und experimenteller Untersuchungen einwandfrei nachgewiesen, daß die Konstanten der elliptischen Polarisation durch Oberflächenschichten stark beeinflußt werden. Bei den Lösungen haben wir nun wie bei den festen Körpern eine natürliche Schicht, die durch die Oberflächenspannung bedingt ist und nicht beseitigt werden kann. Außerdem dürfte sich durch Adsorption von Luft und Wasser sehr leicht ein dünnes Häutchen, ferner durch Verdunsten des Lösungsmittels eine Schicht anderer Konzentration bilden. Endlich sind besonders bei wässerigen Lösungen infolge der großen Oberflächenspannung des Wassers die Oberflächen stets mit Schlieren bedeckt. Nach Lord Rayleigh<sup>8)</sup> haben sie eine Dicke von ca.  $10^{-6}$  mm und rühren hauptsächlich von Verunreinigungen durch fettige Substanzen her. Aus obigem geht also hervor, daß eine ganze Reihe von Oberflächenschichten zu berücksichtigen ist.

Es wurden nun meistens Lösungen in Alkohol und Chloroform von bestimmtem Prozentgehalt untersucht. Um Konzentrationsänderungen zu vermeiden, befanden sie sich in hohen Bechergläsern, die bei großem Volumen eine verhältnismäßig

1) P. Zech, Pogg. Ann. 109. p. 68. 1860.

2) L. Lorenz, Pogg. Ann. 111. p. 460. 1860; 114. p. 238. 1861.

3) Lord Rayleigh, Phil. Mag. (4) 42. p. 96. 1871; (5) 33. I. p. 1. 1892.

4) W. Voigt, Wied. Ann. 23. p. 121. 1884; 31. p. 327. 1887; 32. p. 526. 1887.

5) P. Drude, Wied. Ann. 36. p. 532, 865. 1889; 38. p. 265. 1889; 39. p. 481. 1890.

6) K. E. F. Schmidt, Wied. Ann. 37. p. 353. 1889.

7) W. Wernicke, Wied. Ann. 30. p. 452. 1887; 31. p. 1028. 1887.

8) Lord Rayleigh, Phil. Mag. 33. p. 8. 1892. I.



kleine Öffnung hatten. Das Gefäß mit Lösung wurde auf einer zur Hand stehenden Wage tariert und nach jeder Beobachtungsreihe das verdunstete Lösungsmittel zugesetzt, bis die Wage wieder einspielte. Darauf wurde die Lösung mit einem feinen Rührer umgerührt, um eine gleichmäßige Konzentration zu erhalten, und sofort mit einem stark gewölbten Uhrglase bedeckt. Die groben Einstellungen erfolgten stets durch das Uhrglas hindurch. Die Oberflächenschichten anderer Konzentration, wie sie sich durch Verdunsten des Lösungsmittels bilden konnten, suchte ich durch Umrühren der Flüssigkeit unmittelbar vor jeder Beobachtung zu beseitigen. Im übrigen zeigten die Lösungen in Alkohol und Chloroform eine absolut reine, homogene Oberfläche, da ja eine Schlierenbildung durch Fette nicht möglich ist. Die Verunreinigung der Wasseroberflächen suchte ich endlich wie Lord Rayleigh<sup>1)</sup> durch einen ausdehnbaren Ring auf ein Minimum zu reduzieren. Zum Schlusse der Beobachtungen an einer Lösung wurde zur Kontrolle die erste Beobachtungsreihe noch einmal wiederholt. Die Abweichungen lagen stets innerhalb der Fehlergrenzen, so daß sich also während der Zeit der Beobachtung die Oberfläche nicht verändert hatte.

#### Untersuchungsmethoden.

Bei allen Untersuchungen über elliptisch polarisiertes Licht kommt es immer darauf an, das relative Amplitudenverhältnis und die relative Phasendifferenz der sogenannten Hauptkomponenten, d. h. der Komponenten parallel und senkrecht zur Einfallsebene, zu bestimmen. Ist das einfallende Licht unter einem Winkel von  $45^\circ$  gegen die Einfallsebene polarisiert, so variieren die Amplitudenverhältnisse zwischen 0 und 1, die relativen Phasendifferenzen stets zwischen 0 und  $\pi$ . Wir nehmen im folgenden an, daß sie für streifende Inzidenz gleich  $\pi$ , für senkrechte gleich 0 sind, da bei senkrechtem Einfall alles um den einfallenden Strahl symmetrisch liegt.

Zur Bestimmung der beiden Konstanten dienen im wesentlichen zwei Methoden. Die erste benutzt den von Jamin als

1) Lord Rayleigh, Phil. Mag. (5) 30. p. 392. 1890. II.

Meßinstrument eingerichteten Babinetschen Kompensator in Verbindung mit einem analysierenden Prisma.

Bei der zweiten zuerst von Sénarmont angegebenen Methode wird die Phasendifferenz durch eine Glimmerplatte aufgehoben, die den beiden in ihr fortgepflanzten Wellen einen Gangunterschied  $\lambda/4$  erteilt. Bringt man nun die Hauptschwingungsrichtungen des Glimmers mit den Hauptachsen der Schwingungsellipse durch Drehen der Platte zur Koinzidenz, so werden sich die Phasendifferenzen zu 0 bez.  $\pi$  ergänzen. Man erhält also geradlinig polarisiertes Licht, das mit einem analysierenden Nicol ausgelöscht werden kann. Da infolge der Dispersion des Glimmers die Phasendifferenz nur für eine einzige Farbe gleich  $\pi/2$ , für Strahlen größerer Wellenlänge kleiner und umgekehrt für eine Farbe kleinerer Wellenlänge größer als  $\pi/2$  ist, so könnte man die Glimmerplatte nur zu Untersuchungen für jenes homogene Licht anwenden. Stokes<sup>1)</sup> hat indessen nachgewiesen, daß die Methode noch zur Bestimmung der Konstanten für die verschiedenen Fraunhofer'schen Linien dienen kann, wenn die durch die  $\lambda/4$ -Undulationsglimmerplatte hervorgerufene Phasendifferenz innerhalb gewisser Grenzen von  $\pi/2$  verschieden ist. Er gab auch zuerst die rationellsten Formeln zur Berechnung der Konstanten der elliptischen Polarisation aus den Ablesungen am Analysator- und Kompensatorteilkreis an, die später von Mascart<sup>2)</sup>, besonders von Horn<sup>3)</sup> und Müller<sup>4)</sup> ausführlich abgeleitet und diskutiert worden sind.

Von den beiden erwähnten Beobachtungsmethoden benutzte ich die von Sénarmont angegebene und zwar in der von E. Wiedemann<sup>5)</sup> modifizierten Form.

Zur Untersuchung der Lösungen wurde das Spektrometer in einem stark gebauten Gestell aus Eichenholz umgelegt und auf einer in der Wand eingemauerten Steinkonsole aufgestellt. Die Lösungen standen unabhängig vom Spektrometer direkt

1) G. Stokes, Phil. Mag. (4) 2. p. 420. 1851.

2) E. Mascart, Traité d'optique 2. p. 69. 1891.

3) G. Horn, Neues Jahrbuch für Mineralogie etc. Beilageband 12. p. 270. 1899.

4) E. Müller, l. c. Beilageband 17. p. 187. 1903.

5) E. Wiedemann, Pogg. Ann. 151. p. 6. 1874.

auf der Steinplatte. Bei der isolierten Lage des hiesigen Institutes genügte diese Vorkehrung vollkommen, um das Schwanken der Flüssigkeitsoberflächen zu verhindern.

Die Beobachtungen sind natürlich um so genauer, je intensiver das Licht ist, das die Lichtquelle ausstrahlt. Da die Anwendung von Sonnenlicht bei meinen Untersuchungen mit großen Schwierigkeiten verbunden war, so benutzte ich als Lichtquelle eine selbstregulierende Bogenlampe, deren Licht ich mit einer Linse auf den Diaphragmamittelpunkt konzentrierte.

Der Gang des Lichtstrahles im Spektrometer ist also endlich folgender. Er tritt durch das im Brennpunkt des Kollimatorobjektives befindliche Diaphragma in das Rohr ein und passiert als Parallelstrahlbündel den Polarisator, durch den es unter einem Winkel von  $45^\circ$  gegen die Einfallsebene polarisiert wird. Durch die Reflexion an der spiegelnden Fläche wird es in elliptisch polarisiertes verwandelt, d. h. die beiden Hauptkomponenten erfahren eine verschiedene Schwächung und eine gewisse Phasenverschiebung. Letztere wird durch den Kompensator wieder aufgehoben und das resultierende geradlinig schwingende Licht mit dem Analysator ausgelöscht. Um die Elemente der elliptischen Polarisation für eine bestimmte Fraunhofersche Linie zu erhalten, bringt man durch gleichzeitiges Drehen des Analysators und Kompensators den dunklen Streifen im Spektrum mit der betreffenden Linie zur Deckung. Aus den Ablesungen an beiden Teilkreisen lassen sich die Konstanten nach den Stokes-Hornschen Formeln berechnen. Die Streifen waren innerhalb des Absorptionsgebietes im allgemeinen schmal und scharf, für die schwach absorbierten Strahlen wanderte dagegen ein mehr oder weniger breiter Schatten über das Spektrum. Für die vollkommen durchsichtigen Lösungsmittel wurden bei zwei gewissen Kombinationen des Analysators und Kompensators sämtliche Farben zugleich ausgelöscht.

Es wurden so die Konstanten der elliptischen Polarisation bei der Reflexion an Lösungen einiger Körper mit Oberflächenfarben, und zum Vergleich außerdem noch einmal die Elemente bei der Reflexion an Spiegeln dieser Körper bestimmt. Hauptamplitudenverhältnisse und Haupteinfallswinkel wurden mit Hilfe der Lagrangeschen Formel interpoliert.

## Messungen.

Die Figg. 1—11 auf Taf. II geben den Verlauf der Konstanten der elliptischen Polarisation und zwar die relativen Phasendifferenzen  $\delta$  als Bruchteile einer Wellenlänge und die relativen Amplitudenverhältnisse  $\operatorname{tg} \psi$ . Zu ihrer Berechnung dienten die Mittelwerte von je vier bez. zwölf Ablesungen am Analysator- und Glimmerteilkreis, je nachdem man sich innerhalb oder außerhalb des Absorptionsgebietes befand, also ein scharfer oder verwaschener Streifen über das Spektrum wanderte. Da die Hauptachsenverhältnisse der Schwingungsellipse für die schwach absorbierten und dementsprechend schwach reflektierten Strahlen sehr klein sind, so werden die Phasendifferenzen für diese besonders in der Nähe des Haupteinfallswinkels mit größeren Fehlern behaftet sein. Die Tab. 1—14 auf p. 980 ff. enthalten die Haupteinfallswinkel  $J$  und deren Tangenten, die bei Gültigkeit des Brewsterschen Gesetzes den Brechungsexponenten geben würden. Die Hauptamplitudenverhältnisse und deren Quadrate sind nur für die Spiegel angegeben, da sie sich für schwächer absorbierte Strahlen infolge des schnellen Abfalles der Amplitudenverhältnisse in der unmittelbaren Nähe des Haupteinfallswinkels aus den Interpolationsformeln doch nicht richtig ergeben hätten.

## 1. Fuchsin.

Infolge der starken Absorption des Fuchsin, die die Strahlen von  $\lambda = 0,630 \mu$  bis  $\lambda = 0,440 \mu$  umfaßt, und deren Maximum für den festen Körper bei  $\lambda = 0,500$ , für Lösungen um  $\lambda = 0,550$  oder  $D^{1/2} E$  herum liegt, ist es am besten zur Untersuchung der Reflexion geeignet und auch zur Prüfung der Theorien mehrfach benutzt worden. Die bisherigen Beobachtungen weichen indessen ganz bedeutend voneinander ab. Vielleicht sind diese starken Differenzen auf verschiedene chemische Zusammensetzung des Fuchsin oder auf das verschiedene Alter der Spiegel zurückzuführen. Zum Vergleich seien hier noch einmal die von E. Wiedemann (W.), Glan (G.), Schenck (S.), Merkel (M.), Walter (Wa.) und mir (L.) gefundenen Werte der Haupteinfallswinkel und Hauptamplitudenverhältnisse zusammengestellt:

	$C$	$C \frac{1}{2} D$	$C$	$C \frac{1}{2} D$	$C$	$C \frac{1}{2} D$
$J_p$	$66^\circ 3'$	$71^\circ 38'$	$67^\circ 1'$	$66^\circ 50'$	—	$69^\circ 28'$
$\text{tg } \Psi$	0,084	0,199	0,073	0,092	—	0,072
	W.	G.	S.	M.	Wa.	L.

	$D$	$D$	$D$	$D$	$D$	$D$
$J_p$	$65^\circ 45'$	$68^\circ 52'$	$66^\circ 53'$	$67^\circ 15'$	$70^\circ 31'$	$70^\circ 3'$
$\text{tg } \Psi$	0,225	0,254	0,261	0,170	0,162	0,164
	W.	G.	S.	M.	Wa.	L.

	$E \frac{1}{2} b$	$E$	$E$	$E \frac{1}{2} b$	$E$	$E$
$J_p$	$59^\circ 48'$	$66^\circ 27'$	$62^\circ 45'$	$63^\circ 50'$	$68^\circ 21'$	$67^\circ 48'$
$\text{tg } \Psi$	0,340	0,365	0,394	0,396	0,373	0,403
	W.	G.	S.	M.	Wa.	L.

	$F$	$E \frac{1}{4} F$	$F$	$F$	$F$	$F$
$J_p$	$53^\circ$	$65^\circ 27'$	$56^\circ 39'$	$58^\circ 10'$	$61^\circ 47'$	$61^\circ 18'$
$\text{tg } \Psi$	0,320	0,399	0,496	0,536	0,529	0,529
	W.	G.	S.	M.	Wa.	L.

Meine Resultate stimmen also mit den Walterschen nahezu überein und liegen im allgemeinen zwischen den bisher gefundenen. Außer den Spiegeln wurden drei Fuchsinlösungen in Alkohol und zwar von den Prozentgehalten 4, 8 und 16 untersucht. Die 16 proz. Lösung erhielt man nur, indem man das Fuchsin in heißem Alkohol löste. Bei vorsichtiger Behandlung hielt sie sich in kaltem, übersättigten Zustand einige Stunden. Es mußten aber für diese Untersuchungen zwei Lösungen angewandt werden, da eine stets auskristallisierte, bevor sämtliche Beobachtungen an ihr gemacht waren. Die genaue Einstellung für die  $F$ -Linie nahm sehr viel Zeit in Anspruch, die Ablesungen für sie sind deshalb bei dieser Konzentration fortgelassen. Aus den Resultaten geht hervor, daß auch die Lösungen des Fuchsins das Licht bei der Reflexion elliptisch polarisieren, die Hauptamplitudenverhältnisse,



die als Maß für die Elliptizität angesehen werden können, wachsen für alle Strahlen besonders für die stark absorbierten mit der Konzentration der Lösung, so daß sich der Verlauf der Konstanten mit wachsendem Prozentgehalt dem Gang derselben bei der Reflexion an Spiegeln nähert.

## 2. Brillantgrün.

Brillantgrün absorbiert die Strahlen von  $\lambda = 0,690 \mu$  bis  $\lambda = 0,545 \mu$ , und zwar am stärksten diejenigen von der Wellenlänge  $0,656 \mu$ , in Lösungen die Farbe  $\lambda = 0,639 \mu$ . Besonders merkwürdig ist hier die Abnahme der Elliptizität mit dem Zusatz von Wasser zum Alkohol. Bei einer 10 proz. Lösung in  $\frac{1}{2}$  Wasser +  $\frac{1}{2}$  Alkohol ist sie annähernd halb so groß wie bei einer 10 proz. Lösung in reinem Alkohol, bei einer Lösung in reinem Wasser von gleicher Konzentration übersteigt sie kaum die des vollkommen durchsichtigen Wassers.

## 3. Fluorescein.

Der Absorptionsstreifen liegt hier zwischen den Fraunhoferschen Linien *E* und *H*, das Maximum in der Nähe der *F*-Linie. Es löst sich zu sehr hohem Prozentgehalt in konzentrierter Kalilauge. Der Gang der Phasendifferenzen und Amplitudenverhältnisse gleicht bei diesen wässerigen Lösungen für die stark absorbierten Strahlen dem bei den Metallen. Die Elliptizität wächst hier ebenso wie beim Fuchsin stark mit der Konzentration.

## 4. Cyanin.

Cyanin absorbiert die Strahlen von  $\lambda = 0,635 \mu$  bis  $\lambda = 0,535 \mu$ . Das Maximum für festes Cyanin liegt bei  $\lambda = 0,570 \mu$ , für Lösungen in Alkohol bei  $0,589 \mu$ , in Chloroform bei  $\lambda = 0,601 \mu$ .<sup>1)</sup> Die Oberflächenfarbe der Spiegel ist eine verschiedene, je nachdem man dieselben durch Verdunsten von Lösungen in Alkohol oder Chloroform herstellt. Letztere zeigen ebenso wie das frisch geschmolzene Cyanin einen bronzefarbenen Oberflächenschiller, der bei Belichtung in ein sattes

1) G. J. Katz, Inaugural-Dissertation, Erlangen 1898.



Blau und schließlich in Stahlblau übergeht. So kann man z. B. bei Belichtung mit intensivem Sonnenlicht sehr leicht Photographien scharf begrenzter Gegenstände erhalten. Projiziert man auf einen solchen Spiegel ein Spektrum, so ist der Farbenumschlag im Gelb, also für die absorbierten Strahlen bei weitem am stärksten. Nach den Beobachtungen Nuttings<sup>1)</sup> an geschmolzenem Cyanin wird durch die Belichtung das Absorptionsvermögen und damit die charakteristische anomale Dispersion fast aufgehoben. Da bei Bestrahlung mit dem intensiven Licht der Bogenlampe der Farbenumschlag momentan erfolgte, konnte ich diese interessanten Beobachtungen nicht weiter verfolgen. — Die mitgeteilten Werte beziehen sich auf einen Spiegel, den ich durch Verdunsten einer alkoholischen Lösung auf der Hypotenusenfläche eines Prismas niederschlug. Leider ist Cyanin sowohl in Alkohol als auch in Chloroform nicht zu sehr starken Konzentrationen löslich. Es sind deshalb nur zwei Lösungen — je eine in den beiden Lösungsmitteln — untersucht worden. Bei derjenigen in Chloroform sind die Elliptizitäten für  $C \frac{1}{2} D$  und  $D$  nahezu gleich. Der Absorptionsstreifen wird also gegenüber den alkoholischen hier nach wie oben nach dem Rot zu verschoben sein. Dies deutet schon darauf hin, daß der Ton der Oberflächenfarbe mehr in das Rötliche spielen wird.

#### Berechnung der $n$ und $\kappa$ .

Sind die Elemente der elliptischen Polarisation für bestimmte Einfallswinkel bekannt, so lassen sich weiter daraus die Brechungsexponenten und Absorptionskoeffizienten des reflektierenden Körpers berechnen. Die optischen Konstanten der Metalle sind so meistens aus den Elementen der elliptischen Polarisation gefunden, da wegen ihrer großen Absorption die Bestimmung nach der prismatischen Methode mit großen Schwierigkeiten verbunden ist. Ebenso ist es für die stark absorbierten Strahlen bei den Körpern mit Oberflächenfarben. Sie lassen nur in unmittelbarster Nähe der brechenden Kante des Prismas noch Licht hindurch, so daß zur Brechung

1) P. G. Nutting, *Nature* 66. p. 416. 1902; *Beibl.* 27. p. 56. 1903.

meistens noch Beugungserscheinungen hinzukommen. Soweit ich die Literatur übersehe, liegen ausgedehnte Messungen für stark konzentrierte Lösungen anomal dispergierender Medien nur von Kundt<sup>1)</sup>, Sieben<sup>2)</sup> und Ketteler<sup>3)</sup> vor. Sie beschränken sich aber auch auf Strahlen außerhalb des Absorptionsstreifens.

Die von Drude abgeleiteten „vereinfachten Formeln“ für die Metallreflexion haben für die Körper mit Oberflächenfarben keine Gültigkeit mehr, da die von ihm eingeführte Größe  $S$  (vgl. unten) nicht mehr den vorgeschriebenen Bedingungen genügt. Die höheren Potenzen von  $1/S^2$  dürfen nämlich hier nicht mehr gegen 1 vernachlässigt werden, und es ist somit nicht gestattet, die Reihenentwicklung nach dem zweiten oder dritten Gliede abzubrechen. Man muß daher ganz allgemein gültige Formeln anwenden.

Setzt man zur Vereinfachung

$$\begin{aligned} \text{oder} \quad \text{tg } Q &= \sin \delta \text{ tg } 2 \psi, & \cos P &= \cos \delta \sin 2 \psi \\ \text{endlich} \quad \text{tg } \delta &= \sin Q \text{ tg } P, & \cos 2 \psi &= \cos Q \sin P, \end{aligned}$$

$$S = \sin \varphi \text{ tg } \varphi \text{ tg } P/2,$$

so werden die Brechungsexponenten und Absorptionskoeffizienten gegeben durch die allgemein gültigen Formeln:

$$2 n^2 \kappa = S^2 \sin 2 Q,$$

$$n^2 = \frac{S^2 \cos 2 Q + \sin^2 \varphi}{1 - \kappa^2},$$

$$\kappa = \text{tg } \alpha/2,$$

wo

$$\text{tg } \alpha = \frac{S^2 \sin 2 Q}{S^2 \cos 2 Q + \sin^2 \varphi}.$$

Diese Formeln vereinfachen sich noch für den Fall der schwachen Absorption. Dann kann man nämlich  $4\kappa$  gegen 1 vernachlässigen und erhält:

1) A. Kundt, Pogg. Ann. 145. p. 67. 1872.

2) G. Sieben, Wied. Ann. 8. p. 137. 1879; 23. p. 312. 1884.

3) E. Ketteler, Wied. Ann. 12. p. 481. 1881.

$$\operatorname{tg} \delta = - \frac{x \sin 2 \varphi \operatorname{tg} \chi}{\cos (\varphi + \chi) \cos (\varphi - \chi)}, \quad \operatorname{tg} \psi = - \frac{\cos (\varphi + \chi)}{\cos (\varphi - \chi)},$$

also

$$x = - \frac{\cos (\varphi + \chi) \cos (\varphi - \chi) \operatorname{tg} \delta}{\sin 2 \varphi \operatorname{tg} \chi},$$

$$n = \frac{\sin \varphi}{\sin \chi}, \quad \text{wo} \quad \operatorname{tg} \chi = \cotg \varphi \frac{1 + \operatorname{tg} \psi}{1 - \operatorname{tg} \psi}.$$

Nach diesen Formeln sind die Brechungsexponenten und Absorptionskoeffizienten für verschiedene Fraunhofersche Linien und jeden beobachteten Einfallswinkel berechnet worden. Ihre Mittelwerte sind in den folgenden Tabellen I—IV mit denen anderer Beobachter zusammengestellt. Die Tab. III enthält außerdem für Fuchsin- und Brillantgrünlösungen die Werte der Brechungsexponenten, die mittels der Wüllner'schen Formel

$$\frac{p_1}{d_1} (n_1 - 1) + \frac{p_2}{d_2} (n_2 - 1) = \frac{P}{D} (N - 1)$$

aus denen des festen Farbstoffs und des Lösungsmittels und deren Dichten berechnet sind. Die erforderlichen Dichten der festen Farbstoffe wurden in Benzol mit dem Pyknometer, die der Lösungen mit der Mohrschen Wage bestimmt. Es ergaben sich für festes Fuchsin  $d = 1,22$ , für Brillantgrün  $d = 1,24$ , für Fuchsinlösungen  $d_{4 \text{ Proz.}} = 0,825$ ,  $d_{8 \text{ Proz.}} = 0,839$ ,  $d_{16 \text{ Proz.}} = 0,867$ , für die Brillantgrünlösungen  $d_{\text{Alk.}} = 0,843$ ,  $d_{\text{Wasser}} = 1,028$ , endlich für Wasser  $d = 0,999$  und Alkohol  $0,816$ .

#### Diskussion der Resultate.

1. Die Beträge der Brechungsexponenten und Absorptionskoeffizienten für die verschiedenen Einfallswinkel stimmen untereinander im allgemeinen sehr gut überein, nur die aus den Konstanten in der Nähe des Haupteinfallswinkels berechneten Werte zeigen wegen der ungenaueren Ablesungen in diesem Gebiet größere Abweichungen. Sie sind deshalb auch bei der Berechnung der Mittelwerte zum Teil nicht mit berücksichtigt worden. Die gute Übereinstimmung ist wesentlich durch die Anwendung der allgemein gültigen Formeln bedingt. Ich habe zuerst versucht, nach den vereinfachten Formeln Drudes zu rechnen, erhielt aber dann wegen der kleinen Werte von  $S$

für die Brechungsexponenten stets zu kleine Werte, während diejenigen für die Absorptionskoeffizienten mit wachsendem Einfallswinkel stark abnahmen. So ergaben die vereinfachten Formeln die Absorptionskoeffizienten beim Brillantgrünspiegel für die *E*-Linie und die fünf beobachteten Einfallswinkel zu 0,121, 0,084, 0,067, 0,036, 0,017, also völlig unbrauchbare Werte.

2. Ein Vergleich der von mir berechneten Werte der Brechungsexponenten mit denen anderer Beobachter läßt sich ausführlich nur für die festen Spiegel anstellen, da Lösungen für das in Betracht kommende Gebiet im allgemeinen nur in ganz geringen Konzentrationen untersucht worden sind. Auf sie werde ich später eingehen. Die Werte der Brechungsexponenten für die festen Substanzen (Tab. I) zeigen im großen und ganzen bei allen Beobachtern den gleichen Verlauf und eine ziemlich gute Übereinstimmung.

Tabelle I.

Werte der Brechungsexponenten (*n*).

	$C^{1/2}, D$	<i>D</i>	<i>E</i>	<i>F</i>
Fuchsinspiegel: Walter	$\lambda = 634:2,412$	2,684	1,913	1,074
Pflüger . . . . .	$\lambda = 610:2,34$	2,64	$\lambda = 535, 1,95$	1,05
Wernicke . . . . .	—	2,326	1,875	1,530
Wiedemann-Voigt . .	<i>C</i> : 2,216	2,00	$E^{1/2}, b$ 1,87	1,11
Merkel-Voigt . . . .	2,20	2,18	$E^{1/2}, b$ 1,55	0,94
Fuchsinspiegel (L.) . .	2,700	2,642	1,789	1,060
tg <i>J<sub>p</sub></i>	2,747	2,780	2,450	1,827
Brillantgrünsp: Walter	<i>C</i> : 2,153	1,274	1,140	1,443
Pflüger . . . . .	$\lambda = 656:201$	1,27	$\lambda = 553, 1,09$	—
Brillantgrünspiegel (L.)	1,534	1,147	1,142	1,483
tg <i>J<sub>p</sub></i>	1,954	1,625	1,126	1,472
Cyaninspiegel: Pflüger	1,94	1,71	$\lambda = 520, 1,19$	1,40
Cyaninspiegel (L.) . .	1,957	1,733	1,309	1,412
tg <i>J<sub>p</sub></i>	2,046	1,827	1,337	1,419

Beim Fuchsin ist diese besonders mit den Werten von Pflüger und Walter vorhanden. Die Werte für Cyanin und Brillantgrün liegen den Pflügerschen ebenfalls sehr nahe, bis auf diejenigen für  $C^{1/2}, D$  und *D* beim Brillantgrün, die kleiner als diese sind. Ich bemerke dazu, daß die letzten Werte nach meinen Beobachtungen unsicher sind, da die Übereinstimmung

der Brechungsexponenten untereinander für sie eine schlechtere als bei den anderen Spiegeln war.

3. Wesentlich schlechter ist die Übereinstimmung der von mir berechneten Absorptionskoeffizienten mit denen, die von Pflüger nach der direkten Methode mittels des Vierordtschen Doppelspaltes bestimmt und von Walter und Voigt aus den Konstanten der elliptischen Polarisation nach den Cauchy-schen bez. Voigtschen Formeln berechnet sind. Sie sind durchgängig kleiner als diese (Tab. II).

Tabelle II.  
Werte der Absorptionskoeffizienten  $\alpha$ .

	$C \frac{1}{2} D$	$D$	$E$	$F$
Fuchsinspiegel (L.) . .	0,120	0,302	0,802	1,143
Pflüger . . . . .	—	0,76	1,22	0,98
Walter . . . . .	—	0,792	1,419	1,168
Wiedemann-Voigt . .	0,151	0,40	0,56	0,43
Brillantgrünspiegel (L.)	0,695	0,851	0,111	0,044
Walter . . . . .	$C: 0,895$	0,903	—	—
Cyaninspiegel (L.) . .	0,276	0,339	0,159	0,027
Pflüger . . . . .	0,54	0,70	$\lambda = 0,520:0,26$	0,06

Für den Fuchsinspiegel stimmen meine Werte mit den von Voigt berechneten am besten überein, während sie von denen Walters und Pflügers ganz erheblich abweichen. Mein Wert für die  $F$ -Linie fällt überhaupt aus den ganzen Beobachtungen heraus, da er größer ist als der Absorptionskoeffizient für die  $E$ -Linie, d. h. für die Farbe, die nach allen Beobachtern das Maximum der Absorption aufweist. Bei der Übereinstimmung der Zahlen untereinander dürfte diese Abweichung indessen nicht durch Beobachtungsfehler erklärt werden können. Andererseits ist dieses Resultat mit den übrigen Beobachtungen an den Lösungen nicht vereinbar. Doch steht dieser Wert nicht vereinzelt da, da sich aus den Merckelschen Daten derselbe Gang der Absorptionskoeffizienten ergibt.

Beim Brillantgrün liegen meine Werte den Walterschen sehr nahe, bei den Cyaninspiegeln betragen sie dagegen nur ca. die Hälfte der von Pflüger nach der direkten Methode bestimmten Absorptionskoeffizienten.



4. Wir vergleichen ferner den Verlauf der Brechungsexponenten für die Lösungen mit dem für die feste Substanz (Tab. III). Beim Fuchsin findet man stets denselben Gang der Brechungsexponenten, nur für  $C^{1/2} D$  ist  $n$  bei den Lösungen kleiner als für  $D$ , während bei dem Spiegel  $n$  für  $C^{1/2} D$  etwas größer ist. Die Differenz ist indessen äußerst gering. Beim Cyanin stimmt der Verlauf in beiden Fällen überein, beim Brillantgrün liegt dagegen das Minimum der Brechungsexponenten für die feste Substanz bei  $E$ , für die Lösungen durchgängig bei  $D$ . Nun waren zwar die Einstellungen für die  $D$ - und  $E$ -Linie schwierig, da für sie ein breiter Schatten über das Spektrum wanderte. Die großen Abweichungen dürften indessen auch hier wohl kaum durch eventuelle Beobachtungsfehler erklärt werden können. Die Brechungsexponenten konzentrierter Lösungen sind direkt meistens nur für Farben außerhalb des Absorptionsgebietes bestimmt worden. Die Werte von Kundt für eine „konzentrierte Fuchsinlösung“ stimmen bis auf die  $F$ -Linie mit meinen für die 4 proz. Lösung erhaltenen, die von Kundt, Ketteler und Walter gefundenen für Cyanin- und Brillantgrünlösungen mit meinen Werten ebenfalls sehr gut überein.

5. Die Abhängigkeit der Brechungsexponenten für ein bestimmtes  $\lambda$  von der Konzentration steht im allgemeinen bei nicht absorbierenden Substanzen mit der Wüllnerschen Formel im Einklang. Ebenso ist auch für die von den Lösungen schwach absorbierten Strahlen die Übereinstimmung der nach den Wüllnerschen Formeln und der aus den Konstanten der elliptischen Polarisation berechneten Werte bei Brillantgrün, besonders aber für Fuchsin fast vollkommen. Definitive Schlüsse lassen sich natürlich aus diesen groben Bestimmungen nicht ziehen, da man zum Beweise dafür, daß die Wüllnersche Formel die Erscheinungen wirklich darstellt, die Brechungsexponenten auf fünf Dezimalen genau bestimmen müßte. Im Gebiet des Absorptionsstreifens differieren die beiden Werte dagegen mehr oder weniger stark, jedoch zeigen sie auch hier denselben charakteristischen Verlauf der Brechungsexponenten anomal dispergierender Medien.<sup>1)</sup> Einige Werte weichen in-

1) Vgl. auch K. Stoeckl, Inaugural-Dissertation, München 1900.



Tabelle III.  
Werte der Brechungsexponenten ( $n$ ).

	$C \frac{1}{2} D$	$D$	$E$	$F$
Alkohol . . . . .	1,361	1,362	1,365	1,367
Fuchsinlösung 4 % . . . . .	1,398	1,413	1,360	1,298
tg $J$	1,400	1,410	1,347	1,285
Wüllnersche Formel . . . . .	1,396	1,395	1,376	1,358
Fuchsinlösung 8 % . . . . .	1,434	1,473	1,365	1,285
tg $J_p$	1,436	1,475	1,363	1,289
Wüllnersche Formel . . . . .	1,435	1,433	1,389	1,350
Fuchsinlösung 16 % . . . . .	1,515	1,608	1,403	—
tg $J_p$	1,513	1,595	1,426	—
Wüllnersche Formel . . . . .	1,515	1,510	1,416	—
Konz. L. Kundt . . . . .	$C: 1,892$	1,398	—	1,361
Fuchsinspiegel . . . . .	2,700	2,642	1,789	1,060
Wasser . . . . .	1,333	1,334	1,336	1,338
Methylalkohol . . . . .	1,331	1,333	1,334	1,336
Brillantgrün in Wasser 10 %	1,431	1,399	—	—
tg $J_p$	1,418	1,393	—	—
Wüllnersche Formel . . . . .	1,352	1,321	—	—
Brillantgrün in $\frac{1}{2}$ W. + A. 10 %	1,353	1,334	1,363	—
tg $J_p$	1,371	1,340	1,359	—
Brillantgrün in Alkohol 10 %	1,349	1,305	1,347	1,388
tg $J_p$	1,371	1,320	1,347	1,393
Wüllnersche Formel . . . . .	1,372	1,347	1,349	1,374
Lösung in Methylalkohol 16 %	1,382	1,255	1,309	1,363
tg $J_p$	1,385	1,269	1,305	1,356
Walter, Lösung in Methyl- alkohol 16,7 % . . . . .	—	—	1,313	1,355
Brillantgrünspiegel . . . . .	1,534	1,147	1,142	1,483
Chloroform . . . . .	1,448	1,449	1,452	1,455
Alkohol-Cyaninlösung 2 % . . . . .	1,389	1,374	1,359	—
tg $J_p$	1,387	1,369	1,355	—
Chloroform-Cyaninlösung 6 %	1,547	1,436	1,434	1,469
tg $J_p$	1,570	1,433	1,434	1,474
Konz. Lösung Kundt . . . . .	$C: 1,383$	—	1,366	1,371
Konz. Lösung Ketteler . . . . .	$\lambda = 659: 1,381$	—	—	1,364
Cyaninspiegel . . . . .	1,957	1,733	1,309	1,412
Kalilauge . . . . .	—	1,403	1,406	1,408
Fluorescein 10 % . . . . .	1,479	1,479	1,595	1,410
tg $J_p$	—	1,482	1,581	1,428
Fluorescein 20 % . . . . .	—	1,544	1,720	1,414
tg $J_p$	—	1,542	1,743	1,460
Walter, Lösung 53 % . . . . .	$C: 1,5905$	1,6458	2,10	—

dessen in meinen Beobachtungen besonders auffallend von der Wüllnerschen Formel ab. So ist der Brechungsexponent der 10 proz. alkoholischen Brillantgrünlösung für  $C^{1/2} D$  und der 6 proz. Cyaninlösung für  $D$  kleiner als der des Lösungsmittels, während er nach der Wüllnerschen Formel größer sein sollte. Umgekehrt ist es bei der 10 proz. wässrigen Brillantgrünlösung für  $D$ , bei Brillantgrün in  $1/2$  W. + A. für  $E$  und bei der 6 proz. Cyaninlösung für  $F$ .

6. Die Tangenten der Haupteinfallswinkel, die bei Gültigkeit des Brewsterschen Gesetzes den Brechungsexponenten geben würden, stimmen für die schwach absorbierten Strahlen mit den aus den Konstanten der elliptischen Polarisation berechneten Brechungsexponenten sehr gut überein, für die stark absorbierten zeigen sie, wie natürlich, bedeutende Abweichungen.

7. Vergleichen wir die Absorptionskoeffizienten der festen Substanzen mit denen der Lösungen, so zeigt sich natürlich ein stetiges Anwachsen derselben mit der Konzentration, doch ist im allgemeinen eine vollkommene Proportionalität nicht vorhanden (Tab. IV).

Tabelle IV.

Werte der Absorptionskoeffizienten  $\alpha$ .

	$C^{1/2} D$	$D$	$E$	$F$
Fuchsin Spiegel . . . . .	0,120	0,302	0,802	1,143
Fuchsinlösung 16 % } in	0,010	0,045	0,170	—
Fuchsinlösung 8 % } Alkohol	0,007	0,014	0,085	0,035
Fuchsinlösung 4 % }	0,005	0,005	0,049	0,013
Brillantgrün Spiegel . . . . .	0,695	0,851	0,111	0,044
Brillantgrünlösung 16 % in				
Methylalkohol . . . . .	0,207	0,125	0,007	0,000
Brillantgrünlösung 10 % in Alk.	0,137	0,079	0,002	0,001
Brillantgrünlösung 10 % in				
$1/2$ W. + A. . . . .	0,077	0,052	0,003	—
Brillantgrünlösung 10 % in W.	0,014	0,007	—	—
Cyanin Spiegel . . . . .	0,276	0,339	0,159	0,027
Cyaninlösung 6 % in Chlorof.	0,077	0,078	0,008	0,001
Cyaninlösung 2 % in Alkohol	0,004	0,016	0,004	—
Fluoresceinlösung 10 % . .	—	0,004	0,045	0,117
Fluoresceinlösung 20 % . .	—	0,006	0,085	0,207

62\*

Nur für die *E*-Linie bei Fuchsinlösungen und für die Fluoresceinlösungen wächst die Absorption nahezu proportional der Konzentration; rechnet man aber die Werte für Fuchsin auf die feste Substanz um, so erhält man den zu großen Wert 1,06. Abgesehen von der *F*-Linie bei Fuchsin fällt die Verschiebung des Maximums der Absorption bei den Brillantgrünlösungen nach dem Rot zu auf. Das Maximum der Absorption liegt bei den Lösungen durchgängig bei  $C^{1/2}$ , *D*, bei der festen Substanz bei *D*, während sich nach den direkten Messungen von Katz der Absorptionsstreifen in den Lösungen gegenüber dem bei der festen Substanz nach dem Violett verschieben sollte. Vielleicht sind diese Abweichungen in dem verschiedenen Material begründet. Die Brillantgrünlösungen weisen noch weitere Eigentümlichkeiten auf. Analog dem Zurückgehen der Elliptizität bei Zusatz von Wasser zum Alkohol nehmen auch die Absorptionskoeffizienten, wie sie sich aus den Konstanten der elliptischen Polarisation ergeben, ganz bedeutend ab, während nach den Messungen von Katz (l. c. Tab. I) Brillantgrünlösungen in Wasser und Alkohol bei gleichem Prozentgehalt ungefähr die gleichen Absorptionskoeffizienten haben. Man hat hier durchaus den Eindruck, als ob die Oberflächenschichten von einer anderen Zusammensetzung wie das Innere der Lösungen seien. Es gelang aber nicht, durch Reinigen der Oberflächen durch Filtrierpapier und die ausdehnbaren Ringe andere Werte für die Konstanten zu erhalten.

8. Zum Schluß möchte ich noch bemerken, daß der Jaminsche Satz, der Brechungsexponent  $n = 1,4$  bilde bei Lösungen die Grenze zwischen positiver und negativer Reflexion, hier keine Gültigkeit mehr besitzt, da z. B. das Licht der *F*-Linie ( $n = 1,06$ ) von Fuchsinspiegeln durchaus positiv reflektiert wird.

Tabelle 1.  
Fuchsin Spiegel.

	$C^{1/2}$ , <i>D</i>	<i>D</i>	<i>E</i>	<i>F</i>
<i>J</i>	70°	70° 03'	67° 48'	61° 18'
tg <i>J</i>	2,747	2,780	2,450	1,827
tg $\psi$	0,072	0,164	0,403	0,529
tg <sup>2</sup> $\psi$	0,005	0,027	0,162	0,078

Tabelle 2.

Fuchsin in Alkohol, 4 Proz.

	$C \frac{1}{2}, D$	$D$	$E$	$F$	Alk.
$J$	$54^{\circ} 28'$	$54^{\circ} 39'$	$53^{\circ} 25'$	$52^{\circ} 6'$	$53^{\circ} 41'$
$\text{tg } J$	1,400	1,410	1,347	1,285	1,361

Tabelle 3.

Fuchsin in Alkohol, 8 Proz.

	$C \frac{1}{2}, D$	$D$	$E$	$F$
$J$	$55^{\circ} 9'$	$55^{\circ} 52'$	$53^{\circ} 48'$	$52^{\circ} 2'$
$\text{tg } J$	1,436	1,475	1,363	1,289

Tabelle 4.

Fuchsin in Alkohol, 16 Proz.

	$C \frac{1}{2}, D$	$D$	$E$
$J$	$56^{\circ} 32'$	$57^{\circ} 55'$	$54^{\circ} 58'$
$\text{tg } J$	1,513	1,595	1,426

Tabelle 5.

Brillantgrünspiegel.

	$C \frac{1}{2}, D$	$D$	$E$	$F$
$J$	$62^{\circ} 54'$	$58^{\circ} 24'$	$49^{\circ} 24'$	$55^{\circ} 48'$
$\text{tg } J$	1,954	1,625	1,126	1,472
$\text{tg } \psi$	0,366	0,444	0,108	0,044
$\text{tg}^2 \psi$	0,135	0,197	0,012	0,002

Tabelle 6.

Brillantgrün in Wasser, 10 Proz.

	$C \frac{1}{2}, D$	$D$	Wasser
$J$	$54^{\circ} 49'$	$54^{\circ} 19'$	$53^{\circ} 17'$
$\text{tg } J$	1,418	1,393	1,341

Tabelle 7.

Brillantgrün in  $\frac{1}{2}$  Wasser +  $\frac{1}{2}$  Alkohol, 10 Proz.

	$C \frac{1}{2} D$	$D$	$E$	Lös.-Mittel
$J$	$53^{\circ} 54'$	$53^{\circ} 16'$	$53^{\circ} 39'$	$53^{\circ} 44'$
$\text{tg } J$	1,371	1,340	1,359	1,363

Tabelle 8.

Brillantgrün in Alkohol, 10 Proz.

	$C \frac{1}{2} D$	$D$	$E$	$F$
$J$	$53^{\circ} 53'$	$52^{\circ} 51'$	$53^{\circ} 24'$	$54^{\circ} 19'$
$\text{tg } J$	1,371	1,320	1,347	1,393

Tabelle 9.

Brillantgrün in Methylalkohol 16 Proz.

	$C \frac{1}{2} D$	$D$	$E$	$F$	$\text{CH}_3\text{OH}$
$J$	$54^{\circ} 10'$	$51^{\circ} 45'$	$52^{\circ} 32'$	$53^{\circ} 36'$	$53^{\circ} 23'$
$\text{tg } J$	1,385	1,269	1,305	1,356	1,346

Tabelle 10.

Cyaninspiegel.

	$C \frac{1}{2} D$	$D$	$E$	$F$
$J$	$63^{\circ} 57'$	$61^{\circ} 18'$	$53^{\circ} 12'$	$54^{\circ} 50'$
$\text{tg } J$	2,046	1,827	1,337	1,419
$\text{tg } \psi$	0,168	0,209	0,132	0,016
$\text{tg}^2 \psi$	0,028	0,044	0,017	0,000

Tabelle 11.

Cyanin in Alkohol, 2 Proz.

	$C \frac{1}{2} D$	$D$	$E$
$J$	$54^{\circ} 12'$	$53^{\circ} 51'$	$53^{\circ} 34'$
$\text{tg } J$	1,387	1,369	1,355

Tabelle 12.

Cyanin in Chloroform, 6 Proz.

	$C^{1/2}, D$	$D$	$E$	$F$	$\text{CHCl}_3$
$J$	$57^\circ 30'$	$55^\circ 6'$	$55^\circ 7'$	$55^\circ 51'$	$55^\circ 32'$
$\text{tg } J$	1,570	1,433	1,434	1,474	1,457

Tabelle 13.

Fluorescein in KOH, 10 Proz.

	$D$	$E$	$F$	KOH
$J$	$55^\circ 49'$	$57^\circ 41'$	$55^\circ$	$54^\circ 31'$
$\text{tg } J$	1,482	1,581	1,428	1,403

Tabelle 14.

Fluorescein in KOH, 20 Proz.

	$D$	$E$	$F$
$J$	$57^\circ 2'$	$60^\circ 9'$	$55^\circ 36'$
$\text{tg } J$	1,542	1,743	1,460

Es ist mir eine angenehme Pflicht, meinem hochverehrten Lehrer, Hrn. Prof. Dr. W. König, unter dessen Leitung die vorliegenden Untersuchungen im Physikalischen Institut der Universität Greifswald ausgeführt wurden, meinen herzlichsten Dank auszusprechen.

(Eingegangen 28. August 1903.)



**4. Über eine Neukonstruktion des Königschen  
Spektralphotometers;  
von F. F. Martens und F. Grünbaum.**

**I. Einleitung.**

§ 1. *Geschichtliches.* Der leider so früh verstorbene Berliner Prof. Dr. Arthur König hat in den Jahren 1885/86 ein neues Spektralphotometer angegeben.<sup>1)</sup> Das Instrument war nach Art eines Kirchhoff-Bunsenschen Spektroskopes gebaut, die brechende Kante des Dispersionsprismas lag also vertikal. Als Vergleichsfelder dienten die beiden Hälften eines zwischen den Objektiven liegenden Zwillingsprismas. Die von den beiden Vergleichsfeldern ausgehenden Lichtbündel waren durch ein Wollastonprisma in zwei zueinander senkrechten Richtungen polarisiert und konnten durch Drehen eines Nicols meßbar geschwächt werden.

Unter Beibehaltung dieses Königschen Prinzipes hat später der eine von uns eine vollständige Neukonstruktion des Apparates vorgenommen.<sup>2)</sup> Äußerlich unterscheidet sich diese Konstruktion von der früheren besonders durch die horizontale Lage der brechenden Kante des Dispersionsprismas und durch die Beigabe einer Beleuchtungsvorrichtung für Absorptionsmessungen.

Diese Vorrichtung, sowie die Konstruktion der Absorptionsgefäße ist neuerdings verbessert worden infolge einer Experimentaluntersuchung, welche der andere von uns im hiesigen

---

1) A. König, Verhandl. d. Physik. Gesellsch. zu Berlin **4.** p. 50. 1885; **5.** p. 9. 1886. Eine ausführliche Beschreibung des Apparates hat derselbe zuerst in Wied. Ann. **53.** p. 785. 1894 veröffentlicht; vgl. auch Franz Schmidt & Haensch, Berlin S., Spektralphotometer nach König, Mai 1898. Diese Firma (jetzt Prinzessinnenstr. 16) stellt auch die Neukonstruktion, sowie alle im nachstehenden beschriebenen Nebensysteme her.

2) F. F. Martens, Verhandl. d. Deutschen Physik. Gesellsch. **1.** p. 280—284. 1899.

Physikalischen Institut auf Anregung von Hrn. Prof. Warburg mit dem Apparate ausgeführt hat<sup>1)</sup>; auch ist die Methode der Absorptionsmessung durch die Anwendung monochromatischen Lichtes in allen Teilen des sichtbaren Spektrums auf eine exaktere Grundlage gestellt worden.

In der vorliegenden Veröffentlichung geben die Verfasser eine zusammenhängende Darstellung über das neukonstruierte Photometer und seine Anwendung zu Absorptionsmessungen.

§ 2. *Definitionen.* Ist  $d$  die Dicke einer planparallelen, senkrecht durchstrahlten, absorbierenden Schicht,  $J$  die eintretende,  $J'$  die austretende Lichtintensität, dann ist die Lichtschwächung durch Absorption — von Reflexion sei hier zunächst abgesehen — durch eine einzige Konstante bestimmt. Diese Konstante ist von verschiedenen Autoren verschieden definiert worden. Man hat gesetzt:

- (1)  $J' = J \cdot e^{-\alpha d}$  ;
- (2)  $J' = J \cdot e^{-\frac{4\pi \kappa d}{\lambda}}$  ;
- (3)  $J' = J \cdot 10^{-\epsilon d}$  ;
- (4)  $J' = J \cdot 10^{-A_c \cdot c \cdot d}$  ;
- (5)  $J' = J \cdot \beta^d$  .

$\beta$ , der sogenannte Transmissionskoeffizient, wird von einigen französischen Autoren, z. B. Sabatier<sup>2)</sup>, angegeben. Man bezeichnet gewöhnlich  $\alpha$  als Absorptionskoeffizienten,  $\kappa$  als Absorptionsindex,  $\epsilon$  als Extinktionskoeffizienten,  $A_c$  als molekularen Extinktionskoeffizienten für die Konzentration  $c$ , wobei  $c$  die Konzentration der Lösung (Anzahl Grammmoleküle im Liter) bedeutet. In der elektromagnetischen Lichttheorie ist es üblich, nicht etwa nötig, mit  $\kappa$  zu rechnen. Für praktische Zwecke ist  $\epsilon$  am geeignetsten, da sich  $\epsilon$  am leichtesten aus dem gemessenen, sogenannten *Schwächungsverhältnis*  $J'/J$  der absorbierenden Schicht berechnen läßt. Im folgenden ist deshalb stets der Extinktionskoeffizient  $\epsilon$  angewandt.  $\epsilon$  bedeutet diejenige Schichtdicke, welche das hindurchgehende Licht auf den zehnten Teil schwächt.

1) F. Grünbaum, Berliner Inaugural-Dissertation 1902.

2) P. Sabatier, Compt. rend. 103. p. 49—53. 1886.

## II. Das eigentliche Photometer.

§ 3. *Optische Einrichtung des Photometers.* Die Neukonstruktion des Königschen Spektralphotometers ist im wesentlichen ein Spektroskop mit horizontaler Lage der brechenden Kante des Dispersionsprismas (vgl. den vertikalen Schnitt in Fig. 1).

Die vom Spalte  $S_1$  ausgehenden Strahlen — es werde Na-Licht vorausgesetzt — werden von der Objektivlinse  $O_1$

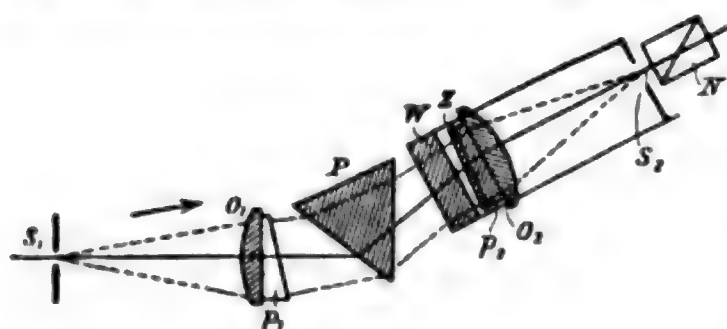


Fig. 1.

parallel gemacht, durch das Flintprisma  $P$  nach Maßgabe der Wellenlänge abgelenkt und durch die Objektivlinse  $O_2$  zu einem Spaltbilde am Orte des Okularspaltes  $S_2$  vereinigt. Der

durch  $S_2$  blickende Beobachter sieht die ganze Fläche der Objektive gleichmäßig und einfarbig beleuchtet. Die beiden Prismen  $p_1$  und  $p_2$  aus Crown Glas haben die wichtige Aufgabe, die zweimalige Reflexion von Strahlen an den optischen Flächen, die bei der alten Konstruktion sehr störend wirkte, unschädlich zu machen. Fig. 2 stellt einen horizontalen Schnitt durch

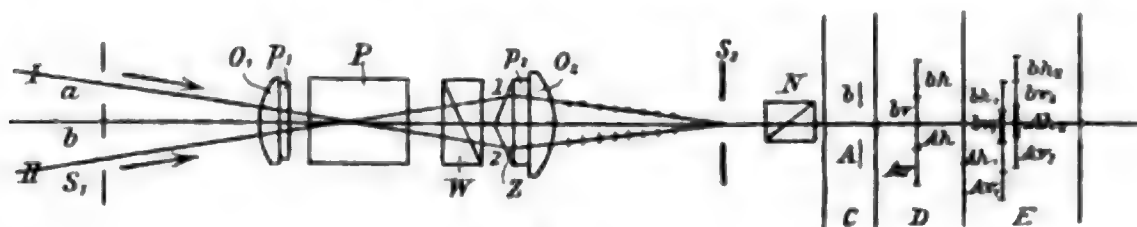


Fig. 2.

das Photometer dar; man muß sich natürlich die Ebene der Zeichnung in Wirklichkeit im Dispersionsprisma  $P$  umgebogen vorstellen.

Der Eintrittsspalt  $S_1$  ist durch Blenden in zwei Spalte  $a$  und  $b$  geteilt, in welche die miteinander zu vergleichenden Lichtbündel I und II eintreten. Nehmen wir zunächst an, das Wollastonprisma  $W$  und das Zwillingsprisma  $Z$  seien nicht vorhanden. Dann würden von den Spalten  $a$  und  $b$  zwei Bilder,  $b$  und  $A$ , entstehen, wie es im Teil  $C$  der Fig. 2 dargestellt ist. Denken wir uns nun das Wollastonprisma, welches

aus zwei verkitteten Kalkspatprismen (nicht Quarzprismen, wie bei der älteren Konstruktion) besteht, eingesetzt, dann entstehen durch Doppelbrechung zwei Bilder  $b_h$  und  $A_h$  (vgl. Fig. 2 *D*) mit horizontaler Schwingungsrichtung (der elektrischen Komponente) des Lichtes; zwei andere Bilder  $b_v$  und  $A_v$  mit vertikaler Schwingungsrichtung. Nehmen wir nun weiter an, auch das Zwillingsprisma  $Z$  werde eingeführt, dann entwirft die in Fig. 2 obere Hälfte 1<sup>1)</sup> eine nach unten abgelenkte Spaltbilderreihe  $b_{h_1}$ ,  $b_{v_1}$ ,  $A_{h_1}$ ,  $A_{v_1}$ ; die untere Hälfte 2 eine nach oben abgelenkte Spaltbilderreihe  $b_{h_2}$ ,  $b_{v_2}$ ,  $A_{h_2}$ ,  $A_{v_2}$ . Nur das Licht der zentralen Bilder  $b_{v_1}$  und  $A_{h_2}$  wird nun vom Okularspalt durchgelassen. Mithin sieht ein am Okularspalt befindliches Auge das Feld 1 mit vertikal schwingendem Lichte vom Spalte  $b$  beleuchtet; das Feld 2 mit horizontal schwingendem Lichte vom Spalte  $a$ . *Dieser Strahlengang ist in der Fig. 2 durch die ausgezogenen Strahlenbüschel I und II angedeutet.* Das Zwillingsprisma ist die eigentliche Vergleichsvorrichtung, auf die gleiche Helligkeit der beiden Hälften der photometrischen Vergleichsfelder wird bei allen Messungen eingestellt.

Da das von den Vergleichsfeldern ins Auge kommende Licht in zwei zueinander senkrechten Richtungen polarisiert ist, kann man leicht eine Vorrichtung zur meßbaren Änderung der Lichtintensitäten konstruieren; hierzu dient ein meßbar drehbares Nicol  $N$ , welches sich zwischen Okularspalt und Auge befindet.

Über das Verschwinden der Trennungslinie der Vergleichsfelder bei der Einstellung auf gleiche Helligkeit hat der eine von uns eingehende Versuche angestellt.<sup>2)</sup> Die Kante des Zwillingsprismas wirkt danach wie eine planparallele Platte; von der Kante kommt also Licht ins Auge, welches von den aneinandergrenzenden Teilen der Spaltbilder  $b_v$  und  $A_h$  (vgl. Fig. 2 *D*) herrührt. *Die gleichmäßige Helligkeit und die unmittelbare Berührung* dieser Spaltbilder ist die notwendige und hinreichende Bedingung für das Verschwinden der Trennungslinie.

Bei der früheren Konstruktion lag das Dispersionsprisma  $P$  zwischen dem Wollastonprisma und dem Okularnicol. Durch

1) Oben und unten in Fig. 2 ist beim wirklichen Photometer rechts und links.

2) F. F. Martens, Verhandl. d. Deutschen Physik. Gesellsch. 1. p. 279. 1899.

geringe Doppelbrechung von  $P$  wurde der Fehler bewirkt, daß die Schwingungsrichtungen der Vergleichsfelder nicht genau  $90^\circ$  miteinander bildeten; auf diese Tatsache hat Hr. Ehlers<sup>1)</sup> zuerst aufmerksam gemacht; die Abweichungen betragen bis zu  $2^\circ$ . Dieser Übelstand ist bei der Neukonstruktion vermieden, da sich nur geringe Dicken feingekühlten Glases zwischen Wollastonprisma und Okularnicol befinden. Sorgfältige Versuche über die Lagen des Nicols, in denen das eine oder das andere Feld ausgelöscht ist, zeigten, daß dieselben um genau  $90^\circ$  auseinander liegen.

Bringt man vor dem Spalte  $S_1$  nur eine zentrische Blende an, so sind die von den beiden Vergleichsfeldern kommenden

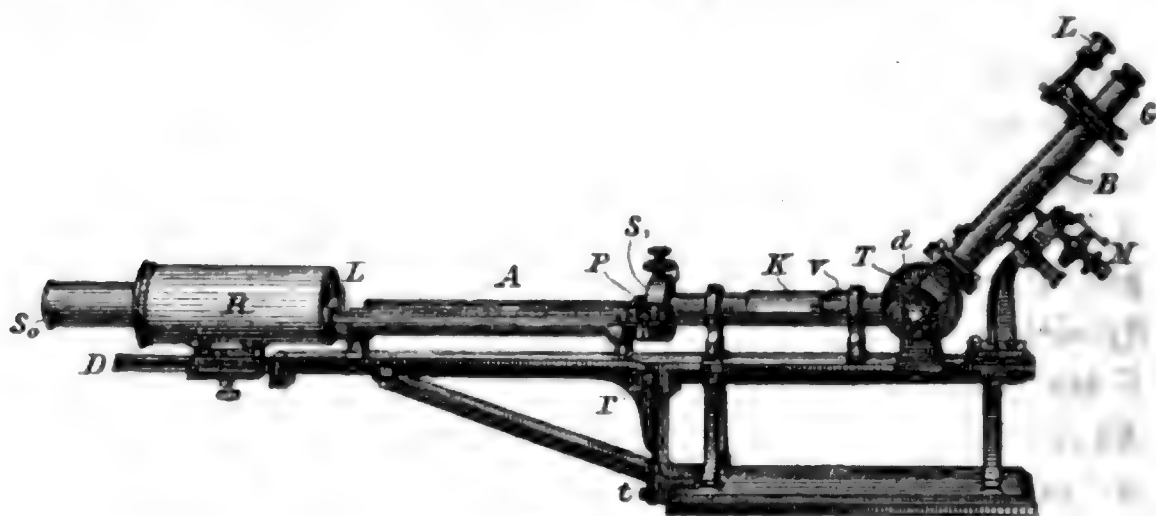


Fig. 3.

Strahlenbündel ebenfalls in zwei zueinander senkrechten Richtungen polarisiert. Wenn man dichroitische Kristalle zu untersuchen hat, dürfte es von Vorteil sein, zuerst bei einer zentrischen Öffnung des Photometers das Verhältnis der Absorptionen für die ordentlichen und außerordentlichen Strahlen, sodann bei zwei Öffnungen die absolute Größe einer Absorption zu messen.

§ 4. *Konstruktion des Photometers.* Die rechte Hälfte der Fig. 3 stellt die Konstruktion des Photometers dar.  $S_1$  ist der horizontale, in zwei Teile geteilte Eintrittsspalt, der durch die darüber sichtbare Mikrometerschraube bilateral verstellt werden kann. In der Trommel  $T$  befindet sich das Prisma, das Beobachtungsrohr  $B$  kann mittels der Mikrometerschraube  $M$  um die Achse  $d$  gedreht werden. Der Beobachter blickt schräg

1) J. Ehlers, Göttinger Inaugural-Dissertation 1897; Neues Jahrb. f. Mineral., Geol., Paläontol., Beil. 11. p. 259—317. 1897.



nach unten in das Beobachtungsrohr, stellt durch Drehen des Teilkreises  $G$  und des darin befindlichen Nicols auf gleiche Helligkeit ein und liest bei derselben Stellung des Kopfes durch die Lupe  $L$  die Stellung des Teilkreises gegen einen Index ab. Damit das Auge nicht durch das Licht der Beobachtungslampe geblendet wird, wird ein Schirm über  $L$  und das obere Ende von  $B$  gesteckt, an dessen Rückseite sich eine kleine 4-Voltlampe zur Beleuchtung des Teilkreises befindet. An dem eigentlichen Photometer ist mit Hilfe der Schrauben  $r$  und  $t$  die Beleuchtungsvorrichtung befestigt. Dem Instrument ist ein Okular beigegeben, welches nach Abnahme des Teilkreises  $G$  und des darin befindlichen Okularnicols auf das obere Ende von  $B$  gesetzt werden kann.

Um das Photometer auseinanderzunehmen, verfährt man folgendermaßen. Man dreht zunächst die beiden Schrauben, deren Spitzen die Drehungsachse  $d$  bilden, etwas heraus; dann kann man das ganze Beobachtungsrohr  $B$  in derjenigen Richtung herausziehen, in welcher sich sonst das Licht in  $B$  fortpflanzt; die optischen Teile lassen sich nun leicht aus  $B$  entfernen. Das Rohrstück, welches die Objektivlinse  $O_1$  trägt (vgl. auch Fig. 1), kann man nach Entfernen der Schraube  $v$  unter die Kappe  $K$  schieben und nach Abnahme von  $K$  herausnehmen. Die Trommel mit dem Dispensionsprisma läßt sich nach Abnahme von  $B$  durch Lösen der unter  $d$  sichtbaren Schraube abnehmen.

Die optischen Teile bringt man am leichtesten angenähert in die richtige Stellung zurück, wenn man vorher die Lage der Fassungen durch eingeritzte Striche markiert hat. Das Wollastonprisma  $W$  läßt man beim Justieren zunächst fort; man dreht das Zwillingssprisma mit Objektivlinse  $O_2$  ein wenig, bis man mit dem statt des Nicols eingesetzten Okular in der Ebene des herausgenommenen Okularspaltes eine horizontale Spaltbilderreihe liegen sieht (Beleuchtung mit Na-Licht). Dann nimmt man nochmals  $B$  heraus, setzt das Wollastonprisma ein, bringt  $B$  wieder an seinen Platz; nun dreht man das Wollastonprisma so lange, bis man in der Mitte des Gesichtsfeldes zwei sich überdeckende Na-Linien sieht. Man setzt den Okularspalt wieder ein und überzeugt sich, daß der rechte und linke Rand desselben gleiche Stücke der Na-Linie abschneidet. Ist dies nicht der Fall, so kann man es leicht



durch geringe Drehung des Prismas  $p_1$  (vgl. Fig. 1) mit Hilfe der Schraube  $v$  (vgl. Fig. 3) erreichen.

Nachdem die Beobachtungslupe durch das Okularnicol ersetzt ist, ist der Apparat für Absorptionsmessungen bereit.

### III. Beleuchtungsvorrichtungen und Absorptionsgefäße.

§ 5. *Alte Beleuchtungsvorrichtung.* Früher sind Absorptionsmessungen meistens so angestellt, daß verschiedene Teile einer ausgedehnten Lichtquelle oder gar verschiedene Lampen dazu benutzt worden sind, die beiden Vergleichsfelder zu beleuchten. Wenn sich dann während einer Messungsreihe die Helligkeit der einen leuchtenden Fläche ändert, so ändert sich die Einstellung auf gleiche Helligkeit der Vergleichsfelder, auch wenn keine absorbierenden Medien eingeschaltet sind, und man mißt die Absorption falsch. Dieser Fehler wird vermieden, wenn man denselben Teil der Lichtquelle zur Be-

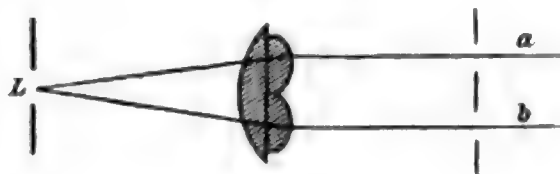


Fig. 4.

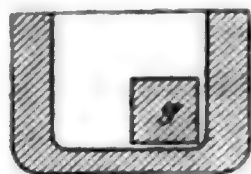


Fig. 5.

leuchtung beider Spalte verwendet. Um diese Bedingung zu erfüllen, hat der eine von uns 1899 eine Beleuchtungsvorrichtung konstruiert, die seitdem allen von der Firma Franz Schmidt & Haensch gelieferten Photometern beigegeben worden ist. Die Lichtquelle  $L$  (Fig. 4) wird in der Nähe eines Beleuchtungsspalt aufgestellt. Von dem Spalte entwirft ein System von drei Linsen zwei reelle Bilder auf den Eintrittsspalten  $a$  und  $b$  des Photometers. Der Abstand des Linsensystems vom Photometer beträgt 10 cm. Der Beleuchtungsspalt ist mit einer Mattglas- oder Milchglasplatte bedeckt.

Als Absorptionsgefäße dienen U-förmige Tröge mit angekitteten Glasplatten und eingelegtem Schulzschem Glaskörper. Der Glaskörper ( $g$  in Fig. 5) wird zunächst vor den einen, sodann vor den anderen Spalt gelegt. Die Tröge werden in zwei Dimensionen gefertigt; bei der einen Trogart beträgt die freie Öffnung 21 mm, die Dicke des Glaskörpers 20 mm, die wirksame Schichtdicke also 20 mm; bei der anderen Trogart beträgt die wirksame Schichtdicke 10 mm.

Außer stark absorbierenden Flüssigkeiten können natürlich auch Platten, z. B. aus farbigem Glase, untersucht werden.

§ 6. *Neue Beleuchtungsanordnung.* Die vorstehend beschriebene Vorrichtung hat die Mängel, daß nur kleine Schichtdicken (von einigen Zentimetern) untersucht werden können, und daß die beiden Strahlenbündel, deren eines durch Absorption geschwächt werden soll, sehr nahe nebeneinander herlaufen. Für die Untersuchung der Absorption verdünnter Lösungen erwies sich die Vorrichtung als unzureichend. Deshalb wurde eine neue Beleuchtungsanordnung konstruiert, welche Röhren bis zu 30 cm Länge zu verwenden gestattet. Von dem Beleuchtungsspalte  $S_0$  (vgl. Fig. 6) entwirft — wie bei der früheren Vorrichtung — ein System  $L$  von drei Linsen zwei reelle Bilder auf den Spalten  $a$  und  $b$ . Doch beträgt der Abstand des Linsensystems von  $S_0$  jetzt 30 cm, der Abstand von den

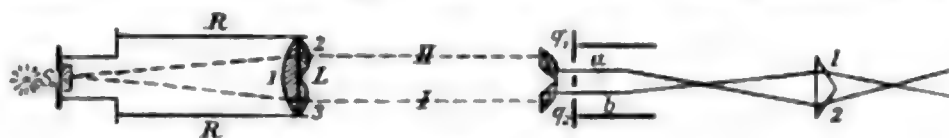


Fig. 6.

Eintrittsspalten kann bis zu 30 cm variiert werden. Die Mittelstrahlen der beiden Bündel I und II sind an allen Stellen 43 mm voneinander entfernt. Durch zwei Fresnelsche Prismen  $q_1$  und  $q_2$  werden die Bündel einander so genähert, daß sie auf die Spalte treffen. Die Prismen sind so berechnet und geschliffen, daß die Mittelstrahlen der Bündel I und II genau die Mittelpunkte der zu beleuchtenden Hälften des Zwillingsprismas treffen. Die Konstruktion der Beleuchtungsanordnung ist aus Fig. 3 ersichtlich. Bei  $P$  liegen die beiden Fresnelschen Prismen in einem kleinen Schutzgehäuse. Das Rohr  $R$  mit dem Spalte  $S_0$  und dem Linsensystem  $L$  ist auf der Schiene  $D$  verschiebbar, so daß man bei Einschaltung gleich langer Flüssigkeitsschichten in den Gang der Strahlenbündel I und II stets scharfe Abbildung des Beleuchtungsspaltes auf den beiden Eintrittsspalten bewirken kann.

Von der richtigen Justierung der Beleuchtungsanordnung überzeugt man sich am besten, indem man durch den Okularspalt das Licht einer Glühlampe einfallen läßt und im verdunkelten Zimmer die Lichtflecke beobachtet, welche die beiden nunmehr in umgekehrter Richtung verlaufenden Bündel I und II

auf Koordinatenpapier hervorrufen. Das Papier wird zunächst nahe an  $P$ , darauf nahe an  $L$  gebracht. Ferner prüft man, ob auf  $S_0$  zwei zusammenfallende Spaltbilder entstehen.

§ 7. *Neue Beobachtungsröhren.* Bei  $A$  (Fig. 3) sind zwei parallele lange Rinnen angebracht, in welche genau passende Absorptionsröhren gelegt werden. Letztere brauchen nur in die Rinnen hineingelegt zu werden, um genau die richtige Lage zum Strahlengang zu erhalten. Sie sind beiderseits mit ausgesucht guten Spiegelglasplatten verschlossen, die durch eine Verschraubung fest an das Rohr angepreßt werden. Die alten kastenförmigen Absorptionströge sind schon wegen der Unparallelität ihrer Wände für genaue Messungen unbrauchbar, auch setzen sich in ihren Kanten und Ecken stets Teilchen der Substanz fest, so daß ihre Reinigung sehr schwierig ist. Die neuen Röhren sind nach dem Abnehmen der Verschlußplatten durch einfaches Ausspülen leicht zu reinigen. Ihr Hauptvorteil besteht jedoch darin, daß man die Dicke der absorbierenden Schicht genau bestimmen kann, indem man direkt die Länge der Röhre mißt. Die Dimensionen der Beleuchtungsvorrichtung gestatten die Anwendung von Röhren bis zu 30 cm Länge; andererseits dürfen wegen des für die Schraubengewinde nötigen Platzes die Röhren nicht kürzer als 2 cm sein. In diese kürzesten Röhren können aber noch massive, genau planparallel geschliffene Glaszylinder von 1 cm Länge und mehr geschoben werden, so daß Schichtdicken von 1 cm und darunter der Untersuchung zugänglich werden.

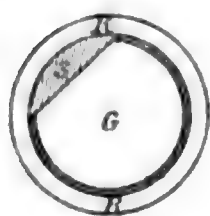


Fig. 7.

Damit die Reflexions- und Absorptionsverluste vor beiden Spalthälften gleich bleiben, müssen immer zwei gleiche Glaszylinder in beide Röhren gelegt werden. Der Mantel dieser Glaszylinder ist an einer Stelle etwas abgeschliffen, damit die Flüssigkeit im ganzen Rohre frei zirkulieren kann.

Fig. 7 stellt einen Querschnitt durch eine Röhre  $R$  mit darin liegendem Glaszylinder  $G$  dar ( $S$  ist die abgeschliffene Stelle).

Bei den ganz kleinen Röhren sind die Fassungen etwas verlängert, so daß das ganze Gefäß immer noch eine Länge von 5–6 cm erhält. Daher liegen auch diese kurzen Röhren genau passend in den Rinnen  $A$  und werden in axialer Richtung von dem Strahlenbündel durchsetzt.

## IV. Beleuchtung mit homogenem Lichte.

§ 8. *Fehler bei Anwendung weißen Lichtes.* Bei der Anwendung des in der beschriebenen Weise vervollkommeneten Photometers ergab sich, daß in allen Fällen, wo die Absorptionskurve steil ansteigt oder stark gekrümmt ist, mit weißem Lichte keine richtigen Werte des Extinktionskoeffizienten gemessen werden können.<sup>1)</sup> Aus dem im Apparate entstehenden Spektrum blendet der vor dem Nicol befindliche Okularspalt einen Spektralbezirk heraus, der stets endlich bleibt und infolge der ebenfalls endlichen Breite des Objektivspaltes immer eine Mischfarbe zeigt. Nimmt man beide Spalte so eng wie möglich, nämlich den Objektivspalt etwa 0,10 mm und den Okularspalt etwa 0,25 mm, so unterscheiden sich die an den Grenzen dieses Spektralbereiches liegenden Wellenlängen immer noch um etwa  $4\mu\mu$ . Diese Inhomogenität schadet natürlich nicht, wenn sich die Absorption mit der Wellenlänge so wenig ändert, wie z. B. bei geschwärzten Trockenplatten. In allen anderen Fällen, namentlich bei steil ansteigenden oder stark gekrümmten Absorptionskurven treten indessen sehr schwerwiegende Übelstände auf. Zunächst bemerkt man eine etwas verschiedene Färbung der beiden Vergleichsfelder, ferner erscheint häufig die eine Hälfte oben heller, unten aber dunkler als die andere und auch die Trennungslinie der beiden Hälften verschwindet bei der Einstellung auf gleiche Helligkeit nicht mehr vollkommen, wie es sonst bei Anwendung der Beleuchtungsvorrichtung der Fall ist.

Vor allem erweist sich der Wert des Extinktionskoeffizienten nicht mehr als unabhängig von der Breite der beiden Spalte; er nimmt in manchen Fällen mit wachsender Spaltbreite zu, in anderen ab. Diese Änderungen zeigen sich z. B. schon bei Lösungen von Kaliumpermanganat bei den Wellenlängen 560, 536, 515 und  $495\mu\mu$ . Stärker treten sie hervor für Lösungen von Cyanin bei den Wellenlängen  $652\mu\mu$  (Zunahme des Extinktionskoeffizienten mit wachsender Spaltbreite),

1) Die Messung mit weißem Lichte bei verschiedenen Spaltbreiten und Extrapolation auf unendlich engen Spalt (vgl. C. Runge, Über die Differentiation empirischer Funktionen. Zeitsch. f. Math. u. Phys. 42. p. 205. 1897) dürfte praktisch zu umständlich sein.



623  $\mu\mu$  (Abnahme mit wachsender Spaltbreite) und 512  $\mu\mu$  (Zunahme mit wachsender Spaltbreite). Für eine Lösung von Dinitro- $\alpha$ -Naphtolmonosulfosäure (0,8 g in 1 Liter Lösung) ergaben sich bei der Wellenlänge 515  $\mu\mu$  folgende Zahlen ( $B$  bedeutet die Breite des Eintrittsspalt  $S_1$  in Fig. 1,  $\epsilon$  den Extinktionskoeffizienten; die Breite des Okularspaltes  $S_2$  war 0,25 mm):

$B =$	0,15	0,30	0,45	0,60 mm
$\epsilon =$	0,0867	0,0859	0,0831	0,0803

Weitere Beispiele für den Einfluß der Spaltbreite bei Anwendung von weißem Lichte sind in Tab. 1 zusammengestellt.

Tabelle 1.

Substanz	Wellenlänge ( $\mu\mu$ )	Breite des Eintritts- spaltes in mm	Werte von $\epsilon$ mit Auer- brenner	Werte von $\epsilon$ mit homog. Licht
Dinitro- $\alpha$ -naphtol- monosulfosäure, wässrige Lösung	508,5	0,75	0,343	—
	508,5	0,25	0,364	—
	508,5	beliebig	—	0,378
Kaliumchromat, wässrige Lösung	508,5	0,33	0,292	—
	508,5	0,075	0,305	—
	508,5	beliebig	—	0,318
Kaliumchromat, schwächere Lösung	508,5	0,33	0,136	—
	508,5	0,075	0,139	—
	508,5	beliebig	—	0,150
Fuchsin in Alkohol	593/94	0,10	0,0589	0,0624
	589	0,10	0,0924	0,0983
	577/79	0,10	0,252	0,284
Kaliumbichromat, wässrige Lösung	546	0,10	0,106	0,116
	556/59	0,10	0,0348	0,0356

§ 9. *Homogenes Licht.* Die angeführten Störungen der photometrischen Einstellung und Änderungen des Extinktionskoeffizienten mit der Spaltbreite fallen fort, wenn man zur Beleuchtung des Photometers das homogene Licht von Spektrallinien benutzt. In der nachstehenden Tab. 2 sind die Linien zusammengestellt, welche wir für die geeignetsten halten. Die Elemente Li und Na wurden in einem Platinring durch die Flamme eines mit einem Metallzylinder versehenen Bunsenbrenners zum Leuchten gebracht. Sehr helles und ruhiges Licht lieferte die Aronssche

Quecksilberbogenlampe, wenn die unruhige Kathode abgeblendet war. Geisslerröhren mit He und H wurden durch einen kleinen Induktor mit Deprezunterbrecher erregt. Um die Linien Sr 460 und Tl 535 zu erhalten, wurden Lösungen der Chloride in einen Fulgurator gebracht, der mit einem kleinen Induktor betrieben wurde; dabei mußte die Sr-Lösung Kathode, die Tl-Lösung Anode sein; die Tl-Linie konnte auch dauernd erhalten werden, wenn ein Platinring mit TlCl in einer kleinen Alkoholflamme erhitzt wurde. Die weitaus meisten Metalle wurden im Funken (großes Induktorium, Wehneltunterbrecher, Leydener Flasche) verdampft. Dabei entstanden stets einige sehr helle Luftlinien, von denen die N-Linie 500 zu Messungen benutzt wurde.

Die Geißlerröhren wurden mit horizontaler Kapillare direkt vor den Eintrittsspalt der Beleuchtungsvorrichtung gestellt. Von den Funken wurden durch ein System von zwei Linsen reelle Bilder auf dem Eintrittsspalte  $S_0$  entworfen. Dabei erwies es sich als zweckmäßig, wenn der Funke dem System aus der Stelle scharfer Abbildung heraus etwas genähert wurde, so daß ein Zerstreuungskreis passender Größe entstand. Die Funkenstrecke lag außer bei Gebrauch des Fulgurators horizontal.

Tabelle 2.

Nr.	Elem.	$\lambda$	Beobachter	Nr.	Elem.	$\lambda$	Beobachter
1	Pb	424,542	Exner u. Haschek	17	Pb	537,29	Thalen
2	Hg	435,856	Kayser u. Runge	18	Hg	546,097	Kayser u. Runge
3	Pb	438,711	Exner u. Haschek	19	Pb	560,80	Thalen
4	He	447,18	Runge u. Paschen	20	Hg	576,945	Kayser u. Runge
5	Mg	448,13	Exner u. Haschek			579,049	
6	Sr	460,751	„	21	He	587,60	Runge u. Paschen
7	Zn	468,013	„	22	Na	589,31	Mittelwert
8	Zn	472,250	„	23	Sb	600,45	Thalen
9	Cd	480,009	Kayser u. Runge	24	Zn	610,30	„
10	H	486,149	Ames	25	Al	623,4	„
11	Zn	491,20 492,46	Thalen			624,4	
12	N	500,8	„	26	Zn	636,23	Ames
13	He	501,57	Runge u. Paschen	27	Sn	645,2	Thalen
14	Cd	508,606	Kayser u. Runge	28	H	656,304	Ames
15	Ag	520,925	„	29	He	667,81	Runge u. Paschen
16	Tl	535,065	„	30	Li	670,82	„



Von den angegebenen Linien sind folgende besonders leicht herzustellen und angenehm bei der Beobachtung: Hg 435, He 447, H 486, He 501, Tl 535, Hg 546, He 587, Na 589, H 656, He 667, Li 670 (die genauen Werte der Wellenlänge sind aus Tab. 2 zu entnehmen).

#### V. Beobachtungsmethode.

§ 10. *Messung von Extinktionskoeffizienten.* Der drehbare Teilkreis des Photometers ist so justiert, daß der Index ungefähr auf Null steht, wenn das rechts sichtbare Vergleichsfeld 1 (vgl. Fig. 6) vollkommen ausgelöscht ist. Aus dieser Nullstellung muß man das Okularnicol um den Winkel  $\alpha_0$  herausdrehen, um gleiche Helligkeit der Vergleichsfelder hervorzurufen. Sind  $J_1$  bez.  $J_2$  die Flächenhellen, in welchen die Vergleichsfelder 1 bez. 2 bei Entfernung des Okularnicols erscheinen würden, dann berechnet sich

$$(1) \quad \frac{J_2}{J_1} = \operatorname{tg}^2 \alpha_0.$$

Früher wurden Absorptionsmessungen so angestellt, daß man zuerst  $\alpha_0$  ermittelte, sodann vor eine Photometeröffnung z. B. in den Gang des Strahlenbündels I (vgl. Fig. 6) die absorbierende Schicht brachte und den Drehungswinkel  $\alpha_1$  des Okularnicols bestimmte. Durch Einschalten der absorbierenden Schicht möge die Flächenhelle  $J_1$  auf  $J_1'$  geschwächt worden sein. Dann ist nach (1)

$$\frac{J_2}{J_1'} = \operatorname{tg}^2 \alpha_1;$$

dividiert man (1) durch die letzte Gleichung, so erhält man das Schwächungsverhältnis der absorbierenden Schicht

$$(2) \quad \frac{J_1'}{J_1} = \frac{\operatorname{tg}^2 \alpha_0}{\operatorname{tg}^2 \alpha_1}.$$

Bei der Neukonstruktion des Photometers mit horizontalem Spalt liegt die Anwendung folgender Meßmethode sehr nahe. Man bringt die absorbierende Schicht zunächst in den Gang der Strahlen I und findet den Einstellungswinkel  $\alpha_1$ , sodann in den Gang der Strahlen II und findet  $\alpha_2$ . Dann ist nach Analogie von (1)

$$\frac{J_2}{J_1'} = \operatorname{tg}^2 \alpha_1, \quad \frac{J_2'}{J_1} = \operatorname{tg}^2 \alpha_2.$$

Dividiert man die zweite Gleichung durch die erste, so erhält man

$$\left(\frac{J_2'}{J_2}\right) \cdot \left(\frac{J_1'}{J_1}\right) = \frac{\operatorname{tg}^2 \alpha_2}{\operatorname{tg}^2 \alpha_1}$$

oder, da die beiden Schwächungsverhältnisse gleich sind,

$$(3) \quad \frac{J'}{J} = \frac{\operatorname{tg} \alpha_2}{\operatorname{tg} \alpha_1}.$$

Bei der Untersuchung von verdünnten Farbstofflösungen sind Schichten bis zu 25 cm Länge erforderlich, um merkliche Lichtschwächung hervorzurufen. Es erschien uns nun von vornherein möglich, daß so lange Schichten nicht nur durch Absorption, sondern auch durch die Änderung des geometrischen Strahlenverlaufes die Helligkeit des durch die Schicht hindurch beleuchteten Vergleichsfeldes beeinflussen könnten; näheres hierüber wird unten in § 11 mitgeteilt. Um den Einfluß der Lichtbrechung in der Flüssigkeitsschicht auszuschließen, empfiehlt sich das folgende von uns stets angewandte Verfahren. Man füllt von zwei gleich langen Beobachtungsröhren die eine mit der Lösung, die andere mit dem Lösungsmittel und stellt folgende Messungen an:

1. Lösung im Strahlenbündel I, Lösungsmittel in II, Einstellung  $\alpha_1$ .

2. Lösung im Strahlenbündel II, Lösungsmittel in I, Einstellung  $\alpha_2$ .

Das Lösungsmittel schwäche die hindurchgehende Lichtmenge  $J$  auf  $J''$ . Dann ist nach Gleichung (1)

bei Messung 1:  $\frac{J_2''}{J_1'} = \operatorname{tg}^2 \alpha_1$ , bei Messung 2:  $\frac{J_2'}{J_1''} = \operatorname{tg}^2 \alpha_2$ .

$$\frac{J_2'}{J_1''} \cdot \frac{J_1'}{J_2''} = \frac{\operatorname{tg}^2 \alpha_2}{\operatorname{tg}^2 \alpha_1}.$$

Hieraus folgt

$$(4) \quad \frac{\frac{J'}{J}}{\frac{J''}{J}} = \frac{\operatorname{tg} \alpha_2}{\operatorname{tg} \alpha_1}.$$

Ist  $\epsilon$  der Extinktionskoeffizient der Lösung,  $\epsilon_0$  der des Lösungsmittels, so kann man (4) [nach p. 985, Gleichung (3)] schreiben:

$$\frac{10^{-\epsilon d}}{10^{-\epsilon_0 d}} = \frac{\operatorname{tg} \alpha_2}{\operatorname{tg} \alpha_1},$$

oder

$$(5) \quad \epsilon - \epsilon_0 = \frac{\log \operatorname{tg} \alpha_1 - \log \operatorname{tg} \alpha_2}{d}.$$

Bei dieser Meßmethode fällt der Einfluß der Reflexion auf die Lichtschwächung heraus, da derselbe für die beiden Flüssigkeitsschichten merklich gleich ist.

Beispiel.

Tl-Funke ( $\lambda = 535 \mu\mu$ ) wird auf den mit Milchglas bedeckten Beleuchtungsspalt projiziert. Untersucht wurde *Kaliumbichromatlösung*,  $c = 0,01698$  g-Mol. auf 1000 ccm.

5 cm-Röhren; Lösung rechts (II in Fig. 6), Wasser links (I in Fig. 6).	18,2	163,3	197,4	343,3
	17,7	163,2	197,4	342,7
	18,1	162,9	197,4	342,4
	18,00	-163,13	197,40	-342,80
	+180	+198,00	+180	+377,40
	198,00	34,87	377,40	34,60
		34,60		
		34,74 : 2 = 17,37,		$\alpha_2 = 17^\circ 22'$
5 cm-Röhren; Lösung links (I in Fig. 6), Wasser rechts (II in Fig. 6).	62,5	119,0	242,0	297,7
	62,3	118,3	242,2	298,3
	62,4	117,9	243,0	297,3
	62,40	-118,40	242,40	-297,77
	+180	+242,40	+180	+422,40
	242,40	124,00	422,40	124,63
		124,63		
		124,32 : 2 = 62,16,		$\alpha_1 = 62^\circ 10'$
5 cm-Röhren; Lösung rechts (II in Fig. 6), Wasser links (I in Fig. 6).	17,3	164,0	197,7	342,4
	17,0	163,0	197,4	342,9
	17,0	162,7	198,1	343,6
	17,10	163,23	197,73	342,97
	180	197,10	180	377,73
	197,10	33,87	377,73	34,76
		34,76		
		34,32 : 2 = 17,16,		$\alpha_2 = 17^\circ 10'$
$\frac{\epsilon}{c} = A_{0,01698} = 9,25$	$\log \operatorname{tg} 62^\circ 10' = 0,27738$			
	$\log \operatorname{tg} 17^\circ 16' = 0,49252 - 1$			
	$\epsilon d = 0,78486; \quad \epsilon = 0,1570.$			

In der nachstehenden Tab. 3 sind noch einige Messungen an der Kaliumbichromatlösung mitgeteilt, deren Konzentration

$c = 0,01698$  war. Zur Beleuchtung diente ebenfalls Tl-Licht, durch den Funken zwischen einer Al-Spitze und Tl-Lösung im Fulgurator erzeugt, wobei nur  $\lambda = 535 \mu\mu$  emittiert wurde. Der Okularspalt war bei allen Versuchen 0,95 mm breit; der Eintrittsspalt war 0,60 mm, bei den mit Stern versehenen Werten jedoch 1,70 mm breit.

Tabelle 3.

 $\lambda = 535$ . Kaliumbichromatlösung.

Schichtdicke:	5,00 cm	0,998 cm	Mittel
Lösung	$\varepsilon = 0,1570$	0,1567	$\varepsilon = 0,1553$
$c = 0,01698$	0,1534*	0,1539*	$\frac{\varepsilon}{c} = A_{0,01698} = 9,14$

§ 11. Fehlerquellen. Um den Einfluß der Einstellungsfehler auf den Wert des Extinktionskoeffizienten zu berechnen, differenzieren wir die Formel (5) p. 997, wobei  $\varepsilon_0$  als klein gegen  $\varepsilon$  vernachlässigt werden kann:

$$(6) \quad d\varepsilon = \frac{2}{d} \log e \left( \frac{d\alpha_1}{\sin 2\alpha_1} - \frac{d\alpha_2}{\sin 2\alpha_2} \right).$$

Differenziert man ferner die Gleichung (1) p. 996, so erhält man:

$$d\left(\frac{J_2}{J_1}\right) = \frac{2 \sin \alpha_0 d\alpha_0}{\cos^3 \alpha_0};$$

oder es ist der prozentische Fehler

$$(7) \quad \frac{100 d\left(\frac{J_2}{J_1}\right)}{\left(\frac{J_2}{J_1}\right)} = p = \frac{400 d\alpha_0}{\sin 2\alpha_0}.$$

Solange  $\alpha_0$  nicht nahe an Null oder  $90^\circ$  liegt, solange das Gesichtsfeld also nicht sehr dunkel ist, kann man  $p$ , die noch wahrnehmbare prozentische Helligkeitsänderung der Vergleichsfelder, als konstant annehmen — eine Annahme, die bei allen photometrischen (insbesondere auch polarimetrischen) Fehlerrechnungen gemacht wird. Setzen wir aus (7)

$$\frac{d\alpha}{\sin 2\alpha} = \frac{p}{400}$$

n (6) ein und machen die ungünstigste Annahme, daß die Fehler der beiden Einstellungen den Wert von  $\varepsilon$  in demselben Sinne beeinflussen, so erhalten wir

$$d\varepsilon = \frac{1}{d} \log e \cdot \frac{p}{100}.$$

Der prozentische Fehler von  $\varepsilon$  ist demnach

$$\frac{100}{\varepsilon} d\varepsilon = \Delta\varepsilon = p \cdot \frac{\log e}{\varepsilon d};$$

oder

$$(8) \quad \Delta\varepsilon = p \cdot \frac{0,43}{\varepsilon d} = p \cdot \log \operatorname{tg} \alpha_1 - \log \operatorname{tg} \alpha_2.$$

In dem auf p. 998 mitgeteilten Beispiel ist der mittlere Fehler einer Einstellung  $d\alpha = \pm 0,27^\circ$ , demnach der prozentische Fehler einer Einstellung nach (7) 3,2 Proc.; der mittlere prozentische Fehler des Resultates bei 12 Einstellungen etwa  $p = 1,0$  Proc. Bei den in Tab. 3 zusammengestellten Messungen hatte  $\varepsilon d = \log \operatorname{tg} \alpha_1 - \log \operatorname{tg} \alpha_2$  und demnach  $\Delta\varepsilon$  folgende Werte:

Schichtdicke	5 cm	1 cm
$\varepsilon d =$	0,78	0,153
$p = 1; \Delta\varepsilon =$	$\pm 0,56 \%$	$\pm 2,9 \%$

Der große Wert  $p = 1$  Proz. dürfte durch die wenn auch geringe, so doch merkliche Unruhe des Gesichtsfeldes verursacht sein. Früher fand der eine von uns den viel kleineren Wert  $p = 0,30$  Proc.

Es wurden auch Versuche darüber angestellt, ob der Extinktionskoeffizient sich etwa mit der Mittelstellung des Nicols ändert. Als Mittelstellung bezeichnen wir diejenige Stellung des Analysatornicols, welche gleiche Helligkeit der Vergleichsfelder bewirkt, wenn die zu untersuchende absorbierende Substanz nicht eingeschaltet ist. Diese Mittelstellung liegt gewöhnlich  $38^\circ$ . Daß sie nicht bei  $45^\circ$  liegt, rührt daher, daß durch die Reflexion an den beiden Flächen des Flintprismas ( $P$  in Fig. 1) nur das eine Vergleichsfeld geschwächt wird; die Strahlen

fallen nämlich nahezu unter dem Polarisationswinkel auf die Flächen ein, so daß das reflektierte Licht fast vollständig linear polarisiert ist. Durch Vorschalten einer stärker oder schwächer geschwärzten photographischen Platte vor den einen Spalt kann man der Mittelstellung einen beliebigen Wert erteilen. Tab. 4 gibt die für zwei Lösungen von Dinitro- $\alpha$ -naphtolmonosulfosäure erhaltenen Resultate für die Wellenlänge  $508,5 \mu\mu$ . Man bemerkt trotz der bis  $83^\circ$  verlegten Mittelstellung eine vorzügliche Übereinstimmung der einzelnen Werte von  $\epsilon$ .

Tabelle 4.

Dinitro- $\alpha$ -naphtolmonosulfosäure. Wellenlänge  $508,5 \mu\mu$ .

	Art des Versuches	Mittelstellung des Nicols	Wert von $\epsilon$
Schwache Lösung	ohne Platte	$38,25^\circ$	0,327
" "	schwach	} belichtete Platte	}
" "	stärker		
" "	sehr stark		
		$59,50^\circ$	0,331
		$71,43^\circ$	0,329
		$77,84^\circ$	0,331
Stärkere Lösung	ohne Platte	$38,27^\circ$	0,378
" "	schwach	} belichtete Platte	}
" "	stärker		
" "	sehr stark		
		$60,52^\circ$	0,379
		$71,87^\circ$	0,376
		$83,47^\circ$	0,377

Schon p. 997 berührten wir die Frage, ob das von dem einen von uns aufgestellte Prinzip der Beleuchtungsvorrichtung richtig ist oder zu Fehlern Veranlassung geben kann. Untersucht man sehr verdünnte Lösungen in der beschriebenen Weise, dann erscheint die Vorrichtung von vornherein einwandfrei. Denn in diesem Falle ist der geometrische Verlauf der Lichtstrahlen auf einer Seite in der Röhre mit Wasser derselbe wie nach der Vertauschung in der Röhre mit Lösung; der Unterschied der gemessenen Lichtschwächung kann also allein durch Absorption bewirkt sein. Anders liegen die Verhältnisse, wenn der Brechungsexponent der Lösung erheblich von dem Brechungsexponenten des Lösungsmittels abweicht; dann ist der geometrische Verlauf der Strahlen in beiden Röhren verschieden. Es läßt sich indes leicht zeigen, daß selbst, wenn in der einen Röhre Wasser, in der anderen Luft ist, der veränderte



Strahlengang auf die photometrische Messung ohne Einfluß ist, daß nur die Lichtschwächung durch Absorption und Reflexion gemessen wird. Bezeichnet man mit  $e$  die Flächenhelle des am Beleuchtungsspalt  $S_0$  befindlichen Milchglases, mit  $b$  und  $h$  Breite und Länge des Eintrittsspalt  $S_1$ , mit  $r$  die Entfernung des Eintrittsspalt vom Zwillingsprisma, so ist die auf ein Flächenelement  $df$  des letzteren fallende Lichtmenge

$$dL = \frac{e \cdot b \cdot h \cdot df}{r^2}.$$

Diese Lichtmenge ist dieselbe, als wenn das Milchglas gleich stark beleuchtet unmittelbar vor dem Eintrittsspalt angebracht wäre und ganz unabhängig davon, ob zwischen Beleuchtungssystem und Eintrittsspalt eine planparallele Schicht mit einem von eins verschiedenen Brechungsexponenten eingeschaltet ist.

Demnach kann man die Absorption einer Flüssigkeit absolut, nicht nur die Differenz  $\epsilon - \epsilon_0$  der Extinktionskoeffizienten von Lösung und Lösungsmittel, mit der Beleuchtungsvorrichtung messen. Um diese Möglichkeit näher zu prüfen, wurden folgende Versuche angestellt. Das 25 cm-Rohr wurde mit destilliertem Wasser gefüllt; die Reflexion wurde durch ein 2 cm-Rohr mit Wasser kompensiert oder durch Rechnung eliminiert (die hindurchgehende Lichtmenge wird durch Reflexion auf 0,909 der einfallenden geschwächt). Nun wurden drei Arten von Versuchen angestellt. Bei den Versuchen I war das Rohr mit Beleuchtungsspalt und Linsensystem ganz entfernt, das System durch eine Milchglasscheibe ersetzt. Bei den Versuchen II war das Milchglas im Beleuchtungsspalt beleuchtet, das Beleuchtungssystem stand so, daß der Beleuchtungsspalt ohne Rohr auf dem Eintrittsspalt scharf abgebildet wurde. Die Versuche III wurden mit einem Straßenphotometer<sup>1)</sup> angestellt, dabei fiel das Licht einer kleinen Glühlampe einmal durch das Wasserrohr, dann ohne das Wasserrohr auf eine Gipsfläche; Lichtschwächung durch Reflexion, Lichtverstärkung durch Näherung der Lichtquelle sind durch Rechnung eliminiert.

1) F. F. Martens, Verhandl. d. Deutschen Physik. Gesellsch. 5. p. 149—156. 1903.

Tabelle 5.

I	II	III
$J'/J = 0,984$	0,902	0,945
0,996	0,921	0,921
0,993	0,925	
0,967	0,915	
	0,900	
Mittel: 0,985	0,913	0,933

Das Spektralphotometer (Versuche I und II) schnitt von dem zur Beleuchtung dienenden weißen Lichte ein Intervall von der mittleren Wellenlänge  $538 \mu\mu$  heraus. Die Absorption von Wasser nach den Messungen von Aschkinass, sowie Hüfner und Albrecht vermag nur die Werte I zu erklären. Bei den Versuchen I tritt ein breites Lichtbündel, bei II und III ein engbegrenztes Lichtbündel in die Wasserschicht ein. Daß durch die diffuse Zerstreuung im Wasser — der Tyndallsche Lichtkegel war deutlich sichtbar — die starke Schwächung der engbegrenzten Lichtbündel bewirkt wird, ist eine Vermutung, die viel Wahrscheinlichkeit für sich hat, indessen noch näherer Bestätigung bedarf.

Berlin, Physik. Inst. d. Univ., September 1903.

(Eingegangen 29. August 1903.)

### 5. *Absorptionsmessungen an wässrigen Farbstofflösungen; von F. Grünbaum.*<sup>1)</sup>

Mit den in vorstehender Abhandlung beschriebenen, vervollkommenen Apparaten und Methoden hat der Verfasser einige Messungen angestellt.

Untersucht wurden *Kupfersulfat*, *Kaliumchromat*, *Kaliumbichromat* und *Dinitro- $\alpha$ -Naphtolmonosulfosäure*, sämtlich in wässriger Lösung. Die Lösungen wurden hergestellt, indem eine abgewogene Menge des Farbstoffs mit destilliertem Wasser zu 1000 ccm Lösung vereinigt wurde; bei den drei erstgenannten Salzen ist zur Kontrolle noch das spezifische Gewicht pyknometrisch bestimmt und daraus ihr Gehalt nach den Tabellen von Landolt und Börnstein berechnet worden.

Die fertige Lösung wurde mehrmals filtriert, und sobald sie völlig klar erschien, wurden sämtliche nachher zur Verwendung gelangende Absorptionsröhren unmittelbar nach einander damit gefüllt.

Die Röhren bleiben nach der Füllung zweckmäßig einige Stunden liegen, damit etwa noch vorhandene Reste von Staub sich zu Boden senken. Nach sorgfältigem Filtrieren findet man indessen stets, daß selbst mehrmaliges lebhaftes Umschütteln der Röhren keine Veränderung in der photometrischen Einstellung nach sich zieht, so daß ein Einfluß von Staubteilchen ausgeschlossen erscheint. Zu demselben Resultat ist auch Ewan<sup>2)</sup> gelangt. Ehe man dann die Röhren in die Rinnen der Beleuchtungsvorrichtung legt, muß man sich überzeugen, daß sich an den Verschlußplatten keine Luftbläschen angesetzt haben. — Wenn die Röhren und die Verschlußplatten gut geschliffen sind, halten sie ohne jedes Dichtungsmittel dicht.

Wenn man Röhren mit eingelegtem Glaskörper benutzt, muß man darauf achten, daß sich auf beiden Seiten des Glaskörpers Flüssigkeit befindet; man erreicht das leicht, wenn man die Röhre mit ihrer Achse vertikal stellt, zuerst etwas Lösung hineingießt, dann den Glaskörper darauf bringt, ihn langsam untersinken läßt und endlich das Rohr ganz füllt.

1) Vgl. auch F. Grünbaum, Inaug.-Diss. Berlin 1902.

2) Th. Ewan, Phil. Mag. (5) 33. p. 317—342. 1892.

Zu den im folgenden mitgeteilten Versuchen wurden Röhren von 25 cm, 12 cm, 5 cm und 2 cm benutzt, außerdem wurden mit Hilfe von Glaskörpern Schichtdicken von nahezu 1 cm (0,9980 cm) in den 2 cm-Röhren hergestellt.

Bei sämtlichen Messungen lag in der einen Rinne der Beleuchtungsvorrichtung das Rohr mit der absorbierenden Lösung, in der anderen ein gleich langes Rohr mit Wasser. Das Rohr der Beleuchtungsvorrichtung wurde stets so eingestellt, daß der Beleuchtungsspalt auf den Eintrittsspalten des Photometers sich scharf abbildete.

In jedem Quadranten erfolgten drei Einstellungen des Nicols.<sup>1)</sup> So erhielt man den Winkel  $\alpha_1$ . Der Winkel  $\alpha_2$  ergab sich ebenso nach Vertauschung der Röhren. Zur Kontrolle wurden dann die Röhren nochmals umgetauscht und  $\alpha_1$  nachgeprüft.

Die Temperatur war stets 20°. Ihre Schwankungen hielten sich innerhalb eines Grades; eine besondere Untersuchung ergab, daß erst Temperaturänderungen von mehreren Graden auf den Wert der gemessenen Extinktionskoeffizienten einen merkbaren Einfluß hatten.

Das Kupfersulfat wurde frisch von Kahlbaum bezogen und eine Lösung davon hergestellt, die in 1000 ccm Lösung 98,34 g wasserfreies  $\text{CuSO}_4$  enthielt. Die Konzentration war also  $c = 0,6159$  g-Mol. in 1000 ccm Lösung. (Zur Herstellung wurde frisch kristallisiertes  $\text{CuSO}_4 + 5\text{H}_2\text{O}$  benutzt und der Gehalt an wasserfreiem  $\text{CuSO}_4$  berechnet.)

Zur Prüfung der Sicherheit der Methode wurde stets ein und derselbe Extinktionsindex aus zwei, gelegentlich auch aus mehr Schichtdicken bestimmt.

Dabei konnten dann nicht immer die günstigsten Meßbereiche<sup>2)</sup> innegehalten werden; bei sehr kurzen Röhren rückten bisweilen  $\alpha_2$  und  $\alpha_1$  sehr nahe zusammen. Zur Beurteilung der Genauigkeit nach der Formel

$$\Delta\epsilon = p \cdot \frac{\log e}{\log \text{tg } \alpha_2 - \log \text{tg } \alpha_1} \quad (\text{vgl. die vorhergehende Arbeit})$$

sind daher die Einstellungen des Nicols,  $\alpha_1$  und  $\alpha_2$ , auf  $\frac{1}{10}$  Grad abgerundet, in Tab. 1 mit angegeben, und zwar

1) Vgl. das Beispiel in der vorhergehenden Arbeit.

2) Vgl. hierüber auch F. Grünbaum, l. c.

jedesmal für die kürzere Röhre, für die die Genauigkeit im allgemeinen die geringere war;  $p$  ist rund gleich 1 Proz. anzunehmen. Bei sehr großen oder sehr kleinen  $\alpha$  (über  $85^\circ$  oder unter  $5^\circ$ ) ist wegen der Dunkelheit des ganzen Gesichtsfeldes  $p$ , also auch  $\Delta s$  größer. Tab. 1 enthält in der ersten Kolumne die Wellenlängen, abgerundet auf  $1 \mu\mu^1$ ) (bei Doppel-

Tabelle 1.

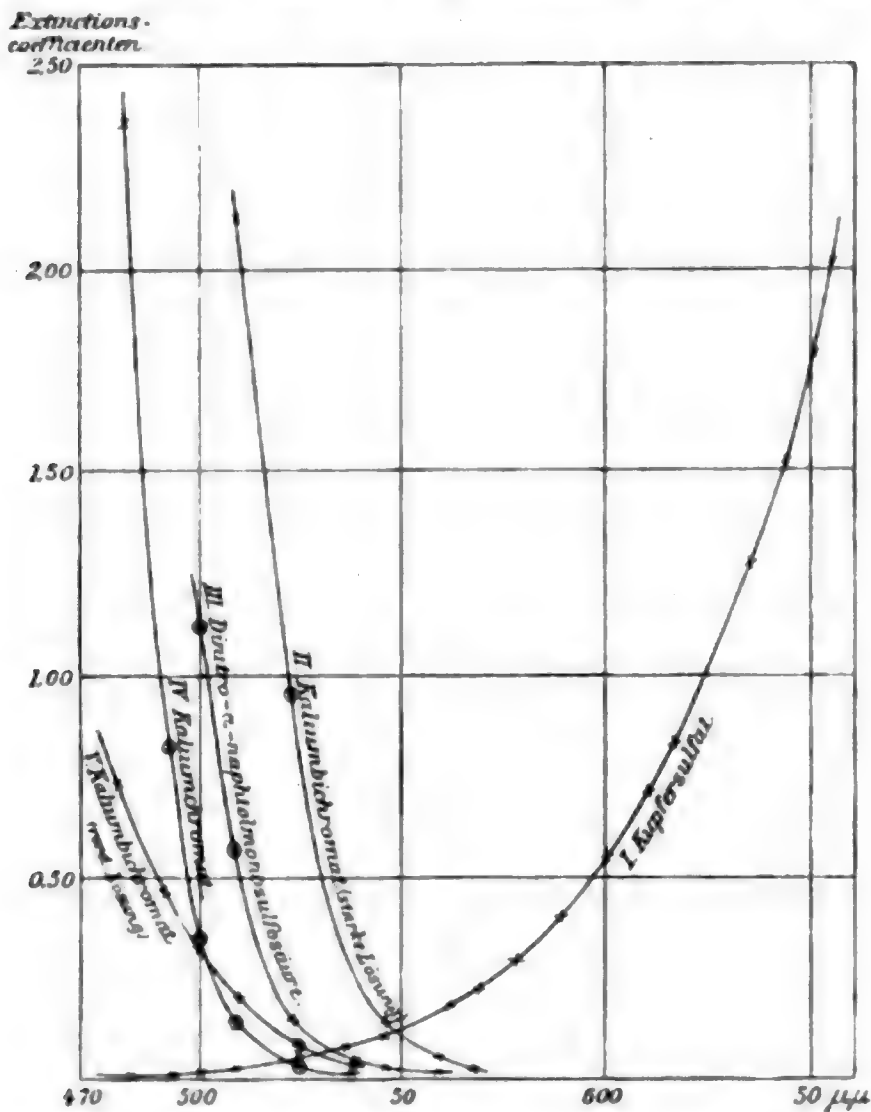
Extinktionskoeffizienten von Kupfersulfat.  $c = 0,6159$  g-Mol. pro Liter.

Wellenlänge in $\mu\mu$	$\alpha_2$ für die kürzeste Röhre	$\alpha_1$ für die Röhre	Werte von $\varepsilon - \varepsilon_0$ für Schichtdicken von					Mittelwerte von $\varepsilon$	Molekulare Ext.-Koeffiz $A_{0,6159}$
			25 cm	12 cm	5 cm	2 cm	1 cm		
480	43,1	33,7	{0,0063 0,0058	—	—	—	—	0,0061	0,0098
492	49,2	33,1	{0,0100 0,0104	—	—	—	—	0,0102	0,0166
501	45,0	34,1	{0,0142 0,0149 0,0152	0,0130 0,0142 —	—	—	—	0,0143	0,0232
509	48,1	31,2	0,0218	0,0222	—	—	—	0,0220	0,0358
521	52,5	23,9	0,0387	0,0391	—	—	—	0,0389	0,0630
534	46,6	26,4	—	0,0644	0,0655	—	—	0,0650	0,1055
546	51,6	38,2	0,105	0,104	0,104	0,102	—	0,103	0,168
561	67,5	19,0	—	0,165	{0,169 0,171	—	—	0,168	0,273
568	58,4	30,4	—	—	0,218	0,221	—	0,220	0,358
578	61,5	26,0	—	—	0,292	0,288	—	0,290	0,472
590	59,7	15,0	—	—	0,401	0,403	—	0,402	0,652
601	57,8	24,9	—	—	—	0,552	0,543	0,548	0,890
610	58,6	17,5	—	—	—	0,713	0,714	0,714	1,160
617	64,1	16,9	—	—	—	0,830	0,831	0,831	1,350
625	65,0	13,0	—	—	—	—	{1,011 0,970	0,991	1,610
637	73,6	10,0	—	—	—	—	{1,283 1,276	1,280	2,800
645	77,0	7,4	—	—	—	—	{1,522 1,506	1,514	2,456
656	83,8	5,0	—	—	—	—	{1,992 2,031	2,012	3,295

1) Die genauen Werte der Wellenlängen finden sich in der vorhergehenden Arbeit.

linien ist ein mittlerer Wert eingesetzt), in Kolumne 2 und 3 die Winkel  $\alpha_2$  und  $\alpha_1$ , in den folgenden Kolumnen die Werte von  $\varepsilon - \varepsilon_0$ , d. h. die aus den Beobachtungen direkt hervorgehende Differenz der Extinktionskoeffizienten der Lösung und des Wassers. Die letzte Kolumne enthält den molekularen Extinktionsindex  $A = \varepsilon/c$ .

Es sei bemerkt, daß diese Zahlen nicht das Mittel aus mehreren Messungen darstellen, sondern jede ist das Resultat



eines einzelnen Versuches; man kann also nach ihnen unmittelbar die Empfindlichkeit der Methode beurteilen. Die Mittelwerte sind in der letzten Kolumne angegeben. In der vorstehenden Figur ist die Absorptionskurve des Kupfersulfats gezeichnet, indem als Abszissen die Wellenlängen, als Ordinaten die  $\varepsilon - \varepsilon_0$  aufgetragen sind (Kurve I). Unter Voraussetzung der Gültigkeit des Beerschen Gesetzes habe ich die von Ewan<sup>1)</sup> für Kupfersulfat [162,04 g in 1000 ccm] gefundenen Werte

1) Th. Ewan, l. c.



auf die von mir benutzte Konzentration umgerechnet, und stelle sie hier mit den meinigen in einer Übersicht zusammen (Tab. 1 a).

Unter  $\lambda_1 - \lambda_2$  finden sich die von Ewan benutzten Spektralbezirke, unter  $\lambda_m$  deren mittlere Wellenlänge, unter  $\epsilon_1$  die von Ewan, unter  $\epsilon_2$  die von mir gefundenen Werte, letztere erforderlichenfalls durch Interpolation berechnet.

Tabelle 1 a.

Absorption von Kupfersulfat.  $c = 0,6159$ .

$\lambda_1 - \lambda_2$	$\lambda_m$	$\epsilon_1$ (Ewan)	$\epsilon_2$ (Grünbaum)
488,3 – 474,6	481,5	0,0068	0,0066
502,3 – 488,3	495,5	0,0137	0,0125
518,2 – 502,3	510,0	0,0262	0,0241
534,1 – 518,2	526,0	0,0526	0,050
551,6 – 534,1	542,5	0,093	0,095
574,2 – 551,6	562,5	0,184	0,185
599,4 – 574,2	586,5	0,318	0,380
627,7 – 599,4	613,5	0,648	0,782

Man bemerkt, daß Ewan für die kurzen Wellen etwas höhere, für die mittleren Wellenlängen gleiche, für die längeren Wellen jedoch bedeutend kleinere Werte erhält. Die letztere Abweichung ist, da die Kurve dort steil ansteigt und jeder Zahl von Ewan ein sehr breiter Spektralstreifen entspricht, vielleicht der Anwendung weißen Lichtes zuzuschreiben.

Bemerkenswert ist es darum, daß Müller<sup>1)</sup> mit weißem Licht neuerdings zwischen 512 und 569  $\mu\mu$  mit Ewan sehr nahe übereinstimmende Werte gefunden hat.

Tab. 2 enthält die Werte von  $\epsilon - \epsilon_0$  für Kaliumbichromat (10,01 g in 1000 ccm Lösung), Tab. 3 die Werte für dieselbe, aber auf  $\frac{1}{10}$  verdünnte Lösung (also 1,001 g in 1000 ccm Lösung), Tab. 4 die für Dinitro- $\alpha$ -naphtolmonosulfosäure (3,859 g in 1000 ccm Lösung), Tab. 5 die für Kaliumchromat (36,07 g in 1000 ccm Lösung). Die Kaliumsalze waren von Kahlbaum bezogen, die Dinitro- $\alpha$ -naphtolmonosulfosäure von der Badischen Anilinfabrik in Ludwigshafen. Die Lösung des Kaliumchromates änderte, wenn sie einige Tage stand, ihre

1) E. Müller, Inaug.-Diss. Berlin 1903.

Lichtabsorption, deshalb wurde für die endgültigen Messungen eine Lösung frisch hergestellt, und innerhalb zweier Tage durchgemessen. Während dieser Zeit blieben die Werte der  $\epsilon$  konstant, wie mehrere Prüfungen ergaben. Den Tab. 2, 3, 4, 5 entsprechen in der vorstehenden Figur bez. die Kurven II, V, III, IV.

Tabelle 2.

Extinktionskoeffizienten von Kaliumbichromat.  $c = 0,03399$  g-Mol. pro Liter.

Wellenlänge in $\mu\mu$	$n_2$ für die kürzere Röhre	$n_1$ für die längere Röhre	Werte von $\epsilon - \epsilon_0$ für Schichtdicken von					Mittelwerte von $\epsilon$	Molekulare Ext.-Koeffiz. $A_{0,03399}$
			25 cm	12 cm	5 cm	2 cm	1 cm		
509	83,0	3,5	—	—	—	—	2,12	2,12	62,4
521	68,3	15,0	—	—	—	0,919	0,978	0,974	28,7
						0,932	0,969		
						0,939	0,973		
						—	0,976		
538	53,9	23,8	—	—	0,245	0,246	—	0,246	7,24
546	56,0	21,1	—	0,117	0,118	—	—	0,117	3,44
558	54,8	28,0	0,0356	0,0355	—	—	—	0,0356	1,05
568	50,3	29,8	0,0130	—	—	—	—	0,0130	0,382

Tabelle 3.

Extinktionskoeffizienten von Kaliumbichromat.  
(Verdünnte Lösung  $c = 0,003\,399$  g-Mol. pro Liter.)

Wellenlänge in $\mu\mu$	$n_2$ für die kürzere Röhre	$n_1$ für die längere Röhre	Werte von $\epsilon - \epsilon_0$ für Schichtdicken von					Mittelwerte von $\epsilon$	Molekulare Ext.-Koeffiz. $A_{0,003\,399}$
			25 cm	12 cm	5 cm	2 cm	1 cm		
480	61,2	18,8	—	—	—	0,736 0,735	0,728 0,733	0,733	216
492	51,8	23,8	—	—	—	0,460 0,461	0,460 0,468	0,463	136
501	47,0	27,5	—	—	0,310 0,312	0,312 0,318	0,309 0,314	0,313	92,1
509	49,4	24,8	—	—	0,197 0,198 0,198	0,196 0,197 0,199	—	0,197	58,0
521	48,5	22,3	0,0758 0,0761	0,0818 0,0830	0,0884 0,0897	—	—	0,0891	26,2
538	45,9	29,0	0,021 0,021	0,021 0,022	—	—	—	0,021	6,2

Tabelle 4.

Extinktionskoeffizienten von Dinitro- $\alpha$ -naphtolmonosulfosäure. $c = 0,01229$  g-Mol. pro Liter.

Wellenlänge in $\mu\mu$	$\alpha_2$ für die kürzere Röhre	$\alpha_1$ Röhre	Werte von $\varepsilon - \varepsilon_0$ für Schichtdicken von					Mittelwerte von $\varepsilon$	Molekulare Ext.-Koeffiz. $A_{0,01229}$
			25 cm	12 cm	5 cm	2 cm	1 cm		
501	71,1	12,7	—	—	—	1,11 1,11 1,09	1,15 1,15 1,14	1,15	93,6
509	55,1	25,2	—	—	0,442	0,474	0,484	0,484	39,4
					—	0,470	0,483		
					—	0,473	0,482		
					—	0,472	0,485		
					0,441	0,471	—		
521	58,4	20,6	—	0,128	0,127	—	—	0,128	10,4
538	48,9	28,3	0,0276	0,0272	—	—	—	0,0274	2,23
546	35,8	26,0	0,0141	0,0141	—	—	—	0,0141	1,15
558	43,3	27,1	0,0106	—	—	—	—	0,0106	0,863

Tabelle 5.

Extinktionskoeffizienten von Kaliumchromat.  $c = 0,1855$  g-Mol. pro Liter.

Wellenlänge in $\mu\mu$	$\alpha_2$ für die kürzere Röhre	$\alpha_1$ Röhre	Werte von $\varepsilon - \varepsilon_0$ für Schichtdicken von					Mittelwerte von $\varepsilon$	Molekulare Ext.-Koeffiz. $A_{0,1855}$
			25 cm	12 cm	5 cm	2 cm	1 cm		
480	84,1	2,4	—	—	—	—	2,37	2,37	12,8
492	61,2	15,1	—	—	—	0,793 0,788	0,827 0,829	0,828	4,46
						—	—		
501	56,4	18,5	—	—	0,316 0,318 0,312	0,326 0,329 0,331	—	0,329	1,77
					—	—			
					—	—			
509	54,3	18,4	—	0,119 0,120 0,121	0,125 0,124 0,124	—	—	0,124	0,668
				—	—				
				—	—				
521	43,9	23,7	0,0257 0,0261 0,0266	0,0284 0,0292 0,0274	—	—	—	0,0283	0,153
			—	—					
			—	—					
538	40,0	35,7	0,0027	—	—	—	—	0,0027	0,0146

Die Tabellen lassen übereinstimmend erkennen, daß für eine Reihe von Wellenlängen die Werte von  $\varepsilon - \varepsilon_0$  je nach der Schichtdicke verschieden ausfallen, und zwar gibt immer die kleinere Schichtdicke die größeren Werte<sup>1)</sup>; ein Resultat, das dem Grundgesetz der Absorption und der Definition eines von der Schichtdicke *unabhängigen* Extinktionskoeffizienten widerspricht. Die auffallende Erscheinung ist an anderer Stelle vom Verfasser näher diskutiert.<sup>2)</sup>

Berlin, Physik. Institut der Universität, August 1903.

---

1) Als Mittelwerte in den Tabellen berechnet und dann zur Zeichnung der Kurve verwandt sind immer die mit der kürzeren Röhre erhaltenen Werte; doch sind die Punkte mit für verschiedene Schichtdicken differierenden Werten durch einen kleinen Kreis kenntlich gemacht.

2) F. Grünbaum, l. c.

(Eingegangen 29. August 1903.)

**6. Über die Wärmewirkungen oszillatorischer  
Kondensatorentladungen im primären und sekun-  
dären Kreise; von R. Lindemann.**

(Aus der gleichnamigen Göttinger Inaugural-Dissertation, 1903.)

Schon oft ist die Joulesche Wärme im Entladungskreise einer Kapazität Gegenstand der Messung gewesen, ehe noch die Natur der Entladung und der sie bewirkenden elektrischen Ströme in ihren Einzelheiten aufgeklärt war. Vor allem sind hier zu nennen die Untersuchungen von Riess<sup>1)</sup>, als deren Hauptergebnis der Satz zu bezeichnen ist, daß die gesamte im Schließungskreise entwickelte Wärme sich auf die einzelnen Teile desselben nach dem Maße ihres Widerstandes verteilt. Auch die Energie der durch solche Kondensatorentladungen induzierten Ströme (Nebenströme) ist schon vor langer Zeit studiert worden.<sup>2)</sup> Um jedoch die hier auftretenden, oft sehr komplizierten Verhältnisse klar zu überschauen, war eine rechnerische Verfolgung der Vorgänge nötig, und dazu fehlten noch die theoretischen Vorarbeiten. Alle jene Messungen haben aber nur vergleichenden Charakter, sie geben nicht die absoluten Werte der gemessenen Größen und lassen also vor allem unaufgeklärt, wieviel der entladenen Energie als Joulesche Wärme in den Drähten des Schließungskreises auftritt und wieviel im Funken verbraucht wird.

Die folgenden Untersuchungen sollen einen Beitrag liefern zur Aufklärung der schon genannten, durch die früheren Experimente nicht beantworteten Fragen. Dementsprechend wird einmal bei der einfachen oszillatorischen Kondensatorentladung die gesamte entladene Energie und die nach der Entladung im Schließungskreise befindliche Joulesche Wärme absolut bestimmt, woraus dann die Funkenenergie und ein Mittelwert für den Funkenwiderstand sich berechnen läßt.

1) Riess, Reibungselektrizität.

2) Riess, Reibungselektrizität 2. § 807 ff; Knochenhauer, Sitzungsber. d. k. Akad. d. Wissensch. zu Wien 22. p. 333. 1857; Blaserna, Sitzungsber. d. k. Akad. d. Wissensch. zu Wien 33. p. 25. 1858.

Dann aber wird auch die Energie der durch oszillatorische Kondensatorentladungen induzierten Ströme bestimmt und mit der aus der Theorie berechneten verglichen.

Bei der Wahl der Versuchsanordnung waren danach zwei Hauptforderungen entscheidend: einmal sollte die Messung eine absolute sein, und zweitens mußten sich die zur Berechnung nötigen Konstanten entweder genau experimentell bestimmen oder berechnen lassen. Die kalorimetrische Methode erwies sich hierbei als zu unempfindlich selbst dann, wenn bei Benutzung der gewöhnlichen Teslaanordnung sehr viele Entladungen hintereinander stattfanden. Auch war in diesem Falle eine genaue Bestimmung der Entladungspotentiale kaum möglich.<sup>1)</sup> Die bei den eigentlichen Versuchen benutzte bolometrische Meßmethode war dagegen hinreichend präzise und empfindlich.

## I. Kapitel. Experimenteller Teil.

### § 1. Die bolometrische Meßmethode.

Das *Prinzip der Methode* ist im wesentlichen gegeben durch die bekannte von Paalzow und Rubens<sup>2)</sup> benutzte Versuchsanordnung. Der eine Zweig einer Wheatstoneschen Brücke wird gebildet von einem aus sehr feinem Drahte bestehenden Viereck, durch dessen eines Paar gegenüberliegender Ecken der Brückenstrom zu- und abgeführt wird, während durch das andere Paar der zu messende Strom ein- und austritt. Das Drahtviereck ist so abgeglichen, daß der zu messende Strom nur in ihm verläuft, daß also die ihn erregende elektromotorische Kraft keine Potentialdifferenz hervorruft zwischen den Ein- und Austrittsstellen des Brückenstromes. Ist zu Anfang die Brücke so eingestellt, daß das Galvanometer keinen Ausschlag zeigt, so wird beim Schließen des zu messenden Stromes durch die Stromwärme der Widerstand des von ihm durchflossenen Brückenzweiges geändert, und das Galvanometer zeigt nunmehr einen der Energie jenes Stromes proportionalen Ausschlag. — Dauert der zu messende Strom nur eine kurze

---

1) Bezüglich der Voruntersuchungen sei auf die Dissertation verwiesen.

2) A. Paalzow u. H. Rubens, Wied. Ann. 37. p. 529. 1889.



Zeit an, wie in unserem Falle eine einzige Entladung, so entsteht in der Brücke auch nur ein kurzer Stromstoß. Die Bedingung dafür, daß der beobachtete maximale Ausschlag des Galvanometers der Intensität dieses Stromstoßes und damit der Energie des zu messenden kurz andauernden Stromes proportional ist, ist die gewöhnliche für das ballistische Galvanometer: die Dauer des den Galvanometerausschlag erzeugenden Stromstoßes in der Brücke muß klein sein gegenüber der Dauer einer Eigenschwingung des Galvanometers. Diese Bedingung ist offenbar bei den hier zu messenden kurzen Entladungen sicher erfüllt.

Diese Anordnung war direkt zu benutzen bei der Messung der Wärme im Entladungskreise selbst. Um auch die Wärme im sekundären Kreise damit zu bestimmen, wurde einfach der Bolometerdraht so angeordnet, daß er als sekundärer Teslakreis wirkte. Auch für den Fall, daß der Bolometerdraht nicht ganz den oben genannten Bedingungen in Bezug auf die Abgleichung der Widerstände der Quadratseiten genügte, war ein teilweises Hindurchgehen der Teslaschwingungen durch die Brücke und das Galvanometer wegen ihrer großen Frequenz kaum zu befürchten. In der Tat wurde bei direkter Entladung einer Kapazität durch den Bolometerdraht auch nur dann ein Galvanometerausschlag beobachtet, wenn der Brückenstrom geschlossen war. Ein besonderer Brückendraht mit Schleifkontakt zum Ausgleichen der Widerstände, wie ihn Paalzow und Rubens benutzten, konnte in diesem Falle natürlich nicht angebracht werden.<sup>1)</sup>

## § 2. Versuchsanordnung.

1. *Der Entladungskreis bei den Induktionsversuchen.* Um zunächst Fehler infolge ungenügender Isolation zu umgehen, wurde die gewöhnliche, nach Tesla benannte Anordnung mit zwei zur Funkenstrecke und zur primären Spule symmetrisch aufgestellten gleich großen Kapazitäten noch vertauscht mit

1) In der Dissertation wird ausführlich nachgewiesen, daß die Proportionalität der Bolometerausschläge mit  $\int i^2 dt$  (das Integral erstreckt über die Dauer der Entladung) bestehen bleibt, wenn die zu messenden Entladungsströme sehr verschieden verlaufen, und daß auch die Wärmeverluste im Bolometer keine Fehler bedingen.

einer sehr viel einfacheren. Damit nämlich die Erscheinung und ihre theoretische Behandlung bei jener Anordnung nicht unnötig kompliziert wird, ist die Bedingung zu erfüllen, daß unmittelbar vor der Entladung durch den Funken die Potentiale der beiden gleich großen Kapazitäten entgegengesetzt gleich sind. Diese schwer zu erfüllende Bedingung wurde dadurch vermieden, daß die eine der beiden Kapazitäten ganz beseitigt und überdies der eine Pol der Funkenstrecke und damit auch die eine Belegung der Kapazität an Erde gelegt wurde. Daß diese Erdleitung die Entladung in keiner Weise beeinflußt, daß also vor allem nach der Entladung nicht auch ein Teil der entladenen Energie in jener Erdleitung als Joulesche Wärme auftritt, ist ohne weiteres klar. In der Tat konnte auch, falls in die Erdleitung ein empfindliches Galvanometer eingeschaltet war, ein merklicher Ausschlag desselben im Momente der Entladung nicht beobachtet werden. Es entstand so schließlich die folgende Versuchsanordnung (Fig. 1). Die innere Belegung einer aus 1 bis 4 großen Leydener Flaschen von etwa 5 Liter Rauminhalt bestehenden Batterie war verbunden

mit der einen Elektrode des Funkenmikrometers, die andere zur Erde abgeleitete Elektrode stand mit der äußeren Belegung der Batterie in Verbindung. In dem letzteren Teile des Schließungskreises befand sich die primäre Teslaspule. Zum Laden der Batterie diente eine kleine Wimshurstmaschine oder, falls diese nicht genügte, eine größere Holtzsche Maschine. Die sämtlichen Leitungsdrähte bestanden aus unbesponnenem Kupferdraht mit dem Radius 0,125 cm, und war bei ihrer Anordnung besonders auf die Berechnung der Induktionskoeffizienten Rücksicht zu nehmen. Die primäre Teslaspule wurde gebildet aus vier quadratischen Windungen desselben Kupferdrahtes, die auf einem Glasgefäß von quadratischem Querschnitte befestigt waren. Der Abstand

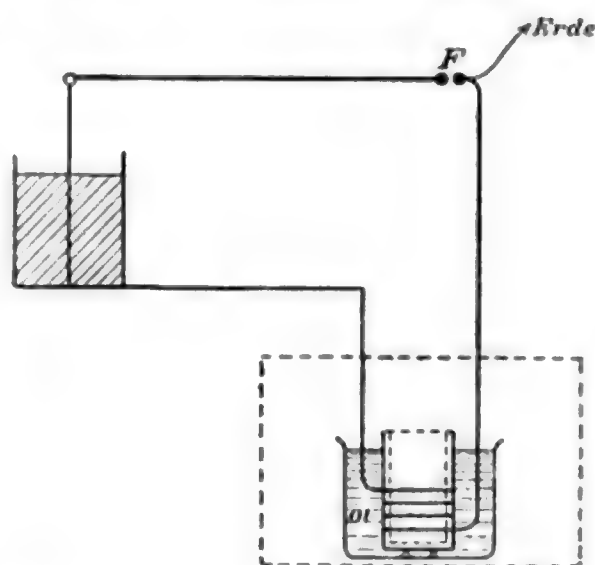


Fig. 1.

größere Holtzsche Maschine. Die sämtlichen Leitungsdrähte bestanden aus unbesponnenem Kupferdraht mit dem Radius 0,125 cm, und war bei ihrer Anordnung besonders auf die Berechnung der Induktionskoeffizienten Rücksicht zu nehmen. Die primäre Teslaspule wurde gebildet aus vier quadratischen Windungen desselben Kupferdrahtes, die auf einem Glasgefäß von quadratischem Querschnitte befestigt waren. Der Abstand

je zweier Windungen betrug 0,6 cm und die Länge der Quadratseite 11 cm. Die Gesamtlänge des dicken Kupferdrahtes im Entladungskreise betrug 540 cm, der Koeffizient der Selbstinduktion  $879,47 \cdot 10^{-20}$  statische Einheiten. In das quadratische Glasgefäß paßte ein zweites hinein, von dem ersten getrennt durch einen 0,5 cm breiten Luftspalt. Beide Gefäße zusammen standen in einem großen, mit Paraffinöl gefüllten Glasbehälter.

2. *Der Bolometerdraht.* In dem inneren Glasgefäß war möglichst genau in der Mitte der primären Spule der zu induzierende sekundäre Kreis angebracht, der, wie schon bemerkt, zugleich den einen Zweig einer Wheatstoneschen Brücke bildete. Dieser sekundäre Kreis bestand aus einem blanken Platindraht mit dem Radius 0,003 cm und hatte die Form eines Quadrates mit der Seitenlänge 7 cm. Er war in der Weise festgelegt, daß vier Streber aus 0,25 cm dickem Kupferdraht mit ihren unteren Enden in einem Kreuze aus Hartgummi isoliert befestigt waren und zwar in den Ecken eines Quadrates mit der Seitenlänge 7 cm senkrecht zur Ebene des Quadrates. An diesen Kupferstreben war der feine Platindraht möglichst in einer Ebene festgelötet. Oberhalb desselben waren die dicken Kupferdrähte durch zwei weitere Kreuze aus Holz gegeneinander festgelegt. Dies war aus dem Grunde nötig, weil sonst leicht Spannungen zwischen ihnen auftraten, die den feinen Platindraht zerrissen. Die drei Kreuze aus Hartgummi oder Holz waren so groß, daß sie gerade in das quadratische Glasgefäß hineinpaßten. Auf diese Weise gelang eine wohl hinreichend genaue und sichere Befestigung des Bolometerdrahtes. Der Koeffizient der Selbstinduktion des Bolometerdrahtes wurde berechnet zu  $44,99 \cdot 10^{-20}$  statischen Einheiten, falls jener Draht den sekundären Kreis bildet, zu  $25,40 \cdot 10^{-20}$  statischen Einheiten, falls er in den Entladungskreis eingeschaltet ist.

3. *Die Brücke.* Von zwei gegenüberstehenden Kupferstreben führten nun zwei Kupferdrähte zu dem übrigen Teile der Brücke. Auch dieser Teil des Bolometers weicht etwas von der Anordnung von Paalzow und Rubens ab. Da immer kurze Stromstöße beobachtet wurden, so waren zur Vermeidung von Komplikationen infolge der Selbstinduktion die vier Zweige der Brücke nicht nur ihrem Ohmschen, sondern auch ihrem

induktiven Widerstände nach möglichst gleich gewählt. Sie bestanden demnach aus je einem dem oben beschriebenen möglichst kongruenten Quadrat desselben feinen Platindrahtes, das gleichfalls auf kleinen Kupferstreben festgelötet war. Diese drei Widerstände waren nebeneinander in einem kleinen Holzkasten untergebracht, auf dessen Deckel außerhalb die beiden Brückendrähte mit Schleifkontakten sich befanden. Der eine derselben, welcher zur roheren Einstellung diente, bestand aus einem 0,02 cm dicken Platindraht von etwa 30 cm Länge, während der andere, zur feineren Einstellung bestimmte von einem 0,1 cm dicken Draht aus Konstantan derselben Länge gebildet wurde. Diese beiden Drähte befanden sich in der Mitte der beiden Teile der Brücke, in welche diese durch die Ein- und Austrittsstelle des Brückenstromes geteilt wird; es gingen also von den Schleifkontakten, in unserem Falle Quecksilberkontakten, die Leitungsdrähte zu dem Galvanometer aus. Zur Wärmeisolation war die ganze Brücke mit dem primären Teslakreis in einem geräumigen Kasten aus dickem Holze untergebracht, dessen Wände noch mit einer Watteschicht und einem dicken Wollstoffe innen überzogen waren. Der kleinere Kasten mit den drei Brückenwiderständen war natürlich so aufgestellt, und die Zuleitungsdrähte waren so angeordnet, daß eine unerwünschte Induktion seitens der primären Teslaspule möglichst ausgeschlossen war. Das benutzte Galvanometer war ein d'Arsonvalinstrument von Hartmann & Braun und hatte einen Widerstand von ca. 4 Ohm. Es wurde mit Fernrohr und Skala beobachtet. Der Abstand der Skala vom Spiegel betrug 125 cm. — Der Brückenstrom wurde geliefert von Akkumulatoren bei 2 Volt Spannung. Da die Empfindlichkeit des Bolometers der Stärke des Brückenstromes direkt proportional ist, so konnte durch Variation eines vorgeschalteten Widerstandes die Empfindlichkeit geändert werden. Doch war eine obere Grenze der zu erreichenden Empfindlichkeit dadurch gegeben, daß bei einer gewissen Stromstärke Thermoströme auftraten, welche ein ruhiges Einstellen des Galvanometers vereitelten. Um längere Zeit gleiche Empfindlichkeit zu haben, war ein möglichst konstanter Brückenstrom erwünscht.

4. *Der Entladungskreis bei fehlendem induzierten Kreise.*  
Zur Messung der Energie im Entladungskreise selbst bei



fehlendem induzierten Kreise und zur Eichung führten außer den beiden Zuleitungen zur primären Teslaspule noch zwei weitere 0,125 cm dicke Kupferdrähte aus dem großen Holzkasten heraus, die mit den beiden noch nicht verbundenen, einander gegenüberstehenden Kupferstreben des Bolometerdrahtes Kontakt hatten. Durch diese konnte dann der Bolometerdraht entweder an Stelle der früher beschriebenen primären Teslaspule in den Entladungskreis der Batterie eingeschaltet werden, oder in die noch zu beschreibende Eichvorrichtung. Im ersteren Falle betrug die Länge der 0,125 cm dicken Kupferdrähte im Entladungskreise zusammen 370 cm, der Koeffizient der Selbstinduktion des Entladungskreises  $545,07 \cdot 10^{-9}$  statische Einheiten.

### § 3. Eichung.

1. *Methode der Eichung.* Wie wir sahen, ist der beobachtete Galvanometerausschlag proportional der gesuchten Energie. Der Apparat ist geeicht, sobald die Energiemenge bestimmt ist, welche der Einheit des beobachteten Galvanometerauschlages entspricht, natürlich nur für eine bestimmte Empfindlichkeit. Damit das Galvanometer wieder als ballistisches wirkte, konnte nur ein kurz andauernder Strom zur Eichung benutzt werden. Es lag daher der Gedanke am nächsten, wiederum eine Kondensatorentladung zu benutzen, jedoch eine solche ohne Funkenentladung. Nun ist es zwar eine experimentell gesicherte Tatsache, daß z. B. zwischen Platinelektroden eine elektrische Selbstentladung etwa in Funkenform nicht auftreten kann, wenn die Elektrodenspannung weniger als 350 Volt beträgt. Dementsprechend müßte es möglich sein, eine Kapazität, welche auf ein niedrigeres Potential geladen ist, durch einen rein metallischen Schließungskreis zu entladen, ohne daß ein Funken auftritt. Dem widerspricht das Experiment. Selbst wenn die Entladungsspannung sehr viel niedriger war, z. B. nur 220 Volt, wurde ein deutlicher Lichtschein an der Schließungsstelle wahrgenommen, was sich auch deutlich an der großen Unregelmäßigkeit der beobachteten Bolometerausschläge trotz der Gleichheit der entladenen Energie zeigte. Der Grund hierfür kann nur sein, daß die stets vorhandenen feinen Metall- und sonstige Staubteilchen unmittelbar vor der Herstellung

einer genügenden metallischen Verbindung zwischen den beiden zu verbindenden Leitern kurze Zeit hindurch allein die Stromleitung übernehmen. Dabei geraten sie heftig ins Glühen wegen der sehr großen momentan entladenen Elektrizitätsmenge. Es müßte also möglich sein, durch Verringerung der Stromstärke jenen Pseudofunken zu verkleinern oder auch ganz zu unterdrücken. Dies wurde im vorliegenden Falle erreicht durch Vorschaltung von Widerständen. In der Tat konnte, falls der eingeschaltete Widerstand genügend groß war, ein Lichtschein an der Schließungsstelle nicht mehr wahrgenommen werden; auch waren die Bolometerausschläge durchaus konstant, so daß sie mit großer Schärfe bestimmt werden konnten. Hieraus wurde geschlossen, daß die gesamte entladene Energie sich als Joulesche Wärme auf die Drähte des Schließungskreises verteilt oder daß die an der Schließungsstelle etwa noch verschwindende Energie gegenüber der gesamten entladenen zu vernachlässigen ist. Zwar waren die Ausschläge des Bolometers bei dieser Anordnung nicht groß, doch zeigen die bei den verschiedenen Vorschaltwiderständen beobachteten Werte eine durchaus genügende Übereinstimmung. Wie zu verlangen ist, sind die aus ihnen berechneten, dem Ausschlag 1 entsprechende Energiemengen bei den größeren Widerständen einander gleich.

2. Die Eichvorrichtung war dann einfach die folgende (Fig. 2). Auf einer Hartgummiunterlage waren ein Hebel und zwei Metallstücke gut voneinander isoliert befestigt. Der Hebel wurde fñrgewöhnlich durch eine Feder an das eine Metallstück gedrückt, konnte aber durch Druck auf einen an ihm befestigten isolierenden Knopf mit dem zweiten Metallstück in Kontakt gebracht werden. Er ward dauernd verbunden mit der einen Belegung der Kapazität, das erste Metallstück mit der ladenden Elektrizitätsquelle, während das zweite durch den schon

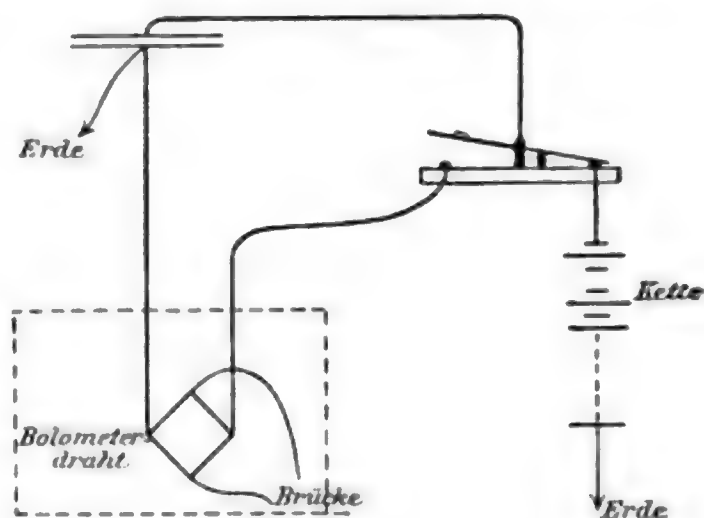


Fig. 2.



beschriebenen Entladungskreis mit der anderen an Erde liegenden Belegung der Kapazität in Verbindung stand. Sobald die Kapazität durch einen kurzen Druck auf den Hebel entladen wurde, war am Galvanometer ein Ausschlag zu beobachten. Als Vorschaltwiderstände dienten die später noch benutzten, zwischen kurzen Kupferstiften frei ausgespannten Enden desselben feinen Platindrahtes, aus dem auch der eigentliche Bolometerdraht gebildet wurde. Die benutzte Kapazität war ein von Edelman in München gelieferter Normalglimmerkondensator von 1 Mikrof. und die zu ihrer Ladung nötige Elektrizität lieferte eine Hochspannungsbatterie, deren konstante Spannung von einem Präzisionsvoltmeter von Siemens & Halske angezeigt wurde.

3. *Beobachtungen.* In der folgenden Tabelle sind einige Beobachtungen mitgeteilt, die in der beschriebenen Weise angestellt wurden. Es bezeichnet  $w$  den gesamten Widerstand des Schließungskreises in Ohm,  $P_0$  das Entladungspotential in Volt und  $\alpha$  den beobachteten Bolometerausschlag. Hieraus sowie aus dem Widerstande des Bolometerdrahtes  $w_B = 4,96 \Omega$  und der Kapazität des Kondensators  $c = 1$  Mikrof. berechnet sich die gesuchte dem Bolometerausschlag  $\alpha = 1$  entsprechende Energie nach der Gleichung:

$$E_{\alpha=1} = \frac{P_0^2}{2} C \frac{w_B}{w} \cdot \frac{1}{\alpha}.$$

In der Tabelle sind diese Werte in Erg angegeben.

$w$	$P_0$	$\alpha$	$E_{\alpha=1}$
39,36	244	35,0	1065
34,28	244	40,5	1070
29,51	242	46,0	1064
24,36	241	54,5	1080
19,96	250	70,0	1100

Bei den größeren Widerständen im Schließungskreise ist also  $E_{\alpha=1}$  konstant. Die dort noch auftretenden Abweichungen sind durch die beschränkte Genauigkeit der Ablesungen bedingt. Als Mittelwert wurde angenommen:

$$E_{\alpha=1} = 1065 \text{ Erg.}$$

## § 4. Die Messungen.

1. *Die variierten Größen.* Bei den Messungen selbst sind die beiden schon oben erwähnten, einander stets parallel laufenden Reihen zu unterscheiden: nämlich die Messungen der Energie in einem Teile des primären Kreises bei fehlendem sekundären Kreise und diejenigen der Energie im sekundären Kreise. Variiert wurden die Anfangsspannung, die Kapazität und der Widerstand und zwar so, daß bei einem bestimmten Werte der Kapazität und des Widerstandes jedesmal dem Anfangspotential, von kleinen Werten aufsteigend, immer größere Werte gegeben wurden. Hierbei wurde die obere Grenze dadurch festgelegt, daß bei den Messungen der Energie im primären Kreise nicht größere Bolometerausschläge als etwa 300 Skt. beobachtet wurden, während bei den Messungen im sekundären Kreise das Anfangspotential stets unter 10 000 Volt blieb. Auf diese Weise wurde es vermieden, daß die bekannten Knickungen und Zerstäubungen der feinen Platindrähte im Schließungskreise eintraten. Mit der Kapazität sollte besonders die Schwingungsdauer, mit dem Widerstande die Dämpfung geändert werden. Die eingeschalteten Widerstände waren aus demselben feinen Platindraht hergestellt, wie er zu den Brückenwiderständen des Bolometers benutzt war. Diese Drähte waren zwischen kurzen Kupferstiften, die in einem Brette isoliert befestigt waren, aufgespannt und festgelötet. Durch gute Stichkontakte konnten sie leicht in den Entladungskreis eingeschaltet werden. Die benutzten Widerstände dieser Art betrugen 19,4; 15,0; 9,92; 5,15; 2,93 und 1,105 Ohm.

2. *Der Verlauf einer Messung* war der, daß zunächst der Kondensator mit Hülfe der Influenzmaschine geladen wurde, wobei die Kugeln des Funkenmikrometers so weit voneinander entfernt waren, daß ein Funken nicht übergehen konnte. Ein elektrostatisches Voltmeter von Siemens & Halske mit einem Meßbereich bis zu 10 000 Volt gab während der Ladung nur orientierend die Spannung an. Alsdann wurde die Verbindung der Elektrisiermaschine und des Hochspannungsvoltmeters mit der Kapazität aufgehoben und nunmehr bei belichteter Funkenstrecke und unter fortwährender Beobachtung des Galvanometers die Elektroden der Funkenstrecke mit Hülfe der Mikrometerschraube vorsichtig einander genähert, bis der Funken

übersprang. In diesem Momente schlug das Galvanometer aus, um sofort wieder mit wenigen gedämpften Schwingungen in die Ruhelage zurückzukehren. Der erste maximale Ausschlag war zu beobachten, was auch bei einiger Übung und gut beleuchteter Skala bei den größten Ausschlägen bis auf einen Skalenteil genau geschehen konnte. Sobald dieser Ausschlag beobachtet war, wurde die Batterie mit einem zweiten empfindlicheren Braunschen Voltmeter mit einem Meßbereiche bis 3500 Volt verbunden und die zurückgebliebene Spannung gemessen. Die Verbindung der Kapazität mit dem Elektrometer oder auch gleichzeitig mit der Elektrisiermaschine, wie bei der Ladung, wurde einfach dadurch bewerkstelligt, daß das Ende eines mit jenen Apparaten verbundenen Drahtes mit Hülfe einer wohl isolierten Handhabe an die nicht abgeleitete Belegung der Kapazität gehalten wurde. Vor jedem Versuche war der Brückenstrom schon längere Zeit geschlossen, damit der Temperatúrausgleich in der Brücke ein möglichst vollkommener war.

3. *Bestimmung der Entladungsspannung.* Die Anfangsspannung der Batterie, d. h. die Spannung, bei welcher der Funken übergeht, wurde aus der Länge der Funken bestimmt. Zu dem Zwecke mußte der Entladeverzögerung beseitigt werden. Dies geschah durch Belichtung der Funkenstrecke mit dem an ultravioletten Strahlen reichen Lichte eines elektrischen Lichtbogens, der in 20—30 cm Entfernung von der Funkenstrecke brannte. Damit die Kugeln des Funkenmikrometers und die sie umgebende Luft sich nicht zu sehr erwärmten, was ja eine Verminderung der Funkenspannung zur Folge gehabt haben würde, brannte der Lichtbogen immer nur während der kurzen Zeit des Versuches. Die den beobachteten Funkenlängen entsprechenden Potentiale wurden nicht den bekannten Tabellen entnommen, sondern es wurde für die benutzte Funkenstrecke eine besondere Tabelle neu aufgestellt.

4. *Die Beachtungen und ihre Genauigkeit.* In den nachfolgenden Tabellen enthalten die mit F.L. überschriebenen Rubriken die am Funkenmikrometer abgelesenen Funkenlängen in Millimeter. Diese Ablesungen konnten ohne Schwierigkeit so genau gemacht werden, daß die beobachtete Funkenlänge höchstens um 0,01—0,02 mm kleiner waren als die tatsäch-

lichen.  $P_0$  bedeutet das der beobachteten Funkenlänge entsprechende Anfangspotential in Volt. Bei einer Abschätzung der Genauigkeit dieser Zahlen ist zweierlei zu beachten: einmal sind die Ablesungen an dem Elektrometer höchstens auf  $\pm 50$  Volt genau, und dann entspricht der oben genannten Genauigkeit der Ablesungen am Funkenmikrometer eine Genauigkeit bis auf  $\pm 100$  Volt. Die in den Tabellen gegebenen Werte für  $P_0$  sind also zu klein um Beträge zwischen  $-50$

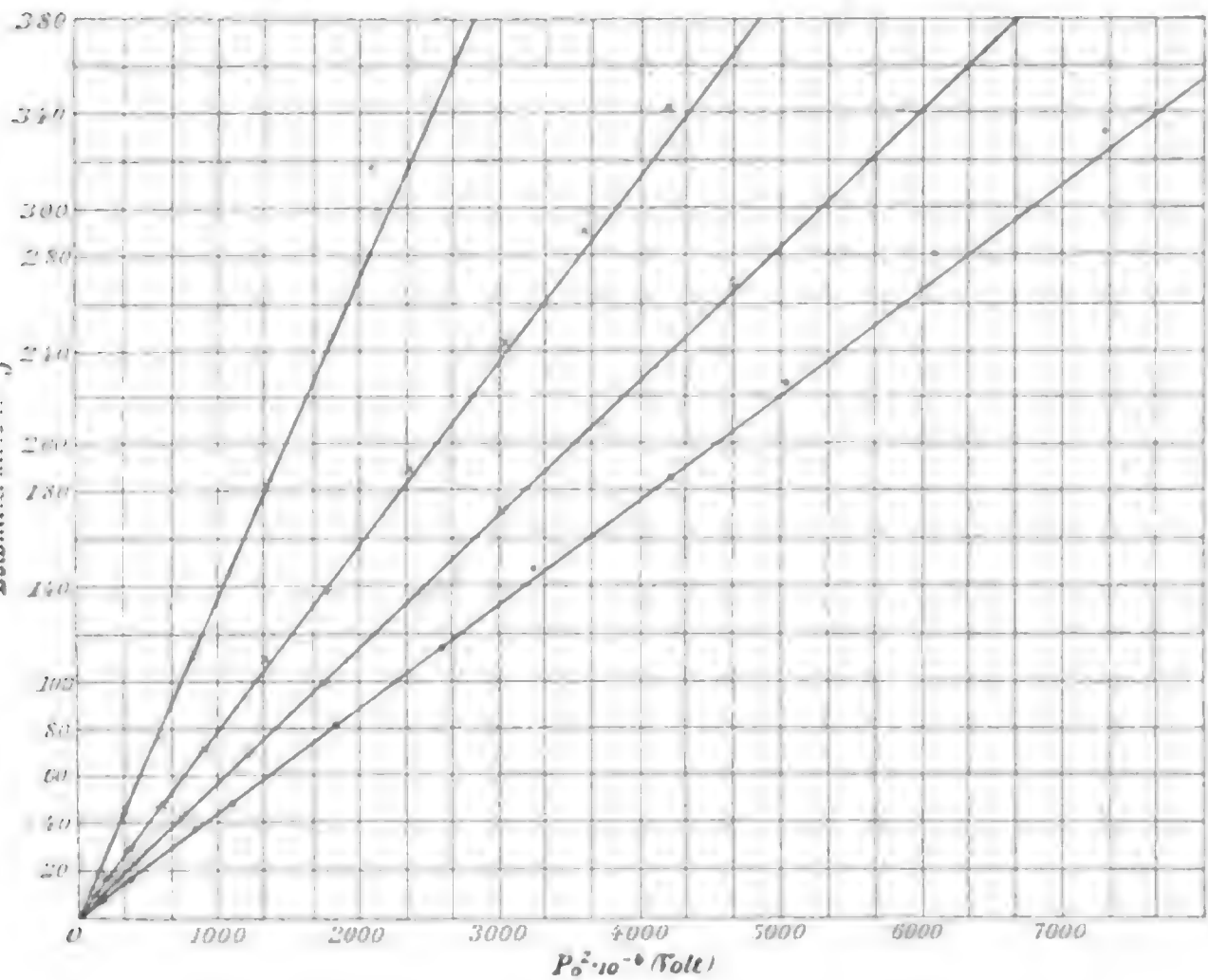


Fig. 3.

I. Kreis. Variation des Widerstandes. Tab. I, 1—4.

und  $+150$  Volt. Für die kleineren Funken, bei welchen das empfindlichere Braunsche Elektrometer benutzt wurde, betragen diese Fehler etwa nur  $-30$  bis  $+80$  Volt.  $P_\infty$  bedeutet die nach beendeter Entladung zurückgebliebene Spannung der Batterie in Volt und  $\alpha$  den Ausschlag des Galvanometers in Skalenteilen (Millimeter). Diese letzteren konnten, wie schon früher bemerkt, bei den größten Ausschlägen von 300 Skt. leicht auf  $\pm 1$  Skt. genau abgelesen werden, bei den kleineren Ausschlägen natürlich genauer. Die in den Tabellen mit-

geteilten Werte dieser Bolometerausschläge sind bereits auf den Sinus des halben einseitigen Ausschlages reduziert. Die wegen der ungleichmäßigen Verteilung der schnellen Wechselströme über den Querschnitt der Leitungsdrähte nötige Korrektur der Widerstände ist an den in den Tabellen mitgeteilten Werten noch nicht angebracht. Aus den Tabellen können leicht durch graphische Interpolation auch andere als die beobachteten Werte erhalten werden. So entstanden z. B. die besonders interessanten Tab. I, 5 und III, 6 und einige weitere im folgenden Abschnitte ausführlich diskutierte.

I. Wärme im primären Kreise. Variation des Widerstandes (Fig. 3).

$E_{\alpha=1} = 1195 \text{ Erg.}$   $C = 0,00496 \text{ Mikrof.}$

1.  $w = 5,25 + 14,68 \, \Omega.$

F.L.	$P_0$	$\alpha$	$P_{\infty}$
0,18	1200	6	320
0,33	1930	16	420
0,57	2900	37	630
0,67	3300	47	660
0,93	4300	81	840
1,16	5100	114	890
1,34	5700	146	950
1,58	6500	187	1080
1,77	7100	225	1210
1,99	7800	280	1290
2,24	8550	334	1360

2.  $w = 5,25 + 9,75 \, \Omega.$

F.L.	$P_0$	$\alpha$	$P_{\infty}$
0,18	1200	8	380
0,26	1600	15	530
0,34	1970	22	360
0,52	2700	42	480
0,73	3500	71	680
0,90	4200	100	840
1,12	4950	138	880
1,28	5500	171	930
1,46	6100	210	1040
1,69	6830	269	1140
1,94	7650	342	1300

3.  $w = 5,25 + 4,85 \, \Omega.$

F.L.	$P_0$	$\alpha$	$P_{\infty}$
0,15	1000	8	250
0,20	1300	13	320
0,33	1900	27	260
0,46	2470	46	480
0,60	3000	71	570
0,77	3660	108	660
0,90	4200	139	700
1,09	4850	188	670
1,28	5500	243	870
1,43	6000	291	960
1,58	6500	341	1010

4.  $w = 5,25 \, \Omega.$

F.L.	$P_0$	$\alpha$	$P_{\infty}$
0,12	840	9	0
0,18	1200	19	420
0,31	1830	45	280
0,46	2470	79	470
0,56	2870	110	500
0,67	3300	146	630
0,78	3700	184	600
0,92	4260	244	640
1,03	4660	299	890
1,14	5030	346	820



5.  $P_0 = \text{konst. } (\frac{1}{2} P_0^2 C = \text{konst.}).$

$w$	$\alpha$	
	$P_0 = 5030$	$P_0 = 3700$
5,25	346	184
10,10	204	110
15,00	144	78
19,93	112	60

II. Wärme im primären Kreise. Variation der Kapazität  
(Fig. 4).

$w = 5,25 \, \Omega. \quad E_a = 1 = 1065 \text{ Erg.}$

1.  $C = 0,00496 \text{ Mikrof. (1 Flasche).}$       2.  $C = 0,00982 \text{ Mikrof. (2 Flaschen).}$

F.L.	$P_0$	$\alpha$	$P_\infty$	F.L.	$P_0$	$\alpha$	$P_\infty$
0,17	1100	18	220	0,13	900	26	—
0,26	1600	38	250	0,18	1200	48	—
0,34	2000	58	250	0,29	1750	101	250
0,44	2400	86	250	0,36	2070	144	250
0,50	2650	107	570	0,45	2430	196	250
0,59	3000	137	610	0,52	2700	245	250
				0,59	3000	299	320

3.  $C = 0,01594 \text{ Mikrof. (3 Flaschen).}$       4.  $C = 0,02131 \text{ Mikrof. (4 Flaschen).}$

F.L.	$P_0$	$\alpha$	$P_\infty$	F.L.	$P_0$	$\alpha$	$P_\infty$
0,10	700	27	280	0,10	700	35	250
0,15	1000	58	—	0,15	1000	75	320
0,20	1300	92	250	0,20	1300	119	390
0,24	1500	121	—	0,24	1500	164	—
0,30	1800	179	320	0,29	1750	221	—
0,38	2150	258	370	0,36	2050	303	350
0,42	2300	298	390	0,38	2150	334	200



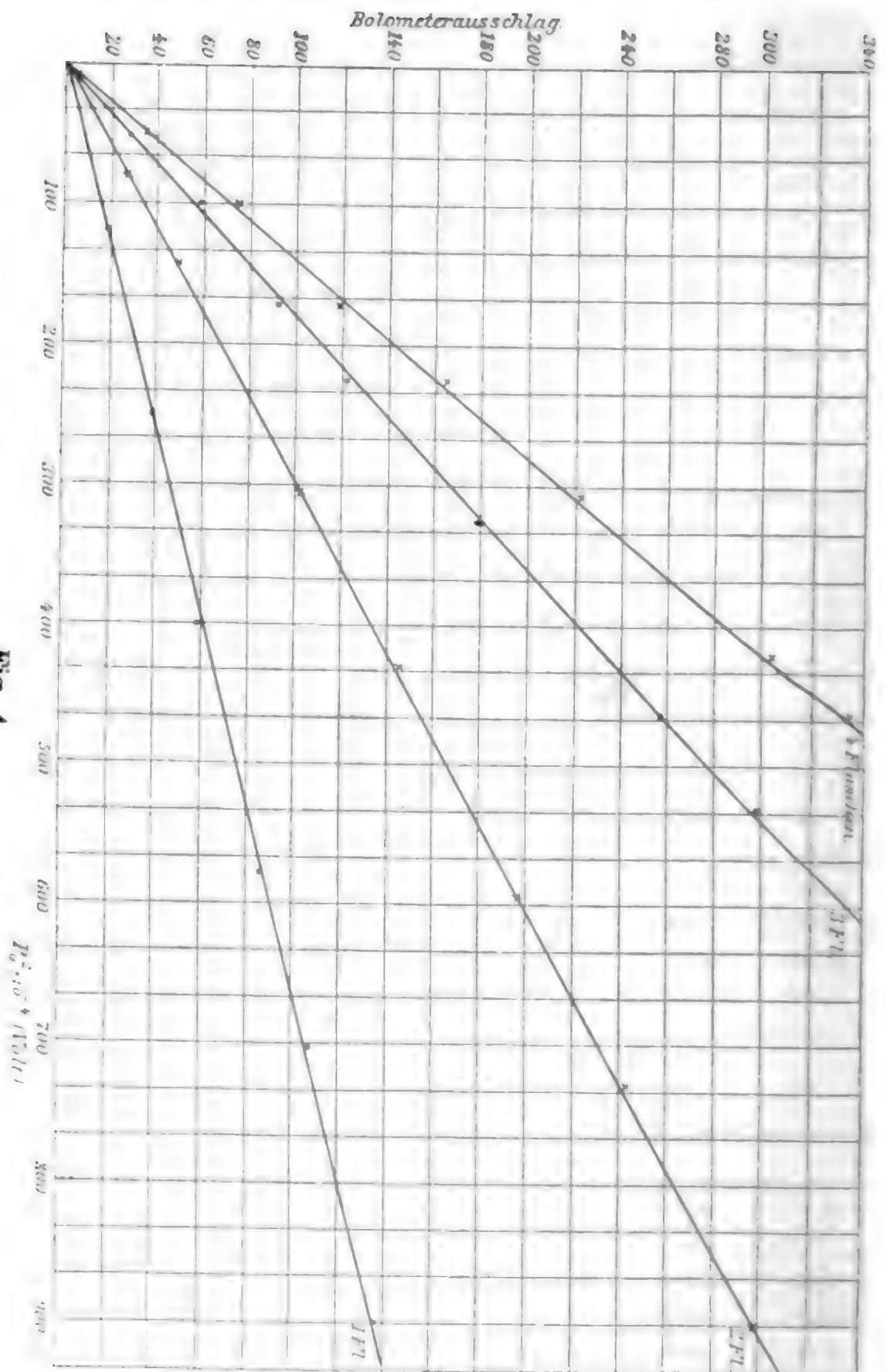


Fig. 4.

I. Kreis. Variation der Kapazität. Tab. II, 1—4.

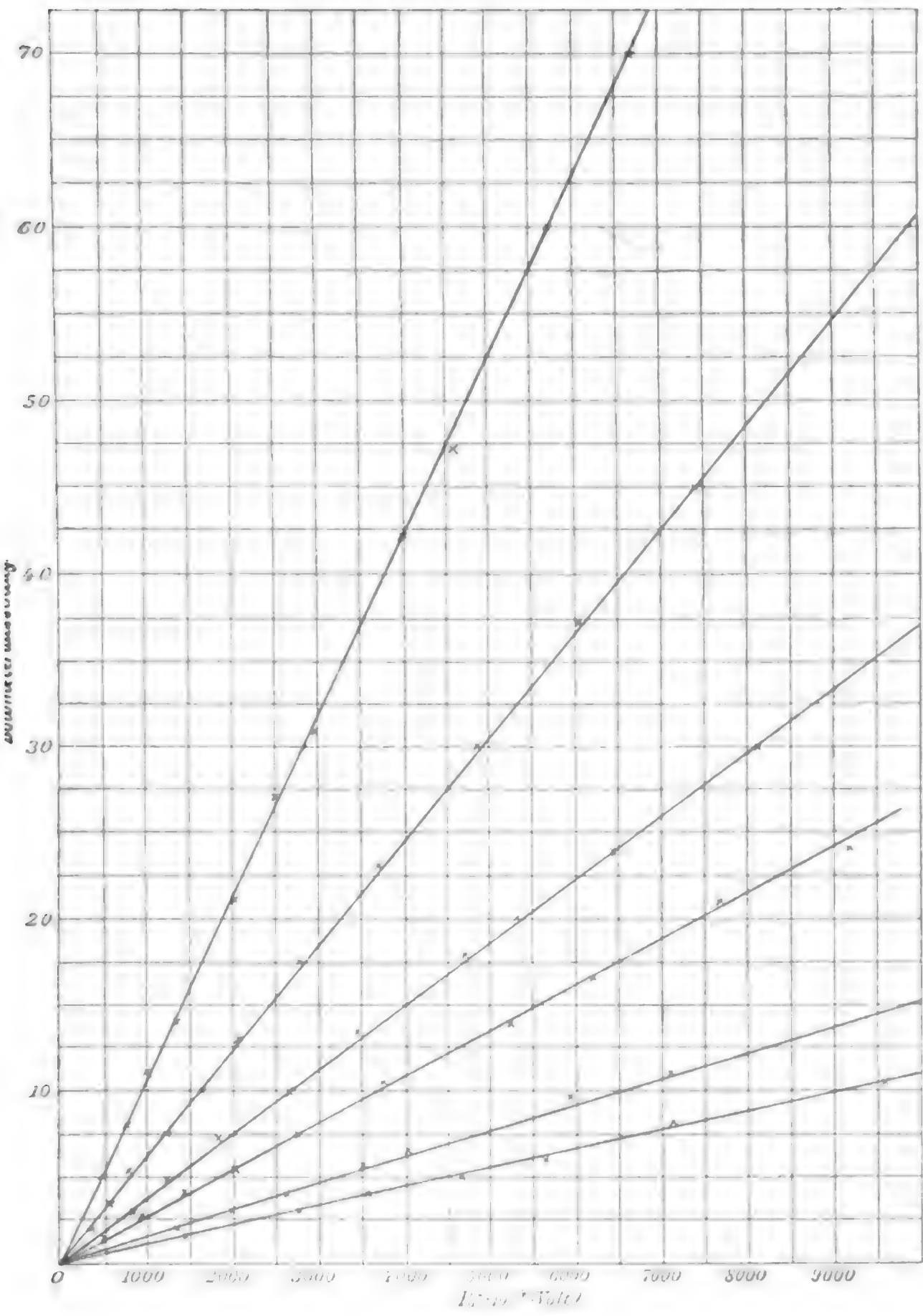


Fig. 5.

II. Kreis. Variation des Widerstandes ( $w$ ). Tab. III, 1—6.



6.  $w_1 = 0,29 \, \Omega$ .

F.L.	$P_0$	$\alpha$	$P_\infty$	F.L.	$P_0$	$\alpha$	$P_\infty$
0,37	2130	5,0	280	1,26	5450	31	880
0,53	2750	8,0	320	1,53	6330	42	780
0,63	3150	11,0	410	1,68	6800	47	850
0,73	3530	14	410	1,91	7550	60	900
0,99	4500	21	730	2,11	8150	70	960
1,13	5000	27	810				

7.  $P_0 = \text{konst.}$  ( $\frac{1}{2} P_0^2 C = \text{konst.}$ ). (Fig. 6.)

$w_1$ (Ohm)	$\alpha$		
	$P_0 = 8150$	$P_0 = 6330$	$P_0 = 4470$ (Volt)
0,29	70,0	42,0	21,0
1,395	40,25	24,25	12,0
3,215	24,75	15,0	7,4
5,14	18,0	10,75	5,25
10,04	10,0	6,0	3,0
14,97	7,4	4,5	2,25

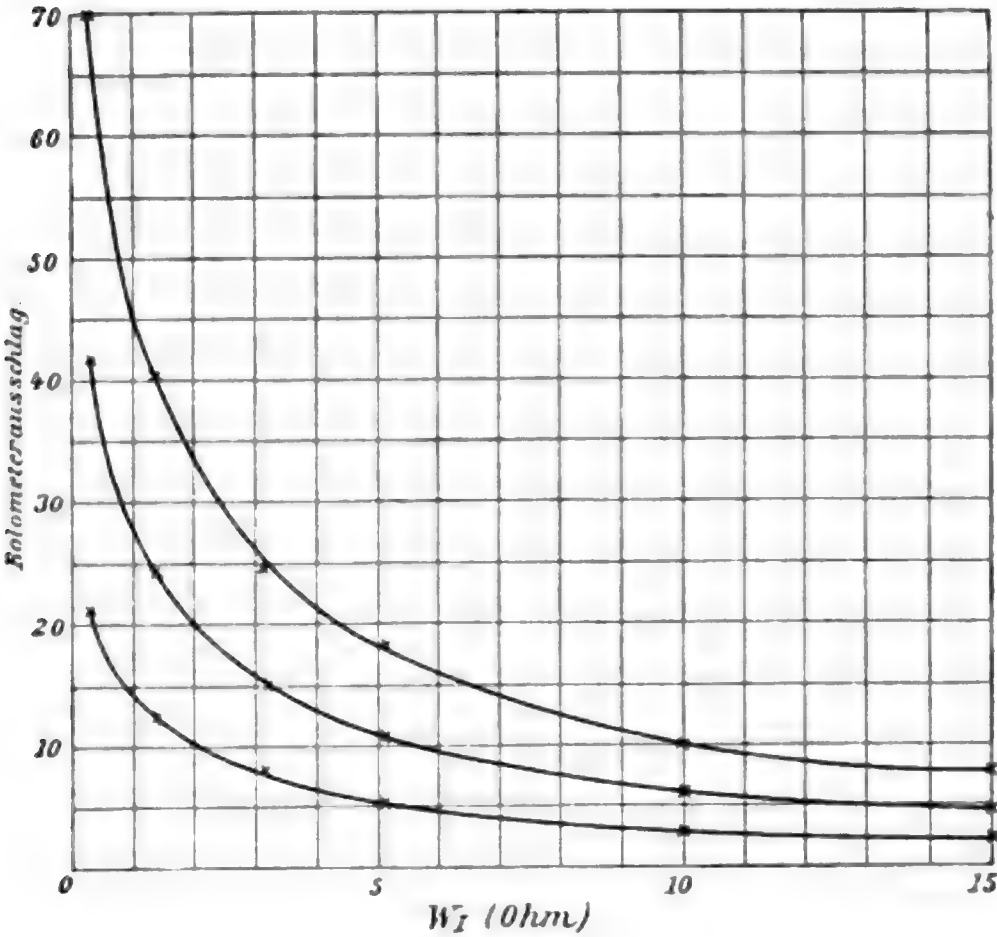


Fig. 6.

II. Kreis. Variation des Widerstandes ( $w_1$ ).  $P_0 = \text{konst.}$  Tab. III, 7.

## IV. Wärme im sekundären Kreise, Variation der Kapazität im primären Kreise. (Fig. 7)

$$w_1 = 0,29 \Omega. \quad w_{II} = 19,72 \Omega, \quad E_a = 1 = 1065 \text{ Erg.}$$

1.  $C = 0,00496$  Mikrof. (1 Flasche).2.  $C = 0,00982$  Mikrof. (2 Flaschen).

F.L.	$P_0$	$\alpha$	$P_\infty$
0,40	2250	4,5	250
0,92	4250	16	430
1,32	5650	28	630
1,55	6400	36	980
1,86	7400	48	850
2,27	8630	67	1210
2,64	9700	85	1140

F.L.	$P_0$	$\alpha$	$P_\infty$
0,54	2800	9,0	480
1,01	4600	26	370
1,40	5900	45	480
1,81	7200	69	780
2,08	8100	87	880
2,27	8630	100	920
2,69	9850	132	800

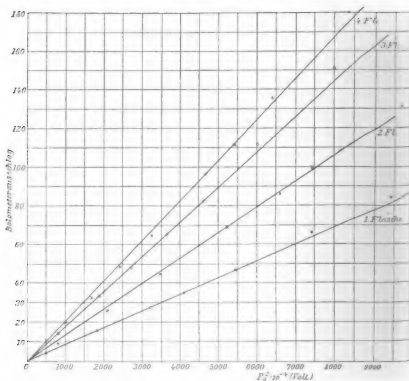


Fig. 7.

II. Kreis. Variation der Kapazität. Tab. IV, 1—4.

3.  $C=0,01594$  Mikrof. (3 Flaschen).

F.L.	$P_0$	$\alpha$	$P_\infty$
0,55	2830	18	250
0,93	4300	83	820
1,18	5170	48	660
1,44	6030	65	760
1,67	6770	83	830
1,83	7300	98	840
1,97	7730	111	900
2,38	8950	151	920

4.  $C=0,02131$  Mikrof. (4 Flaschen).

F.L.	$P_0$	$\alpha$	$P_\infty$
0,65	3200	20	480
0,86	4050	33	320
1,10	4900	49	420
1,33	5660	65	630
1,69	6830	97	520
1,85	7350	112	780
2,05	8000	136	610
2,45	9150	180	890

## II. Kapitel. Theoretischer Teil.

### § 1. Diskussion der Messungen im primären Kreise. Funkenenergie und Funkenwiderstand.

1. *Definition des mittleren Funkenwiderstandes.* Die Messungen der Energie im Entladungskreise selbst bei fehlendem induzierten Kreise wurden angestellt, um, wie schon früher gesagt, über die Energie und den Widerstand des Funkens etwas zu erfahren. Der Plan war die vom Funken absorbierte Energie zu berechnen als Differenz der gesamten entladenen Energie  $E = \frac{1}{2} C(P_0^2 - P_\infty^2)$  und der nach der Entladung in den Drähten des Schließungskreises befindlichen Wärmeenergie. Diese letztere ließ sich ja nach dem von Riess gefundenen Satze, daß die gesamte im metallischen Schließungskreise entwickelte Wärme sich auf die einzelnen Teile des Schließungskreises nach dem Maße ihres Widerstandes verteilt, ohne weiteres aus der im Bolometerdraht gefundenen Energie berechnen. Die so ermittelte Funkenenergie sollte dann in ihrer Abhängigkeit von den drei variierten Größen, nämlich der Anfangsspannung, dem Widerstand und der Kapazität studiert und als Funktion dieser Größen dargestellt werden. Ist  $E_F(P_0, w, C)$  diese Funktion, so könnte als ein Mittelwert für den Funkenwiderstand eine Größe  $x$  definiert werden durch die Gleichung:

$$E_F(P_0, w, C) = E \frac{x}{w + x},$$

woraus folgen würde

$$x = w \cdot \frac{E_F}{E - E_F} = w \cdot \frac{E_F / E}{1 - E_F / E}.$$



Die Gleichung sagt aus, daß die gesamte entladene Energie sich auf die einzelnen Teile des Schließungskreises nach dem Maße ihres Widerstandes verteilt, also im besonderen auch mit auf den Funken nach dem Maße seines Widerstandes. Sie ist somit gleichsam eine Erweiterung des oben benutzten Riessschen Satzes.

Es ist klar, daß der so rein energetisch definierte Funkenwiderstand nur ein Mittelwert sein kann und nie die Einzelheiten der Erscheinung in ihrer noch völlig unbekannten aber sicher großen Kompliziertheit genau wiedergeben wird. Um streng zu verfahren, hätte man ihn zunächst einmal als periodische Funktion der Zeit anzusetzen. Zur Durchführung eines solchen Ansatzes wären jedoch noch alle möglichen hypothetischen Annahmen nötig. Da der Ansatz überdies zu sehr großen mathematischen Schwierigkeiten führt, die sich besonders bei Einführung des induzierten Kreises noch häufen, so wurde hier davon Abstand genommen, das Problem in dieser Strenge durchzuführen. Wie sich später zeigen wird, macht die vom Funken verbrauchte Energie durchaus nicht einen so sehr kleinen Teil der gesamten entladenen Energie aus, und es scheint damit eine Vernachlässigung des Funkenwiderstandes als völlig unzulässig. Trotzdem ist die hier mit der Einführung des letzteren als einer zeitlich konstanten Größe gemachte Annäherung hinreichend genau, um auch die von der Theorie geforderten Einzelheiten der untersuchten Vorgänge wenigstens qualitativ wiederzugeben.

2. *Funkenenergie und Funkenwärme.* Um den mittleren Funkenwiderstand zu erhalten, haben wir vor allem die Funkenenergie  $E_F$  zu bestimmen. Wir verstehen unter  $E_F$  die Differenz der entladenen Energie und der in den Drähten des Schließungskreises gefundenen Jouleschen Wärme. Schon hier sei auf den Unterschied aufmerksam gemacht, der zwischen der Größe  $E_F$  und der schon oft gemessenen Funkenwärme besteht. Je nachdem man die eine oder andere dieser beiden Größen der Definition des mittleren Funkenwiderstandes zu Grunde legt, wird man natürlich auch zwischen zwei verschiedenen Größen  $x$  zu unterscheiden haben. In der Tat sind die Unterschiede zwischen dem hier bestimmten  $E_F$  und der gewöhnlich im Luftthermometer gemessenen Funkenwärme zum Teil sehr große.

So findet Kaufmann<sup>1)</sup> z. B. in dem Falle, daß zwei Leydener Flaschen von ziemlich derselben Kapazität wie die hier benutzten durch einen Kreis mit dem metallischen Widerstand  $w = 5 \Omega$  entladen wurden, nur etwa 5 Proz. der gesamten entladenen Energie im Funken als Wärme wieder und zwar bei einem Entladungspotentiale von 15 300 Volt, während die hier von uns bestimmte Funkenenergie  $E_F$  in dem entsprechenden Falle mindestens 21 Proz. der entladenen Energie ausmacht. Bei kleineren Entladungspotentialen würde der Unterschied noch ein größerer sein. Eine solche Differenz ist aber von vornherein zu erwarten, wenngleich die oben angegebene etwas groß erscheint. Den Vorgang im Funken hat man sich bekanntlich so vorzustellen, daß die primär in der Gasstrecke entwickelte Wärme für einen kurzen Moment eine ganz beträchtliche Temperaturerhöhung des Gases hervorruft. Infolgedessen wird sich dieses Gas ausdehnen und zwar wegen der sehr großen Erhitzung so schnell, daß es kaum Zeit hat, Wärme dabei an seine Umgebung abzugeben. Der Vorgang wird nahezu adiabatisch verlaufen; das Gas kühlt sich wieder ab. Auf diese Weise entsteht eine Druckwelle, die zum Teil durch das die Funkenstrecke bergende Glasgefäß (Luftthermometer) hindurchgeht und z. B. als Schall von uns wahrgenommen wird, zum Teil zu der bekannten Erschütterung der Elektroden Veranlassung gibt. Nur ein geringer Teil der Energie dieser Welle wird im Glasgefäße selbst in Wärme zurückverwandelt werden. Hiernach wird die schließlich im Luftthermometer gemessene Wärme zum größten Teil von den durch den Funken gleichfalls erwärmten Elektroden an das Glas durch Leitung oder Strahlung abgegeben. Aber auch von dieser an den Elektroden entwickelten Wärme muß ein Teil notwendig infolge der Fortleitung durch die metallischen Zuführungsdrähte für die Messung verloren gehen. Als andere Formen der Funkenenergie, die nicht in der Funkenwärme enthalten sein werden, wären schließlich noch zu nennen die Zerstäubungsarbeit, sowie einige chemische Prozesse, z. B. die Ozonbildung, während andere umgekehrt Wärme freimachen, z. B. die Oxydation. Die Größe dieser verschiedenen Energien

---

1) W. Kaufmann, Wied. Ann. 60. p. 653. 1897.

läßt sich schwer schätzen. Immerhin erscheint wohl die Behauptung gerechtfertigt, daß die Funkenwärme notwendig kleiner sein muß als die Funkenenergie  $E_F$ .

Andererseits ist aber auch zu beachten, daß die hier zu bestimmende Größe  $E_F$  nicht nur im Funken oder an den Elektroden auftretende thermische oder mechanische Energie zu sein braucht. So ist in jener Differenz der entladenen elektrischen Energie und der nach der Entladung in den Drähten des Schließungskreises gefundenen Jouleschen Wärme doch auch jede andere nicht in diese Joulesche Wärme verwandelte Energie enthalten. Hierher gehört vor allem die zur Erwärmung des Dielektrikums zwischen den Belegungen der Leydener Flaschen verbrauchte Arbeit. Ein Verlust an Energie durch Zerstäubung oder Knickung der als Vorschaltwiderstände und Bolometerdrähte benutzten feinen Platindrähte wurde ja dadurch zu vermeiden gesucht, daß nur mit kleinen Elektrizitätsmengen operiert wurde. Wegen solcher Verluste würde also die Größe  $E_F$  kleiner anzunehmen sein, damit sie wirklich die im Funken verbrauchte Energie darstellt. Schließlich darf nicht vergessen werden, daß die Art der Bestimmung von  $E_F$  als Differenz zweier größerer Werte die Genauigkeit der für  $E_F$  gefundenen Werte herabsetzt trotz der großen Genauigkeit der benutzten bolometrischen Methode.

3. *Mutmaßliche Abhängigkeit der Funkenenergie und des Funkenwiderstandes von den Variablen des Entladungsvorganges.* Bei einem Versuche, die Resultate der Beobachtung klar und übersichtlich darzustellen, stößt man auf nicht unerhebliche Schwierigkeiten besonders wohl aus dem Grunde, weil bei den Messungen zu gleicher Zeit immer verschiedene Größen geändert wurden. So ändert sich mit dem Anfangspotentiale naturgemäß auch die Funkenlänge, mit der Kapazität bei konstantem Anfangspotentiale und konstantem Widerstande nicht nur die Stromstärke, sondern auch die Schwingungsdauer etc. Es erscheint daher wohl angebracht, schon hier gewisse theoretische Überlegungen und Analogien heranzuziehen, welche zwar stets nur angenähert gelten, aber doch eine gute qualitative Übersicht gestatten.

Duddel<sup>1)</sup> lagerte über einen Gleichstromlichtbogen einen

1) W. Duddel, Proc. Roy. Soc. 68. p. 512. 1901.

schwachen Wechselstrom und untersuchte, welchen Widerstand dieser Wechselstrom im Lichtbogen fand. Er stellte fest, daß bei großen Perioden des Wechselstromes sich der Lichtbogen diesem gegenüber verhält wie ein induktiver Widerstand. Mit abnehmender Periode nahm die Induktanz ab, was sich an der algebraischen Zunahme des Arbeitsfaktors zeigte. Bei ca. 5000 Wechseln pro Sekunde war der Arbeitsfaktor gleich 1: der Lichtbogen verhielt sich also hier dem Wechselstrom gegenüber wie ein induktionsfreier Widerstand. Dies blieb so, wie sehr auch darüber hinaus die Wechselzahl des übergelagerten Wechselstromes gesteigert werden mochte (bis 120 000). Mit abnehmender Periode des Wechselstromes nahm also der Ohmsche Widerstand des Lichtbogens den Stromschwankungen gegenüber dauernd zu, und zwar auf Kosten des induktiven. Von einer gewissen Frequenz ab aufwärts war der Widerstand des Lichtbogens ein rein Ohmscher; der Strom war mit der ihn erzeugenden elektromotorischen Kraft in Phase.

Nun hat man bekanntlich den Funken aufzufassen als eine Form der elektrischen Selbstentladung, welche in kürzester Zeit von dem Spitzenstrom in den Glimm- und Bogenstrom übergeht. Den die oszillatorische Kondensatorentladung bewirkenden Funken werden wir im besonderen betrachten können als den Lichtbogen eines allmählich verschwindenden Wechselstromes mit sehr großer Amplitude und Wechselzahl. Da nun sicher in der kurzen Zeit zwischen zwei aufeinander folgenden Oszillationen der Raum zwischen den Elektroden mit Metaldampf und auch freien Ionen erfüllt bleibt, so liegt es nahe, die Verhältnisse im oszillierenden Funken zu vergleichen mit denen im Gleichstromlichtbogen, dem ein schwacher Wechselstrom überlagert ist. In beiden Fällen haben wir einen mit erhitztem Gas und Metaldampf sowie freien Ionen erfüllten Raum, durch den ein Wechselstrom fließt. Der Unterschied ist nur der, daß im Funken die Stromschwankungen sehr beträchtlich sind. Dementsprechend wird zwar die Elektrodenspannung sinken oder doch nahezu konstant bleiben beim Anwachsen der Stromstärke, oder das Verhältnis  $e/i$  wird abnehmen; andererseits wird aber auch eine Abhängigkeit von der Periode der Stromschwankungen zu erwarten sein. Wegen der sehr großen Beträge dieser Stromschwankungen wird näm-



lich erst bei einer sehr viel kleineren Periode derselben der Fall eintreten, daß sich die ionisierte Gasstrecke wie ein Ohmscher Widerstand verhält. Mit abnehmender Periode der Schwingungen wird also beständig der Teil des Widerstandes im Funken wachsen, bei dessen Überwindung der Strom Arbeit leistet. Mit diesem Teil des Widerstandes ist aber offenbar unser oben definiertes  $x$  identisch.

Außer von der Stromstärke und ihrer zeitlichen Änderung wird der Funkenwiderstand noch abhängen von der Länge des Funkens. Er wird zunehmen mit wachsender Funkenlänge und umgekehrt.

In ganz entsprechender Weise können wir auch über die mutmaßliche Größe der vom Funken verbrauchten Energie etwas aussagen. — Erzeugt eine wechselnde elektromotorische Kraft von der effektiven Größe  $e$  zwischen zwei Punkten des Raumes einen Strom, dessen effektive Größe  $i$  sei und der gegen die ihn treibende Kraft in der Phase um den Winkel  $\varphi$  verschoben sei, so wird in der Zeit  $\Delta t$  die Arbeit geleistet:

$$E_F = e \cdot i \cdot \cos \varphi \cdot \Delta t.$$

In unserem Falle wird  $e$  angenähert proportional der Funkenlänge, also  $P_0$ , gesetzt werden können. Die mittlere Stromstärke  $i$  ist die im Mittel während der Zeiteinheit durch den Funken hindurchgehende Elektrizitätsmenge oder auch die mittlere während einer Oszillation entladene Elektrizitätsmenge, dividiert durch die Dauer der Oszillation. Diese ist bei konstanter Dämpfung proportional:  $P_0 \cdot C / \sqrt{Q C}$ ; denn die während einer Oszillation entladene mittlere Elektrizitätsmenge ist proportional  $P_0 \cdot C$ , und die Oszillationsdauer ist proportional  $\sqrt{Q C}$ . Die Dauer der Entladung  $\Delta t$  haben wir schließlich anzunehmen als ein ganzes Vielfaches der Periode der Schwingungen, also proportional  $\sqrt{Q C}$ , während der Arbeitsfaktor  $\cos \varphi$  nach den obigen Überlegungen umgekehrt proportional der Schwingungsdauer angenommen werden kann. Mit Rücksicht hierauf geht die obige Formel über in:

$$\begin{aligned} E_F &= \Gamma \cdot P_0 \cdot \frac{P_0 \cdot C}{\sqrt{Q C}} \cdot \frac{1}{\sqrt{Q C}} \cdot \sqrt{Q \cdot C}, \\ &= \Gamma \cdot P_0^2 \sqrt{\frac{C}{Q}}. \end{aligned}$$

Die Formel gilt nur, wie schon bemerkt, für den Fall konstanter Dämpfung. Die Dämpfung hängt ab von dem Widerstand  $w$  und dem Koeffizienten der Selbstinduktion  $Q$  des Schließungskreises, sie nimmt zu mit wachsendem Widerstand  $w$  bei konstantem  $Q$  und mit abnehmendem  $Q$  bei konstantem  $w$ . Das genaue Gesetz dieser Abhängigkeit läßt sich von vornherein nicht angeben. Die aus den Kirchhoffschen Formeln für die oszillatorische Kondensatorentladung folgende logarithmische Dämpfung scheint durch neuere Versuche nicht bestätigt zu werden (vgl. z. B. Richarz und Ziegler).<sup>1)</sup> Demnach werden wir in der letzten Formel  $\Gamma$  als eine Funktion von  $w$  und  $Q$  zu betrachten haben, welche umgekehrt zunimmt mit wachsendem  $Q$  bei konstantem  $w$  und mit abnehmendem  $w$  bei konstantem  $Q$ , über deren Verlauf das Experiment aufzuklären hat:

$$E_F = \Gamma\left(\frac{Q}{w}\right) \cdot P_0^2 \cdot \sqrt{\frac{C}{Q}}.$$

Nach diesen vorbereitenden Erörterungen erledigt sich die Diskussion der Resultate der Beobachtungen in einfachster Weise.

4. *Variation der Anfangsspannung.* Die Abhängigkeit der Funkenenergie und des Funkenwiderstandes von der Anfangsspannung  $P_0$  bei konstantem Widerstande und konstanter Kapazität ist in all den oben angegebenen Tabellen, die sich auf die Messungen der Energie im primären Kreise beziehen, gleichmäßig gut ausgeprägt. Überall zeigt sich eine gute Proportionalität der Bolometerausschläge  $\alpha$  mit  $P_0^2$  bis etwa  $P_0 = 5000$  Volt. Oberhalb dieses Wertes wachsen dagegen durchweg die Bolometerausschläge etwas schneller an als  $P_0^2$ , und dementsprechend muß die vom Funken verbrauchte Energie etwas langsamer wachsen als  $P_0^2$ . Da jedoch die nach der Entladung in der Kapazität zurückbleibende Energie auch etwas langsamer zunimmt als  $P_0^2$ , wodurch ebenfalls jenes schnellere Anwachsen der Bolometerausschläge bewirkt werden könnte, so ist es bei der Kleinheit des beobachteten Effektes nötig, einige Werte der Funkenenergie zu berechnen. Wegen der geringen Genauigkeit der beobachteten Spannungen  $P_\infty$  kommen unter den so berechneten Werten ziemliche Schwankungen vor, doch zeigen die folgenden Zahlen, welche

1) F. Richarz u. W. Ziegler, Ann. d. Phys. 1. v. 468. 1900.



einigen Beobachtungen der Tab. I, 1 entsprechen, deutlich den genannten Verlauf:

Tabelle 1.

$$w = 20,03 \, \Omega. \quad C = 0,00496 \text{ Mikrof.}$$

F L. mm	$P_0$ Volt	$P_\infty$ Volt	$\alpha$	$E_F$ (Erg)	$E_F/E$	$x (\Omega)$
0,67	3300	660	47	31 080	0,120	2,72
1,16	5100	890	114	71 920	0,115	2,59
1,58	6500	1080	187	110 900	0,109	2,44
2,24	8550	1360	334	145 400	0,082	1,78

*Bei höheren Entladungspotentialen ( $P_0 > 5000$  Volt) wächst also die Funkenenergie etwas langsamer als  $P_0^2$ , oder  $E_F/E$  nimmt ab. Daraus folgt, daß mit wachsendem Entladungspotential der Funkenwiderstand abnimmt.*

Dieses Verhalten kann gemäß den obigen Betrachtungen auf folgende Weise erklärt werden. Mit wachsendem Anfangspotentiale wächst bei konstantem Widerstande und konstanter Kapazität nicht nur die Stromstärke, sondern auch die Funkenlänge. Mit wachsender Stromstärke nimmt der Funkenwiderstand ab, mit wachsender Funkenlänge zu. — Nun zeigt zwar die Ayrtonsche Formel für die Abhängigkeit der Elektrodenspannung von der Stromstärke und dem Elektrodenabstand beim Gleichstromlichtbogen, daß bei sehr großen Stromstärken die Abnahme der Elektrodenspannung mit wachsender Stromstärke fast völlig verschwindet und lediglich eine geringe Zunahme derselben mit wachsendem Elektrodenabstand übrig bleibt. In Analogie zu diesen Verhältnissen wurde früher die Elektrodenspannung  $e$  des Funkens proportional  $P_0$  gesetzt. Daraus würde folgen, daß der Funkenwiderstand ( $e/i$ ) unabhängig von  $P_0$  ist. Es ist jedoch zu beachten, daß es sich hier nicht um die zwar sehr großen maximalen Werte, sondern nur um Mittelwerte der Stromstärke handelt. Diese Mittelwerte werden wesentlich abhängen von dem Entladungspotential, dann aber auch von der Dämpfung, also dem Widerstande und der Selbstinduktion, und schließlich von der Kapazität. Insofern wird es also auch von diesen Größen abhängen, ob die Abnahme des Funkenwiderstandes wegen der

Zunahme der mittleren Stromstärke oder die Zunahme des Funkenwiderstandes wegen der Zunahme der Funkenlänge überwiegt. So muß das aus der oben mitgeteilten Tabelle gefolgerte Gesetz von der Abnahme des Funkenwiderstandes mit wachsendem Entladungspotential eher gelten für große Widerstände im Schließungskreise als für kleine; denn bei großen Widerständen, also kleinen mittleren Stromstärken ist die Abnahme der Elektrodenspannung mit wachsender Stromstärke größer als bei kleinen Widerständen. Aus demselben Grunde muß der Effekt auch deutlicher sein bei Entladung einer kleinen Kapazität als einer großen. Die Erscheinung ist jedoch in den oben mitgeteilten Beobachtungen zu wenig ausgeprägt, um alle jene von der Theorie geforderten Abweichungen von dem oben aufgestellten Gesetze sicher zu zeigen. Es genüge also, noch einmal hervorzuheben, daß das obige Gesetz eine allgemeine Gültigkeit nicht besitzen kann.

Zu einer genaueren Verfolgung dieser Verhältnisse auch nach der quantitativen Seite hin war die hier benutzte Anordnung aus dem einfachen Grunde nicht brauchbar, weil die Entladung einer selbst sehr viel kleineren Kapazität bei den dazu nötigen höheren Spannungen durch den feinen Bolometerdraht natürlich nicht möglich war. Doch mag hier ein anderer Versuch erwähnt werden, der zwar auch nicht die gewünschte Aufklärung gibt und kaum geben kann, aber dennoch Interesse verdient. Bei den Messungen der Energie im sekundären Kreise zeigte sich nämlich dasselbe charakteristische schnellere Anwachsen der Bolometerausschläge, welches wieder nur mit einer Abnahme des mittleren Funkenwiderstandes zu erklären ist. Natürlich kann der Funkenwiderstand nicht dauernd abnehmen; er muß also ein Minimum besitzen, dem in der Kurve, welche die Abhängigkeit der im sekundären Kreise gemessenen Wärme von dem Quadrat der Anfangsspannung wiedergibt, ein Wendepunkt entsprechen wird. Um dieses Minimum zu suchen, wurde eine sehr viel kleinere Kapazität als die gewöhnlich benutzten eingeschaltet. Diese konnte jetzt, wo der Entladungskreis nur aus dicken Kupferdrähten bestand, auf ein sehr viel höheres Anfangspotential geladen werden als früher. Es zeigte sich, daß die beobachteten Bolometerausschläge zunächst nahezu proportional  $P_0^2$  anwachsen bis

zu einer Funkenlänge von 2—3 mm, dann aber immer langsamer, um von 4—5 mm Funkenlänge ab bis hinauf zu 10 mm nur noch proportional  $P_0$  und zwar ziemlich konstant zuzunehmen. In Fig. 8 stellt Kurve I die Abhängigkeit des Bolometerausschlages von der mit  $P_0$  proportionalen Funkenlänge dar, die Kurve II die Abhängigkeit jenes Bolometerausschlages von dem Quadrate der Funkenlänge. Wenn jenes Minimum des

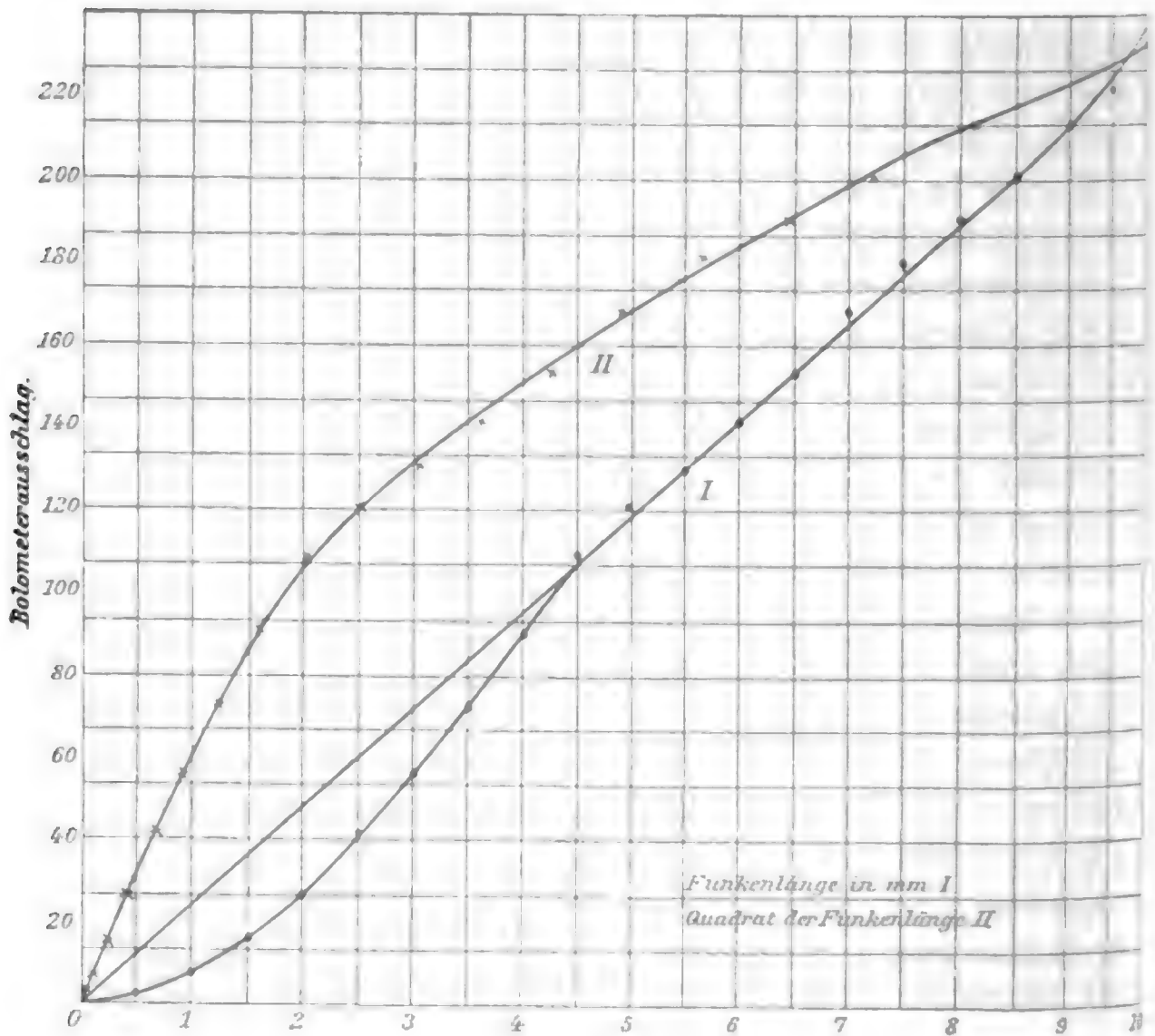


Fig. 8.

Wärme im sekundären Kreise bei höheren Entladungspotentialen.

Funkenwiderstandes also überhaupt vorhanden war, so muß es nur sehr schwach ausgeprägt gewesen sein. Nach den obigen Überlegungen ist es aber auch kaum anders zu erwarten; denn war auch in dem obigen Versuche die entladene Kapazität kaum halb so groß wie bei dem in der Tab. 1 behandelten, so war doch der Widerstand im Entladungskreise auch mehr als 40 mal kleiner. Die Stromstärke im Entladungskreise

war also sehr groß und folglich die Zunahme des Funkenwiderstandes infolge der Zunahme der Funkenlänge größer als seine Abnahme mit wachsender Stromstärke.

Was bisher gesagt wurde von dem Funkenwiderstande, läßt sich ohne weiteres auf die Funkenenergie übertragen. Auch ihr Verhalten bei wachsendem Entladungspotential wird ein verschiedenes sein, wenn die übrigen Parameter des Vorganges, also vor allem Widerstand und Kapazität, verschieden gewählt werden. Praktisch wird man die Funkenenergie bei kleinen Funkenlängen proportional dem Quadrat des Entladungspotentials setzen können und entsprechend den Funkenwiderstand unabhängig von dem Entladungspotential anzunehmen haben.

5. *Variation des Widerstandes.* Weiter wurden die Funkenenergie und der Funkenwiderstand in ihrer Abhängigkeit von dem metallischen Widerstande  $w$  des Schließungskreises bei konstantem Entladungspotentiale und konstanter Kapazität untersucht. Es ergaben sich z. B. die Werte für

$$\left. \begin{array}{l} C = 0,00496 \text{ Mikrof.} \\ P_0 = 8700 \text{ Volt} \\ P_\infty \sim 670 \text{ „} \end{array} \right\} E = 328\,400 \text{ Erg.}$$

Tabelle 2.

$w$ (Ohm)	$\alpha$	$E_F$	$E_F / E$	$x$ (Ohm)
5,35	184	89 770	0,273	2,01
10,20	110	56 420	0,172	2,12
15,10	78	42 890	0,131	2,28
20,03	60	37 070	0,113	2,58

*Mit wachsendem Drahtwiderstande im Schließungskreise nimmt also bei konstantem Entladungspotentiale und konstanter Kapazität die Funkenenergie ab, dagegen der Funkenwiderstand zu.*

Da bei diesen Versuchen nur der Widerstand im Schließungskreise, also die Dämpfung, variiert wurden, so ändert sich auch nur die mittlere Stromstärke, sofern man absieht von der sehr geringen Änderung der Schwingungsdauer mit dem Widerstande. Mit wachsendem Widerstande  $w$  nimmt die mittlere Stromstärke ab, also der Widerstand  $x$  zu, wie die Tabelle zeigt.

Auch die oben gefundene Abnahme der Funkenenergie mit wachsendem  $w$  entspricht durchaus der früher aufgestellten Formel. Die dort benutzte Funktion  $\Gamma(Q/w)$  nimmt mit wachsendem  $w$  ab. Ihr genauerer Verlauf ist noch zu ermitteln aus den in der Tabelle mitgeteilten vier Werten. Diese Interpolation bietet in dem für die späteren Induktionsversuche besonders wichtigen Falle kleiner Widerstände  $w$  im Entladungskreise gewisse Schwierigkeiten, weil die zu bestimmende Funktion gerade für kleine Widerstände sehr steil ansteigt. Macht man die wohl zulässige Annahme, daß in dem Grenzfalle  $w = 0$  die gesamte entladene Energie im Funken verbraucht wird, so wird dadurch ein fünfter Punkt der gesuchten Kurve festgelegt. Die benutzte Annäherungskurve ist eine gleichseitige Hyperbel mit der Gleichung:

$$(E_F - A)(w + B) = C$$

oder:

$$E_F = A + \frac{C}{w + B},$$

welche für  $w = 0$  liefert:

$$E_F = A + \frac{C}{B} = E$$

und für  $w = \infty$ :

$$E_F = A$$

und die wir daher auch schreiben können in der Form:

$$E_F = E - \frac{C}{B} \frac{w}{w + B} = E - a \frac{w}{w + b}.$$

Diese Formel ist aber nur brauchbar für Widerstände, welche größer als etwa  $3 \Omega$  sind. Für kleinere Widerstände ist das Ansteigen der durch sie bestimmten Kurve immer noch nicht steil genug, wie sich bei Vergleichung der unter Benutzung jener Formel für den sekundären Kreis berechneten Wärmemengen mit den gemessenen ergab. Bis etwa  $0,4 \Omega$  erwies sich bei der hier benutzten Kapazität die folgende erweiterte Interpolationsformel als brauchbar:

$$E_F = E - a \frac{w}{w + b} - \frac{c}{w} \text{ (Fig. 9).}$$

Für die Konstanten  $a$  und  $b$  ergeben sich aus den in der Tabelle mitgeteilten Werten der Funkenenergie, also für eine Entladungsspannung  $P_0 = 3700$  Volt, eine Kapazität von



$C = 0,00496$  Mikrof., sowie den bei der benutzten Anordnung nahe konstant gehaltenen Koeffizienten der Selbstinduktion  $Q = 545 \cdot 10^{-20}$  bis  $585 \cdot 10^{-20}$  elektrostatische Einheiten:

$a = 317$ ,  $b = 1,75$ , während  $c = 4,86$  zu setzen ist.

Hierbei ist die Energie gerechnet in  $10^3$  Erg, der Widerstand in Ohm.

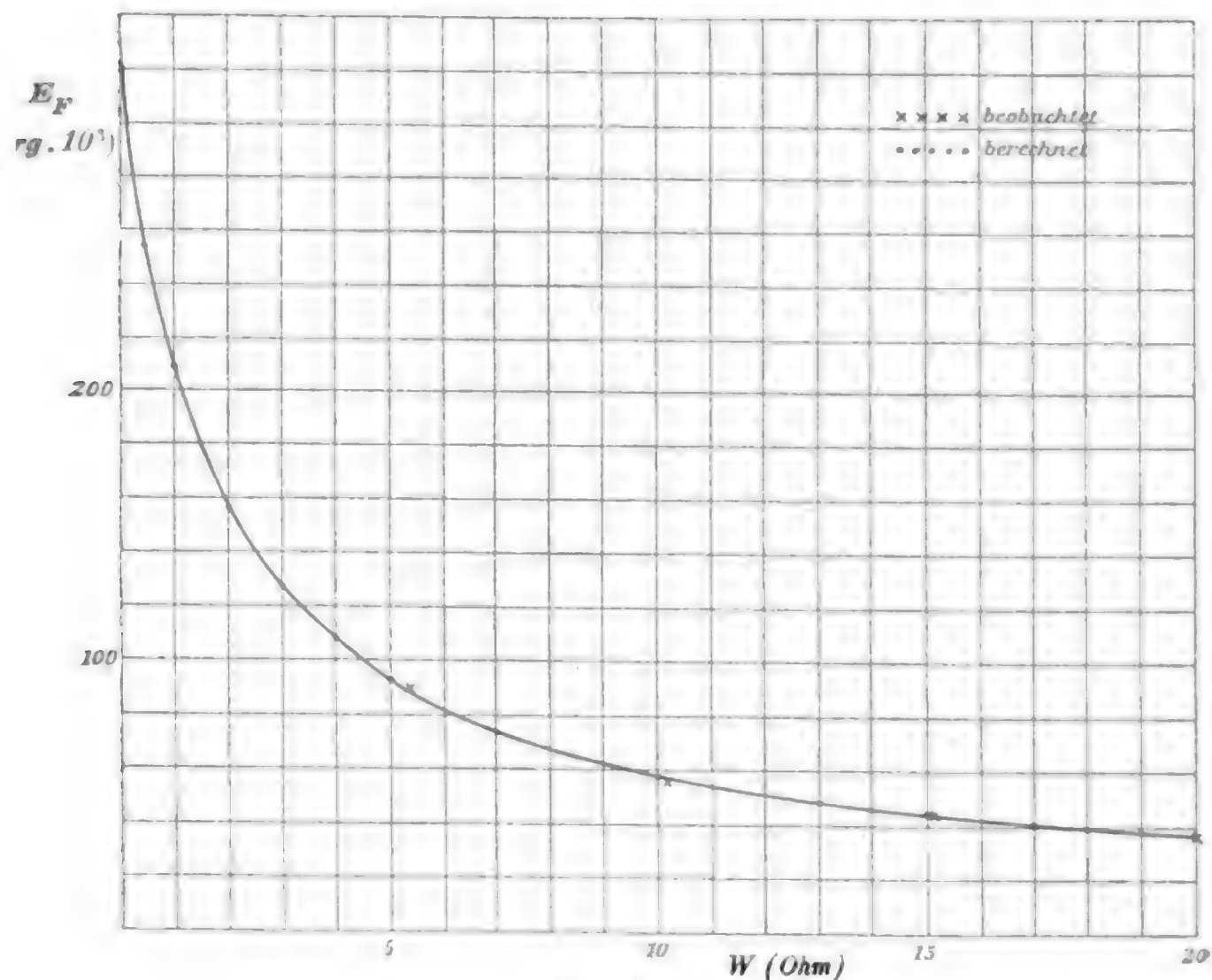


Fig. 9.

$$E_F = E - a \frac{w}{w + b} - \frac{c}{w}. \quad (\text{Tab. 2.})$$

6. *Variation der Kapazität.* Die Kapazität wurde in vier verschiedenen Stufen variiert, indem nacheinander eine bis vier große Leydener Flaschen eingeschaltet wurden. Es zeigte sich jedoch, daß die Werte, welche mit vier Flaschen für Funkenenergie und Funkenwiderstand erhalten wurden, durchaus nicht stimmen mit denen bei weniger Flaschen. Diese Abweichung ist bei der gut ausgeprägten Gesetzmäßigkeit der zu besprechenden Erscheinungen so auffällig, daß sie wohl nur mit einer Änderung



der Entladungsform zu erklären ist. Allerdings zeigen die Formeln selbst für sehr viel größere Widerstände und Kapazitäten im Schließungskreis die aperiodische Entladungsform noch nicht an.

Der Widerstand des bei allen diesen Versuchen ungeändert beibehaltenen Entladungskreises änderte sich, abgesehen von dem Widerstande des Funkens, nur so weit, als er von der mit der Kapazität geänderten Schwingungsdauer abhängt. Doch beträgt diese Änderung im Maximum nur  $0,04 \Omega$  und kann vernachlässigt werden, da der Ohmsche Widerstand der Drähte des Schließungskreises  $5,35 \Omega$  betrug.

Die Beobachtungen bei konstantem Entladungspotential und die daraus berechneten Größen gibt die folgende Tabelle.

Tabelle 3.

$$w = 5,35 \Omega. \quad P_0^2 = 500 \cdot 10^4 \text{ Volt.}$$

$C$	$P_\infty$	$a$	$E_F$	$E_F / E$	$x$ (Ohm)
0,00496	250	75	35 600	0,290	2,18
0,00982	300	165	50 000	0,210	1,42
0,01592	380	279	64 000	0,165	1,055
[0,02131	400	359	100 000	0,190	1,255]

Es verhalten sich also, wenn die oberen Striche die entsprechende Flaschenzahl angeben:

$$E'_F : E''_F : E'''_F = 35,6 : 50,0 : 64,0.$$

Andererseits ist

$$\begin{aligned} \sqrt{C'} : \sqrt{C''} : \sqrt{C'''} &= 22,27 : 31,3 : 39,9 \\ &= 35,6 : 50,0 : 63,8. \end{aligned}$$

Bei konstantem Widerstande  $w$  und konstantem Entladungspotentiale wachsen demnach die Funkenenergien wie die Wurzeln aus den Kapazitäten; der Funkenwiderstand nimmt ab mit wachsender Kapazität. Der Satz gilt nur für nicht zu große Kapazitäten ( $C \leq 0,01592$  Mikrof.).

Bei diesem Versuche wurde mit der Kapazität nicht nur die entladene Elektrizitätsmenge, sondern auch die Schwingungsdauer geändert. Mit wachsender Kapazität wächst bei konstantem Anfangspotentiale  $P_0$  die entladene Elektrizitätsmenge; die mittlere Stromstärke nimmt zu, also der Funken-

widerstand ab. Es wächst außerdem die Periode der Schwingungen, was nach den früheren Überlegungen gleichfalls eine Abnahme des Funkenwiderstandes zur Folge hat. Dies entspricht dem oben gefundenen Verhalten von  $x$ .

Für die Funkenenergie folgt aus der oben aufgestellten Beziehung in dem hier behandelten Falle:

$$P_0 = \text{konst.}, \quad w = \text{konst.}, \quad Q = \text{konst.};$$

$$E_F = \text{konst.} \sqrt{C}$$

gleichfalls in Übereinstimmung mit dem Experimente.

Eine zweite hierher gehörende Frage wäre die nach der Änderung von Funkenenergie und Funkenwiderstand, wenn bei konstantem metallischen Widerstande  $w$  des Schließungskreises gleichzeitig  $P_0$  und  $C$  so geändert werden, daß  $P_0^2 \cdot C$ , also die gesamte in das System hineingesteckte und an den Oszillationen teilnehmende Energie, konstant bleibt. Hier ergibt sich z. B. für:

$$\frac{P_0^2}{2} \cdot C = 228\,400 \text{ Erg}, \quad w = 5,35 \, \Omega.$$

Tabelle 4.

$C$	$P_0^2 \cdot 10^{-4}$	$P_\infty^2 \cdot 10^{-4}$	$\alpha$	$E_F$	$E_F / E$	$x$ (Ohm)
0,00496	925	4	140	66 600	0,290	2,18
0,00982	464	6	154	46 600	0,207	1,40
0,01594	287	9	160	36 300	0,172	1,11
[0,02131	215	11	154	39 100	0,180	1,17]

Also:

$$\begin{aligned} E_F' : E_F'' : E_F''' &= 66,6 : 46,6 : 36,3, \quad \times \\ \frac{1}{\sqrt{C'}} : \frac{1}{\sqrt{C''}} : \frac{1}{\sqrt{C'''}} &= 44,9 : 31,9 : 25,1, \\ &= 66,6 : 47,4 : 37,2. \quad \times \end{aligned}$$

Ändert man bei konstantem  $w$  gleichzeitig  $P_0$  und  $C$  so, daß  $P_0^2 \cdot C$  konstant bleibt, so verhalten sich die Funkenenergien umgekehrt wie die Wurzeln aus den Kapazitäten. Der Funkenwiderstand nimmt auch hier ab mit wachsender Kapazität.

Hier bleibt zwar die mittlere Stromstärke konstant entsprechend der schon früher benutzten Formel:

$$i = f\left(\frac{Q}{w}\right) \frac{P_0 C}{\sqrt{Q C}},$$

welche für  $P_0^2 C = \text{konst.}$  liefert:

$$i = f\left(\frac{Q}{w}\right) \frac{\text{konst.}}{\sqrt{C}} \cdot \frac{C}{\sqrt{Q C}}.$$

Der Funkenwiderstand mußte aber trotzdem abnehmen mit wachsender Kapazität und abnehmendem Anfangspotentiale, weil sowohl die Perioden der Schwingungen zunahm als auch die Funkenlänge abnahm.

Die früher gefundene Formel für die Funkenenergie:

$$E_F = I \cdot P_0^2 \sqrt{\frac{C}{Q}}$$

geht für den vorliegenden Fall:

$$P_0^2 \cdot C = \text{konst.}$$

über in:

$$E_F = \frac{\text{konst.}}{\sqrt{C}},$$

wie das Experiment fordert.

7. *Variation des Koeffizienten der Selbstinduktion.* Schließlich wurde noch ein Versuch angestellt, welcher die Abhängigkeit des Funkenwiderstandes und der Funkenenergie von dem Koeffizienten der Selbstinduktion aufklären sollte. Aus den früheren theoretischen Überlegungen geht ja hervor, daß eine alleinige Änderung dieses Koeffizienten der Selbstinduktion  $Q$  einen zweifachen Einfluß hat. Mit wachsendem  $Q$  wächst die Schwingungsdauer wie  $\sqrt{Q}$ , und die Dämpfung nimmt ab. Die Formel für die Funkenenergie:

$$E_F = I \left(\frac{Q}{w}\right) \cdot P_0^2 \cdot \sqrt{\frac{C}{Q}}$$

zeigt weiter, daß diese beiden Wirkungen sich zum Teil kompensieren müssen in Bezug auf die Funkenenergie. In welchem Sinne und wie weit dies geschieht, kann allein das Experiment zeigen. Höchstens könnte man noch aus dem Umstande, daß

in der allgemeinen Formel für den Dämpfungsexponenten bei der oszillatorischen Kondensatorentladung  $\alpha = w/2 Q$   $w$  und  $Q$  in derselben Potenz vorkommen und daß ferner, wie aus der Tab. 2 folgt, bei konstanter Kapazität und konstantem Anfangspotentiale die Funkenenergie etwas schneller abnimmt als  $\sqrt{w}$  zunimmt, den Schluß ziehen, daß die Funktion  $\Gamma(Q/w)$  einer höheren Potenz von  $Q/w$  proportional zu setzen ist als der  $\frac{1}{2}$ ten. Hieraus und aus der allgemeinen Formel für  $E_F$  würde dann weiter folgen, daß bei alleiniger Änderung des Koeffizienten der Selbstinduktion die Funkenenergie etwas zunimmt, wenn jener Koeffizient zunimmt. Dementsprechend müßte auch der Funkenwiderstand etwas zunehmen mit wachsendem  $Q$ .

Dies bestätigt aber in der Tat das Experiment. Wurde nämlich in den gewöhnlich benutzten Entladungskreis mit dem Koeffizienten der Selbstinduktion  $Q = 560 \cdot 10^{-25}$  elektrostatische Einheiten eine aus 20 quadratischen Windungen gebildete Spule mit dem Selbstinduktionskoeffizienten  $Q = 1790 \cdot 10^{-20}$  elektrostatische Einheiten eingeschaltet, so daß nunmehr der Entladungskreis einen rund viermal größeren Koeffizienten der Selbstinduktion besaß, so war eine sehr geringe Abnahme der Bolometerausschläge zu beobachten. *Die Funkenenergie hatte also etwas zugenommen und damit auch der Funkenwiderstand.*

8. *Angenäherte Berechnung der Funkenenergie und des Funkenwiderstandes.* Die obigen Untersuchungen haben gezeigt, daß die beobachteten Tatsachen in befriedigender Weise durch die hier zu Grunde gelegten theoretischen Vorstellungen wiedergegeben werden. Als ihr praktisch wichtiges Resultat ist zu bezeichnen, daß die aufgestellten quantitativen Gesetze für die Funkenenergie es gestatten, die Funkenenergie und den Funkenwiderstand für nicht zu große Entladungspotentiale und nicht zu kleine Widerstände angenähert zu berechnen, falls die Funkenenergie in einem bestimmten Falle bekannt ist. So wurde unter 5. gezeigt, daß bei einem Entladungspotentiale:

$$P'_0 = 3700 \text{ Volt } (P'_\infty = 670 \text{ Volt})$$

und einer Kapazität:

$$C' = 0,00496 \text{ Mikrof.}$$

sich die Funkenenergie als Funktion des Widerstandes  $w$  darstellen läßt in der Form:

$$E_F(w) = E' - 317 \cdot \frac{w}{w + 1,75}.$$

wo

$$E' = \frac{P_0'^2 - P_\infty'^2}{2} \cdot C' = 328,4$$

war und die Energie in  $10^3$  Erg, der Widerstand in Ohm gerechnet wurde. Hieraus, sowie nach dem allgemeinen Gesetze für konstanten Widerstand:

$$E_F = \text{konst. } P_0^2 \sqrt{C}$$

bestimmt sich die Funkenenergie für beliebige Werte der Anfangsspannung  $P_0$ , der Kapazität  $C$  und des Widerstandes  $w$  nach der Gleichung:

$$E_F(w, P_0, C) = E_F(w, P_0', C) \frac{P_0^2 \sqrt{C}}{P_0'^2 \sqrt{C'}}.$$

Da sowohl die Proportionalität der Funkenenergie mit  $P_0^2$ , als auch ihre Unabhängigkeit von dem Koeffizienten der Selbstinduktion, wie sie in den letzten Formeln angenommen wird, nur angenähert der Wirklichkeit entspricht, so kann diese Berechnung auch nur angenähert gültig sein. Die Abhängigkeit der Funkenenergie von der Kapazität wird offenbar eine andere, als oben angenommen wurde, für sehr kleine Widerstände  $w$  im Schließungskreise. Mit  $w$  wird ja auch der Koeffizient der Selbstinduktion und damit die Schwingungsdauer unendlich klein. Folglich wird nach unseren früheren Überlegungen der Arbeitsfaktor  $\cos \varphi$  den konstanten Wert 1 annehmen, oder die Funkenenergie wird proportional der Kapazität in Übereinstimmung damit, daß für  $w = 0$  die gesamte entladene Energie gleich  $\frac{1}{2}(P_0^2 - P_\infty^2) \cdot C$  im Funken auftritt. Die Berechnung wird ferner nach dem früheren falsch für Kapazitäten, welche größer als etwa 0,0159 Mikrof. sind. — Der gesuchte Funkenwiderstand ist dann:

$$x = w \cdot \frac{E_F}{E - E_F} \text{ (Ohm)}.$$



9. *Abhängigkeit der Funkenenergie und des Funkenwiderstandes von anderen Größen.* Zum Schlusse dieser Betrachtungen sei noch besonders hervorgehoben, daß auch eine Abhängigkeit der Funkenenergie und des Funkenwiderstandes von der Form und Substanz der Elektroden, sowie von dem Drucke, der Temperatur und der chemischen Natur des umgebenden Gases vorhanden ist. Bei der hier vertretenen Auffassung des oszillierenden Funkens als eines Wechselstromlichtbogens ist eine solche Abhängigkeit besonders von der Substanz der Elektroden von vornherein zu erwarten, da ja im Lichtbogen der an den Elektroden gebildete Metalldampf eine wichtige Rolle spielt. Kaufmann (l. c.) fand z. B., daß die Funkenwärme 0,54 mal größer ist, wenn die Funken zwischen Messingkugeln, als wenn sie zwischen Zinkkugeln übergehen, und gelegentlich angestellte, mehr qualitative Versuche zeigten deutlich, daß auch die hier gemessene Größe  $E_F$  bei Benutzung von Kohleelektroden stets größer ist als bei Anwendung von Zinkelektroden. Doch wurden die Verhältnisse nicht weiter untersucht, und die obigen Messungen gelten daher nur für den Fall, daß die Funken übergehen zwischen Zinkkugeln von 0,9 cm Radius in Luft von gewöhnlichem Drucke und Zimmertemperatur.

## § 2. Diskussion der Messungen im sekundären Kreise.

1. Die *Theorie der Teslaströme* wurde fast gleichzeitig aufgestellt von Oberbeck<sup>1)</sup> und Domalip und Koláček.<sup>2)</sup> Diese Theorie behandelt die in der Praxis gewöhnlich benutzte Anordnung mit großer Selbstinduktion und kleinem Ohmschen Widerstande und zwar besonders den wichtigen Fall der Resonanz, wo auch im sekundären Kreise eine Kapazität sich befindet. Dabei werden in erster Annäherung die höheren Potenzen des Widerstandes vernachlässigt. W. Wien<sup>3)</sup> gab dann die allgemeine Theorie der elektrischen Schwingungen.

Quantitative Messungen und eine Vergleichung derselben mit der vereinfachten Theorie nahm vor allem Boynton<sup>4)</sup> vor.

1) A. Oberbeck, Wied. Ann. 55. p. 623. 1895.

2) K. Domalip u. F. Koláček, Wied. Ann. 57. p. 731. 1896.

3) W. Wien, Wied. Ann. 61. p. 151. 1897.

4) Boynton, Phil. Mag. (5) 46. p. 312. 1898.



Er beobachtete die effektiven Stromstärken im primären und sekundären Kreise, die maximalen Spannungen im primären und sekundären Kreise, die effektiven Spannungen im sekundären Kreise und schließlich die Periode der Schwingungen, die er aus den Funkenphotogrammen ermittelte. Doch ist die Genauigkeit dieser Messungen keine sehr große. Die Größenordnung des Funkenwiderstandes wird zu 10—100 Ohm berechnet.

Die erwähnte vereinfachte Theorie war für das hier untersuchte System mit kleiner Selbstinduktion und großem Ohmschen Widerstande besonders im sekundären Kreise nicht mehr brauchbar. Hr. Geh. Reg.-Rat Prof. Dr. Riecke hatte die große Freundlichkeit, mir eine von ihm früher ausgearbeitete, aber nicht veröffentlichte strengere Theorie der Teslaschwingungen zur Verfügung zu stellen, an die ich mich im folgenden eng anschließen konnte.

Ist  $K$  die Kapazität der Leydener Flasche, deren äußere Belegung zur Erde abgeleitet ist, während die innere auf das Potential  $P_i$  geladen wird, sind  $e_i$  und  $e_a$  die Ladungen, welche wir als gleich groß annehmen, bezeichnen ferner  $i_1$  und  $i_2$  die Stromstärken im primären und sekundären Kreise,  $w_1$  und  $w_2$  die Widerstände,  $Q_1$  und  $Q_2$  die Koeffizienten der Selbstinduktion und schließlich  $Q_{12}$  den Koeffizienten der gegenseitigen Induktion zwischen der primären und sekundären Spirale, so liefert das allgemeine Induktionsgesetz die folgenden beiden Gleichungen:

$$(1a) \quad i_1 w_1 = P_i - Q_1 \frac{d i_1}{d t} - Q_{12} \frac{d i_2}{d t},$$

$$(1b) \quad i_2 w_2 = - Q_{12} \frac{d i_1}{d t} - Q_2 \frac{d i_2}{d t}.$$

Diese gehen bei Benutzung der beiden allgemeinen Beziehungen:

$$e_i = K \cdot P_i = - e_a,$$

$$i_1 = - \frac{d e_i}{d t} = + \frac{d e_a}{d t}, \quad K \cdot \frac{d P_i}{d t} = - i$$

über in:

$$(2) \quad \begin{cases} w_1 \frac{d i_1}{d t} = - \frac{i_1}{K} - Q_1 \frac{d^2 i_1}{d t^2} - Q_{12} \frac{d^2 i_2}{d t^2}, \\ w_2 i_2 = - Q_{12} \frac{d i_1}{d t} - Q_2 \frac{d i_2}{d t}. \end{cases}$$

Aus ihnen folgt bei Elimination von  $i_1$  die Differentialgleichung dritter Ordnung für  $i_2$ :

$$(Q_1 Q_2 - Q_{12}^2) \frac{d^3 i_2}{dt^3} + (w_1 Q_2 + w_2 Q_1) \frac{d^2 i_2}{dt^2} + \left( \frac{Q_2}{K} + w_1 w_2 \right) \frac{d i_2}{dt} + \frac{w_2}{K} \cdot i_2 = 0.$$

Genau dieselbe Gleichung ergibt sich für  $i_1$  bei Elimination von  $i_2$ . Die Ströme im primären und sekundären Teslakreise hängen also in derselben Weise ab von der Zeit und unterscheiden sich nur in Amplitude und Phase. Dividieren wir die letzte Gleichung mit  $Q_1 Q_2$ , so ergibt sich:

$$\left( 1 - \frac{Q_{12}^2}{Q_1 Q_2} \right) \frac{d^3 i_2}{dt^3} + \left( \frac{w_1}{Q_1} + \frac{w_2}{Q_2} \right) \frac{d^2 i_2}{dt^2} + \left( \frac{1}{Q_1 K} + \frac{w_1}{Q_1} \cdot \frac{w_2}{Q_2} \right) \frac{d i_2}{dt} + \frac{1}{Q_1 K} \cdot \frac{w_2}{Q_2} \cdot i_2 = 0.$$

Setzen wir  $i_2 = F \cdot e^{\kappa t}$ , so ergibt sich zur Bestimmung von  $\kappa$  die Gleichung dritten Grades:

$$\left\{ \begin{aligned} &\left( 1 - \frac{Q_{12}^2}{Q_1 Q_2} \right) \kappa^3 + \left( \frac{w_1}{Q_1} + \frac{w_2}{Q_2} \right) \kappa^2 \\ &+ \left( \frac{1}{Q_1 K} + \frac{w_1}{Q_1} \cdot \frac{w_2}{Q_2} \right) \kappa + \frac{1}{Q_1 K} \cdot \frac{w_2}{Q_2} \end{aligned} \right\} = 0.$$

Wir führen endlich noch die Bezeichnungen ein:

$$\frac{w_1}{Q_1} = \alpha, \quad \frac{w_2}{Q_2} = \beta, \quad \frac{1}{Q_1 K} = \gamma, \\ 1 - \frac{Q_{12}^2}{Q_1 Q_2} = \frac{1}{1 + \delta}, \quad \delta = \frac{Q_{12}^2}{Q_1 Q_2 - Q_{12}^2}.$$

Die Gleichung für  $\kappa$  wird dann:

$$\kappa^3 + (\alpha + \beta)(1 + \delta)\kappa^2 + (\alpha\beta + \gamma)(1 + \delta)\kappa + \beta\gamma(1 + \delta) = 0.$$

Setzen wir die Wurzeln dieser Gleichung an in der Form:

$$\kappa_1 = -a + ib, \quad \kappa_2 = -a - ib, \quad \kappa_3 = -c,$$

so ist das allgemeine Integral unserer Differentialgleichung:

$$i_2 = A \cdot e^{\kappa_1 t} + B e^{\kappa_2 t} + \Gamma \cdot e^{\kappa_3 t} \\ = e^{-a t} (A \cos b t + B \sin b t) + C \cdot e^{-c t},$$

wo zwischen den  $A, B, \Gamma$  und den  $A, B, C$  die Beziehungen gelten:

$$A = A + B, \quad A = \frac{A - iB}{2},$$

$$B = i(A - B), \quad B = \frac{A + iB}{2},$$

$$C = \Gamma, \quad \Gamma = C.$$

Während nun die früher erwähnte vereinfachte Theorie bei kleinen Widerständen und großen Selbstinduktionen unter Vernachlässigung der Produkte, Quadrate und höheren Potenzen der Widerstände  $w_1$  und  $w_2$  und der Dämpfungsexponenten  $a$  und  $c$  leicht mit Hülfe der bekannten Beziehungen zwischen Koeffizienten und Wurzeln der kubischen Gleichung verhältnismäßig einfache Formeln für die Größen  $a, b, c$  erhält und damit auch für die Konstanten  $A, B, C$  etc., ist dies hier nicht mehr der Fall. Die Formeln werden recht kompliziert und unübersichtlich, und muß auf einen geschlossenen Ausdruck für die zu berechnende Wärme im sekundären Kreise, welcher nur die direkt zu messenden oder zu berechnenden Konstanten des Systems enthält, von vornherein verzichtet werden. — Die strenge Lösung der Bestimmungsgleichung für  $x$  gelingt leicht mit Hülfe der Cardauschen Formeln. Bringen wir die Gleichung durch den Ansatz:

$$x = x - \frac{(\alpha + \beta)(1 + \delta)}{3}$$

auf die Form:

$$x^3 - 3px + 2q = 0,$$

wo:

$$3p = \left\{ \frac{(\alpha + \beta)^3(1 + \delta)}{3} - (\alpha\beta + \gamma) \right\} (1 + \delta),$$

$$2q = \left\{ \frac{2(\alpha + \beta)^3(1 + \delta)^2}{27} - \frac{(\alpha + \beta)(\alpha\beta + \gamma)(1 + \delta)}{3} + \beta\gamma \right\} \cdot (1 + \delta)$$

zu setzen ist, und setzen wir ferner:

$$M^3 = -q + \sqrt{q^2 - p^3},$$

$$N^3 = -q - \sqrt{q^2 - p^3},$$

so ist, falls die Bedingung  $q^2 > p^3$  erfüllt ist:

$$x_1 = -\frac{M+N}{2} + i\sqrt{3} \cdot \frac{M-N}{2},$$

$$x_2 = -\frac{M+N}{2} - i\sqrt{3} \cdot \frac{M-N}{2},$$

$$x_3 = M+N,$$

oder auch:

$$x_1 = -a + ib = -\frac{M+N}{2} - \frac{(\alpha + \beta)(1 + \delta)}{3} + i\sqrt{3} \cdot \frac{M-N}{2},$$

$$x_2 = -a - ib = -\frac{M+N}{2} - \frac{(\alpha + \beta)(1 + \delta)}{3} - i\sqrt{3} \cdot \frac{M-N}{2},$$

$$x_3 = -c = M+N - \frac{(\alpha + \beta)(1 + \delta)}{3}.$$

Zur Bestimmung der Konstanten  $A, B, C$  oder  $A, B, \Gamma$  haben wir die drei Anfangsbedingungen:

$$t=0: i_1 = 0, \quad i_2 = 0, \quad P_i = P_0$$

und die drei Gleichungen:

I. das allgemeine Integral:

$$i_2 = e^{-at}(A \cos bt + B \sin bt) + C \cdot e^{-ct},$$

II. aus den Gleichungen (1) durch Elimination von  $di_1/dt$  (erhalten):

$$i_1 w_1 = P_i + \frac{Q_1}{Q_{12}} \left( i_2 w_2 + Q_2 \frac{di_2}{dt} \right) - Q_{12} \cdot \frac{di_2}{dt},$$

III. die vorige Gleichung nach einmaliger Differentiation nach der Zeit und Elimination von  $di_1/dt$  mit Hülfe von (1 b):

$$\left. \begin{aligned} & -\frac{w_1}{Q_{12}} \left( i_2 w_2 + Q_2 \frac{di_2}{dt} \right) + \frac{i_1}{K} \\ & -\frac{Q_1}{Q_{12}} \left( w_2 \frac{di_2}{dt} + Q_2 \frac{d^2 i_2}{dt^2} \right) + Q_{12} \frac{d^2 i_2}{dt^2} \end{aligned} \right\} = 0.$$

Für  $t=0$  gehen diese Gleichungen über in:

$$(I') \quad A + C = 0,$$

$$(II') \quad \frac{P_0}{Q_{12}} + \frac{1}{\delta} \left( \frac{di_2}{dt} \right)_{t=0} = 0,$$

$$(III') \quad (\alpha + \beta) \left( \frac{di_2}{dt} \right)_{t=0} + \frac{1}{1 + \delta} \left( \frac{d^2 i_2}{dt^2} \right)_{t=0} = 0$$

oder, wenn man einsetzt:

$$\left(\frac{d i_2}{d t}\right)_{t=0} = -a A + b B - c C,$$

$$\left(\frac{d^2 i_2}{d t^2}\right)_{t=0} = A(a^2 - b^2) - 2 B a b + C c^2,$$

in:

$$(I'') \quad A + C = 0,$$

$$(II'') \quad -a A + b B - c C = -\frac{P_0 \delta}{Q_{12}},$$

$$(III'') \quad A(a^2 - b^2) - 2 a b B + c^2 C = +\frac{P_0 \delta}{Q_{12}}(\alpha + \beta)(1 + \delta).$$

Hieraus folgt:

$$(3) \quad C = -A,$$

$$(2) \quad B = -\frac{P_0 \delta}{Q_{12} b} + A \cdot \frac{a - c}{b},$$

$$(1) \quad A = -\frac{P_0 \delta}{Q_{12}} \{(\alpha + \beta)(1 + \delta) - 2 a\} \cdot \frac{1}{a^2 + b^2 + c^2 - 2 a c}.$$

Die bei einer Entladung im sekundären Kreise entwickelte Wärme ist gegeben durch den Ausdruck:

$$\begin{aligned} T &= w_2 \int_0^\infty i_2^2 dt \\ &= w_2 \int_0^\infty \{A^2 e^{2 \kappa_1 t} + B^2 e^{2 \kappa_2 t} + \Gamma^2 e^{2 \kappa_3 t} \\ &\quad + 2 A B \cdot e^{(\kappa_1 + \kappa_2) t} \\ &\quad + 2 A \Gamma \cdot e^{(\kappa_1 + \kappa_3) t} \\ &\quad + 2 B \Gamma \cdot e^{(\kappa_2 + \kappa_3) t}\} dt. \end{aligned}$$

Diesen Ausdruck berechnen wir, indem wir die Summanden in folgender Weise zusammenfassen:

$$(1) \quad \left\{ \begin{aligned} &\int (A^2 e^{2 \kappa_1 t} + B^2 e^{2 \kappa_2 t}) dt \\ &= \frac{A^2 \cdot e^{2 \kappa_1 t}}{2 \kappa_1} + \frac{B^2 \cdot e^{2 \kappa_2 t}}{2 \kappa_2} = \frac{A^2 \kappa_2 e^{2 \kappa_1 t} + B^2 \kappa_1 e^{2 \kappa_2 t}}{2 \kappa_1 \kappa_2} \\ &= \frac{e^{-2 a t}}{2 (a^2 + b^2)} \left\{ [A^2 (-a - i b) + B^2 (-a + i b)] \cos 2 b t \right. \\ &\quad \left. + i [A^2 (-a - i b) - B^2 (-a + i b)] \sin 2 b t \right\} \\ &= \frac{e^{-2 a t}}{4 (a^2 + b^2)} \left\{ [(B^2 - A^2) a - 2 A B b] \cos 2 b t \right. \\ &\quad \left. + [(A^2 - B^2) b - 2 A B a] \sin 2 b t \right\} \\ &\int_0^\infty (A^2 e^{2 \kappa_1 t} + B^2 e^{2 \kappa_2 t}) dt = \frac{(A^2 - B^2) a + 2 A B b}{4 (a^2 + b^2)}. \end{aligned} \right.$$

(2) 
$$\int_0^\infty \Gamma^2 e^{2\kappa_1 t} dt = - \left| \frac{C^2 \cdot e^{-2ct}}{2c} \right|_0^\infty = \frac{C^2}{2c}.$$

(3) 
$$\left\{ \begin{aligned} 2 \int_0^\infty AB e^{(\kappa_1 + \kappa_2) t} dt &= \frac{2AB}{\kappa_1 + \kappa_2} \left| e^{(\kappa_1 + \kappa_2) t} \right|_0^\infty \\ &= \frac{2(A^2 + B^2)}{4} \cdot \frac{1}{-2a} \left| e^{-2at} \right|_0^\infty \\ &= \frac{A^2 + B^2}{4a}. \end{aligned} \right.$$

$$\left\{ \begin{aligned} &2 \int (A \Gamma e^{(\kappa_1 + \kappa_2) t} + B \Gamma e^{(\kappa_2 + \kappa_3) t}) dt \\ &= 2 \Gamma \left( A \frac{e^{(\kappa_1 + \kappa_2) t}}{\kappa_1 + \kappa_2} + B \frac{e^{(\kappa_2 + \kappa_3) t}}{\kappa_2 + \kappa_3} \right) \\ &= 2C \frac{e^{-(a+c)t}}{(a+c)^2 + b^2} \left\{ [A(-a - ib - c) + B(-a + ib - c)] \cos bt \right. \\ &\quad \left. + i[A(-a - ib - c) - B(-a + ib - c)] \sin bt \right\} \\ &= 2C \frac{e^{-(a+c)t}}{(a+c)^2 + b^2} \left\{ -(aA + bB + cA) \cos bt \right. \\ &\quad \left. + (bA - B(a+c)) \sin bt \right\} \\ &2 \int_0^\infty (A \Gamma e^{(\kappa_1 + \kappa_2) t} + B \Gamma e^{(\kappa_2 + \kappa_3) t}) dt \\ &= 2C \cdot \frac{(a+c)A + bB}{(a+c)^2 + b^2}. \end{aligned} \right.$$

Also ist:

$$\begin{aligned} T = w_2 \bigg\{ &\frac{(A^2 - B^2)a + 2ABb}{4(a^2 + b^2)} \\ &+ \frac{C^2}{2c} + \frac{A^2 + B^2}{4a} \\ &+ 2C \cdot \frac{(a+c)A + bB}{(a+c)^2 + b^2} \bigg\}. \end{aligned}$$

Diese Berechnung setzt zunächst einen zeitlich konstanten Widerstand im Entladungskreise voraus. Bei der geringen Rückwirkung der Ströme im sekundären Kreise auf die im primären in dem hier untersuchten Systeme wird es erlaubt sein, den im vorigen Abschnitte definierten mittleren Funkenwiderstand direkt zu benutzen, d. h. den nach den dort gefundenen Gesetzen, ohne Rücksicht auf den induzierten Kreis berechneten mittleren Funkenwiderstand der Berechnung der Energie im sekundären Kreise zu Grunde zu legen.



Eine Voraussetzung der entwickelten Theorie, die nach unseren Messungen nicht erfüllt ist, ist die, daß die Oszillationen solange andauern, bis die Entladung beendet ist, bis also die Potentialdifferenz zwischen den Belegen der Kapazität den Wert Null erreicht hat. Hierbei ist zu beachten, daß die unmittelbar nach einer jeden Entladung beobachteten Spannungen  $P_\infty$  mit der gewöhnlichen Rückstandsbildung nicht zu erklären sind; denn ein allmähliches Anwachsen dieser Spannungen nach der Entladung war nicht wahrzunehmen. Läge die gewöhnliche Rückstandsbildung vor, so nähme die den Rückstand bildende Elektrizität nicht an den Oszillationen teil, und man hätte als Anfangsspannung  $P_0$  einfach die Differenz der aus der Länge des Entladungsfunkens bestimmten Entladungsspannung und der nach der Entladung beobachteten Spannung  $P_\infty$  in Rechnung zu bringen. Im vorliegenden Falle wäre es dagegen nötig, zur Vermeidung eines Fehlers die Integration über  $i_2^2 \omega_2$  nicht bis  $t = \infty$  zu erstrecken, sondern bis zu einer Zeit  $\vartheta$  gleich dem ganzen Vielfachen einer Periode, zu welcher die Potentialdifferenz zwischen den Belegen der Leydener Flasche gleich der nach der Entladung beobachteten ist. Diese Zeit  $\vartheta$  wäre aus den für jene Potentialdifferenz geltenden Gleichungen, die den oben benutzten für die Ströme ganz ähnlich sind, zu berechnen. Hierbei wäre die Annahme gemacht, daß jede einzelne Schwingung zu ihrer Entstehung eine der beobachteten Anfangsspannung  $P_0$  durchaus entsprechende Minimalspannung nötig hat und daß also die nach der Entladung beobachtete Spannung  $P_\infty$  nicht mehr genügt hat, einer weiteren Oszillation durch die sich abkühlende Luftstrecke den Weg zu bahnen. Da jedoch die beobachteten Werte für  $P_\infty$  oft recht große, völlig unaufgeklärte Abweichungen voneinander zeigen, die sich in den entsprechenden Kurven für die  $\alpha$  durchaus nicht bemerklich machen, so wird hier davon Abstand genommen, jene Korrektur anzubringen. In der Tat beträgt auch die in dem Kondensator zurückbleibende Energie höchstens 3 Proz. der anfänglichen. Mit wachsendem  $P_0$  nimmt sie etwas langsamer zu als  $P_0^2$ .

2. *Die Konstanten des untersuchten Systems.* Ehe wir zur Berechnung der im sekundären Kreise entwickelten Wärme nach den oben hergeleiteten Formeln übergehen, ist es nötig,

über die experimentelle oder rechnerische Bestimmung der Konstanten des untersuchten Systems einige Worte zu sagen. Experimentell bestimmt wurden die Anfangs- und Endspannung  $P_0$  und  $P_\infty$ , die Kapazität und der Widerstand. Die Bestimmungen der Spannungen ist schon früher genau erörtert. Die Bestimmung der Kapazität geschah durch Vergleichung mit einer Normalkapazität, indem beide, die zu eichende und die Normalkapazität, nacheinander unter denselben Umständen mit Hilfe eines elektrisch erregten Stimmgabelunterbrechers abwechselnd schnell geladen und durch ein Galvanometer entladen wurden. Der am Galvanometer beobachtete dauernde Ausschlag ist der Kapazität proportional. Die Bestimmung des Widerstandes endlich geschah nach der bei kleinen Widerständen gewöhnlich benutzten Methode durch Vertauschung. Ein Element war kurz geschlossen durch ein Galvanometer, und parallel zum Galvanometer war entweder der zu messende oder ein bekannter Vergleichswiderstand eingeschaltet. Die beiden Widerstände sind gleich, wenn bei ihrer Vertauschung der Ausschlag des Galvanometers sich nicht ändert.

Die sehr schnellen Schwingungen, wie sie bei Kondensatorentladungen auftreten, machen eine *Korrektion* an dem mit Gleichstrom oder langsamen Wechselströmen bestimmten Widerstande nötig. Nach den Formeln von W. Thomson und Stefan ist der Widerstand eines geraden Drahtes mit dem Radius  $\alpha$ , der magnetischen Permeabilität  $\mu$  und der elektromagnetisch gemessenen Leitfähigkeit  $\lambda$ , der für Gleichstrom den Widerstand  $w$  besitzt, für schnelle Schwingungen mit der Periode  $1/n$ :

$$w' = w \cdot \pi \alpha \sqrt{n \cdot \lambda \cdot \mu}.$$

Es ist jedoch zu beachten, daß diese Formel nur dann anwendbar ist, wenn das Produkt  $\lambda \mu n \alpha^2$  eine große Zahl ist. Ein Maß für die Verteilung der Strömung über den Querschnitt des Leitungsdrahtes ist der Ausdruck:

$$1 + \pi^4 \mu^2 n^2 \lambda^2 \cdot \rho^4,$$

wo  $\rho$  den Abstand einer Schicht von der Mittellinie des Drahtes, also im Maximum den Radius  $\alpha$  desselben bedeutet.<sup>1)</sup> Ist dieser Ausdruck gleich Eins, so ist die Strömung gleichförmig über

1) Vgl. z. B. E. Cohn, Das elektromagnetische Feld p. 355 ff.

den Querschnitt des Drahtes verbreitet, und der Widerstand für schnelle Schwingungen ist gleich dem für langsame. Dieser Fall tritt ein bei den hier als Bolometerdraht und Vorschaltwiderstand benutzten feinen Platindrähten mit dem Radius 0,003 cm. Für  $n = 10^6$  und  $1/\lambda = \sigma = 14\,000$  ( $\mu = 1$ ) ist nämlich

$$1 + \pi^4 \mu^2 \lambda^2 n^2 \cdot \alpha^4 = 1 + \frac{\pi^4 \cdot 10^{12} \cdot 81 \cdot 10^{-12}}{14\,000^2}$$

sehr nahe = 1.

Die *Berechnung der Induktionskoeffizienten* geschah nach den von Kirchhoff<sup>1)</sup> zuerst angegebenen Formeln. Eine Korrektur der so gefundenen Werte wegen der sehr schnellen elektrischen Schwingungen nach der Thomson-Stefanschen Formel konnte vernachlässigt werden.

3. In der nachfolgenden Tabelle sind einige der nach den aufgestellten Formeln berechneten Werte der im sekundären Kreise entwickelten Wärme mitgeteilt und den entsprechenden beobachteten Werten gegenübergestellt. Es sind ferner angegeben die bei der Berechnung benutzten mittleren Funkenwiderstände  $x$ . Die Vergleichung der berechneten und beobachteten Energien zeigt eine wohl durchaus befriedigende Übereinstimmung.

$K$ Mikrof.	$w_1 = w' + x$			$T$ (Erg)	
	$w' (\Omega)$	$x (\Omega)$	$P_0$ Volt	berechnet	beobachtet
0,00496	0,43	1,483	3700	12 170	12 400
0,00496	1,535	1,74	5000	13 380	13 450
0,00496	5,28	2,01	8780	17 790	18 600
0,00496	15,11	2,30	9800	9 360	9 300

1) G. Kirchhoff, Gesammelte Abhandl. p. 177.

(Eingegangen 23. September 1903.)

## 7. *Ein neues Galvanometer;* *von W. Einthoven.*

(Hierzu Taf. III, Flgg. 1–5.)

(Aus dem physiologischen Laboratorium der Universität Leyden.)

### I. Prinzip und Theorie.

Das in diesem Aufsätze zu beschreibende Instrument, das *Saitengalvanometer* heißen mag, beruht auf dem bekannten Prinzip des beweglichen Stromträgers in einem festen magnetischen Felde. Der bewegliche Stromträger besteht aus einem versilberten Quarzfaden, der wie eine Saite auf zweckentsprechende Weise zwischen den Polen eines Elektromagnetes ausgespannt ist. Wird ein elektrischer Strom durch die Saite geführt, so weicht dieselbe senkrecht zu den magnetischen Kraftlinien ab, während die Abweichung in der Mitte der Saite mit Hilfe eines Mikroskopes mit Okularmikrometer unmittelbar gemessen werden kann.

Die Überlegungen, die zur Konstruktion des Saitengalvanometers geführt haben, können am besten auseinandergesetzt werden, wenn man von einer bestehenden Form des Deprez-d'Arsonval-Galvanometers ausgeht, und sich die Frage vorlegt, welche Änderungen zugunsten dieses Werkzeuges angebracht werden können.

An erster Stelle muß die Normalempfindlichkeit in Betracht gezogen werden. Unter Normalempfindlichkeit<sup>1)</sup> versteht man den Ausschlag in Millimetern auf einer Skala, die 1000 mm vom Spiegel entfernt ist. Für die Stromstärke wird  $10^{-6}$  Amp. und für den inneren Widerstand des Galvanometers 1 Ohm in Rechnung gebracht, während für die volle ( $\sim$ ) Schwingungsperiode eine Dauer von 10 Sek. genommen wird.

Die Ausschläge werden proportional den Stromstärken berechnet. Weiter nimmt man an, daß in einem gegebenen

1) Vgl. W. E. Ayrton u. F. Mather, *Phil. Mag.* (5) 46. p. 349. 1898. Ferner auch H. du Bois u. H. Rubens, *Zeitschr. f. Instrumentenk.* 20. p. 74. 1900 und F. Kohlrausch, *Lehrb. d. prakt. Phys.* 9. Aufl. p. 861. 1901.

Instrumente der Ausschlag für eine bestimmte Stromstärke proportional der Potenz  $1/2$  (oder in den meisten Umständen genauer wie die  $2/5$  Potenz) des inneren Widerstandes und dem Quadrate der Schwingungsperiode zunimmt.

Zeigt ein Galvanometer bei einem Skalenabstand von  $d$  mm für einen Strom von  $J$  Amp. einen Ausschlag von  $a$  mm, wird für eine ganze Schwingung ( $\sim$ )  $t$  Sek. in Anspruch genommen, und beträgt der innere Widerstand  $w$  Ohm, so wird die Normalempfindlichkeit  $E_1$  des Instrumentes ausgedrückt durch

$$(1) \quad E_1 = \frac{a}{10 d t^2 J \sqrt{w}}.$$

Die Normalempfindlichkeit  $E_1$  kann nie durch eine Veränderung der Direktionskraft des Aufhängedrahtes erhöht oder verringert werden, denn hierdurch werden aus obenstehender Formel (1) nur  $a$  und  $t$  beeinflusst, und zwar so, daß  $a/t^2$  konstant bleibt. Ebenso wenig kann die Normalempfindlichkeit geändert werden, indem man *bei gleichbleibendem Gewichte und gleichbleibenden Dimensionen der beweglichen Spule* die Zahl der Windungen vermehrt oder verringert, denn hierdurch werden aus der Formel (1) nur  $a$  und  $w$  beeinflusst, und zwar derart, daß jetzt  $a/\sqrt{w}$  konstant bleibt. Dahingegen wird der Ausschlag  $a$  und damit die Normalempfindlichkeit proportional der Stärke des magnetischen Feldes vermehrt, und werden auch Veränderungen in den Dimensionen der Spule einen bestimmten Einfluß ausüben können. Nur dieser letztere Einfluß verdient näher in Betracht gezogen zu werden.

Die Form der Spule bleibe vorläufig unverändert, und als erste Frage wird gestellt: „Welchen Erfolg hat das Wegnehmen einiger Windungen, *wenn man nicht zugleich durch die Anwendung eines dickeren Drahtes die Änderung des Gewichtes und der Dimensionen der Spule kompensiert?*“

Wenn so viele Windungen weggenommen werden, daß ihre Zahl  $m$  mal verkleinert wird, so wird die Spule  $m$  mal leichter, wodurch das Trägheitsmoment auch  $m$  mal abnimmt. Hierdurch wird die Schwingungsperiode  $\sqrt{m}$  mal kürzer. Der Widerstand wird  $m$  mal und der Ausschlag für eine gleiche Stromstärke gleichfalls  $m$  mal verringert.



Aus den oben genannten Veränderungen der Schwingungsperiode  $t$ , des Widerstandes  $w$  und des Ausschlages  $a$  geht hervor, daß der Ausdruck  $a/t^2 \sqrt{w}$  und damit die Normalempfindlichkeit  $\sqrt{m}$  mal zunimmt. Um diese letztere so viel wie möglich zu vergrößern, muß man also **möglichst wenige** Windungen auf der Spule lassen. Wenn keine praktischen Schwierigkeiten vorhanden wären, so wäre eine aus einer einzigen Drahtwindung bestehende Spule am vorteilhaftesten.

Als zweite Frage muß in Erwägung gezogen werden, „auf welche Weise ändert sich die Normalempfindlichkeit durch Änderung der Drahtdicke in der Spule?“ Wenn der Durchmesser des Drahtes  $n$  mal kleiner wird, so nimmt das Trägheitsmoment  $n^2$  mal ab. Hierdurch wird die Schwingungsperiode  $n$  mal kürzer. Der Ausschlag für eine bestimmte Stromstärke bleibt unverändert, aber der Widerstand des Drahtes wird  $n^2$  mal größer. Aus der Veränderung der Schwingungsperiode  $t$  und des Widerstandes  $w$  geht hervor, daß der Ausdruck  $1/t^2 \sqrt{w}$  und damit wieder die Normalempfindlichkeit  $n$  mal zunimmt. Es ist darum wünschenswert, einen Draht anzuwenden, der *möglichst dünn* ist.

Die beiden oben genannten Veränderungen nötigen uns, das Gewicht der Spule und damit ihr Trägheitsmoment möglichst zu verringern. Selbstverständlich kann dies nur dann Nutzen haben, wenn das Gewicht des Spiegels vernachlässigt werden darf. Man kann den Spiegel auch ganz weglassen und die Bewegungen des Drahtes unmittelbar mit dem Mikroskop beobachten. Und schließlich ist es nur ein kleiner Schritt, von der aus einer einzigen, äußerst dünnen Drahtwindung bestehenden Spule zur gespannten Saite überzugehen.<sup>1)</sup>

Außer der Dicke beeinflusst auch die Länge der Saite die Normalempfindlichkeit des Galvanometers. Wird die Saite  $p$  mal kürzer, so wird die Normalempfindlichkeit  $\sqrt{p}$  mal vergrößert.

Das Material, aus welchem die Saite angefertigt wird, muß bei einem geringen spezifischen Gewicht  $S$  ein großes

---

1) Als Empfangsapparat zum Gebrauche bei der Telegraphie konstruierte schon Ader ein Instrument mit einer zwischen den Polen eines Magneten gespannten Saite. Mit Hilfe eines Federkieses wurde die Saite in ihrer Mitte, d. h. auf der Stelle, wo ihre Bewegungen photographiert wurden, dicker gemacht (Compt. rend. 124. p. 1440. 1897).



Leitvermögen  $L$  besitzen. Wenn  $S^2/L$  ein Minimum ist, so sind hinsichtlich des Materiales die günstigsten Bedingungen erfüllt.

Aber wie sollen wir bei einem Galvanometer ohne Spiegel, dessen beweglicher Teil mit dem Mikroskope beobachtet wird, die Normalempfindlichkeit messen? Der Ausdruck „Normalempfindlichkeit“ ist bis jetzt nur für Instrumente mit Spiegelablesung benutzt worden, wobei man merkwürdigerweise die Größe des angewendeten Spiegels ganz außer Rechnung gelassen hat. Ein vielfach gebräuchlicher Spiegel ist z. B. einer von 3 mm Durchmesser. Dieser erzeugt bei einem Skalenabstand von 2,5 m von jedem Punkt der Skala einen ungefähr 1 mm Durchmesser haltenden Diffraktionskreis, so daß es — noch ganz abgesehen von der geringen Lichtmenge — schwierig sein wird, eine Skalenabweichung eines kleinen Bruchteiles eines Millimeters wahrzunehmen. Beim Gebrauch eines größeren Spiegels wird der Diffraktionskreis umgekehrt proportional dem Spiegeldurchmesser verändert werden, so daß es rationell erscheint, den Spiegeldurchmesser bei der Angabe der Normalempfindlichkeit eines Werkzeuges in Rechnung zu bringen.

Man kann zur Basis der Berechnung einen Spiegelradius von 1 mm nehmen. Die Formel (1) wird dann verändert in

$$(2) \quad E_2 = \frac{a r}{10 d t^2 J \sqrt{w}},$$

worin  $r$  den Spiegelradius in Millimetern bedeutet.

Eine nach dieser Formel (2) ausgedrückte Normalempfindlichkeit behält ihre Bedeutung bei, wenn die Beobachtung im Spiegelbilde durch die mikroskopische Wahrnehmung ersetzt wird. Denn die mit dem Mikroskope zu erreichende zweckentsprechende Vergrößerung wird durch dieselbe Diffraktion des Lichtes eingeschränkt wie die Verkleinerung des Spiegelradius oder die Verlängerung des Skalenabstandes. Und es empfiehlt sich zur Vergleichung der Empfindlichkeit eine solche mikroskopische Vergrößerung in Rechnung zu bringen, daß die Diffraktionskreise des mikroskopischen Bildes und diejenigen des Spiegelbildes einander gleich sind. Ist dieser Bedingung Genüge geleistet, so wird der Wert der mikroskopischen Vergrößerung  $v$  ausgedrückt durch

$$(3) \quad v = N \times \frac{d}{r},$$

worin  $N$  die numerische Apertur des gebrauchten Objectives,  $r$  den Spiegelradius und  $d$  den Skalenabstand bedeutet.

Die numerische Apertur der besten Trockensysteme beträgt 0,95. Setzen wir dafür eine runde Zahl 1, so können wir für Formel (3)

$$v = \frac{d}{r}$$

schreiben, woraus hervorgeht, daß

$$(4) \quad \frac{r}{d} = \frac{1}{v}.$$

Tragen wir den Wert für  $r/d$  in Formel (2) ein, so finden wir für die Normalempfindlichkeit eines Instrumentes ohne Spiegel

$$(5) \quad E_3 = \frac{a}{10^3 J_v \sqrt{w}},$$

worin die Buchstaben ihre oben schon erwähnte Bedeutung beibehalten.

Wenn der Spiegelradius  $r = 1$  ist und der Skalenabstand gleich 1000, so wird ein gleich großer Diffraktionskreis gebildet, wie wenn mit einem Objective, dessen numerische Apertur 0,95, eine Vergrößerung  $v = 950$  erzielt wird.

## II. Die praktische Anwendung.

Bei der praktischen Anwendung des Saitengalvanometers müssen außer der Frage nach der erreichbaren Normalempfindlichkeit noch verschiedene andere Fragen in Betracht gezogen werden. Wie stark ist der schwächste Strom, der noch gemessen werden kann? Wie steht es mit der Dämpfung der Saitenbewegung? Sind die Ausschläge proportional den Stromstärken? Wie stark beeinträchtigen die Erschütterungen der Umgebung und die Luftströmungen die Brauchbarkeit des Instrumentes etc.

In dem von mir konstruierten Instrumente haben die Polschuhe eine Höhe von 12,5 cm und schließen ein spaltförmiges, nahezu homogenes magnetisches Feld ein, dessen Stärke gewöhnlich auf 20000—23000 C.G.S. reguliert wird.<sup>1)</sup>

1) Bei einer früheren Gelegenheit — vgl. Bosschas Festschrift, Archives Néerlandaises des sciences exactes et naturelles (II) 6. p. 625. 1901 — hatte ich die Feldstärke auf 30000 C.G.S. geschätzt, aber das

Jeder der beiden Polschuhe ist in seiner Mitte durchbohrt. Im Bohrloch des einen Polschuhes befinden sich die Belichtungslinsen, im Bohrloche des anderen ist das Projektionsmikroskop angebracht, während die Saite in der Mitte des spaltförmigen Raumes zwischen den beiden Schuhen ausgespannt ist.

Wie oben auseinandergesetzt, ist der Durchmesser der Saite einer der wichtigsten Faktoren, welche die Empfindlichkeit des Galvanometers bestimmen. Im Handel bestehen zwar dünne metallene Drähte oder Bänder, die man als Saite benutzen könnte, aber begnügt man sich hiermit nicht, so kann man auch selber eine Saite anfertigen und dazu z. B. Aluminium in Blattform verwenden. Ein aus einem Buche genommenes Aluminiumblatt, das, wie leicht durch Wägung konstatiert werden kann, nur  $0,75\ \mu$  dick ist, wird, ähnlich wie ein Buchbinder das Blattgold schneidet, in Streifen geteilt. Ein Streifen von einigen Millimetern Breite wird mittels Firnis auf eine Glasplatte geklebt und danach mit einem scharfen Messer in feinere Bänder geteilt. Es gelang uns nicht, schmalere Bänder als  $0,3$  oder  $0,4\ \text{mm}$  zu erhalten und als Saite im Galvanometer auszuspannen, aber mit solchen von  $0,4\ \text{mm}$  — welche doch nur einen Querschnitt gleich  $300\ \text{q}\mu$  hatten — wurden schon ziemlich befriedigende Resultate erzielt.

Eine große Verbesserung wurde erreicht, als durch Versilberung leitend gemachte Quarzfäden versucht wurden. Von den verschiedenen Quarzfäden, womit wir Messungen angestellt haben, ist früher schon einer erwähnt worden<sup>1)</sup>, nämlich ein Faden von  $2,1\ \mu$  Durchmesser und  $20300\ \text{Ohm}$  Widerstand. Dieser Faden konnte als Saite im magnetischen Felde wegen seiner paramagnetischen Eigenschaften nicht genügend entspannt werden. Jetzt wird ein anderer Faden von  $2,4\ \mu$  Durchmesser und  $10000\ \text{Ohm}$  Widerstand benutzt. Er ist zwar etwas dicker als der frühere, aber er hat den Vorteil, daß er einen zweifach geringeren Widerstand besitzt und in genügendem Maße entspannt werden kann. Außerdem sind

---

Eisen, aus welchem der Elektromagnet angefertigt ist, entspricht den gehegten Erwartungen nicht. Die unmittelbare Messung zeigte mir, daß die Feldstärke schwerlich auf mehr als  $26000\ \text{C.G.S.}$  gebracht werden kann.

1) Archives Néerlandaises l. c.

eine Anzahl nicht unwesentlicher Verbesserungen an dem schon vorliegenden Werkzeuge angebracht, wodurch man schließlich in den Stand gesetzt wird, sehr schwache Ströme zu messen.

Welche Empfindlichkeit kann jetzt erreicht werden?

Reguliert man die Spannung der Saite derart, daß ein Ausschlag je nach der Größe in ungefähr 10 oder 15 Sek. stattfindet, so entspricht bei der Anwendung einer 660 fachen Vergrößerung jeder Millimeter Verschiebung des Saitenbildes einem Strome von  $10^{-11}$  Amp. Weil in diesen Umständen, wie bei der Besprechung der beigegebenen Taf. III, Figg. 1—5 noch näher gezeigt werden wird, eine Verschiebung von 0,1 mm noch beobachtet werden kann, so kann man noch Ströme von  $10^{-12}$  Amp. wahrnehmen.

Sogar die empfindlichsten Galvanometer anderer Konstruktion, wie diejenigen von Thomson und die Panzergalvanometer von du Bois und Rubens, sind kaum oder nicht im stande, mit Sicherheit das Vorhandensein von ebenso schwachen Strömen wahrnehmbar zu machen. Das Saitengalvanometer nimmt also in der praktischen Anwendung eine Stelle neben diesen ein und muß von den sogenannten, nur auf viel stärkere Ströme reagierenden Oszillographen unterschieden werden.

Die Kraft, welche die Saite zur Abweichung bringt, wenn sie sich in einem Felde von 20000 C.G.S. befindet, und von einem Strome von  $10^{-12}$  Amp. durchströmt wird, ist sehr klein und läßt sich für eine Länge von 12,5 cm auf  $2,5 \times 10^{-11}$  g oder noch viermal weniger als ein zehnmillionstel Milligramm berechnen.

Indem man die Saite stärker spannt, wird ihre Bewegung schneller, aber der Ausschlag für dieselbe Stromstärke kleiner. Es hat keine Schwierigkeit, die Saite genau so zu spannen, daß ein Strom von gegebener Stärke einen im voraus bestimmten Ausschlag erzielt, wie man aus den Photogrammen der Taf. III ersehen kann. Diese Photogramme sind auf ähnliche Weise hergestellt wie die früher beschriebenen<sup>1)</sup> kapillarelektrometrischen Kurven. Das 660 fach vergrößerte Bild von der Mitte der Saite wird auf einen senkrecht auf dem Saiten-

---

1) Vgl. verschiedene Aufsätze in Pflügers Archiv f. d. gesamte Physiol. und in „Onderzoekingen“ Physiol. Laborat. Leiden, 2. Reihe.



bilde stehenden Spalt geworfen. Vor dem Spalte befindet sich eine Zylinderlinse, deren Achse der Spaltrichtung parallel verläuft, während hinter ihr eine photographische Platte in der Richtung des Saitenbildes bewegt wird. Zur selben Zeit, wo die Bewegungen der Saite registriert werden, wird nach der vorzüglichen Methode Gartens<sup>1)</sup> ein Koordinatensystem auf der photographischen Platte entworfen. Die horizontalen Linien dieses Systems erhält man, indem man eine gläserne Millimeterskala dicht vor die empfindliche Platte hinstellt, so daß die scharfen Schatten der Skalenteilung auf die Platte fallen, während die vertikalen Linien durch eine gleichmäßig drehende Scheibe mit Speichen hervorgerufen werden, welche das auf dem Spalt fallende Licht intermittierend unterbrechen. Die gegenseitige Distanz der vertikalen Linien ist in unseren Photogrammen ebenso wie die gegenseitige Distanz der horizontalen ungefähr gleich 1 mm genommen, während jede fünfte Linie etwas dicker ist. Diese letztere Eigentümlichkeit kann leicht in dem Koordinatensysteme angebracht werden, indem man in der gläsernen Millimeterskala vor der empfindlichen Platte jeden fünften Strich etwas dicker macht, während gleichfalls jede fünfte Speiche der drehenden Scheibe breiter gemacht werden muß.

Das erste Photogramm (Taf. III, Fig. 1) stellt die Ausschläge der Saite dar, während durch das Galvanometer hintereinander Ströme von 1, 2 und  $3 \times 10^{-9}$  Amp. geschickt werden. Im Koordinatensystem hat eine Abszissenlänge von 1 mm den Wert von 0,1 Sek., während eine Ordinatenlänge von 1 mm gleich  $10^{-10}$  Amp. ist. Obgleich das Saitenbild eine große Breite hat, und — wie bei der angewendeten 660fachen Vergrößerung auch zu erwarten ist — keine vollkommen scharfen Ränder besitzt, kann doch seine Verschiebung im Koordinatensystem leicht auf 0,1 mm genau bestimmt werden. Man vergleiche dazu nur einen der Ränder des Bildes vor und nach dem Ausschlage, und kann sich dann entweder bei unmittelbarer Beobachtung mit dem unbewaffneten Auge oder mit Hilfe einer Lupe überzeugen, daß der gemachte Ausschlag

---

1) S. Garten, Abhandl. d. k. sächs. Gesellsch. d. Wissensch. zu Leipzig, Mathem.-phys. Klasse 26. Nr. 5. p. 331. 1901.

weniger als 0,1 mm vom angegebenen Betrage verschieden ist. Die Stromstärken werden also im Photogramm bis auf einen Wert von  $10^{-11}$  Amp. genau gemessen.

Man sieht, daß die Ausschläge genau proportional den Stromstärken sind, daß sie aperiodisch sind und daß sie je nach ihrer Größe in ungefähr 1—2 Sek. ablaufen. Die starke Dämpfung der Bewegung muß dem Luftwiderstande zugeschrieben werden, denn während der Registrierung der Kurven war in den Galvanometerkreis ein Widerstand von 1 Megohm eingeschaltet, wodurch die gewöhnliche elektromagnetische Dämpfung nahezu ganz aufgehoben war.

Spannt man die Saite 10mal schwächer an, so wird das Galvanometer auch 10mal empfindlicher und können, wie schon oben erwähnt, noch Ströme von  $10^{-12}$  Amp. wahrgenommen werden. Aber bei dieser großen Empfindlichkeit bleiben die Ausschläge nicht mehr proportional den Stromstärken, und kann die Saitenbewegung nur schwierig registriert werden, weil der Quarzfaden sich nicht mehr vollkommen in einer flachen Ebene bewegt. Doch ist das Instrument dann für unmittelbare mikroskopische Beobachtung noch brauchbar.

Aus Taf. III, Fig. 2 ist ersichtlich, daß die Ausschläge nach rechts und links — die in der Figur den Ausschlägen nach oben und unten entsprechen — gleich groß sind. Die Bewegungsgeschwindigkeit der photographischen Platte ist unverändert geblieben, also entspricht wieder eine Abszisse von 1 mm einer Zeit von 0,1 Sek. Aber die Saite ist 200mal stärker gespannt, so daß 1 mm einer Ordinate  $2 \times 10^{-8}$  Amp. vorstellt. Ein Strom von  $4 \times 10^{-7}$  Amp. wird wechselweise in der einen und in der anderen Richtung durch das Galvanometer geschickt und erzielt also Ausschläge von 20 mm nach rechts und ebensoviel nach links. Man überzeugt sich leicht, daß diese Ausschläge bis auf 0,1 mm genau einander gleich sind.

Die Saitenbewegung ist sehr schnell, so daß die Saite während ihres Ausschlages nur einen geringen Schatten auf die photographische Platte werfen kann. Die aufsteigenden und die absteigenden, so gut wie vertikale Linien, welche im ursprünglichen Negativ noch als sehr dünne Striche sichtbar sind, sind im reproduzierten Photogramm weggefallen.

In Taf. III, Fig. 3 ist eine Saitenbewegung beim plötzlichen



Ein- und Ausschalten eines Stromes von  $3 \times 10^{-8}$  Amp. abgebildet. Die photographische Platte ist mit einer 10mal größeren Geschwindigkeit fortbewegt und die Saite ist 10mal stärker gespannt als in Fig. 1, also Abszisse 1 mm = 0,01 Sek. und Ordinate 1 mm =  $10^{-9}$  Amp. Der Galvanometerkreis enthält wieder 1 Megohm, so daß dieselben Ursachen für die Dämpfung wirksam sind wie in Fig. 1. Während die Bewegung noch aperiodisch ist, geschieht sie jedoch wegen der 10mal größeren Kraft, womit ein Ausschlag vollzogen wird, auch 10mal schneller, was man leicht beurteilen kann, wenn man die große absteigende Kurve der Fig. 1 mit einer der Kurven der Fig. 3 vergleicht, oder besser noch die Kurven beider Figuren in Diapositivbildern aufeinander legt. Man wird dann sehen, daß sie einander vollkommen bedecken, und weil bei der einen Figur die Bewegungsgeschwindigkeit der photographischen Platte 10mal größer ist als bei der anderen, so wird hierdurch bewiesen, daß auch der Ausschlag der Saite im einen Falle 10mal schneller stattfindet als im anderen. Zugleich wird hierdurch gezeigt, daß unter unseren Bedingungen der durch die Saite empfundene Luftwiderstand proportional ihrer Bewegungsgeschwindigkeit zunimmt.

Beim Registrieren der Kurven der Figg. 4 u. 5, Taf. III ist die Bewegungsgeschwindigkeit der photographischen Platte bis auf 250 mm pro Sek. erhöht, also ist Abszisse 1 mm = 0,004 Sek. Die Platte fängt ihre Bewegung langsam an und erreicht die genannte Geschwindigkeit erst, nachdem sie einen Weg von 4—5 cm zurückgelegt hat, während die Speichen der drehenden Scheibe immer genau jede 0,004 Sek. ihre Schatten auf die Platte werfen. Daher ist das Koordinatensystem auf dem ersten Sechstel des Photogramms in der Richtung der Abszissen zusammengedrückt.

In Fig. 4 ist Ordinate 1 mm =  $2 \times 10^{-8}$  Amp., während in Fig. 5, Ordinate 1 mm  $3 \times 10^{-8}$  Amp. beträgt. Aus beiden Figuren zusammen lernt man den Grenzwert der Empfindlichkeit kennen, bei welcher die Saitenbewegung noch gerade aperiodisch ist. In Fig. 4 ist plötzlich ein Strom von  $4 \times 10^{-7}$  Amp., in Fig. 5 ein Strom von  $6 \times 10^{-7}$  Amp. durch das Galvanometer geschickt und wieder unterbrochen worden. Bei oberflächlicher Betrachtung scheint der Ausschlag in Fig. 4

noch aperiodisch, während er in ungefähr 0,009 Sek. abläuft. Dahingegen fängt die Bewegung in Fig. 5 an deutlich oszillierend zu werden und nimmt für eine halbe Schwingung 0,006 Sek. in Anspruch.

Beim Schreiben der beiden Figuren ist im Galvanometerkreis nur ein unbedeutender Widerstand eingeschaltet, so daß sich hier nebst der Reibung der Luft noch die gewöhnliche elektromagnetische Dämpfung auf die Bewegung geltend macht. Das Ein- und Ausschalten des Stromes wurde mittels eines Stromschlüssels erzielt, der sich in der Hauptleitung befand, während der Galvanometerkreis, der eine Nebenleitung darstellte, dabei dauernd geschlossen blieb. Unter diesen Umständen bleibt die elektromagnetische Dämpfung im Galvanometerkreis bei der Stromöffnung gleich derjenigen bei der Stromschließung, man würde daher erwarten, daß die absteigenden Kurven in der Figur vollkommen gleich den aufsteigenden wären. Aber dieser Erwartung entsprechen die Figuren, besonders Fig. 4 nicht. Betrachtet man die Kurven dieser letzteren Figur genauer, so kann man sehen, daß schon eine Spur von Periodizität bei den absteigenden Kurven, d. h. bei Stromöffnung vorhanden ist, während die aufsteigenden Kurven, welche bei Stromschließung registriert, noch vollkommen aperiodisch sind. Bei den absteigenden Kurven überschreitet die Saite den Nullstand mit ungefähr 0,3 mm.

Die Erklärung dieser Erscheinung könnte darin gesucht werden, daß der Schlüsselkontakt nicht plötzlich zustande kommt, aber die Ungleichmäßigkeiten der Kurven, welche davon die notwendige Folge sein müßten, fehlen ganz. Wahrscheinlicher kommt mir der Einfluß der Kapazität der Hauptleitung vor, weil diese einen induktionslosen Rheostaten von 100 000 Ohm enthielt. Jedenfalls zeigen die Kurven die außergewöhnliche Genauigkeit, womit die Beobachtungen mit dem Saitengalvanometer stattfinden können.

Jetzt mögen noch einige Einzelheiten erwähnt werden, die sich auf die sämtlichen fünf oben genannten Photogramme Taf. III, Figg. 1—5 beziehen.

Um das Saitenbild auf alle Stellen des Gesichtsfeldes gleich scharf zu erhalten, muß sich die Saite in einer flachen, senkrecht auf der optischen Achse des Projektionsmikroskopes

stehenden Ebene bewegen. Eine Verschiebung der Saite von  $0,5 \mu$  in der Richtung dieser optischen Achse genügt, um bei der von uns angewendeten Vergrößerung die Schärfe des Bildes merklich zu beeinträchtigen. Die Photogramme zeigen, daß diese Verschiebung nicht stattfindet. Man beachte weiter die große Konstanz des Nullpunktes und die Gleichheit der Ausschläge. Die Beobachtung mit unbewaffnetem Auge oder mit der Lupe hebt diese Eigenschaften nicht genügend hervor. Vielleicht daß eine Ortsbestimmung der Kurve mittels des Mikroskopes — ungefähr nach der in der Astronomie benutzten Methode in Himmelfotogrammen den Ort der Gestirne genau kennen zu lernen — zu schärferen Ergebnissen führen würde. Aber für die gewöhnlichen, am meisten gebräuchlichen Zwecke wären solche Messungen wohl zu weitläufig.

Für die praktische Anwendung des Werkzeuges wird es unter vielen Umständen, besonders bei elektro-physiologischen Messungen von Bedeutung sein, daß es möglich ist, dem Instrumente genau eine im voraus bestimmte Empfindlichkeit zu erteilen. Schon mit unbewaffnetem Auge kann an nahezu allen Figuren beobachtet werden, daß dies mit weniger als 0,1 mm Abweichung gelingt, was für Ausschläge von 40 und 30 mm einen geringeren Fehler als 2,5 oder 3 promille bedeutet. Nur in Fig. 5 sieht man ein merkliches Defizit von ungefähr 0,1 mm, das jedoch auch mit etwas größerer Sorge hätte vermieden werden können.

Es braucht kaum erwähnt zu werden, daß das Galvanometer für Änderungen im magnetischen Felde der Umgebung unempfindlich ist. Ferner haben weder Erschütterungen des Bodens noch Luftströmungen großen Einfluß auf dasselbe. Wir haben keine Juliussche Aufhängung<sup>1)</sup> und auch nicht die Methode vom Schwimmen auf Quecksilber<sup>2)</sup> angewendet. Das Instrument steht auf demselben steinernen Pfeiler, auf welchem eine große Blechscheibe mit Speichen durch einen Elektromotor schnell herumdreht wird. Dieser Elektromotor steht nur einige Zentimeter vom Galvanometer entfernt, während ein zweiter ähnliche Motor, der mit einem

---

1) W. H. Julius, Wied. Ann. 56. p. 151. 1895.

2) W. Einthoven, Wied. Ann. 56. p. 161. 1895.

schweren Schwungrade verbunden ist und die Bewegung der photographischen Platte bewirkt, etwas weiter entfernt auf demselben Pfeiler befestigt ist. Nichtsdestoweniger merkt man in den Photogrammen keine Spur des Einflusses von mechanischen Erschütterungen.

Die Normalempfindlichkeit des Galvanometers kann aus Photogrammen berechnet werden, die bei stark oszillierender Saite angefertigt worden sind. Bei einer Saitenspannung, wobei ein Ausschlag von  $a = 1$  mm durch einen Strom von  $J = 10^{-7}$  Amp. hervorgerufen wird, findet eine ganze Schwingung  $\sim$  in  $t = 0,004$  Sek. statt. Der Ausschlag ist bei einer Vergrößerung  $v = 660$  gemessen, während der Widerstand  $w$  der Saite gleich 10000 Ohm ist. Nach Formel (5) wird hieraus die Normalempfindlichkeit auf  $9,5 \times 10^6$  berechnet, oder, wenn man für  $\sqrt{w}$  besser  $w^{3/4}$  setzt, auf

$$2,38 \times 10^6.$$

Zum Vergleich mag das hochempfindliche astatistische Panzer-galvanometer mit leichtem Magnetgehänge von du Bois und Rubens<sup>1)</sup> erwähnt werden. Der von den Autoren selbst nach Formel (1) berechnete Betrag für die Normalempfindlichkeit ihres Instrumentes ist 1000. Weil sie einen Spiegel mit einem Radius  $r = 1,5$  mm anwenden, muß diese Zahl jedoch nach Formel (2) bis auf 1500 vergrößert werden.

Schließlich erinnern wir daran, daß man den Quarzfaden im Galvanometer durch einen Platin- oder Phosphorbronzedraht, dessen Widerstand sehr viel geringer ist, ersetzen kann. Bei der Anwendung einer gröberen Saite mit geringem Widerstande ist das Galvanometer auch noch brauchbar, obgleich bemerkt werden muß, daß es nur dann zu seinem vollen Rechte kommt, wenn die Saite dünn ist und der innere Widerstand groß sein darf. Der oben beschriebene Quarzfaden von 10000 Ohm Widerstand kann noch mit einem merklichen Ausschlag auf einen Thermostrom reagieren, dessen elektromotorische Kraft  $10^{-8}$  Volt beträgt.

1) H. du Bois u. H. Rubens, l. c.

(Eingegangen 26. Juli 1903.)



## 8. *Kapillarelektrische Bewegungen;* *von C. Christiansen.*

Die elektrischen Doppelschichten spielen jetzt in der Physik eine nicht unbedeutende Rolle. So mag es auch gerechtfertigt erscheinen, wenn ich hier einige diesbezügliche Versuche mitteile. Sie beziehen sich auf Quecksilber- bez. Amalgamtropfen in Elektrolyten, durch welche ein elektrischer Strom geführt wird. Die Untersuchung zerfällt in zwei Teile, nachdem der Tropfen entweder ruht oder aus einer engen Öffnung ausfällt. Wir betrachten zuerst den ersten Fall.

### I. Ruhende Tropfen.

*Deformationen.* Man nehme einen parallelepipedischen Glaskasten *AA* (Fig. 1), 10 cm lang, 4,5 cm breit und 4 cm

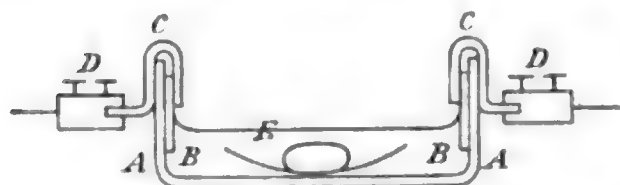


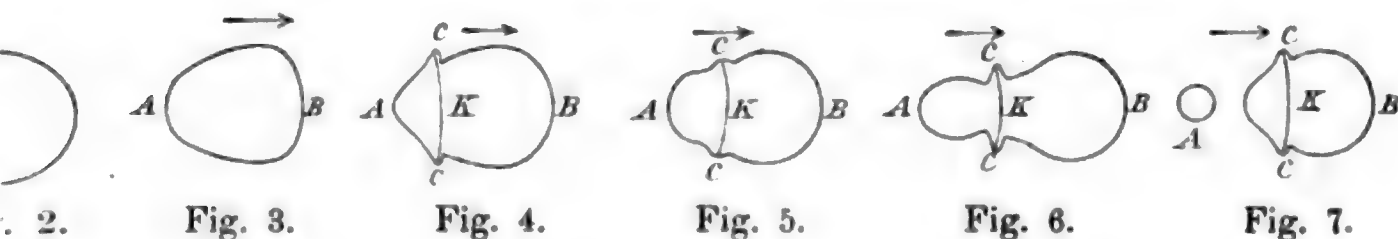
Fig. 1.

hoch. In diesen tauchen zwei Platinplatten *BB*, welche durch die Kupferfedern *CC* mit den Klemmschrauben *DD* verbunden sind. Am Boden des Gefäßes befindet sich ein gewöhnliches Uhrglas *E* zur Aufnahme des Quecksilbertropfens. Gießt man nun etwa  $45 \text{ cm}^3$  einer  $\frac{1}{100}$  normalen Lösung von  $\text{KNO}_3$  in dasselbe und sendet einen Strom durch die Flüssigkeit, bemerken wir folgendes.

Der Tropfen, Fig. 2, ist ursprünglich, von oben gesehen, rund und sein Durchmesser etwa 11 mm. Ist die Stromstärke 0,010 Amp., wird der Tropfen eiförmig, Fig. 3, wo die Stromrichtung durch den Pfeil angedeutet ist. Es ist dies in folgender Weise zu verstehen. Nach Lippmann und v. Helmholtz bildet sich an der Oberfläche Quecksilber-Elektrolyt eine elektrische Doppelschicht aus, deren positive Seite gewöhnlich

im Quecksilber liegt. Es ist als ob das Quecksilber den positiven Pol bildete, dasselbe ist deshalb, um mit Warburg zu reden, anodisch polarisiert. Da diese Polarisation sich von selbst ausbildet, nennen wir sie Selbstpolarisation; wir haben also hier positive Selbstpolarisation des Quecksilbers. Hierzu kommt nun, unter dem Einfluß des Stromes bei  $A$ , eine elektrolytische Polarisation der Art, daß an der äußeren Oberfläche des Quecksilbers positive, an der inneren negative Elektrizität auftritt; die Selbstpolarisation wird dadurch vermindert, die Oberflächenspannung bei  $A$  dadurch vergrößert. Bei  $B$  wird in derselben Weise die Oberflächenspannung vermindert. Deshalb strömt das Quecksilber an der Oberfläche von  $B$  nach  $A$  hin und im Innern des Tropfens wieder von  $A$  nach  $B$  zurück.

Indem das Quecksilber an der Oberfläche des Tropfens von  $B$  nach  $A$  strömt, wird die angrenzende Schicht des



Elektrolyten mitgerissen, es findet somit in diesem eine Strömung statt, die dem elektrischen Strome entgegengesetzt ist. Sie zeigt sich sehr leicht an kleinen Staubteilen, die sich in der Flüssigkeit befinden. Der Tropfen selbst bewegt sich, wie aus dem Satze von der Gleichheit der Aktion und Reaktion folgt, nach dem negativen Pole hin.

Nun lassen wir den Strom auf 0,020 Amp. wachsen. Es bildet sich dann bei  $CC$  (Fig. 4) eine schwach hervortretende Kante  $K$ . Die elektrolytische Polarisation ist nämlich bei  $A$  größer als die Selbstpolarisation geworden, bei  $CC$  aber sind beide gleich groß, sie heben sich folglich auf und die Oberflächenspannung hat bei  $CC$  ein Maximum. Deshalb strömt das Quecksilber an der Oberfläche sowohl von  $A$  als von  $B$  nach  $CC$  hin, und indem diese Ströme hier gegeneinander stoßen, bilden sie die erwähnte Kante.

Bei 0,030 Amp. hat der Tropfen das Aussehen Fig. 5. Zwischen  $A$  und  $B$  findet eine Einbiegung statt, auf welcher die Kante  $CC$  scharf hervortritt.



Bei 0,033 Amp. wird der Tropfen bedeutend verlängert (Fig. 6) und hat nun einen deutlich hervortretenden Hals; bei  $CC$  ist ja die Oberflächenspannung ein Maximum, deshalb ist der Tropfen wie von einem elastischen Gürtel umgeben und dieser strebt, den Tropfen in zwei kleinere zu teilen. Diese Tendenz wird jedoch teilweise durch die Strömungen an der Oberfläche aufgehoben. Mit noch größeren Stromstärken zerreißt aber der Tropfen und teilt sich, wie Fig. 7 zeigt, zu einem kleineren  $A$  und dem größeren  $B$ , die oft mit großer Gewalt auseinander fliehen.

Hat der Tropfen die in Fig. 6 angedeutete Gestalt, finden starke Strömungen im Elektrolyten von  $A$  und  $B$  nach  $CC$  hin statt. Ist der Tropfen nur eben mit Flüssigkeit bedeckt, hebt die Oberfläche derselben sich deutlich über  $CC$ .

*Translationen.* Um von der Größe der bewegenden Kräfte eine Vorstellung zu erhalten, verfuhr ich folgenderweise.  $AB$ , Fig. 8, ist ein Maßstab, 50 cm lang. Daran wurde das um-

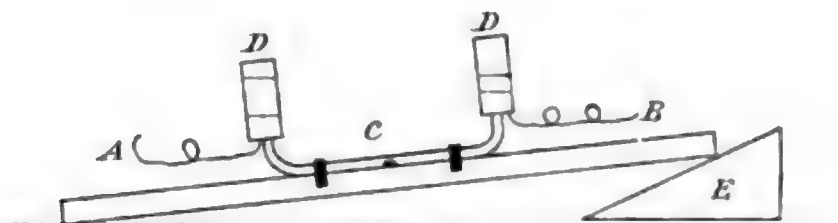


Fig. 8.

gebogene Glasrohr  $C$  mit dem inneren Durchmesser von 6 mm befestigt.  $C$  trägt zwei weitere Röhren  $D D$ , die zur Aufnahme des Elektrolyten dienen, mittelst des keilförmigen Klotzes  $E$  kann  $AB$  in verschiedene Stellungen gebracht werden.

Befand sich nun ein Quecksilbertropfen von 0,5 g Gewicht im Rohre in  $\frac{1}{10}$  normaler  $KNO_3$ , so war er im Gleichgewicht unter dem Einfluß eines Stromes von 0,0035 Amp., wenn  $B$  1,6 cm höher als  $A$  lag.

In Cyankaliumlösung ist die Selbstpolarisation des Quecksilbers wie bekannt negativ, unter dem Einfluß des elektrischen Stromes bewegt sich der Tropfen deshalb zum positiven Pole hin. In  $\frac{1}{10}$  normalem CyK war derselbe Tropfen im Gleichgewicht mit der Stromstärke von 0,0080 Amp., wenn  $A$  1,6 cm höher als  $B$  lag.

Bei  $\frac{1}{10}$  normaler  $NaOH$  ist die bewegende Kraft immer

sehr schwach. Ist  $AB$  horizontal und ist die Stromstärke 0,011 Amp., bewegt sich derselbe Tropfen langsam nach dem negativen Pole hin. Wächst die Stromstärke, so wird die bewegende Kraft zuerst kleiner, verändert dann ihre Richtung und bei 0,015 Amp. geht der Tropfen nach dem positiven Pole. Zu derselben Zeit verlängert er sich und teilt sich bei 0,018 Amp. in zwei Tropfen, die beide nach dem positiven Pole wandern.

Die Erklärung dieses sonderbaren Verhaltens liegt in dem Umstande, daß die Selbstpolarisation des Quecksilbers in Kalilösung positiv, aber sehr gering ist. Deshalb geht der Tropfen zuerst nach dem positiven Pole hin; ist aber an einem Umkreise des Tropfens die Selbstpolarisation Null geworden, treten Kräfte auf, die den Tropfen nach entgegengesetzten Seiten zu bewegen suchen. Welche von diesen das Übergewicht erhält, hängt von Umständen ab, die schwer anzugeben sind.

Übrigens läßt die bewegende Kraft sich nicht in dieser Weise genau messen. In verdünnter Salpetersäure, die eine starke Selbstpolarisation ergibt, ist die Kraft zuerst der Stromstärke proportional; sie wächst auch mit der Größe des Tropfens, aber nur innerhalb gewisser Grenzen.

*Chemische Wirkungen.* Wir betrachten den in Fig. 5 dargestellten Fall und nehmen an, daß der Elektrolyt Salpetersäure sei. Nach der gewöhnlichen Auffassung scheiden sich dann auf  $AC$  Wasserstoffionen, an  $BC$   $\text{NO}_3$ -Ionen ab. Wegen der variablen Oberflächenspannung bewegen sich diese Ionen nach  $CC$  hin; hier vereinigen sie sich dann wieder zu  $\text{HNO}_3$ . Diese Vereinigung findet jedoch nicht immer vollständig statt, erst zeigen sich sehr oft, besonders in Schwefelsäure und Salpetersäure, kleine Luftblasen an  $CC$ , die sich entweder ruhig verhalten, auch oft in Schwingungen geraten, anwachsen und zuletzt sich frei machen. Dasselbe findet bisweilen in Lösungen von Ammoniaksalzen statt.

Die Ausscheidung und Wiedervereinigung der Ionen sieht man sehr gut, wenn man einer Lösung von Salpeter etwas Phenolphthalein zusetzt. Es bildet sich dann bei  $CC$  ein roter Gürtel, der von den Strömen in Flüssigkeit weggeführt wird, indem er nach und nach seine Farbe verliert, und die Ionen sich wieder verbinden.

## II. Fallende Tropfen.

*Reines Quecksilber.* Zu diesen Versuchen benutzte ich einen parallelepipedischen Glaskasten  $AB$  (Fig. 8), 8 cm hoch, 5,5 cm breit und 1 cm weit. Zwei Platinplatten  $E$  und  $F$ , 1 cm breit, dienen als Elektroden.  $D$  ist ein sehr enges Glasrohr, aus

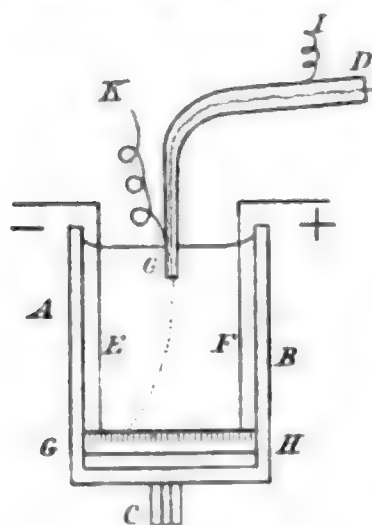


Fig. 9.

welchem Quecksilber tropfenweise ausströmt; der Durchmesser der Tropfen war etwa 1 mm.  $GH$  ist ein an der Außenseite angebrachter Maßstab mit Millimeterteilung. Der senkrechte Abstand von der Spitze  $D$  zum Maßstab war 5 cm. In den Boden des Kastens war ein Loch gebohrt für das einzukittende Rohr  $C$  zur Ableitung des fallenden Quecksilbers. Füllen wir nun den Kasten mit verdünnter Schwefelsäure, so fallen die Tropfen senkrecht hinab, leiten wir aber von  $F$  zu  $E$

einen elektrischen Strom, dann bewegen sich die Tropfen zum negativen Pol, wir lesen den entsprechenden Ort am Maßstab ab und bezeichnen ihn mit  $a$ . Wechseln wir nun die Pole, so bewegen sich die Tropfen nach  $F$  hin und die Ablesung gibt dann  $b$ . Den Unterschied  $b - a = u$  cm nennen wir den doppelten Ausschlag.

Als Beispiel gebe ich hier die Resultate einiger Versuche mit Lösungen von Zinksulfat.

Stromstärke in Amp.	Doppeltausschlag in $\frac{1}{2}\text{ZnSO}_4$				
	$\frac{1}{1}$ normal	$\frac{1}{10}$ normal	$\frac{1}{10^2}$ normal	$\frac{1}{10^3}$ normal	$\frac{1}{10^4}$ normal
0,005	3	7	9	11	10
0,010	6	13	18	20	—
0,015	8	19	26	28	—
0,020	10	25	33	—	—
0,030	15	34	—	—	—
0,040	20	—	—	—	—

Wie man sieht, sind die Ausschläge annähernd der Stromstärke proportional; mit abnehmender Konzentration nähern sie sich einem Grenzwerte.

Versuche mit verschiedenen Elektrolyten gaben die folgenden Resultate. Die Stromstärke war in allen Versuchen 0,02 Amp.

Elektrolyt	$\frac{1}{1}$ normal	$\frac{1}{10}$ normal	$\frac{1}{10^2}$ normal	$\frac{1}{10^3}$ normal
$\frac{1}{2}$ CuSO <sub>4</sub>	12	24	30,5	—
$\frac{1}{2}$ Cu(NO <sub>3</sub> ) <sub>2</sub>	5	20	35	—
$\frac{1}{2}$ K <sub>2</sub> SO <sub>4</sub>	8	24	34	—
KNO <sub>3</sub>	3	13	34	—
HNO <sub>3</sub>	—	6	24	36
$\frac{1}{2}$ H <sub>2</sub> SO <sub>4</sub>	2	8	24,5	36
HCl	2,5	6,5	21,5	29
KOH	—	6	27	—

Auch diese Versuche deuten darauf hin, daß der Ausschlag sich mit wachsender Verdünnung einem konstanten Grenzwerte nähert. Ob dies auch für unendliche Verdünnung gilt, mag dahingestellt sein.

Diese Bewegungen sind den bei ruhenden Tropfen wahrgenommenen Bewegungen ganz analog. In Berührung mit dem Elektrolyt bildet die Selbstpolarisation sich nach und nach aus, unter Einfluß des elektrischen Stromes entstehen dann Bewegungen an der Oberfläche des Tropfens. Wenn die Selbstpolarisation sich augenblicklich ausbildete, mußte die ablenkende Kraft konstant und der Weg des Tropfens eine Gerade sein; in Wirklichkeit bedarf sie aber einer gewissen Zeit, um sich völlig auszubilden, deshalb ist die Bahn des Tropfens gekrümmt, wie es die Figur zeigt.

Besonderes Interesse haben Versuche mit Cyankaliumlösungen, bei welchen man erwarten muß, daß die Tropfen sich nach dem positiven Pole hin bewegen werden.

#### Doppeltausschläge in Cyankaliumlösung.

$i$	$\frac{1}{1}$ normal	$\frac{1}{10}$ normal	$\frac{1}{100}$ normal	$\frac{1}{300}$ normal	$\frac{1}{600}$ normal	$\frac{1}{1000}$ normal
0,005	—	—	—	—	—	+13
0,010	—	—	—	—	—	+24
0,020	-1	-1,5	-3	—	+22	—
0,040	-2	-3	-19	-21	—	—
0,080	-4	-8	-40	—	—	—
0,150	-8	-20	—	—	—	—

Die Ausschläge sind als positiv oder negativ bezeichnet, je nachdem die Tropfen von den negativen oder positiven Polen angezogen werden. Bei schwachen Strömen und in sehr verdünnter Lösung gehen die Tropfen zum negativen Pol, die Selbstpolarisation ist folglich negativ wie in den meisten Elektrolyten. Bei konzentrierteren Lösungen kehrt die Bewegungsrichtung sich um, weil die Selbstpolarisation nun negativ geworden. In dieser Weise lassen sich doch nicht alle Wahrnehmungen erklären. Es zeigt sich nämlich, daß dieselbe Lösung bei wachsender Stromstärke Bewegungen nach entgegengesetzten Seiten geben kann, wie die folgende Tabelle zeigt.

Cyankaliumlösung  $\frac{4}{1000}$  normal.

Stromstärke $i$	0,005	0,010	0,020	0,030	0,040	0,050
Doppeltausschlag	+4	+6	+2	-9	-21	-26

In diesem Fall ist die Selbstpolarisation  $i$  positiv, bei schwachen Strömen gehen die Tropfen wie gewöhnlich nach dem negativen Pol hin. Wenn die Bewegungsrichtung bei größerer Stromstärke die entgegengesetzte wird, kann es wohl nur daran liegen, daß die Lippmannsche Kurve asymmetrisch ist.

*Amalgame.* Statt des reinen Quecksilbers setzen wir nun ein Amalgam, z. B. Zinkamalgam. Wir brauchen nur eine amalgamierte Zinkstange einen Augenblick in den Quecksilberbehälter zu tauchen; das Gefäß  $AB$  ist mit verdünnter Schwefelsäure gefüllt. Die Quecksilbertropfen gehen dann nach dem negativen Pol hin. Nach kurzer Zeit, wenn nämlich das Amalgam zur Ausströmungsöffnung gelangt ist, fallen die Tropfen erst gerade herab, dann biegen sie sich ein wenig nach der Anode hin, um wieder nach der Kathode zu gehen; bald gehen sie jedoch ganz nach der Anode. Die ersten Amalgamtropfen sind nämlich so arm an Zink, daß es im Falle von Schwefelsäure aufgenommen wird, später kann das nicht mehr geschehen und die Bewegung geht entschieden nach der Anode.

Es begreift sich dies leicht, wenn man sich erinnert, daß das Zinkamalgam nach Nernst positive Ionen zur Lösung abgibt und sich selbst negativ ladet, die Selbstpolarisation des Amalgams wird deshalb negativ.

In verdünnten Lösungen von Salzsäure, Salpetersäure und



Kali erhalten wir dieselben Resultate wie mit Schwefelsäure. Dagegen ist keine oder nur sehr kleine Bewegung in Lösung von Zinksulfat zu konstatieren, was leicht begreiflich ist, weil in diesem Falle keine Polarisation eintreten kann.

Es ist leicht, mittels der Elektrolyse andere Amalgame zu bilden, ich habe dadurch gefunden, daß Amalgame von

K, Na, Ba, Mg, Mn, Cd

sich wie Zinkamalgam verhalten.

Noch sei folgendes erwähnt. Um die Spitze des Ausströmungsrohres *G* (Fig. 8) wickelte ich eine Platinplatte, welche mit dem Platindraht *K* verbunden ist. *J* ist ein anderer Platindraht, welcher im Glasrohre *G* selbst eingeschmolzen ist. Nehmen wir *H* als Anode und senden einen elektrischen Strom mit einer Spannung von einigen Volt von der Platinplatte zum Quecksilber im Rohre *G*, so können wir, wenn das Gefäß *AB* eine metallische Lösung enthält, das Quecksilber mit Metall laden. Dadurch ändert der Strahl seine Bewegung in einer Weise, die aus dem Vorhergehenden zu ersehen ist. Doch treten bisweilen Eigentümlichkeiten auf, die dadurch bedingt sind, daß man nicht ohne weiteres annehmen kann, daß ein Metall in seinen Salzen unpolarisierbar ist.

Kopenhagen, September 1903.

(Eingegangen 5. September 1903.)





wir als Bedingung für gleiche Beleuchtung der beiden Hälften des Feldes

$$(I) \quad \left\{ \begin{array}{l} (A_1 \sin \alpha_1)^2 + (A_2 \sin \alpha_2)^2 + \dots \\ \quad + (A_{n-1} \sin \alpha_{n-1})^2 + (A_n \sin \alpha_n)^2 \\ = (A_1 \sin \alpha_n)^2 + (A_2 \sin \alpha_{n-1})^2 + \dots \\ \quad + (A_{n-1} \sin \alpha_2)^2 + (A_n \sin \alpha_1)^2, \end{array} \right.$$

worin jedes Glied die Intensität der Wellenlänge, die das Auge trifft, darstellt.

Wir wollen irgendwelche zwei Wellenlängen  $\lambda_s$  und  $\lambda_r$  (Fig. 1) betrachten; wenn dieselben die Amplituden  $A_s$  und  $A_r$  besitzen, dann ist

$$(II) \quad (A_s \sin \alpha_s)^2 + (A_r \sin \alpha_r)^2 = (A_s \sin \alpha_r)^2 + (A_r \sin \alpha_s)^2.$$

Es sei

$$(III) \quad A_r^2 = K A_s^2 \text{ (wo } K \neq 1) \text{ und } \alpha_s \neq \alpha_r,$$

dann ist

$$(IV) \quad \frac{\sin^2 \alpha_s}{K} + \sin^2 \alpha_r = \frac{\sin^2 \alpha_r}{K} + \frac{\sin^2 \alpha_s}{K} + \sin^2 \frac{\alpha}{s},$$

was nur dann der Fall sein kann, wenn  $K = 1$  ist. Infolgedessen kann (V) bei gleichzeitiger Gültigkeit von Bedingung (III) nur dann gelten, wenn man die Winkel zwischen der Schwingungsrichtung und der Normalen ändert, d. h.  $OH$  nimmt die Stellung  $OH'$  an.

Infolgedessen nimmt für Licht irgendwelcher Amplitude Gleichung (I) folgende Form an:

$$(V) \quad \left\{ \begin{array}{l} (A_1 \sin [\alpha_1 \pm \delta_a])^2 + (A_2 \sin [\alpha_2 \pm \delta_a])^2 + \dots \\ \quad + (A_{n-1} \sin [\alpha_{n-1} \pm \delta_a])^2 + (A_n \sin [\alpha_n \pm \delta_a])^2 \\ = (A_1 \sin [\alpha_n \mp \delta_a])^2 + (A_2 \sin [\alpha_{n-1} \mp \delta_a])^2 + \dots \\ \quad + (A_{n-1} \sin [\alpha_2 \mp \delta_a])^2 + (A_n \sin [\alpha_1 \mp \delta_a])^2. \end{array} \right.$$

Wenn wir ein besonderes Beispiel betrachten und für  $\delta_a$  auflösen wollen, so erhalten wir, da die Lichtquelle die Wellenlängen von 566—580  $\mu\mu$ , die aus dem Sonnenspektrum isoliert sind, umfaßt (Fig. 1),  $(\alpha_1 + \alpha_n)$ , den Winkel zwischen der Schwingungsrichtung in den Nicols des Polarisationssystems,

durch direkte Messung, wenn keine Rotation des Lichtes<sup>1)</sup> vorhanden ist. Wir finden auf diese Weise

$$(\alpha_1 + \alpha_n) = 20,4',$$

und ferner für

$\lambda$ (in $\mu\mu$ )	Rotation
566	4,77°
580	4,53

Das heißt:

$$(\alpha_1 - \alpha_n) = 14,4',$$

$$\alpha_1 = 17,4',$$

$$\alpha_n = 3'.$$

Wenn wir nunmehr die Helligkeitskurve  $S$  der Sonne<sup>2)</sup> und die Transmissionskurve einer Fuchsinlösung<sup>3)</sup>  $F$  in Fig. 2 betrachten und  $n = 5$  annehmen, so haben wir:

Tabelle 1.

$\lambda$ (in $\mu\mu$ )	$\alpha$	Relative Intensität der Sonnenstrahlung	Transmission in Fuchsinlösung
580	17,4'	86	21,7
576	13,3'	94	10,5
573	10,2'	99	5
570	7,1'	103	2,3
560	3,0'	104,5	1

worin  $\lambda = 573 \mu\mu$  z. B. als Wellenlänge der mittleren Intensität für das Bereich von  $571,5 - 574,5 \mu\mu$  angenommen ist.

Durch fortgesetzte Annäherung kann man (V) mit genügender Genauigkeit auflösen; wir erhalten dann bei alleiniger Berücksichtigung der Sonnenhelligkeitskurve:

$$(VI) \left\{ \begin{aligned} &86 \sin^2(17,4' + 0,4') + 94 \sin^2(13,3' + 0,4') \\ &\quad + 99 \sin^2(10,2' + 0,4') + 103 \sin^2(7,1' + 0,4') \\ &\quad + 104,5 \sin^2(3' + 0,4') \\ = &86 \sin^2(3' - 0,4') + 94 \sin^2(7,1' - 0,4') \\ &\quad + 99 \sin^2(10,2' - 0,4') + 103 \sin^2(13,3' - 0,4') \\ &\quad + 104,5 \sin^2(17,4 - 0,4). \end{aligned} \right.$$

1) Der Analysator wurde auf Dunkelheit der einen Feldhälfte eingestellt und hierauf auf eine ähnliche Stellung für die andere Hälfte gedreht. Der Drehungswinkel betrug  $(\alpha_1 + \alpha_n)$ .

2) E. Mascart, Optique 1. p. 104. Taf. 1.

3) Hr. Prof. B. E. Moore hat diese Kurve freundlichst bestimmt. Die Konzentration in Gewichtsteilen war 0,000024.

Daher wird bei einer durchsichtigen Substanz, die eine Rotation von ungefähr 4,770 bei 566  $\mu\mu$  ergibt, die Normale zur Hauptachse des Analysatornicols bei der betreffenden Lichtquelle von der Mittelstellung  $OH$  aus um einen Winkel  $\delta_a = 4' (= 0,006^\circ)$  nach der Stellung  $OH'$  gedreht.

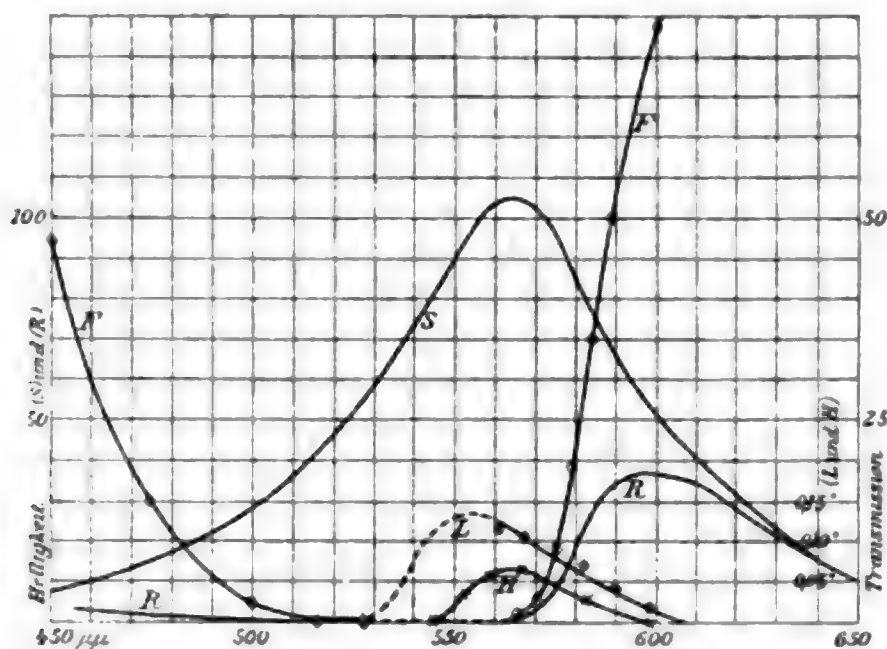


Fig. 2.

In ähnlicher Weise wollen wir nunmehr die Koeffizienten von Gleichung (VI) derartig abändern, daß sie der Helligkeitskurve entsprechen, die man beim Durchgang von Sonnenlicht durch eine Fuchsinlösung (vgl. Tab. 1) erhält; dies ergibt angenähert:

$$\begin{aligned}
 & 86 \times 21,7 \sin^2(17,8' - 4,1') + 94 \times 10,5 \sin^2(13,7' - 4,1') \\
 & + 99 \times 5 \sin^2(10,6' - 4,1') + 103 \times 2,3 \sin^2(7,5 - 4,1') \\
 & + 104,5 \times 1 \sin^2(3,4' - 4,1') \\
 = & 86 \times 21,7 \sin^2(2,6' + 4,1') + 94 \times 10,5 \sin^2(6,7' + 4,1') \\
 & + 99 \times 5 \sin^2(9,8' + 4,1') + 103 \times 2,3 \sin^2(12,9 + 4,1') \\
 & + 104,5 \times 1 \sin^2(17' + 4,1').
 \end{aligned}$$

Daher bewegt sich die Normale über einen Winkel von  $4,1^\circ$  von  $OH'$  nach  $OH''$ . Auf diese Weise wird es klar, daß die Veränderung der Helligkeitskurve des das Auge erreichenden Lichtes, soweit diese von der Absorption der Fuchsinlösung herrührt, mit dem Halbschattensystem eine anscheinende Rotation der Polarisationssebene von angenähert  $4,1' (= 0,056^\circ)$  unter den oben angenommenen Bedingungen ergibt. Unter

denselben Bedingungen war die Größe dieser Wirkung, wie sie durch den Versuch beobachtet wurde,  $0,0555^\circ$ .

Fehler, ähnlich wie der eben besprochene, die von der Veränderung der Helligkeitskurve herrühren, machten sich auch in entsprechend größerem Maße bei der Wiedemannschen<sup>1)</sup> und ähnlichen Methoden zur Messung der Rotation von eben polarisiertem Lichte in und in der Nähe eines Absorptionsstreifens geltend. Bei diesen Methoden wird als Maß der Rotation die Verschiebung entweder eines dunklen oder eines hellen Fleckes im Spektrum benutzt. Ersterer wird durch eine Quarzplatte hervorgerufen, die rechtwinklig zur optischen Achse und einem Analysator Nicol ausgeschnitten ist; letztere, welche zuerst von A. Schmauss<sup>2)</sup> benutzt wurde, durch eine Zusatzplatte von Selenit, welche ein gestreiftes Spektrum gibt, in dem die Interferenzstreifen für die Wellenlängen fehlen, deren Schwingungsebenen mit einer der Hauptachsen zusammenfallen. Von einem Fleck zum andern beträgt bei diesen Methoden die Rotation  $180^\circ$ , und die größte Empfindlichkeit scheint dann erreicht zu sein, wenn ungefähr 1,5 mm Quarz zwischen den Nicols eingeschaltet ist. Die wirksame Breite des so erhaltenen Fleckes hängt von dem Beobachter ab; sie ist jedoch ungefähr gleich  $40\ \mu\mu$  zu setzen. Beide Methoden sind im wesentlichen photometrisch, da die Lage des Fleckes bestimmt ist durch die Bedingung, daß das Licht in gleicher Entfernung auf beiden Seiten des mittleren Bereiches dieselbe Stärke hat. Selbst wenn der helle Fleck so liegt, daß man eine gleiche Zahl Interferenzstreifen auf beiden Seiten des mittleren Bereiches hat, so ist das Verfahren doch photometrisch, da die Streifen in keinem Teile des Raumes vollständig verschwinden und da die Streifen, bei denen der Beobachter zu zählen aufhört, gleiche Intensität haben müssen.

Wenn eine von diesen Methoden zur Messung der Rotation am Rande eines Absorptionsstreifens benutzt wird, so verschiebt sich der betreffende Raum und tritt infolgedessen eine anscheinende Rotation des Lichtes durch die absorbierende Substanz ein. Betrachten wir z. B. die Dunkelfleckmethode:

1) G. Wiedemann, Pogg. Ann. 82. p. 215. 1851.

2) A. Schmauss, Ann. d. Phys. 2. p. 280. 1900.

Wenn der dunkle Fleck durch 4,5 mm Quarz erzeugt wird und die Schwingungsrichtung der Wellenlänge  $589,6 \mu\mu$  genau rechtwinklig zu ihrer Richtung im Analysator Nicol liegt, so ist (Fig. 3) die Helligkeitskurve der Sonne, wenn deren Licht das Auge trifft, durch  $S'$  dargestellt, und  $F'$  ist dieselbe Kurve, wenn sie dadurch modifiziert ist, daß in den Weg 1 cm Länge der alkoholischen Fuchsinlösung  $0,000024$  gebracht wird. Die Ordinaten von  $F'$  werden dadurch erhalten, daß man die Schwingungsrichtung auflöst und ihr ihre relative Intensität nach Kurve  $S$ , Fig. 2, in

der Richtung der Schwingungsrichtung im Analysator gibt.  $F'$  wird erhalten indem man jeder Ordinate von  $S'$  ihre relative durchgelassene Intensität nach Kurve  $F$ , Fig. 2, gibt. Aus dem Umstande, daß die Helligkeitskurve der Sonne keine horizontale gerade Linie ist, wird man entnehmen, daß selbst auf Kurve  $F$  der Mittelpunkt des Fleckes unabhängig von seiner Breite nicht auf der Wellenlänge  $589,6 \mu\mu$  liegt, was der Punkt wäre, der einer In-

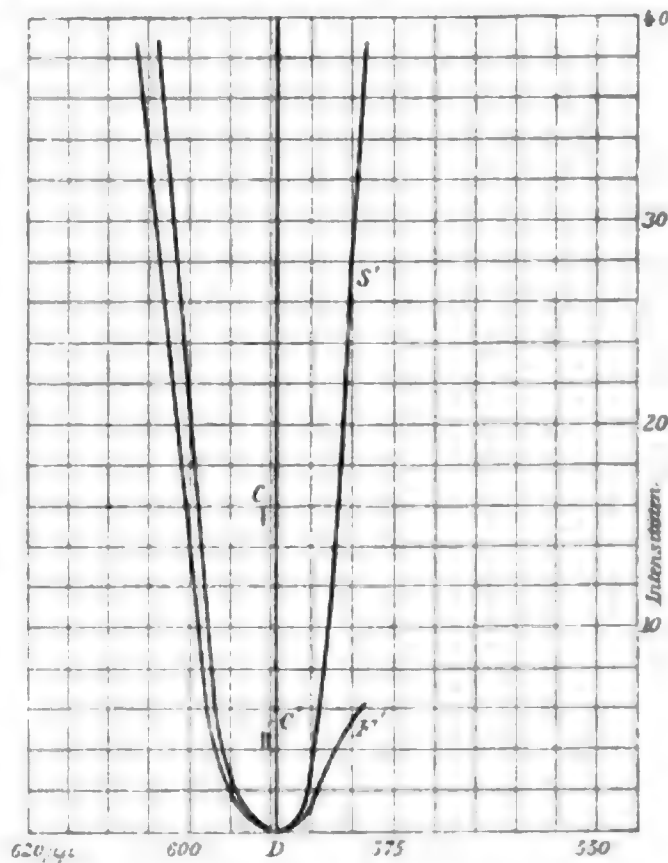


Fig. 3.

tensität gleich Null entsprechen würde, sondern vielmehr in einiger Entfernung nach links. In Wirklichkeit ist dies die einzige vollständig fehlende Wellenlänge, jedoch kann das Auge für verschiedene  $\mu\mu$  auf beiden Seiten davon keine Veränderung in der Intensität der Schwärze wahrnehmen und ist auf diese Weise gezwungen, vermittelt der Punkte gleicher Intensität auf beiden Seiten des mittleren Bereiches zu urteilen. Der Fleck liegt auf diese Weise mit einem anscheinenden Mittelpunkt links von  $589,6 \mu\mu$ . Wenn wir annehmen, daß die Grenze des schwarzen Raumes durch die Wellenlängen  $582 \mu\mu$  und  $594 \mu\mu$  definiert ist, die gleiche Intensität besitzen und



daher einen Raum mit wirksamer Breite  $12\ \mu\mu$  ergibt, so ist es augenscheinlich, daß wenn der durchsichtige Körper sich im Felde befindet, die Lage des schwarzen Fleckes so bestimmt ist, als ob sein Mittelpunkt bei  $C$  (Fig. 3) läge. Wenn die Fuchsinlösung an die Stelle des Lösungsmittels kommt, so verändert der Mittelpunkt seine Lage beim Übergang auf Kurve  $F$  und liegt nunmehr bei  $C'$ , was einer Lagenveränderung von  $0,7\ \mu\mu$  entspricht. Dies ergibt eine Rotation von  $0,6^\circ$ , wenn die Polarisations Ebenen ihre Lage nicht verändert haben.

Da die oben angenommenen Bedingungen den von mehreren Forschern benutzten sehr ähnlich sind, so wurden sie durch den Versuch leicht verwirklicht. Eine Hilfszelle mit der Fuchsinlösung wurde in den Weg des Lichtes gebracht und der Analysator nicol gedreht, bis der schwarze Raum in seiner ursprünglichen Lage sich befand. Auf diese Weise wurden für diesen Teil des Spektrums folgende Daten erhalten.

Fuchsinlösung.		
Ausgeschaltet	Eingeschaltet	Unterschied
16,00°	16,60°	0,60°
15,95	16,48	0,53
Berechnete Drehung		Beobachtete Drehung
0,62°		0,56°

Dies alles bezieht sich auch ganz ebenso auf die Methode des hellen Fleckes. Eine derartige genaue Übereinstimmung ist natürlich zum Teil zufällig, da nach der Wiedemannschen Methode keine aufeinander folgenden Messungen ausgeführt werden können, die näher aneinander liegen als  $0,10^\circ$ . Die Größe des Fehlers hängt von der Breite des vom Beobachter benutzten Fleckes ab.

Da der Fleck sich nach dem Rot verschob, was einer anscheinenden positiven Rotation entspricht, so liegt es auf der Hand, daß wenn der Fleck sich weiter in den Absorptionsstreifen des Fuchsin hineinbewegt, diese positive Rotation zunahm, bis sie am Rande des Streifens ein Maximum erreichte. Von dort aus nahm sie allmählich ab und wurde gleich Null in einem Punkte innerhalb, wo die Absorption für beide Ränder des Fleckes dieselbe ist. Wenn der Raum sich

der anderen Kante des Streifens vom Innern aus nähert, beobachtete man eine allmählich zunehmende Rotation, die ein Maximum am Rande des Streifens erreichte und dann auf Null abnahm, wenn der Fleck den Streifen verließ. Dieses Maximum liegt jedoch in entgegengesetzter Richtung wie das früher erwähnte. Da das frühere einer positiven Rotation entspricht, so haben wir es hier mit einer negativen Rotation zu tun, d. h. bei Lösungen sinkt die Kurve für die Rotationsdispersion unter die Kurve des Lösungsmittels.

Wenn der Halbschatten benutzt wird, so nimmt die von dem Fehler herrührende anscheinende Rotation sehr merklich mit einer Zunahme der Stärke des Magnetfeldes zu, ohne zu dieser jedoch direkt proportional zu sein, da eine Verdoppelung des Feldes eine entsprechende Zunahme des Winkels ( $\alpha_1 - \alpha_n$ ) ergibt, wenn alle anderen Bedingungen unverändert bleiben. Bei den Methoden des dunklen und des hellen Fleckes verändert sich jedoch der Maximalwert des Fehlers bei kleinen Rotationen mit der Feldstärke nur sehr wenig, da die Rotation der untersuchten Substanz nur einen kleinen Bruchteil der gesamten Rotation darstellt. Die Quarzdicke, die erforderlich ist, um den gewünschten Fleck im Spektrum zu ergeben, beträgt mindestens 1,5 mm. Dies ergibt eine Anfangsrotation von  $32,5^\circ$  bei der *D*-Linie, wozu die Rotation von z. B. 1 cm Wasserlänge bei einem Feld von 8000 Linien hinzukommt, was zusammen  $34,2^\circ$  ergibt. Wenn das Feld auf das Doppelte erhöht wird, so erhält man im ganzen nur  $36^\circ$ , eine Veränderung, welche den Maximalfehler nur sehr wenig beeinflusst. Bei den drei erwähnten Methoden ist der Maximalwert der störenden Rotation angenähert direkt proportional zu der Konzentration verdünnter Lösungen, und je schärfer der Absorptionsstreifen ist, um so augenfälliger ist die Anomalie.

Diese anscheinenden Rotationen kommen jedoch nicht vollständig von einer Verringerung der Amplitude gewisser Wellenlängen durch die absorbierende Substanz. Dazu kommt nämlich noch der Purkinjesche Effekt oder die Veränderung der Helligkeitskurve für verschiedene Intensität. Dieser Effekt ist gewöhnlich zu vernachlässigen, kann jedoch unter gewissen Bedingungen sehr beträchtlich werden. Zu dieser Vermutung

kommen wir durch eine Untersuchung der Königsschen<sup>1)</sup> Helligkeitskurven für Gaslicht verschiedener Intensität. Ähnliche Kurven für Sonnenlicht fehlen anscheinend, so daß keine Berechnung hinsichtlich dieses Punktes möglich war. Bei den Wellenlängen von 573—587  $\mu\mu$  als Lichtquelle und einer Rotation von  $4^\circ$  differierte die Einstellung des Analysators um  $0,02^\circ$ , wenn die Lichtintensität durch den Rotationssektor auf den 44. Teil ihres Wertes reduziert wurde. Der Winkel zwischen den Hauptachsen der Nicols im Polarisationsystem betrug mehrere Bogenminuten.

In Fig. 2 ist  $R$  die Helligkeitskurve, die man erhält, wenn man Sonnenlicht durch eine 1 cm betragende Dicke alkoholischer Fuchsinlösung (Konzentration 0,000024) hindurchgehen läßt. Man erhält sie dadurch, daß man die Ordinaten der Helligkeitskurve  $S$  durch die Transmissionskurve  $F$  modifiziert. Wenn der Unterschied der Rotation zweier Substanzen gemessen wird, oder entweder der optische Schwerpunkt der Lichtquelle für absolute Messung mit dem Halbschattensystem oder die Stellung des Beobachtungsfernrohres nach Wellenlängen für die Methode des hellen oder die des dunklen Fleckes kalibriert wird, so gehen die von der Benutzung zweier Helligkeitskurven, von denen  $R$  und  $S$  spezifische Beispiele sind, herrührenden Fehler in die Messungen ein, wenn nicht eine entsprechende Kompensation vorgenommen wird. Diese Kurven können für durchsichtige Substanzen fast identisch sein und hingegen bei absorbierenden Substanzen große Verschiedenheiten aufweisen. Im ersteren Falle sind die Fehler gewöhnlich zu vernachlässigen, im letzteren können sie sehr groß werden. Nach der Theorie liegt es auf der Hand, daß der Winkel ein Maximum an den Stellen des Spektrums wird, wo der verhältnismäßige Abfall der beiden Kurven derartig ist, daß man die größte Differenz der Intensität der das Auge erreichenden längsten und kürzesten Wellenlängen erhält. Wir wollen die Kurven  $S$  und  $R$  mit dem Halbschattensystem betrachten. Bei 600  $\mu\mu$  würde der Fehler annähernd derselbe sein, wie er sich nach Gleichung (VI) berechnen läßt, nämlich  $0,006^\circ$ , da die Bedingungen ungefähr dieselben sind. Bei

1) A. König, Beiträge zur Psychologie und Physiologie.

ungefähr  $567 \mu\mu$  würde man ein Maximum annehmen können, da dort die Veränderung der Intensität der äußersten Wellenlängen am größten ist. In einem Punkt innerhalb des Streifens wird er zu Null. Beim Austritt aus dem Absorptionsstreifen ist der Fehler nicht entfernt so ausgeprägt als beim Eintritt in denselben. Die Kurven  $L$  und  $H$ , Fig. 2, die durch den Versuch erhalten worden sind, sind deswegen gegeben, um die Veränderung des Fehlers in dieser speziellen Hinsicht zu zeigen. Ihre Ordinaten sind Rotationsunterschiede: ein kleiner Teilstrich stellt  $0,005^\circ$  dar. Kurve  $L$  bezieht sich auf die alkoholische Fuchsinlösung  $0,000024$ ,  $H$  auf die mit der Konzentration  $0,000012$ . Eine Wasserzelle, die  $4,5^\circ$  Drehung bei der  $D$ -Linie ergab, wurde zwischen die Pole des Magneten eingeschaltet. Der Winkel zwischen den Elementen des Halbschattensystems betrug  $1,10^\circ$ , die Intensität der Lichtquelle  $14 K$ . Eine  $1 \text{ cm}$  betragende Länge Lösung wurde außerhalb des Magnetfeldes angebracht, abwechselnd in den Weg des Lichtes eingeführt und herausgenommen und die Unterschiede der Rotation des Wassers beobachtet. Gegen Bleichwirkungen muß man sich sorgfältig hüten. Nachdem Sonnenlicht  $5 \text{ Min.}$  lang durch Lösungen von Substanzen wie Fuchsin und Cyanin hindurchgegangen war, nahm die Absorption bedeutend ab.

Zur Bestimmung des optischen Schwerpunktes verschiedener Strahlenfilter für verschiedene Teile des Spektrums sind viele sorgfältige Untersuchungen angestellt worden, und die Kalibrierung wurde mit Substanzen ohne sonderliche selektive Absorption ausgeführt. Diese Filter ließen Licht hindurch, dessen Wellenlänge nicht weniger als um  $34\text{--}40 \mu\mu$  differierte. Daher gibt eine kleine Veränderung der Helligkeitskurven beim Halbschattensystem einen verhältnismäßig großen Fehler für die Rotation.

Wenn die nicht absorbierende Substanz sich im Felde befand, so wurde mit einem Rotationssektor gearbeitet, um die Intensität des Lichtes gleich zu machen; da aber derselbe die Amplitude aller Wellen gleichmäßig verkleinert, und die Helligkeitskurve nur dem Purkinjeschen Effekt entsprechend verändert, so wurden falsche Rotationen nicht eliminiert. Wenn man in den Weg des Lichtes außerhalb des Magnetfeldes eine optische Dicke der Substanz hineinbrachte, die der im Felde

befindlichen gleich war, so daß der nicht absorbierte Strahl kompensiert wurde, so war dies anscheinend die einfachste Methode, um die Helligkeitskurve unverändert zu erhalten. Eine Eliminierung dieser Erscheinungen dürfte in vielen Fällen zu vollkommener Übereinstimmung führen, besonders um die Messungen verschiedener Beobachter betreffs der Rotation eben polarisierten Lichtes zu verwerten.

Ich möchte diese Gelegenheit benutzen, um Hrn. Prof. D. B. Brace für seine nützlichen Anregungen meinen Dank auszusprechen.

Nebraska, Lincoln, Nebr., Physik. Inst. der Universität,  
Mai 1903.

(Eingegangen 19. Juli 1903.)



**10. Die magnetische Rotationsdispersion  
von Lösungen von Substanzen mit anomaler  
Dispersion<sup>1)</sup>; von Fred. J. Bates.**

Becquerel<sup>2)</sup> hat im Jahre 1880 anomale Rotationsdispersion beim Sauerstoff beobachtet. Andere Forscher haben jedoch diese Resultate nicht bestätigen können. Macaluso und Corbino<sup>3)</sup> haben die Erscheinung beim Natriumdampf beobachtet und gefunden, daß die Rotation sehr schnell zunahm, wenn man sich dem Absorptionsstreifen näherte, an der Kante des Streifens ein Maximum erreichte und im Innern zu einer geringen positiven Rotation abnahm. Zeeman<sup>4)</sup> hat die Erscheinung gleichfalls untersucht und findet für nicht zu dichten Natriumdampf eine negative Rotation im Innern des Streifens.

Biot<sup>5)</sup>, Arndtsen<sup>6)</sup>, Landolt<sup>7)</sup>, Nasini und Gennari<sup>8)</sup>, Cotton<sup>9)</sup> und andere haben bei optisch aktiven Flüssigkeiten anomale Rotationsdispersion beobachtet, und im Jahre 1896 hat Cotton<sup>10)</sup> eine Neigung zu einer anscheinenden Anomalie bei Ferrichlorid, Kupferacetat und verschiedenen anderen Flüssigkeiten wahrgenommen, wenn diese in ein Magnetfeld gebracht wurden.

Er fand beim Annähern von rot nach violett an einen Absorptionsstreifen einer gewissen Lösung ein Anwachsen der

1) Vor der *American Association for the Advancement of Science* in deren Sitzung zu Washington 1902—1903 vorgetragen.

2) H. Becquerel, *Compt. rend.* **90**. p. 1407. 1880.

3) D. Macaluso u. O. M. Corbino, *Compt. rend.* **127**. p. 548. 1898.

4) P. Zeeman, *Proc. Roy. Acad. of Amsterdam* 1902.

5) M. Biot, *Ann. de chim. et phys.* (3) **10**. p. 5. 1844.

6) M. A. Arndtsen, *Ann. de chim. et phys.* (3) **54**. p. 403. 1858.

7) H. Landolt, *Beibl.* **5**. p. 298. 1881.

8) R. Nasini u. H. Gennari, *Zeitschr. f. phys. Chem.* **19**. p. 113. 1896.

9) A. Cotton, *Ann. de chim. et phys.* (7) **8**. p. 347. 1876.

10) A. Cotton, *L'éclair. électr.* **8**. p. 162 u. 199. p. 1896.



Rotation, die größer wurde als der Betrag, der bei durchsichtiger Lösung beobachtet worden wäre. Bei der Lösung einer anderen Substanz, bei der er von violett nach rot an einen Streifen herangehen konnte, fand er, daß die Rotation unter den normalen Wert sank. Dies legte er so aus, als ob damit das Vorhandensein zweier Inflektionspunkte in der Kurve für die Rotationsdispersion bei beiden Streifen erwiesen wäre. Es glückte ihm jedoch nicht, eine Kurve für beide Seiten desselben Streifens, auch nicht für das Innere des Streifens, aufzustellen. Im Jahre 1900 beobachtete Schmauss<sup>1)</sup> eine anscheinende Anomalie bei Fuchsin, Cyanin, Naphtalinrot, Eosin und Didymglas. Er untersuchte die ersten vier Substanzen in sehr verdünnten alkoholischen Lösungen; die größte Konzentration nach Gewicht betrug für diese Substanzen bez. 0,000024, 0,000039, 0,000005, 0,000004. Die Kurven für die Rotationsdispersion bei diesen Flüssigkeiten zeigen alle vier Beugungspunkte und ein sehr erhebliches Ansteigen über die Kurve des Lösungsmittels beim Annähern an das Violett. Die Fuchsinlösung (0,000024) gab eine Rotation von  $2,81^\circ$  für die Wellenlänge  $544\mu\mu$  und  $2,34^\circ$  für  $545\mu\mu$ . Erstere ist  $0,44^\circ$  größer als die des Lösungsmittels, letztere hingegen  $0,13^\circ$  kleiner. Für die Wellenlänge  $450\mu\mu$  ergab die Lösung eine Rotation, die  $0,58^\circ$  größer war als die des Lösungsmittels. In späteren Arbeiten<sup>2)</sup> untersuchte er Didymglas, flüssigen Sauerstoff und Lösungen von Lakmus, Anilinblau und drei seltenen Erden.

Schmauss' Ergebnisse weisen darauf hin, daß die anomalen Erscheinungen mit zunehmender Konzentration gleichfalls eine Zunahme erfahren, daß die maximale Rotation von der Feldstärke unabhängig ist und daß die negative Rotation im Innern des Streifens mit zunehmender Feldstärke abnimmt. Zeemans Beobachtungen an mäßig dichtem Natriumdampf sowohl wie alle Schmauss'schen Ergebnisse scheinen die theoretischen Schlußfolgerungen von Voigt zu bestätigen.

Verfasser hat Lösungen von anomal dispergierenden Substanzen untersucht und bisher eine Anomalie nicht beobachten können. Diese Substanzen waren Fuchsin, Cyanin.

1) A. Schmauss, Ann. d. Phys. 2. p. 280. 1900.

2) A. Schmauss, Ann. d. Phys. 8. p. 842. 1902; 10. p. 853. 1903.

Anilinblau und Lakmus. Die ersten beiden befanden sich in alkoholischer, die beiden letzteren in wässriger Lösung.

Die angewandte Methode bestand darin, daß man eine Röhre mit der Lösung zwischen den durchbohrten Polen eines Elektromagneten anbrachte. Zu den Kraftlinien paralleles Licht wurde nacheinander durch ein Halbschattenpolarisationssystem, die Röhre und einen Analysator Nicol hindurchgelassen. Nach Messung der Rotation wurde die Röhre entfernt und die Rotation eines ähnlichen, mit Lösungsmitteln gefüllten Rohres beobachtet. Da die beiden Röhren gleiche Länge haben, so gibt die Differenz der beiden Rotationen die von der Anwesenheit der gelösten Substanz herrührende Rotation für die benutzte Wellenlänge.

Als Lichtquelle wurde die Sonne benutzt; die gewünschten Wellenlängen von genügender Homogenität wurden vermittelt eines dem von Doubt<sup>1)</sup> beschriebenen ähnlichen Spektralsystems erhalten. Das bei den Messungen benutzte Instrument war ein Spektropolariskop mit empfindlichem Streifen.<sup>2)</sup> Das Polarisationsystem bestand aus zwei dünnen Stücken Feldspat, die in einer Zelle aus  $\alpha$ -Monobromonaphtalin angebracht waren und den ordinären Strahl durchließen. Das kleinere von den beiden Stücken bedeckte nur das halbe Feld des größeren und der Winkel zwischen den beiden Polarisations Ebenen konnte beliebig variiert werden. Sowohl das Farbsystem als das Polarisationsystem sollen in einer demnächst erscheinenden Arbeit von dem Verfasser genau beschrieben werden.

Die konischen Polstücke des Elektromagneten variierten von 20 cm bis 15 cm im Durchmesser. Bei 23 Amp. und 500 Volt und einer 17 mm betragenden Entfernung der Polstücke wurde ein Feld von über 18000 Linien pro Quadratcentimeter erzielt. Diese Intensität wurde bei der Lakmus- und Anilinblaulösung benutzt, während bei der Untersuchung der Fuchsin- und Cyaninlösung eine Intensität von 15000 Linien ausreichte. Dies kam der Sättigung nahe genug, um einen Einfluß der leichten Stromschwankungen auf die Einstellung des Polariskops zu verhindern.

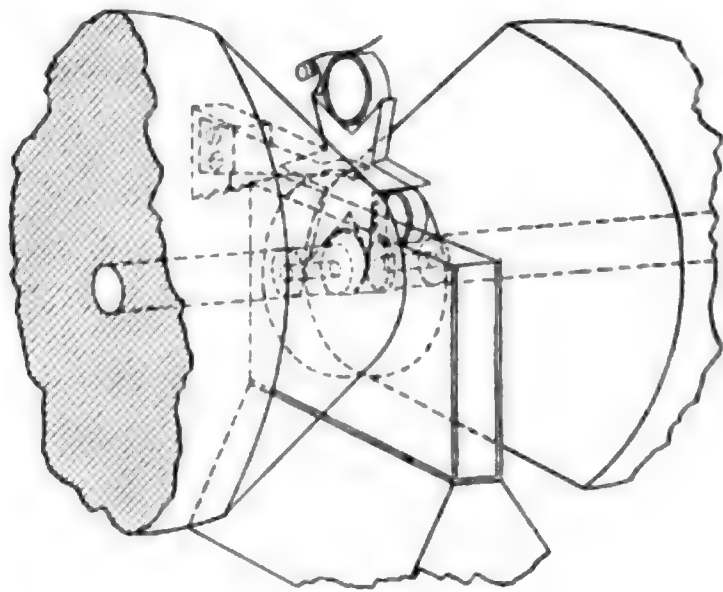
---

1) Doubt, Phil. Mag. 46. p. 216. 1898.

2) D. B. Brace, Phil. Mag. (6) 5. p. 161. 1903.

Ein sternförmiger Messingrahmen (vgl. Figur) rotiert in Zapfenlagern und ruht fest zwischen den Polen des Magneten. Die Röhren ruhen in den v-förmigen Spalten und werden mit Sprungfedern festgehalten. Eine kleine Rotation entfernte die eine Röhre aus dem Wege der Lichtstrahlen und setzte die andere an ihre Stelle. Die Röhren hatten 1 cm Länge und waren mit je 0,2 mm dicken Deckgläsern geschlossen.

Da wir die eine Röhre mit der anderen vergleichen, so müssen die optischen Wege dieselben sein. Faktoren, die diese Gleichheit zu stören suchen, können zunächst durch eine eventuelle Ungleichheit der Röhrenlänge, zweitens durch



mangelhaften Parallelismus der Achsen des Messingrahmens und drittens durch ungleiche Dicke der Deckgläser eingeführt werden. Diese Schwierigkeiten wurden sämtlich dadurch eliminiert, daß man den Rahmen mit einer stationären Glaszelle (100 mm  $\times$  50 mm  $\times$  12 mm), (vgl. Figur), umgab, die mit Lösungsmittel gefüllt war. Wenn jetzt die die Lösung enthaltende Röhre im Wege des Lichtstrahles eine Rotation erfährt, so verdrängt sie eine ihrer eigenen Länge entsprechende Menge Lösungsmittel. Die das Lösungsmittel enthaltende Röhre dient nur als Träger der Deckgläser, welche die die Lösungsröhre schließenden Gläser kompensiert. Wenn die Deckgläser nicht von derselben Dicke sind, so kann die einzige Veränderung in der Länge des optischen Weges daher kommen, daß beim Eintauchen der nächsten Röhre ein Teil der Glasdicke durch das Lösungsmittel verdrängt wird. Ein Unterschied von 0,2 mm

in der Dicke der Deckgläser würde einem Fehler von  $0,004^\circ$  in der Rotation entsprechen. Es liegt daher auf der Hand, dass keinerlei mechanische Fehler auf die Messungen einen nennenswerten Einfluß haben können.

Bei den gewöhnlichen Methoden zur Messung der Rotation von gewöhnlich polarisiertem Licht erscheinen im Beobachtungsfernrohr bei Erregung des Magneten verschiedene Feldbilder, die zum Teil übereinander gelagert sind. Dies kommt von den aufeinanderfolgenden inneren Spiegelungen des Lichtstrahles innerhalb der Röhren. Wenn der Analysator Nicol auf Auslöschung des Streifens eingestellt ist, der die Flüssigkeit nur einmal passiert hat, so werden die von den Strahlen, die 3, 5 etc. Durchgänge erfahren haben, erzeugten Bilder verhältnismäßig hell, da die Rotation zu der Längeflüssigkeit proportional ist. Jedoch macht sich eine Ungewißheit geltend; diese reflektierten Strahlen wurden aus dem Felde des Beobachtungsfernrohres dadurch eliminiert, daß man die Enden der stationären Zelle leicht prismatisch machte. Mit einem derartigen empfindlichen Polarisationsystem zeigt jedes Glas auch in ganz dünnen Schichten mehr oder weniger Doppelbrechung, und die Elimination dieser Erscheinung ist eine schwierige Aufgabe. Durch Prüfen einer großen Anzahl mikroskopischer Deckgläser konnte ich mir eine genügende Anzahl optisch guter Gläser verschaffen. Je dünner das Glas ist, um so eher ist es von Streifen frei; doch wenn die Dicke weniger als 0,2 mm beträgt, so erzeugt der Flüssigkeitsdruck gegen dasselbe nicht nur einen Linseneffekt und zerstört die Einstellung des optischen Systems, sondern macht auch das Glas doppelbrechend.

Bei der Konstruktion der Röhren wurde ein Deckglas, dessen Durchmesser 2 mm grösser war als der Röhrendurchmesser, auf eine Niveaufläche gelegt und die Röhre darauf gesetzt. Ohne Röhre und Deckglas zu berühren wurde entweder Wachs oder eine Mischung von Fischleim und Glycerin je nach dem Lösungsmittel um sie herum gegossen. Auf diese Weise erhielt man schließlich Röhren, deren Endplatten praktisch keine Doppelbrechung zeigten.

Das Glas an den Seiten der die Röhren enthaltenden Zelle war 1,5 mm dick; es wurden Löcher hineingebohrt und



in eben beschriebener Weise Fenster aus Deckglas darauf angebracht. Der Analysator Nicol konnte, wenn nötig, in schnelle Rotation versetzt werden. Die Einstellung wurde jedoch vermittelt einer genauen Schraube besorgt, welche eine auf  $0,005^\circ$  eingeteilte Trommel trug. Der zehnte Teil einer diesen Betrag darstellenden Teilung der Skala konnte mit bloßem Auge bequem abgeschätzt werden.

Mit dem im obigen beschriebenen Apparat und erregtem Elektromagneten konnten in wenigen Sekunden aufeinanderfolgende Einstellungen für verschiedene Röhren gemacht werden, und war das Feld weder verzerrt, noch enthielt es irgend welche fremden Lichtstrahlen. Es konnten aufeinanderfolgende Einstellungen mit nichtabsorbierender Lösung angestellt werden wobei die äußersten Werte voneinander um weniger als  $0,007^\circ$  differierten, und bei verminderter Empfindlichkeit derart, daß man genug Licht erhielt, um durch den Absorptionsstreifen der Flüssigkeiten selbst hindurch abzulesen, betrug der Fehler weniger als  $0,01^\circ$ .

Beim Vergleich einer nicht absorbierenden mit einer stark absorbierenden Lösung ist der Unterschied der das Auge erreichenden Lichtstärke sehr bedeutend. Das Auge ist auf diese Weise ungeeignet für schnelles Einstellen von der nicht absorbierenden auf die absorbierende Substanz, und doch ist es nicht wünschenswert, zwischen solchen Beobachtungen eine beträchtliche Zeit verstreichen zu lassen. Um diese Schwierigkeit zu überwinden, und auch um unechte Rotation zu eliminieren, wie diese in einer früheren Arbeit untersucht worden sind, wurde eine Hilfszelle mit Lösung von gleichem Absorptionsvermögen wie die Lösungsröhre vor den Kollimatorspalt außerhalb des magnetischen Feldes gesetzt. Vermittelt des Hebels konnte der Beobachter diese Zelle in den Weg der Lichtstrahlen zugleich mit der Lösungsröhre bringen. Die Helligkeitskurve, sowie die Kurve für die das Auge erreichende Lichtstärke war daher für beide Röhren dieselbe. Die Röhren, von denen die eine mit Lösungsmittel, die andere mit Lösung gefüllt war, wurden in den sternförmigen Rahmen gesetzt, dessen unterer Teil in die mit Lösungsmittel gefüllte Zelle eingetaucht war (vgl. Figur). Nunmehr wurde eine Einstellung mit der Lösung z. B. im Magnetfeld vorgenommen. Diese

Röhre wurde dann heraus- und die Lösungsmittel enthaltende Röhre hineingebracht und eine neue Einstellung vorgenommen. Die nächsten Einstellungen gingen vom Lösungsmittel zur Lösung; die zum Auswechseln der Röhre erforderliche Zeit betrug einen Bruchteil einer Sekunde.

Die Messungen sind in nachstehender Tabelle wiedergegeben. Die einer Wellenlänge gegenüberliegenden Zahlen sind die Unterschiede der Rotationen pro Zentimeter Länge von Lösungsmittel und Lösung in tausendstel Graden. Das Minuszeichen vor einer Zahl zeigt an, daß die Rotation der Lösung kleiner war als die des Lösungsmittels. Die Konzentrationen sind in Gewichtsteilen gegeben.

Cyanin: Alkoholische Lösung, Konzentration 0,000019	Fuchsin: Alkoholische Lösung, Konzentration 0,000025	Fuchsin: Alkoholische Lösung, Konzentration 0,000012	Wellen- länge	Lakmus: Wässrige Lösung, Konzentration 0,0013	Anilinblau: Wässrige Lösung, Konzentration 0,00008
Tausendstel Grade			$\lambda = \mu\mu$	Tausendstel Grade	
—	—	—	710 {	5	—
—	—	—		0	—
5	— 2,5	— 7,5	674 {	0	5
— 2,5	— 12,5	— 10		10	— 5
20	7,5	— 2,5		—	—
2,5	2,5	— 12,5	646 {	5	— 2
5	— 5	— 5		0	0
0	—	0		20	—
—	—	—		15	—
—	—	—	622 {	5	—
0	0	0		30	— 5
— 5	— 1	0		80	7,5
10	—	—		15	0
—	—	—		20	—
—	—	—	602 {	0	—
— 12,5	12,5	— 10		0	0
5	— 10	— 2,5		— 15	10
10	—	—		10	5
—	—	—		0	—



Wellen- länge	Cyanin: Alkoholische Lösung, Konzentration 0,000019	Fuchsin: Alkoholische Lösung, Konzentration 0,000025	Fuchsin: Alkoholische Lösung, Konzentration 0,000012	Wellen- länge	Lakmus: Wässrige Lösung, Konzentration 0,0013	Anilin: Wässrige Lösung, Konzentration 0,001
$\lambda = \mu\mu$	Tausendstel Grade			$\lambda = \mu\mu$	Tausendstel Grade	
606	-15	5	12,5	593	—	—
	-10	5	15		—	—
	-2,5	—	5		—	—
	2,5	—	2,5		—	—
589	-7,5 -15	—	—	585	10	—
	-2,5 12,5	-10	-17,5		25	—
	-12,5 -5	2,5	12,5		25	-10
	— 0	—	5		10	—
	— —	—	—		10	—
573	-2,5 -20	—	—	570	0	—
	0 0	-27,5	-12,5		15	—
	— -25	-7,5 25	-5		0	—
	— -5	— -5	—		0	—
	— —	— 7,5	—		10	—
	— —	— —	—		15	—
558	7,5	10	-5	555	—	—
	8	25	-10		10	—
	12,5	-22,5	5		15	—
	-7,5	7,5	—		-5	—
543	-10	-15	7,5	541	—	—
	15	-15	5		—	—
	5	—	0		—	—
531	-7,5	—	-20	528	—	—
	-2,5	10	-2,5		—	—
	-2,5	15	-2,5		—	—
	—	—	—		—	—
520	0	-2,5	0	517	—	—
	-7,5	20	20		—	—
	12,5	7,5	2,5		—	—
	—	—	—		—	—
509	-15	-2,5	12,5	510	—	—
	-7,5	0	12,5		—	-5
	7,5	—	7,5		—	—

Cyanin:	Fuchsin:	Fuchsin:	Wellen-	Lakmus:	Anilinblau:
Alkoholische Lösung, Konzentration 0,000019	Alkoholische Lösung, Konzentration 0,000025	Alkoholische Lösung, Konzentration 0,000012	länge	Wässrige Lösung, Konzentration 0,0013	Wässrige Lösung, Konzentration 0,00008
Tausendstel Grade			$\lambda = \mu\mu$	Tausendstel Grade	
5	10	-20	506	—	—
0	5	-7,5		—	—
0	5	-2,5		—	-5
—	—	10		—	15
—	—	0		—	0
12,5	-15	—	496	—	10
17,5	25	—		—	5
10	35	—		—	0
-20	17,5	—		—	—
-15	5	10	494	—	10
-5	32,5	-10		—	0
0	-10	-20		—	15
0	—	-2,5		—	20
—	—	20	485	—	5
5	-5	—		—	5
17,5	2,5	—		—	10
2,5	-10	—		—	15
5	—	—		—	—
—	-35	-15		—	—
—	—	20		—	—
—	-20	0		—	—
—	—	-40		—	—
—	—	35		—	—
—	—	30		—	—

Außer obigen Wellenlängen wurden die Lösungen noch für viele andere Stellen des Spektrums untersucht. Da die Methode eine Differentialmethode ist, und nicht von einer aufeinanderfolgenden Ablesung der absoluten Rotation von Lösungsmittel und Lösung abhängt, so konnte die gesuchte Erscheinung, wenn sie vorhanden war, direkt beobachtet werden. Demnach konnte eine Lösung in sehr kurzer Zeit untersucht werden. Die Unterschiede zwischen Lösungsmittel und Lösung für Wellenlängen, die von letzterer nicht bedeutend absorbiert

wurden, hätten viel kleiner gemacht werden können, wenn dies wünschenswert gewesen wäre. In diesem Falle hätte die Empfindlichkeit des Polarisationsystems erhöht werden müssen.

Die beobachteten Unterschiede sind unregelmäßig und beruhen offenbar nur auf Versuchsfehlern. Mit einem Polariskop. das aufeinanderfolgende Einstellungen innerhalb von  $0,005''$  gab, würde beträchtliche Schwierigkeit natürlich zu erwarten gewesen sein, wenn man die verschiedenen Fehlerquellen hätte so weit eliminieren sollen, daß man diese Empfindlichkeit benutzen könnte. Selbst nach Elimination der Doppelbrechung und mechanischen Fehler bleiben noch die Wirkungen des Bleichens und die vollkommene Kompensation für die absorbierende Lösung. Wenn die Flüssigkeit in der Lösungsröhre und in der Kompensationszelle nicht vollständig frisch ist, so beobachtet man einen Unterschied der Rotation von vielleicht  $0,01^\circ$ . Zur Zeit, als die Daten für die Anilinblau-Lösung bei der Wellenlänge 517 gewonnen wurden, bestand z. B. zwischen Lösung und Lösungsmittel ein Unterschied von  $0,01^\circ$ . Wenn man später wieder beobachtet hätte, so würde er wahrscheinlich verschwunden sein. Aus obigen Daten scheint hervorzugehen, daß bei den untersuchten Lösungen keine anomale magnetische Rotationsdispersion besteht, die hinreichend groß wäre, um mit dem verfügbaren Mittel gemessen werden zu können. Hr. Williams, Dozent der Physik, hat in einer jetzt erscheinenden Arbeit die Dispersion von alkoholischen Fuchsinlösungen vermittelst Rippenspektren untersucht. Er findet keine Anomalie an der Dispersionskurve einer Fuchsinlösung, deren Konzentration 36 mal  $0,000024$  beträgt. Wenn wir daher die verschiedenen Formeln als gültig annehmen (z. B. die Becquerelsche, bei der  $W = \frac{2\pi e}{V_0} \lambda \frac{dn}{d\lambda}$ ), die bisher als Kriterium für die Größe der anomalen Rotation vorgeschlagen worden sind, so liegt es auf der Hand, daß wir in den verdünnten Lösungen keine Anomalie erwarten können. Verfasser möchte noch Hrn. Prof. D. B. Brace für seine Unterstützung, durch die vorliegende Untersuchung möglich wurde, seinen Dank bezeugen.

Nebraska, Lincoln, Nebr., Physik. Laborat. d. Univ.,  
Mai 1903.

(Eingegangen 19. Juli 1903.)

## 11. *Photometrische Messungen an Gasspektren*<sup>1)</sup>; *von G. Berndt.*

### Einleitung.

Photometrische Messungen über die Abhängigkeit der Intensität von Spektrallinien von verschiedenen Einflüssen, wie Stromstärke, Druck, Temperatur etc. (in Geisslerröhren) sind zuerst von Lagarde<sup>2)</sup> angestellt. Er findet, daß die Intensität einer Spektrallinie bei konstantem Druck proportional dem Logarithmus der Stromstärke ist, wobei die Basis der Logarithmen nahe gleich eins. Gegen diese Resultate liegen jedoch insofern Bedenken vor, als er zur Stromerzeugung einen Induktionsapparat verwendet, bei dem es infolge der einzelnen aufeinanderfolgenden Partialentladungen unmöglich ist, die Stromstärke genau zu bestimmen; dazu kommt noch, daß Änderungen in der Unterbrechungszahl, welche nie ausbleiben, Schwankungen der Stromstärke verursachen.

Abweichend von ihm findet Ferry<sup>3)</sup>, daß beim Stickstoff und Wasserstoff innerhalb der Versuchsgrenzen (Druck 0,25- bis 4 mm; Stromstärke 1—6 Milliamp.) bei konstantem Druck die Intensität proportional der Stromstärke ist, und daß bei konstanter Stromstärke die Intensität mit abnehmendem Druck wächst, zunächst langsamer und dann schneller, und zwar für verschiedene Linien verschieden.

Gelegentlich von Untersuchungen darüber, unter welchen Bedingungen in Geisslerröhren das Verbindungsspektrum des Ammoniaks auftritt (welche insofern ergebnislos verliefen, als unter den obwaltenden Versuchsverhältnissen immer nur die Spektren des Stickstoffs und Wasserstoffs beobachtet wurden), nahm ich auch photometrische Messungen an diesen beiden Spektren vor.

1) Auszug aus den in den „Abhandlungen der Naturforschenden Gesellschaft zu Halle“ 26. 1903 erschienenen „Beiträge zur Kenntnis der Gasspektren“.

2) Lagarde, Ann. d. chim. et phys. (6) 4. p. 248. 1885.

3) Ferry, Phys. Rev. 7. p. 1. 1898.

## Apparat.

Der Wasserstoff wurde hergestellt durch Elektrolyse von Phosphorsäure, der Stickstoff durch Überleiten eines langsamen Luftstromes über glühende Kupferspäne, da sich eine Herstellung aus Glyzerin und Ammonnitrat nicht bewährte.

Da es darauf ankam, möglichst reine Gase zu erhalten, mußten an dem Apparat sämtliche Hähne und Schiffe (mit

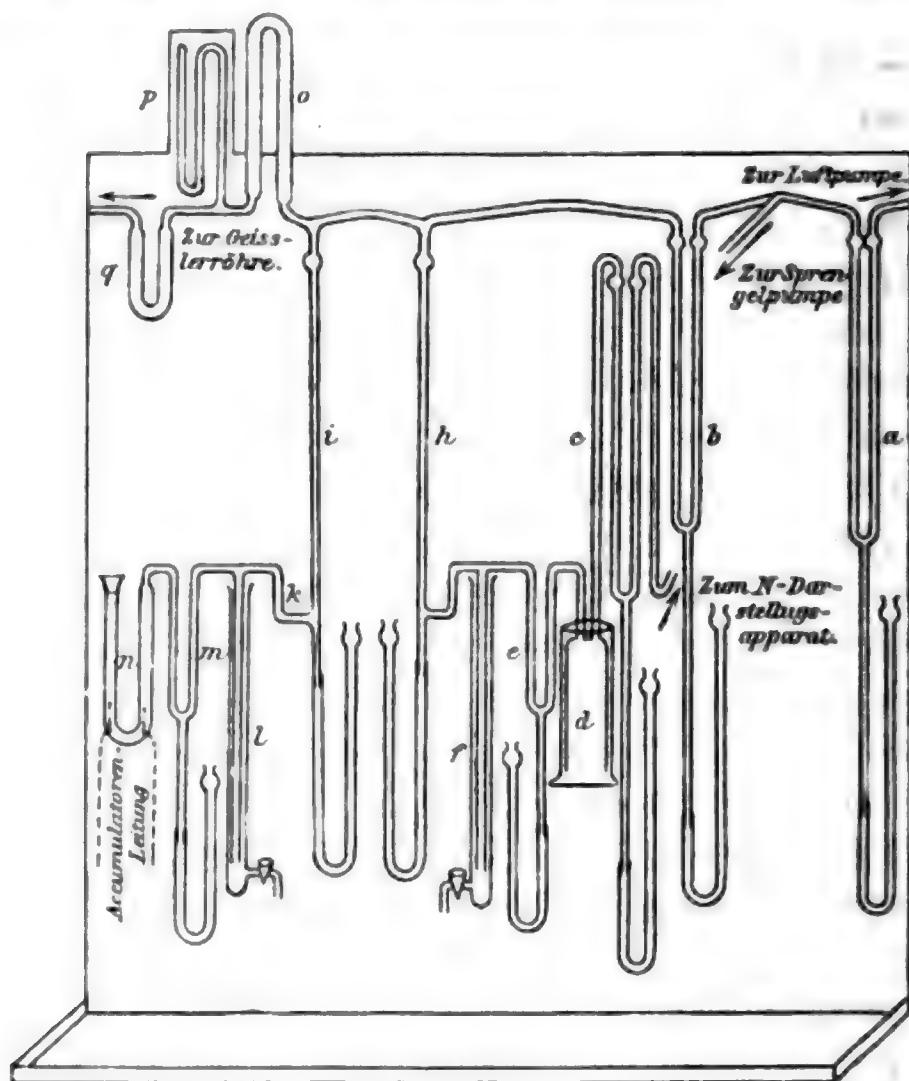


Fig. 1.

Fettdichtung) vermieden werden. Es wurde deshalb zum Einleiten der Gase die Cornusche Anordnung<sup>1)</sup> und zum Abschließen der einzelnen Teile voneinander U-Röhren gewählt. Fig. 1 gibt eine Skizze der Anordnung.

Nachdem durch eine Luftpumpe vorgepumpt war, wurde diese durch das U-Rohr *a* abgesperrt und die Evakuierung

1) A. Cornu, Journ. de phys. 5. p. 100 u. 341. 1886.

fortgesetzt mit der Sprengelpumpe. Beide waren durch Kundtsche Federn mit dem Apparat verbunden. An die Sprengelpumpe war eine Trockenröhre mittels zweier mit Phosphorpentoxyd eingeriebenen Schliffe mit Quecksilberdichtung angesetzt. Um aber noch hiervon unabhängig zu sein, sowie um bei einem eventuellen Undichtwerden der Pumpe nicht die Geisslerröhre mit Luft füllen zu müssen, konnte jene von dem übrigen Apparat durch das U-Rohr *b* abgesperrt werden. Die beiden U-Röhre bestanden — der Quecksilbersparnis halber — aus 2 mm weiten Kapillaren, jeder Schenkel, sowie der untere Fortsatz 80 cm lang. Mittels Gummischlauchs waren sie verbunden mit Quecksilberreservoirs in kleinen Konsolen, die in jeder gewünschten Höhe befestigt werden konnten. *h* und *i* sind die beiden Cornuschen Anordnungen, etwa 1 cm weite Röhren, welche in 80 cm Abstand von den Kugeln (die beim Aufsteigen der Gasblasen ein Heraufschleudern des Quecksilbers vermeiden sollten) kapillare, 2 mm weite, seitliche Ansätze tragen. Diese setzen sich fort in die vertikalen, etwa 80 cm langen Ansätze *f* und *l* aus etwa 7 mm weiten Röhren, umgeben von einem weiteren Rohr mit unten angesetztem Hahn; ich will sie als Hilfsgasometer bezeichnen. Die kurzen, etwa 25 cm langen, 2 mm weiten U-Röhre *e* und *m*, mit Quecksilberreservoirs verbunden, dienen zur Absperrung des Stickstoffgasometers *d* und des Zersetzungsapparates *n* von den Hilfsgasometern. Das in denselben Dimensionen wie *a* und *b* gehaltene U-Rohr *c* schließt den Gasometer von dem Stickstoffdarstellungsapparat ab. An die Cornuschen Anordnungen schließen sich die mit Phosphorpentoxyd und Natronkalk gefüllte Trockenröhre *o*, das Quecksilbermanometer *p* mit Spiegelskala und die Röhre *q* mit Schwefelpulver zur Abhaltung der Quecksilber- und mit im Wasserstoffstrom ausgeglühten Kupferspänen zur Abhaltung der Schwefeldämpfe. Zwei Kundtsche Federn verbinden diesen Apparat mit einer 2 m langen Spirale, welche verhindern soll, daß die bei hohem Vakuum sich weit ausdehnenden elektrischen Entladungen die Kupfer-Schwefel- oder die Trockenröhre treffen, wodurch leicht Verunreinigungen der Gase eintreten können. An diese schließt sich die Geissleröhre mit Längssicht an. Da bei äußeren Elektroden eine Messung der Stromstärke ausgeschlossen, fanden sorgfältig



gereinigte Aluminiumhohlzylinder (1 cm Durchmesser, 3 cm lang) an Platindrähten Verwendung. Die Geisslerröhre selbst war aus Jenaer Glas, der kapillare Teil etwa 4 mm weit und 10 cm lang. Sämtliche Teile wurden vor und nach dem Zusammenschmelzen sorgfältig gereinigt.

Der Wasserstoff wurde durch Elektrolyse aus 15 proz. Phosphorsäure gewonnen, hergestellt aus Phosphorpentoxyd und frisch ausgekochtem destillierten Wasser. Auf die Vermeidung jedweder Absorption von Zimmerluft während der ganzen Zeit wurde besonders geachtet. Mit einiger Geschicklichkeit gelingt es, die ganze Anordnung *k, l, m, n* mit Quecksilber und Phosphorsäure zu füllen, und so die Luft völlig daraus zu verdrängen.

Für die Herstellung des Stickstoffs wurde das im Physikalischen Institut der Universität Halle gebräuchliche Verfahren eingeschlagen. Aus einem mit Hahn versehenen Gasometer wird ein langsamer Luftstrom durch eine Trockenröhre mit Phosphorpentoxyd und Natronkalk über glühende, im Wasserstoffstrom reduzierte Kupferspäne (zur Entfernung des Sauerstoffs) und über glühendes Kupferoxyd (zur Entfernung etwa vorhandenen Wasserstoffs) in den Gasometer *d* gedrückt. Mit Ausnahme des ersten Gasometers sind sämtliche Teile evakuiert. Aus dem Gasometer *d* wird der Stickstoff zurückgedrückt, und zwar erst wieder über das Kupfer, dann über das Kupferoxyd (was mit Hilfe eines Kreuzrohres mit vier Hähnen leicht ausführbar) in den ersten Gasometer und dies Verfahren so lange wiederholt, bis sämtlicher Sauerstoff gebunden ist. Die einzelnen Teile waren untereinander und das Ganze mit dem U-Rohr *c* mit dickwandigem Gummischlauch und Gummischnur verbunden, die Hähne mit einem Fett aus 5 Teilen weißem Wachs und 3 Teilen Vaseline eingerieben, das Hr. Prof. Dr. Dorn so freundlich war, mir mitzuteilen, und das selbst im Vakuum keine Dämpfe abgibt. Auch hier gelingt es mit einiger Geschicklichkeit, die Anordnung *d, e, f, g* mit Quecksilber zu füllen und so jedwede Luft daraus zu verdrängen. Nach der Darstellung wurde der Gasometer vom Darstellungsapparat abgesperrt, um sicher vor etwaigen Verunreinigungen und Undichtwerden der Gummischläuche und Hähne und Schiffe zu sein.

Der so dargestellte Stickstoff enthält natürlich noch Argon, dessen Einfluß auf das Stickstoffspektrum in so geringen Mengen nach Untersuchungen von Collie und Ramsay<sup>1)</sup> ein außerordentlich kleiner ist.

Bei den ersten Versuchen, bevor die Teile *e* und *f* zwischen-  
geschaltet waren, stellte es sich heraus, daß man, obwohl  
die Quecksilberreservoirs der Cornuschen Anordnungen mit  
Mikrometerschrauben versehen waren, doch nie die Gase in  
der gewünschten Weise in den Apparat leiten konnte. Dies  
geschah meist mit solcher Heftigkeit, daß das Quecksilber  
trotz der kugelförmigen Erweiterungen emporgeschleudert wurde  
und an nach unten gebogenen Stellen (die daraufhin vermieden  
wurden) die Verbindung abspernte. Gleichzeitig traten durch  
das Emporschleudern plötzliche Druckverminderungen ein, die  
einer weiteren Masse des Gases den Eintritt in den Apparat  
gestatteten. Da bei der Weite des Gasometers (5 cm Durch-  
messer) diese Masse ziemlich bedeutend war, wurde der Hilfs-  
gasometer *f* eingefügt und durch diesen die Gasmasse reduziert.  
Ich füllte jetzt, nachdem das Quecksilber im U-Rohr *e* so weit  
gesenkt war, daß der Gasometer *d* und der Hilfgasometer *f*  
kommunizierten, durch Ablassen des Quecksilbers letzteren  
mit Stickstoff, sperrte dann den Gasometer durch das U-Rohr  
ab und senkte mit Hilfe der Mikrometerschraube das Reservoir  
der Cornuschen Anordnung *h*, so daß bei der geringsten  
Druckvermehrung im Hilfgasometer das Gas in den Apparat  
treten mußte. Aus einem Scheidetrichter ließ ich Quecksilber  
tropfenweise in denselben fallen, und sobald sich der nötige  
Überdruck hergestellt hatte, ging das Gas in einem langsamen  
Strom in den Apparat, dessen Schnelligkeit nach Belieben  
reguliert werden konnte. Da sich diese Anordnung gut be-  
währte, wurde auch beim Wasserstoff die entsprechende ein-  
gefügt. Durch vorhergehende Kalibrierung der Hilfgasometer  
war es auch möglich gemacht, die eingelassene Gasmenge  
genau zu berechnen, was für Versuche mit Gasgemischen  
wichtig ist.

Nachdem der Apparat mit Luft genügend vorgespült war,  
wurde er scharf evakuiert; gleichzeitig wurde die Geisslerröhre

1) N. Collie u. W. Ramsay, Proc. Roy. Soc. 59. p. 257. 1896.

in einem mit Asbest gefütterten eisernen Ofen bis auf etwa  $200^{\circ}$  erhitzt und starke Entladungen durch dieselbe gesandt. Dann wurde das zu untersuchende Gas bis zu einem Druck von einigen Zentimetern hineingelassen und in derselben Weise verfahren. Dies wurde so oft wiederholt, als sich irgendwelche Verunreinigungen zeigten, zum mindesten jedoch dreimal. Man wird so befreit von den okkludierten Gasen der Elektroden und den adsorbierten der Glaswände. Unangenehm ist bei dieser Methode, daß die Geisslerröhre sehr leicht springt, und zwar geschah dies stets an der Einschmelzstelle der Kathode.

Zur Erzeugung des elektrischen Stromes wurde eine 20plattige Influenzmaschine (angetrieben durch einen Elektromotor) verwendet, welche eine maximale Stromstärke von 1 Milliamp. lieferte. Dieselbe wurde gemessen durch ein in Nebenschluß gelegtes d'Arsonval-Galvanometer, dessen Reduktionsfaktor vor und nach jeder Messung bestimmt wurde.

Das Potential wurde mit Hilfe eines genauen Funkenmikrometers beobachtet, welches parallel zur Geisslerröhre geschaltet war. Abhängigkeit von Luftdruck und Temperatur wurde berücksichtigt.

Bei der geringen Lichtstärke des Spektrums (infolge der geringen Stromstärke) war die Benutzung des Glanscher Spektrophotometers ausgeschlossen; es wurde deshalb ein solches mit Vierordtschem Doppelspalt und geringer Dispersion gewählt. Das Vergleichsspektrum lieferte eine Glühlampe hinter Seidenpapierschirm.

#### Photometrische Messungen.

Es wurden photometrische Messungen ausgeführt bei 200 bis 1000 Milliamp. und Drucken von 0,8 bis 0,01 cm. Wegen Inkonstanz des Stromes der Influenzmaschine bei geringer Tourenzahl waren Messungen bei kleiner Stromstärke sehr schwierig; durch allmähliche Übung gelang es jedoch, brauchbare Resultate zu erhalten. Bei den ganz hohen Drucken stimmen die Messungen nicht so gut überein, da hier die Entladung nicht den ganzen Querschnitt der Röhre ausfüllt, sondern von einzelnen Punkten der Elektroden dünne Fäden durch die Geisslerröhre laufen. Eine Reduktion der Intensitätsmessungen auf absolutes Maß wurde nicht vorgenommen.

## a) Stickstoff.

Es wurden die Messungen in der Weise angestellt, daß die Röhre bis zu 1 cm Druck mit Stickstoff gefüllt wurde; jener wurde für die folgenden Messungen durch Abpumpen bis zum gewünschten Grade reduziert. Nach einigen Tagen wurden dann die Messungen an einer frischen Portion Stickstoff wiederholt. Beide Serien zeigen im allgemeinen recht gute Übereinstimmung. Gemessen wurden die beiden Banden  $\lambda$  6069 und 5214 A.-E.

Bei den Beobachtungen bei Zimmertemperatur wurden keine Quecksilberlinien, selbst bei geringem Druck und großer Stromstärke, gefunden. Bei Beobachtungen bei  $200^\circ$  trat die grüne Quecksilberlinie, allerdings sehr schwach, auf, ein Zeichen dafür, daß Schwefel die Quecksilberdämpfe nicht völlig fernhält.

Da bei den hauptsächlichsten Messungen bei Zimmertemperatur sich keine Quecksilberlinien zeigten und auch bei denen bei höherer Temperatur die vom Schwefel doch noch durchgelassenen minimalen Mengen bei Verwendung von inneren Elektroden nach Lewis<sup>1)</sup> fast keinen Einfluß ausüben, so wurden keine weiteren Mittel verwendet, den Quecksilberdampf fern zu halten.

Es ergibt sich, daß bei konstantem Druck die Helligkeit einer Spektrallinie proportional der Stromstärke ist. Zum Beweise greife ich aus den gesamten Beobachtungen einige beliebig heraus. Es bedeutet in der folgenden Tab. 1  $i$  die Stromstärke in Milliamp.,  $I$  die Helligkeit, bezogen auf die des Vergleichsspektrums,  $I/i$  den Quotienten beider, noch multipliziert mit einem konstanten Faktor.

Tabelle 1.

$i$	$I$	$I/i$	$i$	$I$	$I/i$
221	100	4,52	241	229	9,51
471	200	4,25	443	413	9,31
593	264	4,45	650	604	9,29
873	377	4,32	832	783	9,41

Man sieht, daß diese Beziehung innerhalb der Beobachtungsfehler sehr gut erfüllt ist.

1) P. Lewis, Wied. Ann. 69. p. 393. 1889; Ann. d. Phys. 2. p. 447. 1900.



Für die Abhängigkeit der Helligkeit vom Druck (bei konstanter Stromstärke) stelle ich in der folgenden Tab. 2 die Werte zusammen. Ich gebe in der ersten Kolumne die Nummer der Beobachtungsserie, in der zweiten den Druck  $p$  in Millimetern und in der dritten die Mittelwerte der  $I/i$  für jeden Druck.

Tabelle 2.

$\lambda$ 6069				$\lambda$ 5214			
Serie	$p$	$M$	$M$	Serie	$p$	$M$	$M$
1	7,90	zu schwach	4,47	2	1,45	5,26	8,02
2	7,50	zu schwach	4,62	1	0,95	5,60	8,79
2	6,15	2,11	5,04	2	0,925	5,81	8,60
1	5,95	2,22	5,04	1	0,70	6,10	9,38
2	4,00	3,43	5,95	2	0,60	6,30	9,62
1	3,85	3,47	5,97	1	0,40	6,74	10,07
2	3,00	4,39	6,32	2	0,275	7,08	10,35
1	2,85	4,43	6,42	1	0,175	7,71	10,74
1	1,95	5,09	7,27	1	0,10	8,46	11,63
2	1,90	5,09	7,18	2	0,075	8,58	11,81
1	1,45	5,22	7,96				

Man ersieht daraus, daß bei konstanter Stromstärke die Helligkeit mit abnehmendem Druck wächst, und zwar für beide

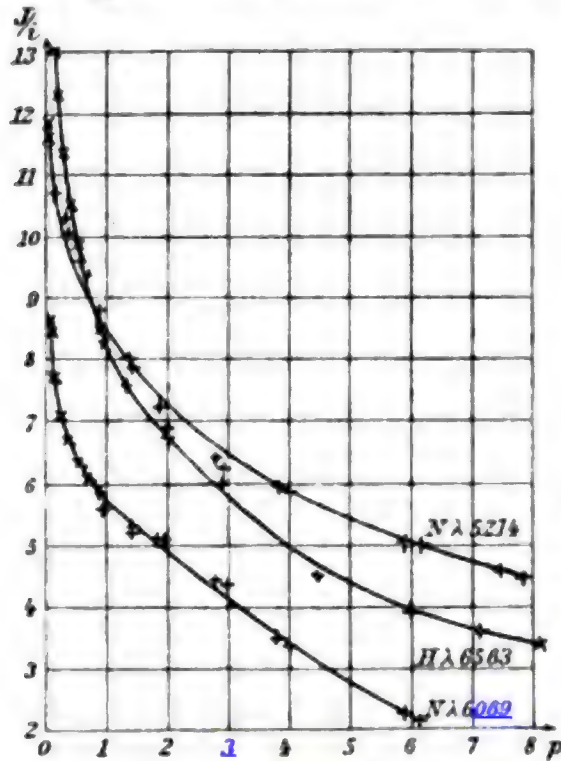


Fig. 2.

Banden verschieden. Fig. 2 zeigt den Zusammenhang zwischen  $M$  der Helligkeit bei konstanter Stromstärke, und dem Druck  $p$ , wobei letzterer als Abszisse,  $M$  als Ordinate aufgetragen ist.

Für beide Banden verlaufen die Kurven (von hohem Druck ausgehend) zunächst mit ziemlicher Annäherung geradlinig und gehen dann in einen gebogenen Teil über, welcher sich asymptotisch der Ordinatenachse nähert. Die Helligkeit wächst also mit abnehmendem Druck zunächst langsam und dann schneller.

Versuche bei  $200^\circ$ , welche nur in geringer Anzahl angestellt wurden, ergaben innerhalb der Beobachtungsfehler

ieselben Werte für  $I/i$ , woraus folgt, daß die Temperatur des **Gas** innerhalb der Versuchsgrenzen ohne Einfluß auf die Intensität ist, wie auch leicht erklärlich, da wir es hier nicht mit Temperaturstrahlung zu tun haben.

#### b) Wasserstoff.

Beim Reinigen der Röhre behufs der Füllung mit Wasserstoff platzte dieselbe an der Einschmelzstelle der Kathode. Es wurde ein möglichst kongruenter Teil unter Verwendung der alten Elektrode angeschmolzen. Immerhin war hierzu eine Verschiebung des Photometers notwendig, so daß die Intensitäten des Wasserstoff- und Stickstoffspektrums in bezug auf das Vergleichsspektrum nur innerhalb gewisser Grenzen miteinander verglichen werden können.

Beim Wasserstoff tritt stets, allerdings sehr schwach, die grüne Quecksilberlinie auf, bei  $200^{\circ}$  daneben auch die gelbe und violette, was die Beobachtung von Lewis<sup>1)</sup> bestätigt, daß Wasserstoff stets die Lichtemission etwa vorhandenen Quecksilbers hervorruft. Da die Versuche bei  $200^{\circ}$  von geringerer fundamentaler Bedeutung sind und bei denen bei Zimmertemperatur die Quecksilbermenge eine außerordentlich geringe gewesen sein muß, welche, wie oben erwähnt, fast keine Einwirkung auf das Spektrum ausübt, wurde auch hier von weiteren Mitteln zur Fernhaltung der letzten Spuren des Quecksilbers abgesehen.

Das sogenannte zweite Spektrum des Wasserstoffs trat stets auf. Nach den hier getroffenen Vorsichtsmaßregeln für die Reinheit der Gase wird man es nicht gut Verunreinigungen zuschreiben dürfen, wie es neuerdings Ferry<sup>2)</sup> noch wieder tut. Ich kann nur die Beobachtungen und Schlüsse von Lewis bestätigen, wonach dasselbe wegen seiner geringen Helligkeit bei engem Spalt und großer Dispersion so schwach werden dürfte, daß es nicht mehr zu erkennen ist.

Gemessen wurde die rote Linie ( $\lambda 6563$ ); die Resultate sind etwas konstanter wie beim Stickstoff.

Auch beim Wasserstoff ist bei konstantem Druck die Intensität proportional der Stromstärke, wie die Tab. 3 lehrt,

<sup>1)</sup> P. Lewis, *L. c.*

<sup>2)</sup> E. S. Ferry, *L. c.*



in der ich wieder zwei willkürlich herausgegriffene Beobachtungen zusammenstelle (Bezeichnungen wie bei 1).

Tabelle 3.

$i$	$I$	$M$	$i$	$I$	$M$
211	141	6,70	270	281	10,39
359	240	6,69	380	404	10,63
633	430	6,81	685	707	10,32
802	535	6,67	908	961	10,59

Die Abhängigkeit der Intensität bei konstanter Stromstärke vom Druck ergibt sich aus der Tab. 4 und Fig. 2 (Bezeichnungen wie vorher).

Tabelle 4.

Serie	$p$	$M$	Serie	$p$	$M$
1	8,2	3,41	2	1,00	8,29
2	7,15	3,66	1	0,95	8,41
1	6,05	3,98	1	0,625	9,87
2	4,50	4,54	2	0,45	10,48
1	2,95	6,05	1	0,325	11,38
1	2,05	6,72	2	0,225	12,23
2	2,00	6,89	1	0,15	13,06
1	1,35	7,59			

Die Kurve zeigt einen ähnlichen Verlauf wie die entsprechenden für die Stickstoffbanden. Sie verläuft bei hohem Druck zunächst angenähert geradlinig und geht dann in einen gebogenen Teil über, der sich asymptotisch der Ordinatenachse nähert. Auch hier wächst also bei konstanter Stromstärke die Intensität zunächst langsam mit abnehmendem Druck und dann schneller.

#### c) Weitere Diskussion der Resultate.

Es ist von Interesse zu verfolgen, inwieweit obige Resultate mit den Anschauungen der Ionentheorie in Einklang zu bringen sind.<sup>1)</sup>

Unter sonst gleichen Versuchsbedingungen hängt die Intensität des ausgestrahlten Lichtes von der kinetischen Energie oder der absoluten Temperatur der Ionen ab. Diese ist im nicht stromdurchflossenen Zustande gleich der der neutralen

<sup>1)</sup> Vgl. für das Folgende: J. Stark, Die Elektrizität in Gasen. Leipzig 1901.

Moleküle, also bei Zimmertemperatur etwa  $300^{\circ}$ . Nun durchlaufen die negativen Ionen in der positiven Lichtsäule frei ein Potentialgefälle von 40 Volt (für Luft in weiten Röhren), was einer absoluten Temperatur von  $1,2 \cdot 10^5$  Grad entspricht; für andere Gase ergibt sich dieselbe Größenordnung. Daraus folgt, daß die durch Erwärmung der Geissleröhre auf  $500^{\circ}$  (absolut) erhaltene kinetische Energie noch nicht  $\frac{1}{2}$  Proz. der durch den elektrischen Strom erzeugten ausmacht, also innerhalb der Beobachtungsfehler zu vernachlässigen ist.

Ferner ist — unter sonst gleichen Versuchsbedingungen — die Anzahl der Ionen proportional der Stromstärke; andererseits ist die Intensität des ausgestrahlten Lichtes proportional der Zahl der Zusammenstöße der negativen Ionen mit den neutralen Molekülen, und diese ist wieder proportional der Zahl der Ionen. Es muß somit die Intensität einer Spektrallinie proportional der Stromstärke sein.

Diese beiden Resultate stimmen mit den Beobachtungen überein.

Schwieriger ist es, den Einfluß des Druckes auf die Intensität zu verfolgen. Diese hängt einmal ab von der kinetischen Energie der Ionen (darunter sei immer die Energie eines einzelnen Ions verstanden), das ist von der frei durchlaufenen Spannungsdifferenz, und ferner davon, welcher Betrag der Energie durch das Gas absorbiert und zur Erregung der Atome zur Lichtemission verwendet wird. Dieser Betrag ist um so größer, je kleiner die Geschwindigkeit der Ionen.

Bei Druckerniedrigung ändert sich nun das Potentialgefälle und die freie Weglänge der Ionen und damit die davon abhängigen Größen, kinetische Energie und absorbierte Energie. Ferner nimmt mit dem Druck die Anzahl der Ionen ab. Das Gesamtergebn ist, daß die Intensität wächst mit abnehmendem Druck (in der durch die Kurven der Fig. 2 dargestellten Weise).

Ich habe es nun versucht, diese Wirkungen im einzelnen anzusetzen. Man muß sich dazu freilich vielfach auf unbewiesene Voraussetzungen stützen und insofern haben die folgenden Ausführungen nur hypothetischen Charakter.

Obwohl wir es mit einem Gasgemisch aus neutralen Molekülen, positiven und negativen Ionen und Molionen zu tun haben, will ich die freie Weglänge der Ionen — was in erster



Annäherung gestattet sein dürfte — umgekehrt proportional dem Druck  $p$  setzen. Es ist die kinetische Energie proportional dem frei durchlaufenen Potentialgefälle, also wenn ich dieses  $V$  nenne, proportional  $V/p$ . Die Absorption der Energie ist um so größer, je kleiner die Geschwindigkeit  $v$ ; ich will sie deshalb proportional  $v^{-1/2}$  setzen. Nun ist  $v$  proportional  $\sqrt{V/p}$ , also die Absorption proportional  $I/\sqrt[3]{V/p}$ , und folglich der Betrag absorbierter Ionenenergie proportional  $V/p \cdot I/\sqrt[3]{V/p} = \sqrt[3]{(V/p)^3}$ . Dieser Größe wird die Amplitude  $A$  der Ionenschwingungen im Atom proportional sein. Da nun die Intensität  $I$  proportional  $A^2$ , so ist bei konstanter Stromstärke  $I$  proportional  $\sqrt[3]{(V/p)^3}$ . Vereinigen wir dies mit dem Resultat, daß die Intensität proportional der Stromstärke, so folgt  $I$  proportional  $i \cdot \sqrt[3]{(V/p)^3}$ . Nicht berücksichtigt ist bis jetzt die Abnahme der Ionenzahl mit dem Druck; diese wird angenähert proportional dem Druck sein. Also wird sein  $I$  proportional  $i \cdot \sqrt[3]{V^3/p}$ . Da  $I$  jetzt reduziert ist auf durchweg gleiche Ionenenergie und Ionenzahl, so muß  $I$  eine Konstante sein. Statt dies zu prüfen, will ich untersuchen, ob die Beziehung erfüllt ist  $I/(i \cdot \sqrt[3]{(V/p)^3})$  proportional  $p$  (d. h., ob die Ionenzahl proportional mit dem Druck abnimmt).

In der folgenden Tab. 5 sind die aus den Beobachtungen (durch Interpolation) berechneten Werte von

$$\frac{I/(i \cdot \sqrt[3]{(V/p)^3}) \cdot 10^{-5}}{p} = C$$

für verschiedene Drucke zusammengestellt.

Tabelle 5.

Druck	N $\lambda$ 6069	N $\lambda$ 5214	H $\lambda$ 6563
<u>8,0</u>	—	<u>10,00</u>	<u>12,41</u>
<u>7,0</u>	—	<u>10,92</u>	<u>12,00</u>
<u>6,0</u>	<u>5,01</u>	<u>11,40</u>	<u>11,63</u>
<u>5,0</u>	<u>6,04</u>	<u>11,33</u>	<u>10,98</u>
<u>4,0</u>	<u>6,36</u>	<u>10,34</u>	<u>10,37</u>
<u>3,0</u>	<u>5,77</u>	<u>8,70</u>	<u>9,68</u>
<u>2,0</u>	<u>4,48</u>	<u>6,60</u>	<u>8,47</u>
<u>1,5</u>	<u>3,58</u>	<u>5,33</u>	<u>7,45</u>
<u>1,0</u>	<u>2,54</u>	<u>3,86</u>	<u>6,01</u>
<u>0,50</u>	<u>1,44</u>	<u>2,18</u>	<u>3,80</u>
<u>0,25</u>	<u>0,82</u>	<u>1,21</u>	<u>1,94</u>
<u>0,10</u>	<u>0,36</u>	<u>0,50</u>	<u>0,67</u>

In Fig. 3 sind die Resultate graphisch dargestellt; es ist  $p$  als Abszisse,  $C$  als Ordinate aufgetragen.

Die beiden Kurven für die Intensität der Stickstoffbanden steigen mit abnehmendem Druck zunächst etwas an, biegen dann um und fallen zum Schluß ziemlich geradlinig ab; sie gehen ungezwungen durch den Nullpunkt des Koordinatensystems. Die Kurve für die Wasserstofflinie fällt von vornherein mit abnehmendem Druck, aber in anderer Weise als bei geringeren Drucken, zum Schluß jedoch ziemlich geradlinig; auch sie geht ungezwungen durch den Nullpunkt des Koordinatensystems, dadurch andeutend, daß bei dem Druck Null auch die Anzahl der Ionen Null ist, wie es selbstverständlich sein muß.

Es war bisher stillschweigend vorausgesetzt, daß es stets dasselbe Volumen oder, da die Länge ja konstant ist, derselbe Querschnitt sei, welcher Licht emittiere. Für verschieden große Querschnitte ist die Intensität des ausgestrahlten Lichtes proportional denselben. Nun war für Stickstoff z. B. bis zu Drucken von etwa 3 mm herab nicht der ganze Querschnitt

der Röhre mit Licht erfüllt. Infolge des Anwachsens desselben wird also anfangs mit abnehmendem Druck die Intensität zunehmen, gleichzeitig infolge Abnahme der Ionenzahl abnehmen (sonstige Konstanz der in Betracht kommenden Größen vorausgesetzt). Wenn der Querschnitt nicht weiter wachsen kann, wird nur die Intensität abnehmen infolge der abnehmenden Ionenzahl. Beim Stickstoff überwiegt nun zunächst das Anwachsen des Querschnittes, beim Wasserstoff sofort die Abnahme der Ionenzahl, da dieselbe hier beträchtlicher mit dem Druck fällt wie beim Stickstoff. Dadurch erklärt sich der Verlauf der Kurven.

Daß die beiden Kurven für den Stickstoff nicht zusammen-

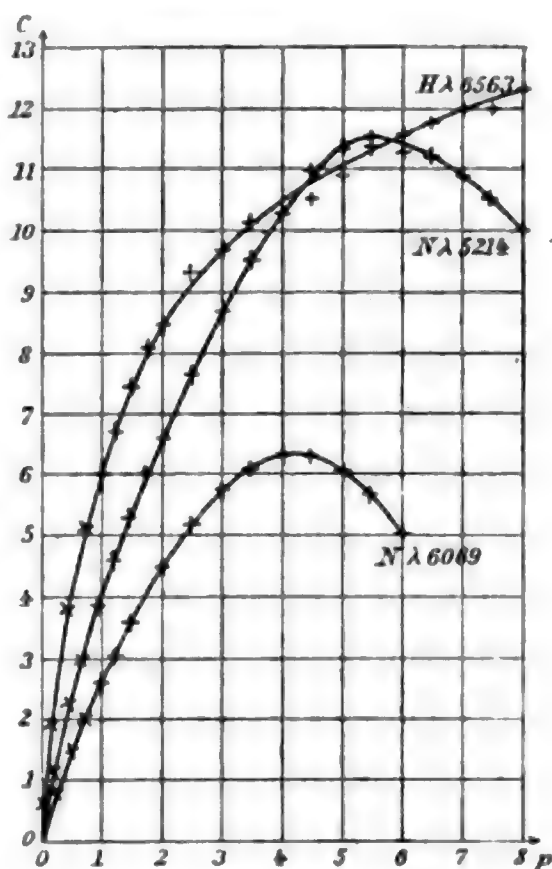


Fig. 3.

fallen, findet seine Erklärung in der Nichtberücksichtigung mehrerer Umstände. Die mitgeteilte Theorie gibt uns z. B. keinen Aufschluß darüber, daß mit wachsender Temperatur die Teile kürzerer Wellenlänge eines Spektrums im allgemeinen immer lichtstärker werden (einzelne Teile können sich auch anders verhalten, wie die Messungen an den beiden Stickstoffbanden beweisen). Wir müssen uns deshalb damit begnügen, einen ähnlichen Verlauf der Kurven konstatieren zu können. Da auch bei allen drei Kurven sich für den Druck Null die Ionenzahl Null ergibt, scheint mir dies ein Beweis für die Richtigkeit meiner Voraussetzungen zu sein.

Aus den Kurven folgt, daß die Ionenzahl nicht genau proportional dem Druck wächst, sondern — wie von vornherein zu erwarten stand — etwas hinter demselben zurückbleibt.

Hrn. cand. phil. Waetzmann bin ich für seine Hilfe bei den Untersuchungen zu Dank verpflichtet.

Zum Schluß sei es mir noch gestattet, Hrn. Geh. Rat Prof. Dr. O. E. Meyer auch an dieser Stelle für die freundliche Beschaffung der nötigen Hilfsmittel meinen Dank auszudrücken.

Breslau, Physikalisches Institut.

(Eingegangen 18. August 1903.)

---

## 12. *Das ultraviolette Funkenspektrum des Selen; von G. Berndt.*

---

Der sichtbare Teil des Selenspektrums ist beobachtet worden von Salet<sup>1)</sup> (Banden- und Linienspektrum), Plücker und Hittorf<sup>2)</sup>, de Gramont<sup>3)</sup> (Linienspektrum), und Runge und Paschen<sup>4)</sup> (Bandenspektrum). Exner und Haschek<sup>5)</sup> haben mit einem Hochspannungstransformator keine Funken zwischen Selenelektroden erhalten können. Der ultraviolette Teil ist bis jetzt nicht Gegenstand der Beobachtung gewesen.

Es handelte sich bei vorliegender Untersuchung hauptsächlich darum, die im käuflichen Selen vorkommenden Verunreinigungen festzustellen. Man erhält nun das Linienspektrum des Selen, indem man entweder Flaschenentladungen durch eine mit Selendämpfen beschickte Geisslerröhre (eine Methode, die für obigen Zweck nicht geeignet ist), oder indem man stark kondensierte Entladungen zwischen Platindrähten übergehen läßt, auf welche Selen aufgeschmolzen ist. Es ist hierbei zu beachten, daß man die Platindrähte von geeigneter Stärke wählt; zu dünne Drähte erhitzen sich zu stark, und das Selen schmilzt sofort ab; zu starke werden nicht warm genug, und es bildet sich kein Selendampf. Am geeignetsten fand ich Platindrähte von 1,2 mm Durchmesser bei einem Induktionsapparat, welcher, mit dem Strom von 5 Akkumulatoren gespeist, etwa 20 cm Funken gibt, und einer parallel geschalteten Kapazität von ungefähr 0,013 Mikrof.

Die photographischen Aufnahmen erfolgten mit einem großen Quarzspektrograph, der mir von Hrn. Hauswaldt-

---

1) Salet, Ann. de chim. et phys. (4) 28. p. 47. 1873.

2) Plücker u. W. Hittorf, Phil. Trans. 155. p. 5. 1865.

3) A. de Gramont, Compt. rend. 120. p. 778. 1895; 127. p. 866. 1898.

4) C. Runge u. F. Paschen, Wied. Ann. 61. p. 641. 1897.

5) F. Exner u. E. Haschek, Sitzungsber. d. k. Akad. d. Wissensch. zu Wien 110. p. 964. 1901.



Magdeburg in liebenswürdigster Weise zur Verfügung gestellt war. Es sei mir gestattet, ihm auch an dieser Stelle meinen verbindlichsten Dank dafür auszusprechen. Das Selen war als chemisch rein in Stangen von Merck bezogen und enthielt nur Spuren von den gewöhnlich im Selen vorkommenden Verunreinigungen, die ich hoffe, sämtlich aus der folgenden Tabelle ausgemerzt zu haben. (Für Schwefel liegen noch keine Wellenlängenbestimmungen im Ultraviolett vor, so daß hier eine Vergleichung nicht möglich war.) Wo mir Bedenken aufstiegen, habe ich es in der letzten Kolumne bemerkt.

Mit einem Prismenapparat ist natürlich eine sehr genaue Wellenlängenbestimmung nicht möglich. Im äußersten Ultraviolett dürfte der Fehler 0,1 bis 0,2 A.-E., im sichtbaren Spektrum bis zu 0,5 A.-E. betragen (es kommen hier auf 0,01 mm 0,4 A.-E.). Die Wellenlängen der Selenlinien wurden durch die Cornusche<sup>1)</sup> Formel, die immer nur in Intervallen von 50 bis höchstens 250 A.-E. benutzt wurde, an die von Kayser<sup>2)</sup> gemessenen Platinlinien angeschlossen, die man stets mit den ersteren zusammen auf den Photogrammen erhält.

Wenn ich trotz der nicht allzu großen Genauigkeit die Wellenlängen hier mitteile, so geschieht dies, um späteren Bearbeitern einen Anhalt zu geben, und ferner aus dem Grunde, weil sich die Genauigkeit bei den Selenlinien nicht allzu weit wird steigern lassen, da sie meist ein unscharf diffuses Aussehen haben.

In der folgenden Tabelle gebe ich in der ersten Kolumne die Intensitäten, geschätzt von 6 bis 1 (6 die stärkste) und den Charakter der Linien (*r* umgekehrt, *u* unscharf, *uR* unscharf hauptsächlich nach der Seite der größeren, *uV* nach der der kleineren Wellenlängen), in der zweiten die Wellenlängen in A.-E., in der dritten die von de Gramont und anderen beobachteten; ersterer hat seine Messungen an die von Thalén angeschlossen, was die Differenzen zwischen den Beobachtungen erklärt.

---

1) H. Kayser, Handbuch der Spektroskopie 1. p. 327. 1901.

2) H. Kayser, Sitzungsber. d. k. Akad. d. Wissensch. zu Berlin 1897.

Wellen- längen	Beobachtet von	Be- merkungen	Int.	Wellen- längen	Beobachtet von	Be- merkungen
4844,6	5,2 0,4 de Gramont		3	3763,2		
4762,0	4,6       "		3	3754,3		
4740,2	2,0       "		r 6	3738,6		
4731,4	1,04 Runge u. Paschen		3	3728,1		
4647,6	8	Landauer, Spektral- analyse	r 6	3711,7		
4637,1	40 Salet		u 4	3653,9		
4618,0	20       "		u 6	3638,0		
4603,0	4,0 de Gramont		3	3611,0		
4563,9	3,0       "		4	3578,2		
4400,4	1,0       "		5	3570,7		
4382,9			r 6	3544,4		
4321,3	1,0 de Gramont		5	3515,9		
4292,0			u R 6	3458,2		
4281,7	70 Salet		4	3444,6		
4249,9			6	3428,6		
4215,2	6,0 de Gramont		r 6	3414,0		
4197,0			3	3392,7		
4183,2			r 6	3387,4		
4176,8	5,0 de Gramont		2	3384,7		
4169,6			4	3379,9		
4153,2	—	4153,269 S	2	3376,0		
4139,0	34,0 de Gramont		u 1	3353,7		
4129,2			2	3347,0		
4109,6			2	3326,3		
4100,8	—	4100,82 Fe	4	3323,5		
4092,8	—	4092,8 Fe	u 3	3243,4		
4083,0	—	4083,03 Fe	u 3	3238,7		
4072,6			u 3	3226,8		
4047,5			4	3215,3		
4031,5			4	3185,6		
4021,8			u 4	3178,9		
4010,4			3	3094,6		
4003,5			3	3070,0		
3876,8			u 4	3046,7		
3857,0			3	3038,9		
3849,2			u 6	2972,0		
3836,1			5	2964,3		
3800,9			6	2952,1		
3793,5			u 4	2948,9		
			4	2941,3		

Int.	Wellen- längen	Beobachtet von	Be- merkungen	Int.	Wellen- längen	Beobachtet von	Be- merkungen
4	2915,2			" 4	2643,6	—	2643,7
4	2881,8			2	2633,4		
4	2880,2			6	2631,1		
" 5	2866,5			5	2617,4		
" 5	2864,2			5	2616,5		
5	2837,3			" 6	2591,6		
2	2820,4			" 4	2585,2		
5	2817,1			" 3	2582,9		
6	2777,8			" 2	2566,7		
" 6	2767,6	—	2767,6 Ag	" 6	2561,9		
4	2749,9	—	2750,21 Fe	" 5	2554,7	—	2554,7
3	2742,5	—	2742,45 Fe	5	2548,0		
" 3	2689,9	—	2689,92 Fe	5	2528,7	—	2528,6
" 6	2688,3			4	2519,4		
" 6	2686,1			3	2473,0	—	2473,1
" 5	2665,6			5	2459,5		
" 5	2662,3			6	2413,7		
5	2654,4			4	2372,9		
5	2649,5			5	2354,5		

Breslau, Physik. Inst, den 7. September 1903.

(Eingegangen 9. September 1903.)

### 13. *Über die durch Wasserfälle erzeugte Leitfähigkeit der Luft; von Karl Kaehler.*

(Auszug aus der Kieler Inaugural-Dissertation.)<sup>1)</sup>

Durch Beobachtungen am Fuße von Wasserfällen und durch künstliche Versuche ist von Lenard<sup>2)</sup> gezeigt worden, daß durch ein Gas fallende Tropfen immer bei ihrem Aufprall Elektrisierung des Gases hervorrufen. Daraus folgt unmittelbar, daß dieses auch elektrisch leitend werden muß, denn, in ein elektrisches Feld versetzt, werden die in ihm vorhandenen Ladungen wandern, was einen elektrischen Strom repräsentiert. Ist im Gas nur einerlei Elektrizität vorhanden, z. B. negative bei Luft, die durch destilliertes Wasser elektrisiert ist, so wird die Leitung nur unipolar sein können; sind beide Arten von Elektrizität vorhanden, so wird die Luft sowohl + als – geladene Körper entladen müssen. Es war das Ziel der hier zu beschreibenden Versuche, die Elektrisierung in der durch fallendes Wasser und Kochsalzlösung erregten Luft zu untersuchen und besonders durch Bestimmung der Wanderungsgeschwindigkeit der Elektrizitätsträger in ihr einen Aufschluß über die Natur dieser durch die Bewegung der Flüssigkeitsoberfläche erzeugten Träger zu erhalten.

#### Resultate.

Die erhaltenen Resultate seien kurz vorausgeschickt:

Für die durch destilliertes Wasser elektrisierte Luft wurde in der Tat reine unipolare Leitung nachgewiesen. Die Wanderungsgeschwindigkeit der negativen Elektrizitätsträger in ihr ent-

1) Der Fakultät eingereicht im Juni 1903.

2) P. Lenard, Wied. Ann. 46. p. 584. 1892. Literatur über die Wasserfallelektrizität: J. Elster u. H. Geitel, Wied. Ann. 47. p. 496. 1892; K. Wesendonck, Wied. Ann. 51. p. 353. 1894; J. J. Thomson, Phil. Mag. (5) 37. p. 341. 1894; K. A. Holmgren, Mémoires de la Soc. Phys. de Lund 6. 1895; H. Usener, Bonner Inaug.-Diss. Juli 1895; Lord Kelvin, Magnus Maclean, Alex. Galt, Phil. Trans. 191. A. p. 195. 1898. Die Umkehrung der Versuche bei denselben Autoren: Proc. Roy. Soc. 57. p. 335. 1895; Phil. Trans. 191. p. 203. 1898; W. Kösters, Inaug.-Diss. Bonn 1899; Wied. Ann. 69. p. 12. 1899.

sprach ihrer Größenordnung nach den früheren in anderen Fällen der Luftleitfähigkeit gemachten Messungen. Dagegen wurden in der durch Kochsalzlösung elektrisierten Luft beide Trägersorten nachgewiesen. Die positiven wandern außerordentlich langsam, die negativen ebenso schnell wie die durch destilliertes Wasser erzeugten. Andere Versuche zwingen zu der Annahme, daß die in der durch NaCl-Lösung elektrisierten Luft enthaltenen negativen Träger erst sekundär entstehen und in der Luft fortwährend neu erzeugt werden.

#### Versuchsanordnung.

Die Elektrisierung der Luft geschah in einem kugelförmigen Glaskolben von ca. 20 cm Durchmesser, in den die Ausflußöffnung (durch gleichmäßiges Zuschmelzen einer Glasröhre erzeugt) eingesetzt war. Als Ausflußgefäß diente ein ca. 80 cm höher gelegener Glastrichter (Volumen  $1\frac{1}{2}$  l). Nach Öffnung eines zwischen diesem Trichter und der Ausflußröhre befindlichen Glashahnes trat in den Kolben ein feiner Strahl ein, der dann im unteren Teile je nach den Versuchen entweder auf eine verzinnte runde Messingscheibe, auf eine Glaskugel, eine Glasplatte (bei allen  $d = 2$  cm) oder auf Flüssigkeit selbst fiel. Diese floß bei allen Versuchen mit Hilfe eines Heberrohres so ab, daß ihr Niveau im Kolben konstant blieb. Die so elektrisierte Luft wurde an einer seitlichen Öffnung mit einer Wasserstrahlluftpumpe abgesaugt. In die obere Kolbenöffnung trat dann durch ein Wattefilter neue Luft ein; oder es wurde durch dieses Filter hindurch mit einem Gasometer ein Luftstrom hineingetrieben, der die elektrisierte Luft durch die seitliche Kolbenöffnung mit sich forttrieb. Im ersteren Falle wurde die Windgeschwindigkeit mit einer eingeschalteten Gasuhr abgelesen, im zweiten aus dem Einsinken des Gasometers berechnet.

### I. Teil. Destilliertes Wasser.

#### I. Einleitende Versuche mit dem Wattefilter.

Zunächst wurde die Stärke der mit destilliertem Wasser erhaltenen Luftelektrisierung bestimmt. Hinter die seitliche Kolbenöffnung wurde ein Wattefilter geschaltet, ein mit Watte gefüllter Blechhohlzylinder (Höhe 10 cm, Durchmesser 2,5 cm),

in dessen beide Deckel durch Schellacküberzug isolierte Glasröhren gesetzt waren. Wurde dieses Filter, das an zwei Seidenfäden in einer weiteren zur Erde geleiteten Büchse hing, mit dem Elektrometer verbunden und die elektrisierte Luft durchgetrieben, so trat negativer Elektrometergang ein. Wenn der Strahl des destillierten Wassers auf die benetzte Metallplatte fiel, so wurden folgende Ausschläge erhalten:

Tabelle 1.  
Strahl auf Metall.

Windgeschwindigkeit $\frac{l}{\text{Min.}}$	Elektrom. Ausschlag $\frac{\text{Daniell}}{\text{Min.}}$
0,9 l	−0,18 Daniell
1,6 l	−0,35 „
2,3 l	−0,49 „
3,4 l	−0,66 „
4,4 l	−0,77 „
5,0 l	−0,85 „
7,4 l	−1,02 „
10,0 l	−1,14 „
12,1 l	−1,20 „

Die negativen Ausschläge nahmen zu, wenn die Metallplatte durch die Flüssigkeit im Grunde des Kolbens gespült wurde, was sich durch Höherschieben des Heberrohres bewirken ließ. Sie erreichten einen Maximalwert — für die Geschwindigkeit 7,4 l/Min. −1,84 Daniell, also beinahe das Doppelte der Tab. I —, wenn eine dünne Schicht destillierten Wassers über der Platte lag, nahmen aber, wenn diese Wasserschicht höher wurde, rasch wieder ab, und betrugen, wenn die Platte ganz herausgenommen wurde, nur ungefähr die Hälfte der Werte von Tab. I (für 7,4 l: −0,58 Daniell). Es entspricht dies dem von Lenard<sup>1)</sup> bei Untersuchung der + Elektrisierung der Flüssigkeit gefundenen.

Die negativen Träger diffundieren sehr schnell.<sup>2)</sup> Fiel der Strahl 1 Min. lang auf Metall und wurde dann die Luft erst nach 1 Min. abgesaugt, so fand man bei 7,4 l Geschwindigkeit statt −1,02 Daniell nur 0,32, bei 5 Min. Pause nur −0,11 Daniell.

1) P. Lenard, l. c. p. 600.

2) P. Lenard, l. c. p. 594.



## II. Untersuchung auf positive Träger.

Statt des Filters wurde dazu eine ca. 15 cm lange Metallröhre eingeschaltet, in welcher zwei Messingdrahtnetze in 0,8 cm Entfernung einander gegenüber standen, so daß sie ungefähr den Querschnitt der Röhre ( $7-8 \text{ cm}^2$ ) ausfüllten. Die Zuleitungsdrähte der beiden Netze, dicke Messingdrähte, waren mit Siegellack isoliert und luftdicht durch die Röhrenwand geführt. Das Netz, auf das die durchgeblasene Luft zuerst stieß, war anfangs ebenso wie die ganze Röhre zur Erde geleitet, das zweite Netz + oder - geladen und zugleich mit dem Elektrometer und dem inneren Belege einer Leydener Flasche verbunden (äußerer Beleg zur Erde). So wurde gefunden:

Tabelle II.

Strahl auf Metall.

Geschwindigkeit, reduziert auf Röhre	Netzpotalential	Ausschlag pro Min.
12 cm 5,2 sec	0	- 2,8 mm
12	+ 10 Volt	- 17,0
5,2	+ 10	- 36,2
12	- 10	- 2,2
	- 10	- 1,2

1 Daniell = 65 mm.

Wenn also beide Netze nicht geladen sind, das Elektrometernetz aber isoliert ist, so erhielt man infolge der Diffusion der negativen Träger einen deutlichen negativen Ausschlag. Wurde das Elektrometernetz positiv geladen, so entlud sich die negative Elektrizität, die dann in Richtung der Kraftlinien mit dem Luftstrome wandert, stark an diesem Netz; wurde dieses dagegen negativ geladen, so war überhaupt keine Abnahme der Ladung zu bemerken: es waren also in der untersuchten Luft keine leicht beweglichen +Träger (vgl. p. 1123. 1124 u. 1126). Vielmehr trat immer noch negativer Elektrometergang ein, aber schwächer wie bei ungeladenem Netz, weil die Diffusion der negativen Elektrizität infolge der abstoßenden Kräfte schwächer ist.

Jetzt wurde hinter den Netzkondensator das Wattefilter geschaltet und dieses wieder mit dem Elektrometer verbunden. Das erste Netz und die Röhre waren durch eine Akkumulatoren-batterie geladen (anderer Pol zur Erde); das zweite Netz hatte Erdleitung. Die so im Filter pro Minute erhaltenen Ausschläge sind in Tab. III verzeichnet.

Tabelle III.  
Strahl auf Metall.

Geschwindigkeit, reduziert auf die Röhre	1.	2.	3.	4.	5.
	ungeladen ohne Feld	geladen <sup>1)</sup> ohne Feld	+64	+16	+8 Volt
			mit Feld		
4 $\frac{\text{cm}}{\text{sec}}$	-28 mm	-25	-3	—	-19
10	-52	—	-8	-23	—
15—16	-62	-54	-10	-32	-47
24—25	-69	—	-12	—	-54

1 Daniell = 65 mm.

Die Differenz der Kolumnen 3—5 gegen 2 gibt die Anzahl Träger, die im Feld verblieben ist. Da aber vor dem Vordernetz keine Kraftlinien verlaufen, so kann dies nur dadurch geschehen sein, daß die negativen Ladungen, nachdem sie schon über das Netz hinaus waren, gegen den Luftstrom an das Netz zurückgewandert sind. Es ist somit im Prinzip die Möglichkeit einer Messung der Wanderungsgeschwindigkeit gegeben. Später (p. 1127) wurde sie in der Tat nach dieser Methode bestimmt.

Wenn Röhre und Vordernetz statt positiv negativ geladen waren, so gelangte ebenfalls nur ein Teil der negativen Träger ins Filter: sie können sich dann am Erdnetz entladen.

Zu beachten ist, daß niemals, auch nicht bei stärkster elektrischer Kraft und geringster Luftgeschwindigkeit, + Elektrizität im Filter erhalten wurde.

Statt durch ein der Luftströmung paralleles wurde die elektrisierte Luft nun ebenso durch ein zur Luftströmung senkrechtes Feld untersucht. Es war dies ein hohler Messingzylinder (innerer Durchmesser 2,86 cm) mit dünnem axialen Messing-

1) Röhre und beide Netze auf +64 Volt geladen.

draht (0,111 cm Durchmesser, Länge in der Achse  $l = 6,5$  cm), der durch Siegellack isoliert durch die Röhre geführt war (Fig. 1). Dieses Feld konnte in die seitliche Kolbenöffnung geschoben werden. Wurde, während die Röhre zur Erde geleitet war, die Achse auf  $\pm 64$  Volt geladen, so erhielt man

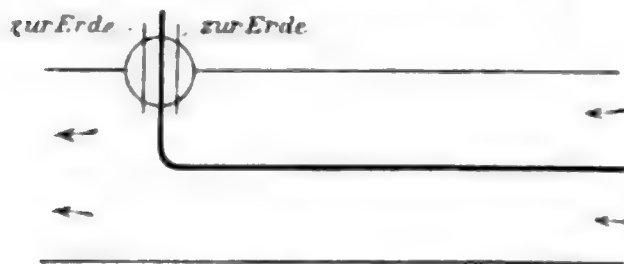


Fig. 1.

im hintergeschalteten Filter nur ganz minimale Spuren von Ausschlägen, manchmal negativ, manchmal positiv, für Geschwindigkeit 12 cm/sec (reduziert auf die Röhre) im Mittel  $+ 0,03$  mm/Min. (vgl.

dagegen den großen positiven Ausschlag bei Kochsalz p. 1133, Tab. VI). Die negativen Träger gehen also alle bei  $+$  Ladung an die Achse, bei  $-$  Ladung an die innere Röhrenwand. Von positiven sind, wenn überhaupt, nur Spuren vorhanden.

Das Herangehen an die Achse ließ sich auch direkt nachweisen, wenn die Röhre geladen wurde und die Achse selbst mit dem Elektrometer verbunden war. Es wurde aber dazu, um Störungen durch überfließende Elektrizität zu vermeiden, an der Stelle, wo die Achse durch die Röhre ging, zwischen beide noch ein zur Erde geleitetes Messingröhrchen in den Siegellack geschoben (Fig. 1). Bei einem Potential nun der Röhre bis zu  $+ 1000$  Volt wurden an der Achse niemals  $+$  Ausschläge bemerkt, sondern immer nur weniger  $-$ , als bei ungeladenem Kondensator infolge Diffusion an die Achse geht. Der Strahl fiel bei diesen Versuchen auf destilliertes Wasser selber. Bei einem Potential der Röhre von  $- 600$  Volt gelangten bei der Geschwindigkeit 12 cm/sec an die Achse  $- 16,3$  mm/Min., bei  $- 64$  Volt:  $- 16,1$ ,  $- 16$  Volt:  $- 16,3$ ,  $- 8$  Volt:  $- 16,5$  mm/Min. Also schon bei schwacher elektrischer Kraft gehen alle  $-$  Träger an die Achse. Aus dem Potential und der zugehörigen Geschwindigkeit, bei denen zuerst eine Abnahme der an die Achse gehenden  $-$  Ladungen eintritt, würde sich die Wanderungsgeschwindigkeit berechnen lassen (vgl. p. 1133 u. 1134).

Das Resultat der vorhergehenden Versuche ist demnach die Unipolarität der Leitfähigkeit für Luft, die durch fallende Tropfen von destilliertem Wasser elektrisiert ist. Nun findet

aber J. J. Thomson<sup>1)</sup> in Luft, die durch Wasser gesprudelt ist, beide Trägersorten, und ähnlich wurden später von Himstedt<sup>2)</sup> Versuche gemacht, wo durch Wasser gestrichene Luft sowohl + als – geladene Körper entlud. Ich habe daher nachträglich noch Versuche mit sehr kräftigen Strahlen ausgeführt, ohne jedoch in bezug auf reines Wasser die Resultate der genannten Beobachter bestätigen zu können. Es wurde

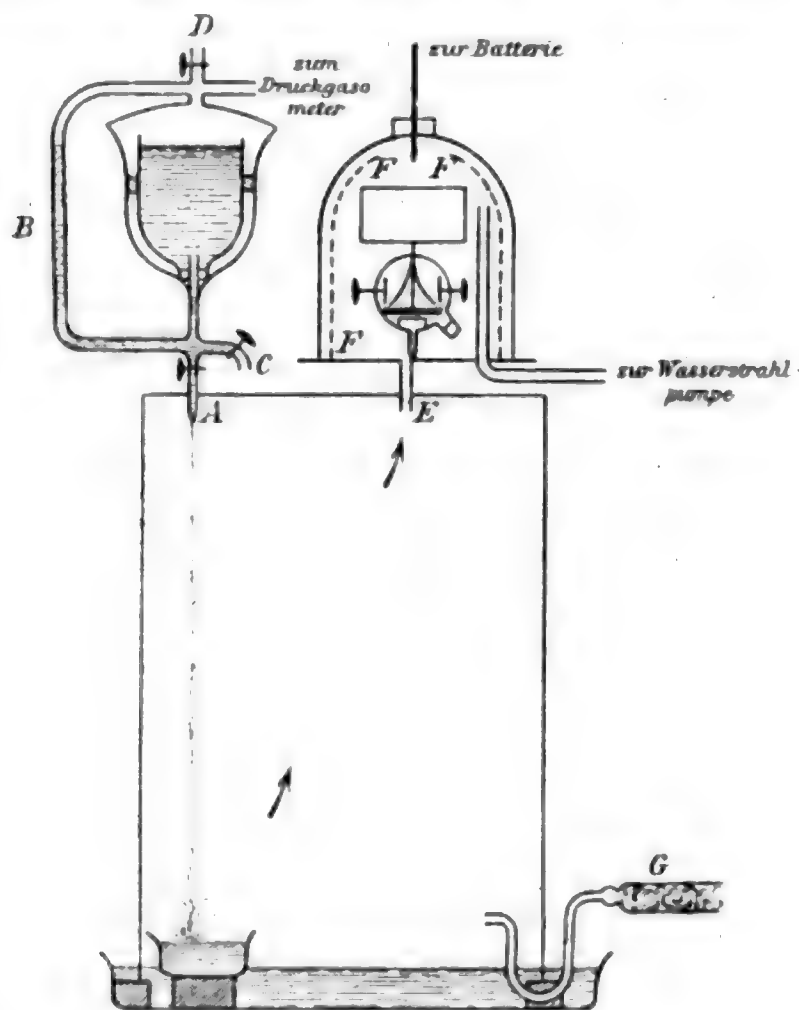


Fig. 2.

die Zerstreuung gemessen in Luft, die durch einen starken Strahl destillierten Wassers elektrisiert war. Die Anordnung zu diesem Zweck war folgende (Fig. 2). Eine Metallgasometerglocke von 80 cm Höhe und 45 cm Durchmesser war auf ein mit Wasser gefülltes Gefäß gestülpt, so daß die Gasometerluft abgeschlossen war. In dieses Gasometer war oben (bei A, Fig. 2) die Ausflußöffnung eingesetzt. Als Ausflußgefäß diente ein Glasgefäß von  $1\frac{1}{2}$  l Volumen, dessen Boden abgesprengt war

1) J. J. Thomson, Phil. Mag. (6) 4. p. 352. 1902.

2) F. Himstedt, Ber. d. Naturf. Gesellsch. Freiburg i. B. April 1903.

und in dessen Hals eine in Verbindung mit der Ausflußöffnung stehende Glasröhre gesetzt war. Das Glasgefäß ruhte in einem verschlossenen Eisenkolben, der durch Druckschlauch mit einem Druckgasometer verbunden war, so daß die Luft in ihm, auf 3 Atm. komprimiert, den Wasserstrahl unter starkem Druck austrieb. Wenn das Wasser ausgelaufen war, was etwa 3 Min. dauerte und an einem seitlich angebrachten Wasserstandsglas *B* beobachtet werden konnte, so wurde bei *C* nach Öffnung des dort angebrachten Quetschhahnes neues destilliertes Wasser mit der bei *D* angesetzten Wasserstrahlluftpumpe in das Gefäß gesaugt. Der Strahl fiel auf destilliertes Wasser selber, das in einer im Gasometer stehenden Glasschale stand. Die Gasometerluft war durch eine zweite Öffnung *E* in Verbindung mit dem Innenraum einer Glasglocke, aus deren oberen Teil die Luft abgesaugt wurde, so daß die elektrisierte Luft in die Glocke treten mußte, während durch das Wattefilter *G* neue Luft in das Gasometer drang. Unter der Glasglocke nun stand ein Exnersches Elektroskop mit Zerstreuungskörper und Bernsteinisolation.<sup>1)</sup> Die Beobachtung der Blätter geschah durch ein Loch eines engmaschigen Drahtnetzes *FF* hindurch, das die Glasglocke innen bekleidete und ebenso wie die äußere Hülle des Elektroskops zur Erde geleitet war. Mit einer Hochspannungsbatterie wurde der Zerstreuungskörper auf 270 Volt geladen mittels eines dicken Drahtes, der luftdicht durch die Glocke ging und nach dem Laden hochgezogen wurde.

Wenn nun Zimmerluft durch Gasometer und Glocke gesaugt wurde, so wurde am Elektroskop ein Spannungsverlust bemerkt, der niemals den Wert 12 Volt pro Stunde überstieg. Ließ man aber den Strahl 3 Min. laufen, so ergab sich am positiv geladenen Zerstreuungskörper in den ersten 6 Min. nach Beginn des Versuches eine Abnahme der Ladung von 91 Volt, auf die Stunde reduziert. Dagegen erhielt man bei negativ geladenem Elektroskop einen Spannungsverlust, immer nahe gleich dem Wert für unelektrische durchgesaugte Luft. Es waren also auch hier keine + Träger in merklicher Menge nachweisbar. Die entsprechenden Versuche mit NaCl fielen anders aus (vgl. p. 1136, Anm.).

---

1) Die Natriumtrocknung wurde nicht benutzt.



## III. Messung der Wanderungsgeschwindigkeit.

Die Messung der Wanderungsgeschwindigkeit der negativen Träger wurde mit größerer Windgeschwindigkeit ausgeführt am Netzkondensator (p. 1122). Um aber Störungen durch die der Röhrenachse nicht parallelen Kraftlinien zu vermeiden, wurde das Elektrometernetz desselben in zwei Netze geteilt, ein kleineres kreisförmiges ( $7 \text{ cm}^2$  Fläche, die ganze Röhrenweite betrug  $18\text{--}19 \text{ cm}^2$ ) und einen dieses umgebenden Netzing (Schutzring), der durch eine etwas engere Röhre hineingeschoben wurde (Fig. 3), und nur das innere Netz war mit dem Elektrometer verbunden. Die ganze Röhre wurde an einen von einem Elektromotor getriebenen Ventilator geschlossen,

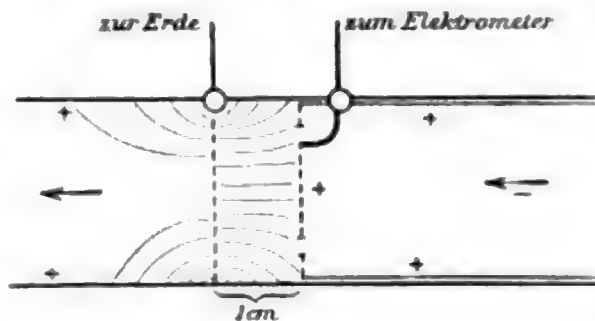


Fig. 3.

dessen Geschwindigkeit durch Variation des eingeschalteten Widerstandes reguliert werden konnte. Der erzeugte Luftstrom stieß zuerst auf das Elektrometernetz nebst Schutzring und trat hinter dem Erdnetz wieder aus der Röhre. Die Luft wurde wie früher durch Auffallen auf Metall elektrisiert und mit dem Gasometerluftstrom aus dem Kolben getrieben, dann aber durch eine Öffnung der Versuchsröhre mitten in den Ventilatorluftstrom hineingeleitet, und zwar wurde eine konstante Gasometergeschwindigkeit angewandt ( $10 \text{ cm/sec}$  reduziert auf die Versuchsröhre), so daß bei allen Geschwindigkeiten des Ventilatorluftstromes stets dieselbe Menge Träger in das Feld gelangen mußte. Dieses nun wurde erzeugt dadurch, daß die ganze Versuchsröhre (nebst Schutzring) und mit ihr verbunden das eine Quadrantenpaar sowie äußere Hüllen positiv geladen waren. Wenn beobachtet wurde, waren das zweite Quadrantenpaar und mit ihm verbunden das kleinere Netz, die ebenfalls geladen waren, isoliert, und das Elektrometer zeigte nun die durch die zurückwandernden negativen Träger entstandene Abnahme der  $+$  Ladung an. Die Geschwindigkeit des Luftstromes wurde gemessen durch den Ausschlag eines bifilar aufgehängten Pendels, dessen Kugel im Luftstrom war und dessen Ausschlag mit dem Mikroskop gemessen wurde.



Länge des Pendels 128 cm, Gewicht der Kugel 17,40 g). Die so bei Ladung auf +128, +64, +32 Volt gefundenen Ausschläge sind:

Tabelle IV.

Geschwindigkeit (Ausschlag des Pendels nach Skalenteilen im Okularmikrometer)	Elektrometerausschlag bei		
	+32 Volt	+64 Volt	+128 Volt
3	-8,2 $\frac{\text{mm}}{\text{Min.}}$	-13,4	-14,0
9	-3,7	-7,4	-9,9
23	-2,0	—	—
26	—	-4,1	—
30	—	—	-5,7
39	-0,5	—	—
51	-0,15	—	—
54	—	-3,0	—
73	0	—	-4,2
96	—	-1,8	2,8
120	—	-1,6	—

100 Skalenteile des Okularmikrometers = 3 mm.

Die verzeichneten Ausschläge sind immer die Differenzen der im Elektrometer bei derselben Geschwindigkeit erhaltenen Ausschläge mit Feld und ohne Feld, wobei aber im letzteren Falle doch Röhre und beide Netze geladen sein konnten. Es wird so der Fehler vermieden, der durch Diffusion der Träger entsteht. Die Ablesung des Pendels geschah, weil dieses trotzdem eine Glimmerscheibe die Schwingungen in Wasser dämpfte, nie ganz in Ruhe war, durch Bestimmen der Umkehrpunkte. Bei sehr großer Geschwindigkeit nahm dies Schwanken zu und machte die Ablesung unsicher; es wurde daher die Geschwindigkeit nicht mehr wie nötig gesteigert. Kurve 128 und 64, die man erhält, wenn man die Ausschläge der Tab. IV als Ordinaten zu den Geschwindigkeiten aufträgt, schneiden daher die Nulllinie erst jenseits der Versuche, Kurve 32 aber bei Skalenteil 55. Das Pendel wurde nachher mit einem Schalenkreuzanemometer verglichen, indem beide abwechselnd an derselben Stelle in den Luftstrom des Ventilators gebracht wurden. Für Skalenteil 55 des Okularmikrometers wurde so

gefunden 130 cm/sec.<sup>1)</sup> Zur Berechnung derselben Geschwindigkeit aus dem Pendelausschlag wurde die Newtonsche Formel für den Luftwiderstand angewandt, welche geeigneter erschien für kleinere Geschwindigkeiten als die von Borda und Hutton mit großen Geschwindigkeiten experimentell gefundene.<sup>2)</sup> Der Widerstand der Luft ist nach Newton

$$K = \frac{1}{2} \pi r^2 \rho v^2,$$

wo  $r$  der Radius,  $v$  die Geschwindigkeit der bewegten Kugel,  $\rho$  die Dichte der Luft ist. Nun ergibt sich beim Pendel durch Zerlegen des Gewichtes  $P$  der Kugel  $K$  außerdem als

$$P \operatorname{tg} \varphi = P \frac{a}{l},$$

wo  $a$  die horizontale Verrückung des Kugelmittelpunktes,  $l$  die Pendellänge ist.

Es ist daher, weil  $\rho = s/g$  ( $s = 0,00121$ )

$$v^2 = 2 a \cdot \frac{P g}{\pi r^2 \cdot s \cdot l}.$$

Für Skalenteil 55 ( $a = 0,165$  cm,  $2 r = 1,571$  cm,  $l = 128$  cm) ergibt sich so

$$v = 137 \frac{\text{cm}}{\text{sec}},$$

ein Wert, der mit dem empirisch gefundenen ganz gut übereinstimmt.<sup>3)</sup> Für die Wanderungsgeschwindigkeit ergibt sich daher:

$$\omega = \frac{130 \times 137}{2 \cdot 32} \cdot 1 = 4,17 \frac{\text{cm}}{\text{sec}} \text{ für } 1 \text{ Volt/cm,}$$

wenn die Geschwindigkeit der Träger der Feldstärke proportional genommen wird.<sup>4)</sup>  $\omega$  stimmt der Größenordnung nach überein mit den in anderen Fällen der Elektrizitätsleitung der Luft gefundenen Geschwindigkeiten negativer Träger.<sup>5)</sup> Aus dieser Wanderungsgeschwindigkeit kann man nun auf die Natur

1) Unter Benutzung der Korrektionsstabelle des Anemometers, die bei früheren Versuchen von Prof. P. Lenard für richtig befunden wurde, vgl. Ann. d. Phys. 3. p. 311. 1900.

2) J. S. T. Gehler, Wörterbuch der Physik, Artikel Widerstand, p. 1732.

3) Für zwei weitere Geschwindigkeiten, Skalenteil 93 und 110, wurde empirisch gefunden 173, 201 cm/sec, durch Rechnung 178, 194 cm/sec. Diese Übereinstimmung rechtfertigt auch die Anwendung des Newtonschen Koeffizienten des Luftwiderstandes.

4) E. Rutherford, Proc. Cambr. Phil. Soc. (8) 9. p. 413. 1898.

5) l. c. p. 416; P. Lenard, Ann. d. Phys. 3. p. 312. 1900.

der Träger schließen.<sup>1)</sup> Nimmt man nämlich an, daß die Masse der negativen Träger gleich der Masse der Luftmoleküle ist, welche Annahme durch den mit ihrer Hilfe herausgerechneten Wert gerechtfertigt wird, so erhält man für die Summe der mittleren Radien von Träger und Molekül

$$s = 0,57 \times 10^{-6} \text{ mm.}$$

Als Träger der negativen Elektrizität wären also einzelne Atome oder Moleküle anzusehen, da das  $s$  von derselben Größe ist wie der Durchmesser eines Luftmoleküles.<sup>2)</sup>

## II. Teil. Kochsalzlösung.

### I. Einleitende Versuche mit dem Wattefilter.

Durch fallende Tropfen von Kochsalzlösung wird im Gegensatz zu destilliertem Wasser die Lösung negativ und die Luft positiv elektrisiert.<sup>3)</sup> Ließ man aber eine 6,5 proz. Lösung, von der Lenard<sup>4)</sup> gefunden hat, daß sie sich unter gleichen Bedingungen ebenso stark negativ lädt wie destilliertes Wasser positiv, durchfließen, so betrug der Ausschlag im Filter nur ungefähr den zehnten Teil des zu erwartenden. Dieser kleine positive Ausschlag verschwand ganz bei Bespülung der Platte mit Lösung und sprang sogar ins Negative um; am stärksten negativ war er bei der der Maximalwirkung des destillierten Wassers (p. 1121) entsprechenden Höhe der NaCl-Schicht über dem Metall. Wurde diese Schicht noch größer, wobei dann sofort an Stelle des Zerstiebens der Maximalwirkung Blasenbildung tritt, so nahm der — Ausschlag rasch wieder ab, um, wenn der Strahl auf Lösung allein fiel, wieder schwach positiv zu werden (Tab. V). Dies Verhalten zeigte sich bei allen angewandten Luftgeschwindigkeiten. Nur traten bei den kleineren verhältnismäßig mehr + als — auf. Eine weitere Ausflußöffnung (II) gab bedeutend stärkere + Ausschläge, auch bei der Maximalwirkung noch positiv; es trat dabei wieder Blasenbildung auf, weil die auf die Platte fallenden Lösungsmengen

1) Vgl. P. Lenard, l. c. p. 312—315.

2)  $0,80 \times 10^{-6}$ . O. E. Meyer, Kin. Theorie der Gase p. 327. 1899.

3) P. Lenard, Wied. Ann. 46. p. 597 u. 628. 1892; Lord Kelvin, Magnus Maclean, Al. Galt, Phil. Trans. 191. p. 198. 1898.

4) P. Lenard, l. c. p. 628.

zu groß sind, um die feine zerstiebende Wirkung aufrecht zu erhalten.

Tabelle V.

Flüssigkeit	Öffnung	Geschwindigkeit	Elektrometerausschlag			
			a) Strahl auf fest. Körp.	b) Maximal- wirkung	c) auf Flüssigk.	
Destilliertes Wasser	I	24 $\frac{\text{cm}}{\text{sec}}$	- 82	- 149	- 43 $\frac{\text{mm}}{\text{Min.}}$	auf Metall
6,5 % NaCl Nach 4 Tagen	I	24	+ 5,4	- 26,7	+ 0,7	
	I	12	+ 4,7	- 16,6	+ 1,0	
	I	7	+ 5,6	- 12,0	—	
	I	7	+ 7,6	- 4,5	—	
	I	24	- 3,7	- 39,0	—	auf Glaskugel auf Glasplatte
	I	24	- 7,6	- 16,0	—	
	II	24	+ 21,5	+ 5,2	+ 1,7	auf Metall
6,5 % Kristalle	I	24	+ 2,8	- 13,0	—	
6,5 % chem. reine	I	24	+ 8,9	- 10,1	—	
0,011 % NaCl	I	24	- 0,25	- 7,6	- 0,9	
do. nach 5 Tagen	I	24	+ 1,6	- 4,2	—	
6,5 % chem. rein	I	24	—	—	- 2,8	
" "	III	24	—	—	+ 4,0	
0,011 % chem. rein	III	24	—	—	+ 0,6	
20 % " "	III	24	—	—	+ 2,5	

Es ist nicht unmöglich, daß durch die Metallplatte eine allmähliche Verunreinigung der Lösung sich vollzieht. Wenigstens wurde bemerkt (vgl. Tab. V), daß, nachdem die Lösung mehrere Tage durchgeflossen war, die +Ausschläge deutlich zu-, die -Ausschläge abnahmen. Es wurde daher auch einmal die Metallplatte ersetzt durch eine Glaskugel und Glasplatte; jedoch ließen sich so im Filter überhaupt keine positiven Ausschläge erreichen. Die Elektrisierung ist also abhängig vom Material, auf das die Lösung fällt. Eine 6,5 proz. Lösung von Kochsalzkristallen und eine 6,5 proz. Lösung chemisch reinen Salzes (von Merck-Darmstadt) verhielten sich ebenso wie gewöhnliche Lösung. Eine 0,011 proz. Lösung war bei der Maximalwirkung ebenfalls wirksam.

Es wurde dann auch einmal die Strahlfallhöhe dadurch vergrößert, daß man in die obere Kolbenöffnung eine weite Glasröhre einsetzte und die Ausflußöffnung oben in diese Röhre einführte. Die Röhre wurde innen zur Vermeidung der Tropfeninfluenzierung mit zur Erde geleitetem Stanniol belegt. Mittels Platindrähten war auch die Lösung in der Ausflußöffnung und am Grunde des Kolbens zur Erde geleitet. Fiel nun der Strahl auf diese Lösung, so wurden im Wattefilter wieder nur schwache Ausschläge gefunden. Die bisherige, für die größere Fallhöhe wohl etwas zu enge Ausflußöffnung (I) gab schwach negative, eine weitere (III), die einen sehr kräftigen Strahl lieferte, schwache positive Ausschläge (Tab. V).

Diese hielten sich aber im Gegensatz zu den negativen des destillierten Wassers sehr lange in der Kolbenluft. Wurde, nachdem der Strahl 1 Min. gelaufen war, die Luft erst nach 1, 5, 20 Min. abgesaugt, so fand man pro Minute +5,2, +3,8, +1,2 mm Ausschlag für 6,5 proz. Lösung.

Eine Erklärung für die schwankenden + und – Ausschläge bei der Kochsalzlösung, die sich übrigens auch schon bei Lenards Versuchen bei Untersuchung der Luft manchmal ergeben hatten<sup>1)</sup>, wird sich im folgenden dadurch ergeben, daß NaCl im Gegensatz zu reinem Wasser sowohl + als – Träger in der Luft entstehen läßt.

## II. Bestimmung der Wanderungsgeschwindigkeit.

Zur Bestimmung der Wanderungsgeschwindigkeit der durch Fallen auf Metall (Fallhöhe 16 cm) erzeugten positiven Träger wurde zwischen Filter und Kolben der axiale Kondensator geschaltet (p. 1124, Fig. 1), dessen Mantel zur Erde geleitet, dessen Achse aber mit einer Elektrisiermaschine (anderer Pol zur Erde) geladen werden konnte. Damit das Achsenpotential sich konstant hielt, war die Achse außerdem mit den inneren Belegen zweier Leydener Flaschen verbunden (äußere Belege zur Erde) und zur Messung der Potentialdifferenz zwischen Mantel und Achse noch mit der größeren (unteren) Platte eines W. Thomsonschen transportfähigen Elektrometers. Die obere Platte dieses Instrumentes, worin das ausgeschnittene

1) P. Lenard, l. c. p. 603.



bewegliche Stück, das zur Messung dient, und die äußere Hülle waren zur Erde geleitet. Es zeigte sich nun, daß selbst bei Spannungen bis 5000 Volt noch positive Ladungen durch den Kondensator ins Filter gelangten. Erst bei den kleinsten Geschwindigkeiten, 3—7 cm/sec, reduziert auf die Kondensatorröhre, bei denen also auch sehr viel weniger +Träger mitgeführt werden, ließ sich ein Nullwerden der Ausschläge erreichen.

Tabelle VI.

Strahl auf Metall (Öffnung II). 6,5 proz. Lösung.

Potential der Achse	Elektrometerausschlag bei			
	12 $\frac{\text{cm}}{\text{sec}}$	7,2 $\frac{\text{cm}}{\text{sec}}$	5,16 $\frac{\text{cm}}{\text{sec}}$	3,9 $\frac{\text{cm}}{\text{sec}}$ Geschw.
0	+6,2	+4,3	+3,2	+1,8 $\frac{\text{mm}}{\text{Min.}}$
-1350 Volt	—	—	—	+0,8
-1916	+4,5	—	+1,15	+0,25
+1916	—	—	+1,4	—
-2490	—	—	—	0
-2860	—	+1,5	—	—
+2860	—	—	+0,3	—
-2920	—	—	+0,05	—
+3490	—	—	+0,05	—
-3810	+3,2	+0,75	0	0
+3810	—	+1,1	—	—
-4000	—	+0,4	—	—
+4150	—	+0,6	—	—
+4720	—	+0,2	—	—
-4720	—	0	0	0

Zur Kontrolle wurde auch stets der Ausschlag gemessen, den unelektrische durchstreichende Luft im Filter hervorrief. Er war aber meistens zu vernachlässigen. Die Schnittpunkte der Kurven, die man erhält, wenn man die Ausschläge der Tab. VI als Ordinaten zu den Spannungen aufträgt, mit der X-Achse geben Werte des Potentials, aus denen sich mit Hilfe der für jede Kurve konstanten Luftgeschwindigkeit  $v$  die Wanderungsgeschwindigkeit berechnen läßt. Nehmen wir die Mitte der Zylinderachse als X-Achse, die Y-Achse an der Stelle, wo die Träger ins Feld treten, senkrecht nach oben, so erhalten wir bei anziehender Kraft der Achse als Ge-



schwindigkeitskomponenten, die einem Träger im Kondensator erteilt werden:

$$\begin{aligned}x' &= v, \\ -y' &= F \cdot \omega,\end{aligned}$$

wo  $\omega$  die Wanderungsgeschwindigkeit ist, denn für Feldstärke  $F = 1$  wird  $y' = \omega$ . Nun ist die Feldstärke in einem zylindrischen Kondensator mit den Radien  $r_1$  und  $r_2$

$$F = \frac{V}{y \log \frac{r_1}{r_2}},$$

wo  $V$  das Potential der einen Röhre ist, während die andere Erdleitung hat. Somit ergibt sich, wenn man ein Teilchen betrachtet, das an der äußeren Zylinderfläche in das Feld tritt, d. h. für  $t = 0$   $x = 0$ ,  $y = r_1$  setzt, durch Integration und Elimination von  $t$  als Bahn des Trägers die Parabel:

$$\frac{y^2 - r_1^2}{2} = - \frac{V \omega}{\log \frac{r_1}{r_2}} \cdot \frac{x}{v}.$$

Der Schnittpunkt der Kurven gibt dasjenige  $v$  und  $V$ , bei dem die Parabel am Ende des Feldes die Achse erreicht, bei dem also  $y = r_2$ ,  $x = l$  wird. Es wird daher

$$\omega = \frac{r_1^2 - r_2^2}{2l} \cdot \log \frac{r_1}{r_2} \cdot \frac{v}{V}.$$

Bei abstoßender Kraft der Achse erhält man infolge des entgegengesetzten Vorzeichens von  $y'$  und der anderen Anfangs- und Grenzbedingungen denselben Wert für  $\omega$ . Es gilt also für  $+$  und  $-$  Ladung der Achse

$$\omega = \text{konst.} \cdot \frac{v}{V} = 0,507 \cdot \frac{v}{V}.$$

Setzt man die nach den Versuchen gefundenen Werte von  $v$  und  $V$  ein, für letzteres das Mittel aus dem Werte bei  $+$  und  $-$  Ladung, so ergibt dies im Mittel

$$\omega = 8,33 \times 10^{-4} \frac{\text{cm}}{\text{sec}} \text{ für } 1 \text{ Volt/cm},$$

also einen außerordentlich kleinen Wert, ungefähr halb so groß wie der, den Lenard<sup>1)</sup> für die durch ultraviolette Licht in

1) P. Lenard, Ann. d. Phys. 3. p. 315. 1900.

Luft erzeugten +Träger fand, und 100mal kleiner wie der von demselben Forscher für leuchtende Lithiumträger in Flammen gefundene.<sup>1)</sup> Setzt man voraus, daß die Träger fort-dauernd positiv geladen sind<sup>2)</sup>, so würde man die Masse des Luftmoleküles gegen die des Trägers vernachlässigen können und so für  $s$  erhalten<sup>3)</sup>

$$s = 39 \times 10^{-6} \text{ mm.}$$

Der Durchmesser eines Trägers  $2s$  wäre also gerade gleich dem 100fachen eines Luftmoleküldurchmessers, und als Träger der positiven Elektrizität wären daher ganze Komplexe von Molekülen anzusehen.

Wenn der Kochsalzstrahl auf Glas fiel, so war der Ausschlag im Filter negativ (Tab. V). Schiebt man nun ebenso wie oben zwischen Filter und Kolben das starke Feld, so gelangten auch die negativen Ausschläge noch bei hohen Spannungen ins Filter, wie Tab. VII zeigt.

Tabelle VII.

6,5 proz. NaCl-Strahl auf Glasplatte.

Achsenpotential	Geschwindigkeit	Ausschlag
0 Volt	12 $\frac{\text{cm}}{\text{sec}}$	- 16 $\frac{\text{mm}}{\text{Min.}}$
+ 2000	12	- 10
Strahl auf NaCl-Schicht über dem Metall.		
0	12	- 10,1
+ 3800	12	- 5,5
0	7,2	- 6,1
+ 3000	7,2	0

Es wäre dies der erste jemals beobachtete Fall, daß negative Ladungen so langsam wandern; es ist jedoch nicht notwendig so zu denken, wie das Folgende zeigt.

1) P. Lenard, Ann. d. Phys. 9. p. 647. 1902.  
2) Vgl. die entgegengesetzte Annahme, P. Lenard, Ann. d. Phys. 9. p. 649. 1902.  
3) P. Lenard, Ann. d. Phys. 3. p. 312—313. 1900.

## III. Positive und negative Träger.

Schon der wechselnde + und - Ausschlag im Filter mußte zur Vermutung führen, daß in der durch Kochsalz elektrisierten Luft gleichzeitig + und - Träger vorhanden sind. Dies läßt sich direkt zeigen. Läßt man z. B. den Strahl auf Metall fallen, wo also der Überschuß im Filter + ist, und saugt dann die Luft in den Netzkondensator (Röhre und erstes Netz zur Erde, zweites Netz + geladen und mit dem Elektrometer verbunden), so tritt am + geladenen Netz Entladung ein. Für 24 cm/sec Luftgeschwindigkeit, Öffnung I, 16 cm Fallhöhe und 64 Volt Feldstärke: -3,1 mm/Min., d. h. in der + elektrischen Luft sind auch negative Träger.<sup>1)</sup>

Es wurde nun versucht, beide Trägersorten auch mit der p. 1132 beschriebenen Versuchsanordnung (Fallhöhe 60 cm auf Lösung) nachzuweisen. Wenn aber dann der zylindrische Kondensator ungeladen eingeschaltet wurde, so erhielt man im hintergeschalteten Filter ganz andere Ausschläge wie früher (Tab. V, p. 1131), nämlich stärkere - statt der schwachen + (vgl. Tab. VIII).

Tabelle VIII.

Luftgeschwindigkeit 24 $\frac{\text{cm}}{\text{sec}}$	6,5 %	chem. rein	-10,4	$\frac{\text{mm}}{\text{Min.}}$
	0,011 %	„ „	- 9,7	
	2,1 %	„ „	- 3,9	
	20 %	„ „	-17,0	

Wurde das Filter wieder direkt an den Kolben geschlossen, so erschienen die früheren Ausschläge wieder. Erklärlich würde der Versuch durch die Annahme, daß die - Ladungen im Kondensator neu erzeugt sind, eine Annahme, die durch die später (p. 1140) gefundene schnellere Wanderungsgeschwin-

1) Dasselbe wurde gefunden durch Messung der Zerstreuung mit dem Exnerschen Elektroskop und der p. 1125 u. 1126 beschriebenen Versuchsanordnung. Die Zerstreuung für unelektrische durchgesaugte Luft betrug im Mittel 9,6 Volt pro Stunde. Wurde aber Luft durchgesaugt, die durch den starken Strahl von 6,5proz. NaCl-Lösung elektrisiert war, so betrug in den 6 Min. nach Beginn des Versuches (der Strahl lief wie früher 3 Min.) die Zerstreuung bei Ladung auf -270 Volt: 73 Volt pro Stunde, +270 Volt: 64 Volt pro Stunde.

digkeit der negativen Träger bestätigt wird. Untersuchungen von Lenard<sup>1)</sup> über die Wanderung von Elektrizitätsträgern in Flammen machen es wahrscheinlich, daß dort positive Träger fortwährend negative aussenden. Macht man in unserem Falle die gleiche Annahme, so würden sich die anscheinend regellosen Erscheinungen wohl erklären. Es sind hier aber nicht, wie in der zitierten Flammenuntersuchung, Anzeichen dafür vorhanden, daß die ausgesandten Ladungen durch Neuaufnahme ergänzt werden, denn eine zweite Sorte + Träger, die in der Luft durch Wegnahme der — bleiben würden, ist nirgends nachgewiesen.

Wenn die positiven Träger große Molekülkomplexe sind, so wäre es denkbar, daß sie erhitzt ähnlich wie der Staub heißer Luft an die kälteren Wände gehen.<sup>2)</sup> Dies tritt jedoch nicht ein; denn, wenn man den ungeladenen Kondensator mit Eis umgab oder ihn in kochendes Wasser brachte, so änderten sich dadurch die negativen Ausschläge im Filter gar nicht.

Wurde nun die Achse des Kondensators geladen, so gelangten die negativen Träger ebenso wie in Tab. VII, p. 1135 noch bei starken Spannungen durch das Feld, wie Tab. IX zeigt.

Tabelle IX.

Strahl auf 6,5 proz. NaCl.

Geschwindigkeit	Achsenpotential	Ausschlag
24 $\frac{\text{cm}}{\text{sec}}$	0 Volt	— 10,4 $\frac{\text{mm}}{\text{Min.}}$
24	+ 500	— 12,2
24	+ 1000	— 8,0
7,2	0	— 5,2
7,2	+ 4700	0

Wurde die Kondensatorachse mit dem Elektrometer verbunden und der Mantel mit einer Hochspannungsbatterie geladen, so fand man für die Geschwindigkeit 12 cm/sec die Ausschläge der Tab. X.

1) P. Lenard, Ann. d. Phys. 9. p. 642. 1902.

2) Vgl. J. Aitken, Proc. Edinb. Roy. Soc. 12. p. 440. 1884.

Tabelle X.

Strahl auf 6,5 proz. NaCl.

Pot. des Mantels	Ausschlag	Pot. des Mantels	Ausschlag
0	0	+ 32 Volt	0
— 16 Volt	— 0,6 $\frac{\text{mm}}{\text{Min.}}$	+ 128	+ 0,8 $\frac{\text{mm}}{\text{Min.}}$
— 64	— 2,3	+ 1000	+ 2,1
— 200	— 2,7		
— 1000	— 4,2		

Beide Trägersorten gehen an die Achse, die negativen aber schon bei schwächerer Kraft stärker. Bei größerer Kraft erhält man für sie keinen Grenzwert wie bei destilliertem Wasser (p. 1124). Nach der p. 1137 gegebenen Erklärung wird dies verständlich. Solange positive Träger da sind, werden sich auch stets negative zeigen, und wenn bei wachsender Spannung die positiven ihre Bahn ändern, werden die eben erzeugten negativen leichter an die Achse gehen können. Die herangehende Menge ist also mit wachsender Kraft größer.

Außer dem Wattefilter wurde jetzt zum Auffangen der Elektrizität noch eine zweite Vorrichtung zu Hilfe genommen. Es war dies ein Zinkblechhohlzylinder von ca. 25 cm Höhe und 10 cm Durchmesser, in dessen einen Deckel ein kurzes und ein langes Flintglasrohr, beide außerdem zur Isolation innen und außen mit Schellack überzogen, eingesetzt waren. Dieser Hohlzylinder stand seitlich auf drei Siegellackfüßen in einem größeren Metallkasten, der zur Erde geleitet war. Die Luft trat im kurzen Rohr ein, durchstrich den Zylinder der Länge nach und trat durch das lange Rohr wieder aus. Wurde diese Vorrichtung statt des Wattefilters an den Kolben geschlossen und der isolierte Zylinder mit dem Elektrometer verbunden, so wurde für 6,5 proz. Lösung und die frühere Geschwindigkeit 24 cm/sec erhalten: — 7,2 cm/sec, also kein positiver Ausschlag wie im Filter: Die negativen Träger gehen leichter an den Zylinder wie die positiven, und außerdem wird sich, weil der Weg für die Luft im Zylinder größer ist wie der bis zum Filter, das Mengenverhältnis der + und — ändern.

Wurde zwischen Hohlzylinder und Kolben der axiale Kondensator geschaltet, so fand man bei ungeladenem Kondensator — 9,5 mm/Min., also wie p. 1136 einen größeren negativen Aus-



schlag, bei geladener Achse gelangten wie früher ins Filter (p. 1135, Tab. VII und p. 1137, Tab. IX) die negativen Ausschläge noch bei starken Spannungen in den Hohlzylinder.

Wenn das zur Erde geleitete Wattefilter zwischen Kolben und Hohlzylinder geschaltet wurde, so fand man für die frühere Geschwindigkeit 24 cm/sec im Hohlzylinder einen Ausschlag von  $-1,6$  mm/Min. Es gelangten also negative Träger durch das Filter, was aber nicht zu verwundern ist, weil das Filter ja nur kurz ist und auch nicht fest gestopft war. Wurde aber umgekehrt zuerst der Hohlzylinder an den Kolben geschlossen und hinterher das Filter, mit dem Elektrometer verbunden, so fand man im Filter  $+1,8$  mm/Min., also einen positiven Ausschlag. Hieraus läßt sich schließen auf größere Beweglichkeit der negativen Ladungen, die leichter wie die positiven an die innere Wand des Hohlzylinders gehen.

Eine größere Wanderungsgeschwindigkeit der  $-$  Träger direkt nachzuweisen, war das Ziel der folgenden Versuche. Zuerst wurde gezeigt, daß die elektrisierte Luft nach Passieren eines starken Feldes noch leitfähig ist, also noch beide Trägerarten enthält. Dazu wurde hinter den axialen Kondensator, der bei allen Versuchen eine Potentialdifferenz von 1200 Volt hatte, der Netzkondensator geschaltet und zwar so, daß das erste Netz wie die ganze Röhre zur Erde geleitet, das zweite Netz aber geladen und zugleich mit dem Elektrometer verbunden war. So erhielt man die Ausschläge der Tab. XI.

Tabelle XI.  
Strahl auf 6,5 proz. Lösung.

Geschwindigkeit	Pot. des 2. Netzes	Ausschlag
$12 \frac{\text{cm}}{\text{sec}}$	0	$-0,4 \frac{\text{mm}}{\text{Min.}}$
12	+ 64 Volt	- 4,2
12	+ 128	- 4,0
12	- 64	+ 0,9
12	- 128	+ 1,6

Dann wurde das erste Netz mit dem Elektrometer verbunden und ebenso wie die ganze Röhre geladen und das zweite Netz zur Erde geleitet.



Tabelle XII.

Strahl auf 6,5 proz. Lösung.

Geschwindigkeit	Pot. des 1. Netzes	Ausschlag
$12 \frac{\text{cm}}{\text{sec}}$	0	$-0,6 \frac{\text{mm}}{\text{Min.}}$
12	- 64 Volt	-0,45
12	- 128	-0,65
12	+ 64	-3,8
12	+ 128	-4,0

Ein Zurückwandern positiver Träger findet also nicht statt; dagegen haben die negativen eine Wanderungsgeschwindigkeit von derselben Größenordnung wie die durch destilliertes Wasser erzeugten. Wenn sie nun trotzdem durch ein starkes Feld gelangen, so ist dies nur möglich dadurch, daß sie im Feld und hinter dem Feld neu erzeugt worden sind.

Ich habe als Erzeugungszentren die durch Zerreißen der Doppelschicht zwischen Kochsalztropfen und Luft ursprünglich allein erzeugten positiven Träger der Luft angesehen (p. 1137). Diese Annahme findet darin eine wesentliche Stütze, daß, wie gezeigt, bei reinem destillierten Wasser, wo nur negative Träger vorhanden sind, nichts von nachträglicher Entstehung neuer Träger zu bemerken ist. Daß J. J. Thomson und Himstedt (p. 1125) bei gewöhnlichem Wasser das Gegenteil finden, wird nicht wundernehmen, da man weiß, daß schon geringe Verunreinigung des destillierten Wassers ganz andere Wirkungen gibt.<sup>1)</sup> Hr. Himstedt erklärt seine Versuche durch eine zersetzende Wirkung des Wassers auf die Gasmoleküle infolge bloßer Berührung.<sup>2)</sup> Eine solche Berührung tritt auch bei den in dieser Arbeit gemachten Versuchen, besonders bei dem starken Strahl p. 1126 in ausgedehntem Maße ein. Trotzdem sind keine +Träger nachweisbar. Es muß daher gesagt werden, daß die hier beschriebenen, unter günstigen Bedingungen und

1) P. Lenard, Wied. Ann. 46. p. 589, 596 u. 629. 1892. Hrn. J. J. Thomsons Versuche mit destilliertem Wasser im Sprayer (J. J. Thomson, Phil. Mag. (6) 4. p. 360. 1902) scheinen unzweifelhaft eine Wirkung anderer Art zu betreffen, ohne daß man jedoch sagen könnte, der Sitz dieser Wirkung sei gefunden.

2) F. Himstedt, l. c. p. 12.

möglichst reinen Verhältnissen angestellten Versuche in Widerspruch zu jener Hypothese der zersetzenden Wirkung des Wassers auf die Luft stehen.<sup>1)</sup> Zu bemerken dürfte auch sein, daß Versuche mit ruhigen Flüssigkeitsoberflächen, an welchen Wirkungen solcher Art rein sich zeigen könnten, bisher noch nicht vorliegen. Ein Versuch mit den Wolken eines Dampfstrahles gab J. J. Thomson ein negatives Resultat.<sup>2)</sup> Hrn. Himstedts Versuche mit benetztem Koaks, Sand dürften lebhaftere innere Bewegungen der Flüssigkeit nicht ausgeschlossen haben, denn solche verraten sich als Geräusch dem Ohr an den benetzten porösen Körpern.

Vorstehende Arbeit wurde im Physikalischen Institut zu Kiel ausgeführt. Dem Leiter desselben, Hrn. Prof. Lenard, bin ich für die Anregung und für stete Ratschläge im ganzen Verlauf der Versuche zu dauerndem Dank verpflichtet.

---

1) Hrn. Himstedts Versuche, daß destilliertes Wasser, Leitungswasser und viele Lösungen dieselbe Leitfähigkeit der Luft geben (l. c. p. 5), scheinen in noch unaufgeklärtem Widerspruch zu stehen zu den Resultaten, die anscheinend gleiche Versuche früherer Beobachter ergaben. Lord Kelvin, Magnus Maclean u. Al. Galt, Proc. Roy. Soc. 57. p. 343. 1895; Phil. Trans. 191. p. 203. 1898.

2) J. J. Thomson, l. c. p. 366.

(Eingegangen 6. August 1903.)

#### 14. *Über Präzisionsnormale der Selbstinduktion; von F. Dolezalek.*

Die Messung der für den Verlauf von Wechselströmen maßgebenden Konstanten der Selbstinduktion, der Kapazität und der gegenseitigen Induktion kann geschehen durch Vergleich gegen einen Normalkondensator oder gegen ein Normal der Selbstinduktion. Der Kondensator ist, wie bereits mehrfach<sup>1)</sup> hervorgehoben, wegen seiner großen Veränderlichkeit mit der Zeit erheblich weniger geeignet ein Präzisionsnormal zu bilden, als die von den genannten Einflüssen fast unabhängige Selbstinduktionsspule; Präzisionsmessungen der Induktionskonstanten führt man daher am zweckmäßigsten durch Vergleich gegen ein Selbstinduktionsnormal aus. Die Selbstinduktionsnormalien haben mithin für Wechselstrommessungen eine gleich große Bedeutung, wie Widerstandsnormalien für Gleichstrommessungen. Man muß an dieselben daher die gleichen Anforderungen der Präzision stellen wie an Widerstandsnormalien.

Der Umstand, daß die Siemens & Halske A.-G. jetzt die Herstellung von Präzisionsnormalien der Selbstinduktion in ihre Fabrikation aufgenommen hat, gab mir Veranlassung zu der nachstehenden Untersuchung.

Die Spannungsdifferenz an den Polen einer Drahtspule mit dem Selbstinduktionskoeffizienten  $L$  und dem Widerstande  $R$  beträgt bei Durchgang eines mit der Zeit  $t$  veränderlichen Stromes  $J$  bekanntlich:

$$(1) \quad V = R J + L \frac{\partial J}{\partial t}.$$

Für einen periodischen Strom von der Form

$$J = e^{i p t} \quad \begin{aligned} &(i = \sqrt{-1}) \\ &(p = \text{Perioden in } 2\pi \text{ Sekunden}) \end{aligned}$$

ist daher

$$(2) \quad V = R e^{i p t} + i p L e^{i p t} = (R + i p L) \cdot J.$$

1) Vgl. z. B. E. Orlich, Elektrotechn. Zeitschr. 24. p. 502. 1903.

Die Induktionsspule verhält sich dem Strom  $e^{ip t}$  gegenüber wie eine induktionsfreie Spule mit dem Widerstand  $(R + ip L)$ .

Von einem Selbstinduktionsnormal muß man daher verlangen, daß die den „Widerstandsoperator“  $(R + ip L)$  zusammensetzenden Größen, nämlich Widerstand  $R$  und Selbstinduktion  $L$  möglichst unabhängig sind von Zeit und Temperatur sowie besonders von der Frequenzgröße  $p$  des Wechselstromes. Es ist bekanntlich das große Verdienst von M. Wien<sup>1)</sup>, derartige Normalien zuerst hergestellt und Methoden zu ihrer genauen absoluten Bestimmung<sup>2)</sup> ausgebildet zu haben. Bei der Prüfung dieser von W. Siedentopf in Würzburg angefertigten Normalien auf die erwähnten Bedingungen zeigte es sich, daß bei niedrigen Periodenzahlen Selbstinduktion und Widerstand vorzüglich konstant und der gemessene Widerstandsoperator für verschiedene Periodenzahlen mit den berechneten übereinstimmt. Als ich jedoch diese Prüfung auf Frequenzen von über 300 Perioden ausdehnte, ergaben sich mit zunehmender Frequenz steigende Abweichungen. Wurden in der Wechselstrombrücke zwei Normalien mit verschieden starkem Draht verglichen, so wies das Normal mit dickerem Draht eine deutliche Zunahme des Widerstandes mit der Frequenz auf und ergab etwas schwankende Werte der Selbstinduktion. Eine Berechnung lehrte, daß diese Abhängigkeit auch nicht annähernd durch die Kapazität der Spulen zu erklären war. Es blieb daher zur Erklärung nur die Annahme einer bei höheren Frequenzen auftretenden ungleichmäßigen Verteilung der Stromlinien im Leiterquerschnitt oder die Entstehung von Wirbelströmen in benachbarten Metallmassen übrig. Die Vermutung, daß hieran wesentlich die auf den Steinrollen befindlichen Klemmschrauben beteiligt sind, erwies sich insofern als richtig, als nach Entfernung derselben die Abweichungen geringer wurden. Es blieb jedoch eine starke Abhängigkeit des Widerstandes von der Periodenzahl bestehen und dieselbe verschwand erst, nachdem an Stelle des massiven Drahtes ein Seil aus dünnen, voneinander isolierten Drähten gesetzt wurde, wodurch dem Auftreten von Wirbelströmen und der ungleich-

1) M. Wien, Wied. Ann. 58. p. 553. 1896.

2) M. Wien, Wied. Ann. 44. p. 689. 1891.

mäßigen Verteilung der Stromlinien im Kupferdraht selbst vorgebeugt wurde.

### 1. Einfluß der Periodenzahl auf den Widerstand.

Nachdem die Ursache der Abweichungen erkannt war, konnte eine quantitative Prüfung leicht vorgenommen werden. Zu diesem Zwecke wurde in der Wechselstrombrücke (Fig. 1) eine Selbstinduktionsspule mit massivem Kupferleiter ( $L_1$ ) gegen eine Spule mit unterteiltem Leiter bei verschiedenen Periodenzahlen gemessen. Zweig 1 enthielt außerdem noch einen induktionsfreien Widerstandskasten  $W_1$ . Die Verbindung zwischen

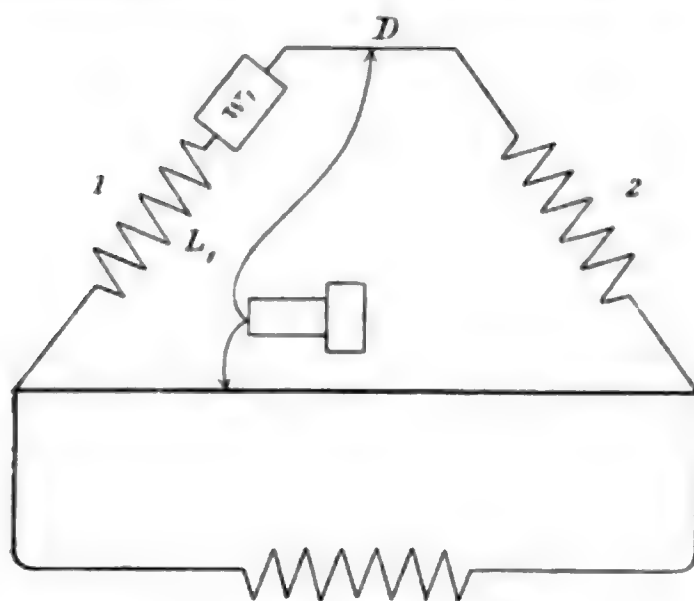


Fig. 1.

Zweig 1 und 2 war durch einen dicken Manganindraht  $D$  mit Schleifkontakt hergestellt, um die Widerstandseinstellung bis auf 0,01 Ohm ausführen zu können. Als Nullinstrument diente ein Hörtelefon und als Stromgenerator eine Wechselstrommaschine für hohe Frequenzen in der Form, wie ich sie kürzlich beschrieben

habe.<sup>1)</sup> Die Ausführung der Messung geschah in der Weise, daß zunächst durch Verstellen am Schleifkontakt, sowie durch Ziehen von Widerstand in  $W_1$  und Verschiebung des Widerstandskontaktes in bekannter Weise ein scharfes Telephonminimum eingestellt wurde. Aus dem Brückenverhältnis, den Widerständen der Brückenzweige und dem Selbstinduktionswert der Litzenpule ergibt sich der Wechselstromwiderstand  $R_1$  und die Selbstinduktion  $L_1$  der Drahtspule. Wird alsdann die Wechselstromquelle mit einer Gleichstromquelle, das Telephon mit einem Galvanoskop vertauscht und durch Verschieben am Widerstandskontakt wieder auf Stromlosigkeit in der Brücke eingestellt, so erhält man auch den Gleichstromwiderstand  $R$

1) F. Dolezalek, Zeitschr. f. Instrumentenk. 23. p. 240. 1903.



der Drahtspule. Die Differenz  $R_1 - R$  ergibt die Zunahme des Widerstandes infolge von ungleichförmiger Verteilung der Stromlinien im massiven Draht und Wirbelströmen. Der Leiter der Vergleichsspule bestand aus einer Kupferlitze von 72 isolierten Drähten von je 0,1 mm Stärke. Wie aus der nachstehenden Untersuchung hervorgeht, konnte der Widerstand und die Selbstinduktion dieser Spule als hinreichend unabhängig von der Frequenz angenommen werden. Messungen wurden an Spulen von ca. 0,03 Henry aus 1,1 und 0,85 mm starkem Draht ausgeführt. Die Resultate enthält nachstehende Tabelle.

		Perioden pro Sekunde	Selbst- induktion Henry	Gleichstrom- widerstand Ohm	Wechselstromwider- stand	
					gemessen	berechnet
Normal aus 1,1 mm starkem Draht	{	591	0,0325	4,83	5,43	5,45
		917	0,0325	4,83	6,32	6,32
		1452	0,0325	4,83	8,54	8,56
		2286	0,0325	4,83	14,13	14,08
Normal aus 0,85 mm starkem Draht	{	643	0,0330	6,96	7,34	7,33
		1000	0,0330	6,96	7,86	7,87
		1433	0,0330	6,96	8,83	8,82
		1893	0,0330	6,96	10,21	10,20
		2272	0,0330	6,96	11,63	11,63

Die Widerstandszunahme steigt mit dem Quadrat der Frequenz an, so daß für den Wechselstromwiderstand  $R'$  die Gleichung gilt:

$$(3) \quad R' = R + k n^2,$$

worin  $k$  eine Konstante,  $R$  den Gleichstromwiderstand und  $n$  die Frequenz bedeutet. Die letzte Kolumne obiger Tabelle enthält die nach dieser Gleichung berechneten Werte des Wechselstromwiderstandes. Bei der Spule aus 1,1 mm starkem Draht wurde  $k = 1,77 \cdot 10^{-6}$ , bei derjenigen aus 0,85 mm starkem Draht  $k = 0,905 \cdot 10^{-6}$  eingesetzt. Die Widerstandszunahme ist hiernach selbst bei einer Spule von 0,85 mm starkem Draht und nur 0,03 Henry ganz bedeutend, so daß der Wechselstromwiderstand bei 2773 Perioden doppelt so groß ist wie der Gleichstromwiderstand. Bei der Spule aus 1,1 mm starkem Draht wird die Verdoppelung des Widerstandes bereits bei



1652 Perioden erreicht. Bei größeren Selbstinduktionswerten sind die Widerstandszunahmen natürlich gleichfalls beträchtlicher.

## 2. Einfluß der Drahtstärke.

Um den Einfluß der Drahtstärke genauer kennen zu lernen, wurden auch noch Messungen an Spulen von 0,55 und 2,0 mm starkem Kupferdraht vorgenommen. Reduziert man die erhaltenen  $k$ -Werte auf gleiche Selbstinduktion, so ergibt sich folgendes:

0,55 mm starker Draht	$k = 0,37 \cdot 10^{-6}$	} für 0,03 Henry.
0,85 „ „ „	$k = 0,82 \cdot 10^{-6}$	
1,10 „ „ „	$k = 1,64 \cdot 10^{-6}$	
2,00 „ „ „	$k = 6,5 \cdot 10^{-6}$	

Hiernach würde die Widerstandszunahme noch etwas schneller als mit dem Quadrat der Drahtstärke ansteigen. Vermutlich ist jedoch auch die Gestalt der Spule von Einfluß, so daß einfache genaue Gesetzmäßigkeiten in dieser Beziehung nicht zu erwarten sind. Aus den obigen  $k$ -Werten ist jedoch zu erkennen, daß der Einfluß der Frequenz auf den Widerstand bei Verwendung von 0,1 mm starkem Draht bereits nur noch von der gleichen Größenordnung ist, wie der Einfluß geringer Temperaturschwankungen. Eine weitere Unterteilung des Leiters hätte erst Zweck, wenn es gelänge, eine gut leitende Metalllegierung mit geringem Temperaturkoeffizienten des Widerstandes herzustellen. Infolgedessen werden die neuen Präzisionsnormalien der Siemens & Halske A.-G. aus einem Seil von 0,1 mm starken Drähten angefertigt.

## 3. Einfluß der Frequenz auf die Selbstinduktion.

Die starke Veränderung, welche der Widerstand einer Spule mit massivem Leiter bei steigender Frequenz aufweist, ließ auch eine Beeinflussung des Selbstinduktionswertes vermuten. Die Messung gegen ein Normal mit Litzenbewickelung ergab an einer Spule aus 2,0 mm starkem Draht folgende Werte:

825 Perioden	0,03194 Henry
1650 „	0,03176 „

Die Selbstinduktion fällt also mit zunehmender Frequenz ein wenig ab. Der Einfluß der Frequenz ist jedoch sehr gering

und macht sich erst bei sehr starken Leitern oder hohen Werten der Selbstinduktion störend bemerkbar.

Wie in Abschnitt 5 abgeleitet, bewirkt die Kapazität der Spule ein geringes Ansteigen der Selbstinduktion mit zunehmender Frequenz. Die Abnahme der Selbstinduktion würde also ohne den Kapazitätseinfluß noch etwas größer sein.

Die Abnahme der Selbstinduktion ist höchst wahrscheinlich durch das Zusammendrängen der Stromlinien innerhalb des Leiterquerschnittes nach der Spulenachse hin zu erklären. Setzt man den Leiter aus einzelnen sehr dünnen Drähten zusammen und verseilt diese mit hinreichend kurzem Drall, so ist die von den einzelnen Drähten innerhalb jeder Windung umschlossene Kraftlinienzahl dieselbe und daher eine unsymmetrische Verteilung der Stromlinien ausgeschlossen.

#### 4. Absolute Messungen.

Wie soeben erörtert, ist die Veränderung der Selbstinduktion einer Spule mit massivem Leiter bei steigender Frequenz relativ gering. Dies ändert sich jedoch, sobald auch der Widerstand der Spule auf den zu messenden Selbstinduktionswert von Einfluß ist. Dies tritt z. B. ein, wenn man die Messung an einem Normal mit parallel geschaltetem induktionsfreien Widerstand auszuführen hat, wie es bei der absoluten Bestimmung von Selbstinduktionen nach der Wienschen Methode der Fall ist.

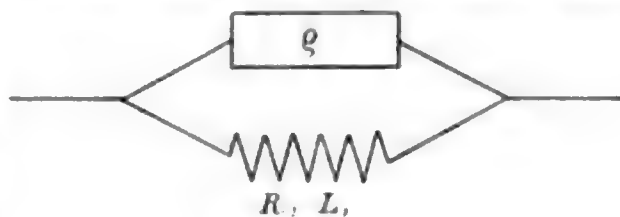


Fig. 2.

Der Widerstandsoperator  $a$  einer derartigen Stromverzweigung (Fig. 2) ergibt sich aus den Widerstandsoperatoren der Zweige:

$$a_1' = g, \quad a_1 = R_1 + i p L_1 \quad (\text{vgl. oben})$$

zu

$$(4) \quad a = \frac{a_1 \cdot a_1'}{a_1 + a_1'} = \frac{g(R_1 + i p L_1)}{R_1 + g + i p L_1} = R' + i p L'.$$

$R'$  ist der wirksame Widerstand und  $L'$  die wirksame Selbstinduktion der Verzweigung. Letztere berechnet sich zu:

$$(5) \quad L' = \frac{g^2 \cdot L_1}{(R_1 + g)^2 + p^2 L_1^2}.$$

Dieser Ausdruck enthält den Spulenwiderstand  $R_1$  und kann also nur bei Verwendung von unterteiltem Leiter genaue Werte geben.

Auf Anwendung der Beziehungen (4) und (5) beruht die Methode von Wien zu absoluten Bestimmungen von Selbstinduktionen. Dieselbe wird in der Wechselstrombrücke nach dem Schema Fig. 3 ausgeführt.  $AB$  ist ein auf einer Teilung ausgespannter Meßdraht. Die Zweige 1 und 2 enthalten je eine Induktionsspule mit den Koeffizienten  $L_1$  und  $L_2$  und den Widerständen  $R_1$  und  $R_2$  und außerdem je einen induktionsfreien Widerstandssatz. Der letztere befindet sich in

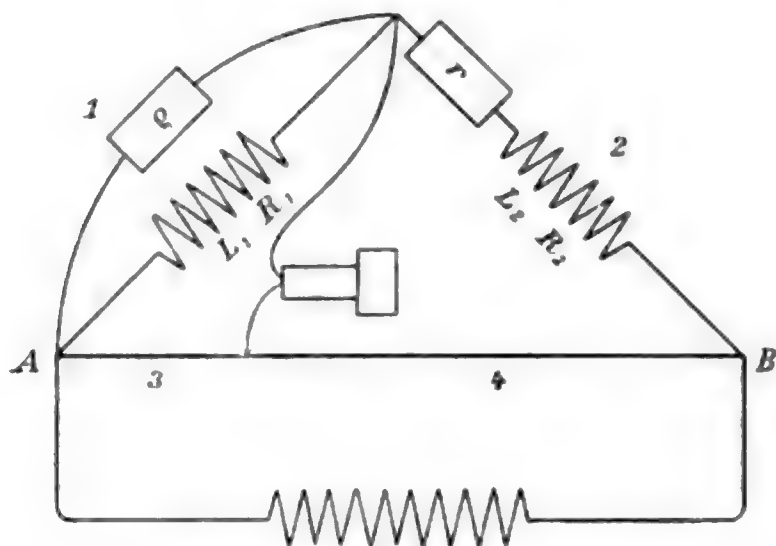


Fig. 3.

Zweig 1 in Parallelschaltung, in Zweig 2 dagegen in Hintereinanderschaltung mit der Spule.

Hat man durch Verschieben des Schleifkontaktes und Ziehen von Widerstand in beiden Zweigen die Brücke stromlos gemacht, so gilt die Gleichung

$$a_1 \cdot a_4 - a_2 \cdot a_3 = 0,$$

wenn  $a_1$  bis  $a_4$  die Widerstandsoperatoren der vier Brückenzweige bedeuten. Bezeichnet man das Verhältnis der Meßdrahtabschnitte mit  $e$ , so ist  $a_3/a_4 = e$  und daher

$$(6) \quad a_1 - a_2 e = 0.$$

Der Widerstandsoperator  $a_1$  wurde oben berechnet (Gleichung (4)), derjenige von Zweig 2 beträgt  $a_2 = r + R_2 + ip L_2$ , wenn im Zweig 2 ein Widerstand von  $r$  gezogen wurde. Substituiert man diese Werte in Gleichung (6), trennt reellen und

imaginären Teil und setzt dieselben einzeln gleich Null, so erhält man als Nullbedingung die beiden Gleichungen

$$(7) \quad p^2 L_1 L_2 = (r + R_2) - \frac{R_1 \varrho}{e},$$

$$(8) \quad \frac{L_1}{L_2} = \frac{\varrho + R_1}{\varrho/e - (r + R_2)},$$

aus welchen sich  $L_1$  und  $L_2$  einzeln berechnen lassen. Diese Gleichungen enthalten die Spulenwiderstände und müssen daher fehlerhafte Werte ergeben, wenn sich der Wechselstromwiderstand von dem der Berechnung zu Grunde gelegten Gleichstromwiderstand unterscheidet, wie es bei Verwendung von Spulen mit massivem Leiter der Fall ist.

Um diese Fehlerquelle experimentell zu prüfen, habe ich gemeinsam mit den Herren Bartels und Kaspareck an der oben erwähnten Spule aus 1,1 mm starkem Draht (0,0325 Henry) absolute Messungen bei verschiedenen Periodenzahlen ausgeführt.

Als Stromquelle diente die oben erwähnte Wechselstrommaschine, Nullinstrument war ein gewöhnliches Hörtelephon. Der Brückendraht war sorgfältig kalibriert worden. In Ermangelung geeigneter Stimmgabeln mußte die Bestimmung der Frequenz durch Tourenzählen der Maschine ausgeführt werden. Hierdurch kann ein Fehler von etwa 0,3 Proz. im Resultat herbeigeführt werden. Nachstehend sind Ergebnisse der Messung bei zwei verschiedenen Frequenzen wiedergegeben.

953 Perioden	1484 Perioden
$R_1 = 4,833$	4,747 Ohm
$r + R_2 = 100,7$	82,54 „
$\varrho = 500,0$	1570 „
$e = 0,6949$	0,7806
$L_1 = 0,0328$	0,0336 Henry
$L_2 = 0,0402$	0,0412 „

Die Unterschiede in den  $R_1$ -Werten sind durch Veränderung der Zimmertemperatur verursacht. Die berechneten Selbstinduktionskoeffizienten unterscheiden sich um mehr als 2 Proz. voneinander und zwar steigen sie mit zunehmender Frequenz an.

Es ist nun leicht zu erweisen, daß dieser Anstieg nur durch die Verwendung eines massiven Leiters in der Spule  $L_1$

herbeigeführt ist. Setzt man nämlich in die Gleichungen (7) und (8) nicht den Gleichstromwiderstand  $R_1$  ein, sondern den mittels Gleichung (3) für die betreffende Periodenzahl berechneten Wechselstromwiderstand, so eliminiert man den Fehler und muß für alle Frequenzen richtige Werte erhalten.

Die Berechnung des wirksamen Wechselstromwiderstandes nach der Gleichung

$$R_1' = R_1 + 1,77 \cdot 10^{-6} \cdot n^2$$

ergibt für 953 Perioden 6,44 Ohm, für 1484 Perioden 8,65 Ohm.

Nachstehend sind die mit und ohne Berücksichtigung der Widerstandszunahme der Drahtspule berechneten Werte zusammengestellt.

	953 Perioden	1484 Perioden
Mit $R_1$ berechnet	$\left\{ \begin{array}{l} L_1 = 0,0328 \\ L_2 = 0,0402 \end{array} \right.$	$\left\{ \begin{array}{l} 0,0336 \text{ Henry} \\ 0,0412 \text{ „} \end{array} \right.$
Mit $R_1'$ berechnet	$\left\{ \begin{array}{l} L_1 = 0,0325 \\ L_2 = 0,0397 \end{array} \right.$	$\left\{ \begin{array}{l} 0,0326 \text{ „} \\ 0,0398 \text{ „} \end{array} \right.$

Die gute Übereinstimmung der letzten Wertepaare beweist klar, daß die erhaltenen Abweichungen nur durch die Widerstandszunahme in der Spule mit massivem Draht erzeugt wurden. Hieraus geht wiederum die Notwendigkeit hervor, Präzisionsnormalien nicht wie bisher aus massivem Draht zu wickeln, sondern hierzu ein Seil dünner und hinreichend voneinander isolierter Drähte zu verwenden.

### 5. Einfluß der Kapazität der Spulen.

Bei größeren Werten des Selbstpotentials und Verwendung hoher Frequenzen wirkt die Kapazität der Drahtspulen störend auf die Messung ein, wie M. Wien theoretisch und experimentell erwiesen hat. Die hierdurch entstehende Fehlerquelle ist um so bemerkenswerter, als es unmöglich erscheint, dieselbe durch geeignete Anordnung der Wickelung gänzlich zu beseitigen. Durch Verwendung einer starken Isolationsschicht auf dem Draht und namentlich zwischen den Wickelungslagen läßt sich die Kapazität merklich vermindern, jedoch niemals gänzlich beseitigen. Man ist daher gezwungen, den Einfluß rechnerisch



zu korrigieren und muß verlangen, daß auf jedem größeren Normal neben dem Eichwert auch die Größe der Kapazität angegeben ist.

Berechnet man den Widerstandsoperator einer mit Kapazität behafteten Spule, so erhält man für die effektive Selbstinduktion  $L'$  und für den effektiven Widerstand  $R'$  die nachstehenden Werte:

$$(9) \quad L' = \frac{L - p^2 c L^2 - c R^2}{(1 - p^2 c L)^2 + p^2 c^2 R^2},$$

$$(10) \quad R' = \frac{R}{(1 - p^2 c L)^2 + p^2 c^2 R^2},$$

worin  $L$  und  $R$  Selbstinduktion und Widerstand für sehr geringe Frequenzen,  $c$  die Spulenkapazität und  $p$  die mit  $2\pi$  multiplizierte Periodenzahl des Meßstromes bedeutet.

Bei Frequenzen unter 3000 kommt bei den vorliegenden Verhältnissen nur das Glied  $p^2 c L$  neben 1 in Betracht, so daß man mit den Näherungsgleichungen

$$(11) \quad L' = L(1 + p^2 c L),$$

$$(12) \quad R' = R(1 + 2 p^2 c L)$$

rechnen kann. Die Kapazität bewirkt also eine Vermehrung von Selbstinduktion und Widerstand und zwar steigt der Einfluß der Kapazität mit dem Quadrat der Frequenz und mit der ersten Potenz des Selbstpotentials an.

Von den verschiedenen Methoden, welche zur Messung der Kapazität von Normalrollen prinzipiell anwendbar erscheinen, habe ich die nachfolgende als am einfachsten und zuverlässigsten gefunden. In Zweig 1 der Wechselstrombrücke (Fig. 1) wird die zu messende Spule, in Zweig 2 ein Normal von etwa zehnfach kleinerem Wert und vergleichsweise verschwindender Kapazität eingeschaltet. Man stellt alsdann mit einem Wechselstrom von geringer Frequenz  $p_1$  (z. B.  $p_1 = 2\pi \cdot 200$ ) das Telephonminimum ein, wobei man zur Widerstandsabgleichung nicht bifilare Drahtwiderstände, sondern einen Satz geeigneter Glühlampen und den in der Figur gezeichneten Schleifdraht verwendet. Man erhält so einen Selbstinduktionswert  $L_1$ . Alsdann legt man an die Brücke einen etwa zehnfach schnelleren Wechselstrom von der Frequenz  $p_2$  (z. B.  $p_2 = 2\pi \cdot 2000$ ) und erhält einen etwas größeren Wert  $L_2$ .



Da  $L_1$  nahe gleich  $L$ , so folgt aus Gleichung (11) für die Kapazität der Normalrolle der Ausdruck

$$c = \frac{L_2 - L_1}{L_1^2 (p_2^2 - p_1^2)}.$$

Die Vergleichsmessungen von  $L_2$  und  $L_1$  kann man leicht auf Bruchteile eines Promille ausführen. Für die Kapazitätsbestimmung ergibt sich hieraus bei Normalien von 1 Henry und darüber eine Genauigkeit von einigen Prozenten, was für Korrektionszwecke völlig ausreicht.

Um einen Anhalt über die Größenordnung der Kapazität zu geben, sind nachstehend die Meßresultate an einem größeren Normal wiedergegeben. Dasselbe war aus einem gut unterteilten Leiter gewickelt und besaß einen Widerstand von 73 Ohm:

$$p_1 = 2\pi \cdot 500, \quad L_1 = 0,9365 \text{ Henry,}$$

$$p_2 = 2\pi \cdot 2520, \quad L_2 = 0,9713 \quad \text{,, ,}$$

hieraus folgt  $c = 0,00016$  Mikrof.

Der Einfluß der Kapazität ist also bei hohen Frequenzen ganz beträchtlich und kann durchaus nicht vernachlässigt werden.

Auf den neuen Präzisionsnormalien der Siemens & Halske A.-G. ist daher neben dem Widerstands- und Selbstinduktionswert auch die Kapazität angegeben, so daß man mittels Gleichung (11) und (12) auch für hohe Frequenzen Widerstand und Selbstinduktion, d. h. den Widerstandsoperator, genau berechnen kann.

(Eingegangen 11. September 1903.)

**15. Über Beziehungen zwischen natürlicher  
und elektromagnetischer Rotationsdispersion<sup>1)</sup>;  
von J. Disch.**

---

Die vorliegenden Untersuchungen hatten vornehmlich den Zweck, an der Hand genauer Messungsergebnisse zu prüfen, ob das von G. Wiedemann<sup>2)</sup> ausgesprochene Gesetz, wonach die magnetische Drehung der Polarisationssebene des Lichtes der bereits vorhandenen natürlichen Drehung proportional ist, strenge Gültigkeit besitzt. Zu diesem Zwecke bestimmte Verfasser für einige geeignete Substanzen sowohl die natürliche als auch die magnetische Drehung für verschiedene Farben des sichtbaren Spektrums.

Als Versuchsmaterial wurden nur klar durchsichtige aktive Substanzen gewählt, welche im Gebiete des sichtbaren Spektrums keine Absorption zeigen und optisch gut definiert sind, d. h. die nicht etwa eines inaktiven Lösungsmittels bedürfen. Um dieselben zu charakterisieren, bestimmte Verfasser deren Dichte und deren Brechungsexponent für dieselben Linien, für welche auch die Drehung gemessen wurde. Die Substanzen, welche zur Untersuchung gelangten, sind: deutsches, französisches und amerikanisches Terpentinöl, Zitronenöl, Paraffinöl, Valeriansäureäthyl, Diäthyltartrat und Quarz.

Als Meßmethode wurde diejenige gewählt, bei welcher man homogenes Licht in das Polaristrobometer fallen läßt, also inhomogenes Licht vorher reinigt. Diese Methode ist zwar umständlicher, gibt aber dafür zuverlässigere Resultate als die ältere von Broch ausgebildete Methode.

---

1) Auszug aus der gleichnamigen Inaugural-Dissertation von J. Disch, Freiburg i. B. 1903.

2) G. Wiedemann, Pogg. Ann. 82. p. 215. 1851; Die Lehre von der Elektrizität 3. p. 1054. 1895.

Um sich homogenes Licht zu verschaffen, wurde das sehr intensive Licht der Aronsschen Quecksilberbogenlampe spektral zerlegt und die erforderliche Linie ausgeblendet; auf diese Weise wurden die Linien 578, 546, 491, 435 und 405  $\mu\mu$  in großer Reinheit verwendet. Um die Natriumlinie zu erhalten, wurde eine Natriumflamme mit Kaliumbichromatlösung als Filter angewendet. Endlich ließ Verfasser den Induktionsfunken durch eine mit Wasserstoff gefüllte Geisslersche Röhre schlagen, befreite das so erhaltene Licht durch Kaliumbichromatlösung und Rubinglas von seinen blauen und grünen Bestandteilen und erhielt auf diese Weise die Linie 656  $\mu\mu$ .

Als Polaristrobometer wurde ein Lippichscher Halbschattenapparat mit drei photometrischen Vergleichsfeldern verwendet, mit Hilfe dessen noch Tausendstelgrade abzulesen waren.

Die Flüssigkeiten wurden in eine Röhre von 60 cm Länge gegossen, die mit einer Kühlvorrichtung versehen war. Diese Röhre wurde in eine Spule gesteckt, welche im ganzen 1546 Windungen zählte und bei 12 Amp. Stromstärke ein Feld von ca. 600—700 C.G.S.-Einheiten lieferte. Der Quarz wurde in einer geeigneten Reguliervorrichtung zwischen die Pole eines durchbohrten Ruhmkorffschen Elektromagneten gebracht; wie sich aus der Drehung in Schwefelkohlenstoff berechnete, betrug bei 10 Amp. Stromstärke das Feld ca. 3800 C.G.S.-Einheiten.

Jede Flüssigkeit wurde vor ihrer Untersuchung mit Tierkohle gereinigt, jede Lichtquelle mit Hilfe eines Handspektroskopes auf ihre Homogenität hin geprüft; desgleichen wurde strenge auf Erzielung konstanter Temperatur geachtet. Die natürlichen und magnetischen Drehungen ergaben sich aus den Einstellungen bei leerem Apparat, mit eingeschobener aktiver Substanz ohne Magnetfeld und im Felde. Je nach der Intensität der Lichtquelle betrug die Größe des Halbschattens 3—30° und die Zahl der Einstellungen 5 bis 40.

Seine Messungsergebnisse hat Verfasser sowohl in Tabellen zusammengestellt als auch durch Kurven graphisch veranschaulicht. Der Kürze halber seien als Beispiele hier nur Valeriansäureäthyl und Quarz angeführt. Unter  $n$  bez.  $m$  sind die natürlichen bez. magnetischen Drehungen für die Wellenlängen  $\lambda$

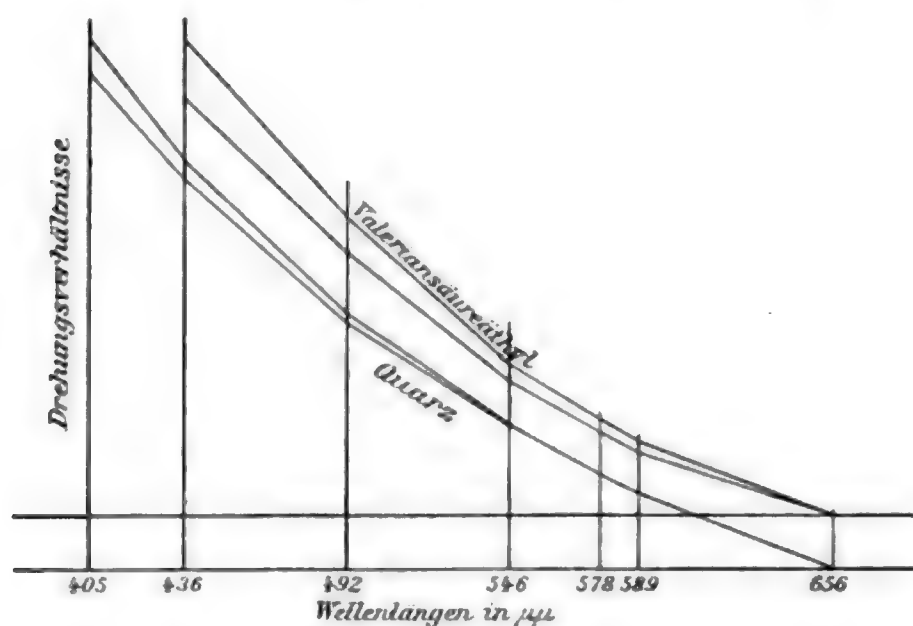
angeführt.  $n/n_{656}$  und  $m/m_{656}$  bezeichnen die Drehungsverhältnisse, wenn die Drehung für  $656 \mu\mu$  gleich 1 gesetzt wird. Bei der graphischen Darstellung sind als Abszissen die Wellenlängen, als Ordinaten die Drehungsverhältnisse aufgetragen; es gibt dann die Divergenz je zweier entsprechender Kurven direkt ein Maß für die Abweichung vom Wiedemannschen Gesetz.

Valeriansäureäthyl.

$\lambda$	$n$	$m$	$n/m$	$n/n_{656}$	$m/m_{656}$
656	13,367	3,825	3,495	1,000	1,000
589	16,814	4,462	3,768	1,258	1,167
546	20,045	5,278	3,798	1,500	1,380
492	25,717	6,677	3,852	1,924	1,746
436	34,393	8,671	3,966	2,573	2,267

Quarz.

	$n$	$m$	$n/m$	$n/n_{656}$	$m/m_{656}$
656	17,313	2,933	5,903	1,000	1,000
589	21,720	3,668	5,921	1,254	1,251
578	22,632	3,817	5,929	1,307	1,301
546	25,582	4,295	5,945	1,475	1,464
492	31,967	5,340	5,986	1,846	1,821
436	41,548	6,792	6,117	2,400	2,316
405	48,930	7,838	6,243	2,826	2,672



Sowohl die Tabellen als auch die graphische Darstellung ergeben, daß das Wiedemannsche Gesetz mit großer Annäherung gilt; der Quotient  $n/m$  ist so gut wie konstant, die Verhältnisse für die natürlichen und magnetischen Drehungen

sind einander nahezu gleich und dementsprechend fallen je zwei Kurven fast zusammen. Ebenso wie Valeriansäureäthyl verhalten sich deutsches und französisches Terpentinöl, Paraffinöl, Zitronenöl. Die Abweichungen, welche zweifelsohne regelmäßiger Natur sind, wie auch die Berücksichtigung der Beobachtungsfehler ergibt<sup>1)</sup>, sind am geringsten für Quarz, ja dieselben verschwinden ganz, wenn man die Kurve der natürlichen Drehungen vergleicht mit der Mittelkurve aus den Messungen über magnetische Drehung von Borel und von mir.<sup>2)</sup> Die Tatsache nun, daß der Quarz bezüglich seiner Aktivität sehr einheitlich ist, d. h. daß rechtsdrehender Quarz keine Spur von linksdrehendem enthält und umgekehrt, führte den Verfasser zu der Ansicht, daß überhaupt alle reinen aktiven Substanzen dasselbe Verhalten wie Quarz aufweisen und daß die jeweils zu beobachtenden Abweichungen von aktiven Beimengungen herrühren. Ob diese letzteren für die drehenden organischen Flüssigkeiten im Racemat oder in aktiven Molekül-aggagaten zu suchen seien, ist schwer zu entscheiden. Verfasser schließt sich der letzteren Ansicht an; danach müßten bei einer Substanz, die nur drehende Moleküle enthält, natürliche und magnetische Rotationsdispersion genau zusammenfallen, durch die aktiven Molekülkomplexe würde die natürliche Drehungsdispersion modifiziert und dadurch die Abweichungen entstehen, welche je nach der Anzahl der Aggregate gering oder bedeutend sein können, wie dies letztere bei Diäthyltartrat und amerikanischem Terpentinöl der Fall ist.

Was die Theorie der Erscheinung anbelangt, so hat Verfasser die drei Gleichungen von Boltzmann<sup>3)</sup>, Carvallo<sup>4)</sup> und Drude<sup>5)</sup>, welche die natürliche Drehung als Funktion der Wellenlänge darstellen, untersucht und gefunden, daß dieselben auch die magnetische Drehung in befriedigender Weise darstellen, d. h. die Unterschiede zwischen den beobachteten und den nach den betreffenden Gleichungen berechneten magnetischen Drehungen liegen innerhalb der Grenzen der Versuchsfehler.

---

1) Vgl. ausführliches hierüber in der Dissertation, Abschnitt X.

2) l. c.

3) 4) 5) Vgl. hierüber in Abschnitt XI der Dissertation.

Verfasser kommt also durch seine Untersuchungen zu folgenden Resultaten:

1. Die von G. Wiedemann gefundene Gesetzmäßigkeit wird nur von solchen Substanzen streng befolgt, welche hinsichtlich ihrer Aktivität einheitlich sind.

2. Je strenger eine Substanz jenem Gesetze gehorcht, desto reiner ist sie bezüglich ihrer optischen Aktivität.

3. Die für die natürliche Rotationsdispersion aufgestellten Gleichungen können auch zur Darstellung der magnetischen Drehungsdispersion dienen.

Freiburg i. B., Physik. Institut, im Juli 1903.

(Eingegangen 21. August 1903.)

---



## 16. *Rotation im Magnetfeld;* *von K. Düsing.*

E. Hoppe<sup>1)</sup> sowie E. Lecher<sup>2)</sup> und Hagenbach<sup>3)</sup> haben Versuche über rotierende Magnetfelder angestellt. Hoppe fand, daß die Kraftlinien eines um seine Achse rotierenden Magneten im Sinne der Rotation um einen kleinen, aber deutlichen Betrag mitgerissen werden.

Ähnliches zeigt sich, wenn man umgekehrt in einem Magnetfeld einen Leiter, also Eisen rotieren läßt. Ich legte zwischen entgegengesetzte Magnetpole einen flachen Eisenring und über das Ganze ein Stück Papier, das mit Eisenfeilspänen bestreut wurde. Es entstand das bekannte Bild von Kraftlinien.

Im Innern des Ringes ist infolge seiner Schirmwirkung meist keinerlei Richtung der Späne zu sehen. Bei geeigneter



Fig. 1.

Stärke des Feldes sieht man jedoch Linien, die von Pol zu Pol gehen. Sie entstehen durch Streulinien, die sich in den von

Kraftlinien leeren Raum des Innern des Ringes hineinbiegen und einen Verlauf haben dürften, wie ihn Fig. 1 andeutet.

Wenn man den Ring in Rotation versetzt, so weichen diese Linien von der Richtung der Verbindungslinie der Pole ab und zwar nach einer dem Sinn der Drehung entgegengesetzten Richtung. Die Abbildung (Fig. 2) wurde in der Weise gewonnen, daß statt des Papiers eine photographische Platte mit der Schicht nach oben über den Ring gelegt wurde. Letzteren versetzte man in Rotation und streute vorher oder während derselben Eisenfeilspäne auf. Während oder nach der Rotation wurde oberhalb der Platte ein Streichholz entzündet und die Entwicklung lieferte ein Bild der Kraftlinien. Ihre dichten Bündel zeigen die Lage der Magnetpole und die leeren

1) E. Hoppe, Mitt. d. Math. Ges. in Hamburg 4; Ann. d. Phys. 8. p. 663. 1902.

2) E. Lecher, Wied. Ann. 54. 1895.

3) A. Hagenbach, Ann. d. Phys. 4. p. 233. 1901.

Stellen die Teile des Ringes an, durch welche die Kraftlinien aus- oder eintraten. Die Abweichung der Streulinien gegen

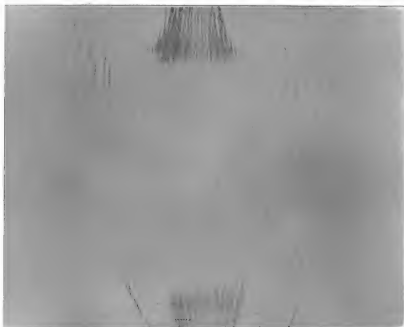


Fig. 2.

den Sinn der Drehung ist nicht groß, aber deutlich.

Um die Abweichung zu erklären, ist sie in Fig. 3 übertrieben dargestellt. Die Streulinien müssen dieselbe Hauptrichtung wie die in den Ring eintretenden Linien haben. Die Pole des Ringes sind in der Drehrichtung verschoben, die äußeren Kraftlinien werden mitgerissen und die Streulinien folgen ihnen. Hieraus geht hervor, daß auch in einem *feststehenden Magnetfelde* die Kraftlinien durch die *Rotation ihres Leiters* von ihrer Richtung und zwar im Sinne der Rotation abgelenkt werden.

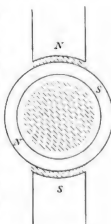


Fig. 3.

(Eingegangen 16. August 1903.)

### 17. *Über die Trübung kritischer Lösungen;* *von D. Konowalow.*

Meine diesem Gegenstande gewidmete Arbeit <sup>1)</sup> veranlaßte die Bemerkungen von Hrn. Bredig <sup>2)</sup>, begründet teils auf den Angaben seiner älteren Monographie. <sup>3)</sup> Diese Monographie, in welcher von der Trübung kolloidaler Lösungen die Rede ist, wurde von mir nicht nur zitiert, sondern auch mit den Worten charakterisiert: „Bredig gibt eine fast vollständige Zusammenstellung der Tatsachen, welche die Vermutung bestätigen, daß die in Frage stehenden Lösungen nichts anderes als außerordentlich feine suspendierte mechanische Teilchen der kolloidalen Substanz enthalten.“ Hr. Bredig findet das nicht genügend. Als Beweis des Zusammenfallens unserer Resultate führt er einen Passus aus seiner Monographie an, wo er das Kennzeichen der kolloidalen Lösungen angibt, nämlich: „die Tatsache, daß die Arbeit, welche nötig ist, um ihre Komponenten, also ‚Lösungsmittel‘ und ‚Gelöstes‘ voneinander zu trennen, einen im Vergleich zu Kristalloidlösungen auffallend kleinen Betrag hat.“ Diese Tatsache ist längst und allgemein bekannt. Was ich behaupte und was meine Arbeit enthält ist aber neu, nämlich: daß in der Nähe vom kritischen Punkte die analogen Beziehungen auch für homogene Lösungen von Flüssigkeiten eigentümlich sind. Dieser Satz findet sich nicht in der Monographie des Hrn. Bredig und spricht gegen seine Ansicht, daß die entsprechende Eigenschaft der kolloidalen Lösungen als Beweis ihrer Inhomogenität dienen kann. Ich ergreife die

1) D. Konowalow, Ann. d. Phys. 10. p. 360. 1903.

2) G. Bredig, Ann. d. Phys. 11. p. 218. 1903.

3) G. Bredig, Anorganische Fermente. Leipzig, Engelmann 1901.

Gelegenheit, diesen Satz durch neue Tatsachen und Überlegungen zu beweisen. Ich will ein neues Beispiel der eigentümlichen Verhältnisse der Dampfspannungsgrößen in der Nähe des kritischen Punktes, nämlich für Lösungen von Dichloressigsäure und Isopentan, anführen. Es bedeuten:  $M$  den Gehalt der Lösung an Dichloressigsäure in Molenprozenten,  $S$  Teil-  
druck des Pentans in Millimeter-Quecksilber, nach der von mir (l. c.) beschriebenen Methode gemessen.

$t = 0^{\circ}$			$t = 18,1^{\circ}$		
Nr.	$M$	$S$	Nr.	$M$	$S$
1	0	264,9	1	0	532,3
2	25,05	247,5	2	32,8	505,3
3	48,82	246,0	3	49,04	496,3
4	65,34	243,6	4	65,6	484,3
5	78,71	233,6	5	78,7	454,0

Wie man sieht, ändert sich die Dampfspannung des Isopentans in Lösungen mittlerer Konzentration wenig mit der Zusammensetzung der Lösung bei  $18,1^{\circ}$  und fast gar nicht bei  $0^{\circ}$ . Wenn bei  $0^{\circ}$  die Menge der zu 100 Molekülen Pentan zugesetzten Menge Dichloressigsäure von 25—200 Molekülen, d. h. acht Mal, wächst, fällt der Dampfdruck nur von 247,5—243,6, d. h. um 1,5 Proz. seines Wertes. Diese Lösungen, mit bloßem Auge betrachtet, erscheinen vollkommen klar und durchsichtig auch bei  $0^{\circ}$ , zeigen aber nach Tyndalls Methode sehr schönes bläuliches Lichtbündel, welches bei  $0^{\circ}$  sehr deutlich hervortritt. Die Eigentümlichkeit der Dampfspannungsgrößen der Lösungen mittlerer Konzentration zeigt, daß diese Lösungen nahe dem kritischen Punkte sind. In der Tat bilden sie beim Abkühlen unter  $0^{\circ}$  zwei Schichten. Die kritische Temperatur liegt bei  $-7,5^{\circ}$ , die kritische Lösung enthält etwas mehr als 50 Molenproz. Pentan und zeigt in der Nähe der kritischen Temperatur mit bloßem Auge sichtbare Opaleszenz.

Die Notwendigkeit des von mir aufgestellten Satzes, daß im kritischen Gebiete die Dampfspannung der Lösungen verschiedener Zusammensetzung fast gar keine Unterschiede zeigt, erhellt auch aus folgenden Überlegungen. Wie ich gezeigt habe, müssen die Lösungen, welche zwei Schichten im Gleich-

gewichte bilden, die gleiche Dampfspannung haben.<sup>1)</sup> Zwei solche Schichten zeigen auch sehr nahe der kritischen Temperatur eine bedeutende Differenz der Zusammensetzung, da gerade in der Nähe der kritischen Temperatur der Unterschied in der Zusammensetzung der zwei Schichten sehr rasch mit der Entfernung von der kritischen Temperatur wächst. Überschreitet man die kritische Temperatur um einen kleinen Betrag, so ergeben diese zwei Schichten verschiedener Zusammensetzung vollkommen mischbare Lösungen, deren Dampfdruck sehr wenig differieren muß. Die früher von mir untersuchten Flüssigkeiten, Anilin und Amylen, geben z. B. bei  $12,5^{\circ}$  zwei Schichten mit dem Gehalt von 28 und 60 Molenproz. Anilin. Man braucht diese zwei Lösungen nur um  $2^{\circ}$  höher zu erwärmen, um die kritische Temperatur ( $14,5^{\circ}$ ) zu erreichen. Die Dampfspannung von Amylen in diesen Lösungen wächst dabei um etwa 8 Proz. ihres Wertes, und wenn auch diese Größe für beide Lösungen verschieden ist, kann dieser Unterschied nur eine unbedeutende Differenz der Dampfspannung hervorrufen.

Der oben angeführte Satz bildet den Ausgangspunkt meiner Erklärung der Opaleszenz der Lösungen, indem ich die Wirkung des in reinen Flüssigkeiten enthaltenden feinen Staubes zu Hilfe nehme. Hr. Bredig will die Rolle dieses Staubes nicht anerkennen, da diese Ursache ihm zufällig erscheint und nicht mit der von Friedländer konstatierten Stabilität der kritischen Trübung im elektrischen Potentialgefälle und ihrer quantitativen Reproduzierbarkeit stimmt. Die Stabilität der kritischen Trübung im elektrischen Potentialgefälle könnte noch gegen die Annahme der zweiphasigen Gebilde, nicht aber gegen meine Ansicht sprechen. Die Staubpartikeln mit spezifischen Hüllen, welche sich um dieselben in der Lösung bilden, brauchen nicht immer eine scharf begrenzte Phase darzustellen und durch das elektrische Potentialgefälle fortgeführt zu werden. Das elektrische Potentialgefälle hat ja sich auch bis jetzt bei Bereitung von staubfreien optisch leeren Flüssigkeiten wirkungslos gezeigt. Anders verhalten sich die Staubpartikeln, wenn sie sich mit einem festen Niederschlag umhüllen. Wir müssen jetzt die Wirkung des feinen, überall

---

1) D. Konowalow, Wied. Ann. 14. p. 219. 1881.



verbreiteten Staubes schon bei sehr vielen Naturerscheinungen berücksichtigen. Wie wenig dieses Agens auch im gegebenen Falle als zufällig betrachtet werden kann, zeigen namentlich die großen Schwierigkeiten, von Staub freie, optisch leere Flüssigkeiten darzustellen. Die Menge dieses feinen Staubes und seine Wirkung auf gelöste Körper müssen sich wohl ändern. Die Opaleszenz in verschiedenen Lösungen ist auch sehr verschieden. Warum aber in einem gegebenen Falle die Opaleszenz nicht reproduzierbar sein soll, ist nicht klar. Auch jetzt habe ich nicht die Absicht, das Entstehen feiner Trübungen und Niederschläge im ganzen Umfange zu analysieren. Wie mannigfaltig diese Erscheinungen sind, ist speziell aus einer langen Reihe der Arbeiten von Quincke ersichtlich. Ich will auch nicht die Existenz echter Suspensionen und Emulsionen in Abrede stellen. Ich wollte nur zeigen, daß weder die fast mit der Konzentration unveränderliche Dampfspannung, noch das in einer Lösung sichtbare Lichtbündel als Grundlage dienen kann, kolloidale Lösungen im allgemeinen als mechanische Gemenge zu betrachten. Meine Schlußfolgerungen können in dem umgekehrten Satze zusammengefaßt werden: *kolloidale Lösungen sind echte Lösungen, welche eine fast von der Konzentration unabhängige Dampfspannung haben, infolgedessen sehr leicht mechanische Gemenge bilden können und oft stark opalisieren.*

Zum Schluß kann ich nicht umhin die Ansprüche, welche Hr. Bredig in Friedländers Namen macht, zu beantworten. Die Arbeit von Friedländer habe ich zweimal zitiert. Nun macht mir Hr. Bredig den Vorwurf, vergessen zu haben anzugeben, daß die Polarisation des von kritischer Trübung reflektierten Lichtes von Hrn. Friedländer auf seine Veranlassung vor mir konstatiert wurde. Der Inhalt meiner Beobachtungen mit dem Lichtbündel ist aber nicht der Nachweis der Polarisation, und diese Eigenschaft des reflektierten Lichtes habe ich überhaupt nicht als etwas Neues betrachtet. Ich habe die Tyndallsche Methode benützt, um die kontinuierlichen Änderungen der Stärke und Färbung des reflektierten Lichtes zu konstatieren. Der Schluß, welchen ich aus diesen Beobachtungen gezogen habe, enthält nur diese für die Theorie der Erscheinung wichtige Korrektur der früheren Angabe betreffend die kritische Opaleszenz. Während in früheren



Arbeiten nur von der mit bloßem Auge sichtbaren Opaleszenz des kritischen Gebietes und darum von ihrem Eintreten und Verschwinden die Rede ist, habe ich gezeigt, daß in der Wirklichkeit die Erscheinung schon bei ungemischten Flüssigkeiten ihren Anfang hat und im kritischen Gebiete sich nur in der Weise entwickelt, daß sie sich mit bloßem Auge beobachten läßt. Diesen Schluß sowie die Beschreibung der Versuche mit Lichtbündel enthält die Abhandlung von Friedländer nicht.

St. Petersburg, Universität, 20. Mai/2. Juni 1903.

(Eingegangen 6. Juni 1903.)

## 18. *Über kolloidale Lösungen;* *von G. Quincke.*

Auf die Mitteilung des Hrn. Bredig über die Heterogenität der kolloidalen Sole<sup>1)</sup> erlaube ich mir folgendes zu erwidern.

a) Hr. Bredig glaubt den Nachweis, daß kolloidale Lösungen zweiphasige Gebilde sind, durch die optische Inhomogenität der kolloidalen Gele und Sole geführt zu haben, da das von denselben diffus zerstreute Licht polarisiert war.

Aber Polarisation und Eigenschaften des diffus reflektierten Lichtes wechseln bei demselben Kolloid mit Herstellung und Alter der Lösung.

Polarisation und Intensität des von kleinen in einem Gas oder einer Flüssigkeit schwebenden Teilchen diffus reflektierten Lichtes hängen von Größe, Form und Substanz dieser Teilchen ab. Die Gesetze dieser Abhängigkeit sind unbekannt, sobald die Teilchen kleiner als eine Lichtwelle sind. Mit diffus reflektiertem Licht lassen sich also auch nicht Aggregatzustand oder Größe der schwebenden Teilchen bestimmen. Außerdem bleibt es unentschieden, wie weit das diffus reflektierte Licht von Verunreinigungen oder Staubteilchen herrührt: die zufällig in der kolloidalen Lösung enthalten sind.

b) Daß die von Hrn. Bredig durch elektrische Kathodenzerstäubung von Metalldrähten unter Wasser hergestellten höchst interessanten kolloidalen Metallösungen mechanische Suspensionen sind, habe ich nie bestritten. Aber ob diese kolloidalen Metallösungen wirklich den wässrigen Lösungen der gewöhnlichen anorganischen und organischen Kolloide entsprechen, scheint mir zweifelhaft, ebenso wie die chemische Zusammensetzung der schwebenden Teilchen, da das bei ihrer Bildung benutzte Wasser alkalihaltig sein muß.

Oberflächenspannung und elektrische Potentialdifferenz an der Grenze zweier Flüssigkeiten wechseln mit der Natur der Flüssigkeiten, die sich berühren. Einschieben einer Zwischen-

---

1) G. Bredig, Ann. d. Phys. 11. p. 218. 1903.

schicht an der Grenze beider Flüssigkeiten ändert die ursprüngliche Oberflächenspannung und Potentialdifferenz. Aber ich bestreite, wie früher<sup>1)</sup> die Abhängigkeit der Oberflächenspannung und Potentialdifferenz voneinander, welche Lippmann und v. Helmholtz angenommen haben. Dieselbe ist nicht bewiesen und nicht vorhanden. Die elektrische Potentialdifferenz bestimmt nicht die Oberflächenspannung an der Oberfläche der schwebenden Teilchen. Durch elektrische Fortführung können Teilchen mit fester oder flüssiger Oberfläche bewegt werden. Aber nur die letzteren bilden Flocken oder koagulieren. Ein Zusammenhang der Koagulation mit den kapillar-elektrischen Eigenschaften einer kolloidalen Lösung, den Hr. Bredig annimmt, ist nicht nachgewiesen und besteht meiner Meinung nach nicht.

Die von Hrn. Bredig erwähnten Änderungen der elektrischen Fortführung durch Zusatz von Alkalien zu einer Kolloidlösung erklären sich durch auswählende Absorption des Zusatzes an der Oberfläche der schwebenden Teilchen nach dem von mir früher aufgestellten Verdrängungsgesetz.<sup>2)</sup> Für die Oberflächenspannung an der Oberfläche der schwebenden Teilchen beweisen sie nichts.

Übrigens kann der für elektrische Fortführung benutzte Strom die feste oder flüssige Oberfläche der schwebenden Teilchen (wie bei der sogenannten inneren Polarisierung) ändern und dadurch auch die elektrische Fortführung oder elektrische Potentialdifferenz ändern oder umkehren. Aus diesem Grunde habe ich zunächst auf dieses Mittel der Flockenbildung oder Koagulation bei der Untersuchung kolloidaler Lösungen verzichtet.

c) Hr. Bredig schließt seine Entgegnung mit der mich überraschenden Bemerkung, daß er in „meinen ausgedehnten Arbeiten bisher keine Entscheidung der Frage gefunden habe, ob die mikroskopisch *unsichtbaren* suspendierten Teilchen eines Soles flüssig oder fest sind“.

Ich habe nachgewiesen, daß die Eigenschaften trüber Lösungen (Suspensionen) und kolloidaler Lösungen kontinuierlich

1) G. Quincke, Pogg. Ann. 153. p. 203. 1874.

2) G. Quincke, Wied. Ann. 2. p. 174. 1877.

ineinander übergehen können. Beide unterscheiden sich dann durch die Größe der schwebenden Teilchen.

Ich habe ferner gefunden:

1. Alle kolloidalen Lösungen bilden Flocken mit Kugeln, Blasen oder aneinander hängenden Schaumkammern, indem die kleinen suspendierten Teilchen zusammenfließen.

2. Die Flocken haften (adhärieren) aneinander und an den Gefäßwänden.

3. Die Bildung von Flocken, Blasen und Schaumkammern nimmt zu mit abnehmendem Wassergehalt der kolloidalen Lösungen.

4. Drei Schaumwände stoßen häufig unter gleichen Winkeln von  $120^\circ$  aneinander, auch wenn sie selbst unsichtbar und nur durch die in ihnen oder an ihnen hängenden sichtbaren Teilchen indirekt nachgewiesen sind.

5. Die flüssigen aneinander hängenden Schaumwände kolloidaler Lösungen lassen sich zu langen Fäden ausziehen, ohne zu reißen.

6. Die Schaumkammern nehmen durch Diffusion Wasser auf, und vergrößern ihr Volumen, ohne daß die Wände der Schaumkammern brechen. Die Wände können dabei wieder unsichtbar und nur durch die in ihnen hängenden sichtbaren Teilchen indirekt nachgewiesen sein.

7. Kolloidale Lösungen bilden bei Wasserabgabe Brocken von flüssiger Gallerte, die zusammenfließen und sich zu größeren Gallertebrocken vereinigen können.

Die sichtbaren und unsichtbaren Wände der Flocken, Blasen und Schaumkammern sind also flüssig, aus zusammengeflossenen, unsichtbaren flüssigen suspendierten Teilchen entstanden, wenn man nicht die unwahrscheinliche und unnötige Annahme machen will, daß die unsichtbaren schwebenden Teilchen fest waren und erst im Augenblicke ihrer Berührung mit anderen Teilchen oder der Gefäßwand flüssig geworden sind.

Ferner habe ich gezeigt:

8. Die schwebenden Teilchen vereinigen sich zu unsichtbaren Lamellen, an deren Stelle bei weiterem Eintrocknen der Kolloidmasse Risse oder Sprünge auftreten, welche dadurch nachträglich die vorher bestandenen unsichtbaren Schaumwände sichtbar machen. Drei unsichtbare Lamellen oder Risse stoßen

zuweilen im Innern der eingetrockneten Masse unter Winkeln von  $120^{\circ}$  zusammen. Gleichzeitig trifft eine unsichtbare Lamelle oder ein Riß den Rand der erstarrten Kolloidmasse normal.

9. Die unsichtbaren (durch Zusammenfließen der kleinen unsichtbaren schwebenden Teilchen entstandenen) Lamellen oder Sprünge bilden Spiralen, deren Form von der größeren Oberflächenspannung auf der konkaven und kleineren Oberflächenspannung auf der konvexen Seite der Lamelle abhängt.

Alle unter 1. bis 8. beschriebenen an kolloidalen Lösungen beobachteten Erscheinungen erklären sich ungezwungen durch die Annahme, daß die *unsichtbaren* schwebenden Teilchen ganz oder an der Oberfläche flüssig sind.

Hält Hr. Bredig diese Annahmen für unrichtig, so müßte er die unter 1. bis 8. aufgeführten Erscheinungen unter der entgegengesetzten Annahme erklären, daß die unsichtbaren schwebenden Teilchen fest sind.

Bis dies geschehen ist, halte ich durch meine Versuche den flüssigen Zustand der in einer kolloidalen Lösung schwebenden sichtbaren und unsichtbaren Teilchen für erwiesen.

Heidelberg, den 25. September 1903.

(Eingegangen 2. Oktober 1903.)

---

**19. Zur sprechenden Flamme; Antwort an  
Hrn. Ruhmer;  
von V. Gabritschewski und A. Batschinski.**

Vor kurzem hat Hr. Ruhmer in diesen Annalen<sup>1)</sup> eine Bemerkung wegen unserer Notiz „Die sprechende Flamme“ veröffentlicht. Hr. Ruhmer schreibt: „Im Anschluß an die Notiz der Herren V. Gabritschewski und A. Batschinski erlaube ich mir die Bemerkung, daß es mir im Gegensatz zu analogen früheren Versuchen des Hrn. Simon bereits im Anfang des Jahres 1901 gelungen ist, die Flamme des Bunsenbrenners, überhaupt jede Flamme, nach Art der sprechenden Bogenflamme zum Sprechen zu bringen. Meine Versuchsanordnung . . . ist im wesentlichen mit der in Band 11, p. 223, 1903 dieser Annalen angegebenen Anordnung der Herren Gabritschewski und Batschinski identisch.“ In Erwiderung auf Hrn. Ruhmers Worte (die uns leider erst vor einigen Tagen bekannt geworden sind) gestatten wir uns folgendes zu sagen.

Die *wesentliche Identität* zwischen unserer Versuchsanordnung und der des Hrn. Ruhmer ist erstens eine zufällige und zweitens eine scheinbare.

Zufällig ist sie, weil wir von einem völlig verschiedenen Prinzip zu unserem Schema gelangt sind (der Unterschied zwischen beiden Prinzipien wird unten gezeigt); scheinbar ist sie, weil die wesentliche Bedingung in der Anordnung des Hrn. Ruhmer der geschlossene sekundäre Stromkreis und in unserem Schema ein offener ist.

1) E. Ruhmer, Ann. d. Phys. 11. p. 872. 1903.



Hr. Ruhmer benutzt einen geschlossenen<sup>1)</sup> sekundären Stromkreis, weil er seine Erscheinung als einen speziellen Fall des Simonschen Phänomens betrachtet, wo die Lautwirkung des Lichtbogens bez. der Bunsenflamme durch die thermischen Wirkungen des pulsierenden *Stromes* bedingt sind. Dagegen hängt in unserem Falle die Lautwirkung (die noch größer ist, als die des Simonschen Lichtbogens, im Gegensatz zu dem von Hrn. Ruhmer Gesagten: „daß . . . auch andere Flammen als der elektrische Flammenbogen auf periodische Stromschwankungen, wenn auch mit sehr viel schwächeren Schallwirkungen, ansprechen“)<sup>2)</sup> von Änderungen *des Potentials* an der Flammelektrode ab, wobei selbstverständlich die Leitung offen sein muß, wie groß auch der Widerstand der singenden Flamme sein mag. — Hr. Ruhmer gibt in seiner oben zitierten Mitteilung Berechnungen an, nach denen das Verhältnis der beiden Windungszahlen bei den gegebenen Widerständen der beiden Stromkreise für die beste Lautwirkung festgestellt werden kann. Er schreibt weiter: „Nach dem Mitgeteilten ist ohne weiteres ersichtlich, daß bei dem Experiment mit dem Bunsenbrenner, wo bedeutendere Widerstände in Frage kommen, die sekundäre Wickelung des Transformators eine entsprechend hohe Windungszahl besitzen muß. Da also bei gegebener Netzspannung und bestimmter Betriebsstromstärke ein bestimmtes Übersetzungsverhältnis die besten Wirkungen erzielen läßt, so ist es vorteilhaft, einen Transformator mit variabler Übersetzung zu verwenden.“<sup>3)</sup> Es ist leicht zu ersehen, daß die oben angeführten Worte selbst noch einmal den Unterschied zwischen beiden Prinzipien bestätigen, denn unsere Anordnung hat nichts mit diesen Berechnungen zu tun.

Wir können noch auf eine andere höchst anschauliche Weise den Unterschied zwischen beiden Versuchen feststellen.

In unserem Versuche können, wie wir bemerkt haben<sup>4)</sup>

1) „Die Mikrophonstromimpulse werden . . . der leuchtenden Bunsenflamme einerseits durch den Fuß des Bunsenbrenners, andererseits durch ein in die Flamme hineinragendes Platinblech zugeführt.“ E. Ruhmer, Physik. Zeitschr. 2. p. 325. 1901.

2) l. c.

3) l. c. p. 326.

4) V. Gabritschewski u. A. Batschinski, Sitzungsber. d. Kais. Gesellsch. d. Naturforscher zu Moskau [russ.] 11. 1902.

ein dünnes Metallblatt, ein Draht, überhaupt jeder metallische Gegenstand, der an die Elektrode der Spule gebunden ist, sogar die Spule selbst, die Rolle der Flamme mit Erfolg übernehmen. Daraus ist jedoch nicht zu schließen, daß die physikalische Grundlage unserer sprechenden Flamme mit den soeben besprochenen Erscheinungen identisch ist.

Unserer Meinung nach folgt aus dem oben Gesagten, daß der prinzipielle Unterschied zwischen Hrn. Ruhmers „sprechendem Lichte“ und unserer „sprechenden Flamme“ von derselben Ordnung ist, wie z. B. zwischen dem Bellschen Telephon und Simons singender Bogenlampe.

Moskau, Universität.

(Eingegangen 27. September 1903.)

## 20. *Über eine einfache Form des Wehneltunterbrechers; von W. van Dam.*

Die Beschreibung<sup>1)</sup> einer einfachen Form des Wehneltunterbrechers gibt mir Veranlassung zur Mitteilung, daß von mir seit zwei Jahren ein Apparat von noch einfacherer Konstruktion gebraucht wird. Die Schwierigkeit, den Platinstift so anzubringen, daß keine Flüssigkeit an ihm vorbeidringen kann, wurde überwunden durch den Gebrauch von Kautschuk statt des härteren Materiales, welches für diesen Zweck meistens Verwendung findet. Es hat sich gezeigt, daß guter Paragummi nur äußerst langsam verzehrt wird<sup>2)</sup>; beim Apparat, den ich vor zwei Jahren konstruierte und wiederholt benutzte zu Demonstrationen, Radiographie etc., wurde nur ein einziges Mal der Gummi erneuert, eine übrigens äußerst einfache Operation, welche in ein paar Minuten ausgeführt werden kann.

Beim Gebrauch eines so elastischen Materiales ist es ganz überflüssig, die Messingstange *S* (vgl. Fig. 2 p. 418) in das Messingrohr *M* einzuführen, welches dann in der von Zehnder angegebenen Weise durch übergezogenen Gummischlauch und Glasrohr isoliert werden muß. Die Stange *S* mit eingelötetem Platindraht (Hartlot ist nicht notwendig, weil die Lötstelle nicht mit Säure in Berührung kommt) kann direkt in ein Glasrohr eingeführt werden; die Erschütterungen des Apparates werden vom Kautschuk in der Weise gedämpft, daß dadurch erfahrungsgemäß keine Gefahr für Zerbrechen besteht. Will man ganz sicher gehen, so kann das Glasrohr mit Gummischlauch überzogen oder mittels ein paar perforierter Kautschukstopfen in einem weiteren Glasrohr befestigt werden.

Ich benutze ein Rohr von  $\pm 8$  mm innerer Weite, an dessen einem Ende ein etwa 3 cm langes Röhrchen von 4,5 mm

1) L. Zehnder, Ann. d. Phys. 12. p. 417. 1903.

2) Dies gilt allerdings für eine Stromdichte von etwa 0,6 Amp. pro Quadratmillimeter, wie ich sie mit den hiesigen Apparaten höchstens erreichen konnte.

innerer Weite angeschmolzen ist. Die Messingstange mit Platindraht (1 mm dick) wird in das Rohr hineingeführt und über die aus dem verjüngten Teile des Rohres hinausragende Platinspitze ein Stückchen ausgezeichneter Paragummischlauch (1 cm lang, 6 mm dick und noch nicht 1 mm weit) geschoben und nach vorheriger Befeuchtung mit Wasser in das enge Röhrchen hineingepreßt. Auf das andere Ende des Glasrohres ist eine kupferne Reguliervorrichtung aufgekittet, wie sie von Zehnder angegeben wird, oder besser (und nur wenig teurer) mit Schraubenwindung und Mutter.

Wageningen, Holland, 2. Oktober 1903.

(Eingegangen 4. Oktober 1903.)

**21. Bemerkung zu meiner Mitteilung über eine  
einfache Form des Wehneltunterbrechers;  
von L. Zehnder.**

---

Vor kurzem habe ich in diesen Annalen<sup>1)</sup> einen Wehneltunterbrecher beschrieben, in einer „von jedem Mechaniker leicht herstellbaren Form“. Solche Unterbrecher hat unser Institutsmechaniker für unseren eigenen Bedarf angefertigt. Hr. Ferdinand Ernecke in Berlin teilt mir nun brieflich mit, daß jede Form des elektrolytischen Wehneltunterbrechers, bei dem eine kleine Anode einer größeren Kathode gegenübersteht, in Deutschland, Österreich, Ungarn und Amerika patentiert und daß er der rechtmäßige Besitzer der betreffenden Patente sei. Daher möchten sich nicht etwa kleinere Mechaniker verleiten lassen, die von mir angegebene Form des Wehneltunterbrechers herzustellen und in den Handel zu bringen. Ferner bittet Hr. Ernecke, ich möchte zugleich hier mitteilen, daß die von mir vereinfachte Konstruktion des Wehneltunterbrechers von ihm geliefert werde.

München, Physik. Inst. d. Univ., September 1903.

---

1) L. Zehnder, Ann. d. Phys. 12. p. 417. 1903.

(Eingegangen 17. September 1903.)

**22. Über den Energieumsatz in der Mechanik;  
Berichtigung;  
von Hans Januschke.**

Die Bemerkungen des Hrn. Zemplén Győző<sup>1)</sup> über meine elementar-mathematische Formulierung des Ostwaldschen Maximumprinzipes<sup>2)</sup> entsprechen nicht meiner Auffassung und auch nicht meiner Darstellung. In meinem Ausdrucke für den Energieumsatz bei einer Zentralbewegung

$$P \cdot dr/ds \cdot ds + \frac{1}{2} m v^2 \cos^2 \beta - \frac{1}{2} m v^2 = \text{Maxm.},$$

wobei  $P$  die Zentralkraft in der Richtung  $r$ ,  $ds$  ein Bahnelement,  $v$  die Geschwindigkeit und  $\beta$  den Winkel zweier aufeinander folgenden Wegelemente bedeuten, betrachtet Hr. Zemplén die Differenz  $(\frac{1}{2} m v^2 \cos^2 \beta - \frac{1}{2} m v^2)$  als Energieunterschied im Sinne des Wertes  $\frac{1}{2} m (\bar{v}^2 - v^2)$  und knüpft daran Folgerungen, die sich natürlich als unmöglich herausstellen müssen. Ich habe für die angegebene Differenz der lebendigen Kräfte neben einer ausdrücklichen Worterklärung auch die Form  $\frac{1}{2} m v^2 \cdot \sin^2 \beta$  hinzugefügt und bemerkt, daß dieser Wert für die lebendige Kraft ist, welcher der Arbeit der Fliehkraft längs eines Wegelementes entspricht. Der aufgestellte Ausdruck für die Maximalarbeit besagt alsdann, daß die Arbeiten der Zentralkraft und der Fliehkraft sich zu einem Maximum, nämlich zur Arbeit einer Resultierenden, zusammensetzen und entspricht so den Tatsachen vollkommen.

Ich habe ferner das Ostwaldsche Prinzip noch in der Form ausgedrückt:

$$d(\frac{1}{2} m v^2) = m \cdot v \cdot \left(\frac{dv}{ds}\right) \cdot ds + m \cdot v \cdot \left(\frac{dv}{dn}\right) \cdot dn = \text{Maxm.}$$

Hierin ist  $m \cdot v \cdot (dv/ds)$  die Kraft in der Wegrichtung  $s$ , also  $= P \cdot \cos \alpha$ , und  $m \cdot v (dv/dn) = F$  die Fliehkraft längs der

1) Vgl. Zemplén Győző, Ann. d. Phys. 12. p. 371. 1903.

2) H. Januschke, Ann. d. Phys. 11. p. 446. 1903.



Bahnnormalen  $n$ . Setzt man für  $dn = ds \cdot \sin \beta$ , so erhält man den Ausdruck

$$P \cdot \cos \alpha \cdot ds + F \cdot \sin \beta \cdot ds = \text{Maxm.},$$

welcher mit dem ersten Ansatz für das Maximum übereinstimmt. Eine Differenzierung nach den Winkeln gibt für den Grenzwert  $\beta = 0$  die richtige Beziehung

$$P \cdot \sin \alpha = F.$$

In der vorstehenden Formulierung wird das Differential der lebendigen Kraft als Energieumsatz aufgefaßt, der ein Maximum sein soll. Hr. Zemplén setzt das erste Differential Null, indem er schreibt:

$$m(n \cdot \delta n + v \cdot \delta v + w \cdot \delta w) = 0.$$

Diese Bedingung gibt keine Übereinstimmung mit Ostwalds Prinzip; sie kann aber trotz ihrer Einkleidung in die Variationsrechnung nicht als Beweis gegen das Prinzip gelten; denn dieses muß vom physikalischen Standpunkte aus formuliert werden.

Wien, im Oktober 1903.

(Eingegangen 9. Oktober 1903.)

(Die Redaktion schließt hiermit die Diskussion über diesen Gegenstand.)

## Namenregister zum Jahrgang 1903.

### A.

- Abraham, M.**, Prinzipien der Dynamik des Elektrons 10, 105.
- Aeckerlein, G.**, Über die Zerstäubung galvanisch glühender Metalle 12, 535.
- Altberg, W.**, Über die Druckkräfte der Schallwellen und die absolute Messung der Schallintensität 11, 405.
- Angenheister, G.**, Beiträge zur Kenntnis von der Elastizität der Metalle 11, 188.

### B.

- Bakker, G.**, Gravitation und Kapillarität 11, 207.
- Barlow, G.**, Über die galvanomagnetischen und thermomagnetischen Effekte in Antimon und Wismut 12, 897.
- Barus, C.**, Bemerkungen über die Schmidtsche Theorie der Phosforemanation 11, 1142.
- Bates, F. J.**, Über Versuchsfehler beim Messen der Rotationspolarisation absorbierender Substanzen 12, 1080. — Die magnetische Rotationsdispersion von Lösungen von Substanzen mit anomaler Dispersion 12, 1091.
- Batschinski, A.**, vgl. Gabrielschewski.
- Becker, A.**, Über die Leitfähigkeit fester Isolatoren unter dem Einfluß von Radiumstrahlen 12, 124.
- Behn, U.**, Berichtigung zu meiner Arbeit „Über die Sublimationswärme der Kohlensäure und die Verdampfungswärme der Luft“ 12, 669.
- Behn, U. u. Kiebitz, F.**, Eine indirekte Methode zur Bestimmung der Temperatur von Bädern flüssiger Luft 12, 421.
- Berndt, G.**, Photometrische Messungen an Gasspektren 12, 1101. — Das ultraviolette Funkenspektrum des Selen 12, 1115.
- Billitzer, J.**, Elektrische Doppelschicht und absolutes Potential. Kontaktelektrische Studien I 11, 902. — Über die Elektrizitätserregung durch die Bewegung fester Körper in Flüssigkeiten. Kontaktelektrische Studien II 11, 937.
- Bleekrode, L.**, Über einige Versuche mit flüssiger Luft 12, 218. — Berichtigung 12, 896.
- du Bois, H.**, Zur Frage der störungsfreien Magnetometer 11, 609.
- Brandt, A.**, Über die Beziehung zwischen der Formel von J. Stefan für den Kohäsionsdruck einer Flüssigkeit und der Zustandsgleichung von van der Waals 10, 783.
- Braun, F.**, Einige Versuche über Magnetisierung durch schnelle Schwingungen 10, 326. — Erklärung auf Hrn. Slabys Antwort 10, 665.

Bredig, G., Über die Heterogenität der kolloidalen Sole. (Antwort an die Herren G. Quincke und D. Konowalow) 11, 218.

Bucherer, A. H., Über den Einfluß der Erdbewegung auf die Intensität des Lichtes 11, 270.

## C.

Cantor, M., Über die Grundlage der Lösungstheorie 10, 205. — Über den Einfluß elektrischer Felder auf die Funkenentladung und die Zerstreuung von Elektrizität 10, 214.

Christiansen, C., Kapillarelektische Bewegungen 12, 1072.

## D.

van Dam, W., Über eine einfache Form des Wehneltunterbrechers 12, 1172.

Defregger, R., Kathodengefälle in Helium 12, 662.

Dieterici, C., Zur Theorie der Zustandsgleichung 12, 144. — Die spezifischen Wärmen der Kohlensäure und des Isopentans 12, 154.

Disch, J., Über Beziehungen zwischen natürlicher und elektromagnetischer Rotationsdispersion 12, 1153.

Dolezalek, F., Über Präzisionsnormale der Selbstinduktion 12, 1142.

Donle, W., Eine selbsttätige Sprengelsche Quecksilberluftpumpe, zugleich Erwiderung an Hrn. Kahlbaum 10, 313.

Dorn, E., Bemerkung über die elektromagnetischen Rotationsapparate 11, 589.

Drude, P., Elektrische Eigenschaften und Eigenschwingungen von Drahtspulen mit angehängten geraden Drähten oder Metallplatten 11, 957.

Düsing, K., Rotation im Magnetfeld 12, 1158.

## E.

Ebert, H. u. Ewers, P., Das Entwicklungsgesetz des Hittorfschen Kathodendunkelraumes 10, 72.

Ehrenhaft, F., Das optische Verhalten der Metallkolloide und deren Teilchengröße 11, 489.

Eichenwald, A., Über die magnetischen Wirkungen bewegter Körper im elektrostatischen Felde 11, 1, 421. — Berichtigungen zu Eichenwald 11, 872.

Einstein, A., Eine Theorie der Grundlagen der Thermodynamik 11, 170.

Einthoven, W., Ein neues Galvanometer 12, 1059.

Ewers, P., vgl. Ebert.

## F.

Flatow, E., Über die Dispersion der sichtbaren und ultravioletten Strahlen in Wasser und Schwefelkohlenstoff bei verschiedenen Temperaturen 12, 85.

Forch, C., Die spezifische Wärme der Lösungen von Naphtalin in verschiedenen organischen Lösungsmitteln 12, 202. — Die bei dem Lösen von Naphtalin in verschiedenen Lösungsmitteln auftretende Wärmetönung 12, 211. — Über gewisse Regelmäßigkeiten der Molekularvolumina von anorganischen Salzen in wässriger Lösung 12, 591.

## G.

Gabritschewski, V. u. Batschinski, A., Die sprechende Flamme 11, 223. — Zur sprechenden Flamme; Antwort an Hrn. Ruhmer 12, 1169.

Gans, R., Über Volumenänderung von Gasen durch dielektrische Polarisation 11, 797.

Gehrcke, E., vgl. Lummer.

Geigel, R., Über Absorption von Gravitationsenergie durch radioaktive Substanz 10, 429.

- Giesen, J., Einige Versuche mit der Salvionischen Mikrowage 10, 830.  
 Grotrian, O., Die Unipolarmaschine ohne Eisen 10, 270.  
 Grünbaum, F., Absorptionsmessungen an wässrigen Farbstofflösungen 12, 1004. — Vgl. auch Martens.

## H.

- Haga, H. u. Wind, C. H., Die Beugung der Röntgenstrahlen 10, 303.  
 Hagen, E. u. Rubens, H., Über Beziehungen des Reflexions- und Emissionsvermögens der Metalle zu ihrem elektrischen Leitvermögen 11, 873.  
 Hahn, K., Beeinflussen Röntgenstrahlen die Wärmeleitung? 12, 442.  
 Harms, F., Elektrometerkapazitäten und die Verwendung von Elektrometern zur Messung von Elektrizitätsmengen 10, 816.  
 Henning, F., vgl. Holborn.  
 Hermann, L., Über elektrische Wellen in Systemen von hoher Kapazität und Selbstinduktion 12, 932.  
 Hermesdorf, P., Über Messungen im Bandenspektrum des Stickstoffs 11, 161.  
 Heydweiller, A., Zur Theorie der magneto-elastischen Wechselbeziehungen 12, 602. — Ist die Magnetisierungszahl der Eisen- und Mangansalzlösungen abhängig von der Feldstärke? 12, 603.  
 Himstedt, F., Bemerkung zu der Mitteilung: „Die sprechende Flamme; von V. Gabritschewski und A. Batschinski 11, 656. — Über die Ionisierung der Luft durch Wasser 12, 107.  
 Holborn, L. u. Henning, F., Über die Ausdehnung des geschmolzenen Quarzes 10, 446.  
 Holborn, L. u. Kurlbaum, F., Über ein optisches Pyrometer 10, 225.

- Holborn, L., vgl. Kohlrausch.  
 Holtsmark, G., Eine Methode für die Intensitätsmessung von Röntgenstrahlen nebst einer Berechnung der Wellenlänge derselben 10, 522.  
 Holtz, W., Zur elektrischen Entladung in festen Isolatoren. Prioritätsbemerkung 12, 224.  
 Hull, G. F., vgl. Nichols.

## J.

- Jäger, G., Das Maxwellsche Verteilungsgesetz der Geschwindigkeiten der Moleküle in Gasen und Flüssigkeiten 11, 1071.  
 Januschke, H., Über den Energieumsatz in der Mechanik 11, 445. — Über den Energieumsatz in der Mechanik; Berichtigung 12, 1175.

## K.

- Kaehler, K., Über die durch Wasserfälle erzeugte Leitfähigkeit der Luft 12, 1119.  
 Kalähne, A., Schallgeschwindigkeit und Verhältnis der spezifischen Wärmen der Luft bei hoher Temperatur 11, 225. — Notiz über elektrische Widerstandsöfen 11, 257. — Erwiderung auf die Bemerkung der Physikalisch-Technischen Reichsanstalt 12, 666.  
 Kaufmann, W., Bemerkungen zu der Arbeit des Hrn. R. Geigel: „Über die Absorption von Gravitationsenergie durch radioaktive Substanz“ 10, 894.  
 Kiebitz, F., vgl. Behn.  
 Kiessling J. u. Walter, B., Über die elektrische Durchbohrung eines festen Dielektrikums 11, 570.  
 Klatt, V., vgl. Lenard.  
 Klingelfuss, Fr., Über einen Blitzwirbel, beobachtet am 15. Juli 1902 über Basel 10, 222.  
 Koenigsberger, J., Über die Emission von Körpern mit endlichem Absorptionsvermögen 12, 342.

- König, W., Doppelbrechung in Glasplatten bei statischer Biegung. 11, 842.
- Kohl, E., Über ein Integral der Gleichungen für die Wellenbewegung, welches dem Dopplerschen Prinzipie entspricht 11, 96. — Über das dem Dopplerschen Prinzipie entsprechende Integral der Gleichungen für die Wellenbewegung 11, 515. — Über die Gültigkeit des Massensatzes von Gauss für bewegte elektrische Massen 12, 842.
- Kohlrausch, F. u. Holborn, L., Über ein störungsfreies Torsionsmagnetometer 10, 287.
- Konowalow, D., Das kritische Gebiet der Lösungen und die Erscheinungen der Opaleszenz 10, 360. — Über die Trübung kritischer Lösungen 12, 1160.
- Korn, A. u. Stoeckl, K., Studien zur Theorie der Lichterscheinungen 12, 875.
- Korn, A. u. Strauss, E., Über die Strahlungen des radioaktiven Bleis 11, 397.
- Kučera, G., Zur Oberflächenspannung von polarisiertem Quecksilber 11, 529, 698.
- Kuntze, G., Ein Beitrag zur Festigkeitslehre 11, 1020.
- Kurlbaum, F., vgl. Holborn.
- Lenard, P., Über den elektrischen Bogen und die Spektren der Metalle 11, 636. — Über die Beobachtung langsamer Kathodenstrahlen mit Hilfe der Phosphoreszenz und über Sekundärentstehung von Kathodenstrahlen 12, 449. — Über die Absorption von Kathodenstrahlen verschiedener Geschwindigkeit 12, 714.
- Lenard, P. u. Klatt, V., Über die Vernichtung der Phosphoreszenzfähigkeit durch Druck 12, 439.
- von Lerch, F., Über die induzierte Thoraktivität 12, 745.
- Lewkojeff, J., vgl. Werigin.
- Lindig, F., Über den Einfluß der Phasen auf die Klangfarbe 10, 242. — Über die verstimmte Oktave bei Stimmgabeln und über Asymmetrietöne 11, 31.
- Lindemann, R., Über die Warmwirkungen oszillatorischer Kondensatorentladungen im primären und sekundären Kreise 12, 1012.
- Lischner, E., Über die elliptische Polarisation des Lichtes bei der Reflexion an Lösungen von Körpern mit Oberflächenfarben 12, 964.
- Lummer, O. u. Gehrcke, E., Über die Anwendung der Interferenzen an planparallelen Platten zur Analyse feinsten Spektrallinien 10, 457.

## L.

- Ladenburg, E., Untersuchungen über die entladende Wirkung des ultravioletten Lichtes auf negativ geladene Metallplatten im Vakuum 12, 558.
- Langenbach, K., Über Intensitätsverteilung in Linienspektren 10, 789.
- Lebedew, P., Über eine Abänderung des Rowland-Gilbertschen Versuches 11, 442.
- Lehmann, O., Plastische, fließende und flüssige Kristalle; erzwungene und spontane Homöotropie derselben 12, 311.

## M.

- Mache, H., Zur Physik der Flamme 10, 408.
- Martens, F. F. u. Grünbaum, F., Über eine Neukonstruktion des Königschen Spektralphotometers 12, 984.
- Marx, E., Über die Kondensatorentladung in verzweigten Systemen bei Periodenzahlen  $10^{-7}$  —  $10^{-8}$  und das dielektrische Verhalten einiger Flüssigkeiten in diesem Frequenzbereich 12, 491.
- Mathieu, J., Berichtigung zu meiner Arbeit „Über die Kapillarität der Lösungen“ 11, 224.



**Mey, K.**, Über das Kathodengefälle der Alkalimetalle 11, 127.

**Meyer, E.**, Über die Absorption der ultravioletten Strahlung im Ozon 12, 849.

**Meyer, M.**, Über Kombinations- und Asymmetrietöne 12, 889.

**Mie, G.**, Zur kinetischen Theorie der einatomigen Körper 11, 657.

**Minor, R. S.**, Dispersion einiger Metalle, besonders für ultraviolette Strahlung 10, 581.

**Müller, E.**, Über die Lichtabsorption wässriger Lösungen von Kupfer- und Nickelsalzen 12, 767.

**Müller, J.**, Über Schallgeschwindigkeit in Röhren 11, 381.

## N.

**Nichols, E. F. u. Hull, G. F.**, Über Strahlungsdruck 12, 225.

**Nordmeyer, P.**, Über den Einfluß der Erdbewegung auf die Verteilung der Intensität der Licht- und Wärmestrahlung 11, 284.

## O.

**Olszewski, K.**, Apparate zur Verflüssigung von Luft und Wasserstoff 10, 768. — Ein neuer Apparat zur Verflüssigung des Wasserstoffs 12, 196.

## P.

**Pflüger, A.**, Das Absorptionsvermögen einiger Gläser im photographisch wirksamsten Teile des Spektrums 11, 561. — Über die Farbe der Ionen 12, 430.

**Planck, M.**, Über die Grundlage der Lösungstheorie; eine Erweiterung 10, 436.

**Pockels, F.**, Bemerkungen zu meiner Abhandlung „Über die Änderung des optischen Verhaltens verschiedener Gläser durch elastische Deformation“ 11, 651. —

Über die Änderung der Lichtfortpflanzung im Kalkspat durch Deformationen 11, 726.

**Precht, J.**, vgl. Runge.

## Q.

**Quincke, G.**, Die Messungen des Hrn. Gallenkamp mit Adhäsionsplatten 10, 453. — Die Oberflächenspannung an der Grenze wässriger Kolloidlösungen von verschiedener Konzentration 10, 478, 673. — V. Oberflächenspannung und Zellenbildung bei Leimtannatlösungen 11, 54. — VI. Niederschlagmembranen und Zellen in Gallerten oder Lösungen von Leim, Eiweiß und Stärke 11, 449. — VII. Die Bedeutung der Oberflächenspannung für die Photographie mit Bromsilbergelatine und eine neue Wirkung des Lichtes 11, 1100. — Über kolloidale Lösungen 12, 1165.

## R.

**Rasch, E.**, Gasentladungen an elektrolytischen Glühkörpern 11, 202.

**Reinganum, M.**, Über Molekularkräfte und elektrische Ladungen der Moleküle 10, 334. — Zum Mechanismus elektrochemischer Vorgänge 10, 354.

**Reichsanstalt**, Bemerkung zu einer Arbeit des Hrn. A. Kalähne 12, 447.

**Richarz, F.**, Temperaturdifferenzen in künstlich erzeugten auf- und absteigenden Luftströmen nach Messungen von Hrn. S. Löwenherz 10, 863.

**Riecke, E.**, Beiträge zu der Lehre von der Luftpolektrizität 12, 52. — Über nahezu gesättigten Strom in einem von zwei konzentrischen Kugeln begrenzten Luftraume 12, 814. — Über näherungsweise gesättigte Ströme zwischen planparallelen Platten 12, 820.



Ritz, W., Zur Theorie der Serienspektren 12, 264. — Über das Spektrum von Kalium 12, 444.

Robinson, Ph. E., Der elektrische Widerstand loser Kontakte und Resonanzversuche mit dem Kohörer 11, 754.

Rubens, H., vgl. Hagen.

Runge, C. u. Precht, J., Über das Bunsenflammspektrum des Radiums 10, 655. — Über das Funkenspektrum des Radiums 12, 407.

Ruhmer, E., Bemerkung zur Notiz der Herren V. Gabritschewski und A. Batschinski über die sprechende Flamme 11, 872.

## S.

v. Sahmen, R. u. Tammann, G., Über das Auffinden von Umwandlungspunkten mit einem selbstregistrierenden Dilatographen 10, 879.

Schmauß, A., Notiz zur magnetischen Doppelbrechung 10, 658. — Magnetische Drehung der Polarisationssebene des Lichtes in selektiv absorbierenden Medien 10, 853. — Über die von Hrn. Majorana gefundene Doppelbrechung im magnetischen Felde 12, 186.

Schmidt, A., Der Energieinhalt einer unendlich hohen Luftsäule bei konstantem Werte von  $g$  und  $T$  10, 449.

Schmidt, Ad., Werte der erdmagnetischen Elemente zu Potsdam für das Jahr 1901 10, 890.

Schmidt, G. C., Über die Emanation des Phosphors 10, 704. — Der dunkle Kathodenraum 12, 622.

Schmidt, W., Bestimmung der Dielektrizitätskonstanten von Kristallen mit elektrischen Wellen. (II. Abhandlung.) 11, 114.

Schulze, G., Über den Spannungsverlust im elektrischen Lichtbogen 12, 828.

Schulze, P., Die Skalenwertbestimmung am Unifilarmagnetometer 12, 893.

Schwarze, W., Bestimmung der Wärmeleitungsfähigkeit von Argon und Helium nach der Methode von Schleiermacher 11, 303. — Berichtigungen zur Arbeit W. Schwarze 11, 1144.

Seddig, M., Darstellung des Verlaufes der elektrischen Kraftlinien, und insbesondere ihrer Richtungsänderungen durch Dielektrika 11, 815.

Seitz, W., Abhängigkeit der Absorption, welche Kathodenstrahlen in dünnen Aluminiumblättchen erleiden, vom Entladungspotential 12, 860.

Siedentopf, H. u. Zsigmondy, R., Über Sichtbarmachung und Größenbestimmung ultramikroskopischer Teilchen, mit besonderer Anwendung auf Goldrubingläser 10, 1.

Slaby, A., Antwort an Hrn. Braun 10, 661.

Stark, J., Der Kathodenfall des Glimmstromes als Funktion von Temperatur, Stromstärke und Gasdruck 12, 1. — Der Kathodenfall des Glimmstromes im Magnetfeld 12, 31. — Zur Kenntnis des Lichtbogens 12, 673.

Strauss, E., vgl. Korn.

Stscheglayew, J., Über die Absorption des Lichtes in den mit Metaldampf gefärbten Flammen 12, 579.

Sundorph, Th., Über die Bildung leitender Brücken an der Stelle, wo ein Strom von geringer Spannung unterbrochen wird 10, 198.

## T.

Tafel, J., Über die Wirkung von Kanalstrahlen auf Zinkoxyd 11, 613.

Tammann, G., vgl. Werigin und v. Sahmen.

**Tangl, K.**, Über die Änderung der Dielektrizitätskonstante einiger Flüssigkeiten mit der Temperatur 10, 748.

**Thaler, F.**, Die diffuse Reflexion des Lichtes an matten Oberflächen 11, 996.

**Toepler, M.**, Über Funkenlängen und Anfangsspannungen in Luft von Atmosphärendruck 10, 730. — Über Beobachtungen von kurz dauernden Luftdruckschwankungen (Windwogen) 12, 787.

V.

**Voigt, E.**, Über Messungen hoher Spannungen 12, 385.

**Volkmann, W.**, Nebenschlußkasten zum Drehspulgalvanometer 10, 217. — Kleine Neuerungen an der Ablesung mit Spiegel und Fernrohr 11, 654.

W.

**Walker, G. T.**, Die optischen Eigenschaften dünner Metallplatten 10, 189.

**Wallot, J.**, Die Verwendung des Keilkompensators von Arago zur Messung der Brechungsexponenten von Flüssigkeiten 11, 355. — Die Abhängigkeit der Brechungsexponenten der Salzlösungen von der Konzentration 11, 593. — Über die von Beer und Landolt gewählte Form des spezifischen Brechungsvermögens 11, 605.

**Walter, B.**, Über die Entstehungsweise des Blitzes 10, 393. — Bemerkungen zu der Abhandlung von J. Wallot: „Die Abhängigkeit der Brechungsexponenten der Salzlösungen von der Konzentration“ 12, 671. — Vgl. auch Kiessling.

**Warburg, E.**, Über leuchtenden elektrischen Wind 10, 180.

**Wassmuth, A.**, Apparate zum Bestimmen der Temperaturände-

rungen beim Dehnen oder Tordieren von Drähten 11, 146.

**Weber, R.**, Wärmeleitung in Flüssigkeiten 11, 1047.

**Weerth, M.**, Über Lamellentöne 11, 1086.

**Wehnelt, A.**, Potentialverteilung im dunklen Kathodenraume 10, 542.

**Werigin, N.**, Lewkojeff, J. und Tammann, G., Über die Ausflußgeschwindigkeit einiger Metalle 10, 647.

Berichtigung zu Wesendonck 10, 456.

**Wind, C. H.**, vgl. Haga.

**Wien, M.**, vgl. Wüllner.

**Wittmann, F.**, Untersuchung und objektive Darstellung von Flaschenbatterie- und Induktionsströmen 12, 373. — Untersuchung und objektive Darstellung der Ladungs- und Entladungsströme von Kondensatoren 12, 805.

**Wolcott, E. R.**, Über die Anwendung von Gleichstrompolarisation bei Kohlrauschs Methode zur Messung elektrolytischer Leitungswiderstände 12, 653.

**Wüllner, A. u. Wien, M.**, Über die Änderung der Dielektrizitätskonstante des Glases mit dem Druck 11, 619.

Z.

**Zehnder, L.**, Ein Volumometer für kleine Substanzmengen 10, 40. — Über eine automatische Quecksilberstrahlpumpe, nebst einigen glastechnischen Einzelheiten 10, 623. — Über neue Wirkungen bekannter Strahlenarten 12, 413. — Eine einfache Form des Wehneltunterbrechers 12, 417. — Bemerkung zu meiner Mitteilung über eine einfache Form des Wehneltunterbrechers 12, 1174.

Zemplén Győző, Über den Energieumsatz in der Mechanik 10, 419. — Über die Anwendung der mechanischen Prinzipie auf reibende Bewegungen (mit einem Anhange über den „Energieumsatz in der Mechanik“) 12, 356.

Zenneck, J., Fortpflanzung magnetischer Wellen in Eisenzylindern 10, 845. — Nachtrag zu meiner Arbeit über die „Fortpflanzung

magnetischer Wellen in Eisenzylindern“ 11, 867. — Die Energieverhältnisse in oszillatorischen magnetischen Kreisen 11, 1121. — Elektrischer und magnetischer Widerstand bei Schwingungen 11, 1135. — Über die magnetische Permeabilität von Eisenpulver bei schnellen Schwingungen 12, 869.

Zsigmondy, R., vgl. Siedentopf.

Fig. V Brillantgrün in  $\frac{1}{2}$  Wasser  
+  $\frac{1}{2}$  Alkohol 10 %

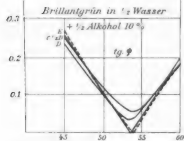
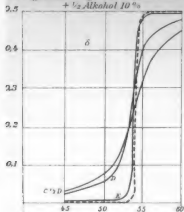
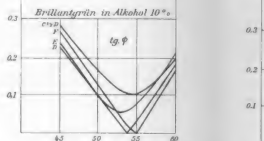
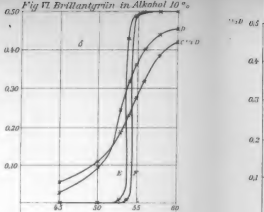


Fig. VI Brillantgrün in Alkohol 10 %



Fluorescän in KOH 10 %

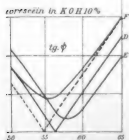
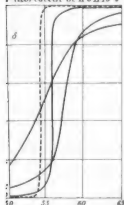
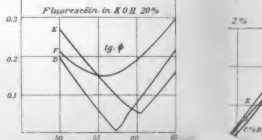
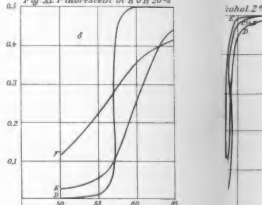


Fig. XI Fluorescän in KOH 20 %







20

$\frac{E}{c}$



Fig III. Fuchsin in Alkohol 16 %.

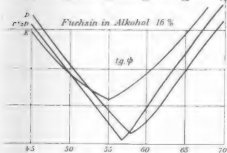
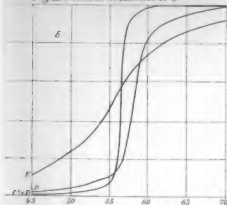


Fig IV. Brillantgrün in Wasser 10 %.

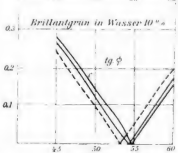
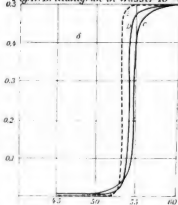


Fig V. Cyanin in C H Cl, 6 %.

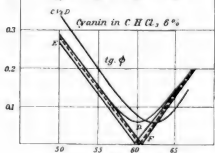
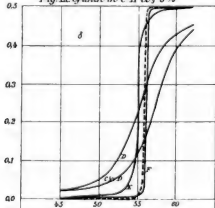


Fig VI.

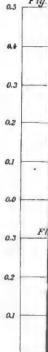




Fig. I. Fuchsin in Alkohol 4%

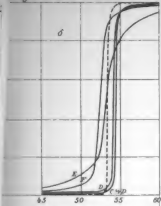
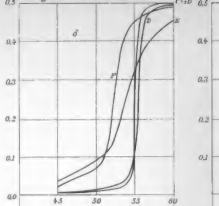


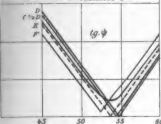
Fig. II. Fuchsin in Alkohol 3%



Wasser 10%



Fuchsin in Alkohol 4%



Fuchsin in Alkohol 3%

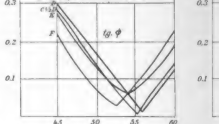
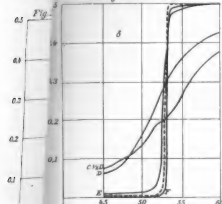


Fig. VII. Brillantgrün in Methylalkohol 16%



Brillantgrün in Methylalkohol 16%

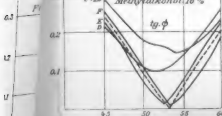
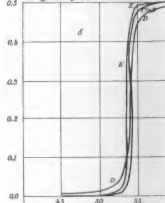
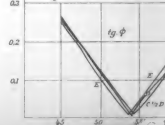


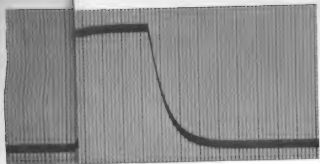
Fig. VIII. Granin in Alkohol 2%



Granin in Alkohol 2%















































# Dr. Steeg & Reuter,

Optisches Institut,  
Homburg v. d. Höhe.

## Specialität:

Apparate und Präparate  
Polarisation, Interferenz, Beugung, Fluorescenz, Phosphorescenz  
des Lichts.

Orientirte Schliffe  
von Mineralien und künstl. Krystallen.

Präparate  
aus Kalkspath, Quarz, Steinsalz,  
Gyps und Glimmer.

Spectral-Apparate, Glasprismen und Linsen aller Art. — Röntgenschirme.

# C. A. Steinheil Soehne,

optisch-astronomische Werkstätte,

gegründet 1855. MÜNCHEN. Gegründet 1855.

Astronomische Fernrohr-Objektive, zwei- und dreitheilig in allen Dimensionen bis 1 Meter Durchmesser, normaler Konstruktion und ohne sekundäres Spektrum.

okulare, Prismen, Lupen, Plan- und Planparallelgläser.

komplette astronomische Fernrohre mit und ohne Stativ.

Ablesefernrohre, terrestrische Hand- und Stativfernrohre, Prismenfernrohre.

Spectralapparate verschiedenster Konstruktion, mit und ohne photograph. Einrichtung.

Spektroskope, Spektrographen und Goniometer.

Preislisten frei auf Verlangen, auch über photographische Objektive und Zubehör.

# MAX WOLZ in Bonn a. Rh.

Werkstätte für wissenschaftliche Präcisions-Instrumente.

## Physikalische Instrumente:

Spektrometer nach Raps (Zeitschr. f. Instrum.-Kunde. 1887. H. 8 und Handb. d. Spektrosk. von H. Kayser, pag. 495) bis zu den Einfachsten.

Refractometer nach Pulfrich. Kathetometer. Ablesefernrohre von den Einfachsten bis zu den Vollkommensten. Apparat zum Aus-

weisen von Spektrophotogrammen nach Kayser (Handb. des Spektrosk. von H. Kayser, pag. 641). Längen- und Kreistoilmaschinen

zu verschied. Zwecke. Lithographie von Sternkarten: Bonner Sternkarten, II. Serie, Schönfeld. Atlas stellarum variab. J. S. Hagen, S. J.





























**This book is under no circumstances to be  
taken from the Building**

[illegible]

Figure 4

NOV 3 2 1926





